

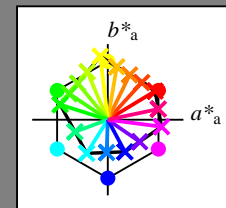
Ein und Ausgabe:
 Farbmetrisches Drucker-Reflektiv-System ORS20_95a

Daten für jede Farbe:
 u^*_d und Nummer *Nr.* = 00 .. 15

Geräte-Bunttontext:
 $u^*_d = 16$ Bunttoene *o00y, o25y, ..., m50o*

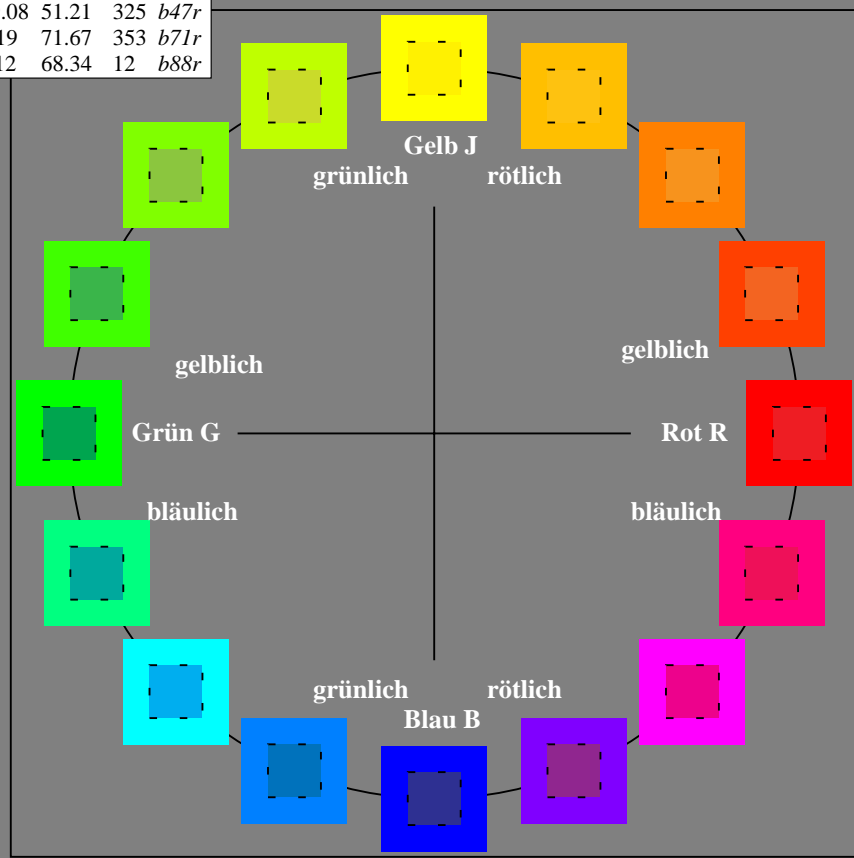
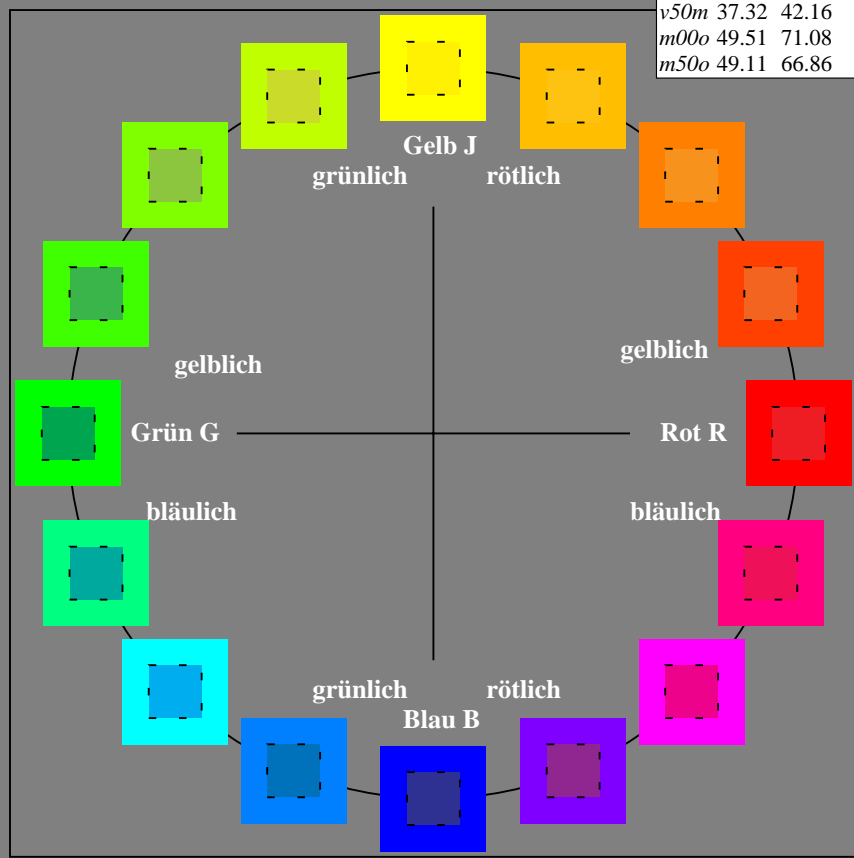
Kontrastreduzierungsfaktor:
 $c_R = 0.96$

ORS20_95a; adaptierte CIELAB-Daten						
u^*_d	$L^*=L^*_a$	a^*_a	b^*_a	$C^*_{ab,a}$	$h^*_{ab,a}$	u^*_e
<i>o00y</i>	48.71	62.56	37.91	73.15	31	<i>r08j</i>
<i>o25y</i>	58.6	44.87	49.14	66.54	48	<i>r33j</i>
<i>o50y</i>	67.52	28.93	59.25	65.94	64	<i>r57j</i>
<i>o75y</i>	77.05	11.9	70.06	71.06	80	<i>r81j</i>
<i>y00l</i>	89.25	-9.92	83.91	84.49	97	<i>j06g</i>
<i>y25l</i>	77.37	-27.05	63.23	68.78	113	<i>j30g</i>
<i>y50l</i>	68.62	-39.67	48.0	62.27	130	<i>j53g</i>
<i>y75l</i>	60.79	-50.95	34.38	61.47	146	<i>j76g</i>
<i>l00c</i>	52.5	-62.91	19.95	66.0	162	<i>g00b</i>
<i>l50c</i>	56.2	-43.39	-15.92	46.22	200	<i>g34b</i>
<i>c00v</i>	59.15	-27.87	-44.43	52.45	238	<i>g69b</i>
<i>c50v</i>	43.5	-1.49	-43.39	43.42	268	<i>g96b</i>
<i>v00m</i>	29.13	22.73	-42.44	48.14	298	<i>b23r</i>
<i>v50m</i>	37.32	42.16	-29.08	51.21	325	<i>b47r</i>
<i>m00o</i>	49.51	71.08	-9.19	71.67	353	<i>b71r</i>
<i>m50o</i>	49.11	66.86	14.12	68.34	12	<i>b88r</i>



%Umfang
 $u^*_{rel} = 83$
 %Regularität
 $g^*_{H,rel} = 72$
 $g^*_{C,rel} = 57$

ORS20_95a; adaptierte CIELAB-Daten					
Name	$L^*=L^*_a$	a^*_a	b^*_a	$C^*_{ab,a}$	$h^*_{ab,a}$
O _{Ma}	48.71	62.56	37.91	73.15	31
Y _{Ma}	89.25	-9.92	83.91	84.49	97
L _{Ma}	52.5	-62.91	19.95	66.0	162
C _{Ma}	59.15	-27.87	-44.43	52.45	238
V _{Ma}	29.13	22.73	-42.44	48.14	298
M _{Ma}	49.51	71.08	-9.19	71.67	353
N _{Ma}	20.0	0.0	0.0	0.0	0
W _{Ma}	95.0	0.0	0.0	0.0	0
O _{CIE}	39.92	58.74	27.99	65.07	25
Y _{CIE}	81.26	-2.89	71.56	71.62	92
L _{CIE}	52.23	-42.42	13.6	44.55	162
V _{CIE}	30.57	1.41	-46.47	46.49	272



Ein und Ausgabe: Farbmatisches Drucker-Reflektiv-System ORS20_95a für relativen CIELAB-Bunton $h^* = lab^*h^* = h_{ab}/360 = 0.087$

$u^*_d = o00y$

Daten für jede Farbe:

lab^*tch^* und lab^*icu^*

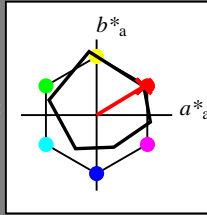
Buntontexte:

$u^*_d = o00y$ $u^*_e = r08j$

Kontrastreduzierungsfaktor:

$c_R = 0.96$

Dreiecks-Helligkeit t^*



ORS20_95a; adaptierte CIELAB-Daten						
u^*_d	$L^*=L^*_a$	a^*_a	b^*_a	$C^*_{ab,a}$	$h^*_{ab,a}$	
O _{Ma}	48.71	62.56	37.91	73.15	31	
Y _{Ma}	89.25	-9.92	83.91	84.49	97	
L _{Ma}	52.5	-62.91	19.95	66.0	162	
C _{Ma}	59.15	-27.87	-44.43	52.45	238	
V _{Ma}	29.13	22.73	-42.44	48.14	298	
M _{Ma}	49.51	71.08	-9.19	71.67	353	
N _{Ma}	20.0	0.0	0.0	0.0	0	
W _{Ma}	95.0	0.0	0.0	0.0	0	
O _{Ma}	39.92	58.74	27.99	65.07	25	
Y _{Ma}	81.26	-2.89	71.56	71.62	92	
L _{Ma}	52.23	-42.42	13.6	44.55	162	
V _{Ma}	30.57	1.41	-46.47	46.49	272	

Daten für Maximalfarbe (Ma):

$LAB^*LAB^*_{Ma}$: 49 63 38

$LAB^*LCH^*_{Ma}$: 49 73 31

$lab^*olv^*_{Ma}$: 1.0 0.0 0.0

$lab^*rgb^*_{Ma}$: 1.0 0.09 0.0

Dreiecks-Helligkeit t^*

%Umfang

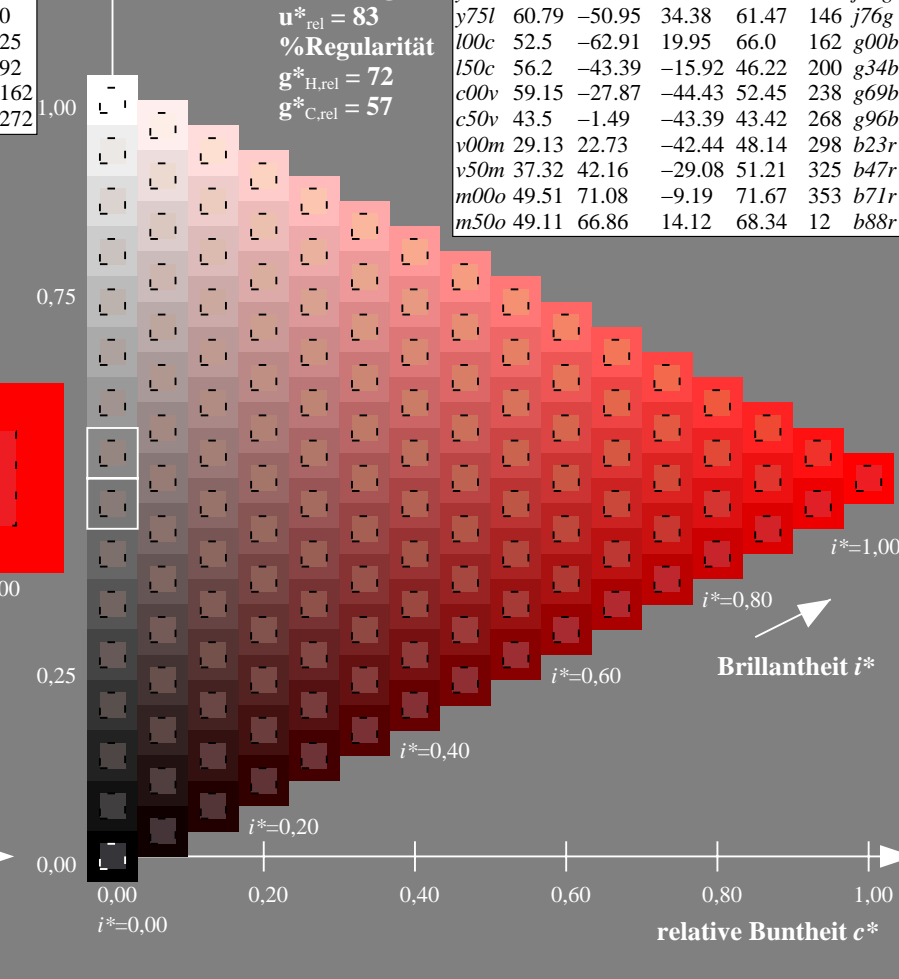
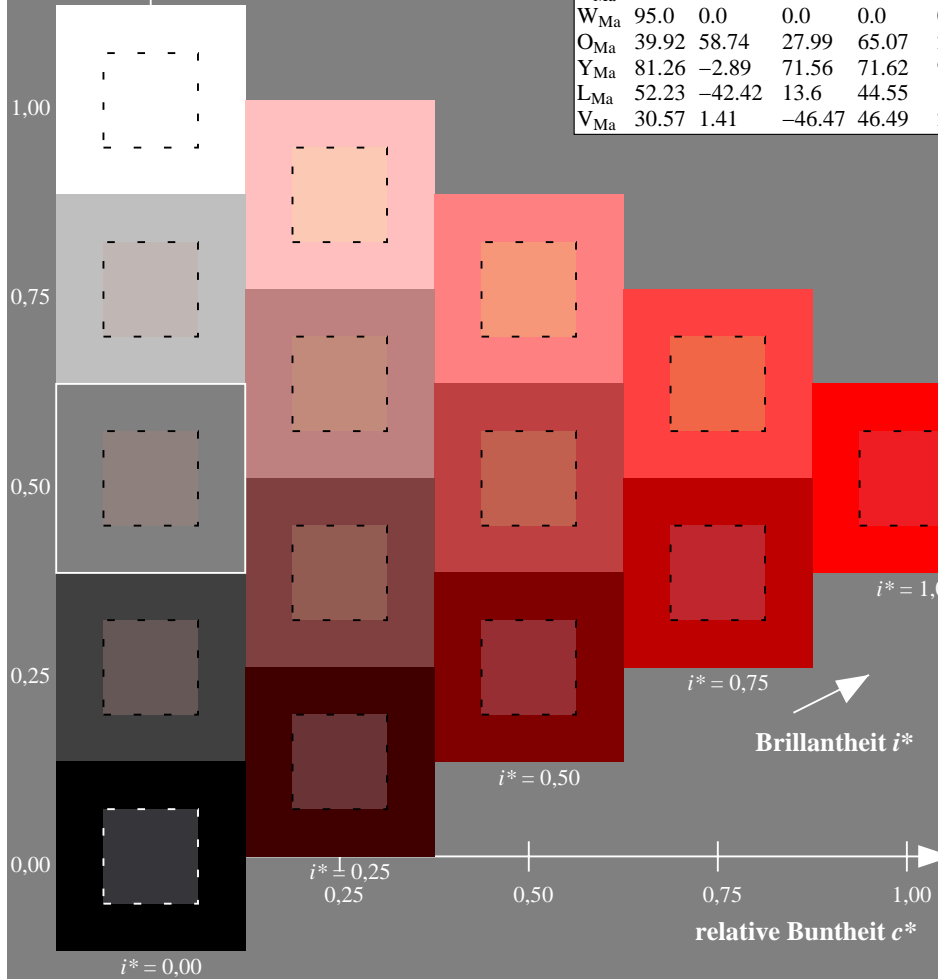
$u^*_{rel} = 83$

%Regularität

$g^*_{H,rel} = 72$

$g^*_{C,rel} = 57$

ORS20_95a; adaptierte CIELAB-Daten							
u^*_d	$L^*=L^*_a$	a^*_a	b^*_a	$C^*_{ab,a}$	$h^*_{ab,a}$	u^*_e	
<i>o00y</i>	48.71	62.56	37.91	73.15	31	<i>r08j</i>	
<i>o25y</i>	58.6	44.87	49.14	66.54	48	<i>r33j</i>	
<i>o50y</i>	67.52	28.93	59.25	65.94	64	<i>r57j</i>	
<i>o75y</i>	77.05	11.9	70.06	71.06	80	<i>r81j</i>	
<i>y00l</i>	89.25	-9.92	83.91	84.49	97	<i>j06g</i>	
<i>y25l</i>	77.37	-27.05	63.23	68.78	113	<i>j30g</i>	
<i>y50l</i>	68.62	-39.67	48.0	62.27	130	<i>j53g</i>	
<i>y75l</i>	60.79	-50.95	34.38	61.47	146	<i>j76g</i>	
<i>l00c</i>	52.5	-62.91	19.95	66.0	162	<i>g00b</i>	
<i>l50c</i>	56.2	-43.39	-15.92	46.22	200	<i>g34b</i>	
<i>c00v</i>	59.15	-27.87	-44.43	52.45	238	<i>g69b</i>	
<i>c50v</i>	43.5	-1.49	-43.39	43.42	268	<i>g96b</i>	
<i>v00m</i>	29.13	22.73	-42.44	48.14	298	<i>b23r</i>	
<i>v50m</i>	37.32	42.16	-29.08	51.21	325	<i>b47r</i>	
<i>m00o</i>	49.51	71.08	-9.19	71.67	353	<i>b71r</i>	
<i>m50o</i>	49.11	66.86	14.12	68.34	12	<i>b88r</i>	



Ein und Ausgabe: Farbmatisches Drucker-Reflektiv-System ORS20_95a für relativen CIELAB-Bunton $h^* = lab^*h^* = h_{ab}/360 = 0.132$

$u^*_d = o25y$

Daten für jede Farbe:

lab^*tch^* und lab^*icu^*

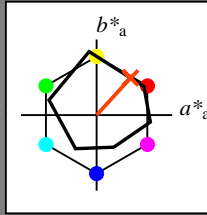
Buntontexte:

$u^*_d = o25y$ $u^*_e = r33j$

Kontrastreduzierungsfaktor:

$c_R = 0.96$

Dreiecks-Helligkeit t^*



ORS20_95a; adaptierte CIELAB-Daten						
u^*_d	$L^*=L^*_a$	a^*_a	b^*_a	$C^*_{ab,a}$	$h^*_{ab,a}$	
O _{Ma}	48.71	62.56	37.91	73.15	31	
Y _{Ma}	89.25	-9.92	83.91	84.49	97	
L _{Ma}	52.5	-62.91	19.95	66.0	162	
C _{Ma}	59.15	-27.87	-44.43	52.45	238	
V _{Ma}	29.13	22.73	-42.44	48.14	298	
M _{Ma}	49.51	71.08	-9.19	71.67	353	
N _{Ma}	20.0	0.0	0.0	0.0	0	
W _{Ma}	95.0	0.0	0.0	0.0	0	
O _{Ma}	39.92	58.74	27.99	65.07	25	
Y _{Ma}	81.26	-2.89	71.56	71.62	92	
L _{Ma}	52.23	-42.42	13.6	44.55	162	
V _{Ma}	30.57	1.41	-46.47	46.49	272	

Daten für Maximalfarbe (Ma):

$LAB^*LAB^*_{Ma}$: 59 45 49

$LAB^*LCH^*_{Ma}$: 59 67 47

$lab^*olv^*_{Ma}$: 1.0 0.25 0.0

$lab^*rgb^*_{Ma}$: 1.0 0.33 0.0

Dreiecks-Helligkeit t^*

%Umfang

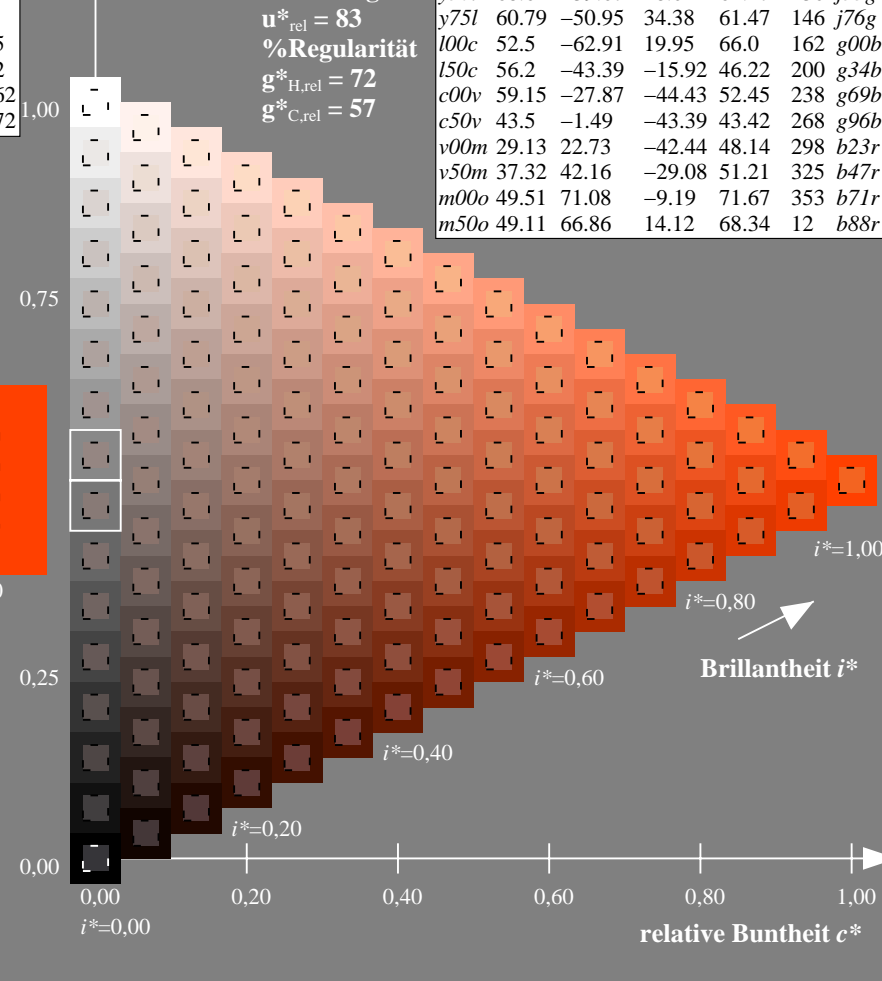
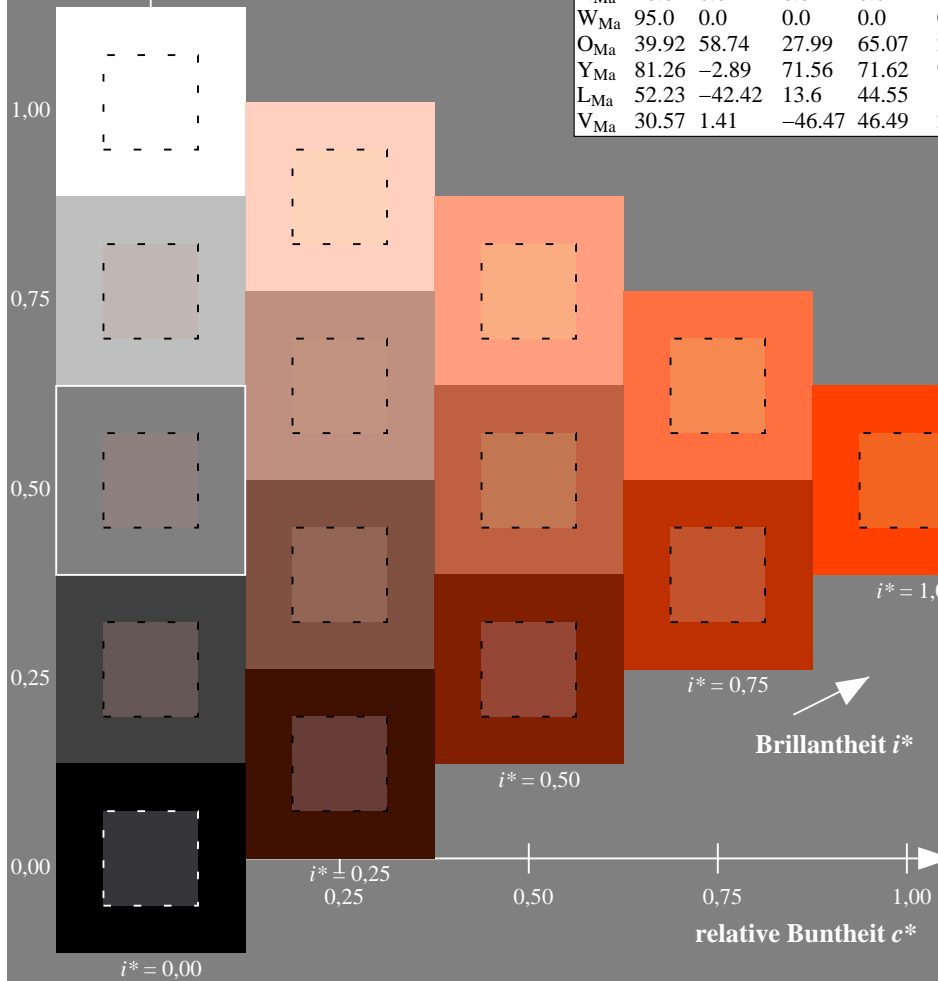
$u^*_{rel} = 83$

%Regularität

$g^*_{H,rel} = 72$

$g^*_{C,rel} = 57$

ORS20_95a; adaptierte CIELAB-Daten							
u^*_d	$L^*=L^*_a$	a^*_a	b^*_a	$C^*_{ab,a}$	$h^*_{ab,a}$	u^*_e	
<i>o00y</i>	48.71	62.56	37.91	73.15	31	<i>r08j</i>	
<i>o25y</i>	58.6	44.87	49.14	66.54	48	<i>r33j</i>	
<i>o50y</i>	67.52	28.93	59.25	65.94	64	<i>r57j</i>	
<i>o75y</i>	77.05	11.9	70.06	71.06	80	<i>r81j</i>	
<i>y00l</i>	89.25	-9.92	83.91	84.49	97	<i>j06g</i>	
<i>y25l</i>	77.37	-27.05	63.23	68.78	113	<i>j30g</i>	
<i>y50l</i>	68.62	-39.67	48.0	62.27	130	<i>j53g</i>	
<i>y75l</i>	60.79	-50.95	34.38	61.47	146	<i>j76g</i>	
<i>l00c</i>	52.5	-62.91	19.95	66.0	162	<i>g00b</i>	
<i>l50c</i>	56.2	-43.39	-15.92	46.22	200	<i>g34b</i>	
<i>c00v</i>	59.15	-27.87	-44.43	52.45	238	<i>g69b</i>	
<i>c50v</i>	43.5	-1.49	-43.39	43.42	268	<i>g96b</i>	
<i>v00m</i>	29.13	22.73	-42.44	48.14	298	<i>b23r</i>	
<i>v50m</i>	37.32	42.16	-29.08	51.21	325	<i>b47r</i>	
<i>m00o</i>	49.51	71.08	-9.19	71.67	353	<i>b71r</i>	
<i>m50o</i>	49.11	66.86	14.12	68.34	12	<i>b88r</i>	



Ein und Ausgabe: Farbmatisches Drucker-Reflektiv-System ORS20_95a für relativen CIELAB-Bunton $h^* = lab^*h^* = h_{ab}/360 = 0.178$

$u^*_d = o50y$

Daten für jede Farbe:

lab^*tch^* und lab^*icu^*

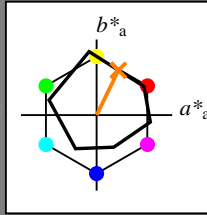
Buntontexte:

$u^*_d = o50y$ $u^*_e = r57j$

Kontrastreduzierungsfaktor:

$c_R = 0.96$

Dreiecks-Helligkeit t^*



ORS20_95a; adaptierte CIELAB-Daten						
u^*_d	$L^*=L^*_a$	a^*_a	b^*_a	$C^*_{ab,a}$	$h^*_{ab,a}$	
O _{Ma}	48.71	62.56	37.91	73.15	31	
Y _{Ma}	89.25	-9.92	83.91	84.49	97	
L _{Ma}	52.5	-62.91	19.95	66.0	162	
C _{Ma}	59.15	-27.87	-44.43	52.45	238	
V _{Ma}	29.13	22.73	-42.44	48.14	298	
M _{Ma}	49.51	71.08	-9.19	71.67	353	
N _{Ma}	20.0	0.0	0.0	0.0	0	
W _{Ma}	95.0	0.0	0.0	0.0	0	
O _{Ma}	39.92	58.74	27.99	65.07	25	
Y _{Ma}	81.26	-2.89	71.56	71.62	92	
L _{Ma}	52.23	-42.42	13.6	44.55	162	
V _{Ma}	30.57	1.41	-46.47	46.49	272	

Daten für Maximalfarbe (Ma):

$LAB^*LAB^*_{Ma}$: 68 29 59

$LAB^*LCH^*_{Ma}$: 68 66 63

$lab^*olv^*_{Ma}$: 1.0 0.5 0.0

$lab^*rgb^*_{Ma}$: 1.0 0.58 0.0

Dreiecks-Helligkeit t^*

%Umfang

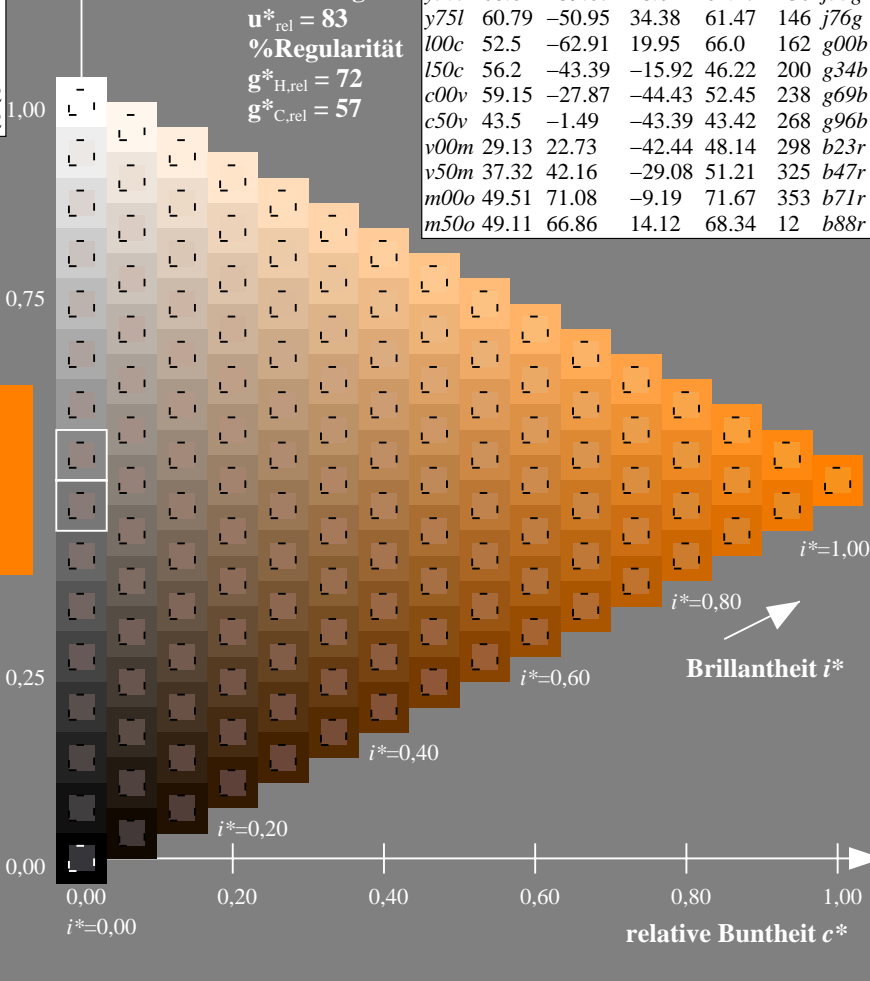
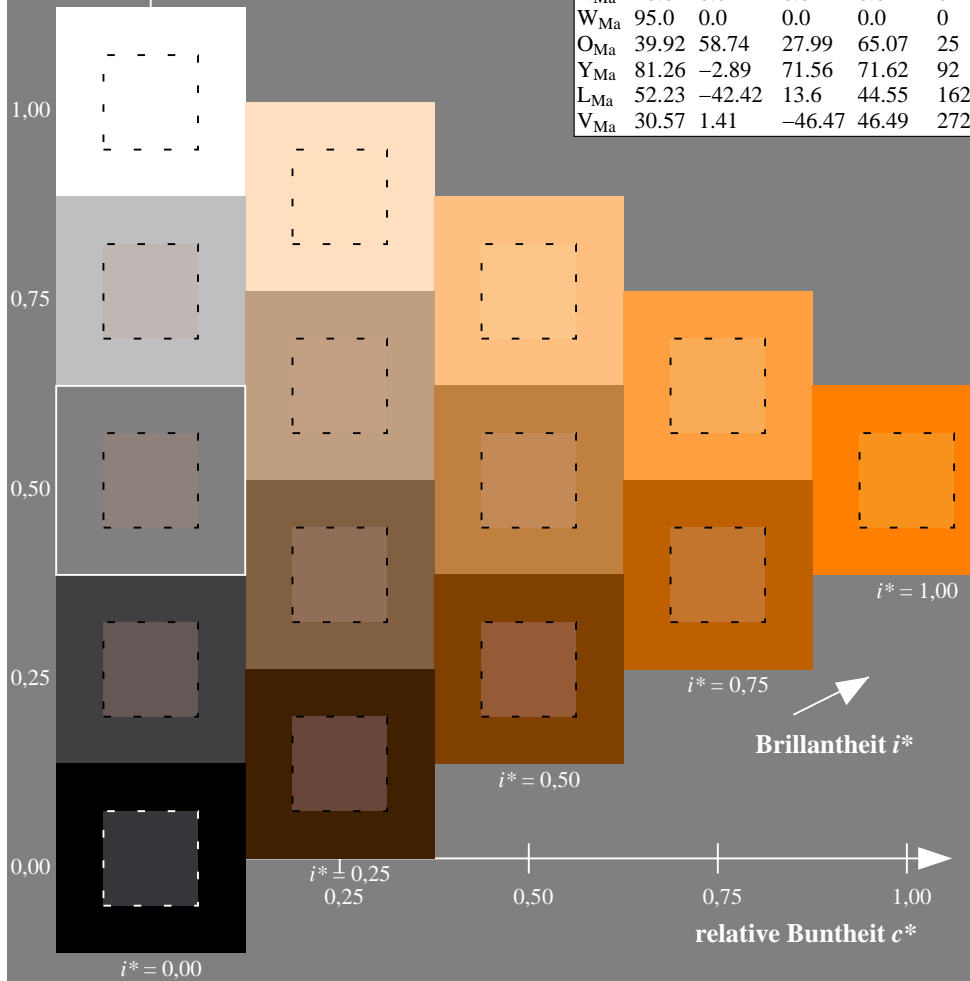
$u^*_{rel} = 83$

%Regularität

$g^*_{H,rel} = 72$

$g^*_{C,rel} = 57$

ORS20_95a; adaptierte CIELAB-Daten							
u^*_d	$L^*=L^*_a$	a^*_a	b^*_a	$C^*_{ab,a}$	$h^*_{ab,a}$	u^*_e	
<i>o00y</i>	48.71	62.56	37.91	73.15	31	<i>r08j</i>	
<i>o25y</i>	58.6	44.87	49.14	66.54	48	<i>r33j</i>	
<i>o50y</i>	67.52	28.93	59.25	65.94	64	<i>r57j</i>	
<i>o75y</i>	77.05	11.9	70.06	71.06	80	<i>r81j</i>	
<i>y00l</i>	89.25	-9.92	83.91	84.49	97	<i>j06g</i>	
<i>y25l</i>	77.37	-27.05	63.23	68.78	113	<i>j30g</i>	
<i>y50l</i>	68.62	-39.67	48.0	62.27	130	<i>j53g</i>	
<i>y75l</i>	60.79	-50.95	34.38	61.47	146	<i>j76g</i>	
<i>l00c</i>	52.5	-62.91	19.95	66.0	162	<i>g00b</i>	
<i>l50c</i>	56.2	-43.39	-15.92	46.22	200	<i>g34b</i>	
<i>c00v</i>	59.15	-27.87	-44.43	52.45	238	<i>g69b</i>	
<i>c50v</i>	43.5	-1.49	-43.39	43.42	268	<i>g96b</i>	
<i>v00m</i>	29.13	22.73	-42.44	48.14	298	<i>b23r</i>	
<i>v50m</i>	37.32	42.16	-29.08	51.21	325	<i>b47r</i>	
<i>m00o</i>	49.51	71.08	-9.19	71.67	353	<i>b71r</i>	
<i>m50o</i>	49.11	66.86	14.12	68.34	12	<i>b88r</i>	



Ein und Ausgabe: Farbmatisches Drucker-Reflektiv-System ORS20_95a für relativen CIELAB-Bunton $h^* = lab^*h^* = h_{ab}/360 = 0.223$

$u^*_d = o75y$

Daten für jede Farbe:

lab^*tch^* und lab^*icu^*

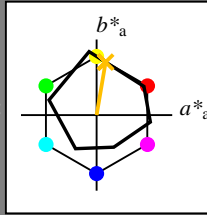
Buntontexte:

$u^*_d = o75y$ $u^*_e = r8lj$

Kontrastreduzierungsfaktor:

$c_R = 0.96$

Dreiecks-Helligkeit t^*



ORS20_95a; adaptierte CIELAB-Daten						
u^*_d	$L^*=L^*_a$	a^*_a	b^*_a	$C^*_{ab,a}$	$h^*_{ab,a}$	
O _{Ma}	48.71	62.56	37.91	73.15	31	
Y _{Ma}	89.25	-9.92	83.91	84.49	97	
L _{Ma}	52.5	-62.91	19.95	66.0	162	
C _{Ma}	59.15	-27.87	-44.43	52.45	238	
V _{Ma}	29.13	22.73	-42.44	48.14	298	
M _{Ma}	49.51	71.08	-9.19	71.67	353	
N _{Ma}	20.0	0.0	0.0	0.0	0	
W _{Ma}	95.0	0.0	0.0	0.0	0	
O _{Ma}	39.92	58.74	27.99	65.07	25	
Y _{Ma}	81.26	-2.89	71.56	71.62	92	
L _{Ma}	52.23	-42.42	13.6	44.55	162	
V _{Ma}	30.57	1.41	-46.47	46.49	272	

Daten für Maximalfarbe (Ma):

$LAB^*LAB^*_{Ma}$: 77 12 70

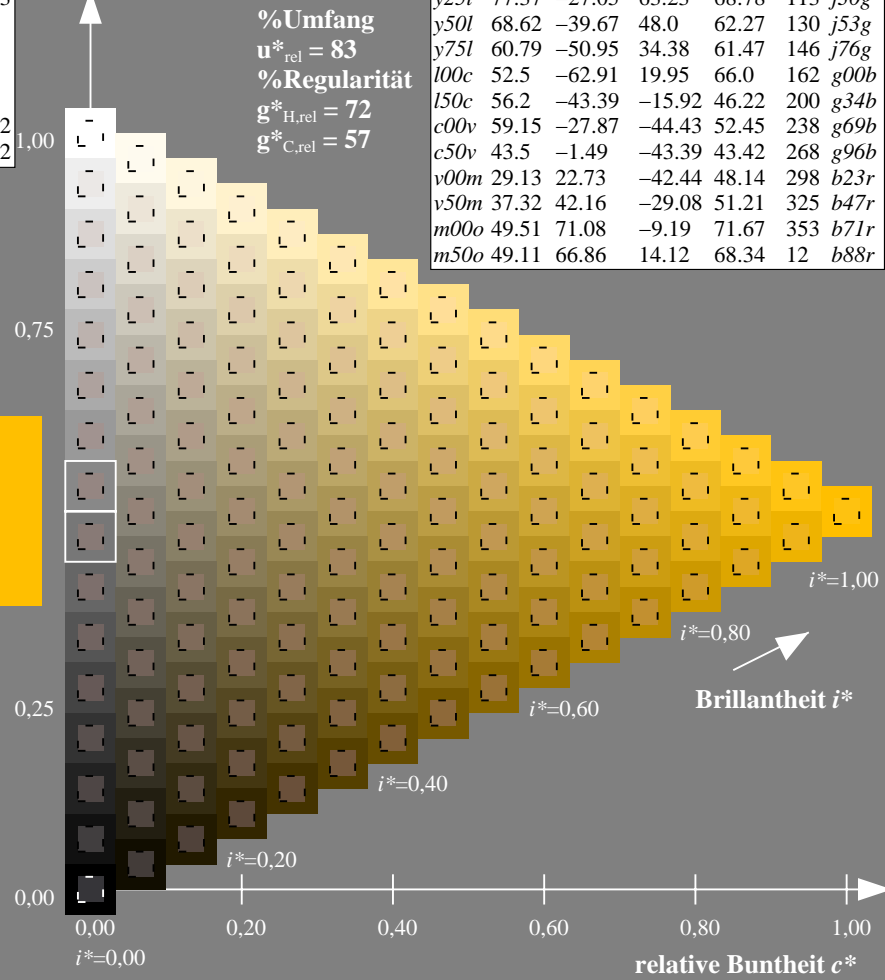
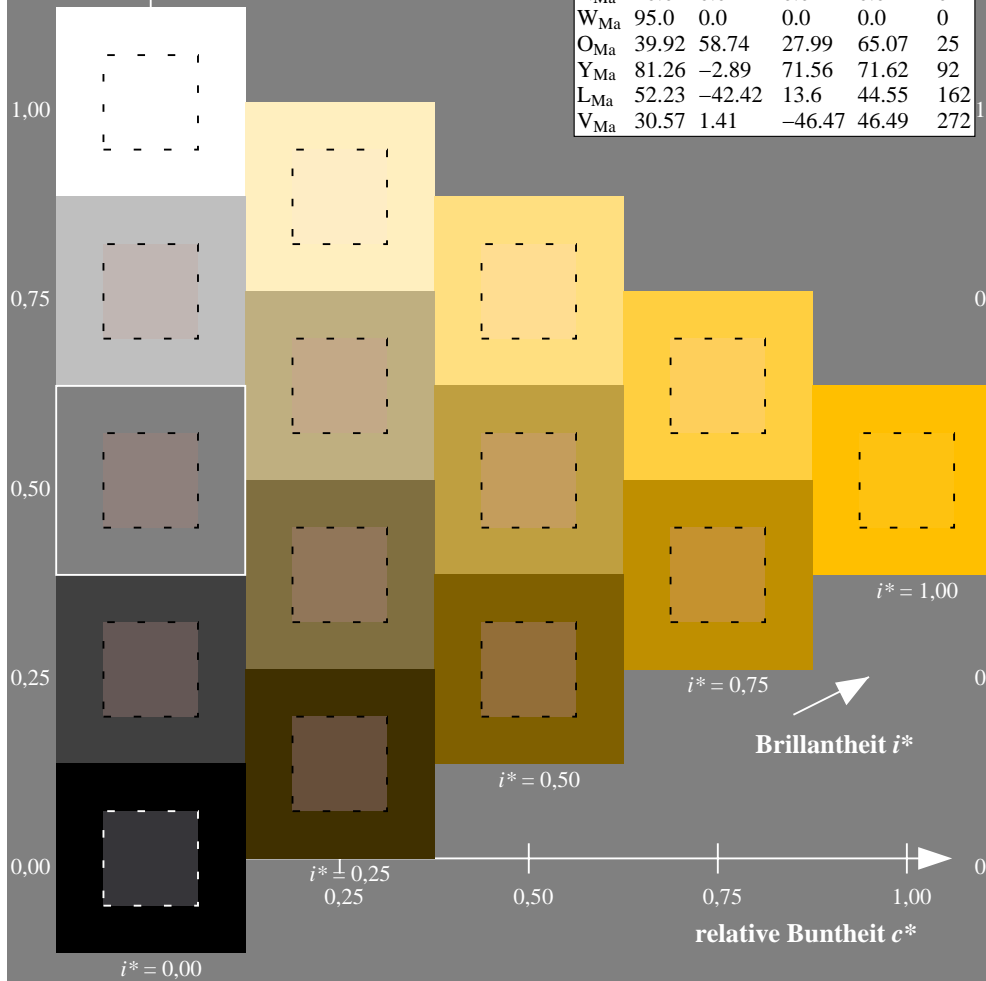
$LAB^*LCH^*_{Ma}$: 77 71 80

$lab^*olv^*_{Ma}$: 1.0 0.75 0.0

$lab^*rgb^*_{Ma}$: 1.0 0.82 0.0

Dreiecks-Helligkeit t^*

ORS20_95a; adaptierte CIELAB-Daten							
u^*_d	$L^*=L^*_a$	a^*_a	b^*_a	$C^*_{ab,a}$	$h^*_{ab,a}$	u^*_e	
<i>o00y</i>	48.71	62.56	37.91	73.15	31	<i>r08j</i>	
<i>o25y</i>	58.6	44.87	49.14	66.54	48	<i>r33j</i>	
<i>o50y</i>	67.52	28.93	59.25	65.94	64	<i>r57j</i>	
<i>o75y</i>	77.05	11.9	70.06	71.06	80	<i>r8lj</i>	
<i>y00l</i>	89.25	-9.92	83.91	84.49	97	<i>j06g</i>	
<i>y25l</i>	77.37	-27.05	63.23	68.78	113	<i>j30g</i>	
<i>y50l</i>	68.62	-39.67	48.0	62.27	130	<i>j53g</i>	
<i>y75l</i>	60.79	-50.95	34.38	61.47	146	<i>j76g</i>	
<i>l00c</i>	52.5	-62.91	19.95	66.0	162	<i>g00b</i>	
<i>l50c</i>	56.2	-43.39	-15.92	46.22	200	<i>g34b</i>	
<i>c00v</i>	59.15	-27.87	-44.43	52.45	238	<i>g69b</i>	
<i>c50v</i>	43.5	-1.49	-43.39	43.42	268	<i>g96b</i>	
<i>v00m</i>	29.13	22.73	-42.44	48.14	298	<i>b23r</i>	
<i>v50m</i>	37.32	42.16	-29.08	51.21	325	<i>b47r</i>	
<i>m00o</i>	49.51	71.08	-9.19	71.67	353	<i>b71r</i>	
<i>m50o</i>	49.11	66.86	14.12	68.34	12	<i>b88r</i>	



Daten für jede Farbe:

lab^*tch^* und lab^*icu^*

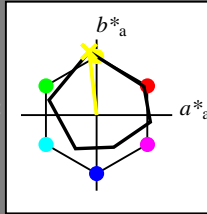
Buntontexte:

$u^*_d = y00l$ $u^*_e = j06g$

Kontrastreduzierungsfaktor:

$c_R = 0.96$

Dreiecks-Helligkeit t^*



ORS20_95a; adaptierte CIELAB-Daten						
u^*_d	$L^*=L^*_a$	a^*_a	b^*_a	$C^*_{ab,a}$	$h^*_{ab,a}$	
O _{Ma}	48.71	62.56	37.91	73.15	31	
Y _{Ma}	89.25	-9.92	83.91	84.49	97	
L _{Ma}	52.5	-62.91	19.95	66.0	162	
C _{Ma}	59.15	-27.87	-44.43	52.45	238	
V _{Ma}	29.13	22.73	-42.44	48.14	298	
M _{Ma}	49.51	71.08	-9.19	71.67	353	
N _{Ma}	20.0	0.0	0.0	0.0	0	
W _{Ma}	95.0	0.0	0.0	0.0	0	
O _{Ma}	39.92	58.74	27.99	65.07	25	
Y _{Ma}	81.26	-2.89	71.56	71.62	92	
L _{Ma}	52.23	-42.42	13.6	44.55	162	
V _{Ma}	30.57	1.41	-46.47	46.49	272	

Daten für Maximalfarbe (Ma):

$LAB^*LAB^*_Ma: 89 -10 84$

$LAB^*LCH^*_Ma: 89 84 96$

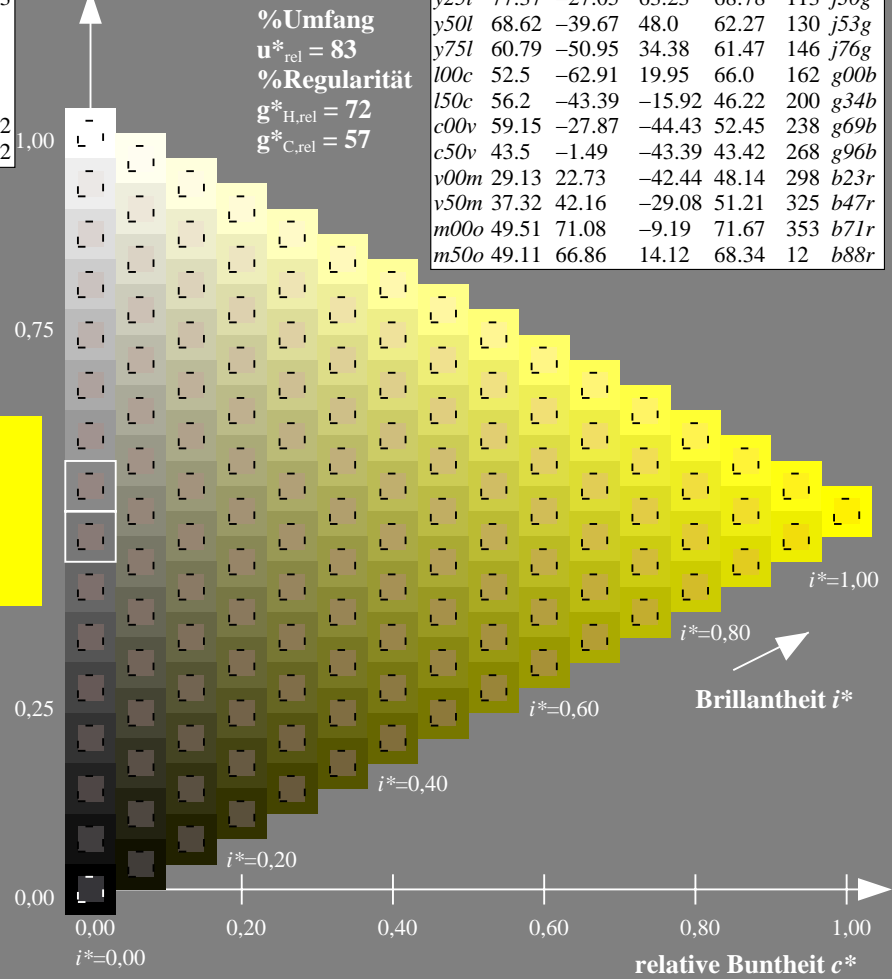
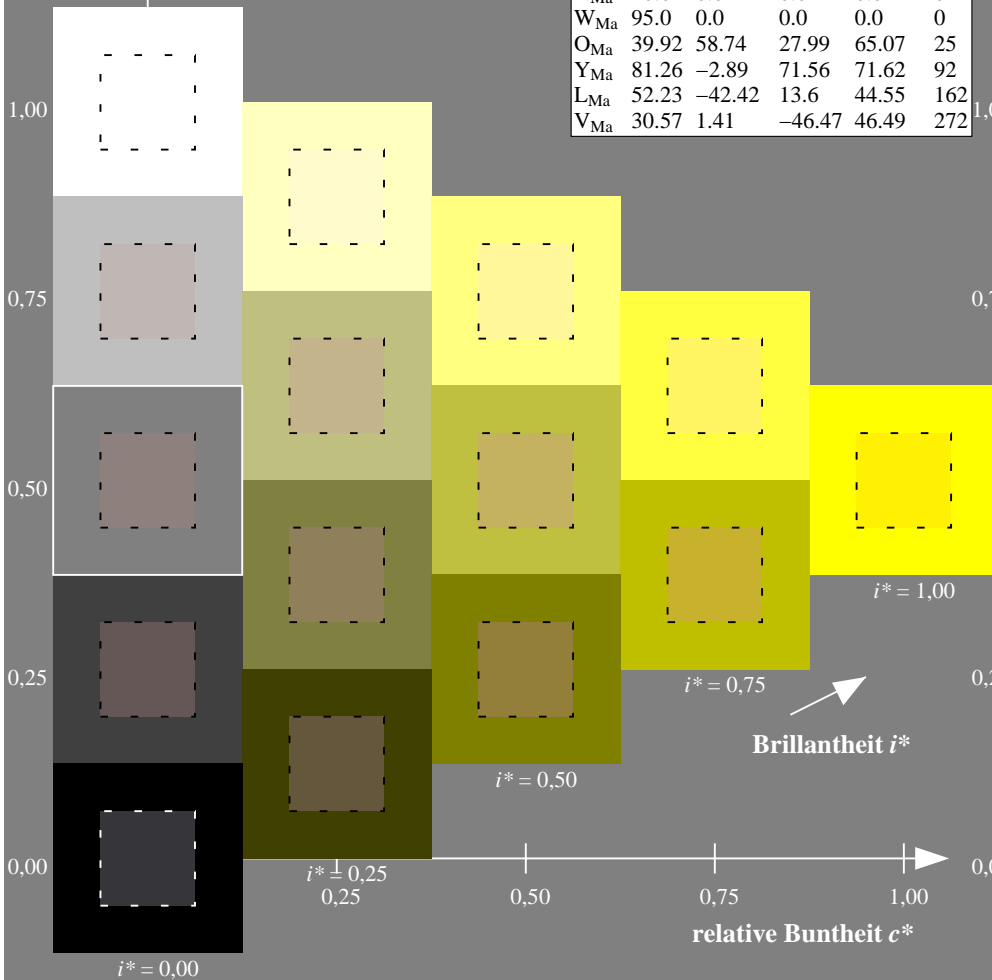
$lab^*olv^*_Ma: 1.0 1.0 0.0$

$lab^*rgb^*_Ma: 0.94 1.0 0.0$

Dreiecks-Helligkeit t^*

ORS20_95a; adaptierte CIELAB-Daten

u^*_d	$L^*=L^*_a$	a^*_a	b^*_a	$C^*_{ab,a}$	$h^*_{ab,a}$	u^*_e
<i>o00y</i>	48.71	62.56	37.91	73.15	31	<i>r08j</i>
<i>o25y</i>	58.6	44.87	49.14	66.54	48	<i>r33j</i>
<i>o50y</i>	67.52	28.93	59.25	65.94	64	<i>r57j</i>
<i>o75y</i>	77.05	11.9	70.06	71.06	80	<i>r81j</i>
<i>y00l</i>	89.25	-9.92	83.91	84.49	97	<i>j06g</i>
<i>y25l</i>	77.37	-27.05	63.23	68.78	113	<i>j30g</i>
<i>y50l</i>	68.62	-39.67	48.0	62.27	130	<i>j53g</i>
<i>y75l</i>	60.79	-50.95	34.38	61.47	146	<i>j76g</i>
<i>l00c</i>	52.5	-62.91	19.95	66.0	162	<i>g00b</i>
<i>l50c</i>	56.2	-43.39	-15.92	46.22	200	<i>g34b</i>
<i>c00v</i>	59.15	-27.87	-44.43	52.45	238	<i>g69b</i>
<i>c50v</i>	43.5	-1.49	-43.39	43.42	268	<i>g96b</i>
<i>v00m</i>	29.13	22.73	-42.44	48.14	298	<i>b23r</i>
<i>v50m</i>	37.32	42.16	-29.08	51.21	325	<i>b47r</i>
<i>m00o</i>	49.51	71.08	-9.19	71.67	353	<i>b71r</i>
<i>m50o</i>	49.11	66.86	14.12	68.34	12	<i>b88r</i>



Ein und Ausgabe: Farbmatisches Drucker-Reflektiv-System ORS20_95a für relativen CIELAB-Bunton $h^* = lab^*h^* = h_{ab}/360 = 0.314$

$u^*_d = y25l$

Daten für jede Farbe:

lab^*tch^* und lab^*icu^*

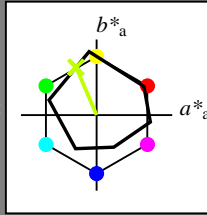
Buntontexte:

$u^*_d = y25l$ $u^*_e = j30g$

Kontrastreduzierungsfaktor:

$c_R = 0.96$

Dreiecks-Helligkeit t^*



ORS20_95a; adaptierte CIELAB-Daten						
u^*_d	$L^*=L^*_a$	a^*_a	b^*_a	$C^*_{ab,a}$	$h^*_{ab,a}$	
O _{Ma}	48.71	62.56	37.91	73.15	31	
Y _{Ma}	89.25	-9.92	83.91	84.49	97	
L _{Ma}	52.5	-62.91	19.95	66.0	162	
C _{Ma}	59.15	-27.87	-44.43	52.45	238	
V _{Ma}	29.13	22.73	-42.44	48.14	298	
M _{Ma}	49.51	71.08	-9.19	71.67	353	
N _{Ma}	20.0	0.0	0.0	0.0	0	
W _{Ma}	95.0	0.0	0.0	0.0	0	
O _{Ma}	39.92	58.74	27.99	65.07	25	
Y _{Ma}	81.26	-2.89	71.56	71.62	92	
L _{Ma}	52.23	-42.42	13.6	44.55	162	
V _{Ma}	30.57	1.41	-46.47	46.49	272	

Daten für Maximalfarbe (Ma):

$LAB^*LAB^*_{Ma}: 77 -27 63$

$LAB^*LCH^*_{Ma}: 77 69 113$

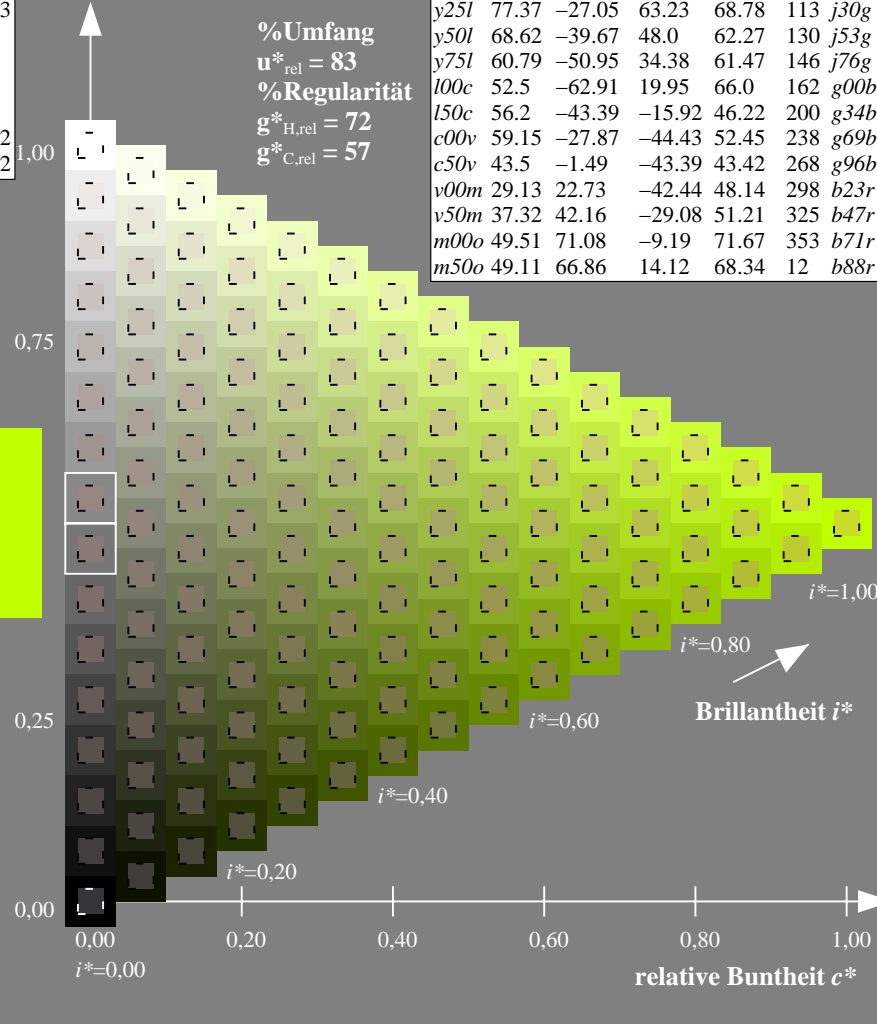
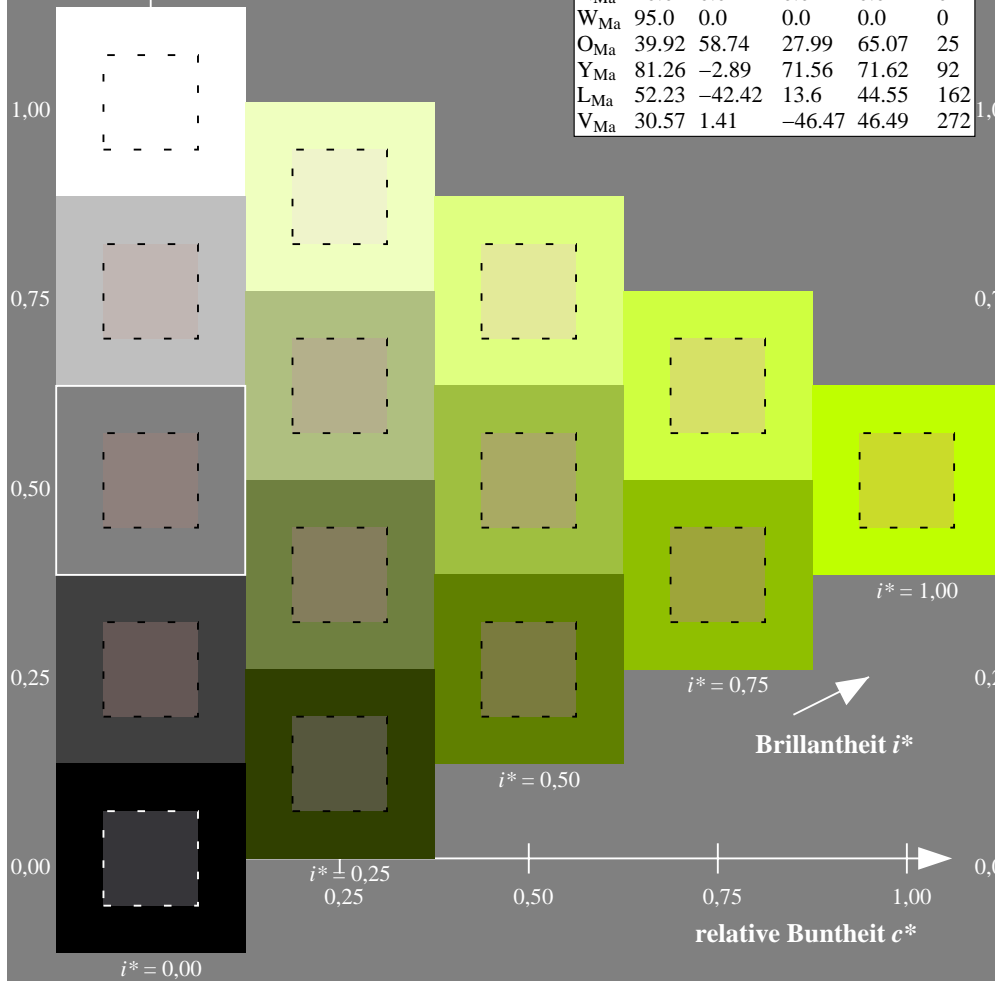
$lab^*olv^*_{Ma}: 0.75 1.0 0.0$

$lab^*rgb^*_{Ma}: 0.7 1.0 0.0$

Dreiecks-Helligkeit t^*

ORS20_95a; adaptierte CIELAB-Daten

u^*_d	$L^*=L^*_a$	a^*_a	b^*_a	$C^*_{ab,a}$	$h^*_{ab,a}$	u^*_e
<i>o00y</i>	48.71	62.56	37.91	73.15	31	<i>r08j</i>
<i>o25y</i>	58.6	44.87	49.14	66.54	48	<i>r33j</i>
<i>o50y</i>	67.52	28.93	59.25	65.94	64	<i>r57j</i>
<i>o75y</i>	77.05	11.9	70.06	71.06	80	<i>r81j</i>
<i>y00l</i>	89.25	-9.92	83.91	84.49	97	<i>j06g</i>
<i>y25l</i>	77.37	-27.05	63.23	68.78	113	<i>j30g</i>
<i>y50l</i>	68.62	-39.67	48.0	62.27	130	<i>j53g</i>
<i>y75l</i>	60.79	-50.95	34.38	61.47	146	<i>j76g</i>
<i>l00c</i>	52.5	-62.91	19.95	66.0	162	<i>g00b</i>
<i>l50c</i>	56.2	-43.39	-15.92	46.22	200	<i>g34b</i>
<i>c00v</i>	59.15	-27.87	-44.43	52.45	238	<i>g69b</i>
<i>c50v</i>	43.5	-1.49	-43.39	43.42	268	<i>g96b</i>
<i>v00m</i>	29.13	22.73	-42.44	48.14	298	<i>b23r</i>
<i>v50m</i>	37.32	42.16	-29.08	51.21	325	<i>b47r</i>
<i>m00o</i>	49.51	71.08	-9.19	71.67	353	<i>b71r</i>
<i>m50o</i>	49.11	66.86	14.12	68.34	12	<i>b88r</i>



Ein und Ausgabe: Farbmatisches Drucker-Reflektiv-System ORS20_95a für relativen CIELAB-Bunton $h^* = lab^*h^* = h_{ab}/360 = 0.36$

$u^*_d = y50l$

Daten für jede Farbe:

lab^*tch^* und lab^*icu^*

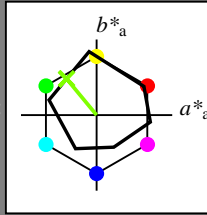
Buntontexte:

$u^*_d = y50l$ $u^*_e = j53g$

Kontrastreduzierungsfaktor:

$c_R = 0.96$

Dreiecks-Helligkeit t^*



ORS20_95a; adaptierte CIELAB-Daten

u^*_d	$L^*=L^*_a$	a^*_a	b^*_a	$C^*_{ab,a}$	$h^*_{ab,a}$
O _{Ma}	48.71	62.56	37.91	73.15	31
Y _{Ma}	89.25	-9.92	83.91	84.49	97
L _{Ma}	52.5	-62.91	19.95	66.0	162
C _{Ma}	59.15	-27.87	-44.43	52.45	238
V _{Ma}	29.13	22.73	-42.44	48.14	298
M _{Ma}	49.51	71.08	-9.19	71.67	353
N _{Ma}	20.0	0.0	0.0	0.0	0
W _{Ma}	95.0	0.0	0.0	0.0	0
O _{Ma}	39.92	58.74	27.99	65.07	25
Y _{Ma}	81.26	-2.89	71.56	71.62	92
L _{Ma}	52.23	-42.42	13.6	44.55	162
V _{Ma}	30.57	1.41	-46.47	46.49	272

Daten für Maximalfarbe (Ma):

$LAB^*LAB^*_{Ma}$: 69 -40 48

$LAB^*LCH^*_{Ma}$: 69 62 129

$lab^*olv^*_{Ma}$: 0.5 1.0 0.0

$lab^*rgb^*_{Ma}$: 0.47 1.0 0.0

Dreiecks-Helligkeit t^*

%Umfang

$u^*_{rel} = 83$

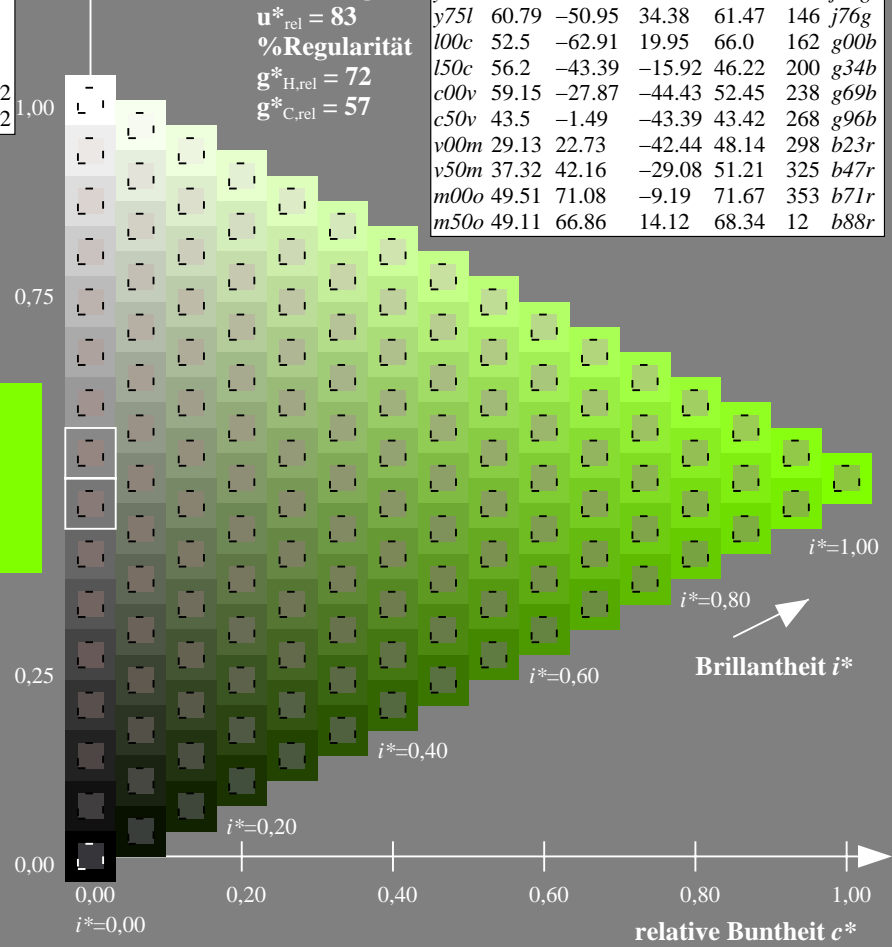
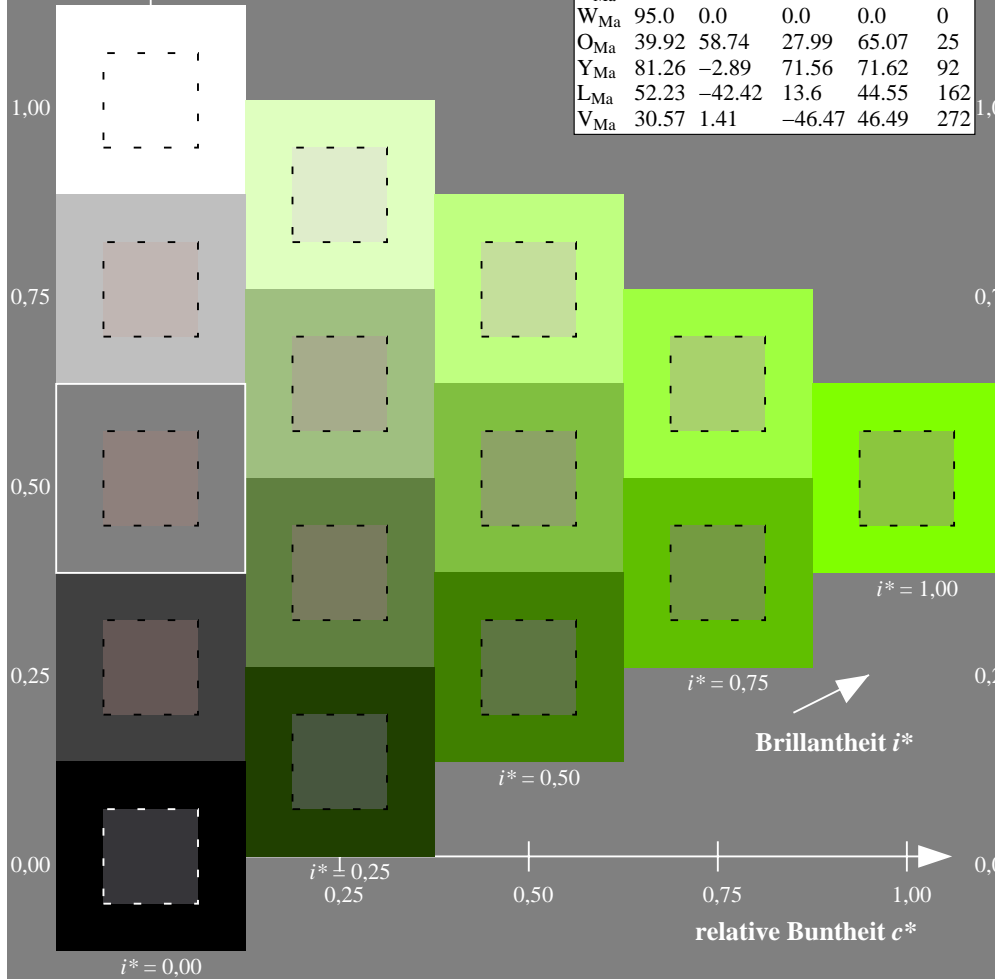
%Regularität

$g^*_{H,rel} = 72$

$g^*_{C,rel} = 57$

ORS20_95a; adaptierte CIELAB-Daten

u^*_d	$L^*=L^*_a$	a^*_a	b^*_a	$C^*_{ab,a}$	$h^*_{ab,a}$	u^*_e
<i>o00y</i>	48.71	62.56	37.91	73.15	31	<i>r08j</i>
<i>o25y</i>	58.6	44.87	49.14	66.54	48	<i>r33j</i>
<i>o50y</i>	67.52	28.93	59.25	65.94	64	<i>r57j</i>
<i>o75y</i>	77.05	11.9	70.06	71.06	80	<i>r81j</i>
<i>y00l</i>	89.25	-9.92	83.91	84.49	97	<i>j06g</i>
<i>y25l</i>	77.37	-27.05	63.23	68.78	113	<i>j30g</i>
<i>y50l</i>	68.62	-39.67	48.0	62.27	130	<i>j53g</i>
<i>y75l</i>	60.79	-50.95	34.38	61.47	146	<i>j76g</i>
<i>l00c</i>	52.5	-62.91	19.95	66.0	162	<i>g00b</i>
<i>l50c</i>	56.2	-43.39	-15.92	46.22	200	<i>g34b</i>
<i>c00v</i>	59.15	-27.87	-44.43	52.45	238	<i>g69b</i>
<i>c50v</i>	43.5	-1.49	-43.39	43.42	268	<i>g96b</i>
<i>v00m</i>	29.13	22.73	-42.44	48.14	298	<i>b23r</i>
<i>v50m</i>	37.32	42.16	-29.08	51.21	325	<i>b47r</i>
<i>m00o</i>	49.51	71.08	-9.19	71.67	353	<i>b71r</i>
<i>m50o</i>	49.11	66.86	14.12	68.34	12	<i>b88r</i>



Ein und Ausgabe: Farbmatisches Drucker-Reflektiv-System ORS20_95a für relativen CIELAB-Bunton $h^* = lab^*h^* = h_{ab}/360 = 0.406$

$u^*_d = y75l$

Daten für jede Farbe:

lab^*tch^* und lab^*icu^*

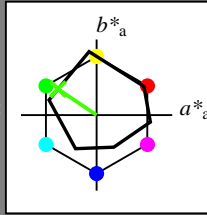
Buntontexte:

$u^*_d = y75l$ $u^*_e = j76g$

Kontrastreduzierungsfaktor:

$c_R = 0.96$

Dreiecks-Helligkeit t^*



ORS20_95a; adaptierte CIELAB-Daten						
u^*_d	$L^*=L^*_a$	a^*_a	b^*_a	$C^*_{ab,a}$	$h^*_{ab,a}$	
O _{Ma}	48.71	62.56	37.91	73.15	31	
Y _{Ma}	89.25	-9.92	83.91	84.49	97	
L _{Ma}	52.5	-62.91	19.95	66.0	162	
C _{Ma}	59.15	-27.87	-44.43	52.45	238	
V _{Ma}	29.13	22.73	-42.44	48.14	298	
M _{Ma}	49.51	71.08	-9.19	71.67	353	
N _{Ma}	20.0	0.0	0.0	0.0	0	
W _{Ma}	95.0	0.0	0.0	0.0	0	
O _{Ma}	39.92	58.74	27.99	65.07	25	
Y _{Ma}	81.26	-2.89	71.56	71.62	92	
L _{Ma}	52.23	-42.42	13.6	44.55	162	
V _{Ma}	30.57	1.41	-46.47	46.49	272	

Daten für Maximalfarbe (Ma):

$LAB^*LAB^*_{Ma}$: 61 -51 34

$LAB^*LCH^*_{Ma}$: 61 61 145

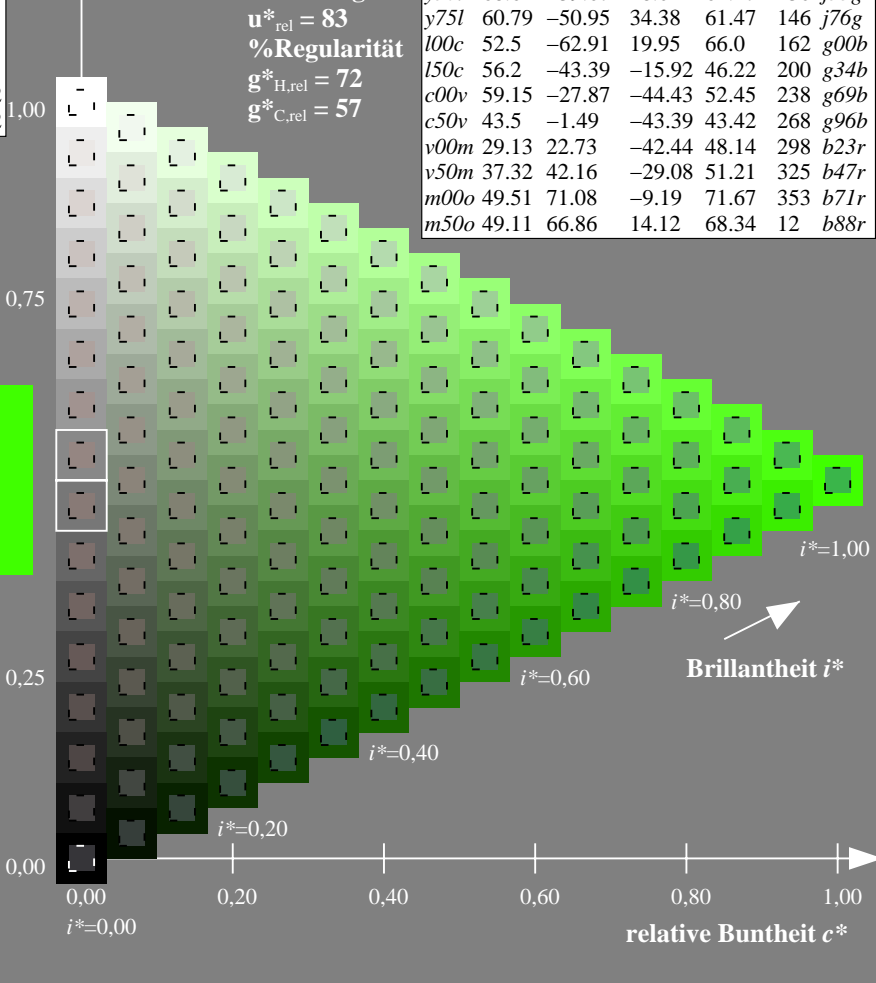
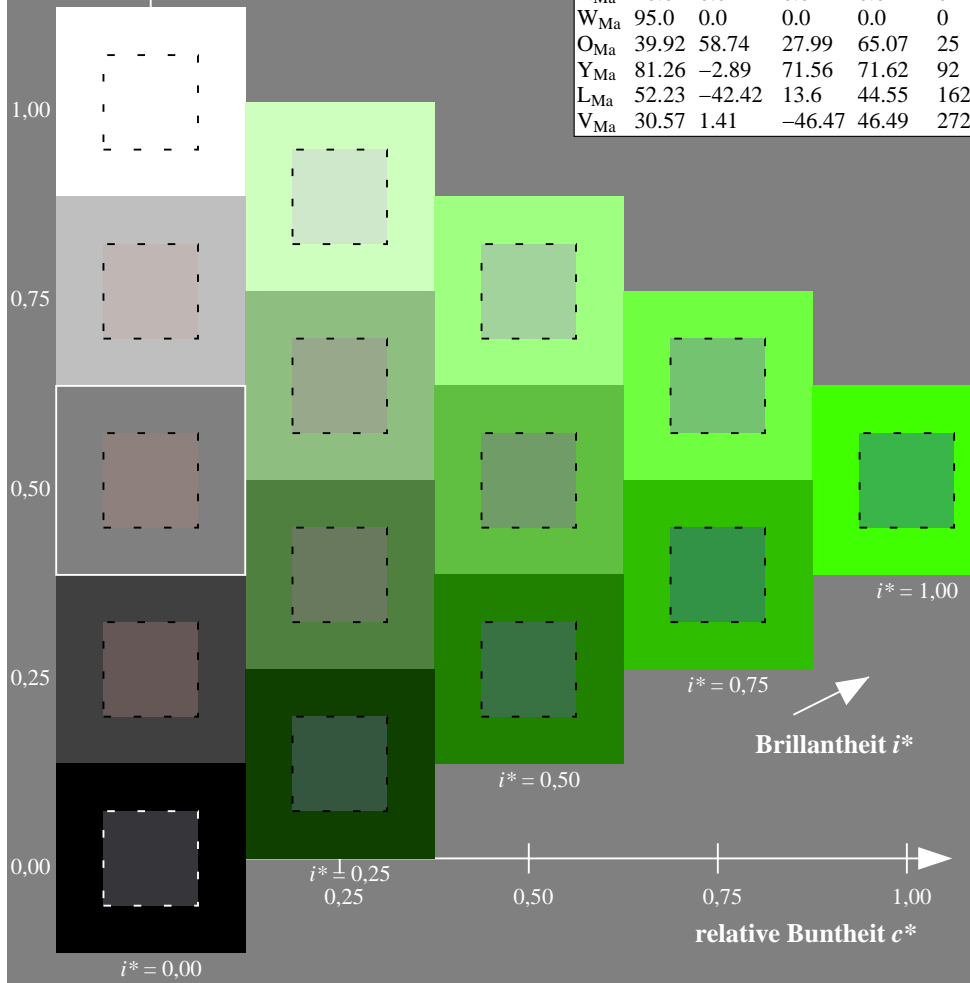
$lab^*olv^*_{Ma}$: 0.25 1.0 0.0

$lab^*rgb^*_{Ma}$: 0.23 1.0 0.0

Dreiecks-Helligkeit t^*

ORS20_95a; adaptierte CIELAB-Daten

u^*_d	$L^*=L^*_a$	a^*_a	b^*_a	$C^*_{ab,a}$	$h^*_{ab,a}$	u^*_e
<i>o00y</i>	48.71	62.56	37.91	73.15	31	<i>r08j</i>
<i>o25y</i>	58.6	44.87	49.14	66.54	48	<i>r33j</i>
<i>o50y</i>	67.52	28.93	59.25	65.94	64	<i>r57j</i>
<i>o75y</i>	77.05	11.9	70.06	71.06	80	<i>r81j</i>
<i>y00l</i>	89.25	-9.92	83.91	84.49	97	<i>j06g</i>
<i>y25l</i>	77.37	-27.05	63.23	68.78	113	<i>j30g</i>
<i>y50l</i>	68.62	-39.67	48.0	62.27	130	<i>j53g</i>
<i>y75l</i>	60.79	-50.95	34.38	61.47	146	<i>j76g</i>
<i>l00c</i>	52.5	-62.91	19.95	66.0	162	<i>g00b</i>
<i>l50c</i>	56.2	-43.39	-15.92	46.22	200	<i>g34b</i>
<i>c00v</i>	59.15	-27.87	-44.43	52.45	238	<i>g69b</i>
<i>c50v</i>	43.5	-1.49	-43.39	43.42	268	<i>g96b</i>
<i>v00m</i>	29.13	22.73	-42.44	48.14	298	<i>b23r</i>
<i>v50m</i>	37.32	42.16	-29.08	51.21	325	<i>b47r</i>
<i>m00o</i>	49.51	71.08	-9.19	71.67	353	<i>b71r</i>
<i>m50o</i>	49.11	66.86	14.12	68.34	12	<i>b88r</i>



%Umfang
 $u^*_{rel} = 83$
 %Regularität
 $g^*_{H,rel} = 72$
 $g^*_{C,rel} = 57$

Ein und Ausgabe: Farbmatisches Drucker-Reflektiv-System ORS20_95a für relativen CIELAB-Bunton $h^* = \text{lab}^*h^* = h_{ab}/360 = 0.451$

$u^*_d = 100c$

Daten für jede Farbe:

lab^*tch^* und lab^*icu^*

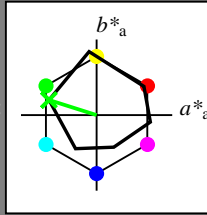
Buntontexte:

$u^*_d = 100c$ $u^*_e = g00b$

Kontrastreduzierungsfaktor:

$c_R = 0.96$

Dreiecks-Helligkeit t^*



ORS20_95a; adaptierte CIELAB-Daten

u^*_d	$L^*=L^*_a$	a^*_a	b^*_a	$C^*_{ab,a}$	$h^*_{ab,a}$
O _{Ma}	48.71	62.56	37.91	73.15	31
Y _{Ma}	89.25	-9.92	83.91	84.49	97
L _{Ma}	52.5	-62.91	19.95	66.0	162
C _{Ma}	59.15	-27.87	-44.43	52.45	238
V _{Ma}	29.13	22.73	-42.44	48.14	298
M _{Ma}	49.51	71.08	-9.19	71.67	353
N _{Ma}	20.0	0.0	0.0	0.0	0
W _{Ma}	95.0	0.0	0.0	0.0	0
O _{Ma}	39.92	58.74	27.99	65.07	25
Y _{Ma}	81.26	-2.89	71.56	71.62	92
L _{Ma}	52.23	-42.42	13.6	44.55	162
V _{Ma}	30.57	1.41	-46.47	46.49	272

Daten für Maximalfarbe (Ma):

$\text{LAB}^*\text{LAB}^*_{Ma}: 52 -63 20$

$\text{LAB}^*\text{LCH}^*_{Ma}: 52 66 162$

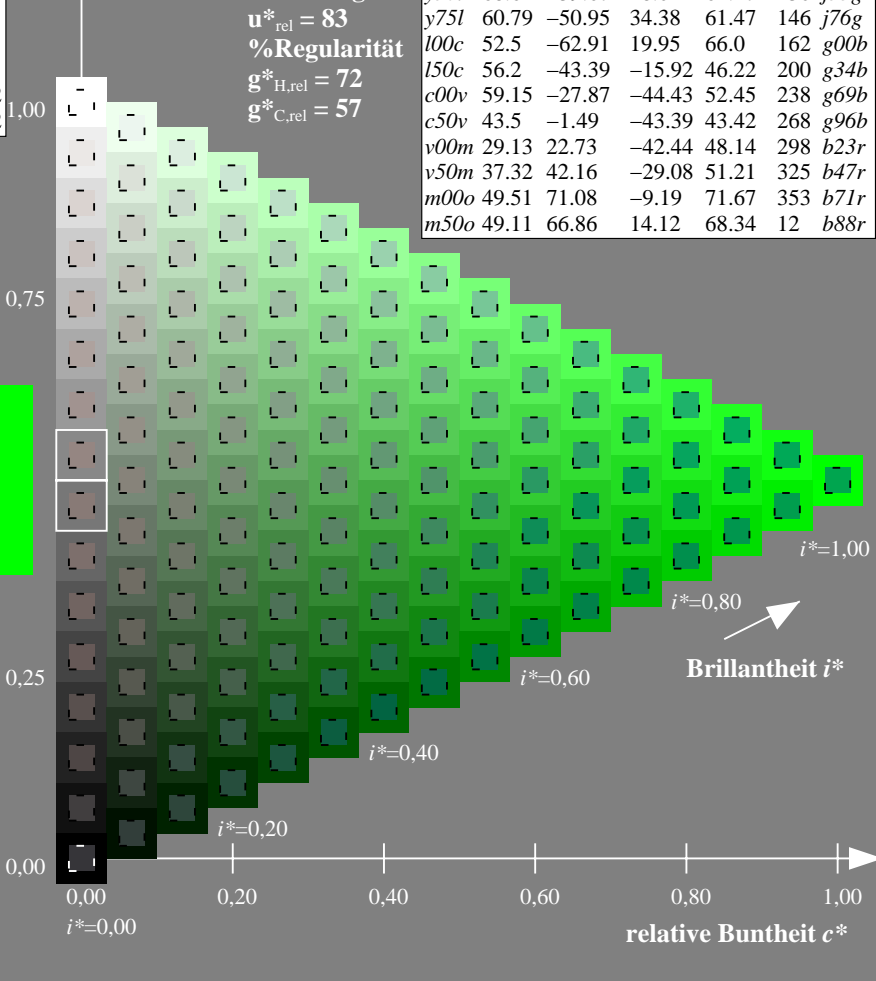
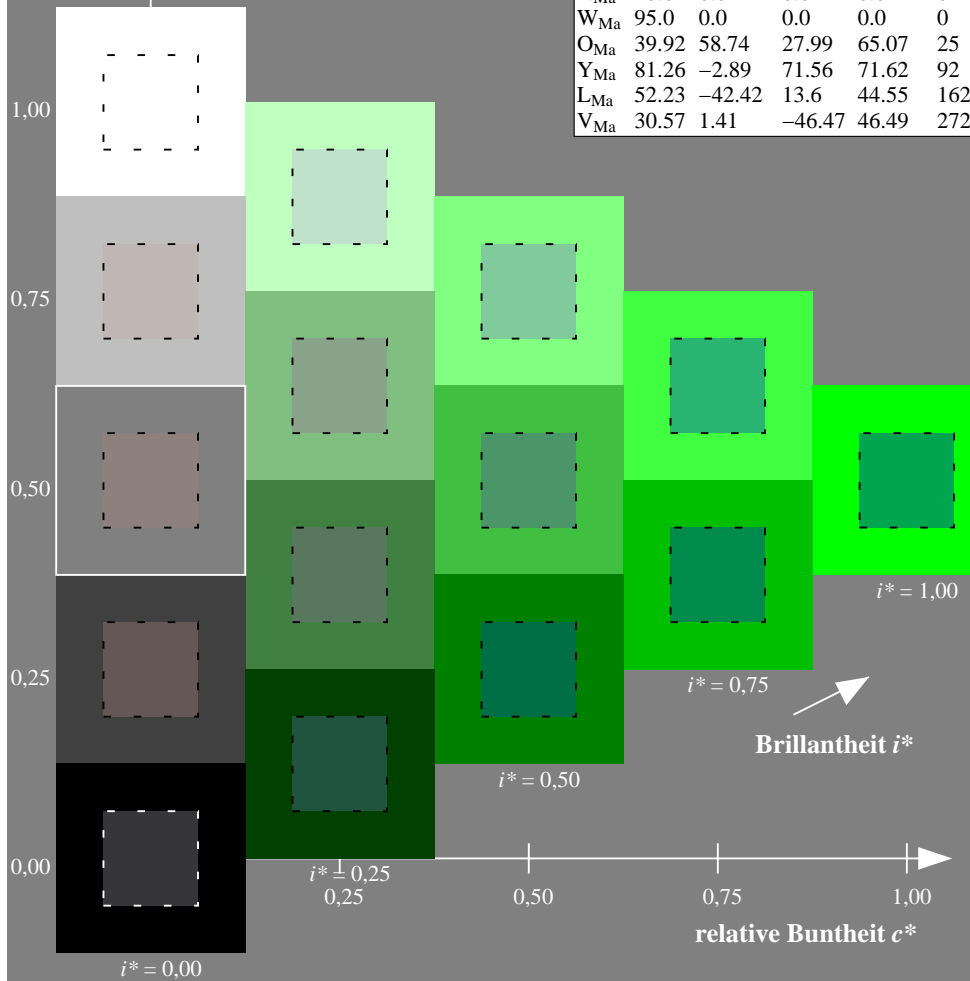
$\text{lab}^*\text{olv}^*_{Ma}: 0.0 1.0 0.0$

$\text{lab}^*\text{rgb}^*_{Ma}: 0.0 1.0 0.0$

Dreiecks-Helligkeit t^*

ORS20_95a; adaptierte CIELAB-Daten

u^*_d	$L^*=L^*_a$	a^*_a	b^*_a	$C^*_{ab,a}$	$h^*_{ab,a}$	u^*_e
<i>o00y</i>	48.71	62.56	37.91	73.15	31	<i>r08j</i>
<i>o25y</i>	58.6	44.87	49.14	66.54	48	<i>r33j</i>
<i>o50y</i>	67.52	28.93	59.25	65.94	64	<i>r57j</i>
<i>o75y</i>	77.05	11.9	70.06	71.06	80	<i>r81j</i>
<i>y00l</i>	89.25	-9.92	83.91	84.49	97	<i>j06g</i>
<i>y25l</i>	77.37	-27.05	63.23	68.78	113	<i>j30g</i>
<i>y50l</i>	68.62	-39.67	48.0	62.27	130	<i>j53g</i>
<i>y75l</i>	60.79	-50.95	34.38	61.47	146	<i>j76g</i>
<i>l00c</i>	52.5	-62.91	19.95	66.0	162	<i>g00b</i>
<i>l50c</i>	56.2	-43.39	-15.92	46.22	200	<i>g34b</i>
<i>c00v</i>	59.15	-27.87	-44.43	52.45	238	<i>g69b</i>
<i>c50v</i>	43.5	-1.49	-43.39	43.42	268	<i>g96b</i>
<i>v00m</i>	29.13	22.73	-42.44	48.14	298	<i>b23r</i>
<i>v50m</i>	37.32	42.16	-29.08	51.21	325	<i>b47r</i>
<i>m00o</i>	49.51	71.08	-9.19	71.67	353	<i>b71r</i>
<i>m50o</i>	49.11	66.86	14.12	68.34	12	<i>b88r</i>



Ein und Ausgabe: Farbmatisches Drucker-Reflektiv-System ORS20_95a für relativen CIELAB-Bunton $h^* = \text{lab}^*h^* = h_{ab}/360 = 0.556$

$u^*_d = 150c$

Daten für jede Farbe:

lab^*tch^* und lab^*icu^*

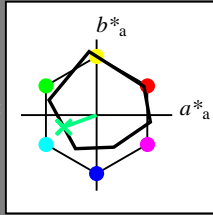
Buntontexte:

$u^*_d = 150c$ $u^*_e = g34b$

Kontrastreduzierungsfaktor:

$c_R = 0.96$

Dreiecks-Helligkeit t^*



ORS20_95a; adaptierte CIELAB-Daten						
u^*_d	$L^*=L^*_a$	a^*_a	b^*_a	$C^*_{ab,a}$	$h^*_{ab,a}$	
O _{Ma}	48.71	62.56	37.91	73.15	31	
Y _{Ma}	89.25	-9.92	83.91	84.49	97	
L _{Ma}	52.5	-62.91	19.95	66.0	162	
C _{Ma}	59.15	-27.87	-44.43	52.45	238	
V _{Ma}	29.13	22.73	-42.44	48.14	298	
M _{Ma}	49.51	71.08	-9.19	71.67	353	
N _{Ma}	20.0	0.0	0.0	0.0	0	
W _{Ma}	95.0	0.0	0.0	0.0	0	
O _{Ma}	39.92	58.74	27.99	65.07	25	
Y _{Ma}	81.26	-2.89	71.56	71.62	92	
L _{Ma}	52.23	-42.42	13.6	44.55	162	
V _{Ma}	30.57	1.41	-46.47	46.49	272	

Daten für Maximalfarbe (Ma):

$\text{LAB}^*\text{LAB}^*_{Ma}$: 56 -43 -16

$\text{LAB}^*\text{LCH}^*_{Ma}$: 56 46 200

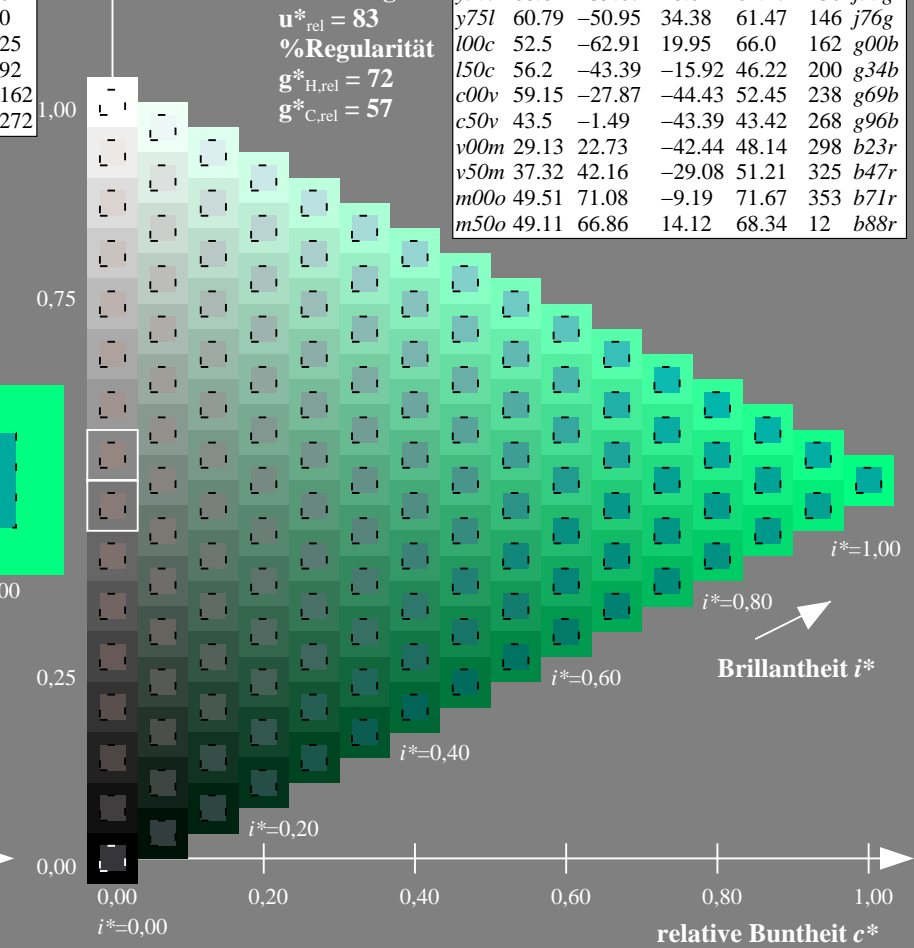
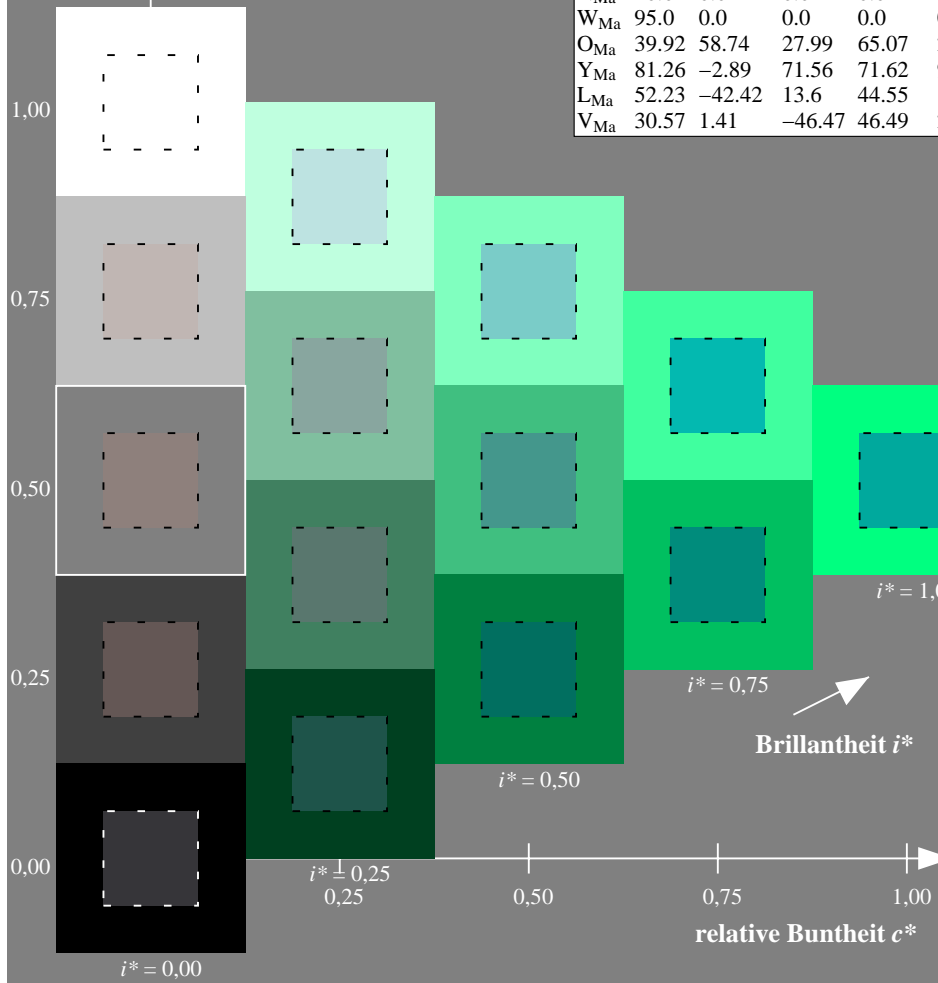
$\text{lab}^*\text{olv}^*_{Ma}$: 0.0 1.0 0.5

$\text{lab}^*\text{rgb}^*_{Ma}$: 0.0 1.0 0.69

Dreiecks-Helligkeit t^*

ORS20_95a; adaptierte CIELAB-Daten

u^*_d	$L^*=L^*_a$	a^*_a	b^*_a	$C^*_{ab,a}$	$h^*_{ab,a}$	u^*_e
o00y	48.71	62.56	37.91	73.15	31	r08j
o25y	58.6	44.87	49.14	66.54	48	r33j
o50y	67.52	28.93	59.25	65.94	64	r57j
o75y	77.05	11.9	70.06	71.06	80	r81j
y00l	89.25	-9.92	83.91	84.49	97	j06g
y25l	77.37	-27.05	63.23	68.78	113	j30g
y50l	68.62	-39.67	48.0	62.27	130	j53g
y75l	60.79	-50.95	34.38	61.47	146	j76g
l00c	52.5	-62.91	19.95	66.0	162	g00b
l50c	56.2	-43.39	-15.92	46.22	200	g34b
c00v	59.15	-27.87	-44.43	52.45	238	g69b
c50v	43.5	-1.49	-43.39	43.42	268	g96b
v00m	29.13	22.73	-42.44	48.14	298	b23r
v50m	37.32	42.16	-29.08	51.21	325	b47r
m00o	49.51	71.08	-9.19	71.67	353	b71r
m50o	49.11	66.86	14.12	68.34	12	b88r



Ein und Ausgabe: Farbmatisches Drucker-Reflektiv-System ORS20_95a für relativen CIELAB-Bunton $h^* = lab^*h^* = h_{ab}/360 = 0.661$

$u^*_d = c00v$

Daten für jede Farbe:

lab^*tch^* und lab^*icu^*

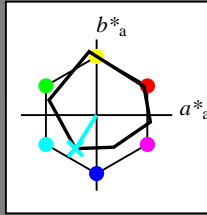
Buntontexte:

$u^*_d = c00v$ $u^*_e = g69b$

Kontrastreduzierungsfaktor:

$c_R = 0.96$

Dreiecks-Helligkeit t^*



ORS20_95a; adaptierte CIELAB-Daten						
u^*_d	$L^*=L^*_a$	a^*_a	b^*_a	$C^*_{ab,a}$	$h^*_{ab,a}$	
O _{Ma}	48.71	62.56	37.91	73.15	31	
Y _{Ma}	89.25	-9.92	83.91	84.49	97	
L _{Ma}	52.5	-62.91	19.95	66.0	162	
C _{Ma}	59.15	-27.87	-44.43	52.45	238	
V _{Ma}	29.13	22.73	-42.44	48.14	298	
M _{Ma}	49.51	71.08	-9.19	71.67	353	
N _{Ma}	20.0	0.0	0.0	0.0	0	
W _{Ma}	95.0	0.0	0.0	0.0	0	
O _{Ma}	39.92	58.74	27.99	65.07	25	
Y _{Ma}	81.26	-2.89	71.56	71.62	92	
L _{Ma}	52.23	-42.42	13.6	44.55	162	
V _{Ma}	30.57	1.41	-46.47	46.49	272	

Daten für Maximalfarbe (Ma):

$LAB^*LAB^*_{Ma}$: 59 -28 -44

$LAB^*LCH^*_{Ma}$: 59 52 237

$lab^*olv^*_{Ma}$: 0.0 1.0 1.0

$lab^*rgb^*_{Ma}$: 0.0 0.62 1.0

Dreiecks-Helligkeit t^*

%Umfang

$u^*_{rel} = 83$

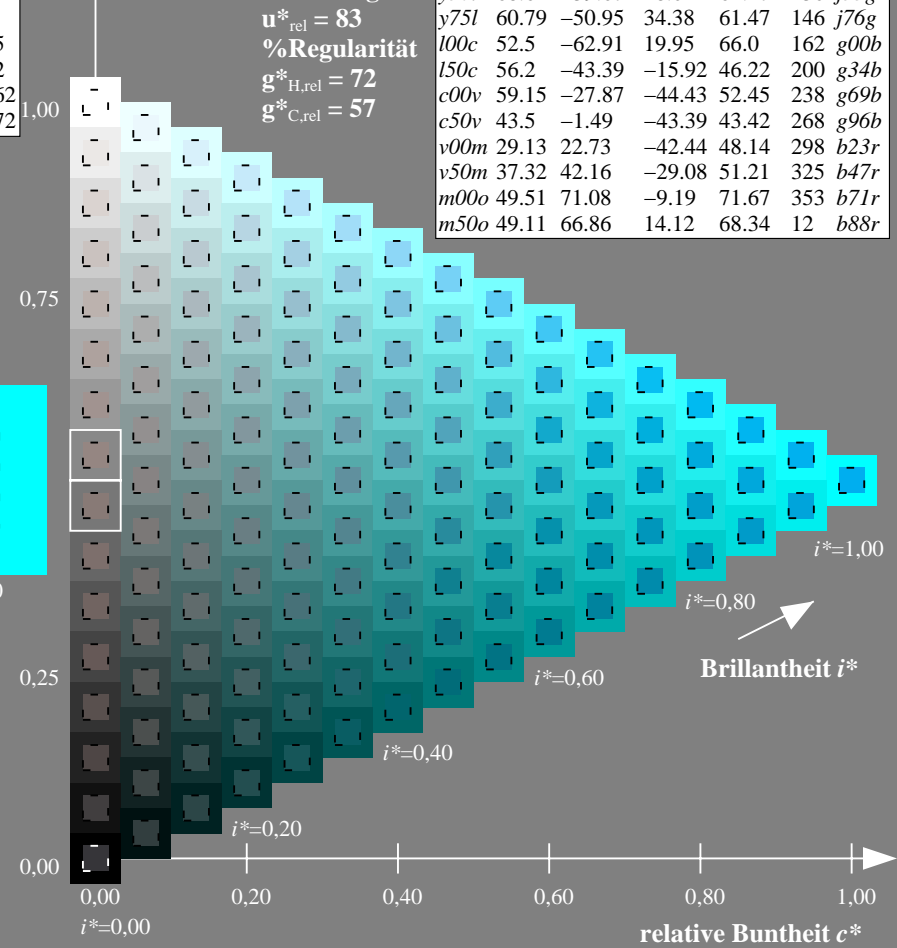
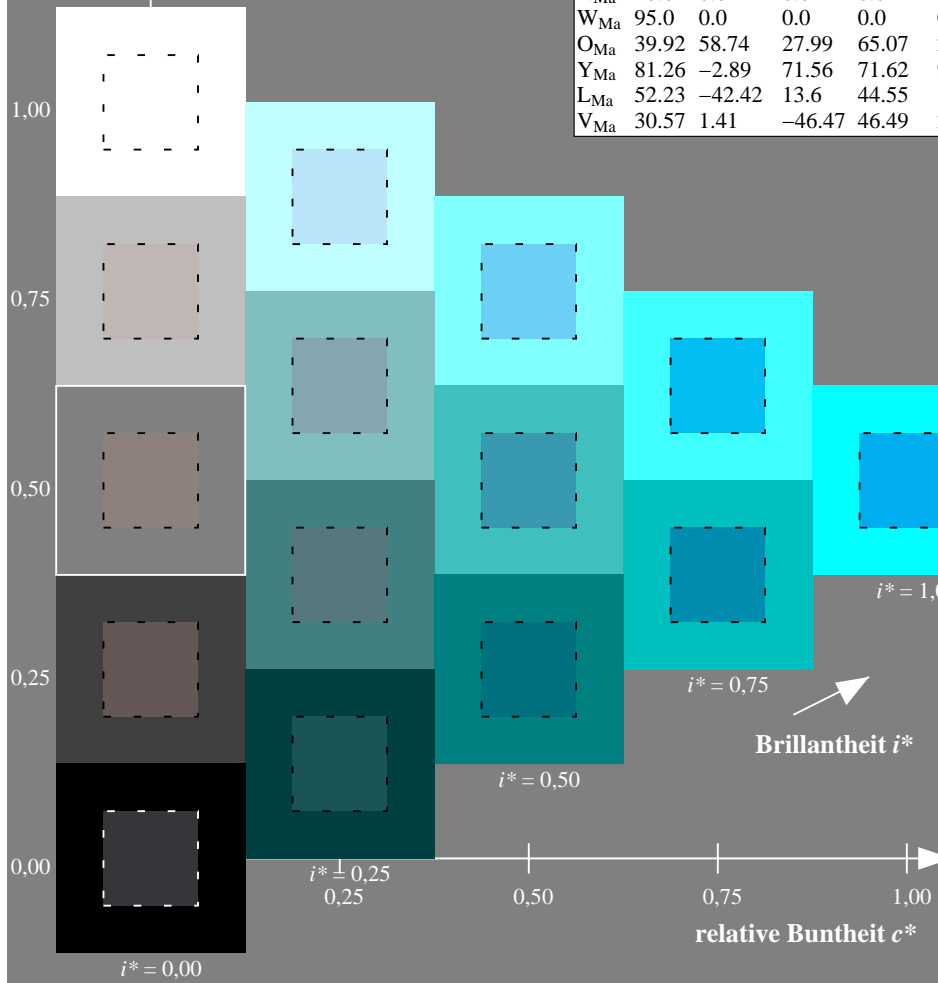
%Regularität

$g^*_{H,rel} = 72$

$g^*_{C,rel} = 57$

ORS20_95a; adaptierte CIELAB-Daten

u^*_d	$L^*=L^*_a$	a^*_a	b^*_a	$C^*_{ab,a}$	$h^*_{ab,a}$	u^*_e
o00y	48.71	62.56	37.91	73.15	31	r08j
o25y	58.6	44.87	49.14	66.54	48	r33j
o50y	67.52	28.93	59.25	65.94	64	r57j
o75y	77.05	11.9	70.06	71.06	80	r81j
y00l	89.25	-9.92	83.91	84.49	97	j06g
y25l	77.37	-27.05	63.23	68.78	113	j30g
y50l	68.62	-39.67	48.0	62.27	130	j53g
y75l	60.79	-50.95	34.38	61.47	146	j76g
l00c	52.5	-62.91	19.95	66.0	162	g00b
l50c	56.2	-43.39	-15.92	46.22	200	g34b
c00v	59.15	-27.87	-44.43	52.45	238	g69b
c50v	43.5	-1.49	-43.39	43.42	268	g96b
v00m	29.13	22.73	-42.44	48.14	298	b23r
v50m	37.32	42.16	-29.08	51.21	325	b47r
m00o	49.51	71.08	-9.19	71.67	353	b71r
m50o	49.11	66.86	14.12	68.34	12	b88r



Ein und Ausgabe: Farbmatisches Drucker-Reflektiv-System ORS20_95a für relativen CIELAB-Bunton $h^* = lab^*h^* = h_{ab}/360 = 0.745$

$u^*_d = c50v$

Daten für jede Farbe:

lab^*tch^* und lab^*icu^*

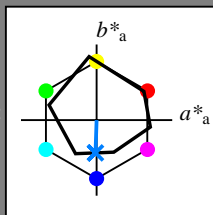
Bunntexte:

$u^*_d = c50v$ $u^*_e = g96b$

Kontrastreduzierungsfaktor:

$c_R = 0.96$

Dreiecks-Helligkeit t^*



ORS20_95a; adaptierte CIELAB-Daten

u^*_d	$L^*=L^*_a$	a^*_a	b^*_a	$C^*_{ab,a}$	$h^*_{ab,a}$
O _{Ma}	48.71	62.56	37.91	73.15	31
Y _{Ma}	89.25	-9.92	83.91	84.49	97
L _{Ma}	52.5	-62.91	19.95	66.0	162
C _{Ma}	59.15	-27.87	-44.43	52.45	238
V _{Ma}	29.13	22.73	-42.44	48.14	298
M _{Ma}	49.51	71.08	-9.19	71.67	353
N _{Ma}	20.0	0.0	0.0	0.0	0
W _{Ma}	95.0	0.0	0.0	0.0	0
O _{Ma}	39.92	58.74	27.99	65.07	25
Y _{Ma}	81.26	-2.89	71.56	71.62	92
L _{Ma}	52.23	-42.42	13.6	44.55	162
V _{Ma}	30.57	1.41	-46.47	46.49	272

Daten für Maximalfarbe (Ma):

$LAB^*LAB^*_{Ma}$: 43 -1 -43

$LAB^*LCH^*_{Ma}$: 43 43 268

$lab^*olv^*_{Ma}$: 0.0 0.5 1.0

$lab^*rgb^*_{Ma}$: 0.0 0.07 1.0

Dreiecks-Helligkeit t^*

%Umfang

$u^*_{rel} = 83$

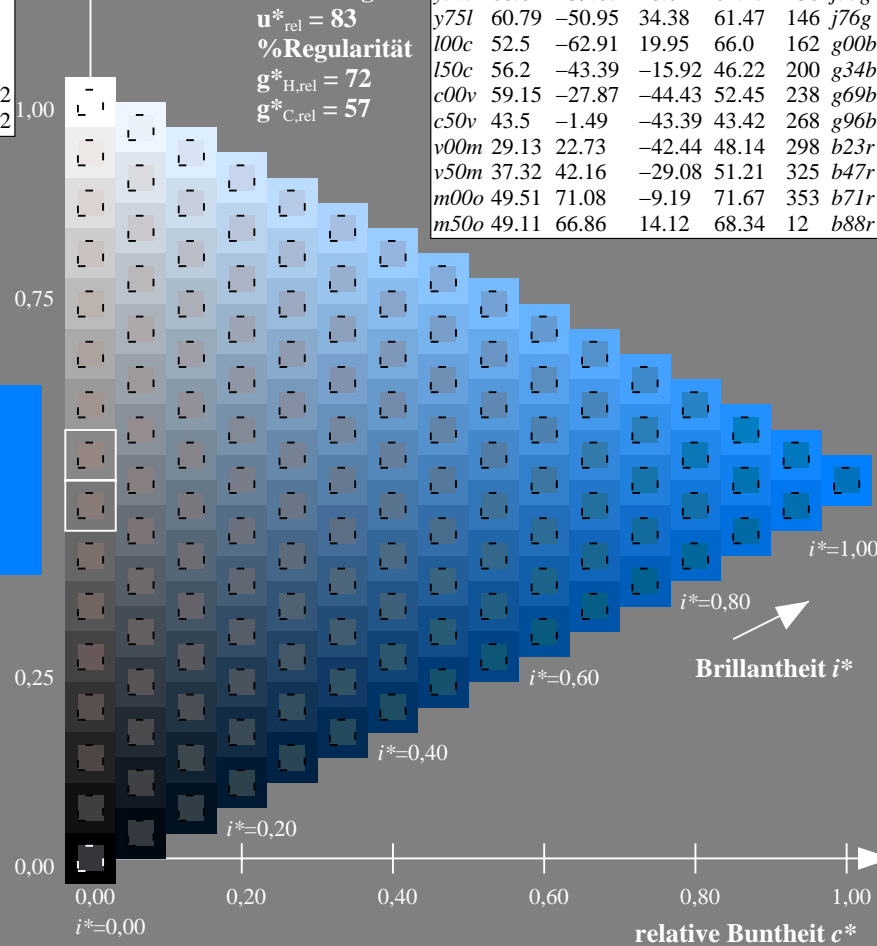
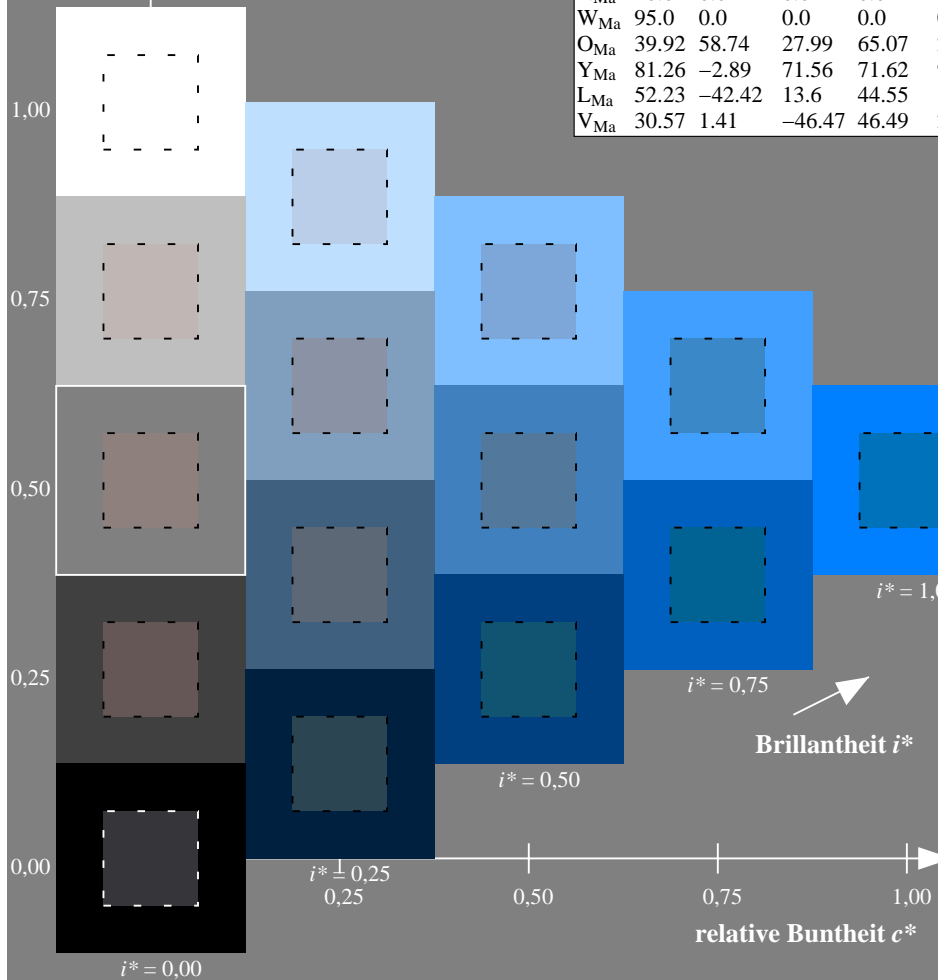
%Regularität

$g^*_{H,rel} = 72$

$g^*_{C,rel} = 57$

ORS20_95a; adaptierte CIELAB-Daten

u^*_d	$L^*=L^*_a$	a^*_a	b^*_a	$C^*_{ab,a}$	$h^*_{ab,a}$	u^*_e
o00y	48.71	62.56	37.91	73.15	31	r08j
o25y	58.6	44.87	49.14	66.54	48	r33j
o50y	67.52	28.93	59.25	65.94	64	r57j
o75y	77.05	11.9	70.06	71.06	80	r81j
y00l	89.25	-9.92	83.91	84.49	97	j06g
y25l	77.37	-27.05	63.23	68.78	113	j30g
y50l	68.62	-39.67	48.0	62.27	130	j53g
y75l	60.79	-50.95	34.38	61.47	146	j76g
l00c	52.5	-62.91	19.95	66.0	162	g00b
l50c	56.2	-43.39	-15.92	46.22	200	g34b
c00v	59.15	-27.87	-44.43	52.45	238	g69b
c50v	43.5	-1.49	-43.39	43.42	268	g96b
v00m	29.13	22.73	-42.44	48.14	298	b23r
v50m	37.32	42.16	-29.08	51.21	325	b47r
m00o	49.51	71.08	-9.19	71.67	353	b71r
m50o	49.11	66.86	14.12	68.34	12	b88r



Ein und Ausgabe: Farbmatisches Drucker-Reflektiv-System ORS20_95a für relativen CIELAB-Bunton $h^* = lab^*h^* = h_{ab}/360 = 0.828$

$u^*_d = v00m$

Daten für jede Farbe:

lab^*tch^* und lab^*icu^*

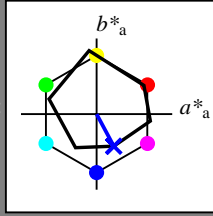
Buntontexte:

$u^*_d = v00m$ $u^*_e = b23r$

Kontrastreduzierungsfaktor:

$c_R = 0.96$

Dreiecks-Helligkeit t^*



ORS20_95a; adaptierte CIELAB-Daten						
u^*_d	$L^*=L^*_a$	a^*_a	b^*_a	$C^*_{ab,a}$	$h^*_{ab,a}$	
O _{Ma}	48.71	62.56	37.91	73.15	31	
Y _{Ma}	89.25	-9.92	83.91	84.49	97	
L _{Ma}	52.5	-62.91	19.95	66.0	162	
C _{Ma}	59.15	-27.87	-44.43	52.45	238	
V _{Ma}	29.13	22.73	-42.44	48.14	298	
M _{Ma}	49.51	71.08	-9.19	71.67	353	
N _{Ma}	20.0	0.0	0.0	0.0	0	
W _{Ma}	95.0	0.0	0.0	0.0	0	
O _{Ma}	39.92	58.74	27.99	65.07	25	
Y _{Ma}	81.26	-2.89	71.56	71.62	92	
L _{Ma}	52.23	-42.42	13.6	44.55	162	
V _{Ma}	30.57	1.41	-46.47	46.49	272	

Daten für Maximalfarbe (Ma):

$LAB^*LAB^*_Ma: 29\ 23\ -42$

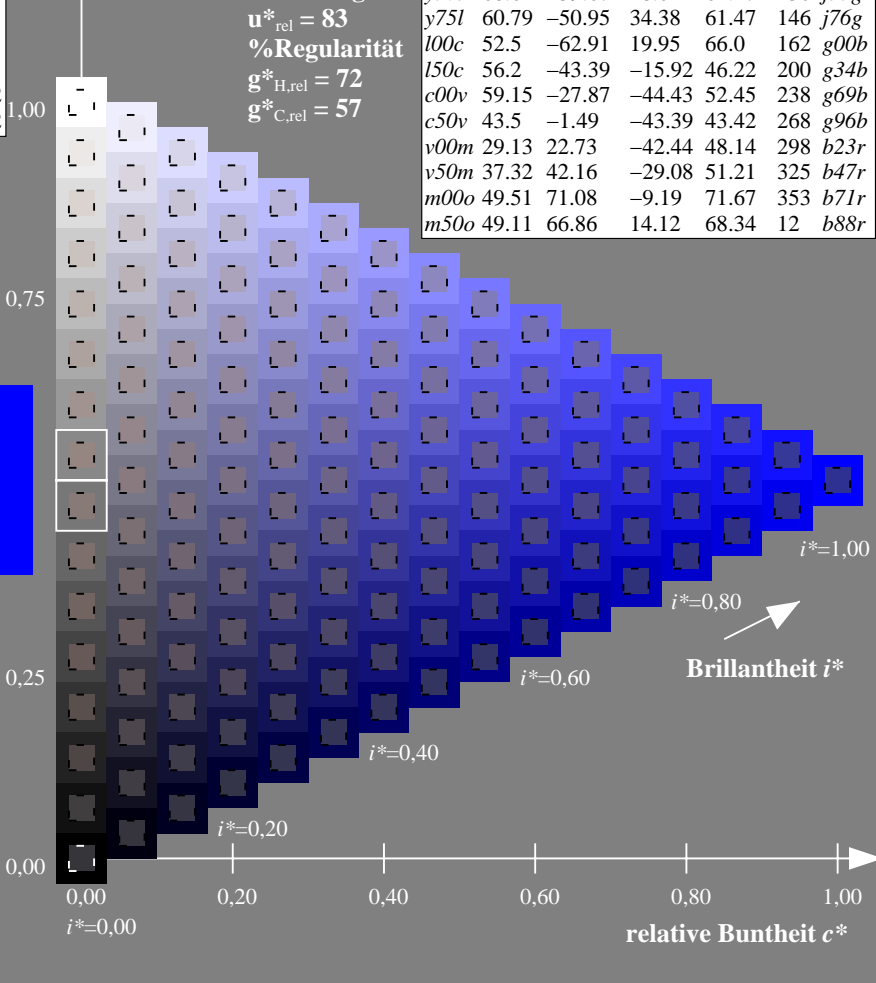
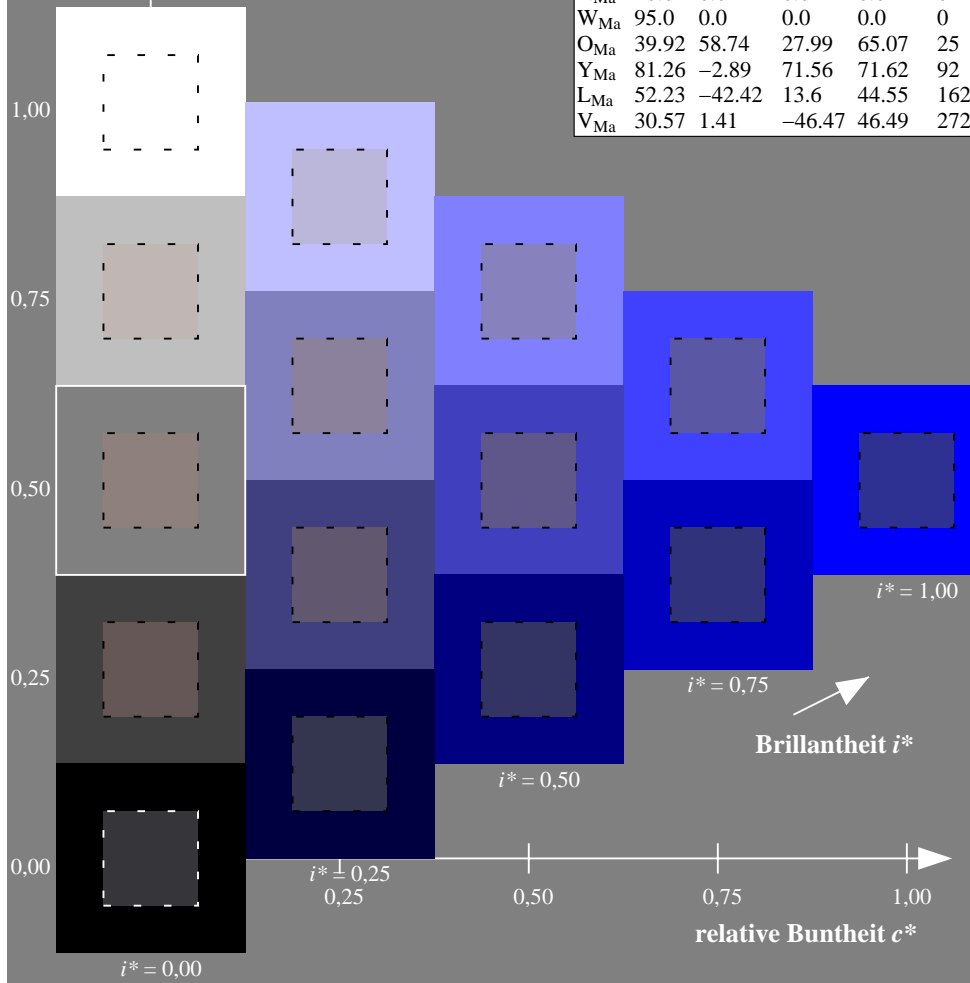
$LAB^*LCH^*_Ma: 29\ 48\ 298$

$lab^*olv^*_Ma: 0.0\ 0.0\ 1.0$

$lab^*rgb^*_Ma: 0.46\ 0.0\ 1.0$

Dreiecks-Helligkeit t^*

ORS20_95a; adaptierte CIELAB-Daten							
u^*_d	$L^*=L^*_a$	a^*_a	b^*_a	$C^*_{ab,a}$	$h^*_{ab,a}$	u^*_e	
<i>o00y</i>	48.71	62.56	37.91	73.15	31	<i>r08j</i>	
<i>o25y</i>	58.6	44.87	49.14	66.54	48	<i>r33j</i>	
<i>o50y</i>	67.52	28.93	59.25	65.94	64	<i>r57j</i>	
<i>o75y</i>	77.05	11.9	70.06	71.06	80	<i>r81j</i>	
<i>y00l</i>	89.25	-9.92	83.91	84.49	97	<i>j06g</i>	
<i>y25l</i>	77.37	-27.05	63.23	68.78	113	<i>j30g</i>	
<i>y50l</i>	68.62	-39.67	48.0	62.27	130	<i>j53g</i>	
<i>y75l</i>	60.79	-50.95	34.38	61.47	146	<i>j76g</i>	
<i>l00c</i>	52.5	-62.91	19.95	66.0	162	<i>g00b</i>	
<i>l50c</i>	56.2	-43.39	-15.92	46.22	200	<i>g34b</i>	
<i>c00v</i>	59.15	-27.87	-44.43	52.45	238	<i>g69b</i>	
<i>c50v</i>	43.5	-1.49	-43.39	43.42	268	<i>g96b</i>	
<i>v00m</i>	29.13	22.73	-42.44	48.14	298	<i>b23r</i>	
<i>v50m</i>	37.32	42.16	-29.08	51.21	325	<i>b47r</i>	
<i>m00o</i>	49.51	71.08	-9.19	71.67	353	<i>b71r</i>	
<i>m50o</i>	49.11	66.86	14.12	68.34	12	<i>b88r</i>	



Ein und Ausgabe: Farbmatisches Drucker-Reflektiv-System ORS20_95a für relativen CIELAB-Bunton $h^* = lab^*h^* = h_{ab}/360 = 0.904$

$u^*_d = v50m$

Daten für jede Farbe:

lab^*tch^* und lab^*icu^*

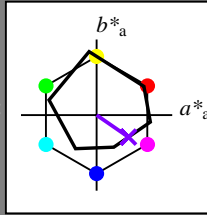
Buntontexte:

$u^*_d = v50m$ $u^*_e = b47r$

Kontrastreduzierungsfaktor:

$c_R = 0.96$

Dreiecks-Helligkeit t^*



ORS20_95a; adaptierte CIELAB-Daten

u^*_d	$L^*=L^*_a$	a^*_a	b^*_a	$C^*_{ab,a}$	$h^*_{ab,a}$
O _{Ma}	48.71	62.56	37.91	73.15	31
Y _{Ma}	89.25	-9.92	83.91	84.49	97
L _{Ma}	52.5	-62.91	19.95	66.0	162
C _{Ma}	59.15	-27.87	-44.43	52.45	238
V _{Ma}	29.13	22.73	-42.44	48.14	298
M _{Ma}	49.51	71.08	-9.19	71.67	353
N _{Ma}	20.0	0.0	0.0	0.0	0
W _{Ma}	95.0	0.0	0.0	0.0	0
O _{Ma}	39.92	58.74	27.99	65.07	25
Y _{Ma}	81.26	-2.89	71.56	71.62	92
L _{Ma}	52.23	-42.42	13.6	44.55	162
V _{Ma}	30.57	1.41	-46.47	46.49	272

Daten für Maximalfarbe (Ma):

$LAB^*LAB^*_Ma$: 37 42 -29

$LAB^*LCH^*_Ma$: 37 51 325

$lab^*olv^*_Ma$: 0.5 0.0 1.0

$lab^*rgb^*_Ma$: 0.94 0.0 1.0

Dreiecks-Helligkeit t^*

%Umfang

$u^*_{rel} = 83$

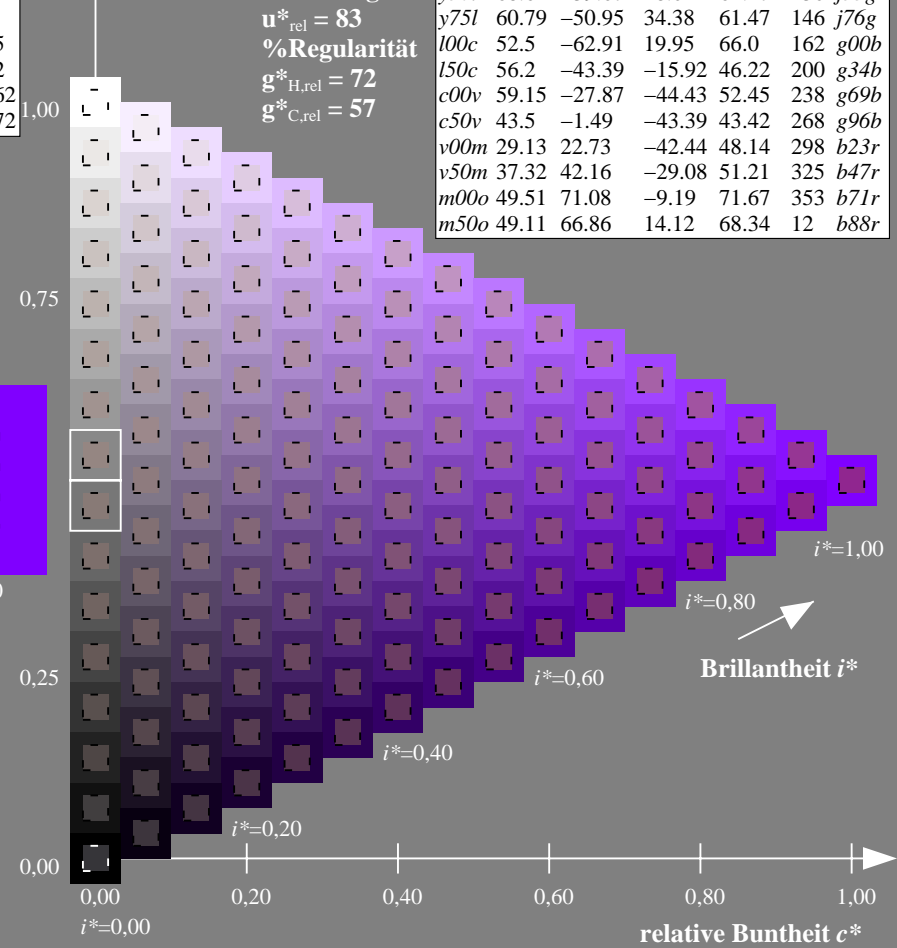
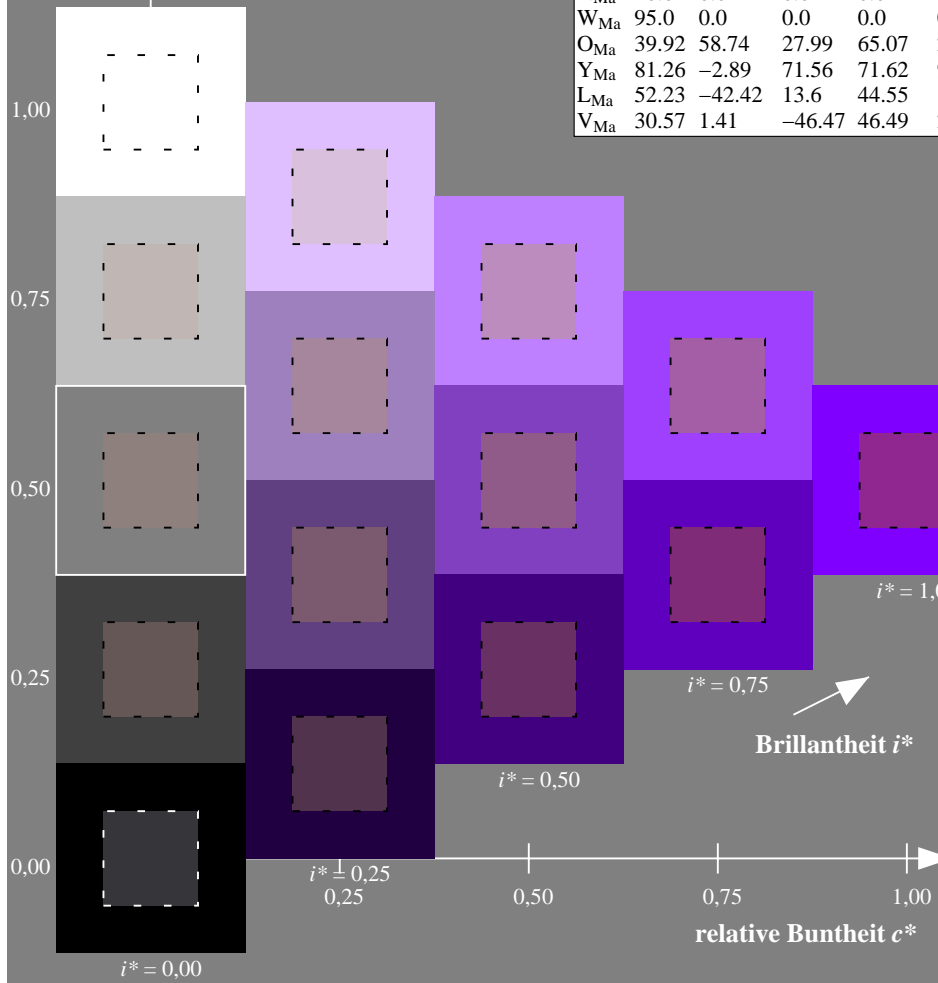
%Regularität

$g^*_{H,rel} = 72$

$g^*_{C,rel} = 57$

ORS20_95a; adaptierte CIELAB-Daten

u^*_d	$L^*=L^*_a$	a^*_a	b^*_a	$C^*_{ab,a}$	$h^*_{ab,a}$	u^*_e
o00y	48.71	62.56	37.91	73.15	31	r08j
o25y	58.6	44.87	49.14	66.54	48	r33j
o50y	67.52	28.93	59.25	65.94	64	r57j
o75y	77.05	11.9	70.06	71.06	80	r81j
y00l	89.25	-9.92	83.91	84.49	97	j06g
y25l	77.37	-27.05	63.23	68.78	113	j30g
y50l	68.62	-39.67	48.0	62.27	130	j53g
y75l	60.79	-50.95	34.38	61.47	146	j76g
l00c	52.5	-62.91	19.95	66.0	162	g00b
l50c	56.2	-43.39	-15.92	46.22	200	g34b
c00v	59.15	-27.87	-44.43	52.45	238	g69b
c50v	43.5	-1.49	-43.39	43.42	268	g96b
v00m	29.13	22.73	-42.44	48.14	298	b23r
v50m	37.32	42.16	-29.08	51.21	325	b47r
m00o	49.51	71.08	-9.19	71.67	353	b71r
m50o	49.11	66.86	14.12	68.34	12	b88r



Daten für jede Farbe:

lab^*tch^* und lab^*icu^*

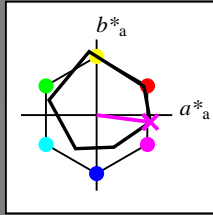
Buntontexte:

$u^*_d = m00o$ $u^*_e = b71r$

Kontrastreduzierungsfaktor:

$c_R = 0.96$

Dreiecks-Helligkeit t^*



ORS20_95a; adaptierte CIELAB-Daten						
u^*_d	$L^*=L^*_a$	a^*_a	b^*_a	$C^*_{ab,a}$	$h^*_{ab,a}$	
O _{Ma}	48.71	62.56	37.91	73.15	31	
Y _{Ma}	89.25	-9.92	83.91	84.49	97	
L _{Ma}	52.5	-62.91	19.95	66.0	162	
C _{Ma}	59.15	-27.87	-44.43	52.45	238	
V _{Ma}	29.13	22.73	-42.44	48.14	298	
M _{Ma}	49.51	71.08	-9.19	71.67	353	
N _{Ma}	20.0	0.0	0.0	0.0	0	
W _{Ma}	95.0	0.0	0.0	0.0	0	
O _{Ma}	39.92	58.74	27.99	65.07	25	
Y _{Ma}	81.26	-2.89	71.56	71.62	92	
L _{Ma}	52.23	-42.42	13.6	44.55	162	
V _{Ma}	30.57	1.41	-46.47	46.49	272	

Daten für Maximalfarbe (Ma):

$LAB^*LAB^*_{Ma}: 50\ 71\ -9$

$LAB^*LCH^*_{Ma}: 50\ 72\ 352$

$lab^*olv^*_{Ma}: 1.0\ 0.0\ 1.0$

$lab^*rgb^*_{Ma}: 1.0\ 0.0\ 0.58$

Dreiecks-Helligkeit t^*

%Umfang

$u^*_{rel} = 83$

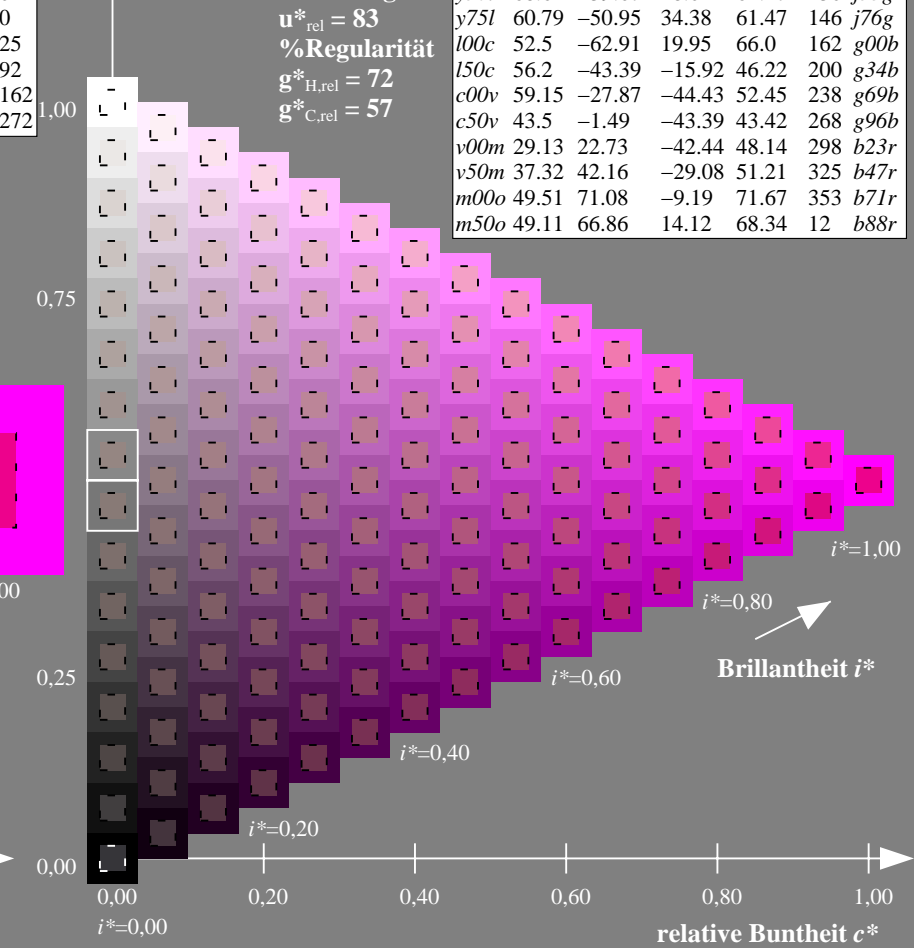
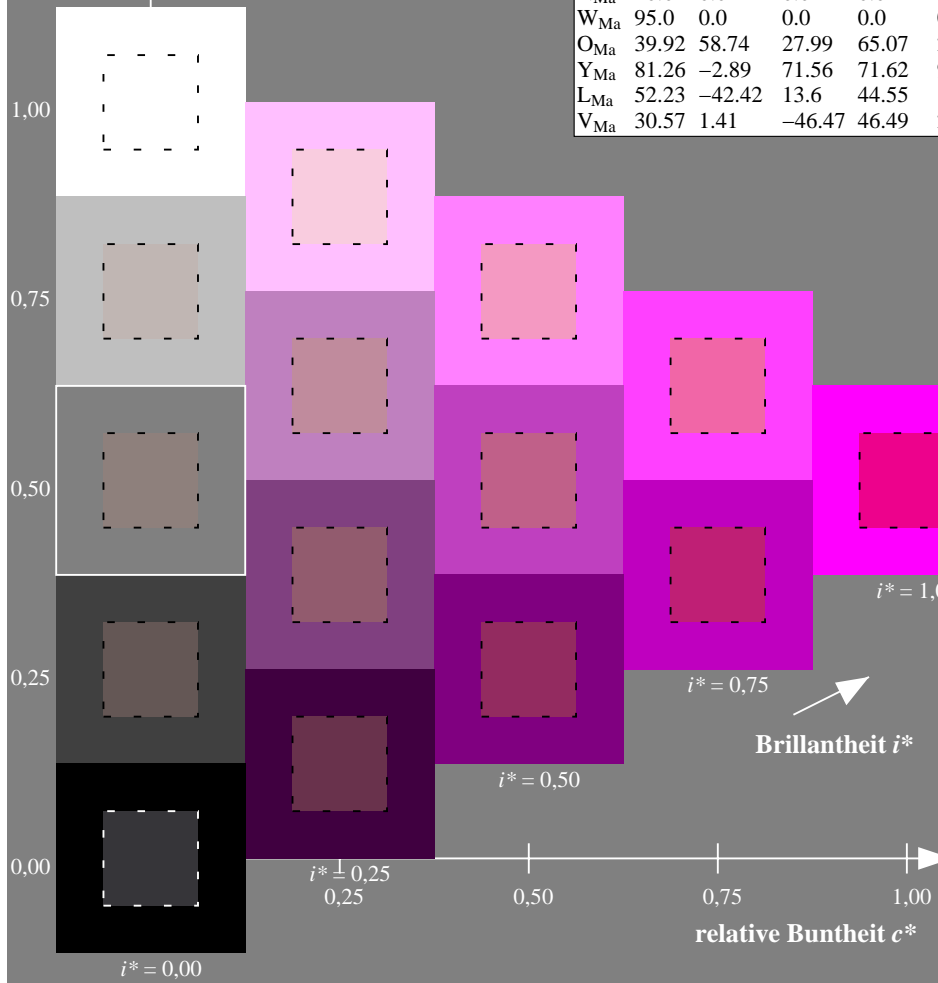
%Regularität

$g^*_{H,rel} = 72$

$g^*_{C,rel} = 57$

ORS20_95a; adaptierte CIELAB-Daten

u^*_d	$L^*=L^*_a$	a^*_a	b^*_a	$C^*_{ab,a}$	$h^*_{ab,a}$	u^*_e
<i>o00y</i>	48.71	62.56	37.91	73.15	31	<i>r08j</i>
<i>o25y</i>	58.6	44.87	49.14	66.54	48	<i>r33j</i>
<i>o50y</i>	67.52	28.93	59.25	65.94	64	<i>r57j</i>
<i>o75y</i>	77.05	11.9	70.06	71.06	80	<i>r81j</i>
<i>y00l</i>	89.25	-9.92	83.91	84.49	97	<i>j06g</i>
<i>y25l</i>	77.37	-27.05	63.23	68.78	113	<i>j30g</i>
<i>y50l</i>	68.62	-39.67	48.0	62.27	130	<i>j53g</i>
<i>y75l</i>	60.79	-50.95	34.38	61.47	146	<i>j76g</i>
<i>l00c</i>	52.5	-62.91	19.95	66.0	162	<i>g00b</i>
<i>l50c</i>	56.2	-43.39	-15.92	46.22	200	<i>g34b</i>
<i>c00v</i>	59.15	-27.87	-44.43	52.45	238	<i>g69b</i>
<i>c50v</i>	43.5	-1.49	-43.39	43.42	268	<i>g96b</i>
<i>v00m</i>	29.13	22.73	-42.44	48.14	298	<i>b23r</i>
<i>v50m</i>	37.32	42.16	-29.08	51.21	325	<i>b47r</i>
<i>m00o</i>	49.51	71.08	-9.19	71.67	353	<i>b71r</i>
<i>m50o</i>	49.11	66.86	14.12	68.34	12	<i>b88r</i>



Ein und Ausgabe: Farbmetrisches Drucker-Reflektiv-System ORS20_95a für relativen CIELAB-Bunton $h^* = lab^*h^* = h_{ab}/360 = 0.033$

$u^*_d = m50o$

Daten für jede Farbe:

lab^*tch^* und lab^*icu^*

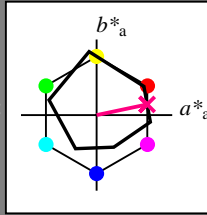
Buntontexte:

$u^*_d = m50o$ $u^*_e = b88r$

Kontrastreduzierungsfaktor:

$c_R = 0.96$

Dreiecks-Helligkeit t^*



ORS20_95a; adaptierte CIELAB-Daten						
u^*_d	$L^*=L^*_a$	a^*_a	b^*_a	$C^*_{ab,a}$	$h^*_{ab,a}$	
O _{Ma}	48.71	62.56	37.91	73.15	31	
Y _{Ma}	89.25	-9.92	83.91	84.49	97	
L _{Ma}	52.5	-62.91	19.95	66.0	162	
C _{Ma}	59.15	-27.87	-44.43	52.45	238	
V _{Ma}	29.13	22.73	-42.44	48.14	298	
M _{Ma}	49.51	71.08	-9.19	71.67	353	
N _{Ma}	20.0	0.0	0.0	0.0	0	
W _{Ma}	95.0	0.0	0.0	0.0	0	
O _{Ma}	39.92	58.74	27.99	65.07	25	
Y _{Ma}	81.26	-2.89	71.56	71.62	92	
L _{Ma}	52.23	-42.42	13.6	44.55	162	
V _{Ma}	30.57	1.41	-46.47	46.49	272	

Daten für Maximalfarbe (Ma):

$LAB^*LAB^*_Ma$: 49 67 14

$LAB^*LCH^*_Ma$: 49 68 11

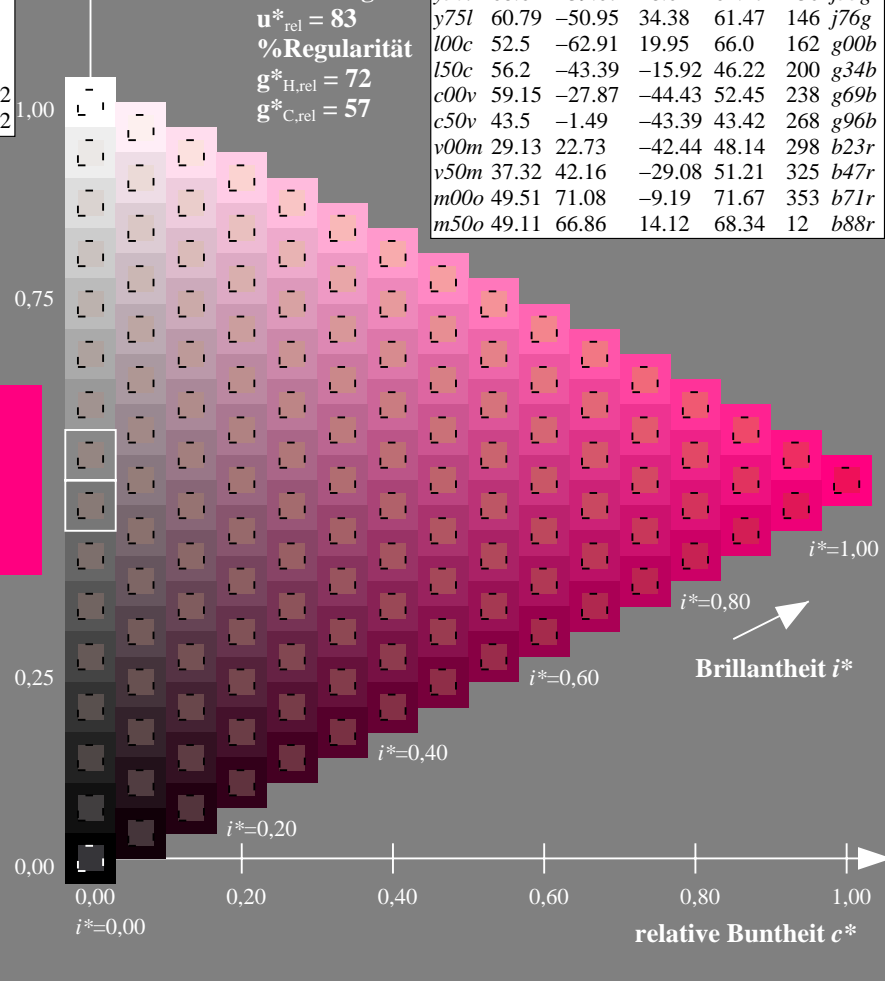
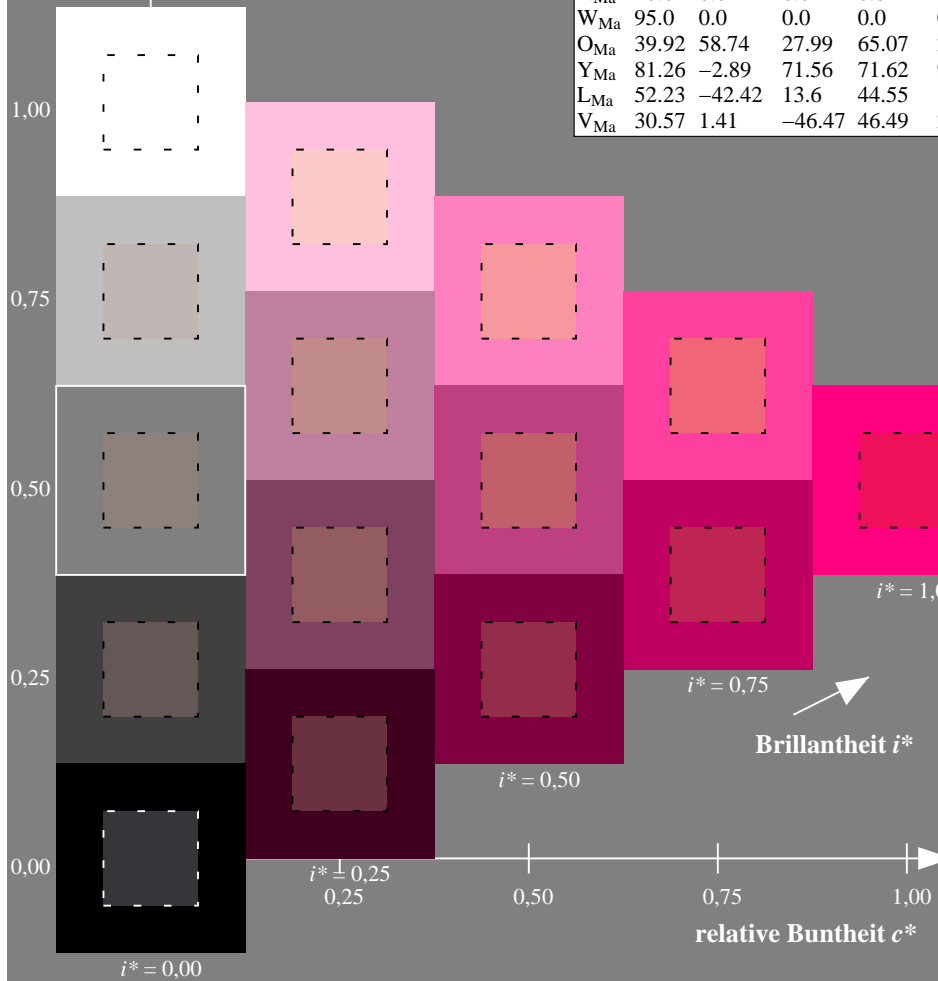
$lab^*olv^*_Ma$: 1.0 0.0 0.5

$lab^*rgb^*_Ma$: 1.0 0.0 0.24

Dreiecks-Helligkeit t^*

ORS20_95a; adaptierte CIELAB-Daten

u^*_d	$L^*=L^*_a$	a^*_a	b^*_a	$C^*_{ab,a}$	$h^*_{ab,a}$	u^*_e
<i>o00y</i>	48.71	62.56	37.91	73.15	31	<i>r08j</i>
<i>o25y</i>	58.6	44.87	49.14	66.54	48	<i>r33j</i>
<i>o50y</i>	67.52	28.93	59.25	65.94	64	<i>r57j</i>
<i>o75y</i>	77.05	11.9	70.06	71.06	80	<i>r81j</i>
<i>y00l</i>	89.25	-9.92	83.91	84.49	97	<i>j06g</i>
<i>y25l</i>	77.37	-27.05	63.23	68.78	113	<i>j30g</i>
<i>y50l</i>	68.62	-39.67	48.0	62.27	130	<i>j53g</i>
<i>y75l</i>	60.79	-50.95	34.38	61.47	146	<i>j76g</i>
<i>l00c</i>	52.5	-62.91	19.95	66.0	162	<i>g00b</i>
<i>l50c</i>	56.2	-43.39	-15.92	46.22	200	<i>g34b</i>
<i>c00v</i>	59.15	-27.87	-44.43	52.45	238	<i>g69b</i>
<i>c50v</i>	43.5	-1.49	-43.39	43.42	268	<i>g96b</i>
<i>v00m</i>	29.13	22.73	-42.44	48.14	298	<i>b23r</i>
<i>v50m</i>	37.32	42.16	-29.08	51.21	325	<i>b47r</i>
<i>m00o</i>	49.51	71.08	-9.19	71.67	353	<i>b71r</i>
<i>m50o</i>	49.11	66.86	14.12	68.34	12	<i>b88r</i>



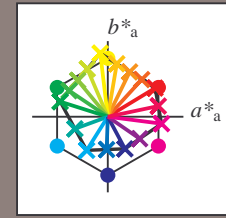
Ein und Ausgabe:
 Farbmetrisches Drucker-Reflektiv-System ORS20_95a

Daten für jede Farbe:
 u^*_d und Nummer *Nr.* = 00 .. 15

Geräte-Bunttextext:
 $u^*_d = 16$ Bunttoene *o00y, o25y, ..., m50o*

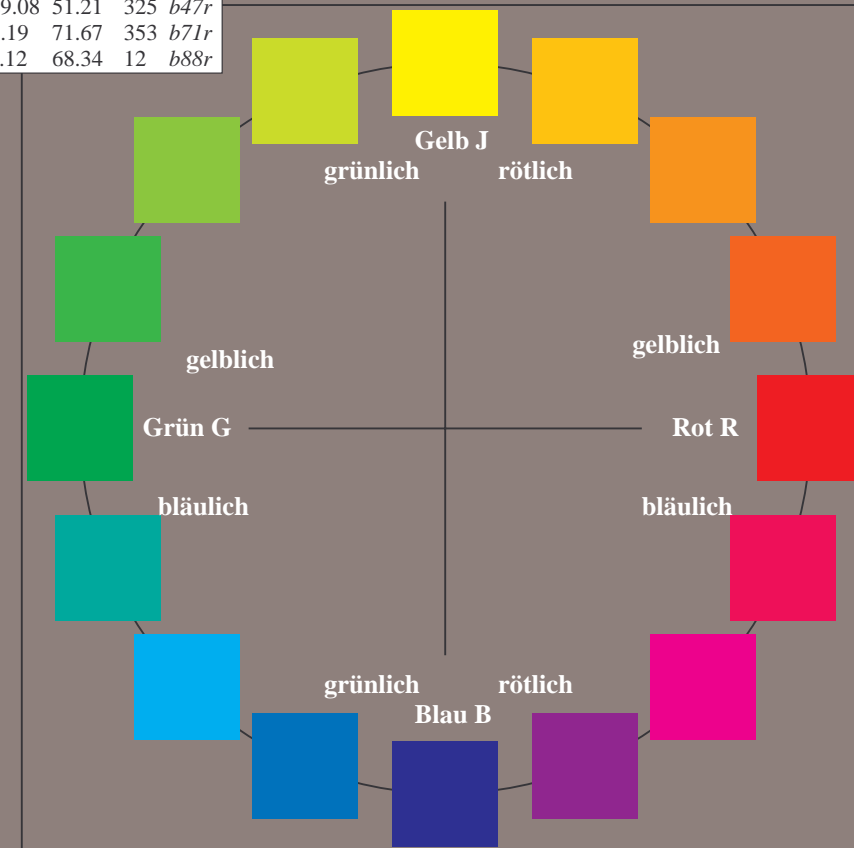
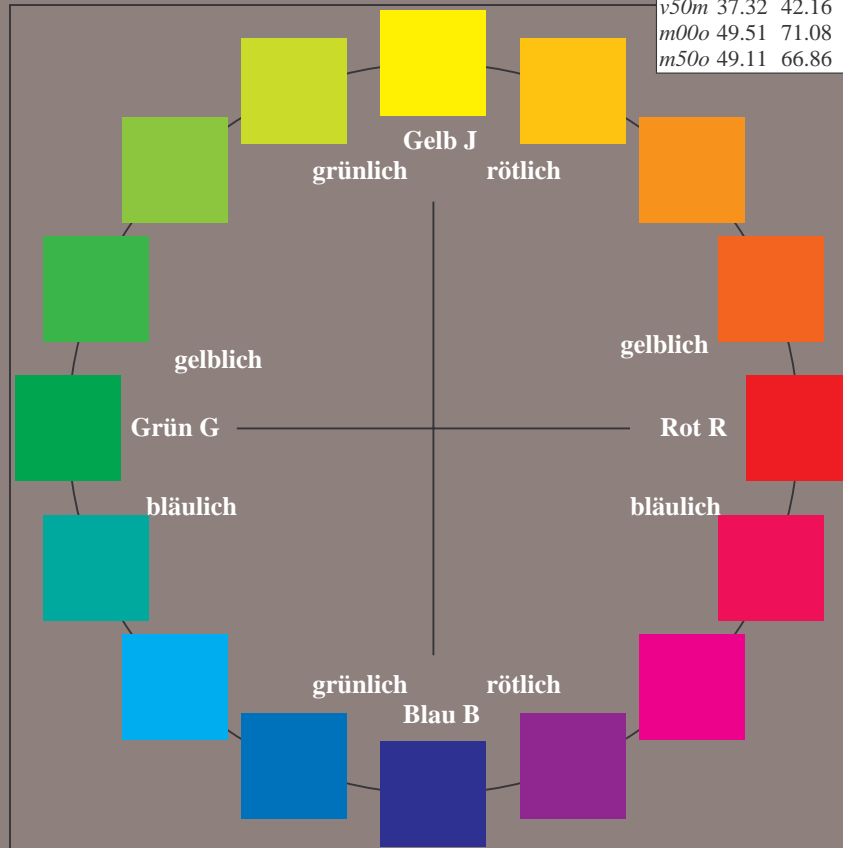
Kontrastreduzierungsfaktor:
 $c_R = 0.96$

ORS20_95a; adaptierte CIELAB-Daten						
u^*_d	$L^*=L^*_a$	a^*_a	b^*_a	$C^*_{ab,a}$	$h^*_{ab,a}$	u^*_e
<i>o00y</i>	48.71	62.56	37.91	73.15	31	<i>r08j</i>
<i>o25y</i>	58.6	44.87	49.14	66.54	48	<i>r33j</i>
<i>o50y</i>	67.52	28.93	59.25	65.94	64	<i>r57j</i>
<i>o75y</i>	77.05	11.9	70.06	71.06	80	<i>r81j</i>
<i>y00l</i>	89.25	-9.92	83.91	84.49	97	<i>j06g</i>
<i>y25l</i>	77.37	-27.05	63.23	68.78	113	<i>j30g</i>
<i>y50l</i>	68.62	-39.67	48.0	62.27	130	<i>j53g</i>
<i>y75l</i>	60.79	-50.95	34.38	61.47	146	<i>j76g</i>
<i>l00c</i>	52.5	-62.91	19.95	66.0	162	<i>g00b</i>
<i>l50c</i>	56.2	-43.39	-15.92	46.22	200	<i>g34b</i>
<i>c00v</i>	59.15	-27.87	-44.43	52.45	238	<i>g69b</i>
<i>c50v</i>	43.5	-1.49	-43.39	43.42	268	<i>g96b</i>
<i>v00m</i>	29.13	22.73	-42.44	48.14	298	<i>b23r</i>
<i>v50m</i>	37.32	42.16	-29.08	51.21	325	<i>b47r</i>
<i>m00o</i>	49.51	71.08	-9.19	71.67	353	<i>b71r</i>
<i>m50o</i>	49.11	66.86	14.12	68.34	12	<i>b88r</i>



%Umfang
 $u^*_{rel} = 83$
 %Regularität
 $g^*_{H,rel} = 72$
 $g^*_{C,rel} = 57$

ORS20_95a; adaptierte CIELAB-Daten					
Name	$L^*=L^*_a$	a^*_a	b^*_a	$C^*_{ab,a}$	$h^*_{ab,a}$
O _{Ma}	48.71	62.56	37.91	73.15	31
Y _{Ma}	89.25	-9.92	83.91	84.49	97
L _{Ma}	52.5	-62.91	19.95	66.0	162
C _{Ma}	59.15	-27.87	-44.43	52.45	238
V _{Ma}	29.13	22.73	-42.44	48.14	298
M _{Ma}	49.51	71.08	-9.19	71.67	353
N _{Ma}	20.0	0.0	0.0	0.0	0
W _{Ma}	95.0	0.0	0.0	0.0	0
O _{CIE}	39.92	58.74	27.99	65.07	25
Y _{CIE}	81.26	-2.89	71.56	71.62	92
L _{CIE}	52.23	-42.42	13.6	44.55	162
V _{CIE}	30.57	1.41	-46.47	46.49	272



Ein und Ausgabe: Farbmetrisches Drucker-Reflektiv-System ORS20_95a für relativen CIELAB-Bunton $h^* = lab^*h^* = h_{ab}/360 = 0.087$

$u^*_d = o00y$

Daten für jede Farbe:

lab^*tch^* und lab^*icu^*

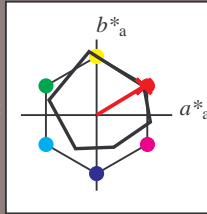
Buntontexte:

$u^*_d = o00y$ $u^*_e = r08j$

Kontrastreduzierungsfaktor:

$c_R = 0.96$

Dreiecks-Helligkeit t^*



ORS20_95a; adaptierte CIELAB-Daten						
u^*_d	$L^*=L^*_a$	a^*_a	b^*_a	$C^*_{ab,a}$	$h^*_{ab,a}$	
O _{Ma}	48.71	62.56	37.91	73.15	31	
Y _{Ma}	89.25	-9.92	83.91	84.49	97	
L _{Ma}	52.5	-62.91	19.95	66.0	162	
C _{Ma}	59.15	-27.87	-44.43	52.45	238	
V _{Ma}	29.13	22.73	-42.44	48.14	298	
M _{Ma}	49.51	71.08	-9.19	71.67	353	
N _{Ma}	20.0	0.0	0.0	0.0	0	
W _{Ma}	95.0	0.0	0.0	0.0	0	
O _{Ma}	39.92	58.74	27.99	65.07	25	
Y _{Ma}	81.26	-2.89	71.56	71.62	92	
L _{Ma}	52.23	-42.42	13.6	44.55	162	
V _{Ma}	30.57	1.41	-46.47	46.49	272	

Daten für Maximalfarbe (Ma):

$LAB^*LAB^*_{Ma}$: 49 63 38

$LAB^*LCH^*_{Ma}$: 49 73 31

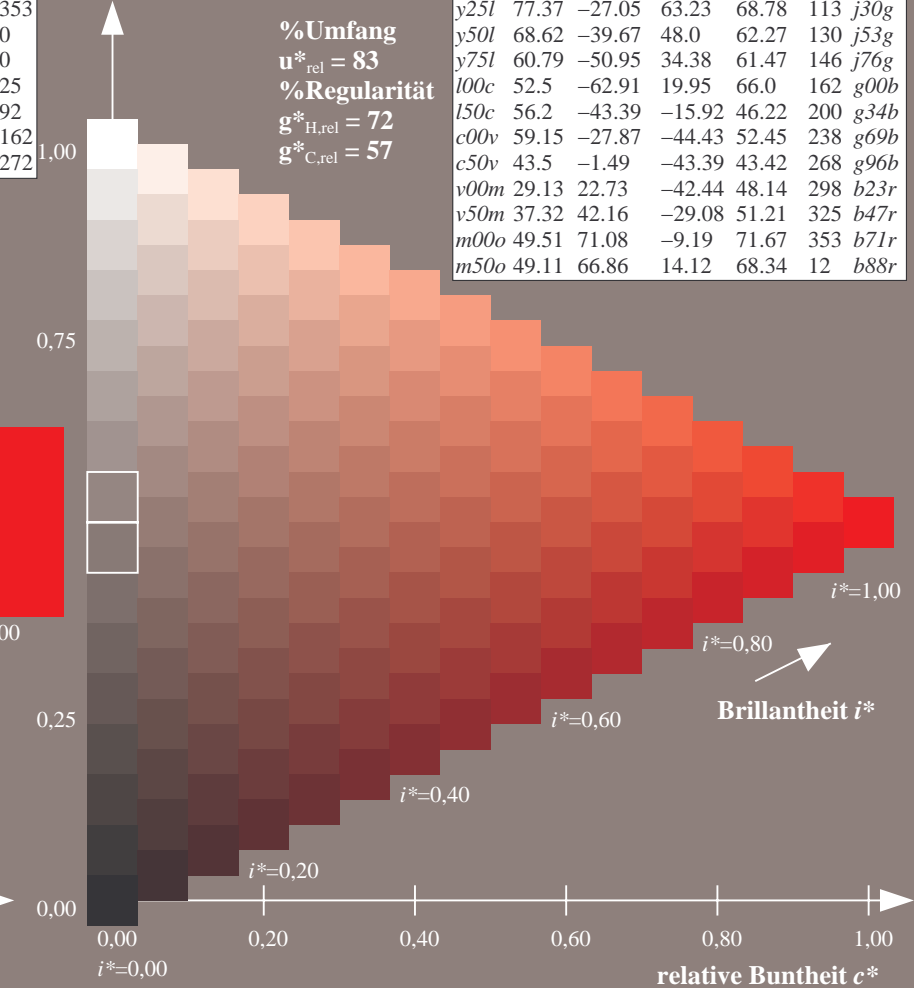
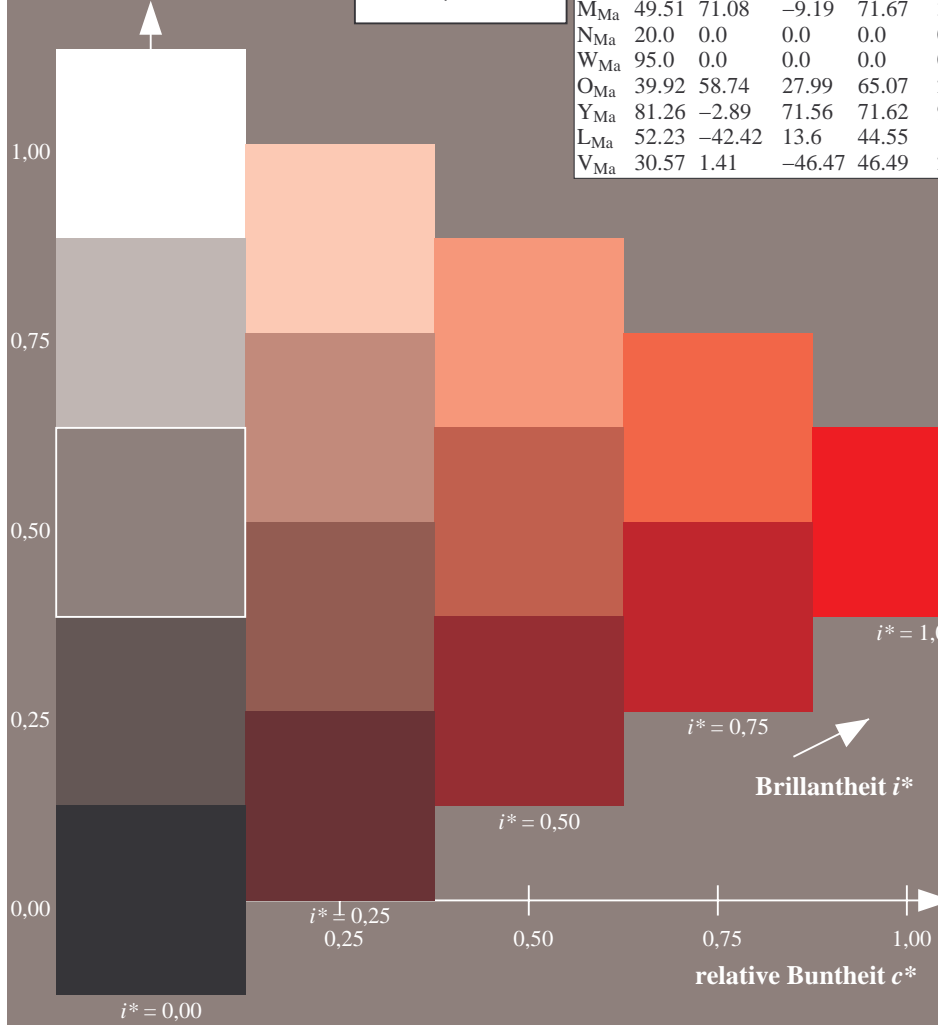
$lab^*olv^*_{Ma}$: 1.0 0.0 0.0

$lab^*rgb^*_{Ma}$: 1.0 0.09 0.0

Dreiecks-Helligkeit t^*

ORS20_95a; adaptierte CIELAB-Daten

u^*_d	$L^*=L^*_a$	a^*_a	b^*_a	$C^*_{ab,a}$	$h^*_{ab,a}$	u^*_e
<i>o00y</i>	48.71	62.56	37.91	73.15	31	<i>r08j</i>
<i>o25y</i>	58.6	44.87	49.14	66.54	48	<i>r33j</i>
<i>o50y</i>	67.52	28.93	59.25	65.94	64	<i>r57j</i>
<i>o75y</i>	77.05	11.9	70.06	71.06	80	<i>r81j</i>
<i>y00l</i>	89.25	-9.92	83.91	84.49	97	<i>j06g</i>
<i>y25l</i>	77.37	-27.05	63.23	68.78	113	<i>j30g</i>
<i>y50l</i>	68.62	-39.67	48.0	62.27	130	<i>j53g</i>
<i>y75l</i>	60.79	-50.95	34.38	61.47	146	<i>j76g</i>
<i>l00c</i>	52.5	-62.91	19.95	66.0	162	<i>g00b</i>
<i>l50c</i>	56.2	-43.39	-15.92	46.22	200	<i>g34b</i>
<i>c00v</i>	59.15	-27.87	-44.43	52.45	238	<i>g69b</i>
<i>c50v</i>	43.5	-1.49	-43.39	43.42	268	<i>g96b</i>
<i>v00m</i>	29.13	22.73	-42.44	48.14	298	<i>b23r</i>
<i>v50m</i>	37.32	42.16	-29.08	51.21	325	<i>b47r</i>
<i>m00o</i>	49.51	71.08	-9.19	71.67	353	<i>b71r</i>
<i>m50o</i>	49.11	66.86	14.12	68.34	12	<i>b88r</i>



Daten für jede Farbe:

lab^*tch^* und lab^*icu^*

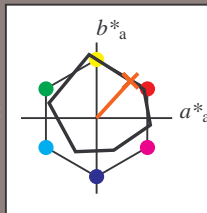
Buntontexte:

$u^*_d = o25y$ $u^*_e = r33j$

Kontrastreduzierungsfaktor:

$c_R = 0.96$

Dreiecks-Helligkeit t^*



ORS20_95a; adaptierte CIELAB-Daten

u^*_d	$L^*=L^*_a$	a^*_a	b^*_a	$C^*_{ab,a}$	$h^*_{ab,a}$
O _{Ma}	48.71	62.56	37.91	73.15	31
Y _{Ma}	89.25	-9.92	83.91	84.49	97
L _{Ma}	52.5	-62.91	19.95	66.0	162
C _{Ma}	59.15	-27.87	-44.43	52.45	238
V _{Ma}	29.13	22.73	-42.44	48.14	298
M _{Ma}	49.51	71.08	-9.19	71.67	353
N _{Ma}	20.0	0.0	0.0	0.0	0
W _{Ma}	95.0	0.0	0.0	0.0	0
O _{Ma}	39.92	58.74	27.99	65.07	25
Y _{Ma}	81.26	-2.89	71.56	71.62	92
L _{Ma}	52.23	-42.42	13.6	44.55	162
V _{Ma}	30.57	1.41	-46.47	46.49	272

Daten für Maximalfarbe (Ma):

$LAB^*LAB^*_{Ma}: 59\ 45\ 49$

$LAB^*LCH^*_{Ma}: 59\ 67\ 47$

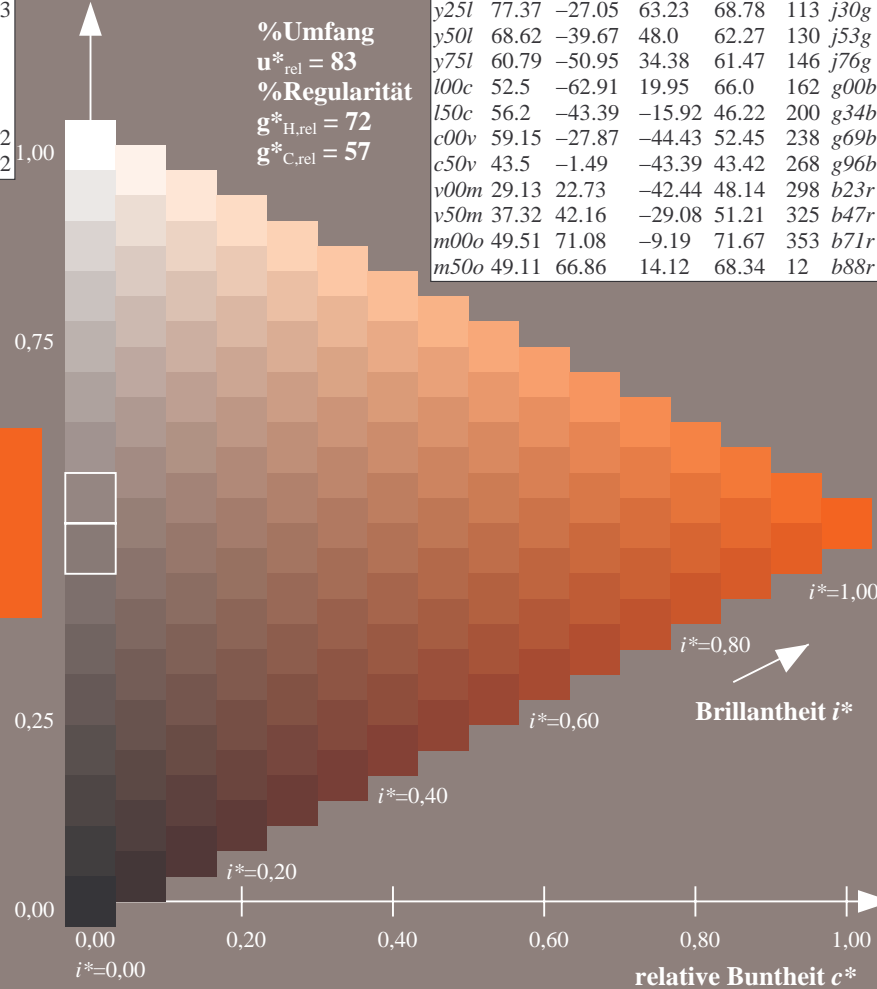
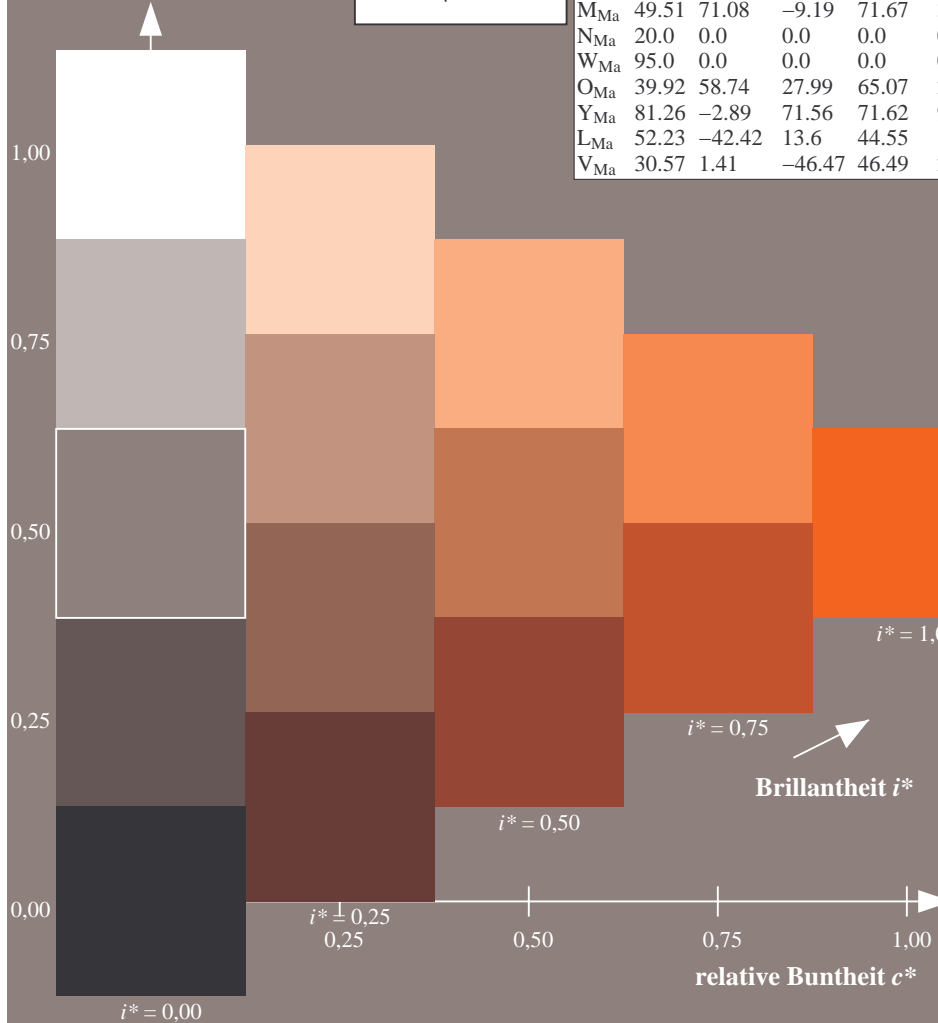
$lab^*olv^*_{Ma}: 1.0\ 0.25\ 0.0$

$lab^*rgb^*_{Ma}: 1.0\ 0.33\ 0.0$

Dreiecks-Helligkeit t^*

ORS20_95a; adaptierte CIELAB-Daten

u^*_d	$L^*=L^*_a$	a^*_a	b^*_a	$C^*_{ab,a}$	$h^*_{ab,a}$	u^*_e
<i>o00y</i>	48.71	62.56	37.91	73.15	31	<i>r08j</i>
<i>o25y</i>	58.6	44.87	49.14	66.54	48	<i>r33j</i>
<i>o50y</i>	67.52	28.93	59.25	65.94	64	<i>r57j</i>
<i>o75y</i>	77.05	11.9	70.06	71.06	80	<i>r81j</i>
<i>y00l</i>	89.25	-9.92	83.91	84.49	97	<i>j06g</i>
<i>y25l</i>	77.37	-27.05	63.23	68.78	113	<i>j30g</i>
<i>y50l</i>	68.62	-39.67	48.0	62.27	130	<i>j53g</i>
<i>y75l</i>	60.79	-50.95	34.38	61.47	146	<i>j76g</i>
<i>l00c</i>	52.5	-62.91	19.95	66.0	162	<i>g00b</i>
<i>l50c</i>	56.2	-43.39	-15.92	46.22	200	<i>g34b</i>
<i>c00v</i>	59.15	-27.87	-44.43	52.45	238	<i>g69b</i>
<i>c50v</i>	43.5	-1.49	-43.39	43.42	268	<i>g96b</i>
<i>v00m</i>	29.13	22.73	-42.44	48.14	298	<i>b23r</i>
<i>v50m</i>	37.32	42.16	-29.08	51.21	325	<i>b47r</i>
<i>m00o</i>	49.51	71.08	-9.19	71.67	353	<i>b71r</i>
<i>m50o</i>	49.11	66.86	14.12	68.34	12	<i>b88r</i>



%Umfang
 $u^*_{rel} = 83$
 %Regularität
 $g^*_{H,rel} = 72$
 $g^*_{C,rel} = 57$

Daten für jede Farbe:

lab^*tch^* und lab^*icu^*

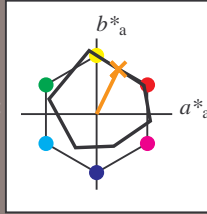
Buntontexte:

$u^*_d = o50y$ $u^*_e = r57j$

Kontrastreduzierungsfaktor:

$c_R = 0.96$

Dreiecks-Helligkeit t^*



ORS20_95a; adaptierte CIELAB-Daten						
u^*_d	$L^*=L^*_a$	a^*_a	b^*_a	$C^*_{ab,a}$	$h^*_{ab,a}$	
O _{Ma}	48.71	62.56	37.91	73.15	31	
Y _{Ma}	89.25	-9.92	83.91	84.49	97	
L _{Ma}	52.5	-62.91	19.95	66.0	162	
C _{Ma}	59.15	-27.87	-44.43	52.45	238	
V _{Ma}	29.13	22.73	-42.44	48.14	298	
M _{Ma}	49.51	71.08	-9.19	71.67	353	
N _{Ma}	20.0	0.0	0.0	0.0	0	
W _{Ma}	95.0	0.0	0.0	0.0	0	
O _{Ma}	39.92	58.74	27.99	65.07	25	
Y _{Ma}	81.26	-2.89	71.56	71.62	92	
L _{Ma}	52.23	-42.42	13.6	44.55	162	
V _{Ma}	30.57	1.41	-46.47	46.49	272	

Daten für Maximalfarbe (Ma):

$LAB^*LAB^*_{Ma}$: 68 29 59

$LAB^*LCH^*_{Ma}$: 68 66 63

$lab^*olv^*_{Ma}$: 1.0 0.5 0.0

$lab^*rgb^*_{Ma}$: 1.0 0.58 0.0

Dreiecks-Helligkeit t^*

%Umfang

$u^*_{rel} = 83$

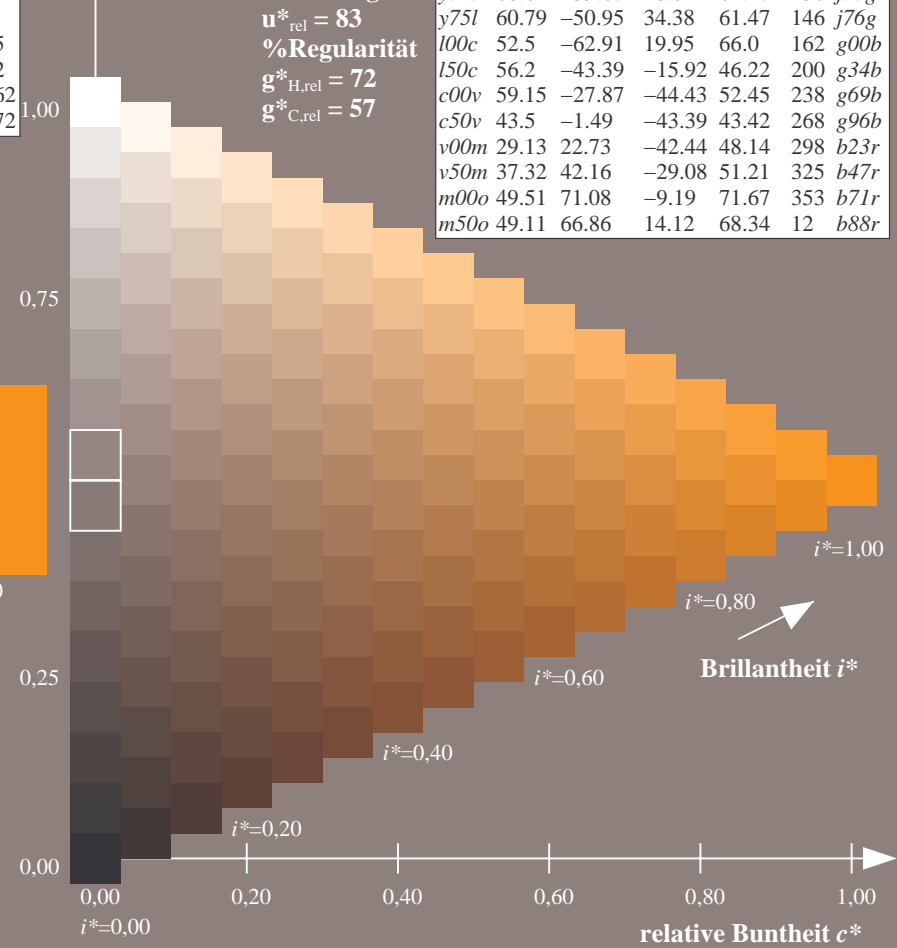
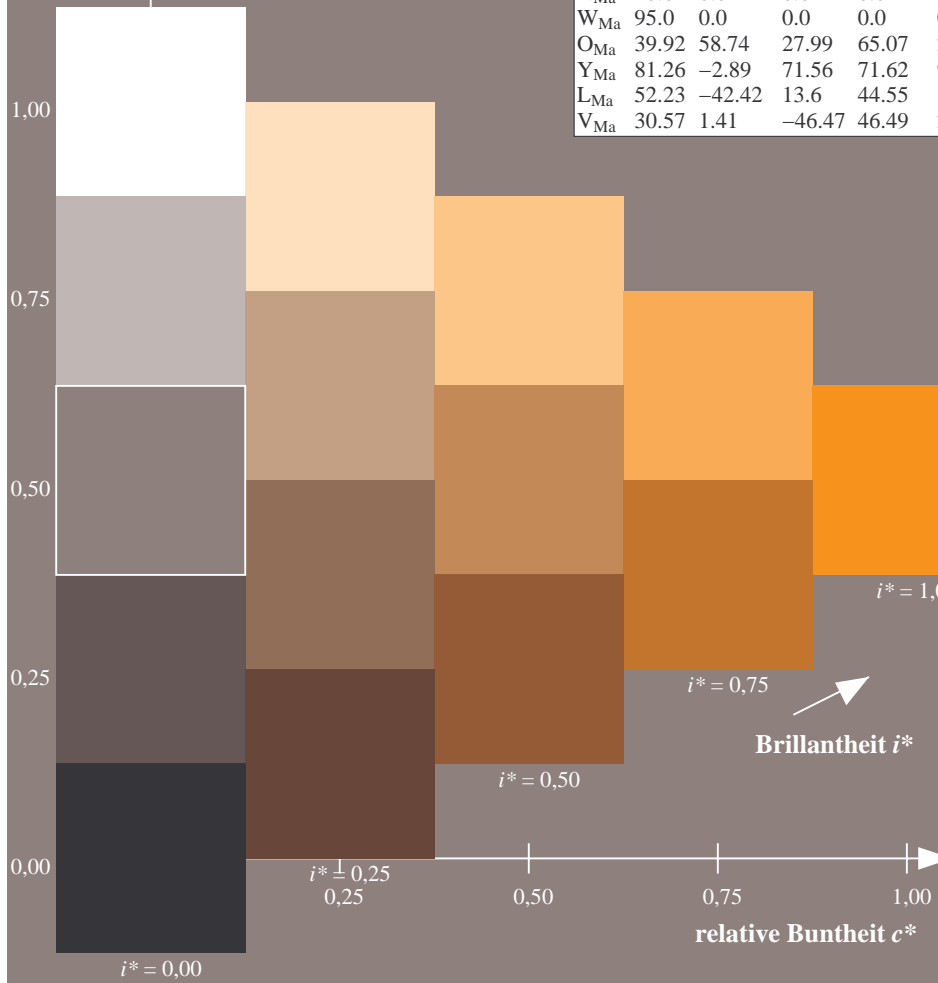
%Regularität

$g^*_{H,rel} = 72$

$g^*_{C,rel} = 57$

ORS20_95a; adaptierte CIELAB-Daten

u^*_d	$L^*=L^*_a$	a^*_a	b^*_a	$C^*_{ab,a}$	$h^*_{ab,a}$	u^*_e
<i>o00y</i>	48.71	62.56	37.91	73.15	31	<i>r08j</i>
<i>o25y</i>	58.6	44.87	49.14	66.54	48	<i>r33j</i>
<i>o50y</i>	67.52	28.93	59.25	65.94	64	<i>r57j</i>
<i>o75y</i>	77.05	11.9	70.06	71.06	80	<i>r81j</i>
<i>y00l</i>	89.25	-9.92	83.91	84.49	97	<i>j06g</i>
<i>y25l</i>	77.37	-27.05	63.23	68.78	113	<i>j30g</i>
<i>y50l</i>	68.62	-39.67	48.0	62.27	130	<i>j53g</i>
<i>y75l</i>	60.79	-50.95	34.38	61.47	146	<i>j76g</i>
<i>l00c</i>	52.5	-62.91	19.95	66.0	162	<i>g00b</i>
<i>l50c</i>	56.2	-43.39	-15.92	46.22	200	<i>g34b</i>
<i>c00v</i>	59.15	-27.87	-44.43	52.45	238	<i>g69b</i>
<i>c50v</i>	43.5	-1.49	-43.39	43.42	268	<i>g96b</i>
<i>v00m</i>	29.13	22.73	-42.44	48.14	298	<i>b23r</i>
<i>v50m</i>	37.32	42.16	-29.08	51.21	325	<i>b47r</i>
<i>m00o</i>	49.51	71.08	-9.19	71.67	353	<i>b71r</i>
<i>m50o</i>	49.11	66.86	14.12	68.34	12	<i>b88r</i>



Daten für jede Farbe:

lab^*tch^* und lab^*icu^*

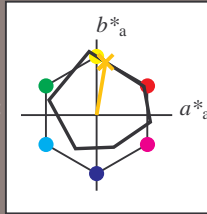
Buntontexte:

$u^*_d = o75y$ $u^*_e = r8lj$

Kontrastreduzierungsfaktor:

$c_R = 0.96$

Dreiecks-Helligkeit t^*



ORS20_95a; adaptierte CIELAB-Daten						
u^*_d	$L^*=L^*_a$	a^*_a	b^*_a	$C^*_{ab,a}$	$h^*_{ab,a}$	
O _{Ma}	48.71	62.56	37.91	73.15	31	
Y _{Ma}	89.25	-9.92	83.91	84.49	97	
L _{Ma}	52.5	-62.91	19.95	66.0	162	
C _{Ma}	59.15	-27.87	-44.43	52.45	238	
V _{Ma}	29.13	22.73	-42.44	48.14	298	
M _{Ma}	49.51	71.08	-9.19	71.67	353	
N _{Ma}	20.0	0.0	0.0	0.0	0	
W _{Ma}	95.0	0.0	0.0	0.0	0	
O _{Ma}	39.92	58.74	27.99	65.07	25	
Y _{Ma}	81.26	-2.89	71.56	71.62	92	
L _{Ma}	52.23	-42.42	13.6	44.55	162	
V _{Ma}	30.57	1.41	-46.47	46.49	272	

Daten für Maximalfarbe (Ma):

$LAB^*LAB^*_{Ma}$: 77 12 70

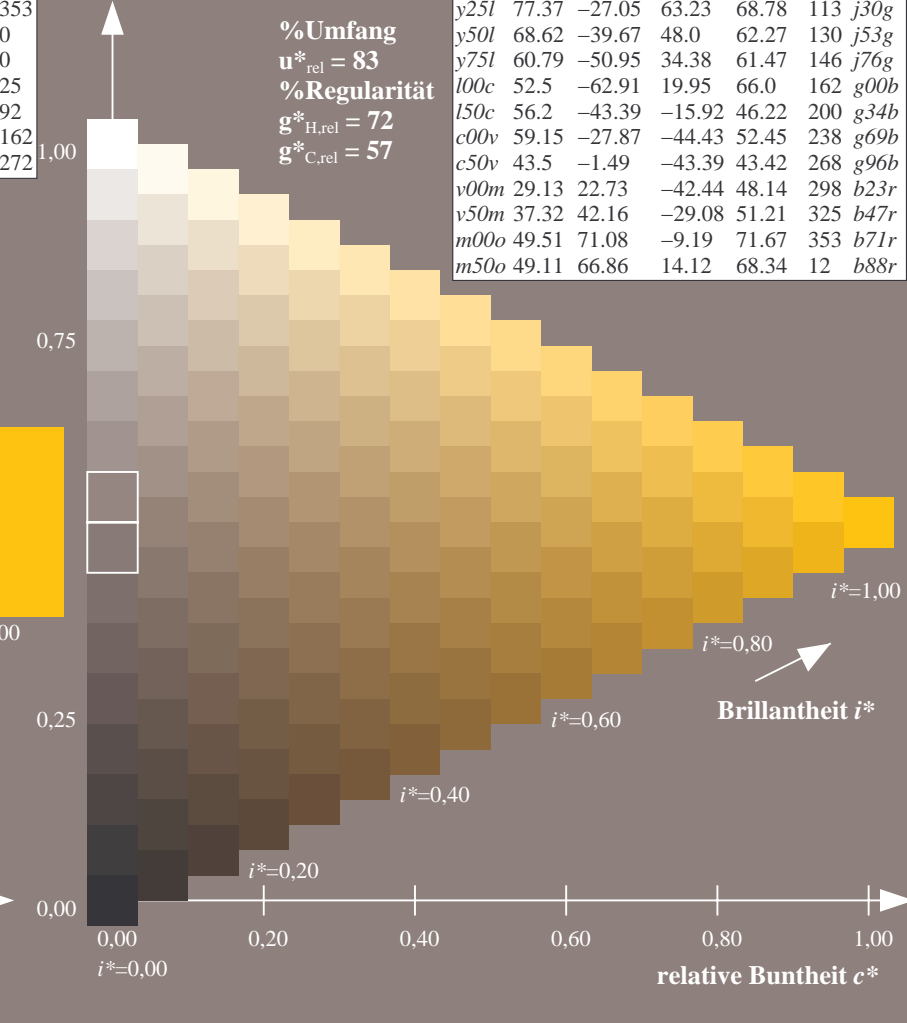
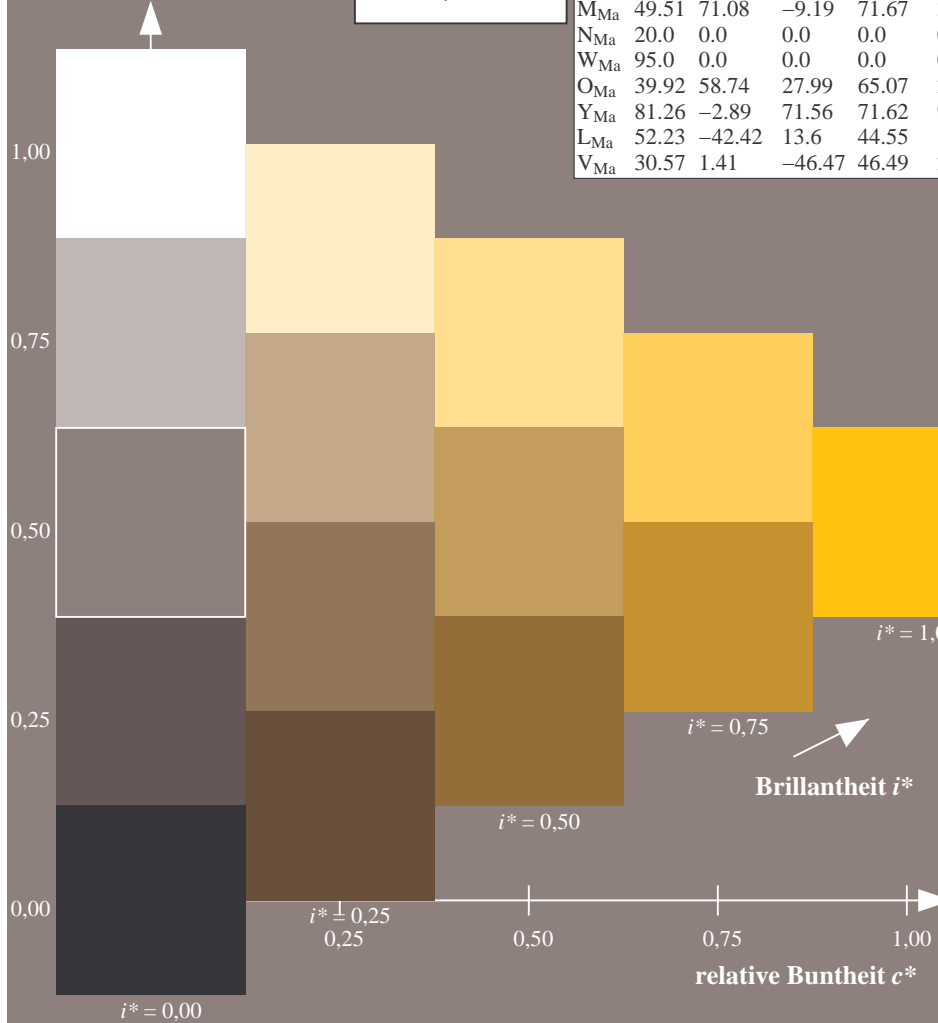
$LAB^*LCH^*_{Ma}$: 77 71 80

$lab^*olv^*_{Ma}$: 1.0 0.75 0.0

$lab^*rgb^*_{Ma}$: 1.0 0.82 0.0

Dreiecks-Helligkeit t^*

ORS20_95a; adaptierte CIELAB-Daten							
u^*_d	$L^*=L^*_a$	a^*_a	b^*_a	$C^*_{ab,a}$	$h^*_{ab,a}$	u^*_e	
<i>o00y</i>	48.71	62.56	37.91	73.15	31	<i>r08j</i>	
<i>o25y</i>	58.6	44.87	49.14	66.54	48	<i>r33j</i>	
<i>o50y</i>	67.52	28.93	59.25	65.94	64	<i>r57j</i>	
<i>o75y</i>	77.05	11.9	70.06	71.06	80	<i>r8lj</i>	
<i>y00l</i>	89.25	-9.92	83.91	84.49	97	<i>j06g</i>	
<i>y25l</i>	77.37	-27.05	63.23	68.78	113	<i>j30g</i>	
<i>y50l</i>	68.62	-39.67	48.0	62.27	130	<i>j53g</i>	
<i>y75l</i>	60.79	-50.95	34.38	61.47	146	<i>j76g</i>	
<i>l00c</i>	52.5	-62.91	19.95	66.0	162	<i>g00b</i>	
<i>l50c</i>	56.2	-43.39	-15.92	46.22	200	<i>g34b</i>	
<i>c00v</i>	59.15	-27.87	-44.43	52.45	238	<i>g69b</i>	
<i>c50v</i>	43.5	-1.49	-43.39	43.42	268	<i>g96b</i>	
<i>v00m</i>	29.13	22.73	-42.44	48.14	298	<i>b23r</i>	
<i>v50m</i>	37.32	42.16	-29.08	51.21	325	<i>b47r</i>	
<i>m00o</i>	49.51	71.08	-9.19	71.67	353	<i>b71r</i>	
<i>m50o</i>	49.11	66.86	14.12	68.34	12	<i>b88r</i>	



%Umfang
 $u^*_{rel} = 83$
 %Regularität
 $g^*_{H,rel} = 72$
 $g^*_{C,rel} = 57$

Daten für jede Farbe:

lab^*tch^* und lab^*icu^*

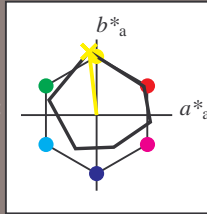
Buntontexte:

$u^*_d = y00l$ $u^*_e = j06g$

Kontrastreduzierungsfaktor:

$c_R = 0.96$

Dreiecks-Helligkeit t^*



ORS20_95a; adaptierte CIELAB-Daten						
u^*_d	$L^*=L^*_a$	a^*_a	b^*_a	$C^*_{ab,a}$	$h^*_{ab,a}$	
O _{Ma}	48.71	62.56	37.91	73.15	31	
Y _{Ma}	89.25	-9.92	83.91	84.49	97	
L _{Ma}	52.5	-62.91	19.95	66.0	162	
C _{Ma}	59.15	-27.87	-44.43	52.45	238	
V _{Ma}	29.13	22.73	-42.44	48.14	298	
M _{Ma}	49.51	71.08	-9.19	71.67	353	
N _{Ma}	20.0	0.0	0.0	0.0	0	
W _{Ma}	95.0	0.0	0.0	0.0	0	
O _{Ma}	39.92	58.74	27.99	65.07	25	
Y _{Ma}	81.26	-2.89	71.56	71.62	92	
L _{Ma}	52.23	-42.42	13.6	44.55	162	
V _{Ma}	30.57	1.41	-46.47	46.49	272	

Daten für Maximalfarbe (Ma):

$LAB^*LAB^*_Ma: 89 -10 84$

$LAB^*LCH^*_Ma: 89 84 96$

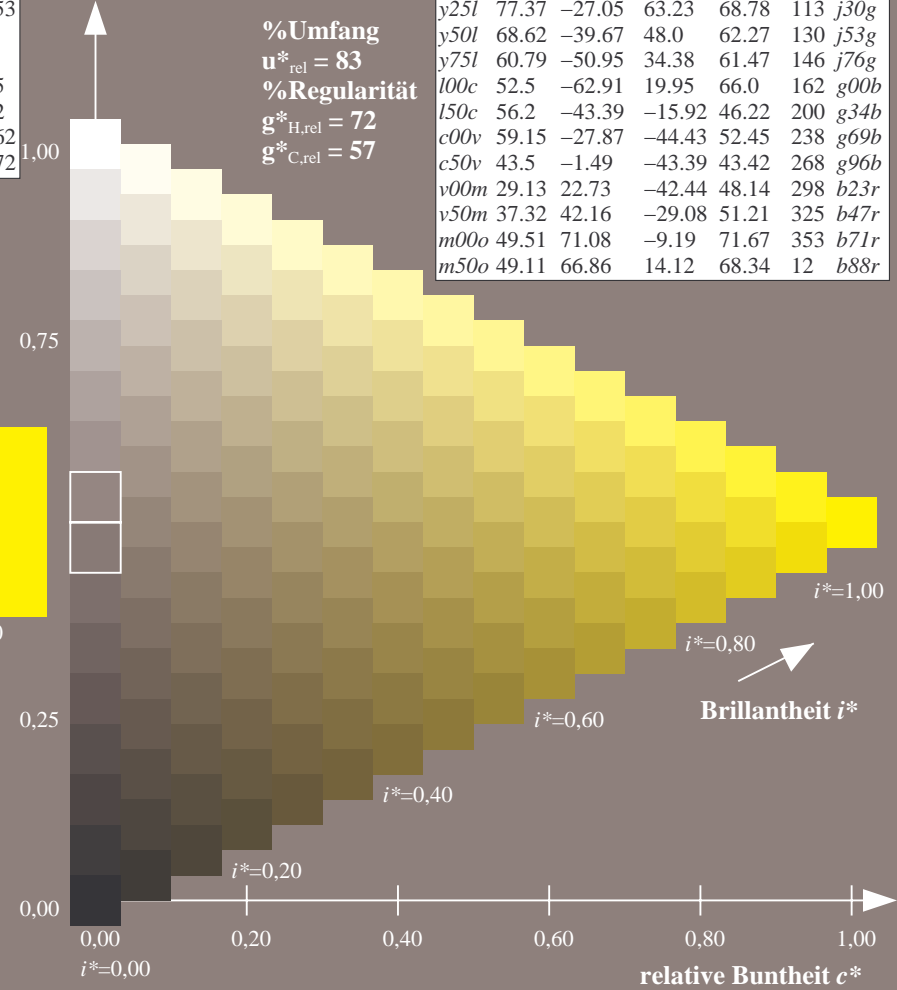
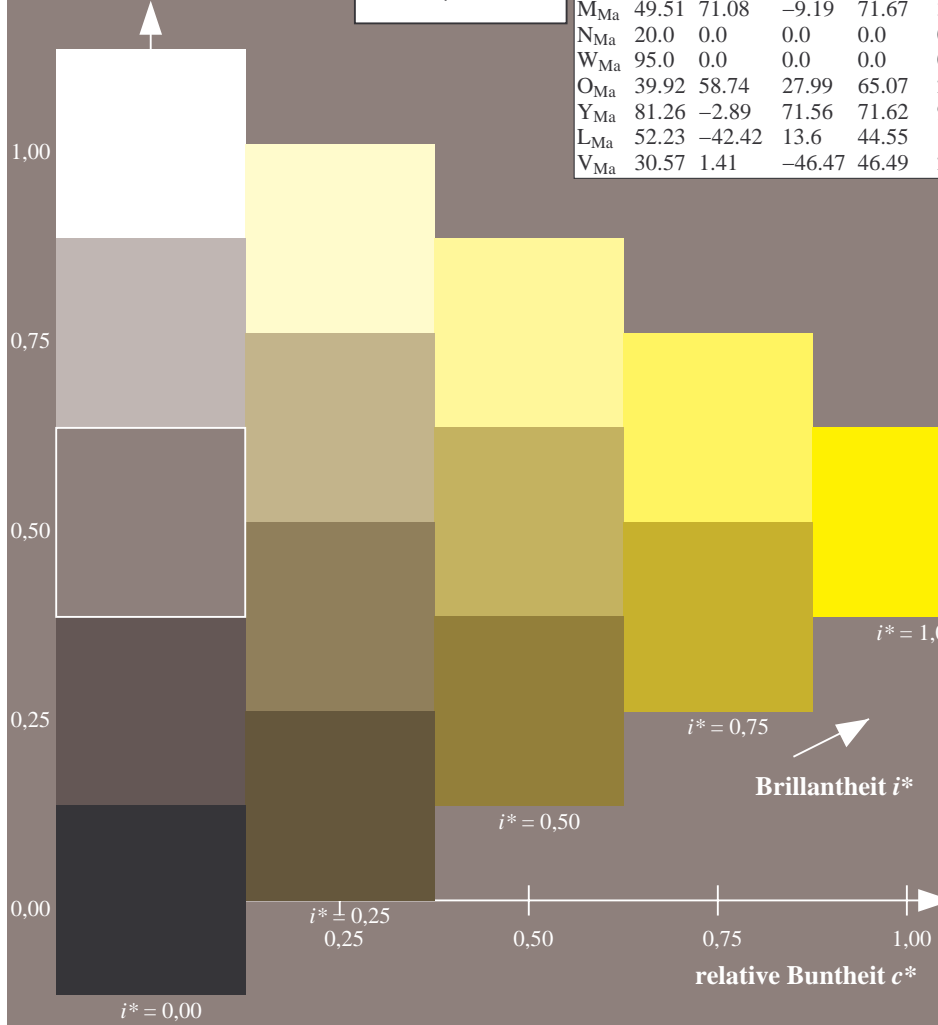
$lab^*olv^*_Ma: 1.0 1.0 0.0$

$lab^*rgb^*_Ma: 0.94 1.0 0.0$

Dreiecks-Helligkeit t^*

ORS20_95a; adaptierte CIELAB-Daten

u^*_d	$L^*=L^*_a$	a^*_a	b^*_a	$C^*_{ab,a}$	$h^*_{ab,a}$	u^*_e
<i>o00y</i>	48.71	62.56	37.91	73.15	31	<i>r08j</i>
<i>o25y</i>	58.6	44.87	49.14	66.54	48	<i>r33j</i>
<i>o50y</i>	67.52	28.93	59.25	65.94	64	<i>r57j</i>
<i>o75y</i>	77.05	11.9	70.06	71.06	80	<i>r81j</i>
<i>y00l</i>	89.25	-9.92	83.91	84.49	97	<i>j06g</i>
<i>y25l</i>	77.37	-27.05	63.23	68.78	113	<i>j30g</i>
<i>y50l</i>	68.62	-39.67	48.0	62.27	130	<i>j53g</i>
<i>y75l</i>	60.79	-50.95	34.38	61.47	146	<i>j76g</i>
<i>l00c</i>	52.5	-62.91	19.95	66.0	162	<i>g00b</i>
<i>l50c</i>	56.2	-43.39	-15.92	46.22	200	<i>g34b</i>
<i>c00v</i>	59.15	-27.87	-44.43	52.45	238	<i>g69b</i>
<i>c50v</i>	43.5	-1.49	-43.39	43.42	268	<i>g96b</i>
<i>v00m</i>	29.13	22.73	-42.44	48.14	298	<i>b23r</i>
<i>v50m</i>	37.32	42.16	-29.08	51.21	325	<i>b47r</i>
<i>m00o</i>	49.51	71.08	-9.19	71.67	353	<i>b71r</i>
<i>m50o</i>	49.11	66.86	14.12	68.34	12	<i>b88r</i>



%Umfang
 $u^*_{rel} = 83$
 %Regularität
 $g^*_{H,rel} = 72$
 $g^*_{C,rel} = 57$

Daten für jede Farbe:

lab^*tch^* und lab^*icu^*

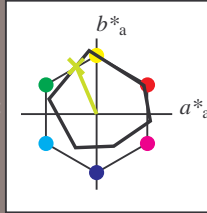
Buntontexte:

$u^*_d = y25l$ $u^*_e = j30g$

Kontrastreduzierungsfaktor:

$c_R = 0.96$

Dreiecks-Helligkeit t^*



ORS20_95a; adaptierte CIELAB-Daten						
u^*_d	$L^*=L^*_a$	a^*_a	b^*_a	$C^*_{ab,a}$	$h^*_{ab,a}$	
O _{Ma}	48.71	62.56	37.91	73.15	31	
Y _{Ma}	89.25	-9.92	83.91	84.49	97	
L _{Ma}	52.5	-62.91	19.95	66.0	162	
C _{Ma}	59.15	-27.87	-44.43	52.45	238	
V _{Ma}	29.13	22.73	-42.44	48.14	298	
M _{Ma}	49.51	71.08	-9.19	71.67	353	
N _{Ma}	20.0	0.0	0.0	0.0	0	
W _{Ma}	95.0	0.0	0.0	0.0	0	
O _{Ma}	39.92	58.74	27.99	65.07	25	
Y _{Ma}	81.26	-2.89	71.56	71.62	92	
L _{Ma}	52.23	-42.42	13.6	44.55	162	
V _{Ma}	30.57	1.41	-46.47	46.49	272	

Daten für Maximalfarbe (Ma):

$LAB^*LAB^*_{Ma}: 77 -27 63$

$LAB^*LCH^*_{Ma}: 77 69 113$

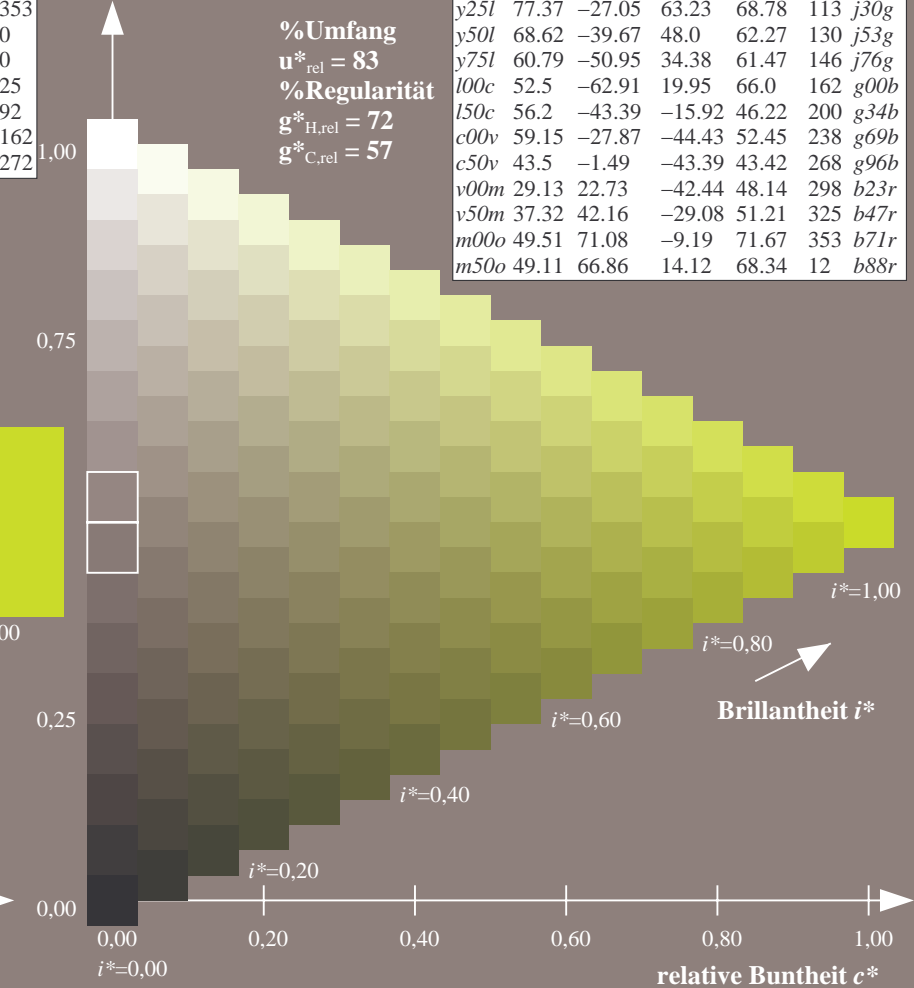
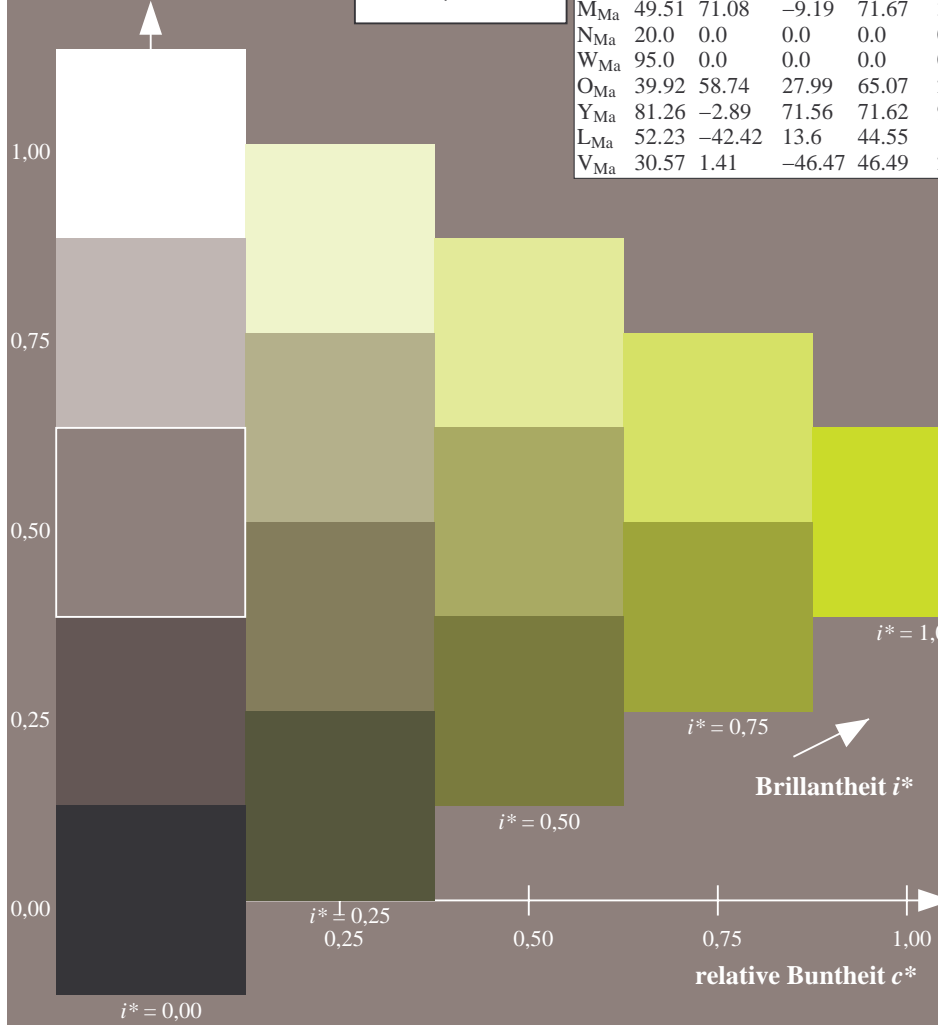
$lab^*olv^*_{Ma}: 0.75 1.0 0.0$

$lab^*rgb^*_{Ma}: 0.7 1.0 0.0$

Dreiecks-Helligkeit t^*

ORS20_95a; adaptierte CIELAB-Daten

u^*_d	$L^*=L^*_a$	a^*_a	b^*_a	$C^*_{ab,a}$	$h^*_{ab,a}$	u^*_e
o00y	48.71	62.56	37.91	73.15	31	r08j
o25y	58.6	44.87	49.14	66.54	48	r33j
o50y	67.52	28.93	59.25	65.94	64	r57j
o75y	77.05	11.9	70.06	71.06	80	r81j
y00l	89.25	-9.92	83.91	84.49	97	j06g
y25l	77.37	-27.05	63.23	68.78	113	j30g
y50l	68.62	-39.67	48.0	62.27	130	j53g
y75l	60.79	-50.95	34.38	61.47	146	j76g
l00c	52.5	-62.91	19.95	66.0	162	g00b
l50c	56.2	-43.39	-15.92	46.22	200	g34b
c00v	59.15	-27.87	-44.43	52.45	238	g69b
c50v	43.5	-1.49	-43.39	43.42	268	g96b
v00m	29.13	22.73	-42.44	48.14	298	b23r
v50m	37.32	42.16	-29.08	51.21	325	b47r
m00o	49.51	71.08	-9.19	71.67	353	b71r
m50o	49.11	66.86	14.12	68.34	12	b88r



Ein und Ausgabe: Farbmetrisches Drucker-Reflektiv-System ORS20_95a für relativen CIELAB-Bunton $h^* = lab^*h^* = h_{ab}/360 = 0.36$

$u^*_d = y50l$

Daten für jede Farbe:

lab^*tch^* und lab^*icu^*

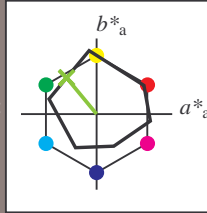
Buntontexte:

$u^*_d = y50l$ $u^*_e = j53g$

Kontrastreduzierungsfaktor:

$c_R = 0.96$

Dreiecks-Helligkeit t^*



ORS20_95a; adaptierte CIELAB-Daten						
u^*_d	$L^*=L^*_a$	a^*_a	b^*_a	$C^*_{ab,a}$	$h^*_{ab,a}$	
O _{Ma}	48.71	62.56	37.91	73.15	31	
Y _{Ma}	89.25	-9.92	83.91	84.49	97	
L _{Ma}	52.5	-62.91	19.95	66.0	162	
C _{Ma}	59.15	-27.87	-44.43	52.45	238	
V _{Ma}	29.13	22.73	-42.44	48.14	298	
M _{Ma}	49.51	71.08	-9.19	71.67	353	
N _{Ma}	20.0	0.0	0.0	0.0	0	
W _{Ma}	95.0	0.0	0.0	0.0	0	
O _{Ma}	39.92	58.74	27.99	65.07	25	
Y _{Ma}	81.26	-2.89	71.56	71.62	92	
L _{Ma}	52.23	-42.42	13.6	44.55	162	
V _{Ma}	30.57	1.41	-46.47	46.49	272	

Daten für Maximalfarbe (Ma):

$LAB^*LAB^*_Ma: 69 -40 48$

$LAB^*LCH^*_Ma: 69 62 129$

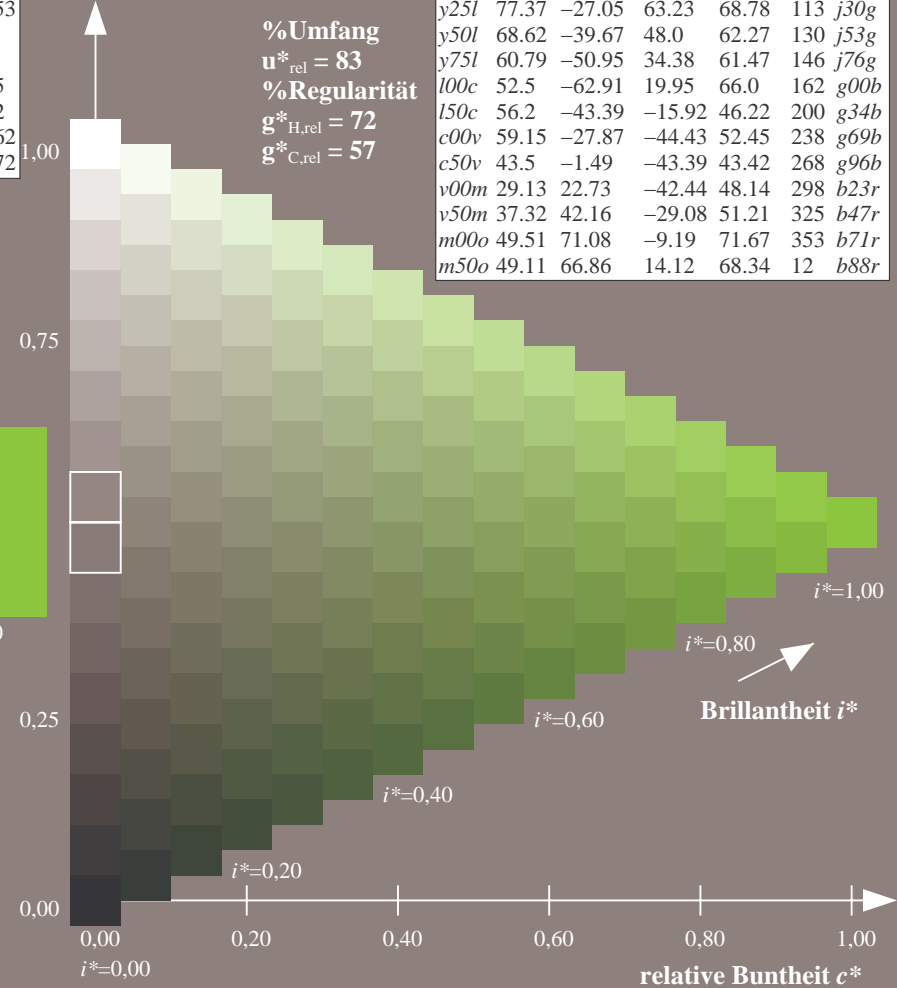
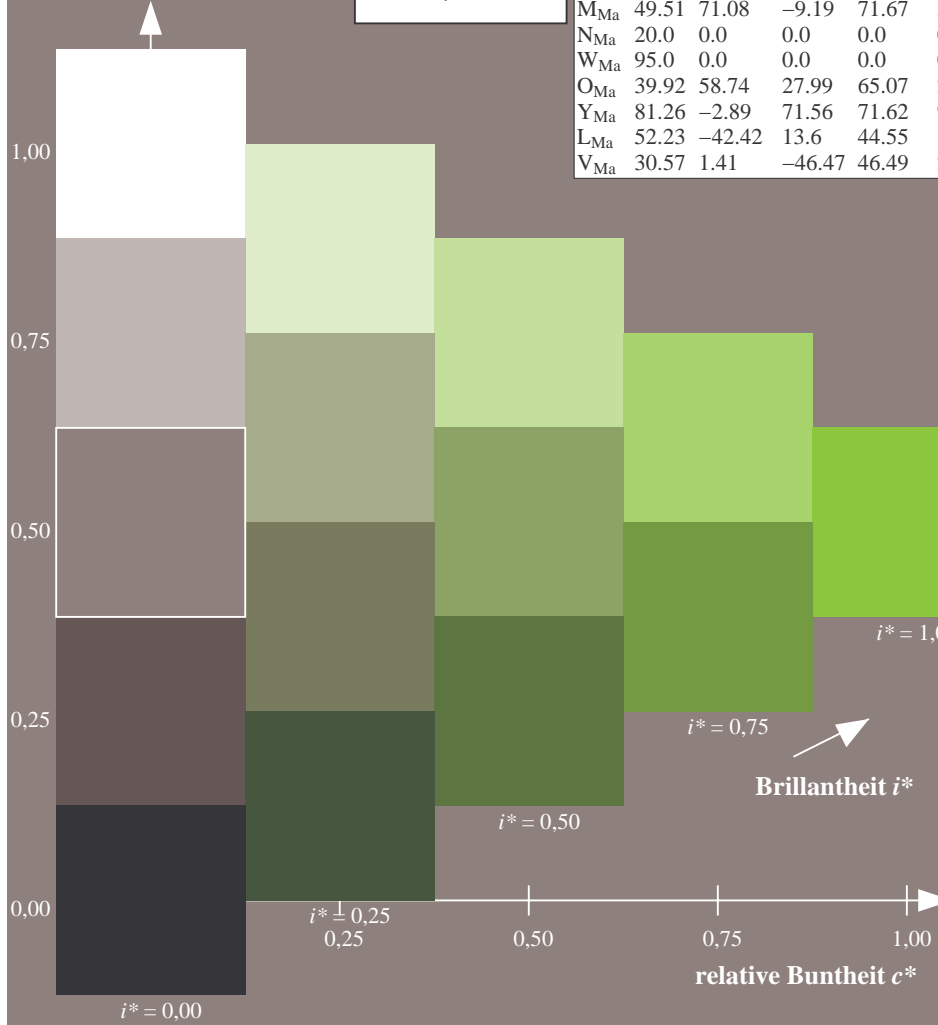
$lab^*olv^*_Ma: 0.5 1.0 0.0$

$lab^*rgb^*_Ma: 0.47 1.0 0.0$

Dreiecks-Helligkeit t^*

ORS20_95a; adaptierte CIELAB-Daten

u^*_d	$L^*=L^*_a$	a^*_a	b^*_a	$C^*_{ab,a}$	$h^*_{ab,a}$	u^*_e
o00y	48.71	62.56	37.91	73.15	31	r08j
o25y	58.6	44.87	49.14	66.54	48	r33j
o50y	67.52	28.93	59.25	65.94	64	r57j
o75y	77.05	11.9	70.06	71.06	80	r81j
y00l	89.25	-9.92	83.91	84.49	97	j06g
y25l	77.37	-27.05	63.23	68.78	113	j30g
y50l	68.62	-39.67	48.0	62.27	130	j53g
y75l	60.79	-50.95	34.38	61.47	146	j76g
l00c	52.5	-62.91	19.95	66.0	162	g00b
l50c	56.2	-43.39	-15.92	46.22	200	g34b
c00v	59.15	-27.87	-44.43	52.45	238	g69b
c50v	43.5	-1.49	-43.39	43.42	268	g96b
v00m	29.13	22.73	-42.44	48.14	298	b23r
v50m	37.32	42.16	-29.08	51.21	325	b47r
m00o	49.51	71.08	-9.19	71.67	353	b71r
m50o	49.11	66.86	14.12	68.34	12	b88r



Daten für jede Farbe:

lab^*tch^* und lab^*icu^*

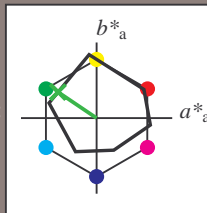
Buntontexte:

$u^*_d = y75l$ $u^*_e = j76g$

Kontrastreduzierungsfaktor:

$c_R = 0.96$

Dreiecks-Helligkeit t^*



ORS20_95a; adaptierte CIELAB-Daten						
u^*_d	$L^*=L^*_a$	a^*_a	b^*_a	$C^*_{ab,a}$	$h^*_{ab,a}$	
O _{Ma}	48.71	62.56	37.91	73.15	31	
Y _{Ma}	89.25	-9.92	83.91	84.49	97	
L _{Ma}	52.5	-62.91	19.95	66.0	162	
C _{Ma}	59.15	-27.87	-44.43	52.45	238	
V _{Ma}	29.13	22.73	-42.44	48.14	298	
M _{Ma}	49.51	71.08	-9.19	71.67	353	
N _{Ma}	20.0	0.0	0.0	0.0	0	
W _{Ma}	95.0	0.0	0.0	0.0	0	
O _{Ma}	39.92	58.74	27.99	65.07	25	
Y _{Ma}	81.26	-2.89	71.56	71.62	92	
L _{Ma}	52.23	-42.42	13.6	44.55	162	
V _{Ma}	30.57	1.41	-46.47	46.49	272	

Daten für Maximalfarbe (Ma):

$LAB^*LAB^*_{Ma}: 61 \ -51 \ 34$

$LAB^*LCH^*_{Ma}: 61 \ 61 \ 145$

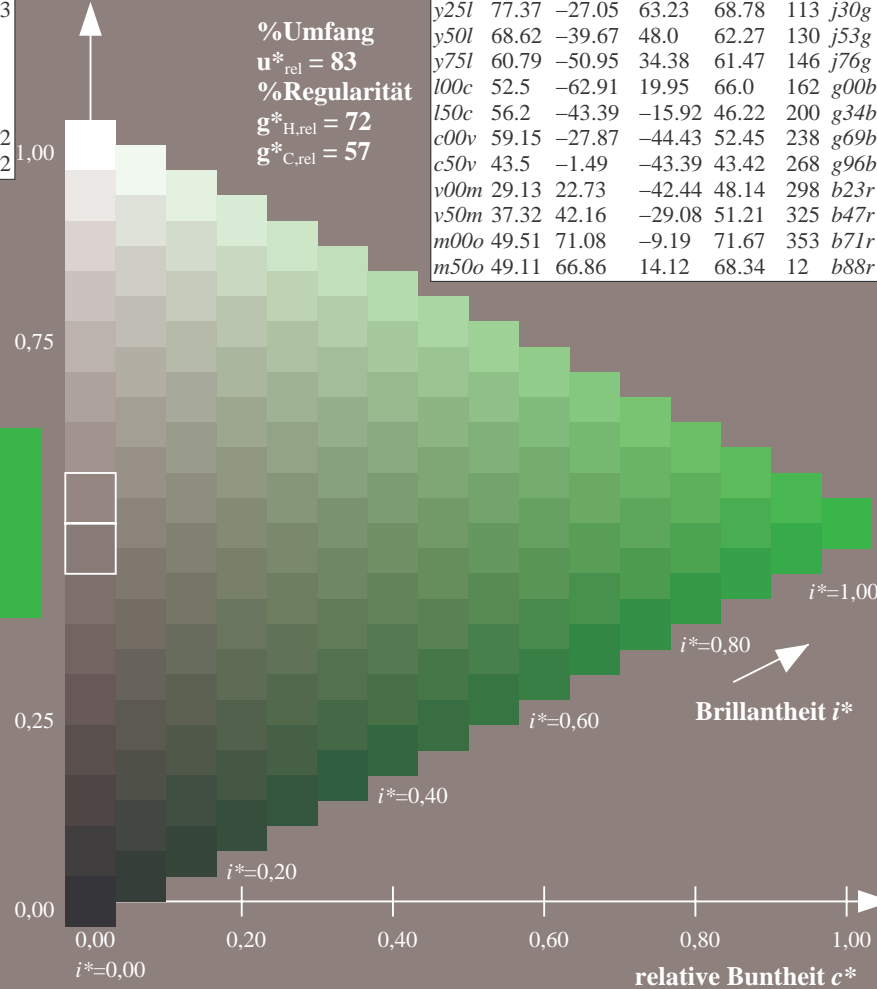
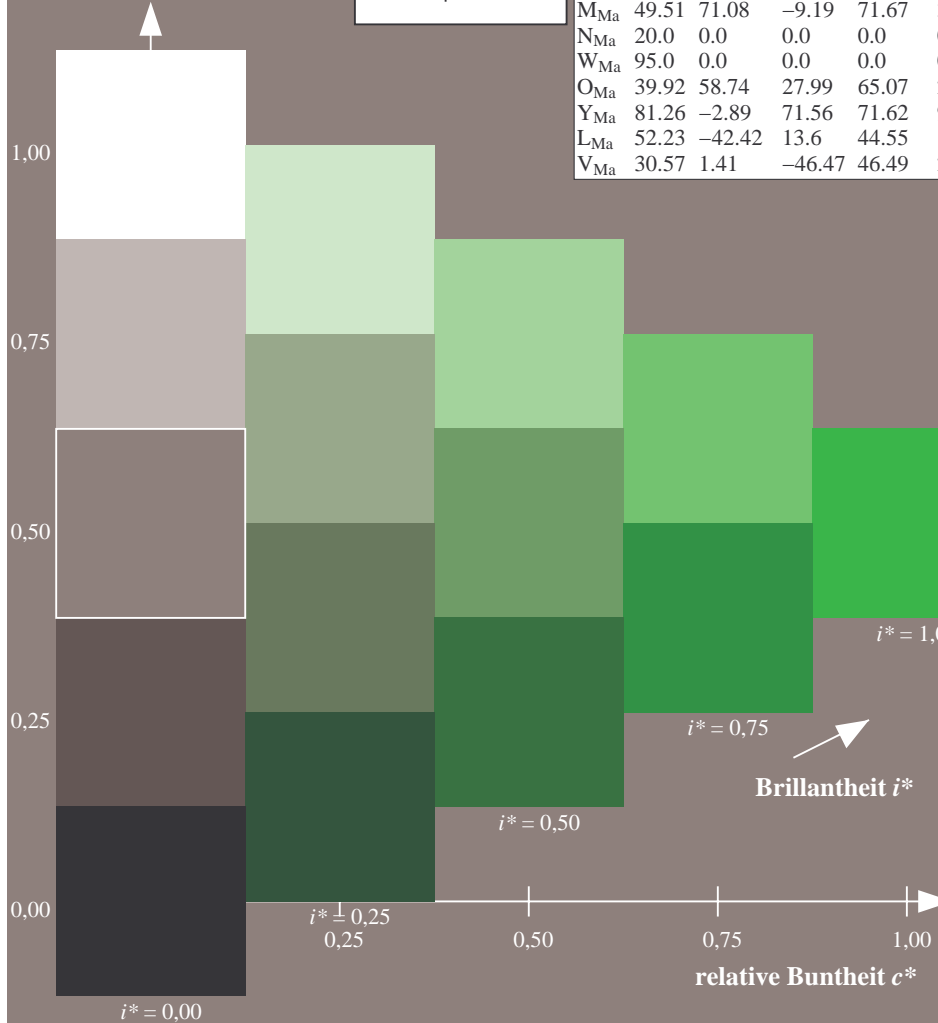
$lab^*olv^*_{Ma}: 0.25 \ 1.0 \ 0.0$

$lab^*rgb^*_{Ma}: 0.23 \ 1.0 \ 0.0$

Dreiecks-Helligkeit t^*

ORS20_95a; adaptierte CIELAB-Daten

u^*_d	$L^*=L^*_a$	a^*_a	b^*_a	$C^*_{ab,a}$	$h^*_{ab,a}$	u^*_e
o00y	48.71	62.56	37.91	73.15	31	r08j
o25y	58.6	44.87	49.14	66.54	48	r33j
o50y	67.52	28.93	59.25	65.94	64	r57j
o75y	77.05	11.9	70.06	71.06	80	r81j
y00l	89.25	-9.92	83.91	84.49	97	j06g
y25l	77.37	-27.05	63.23	68.78	113	j30g
y50l	68.62	-39.67	48.0	62.27	130	j53g
y75l	60.79	-50.95	34.38	61.47	146	j76g
l00c	52.5	-62.91	19.95	66.0	162	g00b
l50c	56.2	-43.39	-15.92	46.22	200	g34b
c00v	59.15	-27.87	-44.43	52.45	238	g69b
c50v	43.5	-1.49	-43.39	43.42	268	g96b
v00m	29.13	22.73	-42.44	48.14	298	b23r
v50m	37.32	42.16	-29.08	51.21	325	b47r
m00o	49.51	71.08	-9.19	71.67	353	b71r
m50o	49.11	66.86	14.12	68.34	12	b88r



Daten für jede Farbe:

lab^*tch^* und lab^*icu^*

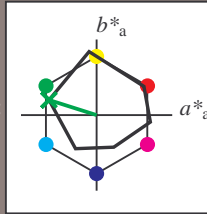
Buntontexte:

$u^*_d = 100c$ $u^*_e = g00b$

Kontrastreduzierungsfaktor:

$c_R = 0.96$

Dreiecks-Helligkeit t^*



ORS20_95a; adaptierte CIELAB-Daten						
u^*_d	$L^*=L^*_a$	a^*_a	b^*_a	$C^*_{ab,a}$	$h^*_{ab,a}$	
O _{Ma}	48.71	62.56	37.91	73.15	31	
Y _{Ma}	89.25	-9.92	83.91	84.49	97	
L _{Ma}	52.5	-62.91	19.95	66.0	162	
C _{Ma}	59.15	-27.87	-44.43	52.45	238	
V _{Ma}	29.13	22.73	-42.44	48.14	298	
M _{Ma}	49.51	71.08	-9.19	71.67	353	
N _{Ma}	20.0	0.0	0.0	0.0	0	
W _{Ma}	95.0	0.0	0.0	0.0	0	
O _{Ma}	39.92	58.74	27.99	65.07	25	
Y _{Ma}	81.26	-2.89	71.56	71.62	92	
L _{Ma}	52.23	-42.42	13.6	44.55	162	
V _{Ma}	30.57	1.41	-46.47	46.49	272	

Daten für Maximalfarbe (Ma):

$LAB^*LAB^*_{Ma}: 52 -63 20$

$LAB^*LCH^*_{Ma}: 52 66 162$

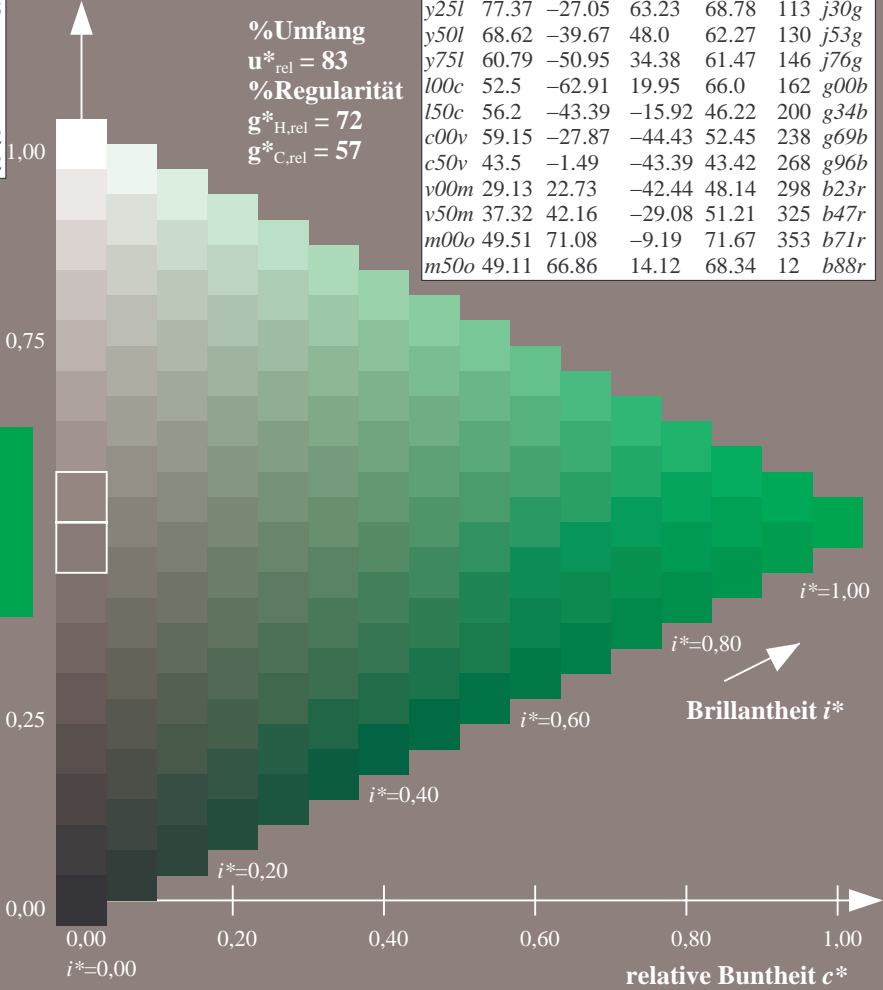
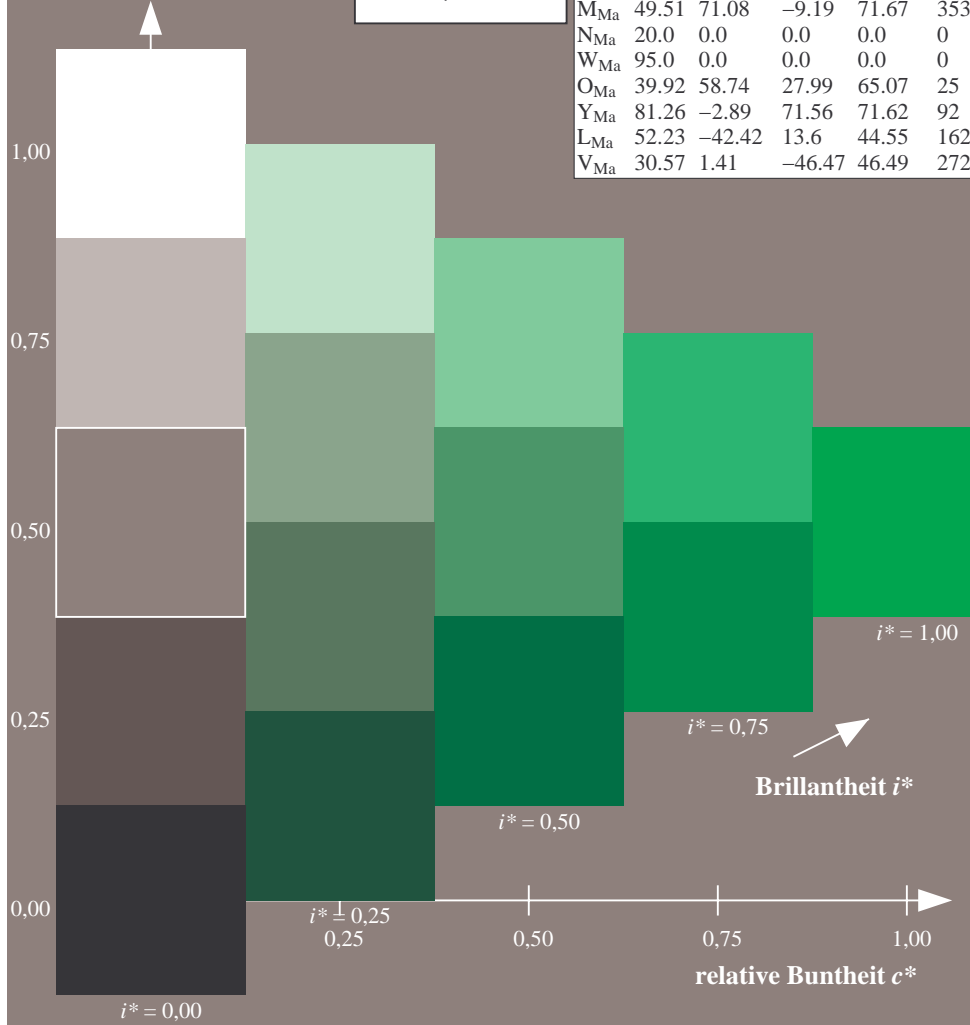
$lab^*olv^*_{Ma}: 0.0 1.0 0.0$

$lab^*rgb^*_{Ma}: 0.0 1.0 0.0$

Dreiecks-Helligkeit t^*

ORS20_95a; adaptierte CIELAB-Daten

u^*_d	$L^*=L^*_a$	a^*_a	b^*_a	$C^*_{ab,a}$	$h^*_{ab,a}$	u^*_e
o00y	48.71	62.56	37.91	73.15	31	r08j
o25y	58.6	44.87	49.14	66.54	48	r33j
o50y	67.52	28.93	59.25	65.94	64	r57j
o75y	77.05	11.9	70.06	71.06	80	r81j
y00l	89.25	-9.92	83.91	84.49	97	j06g
y25l	77.37	-27.05	63.23	68.78	113	j30g
y50l	68.62	-39.67	48.0	62.27	130	j53g
y75l	60.79	-50.95	34.38	61.47	146	j76g
l00c	52.5	-62.91	19.95	66.0	162	g00b
l50c	56.2	-43.39	-15.92	46.22	200	g34b
c00v	59.15	-27.87	-44.43	52.45	238	g69b
c50v	43.5	-1.49	-43.39	43.42	268	g96b
v00m	29.13	22.73	-42.44	48.14	298	b23r
v50m	37.32	42.16	-29.08	51.21	325	b47r
m00o	49.51	71.08	-9.19	71.67	353	b71r
m50o	49.11	66.86	14.12	68.34	12	b88r



Daten für jede Farbe:

lab^*tch^* und lab^*icu^*

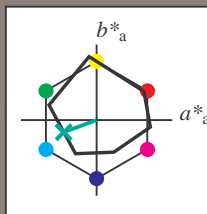
Buntontexte:

$u^*_d = 150c$ $u^*_e = g34b$

Kontrastreduzierungsfaktor:

$c_R = 0.96$

Dreiecks-Helligkeit t^*



ORS20_95a; adaptierte CIELAB-Daten

u^*_d	$L^*=L^*_a$	a^*_a	b^*_a	$C^*_{ab,a}$	$h^*_{ab,a}$
O _{Ma}	48.71	62.56	37.91	73.15	31
Y _{Ma}	89.25	-9.92	83.91	84.49	97
L _{Ma}	52.5	-62.91	19.95	66.0	162
C _{Ma}	59.15	-27.87	-44.43	52.45	238
V _{Ma}	29.13	22.73	-42.44	48.14	298
M _{Ma}	49.51	71.08	-9.19	71.67	353
N _{Ma}	20.0	0.0	0.0	0.0	0
W _{Ma}	95.0	0.0	0.0	0.0	0
O _{Ma}	39.92	58.74	27.99	65.07	25
Y _{Ma}	81.26	-2.89	71.56	71.62	92
L _{Ma}	52.23	-42.42	13.6	44.55	162
V _{Ma}	30.57	1.41	-46.47	46.49	272

Daten für Maximalfarbe (Ma):

$\text{LAB}^*\text{LAB}^*_{Ma}: 56 -43 -16$

$\text{LAB}^*\text{LCH}^*_{Ma}: 56 46 200$

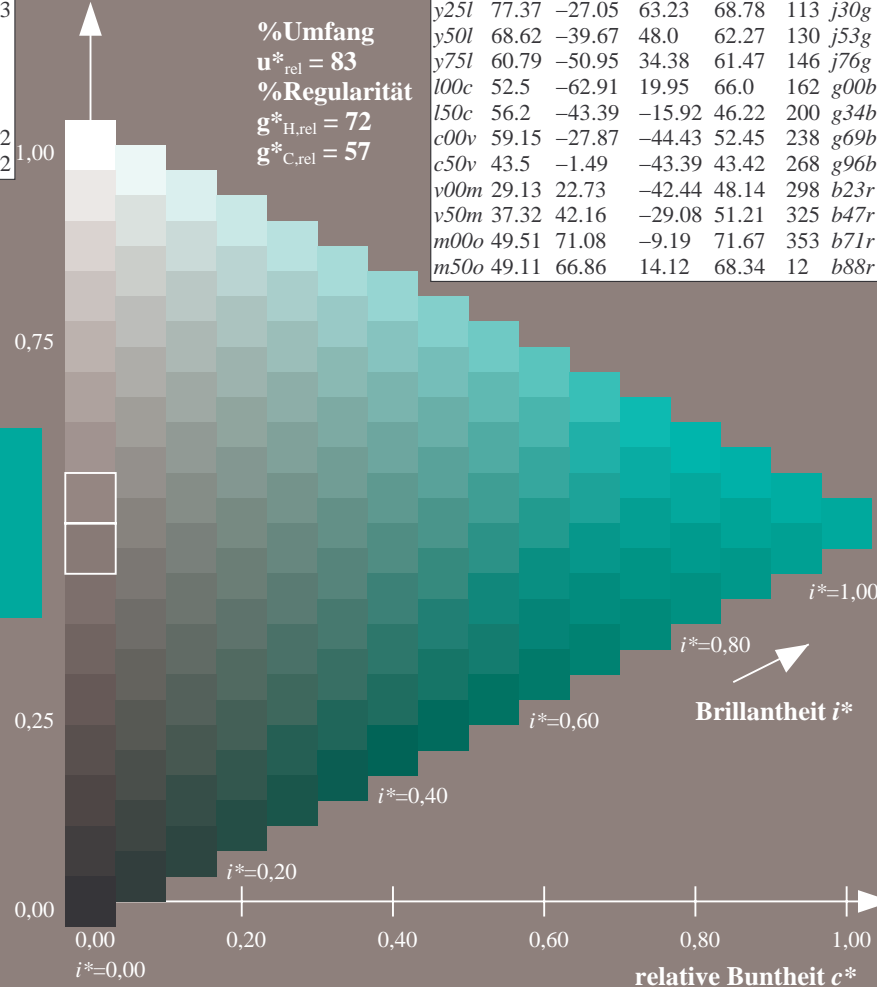
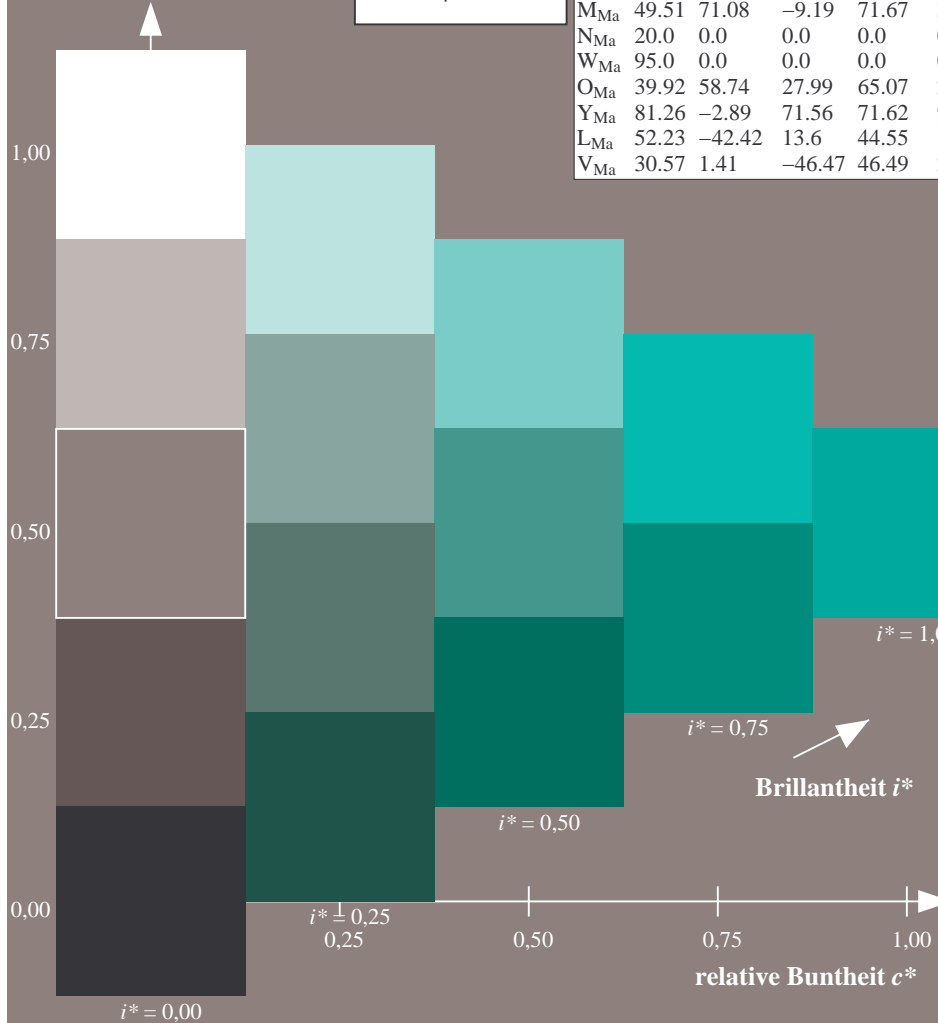
$\text{lab}^*\text{olv}^*_{Ma}: 0.0 1.0 0.5$

$\text{lab}^*\text{rgb}^*_{Ma}: 0.0 1.0 0.69$

Dreiecks-Helligkeit t^*

ORS20_95a; adaptierte CIELAB-Daten

u^*_d	$L^*=L^*_a$	a^*_a	b^*_a	$C^*_{ab,a}$	$h^*_{ab,a}$	u^*_e
o00y	48.71	62.56	37.91	73.15	31	r08j
o25y	58.6	44.87	49.14	66.54	48	r33j
o50y	67.52	28.93	59.25	65.94	64	r57j
o75y	77.05	11.9	70.06	71.06	80	r81j
y00l	89.25	-9.92	83.91	84.49	97	j06g
y25l	77.37	-27.05	63.23	68.78	113	j30g
y50l	68.62	-39.67	48.0	62.27	130	j53g
y75l	60.79	-50.95	34.38	61.47	146	j76g
l00c	52.5	-62.91	19.95	66.0	162	g00b
l50c	56.2	-43.39	-15.92	46.22	200	g34b
c00v	59.15	-27.87	-44.43	52.45	238	g69b
c50v	43.5	-1.49	-43.39	43.42	268	g96b
v00m	29.13	22.73	-42.44	48.14	298	b23r
v50m	37.32	42.16	-29.08	51.21	325	b47r
m00o	49.51	71.08	-9.19	71.67	353	b71r
m50o	49.11	66.86	14.12	68.34	12	b88r



%Umfang

$u^*_{rel} = 83$

%Regularität

$g^*_{H,rel} = 72$

$g^*_{C,rel} = 57$

Daten für jede Farbe:

lab^*tch^* und lab^*icu^*

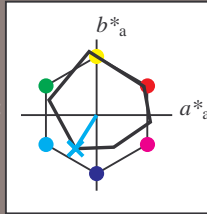
Buntontexte:

$u^*_d = c00v$ $u^*_e = g69b$

Kontrastreduzierungsfaktor:

$c_R = 0.96$

Dreiecks-Helligkeit t^*



ORS20_95a; adaptierte CIELAB-Daten						
u^*_d	$L^*=L^*_a$	a^*_a	b^*_a	$C^*_{ab,a}$	$h^*_{ab,a}$	
O _{Ma}	48.71	62.56	37.91	73.15	31	
Y _{Ma}	89.25	-9.92	83.91	84.49	97	
L _{Ma}	52.5	-62.91	19.95	66.0	162	
C _{Ma}	59.15	-27.87	-44.43	52.45	238	
V _{Ma}	29.13	22.73	-42.44	48.14	298	
M _{Ma}	49.51	71.08	-9.19	71.67	353	
N _{Ma}	20.0	0.0	0.0	0.0	0	
W _{Ma}	95.0	0.0	0.0	0.0	0	
O _{Ma}	39.92	58.74	27.99	65.07	25	
Y _{Ma}	81.26	-2.89	71.56	71.62	92	
L _{Ma}	52.23	-42.42	13.6	44.55	162	
V _{Ma}	30.57	1.41	-46.47	46.49	272	

Daten für Maximalfarbe (Ma):

$LAB^*LAB^*_{Ma}: 59 -28 -44$

$LAB^*LCH^*_{Ma}: 59 52 237$

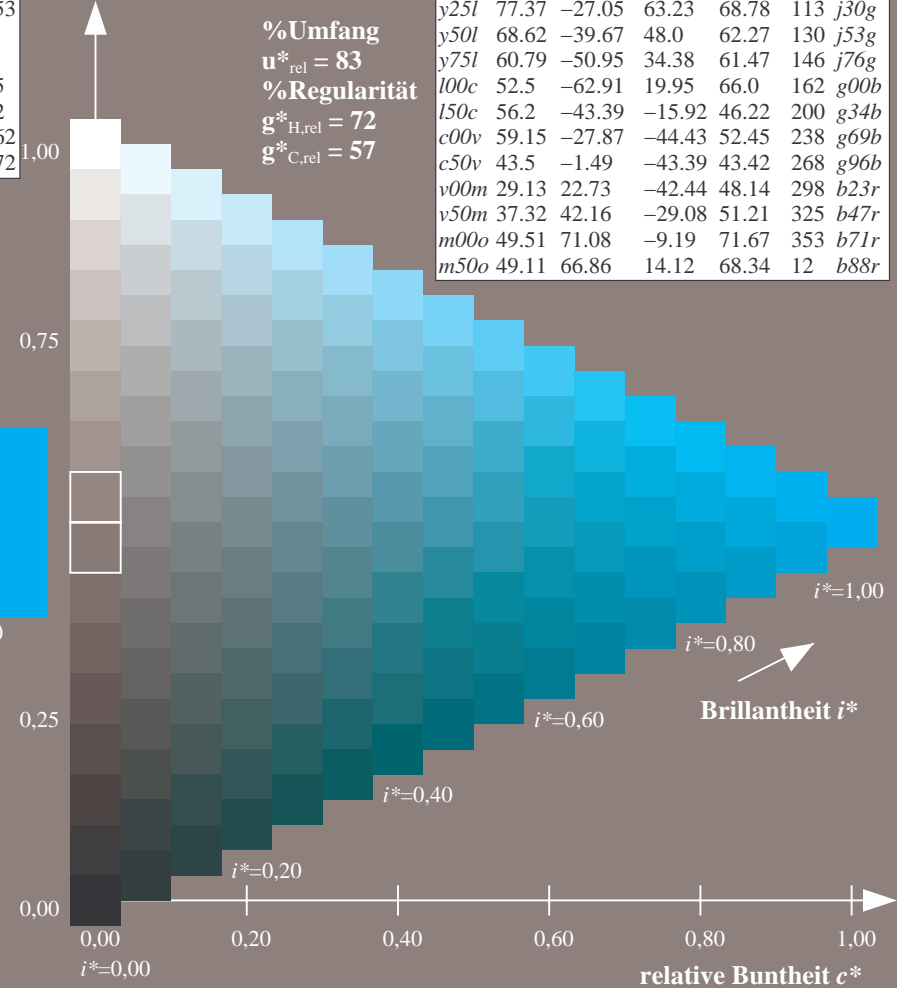
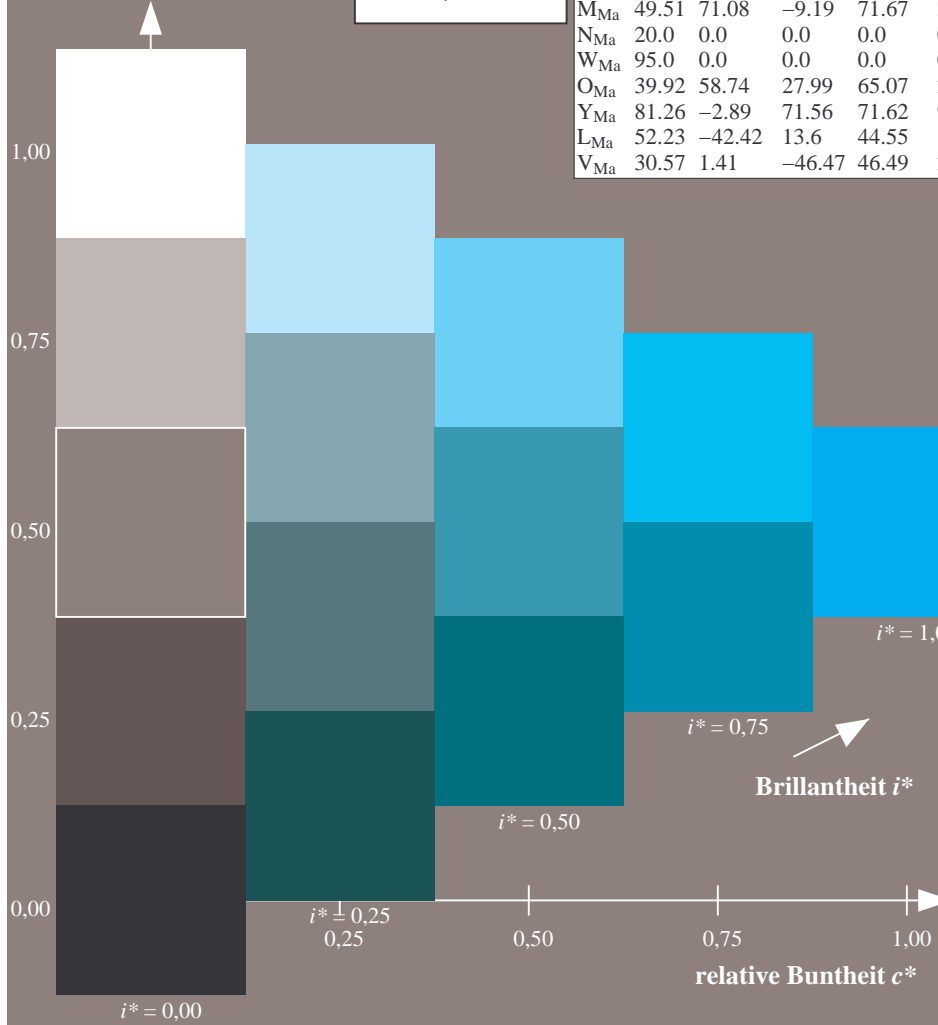
$lab^*olv^*_{Ma}: 0.0 1.0 1.0$

$lab^*rgb^*_{Ma}: 0.0 0.62 1.0$

Dreiecks-Helligkeit t^*

ORS20_95a; adaptierte CIELAB-Daten

u^*_d	$L^*=L^*_a$	a^*_a	b^*_a	$C^*_{ab,a}$	$h^*_{ab,a}$	u^*_e
o00y	48.71	62.56	37.91	73.15	31	r08j
o25y	58.6	44.87	49.14	66.54	48	r33j
o50y	67.52	28.93	59.25	65.94	64	r57j
o75y	77.05	11.9	70.06	71.06	80	r81j
y00l	89.25	-9.92	83.91	84.49	97	j06g
y25l	77.37	-27.05	63.23	68.78	113	j30g
y50l	68.62	-39.67	48.0	62.27	130	j53g
y75l	60.79	-50.95	34.38	61.47	146	j76g
l00c	52.5	-62.91	19.95	66.0	162	g00b
l50c	56.2	-43.39	-15.92	46.22	200	g34b
c00v	59.15	-27.87	-44.43	52.45	238	g69b
c50v	43.5	-1.49	-43.39	43.42	268	g96b
v00m	29.13	22.73	-42.44	48.14	298	b23r
v50m	37.32	42.16	-29.08	51.21	325	b47r
m00o	49.51	71.08	-9.19	71.67	353	b71r
m50o	49.11	66.86	14.12	68.34	12	b88r



Daten für jede Farbe:

lab^*tch^* und lab^*icu^*

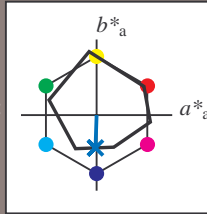
Buntontexte:

$u^*_d = c50v$ $u^*_e = g96b$

Kontrastreduzierungsfaktor:

$c_R = 0.96$

Dreiecks-Helligkeit t^*



ORS20_95a; adaptierte CIELAB-Daten						
u^*_d	$L^*=L^*_a$	a^*_a	b^*_a	$C^*_{ab,a}$	$h^*_{ab,a}$	
O _{Ma}	48.71	62.56	37.91	73.15	31	
Y _{Ma}	89.25	-9.92	83.91	84.49	97	
L _{Ma}	52.5	-62.91	19.95	66.0	162	
C _{Ma}	59.15	-27.87	-44.43	52.45	238	
V _{Ma}	29.13	22.73	-42.44	48.14	298	
M _{Ma}	49.51	71.08	-9.19	71.67	353	
N _{Ma}	20.0	0.0	0.0	0.0	0	
W _{Ma}	95.0	0.0	0.0	0.0	0	
O _{Ma}	39.92	58.74	27.99	65.07	25	
Y _{Ma}	81.26	-2.89	71.56	71.62	92	
L _{Ma}	52.23	-42.42	13.6	44.55	162	
V _{Ma}	30.57	1.41	-46.47	46.49	272	

Daten für Maximalfarbe (Ma):

$LAB^*LAB^*_{Ma}$: 43 -1 -43

$LAB^*LCH^*_{Ma}$: 43 43 268

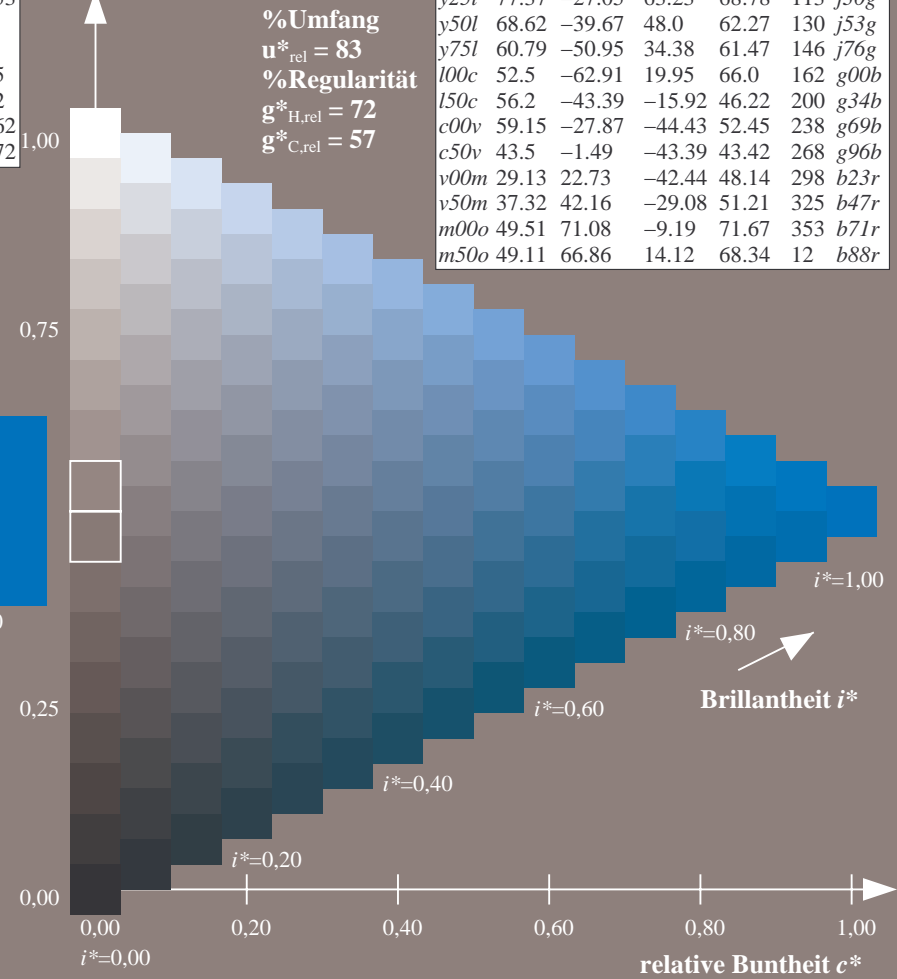
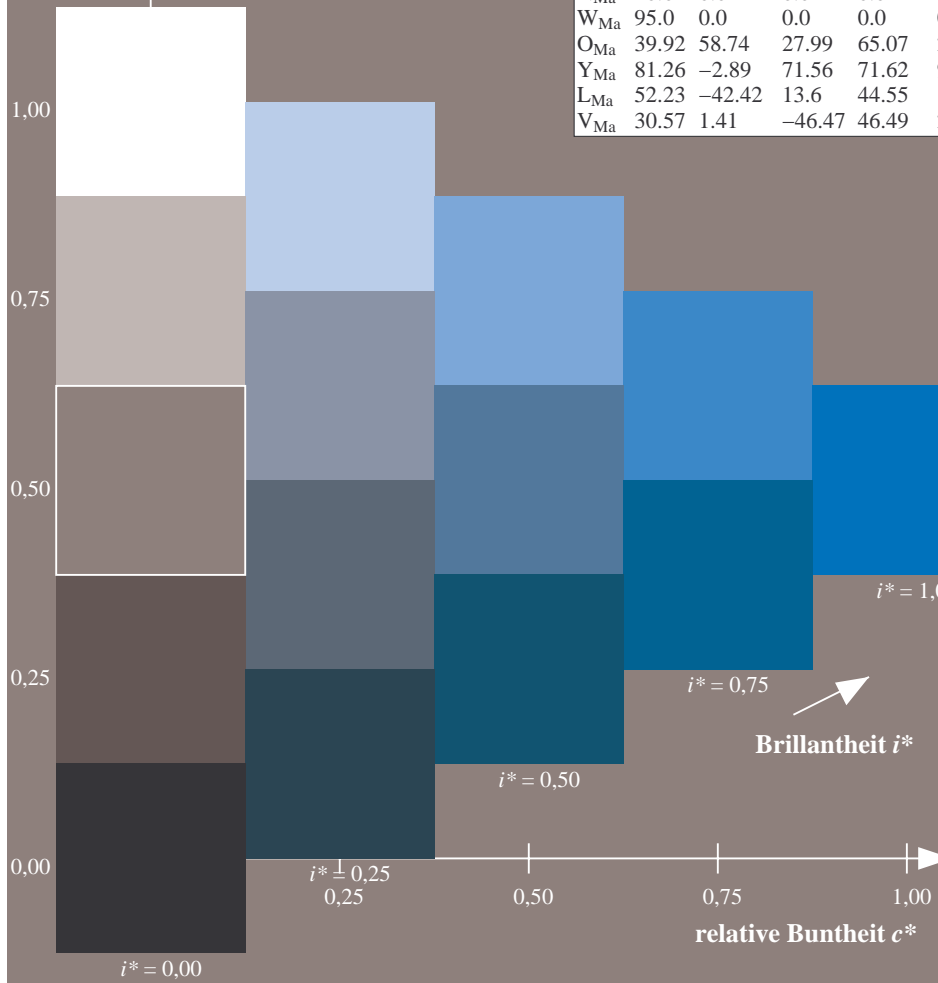
$lab^*olv^*_{Ma}$: 0.0 0.5 1.0

$lab^*rgb^*_{Ma}$: 0.0 0.07 1.0

Dreiecks-Helligkeit t^*

ORS20_95a; adaptierte CIELAB-Daten

u^*_d	$L^*=L^*_a$	a^*_a	b^*_a	$C^*_{ab,a}$	$h^*_{ab,a}$	u^*_e
o00y	48.71	62.56	37.91	73.15	31	r08j
o25y	58.6	44.87	49.14	66.54	48	r33j
o50y	67.52	28.93	59.25	65.94	64	r57j
o75y	77.05	11.9	70.06	71.06	80	r81j
y00l	89.25	-9.92	83.91	84.49	97	j06g
y25l	77.37	-27.05	63.23	68.78	113	j30g
y50l	68.62	-39.67	48.0	62.27	130	j53g
y75l	60.79	-50.95	34.38	61.47	146	j76g
l00c	52.5	-62.91	19.95	66.0	162	g00b
l50c	56.2	-43.39	-15.92	46.22	200	g34b
c00v	59.15	-27.87	-44.43	52.45	238	g69b
c50v	43.5	-1.49	-43.39	43.42	268	g96b
v00m	29.13	22.73	-42.44	48.14	298	b23r
v50m	37.32	42.16	-29.08	51.21	325	b47r
m00o	49.51	71.08	-9.19	71.67	353	b71r
m50o	49.11	66.86	14.12	68.34	12	b88r



%Umfang
 $u^*_{rel} = 83$
 %Regularität
 $g^*_{H,rel} = 72$
 $g^*_{C,rel} = 57$

Daten für jede Farbe:

lab^*tch^* und lab^*icu^*

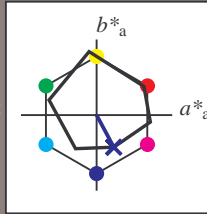
Buntontexte:

$u^*_d = v00m$ $u^*_e = b23r$

Kontrastreduzierungsfaktor:

$c_R = 0.96$

Dreiecks-Helligkeit t^*



ORS20_95a; adaptierte CIELAB-Daten						
u^*_d	$L^*=L^*_a$	a^*_a	b^*_a	$C^*_{ab,a}$	$h^*_{ab,a}$	
O _{Ma}	48.71	62.56	37.91	73.15	31	
Y _{Ma}	89.25	-9.92	83.91	84.49	97	
L _{Ma}	52.5	-62.91	19.95	66.0	162	
C _{Ma}	59.15	-27.87	-44.43	52.45	238	
V _{Ma}	29.13	22.73	-42.44	48.14	298	
M _{Ma}	49.51	71.08	-9.19	71.67	353	
N _{Ma}	20.0	0.0	0.0	0.0	0	
W _{Ma}	95.0	0.0	0.0	0.0	0	
O _{Ma}	39.92	58.74	27.99	65.07	25	
Y _{Ma}	81.26	-2.89	71.56	71.62	92	
L _{Ma}	52.23	-42.42	13.6	44.55	162	
V _{Ma}	30.57	1.41	-46.47	46.49	272	

Daten für Maximalfarbe (Ma):

$LAB^*LAB^*_{Ma}$: 29 23 -42

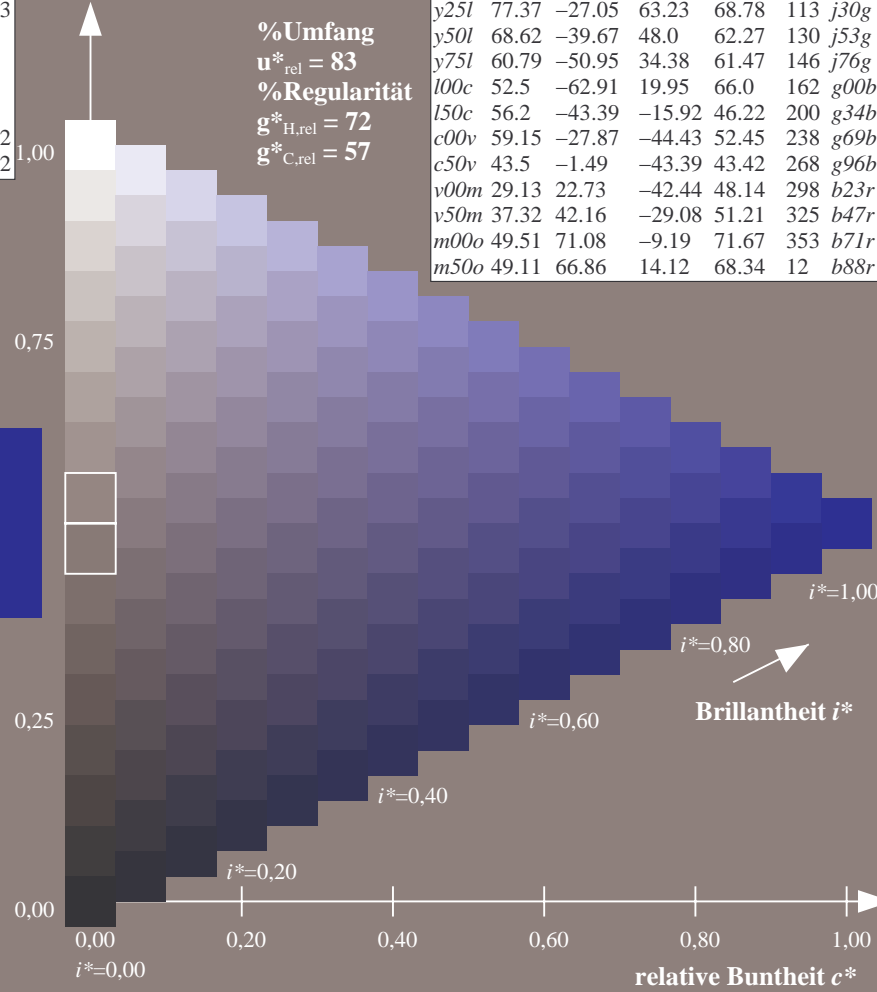
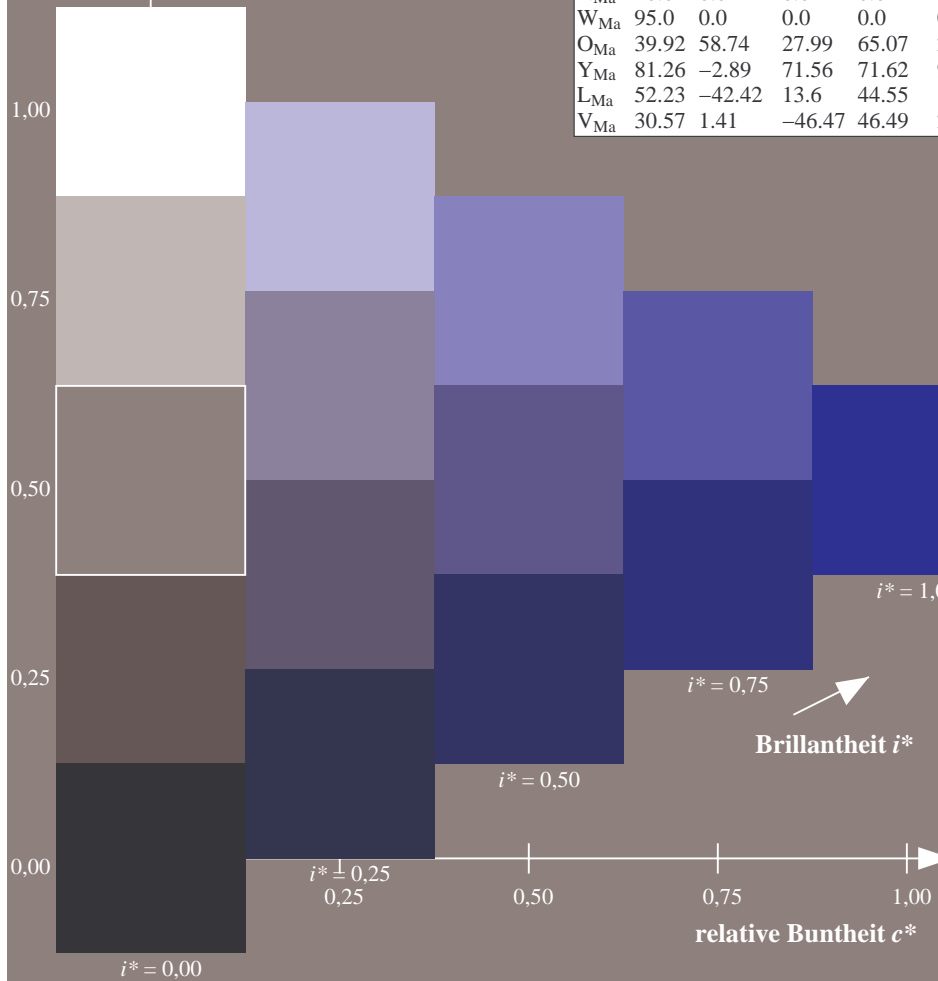
$LAB^*LCH^*_{Ma}$: 29 48 298

$lab^*olv^*_{Ma}$: 0.0 0.0 1.0

$lab^*rgb^*_{Ma}$: 0.46 0.0 1.0

Dreiecks-Helligkeit t^*

ORS20_95a; adaptierte CIELAB-Daten							
u^*_d	$L^*=L^*_a$	a^*_a	b^*_a	$C^*_{ab,a}$	$h^*_{ab,a}$	u^*_e	
o00y	48.71	62.56	37.91	73.15	31	r08j	
o25y	58.6	44.87	49.14	66.54	48	r33j	
o50y	67.52	28.93	59.25	65.94	64	r57j	
o75y	77.05	11.9	70.06	71.06	80	r81j	
y00l	89.25	-9.92	83.91	84.49	97	j06g	
y25l	77.37	-27.05	63.23	68.78	113	j30g	
y50l	68.62	-39.67	48.0	62.27	130	j53g	
y75l	60.79	-50.95	34.38	61.47	146	j76g	
l00c	52.5	-62.91	19.95	66.0	162	g00b	
l50c	56.2	-43.39	-15.92	46.22	200	g34b	
c00v	59.15	-27.87	-44.43	52.45	238	g69b	
c50v	43.5	-1.49	-43.39	43.42	268	g96b	
v00m	29.13	22.73	-42.44	48.14	298	b23r	
v50m	37.32	42.16	-29.08	51.21	325	b47r	
m00o	49.51	71.08	-9.19	71.67	353	b71r	
m50o	49.11	66.86	14.12	68.34	12	b88r	



Daten für jede Farbe:

lab^*tch^* und lab^*icu^*

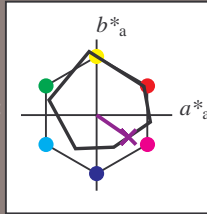
Buntontexte:

$u^*_d = v50m$ $u^*_e = b47r$

Kontrastreduzierungsfaktor:

$c_R = 0.96$

Dreiecks-Helligkeit t^*



ORS20_95a; adaptierte CIELAB-Daten						
u^*_d	$L^*=L^*_a$	a^*_a	b^*_a	$C^*_{ab,a}$	$h^*_{ab,a}$	
O _{Ma}	48.71	62.56	37.91	73.15	31	
Y _{Ma}	89.25	-9.92	83.91	84.49	97	
L _{Ma}	52.5	-62.91	19.95	66.0	162	
C _{Ma}	59.15	-27.87	-44.43	52.45	238	
V _{Ma}	29.13	22.73	-42.44	48.14	298	
M _{Ma}	49.51	71.08	-9.19	71.67	353	
N _{Ma}	20.0	0.0	0.0	0.0	0	
W _{Ma}	95.0	0.0	0.0	0.0	0	
O _{Ma}	39.92	58.74	27.99	65.07	25	
Y _{Ma}	81.26	-2.89	71.56	71.62	92	
L _{Ma}	52.23	-42.42	13.6	44.55	162	
V _{Ma}	30.57	1.41	-46.47	46.49	272	

Daten für Maximalfarbe (Ma):

$LAB^*LAB^*_{Ma}$: 37 42 -29

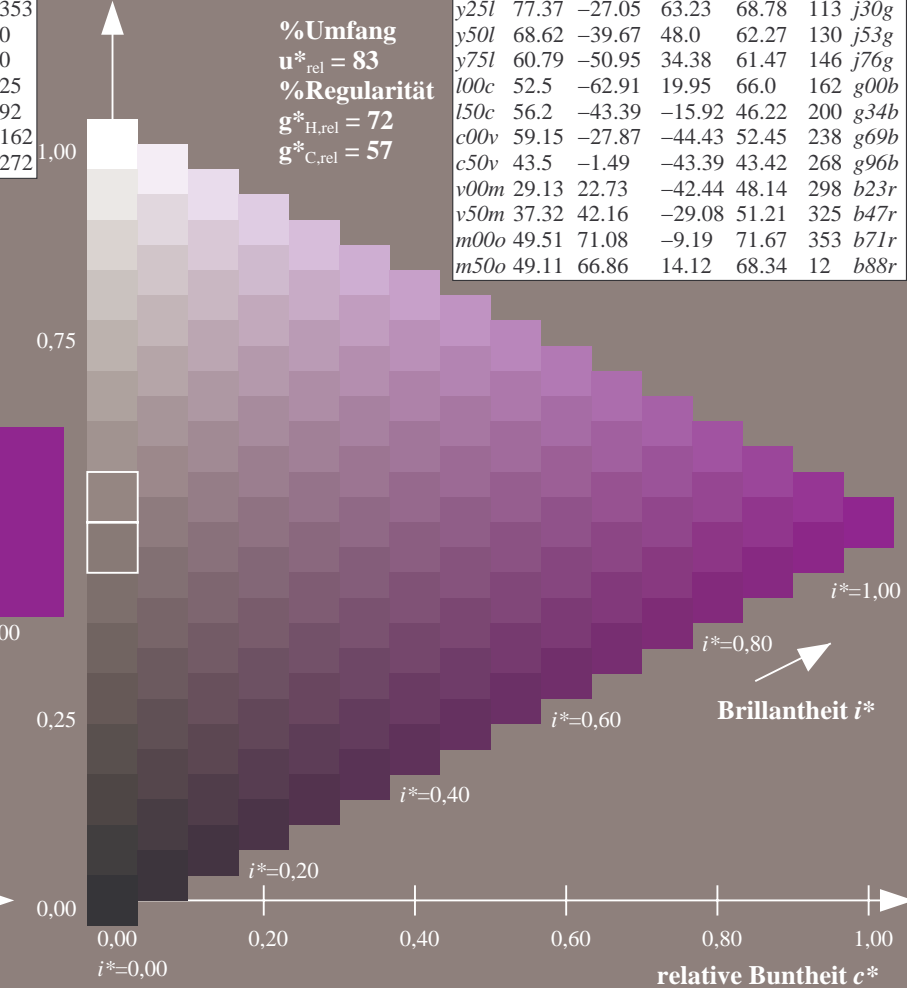
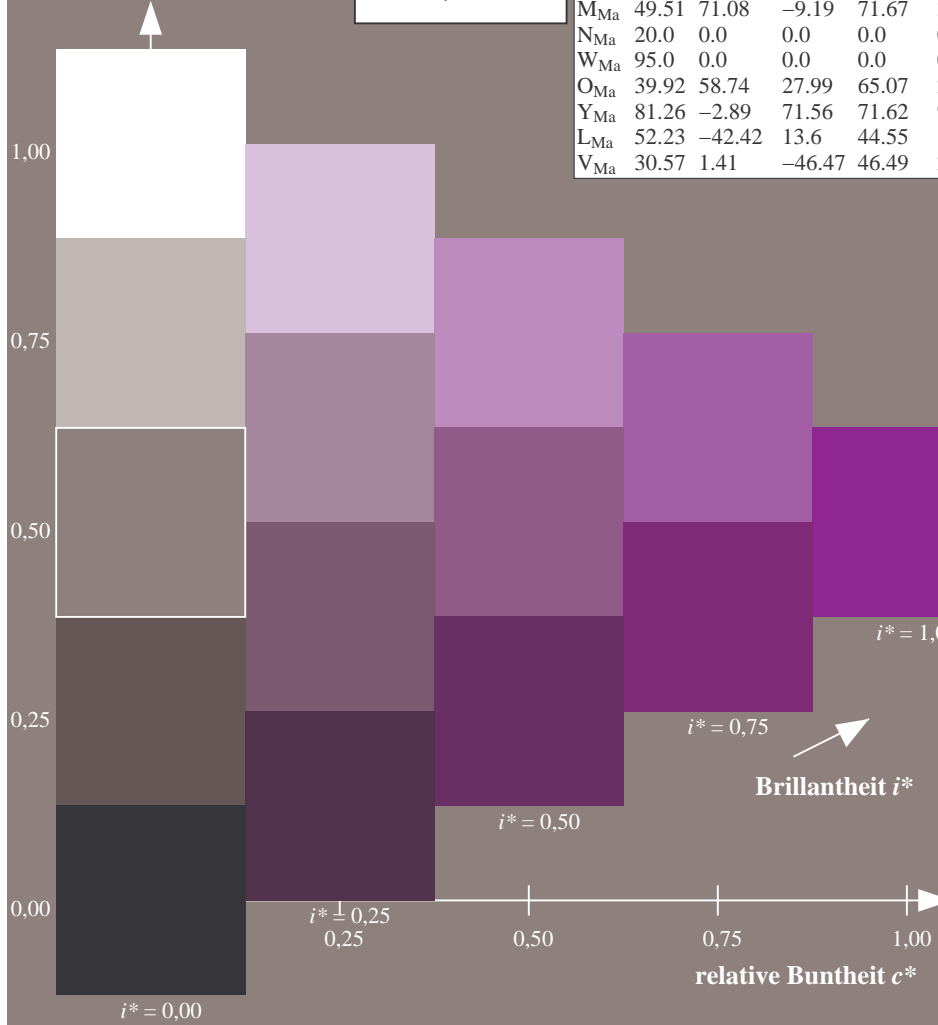
$LAB^*LCH^*_{Ma}$: 37 51 325

$lab^*olv^*_{Ma}$: 0.5 0.0 1.0

$lab^*rgb^*_{Ma}$: 0.94 0.0 1.0

Dreiecks-Helligkeit t^*

ORS20_95a; adaptierte CIELAB-Daten							
u^*_d	$L^*=L^*_a$	a^*_a	b^*_a	$C^*_{ab,a}$	$h^*_{ab,a}$	u^*_e	
o00y	48.71	62.56	37.91	73.15	31	r08j	
o25y	58.6	44.87	49.14	66.54	48	r33j	
o50y	67.52	28.93	59.25	65.94	64	r57j	
o75y	77.05	11.9	70.06	71.06	80	r81j	
y00l	89.25	-9.92	83.91	84.49	97	j06g	
y25l	77.37	-27.05	63.23	68.78	113	j30g	
y50l	68.62	-39.67	48.0	62.27	130	j53g	
y75l	60.79	-50.95	34.38	61.47	146	j76g	
l00c	52.5	-62.91	19.95	66.0	162	g00b	
l50c	56.2	-43.39	-15.92	46.22	200	g34b	
c00v	59.15	-27.87	-44.43	52.45	238	g69b	
c50v	43.5	-1.49	-43.39	43.42	268	g96b	
v00m	29.13	22.73	-42.44	48.14	298	b23r	
v50m	37.32	42.16	-29.08	51.21	325	b47r	
m00o	49.51	71.08	-9.19	71.67	353	b71r	
m50o	49.11	66.86	14.12	68.34	12	b88r	



%Umfang
 $u^*_{rel} = 83$
 %Regularität
 $g^*_{H,rel} = 72$
 $g^*_{C,rel} = 57$

Daten für jede Farbe:

lab^*tch^* und lab^*icu^*

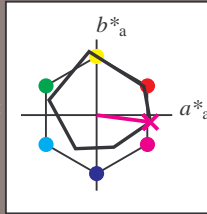
Buntontexte:

$u^*_d = m00o$ $u^*_e = b71r$

Kontrastreduzierungsfaktor:

$c_R = 0.96$

Dreiecks-Helligkeit t^*



ORS20_95a; adaptierte CIELAB-Daten						
u^*_d	$L^*=L^*_a$	a^*_a	b^*_a	$C^*_{ab,a}$	$h^*_{ab,a}$	
O _{Ma}	48.71	62.56	37.91	73.15	31	
Y _{Ma}	89.25	-9.92	83.91	84.49	97	
L _{Ma}	52.5	-62.91	19.95	66.0	162	
C _{Ma}	59.15	-27.87	-44.43	52.45	238	
V _{Ma}	29.13	22.73	-42.44	48.14	298	
M _{Ma}	49.51	71.08	-9.19	71.67	353	
N _{Ma}	20.0	0.0	0.0	0.0	0	
W _{Ma}	95.0	0.0	0.0	0.0	0	
O _{Ma}	39.92	58.74	27.99	65.07	25	
Y _{Ma}	81.26	-2.89	71.56	71.62	92	
L _{Ma}	52.23	-42.42	13.6	44.55	162	
V _{Ma}	30.57	1.41	-46.47	46.49	272	

Daten für Maximalfarbe (Ma):

$\text{LAB}^*\text{LAB}^*_{Ma}: 50\ 71\ -9$

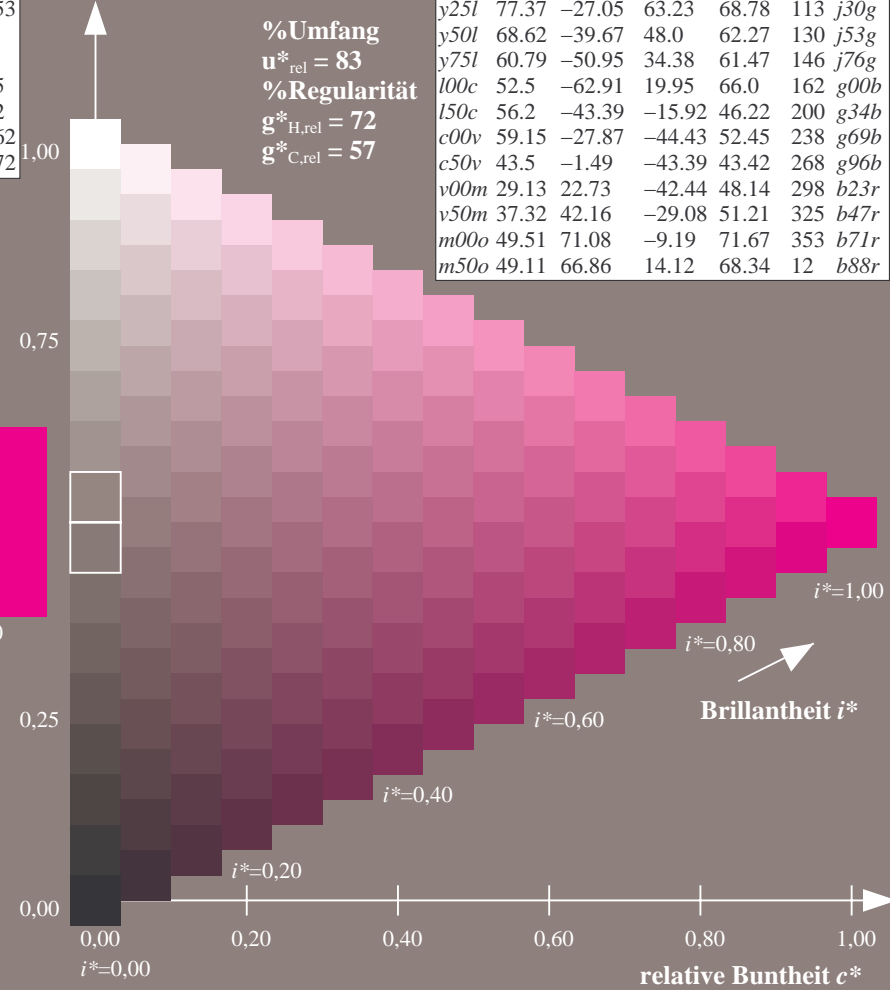
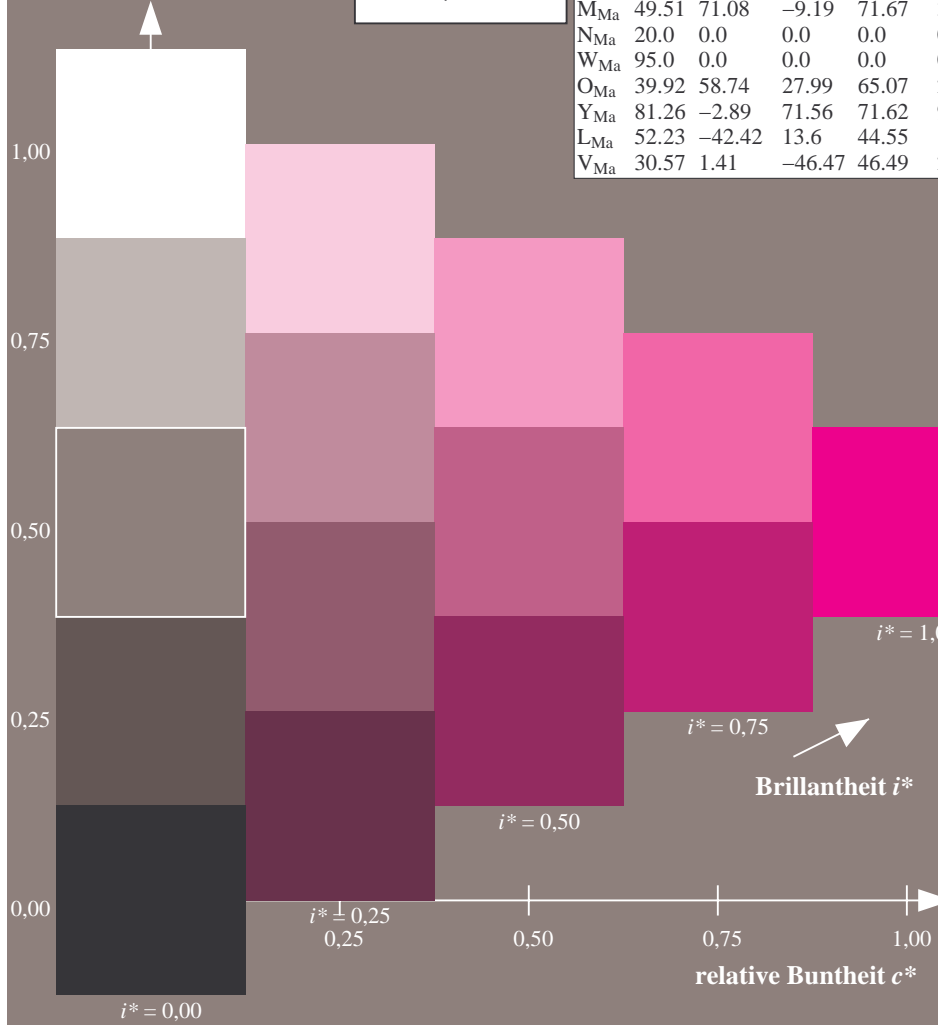
$\text{LAB}^*\text{LCH}^*_{Ma}: 50\ 72\ 352$

$\text{lab}^*\text{olv}^*_{Ma}: 1.0\ 0.0\ 1.0$

$\text{lab}^*\text{rgb}^*_{Ma}: 1.0\ 0.0\ 0.58$

Dreiecks-Helligkeit t^*

ORS20_95a; adaptierte CIELAB-Daten							
u^*_d	$L^*=L^*_a$	a^*_a	b^*_a	$C^*_{ab,a}$	$h^*_{ab,a}$	u^*_e	
o00y	48.71	62.56	37.91	73.15	31	r08j	
o25y	58.6	44.87	49.14	66.54	48	r33j	
o50y	67.52	28.93	59.25	65.94	64	r57j	
o75y	77.05	11.9	70.06	71.06	80	r81j	
y00l	89.25	-9.92	83.91	84.49	97	j06g	
y25l	77.37	-27.05	63.23	68.78	113	j30g	
y50l	68.62	-39.67	48.0	62.27	130	j53g	
y75l	60.79	-50.95	34.38	61.47	146	j76g	
l00c	52.5	-62.91	19.95	66.0	162	g00b	
l50c	56.2	-43.39	-15.92	46.22	200	g34b	
c00v	59.15	-27.87	-44.43	52.45	238	g69b	
c50v	43.5	-1.49	-43.39	43.42	268	g96b	
v00m	29.13	22.73	-42.44	48.14	298	b23r	
v50m	37.32	42.16	-29.08	51.21	325	b47r	
m00o	49.51	71.08	-9.19	71.67	353	b71r	
m50o	49.11	66.86	14.12	68.34	12	b88r	



Daten für jede Farbe:

lab^*tch^* und lab^*icu^*

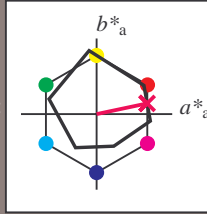
Buntontexte:

$u^*_d = m50o$ $u^*_e = b88r$

Kontrastreduzierungsfaktor:

$c_R = 0.96$

Dreiecks-Helligkeit t^*



ORS20_95a; adaptierte CIELAB-Daten						
u^*_d	$L^*=L^*_a$	a^*_a	b^*_a	$C^*_{ab,a}$	$h^*_{ab,a}$	
O _{Ma}	48.71	62.56	37.91	73.15	31	
Y _{Ma}	89.25	-9.92	83.91	84.49	97	
L _{Ma}	52.5	-62.91	19.95	66.0	162	
C _{Ma}	59.15	-27.87	-44.43	52.45	238	
V _{Ma}	29.13	22.73	-42.44	48.14	298	
M _{Ma}	49.51	71.08	-9.19	71.67	353	
N _{Ma}	20.0	0.0	0.0	0.0	0	
W _{Ma}	95.0	0.0	0.0	0.0	0	
O _{Ma}	39.92	58.74	27.99	65.07	25	
Y _{Ma}	81.26	-2.89	71.56	71.62	92	
L _{Ma}	52.23	-42.42	13.6	44.55	162	
V _{Ma}	30.57	1.41	-46.47	46.49	272	

Daten für Maximalfarbe (Ma):

$LAB^*LAB^*_{Ma}$: 49 67 14

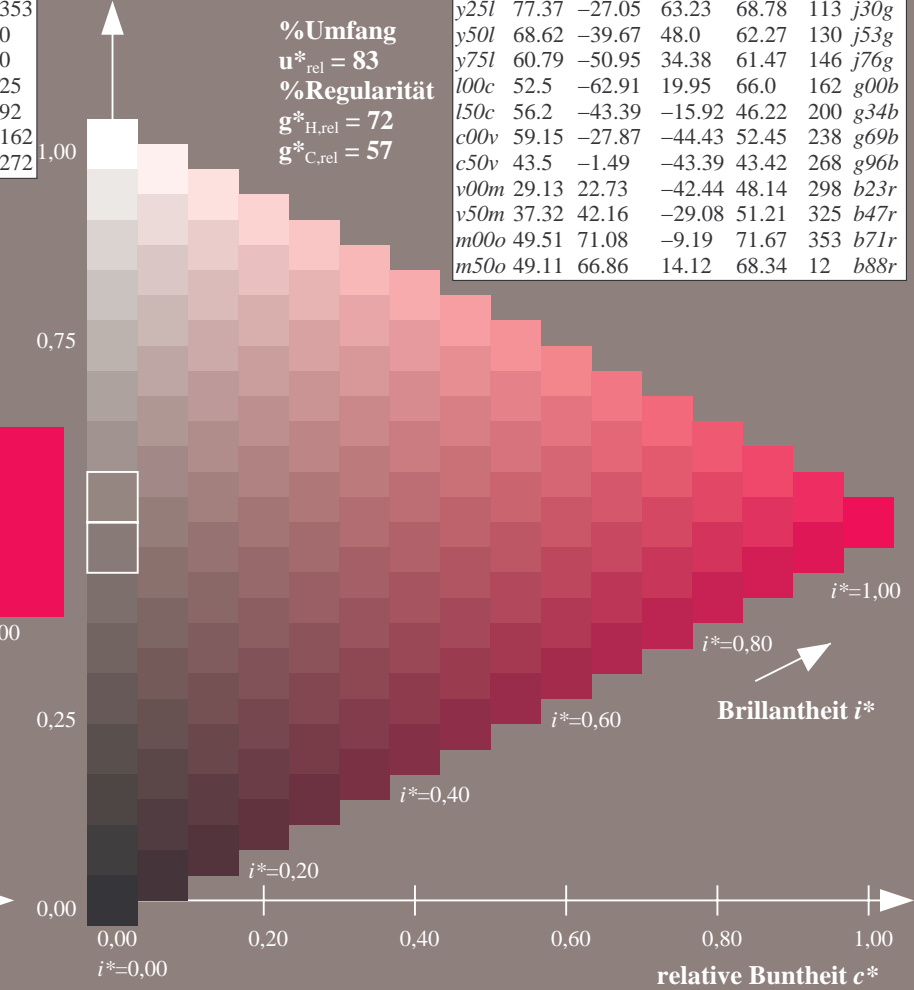
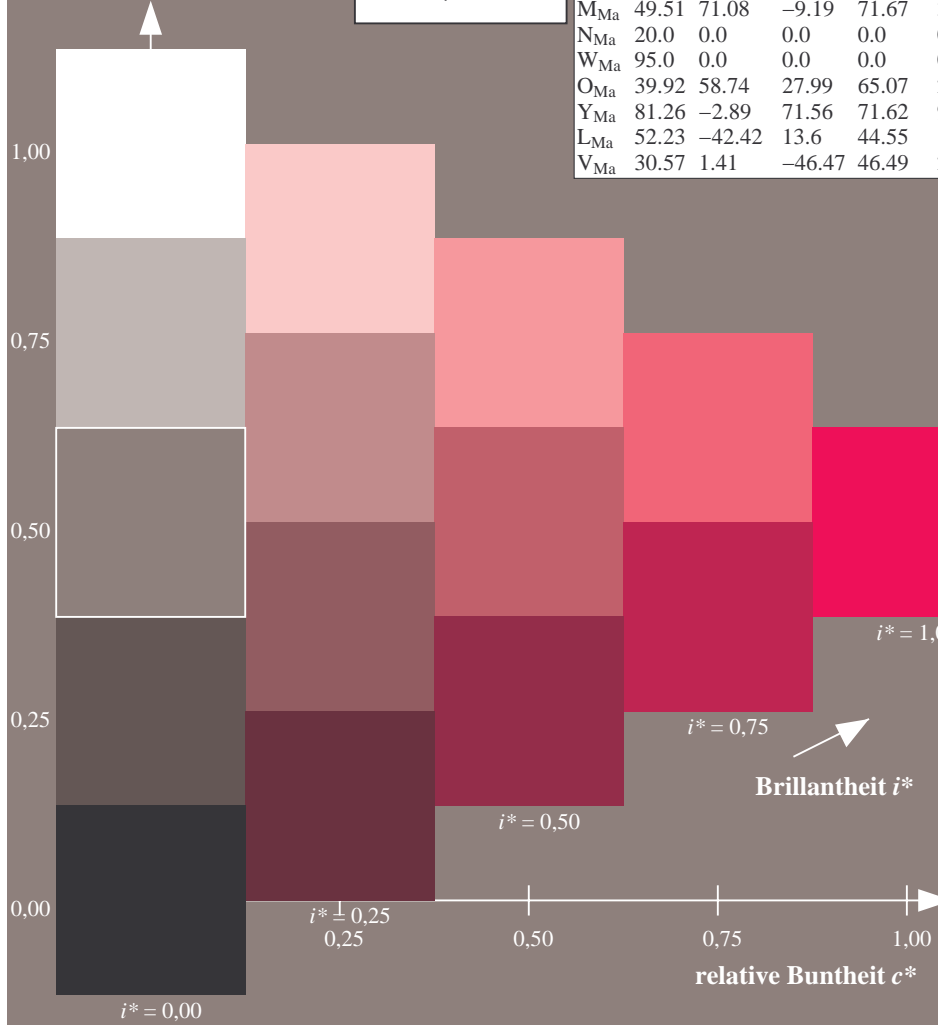
$LAB^*LCH^*_{Ma}$: 49 68 11

$lab^*olv^*_{Ma}$: 1.0 0.0 0.5

$lab^*rgb^*_{Ma}$: 1.0 0.0 0.24

Dreiecks-Helligkeit t^*

ORS20_95a; adaptierte CIELAB-Daten							
u^*_d	$L^*=L^*_a$	a^*_a	b^*_a	$C^*_{ab,a}$	$h^*_{ab,a}$	u^*_e	
o00y	48.71	62.56	37.91	73.15	31	r08j	
o25y	58.6	44.87	49.14	66.54	48	r33j	
o50y	67.52	28.93	59.25	65.94	64	r57j	
o75y	77.05	11.9	70.06	71.06	80	r81j	
y00l	89.25	-9.92	83.91	84.49	97	j06g	
y25l	77.37	-27.05	63.23	68.78	113	j30g	
y50l	68.62	-39.67	48.0	62.27	130	j53g	
y75l	60.79	-50.95	34.38	61.47	146	j76g	
l00c	52.5	-62.91	19.95	66.0	162	g00b	
l50c	56.2	-43.39	-15.92	46.22	200	g34b	
c00v	59.15	-27.87	-44.43	52.45	238	g69b	
c50v	43.5	-1.49	-43.39	43.42	268	g96b	
v00m	29.13	22.73	-42.44	48.14	298	b23r	
v50m	37.32	42.16	-29.08	51.21	325	b47r	
m00o	49.51	71.08	-9.19	71.67	353	b71r	
m50o	49.11	66.86	14.12	68.34	12	b88r	



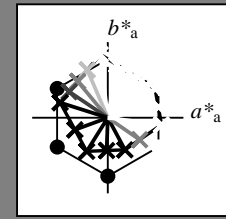
Ein und Ausgabe:
 Farbmétrisches Drucker-Reflektiv-System ORS20_95a

Daten für jede Farbe:
 u^*_d und Nummer *Nr.* = 00 .. 15

Geräte-Bunttextext:
 $u^*_d = 16$ Bunttoene *o00y, o25y, ..., m50o*

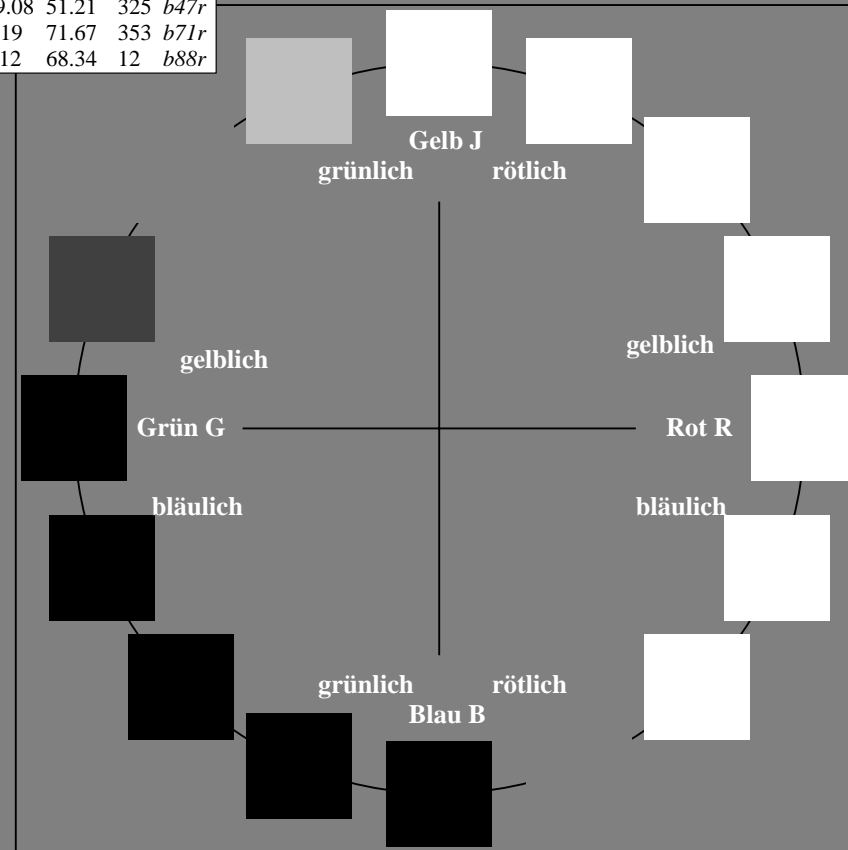
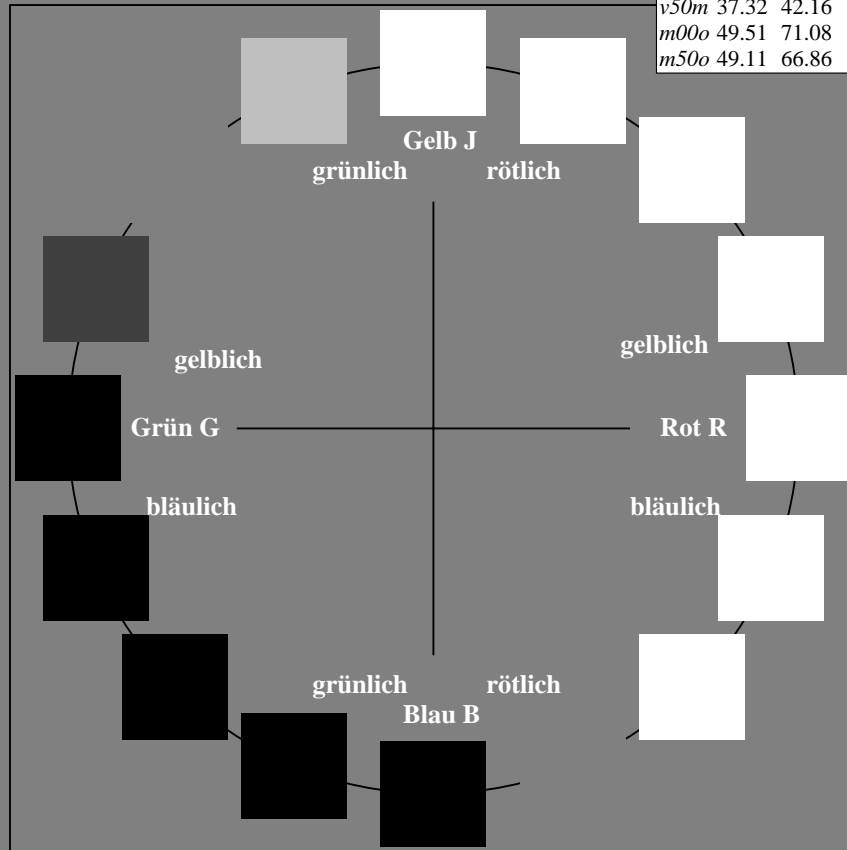
Kontrastreduzierungsfaktor:
 $c_R = 0.96$

ORS20_95a; adaptierte CIELAB-Daten						
u^*_d	$L^*=L^*_a$	a^*_a	b^*_a	$C^*_{ab,a}$	$h^*_{ab,a}$	u^*_e
<i>o00y</i>	48.71	62.56	37.91	73.15	31	<i>r08j</i>
<i>o25y</i>	58.6	44.87	49.14	66.54	48	<i>r33j</i>
<i>o50y</i>	67.52	28.93	59.25	65.94	64	<i>r57j</i>
<i>o75y</i>	77.05	11.9	70.06	71.06	80	<i>r81j</i>
<i>y00l</i>	89.25	-9.92	83.91	84.49	97	<i>j06g</i>
<i>y25l</i>	77.37	-27.05	63.23	68.78	113	<i>j30g</i>
<i>y50l</i>	68.62	-39.67	48.0	62.27	130	<i>j53g</i>
<i>y75l</i>	60.79	-50.95	34.38	61.47	146	<i>j76g</i>
<i>l00c</i>	52.5	-62.91	19.95	66.0	162	<i>g00b</i>
<i>l50c</i>	56.2	-43.39	-15.92	46.22	200	<i>g34b</i>
<i>c00v</i>	59.15	-27.87	-44.43	52.45	238	<i>g69b</i>
<i>c50v</i>	43.5	-1.49	-43.39	43.42	268	<i>g96b</i>
<i>v00m</i>	29.13	22.73	-42.44	48.14	298	<i>b23r</i>
<i>v50m</i>	37.32	42.16	-29.08	51.21	325	<i>b47r</i>
<i>m00o</i>	49.51	71.08	-9.19	71.67	353	<i>b71r</i>
<i>m50o</i>	49.11	66.86	14.12	68.34	12	<i>b88r</i>



%Umfang
 $u^*_{rel} = 83$
 %Regularität
 $g^*_{H,rel} = 72$
 $g^*_{C,rel} = 57$

ORS20_95a; adaptierte CIELAB-Daten					
Name	$L^*=L^*_a$	a^*_a	b^*_a	$C^*_{ab,a}$	$h^*_{ab,a}$
O _{Ma}	48.71	62.56	37.91	73.15	31
Y _{Ma}	89.25	-9.92	83.91	84.49	97
L _{Ma}	52.5	-62.91	19.95	66.0	162
C _{Ma}	59.15	-27.87	-44.43	52.45	238
V _{Ma}	29.13	22.73	-42.44	48.14	298
M _{Ma}	49.51	71.08	-9.19	71.67	353
N _{Ma}	20.0	0.0	0.0	0.0	0
W _{Ma}	95.0	0.0	0.0	0.0	0
O _{CIE}	39.92	58.74	27.99	65.07	25
Y _{CIE}	81.26	-2.89	71.56	71.62	92
L _{CIE}	52.23	-42.42	13.6	44.55	162
V _{CIE}	30.57	1.41	-46.47	46.49	272



Daten für jede Farbe:

lab^*tch^* und lab^*icu^*

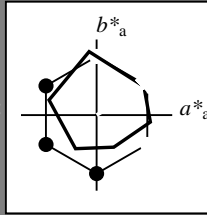
Bunntexte:

$u^*_d = o00y$ $u^*_e = r08j$

Kontrastreduzierungsfaktor:

$c_R = 0.96$

Dreiecks-Helligkeit t^*



ORS20_95a; adaptierte CIELAB-Daten						
u^*_d	$L^*=L^*_a$	a^*_a	b^*_a	$C^*_{ab,a}$	$h^*_{ab,a}$	
O _{Ma}	48.71	62.56	37.91	73.15	31	
Y _{Ma}	89.25	-9.92	83.91	84.49	97	
L _{Ma}	52.5	-62.91	19.95	66.0	162	
C _{Ma}	59.15	-27.87	-44.43	52.45	238	
V _{Ma}	29.13	22.73	-42.44	48.14	298	
M _{Ma}	49.51	71.08	-9.19	71.67	353	
N _{Ma}	20.0	0.0	0.0	0.0	0	
W _{Ma}	95.0	0.0	0.0	0.0	0	
O _{Ma}	39.92	58.74	27.99	65.07	25	
Y _{Ma}	81.26	-2.89	71.56	71.62	92	
L _{Ma}	52.23	-42.42	13.6	44.55	162	
V _{Ma}	30.57	1.41	-46.47	46.49	272	

Daten für Maximalfarbe (Ma):

$LAB^*LAB^*_{Ma}$: 49 63 38

$LAB^*LCH^*_{Ma}$: 49 73 31

$lab^*olv^*_{Ma}$: 1.0 0.0 0.0

$lab^*rgb^*_{Ma}$: 1.0 0.09 0.0

Dreiecks-Helligkeit t^*

%Umfang

$u^*_{rel} = 83$

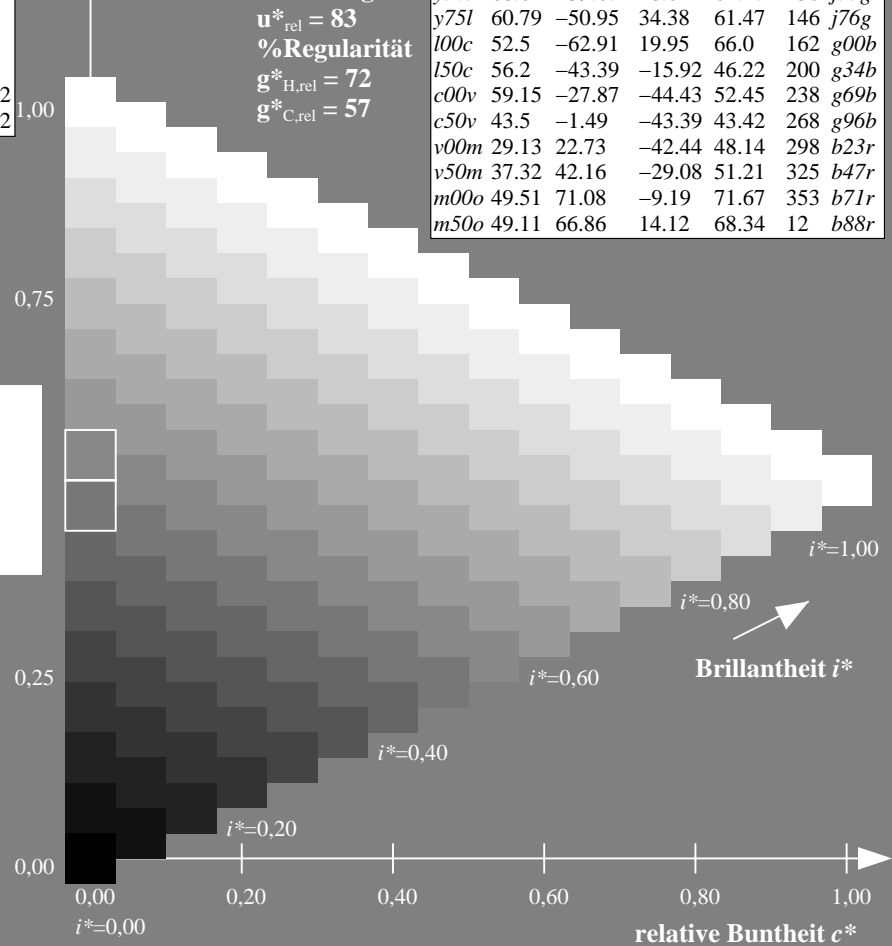
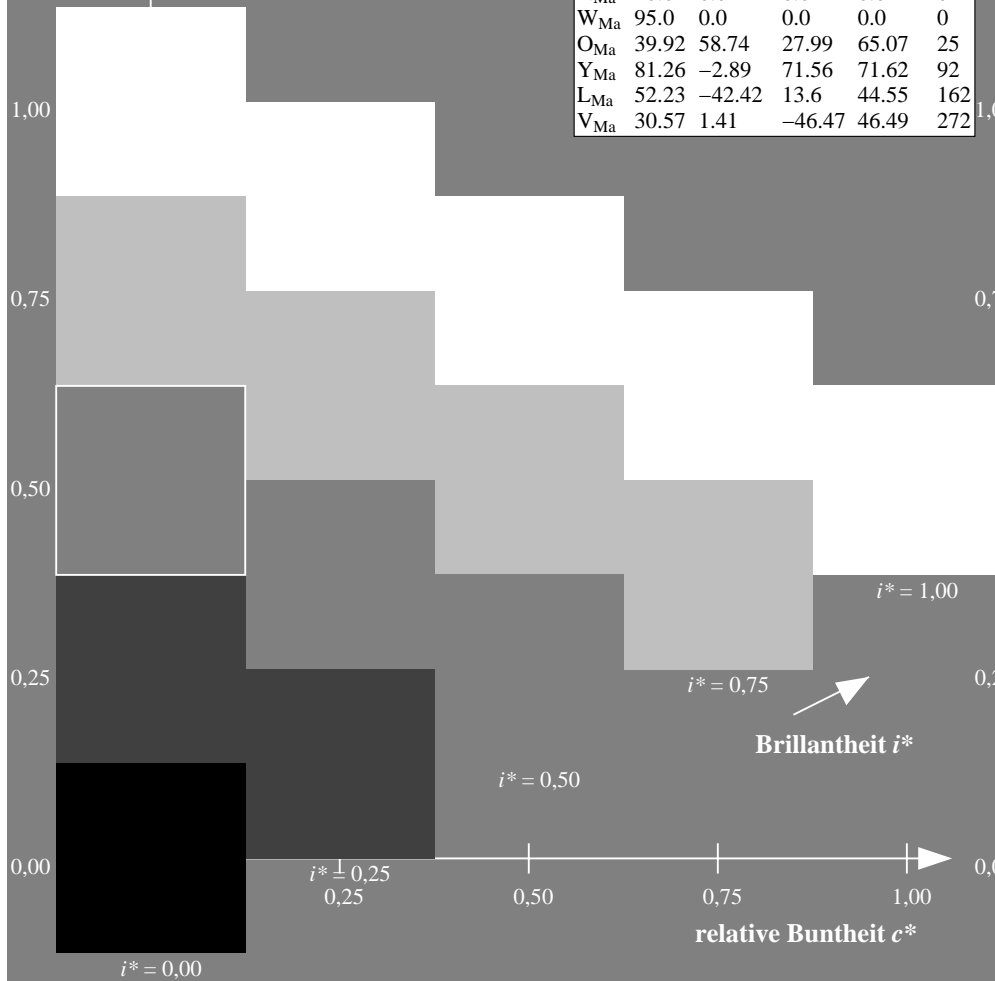
%Regularität

$g^*_{H,rel} = 72$

$g^*_{C,rel} = 57$

ORS20_95a; adaptierte CIELAB-Daten

u^*_d	$L^*=L^*_a$	a^*_a	b^*_a	$C^*_{ab,a}$	$h^*_{ab,a}$	u^*_e
<i>o00y</i>	48.71	62.56	37.91	73.15	31	<i>r08j</i>
<i>o25y</i>	58.6	44.87	49.14	66.54	48	<i>r33j</i>
<i>o50y</i>	67.52	28.93	59.25	65.94	64	<i>r57j</i>
<i>o75y</i>	77.05	11.9	70.06	71.06	80	<i>r81j</i>
<i>y00l</i>	89.25	-9.92	83.91	84.49	97	<i>j06g</i>
<i>y25l</i>	77.37	-27.05	63.23	68.78	113	<i>j30g</i>
<i>y50l</i>	68.62	-39.67	48.0	62.27	130	<i>j53g</i>
<i>y75l</i>	60.79	-50.95	34.38	61.47	146	<i>j76g</i>
<i>l00c</i>	52.5	-62.91	19.95	66.0	162	<i>g00b</i>
<i>l50c</i>	56.2	-43.39	-15.92	46.22	200	<i>g34b</i>
<i>c00v</i>	59.15	-27.87	-44.43	52.45	238	<i>g69b</i>
<i>c50v</i>	43.5	-1.49	-43.39	43.42	268	<i>g96b</i>
<i>v00m</i>	29.13	22.73	-42.44	48.14	298	<i>b23r</i>
<i>v50m</i>	37.32	42.16	-29.08	51.21	325	<i>b47r</i>
<i>m00o</i>	49.51	71.08	-9.19	71.67	353	<i>b71r</i>
<i>m50o</i>	49.11	66.86	14.12	68.34	12	<i>b88r</i>



Daten für jede Farbe:

lab^*tch^* und lab^*icu^*

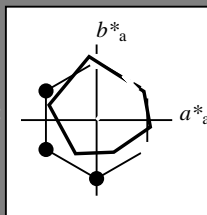
Bunntexte:

$u^*_d = o25y$ $u^*_e = r33j$

Kontrastreduzierungsfaktor:

$c_R = 0.96$

Dreiecks-Helligkeit t^*



ORS20_95a; adaptierte CIELAB-Daten						
u^*_d	$L^*=L^*_a$	a^*_a	b^*_a	$C^*_{ab,a}$	$h^*_{ab,a}$	
O _{Ma}	48.71	62.56	37.91	73.15	31	
Y _{Ma}	89.25	-9.92	83.91	84.49	97	
L _{Ma}	52.5	-62.91	19.95	66.0	162	
C _{Ma}	59.15	-27.87	-44.43	52.45	238	
V _{Ma}	29.13	22.73	-42.44	48.14	298	
M _{Ma}	49.51	71.08	-9.19	71.67	353	
N _{Ma}	20.0	0.0	0.0	0.0	0	
W _{Ma}	95.0	0.0	0.0	0.0	0	
O _{Ma}	39.92	58.74	27.99	65.07	25	
Y _{Ma}	81.26	-2.89	71.56	71.62	92	
L _{Ma}	52.23	-42.42	13.6	44.55	162	
V _{Ma}	30.57	1.41	-46.47	46.49	272	

Daten für Maximalfarbe (Ma):

$LAB^*LAB^*_{Ma}$: 59 45 49

$LAB^*LCH^*_{Ma}$: 59 67 47

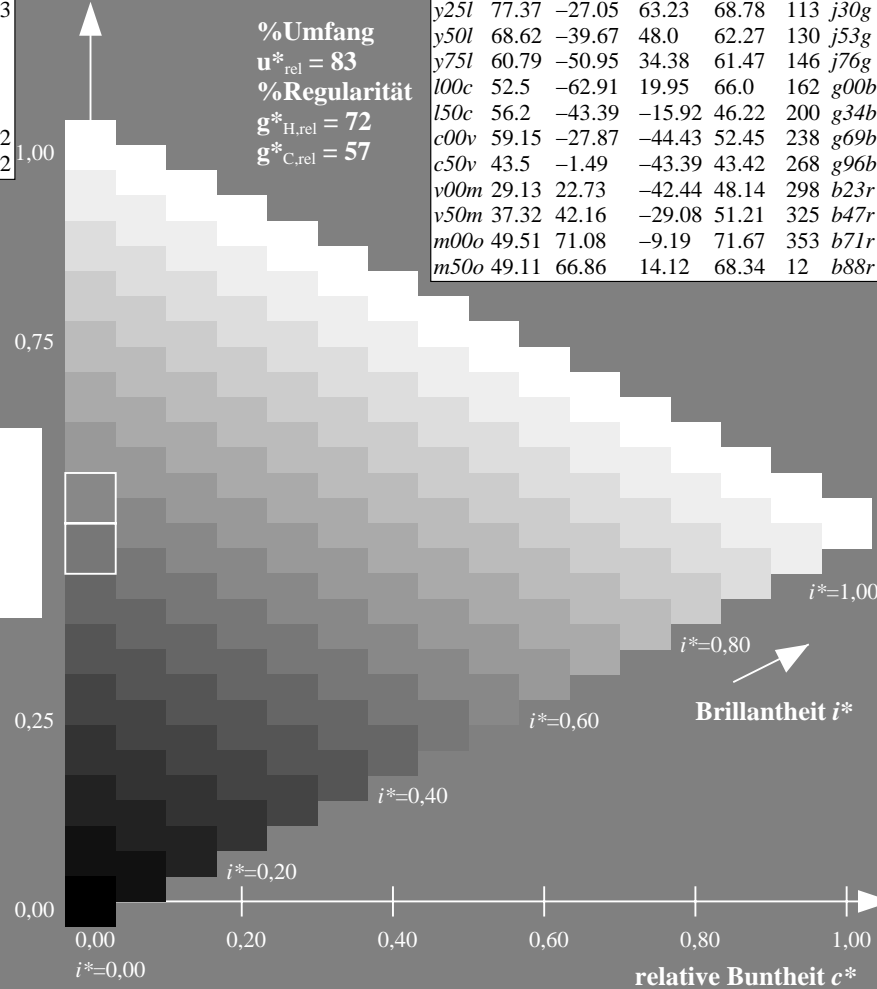
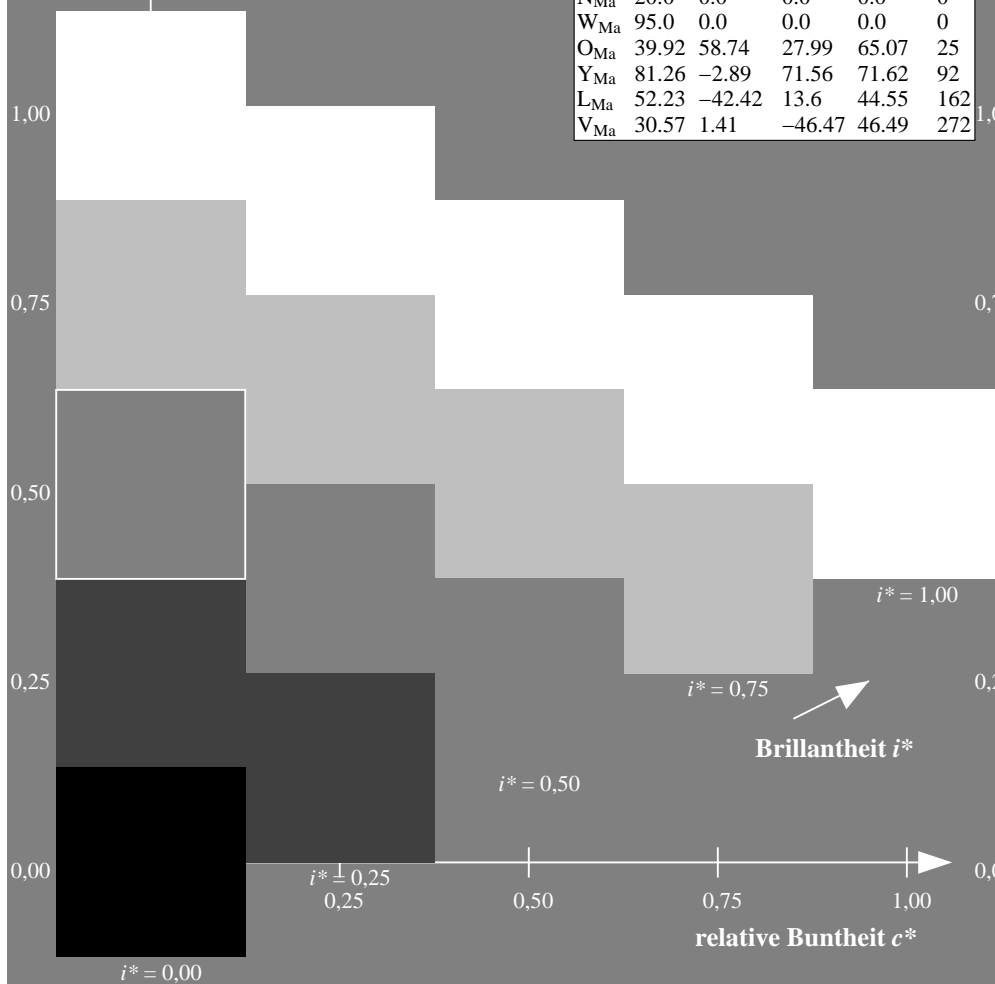
$lab^*olv^*_{Ma}$: 1.0 0.25 0.0

$lab^*rgb^*_{Ma}$: 1.0 0.33 0.0

Dreiecks-Helligkeit t^*

ORS20_95a; adaptierte CIELAB-Daten

u^*_d	$L^*=L^*_a$	a^*_a	b^*_a	$C^*_{ab,a}$	$h^*_{ab,a}$	u^*_e
o00y	48.71	62.56	37.91	73.15	31	r08j
o25y	58.6	44.87	49.14	66.54	48	r33j
o50y	67.52	28.93	59.25	65.94	64	r57j
o75y	77.05	11.9	70.06	71.06	80	r81j
y00l	89.25	-9.92	83.91	84.49	97	j06g
y25l	77.37	-27.05	63.23	68.78	113	j30g
y50l	68.62	-39.67	48.0	62.27	130	j53g
y75l	60.79	-50.95	34.38	61.47	146	j76g
l00c	52.5	-62.91	19.95	66.0	162	g00b
l50c	56.2	-43.39	-15.92	46.22	200	g34b
c00v	59.15	-27.87	-44.43	52.45	238	g69b
c50v	43.5	-1.49	-43.39	43.42	268	g96b
v00m	29.13	22.73	-42.44	48.14	298	b23r
v50m	37.32	42.16	-29.08	51.21	325	b47r
m00o	49.51	71.08	-9.19	71.67	353	b71r
m50o	49.11	66.86	14.12	68.34	12	b88r



Daten für jede Farbe:

lab^*tch^* und lab^*icu^*

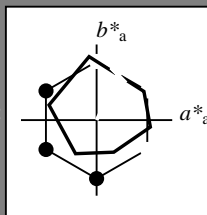
Bunntexte:

$u^*_d = o50y$ $u^*_e = r57j$

Kontrastreduzierungsfaktor:

$c_R = 0.96$

Dreiecks-Helligkeit t^*



ORS20_95a; adaptierte CIELAB-Daten						
u^*_d	$L^*=L^*_a$	a^*_a	b^*_a	$C^*_{ab,a}$	$h^*_{ab,a}$	
O _{Ma}	48.71	62.56	37.91	73.15	31	
Y _{Ma}	89.25	-9.92	83.91	84.49	97	
L _{Ma}	52.5	-62.91	19.95	66.0	162	
C _{Ma}	59.15	-27.87	-44.43	52.45	238	
V _{Ma}	29.13	22.73	-42.44	48.14	298	
M _{Ma}	49.51	71.08	-9.19	71.67	353	
N _{Ma}	20.0	0.0	0.0	0.0	0	
W _{Ma}	95.0	0.0	0.0	0.0	0	
O _{Ma}	39.92	58.74	27.99	65.07	25	
Y _{Ma}	81.26	-2.89	71.56	71.62	92	
L _{Ma}	52.23	-42.42	13.6	44.55	162	
V _{Ma}	30.57	1.41	-46.47	46.49	272	

Daten für Maximalfarbe (Ma):

$LAB^*LAB^*_{Ma}$: 68 29 59

$LAB^*LCH^*_{Ma}$: 68 66 63

$lab^*olv^*_{Ma}$: 1.0 0.5 0.0

$lab^*rgb^*_{Ma}$: 1.0 0.58 0.0

Dreiecks-Helligkeit t^*

%Umfang

$u^*_{rel} = 83$

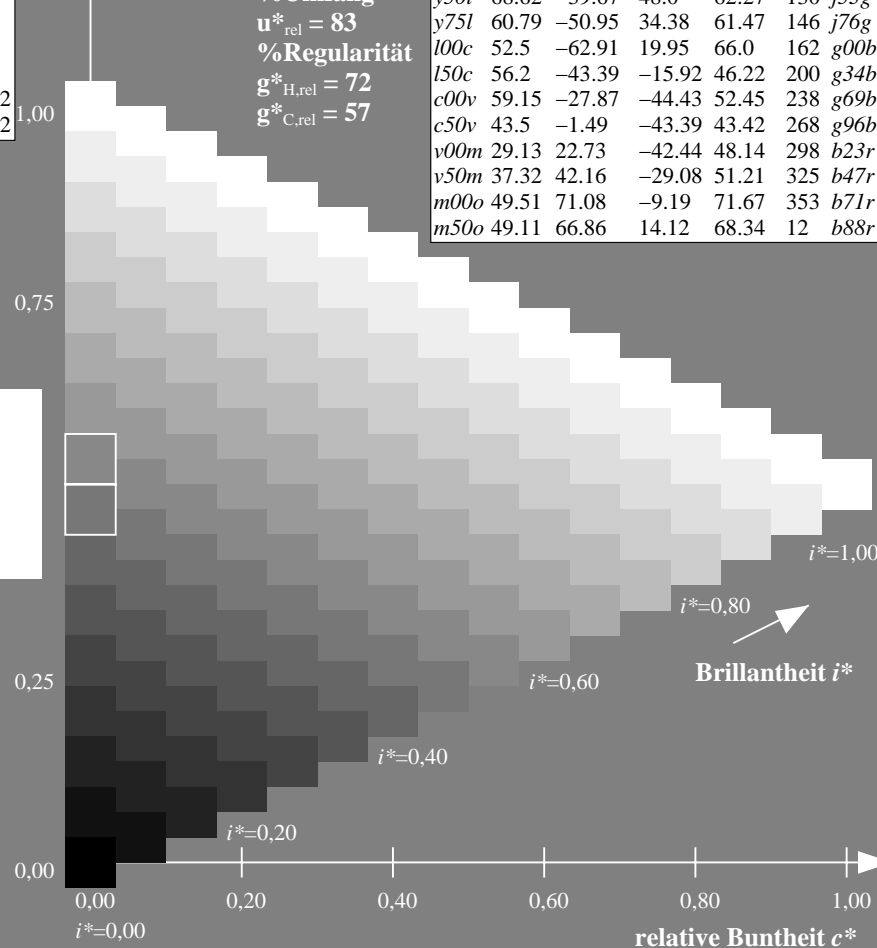
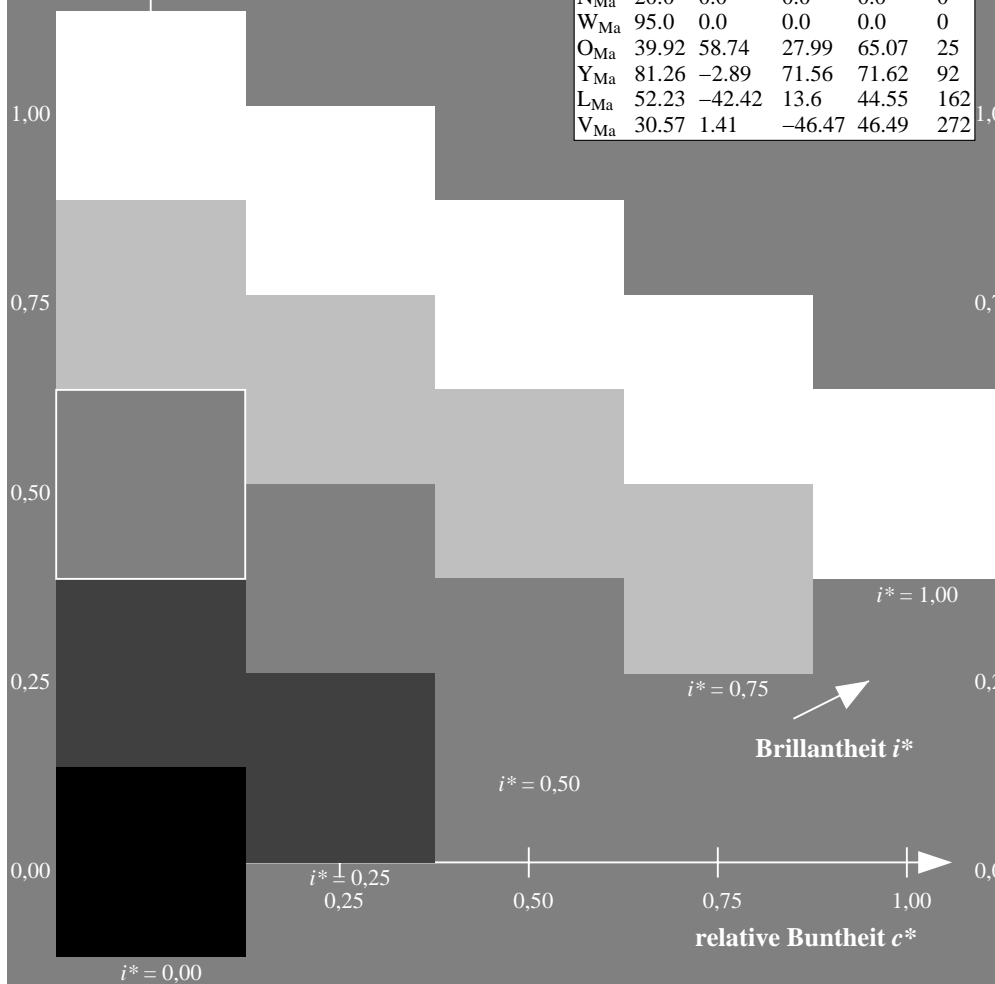
%Regularität

$g^*_{H,rel} = 72$

$g^*_{C,rel} = 57$

ORS20_95a; adaptierte CIELAB-Daten

u^*_d	$L^*=L^*_a$	a^*_a	b^*_a	$C^*_{ab,a}$	$h^*_{ab,a}$	u^*_e
o00y	48.71	62.56	37.91	73.15	31	r08j
o25y	58.6	44.87	49.14	66.54	48	r33j
o50y	67.52	28.93	59.25	65.94	64	r57j
o75y	77.05	11.9	70.06	71.06	80	r81j
y00l	89.25	-9.92	83.91	84.49	97	j06g
y25l	77.37	-27.05	63.23	68.78	113	j30g
y50l	68.62	-39.67	48.0	62.27	130	j53g
y75l	60.79	-50.95	34.38	61.47	146	j76g
l00c	52.5	-62.91	19.95	66.0	162	g00b
l50c	56.2	-43.39	-15.92	46.22	200	g34b
c00v	59.15	-27.87	-44.43	52.45	238	g69b
c50v	43.5	-1.49	-43.39	43.42	268	g96b
v00m	29.13	22.73	-42.44	48.14	298	b23r
v50m	37.32	42.16	-29.08	51.21	325	b47r
m00o	49.51	71.08	-9.19	71.67	353	b71r
m50o	49.11	66.86	14.12	68.34	12	b88r



Daten für jede Farbe:

lab^*tch^* und lab^*icu^*

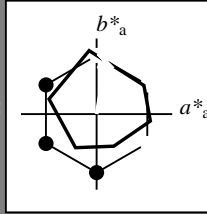
Bunntexte:

$u^*_d = o75y$ $u^*_e = r8lj$

Kontrastreduzierungsfaktor:

$c_R = 0.96$

Dreiecks-Helligkeit t^*



ORS20_95a; adaptierte CIELAB-Daten						
u^*_d	$L^*=L^*_a$	a^*_a	b^*_a	$C^*_{ab,a}$	$h^*_{ab,a}$	
O _{Ma}	48.71	62.56	37.91	73.15	31	
Y _{Ma}	89.25	-9.92	83.91	84.49	97	
L _{Ma}	52.5	-62.91	19.95	66.0	162	
C _{Ma}	59.15	-27.87	-44.43	52.45	238	
V _{Ma}	29.13	22.73	-42.44	48.14	298	
M _{Ma}	49.51	71.08	-9.19	71.67	353	
N _{Ma}	20.0	0.0	0.0	0.0	0	
W _{Ma}	95.0	0.0	0.0	0.0	0	
O _{Ma}	39.92	58.74	27.99	65.07	25	
Y _{Ma}	81.26	-2.89	71.56	71.62	92	
L _{Ma}	52.23	-42.42	13.6	44.55	162	
V _{Ma}	30.57	1.41	-46.47	46.49	272	

Daten für Maximalfarbe (Ma):

$LAB^*LAB^*_{Ma}$: 77 12 70

$LAB^*LCH^*_{Ma}$: 77 71 80

$lab^*olv^*_{Ma}$: 1.0 0.75 0.0

$lab^*rgb^*_{Ma}$: 1.0 0.82 0.0

Dreiecks-Helligkeit t^*

%Umfang

$u^*_{rel} = 83$

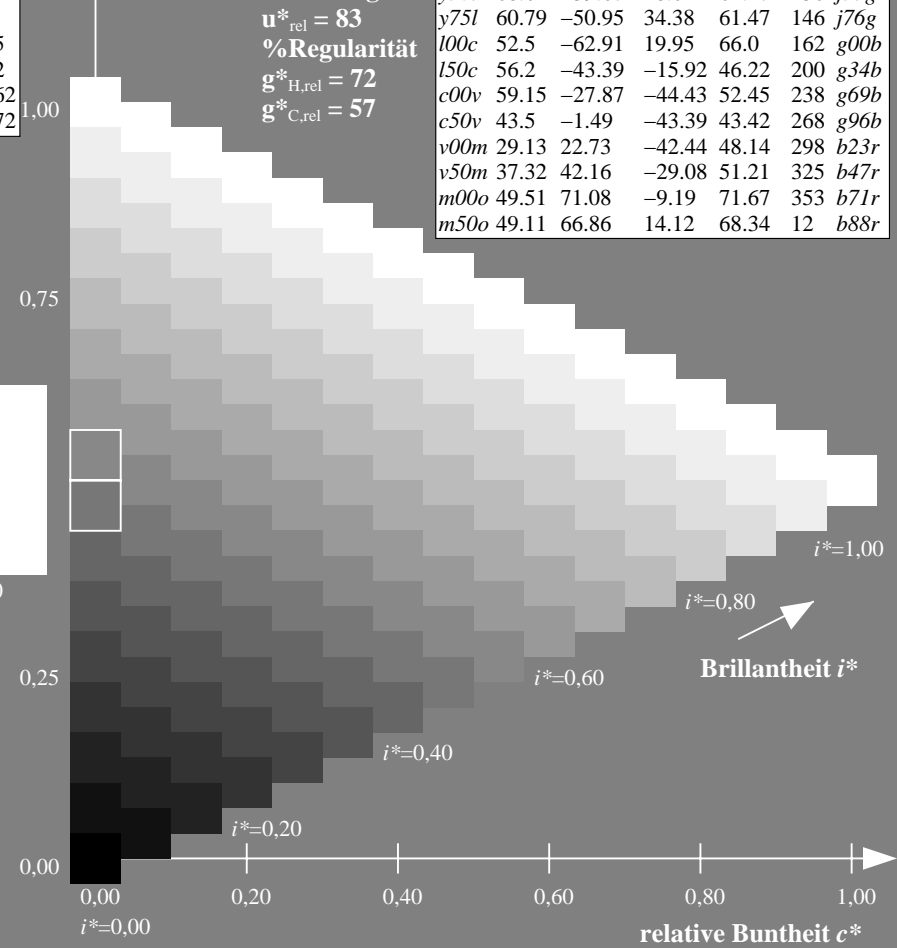
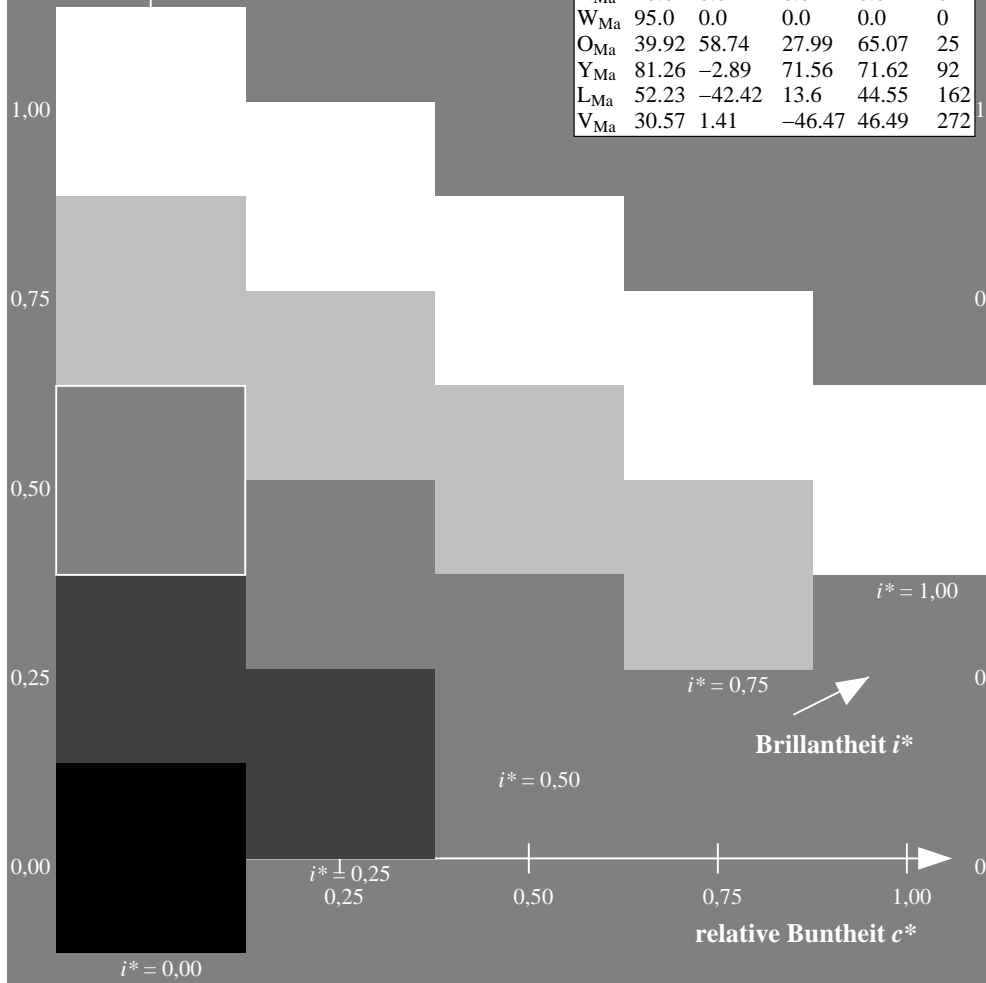
%Regularität

$g^*_{H,rel} = 72$

$g^*_{C,rel} = 57$

ORS20_95a; adaptierte CIELAB-Daten

u^*_d	$L^*=L^*_a$	a^*_a	b^*_a	$C^*_{ab,a}$	$h^*_{ab,a}$	u^*_e
o00y	48.71	62.56	37.91	73.15	31	r08j
o25y	58.6	44.87	49.14	66.54	48	r33j
o50y	67.52	28.93	59.25	65.94	64	r57j
o75y	77.05	11.9	70.06	71.06	80	r8lj
y00l	89.25	-9.92	83.91	84.49	97	j06g
y25l	77.37	-27.05	63.23	68.78	113	j30g
y50l	68.62	-39.67	48.0	62.27	130	j53g
y75l	60.79	-50.95	34.38	61.47	146	j76g
l00c	52.5	-62.91	19.95	66.0	162	g00b
l50c	56.2	-43.39	-15.92	46.22	200	g34b
c00v	59.15	-27.87	-44.43	52.45	238	g69b
c50v	43.5	-1.49	-43.39	43.42	268	g96b
v00m	29.13	22.73	-42.44	48.14	298	b23r
v50m	37.32	42.16	-29.08	51.21	325	b47r
m00o	49.51	71.08	-9.19	71.67	353	b71r
m50o	49.11	66.86	14.12	68.34	12	b88r



Daten für jede Farbe:

lab^*tch^* und lab^*icu^*

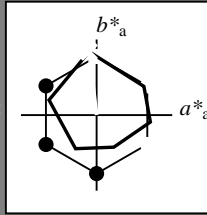
Bunntexte:

$u^*_d = y00l$ $u^*_e = j06g$

Kontrastreduzierungsfaktor:

$c_R = 0.96$

Dreiecks-Helligkeit t^*



ORS20_95a; adaptierte CIELAB-Daten						
u^*_d	$L^*=L^*_a$	a^*_a	b^*_a	$C^*_{ab,a}$	$h^*_{ab,a}$	
O _{Ma}	48.71	62.56	37.91	73.15	31	
Y _{Ma}	89.25	-9.92	83.91	84.49	97	
L _{Ma}	52.5	-62.91	19.95	66.0	162	
C _{Ma}	59.15	-27.87	-44.43	52.45	238	
V _{Ma}	29.13	22.73	-42.44	48.14	298	
M _{Ma}	49.51	71.08	-9.19	71.67	353	
N _{Ma}	20.0	0.0	0.0	0.0	0	
W _{Ma}	95.0	0.0	0.0	0.0	0	
O _{Ma}	39.92	58.74	27.99	65.07	25	
Y _{Ma}	81.26	-2.89	71.56	71.62	92	
L _{Ma}	52.23	-42.42	13.6	44.55	162	
V _{Ma}	30.57	1.41	-46.47	46.49	272	

Daten für Maximalfarbe (Ma):

$LAB^*LAB^*_{Ma}$: 89 -10 84

$LAB^*LCH^*_{Ma}$: 89 84 96

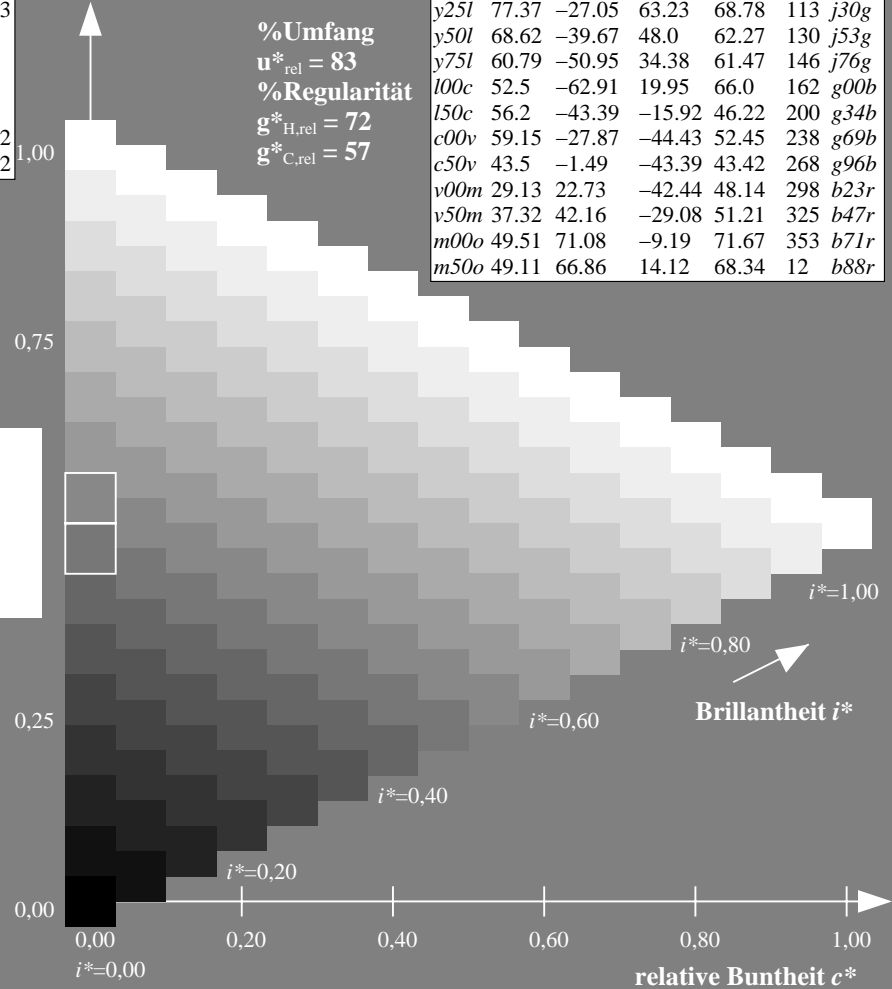
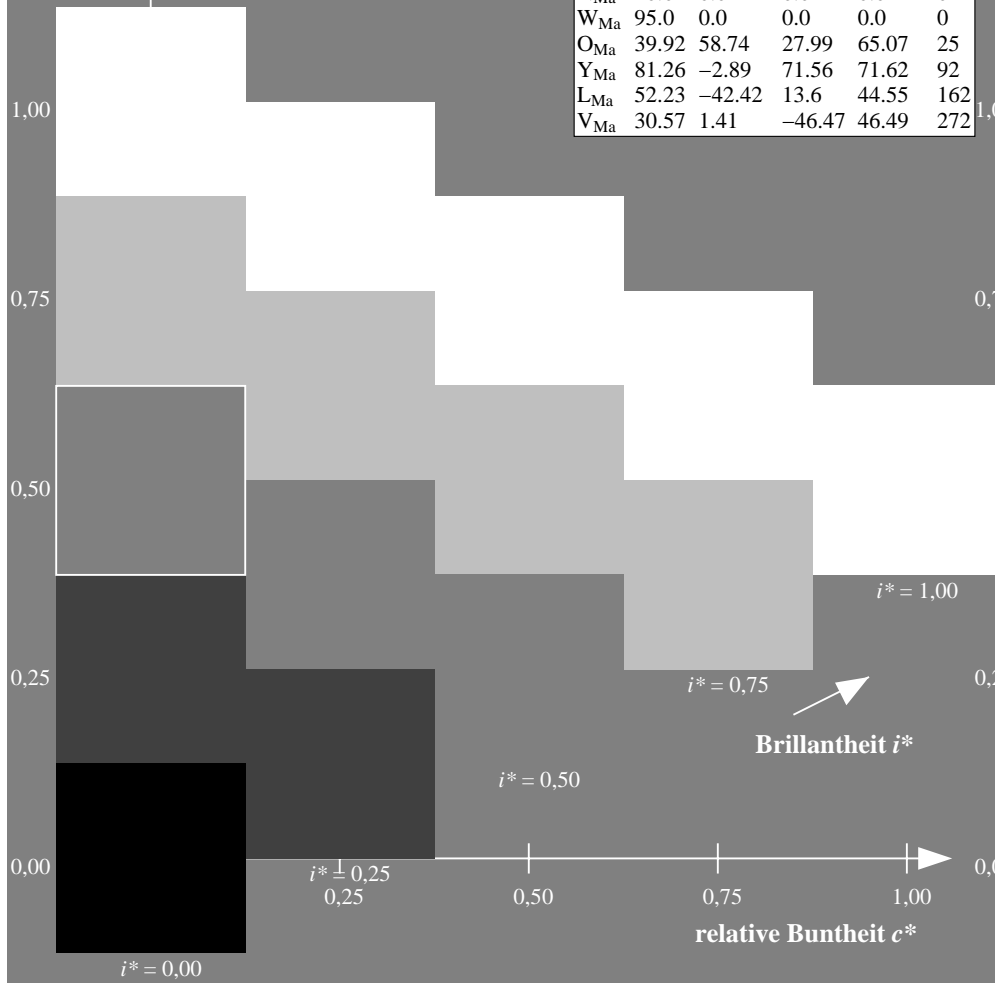
$lab^*olv^*_{Ma}$: 1.0 1.0 0.0

$lab^*rgb^*_{Ma}$: 0.94 1.0 0.0

Dreiecks-Helligkeit t^*

ORS20_95a; adaptierte CIELAB-Daten

u^*_d	$L^*=L^*_a$	a^*_a	b^*_a	$C^*_{ab,a}$	$h^*_{ab,a}$	u^*_e
o00y	48.71	62.56	37.91	73.15	31	r08j
o25y	58.6	44.87	49.14	66.54	48	r33j
o50y	67.52	28.93	59.25	65.94	64	r57j
o75y	77.05	11.9	70.06	71.06	80	r81j
y00l	89.25	-9.92	83.91	84.49	97	j06g
y25l	77.37	-27.05	63.23	68.78	113	j30g
y50l	68.62	-39.67	48.0	62.27	130	j53g
y75l	60.79	-50.95	34.38	61.47	146	j76g
l00c	52.5	-62.91	19.95	66.0	162	g00b
l50c	56.2	-43.39	-15.92	46.22	200	g34b
c00v	59.15	-27.87	-44.43	52.45	238	g69b
c50v	43.5	-1.49	-43.39	43.42	268	g96b
v00m	29.13	22.73	-42.44	48.14	298	b23r
v50m	37.32	42.16	-29.08	51.21	325	b47r
m00o	49.51	71.08	-9.19	71.67	353	b71r
m50o	49.11	66.86	14.12	68.34	12	b88r



%Umfang
 $u^*_{rel} = 83$
 %Regularität
 $g^*_{H,rel} = 72$
 $g^*_{C,rel} = 57$

Daten für jede Farbe:

lab^*tch^* und lab^*icu^*

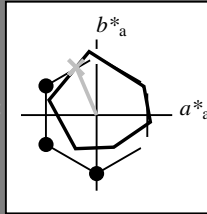
Buntontexte:

$u^*_d = y25l$ $u^*_e = j30g$

Kontrastreduzierungsfaktor:

$c_R = 0.96$

Dreiecks-Helligkeit t^*



ORS20_95a; adaptierte CIELAB-Daten						
u^*_d	$L^*=L^*_a$	a^*_a	b^*_a	$C^*_{ab,a}$	$h^*_{ab,a}$	
O _{Ma}	48.71	62.56	37.91	73.15	31	
Y _{Ma}	89.25	-9.92	83.91	84.49	97	
L _{Ma}	52.5	-62.91	19.95	66.0	162	
C _{Ma}	59.15	-27.87	-44.43	52.45	238	
V _{Ma}	29.13	22.73	-42.44	48.14	298	
M _{Ma}	49.51	71.08	-9.19	71.67	353	
N _{Ma}	20.0	0.0	0.0	0.0	0	
W _{Ma}	95.0	0.0	0.0	0.0	0	
O _{Ma}	39.92	58.74	27.99	65.07	25	
Y _{Ma}	81.26	-2.89	71.56	71.62	92	
L _{Ma}	52.23	-42.42	13.6	44.55	162	
V _{Ma}	30.57	1.41	-46.47	46.49	272	

Daten für Maximalfarbe (Ma):

$LAB^*LAB^*_{Ma}: 77 -27 63$

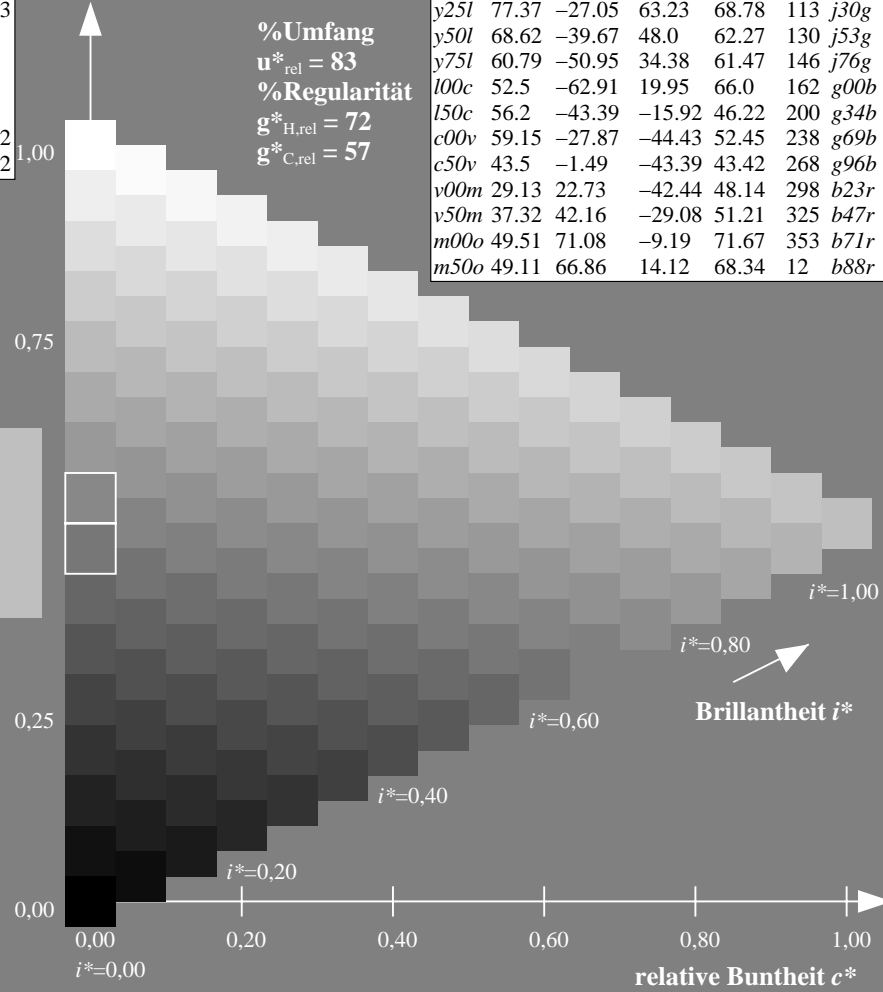
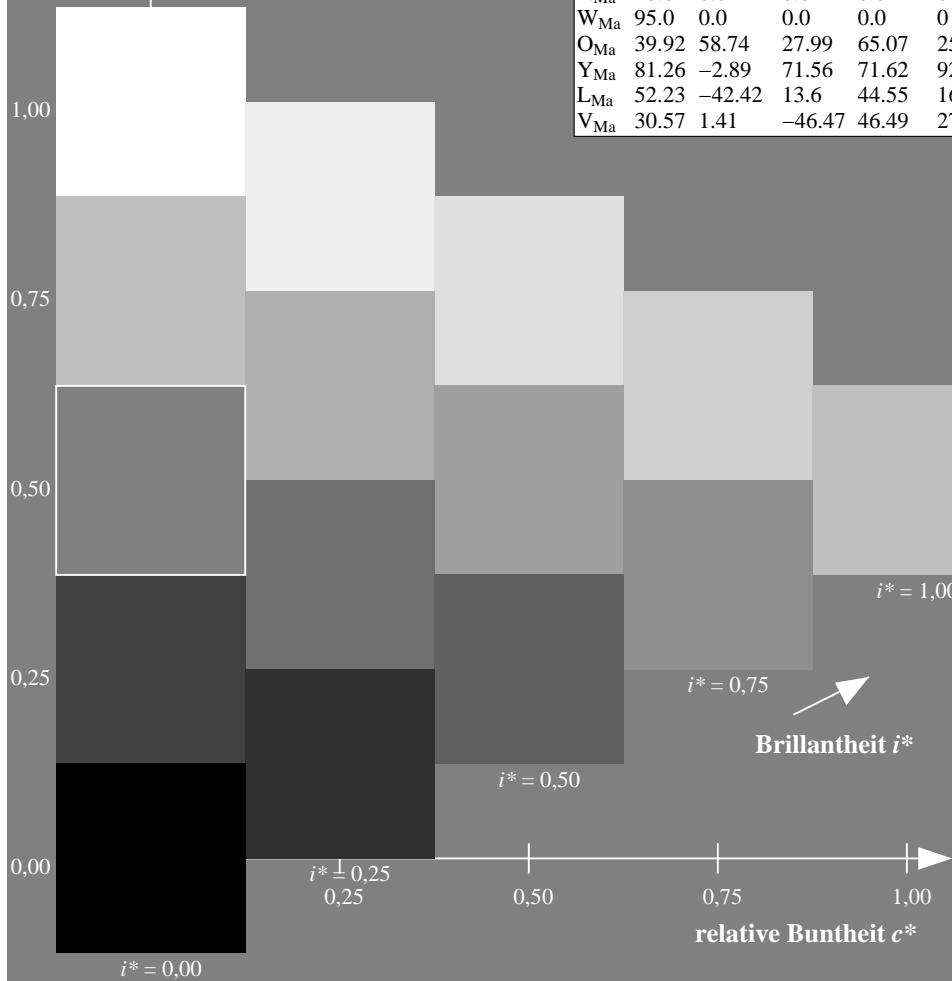
$LAB^*LCH^*_{Ma}: 77 69 113$

$lab^*olv^*_{Ma}: 0.75 1.0 0.0$

$lab^*rgb^*_{Ma}: 0.7 1.0 0.0$

Dreiecks-Helligkeit t^*

ORS20_95a; adaptierte CIELAB-Daten							
u^*_d	$L^*=L^*_a$	a^*_a	b^*_a	$C^*_{ab,a}$	$h^*_{ab,a}$	u^*_e	
o00y	48.71	62.56	37.91	73.15	31	r08j	
o25y	58.6	44.87	49.14	66.54	48	r33j	
o50y	67.52	28.93	59.25	65.94	64	r57j	
o75y	77.05	11.9	70.06	71.06	80	r81j	
y00l	89.25	-9.92	83.91	84.49	97	j06g	
y25l	77.37	-27.05	63.23	68.78	113	j30g	
y50l	68.62	-39.67	48.0	62.27	130	j53g	
y75l	60.79	-50.95	34.38	61.47	146	j76g	
l00c	52.5	-62.91	19.95	66.0	162	g00b	
l50c	56.2	-43.39	-15.92	46.22	200	g34b	
c00v	59.15	-27.87	-44.43	52.45	238	g69b	
c50v	43.5	-1.49	-43.39	43.42	268	g96b	
v00m	29.13	22.73	-42.44	48.14	298	b23r	
v50m	37.32	42.16	-29.08	51.21	325	b47r	
m00o	49.51	71.08	-9.19	71.67	353	b71r	
m50o	49.11	66.86	14.12	68.34	12	b88r	



%Umfang
 $u^*_{rel} = 83$
 %Regularität
 $g^*_{H,rel} = 72$
 $g^*_{C,rel} = 57$

Brillantheit i^*

Ein und Ausgabe: Farbmetrisches Drucker-Reflektiv-System ORS20_95a für relativen CIELAB-Bunton $h^* = lab^*h^* = h_{ab}/360 = 0.36$

$u^*_d = y50l$

Daten für jede Farbe:

lab^*tch^* und lab^*icu^*

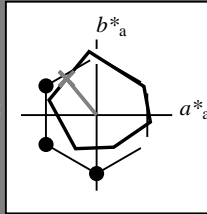
Bunntexte:

$u^*_d = y50l$ $u^*_e = j53g$

Kontrastreduzierungsfaktor:

$c_R = 0.96$

Dreiecks-Helligkeit t^*



ORS20_95a; adaptierte CIELAB-Daten						
u^*_d	$L^*=L^*_a$	a^*_a	b^*_a	$C^*_{ab,a}$	$h^*_{ab,a}$	
O_{Ma}	48.71	62.56	37.91	73.15	31	
Y_{Ma}	89.25	-9.92	83.91	84.49	97	
L_{Ma}	52.5	-62.91	19.95	66.0	162	
C_{Ma}	59.15	-27.87	-44.43	52.45	238	
V_{Ma}	29.13	22.73	-42.44	48.14	298	
M_{Ma}	49.51	71.08	-9.19	71.67	353	
N_{Ma}	20.0	0.0	0.0	0.0	0	
W_{Ma}	95.0	0.0	0.0	0.0	0	
O_{Ma}	39.92	58.74	27.99	65.07	25	
Y_{Ma}	81.26	-2.89	71.56	71.62	92	
L_{Ma}	52.23	-42.42	13.6	44.55	162	
V_{Ma}	30.57	1.41	-46.47	46.49	272	

Daten für Maximalfarbe (Ma):

$LAB^*LAB^*_{Ma}$: 69 -40 48

$LAB^*LCH^*_{Ma}$: 69 62 129

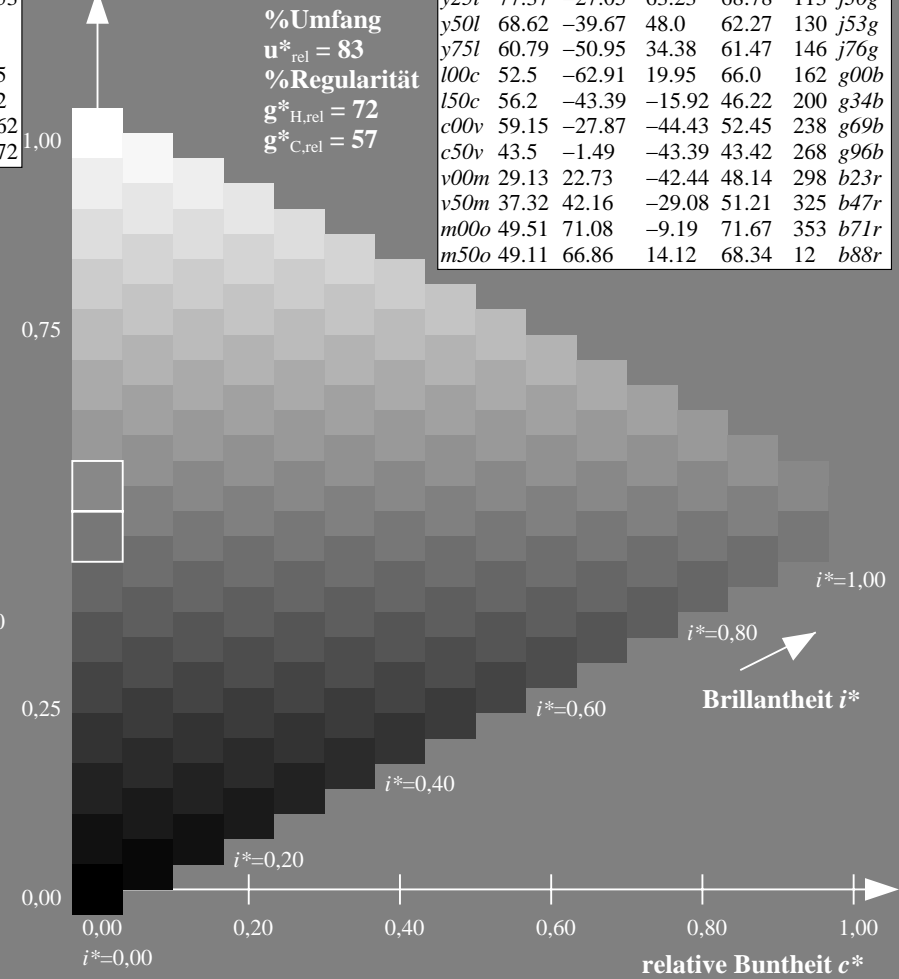
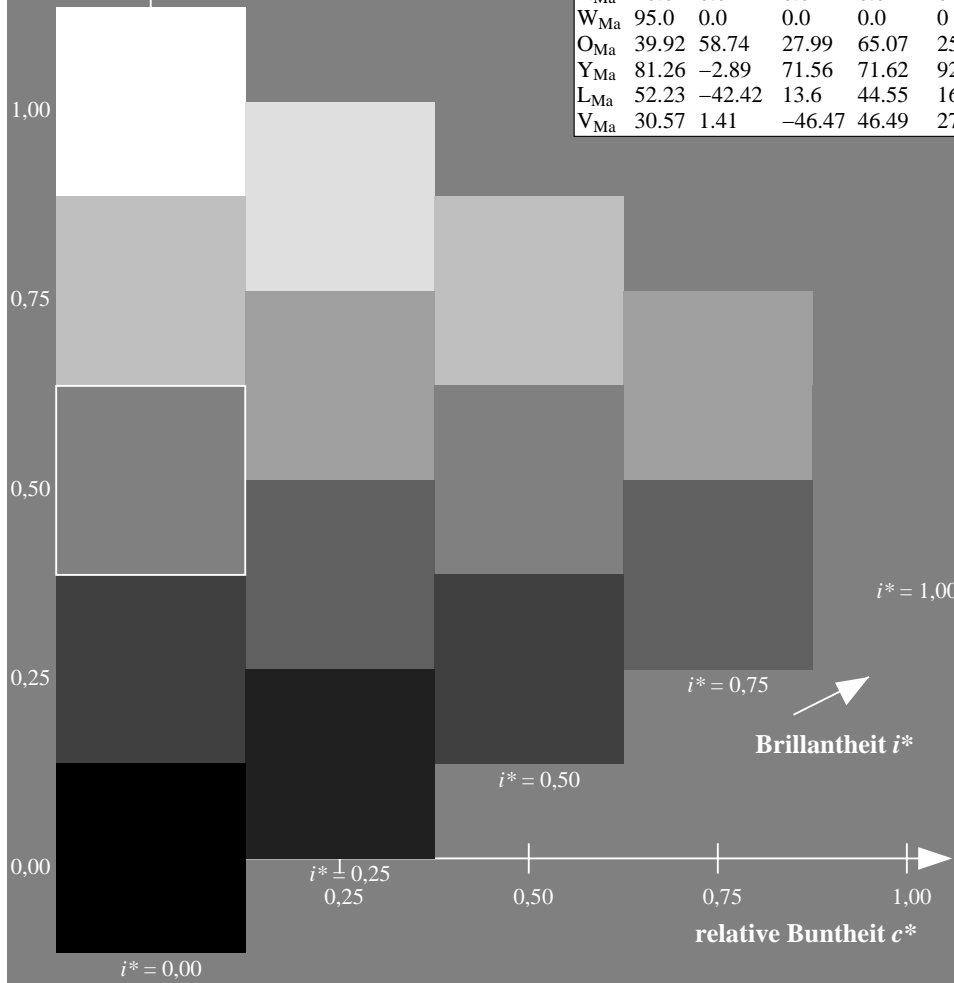
$lab^*olv^*_{Ma}$: 0.5 1.0 0.0

$lab^*rgb^*_{Ma}$: 0.47 1.0 0.0

Dreiecks-Helligkeit t^*

ORS20_95a; adaptierte CIELAB-Daten

u^*_d	$L^*=L^*_a$	a^*_a	b^*_a	$C^*_{ab,a}$	$h^*_{ab,a}$	u^*_e
$o00y$	48.71	62.56	37.91	73.15	31	$r08j$
$o25y$	58.6	44.87	49.14	66.54	48	$r33j$
$o50y$	67.52	28.93	59.25	65.94	64	$r57j$
$o75y$	77.05	11.9	70.06	71.06	80	$r81j$
$y00l$	89.25	-9.92	83.91	84.49	97	$j06g$
$y25l$	77.37	-27.05	63.23	68.78	113	$j30g$
$y50l$	68.62	-39.67	48.0	62.27	130	$j53g$
$y75l$	60.79	-50.95	34.38	61.47	146	$j76g$
$l00c$	52.5	-62.91	19.95	66.0	162	$g00b$
$l50c$	56.2	-43.39	-15.92	46.22	200	$g34b$
$c00v$	59.15	-27.87	-44.43	52.45	238	$g69b$
$c50v$	43.5	-1.49	-43.39	43.42	268	$g96b$
$v00m$	29.13	22.73	-42.44	48.14	298	$b23r$
$v50m$	37.32	42.16	-29.08	51.21	325	$b47r$
$m00o$	49.51	71.08	-9.19	71.67	353	$b71r$
$m50o$	49.11	66.86	14.12	68.34	12	$b88r$



Daten für jede Farbe:

lab^*tch^* und lab^*icu^*

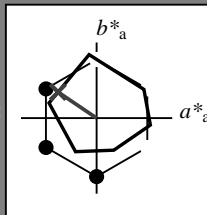
Bunntexte:

$u^*_d = y75l$ $u^*_e = j76g$

Kontrastreduzierungsfaktor:

$c_R = 0.96$

Dreiecks-Helligkeit t^*



ORS20_95a; adaptierte CIELAB-Daten						
u^*_d	$L^*=L^*_a$	a^*_a	b^*_a	$C^*_{ab,a}$	$h^*_{ab,a}$	
O _{Ma}	48.71	62.56	37.91	73.15	31	
Y _{Ma}	89.25	-9.92	83.91	84.49	97	
L _{Ma}	52.5	-62.91	19.95	66.0	162	
C _{Ma}	59.15	-27.87	-44.43	52.45	238	
V _{Ma}	29.13	22.73	-42.44	48.14	298	
M _{Ma}	49.51	71.08	-9.19	71.67	353	
N _{Ma}	20.0	0.0	0.0	0.0	0	
W _{Ma}	95.0	0.0	0.0	0.0	0	
O _{Ma}	39.92	58.74	27.99	65.07	25	
Y _{Ma}	81.26	-2.89	71.56	71.62	92	
L _{Ma}	52.23	-42.42	13.6	44.55	162	
V _{Ma}	30.57	1.41	-46.47	46.49	272	

Daten für Maximalfarbe (Ma):

$LAB^*LAB^*_{Ma}$: 61 -51 34

$LAB^*LCH^*_{Ma}$: 61 61 145

$lab^*olv^*_{Ma}$: 0.25 1.0 0.0

$lab^*rgb^*_{Ma}$: 0.23 1.0 0.0

Dreiecks-Helligkeit t^*

%Umfang

$u^*_{rel} = 83$

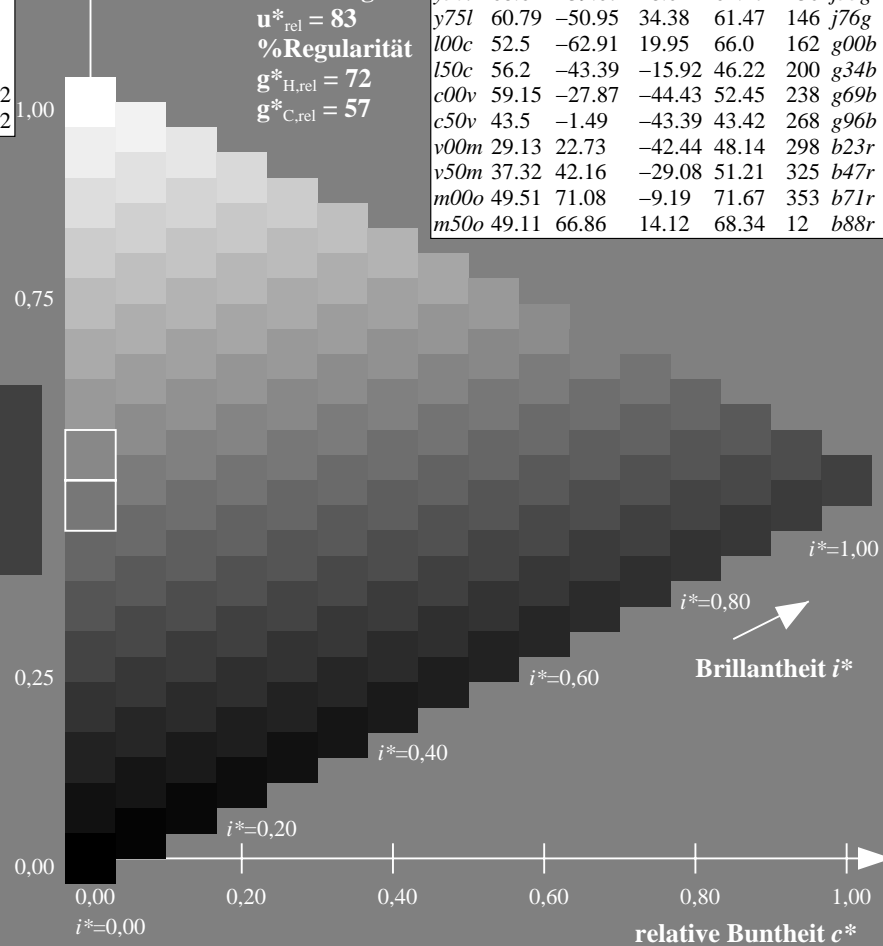
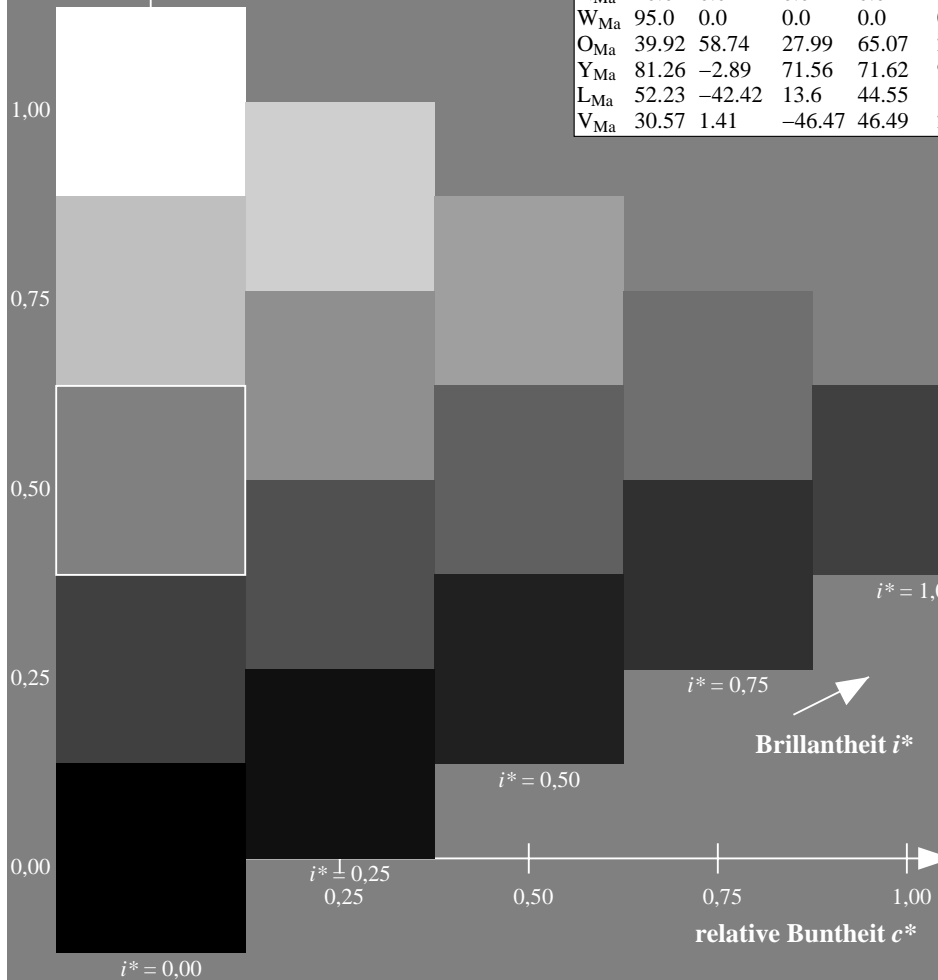
%Regularität

$g^*_{H,rel} = 72$

$g^*_{C,rel} = 57$

ORS20_95a; adaptierte CIELAB-Daten

u^*_d	$L^*=L^*_a$	a^*_a	b^*_a	$C^*_{ab,a}$	$h^*_{ab,a}$	u^*_e
o00y	48.71	62.56	37.91	73.15	31	r08j
o25y	58.6	44.87	49.14	66.54	48	r33j
o50y	67.52	28.93	59.25	65.94	64	r57j
o75y	77.05	11.9	70.06	71.06	80	r81j
y00l	89.25	-9.92	83.91	84.49	97	j06g
y25l	77.37	-27.05	63.23	68.78	113	j30g
y50l	68.62	-39.67	48.0	62.27	130	j53g
y75l	60.79	-50.95	34.38	61.47	146	j76g
l00c	52.5	-62.91	19.95	66.0	162	g00b
l50c	56.2	-43.39	-15.92	46.22	200	g34b
c00v	59.15	-27.87	-44.43	52.45	238	g69b
c50v	43.5	-1.49	-43.39	43.42	268	g96b
v00m	29.13	22.73	-42.44	48.14	298	b23r
v50m	37.32	42.16	-29.08	51.21	325	b47r
m00o	49.51	71.08	-9.19	71.67	353	b71r
m50o	49.11	66.86	14.12	68.34	12	b88r



Daten für jede Farbe:

lab^*tch^* und lab^*icu^*

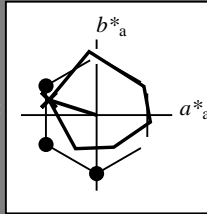
Buntontexte:

$u^*_d = 100c$ $u^*_e = g00b$

Kontrastreduzierungsfaktor:

$c_R = 0.96$

Dreiecks-Helligkeit t^*



ORS20_95a; adaptierte CIELAB-Daten						
u^*_d	$L^*=L^*_a$	a^*_a	b^*_a	$C^*_{ab,a}$	$h^*_{ab,a}$	
O _{Ma}	48.71	62.56	37.91	73.15	31	
Y _{Ma}	89.25	-9.92	83.91	84.49	97	
L _{Ma}	52.5	-62.91	19.95	66.0	162	
C _{Ma}	59.15	-27.87	-44.43	52.45	238	
V _{Ma}	29.13	22.73	-42.44	48.14	298	
M _{Ma}	49.51	71.08	-9.19	71.67	353	
N _{Ma}	20.0	0.0	0.0	0.0	0	
W _{Ma}	95.0	0.0	0.0	0.0	0	
O _{Ma}	39.92	58.74	27.99	65.07	25	
Y _{Ma}	81.26	-2.89	71.56	71.62	92	
L _{Ma}	52.23	-42.42	13.6	44.55	162	
V _{Ma}	30.57	1.41	-46.47	46.49	272	

Daten für Maximalfarbe (Ma):

$LAB^*LAB^*_{Ma}: 52 -63 20$

$LAB^*LCH^*_{Ma}: 52 66 162$

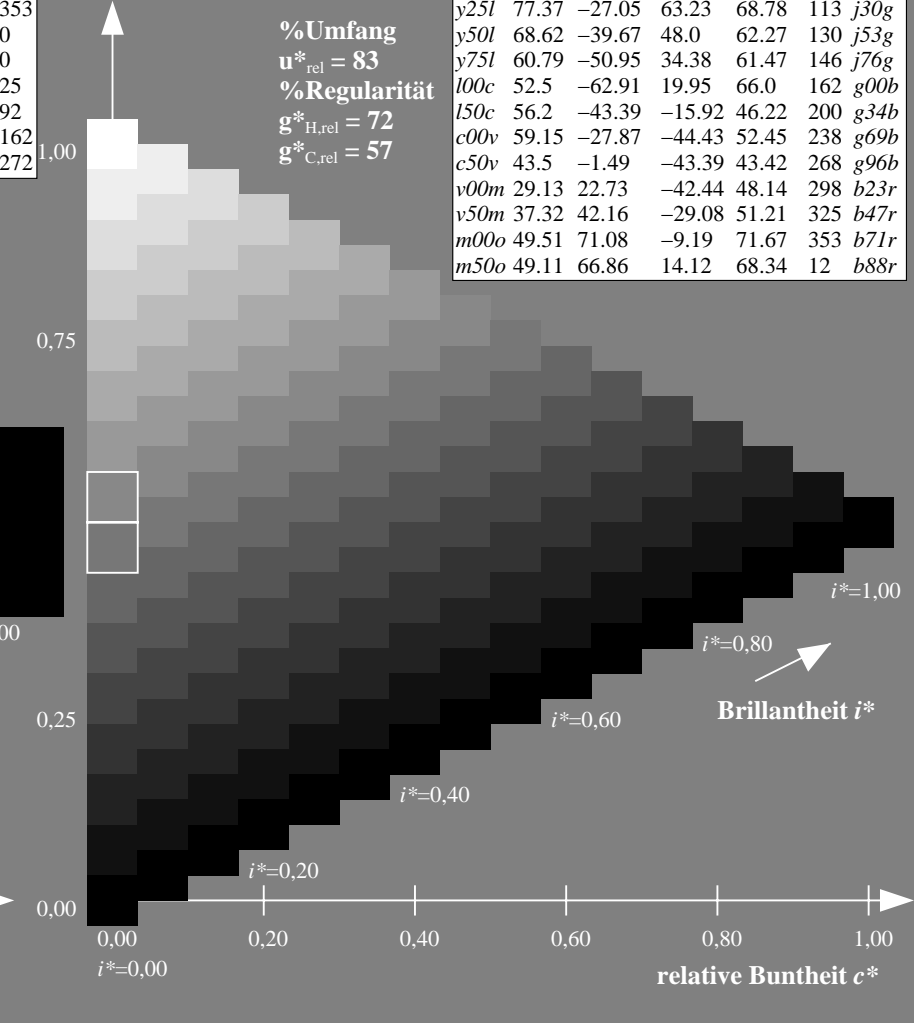
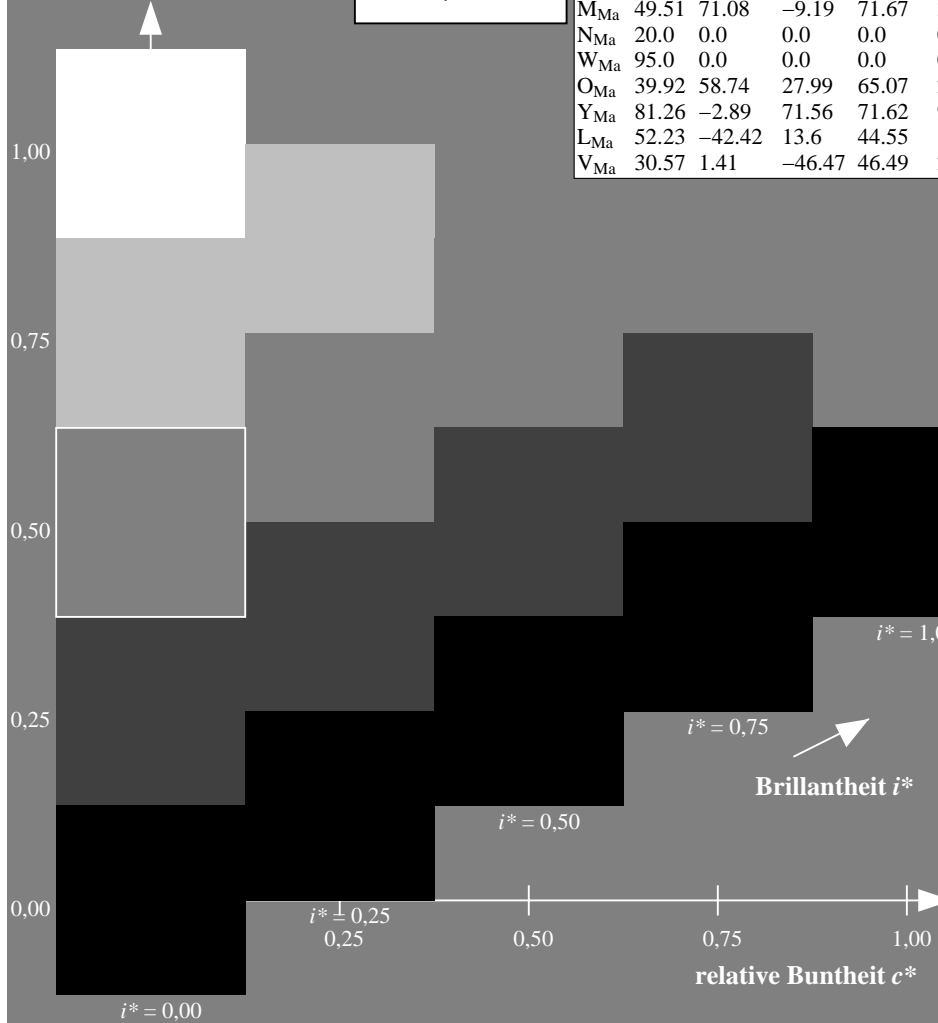
$lab^*olv^*_{Ma}: 0.0 1.0 0.0$

$lab^*rgb^*_{Ma}: 0.0 1.0 0.0$

Dreiecks-Helligkeit t^*

ORS20_95a; adaptierte CIELAB-Daten

u^*_d	$L^*=L^*_a$	a^*_a	b^*_a	$C^*_{ab,a}$	$h^*_{ab,a}$	u^*_e
o00y	48.71	62.56	37.91	73.15	31	r08j
o25y	58.6	44.87	49.14	66.54	48	r33j
o50y	67.52	28.93	59.25	65.94	64	r57j
o75y	77.05	11.9	70.06	71.06	80	r81j
y00l	89.25	-9.92	83.91	84.49	97	j06g
y25l	77.37	-27.05	63.23	68.78	113	j30g
y50l	68.62	-39.67	48.0	62.27	130	j53g
y75l	60.79	-50.95	34.38	61.47	146	j76g
l00c	52.5	-62.91	19.95	66.0	162	g00b
l50c	56.2	-43.39	-15.92	46.22	200	g34b
c00v	59.15	-27.87	-44.43	52.45	238	g69b
c50v	43.5	-1.49	-43.39	43.42	268	g96b
v00m	29.13	22.73	-42.44	48.14	298	b23r
v50m	37.32	42.16	-29.08	51.21	325	b47r
m00o	49.51	71.08	-9.19	71.67	353	b71r
m50o	49.11	66.86	14.12	68.34	12	b88r



%Umfang
 $u^*_{rel} = 83$
 %Regularität
 $g^*_{H,rel} = 72$
 $g^*_{C,rel} = 57$

Daten für jede Farbe:

lab^*tch^* und lab^*icu^*

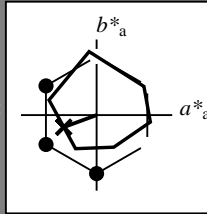
Bunntexte:

$u^*_d = 150c$ $u^*_e = g34b$

Kontrastreduzierungsfaktor:

$c_R = 0.96$

Dreiecks-Helligkeit t^*



ORS20_95a; adaptierte CIELAB-Daten						
u^*_d	$L^*=L^*_a$	a^*_a	b^*_a	$C^*_{ab,a}$	$h^*_{ab,a}$	
O _{Ma}	48.71	62.56	37.91	73.15	31	
Y _{Ma}	89.25	-9.92	83.91	84.49	97	
L _{Ma}	52.5	-62.91	19.95	66.0	162	
C _{Ma}	59.15	-27.87	-44.43	52.45	238	
V _{Ma}	29.13	22.73	-42.44	48.14	298	
M _{Ma}	49.51	71.08	-9.19	71.67	353	
N _{Ma}	20.0	0.0	0.0	0.0	0	
W _{Ma}	95.0	0.0	0.0	0.0	0	
O _{Ma}	39.92	58.74	27.99	65.07	25	
Y _{Ma}	81.26	-2.89	71.56	71.62	92	
L _{Ma}	52.23	-42.42	13.6	44.55	162	
V _{Ma}	30.57	1.41	-46.47	46.49	272	

Daten für Maximalfarbe (Ma):

$\text{LAB}^*\text{LAB}^*_{Ma}: 56 \ -43 \ -16$

$\text{LAB}^*\text{LCH}^*_{Ma}: 56 \ 46 \ 200$

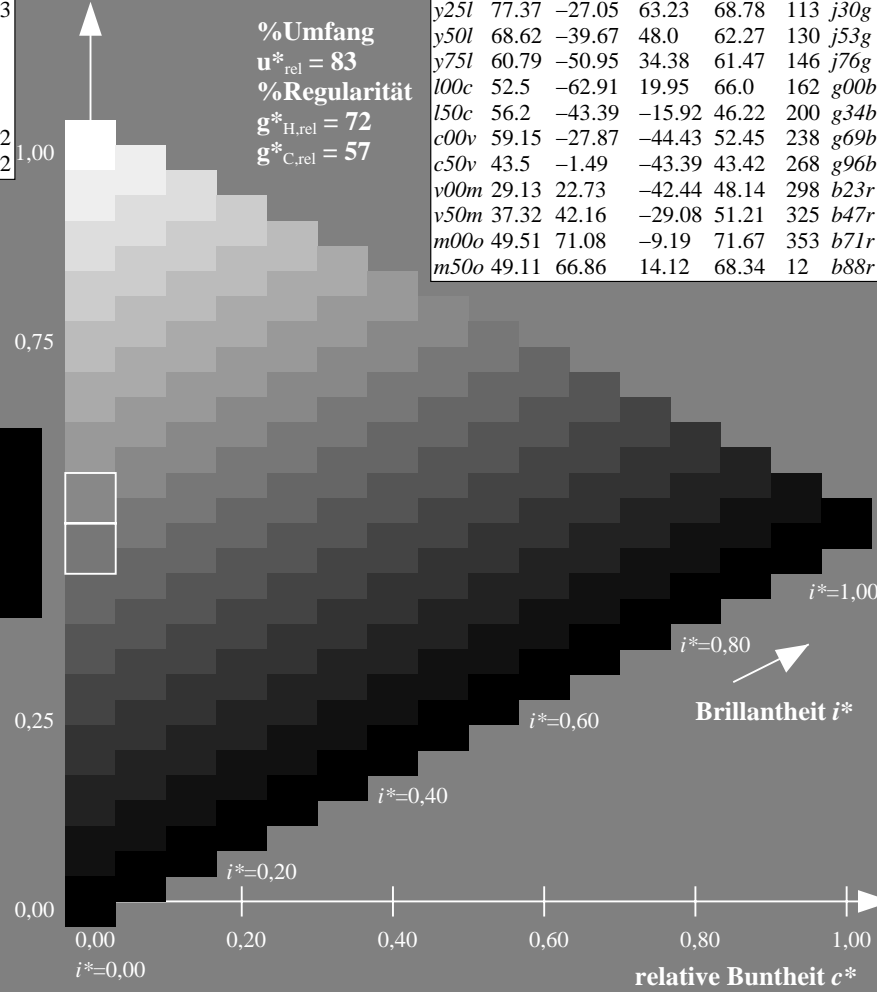
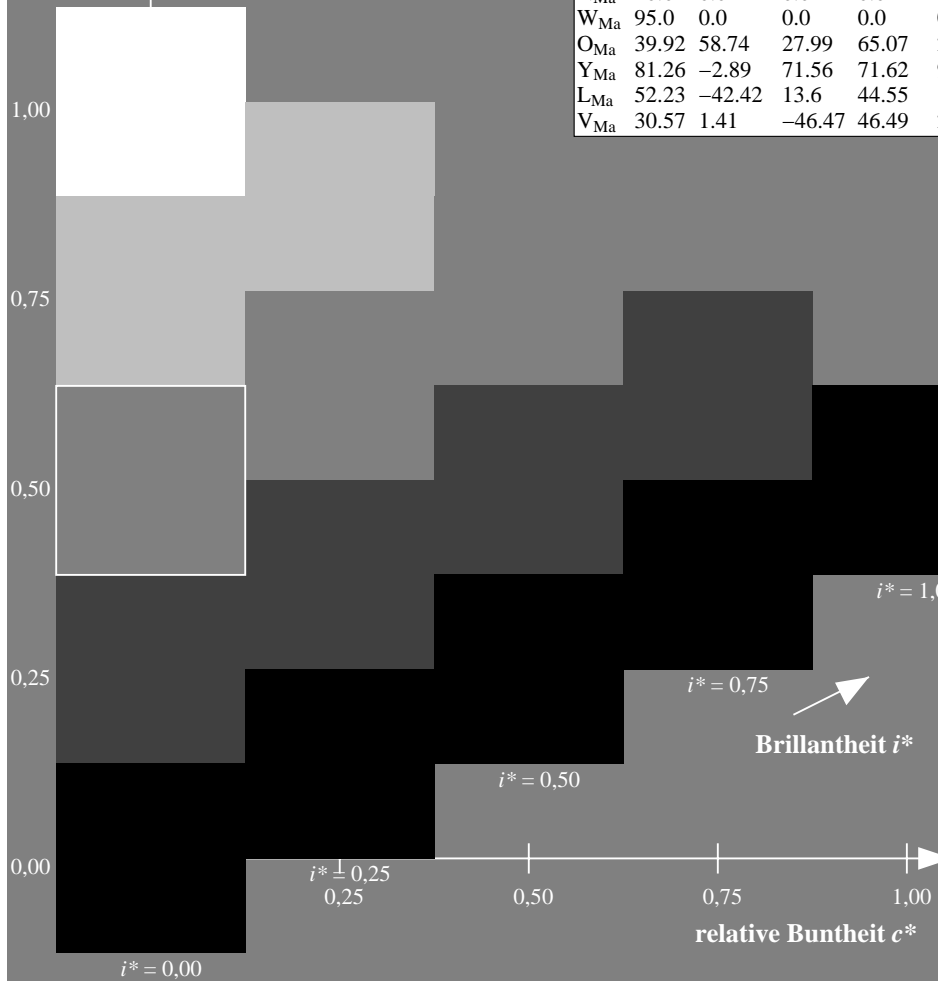
$\text{lab}^*\text{olv}^*_{Ma}: 0.0 \ 1.0 \ 0.5$

$\text{lab}^*\text{rgb}^*_{Ma}: 0.0 \ 1.0 \ 0.69$

Dreiecks-Helligkeit t^*

ORS20_95a; adaptierte CIELAB-Daten

u^*_d	$L^*=L^*_a$	a^*_a	b^*_a	$C^*_{ab,a}$	$h^*_{ab,a}$	u^*_e
o00y	48.71	62.56	37.91	73.15	31	r08j
o25y	58.6	44.87	49.14	66.54	48	r33j
o50y	67.52	28.93	59.25	65.94	64	r57j
o75y	77.05	11.9	70.06	71.06	80	r81j
y00l	89.25	-9.92	83.91	84.49	97	j06g
y25l	77.37	-27.05	63.23	68.78	113	j30g
y50l	68.62	-39.67	48.0	62.27	130	j53g
y75l	60.79	-50.95	34.38	61.47	146	j76g
l00c	52.5	-62.91	19.95	66.0	162	g00b
l50c	56.2	-43.39	-15.92	46.22	200	g34b
c00v	59.15	-27.87	-44.43	52.45	238	g69b
c50v	43.5	-1.49	-43.39	43.42	268	g96b
v00m	29.13	22.73	-42.44	48.14	298	b23r
v50m	37.32	42.16	-29.08	51.21	325	b47r
m00o	49.51	71.08	-9.19	71.67	353	b71r
m50o	49.11	66.86	14.12	68.34	12	b88r



%Umfang
 $u^*_{rel} = 83$
 %Regularität
 $g^*_{H,rel} = 72$
 $g^*_{C,rel} = 57$

Daten für jede Farbe:

lab^*tch^* und lab^*icu^*

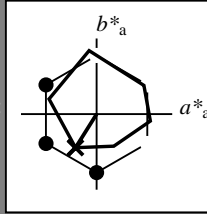
Buntontexte:

$u^*_d = c00v$ $u^*_e = g69b$

Kontrastreduzierungsfaktor:

$c_R = 0.96$

Dreiecks-Helligkeit t^*



ORS20_95a; adaptierte CIELAB-Daten						
u^*_d	$L^*=L^*_a$	a^*_a	b^*_a	$C^*_{ab,a}$	$h^*_{ab,a}$	
O _{Ma}	48.71	62.56	37.91	73.15	31	
Y _{Ma}	89.25	-9.92	83.91	84.49	97	
L _{Ma}	52.5	-62.91	19.95	66.0	162	
C _{Ma}	59.15	-27.87	-44.43	52.45	238	
V _{Ma}	29.13	22.73	-42.44	48.14	298	
M _{Ma}	49.51	71.08	-9.19	71.67	353	
N _{Ma}	20.0	0.0	0.0	0.0	0	
W _{Ma}	95.0	0.0	0.0	0.0	0	
O _{Ma}	39.92	58.74	27.99	65.07	25	
Y _{Ma}	81.26	-2.89	71.56	71.62	92	
L _{Ma}	52.23	-42.42	13.6	44.55	162	
V _{Ma}	30.57	1.41	-46.47	46.49	272	

Daten für Maximalfarbe (Ma):

$LAB^*LAB^*_{Ma}: 59 -28 -44$

$LAB^*LCH^*_{Ma}: 59 52 237$

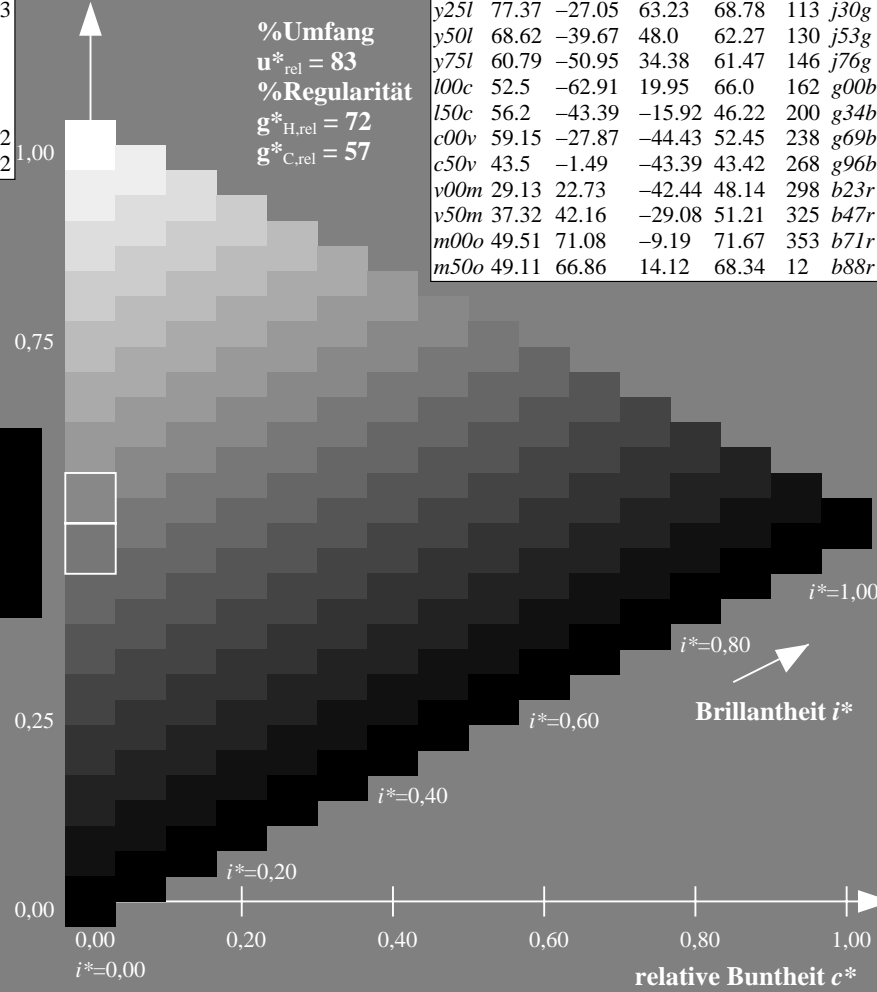
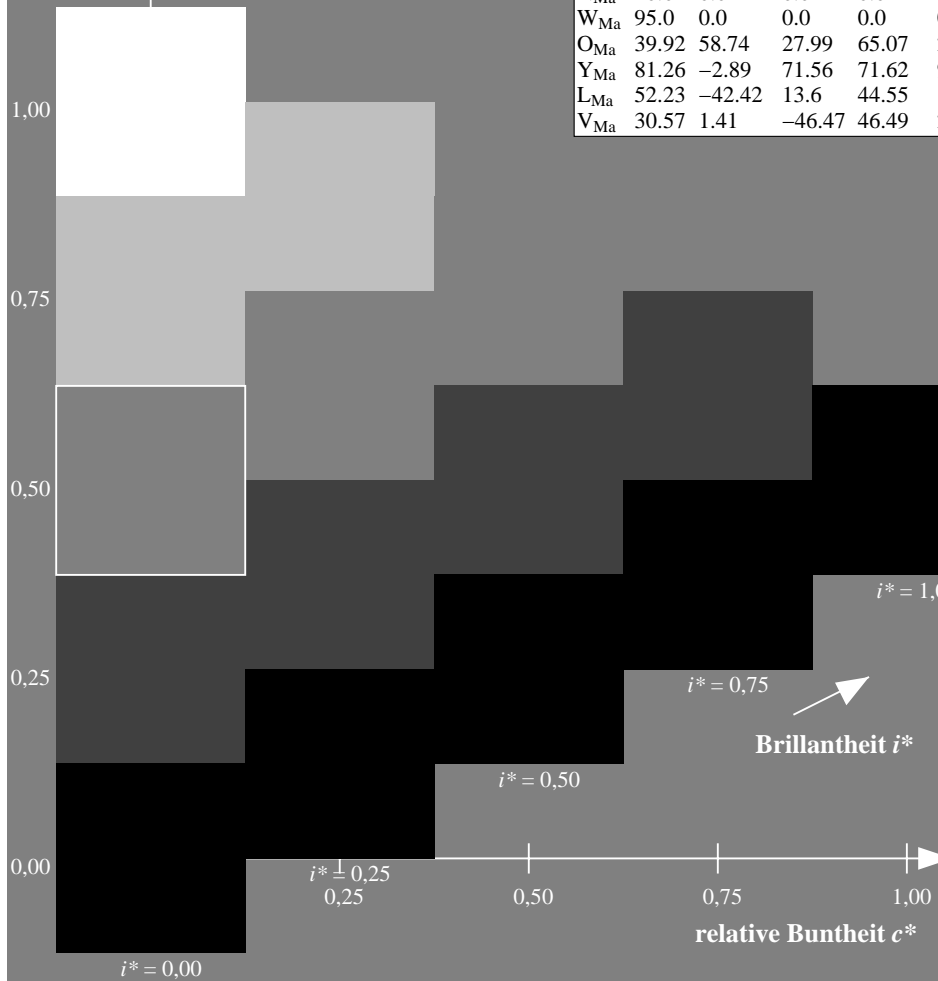
$lab^*olv^*_{Ma}: 0.0 1.0 1.0$

$lab^*rgb^*_{Ma}: 0.0 0.62 1.0$

Dreiecks-Helligkeit t^*

ORS20_95a; adaptierte CIELAB-Daten

u^*_d	$L^*=L^*_a$	a^*_a	b^*_a	$C^*_{ab,a}$	$h^*_{ab,a}$	u^*_e
<i>o00y</i>	48.71	62.56	37.91	73.15	31	<i>r08j</i>
<i>o25y</i>	58.6	44.87	49.14	66.54	48	<i>r33j</i>
<i>o50y</i>	67.52	28.93	59.25	65.94	64	<i>r57j</i>
<i>o75y</i>	77.05	11.9	70.06	71.06	80	<i>r81j</i>
<i>y00l</i>	89.25	-9.92	83.91	84.49	97	<i>j06g</i>
<i>y25l</i>	77.37	-27.05	63.23	68.78	113	<i>j30g</i>
<i>y50l</i>	68.62	-39.67	48.0	62.27	130	<i>j53g</i>
<i>y75l</i>	60.79	-50.95	34.38	61.47	146	<i>j76g</i>
<i>l00c</i>	52.5	-62.91	19.95	66.0	162	<i>g00b</i>
<i>l50c</i>	56.2	-43.39	-15.92	46.22	200	<i>g34b</i>
<i>c00v</i>	59.15	-27.87	-44.43	52.45	238	<i>g69b</i>
<i>c50v</i>	43.5	-1.49	-43.39	43.42	268	<i>g96b</i>
<i>v00m</i>	29.13	22.73	-42.44	48.14	298	<i>b23r</i>
<i>v50m</i>	37.32	42.16	-29.08	51.21	325	<i>b47r</i>
<i>m00o</i>	49.51	71.08	-9.19	71.67	353	<i>b71r</i>
<i>m50o</i>	49.11	66.86	14.12	68.34	12	<i>b88r</i>



Daten für jede Farbe:

lab^*tch^* und lab^*icu^*

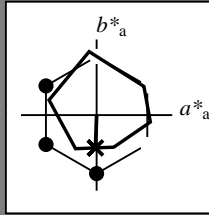
Bunntexte:

$u^*_d = c50v$ $u^*_e = g96b$

Kontrastreduzierungsfaktor:

$c_R = 0.96$

Dreiecks-Helligkeit t^*



ORS20_95a; adaptierte CIELAB-Daten						
u^*_d	$L^*=L^*_a$	a^*_a	b^*_a	$C^*_{ab,a}$	$h^*_{ab,a}$	
O _{Ma}	48.71	62.56	37.91	73.15	31	
Y _{Ma}	89.25	-9.92	83.91	84.49	97	
L _{Ma}	52.5	-62.91	19.95	66.0	162	
C _{Ma}	59.15	-27.87	-44.43	52.45	238	
V _{Ma}	29.13	22.73	-42.44	48.14	298	
M _{Ma}	49.51	71.08	-9.19	71.67	353	
N _{Ma}	20.0	0.0	0.0	0.0	0	
W _{Ma}	95.0	0.0	0.0	0.0	0	
O _{Ma}	39.92	58.74	27.99	65.07	25	
Y _{Ma}	81.26	-2.89	71.56	71.62	92	
L _{Ma}	52.23	-42.42	13.6	44.55	162	
V _{Ma}	30.57	1.41	-46.47	46.49	272	

Daten für Maximalfarbe (Ma):

$LAB^*LAB^*_{Ma}$: 43 -1 -43

$LAB^*LCH^*_{Ma}$: 43 43 268

$lab^*olv^*_{Ma}$: 0.0 0.5 1.0

$lab^*rgb^*_{Ma}$: 0.0 0.07 1.0

Dreiecks-Helligkeit t^*

%Umfang

$u^*_{rel} = 83$

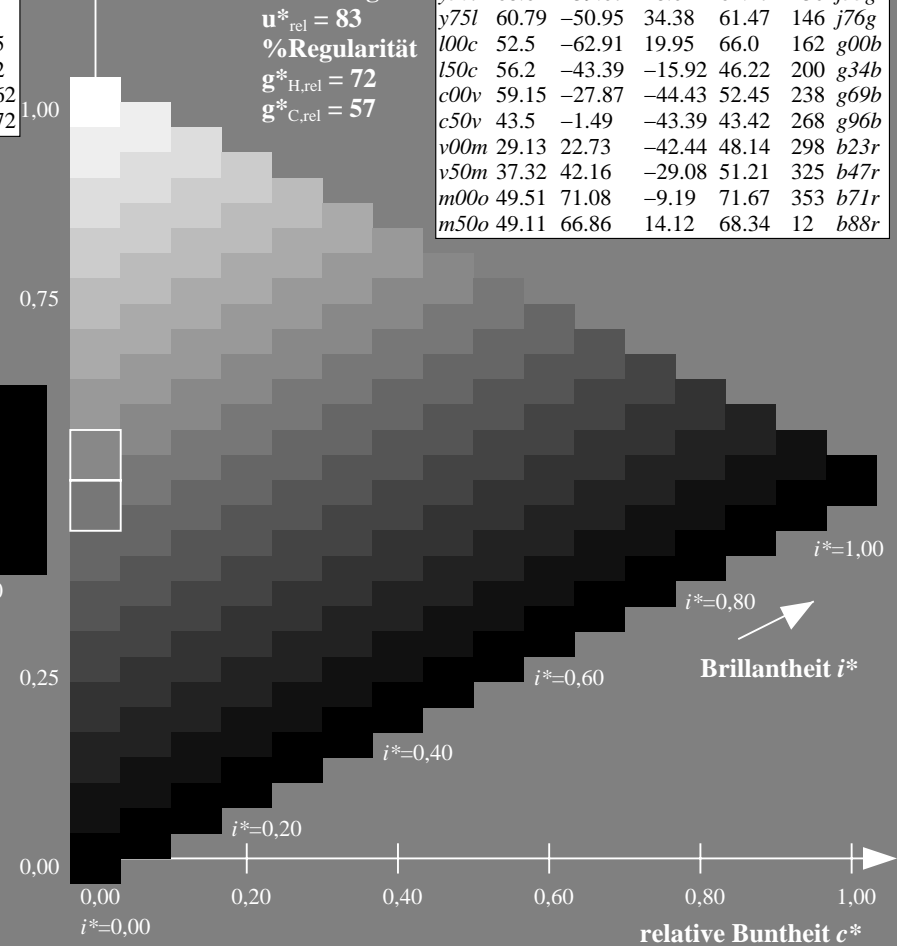
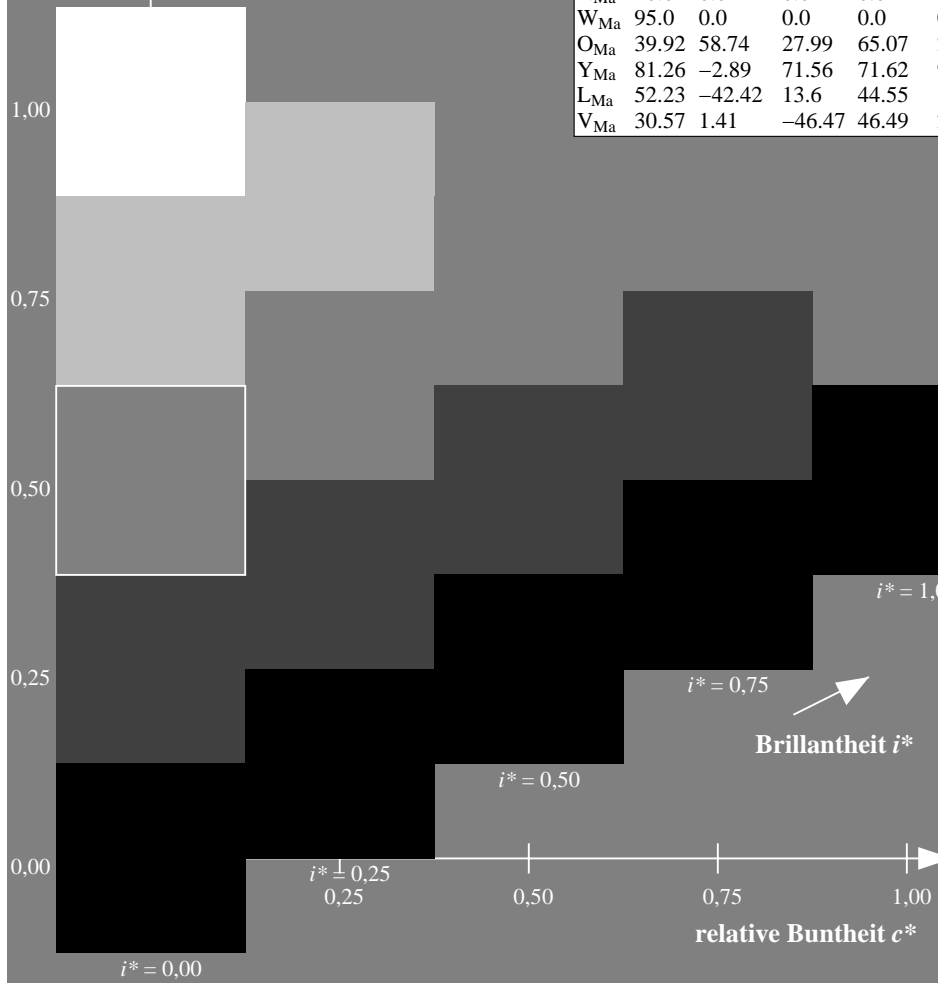
%Regularität

$g^*_{H,rel} = 72$

$g^*_{C,rel} = 57$

ORS20_95a; adaptierte CIELAB-Daten

u^*_d	$L^*=L^*_a$	a^*_a	b^*_a	$C^*_{ab,a}$	$h^*_{ab,a}$	u^*_e
o00y	48.71	62.56	37.91	73.15	31	r08j
o25y	58.6	44.87	49.14	66.54	48	r33j
o50y	67.52	28.93	59.25	65.94	64	r57j
o75y	77.05	11.9	70.06	71.06	80	r81j
y00l	89.25	-9.92	83.91	84.49	97	j06g
y25l	77.37	-27.05	63.23	68.78	113	j30g
y50l	68.62	-39.67	48.0	62.27	130	j53g
y75l	60.79	-50.95	34.38	61.47	146	j76g
l00c	52.5	-62.91	19.95	66.0	162	g00b
l50c	56.2	-43.39	-15.92	46.22	200	g34b
c00v	59.15	-27.87	-44.43	52.45	238	g69b
c50v	43.5	-1.49	-43.39	43.42	268	g96b
v00m	29.13	22.73	-42.44	48.14	298	b23r
v50m	37.32	42.16	-29.08	51.21	325	b47r
m00o	49.51	71.08	-9.19	71.67	353	b71r
m50o	49.11	66.86	14.12	68.34	12	b88r



Daten für jede Farbe:

lab^*tch^* und lab^*icu^*

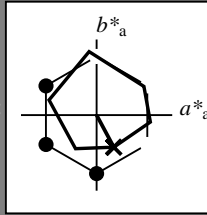
Buntontexte:

$u^*_d = v00m$ $u^*_e = b23r$

Kontrastreduzierungsfaktor:

$c_R = 0.96$

Dreiecks-Helligkeit t^*



ORS20_95a; adaptierte CIELAB-Daten						
u^*_d	$L^*=L^*_a$	a^*_a	b^*_a	$C^*_{ab,a}$	$h^*_{ab,a}$	
O _{Ma}	48.71	62.56	37.91	73.15	31	
Y _{Ma}	89.25	-9.92	83.91	84.49	97	
L _{Ma}	52.5	-62.91	19.95	66.0	162	
C _{Ma}	59.15	-27.87	-44.43	52.45	238	
V _{Ma}	29.13	22.73	-42.44	48.14	298	
M _{Ma}	49.51	71.08	-9.19	71.67	353	
N _{Ma}	20.0	0.0	0.0	0.0	0	
W _{Ma}	95.0	0.0	0.0	0.0	0	
O _{Ma}	39.92	58.74	27.99	65.07	25	
Y _{Ma}	81.26	-2.89	71.56	71.62	92	
L _{Ma}	52.23	-42.42	13.6	44.55	162	
V _{Ma}	30.57	1.41	-46.47	46.49	272	

Daten für Maximalfarbe (Ma):

$LAB^*LAB^*_{Ma}$: 29 23 -42

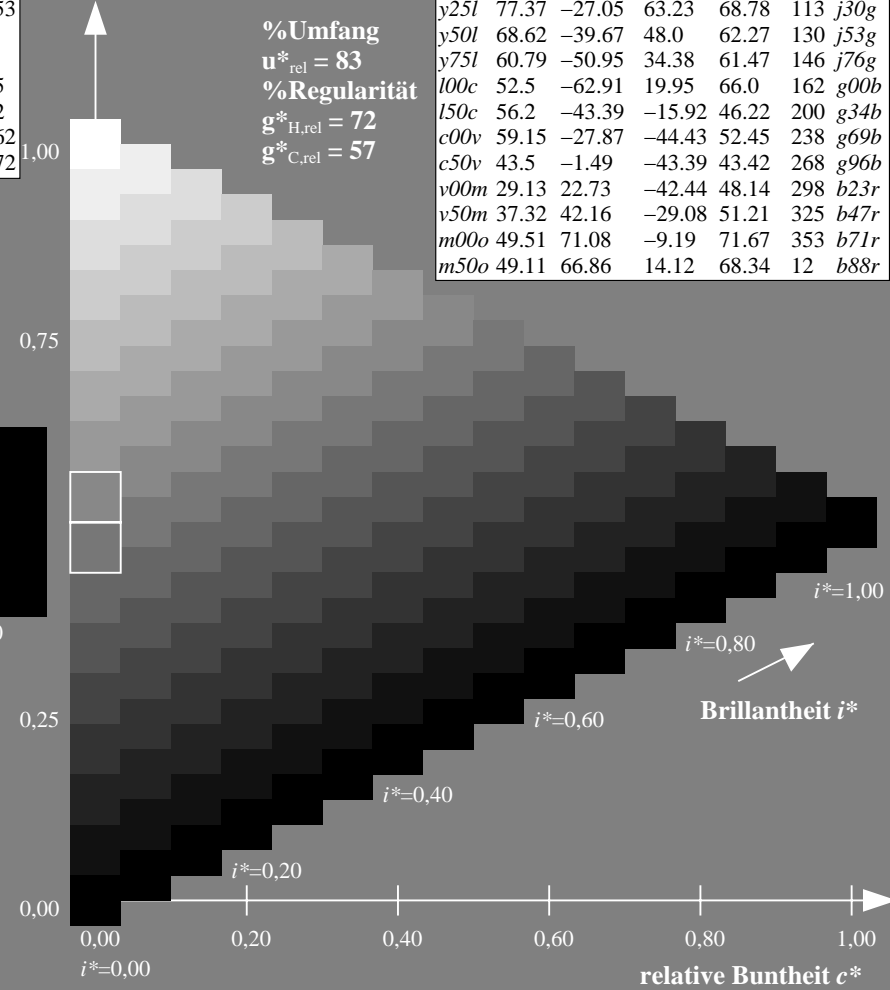
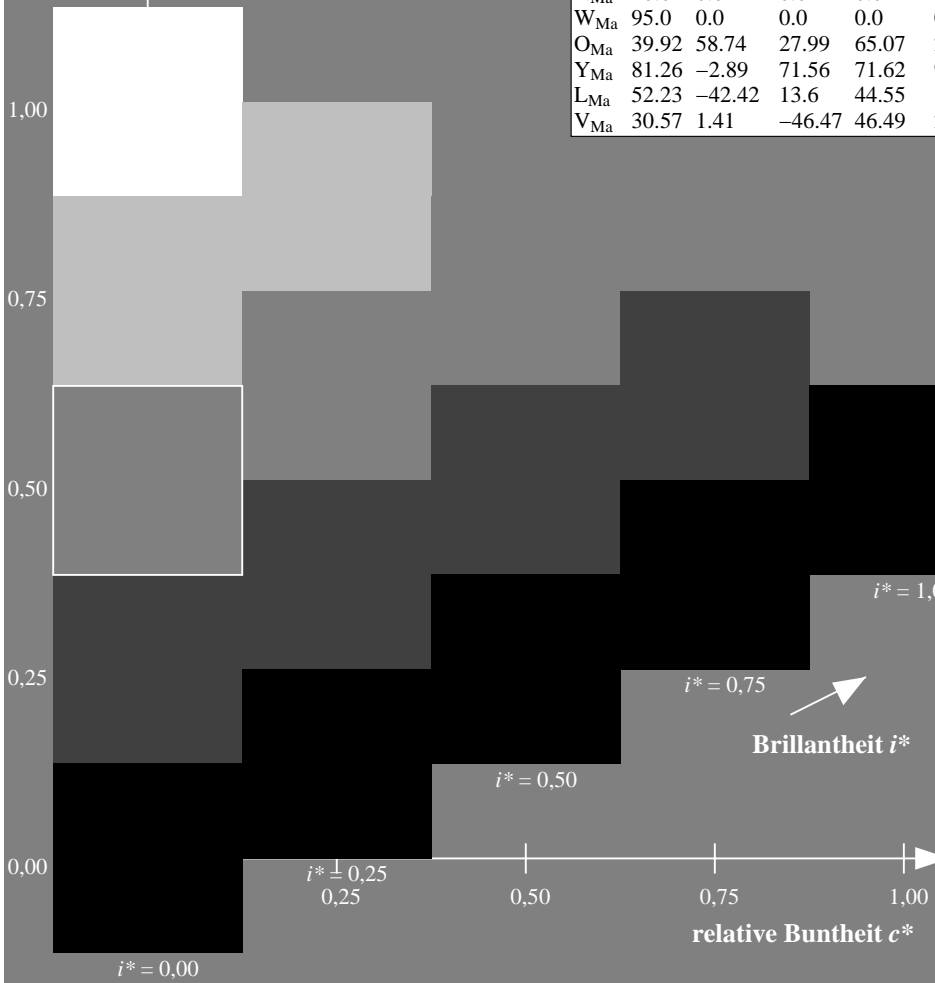
$LAB^*LCH^*_{Ma}$: 29 48 298

$lab^*olv^*_{Ma}$: 0.0 0.0 1.0

$lab^*rgb^*_{Ma}$: 0.46 0.0 1.0

Dreiecks-Helligkeit t^*

ORS20_95a; adaptierte CIELAB-Daten							
u^*_d	$L^*=L^*_a$	a^*_a	b^*_a	$C^*_{ab,a}$	$h^*_{ab,a}$	u^*_e	
o00y	48.71	62.56	37.91	73.15	31	r08j	
o25y	58.6	44.87	49.14	66.54	48	r33j	
o50y	67.52	28.93	59.25	65.94	64	r57j	
o75y	77.05	11.9	70.06	71.06	80	r81j	
y00l	89.25	-9.92	83.91	84.49	97	j06g	
y25l	77.37	-27.05	63.23	68.78	113	j30g	
y50l	68.62	-39.67	48.0	62.27	130	j53g	
y75l	60.79	-50.95	34.38	61.47	146	j76g	
l00c	52.5	-62.91	19.95	66.0	162	g00b	
l50c	56.2	-43.39	-15.92	46.22	200	g34b	
c00v	59.15	-27.87	-44.43	52.45	238	g69b	
c50v	43.5	-1.49	-43.39	43.42	268	g96b	
v00m	29.13	22.73	-42.44	48.14	298	b23r	
v50m	37.32	42.16	-29.08	51.21	325	b47r	
m00o	49.51	71.08	-9.19	71.67	353	b71r	
m50o	49.11	66.86	14.12	68.34	12	b88r	



%Umfang
 $u^*_{rel} = 83$
 %Regularität
 $g^*_{H,rel} = 72$
 $g^*_{C,rel} = 57$

Daten für jede Farbe:

lab^*tch^* und lab^*icu^*

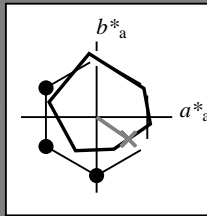
Buntontexte:

$u^*_d = v50m$ $u^*_e = b47r$

Kontrastreduzierungsfaktor:

$c_R = 0.96$

Dreiecks-Helligkeit t^*



ORS20_95a; adaptierte CIELAB-Daten

u^*_d	$L^*=L^*_a$	a^*_a	b^*_a	$C^*_{ab,a}$	$h^*_{ab,a}$
O _{Ma}	48.71	62.56	37.91	73.15	31
Y _{Ma}	89.25	-9.92	83.91	84.49	97
L _{Ma}	52.5	-62.91	19.95	66.0	162
C _{Ma}	59.15	-27.87	-44.43	52.45	238
V _{Ma}	29.13	22.73	-42.44	48.14	298
M _{Ma}	49.51	71.08	-9.19	71.67	353
N _{Ma}	20.0	0.0	0.0	0.0	0
W _{Ma}	95.0	0.0	0.0	0.0	0
O _{Ma}	39.92	58.74	27.99	65.07	25
Y _{Ma}	81.26	-2.89	71.56	71.62	92
L _{Ma}	52.23	-42.42	13.6	44.55	162
V _{Ma}	30.57	1.41	-46.47	46.49	272

Daten für Maximalfarbe (Ma):

$LAB^*LAB^*_{Ma}$: 37 42 -29

$LAB^*LCH^*_{Ma}$: 37 51 325

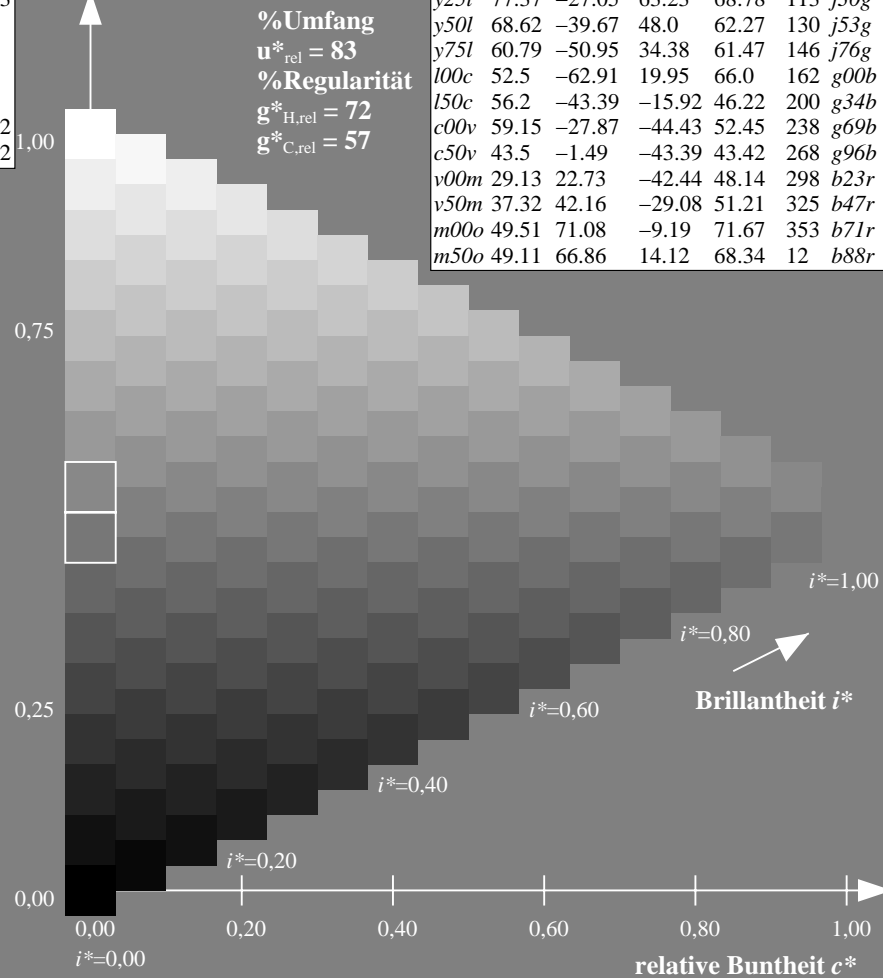
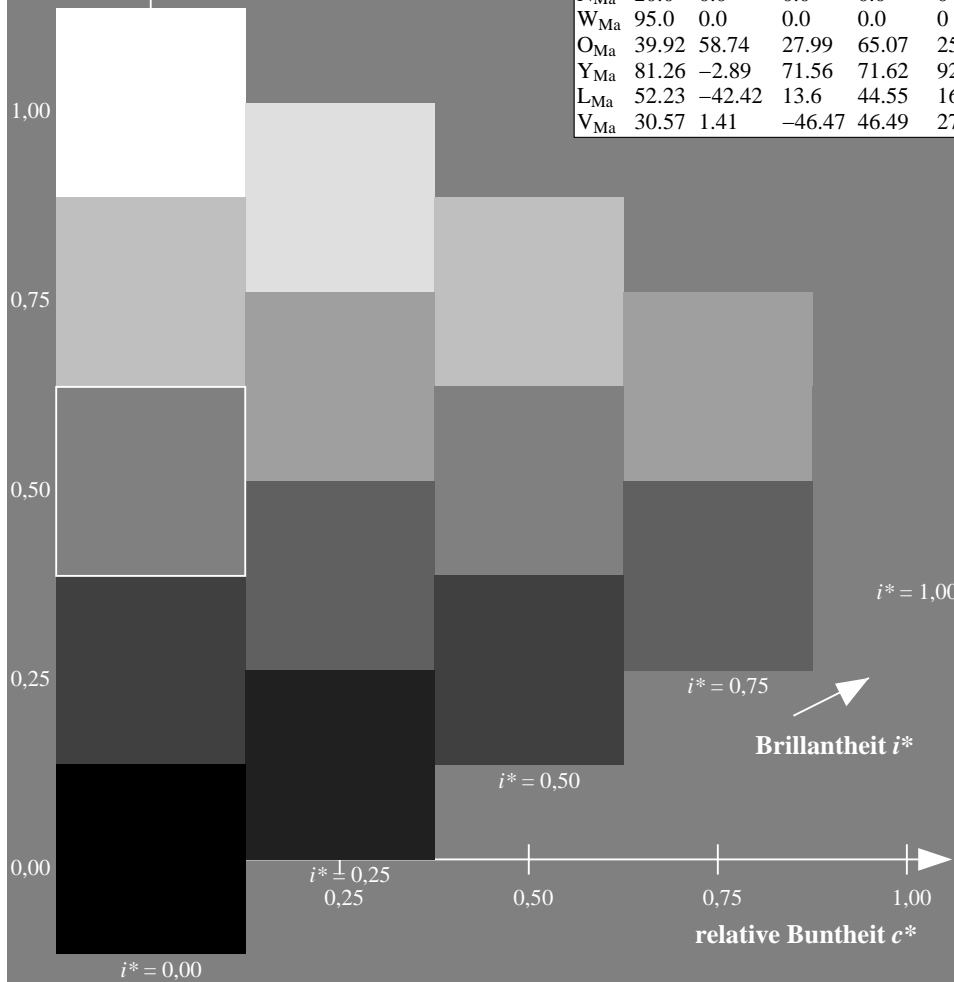
$lab^*olv^*_{Ma}$: 0.5 0.0 1.0

$lab^*rgb^*_{Ma}$: 0.94 0.0 1.0

Dreiecks-Helligkeit t^*

ORS20_95a; adaptierte CIELAB-Daten

u^*_d	$L^*=L^*_a$	a^*_a	b^*_a	$C^*_{ab,a}$	$h^*_{ab,a}$	u^*_e
o00y	48.71	62.56	37.91	73.15	31	r08j
o25y	58.6	44.87	49.14	66.54	48	r33j
o50y	67.52	28.93	59.25	65.94	64	r57j
o75y	77.05	11.9	70.06	71.06	80	r81j
y00l	89.25	-9.92	83.91	84.49	97	j06g
y25l	77.37	-27.05	63.23	68.78	113	j30g
y50l	68.62	-39.67	48.0	62.27	130	j53g
y75l	60.79	-50.95	34.38	61.47	146	j76g
l00c	52.5	-62.91	19.95	66.0	162	g00b
l50c	56.2	-43.39	-15.92	46.22	200	g34b
c00v	59.15	-27.87	-44.43	52.45	238	g69b
c50v	43.5	-1.49	-43.39	43.42	268	g96b
v00m	29.13	22.73	-42.44	48.14	298	b23r
v50m	37.32	42.16	-29.08	51.21	325	b47r
m00o	49.51	71.08	-9.19	71.67	353	b71r
m50o	49.11	66.86	14.12	68.34	12	b88r



Daten für jede Farbe:

lab^*ch^* und lab^*icu^*

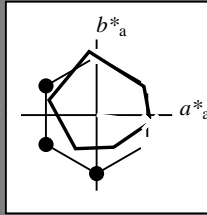
Buntontexte:

$u^*_d = m00o$ $u^*_e = b71r$

Kontrastreduzierungsfaktor:

$c_R = 0.96$

Dreiecks-Helligkeit t^*



ORS20_95a; adaptierte CIELAB-Daten						
u^*_d	$L^*=L^*_a$	a^*_a	b^*_a	$C^*_{ab,a}$	$h^*_{ab,a}$	
O _{Ma}	48.71	62.56	37.91	73.15	31	
Y _{Ma}	89.25	-9.92	83.91	84.49	97	
L _{Ma}	52.5	-62.91	19.95	66.0	162	
C _{Ma}	59.15	-27.87	-44.43	52.45	238	
V _{Ma}	29.13	22.73	-42.44	48.14	298	
M _{Ma}	49.51	71.08	-9.19	71.67	353	
N _{Ma}	20.0	0.0	0.0	0.0	0	
W _{Ma}	95.0	0.0	0.0	0.0	0	
O _{Ma}	39.92	58.74	27.99	65.07	25	
Y _{Ma}	81.26	-2.89	71.56	71.62	92	
L _{Ma}	52.23	-42.42	13.6	44.55	162	
V _{Ma}	30.57	1.41	-46.47	46.49	272	

Daten für Maximalfarbe (Ma):

$LAB^*LAB^*_{Ma}: 50\ 71\ -9$

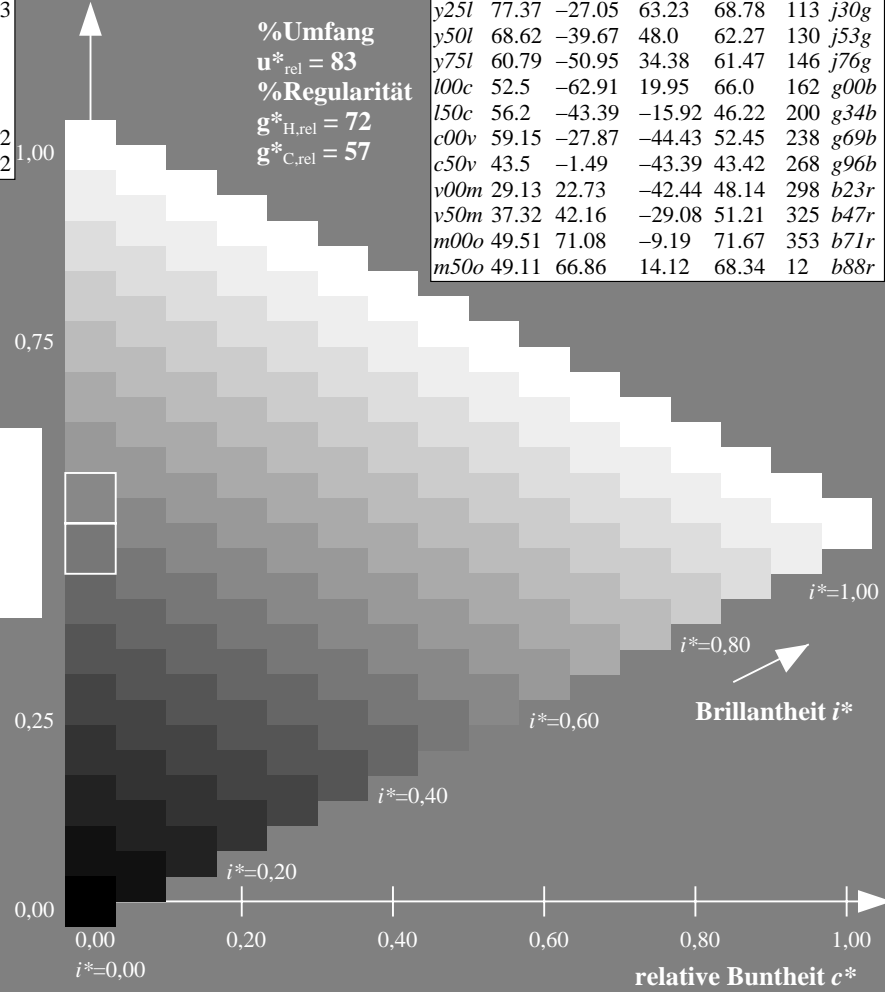
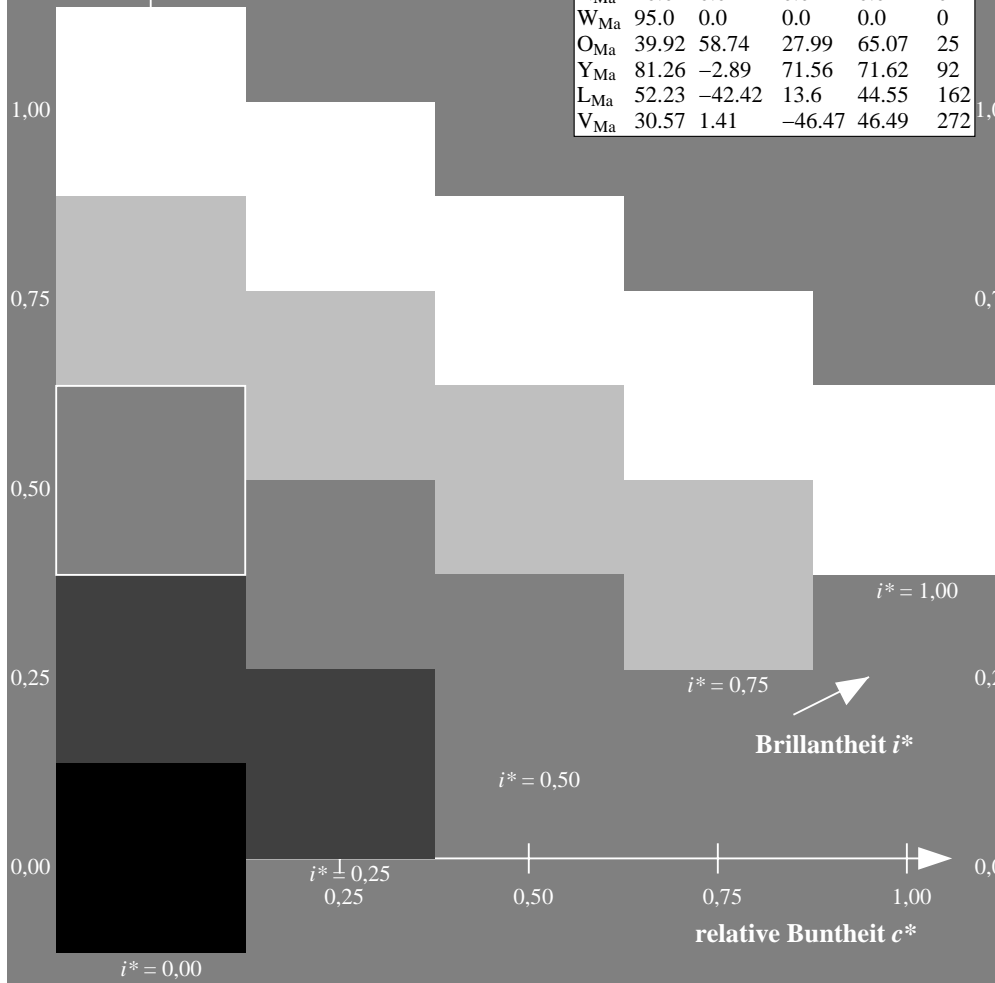
$LAB^*LCH^*_{Ma}: 50\ 72\ 352$

$lab^*olv^*_{Ma}: 1.0\ 0.0\ 1.0$

$lab^*rgb^*_{Ma}: 1.0\ 0.0\ 0.58$

Dreiecks-Helligkeit t^*

ORS20_95a; adaptierte CIELAB-Daten							
u^*_d	$L^*=L^*_a$	a^*_a	b^*_a	$C^*_{ab,a}$	$h^*_{ab,a}$	u^*_e	
o00y	48.71	62.56	37.91	73.15	31	r08j	
o25y	58.6	44.87	49.14	66.54	48	r33j	
o50y	67.52	28.93	59.25	65.94	64	r57j	
o75y	77.05	11.9	70.06	71.06	80	r81j	
y00l	89.25	-9.92	83.91	84.49	97	j06g	
y25l	77.37	-27.05	63.23	68.78	113	j30g	
y50l	68.62	-39.67	48.0	62.27	130	j53g	
y75l	60.79	-50.95	34.38	61.47	146	j76g	
l00c	52.5	-62.91	19.95	66.0	162	g00b	
l50c	56.2	-43.39	-15.92	46.22	200	g34b	
c00v	59.15	-27.87	-44.43	52.45	238	g69b	
c50v	43.5	-1.49	-43.39	43.42	268	g96b	
v00m	29.13	22.73	-42.44	48.14	298	b23r	
v50m	37.32	42.16	-29.08	51.21	325	b47r	
m00o	49.51	71.08	-9.19	71.67	353	b71r	
m50o	49.11	66.86	14.12	68.34	12	b88r	



Daten für jede Farbe:

lab^*ch^* und lab^*icu^*

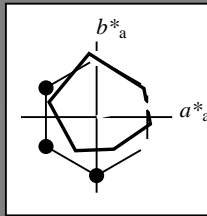
Buntontexte:

$u^*_d = m50o$ $u^*_e = b88r$

Kontrastreduzierungsfaktor:

$c_R = 0.96$

Dreiecks-Helligkeit t^*



ORS20_95a; adaptierte CIELAB-Daten						
u^*_d	$L^*=L^*_a$	a^*_a	b^*_a	$C^*_{ab,a}$	$h^*_{ab,a}$	
O _{Ma}	48.71	62.56	37.91	73.15	31	
Y _{Ma}	89.25	-9.92	83.91	84.49	97	
L _{Ma}	52.5	-62.91	19.95	66.0	162	
C _{Ma}	59.15	-27.87	-44.43	52.45	238	
V _{Ma}	29.13	22.73	-42.44	48.14	298	
M _{Ma}	49.51	71.08	-9.19	71.67	353	
N _{Ma}	20.0	0.0	0.0	0.0	0	
W _{Ma}	95.0	0.0	0.0	0.0	0	
O _{Ma}	39.92	58.74	27.99	65.07	25	
Y _{Ma}	81.26	-2.89	71.56	71.62	92	
L _{Ma}	52.23	-42.42	13.6	44.55	162	
V _{Ma}	30.57	1.41	-46.47	46.49	272	

Daten für Maximalfarbe (Ma):

$LAB^*LAB^*_{Ma}$: 49 67 14

$LAB^*LCH^*_{Ma}$: 49 68 11

$lab^*olv^*_{Ma}$: 1.0 0.0 0.5

$lab^*rgb^*_{Ma}$: 1.0 0.0 0.24

Dreiecks-Helligkeit t^*

%Umfang

$u^*_{rel} = 83$

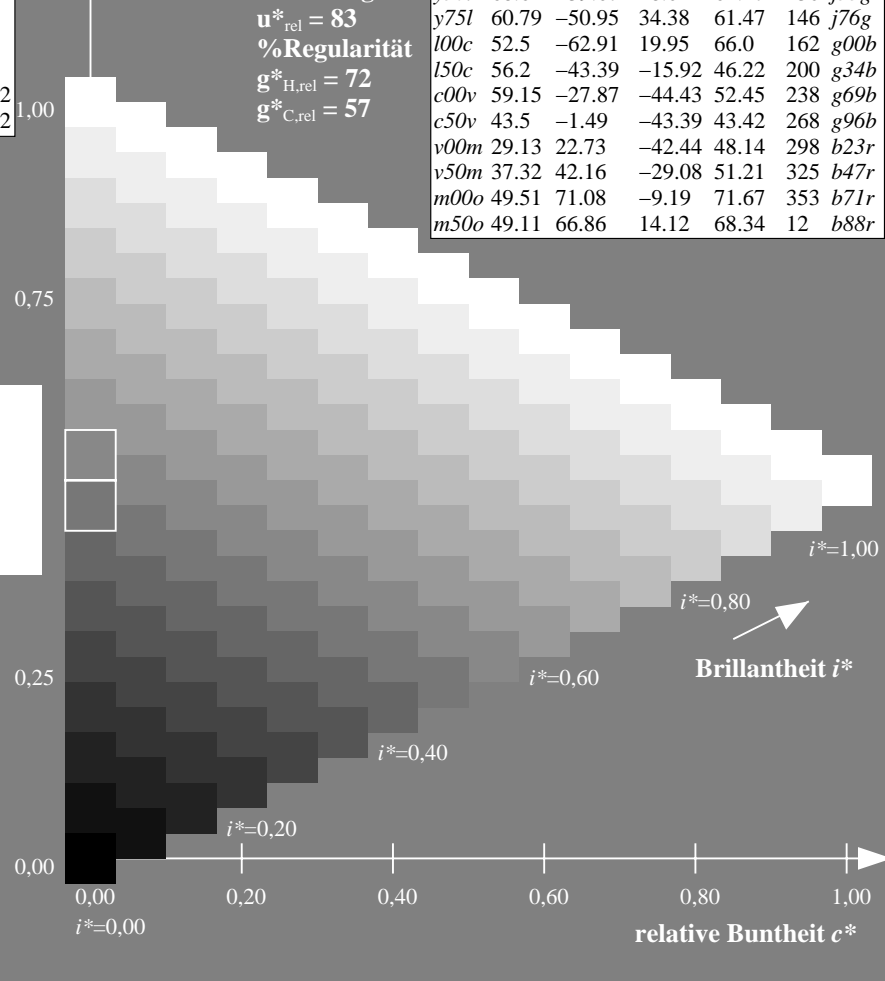
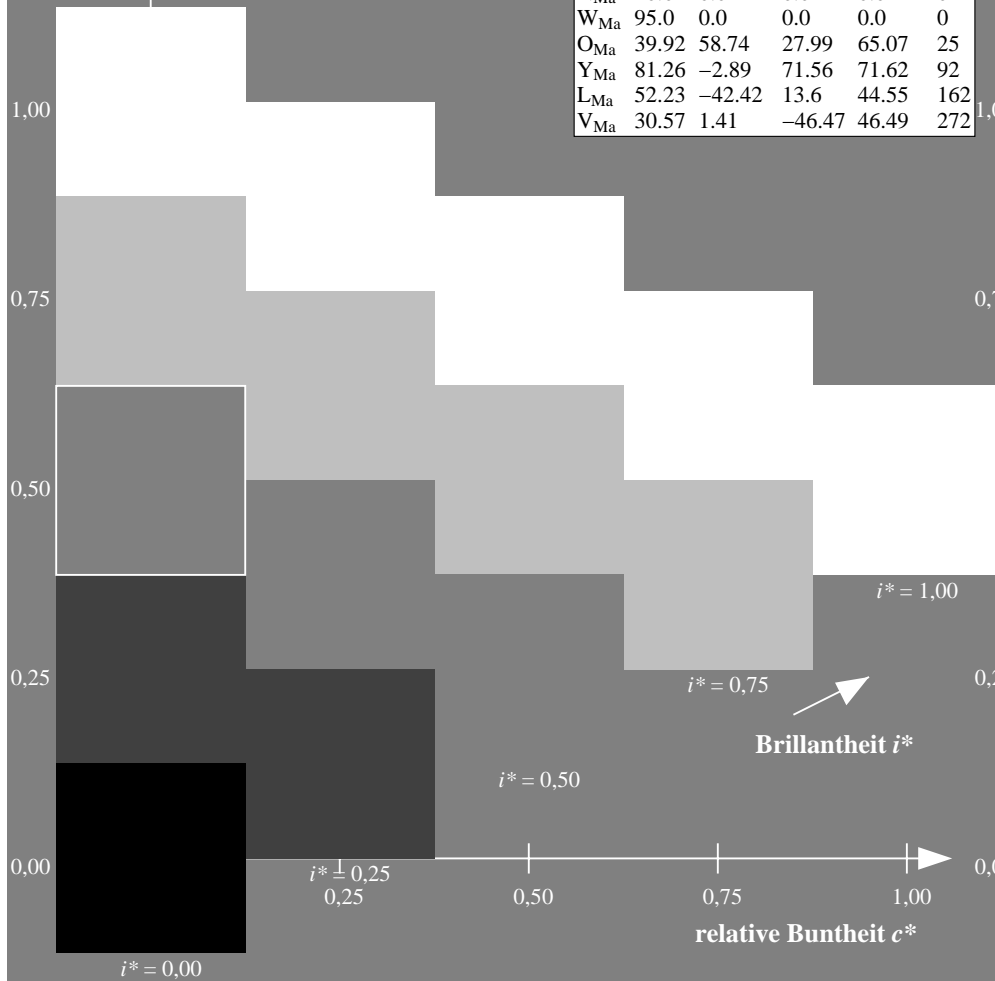
%Regularität

$g^*_{H,rel} = 72$

$g^*_{C,rel} = 57$

ORS20_95a; adaptierte CIELAB-Daten

u^*_d	$L^*=L^*_a$	a^*_a	b^*_a	$C^*_{ab,a}$	$h^*_{ab,a}$	u^*_e
o00y	48.71	62.56	37.91	73.15	31	r08j
o25y	58.6	44.87	49.14	66.54	48	r33j
o50y	67.52	28.93	59.25	65.94	64	r57j
o75y	77.05	11.9	70.06	71.06	80	r81j
y00l	89.25	-9.92	83.91	84.49	97	j06g
y25l	77.37	-27.05	63.23	68.78	113	j30g
y50l	68.62	-39.67	48.0	62.27	130	j53g
y75l	60.79	-50.95	34.38	61.47	146	j76g
l00c	52.5	-62.91	19.95	66.0	162	g00b
l50c	56.2	-43.39	-15.92	46.22	200	g34b
c00v	59.15	-27.87	-44.43	52.45	238	g69b
c50v	43.5	-1.49	-43.39	43.42	268	g96b
v00m	29.13	22.73	-42.44	48.14	298	b23r
v50m	37.32	42.16	-29.08	51.21	325	b47r
m00o	49.51	71.08	-9.19	71.67	353	b71r
m50o	49.11	66.86	14.12	68.34	12	b88r



	A	B	C	D	E	F	G	H	I	J	K	L	M	N	O	P	Q	R	S	T	U	V	W	X	Y	Z	a	b	c	d	e	f	g	h	i	j	k								
01	[Solid Black]									[Solid Black]									[Solid Black]									[White]									[Solid Black]								
02	[Solid Black]									[Solid Black]									[Solid Black]									[Light Gray]									[Dark Gray]								
03	[Solid Black]									[Solid Black]									[Solid Black]									[Medium Gray]									[Medium-Dark Gray]								
04	[Solid Black]									[Solid Black]									[Solid Black]									[Dark Gray]									[Medium-Dark Gray]								
05	[Solid Black]									[Solid Black]									[Solid Black]									[Medium-Dark Gray]									[Dark Gray]								
06	[Solid Black]									[Solid Black]									[Solid Black]									[Dark Gray]									[Medium-Dark Gray]								
07	[Solid Black]									[Solid Black]									[Solid Black]									[Medium-Dark Gray]									[Dark Gray]								
08	[Solid Black]									[Solid Black]									[Solid Black]									[Dark Gray]									[Medium-Dark Gray]								
09	[Solid Black]									[Solid Black]									[Solid Black]									[Medium-Dark Gray]									[Dark Gray]								
10	[Dark Gray]									[Dark Gray]									[Dark Gray]									[White]									[Solid Black]								
11	[Dark Gray]									[Dark Gray]									[Dark Gray]									[Light Gray]									[Dark Gray]								
12	[Dark Gray]									[Dark Gray]									[Dark Gray]									[Medium Gray]									[Dark Gray]								
13	[Dark Gray]									[Dark Gray]									[Dark Gray]									[Dark Gray]									[Dark Gray]								
14	[Dark Gray]									[Dark Gray]									[Dark Gray]									[Medium-Dark Gray]									[Dark Gray]								
15	[Dark Gray]									[Dark Gray]									[Dark Gray]									[Dark Gray]									[Dark Gray]								
16	[Dark Gray]									[Dark Gray]									[Dark Gray]									[Dark Gray]									[Dark Gray]								
17	[Dark Gray]									[Dark Gray]									[Dark Gray]									[Dark Gray]									[Dark Gray]								
18	[Dark Gray]									[Dark Gray]									[Dark Gray]									[Dark Gray]									[Dark Gray]								
19	[Dark Gray]									[Dark Gray]									[Dark Gray]									[Dark Gray]									[Dark Gray]								
20	[Dark Gray]									[Dark Gray]									[Dark Gray]									[Dark Gray]									[Dark Gray]								
21	[Dark Gray]									[Dark Gray]									[Dark Gray]									[Dark Gray]									[Dark Gray]								
22	[Dark Gray]									[Dark Gray]									[Dark Gray]									[Dark Gray]									[Dark Gray]								
23	[Dark Gray]									[Dark Gray]									[Dark Gray]									[Dark Gray]									[Dark Gray]								
24	[Dark Gray]									[Dark Gray]									[Dark Gray]									[Dark Gray]									[Dark Gray]								
25	[Dark Gray]									[Dark Gray]									[Dark Gray]									[Dark Gray]									[Dark Gray]								
26	[Dark Gray]									[Dark Gray]									[Dark Gray]									[Dark Gray]									[Dark Gray]								
27	[Dark Gray]									[Dark Gray]									[Dark Gray]									[Dark Gray]									[Dark Gray]								

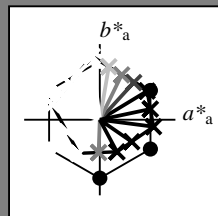
Ein und Ausgabe:
 Farbmetrisches Drucker-Reflektiv-System ORS20_95a

Daten für jede Farbe:
 u^*_d und Nummer *Nr.* = 00 .. 15

Geräte-Bunttextext:
 $u^*_d = 16$ Bunttoene *o00y, o25y, ..., m50o*

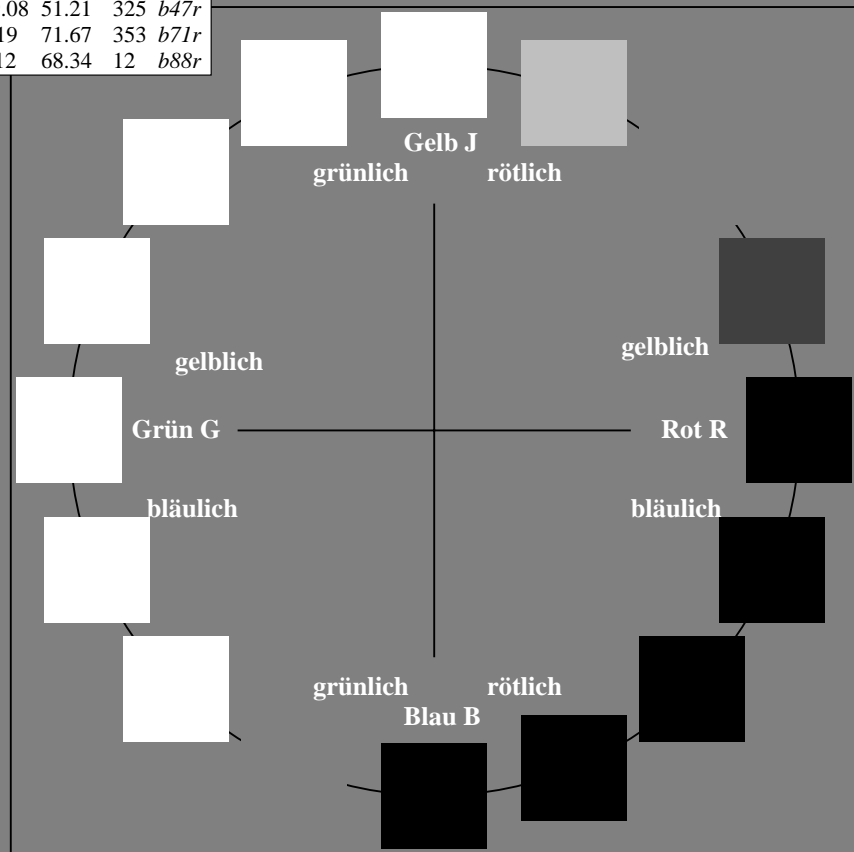
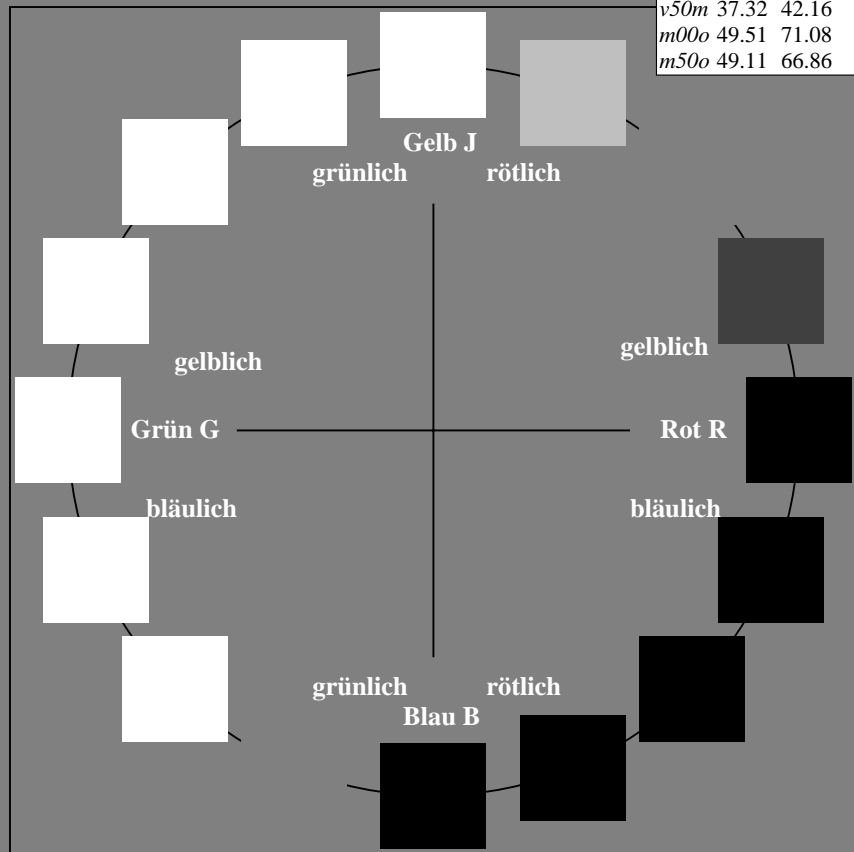
Kontrastreduzierungsfaktor:
 $c_R = 0.96$

ORS20_95a; adaptierte CIELAB-Daten						
u^*_d	$L^*=L^*_a$	a^*_a	b^*_a	$C^*_{ab,a}$	$h^*_{ab,a}$	u^*_e
<i>o00y</i>	48.71	62.56	37.91	73.15	31	<i>r08j</i>
<i>o25y</i>	58.6	44.87	49.14	66.54	48	<i>r33j</i>
<i>o50y</i>	67.52	28.93	59.25	65.94	64	<i>r57j</i>
<i>o75y</i>	77.05	11.9	70.06	71.06	80	<i>r81j</i>
<i>y00l</i>	89.25	-9.92	83.91	84.49	97	<i>j06g</i>
<i>y25l</i>	77.37	-27.05	63.23	68.78	113	<i>j30g</i>
<i>y50l</i>	68.62	-39.67	48.0	62.27	130	<i>j53g</i>
<i>y75l</i>	60.79	-50.95	34.38	61.47	146	<i>j76g</i>
<i>l00c</i>	52.5	-62.91	19.95	66.0	162	<i>g00b</i>
<i>l50c</i>	56.2	-43.39	-15.92	46.22	200	<i>g34b</i>
<i>c00v</i>	59.15	-27.87	-44.43	52.45	238	<i>g69b</i>
<i>c50v</i>	43.5	-1.49	-43.39	43.42	268	<i>g96b</i>
<i>v00m</i>	29.13	22.73	-42.44	48.14	298	<i>b23r</i>
<i>v50m</i>	37.32	42.16	-29.08	51.21	325	<i>b47r</i>
<i>m00o</i>	49.51	71.08	-9.19	71.67	353	<i>b71r</i>
<i>m50o</i>	49.11	66.86	14.12	68.34	12	<i>b88r</i>



%Umfang
 $u^*_{rel} = 83$
 %Regularität
 $g^*_{H,rel} = 72$
 $g^*_{C,rel} = 57$

ORS20_95a; adaptierte CIELAB-Daten					
Name	$L^*=L^*_a$	a^*_a	b^*_a	$C^*_{ab,a}$	$h^*_{ab,a}$
O _{Ma}	48.71	62.56	37.91	73.15	31
Y _{Ma}	89.25	-9.92	83.91	84.49	97
L _{Ma}	52.5	-62.91	19.95	66.0	162
C _{Ma}	59.15	-27.87	-44.43	52.45	238
V _{Ma}	29.13	22.73	-42.44	48.14	298
M _{Ma}	49.51	71.08	-9.19	71.67	353
N _{Ma}	20.0	0.0	0.0	0.0	0
W _{Ma}	95.0	0.0	0.0	0.0	0
O _{CIE}	39.92	58.74	27.99	65.07	25
Y _{CIE}	81.26	-2.89	71.56	71.62	92
L _{CIE}	52.23	-42.42	13.6	44.55	162
V _{CIE}	30.57	1.41	-46.47	46.49	272



Daten für jede Farbe:

lab^*tch^* und lab^*icu^*

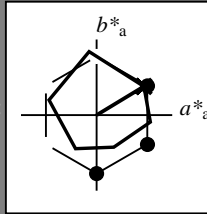
Buntontexte:

$u^*_d = o00y$ $u^*_e = r08j$

Kontrastreduzierungsfaktor:

$c_R = 0.96$

Dreiecks-Helligkeit t^*



ORS20_95a; adaptierte CIELAB-Daten						
u^*_d	$L^*=L^*_a$	a^*_a	b^*_a	$C^*_{ab,a}$	$h^*_{ab,a}$	
O _{Ma}	48.71	62.56	37.91	73.15	31	
Y _{Ma}	89.25	-9.92	83.91	84.49	97	
L _{Ma}	52.5	-62.91	19.95	66.0	162	
C _{Ma}	59.15	-27.87	-44.43	52.45	238	
V _{Ma}	29.13	22.73	-42.44	48.14	298	
M _{Ma}	49.51	71.08	-9.19	71.67	353	
N _{Ma}	20.0	0.0	0.0	0.0	0	
W _{Ma}	95.0	0.0	0.0	0.0	0	
O _{Ma}	39.92	58.74	27.99	65.07	25	
Y _{Ma}	81.26	-2.89	71.56	71.62	92	
L _{Ma}	52.23	-42.42	13.6	44.55	162	
V _{Ma}	30.57	1.41	-46.47	46.49	272	

Daten für Maximalfarbe (Ma):

$LAB^*LAB^*_{Ma}$: 49 63 38

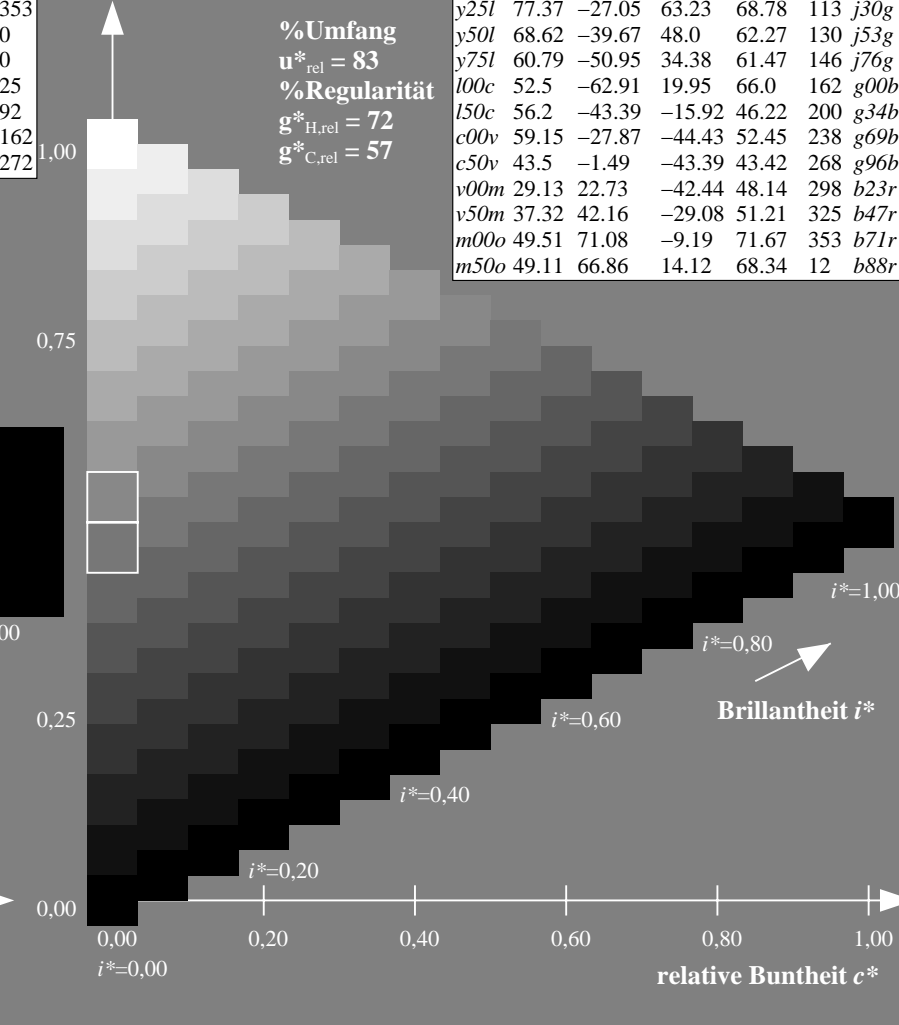
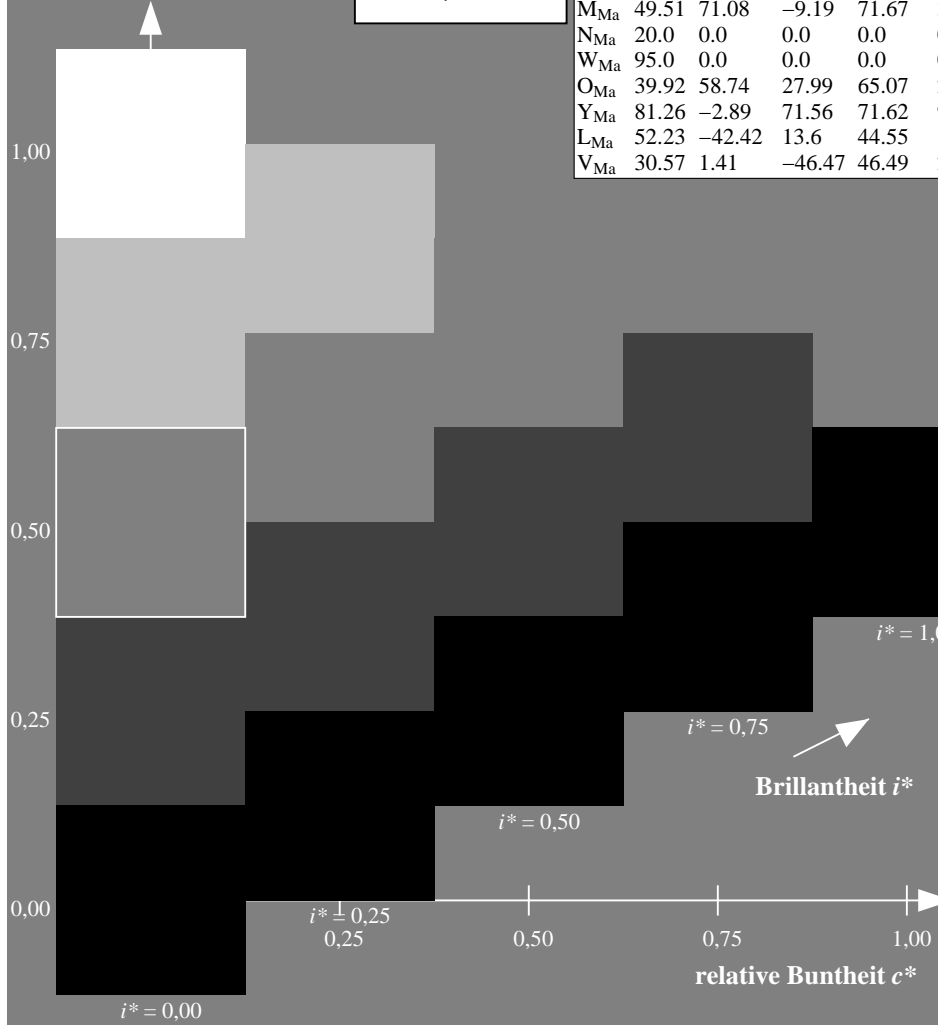
$LAB^*LCH^*_{Ma}$: 49 73 31

$lab^*olv^*_{Ma}$: 1.0 0.0 0.0

$lab^*rgb^*_{Ma}$: 1.0 0.09 0.0

Dreiecks-Helligkeit t^*

ORS20_95a; adaptierte CIELAB-Daten							
u^*_d	$L^*=L^*_a$	a^*_a	b^*_a	$C^*_{ab,a}$	$h^*_{ab,a}$	u^*_e	
<i>o00y</i>	48.71	62.56	37.91	73.15	31	<i>r08j</i>	
<i>o25y</i>	58.6	44.87	49.14	66.54	48	<i>r33j</i>	
<i>o50y</i>	67.52	28.93	59.25	65.94	64	<i>r57j</i>	
<i>o75y</i>	77.05	11.9	70.06	71.06	80	<i>r81j</i>	
<i>y00l</i>	89.25	-9.92	83.91	84.49	97	<i>j06g</i>	
<i>y25l</i>	77.37	-27.05	63.23	68.78	113	<i>j30g</i>	
<i>y50l</i>	68.62	-39.67	48.0	62.27	130	<i>j53g</i>	
<i>y75l</i>	60.79	-50.95	34.38	61.47	146	<i>j76g</i>	
<i>l00c</i>	52.5	-62.91	19.95	66.0	162	<i>g00b</i>	
<i>l50c</i>	56.2	-43.39	-15.92	46.22	200	<i>g34b</i>	
<i>c00v</i>	59.15	-27.87	-44.43	52.45	238	<i>g69b</i>	
<i>c50v</i>	43.5	-1.49	-43.39	43.42	268	<i>g96b</i>	
<i>v00m</i>	29.13	22.73	-42.44	48.14	298	<i>b23r</i>	
<i>v50m</i>	37.32	42.16	-29.08	51.21	325	<i>b47r</i>	
<i>m00o</i>	49.51	71.08	-9.19	71.67	353	<i>b71r</i>	
<i>m50o</i>	49.11	66.86	14.12	68.34	12	<i>b88r</i>	



%Umfang
 $u^*_{rel} = 83$
 %Regularität
 $g^*_{H,rel} = 72$
 $g^*_{C,rel} = 57$

Daten für jede Farbe:

lab^*tch^* und lab^*icu^*

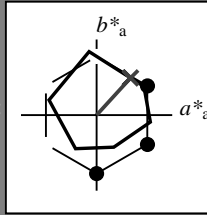
Buntontexte:

$u^*_d = o25y$ $u^*_e = r33j$

Kontrastreduzierungsfaktor:

$c_R = 0.96$

Dreiecks-Helligkeit t^*



ORS20_95a; adaptierte CIELAB-Daten						
u^*_d	$L^*=L^*_a$	a^*_a	b^*_a	$C^*_{ab,a}$	$h^*_{ab,a}$	
O _{Ma}	48.71	62.56	37.91	73.15	31	
Y _{Ma}	89.25	-9.92	83.91	84.49	97	
L _{Ma}	52.5	-62.91	19.95	66.0	162	
C _{Ma}	59.15	-27.87	-44.43	52.45	238	
V _{Ma}	29.13	22.73	-42.44	48.14	298	
M _{Ma}	49.51	71.08	-9.19	71.67	353	
N _{Ma}	20.0	0.0	0.0	0.0	0	
W _{Ma}	95.0	0.0	0.0	0.0	0	
O _{Ma}	39.92	58.74	27.99	65.07	25	
Y _{Ma}	81.26	-2.89	71.56	71.62	92	
L _{Ma}	52.23	-42.42	13.6	44.55	162	
V _{Ma}	30.57	1.41	-46.47	46.49	272	

Daten für Maximalfarbe (Ma):

$LAB^*LAB^*_{Ma}: 59\ 45\ 49$

$LAB^*LCH^*_{Ma}: 59\ 67\ 47$

$lab^*olv^*_{Ma}: 1.0\ 0.25\ 0.0$

$lab^*rgb^*_{Ma}: 1.0\ 0.33\ 0.0$

Dreiecks-Helligkeit t^*

%Umfang

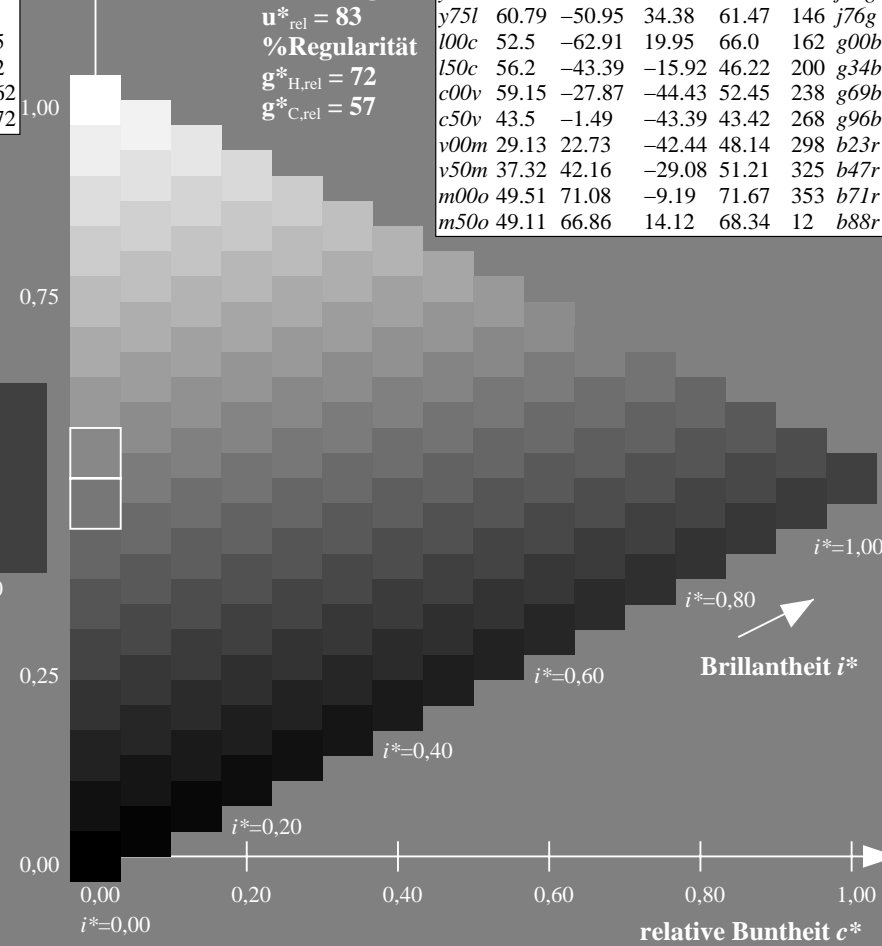
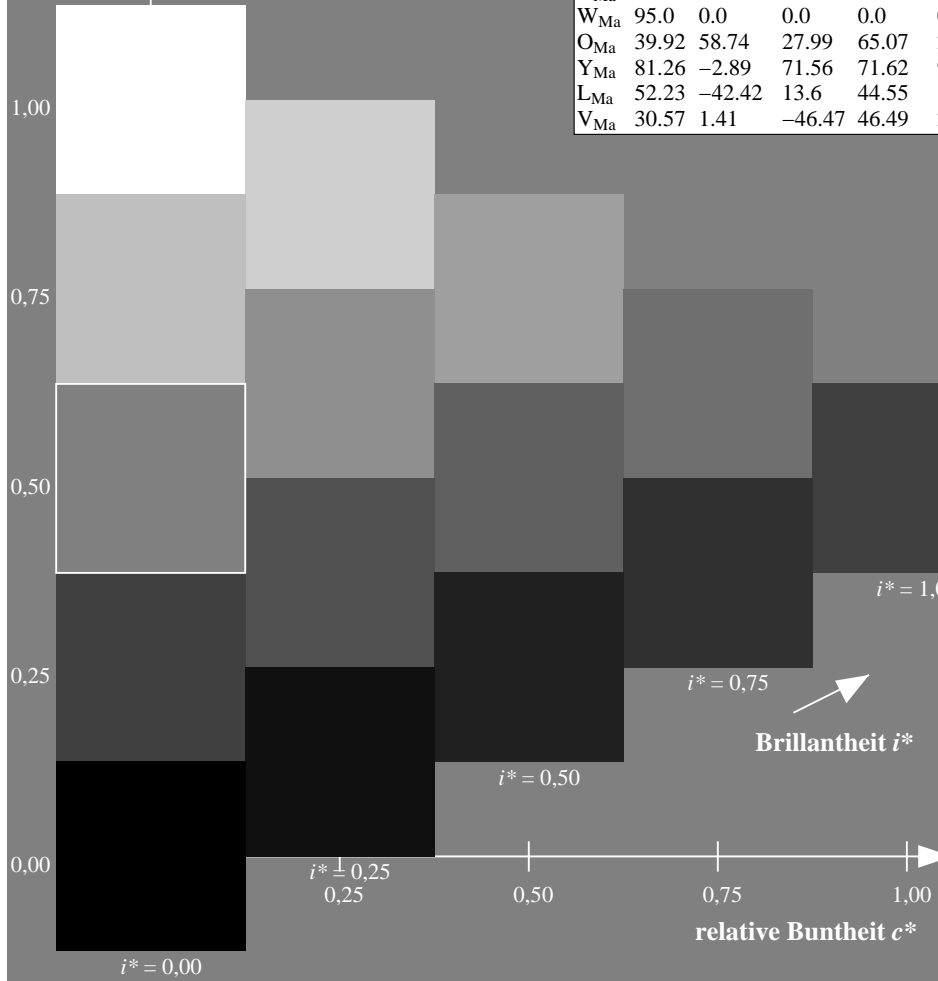
$u^*_{rel} = 83$

%Regularität

$g^*_{H,rel} = 72$

$g^*_{C,rel} = 57$

ORS20_95a; adaptierte CIELAB-Daten							
u^*_d	$L^*=L^*_a$	a^*_a	b^*_a	$C^*_{ab,a}$	$h^*_{ab,a}$	u^*_e	
o00y	48.71	62.56	37.91	73.15	31	r08j	
o25y	58.6	44.87	49.14	66.54	48	r33j	
o50y	67.52	28.93	59.25	65.94	64	r57j	
o75y	77.05	11.9	70.06	71.06	80	r81j	
y00l	89.25	-9.92	83.91	84.49	97	j06g	
y25l	77.37	-27.05	63.23	68.78	113	j30g	
y50l	68.62	-39.67	48.0	62.27	130	j53g	
y75l	60.79	-50.95	34.38	61.47	146	j76g	
l00c	52.5	-62.91	19.95	66.0	162	g00b	
l50c	56.2	-43.39	-15.92	46.22	200	g34b	
c00v	59.15	-27.87	-44.43	52.45	238	g69b	
c50v	43.5	-1.49	-43.39	43.42	268	g96b	
v00m	29.13	22.73	-42.44	48.14	298	b23r	
v50m	37.32	42.16	-29.08	51.21	325	b47r	
m00o	49.51	71.08	-9.19	71.67	353	b71r	
m50o	49.11	66.86	14.12	68.34	12	b88r	



Daten für jede Farbe:

lab^*tch^* und lab^*icu^*

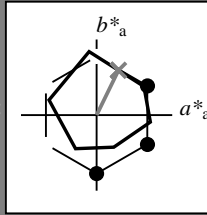
Bunntexte:

$u^*_d = o50y$ $u^*_e = r57j$

Kontrastreduzierungsfaktor:

$c_R = 0.96$

Dreiecks-Helligkeit t^*



ORS20_95a; adaptierte CIELAB-Daten						
u^*_d	$L^*=L^*_a$	a^*_a	b^*_a	$C^*_{ab,a}$	$h^*_{ab,a}$	
O _{Ma}	48.71	62.56	37.91	73.15	31	
Y _{Ma}	89.25	-9.92	83.91	84.49	97	
L _{Ma}	52.5	-62.91	19.95	66.0	162	
C _{Ma}	59.15	-27.87	-44.43	52.45	238	
V _{Ma}	29.13	22.73	-42.44	48.14	298	
M _{Ma}	49.51	71.08	-9.19	71.67	353	
N _{Ma}	20.0	0.0	0.0	0.0	0	
W _{Ma}	95.0	0.0	0.0	0.0	0	
O _{Ma}	39.92	58.74	27.99	65.07	25	
Y _{Ma}	81.26	-2.89	71.56	71.62	92	
L _{Ma}	52.23	-42.42	13.6	44.55	162	
V _{Ma}	30.57	1.41	-46.47	46.49	272	

Daten für Maximalfarbe (Ma):

$LAB^*LAB^*_{Ma}$: 68 29 59

$LAB^*LCH^*_{Ma}$: 68 66 63

$lab^*olv^*_{Ma}$: 1.0 0.5 0.0

$lab^*rgb^*_{Ma}$: 1.0 0.58 0.0

Dreiecks-Helligkeit t^*

%Umfang

$u^*_{rel} = 83$

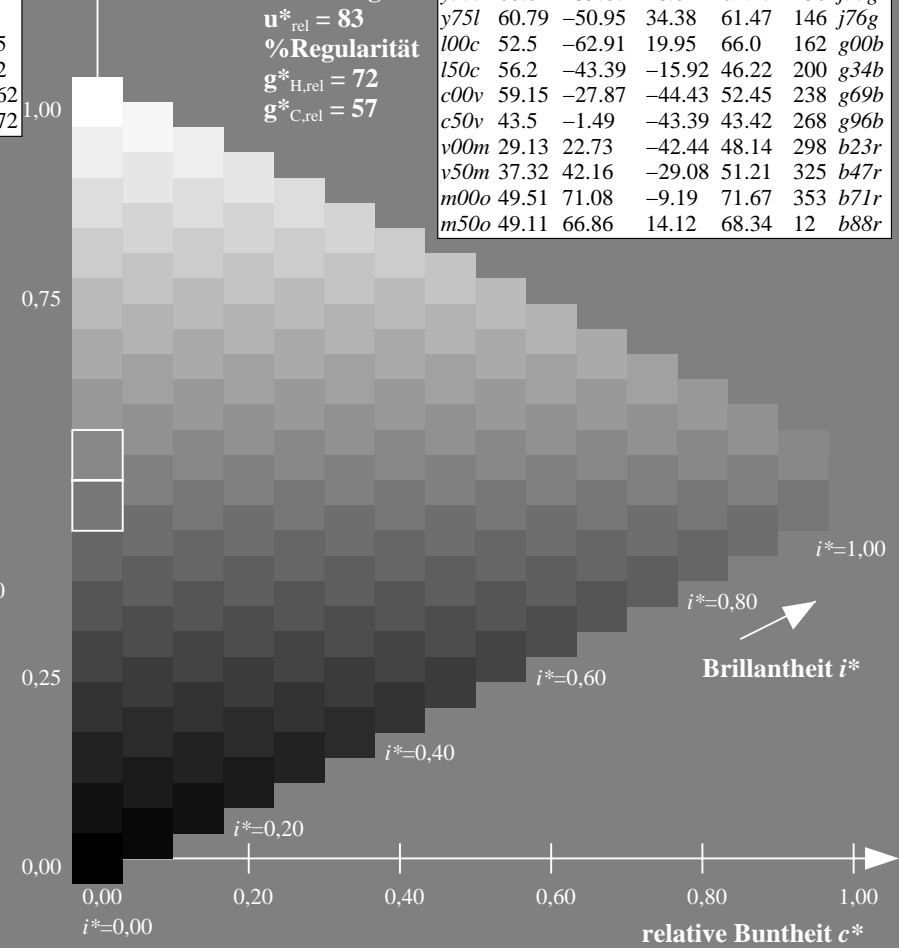
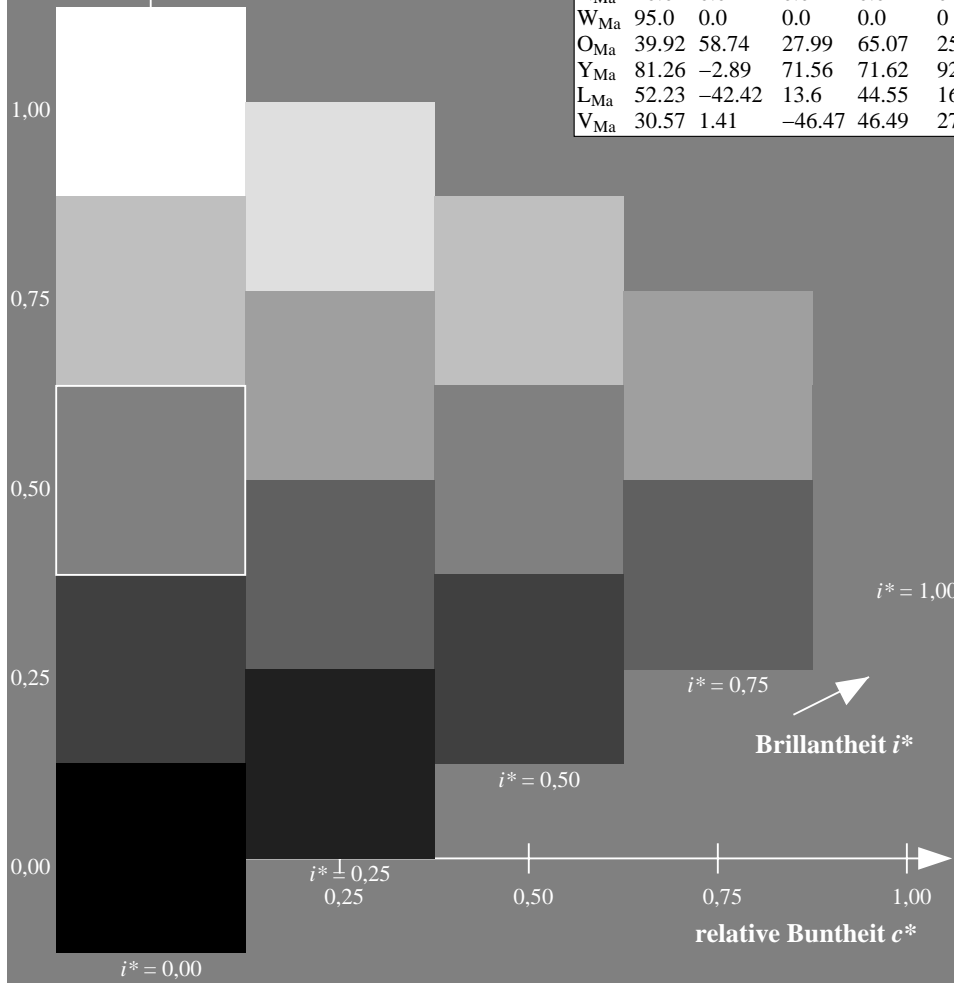
%Regularität

$g^*_{H,rel} = 72$

$g^*_{C,rel} = 57$

ORS20_95a; adaptierte CIELAB-Daten

u^*_d	$L^*=L^*_a$	a^*_a	b^*_a	$C^*_{ab,a}$	$h^*_{ab,a}$	u^*_e
o00y	48.71	62.56	37.91	73.15	31	r08j
o25y	58.6	44.87	49.14	66.54	48	r33j
o50y	67.52	28.93	59.25	65.94	64	r57j
o75y	77.05	11.9	70.06	71.06	80	r81j
y00l	89.25	-9.92	83.91	84.49	97	j06g
y25l	77.37	-27.05	63.23	68.78	113	j30g
y50l	68.62	-39.67	48.0	62.27	130	j53g
y75l	60.79	-50.95	34.38	61.47	146	j76g
l00c	52.5	-62.91	19.95	66.0	162	g00b
l50c	56.2	-43.39	-15.92	46.22	200	g34b
c00v	59.15	-27.87	-44.43	52.45	238	g69b
c50v	43.5	-1.49	-43.39	43.42	268	g96b
v00m	29.13	22.73	-42.44	48.14	298	b23r
v50m	37.32	42.16	-29.08	51.21	325	b47r
m00o	49.51	71.08	-9.19	71.67	353	b71r
m50o	49.11	66.86	14.12	68.34	12	b88r



Daten für jede Farbe:

lab^*tch^* und lab^*icu^*

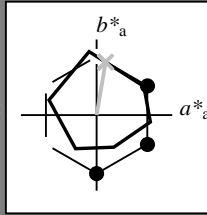
Buntontexte:

$u^*_d = o75y$ $u^*_e = r8lj$

Kontrastreduzierungsfaktor:

$c_R = 0.96$

Dreiecks-Helligkeit t^*



ORS20_95a; adaptierte CIELAB-Daten						
u^*_d	$L^*=L^*_a$	a^*_a	b^*_a	$C^*_{ab,a}$	$h^*_{ab,a}$	
O _{Ma}	48.71	62.56	37.91	73.15	31	
Y _{Ma}	89.25	-9.92	83.91	84.49	97	
L _{Ma}	52.5	-62.91	19.95	66.0	162	
C _{Ma}	59.15	-27.87	-44.43	52.45	238	
V _{Ma}	29.13	22.73	-42.44	48.14	298	
M _{Ma}	49.51	71.08	-9.19	71.67	353	
N _{Ma}	20.0	0.0	0.0	0.0	0	
W _{Ma}	95.0	0.0	0.0	0.0	0	
O _{Ma}	39.92	58.74	27.99	65.07	25	
Y _{Ma}	81.26	-2.89	71.56	71.62	92	
L _{Ma}	52.23	-42.42	13.6	44.55	162	
V _{Ma}	30.57	1.41	-46.47	46.49	272	

Daten für Maximalfarbe (Ma):

$LAB^*LAB^*_{Ma}$: 77 12 70

$LAB^*LCH^*_{Ma}$: 77 71 80

$lab^*olv^*_{Ma}$: 1.0 0.75 0.0

$lab^*rgb^*_{Ma}$: 1.0 0.82 0.0

Dreiecks-Helligkeit t^*

%Umfang

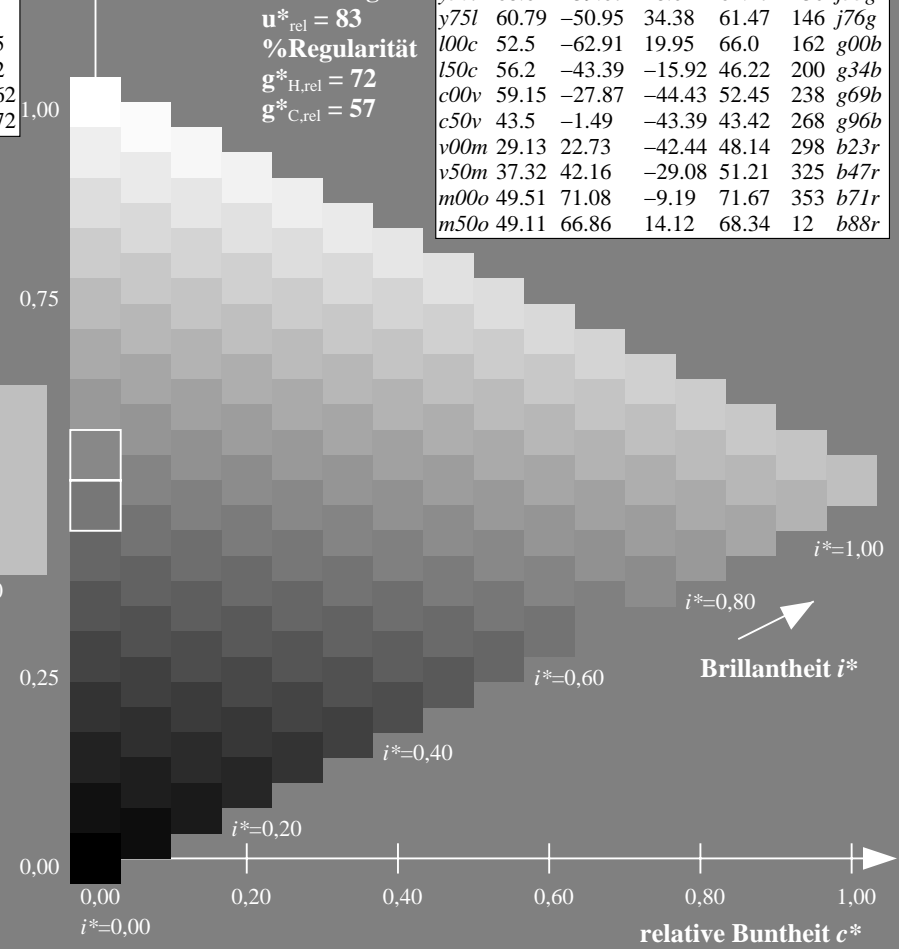
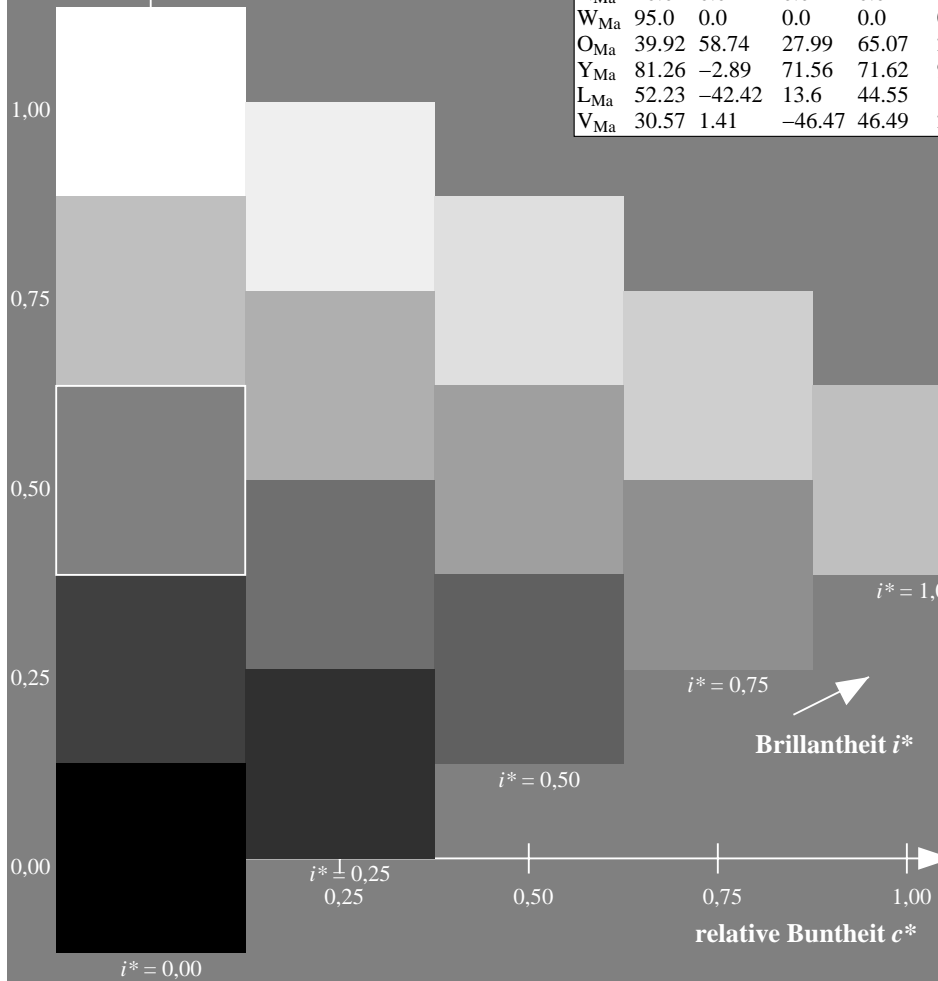
$u^*_{rel} = 83$

%Regularität

$g^*_{H,rel} = 72$

$g^*_{C,rel} = 57$

ORS20_95a; adaptierte CIELAB-Daten							
u^*_d	$L^*=L^*_a$	a^*_a	b^*_a	$C^*_{ab,a}$	$h^*_{ab,a}$	u^*_e	
o00y	48.71	62.56	37.91	73.15	31	r08j	
o25y	58.6	44.87	49.14	66.54	48	r33j	
o50y	67.52	28.93	59.25	65.94	64	r57j	
o75y	77.05	11.9	70.06	71.06	80	r8lj	
y00l	89.25	-9.92	83.91	84.49	97	j06g	
y25l	77.37	-27.05	63.23	68.78	113	j30g	
y50l	68.62	-39.67	48.0	62.27	130	j53g	
y75l	60.79	-50.95	34.38	61.47	146	j76g	
l00c	52.5	-62.91	19.95	66.0	162	g00b	
l50c	56.2	-43.39	-15.92	46.22	200	g34b	
c00v	59.15	-27.87	-44.43	52.45	238	g69b	
c50v	43.5	-1.49	-43.39	43.42	268	g96b	
v00m	29.13	22.73	-42.44	48.14	298	b23r	
v50m	37.32	42.16	-29.08	51.21	325	b47r	
m00o	49.51	71.08	-9.19	71.67	353	b71r	
m50o	49.11	66.86	14.12	68.34	12	b88r	



Daten für jede Farbe:

lab^*tch^* und lab^*icu^*

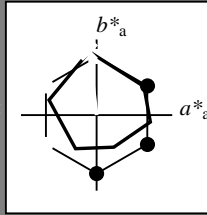
Bunntexte:

$u^*_d = y00l$ $u^*_e = j06g$

Kontrastreduzierungsfaktor:

$c_R = 0.96$

Dreiecks-Helligkeit t^*



ORS20_95a; adaptierte CIELAB-Daten						
u^*_d	$L^*=L^*_a$	a^*_a	b^*_a	$C^*_{ab,a}$	$h^*_{ab,a}$	
O _{Ma}	48.71	62.56	37.91	73.15	31	
Y _{Ma}	89.25	-9.92	83.91	84.49	97	
L _{Ma}	52.5	-62.91	19.95	66.0	162	
C _{Ma}	59.15	-27.87	-44.43	52.45	238	
V _{Ma}	29.13	22.73	-42.44	48.14	298	
M _{Ma}	49.51	71.08	-9.19	71.67	353	
N _{Ma}	20.0	0.0	0.0	0.0	0	
W _{Ma}	95.0	0.0	0.0	0.0	0	
O _{Ma}	39.92	58.74	27.99	65.07	25	
Y _{Ma}	81.26	-2.89	71.56	71.62	92	
L _{Ma}	52.23	-42.42	13.6	44.55	162	
V _{Ma}	30.57	1.41	-46.47	46.49	272	

Daten für Maximalfarbe (Ma):

$LAB^*LAB^*_{Ma}$: 89 -10 84

$LAB^*LCH^*_{Ma}$: 89 84 96

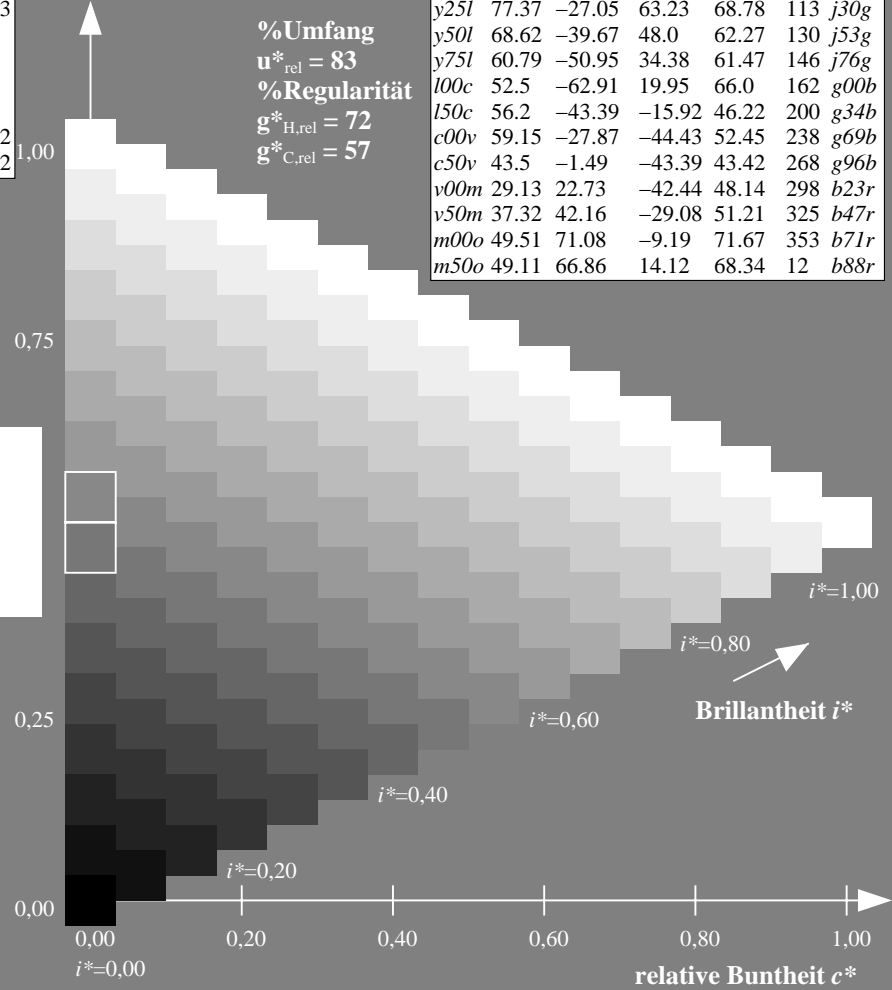
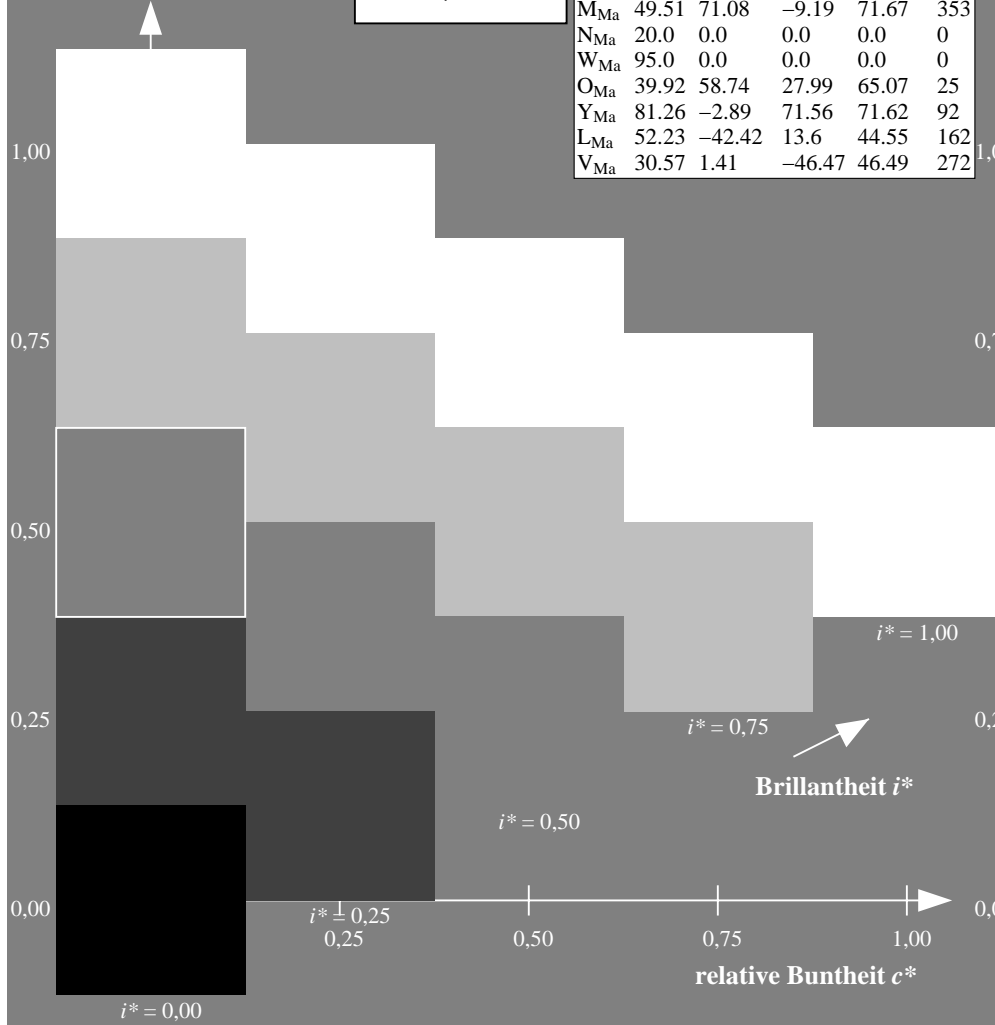
$lab^*olv^*_{Ma}$: 1.0 1.0 0.0

$lab^*rgb^*_{Ma}$: 0.94 1.0 0.0

Dreiecks-Helligkeit t^*

ORS20_95a; adaptierte CIELAB-Daten

u^*_d	$L^*=L^*_a$	a^*_a	b^*_a	$C^*_{ab,a}$	$h^*_{ab,a}$	u^*_e
o00y	48.71	62.56	37.91	73.15	31	r08j
o25y	58.6	44.87	49.14	66.54	48	r33j
o50y	67.52	28.93	59.25	65.94	64	r57j
o75y	77.05	11.9	70.06	71.06	80	r81j
y00l	89.25	-9.92	83.91	84.49	97	j06g
y25l	77.37	-27.05	63.23	68.78	113	j30g
y50l	68.62	-39.67	48.0	62.27	130	j53g
y75l	60.79	-50.95	34.38	61.47	146	j76g
l00c	52.5	-62.91	19.95	66.0	162	g00b
l50c	56.2	-43.39	-15.92	46.22	200	g34b
c00v	59.15	-27.87	-44.43	52.45	238	g69b
c50v	43.5	-1.49	-43.39	43.42	268	g96b
v00m	29.13	22.73	-42.44	48.14	298	b23r
v50m	37.32	42.16	-29.08	51.21	325	b47r
m00o	49.51	71.08	-9.19	71.67	353	b71r
m50o	49.11	66.86	14.12	68.34	12	b88r



Daten für jede Farbe:

lab^*tch^* und lab^*icu^*

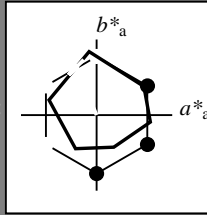
Bunntexte:

$u^*_d = y25l$ $u^*_e = j30g$

Kontrastreduzierungsfaktor:

$c_R = 0.96$

Dreiecks-Helligkeit t^*



ORS20_95a; adaptierte CIELAB-Daten						
u^*_d	$L^*=L^*_a$	a^*_a	b^*_a	$C^*_{ab,a}$	$h^*_{ab,a}$	
O _{Ma}	48.71	62.56	37.91	73.15	31	
Y _{Ma}	89.25	-9.92	83.91	84.49	97	
L _{Ma}	52.5	-62.91	19.95	66.0	162	
C _{Ma}	59.15	-27.87	-44.43	52.45	238	
V _{Ma}	29.13	22.73	-42.44	48.14	298	
M _{Ma}	49.51	71.08	-9.19	71.67	353	
N _{Ma}	20.0	0.0	0.0	0.0	0	
W _{Ma}	95.0	0.0	0.0	0.0	0	
O _{Ma}	39.92	58.74	27.99	65.07	25	
Y _{Ma}	81.26	-2.89	71.56	71.62	92	
L _{Ma}	52.23	-42.42	13.6	44.55	162	
V _{Ma}	30.57	1.41	-46.47	46.49	272	

Daten für Maximalfarbe (Ma):

$LAB^*LAB^*_{Ma}: 77 -27 63$

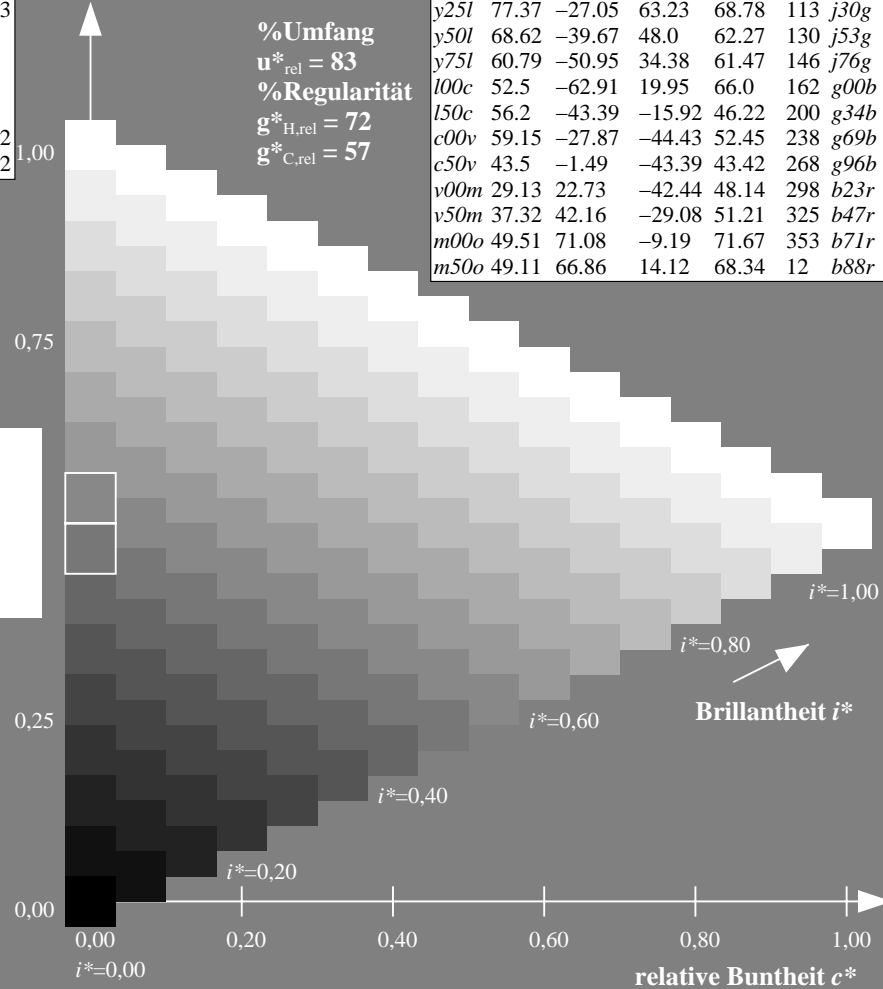
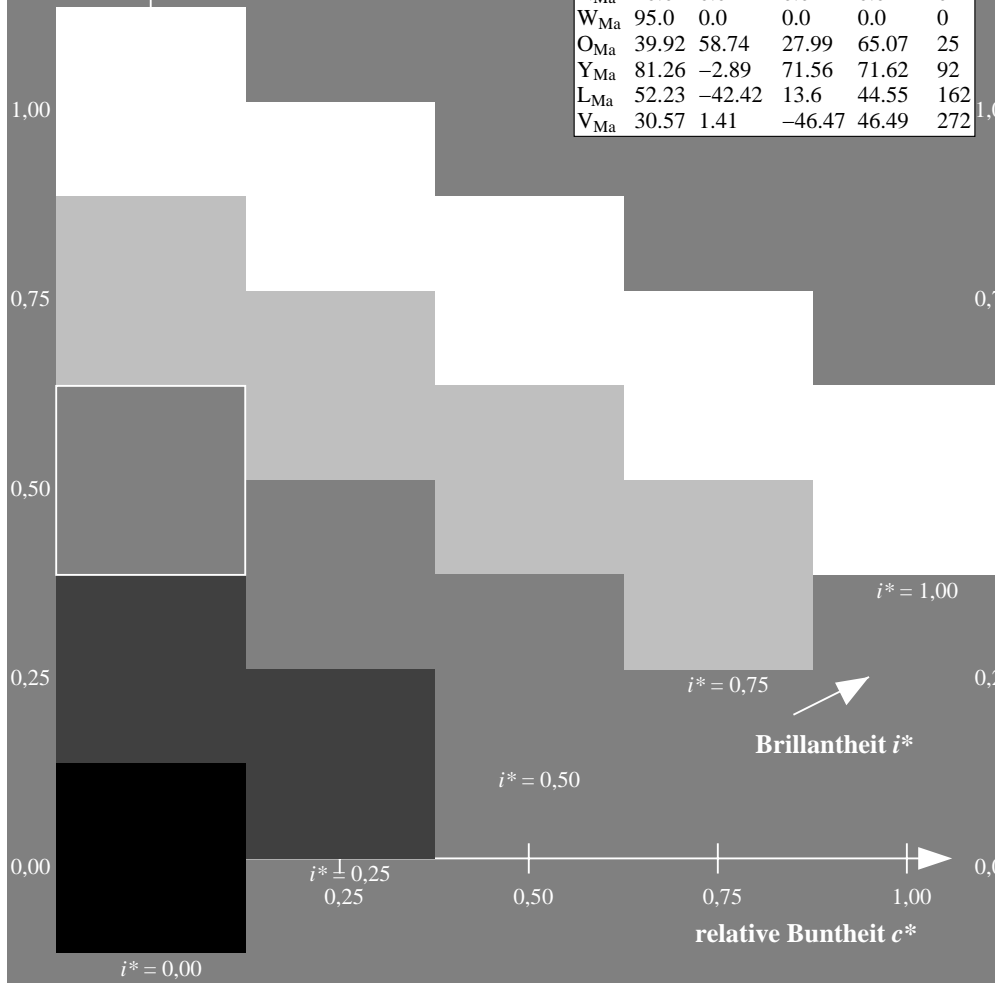
$LAB^*LCH^*_{Ma}: 77 69 113$

$lab^*olv^*_{Ma}: 0.75 1.0 0.0$

$lab^*rgb^*_{Ma}: 0.7 1.0 0.0$

Dreiecks-Helligkeit t^*

ORS20_95a; adaptierte CIELAB-Daten							
u^*_d	$L^*=L^*_a$	a^*_a	b^*_a	$C^*_{ab,a}$	$h^*_{ab,a}$	u^*_e	
o00y	48.71	62.56	37.91	73.15	31	r08j	
o25y	58.6	44.87	49.14	66.54	48	r33j	
o50y	67.52	28.93	59.25	65.94	64	r57j	
o75y	77.05	11.9	70.06	71.06	80	r81j	
y00l	89.25	-9.92	83.91	84.49	97	j06g	
y25l	77.37	-27.05	63.23	68.78	113	j30g	
y50l	68.62	-39.67	48.0	62.27	130	j53g	
y75l	60.79	-50.95	34.38	61.47	146	j76g	
l00c	52.5	-62.91	19.95	66.0	162	g00b	
l50c	56.2	-43.39	-15.92	46.22	200	g34b	
c00v	59.15	-27.87	-44.43	52.45	238	g69b	
c50v	43.5	-1.49	-43.39	43.42	268	g96b	
v00m	29.13	22.73	-42.44	48.14	298	b23r	
v50m	37.32	42.16	-29.08	51.21	325	b47r	
m00o	49.51	71.08	-9.19	71.67	353	b71r	
m50o	49.11	66.86	14.12	68.34	12	b88r	



Ein und Ausgabe: Farbmetrisches Drucker-Reflektiv-System ORS20_95a für relativen CIELAB-Bunton $h^* = lab^*h^* = h_{ab}/360 = 0.36$

$u^*_d = y50l$

Daten für jede Farbe:

lab^*tch^* und lab^*icu^*

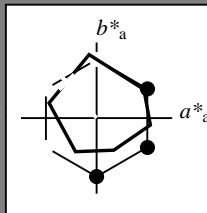
Bunntexte:

$u^*_d = y50l$ $u^*_e = j53g$

Kontrastreduzierungsfaktor:

$c_R = 0.96$

Dreiecks-Helligkeit t^*



ORS20_95a; adaptierte CIELAB-Daten

u^*_d	$L^*=L^*_a$	a^*_a	b^*_a	$C^*_{ab,a}$	$h^*_{ab,a}$
O _{Ma}	48.71	62.56	37.91	73.15	31
Y _{Ma}	89.25	-9.92	83.91	84.49	97
L _{Ma}	52.5	-62.91	19.95	66.0	162
C _{Ma}	59.15	-27.87	-44.43	52.45	238
V _{Ma}	29.13	22.73	-42.44	48.14	298
M _{Ma}	49.51	71.08	-9.19	71.67	353
N _{Ma}	20.0	0.0	0.0	0.0	0
W _{Ma}	95.0	0.0	0.0	0.0	0
O _{Ma}	39.92	58.74	27.99	65.07	25
Y _{Ma}	81.26	-2.89	71.56	71.62	92
L _{Ma}	52.23	-42.42	13.6	44.55	162
V _{Ma}	30.57	1.41	-46.47	46.49	272

Daten für Maximalfarbe (Ma):

$LAB^*LAB^*_{Ma}$: 69 -40 48

$LAB^*LCH^*_{Ma}$: 69 62 129

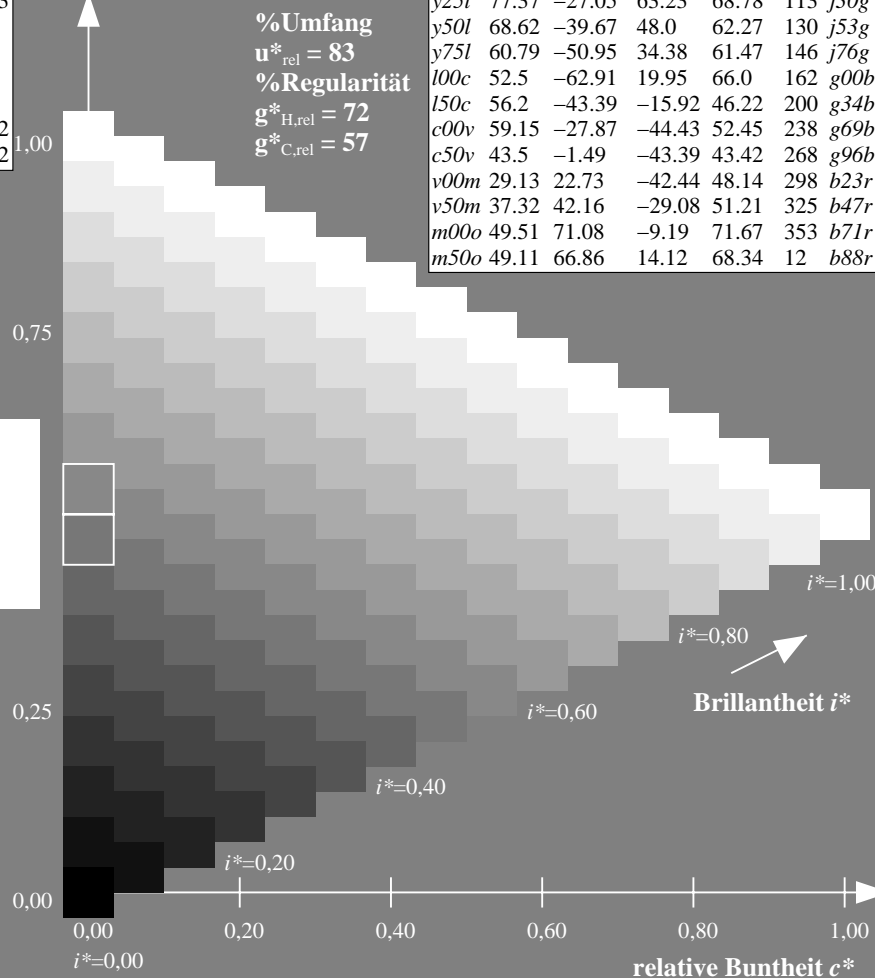
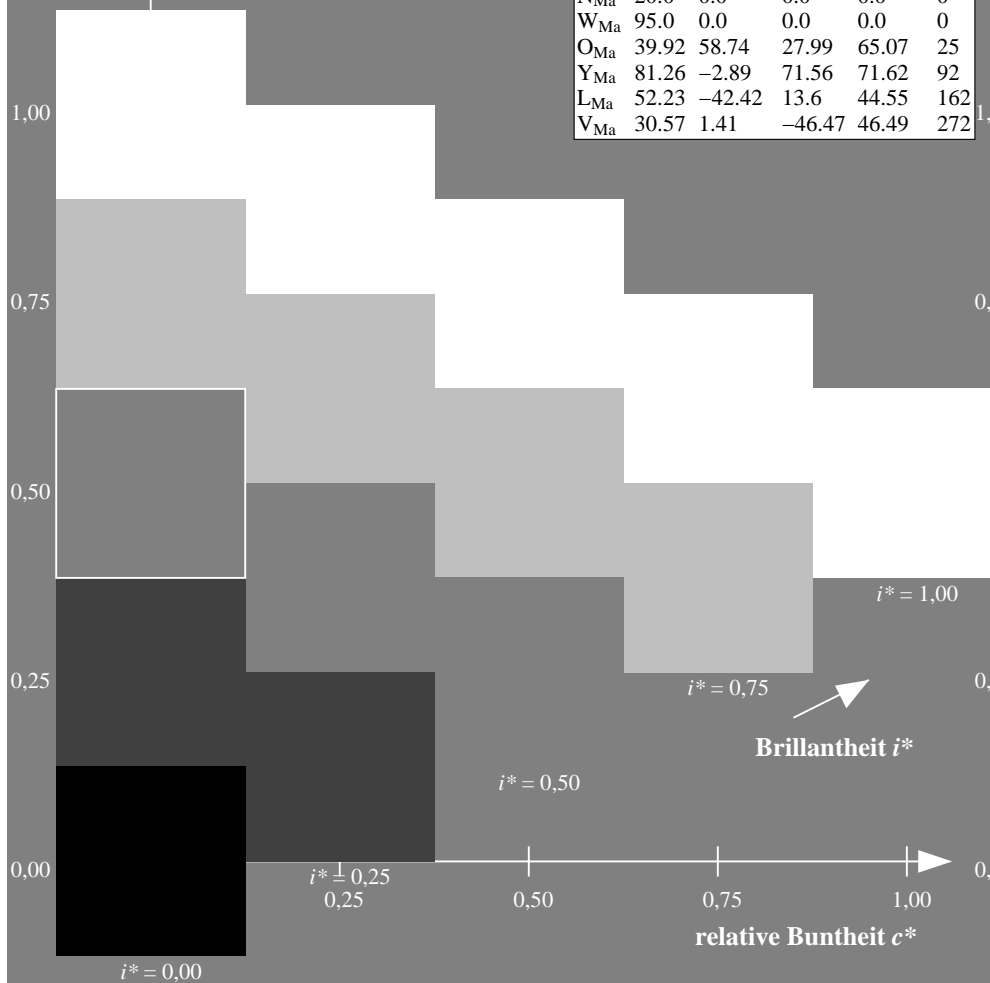
$lab^*olv^*_{Ma}$: 0.5 1.0 0.0

$lab^*rgb^*_{Ma}$: 0.47 1.0 0.0

Dreiecks-Helligkeit t^*

ORS20_95a; adaptierte CIELAB-Daten

u^*_d	$L^*=L^*_a$	a^*_a	b^*_a	$C^*_{ab,a}$	$h^*_{ab,a}$	u^*_e
o00y	48.71	62.56	37.91	73.15	31	r08j
o25y	58.6	44.87	49.14	66.54	48	r33j
o50y	67.52	28.93	59.25	65.94	64	r57j
o75y	77.05	11.9	70.06	71.06	80	r81j
y00l	89.25	-9.92	83.91	84.49	97	j06g
y25l	77.37	-27.05	63.23	68.78	113	j30g
y50l	68.62	-39.67	48.0	62.27	130	j53g
y75l	60.79	-50.95	34.38	61.47	146	j76g
l00c	52.5	-62.91	19.95	66.0	162	g00b
l50c	56.2	-43.39	-15.92	46.22	200	g34b
c00v	59.15	-27.87	-44.43	52.45	238	g69b
c50v	43.5	-1.49	-43.39	43.42	268	g96b
v00m	29.13	22.73	-42.44	48.14	298	b23r
v50m	37.32	42.16	-29.08	51.21	325	b47r
m00o	49.51	71.08	-9.19	71.67	353	b71r
m50o	49.11	66.86	14.12	68.34	12	b88r



Daten für jede Farbe:

lab^*tch^* und lab^*icu^*

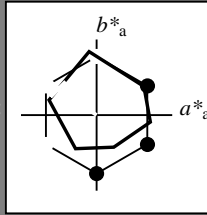
Bunntexte:

$u^*_d = y75l$ $u^*_e = j76g$

Kontrastreduzierungsfaktor:

$c_R = 0.96$

Dreiecks-Helligkeit t^*



ORS20_95a; adaptierte CIELAB-Daten						
u^*_d	$L^*=L^*_a$	a^*_a	b^*_a	$C^*_{ab,a}$	$h^*_{ab,a}$	
O _{Ma}	48.71	62.56	37.91	73.15	31	
Y _{Ma}	89.25	-9.92	83.91	84.49	97	
L _{Ma}	52.5	-62.91	19.95	66.0	162	
C _{Ma}	59.15	-27.87	-44.43	52.45	238	
V _{Ma}	29.13	22.73	-42.44	48.14	298	
M _{Ma}	49.51	71.08	-9.19	71.67	353	
N _{Ma}	20.0	0.0	0.0	0.0	0	
W _{Ma}	95.0	0.0	0.0	0.0	0	
O _{Ma}	39.92	58.74	27.99	65.07	25	
Y _{Ma}	81.26	-2.89	71.56	71.62	92	
L _{Ma}	52.23	-42.42	13.6	44.55	162	
V _{Ma}	30.57	1.41	-46.47	46.49	272	

Daten für Maximalfarbe (Ma):

$LAB^*LAB^*_{Ma}$: 61 -51 34

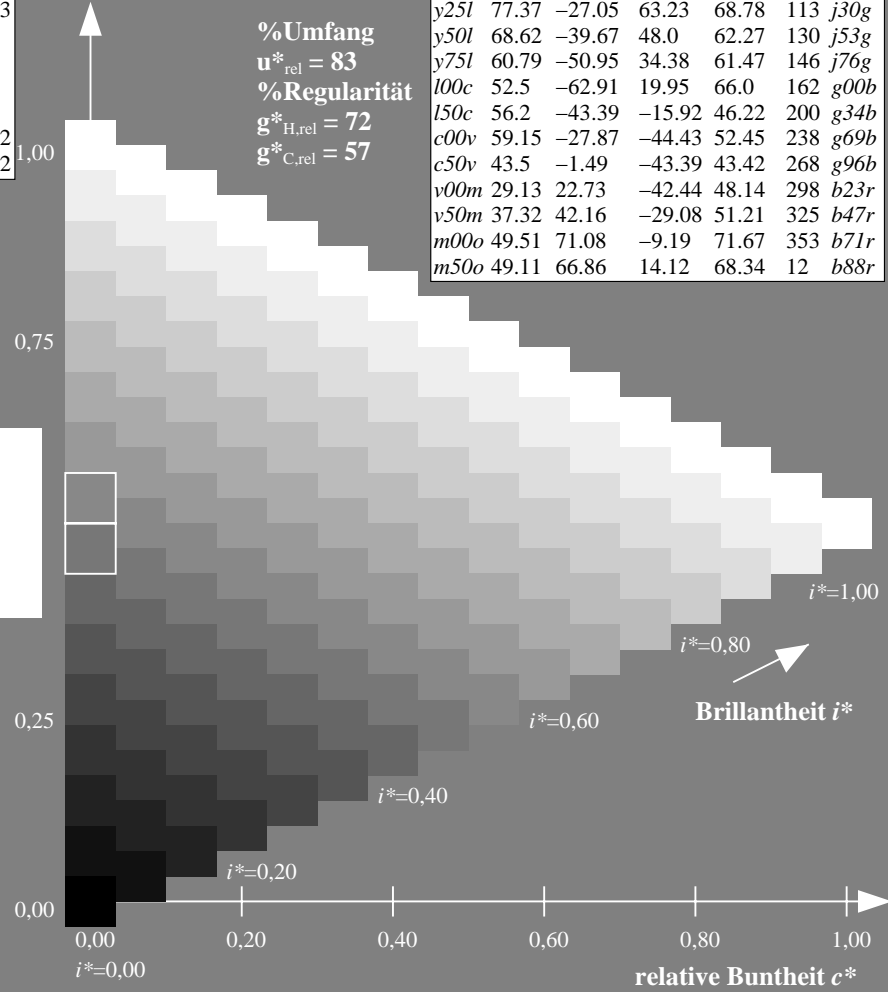
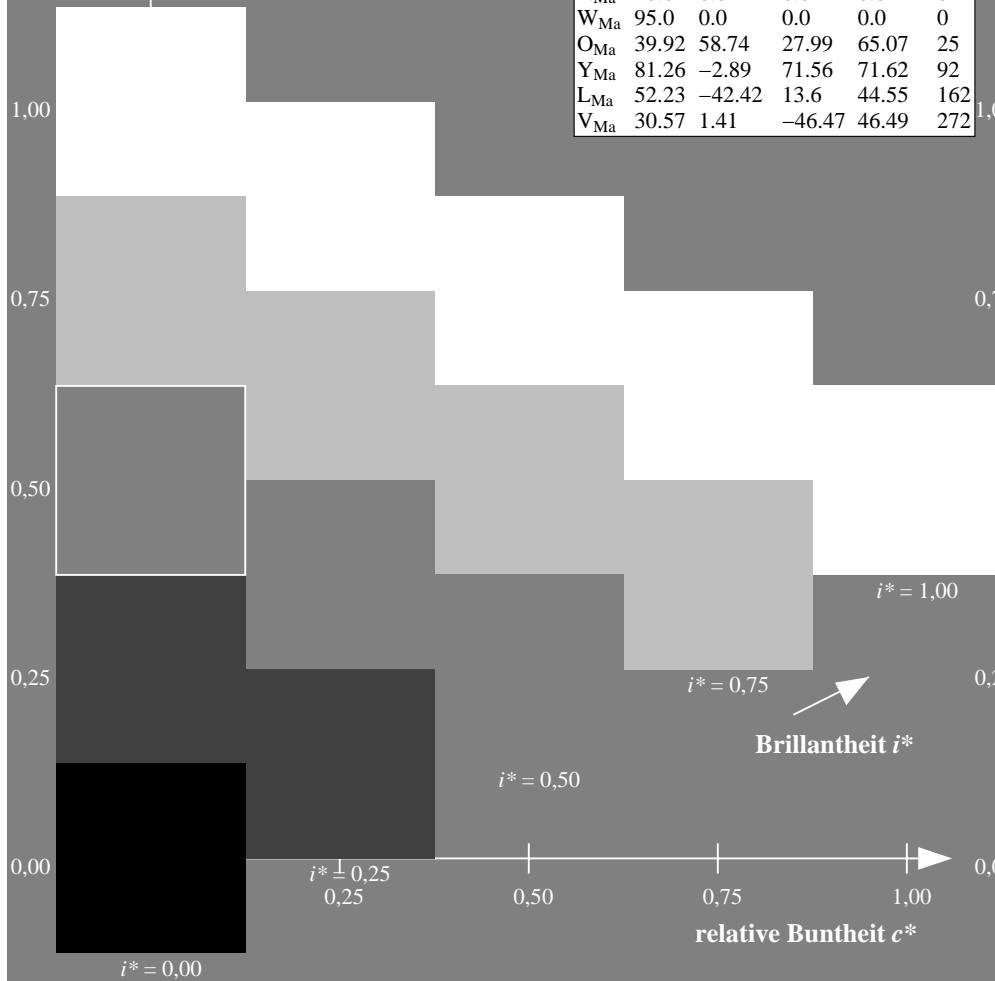
$LAB^*LCH^*_{Ma}$: 61 61 145

$lab^*olv^*_{Ma}$: 0.25 1.0 0.0

$lab^*rgb^*_{Ma}$: 0.23 1.0 0.0

Dreiecks-Helligkeit t^*

ORS20_95a; adaptierte CIELAB-Daten							
u^*_d	$L^*=L^*_a$	a^*_a	b^*_a	$C^*_{ab,a}$	$h^*_{ab,a}$	u^*_e	
o00y	48.71	62.56	37.91	73.15	31	r08j	
o25y	58.6	44.87	49.14	66.54	48	r33j	
o50y	67.52	28.93	59.25	65.94	64	r57j	
o75y	77.05	11.9	70.06	71.06	80	r81j	
y00l	89.25	-9.92	83.91	84.49	97	j06g	
y25l	77.37	-27.05	63.23	68.78	113	j30g	
y50l	68.62	-39.67	48.0	62.27	130	j53g	
y75l	60.79	-50.95	34.38	61.47	146	j76g	
l00c	52.5	-62.91	19.95	66.0	162	g00b	
l50c	56.2	-43.39	-15.92	46.22	200	g34b	
c00v	59.15	-27.87	-44.43	52.45	238	g69b	
c50v	43.5	-1.49	-43.39	43.42	268	g96b	
v00m	29.13	22.73	-42.44	48.14	298	b23r	
v50m	37.32	42.16	-29.08	51.21	325	b47r	
m00o	49.51	71.08	-9.19	71.67	353	b71r	
m50o	49.11	66.86	14.12	68.34	12	b88r	



Daten für jede Farbe:

lab^*tch^* und lab^*icu^*

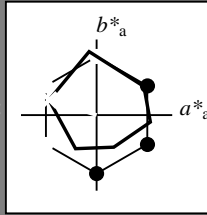
Bunntexte:

$u^*_d = 100c$ $u^*_e = g00b$

Kontrastreduzierungsfaktor:

$c_R = 0.96$

Dreiecks-Helligkeit t^*



ORS20_95a; adaptierte CIELAB-Daten						
u^*_d	$L^*=L^*_a$	a^*_a	b^*_a	$C^*_{ab,a}$	$h^*_{ab,a}$	
O _{Ma}	48.71	62.56	37.91	73.15	31	
Y _{Ma}	89.25	-9.92	83.91	84.49	97	
L _{Ma}	52.5	-62.91	19.95	66.0	162	
C _{Ma}	59.15	-27.87	-44.43	52.45	238	
V _{Ma}	29.13	22.73	-42.44	48.14	298	
M _{Ma}	49.51	71.08	-9.19	71.67	353	
N _{Ma}	20.0	0.0	0.0	0.0	0	
W _{Ma}	95.0	0.0	0.0	0.0	0	
O _{Ma}	39.92	58.74	27.99	65.07	25	
Y _{Ma}	81.26	-2.89	71.56	71.62	92	
L _{Ma}	52.23	-42.42	13.6	44.55	162	
V _{Ma}	30.57	1.41	-46.47	46.49	272	

Daten für Maximalfarbe (Ma):

$LAB^*LAB^*_{Ma}: 52 -63 20$

$LAB^*LCH^*_{Ma}: 52 66 162$

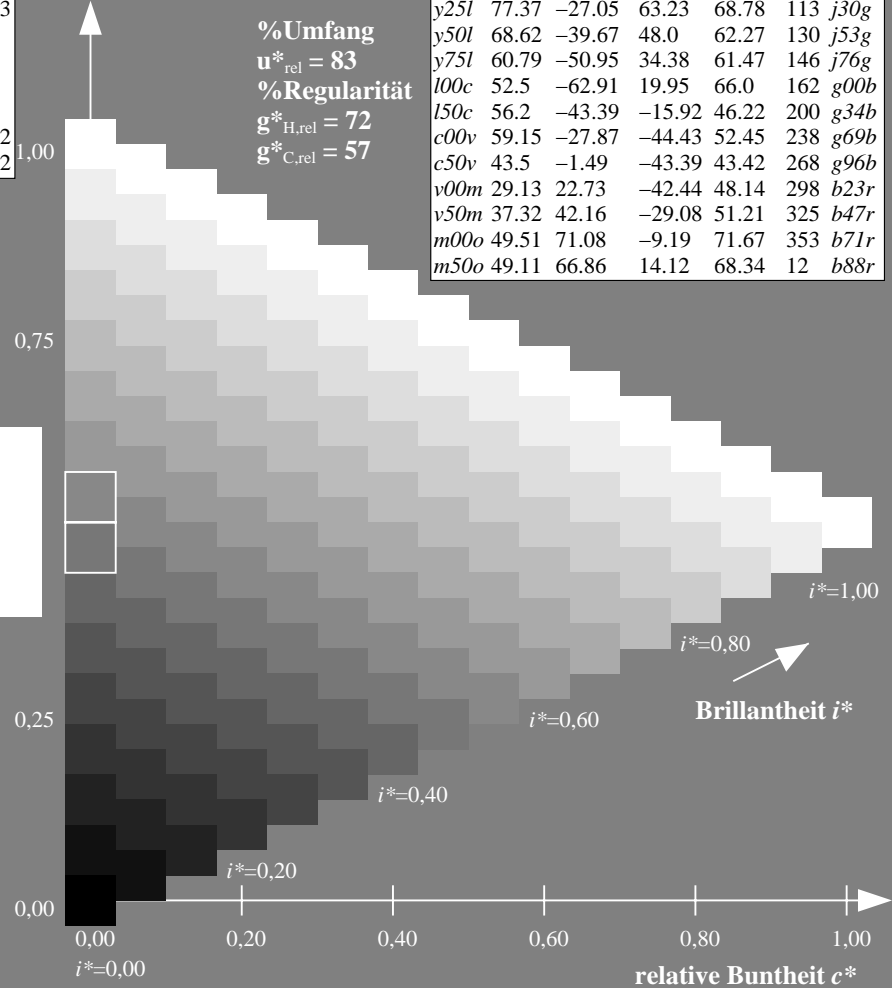
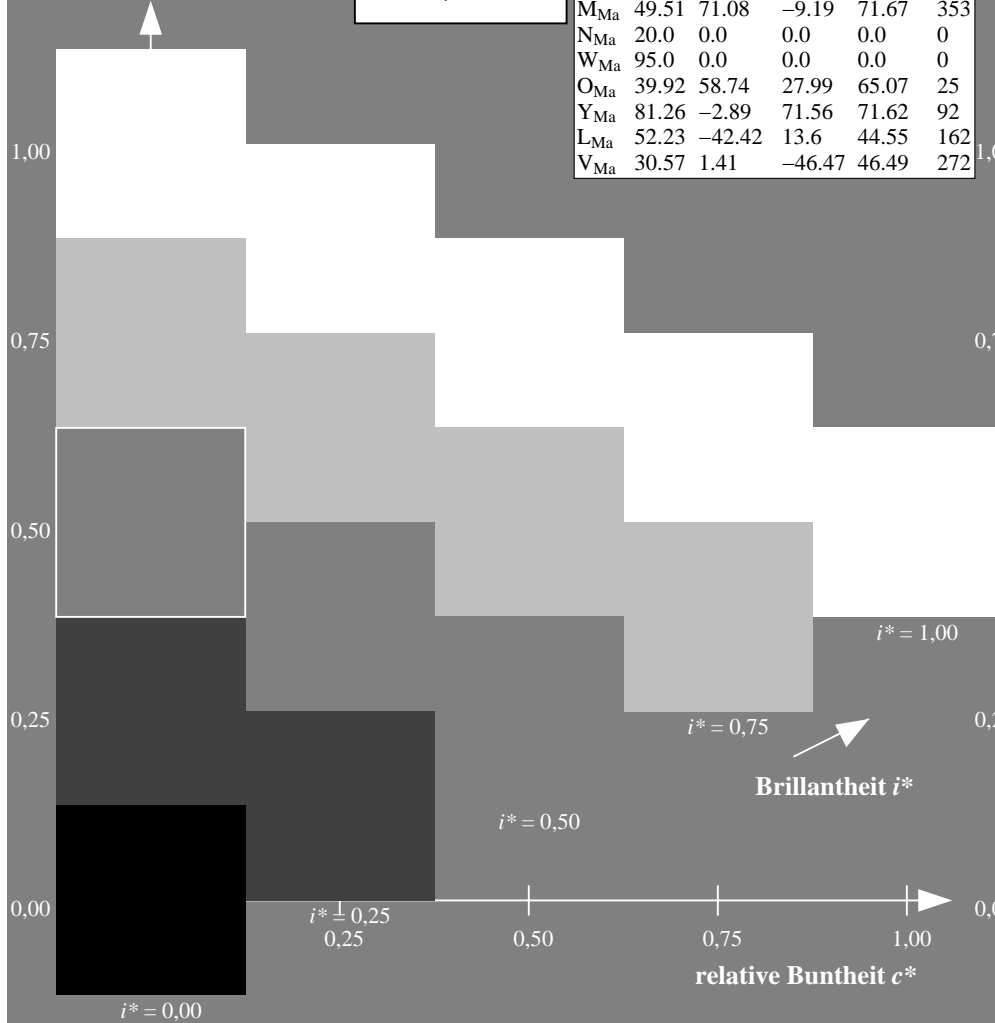
$lab^*olv^*_{Ma}: 0.0 1.0 0.0$

$lab^*rgb^*_{Ma}: 0.0 1.0 0.0$

Dreiecks-Helligkeit t^*

ORS20_95a; adaptierte CIELAB-Daten

u^*_d	$L^*=L^*_a$	a^*_a	b^*_a	$C^*_{ab,a}$	$h^*_{ab,a}$	u^*_e
o00y	48.71	62.56	37.91	73.15	31	r08j
o25y	58.6	44.87	49.14	66.54	48	r33j
o50y	67.52	28.93	59.25	65.94	64	r57j
o75y	77.05	11.9	70.06	71.06	80	r81j
y00l	89.25	-9.92	83.91	84.49	97	j06g
y25l	77.37	-27.05	63.23	68.78	113	j30g
y50l	68.62	-39.67	48.0	62.27	130	j53g
y75l	60.79	-50.95	34.38	61.47	146	j76g
l00c	52.5	-62.91	19.95	66.0	162	g00b
l50c	56.2	-43.39	-15.92	46.22	200	g34b
c00v	59.15	-27.87	-44.43	52.45	238	g69b
c50v	43.5	-1.49	-43.39	43.42	268	g96b
v00m	29.13	22.73	-42.44	48.14	298	b23r
v50m	37.32	42.16	-29.08	51.21	325	b47r
m00o	49.51	71.08	-9.19	71.67	353	b71r
m50o	49.11	66.86	14.12	68.34	12	b88r



%Umfang
 $u^*_{rel} = 83$
 %Regularität
 $g^*_{H,rel} = 72$
 $g^*_{C,rel} = 57$

Daten für jede Farbe:

lab^*tch^* und lab^*icu^*

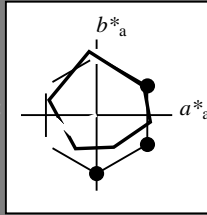
Buntontexte:

$u^*_d = 150c$ $u^*_e = g34b$

Kontrastreduzierungsfaktor:

$c_R = 0.96$

Dreiecks-Helligkeit t^*



ORS20_95a; adaptierte CIELAB-Daten						
u^*_d	$L^*=L^*_a$	a^*_a	b^*_a	$C^*_{ab,a}$	$h^*_{ab,a}$	
O _{Ma}	48.71	62.56	37.91	73.15	31	
Y _{Ma}	89.25	-9.92	83.91	84.49	97	
L _{Ma}	52.5	-62.91	19.95	66.0	162	
C _{Ma}	59.15	-27.87	-44.43	52.45	238	
V _{Ma}	29.13	22.73	-42.44	48.14	298	
M _{Ma}	49.51	71.08	-9.19	71.67	353	
N _{Ma}	20.0	0.0	0.0	0.0	0	
W _{Ma}	95.0	0.0	0.0	0.0	0	
O _{Ma}	39.92	58.74	27.99	65.07	25	
Y _{Ma}	81.26	-2.89	71.56	71.62	92	
L _{Ma}	52.23	-42.42	13.6	44.55	162	
V _{Ma}	30.57	1.41	-46.47	46.49	272	

Daten für Maximalfarbe (Ma):

$\text{LAB}^*\text{LAB}^*_{Ma}$: 56 -43 -16

$\text{LAB}^*\text{LCH}^*_{Ma}$: 56 46 200

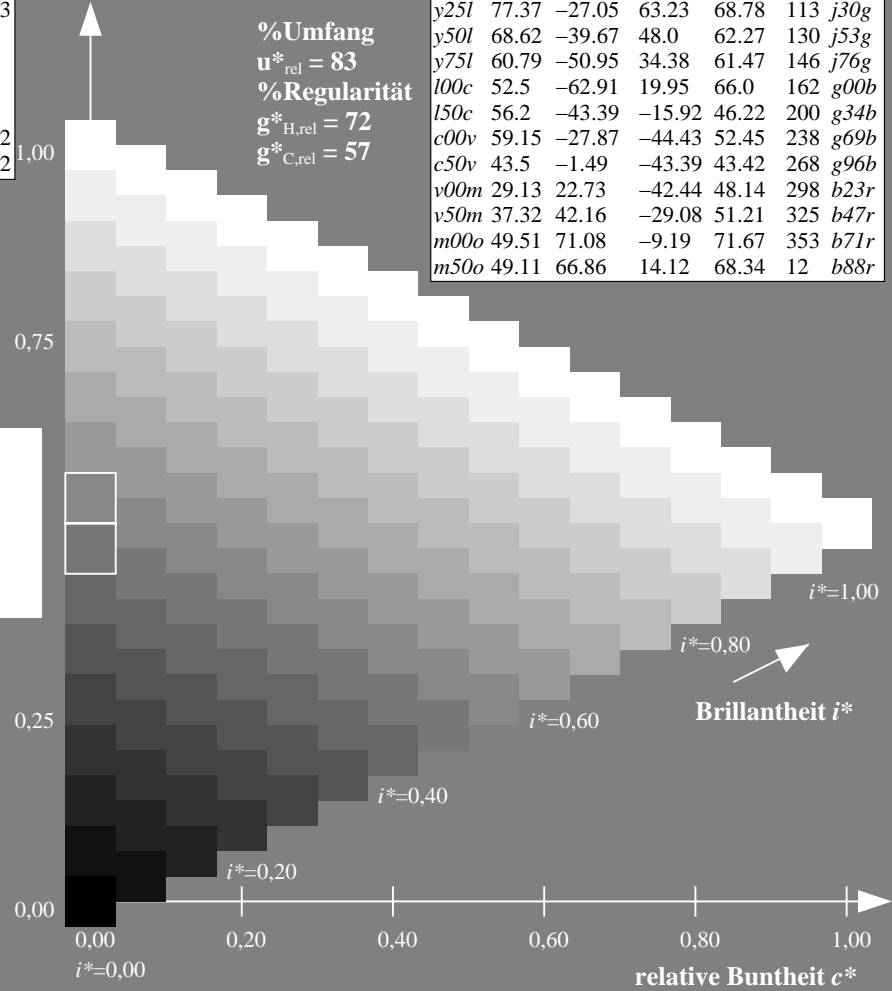
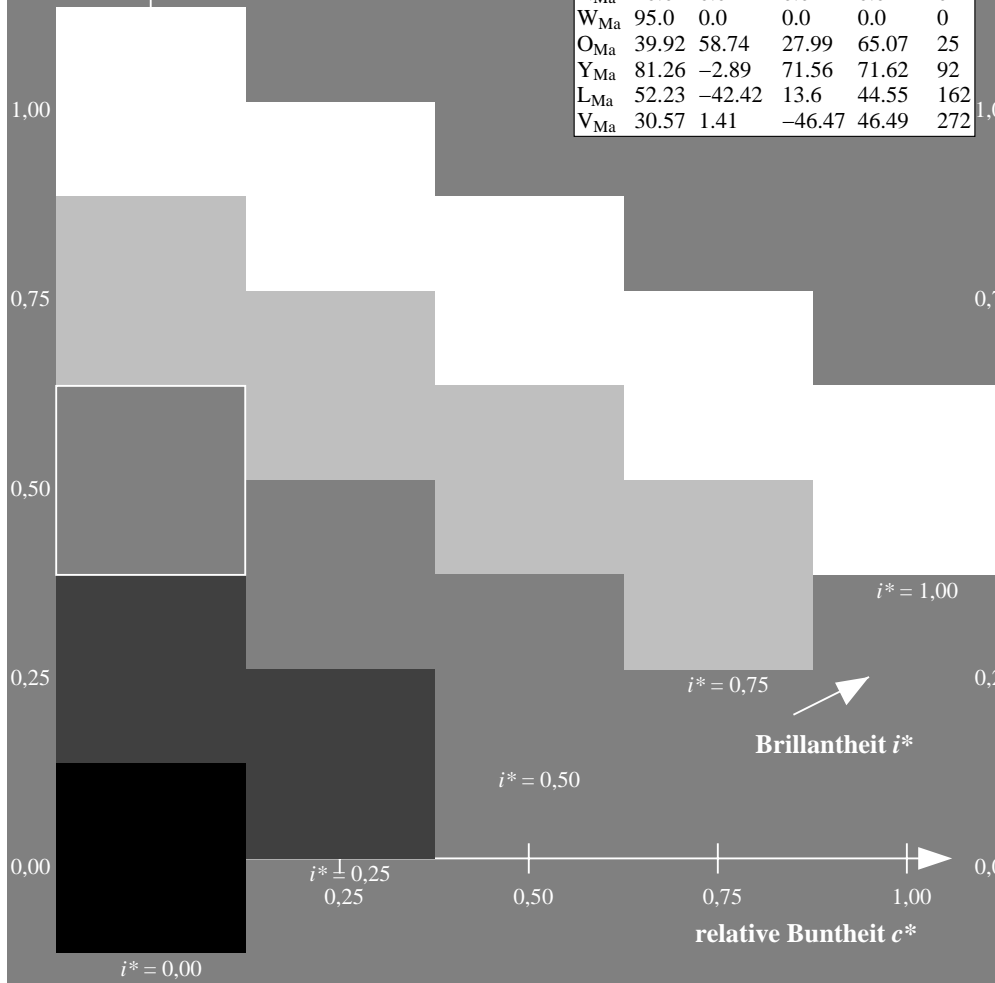
$\text{lab}^*\text{olv}^*_{Ma}$: 0.0 1.0 0.5

$\text{lab}^*\text{rgb}^*_{Ma}$: 0.0 1.0 0.69

Dreiecks-Helligkeit t^*

ORS20_95a; adaptierte CIELAB-Daten

u^*_d	$L^*=L^*_a$	a^*_a	b^*_a	$C^*_{ab,a}$	$h^*_{ab,a}$	u^*_e
o00y	48.71	62.56	37.91	73.15	31	r08j
o25y	58.6	44.87	49.14	66.54	48	r33j
o50y	67.52	28.93	59.25	65.94	64	r57j
o75y	77.05	11.9	70.06	71.06	80	r81j
y00l	89.25	-9.92	83.91	84.49	97	j06g
y25l	77.37	-27.05	63.23	68.78	113	j30g
y50l	68.62	-39.67	48.0	62.27	130	j53g
y75l	60.79	-50.95	34.38	61.47	146	j76g
l00c	52.5	-62.91	19.95	66.0	162	g00b
l50c	56.2	-43.39	-15.92	46.22	200	g34b
c00v	59.15	-27.87	-44.43	52.45	238	g69b
c50v	43.5	-1.49	-43.39	43.42	268	g96b
v00m	29.13	22.73	-42.44	48.14	298	b23r
v50m	37.32	42.16	-29.08	51.21	325	b47r
m00o	49.51	71.08	-9.19	71.67	353	b71r
m50o	49.11	66.86	14.12	68.34	12	b88r



%Umfang
 $u^*_{rel} = 83$
 %Regularität
 $g^*_{H,rel} = 72$
 $g^*_{C,rel} = 57$

Ein und Ausgabe: Farbmetrisches Drucker-Reflektiv-System ORS20_95a für relativen CIELAB-Bunton $h^* = lab^*h^* = h_{ab}/360 = 0.661$

$u^*_d = c00v$

Daten für jede Farbe:

lab^*tch^* und lab^*icu^*

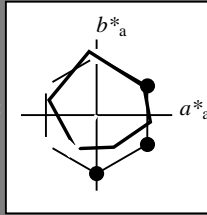
Buntontexte:

$u^*_d = c00v$ $u^*_e = g69b$

Kontrastreduzierungsfaktor:

$c_R = 0.96$

Dreiecks-Helligkeit t^*



ORS20_95a; adaptierte CIELAB-Daten						
u^*_d	$L^*=L^*_a$	a^*_a	b^*_a	$C^*_{ab,a}$	$h^*_{ab,a}$	
O _{Ma}	48.71	62.56	37.91	73.15	31	
Y _{Ma}	89.25	-9.92	83.91	84.49	97	
L _{Ma}	52.5	-62.91	19.95	66.0	162	
C _{Ma}	59.15	-27.87	-44.43	52.45	238	
V _{Ma}	29.13	22.73	-42.44	48.14	298	
M _{Ma}	49.51	71.08	-9.19	71.67	353	
N _{Ma}	20.0	0.0	0.0	0.0	0	
W _{Ma}	95.0	0.0	0.0	0.0	0	
O _{Ma}	39.92	58.74	27.99	65.07	25	
Y _{Ma}	81.26	-2.89	71.56	71.62	92	
L _{Ma}	52.23	-42.42	13.6	44.55	162	
V _{Ma}	30.57	1.41	-46.47	46.49	272	

Daten für Maximalfarbe (Ma):

$LAB^*LAB^*_{Ma}: 59 -28 -44$

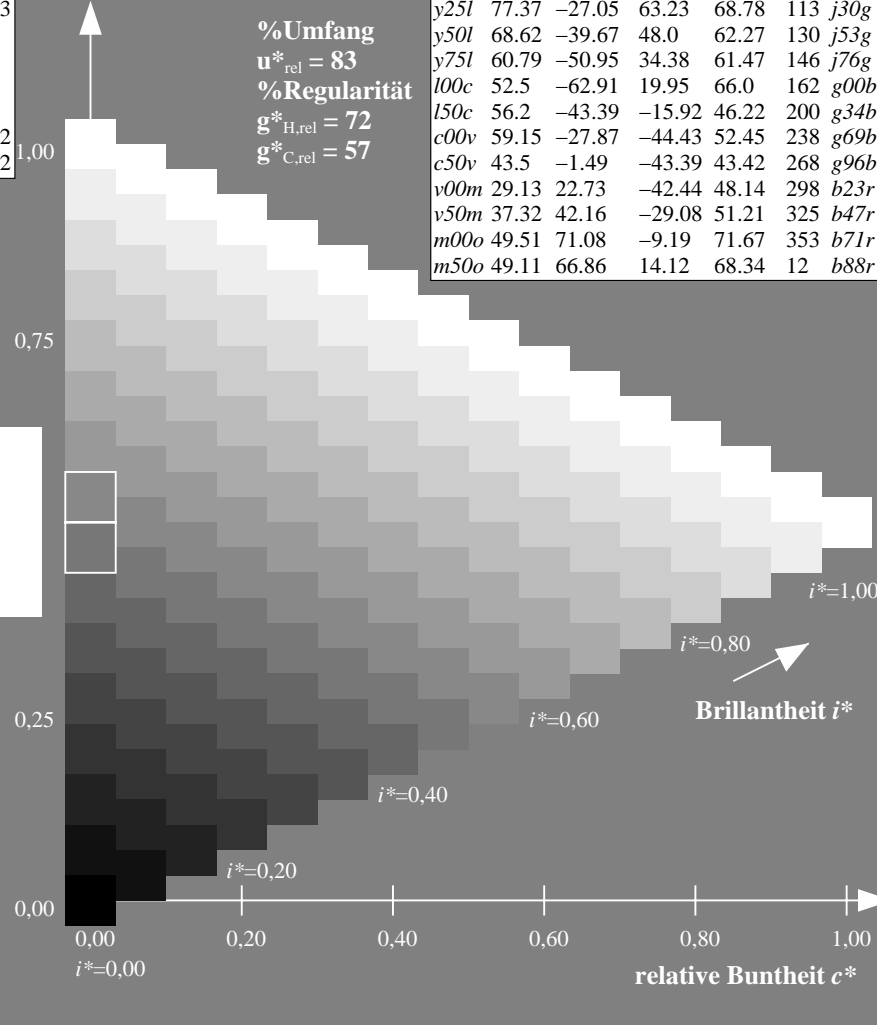
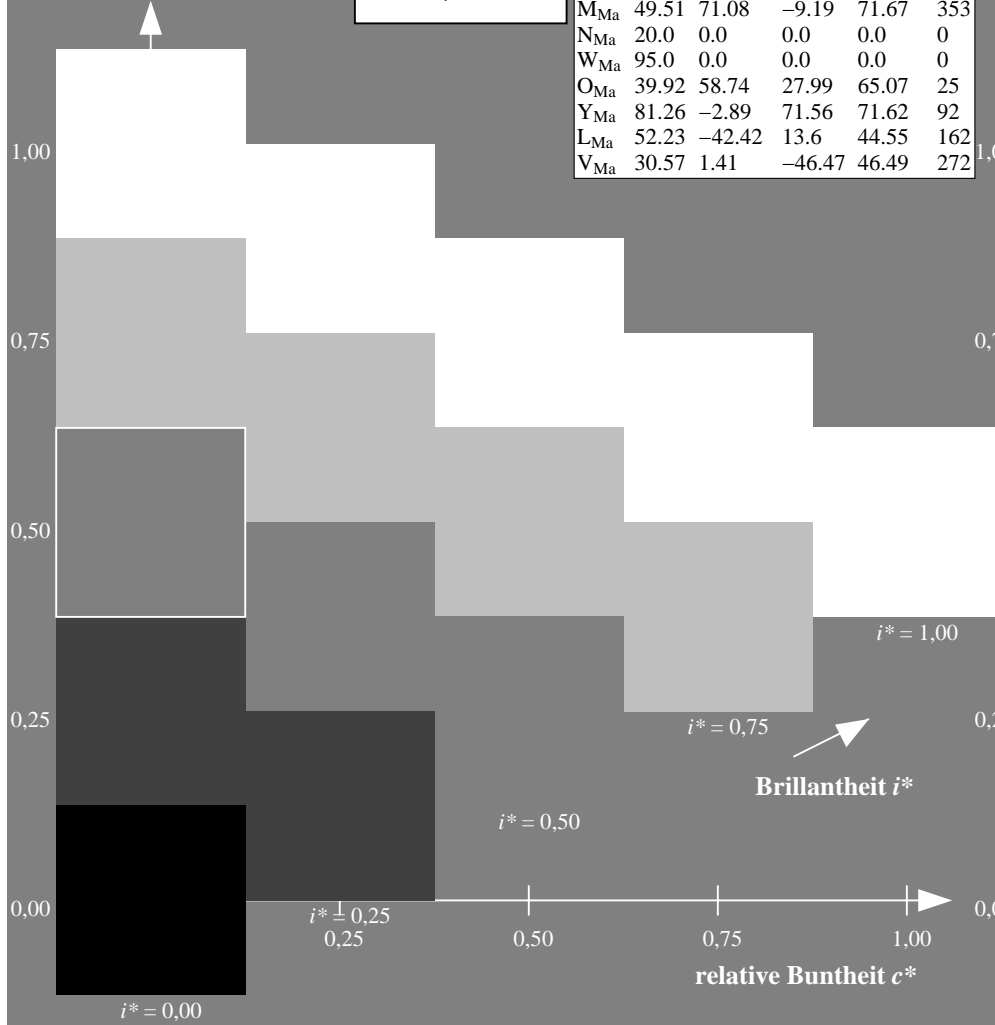
$LAB^*LCH^*_{Ma}: 59 52 237$

$lab^*olv^*_{Ma}: 0.0 1.0 1.0$

$lab^*rgb^*_{Ma}: 0.0 0.62 1.0$

Dreiecks-Helligkeit t^*

ORS20_95a; adaptierte CIELAB-Daten							
u^*_d	$L^*=L^*_a$	a^*_a	b^*_a	$C^*_{ab,a}$	$h^*_{ab,a}$	u^*_e	
o00y	48.71	62.56	37.91	73.15	31	r08j	
o25y	58.6	44.87	49.14	66.54	48	r33j	
o50y	67.52	28.93	59.25	65.94	64	r57j	
o75y	77.05	11.9	70.06	71.06	80	r81j	
y00l	89.25	-9.92	83.91	84.49	97	j06g	
y25l	77.37	-27.05	63.23	68.78	113	j30g	
y50l	68.62	-39.67	48.0	62.27	130	j53g	
y75l	60.79	-50.95	34.38	61.47	146	j76g	
l00c	52.5	-62.91	19.95	66.0	162	g00b	
l50c	56.2	-43.39	-15.92	46.22	200	g34b	
c00v	59.15	-27.87	-44.43	52.45	238	g69b	
c50v	43.5	-1.49	-43.39	43.42	268	g96b	
v00m	29.13	22.73	-42.44	48.14	298	b23r	
v50m	37.32	42.16	-29.08	51.21	325	b47r	
m00o	49.51	71.08	-9.19	71.67	353	b71r	
m50o	49.11	66.86	14.12	68.34	12	b88r	



Daten für jede Farbe:

lab^*tch^* und lab^*icu^*

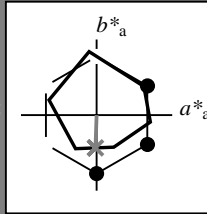
Bunntexte:

$u^*_d = c50v$ $u^*_e = g96b$

Kontrastreduzierungsfaktor:

$c_R = 0.96$

Dreiecks-Helligkeit t^*



ORS20_95a; adaptierte CIELAB-Daten						
u^*_d	$L^*=L^*_a$	a^*_a	b^*_a	$C^*_{ab,a}$	$h^*_{ab,a}$	
O _{Ma}	48.71	62.56	37.91	73.15	31	
Y _{Ma}	89.25	-9.92	83.91	84.49	97	
L _{Ma}	52.5	-62.91	19.95	66.0	162	
C _{Ma}	59.15	-27.87	-44.43	52.45	238	
V _{Ma}	29.13	22.73	-42.44	48.14	298	
M _{Ma}	49.51	71.08	-9.19	71.67	353	
N _{Ma}	20.0	0.0	0.0	0.0	0	
W _{Ma}	95.0	0.0	0.0	0.0	0	
O _{Ma}	39.92	58.74	27.99	65.07	25	
Y _{Ma}	81.26	-2.89	71.56	71.62	92	
L _{Ma}	52.23	-42.42	13.6	44.55	162	
V _{Ma}	30.57	1.41	-46.47	46.49	272	

Daten für Maximalfarbe (Ma):

$LAB^*LAB^*_{Ma}$: 43 -1 -43

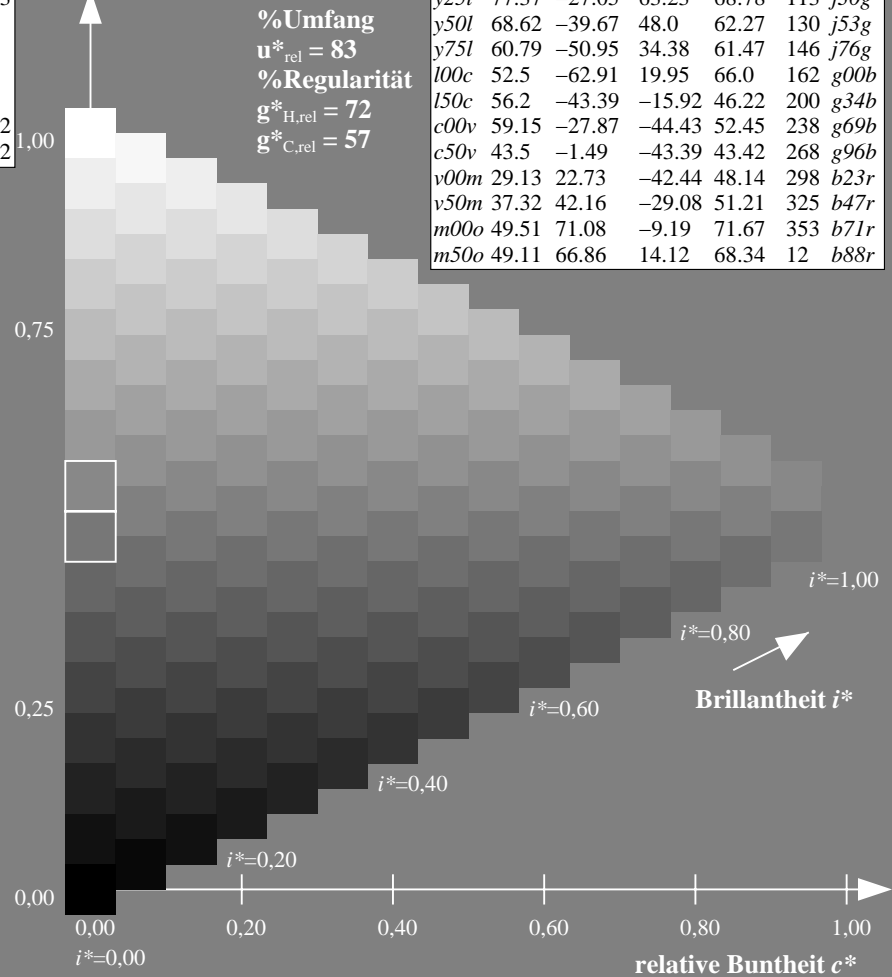
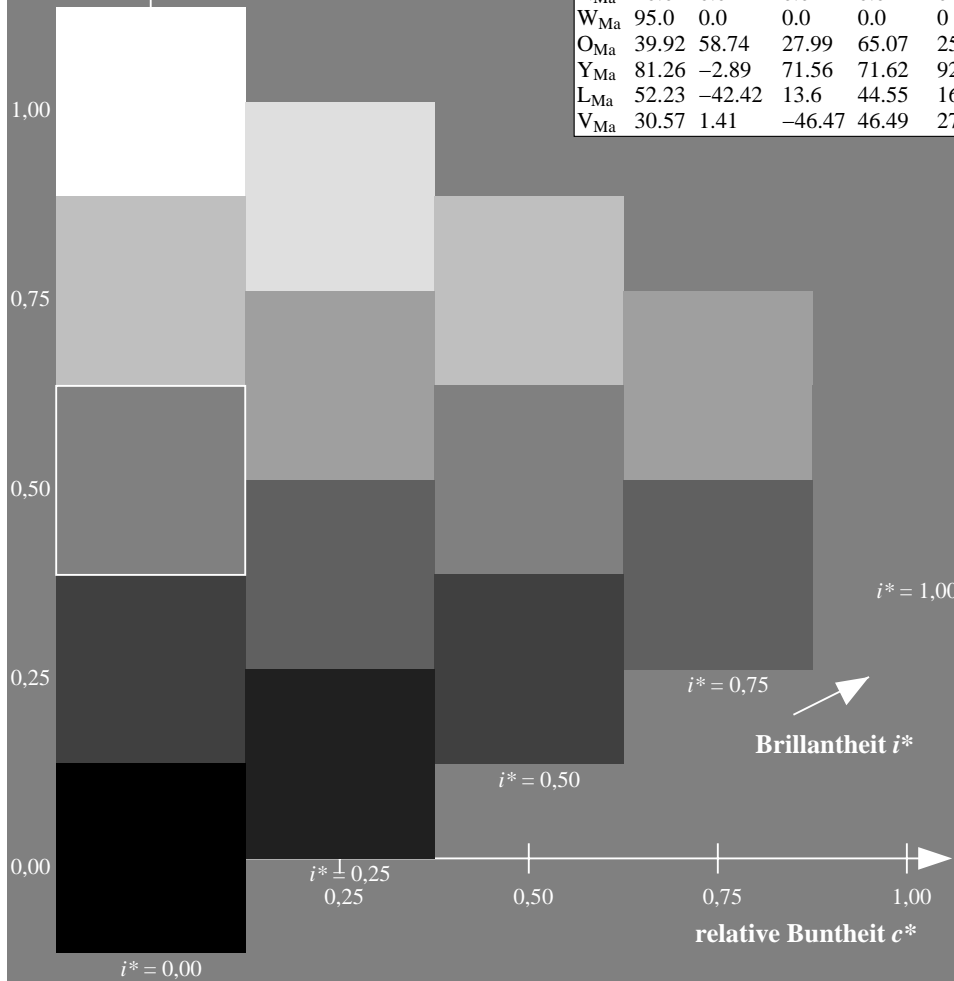
$LAB^*LCH^*_{Ma}$: 43 43 268

$lab^*olv^*_{Ma}$: 0.0 0.5 1.0

$lab^*rgb^*_{Ma}$: 0.0 0.07 1.0

Dreiecks-Helligkeit t^*

ORS20_95a; adaptierte CIELAB-Daten							
u^*_d	$L^*=L^*_a$	a^*_a	b^*_a	$C^*_{ab,a}$	$h^*_{ab,a}$	u^*_e	
o00y	48.71	62.56	37.91	73.15	31	r08j	
o25y	58.6	44.87	49.14	66.54	48	r33j	
o50y	67.52	28.93	59.25	65.94	64	r57j	
o75y	77.05	11.9	70.06	71.06	80	r81j	
y00l	89.25	-9.92	83.91	84.49	97	j06g	
y25l	77.37	-27.05	63.23	68.78	113	j30g	
y50l	68.62	-39.67	48.0	62.27	130	j53g	
y75l	60.79	-50.95	34.38	61.47	146	j76g	
l00c	52.5	-62.91	19.95	66.0	162	g00b	
l50c	56.2	-43.39	-15.92	46.22	200	g34b	
c00v	59.15	-27.87	-44.43	52.45	238	g69b	
c50v	43.5	-1.49	-43.39	43.42	268	g96b	
v00m	29.13	22.73	-42.44	48.14	298	b23r	
v50m	37.32	42.16	-29.08	51.21	325	b47r	
m00o	49.51	71.08	-9.19	71.67	353	b71r	
m50o	49.11	66.86	14.12	68.34	12	b88r	



Daten für jede Farbe:

lab^*tch^* und lab^*icu^*

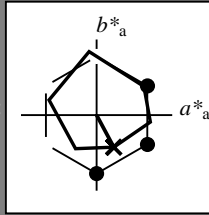
Bunntexte:

$u^*_d = v00m$ $u^*_e = b23r$

Kontrastreduzierungsfaktor:

$c_R = 0.96$

Dreiecks-Helligkeit t^*



ORS20_95a; adaptierte CIELAB-Daten						
u^*_d	$L^*=L^*_a$	a^*_a	b^*_a	$C^*_{ab,a}$	$h^*_{ab,a}$	
O _{Ma}	48.71	62.56	37.91	73.15	31	
Y _{Ma}	89.25	-9.92	83.91	84.49	97	
L _{Ma}	52.5	-62.91	19.95	66.0	162	
C _{Ma}	59.15	-27.87	-44.43	52.45	238	
V _{Ma}	29.13	22.73	-42.44	48.14	298	
M _{Ma}	49.51	71.08	-9.19	71.67	353	
N _{Ma}	20.0	0.0	0.0	0.0	0	
W _{Ma}	95.0	0.0	0.0	0.0	0	
O _{Ma}	39.92	58.74	27.99	65.07	25	
Y _{Ma}	81.26	-2.89	71.56	71.62	92	
L _{Ma}	52.23	-42.42	13.6	44.55	162	
V _{Ma}	30.57	1.41	-46.47	46.49	272	

Daten für Maximalfarbe (Ma):

$LAB^*LAB^*_{Ma}$: 29 23 -42

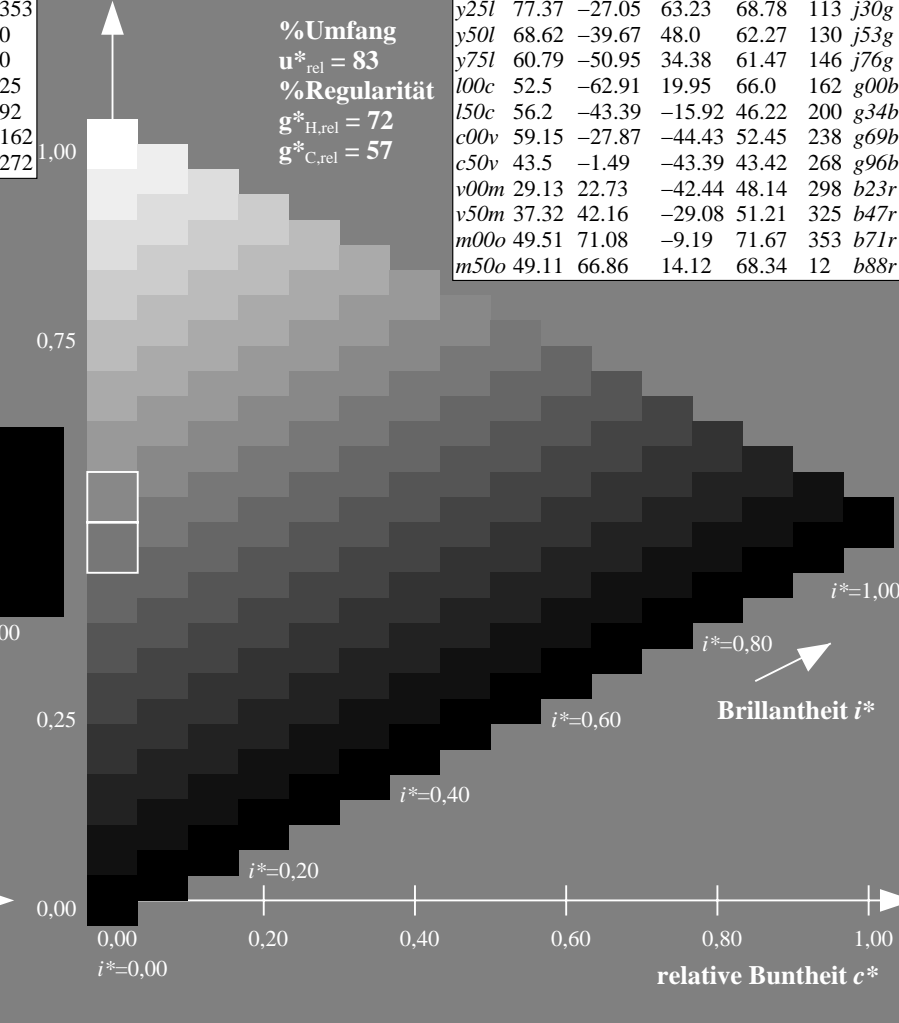
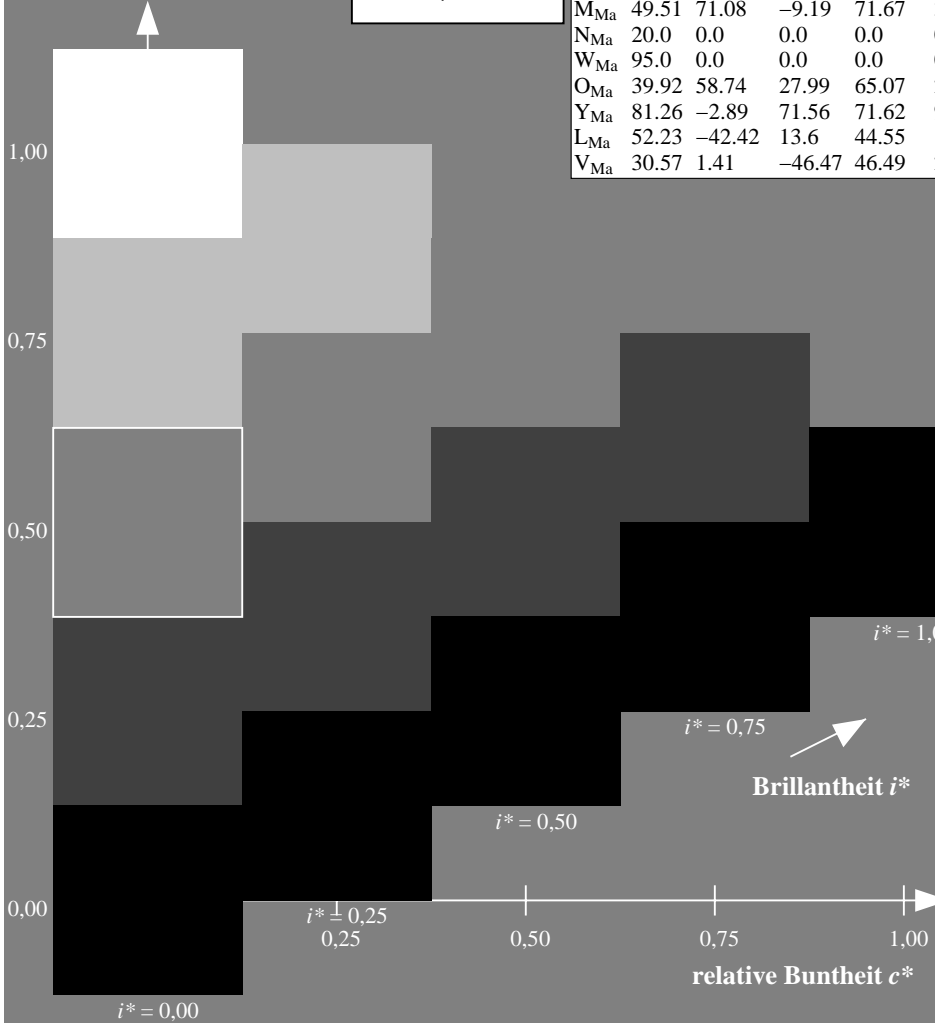
$LAB^*LCH^*_{Ma}$: 29 48 298

$lab^*olv^*_{Ma}$: 0.0 0.0 1.0

$lab^*rgb^*_{Ma}$: 0.46 0.0 1.0

Dreiecks-Helligkeit t^*

ORS20_95a; adaptierte CIELAB-Daten							
u^*_d	$L^*=L^*_a$	a^*_a	b^*_a	$C^*_{ab,a}$	$h^*_{ab,a}$	u^*_e	
o00y	48.71	62.56	37.91	73.15	31	r08j	
o25y	58.6	44.87	49.14	66.54	48	r33j	
o50y	67.52	28.93	59.25	65.94	64	r57j	
o75y	77.05	11.9	70.06	71.06	80	r81j	
y00l	89.25	-9.92	83.91	84.49	97	j06g	
y25l	77.37	-27.05	63.23	68.78	113	j30g	
y50l	68.62	-39.67	48.0	62.27	130	j53g	
y75l	60.79	-50.95	34.38	61.47	146	j76g	
l00c	52.5	-62.91	19.95	66.0	162	g00b	
l50c	56.2	-43.39	-15.92	46.22	200	g34b	
c00v	59.15	-27.87	-44.43	52.45	238	g69b	
c50v	43.5	-1.49	-43.39	43.42	268	g96b	
v00m	29.13	22.73	-42.44	48.14	298	b23r	
v50m	37.32	42.16	-29.08	51.21	325	b47r	
m00o	49.51	71.08	-9.19	71.67	353	b71r	
m50o	49.11	66.86	14.12	68.34	12	b88r	



Daten für jede Farbe:

lab^*tch^* und lab^*icu^*

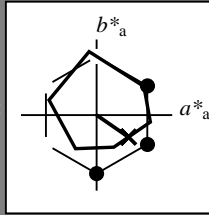
Bunntexte:

$u^*_d = v50m$ $u^*_e = b47r$

Kontrastreduzierungsfaktor:

$c_R = 0.96$

Dreiecks-Helligkeit t^*



ORS20_95a; adaptierte CIELAB-Daten						
u^*_d	$L^*=L^*_a$	a^*_a	b^*_a	$C^*_{ab,a}$	$h^*_{ab,a}$	
O _{Ma}	48.71	62.56	37.91	73.15	31	
Y _{Ma}	89.25	-9.92	83.91	84.49	97	
L _{Ma}	52.5	-62.91	19.95	66.0	162	
C _{Ma}	59.15	-27.87	-44.43	52.45	238	
V _{Ma}	29.13	22.73	-42.44	48.14	298	
M _{Ma}	49.51	71.08	-9.19	71.67	353	
N _{Ma}	20.0	0.0	0.0	0.0	0	
W _{Ma}	95.0	0.0	0.0	0.0	0	
O _{Ma}	39.92	58.74	27.99	65.07	25	
Y _{Ma}	81.26	-2.89	71.56	71.62	92	
L _{Ma}	52.23	-42.42	13.6	44.55	162	
V _{Ma}	30.57	1.41	-46.47	46.49	272	

Daten für Maximalfarbe (Ma):

$LAB^*LAB^*_{Ma}: 37\ 42\ -29$

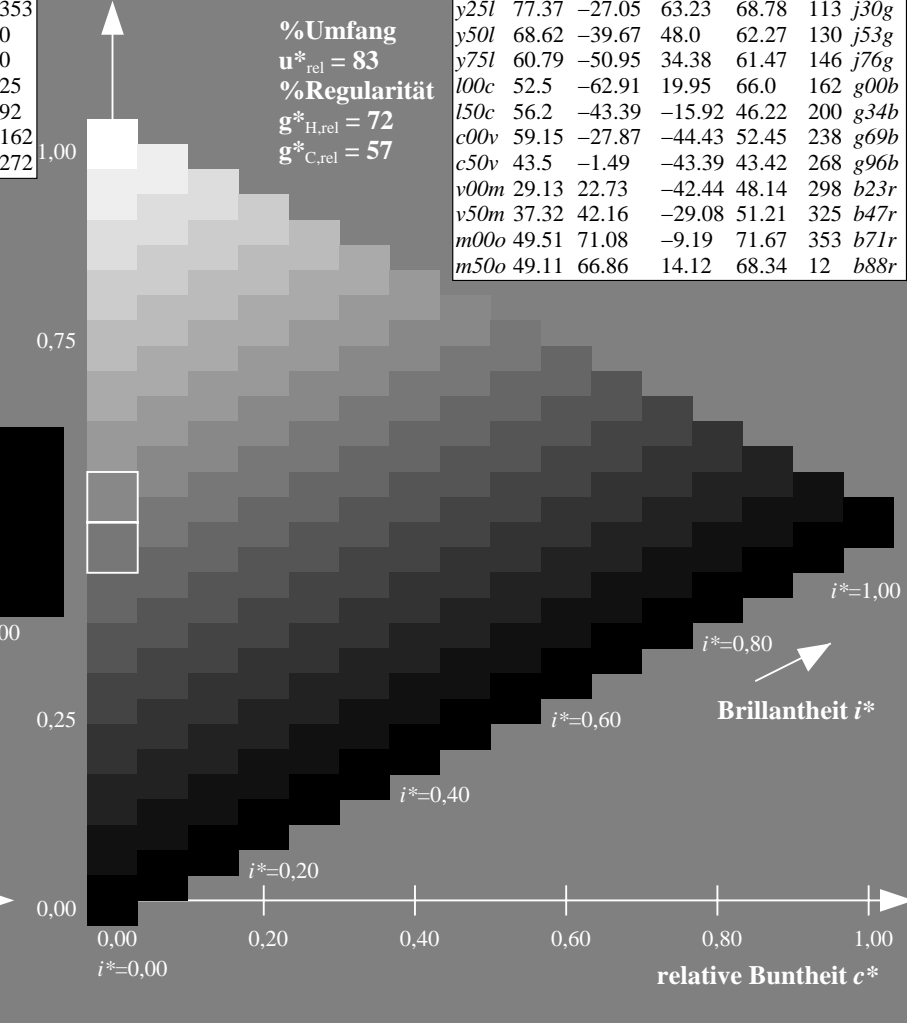
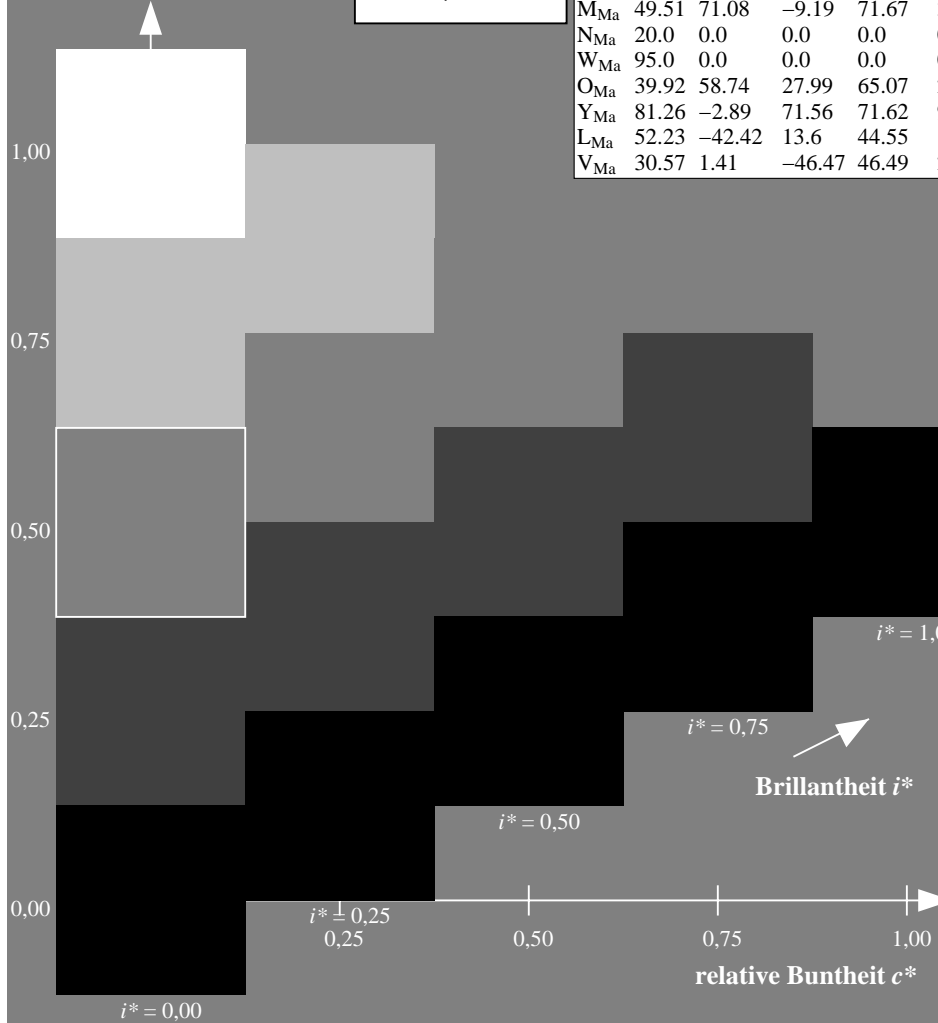
$LAB^*LCH^*_{Ma}: 37\ 51\ 325$

$lab^*olv^*_{Ma}: 0.5\ 0.0\ 1.0$

$lab^*rgb^*_{Ma}: 0.94\ 0.0\ 1.0$

Dreiecks-Helligkeit t^*

ORS20_95a; adaptierte CIELAB-Daten							
u^*_d	$L^*=L^*_a$	a^*_a	b^*_a	$C^*_{ab,a}$	$h^*_{ab,a}$	u^*_e	
o00y	48.71	62.56	37.91	73.15	31	r08j	
o25y	58.6	44.87	49.14	66.54	48	r33j	
o50y	67.52	28.93	59.25	65.94	64	r57j	
o75y	77.05	11.9	70.06	71.06	80	r81j	
y00l	89.25	-9.92	83.91	84.49	97	j06g	
y25l	77.37	-27.05	63.23	68.78	113	j30g	
y50l	68.62	-39.67	48.0	62.27	130	j53g	
y75l	60.79	-50.95	34.38	61.47	146	j76g	
l00c	52.5	-62.91	19.95	66.0	162	g00b	
l50c	56.2	-43.39	-15.92	46.22	200	g34b	
c00v	59.15	-27.87	-44.43	52.45	238	g69b	
c50v	43.5	-1.49	-43.39	43.42	268	g96b	
v00m	29.13	22.73	-42.44	48.14	298	b23r	
v50m	37.32	42.16	-29.08	51.21	325	b47r	
m00o	49.51	71.08	-9.19	71.67	353	b71r	
m50o	49.11	66.86	14.12	68.34	12	b88r	



Daten für jede Farbe:

lab^*tch^* und lab^*icu^*

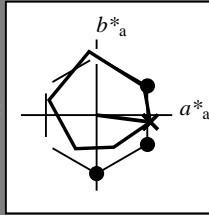
Buntontexte:

$u^*_d = m00o$ $u^*_e = b71r$

Kontrastreduzierungsfaktor:

$c_R = 0.96$

Dreiecks-Helligkeit t^*



ORS20_95a; adaptierte CIELAB-Daten						
u^*_d	$L^*=L^*_a$	a^*_a	b^*_a	$C^*_{ab,a}$	$h^*_{ab,a}$	
O _{Ma}	48.71	62.56	37.91	73.15	31	
Y _{Ma}	89.25	-9.92	83.91	84.49	97	
L _{Ma}	52.5	-62.91	19.95	66.0	162	
C _{Ma}	59.15	-27.87	-44.43	52.45	238	
V _{Ma}	29.13	22.73	-42.44	48.14	298	
M _{Ma}	49.51	71.08	-9.19	71.67	353	
N _{Ma}	20.0	0.0	0.0	0.0	0	
W _{Ma}	95.0	0.0	0.0	0.0	0	
O _{Ma}	39.92	58.74	27.99	65.07	25	
Y _{Ma}	81.26	-2.89	71.56	71.62	92	
L _{Ma}	52.23	-42.42	13.6	44.55	162	
V _{Ma}	30.57	1.41	-46.47	46.49	272	

Daten für Maximalfarbe (Ma):

$LAB^*LAB^*_{Ma}: 50\ 71\ -9$

$LAB^*LCH^*_{Ma}: 50\ 72\ 352$

$lab^*olv^*_{Ma}: 1.0\ 0.0\ 1.0$

$lab^*rgb^*_{Ma}: 1.0\ 0.0\ 0.58$

Dreiecks-Helligkeit t^*

%Umfang

$u^*_{rel} = 83$

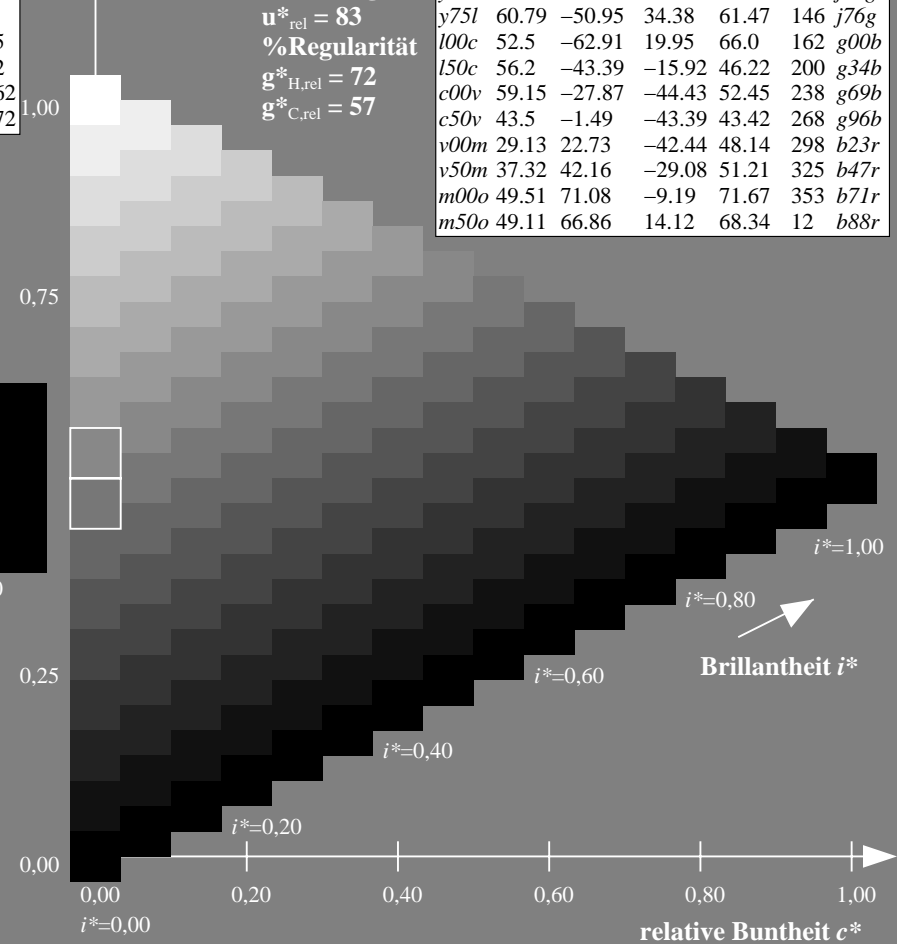
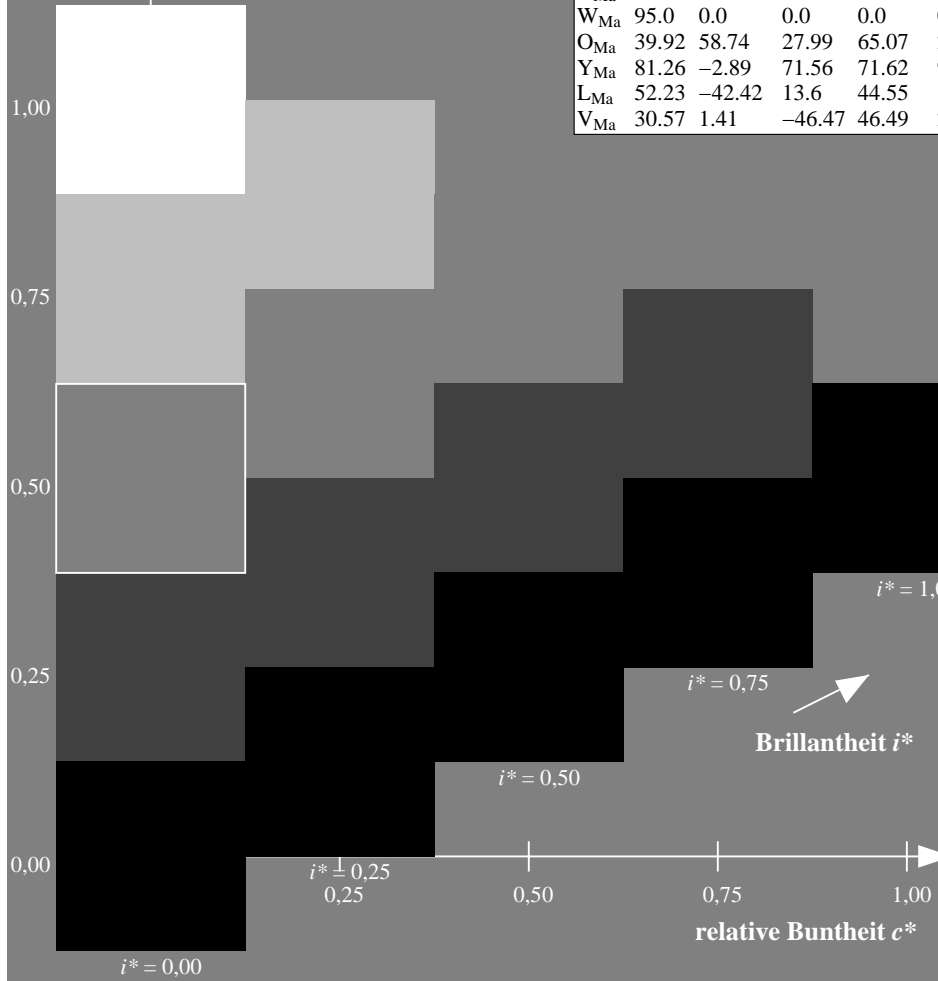
%Regularität

$g^*_{H,rel} = 72$

$g^*_{C,rel} = 57$

ORS20_95a; adaptierte CIELAB-Daten

u^*_d	$L^*=L^*_a$	a^*_a	b^*_a	$C^*_{ab,a}$	$h^*_{ab,a}$	u^*_e
o00y	48.71	62.56	37.91	73.15	31	r08j
o25y	58.6	44.87	49.14	66.54	48	r33j
o50y	67.52	28.93	59.25	65.94	64	r57j
o75y	77.05	11.9	70.06	71.06	80	r81j
y00l	89.25	-9.92	83.91	84.49	97	j06g
y25l	77.37	-27.05	63.23	68.78	113	j30g
y50l	68.62	-39.67	48.0	62.27	130	j53g
y75l	60.79	-50.95	34.38	61.47	146	j76g
l00c	52.5	-62.91	19.95	66.0	162	g00b
l50c	56.2	-43.39	-15.92	46.22	200	g34b
c00v	59.15	-27.87	-44.43	52.45	238	g69b
c50v	43.5	-1.49	-43.39	43.42	268	g96b
v00m	29.13	22.73	-42.44	48.14	298	b23r
v50m	37.32	42.16	-29.08	51.21	325	b47r
m00o	49.51	71.08	-9.19	71.67	353	b71r
m50o	49.11	66.86	14.12	68.34	12	b88r



Daten für jede Farbe:

lab^*tch^* und lab^*icu^*

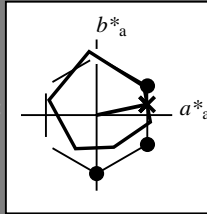
Buntontexte:

$u^*_d = m50o$ $u^*_e = b88r$

Kontrastreduzierungsfaktor:

$c_R = 0.96$

Dreiecks-Helligkeit t^*



ORS20_95a; adaptierte CIELAB-Daten						
u^*_d	$L^*=L^*_a$	a^*_a	b^*_a	$C^*_{ab,a}$	$h^*_{ab,a}$	
O _{Ma}	48.71	62.56	37.91	73.15	31	
Y _{Ma}	89.25	-9.92	83.91	84.49	97	
L _{Ma}	52.5	-62.91	19.95	66.0	162	
C _{Ma}	59.15	-27.87	-44.43	52.45	238	
V _{Ma}	29.13	22.73	-42.44	48.14	298	
M _{Ma}	49.51	71.08	-9.19	71.67	353	
N _{Ma}	20.0	0.0	0.0	0.0	0	
W _{Ma}	95.0	0.0	0.0	0.0	0	
O _{Ma}	39.92	58.74	27.99	65.07	25	
Y _{Ma}	81.26	-2.89	71.56	71.62	92	
L _{Ma}	52.23	-42.42	13.6	44.55	162	
V _{Ma}	30.57	1.41	-46.47	46.49	272	

Daten für Maximalfarbe (Ma):

$LAB^*LAB^*_{Ma}$: 49 67 14

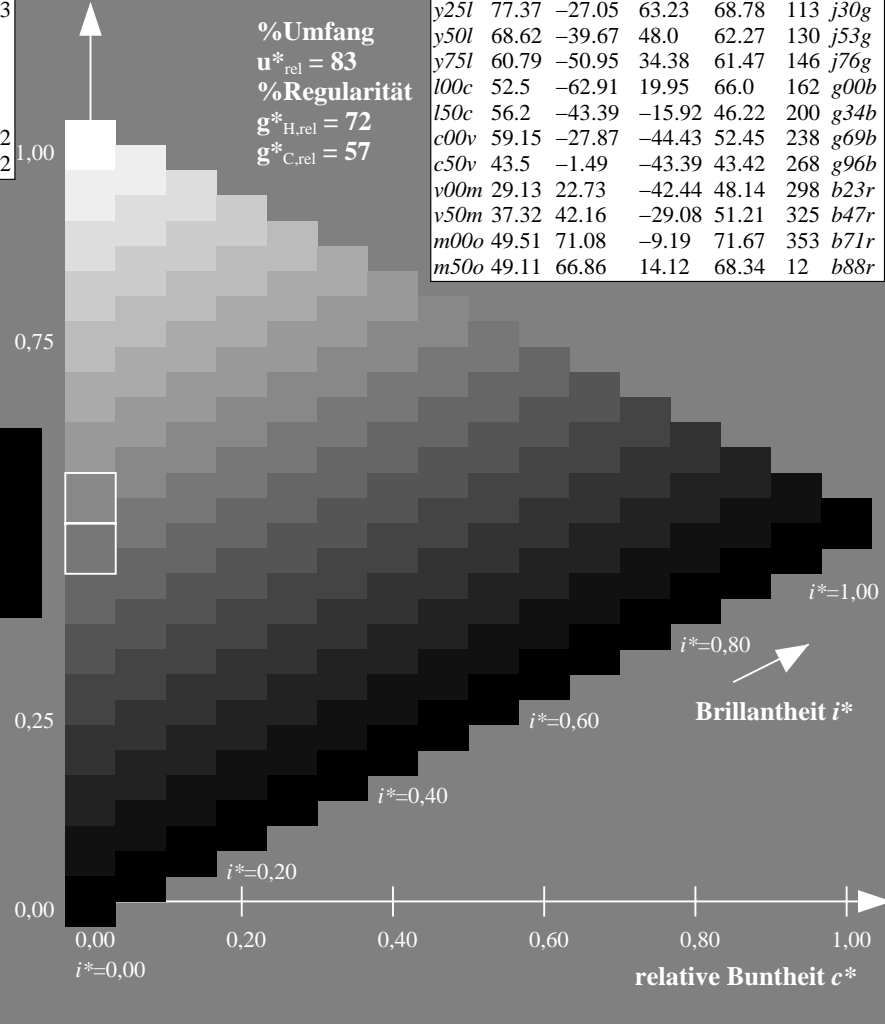
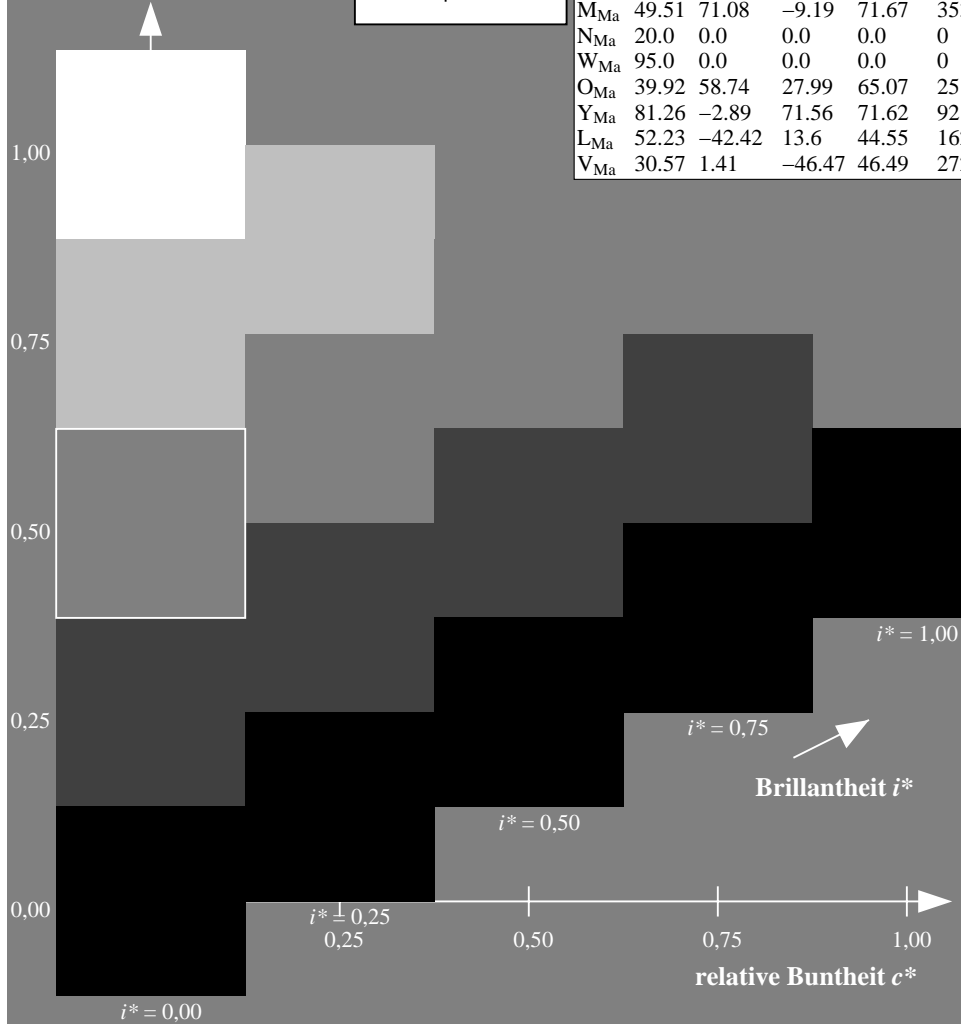
$LAB^*LCH^*_{Ma}$: 49 68 11

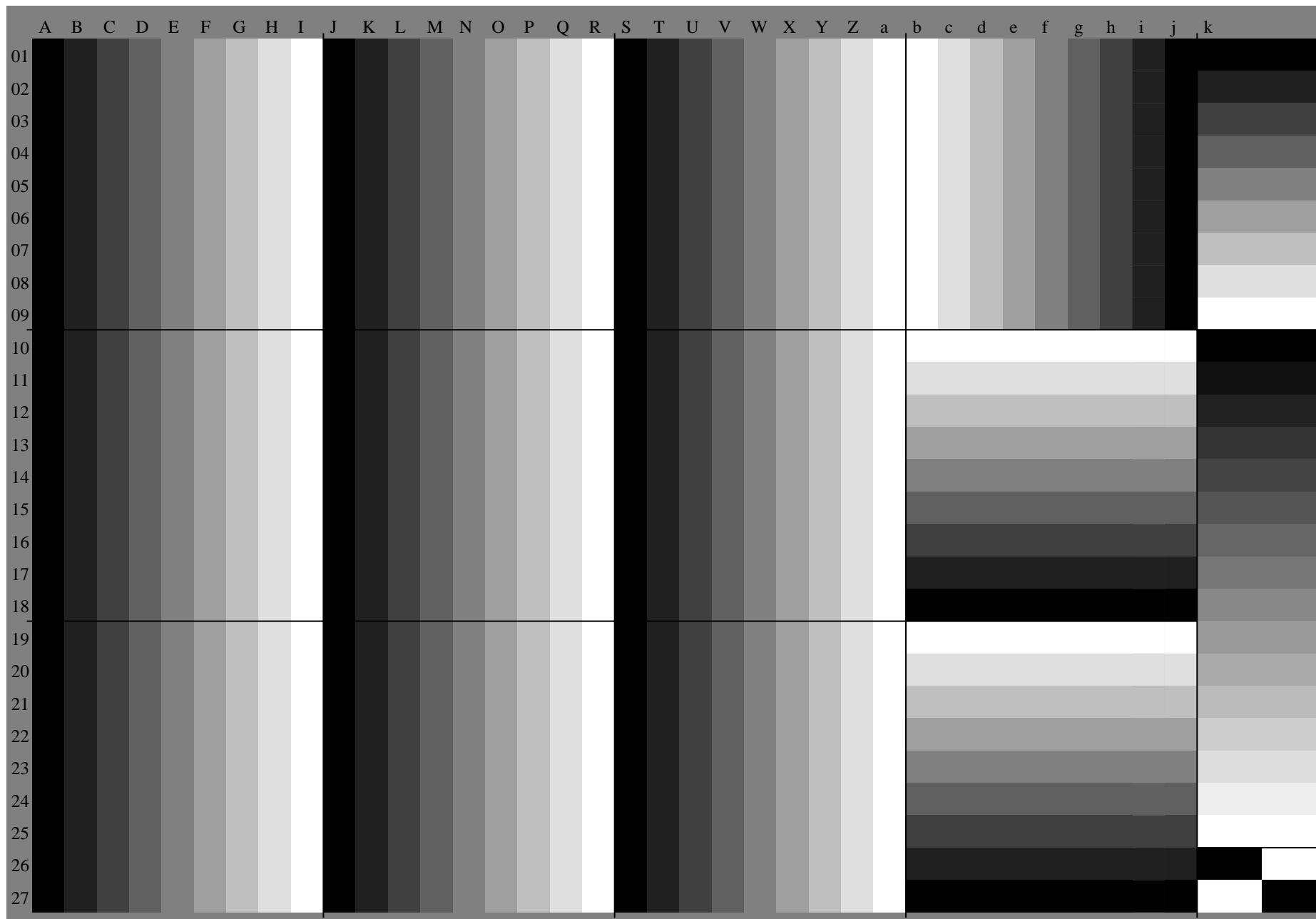
$lab^*olv^*_{Ma}$: 1.0 0.0 0.5

$lab^*rgb^*_{Ma}$: 1.0 0.0 0.24

Dreiecks-Helligkeit t^*

ORS20_95a; adaptierte CIELAB-Daten							
u^*_d	$L^*=L^*_a$	a^*_a	b^*_a	$C^*_{ab,a}$	$h^*_{ab,a}$	u^*_e	
o00y	48.71	62.56	37.91	73.15	31	r08j	
o25y	58.6	44.87	49.14	66.54	48	r33j	
o50y	67.52	28.93	59.25	65.94	64	r57j	
o75y	77.05	11.9	70.06	71.06	80	r81j	
y00l	89.25	-9.92	83.91	84.49	97	j06g	
y25l	77.37	-27.05	63.23	68.78	113	j30g	
y50l	68.62	-39.67	48.0	62.27	130	j53g	
y75l	60.79	-50.95	34.38	61.47	146	j76g	
l00c	52.5	-62.91	19.95	66.0	162	g00b	
l50c	56.2	-43.39	-15.92	46.22	200	g34b	
c00v	59.15	-27.87	-44.43	52.45	238	g69b	
c50v	43.5	-1.49	-43.39	43.42	268	g96b	
v00m	29.13	22.73	-42.44	48.14	298	b23r	
v50m	37.32	42.16	-29.08	51.21	325	b47r	
m00o	49.51	71.08	-9.19	71.67	353	b71r	
m50o	49.11	66.86	14.12	68.34	12	b88r	





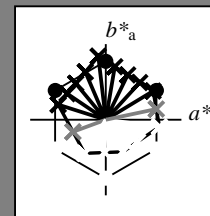
Ein und Ausgabe:
 Farbmétrisches Drucker-Reflektiv-System ORS20_95a

Daten für jede Farbe:
 u^*_d und Nummer *Nr.* = 00 .. 15

Geräte-Bunttextext:
 $u^*_d = 16$ Bunttoene *o00y, o25y, ..., m50o*

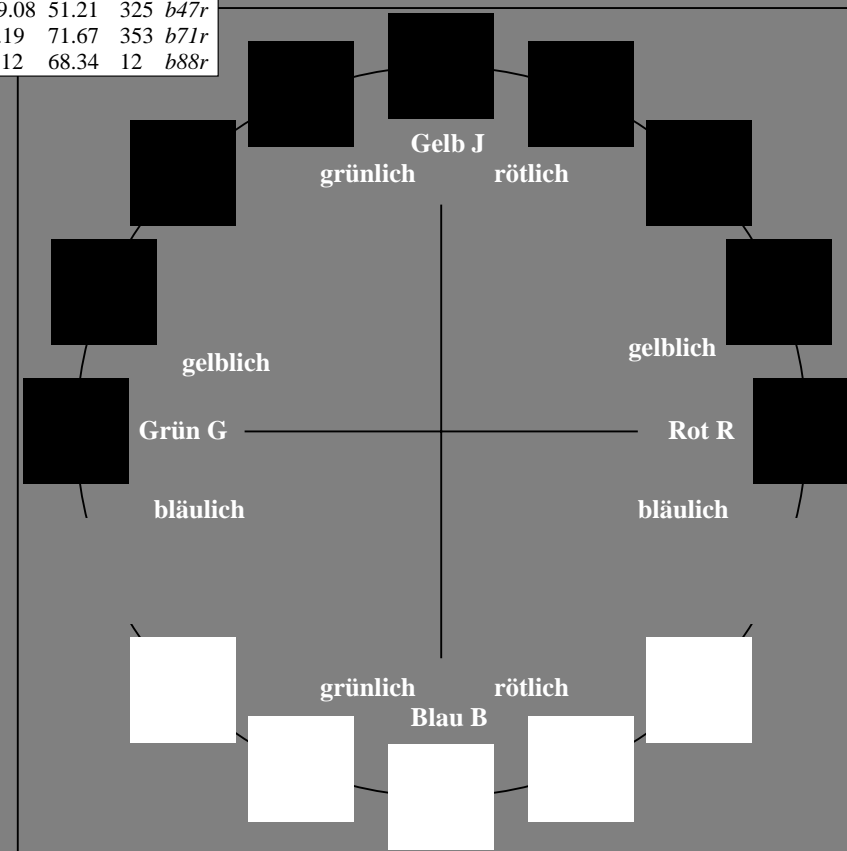
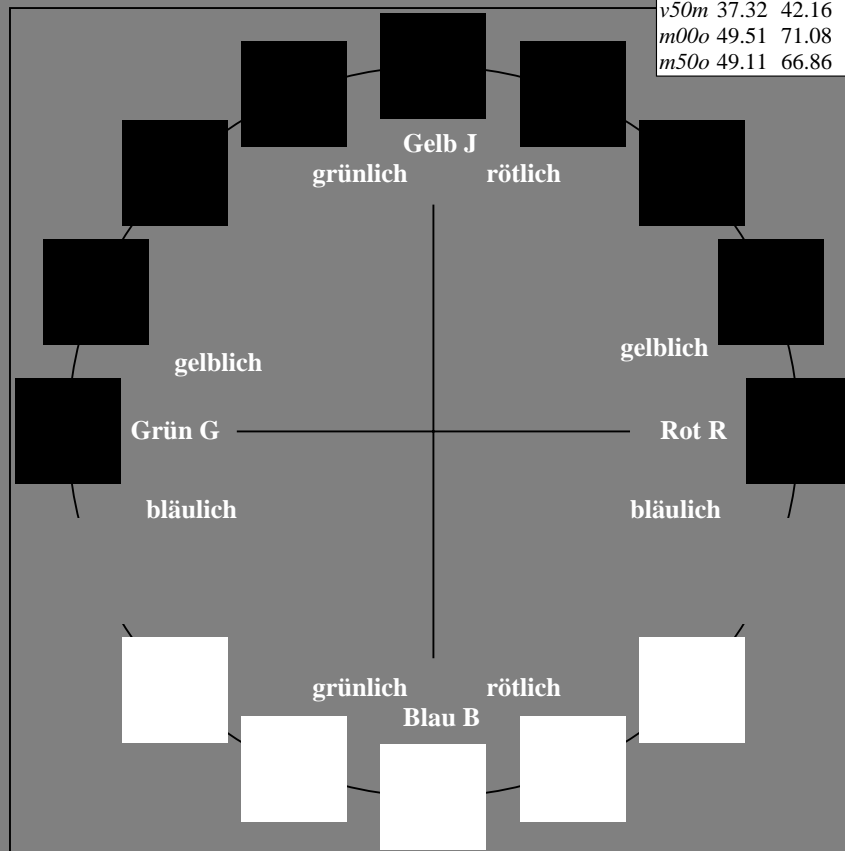
Kontrastreduzierungsfaktor:
 $c_R = 0.96$

ORS20_95a; adaptierte CIELAB-Daten						
u^*_d	$L^*=L^*_a$	a^*_a	b^*_a	$C^*_{ab,a}$	$h^*_{ab,a}$	u^*_e
<i>o00y</i>	48.71	62.56	37.91	73.15	31	<i>r08j</i>
<i>o25y</i>	58.6	44.87	49.14	66.54	48	<i>r33j</i>
<i>o50y</i>	67.52	28.93	59.25	65.94	64	<i>r57j</i>
<i>o75y</i>	77.05	11.9	70.06	71.06	80	<i>r81j</i>
<i>y00l</i>	89.25	-9.92	83.91	84.49	97	<i>j06g</i>
<i>y25l</i>	77.37	-27.05	63.23	68.78	113	<i>j30g</i>
<i>y50l</i>	68.62	-39.67	48.0	62.27	130	<i>j53g</i>
<i>y75l</i>	60.79	-50.95	34.38	61.47	146	<i>j76g</i>
<i>l00c</i>	52.5	-62.91	19.95	66.0	162	<i>g00b</i>
<i>l50c</i>	56.2	-43.39	-15.92	46.22	200	<i>g34b</i>
<i>c00v</i>	59.15	-27.87	-44.43	52.45	238	<i>g69b</i>
<i>c50v</i>	43.5	-1.49	-43.39	43.42	268	<i>g96b</i>
<i>v00m</i>	29.13	22.73	-42.44	48.14	298	<i>b23r</i>
<i>v50m</i>	37.32	42.16	-29.08	51.21	325	<i>b47r</i>
<i>m00o</i>	49.51	71.08	-9.19	71.67	353	<i>b71r</i>
<i>m50o</i>	49.11	66.86	14.12	68.34	12	<i>b88r</i>



%Umfang
 $u^*_{rel} = 83$
 %Regularität
 $g^*_{H,rel} = 72$
 $g^*_{C,rel} = 57$

ORS20_95a; adaptierte CIELAB-Daten					
Name	$L^*=L^*_a$	a^*_a	b^*_a	$C^*_{ab,a}$	$h^*_{ab,a}$
O _{Ma}	48.71	62.56	37.91	73.15	31
Y _{Ma}	89.25	-9.92	83.91	84.49	97
L _{Ma}	52.5	-62.91	19.95	66.0	162
C _{Ma}	59.15	-27.87	-44.43	52.45	238
V _{Ma}	29.13	22.73	-42.44	48.14	298
M _{Ma}	49.51	71.08	-9.19	71.67	353
N _{Ma}	20.0	0.0	0.0	0.0	0
W _{Ma}	95.0	0.0	0.0	0.0	0
O _{CIE}	39.92	58.74	27.99	65.07	25
Y _{CIE}	81.26	-2.89	71.56	71.62	92
L _{CIE}	52.23	-42.42	13.6	44.55	162
V _{CIE}	30.57	1.41	-46.47	46.49	272



Daten für jede Farbe:

lab^*tch^* und lab^*icu^*

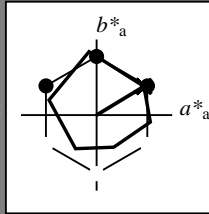
Buntontexte:

$u^*_d = o00y$ $u^*_e = r08j$

Kontrastreduzierungsfaktor:

$c_R = 0.96$

Dreiecks-Helligkeit t^*



ORS20_95a; adaptierte CIELAB-Daten						
u^*_d	$L^*=L^*_a$	a^*_a	b^*_a	$C^*_{ab,a}$	$h^*_{ab,a}$	
O _{Ma}	48.71	62.56	37.91	73.15	31	
Y _{Ma}	89.25	-9.92	83.91	84.49	97	
L _{Ma}	52.5	-62.91	19.95	66.0	162	
C _{Ma}	59.15	-27.87	-44.43	52.45	238	
V _{Ma}	29.13	22.73	-42.44	48.14	298	
M _{Ma}	49.51	71.08	-9.19	71.67	353	
N _{Ma}	20.0	0.0	0.0	0.0	0	
W _{Ma}	95.0	0.0	0.0	0.0	0	
O _{Ma}	39.92	58.74	27.99	65.07	25	
Y _{Ma}	81.26	-2.89	71.56	71.62	92	
L _{Ma}	52.23	-42.42	13.6	44.55	162	
V _{Ma}	30.57	1.41	-46.47	46.49	272	

Daten für Maximalfarbe (Ma):

$LAB^*LAB^*_{Ma}$: 49 63 38

$LAB^*LCH^*_{Ma}$: 49 73 31

$lab^*olv^*_{Ma}$: 1.0 0.0 0.0

$lab^*rgb^*_{Ma}$: 1.0 0.09 0.0

Dreiecks-Helligkeit t^*

%Umfang

$u^*_{rel} = 83$

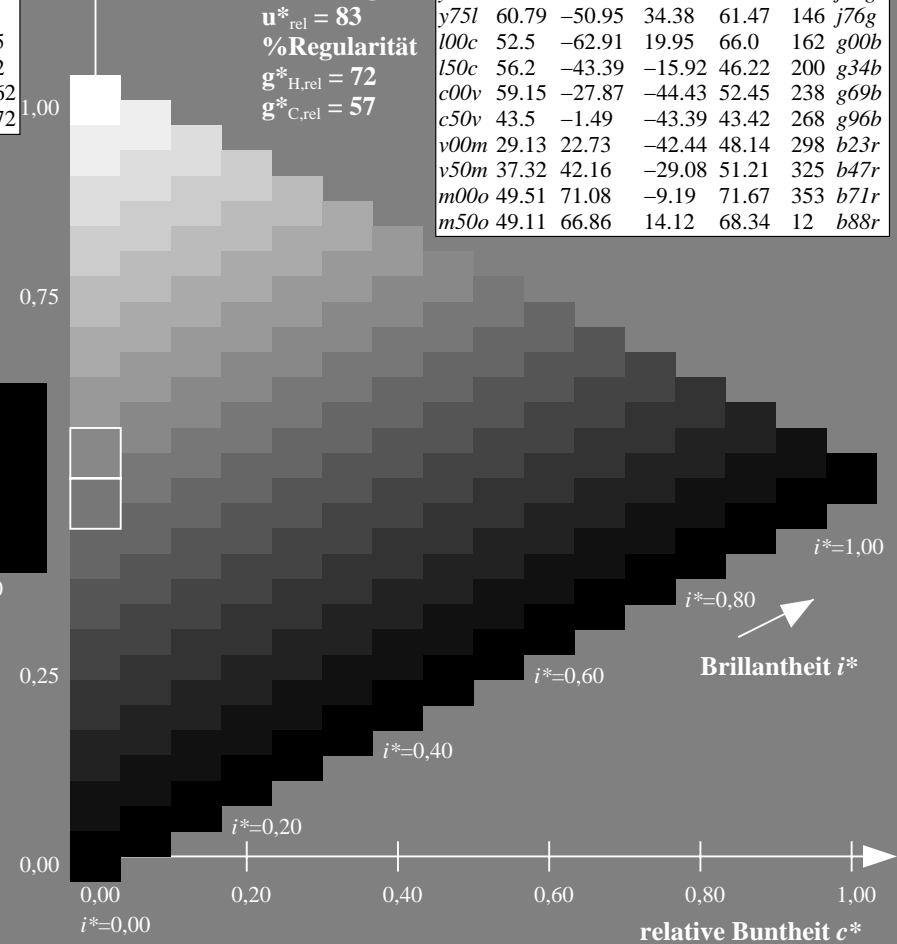
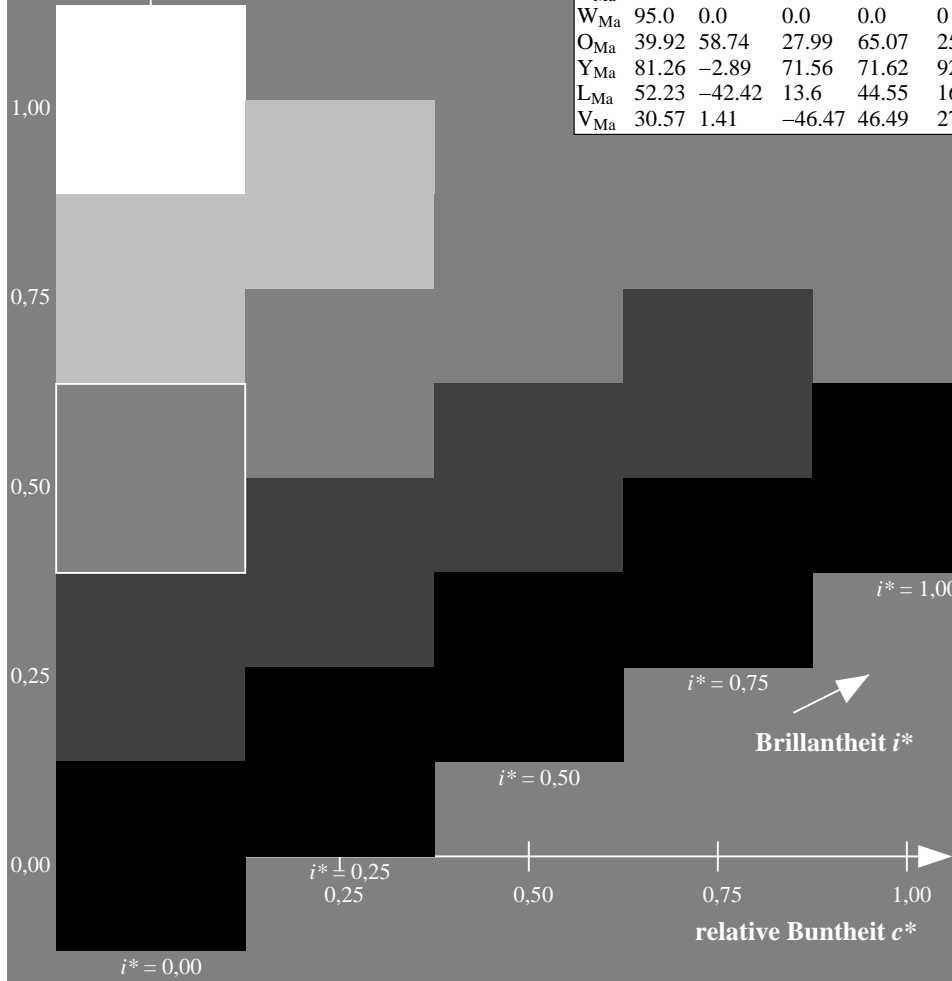
%Regularität

$g^*_{H,rel} = 72$

$g^*_{C,rel} = 57$

ORS20_95a; adaptierte CIELAB-Daten

u^*_d	$L^*=L^*_a$	a^*_a	b^*_a	$C^*_{ab,a}$	$h^*_{ab,a}$	u^*_e
<i>o00y</i>	48.71	62.56	37.91	73.15	31	<i>r08j</i>
<i>o25y</i>	58.6	44.87	49.14	66.54	48	<i>r33j</i>
<i>o50y</i>	67.52	28.93	59.25	65.94	64	<i>r57j</i>
<i>o75y</i>	77.05	11.9	70.06	71.06	80	<i>r81j</i>
<i>y00l</i>	89.25	-9.92	83.91	84.49	97	<i>j06g</i>
<i>y25l</i>	77.37	-27.05	63.23	68.78	113	<i>j30g</i>
<i>y50l</i>	68.62	-39.67	48.0	62.27	130	<i>j53g</i>
<i>y75l</i>	60.79	-50.95	34.38	61.47	146	<i>j76g</i>
<i>l00c</i>	52.5	-62.91	19.95	66.0	162	<i>g00b</i>
<i>l50c</i>	56.2	-43.39	-15.92	46.22	200	<i>g34b</i>
<i>c00v</i>	59.15	-27.87	-44.43	52.45	238	<i>g69b</i>
<i>c50v</i>	43.5	-1.49	-43.39	43.42	268	<i>g96b</i>
<i>v00m</i>	29.13	22.73	-42.44	48.14	298	<i>b23r</i>
<i>v50m</i>	37.32	42.16	-29.08	51.21	325	<i>b47r</i>
<i>m00o</i>	49.51	71.08	-9.19	71.67	353	<i>b71r</i>
<i>m50o</i>	49.11	66.86	14.12	68.34	12	<i>b88r</i>



Daten für jede Farbe:

lab^*tch^* und lab^*icu^*

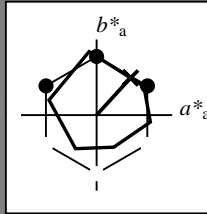
Bunntexte:

$u^*_d = o25y$ $u^*_e = r33j$

Kontrastreduzierungsfaktor:

$c_R = 0.96$

Dreiecks-Helligkeit t^*



ORS20_95a; adaptierte CIELAB-Daten						
u^*_d	$L^*=L^*_a$	a^*_a	b^*_a	$C^*_{ab,a}$	$h^*_{ab,a}$	
O _{Ma}	48.71	62.56	37.91	73.15	31	
Y _{Ma}	89.25	-9.92	83.91	84.49	97	
L _{Ma}	52.5	-62.91	19.95	66.0	162	
C _{Ma}	59.15	-27.87	-44.43	52.45	238	
V _{Ma}	29.13	22.73	-42.44	48.14	298	
M _{Ma}	49.51	71.08	-9.19	71.67	353	
N _{Ma}	20.0	0.0	0.0	0.0	0	
W _{Ma}	95.0	0.0	0.0	0.0	0	
O _{Ma}	39.92	58.74	27.99	65.07	25	
Y _{Ma}	81.26	-2.89	71.56	71.62	92	
L _{Ma}	52.23	-42.42	13.6	44.55	162	
V _{Ma}	30.57	1.41	-46.47	46.49	272	

Daten für Maximalfarbe (Ma):

$LAB^*LAB^*_{Ma}$: 59 45 49

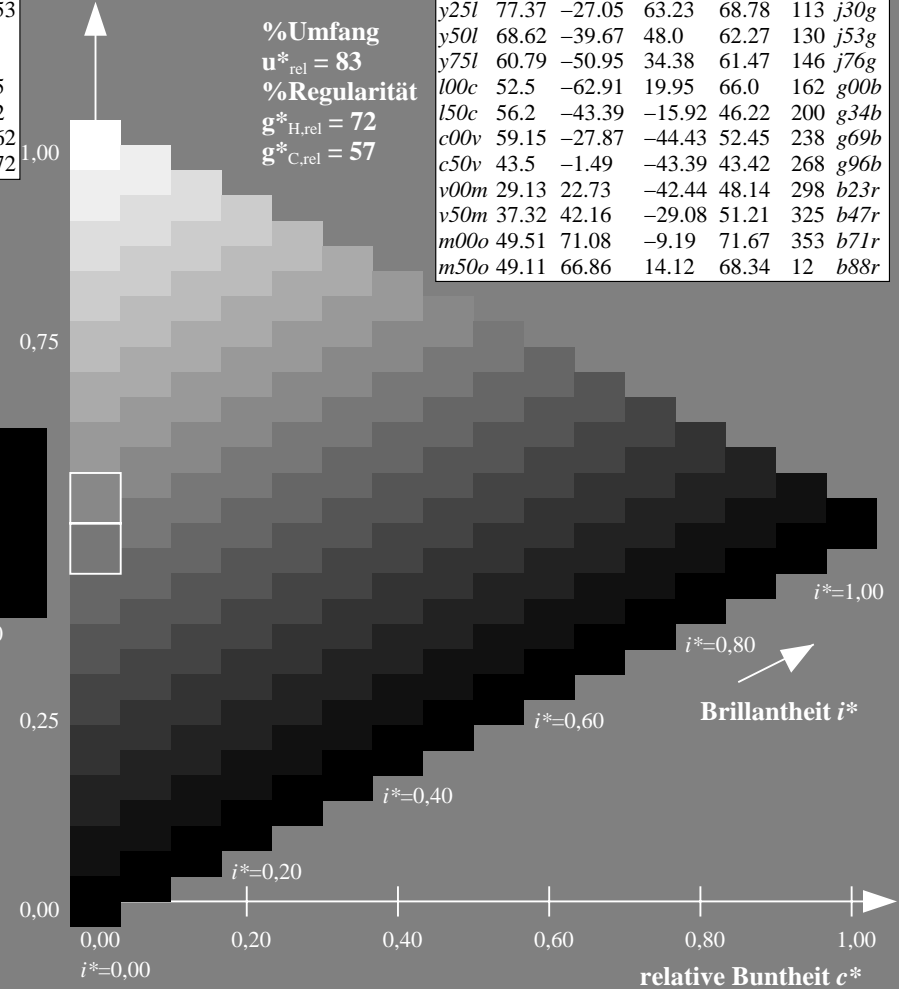
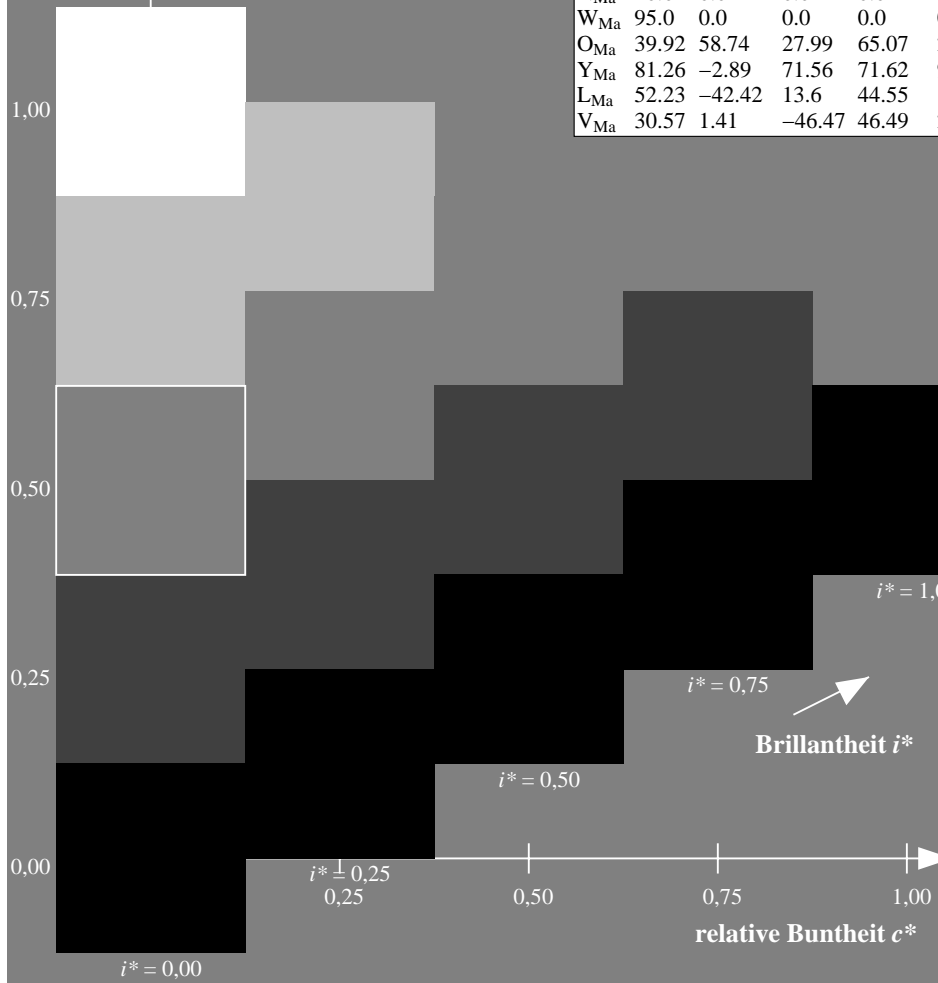
$LAB^*LCH^*_{Ma}$: 59 67 47

$lab^*olv^*_{Ma}$: 1.0 0.25 0.0

$lab^*rgb^*_{Ma}$: 1.0 0.33 0.0

Dreiecks-Helligkeit t^*

ORS20_95a; adaptierte CIELAB-Daten							
u^*_d	$L^*=L^*_a$	a^*_a	b^*_a	$C^*_{ab,a}$	$h^*_{ab,a}$	u^*_e	
o00y	48.71	62.56	37.91	73.15	31	r08j	
o25y	58.6	44.87	49.14	66.54	48	r33j	
o50y	67.52	28.93	59.25	65.94	64	r57j	
o75y	77.05	11.9	70.06	71.06	80	r81j	
y00l	89.25	-9.92	83.91	84.49	97	j06g	
y25l	77.37	-27.05	63.23	68.78	113	j30g	
y50l	68.62	-39.67	48.0	62.27	130	j53g	
y75l	60.79	-50.95	34.38	61.47	146	j76g	
l00c	52.5	-62.91	19.95	66.0	162	g00b	
l50c	56.2	-43.39	-15.92	46.22	200	g34b	
c00v	59.15	-27.87	-44.43	52.45	238	g69b	
c50v	43.5	-1.49	-43.39	43.42	268	g96b	
v00m	29.13	22.73	-42.44	48.14	298	b23r	
v50m	37.32	42.16	-29.08	51.21	325	b47r	
m00o	49.51	71.08	-9.19	71.67	353	b71r	
m50o	49.11	66.86	14.12	68.34	12	b88r	



Daten für jede Farbe:

lab^*tch^* und lab^*icu^*

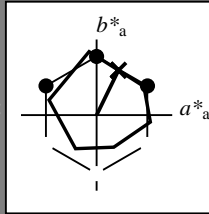
Bunntexte:

$u^*_d = o50y$ $u^*_e = r57j$

Kontrastreduzierungsfaktor:

$c_R = 0.96$

Dreiecks-Helligkeit t^*



ORS20_95a; adaptierte CIELAB-Daten						
u^*_d	$L^*=L^*_a$	a^*_a	b^*_a	$C^*_{ab,a}$	$h^*_{ab,a}$	
O _{Ma}	48.71	62.56	37.91	73.15	31	
Y _{Ma}	89.25	-9.92	83.91	84.49	97	
L _{Ma}	52.5	-62.91	19.95	66.0	162	
C _{Ma}	59.15	-27.87	-44.43	52.45	238	
V _{Ma}	29.13	22.73	-42.44	48.14	298	
M _{Ma}	49.51	71.08	-9.19	71.67	353	
N _{Ma}	20.0	0.0	0.0	0.0	0	
W _{Ma}	95.0	0.0	0.0	0.0	0	
O _{Ma}	39.92	58.74	27.99	65.07	25	
Y _{Ma}	81.26	-2.89	71.56	71.62	92	
L _{Ma}	52.23	-42.42	13.6	44.55	162	
V _{Ma}	30.57	1.41	-46.47	46.49	272	

Daten für Maximalfarbe (Ma):

$LAB^*LAB^*_{Ma}$: 68 29 59

$LAB^*LCH^*_{Ma}$: 68 66 63

$lab^*olv^*_{Ma}$: 1.0 0.5 0.0

$lab^*rgb^*_{Ma}$: 1.0 0.58 0.0

Dreiecks-Helligkeit t^*

%Umfang

$u^*_{rel} = 83$

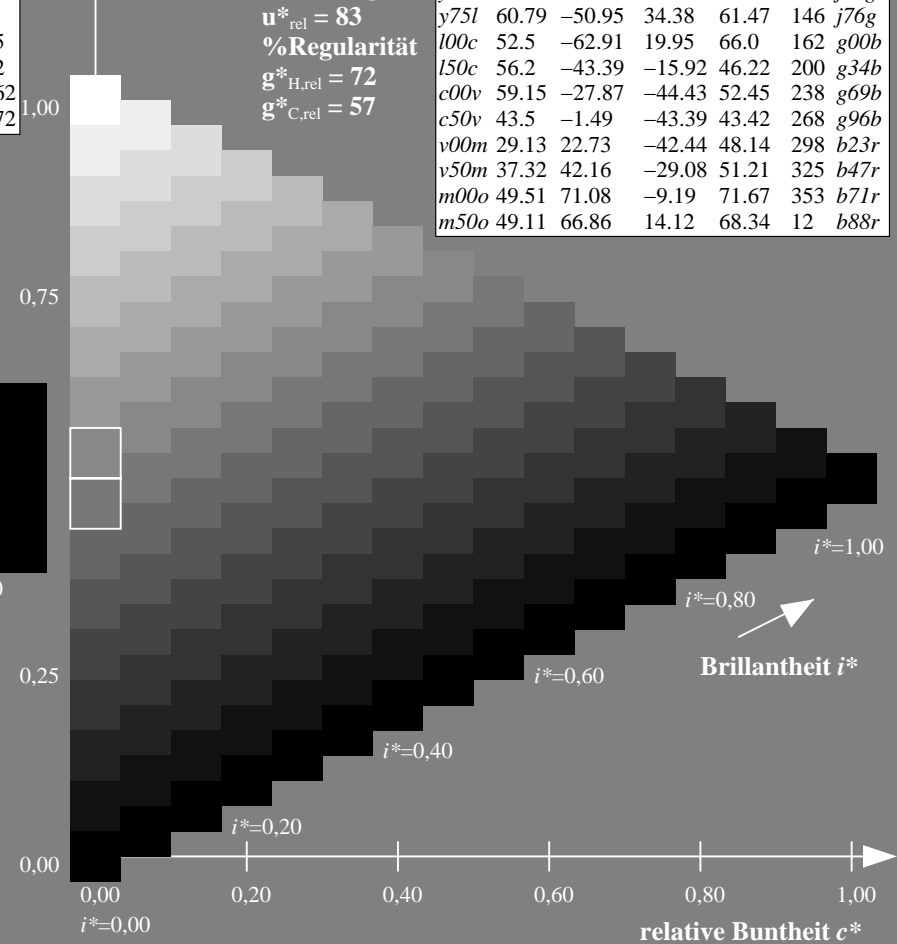
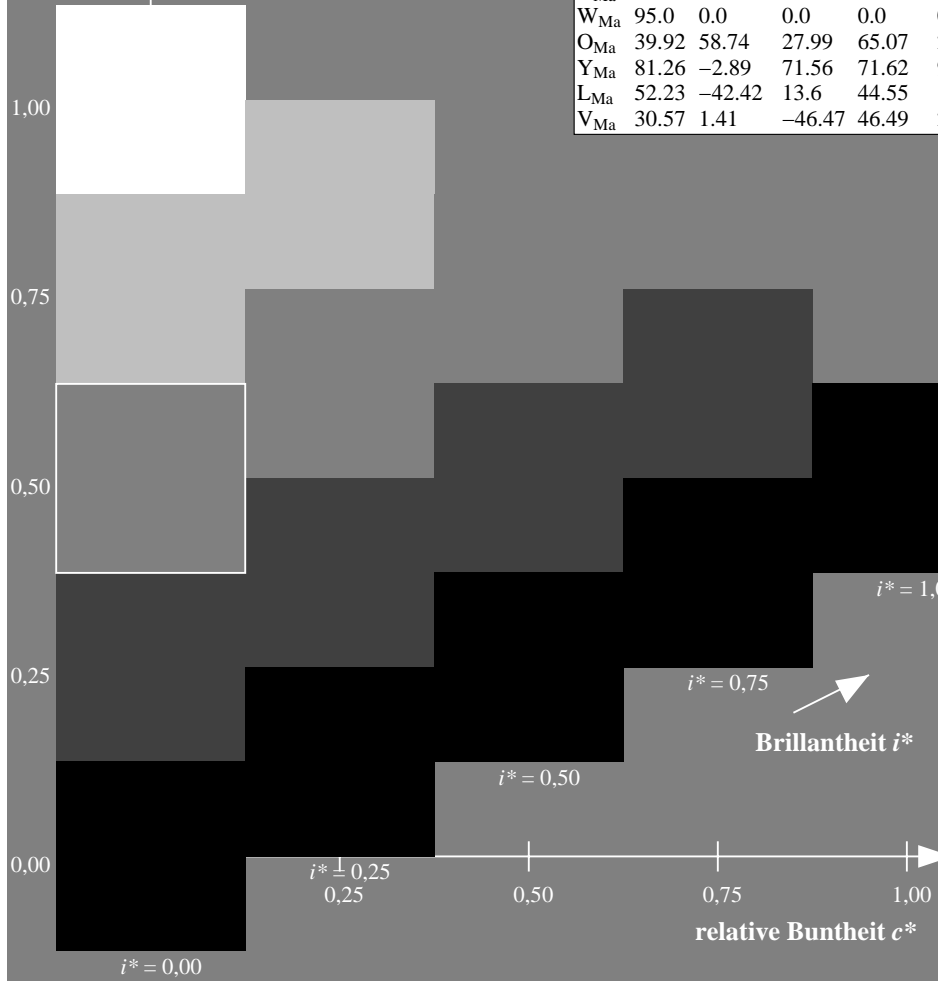
%Regularität

$g^*_{H,rel} = 72$

$g^*_{C,rel} = 57$

ORS20_95a; adaptierte CIELAB-Daten

u^*_d	$L^*=L^*_a$	a^*_a	b^*_a	$C^*_{ab,a}$	$h^*_{ab,a}$	u^*_e
<i>o00y</i>	48.71	62.56	37.91	73.15	31	<i>r08j</i>
<i>o25y</i>	58.6	44.87	49.14	66.54	48	<i>r33j</i>
<i>o50y</i>	67.52	28.93	59.25	65.94	64	<i>r57j</i>
<i>o75y</i>	77.05	11.9	70.06	71.06	80	<i>r81j</i>
<i>y00l</i>	89.25	-9.92	83.91	84.49	97	<i>j06g</i>
<i>y25l</i>	77.37	-27.05	63.23	68.78	113	<i>j30g</i>
<i>y50l</i>	68.62	-39.67	48.0	62.27	130	<i>j53g</i>
<i>y75l</i>	60.79	-50.95	34.38	61.47	146	<i>j76g</i>
<i>l00c</i>	52.5	-62.91	19.95	66.0	162	<i>g00b</i>
<i>l50c</i>	56.2	-43.39	-15.92	46.22	200	<i>g34b</i>
<i>c00v</i>	59.15	-27.87	-44.43	52.45	238	<i>g69b</i>
<i>c50v</i>	43.5	-1.49	-43.39	43.42	268	<i>g96b</i>
<i>v00m</i>	29.13	22.73	-42.44	48.14	298	<i>b23r</i>
<i>v50m</i>	37.32	42.16	-29.08	51.21	325	<i>b47r</i>
<i>m00o</i>	49.51	71.08	-9.19	71.67	353	<i>b71r</i>
<i>m50o</i>	49.11	66.86	14.12	68.34	12	<i>b88r</i>



Daten für jede Farbe:

lab^*tch^* und lab^*icu^*

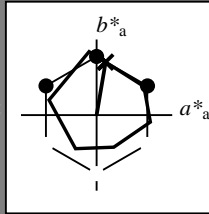
Bunntexte:

$u^*_d = o75y$ $u^*_e = r8lj$

Kontrastreduzierungsfaktor:

$c_R = 0.96$

Dreiecks-Helligkeit t^*



ORS20_95a; adaptierte CIELAB-Daten						
u^*_d	$L^*=L^*_a$	a^*_a	b^*_a	$C^*_{ab,a}$	$h^*_{ab,a}$	
O _{Ma}	48.71	62.56	37.91	73.15	31	
Y _{Ma}	89.25	-9.92	83.91	84.49	97	
L _{Ma}	52.5	-62.91	19.95	66.0	162	
C _{Ma}	59.15	-27.87	-44.43	52.45	238	
V _{Ma}	29.13	22.73	-42.44	48.14	298	
M _{Ma}	49.51	71.08	-9.19	71.67	353	
N _{Ma}	20.0	0.0	0.0	0.0	0	
W _{Ma}	95.0	0.0	0.0	0.0	0	
O _{Ma}	39.92	58.74	27.99	65.07	25	
Y _{Ma}	81.26	-2.89	71.56	71.62	92	
L _{Ma}	52.23	-42.42	13.6	44.55	162	
V _{Ma}	30.57	1.41	-46.47	46.49	272	

Daten für Maximalfarbe (Ma):

$LAB^*LAB^*_{Ma}$: 77 12 70

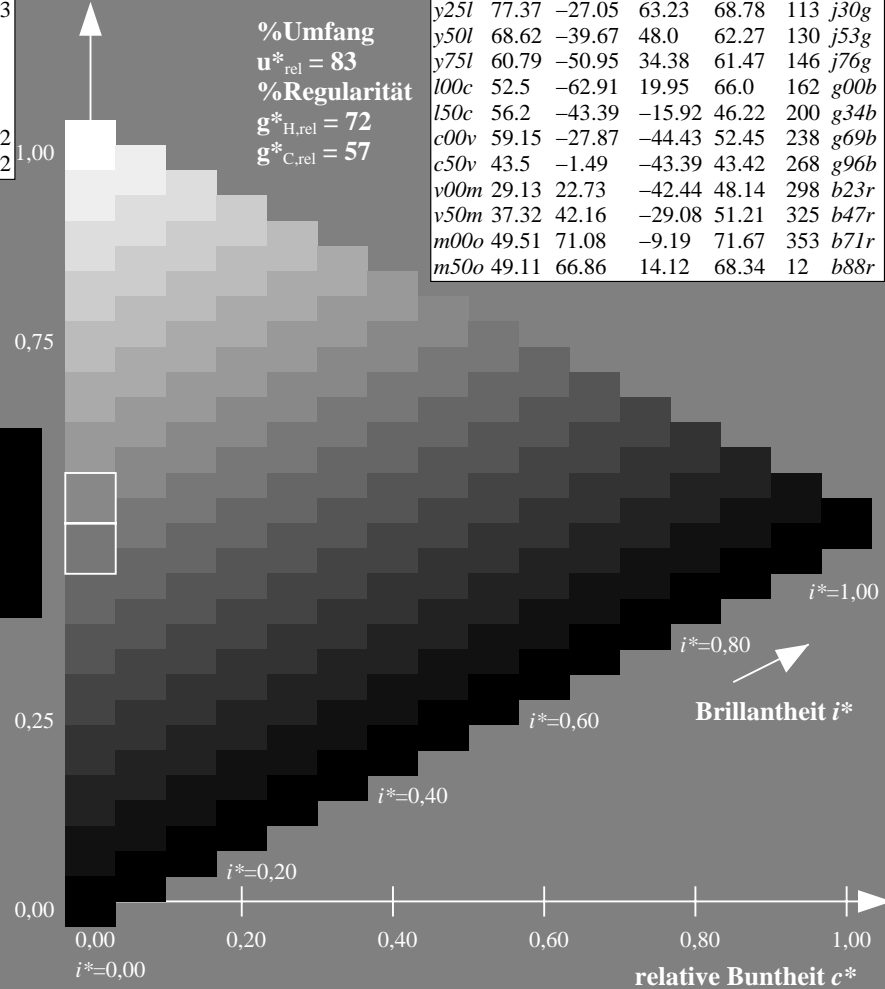
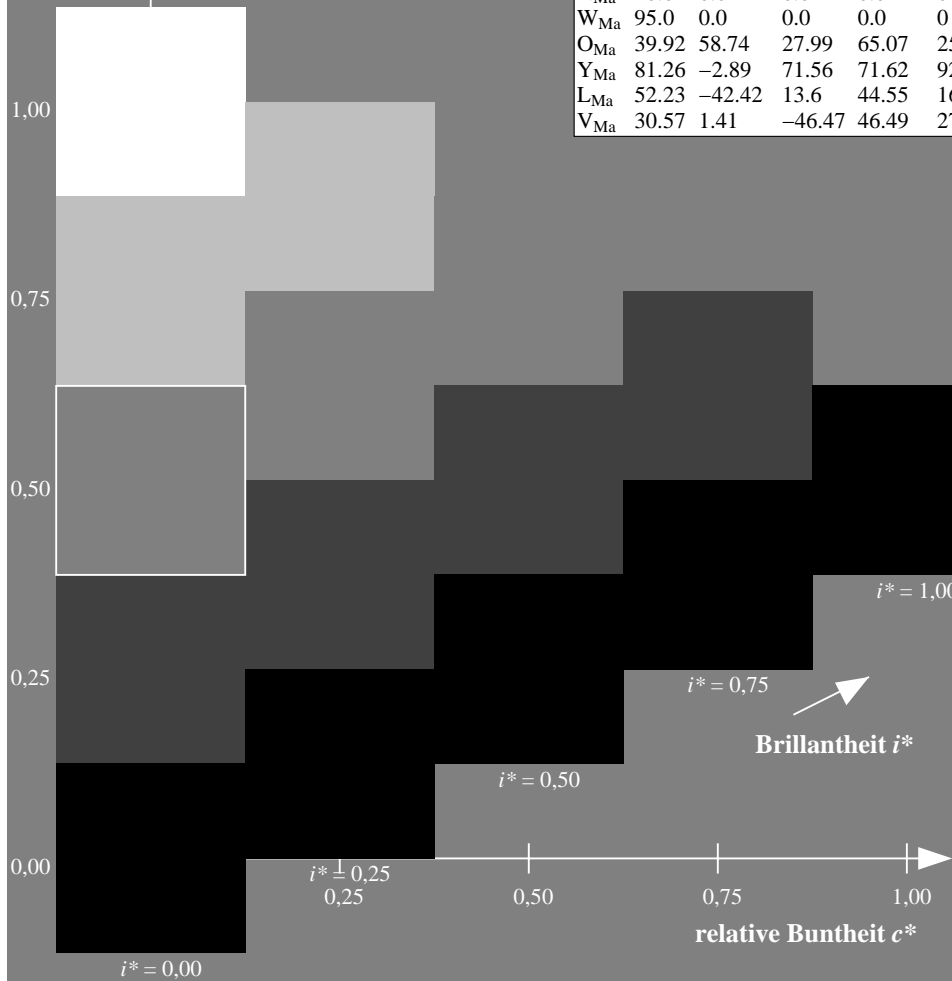
$LAB^*LCH^*_{Ma}$: 77 71 80

$lab^*olv^*_{Ma}$: 1.0 0.75 0.0

$lab^*rgb^*_{Ma}$: 1.0 0.82 0.0

Dreiecks-Helligkeit t^*

ORS20_95a; adaptierte CIELAB-Daten							
u^*_d	$L^*=L^*_a$	a^*_a	b^*_a	$C^*_{ab,a}$	$h^*_{ab,a}$	u^*_e	
o00y	48.71	62.56	37.91	73.15	31	r08j	
o25y	58.6	44.87	49.14	66.54	48	r33j	
o50y	67.52	28.93	59.25	65.94	64	r57j	
o75y	77.05	11.9	70.06	71.06	80	r8lj	
y00l	89.25	-9.92	83.91	84.49	97	j06g	
y25l	77.37	-27.05	63.23	68.78	113	j30g	
y50l	68.62	-39.67	48.0	62.27	130	j53g	
y75l	60.79	-50.95	34.38	61.47	146	j76g	
l00c	52.5	-62.91	19.95	66.0	162	g00b	
l50c	56.2	-43.39	-15.92	46.22	200	g34b	
c00v	59.15	-27.87	-44.43	52.45	238	g69b	
c50v	43.5	-1.49	-43.39	43.42	268	g96b	
v00m	29.13	22.73	-42.44	48.14	298	b23r	
v50m	37.32	42.16	-29.08	51.21	325	b47r	
m00o	49.51	71.08	-9.19	71.67	353	b71r	
m50o	49.11	66.86	14.12	68.34	12	b88r	



Daten für jede Farbe:

lab^*tch^* und lab^*icu^*

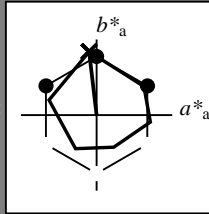
Bunntexte:

$u^*_d = y00l$ $u^*_e = j06g$

Kontrastreduzierungsfaktor:

$c_R = 0.96$

Dreiecks-Helligkeit t^*



ORS20_95a; adaptierte CIELAB-Daten						
u^*_d	$L^*=L^*_a$	a^*_a	b^*_a	$C^*_{ab,a}$	$h^*_{ab,a}$	
O _{Ma}	48.71	62.56	37.91	73.15	31	
Y _{Ma}	89.25	-9.92	83.91	84.49	97	
L _{Ma}	52.5	-62.91	19.95	66.0	162	
C _{Ma}	59.15	-27.87	-44.43	52.45	238	
V _{Ma}	29.13	22.73	-42.44	48.14	298	
M _{Ma}	49.51	71.08	-9.19	71.67	353	
N _{Ma}	20.0	0.0	0.0	0.0	0	
W _{Ma}	95.0	0.0	0.0	0.0	0	
O _{Ma}	39.92	58.74	27.99	65.07	25	
Y _{Ma}	81.26	-2.89	71.56	71.62	92	
L _{Ma}	52.23	-42.42	13.6	44.55	162	
V _{Ma}	30.57	1.41	-46.47	46.49	272	

Daten für Maximalfarbe (Ma):

$LAB^*LAB^*_{Ma}: 89 -10 84$

$LAB^*LCH^*_{Ma}: 89 84 96$

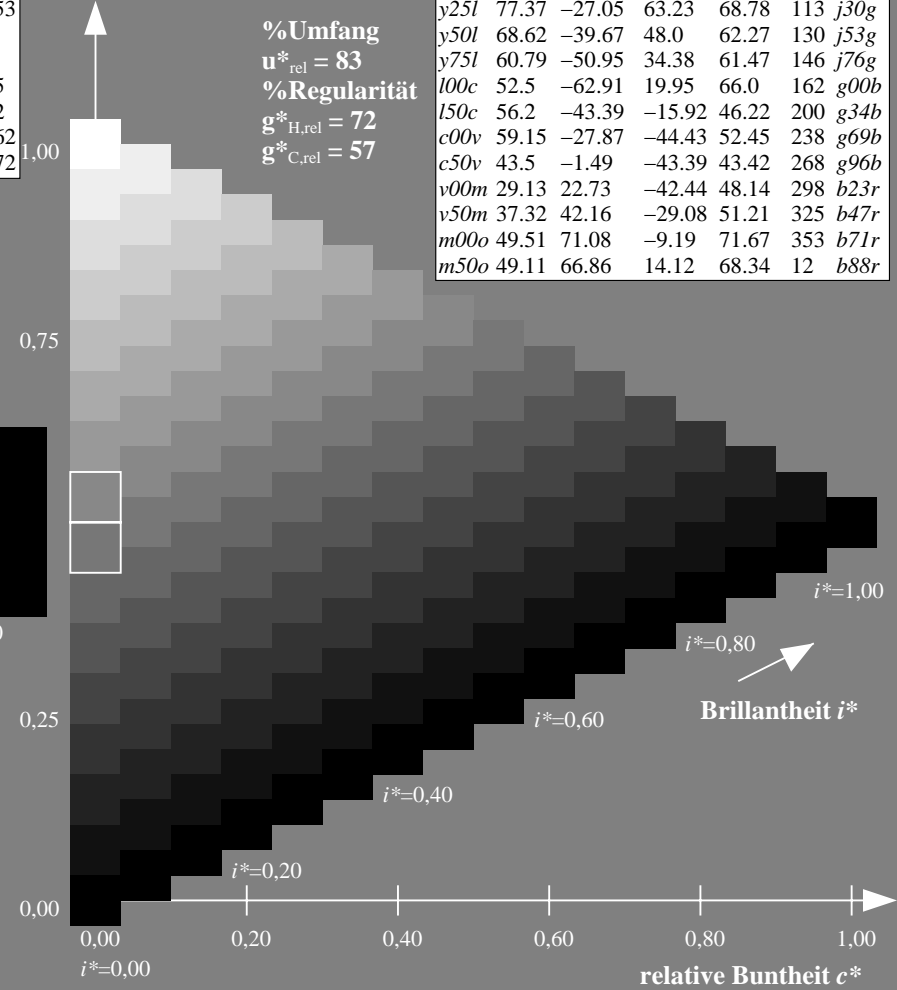
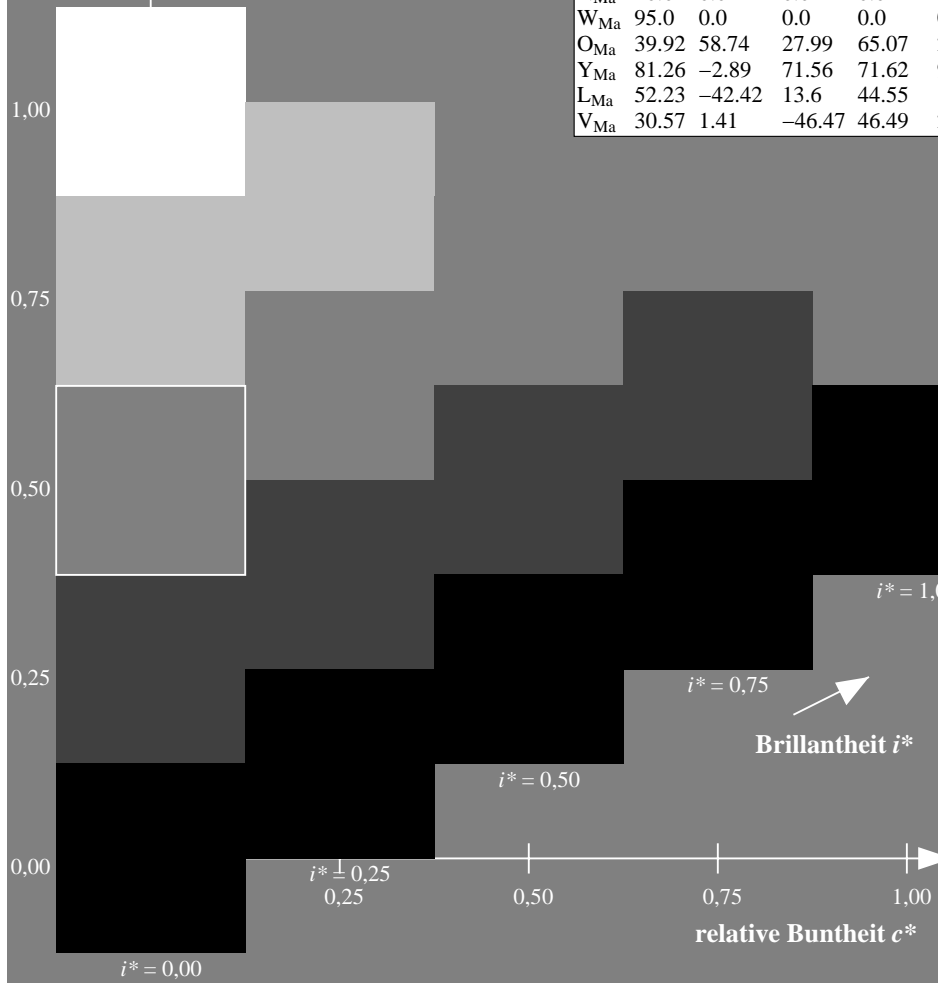
$lab^*olv^*_{Ma}: 1.0 1.0 0.0$

$lab^*rgb^*_{Ma}: 0.94 1.0 0.0$

Dreiecks-Helligkeit t^*

ORS20_95a; adaptierte CIELAB-Daten

u^*_d	$L^*=L^*_a$	a^*_a	b^*_a	$C^*_{ab,a}$	$h^*_{ab,a}$	u^*_e
o00y	48.71	62.56	37.91	73.15	31	r08j
o25y	58.6	44.87	49.14	66.54	48	r33j
o50y	67.52	28.93	59.25	65.94	64	r57j
o75y	77.05	11.9	70.06	71.06	80	r81j
y00l	89.25	-9.92	83.91	84.49	97	j06g
y25l	77.37	-27.05	63.23	68.78	113	j30g
y50l	68.62	-39.67	48.0	62.27	130	j53g
y75l	60.79	-50.95	34.38	61.47	146	j76g
l00c	52.5	-62.91	19.95	66.0	162	g00b
l50c	56.2	-43.39	-15.92	46.22	200	g34b
c00v	59.15	-27.87	-44.43	52.45	238	g69b
c50v	43.5	-1.49	-43.39	43.42	268	g96b
v00m	29.13	22.73	-42.44	48.14	298	b23r
v50m	37.32	42.16	-29.08	51.21	325	b47r
m00o	49.51	71.08	-9.19	71.67	353	b71r
m50o	49.11	66.86	14.12	68.34	12	b88r



%Umfang
 $u^*_{rel} = 83$
 %Regularität
 $g^*_{H,rel} = 72$
 $g^*_{C,rel} = 57$

Daten für jede Farbe:

lab^*tch^* und lab^*icu^*

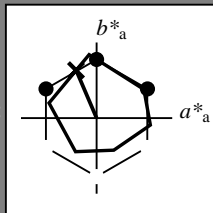
Bunntexte:

$u^*_d = y25l$ $u^*_e = j30g$

Kontrastreduzierungsfaktor:

$c_R = 0.96$

Dreiecks-Helligkeit t^*



ORS20_95a; adaptierte CIELAB-Daten						
u^*_d	$L^*=L^*_a$	a^*_a	b^*_a	$C^*_{ab,a}$	$h^*_{ab,a}$	
O _{Ma}	48.71	62.56	37.91	73.15	31	
Y _{Ma}	89.25	-9.92	83.91	84.49	97	
L _{Ma}	52.5	-62.91	19.95	66.0	162	
C _{Ma}	59.15	-27.87	-44.43	52.45	238	
V _{Ma}	29.13	22.73	-42.44	48.14	298	
M _{Ma}	49.51	71.08	-9.19	71.67	353	
N _{Ma}	20.0	0.0	0.0	0.0	0	
W _{Ma}	95.0	0.0	0.0	0.0	0	
O _{Ma}	39.92	58.74	27.99	65.07	25	
Y _{Ma}	81.26	-2.89	71.56	71.62	92	
L _{Ma}	52.23	-42.42	13.6	44.55	162	
V _{Ma}	30.57	1.41	-46.47	46.49	272	

Daten für Maximalfarbe (Ma):

$LAB^*LAB^*_{Ma}: 77 -27 63$

$LAB^*LCH^*_{Ma}: 77 69 113$

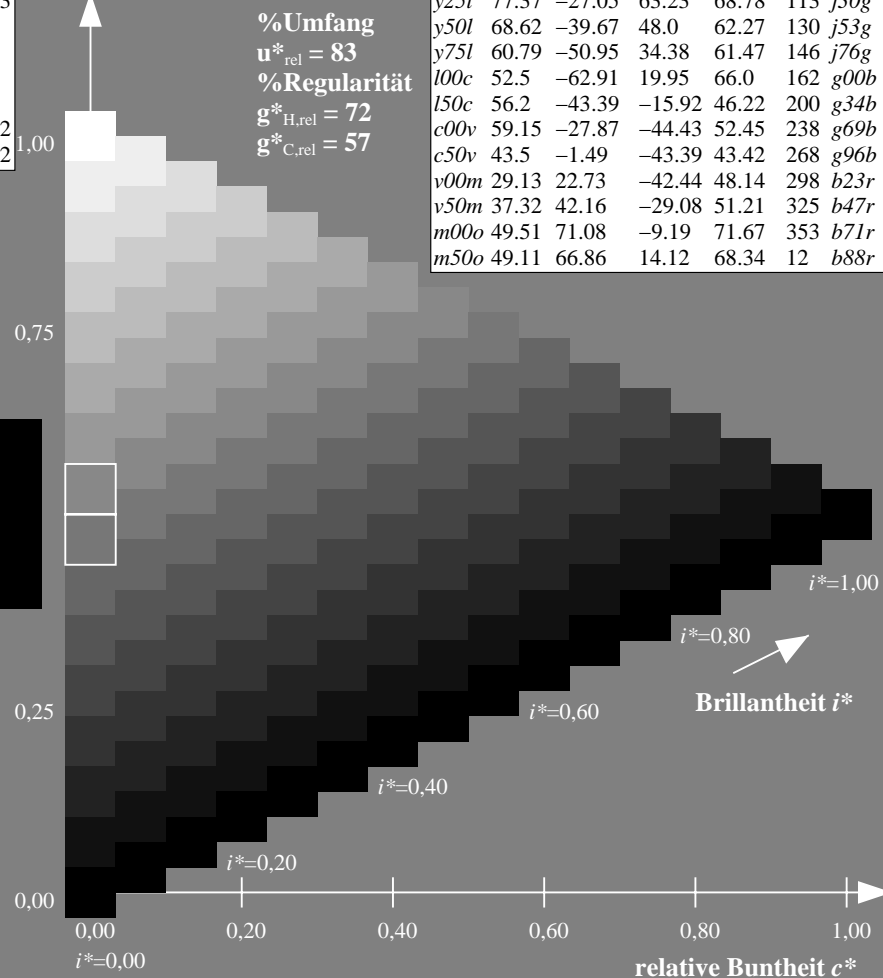
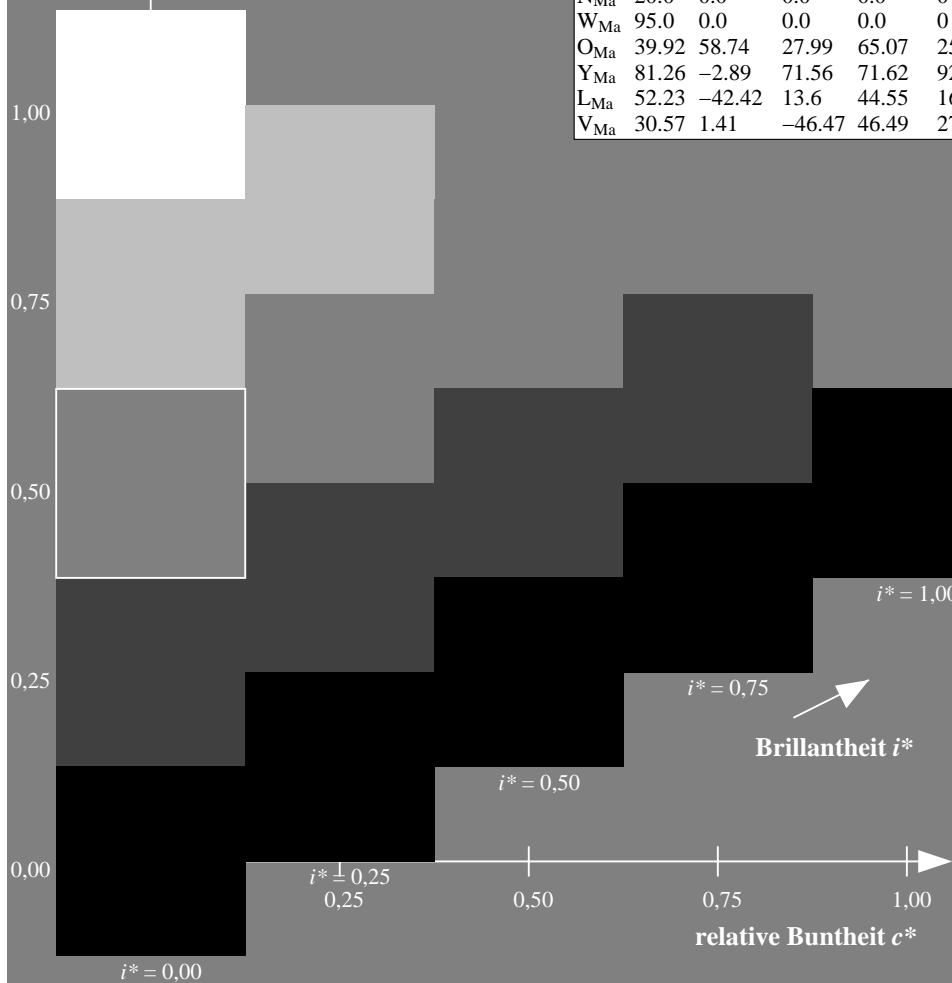
$lab^*olv^*_{Ma}: 0.75 1.0 0.0$

$lab^*rgb^*_{Ma}: 0.7 1.0 0.0$

Dreiecks-Helligkeit t^*

ORS20_95a; adaptierte CIELAB-Daten

u^*_d	$L^*=L^*_a$	a^*_a	b^*_a	$C^*_{ab,a}$	$h^*_{ab,a}$	u^*_e
<i>o00y</i>	48.71	62.56	37.91	73.15	31	<i>r08j</i>
<i>o25y</i>	58.6	44.87	49.14	66.54	48	<i>r33j</i>
<i>o50y</i>	67.52	28.93	59.25	65.94	64	<i>r57j</i>
<i>o75y</i>	77.05	11.9	70.06	71.06	80	<i>r81j</i>
<i>y00l</i>	89.25	-9.92	83.91	84.49	97	<i>j06g</i>
<i>y25l</i>	77.37	-27.05	63.23	68.78	113	<i>j30g</i>
<i>y50l</i>	68.62	-39.67	48.0	62.27	130	<i>j53g</i>
<i>y75l</i>	60.79	-50.95	34.38	61.47	146	<i>j76g</i>
<i>l00c</i>	52.5	-62.91	19.95	66.0	162	<i>g00b</i>
<i>l50c</i>	56.2	-43.39	-15.92	46.22	200	<i>g34b</i>
<i>c00v</i>	59.15	-27.87	-44.43	52.45	238	<i>g69b</i>
<i>c50v</i>	43.5	-1.49	-43.39	43.42	268	<i>g96b</i>
<i>v00m</i>	29.13	22.73	-42.44	48.14	298	<i>b23r</i>
<i>v50m</i>	37.32	42.16	-29.08	51.21	325	<i>b47r</i>
<i>m00o</i>	49.51	71.08	-9.19	71.67	353	<i>b71r</i>
<i>m50o</i>	49.11	66.86	14.12	68.34	12	<i>b88r</i>



Ein und Ausgabe: Farbmatisches Drucker-Reflektiv-System ORS20_95a für relativen CIELAB-Bunton $h^* = lab^*h^* = h_{ab}/360 = 0.36$

$u^*_d = y50l$

Daten für jede Farbe:

lab^*tch^* und lab^*icu^*

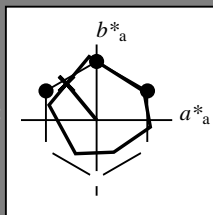
Bunntexte:

$u^*_d = y50l$ $u^*_e = j53g$

Kontrastreduzierungsfaktor:

$c_R = 0.96$

Dreiecks-Helligkeit t^*



ORS20_95a; adaptierte CIELAB-Daten						
u^*_d	$L^*=L^*_a$	a^*_a	b^*_a	$C^*_{ab,a}$	$h^*_{ab,a}$	
O _{Ma}	48.71	62.56	37.91	73.15	31	
Y _{Ma}	89.25	-9.92	83.91	84.49	97	
L _{Ma}	52.5	-62.91	19.95	66.0	162	
C _{Ma}	59.15	-27.87	-44.43	52.45	238	
V _{Ma}	29.13	22.73	-42.44	48.14	298	
M _{Ma}	49.51	71.08	-9.19	71.67	353	
N _{Ma}	20.0	0.0	0.0	0.0	0	
W _{Ma}	95.0	0.0	0.0	0.0	0	
O _{Ma}	39.92	58.74	27.99	65.07	25	
Y _{Ma}	81.26	-2.89	71.56	71.62	92	
L _{Ma}	52.23	-42.42	13.6	44.55	162	
V _{Ma}	30.57	1.41	-46.47	46.49	272	

Daten für Maximalfarbe (Ma):

$LAB^*LAB^*_{Ma}$: 69 -40 48

$LAB^*LCH^*_{Ma}$: 69 62 129

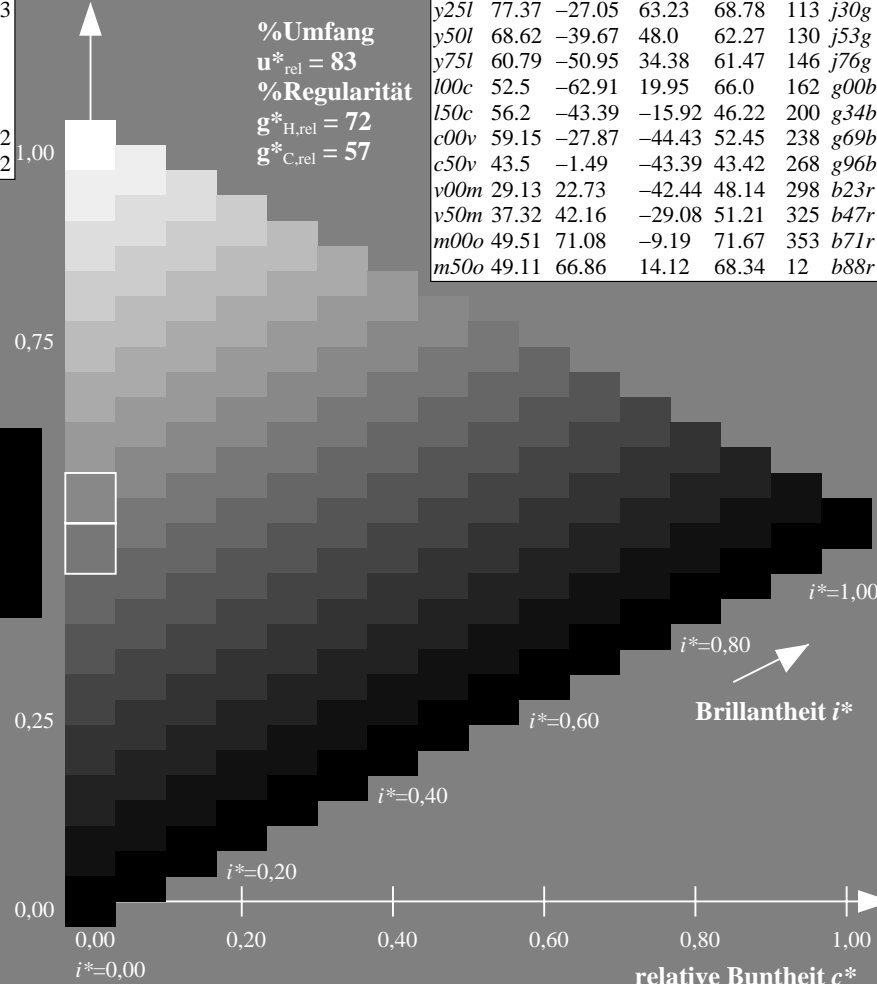
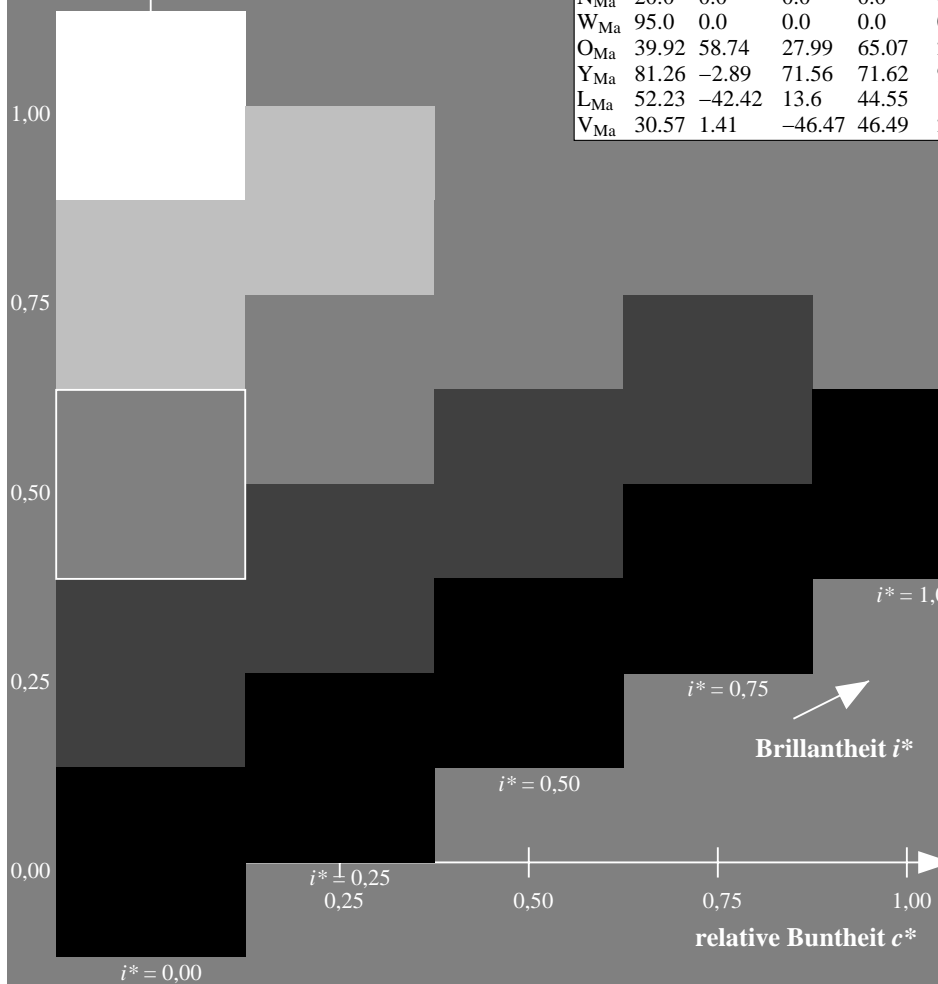
$lab^*olv^*_{Ma}$: 0.5 1.0 0.0

$lab^*rgb^*_{Ma}$: 0.47 1.0 0.0

Dreiecks-Helligkeit t^*

ORS20_95a; adaptierte CIELAB-Daten

u^*_d	$L^*=L^*_a$	a^*_a	b^*_a	$C^*_{ab,a}$	$h^*_{ab,a}$	u^*_e
<i>o00y</i>	48.71	62.56	37.91	73.15	31	<i>r08j</i>
<i>o25y</i>	58.6	44.87	49.14	66.54	48	<i>r33j</i>
<i>o50y</i>	67.52	28.93	59.25	65.94	64	<i>r57j</i>
<i>o75y</i>	77.05	11.9	70.06	71.06	80	<i>r81j</i>
<i>y00l</i>	89.25	-9.92	83.91	84.49	97	<i>j06g</i>
<i>y25l</i>	77.37	-27.05	63.23	68.78	113	<i>j30g</i>
<i>y50l</i>	68.62	-39.67	48.0	62.27	130	<i>j53g</i>
<i>y75l</i>	60.79	-50.95	34.38	61.47	146	<i>j76g</i>
<i>l00c</i>	52.5	-62.91	19.95	66.0	162	<i>g00b</i>
<i>l50c</i>	56.2	-43.39	-15.92	46.22	200	<i>g34b</i>
<i>c00v</i>	59.15	-27.87	-44.43	52.45	238	<i>g69b</i>
<i>c50v</i>	43.5	-1.49	-43.39	43.42	268	<i>g96b</i>
<i>v00m</i>	29.13	22.73	-42.44	48.14	298	<i>b23r</i>
<i>v50m</i>	37.32	42.16	-29.08	51.21	325	<i>b47r</i>
<i>m00o</i>	49.51	71.08	-9.19	71.67	353	<i>b71r</i>
<i>m50o</i>	49.11	66.86	14.12	68.34	12	<i>b88r</i>



Daten für jede Farbe:

lab^*tch^* und lab^*icu^*

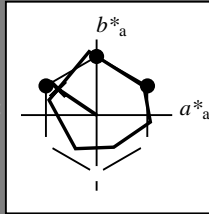
Bunntexte:

$u^*_d = y75l$ $u^*_e = j76g$

Kontrastreduzierungsfaktor:

$c_R = 0.96$

Dreiecks-Helligkeit t^*



ORS20_95a; adaptierte CIELAB-Daten						
u^*_d	$L^*=L^*_a$	a^*_a	b^*_a	$C^*_{ab,a}$	$h^*_{ab,a}$	
O _{Ma}	48.71	62.56	37.91	73.15	31	
Y _{Ma}	89.25	-9.92	83.91	84.49	97	
L _{Ma}	52.5	-62.91	19.95	66.0	162	
C _{Ma}	59.15	-27.87	-44.43	52.45	238	
V _{Ma}	29.13	22.73	-42.44	48.14	298	
M _{Ma}	49.51	71.08	-9.19	71.67	353	
N _{Ma}	20.0	0.0	0.0	0.0	0	
W _{Ma}	95.0	0.0	0.0	0.0	0	
O _{Ma}	39.92	58.74	27.99	65.07	25	
Y _{Ma}	81.26	-2.89	71.56	71.62	92	
L _{Ma}	52.23	-42.42	13.6	44.55	162	
V _{Ma}	30.57	1.41	-46.47	46.49	272	

Daten für Maximalfarbe (Ma):

$LAB^*LAB^*_{Ma}$: 61 -51 34

$LAB^*LCH^*_{Ma}$: 61 61 145

$lab^*olv^*_{Ma}$: 0.25 1.0 0.0

$lab^*rgb^*_{Ma}$: 0.23 1.0 0.0

Dreiecks-Helligkeit t^*

%Umfang

$u^*_{rel} = 83$

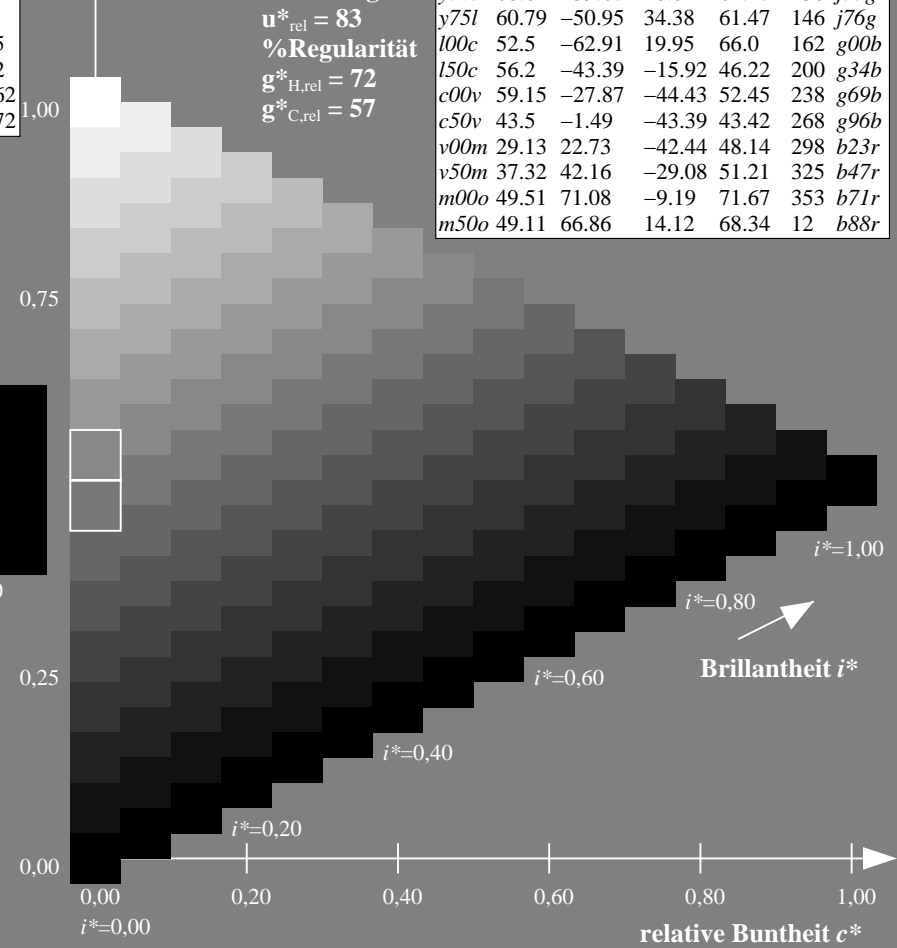
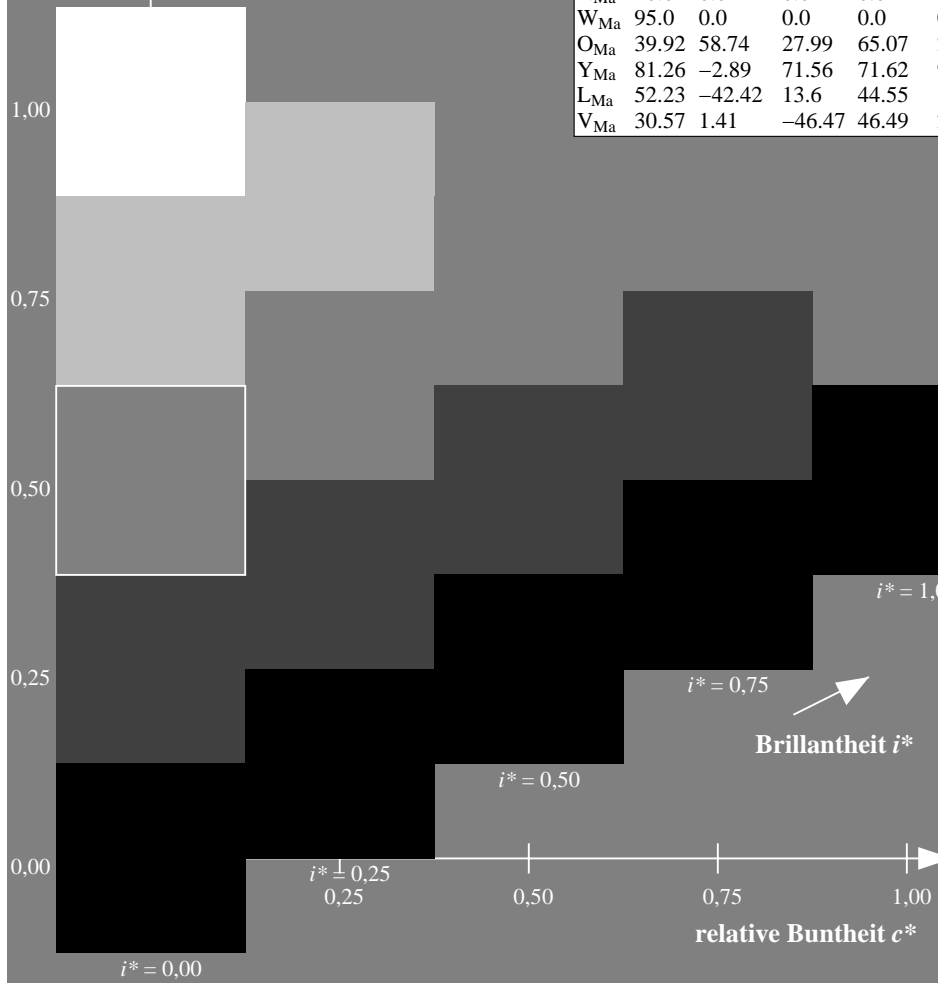
%Regularität

$g^*_{H,rel} = 72$

$g^*_{C,rel} = 57$

ORS20_95a; adaptierte CIELAB-Daten

u^*_d	$L^*=L^*_a$	a^*_a	b^*_a	$C^*_{ab,a}$	$h^*_{ab,a}$	u^*_e
o00y	48.71	62.56	37.91	73.15	31	r08j
o25y	58.6	44.87	49.14	66.54	48	r33j
o50y	67.52	28.93	59.25	65.94	64	r57j
o75y	77.05	11.9	70.06	71.06	80	r81j
y00l	89.25	-9.92	83.91	84.49	97	j06g
y25l	77.37	-27.05	63.23	68.78	113	j30g
y50l	68.62	-39.67	48.0	62.27	130	j53g
y75l	60.79	-50.95	34.38	61.47	146	j76g
l00c	52.5	-62.91	19.95	66.0	162	g00b
l50c	56.2	-43.39	-15.92	46.22	200	g34b
c00v	59.15	-27.87	-44.43	52.45	238	g69b
c50v	43.5	-1.49	-43.39	43.42	268	g96b
v00m	29.13	22.73	-42.44	48.14	298	b23r
v50m	37.32	42.16	-29.08	51.21	325	b47r
m00o	49.51	71.08	-9.19	71.67	353	b71r
m50o	49.11	66.86	14.12	68.34	12	b88r



Ein und Ausgabe: Farbmetrisches Drucker-Reflektiv-System ORS20_95a für relativen CIELAB-Bunton $h^* = lab^*h^* = h_{ab}/360 = 0.451$

$u^*_d = 100c$

Daten für jede Farbe:

lab^*tch^* und lab^*icu^*

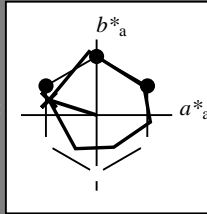
Buntontexte:

$u^*_d = 100c$ $u^*_e = g00b$

Kontrastreduzierungsfaktor:

$c_R = 0.96$

Dreiecks-Helligkeit t^*



ORS20_95a; adaptierte CIELAB-Daten						
u^*_d	$L^*=L^*_a$	a^*_a	b^*_a	$C^*_{ab,a}$	$h^*_{ab,a}$	
O _{Ma}	48.71	62.56	37.91	73.15	31	
Y _{Ma}	89.25	-9.92	83.91	84.49	97	
L _{Ma}	52.5	-62.91	19.95	66.0	162	
C _{Ma}	59.15	-27.87	-44.43	52.45	238	
V _{Ma}	29.13	22.73	-42.44	48.14	298	
M _{Ma}	49.51	71.08	-9.19	71.67	353	
N _{Ma}	20.0	0.0	0.0	0.0	0	
W _{Ma}	95.0	0.0	0.0	0.0	0	
O _{Ma}	39.92	58.74	27.99	65.07	25	
Y _{Ma}	81.26	-2.89	71.56	71.62	92	
L _{Ma}	52.23	-42.42	13.6	44.55	162	
V _{Ma}	30.57	1.41	-46.47	46.49	272	

Daten für Maximalfarbe (Ma):

$LAB^*LAB^*_{Ma}: 52 -63 20$

$LAB^*LCH^*_{Ma}: 52 66 162$

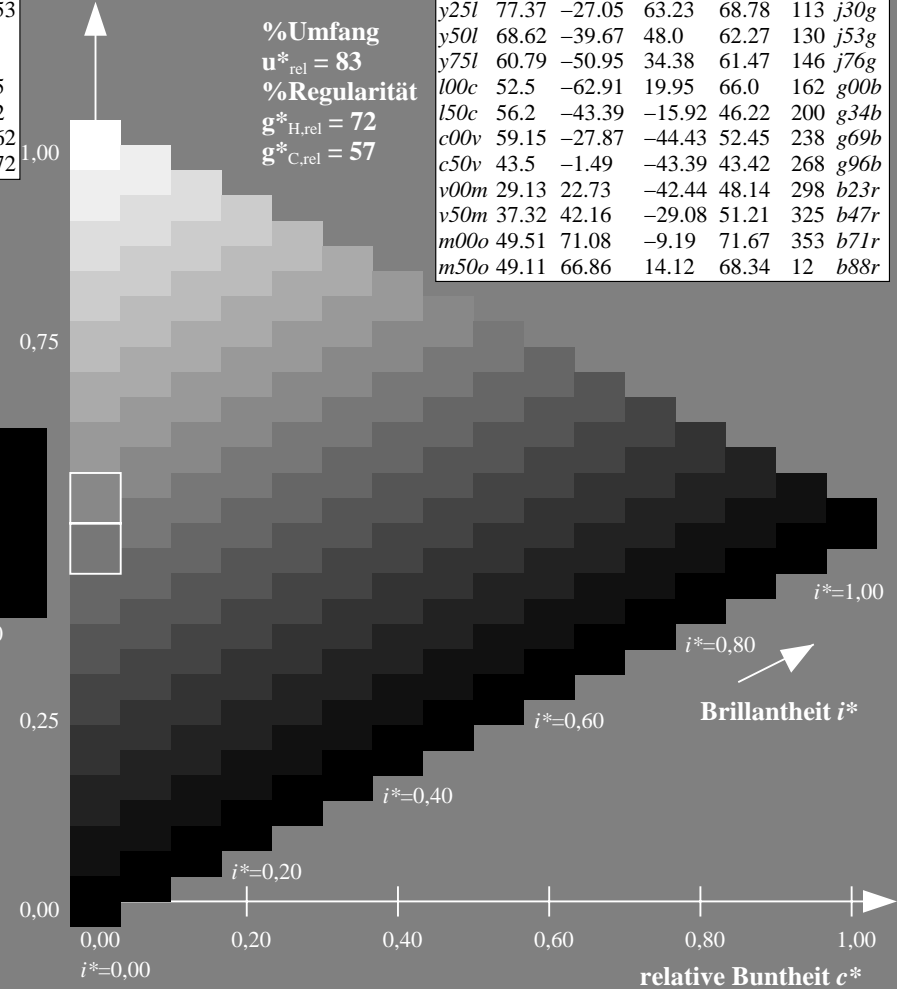
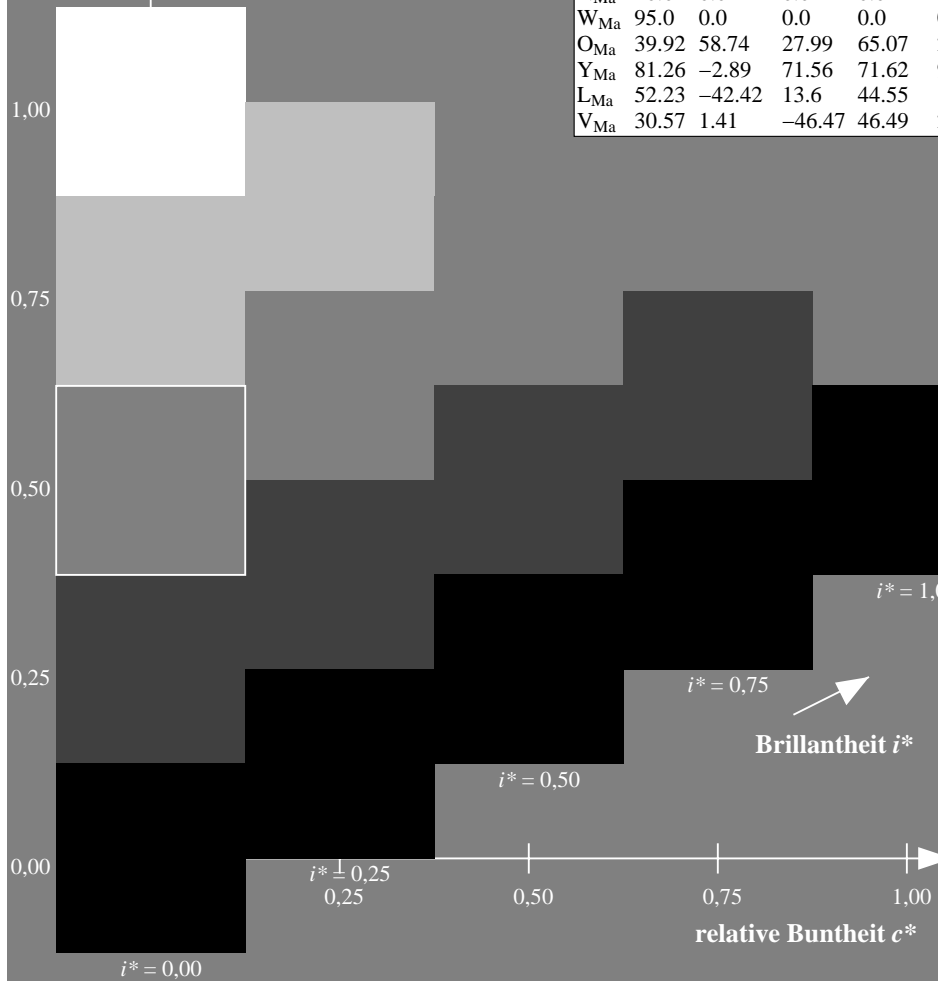
$lab^*olv^*_{Ma}: 0.0 1.0 0.0$

$lab^*rgb^*_{Ma}: 0.0 1.0 0.0$

Dreiecks-Helligkeit t^*

ORS20_95a; adaptierte CIELAB-Daten

u^*_d	$L^*=L^*_a$	a^*_a	b^*_a	$C^*_{ab,a}$	$h^*_{ab,a}$	u^*_e
o00y	48.71	62.56	37.91	73.15	31	r08j
o25y	58.6	44.87	49.14	66.54	48	r33j
o50y	67.52	28.93	59.25	65.94	64	r57j
o75y	77.05	11.9	70.06	71.06	80	r81j
y00l	89.25	-9.92	83.91	84.49	97	j06g
y25l	77.37	-27.05	63.23	68.78	113	j30g
y50l	68.62	-39.67	48.0	62.27	130	j53g
y75l	60.79	-50.95	34.38	61.47	146	j76g
l00c	52.5	-62.91	19.95	66.0	162	g00b
l50c	56.2	-43.39	-15.92	46.22	200	g34b
c00v	59.15	-27.87	-44.43	52.45	238	g69b
c50v	43.5	-1.49	-43.39	43.42	268	g96b
v00m	29.13	22.73	-42.44	48.14	298	b23r
v50m	37.32	42.16	-29.08	51.21	325	b47r
m00o	49.51	71.08	-9.19	71.67	353	b71r
m50o	49.11	66.86	14.12	68.34	12	b88r



%Umfang
 $u^*_{rel} = 83$
 %Regularität
 $g^*_{H,rel} = 72$
 $g^*_{C,rel} = 57$

Daten für jede Farbe:

lab^*tch^* und lab^*icu^*

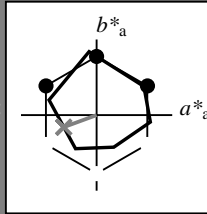
Bunntexte:

$u^*_d = 150c$ $u^*_e = g34b$

Kontrastreduzierungsfaktor:

$c_R = 0.96$

Dreiecks-Helligkeit t^*



ORS20_95a; adaptierte CIELAB-Daten						
u^*_d	$L^*=L^*_a$	a^*_a	b^*_a	$C^*_{ab,a}$	$h^*_{ab,a}$	
O _{Ma}	48.71	62.56	37.91	73.15	31	
Y _{Ma}	89.25	-9.92	83.91	84.49	97	
L _{Ma}	52.5	-62.91	19.95	66.0	162	
C _{Ma}	59.15	-27.87	-44.43	52.45	238	
V _{Ma}	29.13	22.73	-42.44	48.14	298	
M _{Ma}	49.51	71.08	-9.19	71.67	353	
N _{Ma}	20.0	0.0	0.0	0.0	0	
W _{Ma}	95.0	0.0	0.0	0.0	0	
O _{Ma}	39.92	58.74	27.99	65.07	25	
Y _{Ma}	81.26	-2.89	71.56	71.62	92	
L _{Ma}	52.23	-42.42	13.6	44.55	162	
V _{Ma}	30.57	1.41	-46.47	46.49	272	

Daten für Maximalfarbe (Ma):

$\text{LAB}^*\text{LAB}^*_{Ma}: 56 -43 -16$

$\text{LAB}^*\text{LCH}^*_{Ma}: 56 46 200$

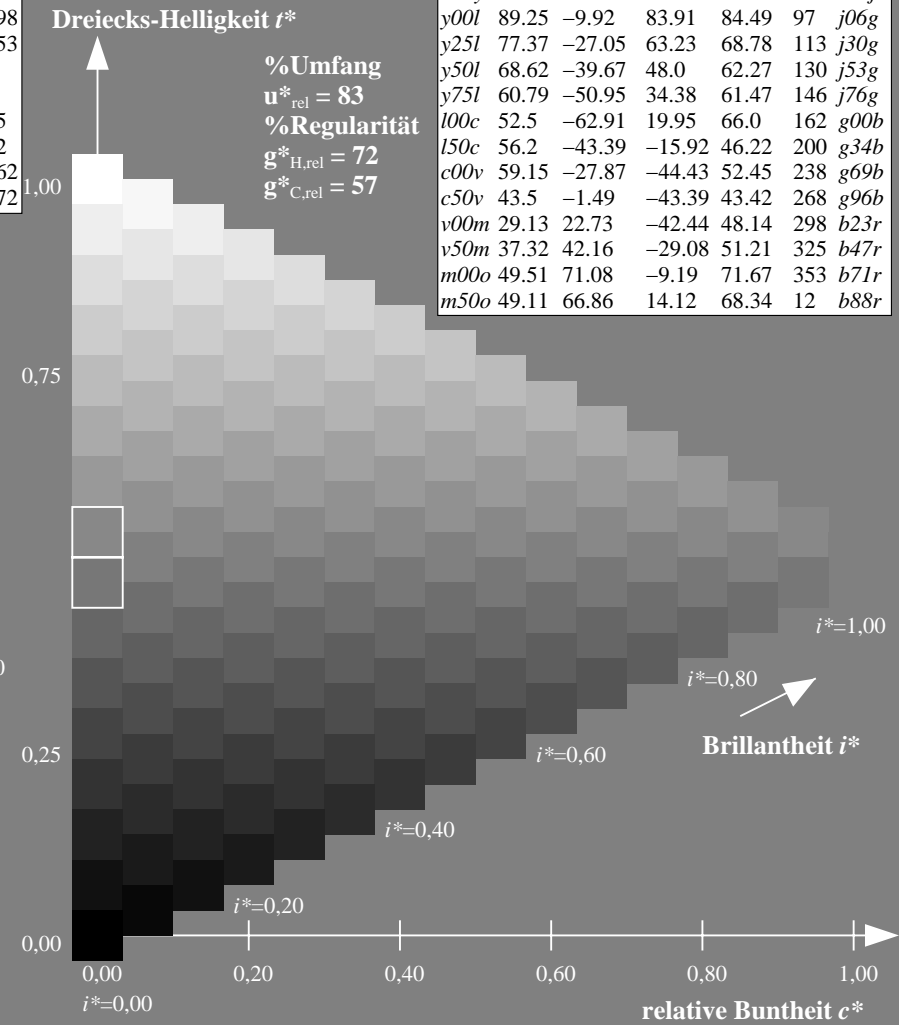
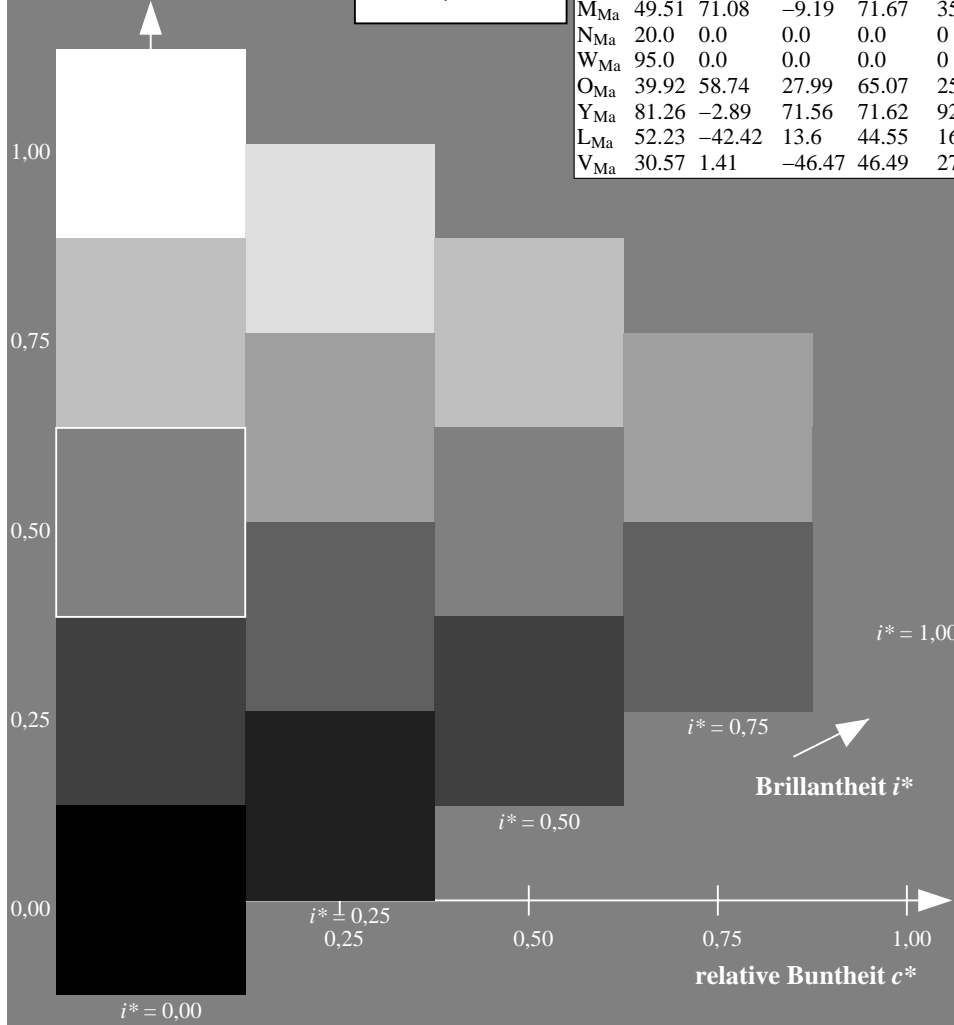
$\text{lab}^*\text{olv}^*_{Ma}: 0.0 1.0 0.5$

$\text{lab}^*\text{rgb}^*_{Ma}: 0.0 1.0 0.69$

Dreiecks-Helligkeit t^*

ORS20_95a; adaptierte CIELAB-Daten

u^*_d	$L^*=L^*_a$	a^*_a	b^*_a	$C^*_{ab,a}$	$h^*_{ab,a}$	u^*_e
o00y	48.71	62.56	37.91	73.15	31	r08j
o25y	58.6	44.87	49.14	66.54	48	r33j
o50y	67.52	28.93	59.25	65.94	64	r57j
o75y	77.05	11.9	70.06	71.06	80	r81j
y00l	89.25	-9.92	83.91	84.49	97	j06g
y25l	77.37	-27.05	63.23	68.78	113	j30g
y50l	68.62	-39.67	48.0	62.27	130	j53g
y75l	60.79	-50.95	34.38	61.47	146	j76g
l00c	52.5	-62.91	19.95	66.0	162	g00b
l50c	56.2	-43.39	-15.92	46.22	200	g34b
c00v	59.15	-27.87	-44.43	52.45	238	g69b
c50v	43.5	-1.49	-43.39	43.42	268	g96b
v00m	29.13	22.73	-42.44	48.14	298	b23r
v50m	37.32	42.16	-29.08	51.21	325	b47r
m00o	49.51	71.08	-9.19	71.67	353	b71r
m50o	49.11	66.86	14.12	68.34	12	b88r



Ein und Ausgabe: Farbmetrisches Drucker-Reflektiv-System ORS20_95a für relativen CIELAB-Bunton $h^* = lab^*h^* = h_{ab}/360 = 0.661$

$u^*_d = c00v$

Daten für jede Farbe:

lab^*ch^* und lab^*icu^*

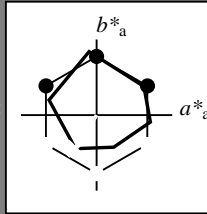
Buntontexte:

$u^*_d = c00v$ $u^*_e = g69b$

Kontrastreduzierungsfaktor:

$c_R = 0.96$

Dreiecks-Helligkeit t^*



ORS20_95a; adaptierte CIELAB-Daten						
u^*_d	$L^*=L^*_a$	a^*_a	b^*_a	$C^*_{ab,a}$	$h^*_{ab,a}$	
O _{Ma}	48.71	62.56	37.91	73.15	31	
Y _{Ma}	89.25	-9.92	83.91	84.49	97	
L _{Ma}	52.5	-62.91	19.95	66.0	162	
C _{Ma}	59.15	-27.87	-44.43	52.45	238	
V _{Ma}	29.13	22.73	-42.44	48.14	298	
M _{Ma}	49.51	71.08	-9.19	71.67	353	
N _{Ma}	20.0	0.0	0.0	0.0	0	
W _{Ma}	95.0	0.0	0.0	0.0	0	
O _{Ma}	39.92	58.74	27.99	65.07	25	
Y _{Ma}	81.26	-2.89	71.56	71.62	92	
L _{Ma}	52.23	-42.42	13.6	44.55	162	
V _{Ma}	30.57	1.41	-46.47	46.49	272	

Daten für Maximalfarbe (Ma):

$LAB^*LAB^*_{Ma}$: 59 -28 -44

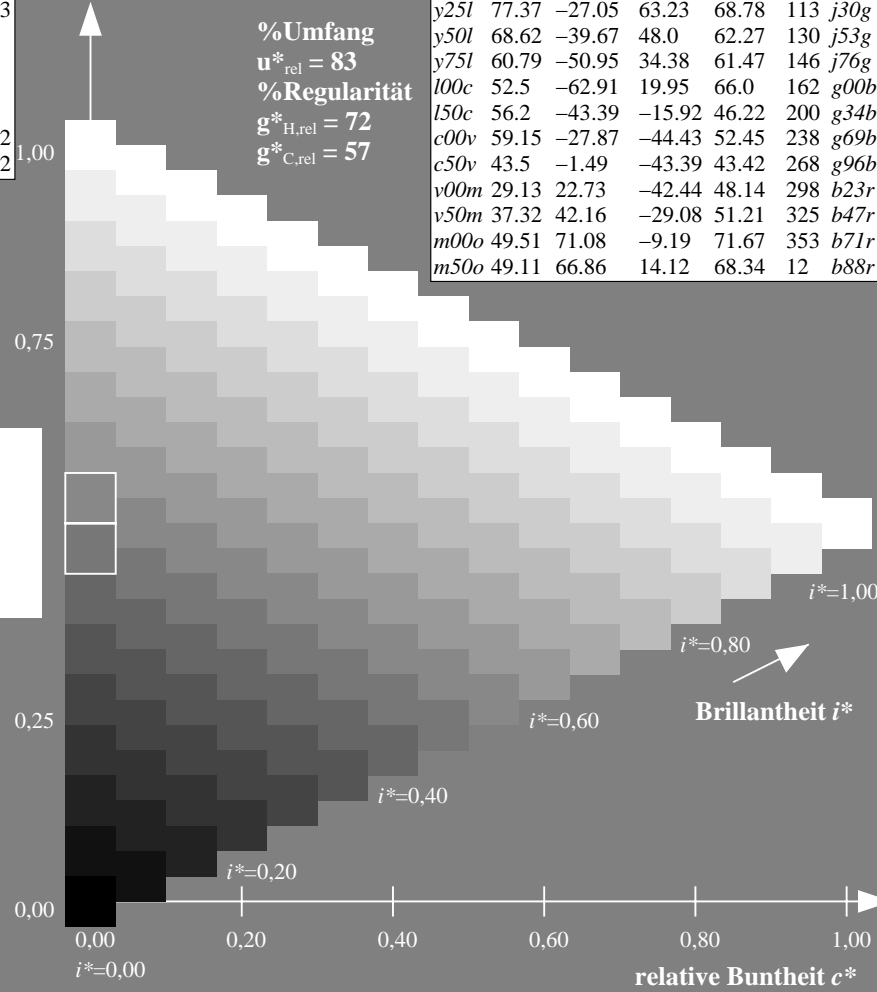
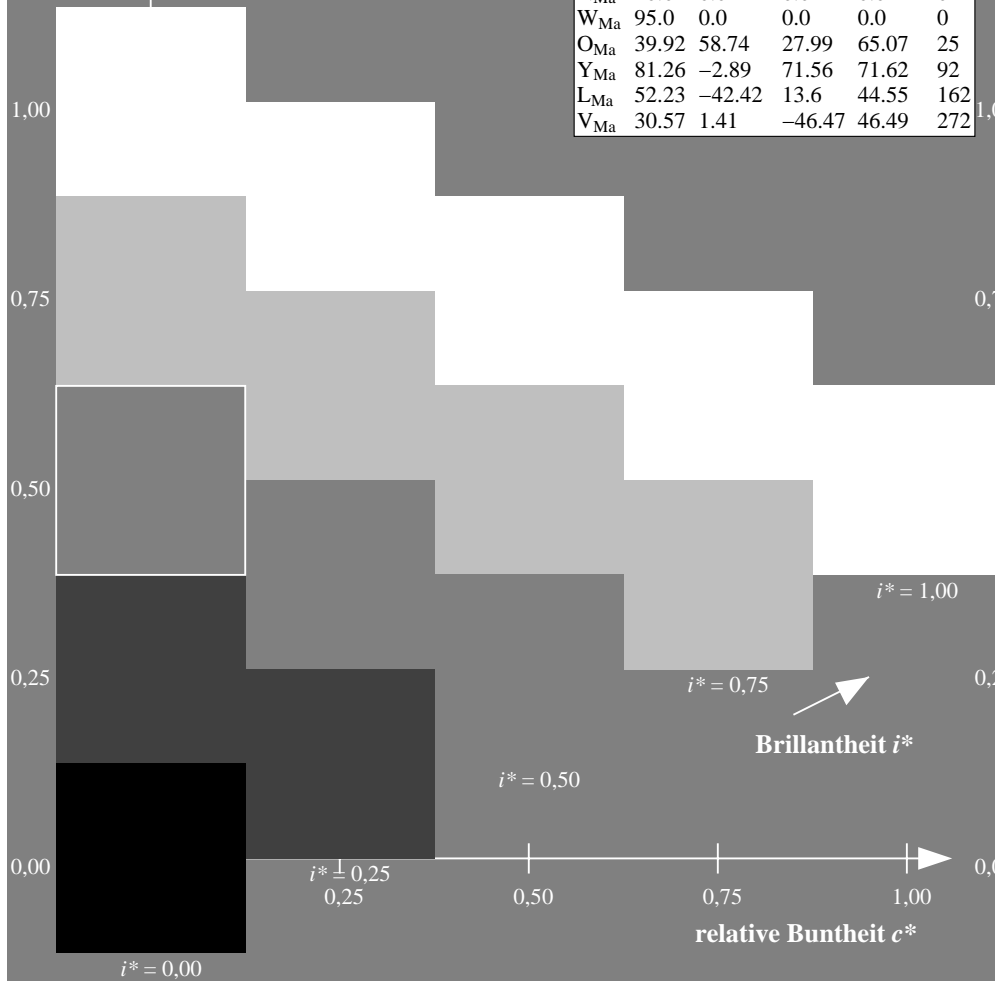
$LAB^*LCH^*_{Ma}$: 59 52 237

$lab^*olv^*_{Ma}$: 0.0 1.0 1.0

$lab^*rgb^*_{Ma}$: 0.0 0.62 1.0

Dreiecks-Helligkeit t^*

ORS20_95a; adaptierte CIELAB-Daten							
u^*_d	$L^*=L^*_a$	a^*_a	b^*_a	$C^*_{ab,a}$	$h^*_{ab,a}$	u^*_e	
o00y	48.71	62.56	37.91	73.15	31	r08j	
o25y	58.6	44.87	49.14	66.54	48	r33j	
o50y	67.52	28.93	59.25	65.94	64	r57j	
o75y	77.05	11.9	70.06	71.06	80	r81j	
y00l	89.25	-9.92	83.91	84.49	97	j06g	
y25l	77.37	-27.05	63.23	68.78	113	j30g	
y50l	68.62	-39.67	48.0	62.27	130	j53g	
y75l	60.79	-50.95	34.38	61.47	146	j76g	
l00c	52.5	-62.91	19.95	66.0	162	g00b	
l50c	56.2	-43.39	-15.92	46.22	200	g34b	
c00v	59.15	-27.87	-44.43	52.45	238	g69b	
c50v	43.5	-1.49	-43.39	43.42	268	g96b	
v00m	29.13	22.73	-42.44	48.14	298	b23r	
v50m	37.32	42.16	-29.08	51.21	325	b47r	
m00o	49.51	71.08	-9.19	71.67	353	b71r	
m50o	49.11	66.86	14.12	68.34	12	b88r	



%Umfang
 $u^*_{rel} = 83$
 %Regularität
 $g^*_{H,rel} = 72$
 $g^*_{C,rel} = 57$

Daten für jede Farbe:

lab^*tch^* und lab^*icu^*

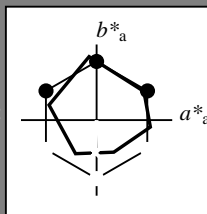
Bunntexte:

$u^*_d = c50v$ $u^*_e = g96b$

Kontrastreduzierungsfaktor:

$c_R = 0.96$

Dreiecks-Helligkeit t^*



ORS20_95a; adaptierte CIELAB-Daten						
u^*_d	$L^*=L^*_a$	a^*_a	b^*_a	$C^*_{ab,a}$	$h^*_{ab,a}$	
O_{Ma}	48.71	62.56	37.91	73.15	31	
Y_{Ma}	89.25	-9.92	83.91	84.49	97	
L_{Ma}	52.5	-62.91	19.95	66.0	162	
C_{Ma}	59.15	-27.87	-44.43	52.45	238	
V_{Ma}	29.13	22.73	-42.44	48.14	298	
M_{Ma}	49.51	71.08	-9.19	71.67	353	
N_{Ma}	20.0	0.0	0.0	0.0	0	
W_{Ma}	95.0	0.0	0.0	0.0	0	
O_{Ma}	39.92	58.74	27.99	65.07	25	
Y_{Ma}	81.26	-2.89	71.56	71.62	92	
L_{Ma}	52.23	-42.42	13.6	44.55	162	
V_{Ma}	30.57	1.41	-46.47	46.49	272	

Daten für Maximalfarbe (Ma):

$LAB^*LAB^*_{Ma}$: 43 -1 -43

$LAB^*LCH^*_{Ma}$: 43 43 268

$lab^*olv^*_{Ma}$: 0.0 0.5 1.0

$lab^*rgb^*_{Ma}$: 0.0 0.07 1.0

Dreiecks-Helligkeit t^*

%Umfang

$u^*_{rel} = 83$

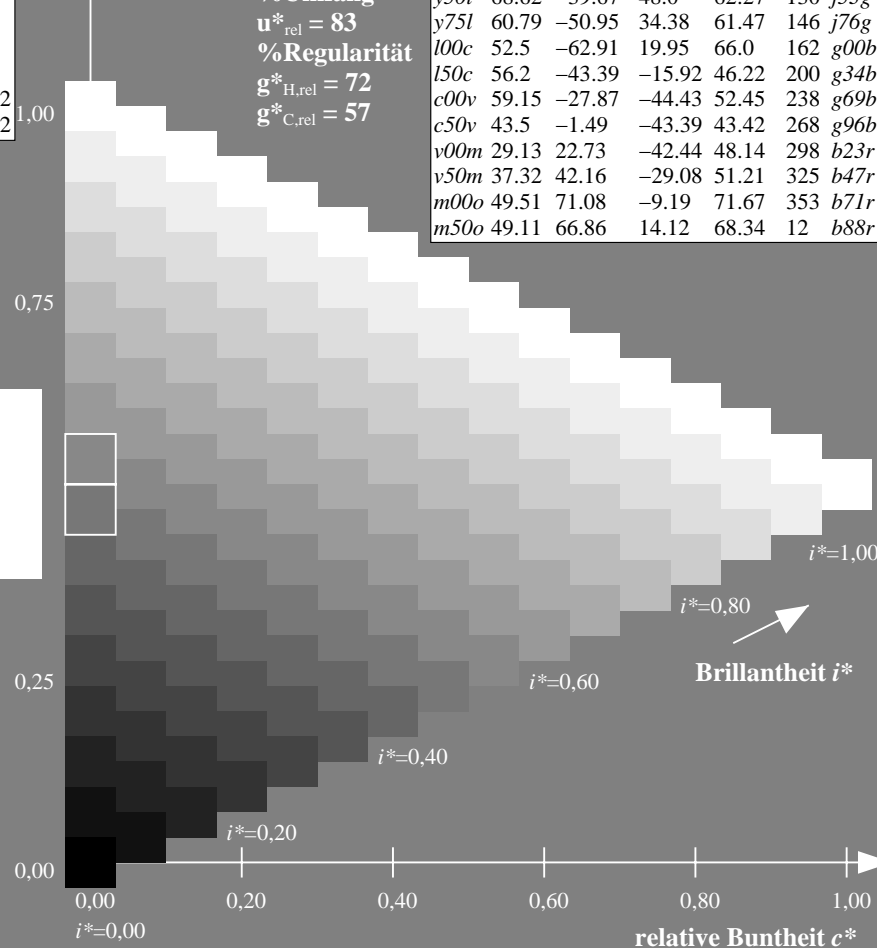
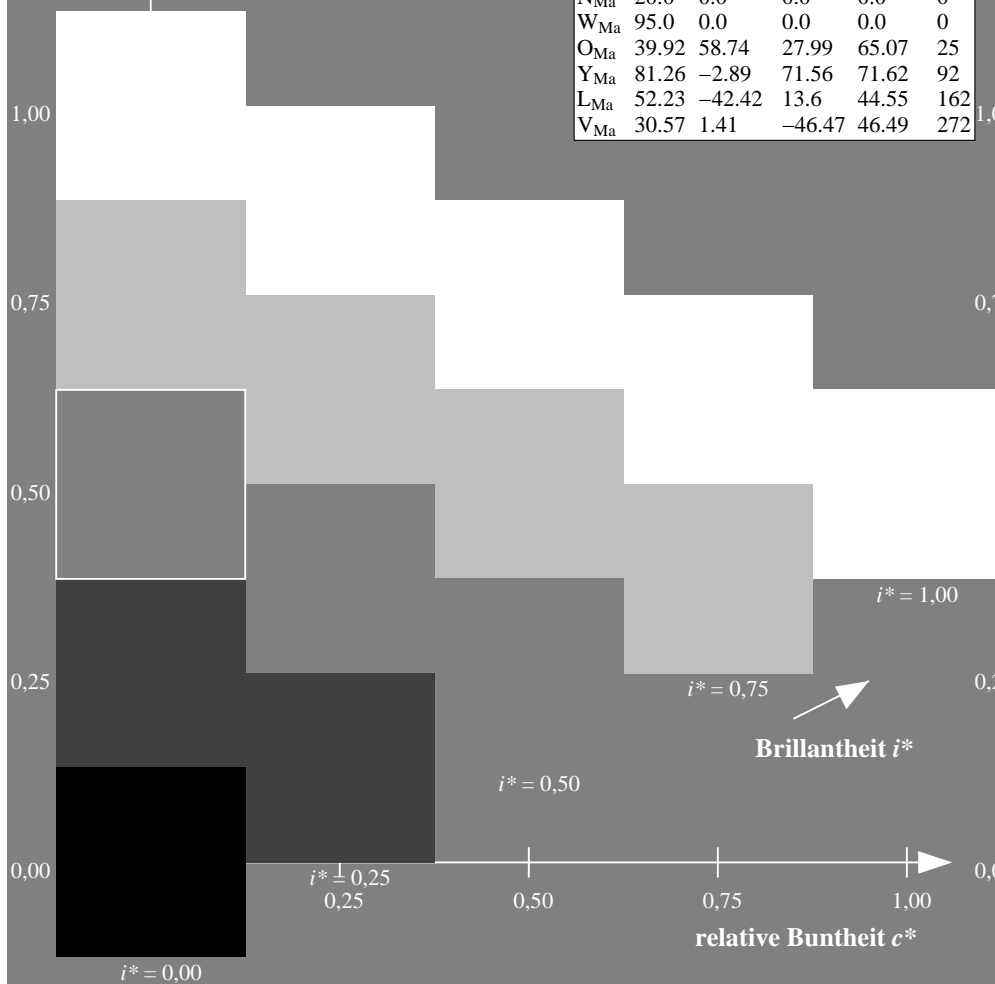
%Regularität

$g^*_{H,rel} = 72$

$g^*_{C,rel} = 57$

ORS20_95a; adaptierte CIELAB-Daten

u^*_d	$L^*=L^*_a$	a^*_a	b^*_a	$C^*_{ab,a}$	$h^*_{ab,a}$	u^*_e
$o00y$	48.71	62.56	37.91	73.15	31	$r08j$
$o25y$	58.6	44.87	49.14	66.54	48	$r33j$
$o50y$	67.52	28.93	59.25	65.94	64	$r57j$
$o75y$	77.05	11.9	70.06	71.06	80	$r81j$
$y00l$	89.25	-9.92	83.91	84.49	97	$j06g$
$y25l$	77.37	-27.05	63.23	68.78	113	$j30g$
$y50l$	68.62	-39.67	48.0	62.27	130	$j53g$
$y75l$	60.79	-50.95	34.38	61.47	146	$j76g$
$l00c$	52.5	-62.91	19.95	66.0	162	$g00b$
$l50c$	56.2	-43.39	-15.92	46.22	200	$g34b$
$c00v$	59.15	-27.87	-44.43	52.45	238	$g69b$
$c50v$	43.5	-1.49	-43.39	43.42	268	$g96b$
$v00m$	29.13	22.73	-42.44	48.14	298	$b23r$
$v50m$	37.32	42.16	-29.08	51.21	325	$b47r$
$m00o$	49.51	71.08	-9.19	71.67	353	$b71r$
$m50o$	49.11	66.86	14.12	68.34	12	$b88r$



Daten für jede Farbe:

lab^*tch^* und lab^*icu^*

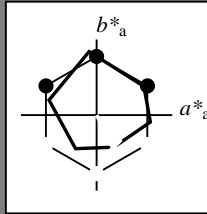
Buntontexte:

$u^*_d = v00m$ $u^*_e = b23r$

Kontrastreduzierungsfaktor:

$c_R = 0.96$

Dreiecks-Helligkeit t^*



ORS20_95a; adaptierte CIELAB-Daten						
u^*_d	$L^*=L^*_a$	a^*_a	b^*_a	$C^*_{ab,a}$	$h^*_{ab,a}$	
O _{Ma}	48.71	62.56	37.91	73.15	31	
Y _{Ma}	89.25	-9.92	83.91	84.49	97	
L _{Ma}	52.5	-62.91	19.95	66.0	162	
C _{Ma}	59.15	-27.87	-44.43	52.45	238	
V _{Ma}	29.13	22.73	-42.44	48.14	298	
M _{Ma}	49.51	71.08	-9.19	71.67	353	
N _{Ma}	20.0	0.0	0.0	0.0	0	
W _{Ma}	95.0	0.0	0.0	0.0	0	
O _{Ma}	39.92	58.74	27.99	65.07	25	
Y _{Ma}	81.26	-2.89	71.56	71.62	92	
L _{Ma}	52.23	-42.42	13.6	44.55	162	
V _{Ma}	30.57	1.41	-46.47	46.49	272	

Daten für Maximalfarbe (Ma):

$LAB^*LAB^*_{Ma}$: 29 23 -42

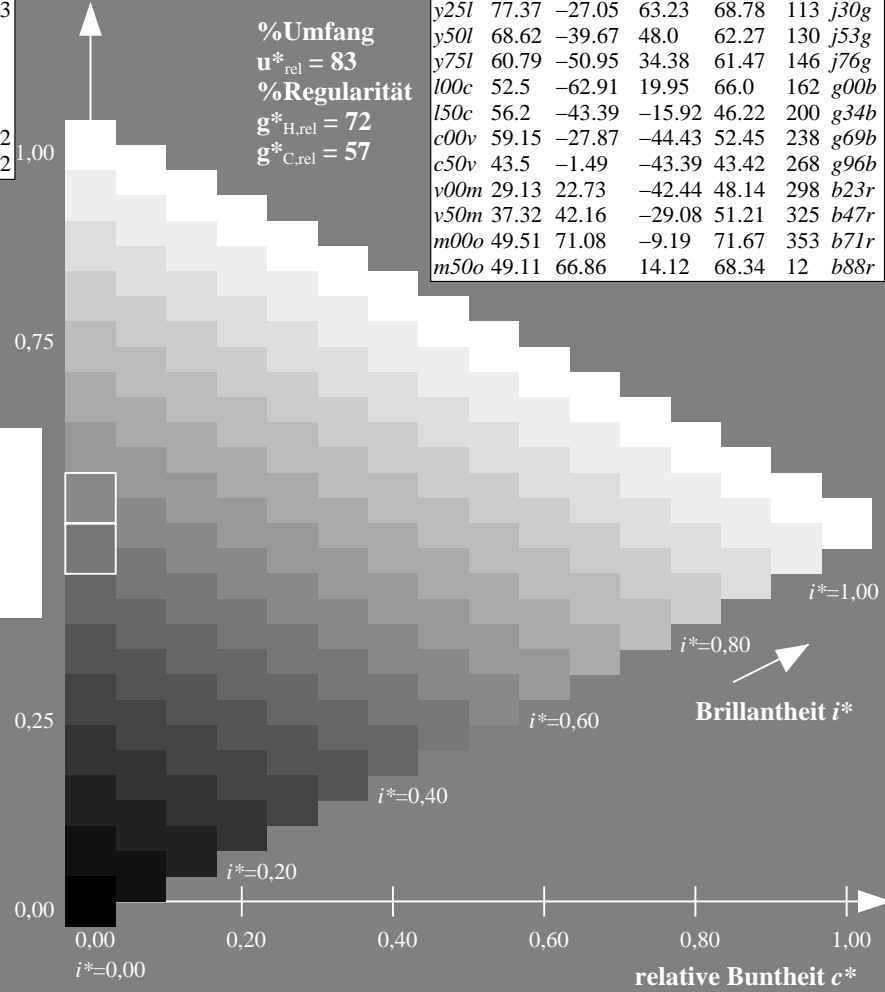
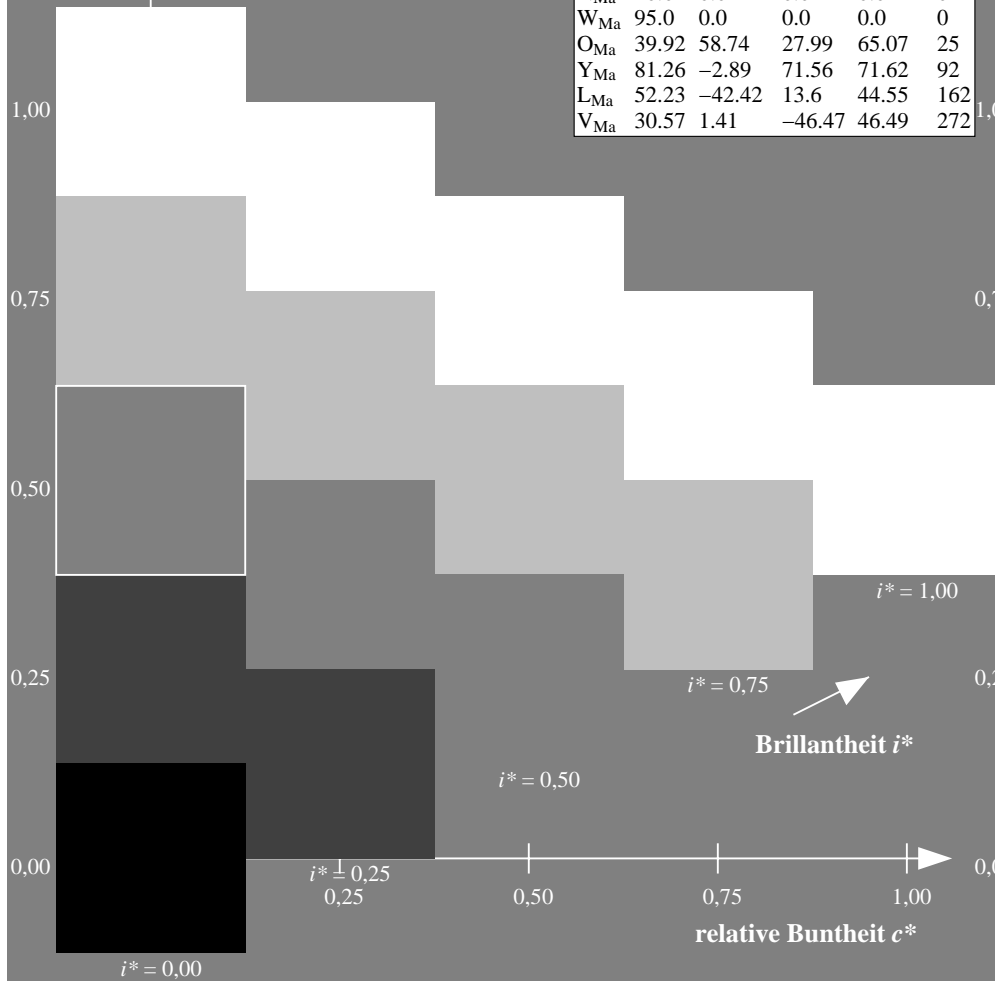
$LAB^*LCH^*_{Ma}$: 29 48 298

$lab^*olv^*_{Ma}$: 0.0 0.0 1.0

$lab^*rgb^*_{Ma}$: 0.46 0.0 1.0

Dreiecks-Helligkeit t^*

ORS20_95a; adaptierte CIELAB-Daten							
u^*_d	$L^*=L^*_a$	a^*_a	b^*_a	$C^*_{ab,a}$	$h^*_{ab,a}$	u^*_e	
o00y	48.71	62.56	37.91	73.15	31	r08j	
o25y	58.6	44.87	49.14	66.54	48	r33j	
o50y	67.52	28.93	59.25	65.94	64	r57j	
o75y	77.05	11.9	70.06	71.06	80	r81j	
y00l	89.25	-9.92	83.91	84.49	97	j06g	
y25l	77.37	-27.05	63.23	68.78	113	j30g	
y50l	68.62	-39.67	48.0	62.27	130	j53g	
y75l	60.79	-50.95	34.38	61.47	146	j76g	
l00c	52.5	-62.91	19.95	66.0	162	g00b	
l50c	56.2	-43.39	-15.92	46.22	200	g34b	
c00v	59.15	-27.87	-44.43	52.45	238	g69b	
c50v	43.5	-1.49	-43.39	43.42	268	g96b	
v00m	29.13	22.73	-42.44	48.14	298	b23r	
v50m	37.32	42.16	-29.08	51.21	325	b47r	
m00o	49.51	71.08	-9.19	71.67	353	b71r	
m50o	49.11	66.86	14.12	68.34	12	b88r	



%Umfang
 $u^*_{rel} = 83$
 %Regularität
 $g^*_{H,rel} = 72$
 $g^*_{C,rel} = 57$

Daten für jede Farbe:

lab^*tch^* und lab^*icu^*

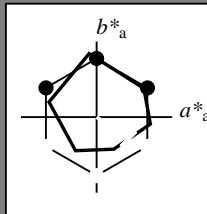
Bunntexte:

$u^*_d = v50m$ $u^*_e = b47r$

Kontrastreduzierungsfaktor:

$c_R = 0.96$

Dreiecks-Helligkeit t^*



ORS20_95a; adaptierte CIELAB-Daten

u^*_d	$L^*=L^*_a$	a^*_a	b^*_a	$C^*_{ab,a}$	$h^*_{ab,a}$
O _{Ma}	48.71	62.56	37.91	73.15	31
Y _{Ma}	89.25	-9.92	83.91	84.49	97
L _{Ma}	52.5	-62.91	19.95	66.0	162
C _{Ma}	59.15	-27.87	-44.43	52.45	238
V _{Ma}	29.13	22.73	-42.44	48.14	298
M _{Ma}	49.51	71.08	-9.19	71.67	353
N _{Ma}	20.0	0.0	0.0	0.0	0
W _{Ma}	95.0	0.0	0.0	0.0	0
O _{Ma}	39.92	58.74	27.99	65.07	25
Y _{Ma}	81.26	-2.89	71.56	71.62	92
L _{Ma}	52.23	-42.42	13.6	44.55	162
V _{Ma}	30.57	1.41	-46.47	46.49	272

Daten für Maximalfarbe (Ma):

$LAB^*LAB^*_{Ma}$: 37 42 -29

$LAB^*LCH^*_{Ma}$: 37 51 325

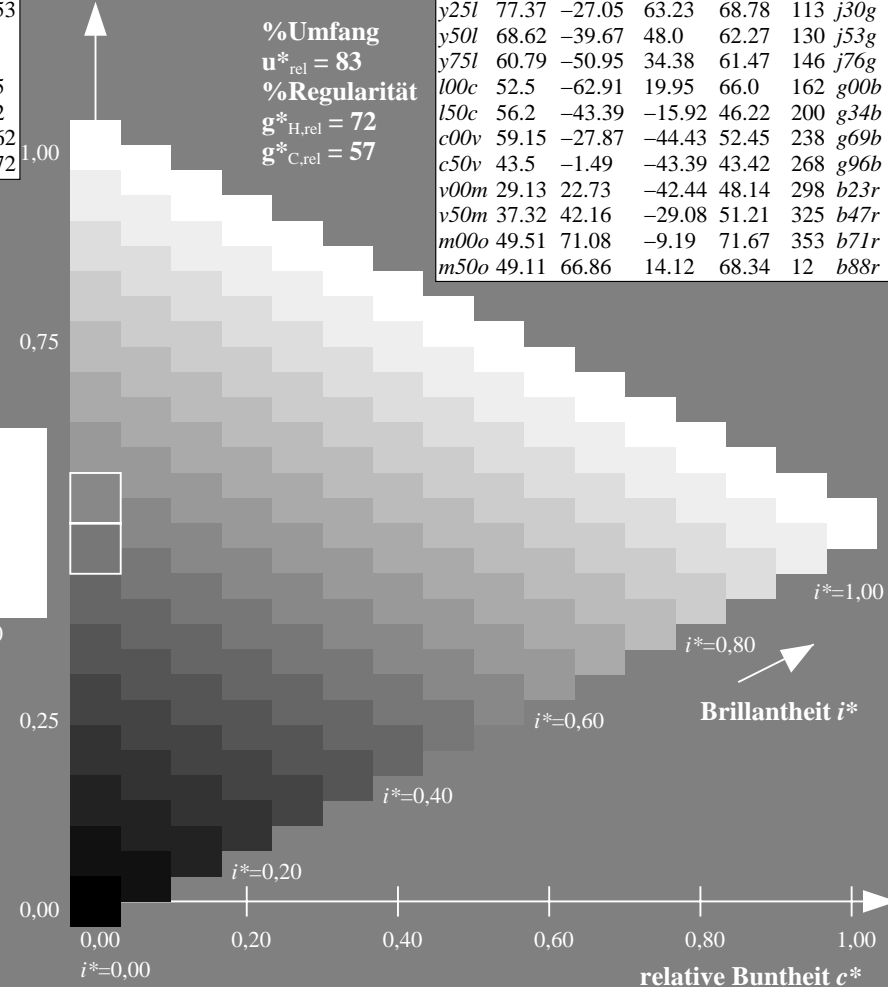
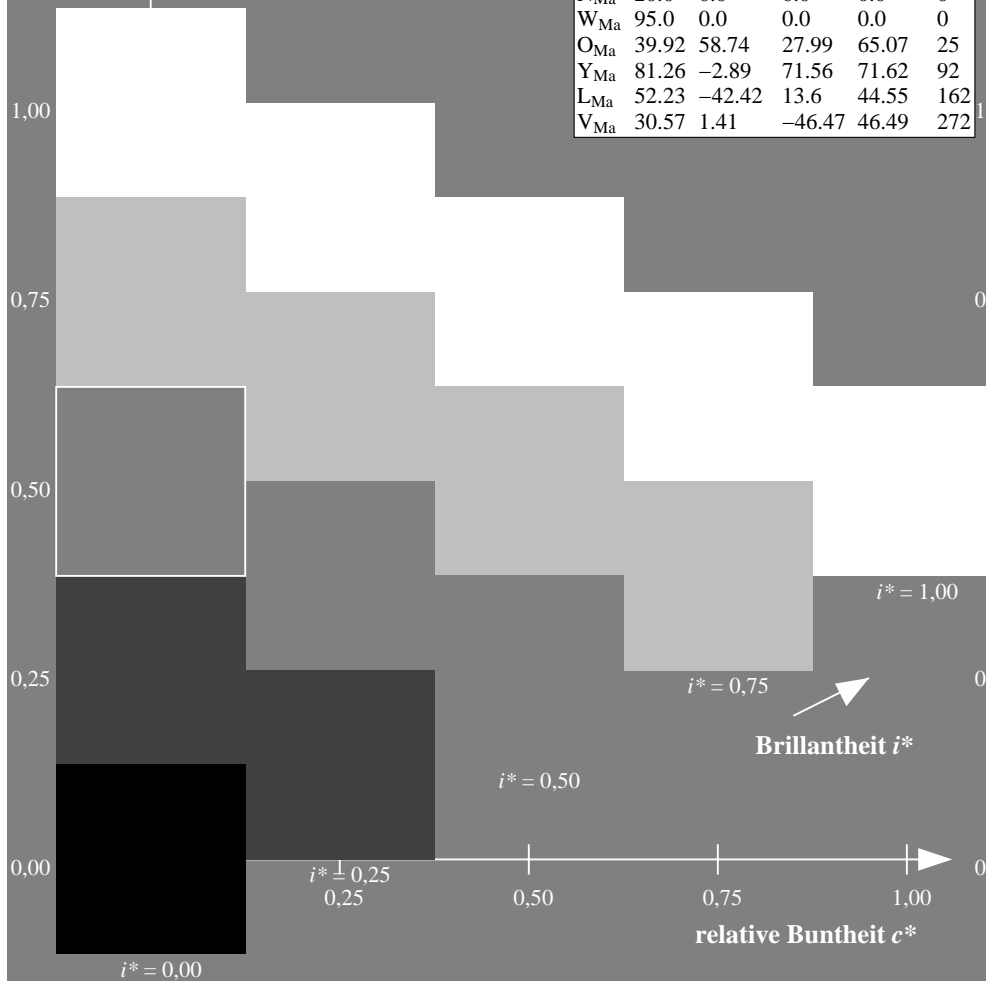
$lab^*olv^*_{Ma}$: 0.5 0.0 1.0

$lab^*rgb^*_{Ma}$: 0.94 0.0 1.0

Dreiecks-Helligkeit t^*

ORS20_95a; adaptierte CIELAB-Daten

u^*_d	$L^*=L^*_a$	a^*_a	b^*_a	$C^*_{ab,a}$	$h^*_{ab,a}$	u^*_e
o00y	48.71	62.56	37.91	73.15	31	r08j
o25y	58.6	44.87	49.14	66.54	48	r33j
o50y	67.52	28.93	59.25	65.94	64	r57j
o75y	77.05	11.9	70.06	71.06	80	r81j
y00l	89.25	-9.92	83.91	84.49	97	j06g
y25l	77.37	-27.05	63.23	68.78	113	j30g
y50l	68.62	-39.67	48.0	62.27	130	j53g
y75l	60.79	-50.95	34.38	61.47	146	j76g
l00c	52.5	-62.91	19.95	66.0	162	g00b
l50c	56.2	-43.39	-15.92	46.22	200	g34b
c00v	59.15	-27.87	-44.43	52.45	238	g69b
c50v	43.5	-1.49	-43.39	43.42	268	g96b
v00m	29.13	22.73	-42.44	48.14	298	b23r
v50m	37.32	42.16	-29.08	51.21	325	b47r
m00o	49.51	71.08	-9.19	71.67	353	b71r
m50o	49.11	66.86	14.12	68.34	12	b88r



Daten für jede Farbe:

lab^*ch^* und lab^*icu^*

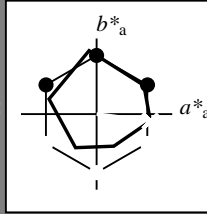
Buntontexte:

$u^*_d = m00o$ $u^*_e = b71r$

Kontrastreduzierungsfaktor:

$c_R = 0.96$

Dreiecks-Helligkeit t^*



ORS20_95a; adaptierte CIELAB-Daten						
u^*_d	$L^*=L^*_a$	a^*_a	b^*_a	$C^*_{ab,a}$	$h^*_{ab,a}$	
O _{Ma}	48.71	62.56	37.91	73.15	31	
Y _{Ma}	89.25	-9.92	83.91	84.49	97	
L _{Ma}	52.5	-62.91	19.95	66.0	162	
C _{Ma}	59.15	-27.87	-44.43	52.45	238	
V _{Ma}	29.13	22.73	-42.44	48.14	298	
M _{Ma}	49.51	71.08	-9.19	71.67	353	
N _{Ma}	20.0	0.0	0.0	0.0	0	
W _{Ma}	95.0	0.0	0.0	0.0	0	
O _{Ma}	39.92	58.74	27.99	65.07	25	
Y _{Ma}	81.26	-2.89	71.56	71.62	92	
L _{Ma}	52.23	-42.42	13.6	44.55	162	
V _{Ma}	30.57	1.41	-46.47	46.49	272	

Daten für Maximalfarbe (Ma):

$LAB^*LAB^*_{Ma}: 50\ 71\ -9$

$LAB^*LCH^*_{Ma}: 50\ 72\ 352$

$lab^*olv^*_{Ma}: 1.0\ 0.0\ 1.0$

$lab^*rgb^*_{Ma}: 1.0\ 0.0\ 0.58$

Dreiecks-Helligkeit t^*

%Umfang

$u^*_{rel} = 83$

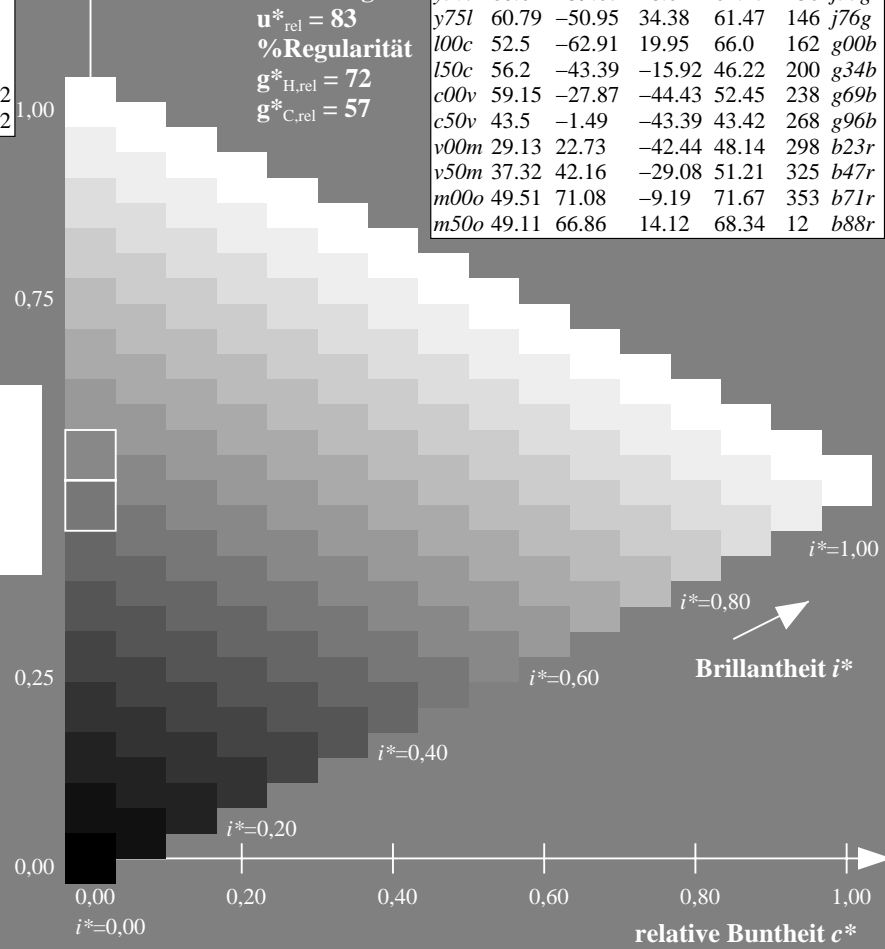
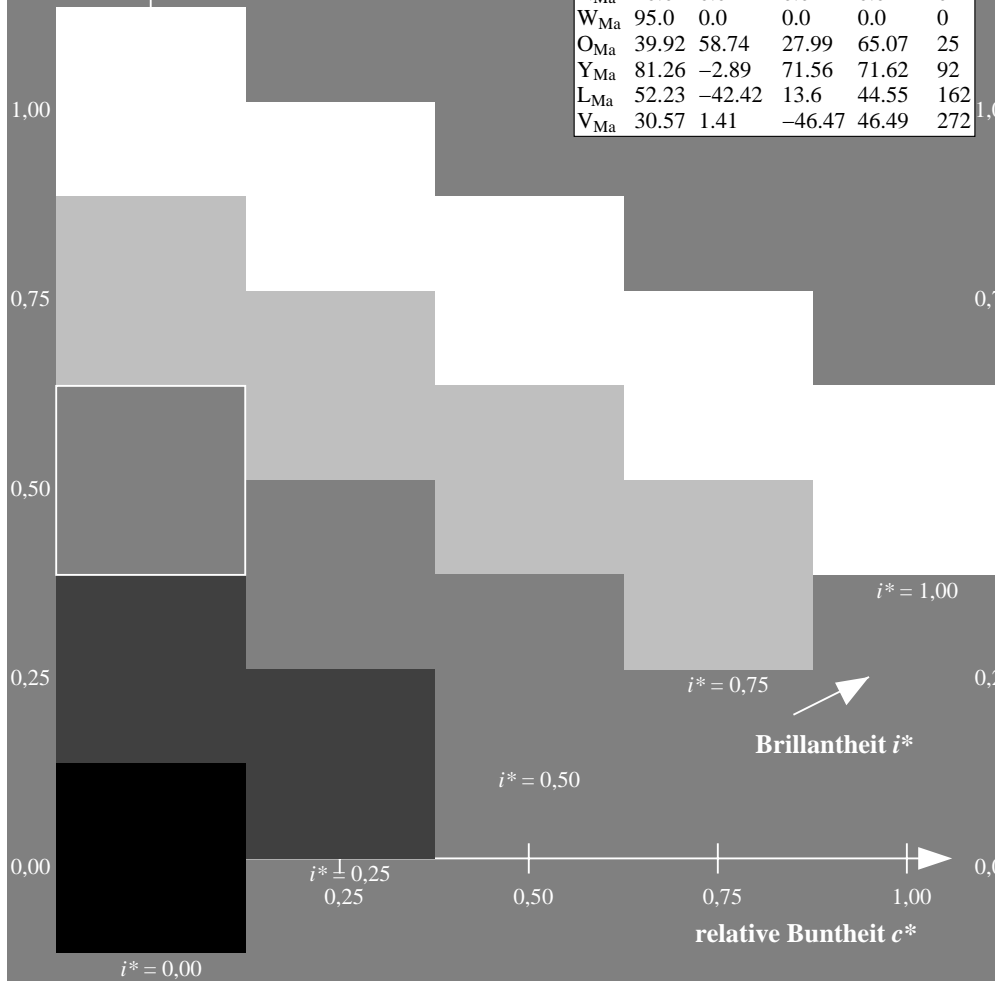
%Regularität

$g^*_{H,rel} = 72$

$g^*_{C,rel} = 57$

ORS20_95a; adaptierte CIELAB-Daten

u^*_d	$L^*=L^*_a$	a^*_a	b^*_a	$C^*_{ab,a}$	$h^*_{ab,a}$	u^*_e
o00y	48.71	62.56	37.91	73.15	31	r08j
o25y	58.6	44.87	49.14	66.54	48	r33j
o50y	67.52	28.93	59.25	65.94	64	r57j
o75y	77.05	11.9	70.06	71.06	80	r81j
y00l	89.25	-9.92	83.91	84.49	97	j06g
y25l	77.37	-27.05	63.23	68.78	113	j30g
y50l	68.62	-39.67	48.0	62.27	130	j53g
y75l	60.79	-50.95	34.38	61.47	146	j76g
l00c	52.5	-62.91	19.95	66.0	162	g00b
l50c	56.2	-43.39	-15.92	46.22	200	g34b
c00v	59.15	-27.87	-44.43	52.45	238	g69b
c50v	43.5	-1.49	-43.39	43.42	268	g96b
v00m	29.13	22.73	-42.44	48.14	298	b23r
v50m	37.32	42.16	-29.08	51.21	325	b47r
m00o	49.51	71.08	-9.19	71.67	353	b71r
m50o	49.11	66.86	14.12	68.34	12	b88r



Daten für jede Farbe:

lab^*tch^* und lab^*icu^*

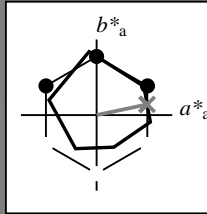
Bunntexte:

$u^*_d = m50o$ $u^*_e = b88r$

Kontrastreduzierungsfaktor:

$c_R = 0.96$

Dreiecks-Helligkeit t^*



ORS20_95a; adaptierte CIELAB-Daten						
u^*_d	$L^*=L^*_a$	a^*_a	b^*_a	$C^*_{ab,a}$	$h^*_{ab,a}$	
O _{Ma}	48.71	62.56	37.91	73.15	31	
Y _{Ma}	89.25	-9.92	83.91	84.49	97	
L _{Ma}	52.5	-62.91	19.95	66.0	162	
C _{Ma}	59.15	-27.87	-44.43	52.45	238	
V _{Ma}	29.13	22.73	-42.44	48.14	298	
M _{Ma}	49.51	71.08	-9.19	71.67	353	
N _{Ma}	20.0	0.0	0.0	0.0	0	
W _{Ma}	95.0	0.0	0.0	0.0	0	
O _{Ma}	39.92	58.74	27.99	65.07	25	
Y _{Ma}	81.26	-2.89	71.56	71.62	92	
L _{Ma}	52.23	-42.42	13.6	44.55	162	
V _{Ma}	30.57	1.41	-46.47	46.49	272	

Daten für Maximalfarbe (Ma):

$LAB^*LAB^*_{Ma}$: 49 67 14

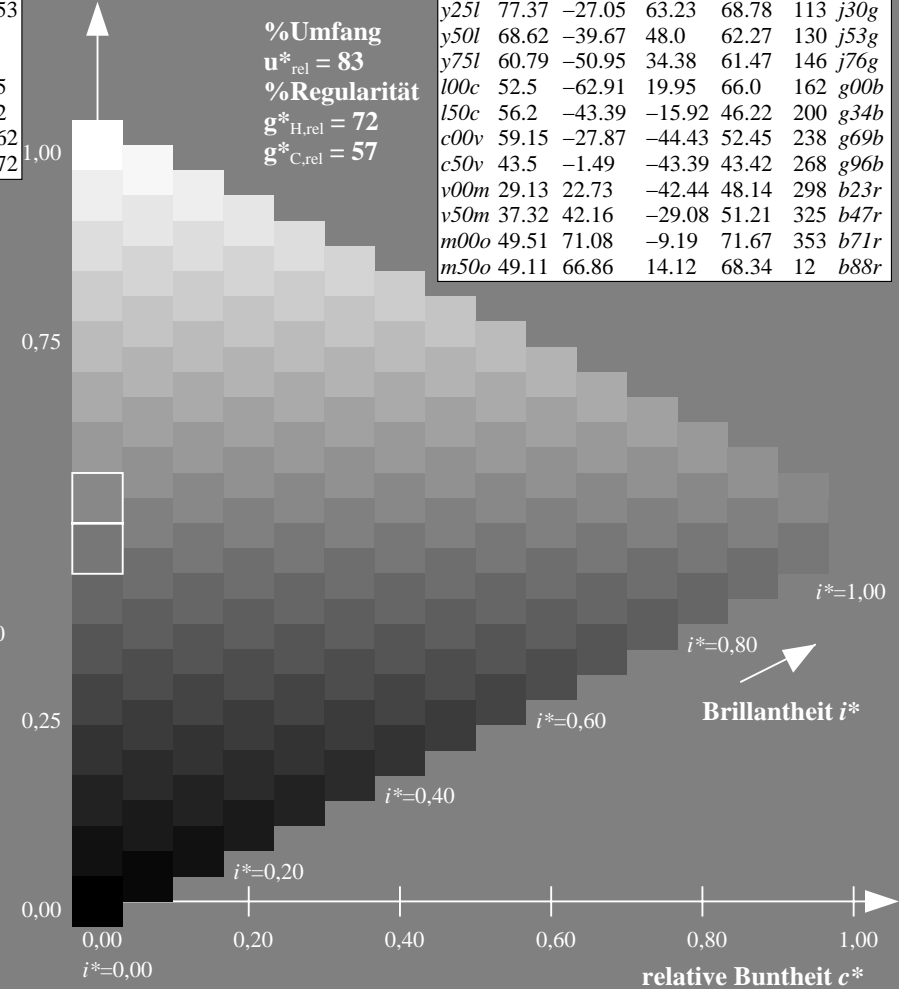
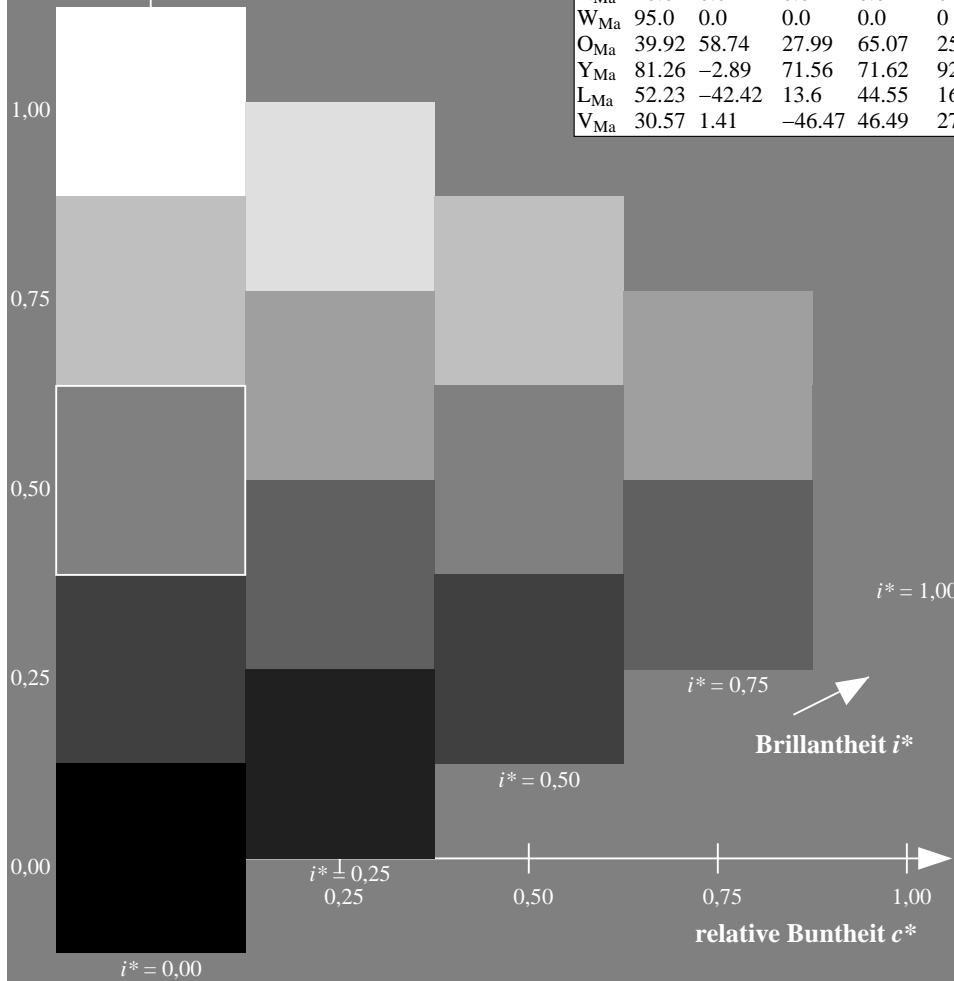
$LAB^*LCH^*_{Ma}$: 49 68 11

$lab^*olv^*_{Ma}$: 1.0 0.0 0.5

$lab^*rgb^*_{Ma}$: 1.0 0.0 0.24

Dreiecks-Helligkeit t^*

ORS20_95a; adaptierte CIELAB-Daten							
u^*_d	$L^*=L^*_a$	a^*_a	b^*_a	$C^*_{ab,a}$	$h^*_{ab,a}$	u^*_e	
o00y	48.71	62.56	37.91	73.15	31	r08j	
o25y	58.6	44.87	49.14	66.54	48	r33j	
o50y	67.52	28.93	59.25	65.94	64	r57j	
o75y	77.05	11.9	70.06	71.06	80	r81j	
y00l	89.25	-9.92	83.91	84.49	97	j06g	
y25l	77.37	-27.05	63.23	68.78	113	j30g	
y50l	68.62	-39.67	48.0	62.27	130	j53g	
y75l	60.79	-50.95	34.38	61.47	146	j76g	
l00c	52.5	-62.91	19.95	66.0	162	g00b	
l50c	56.2	-43.39	-15.92	46.22	200	g34b	
c00v	59.15	-27.87	-44.43	52.45	238	g69b	
c50v	43.5	-1.49	-43.39	43.42	268	g96b	
v00m	29.13	22.73	-42.44	48.14	298	b23r	
v50m	37.32	42.16	-29.08	51.21	325	b47r	
m00o	49.51	71.08	-9.19	71.67	353	b71r	
m50o	49.11	66.86	14.12	68.34	12	b88r	



	A	B	C	D	E	F	G	H	I	J	K	L	M	N	O	P	Q	R	S	T	U	V	W	X	Y	Z	a	b	c	d	e	f	g	h	i	j	k
01	[Shaded]																																				
02	[Shaded]																																				
03	[Shaded]																																				
04	[Shaded]																																				
05	[Shaded]																																				
06	[Shaded]																																				
07	[Shaded]																																				
08	[Shaded]																																				
09	[White]																																				
10	[Shaded]																																				
11	[Shaded]																																				
12	[Shaded]																																				
13	[Shaded]																																				
14	[Shaded]																																				
15	[Shaded]																																				
16	[Shaded]																																				
17	[Shaded]																																				
18	[White]																																				
19	[Shaded]																																				
20	[Shaded]																																				
21	[Shaded]																																				
22	[Shaded]																																				
23	[Shaded]																																				
24	[Shaded]																																				
25	[Shaded]																																				
26	[Shaded]																																				
27	[White]																																				

Schwarz-Separation leer

Schwarz-Separation leer

Schwarz-Separation leer

Schwarz-Separation leer

Schwarz-Separation leer

Schwarz-Separation leer

Schwarz-Separation leer

Schwarz-Separation leer

Schwarz-Separation leer

Schwarz-Separation leer

Schwarz-Separation leer

Schwarz-Separation leer

Schwarz-Separation leer

Schwarz-Separation leer

Schwarz-Separation leer

Schwarz-Separation leer

Schwarz-Separation leer

Schwarz-Separation leer

Ein und Ausgabe:
 Farbmetrisches Drucker-Reflektiv-System ORS20_95a

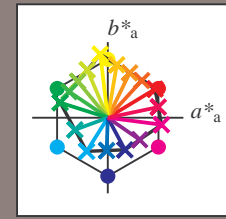
Daten für jede Farbe:
 u^*_d und Nummer *Nr.* = 00 .. 15

Geräte-Bunttextext:
 $u^*_d = 16$ Bunttoene *o00y, o25y, ..., m50o*

Kontrastreduzierungsfaktor:
 $c_R = 0.96$

ORS20_95a; adaptierte CIELAB-Daten

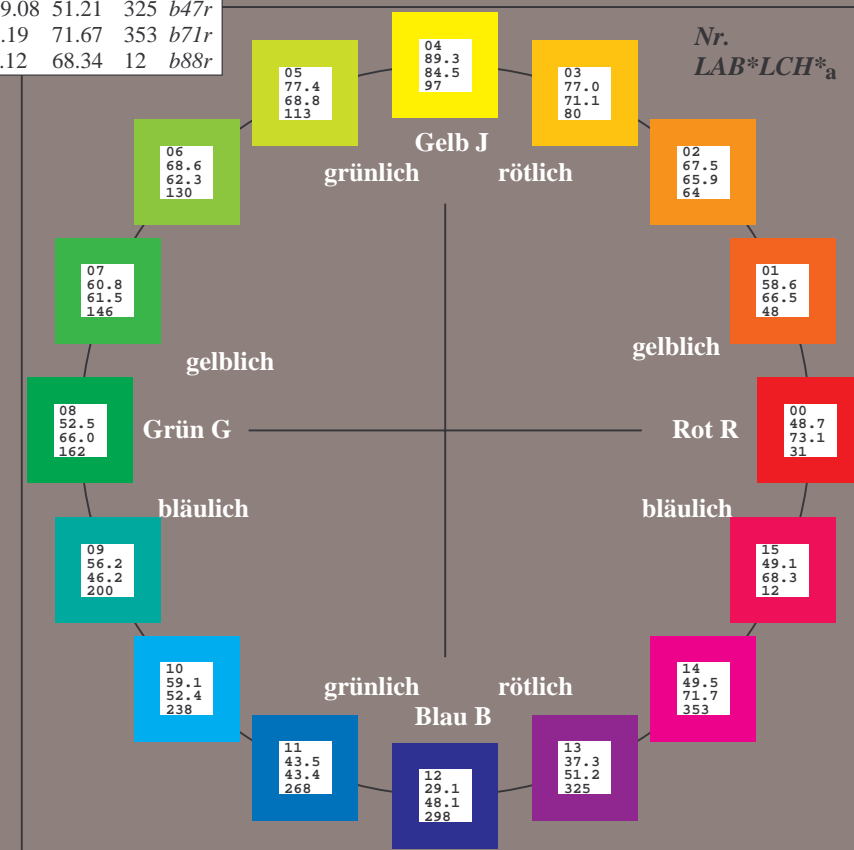
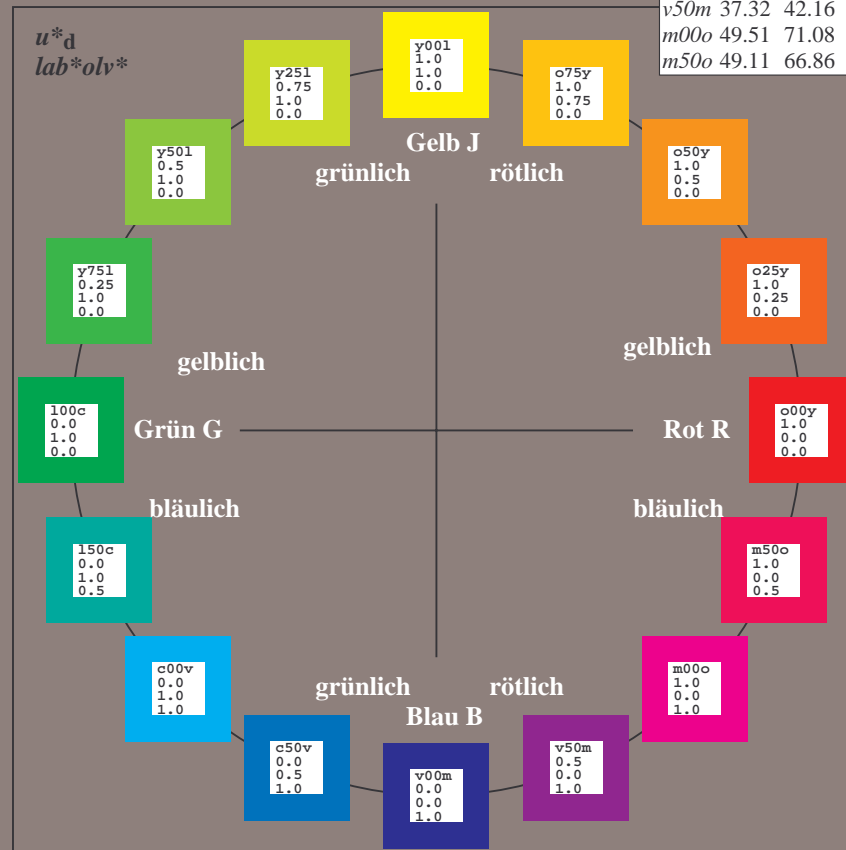
u^*_d	$L^*=L^*_a$	a^*_a	b^*_a	$C^*_{ab,a}$	$h^*_{ab,a}$	u^*_e
<i>o00y</i>	48.71	62.56	37.91	73.15	31	<i>r08j</i>
<i>o25y</i>	58.6	44.87	49.14	66.54	48	<i>r33j</i>
<i>o50y</i>	67.52	28.93	59.25	65.94	64	<i>r57j</i>
<i>o75y</i>	77.05	11.9	70.06	71.06	80	<i>r81j</i>
<i>y00l</i>	89.25	-9.92	83.91	84.49	97	<i>j06g</i>
<i>y25l</i>	77.37	-27.05	63.23	68.78	113	<i>j30g</i>
<i>y50l</i>	68.62	-39.67	48.0	62.27	130	<i>j53g</i>
<i>y75l</i>	60.79	-50.95	34.38	61.47	146	<i>j76g</i>
<i>l00c</i>	52.5	-62.91	19.95	66.0	162	<i>g00b</i>
<i>l50c</i>	56.2	-43.39	-15.92	46.22	200	<i>g34b</i>
<i>c00v</i>	59.15	-27.87	-44.43	52.45	238	<i>g69b</i>
<i>c50v</i>	43.5	-1.49	-43.39	43.42	268	<i>g96b</i>
<i>v00m</i>	29.13	22.73	-42.44	48.14	298	<i>b23r</i>
<i>v50m</i>	37.32	42.16	-29.08	51.21	325	<i>b47r</i>
<i>m00o</i>	49.51	71.08	-9.19	71.67	353	<i>b71r</i>
<i>m50o</i>	49.11	66.86	14.12	68.34	12	<i>b88r</i>



%Umfang
 $u^*_{rel} = 83$
 %Regularität
 $g^*_{H,rel} = 72$
 $g^*_{C,rel} = 57$

ORS20_95a; adaptierte CIELAB-Daten

Name	$L^*=L^*_a$	a^*_a	b^*_a	$C^*_{ab,a}$	$h^*_{ab,a}$
O _{Ma}	48.71	62.56	37.91	73.15	31
Y _{Ma}	89.25	-9.92	83.91	84.49	97
L _{Ma}	52.5	-62.91	19.95	66.0	162
C _{Ma}	59.15	-27.87	-44.43	52.45	238
V _{Ma}	29.13	22.73	-42.44	48.14	298
M _{Ma}	49.51	71.08	-9.19	71.67	353
N _{Ma}	20.0	0.0	0.0	0.0	0
W _{Ma}	95.0	0.0	0.0	0.0	0
O _{CIE}	39.92	58.74	27.99	65.07	25
Y _{CIE}	81.26	-2.89	71.56	71.62	92
L _{CIE}	52.23	-42.42	13.6	44.55	162
V _{CIE}	30.57	1.41	-46.47	46.49	272



Ein und Ausgabe: Farbmatisches Drucker-Reflektiv-System ORS20_95a für relativen CIELAB-Bunton $h^* = lab^*h^* = h_{ab}/360 = 0.087$

$u^*_d = o00y$

Daten für jede Farbe:

lab^*ch^* und lab^*icu^*

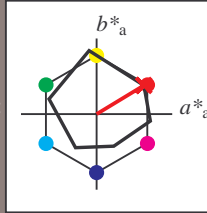
Buntontexte:

$u^*_d = o00y$ $u^*_e = r08j$

Kontrastreduzierungsfaktor:

$c_R = 0.96$

Dreiecks-Helligkeit t^*



ORS20_95a; adaptierte CIELAB-Daten

u^*_d	$L^*=L^*_a$	a^*_a	b^*_a	$C^*_{ab,a}$	$h^*_{ab,a}$
O _{Ma}	48.71	62.56	37.91	73.15	31
Y _{Ma}	89.25	-9.92	83.91	84.49	97
L _{Ma}	52.5	-62.91	19.95	66.0	162
C _{Ma}	59.15	-27.87	-44.43	52.45	238
V _{Ma}	29.13	22.73	-42.44	48.14	298
M _{Ma}	49.51	71.08	-9.19	71.67	353
N _{Ma}	20.0	0.0	0.0	0.0	0
W _{Ma}	95.0	0.0	0.0	0.0	0
O _{Ma}	39.92	58.74	27.99	65.07	25
Y _{Ma}	81.26	-2.89	71.56	71.62	92
L _{Ma}	52.23	-42.42	13.6	44.55	162
V _{Ma}	30.57	1.41	-46.47	46.49	272

Daten für Maximalfarbe (Ma):

$LAB^*LAB^*_{Ma}$: 49 63 38

$LAB^*LCH^*_{Ma}$: 49 73 31

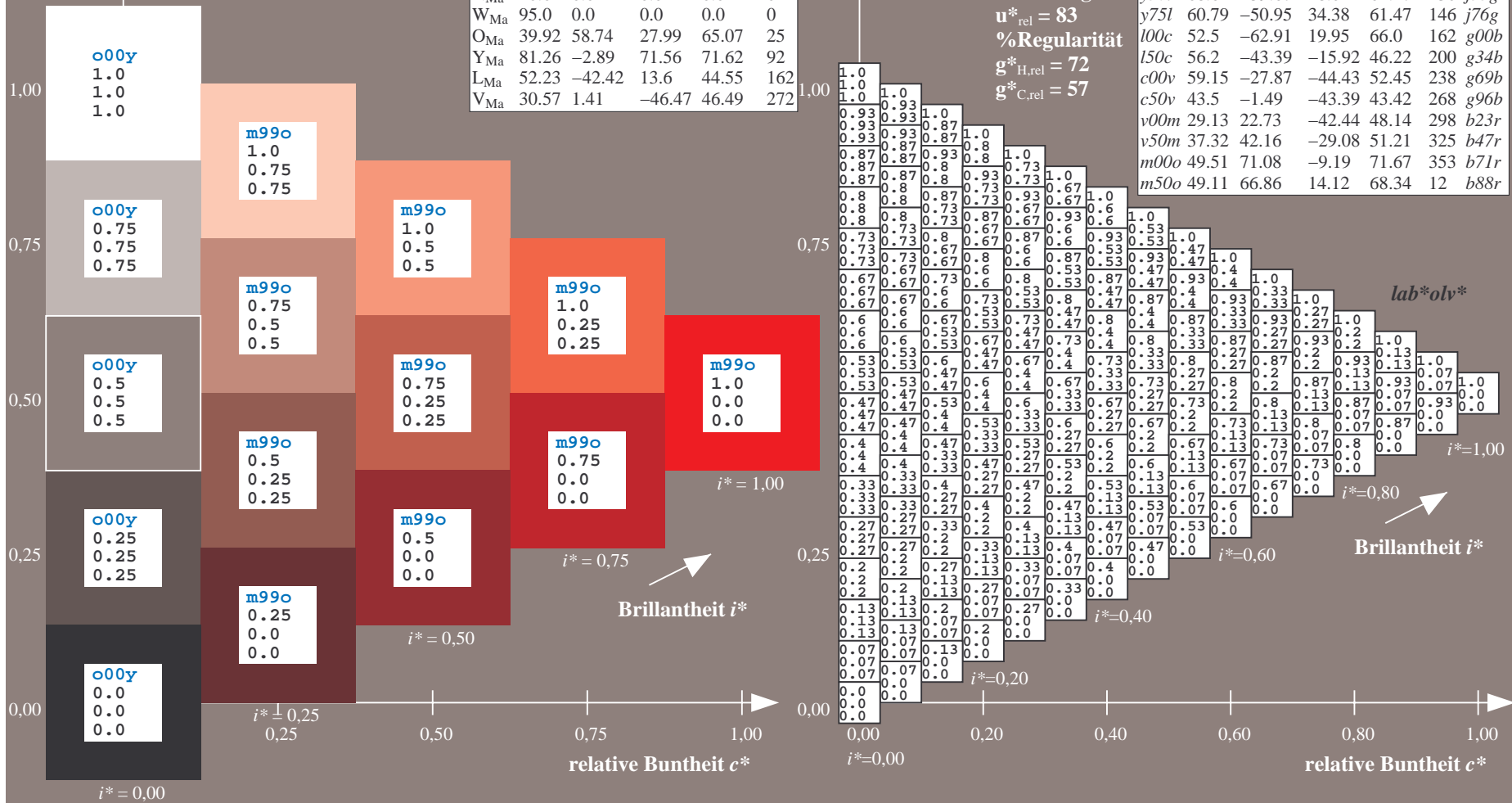
$lab^*olv^*_{Ma}$: 1.0 0.0 0.0

$lab^*rgb^*_{Ma}$: 1.0 0.09 0.0

Dreiecks-Helligkeit t^*

ORS20_95a; adaptierte CIELAB-Daten

u^*_d	$L^*=L^*_a$	a^*_a	b^*_a	$C^*_{ab,a}$	$h^*_{ab,a}$	u^*_e
<i>o00y</i>	48.71	62.56	37.91	73.15	31	<i>r08j</i>
<i>o25y</i>	58.6	44.87	49.14	66.54	48	<i>r33j</i>
<i>o50y</i>	67.52	28.93	59.25	65.94	64	<i>r57j</i>
<i>o75y</i>	77.05	11.9	70.06	71.06	80	<i>r81j</i>
<i>y00l</i>	89.25	-9.92	83.91	84.49	97	<i>j06g</i>
<i>y25l</i>	77.37	-27.05	63.23	68.78	113	<i>j30g</i>
<i>y50l</i>	68.62	-39.67	48.0	62.27	130	<i>j53g</i>
<i>y75l</i>	60.79	-50.95	34.38	61.47	146	<i>j76g</i>
<i>l00c</i>	52.5	-62.91	19.95	66.0	162	<i>g00b</i>
<i>l50c</i>	56.2	-43.39	-15.92	46.22	200	<i>g34b</i>
<i>c00v</i>	59.15	-27.87	-44.43	52.45	238	<i>g69b</i>
<i>c50v</i>	43.5	-1.49	-43.39	43.42	268	<i>g96b</i>
<i>v00m</i>	29.13	22.73	-42.44	48.14	298	<i>b23r</i>
<i>v50m</i>	37.32	42.16	-29.08	51.21	325	<i>b47r</i>
<i>m00o</i>	49.51	71.08	-9.19	71.67	353	<i>b71r</i>
<i>m50o</i>	49.11	66.86	14.12	68.34	12	<i>b88r</i>



Ein und Ausgabe: Farbmatisches Drucker-Reflektiv-System ORS20_95a für relativen CIELAB-Bunton $h^* = lab^*h^* = h_{ab}/360 = 0.132$

$u^*_d = o25y$

Daten für jede Farbe:

lab^*ch^* und lab^*icu^*

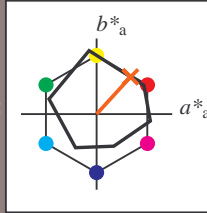
Buntontexte:

$u^*_d = o25y$ $u^*_e = r33j$

Kontrastreduzierungsfaktor:

$c_R = 0.96$

Dreiecks-Helligkeit t^*



ORS20_95a; adaptierte CIELAB-Daten

u^*_d	$L^*=L^*_a$	a^*_a	b^*_a	$C^*_{ab,a}$	$h^*_{ab,a}$
O _{Ma}	48.71	62.56	37.91	73.15	31
Y _{Ma}	89.25	-9.92	83.91	84.49	97
L _{Ma}	52.5	-62.91	19.95	66.0	162
C _{Ma}	59.15	-27.87	-44.43	52.45	238
V _{Ma}	29.13	22.73	-42.44	48.14	298
M _{Ma}	49.51	71.08	-9.19	71.67	353
N _{Ma}	20.0	0.0	0.0	0.0	0
W _{Ma}	95.0	0.0	0.0	0.0	0
O _{Ma}	39.92	58.74	27.99	65.07	25
Y _{Ma}	81.26	-2.89	71.56	71.62	92
L _{Ma}	52.23	-42.42	13.6	44.55	162
V _{Ma}	30.57	1.41	-46.47	46.49	272

Daten für Maximalfarbe (Ma):

$LAB^*LAB^*_{Ma}$: 59 45 49

$LAB^*LCH^*_{Ma}$: 59 67 47

$lab^*olv^*_{Ma}$: 1.0 0.25 0.0

$lab^*rgb^*_{Ma}$: 1.0 0.33 0.0

Dreiecks-Helligkeit t^*

%Umfang

$u^*_{rel} = 83$

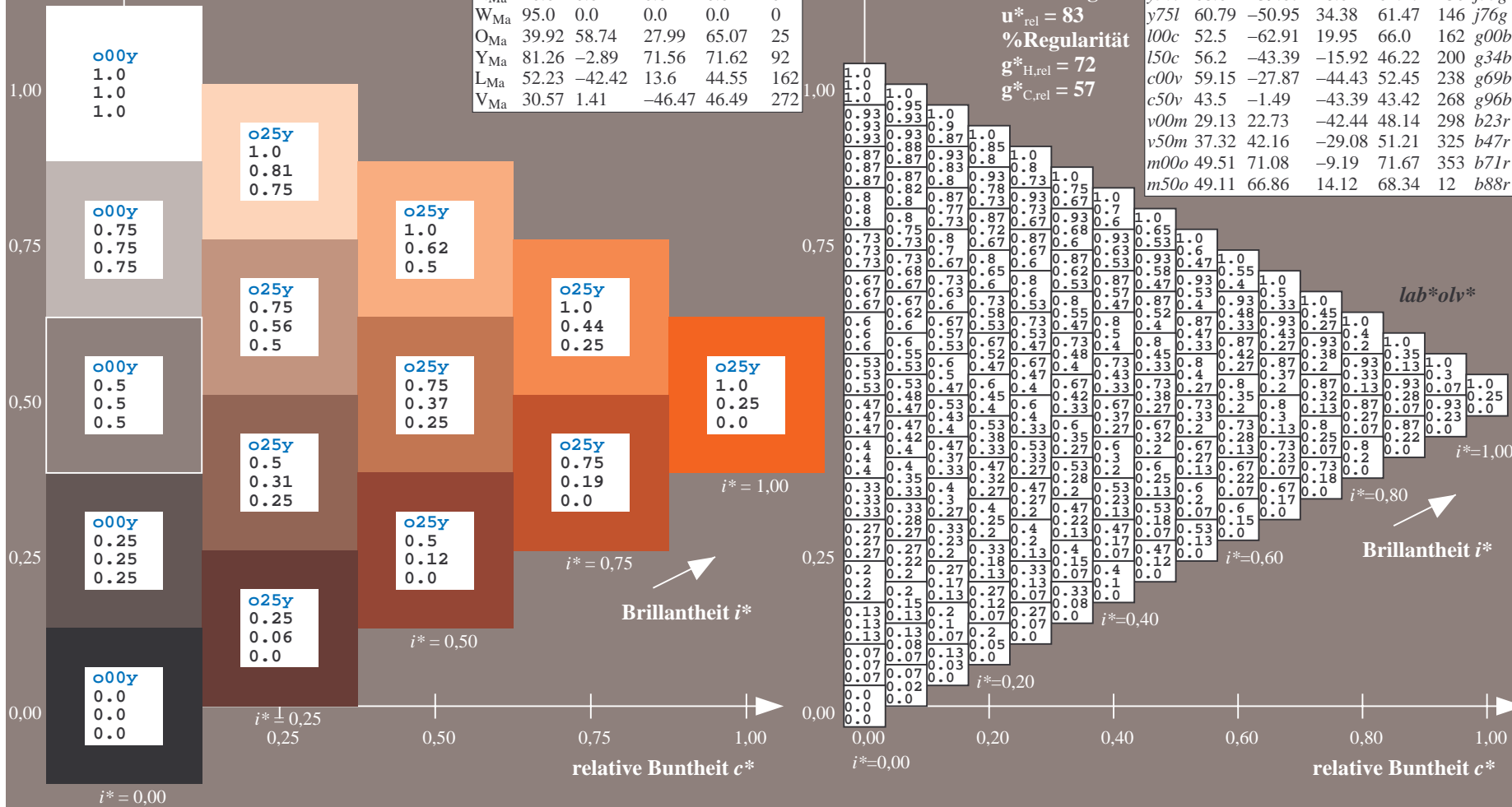
%Regularität

$g^*_{H,rel} = 72$

$g^*_{C,rel} = 57$

ORS20_95a; adaptierte CIELAB-Daten

u^*_d	$L^*=L^*_a$	a^*_a	b^*_a	$C^*_{ab,a}$	$h^*_{ab,a}$	u^*_e
o00y	48.71	62.56	37.91	73.15	31	r08j
o25y	58.6	44.87	49.14	66.54	48	r33j
o50y	67.52	28.93	59.25	65.94	64	r57j
o75y	77.05	11.9	70.06	71.06	80	r81j
y00l	89.25	-9.92	83.91	84.49	97	j06g
y25l	77.37	-27.05	63.23	68.78	113	j30g
y50l	68.62	-39.67	48.0	62.27	130	j53g
y75l	60.79	-50.95	34.38	61.47	146	j76g
l00c	52.5	-62.91	19.95	66.0	162	g00b
l50c	56.2	-43.39	-15.92	46.22	200	g34b
c00v	59.15	-27.87	-44.43	52.45	238	g69b
c50v	43.5	-1.49	-43.39	43.42	268	g96b
v00m	29.13	22.73	-42.44	48.14	298	b23r
v50m	37.32	42.16	-29.08	51.21	325	b47r
m00o	49.51	71.08	-9.19	71.67	353	b71r
m50o	49.11	66.86	14.12	68.34	12	b88r



Ein und Ausgabe: Farbmatisches Drucker-Reflektiv-System ORS20_95a für relativen CIELAB-Bunton $h^* = lab^*h^* = h_{ab}/360 = 0.178$

$u^*_d = o50y$

Daten für jede Farbe:

lab^*ch^* und lab^*icu^*

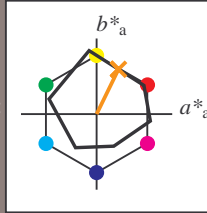
Buntontexte:

$u^*_d = o50y$ $u^*_e = r57j$

Kontrastreduzierungsfaktor:

$c_R = 0.96$

Dreiecks-Helligkeit t^*



ORS20_95a; adaptierte CIELAB-Daten

u^*_d	$L^*=L^*_a$	a^*_a	b^*_a	$C^*_{ab,a}$	$h^*_{ab,a}$
O _{Ma}	48.71	62.56	37.91	73.15	31
Y _{Ma}	89.25	-9.92	83.91	84.49	97
L _{Ma}	52.5	-62.91	19.95	66.0	162
C _{Ma}	59.15	-27.87	-44.43	52.45	238
V _{Ma}	29.13	22.73	-42.44	48.14	298
M _{Ma}	49.51	71.08	-9.19	71.67	353
N _{Ma}	20.0	0.0	0.0	0.0	0
W _{Ma}	95.0	0.0	0.0	0.0	0
O _{Ma}	39.92	58.74	27.99	65.07	25
Y _{Ma}	81.26	-2.89	71.56	71.62	92
L _{Ma}	52.23	-42.42	13.6	44.55	162
V _{Ma}	30.57	1.41	-46.47	46.49	272

Daten für Maximalfarbe (Ma):

$LAB^*LAB^*_{Ma}$: 68 29 59

$LAB^*LCH^*_{Ma}$: 68 66 63

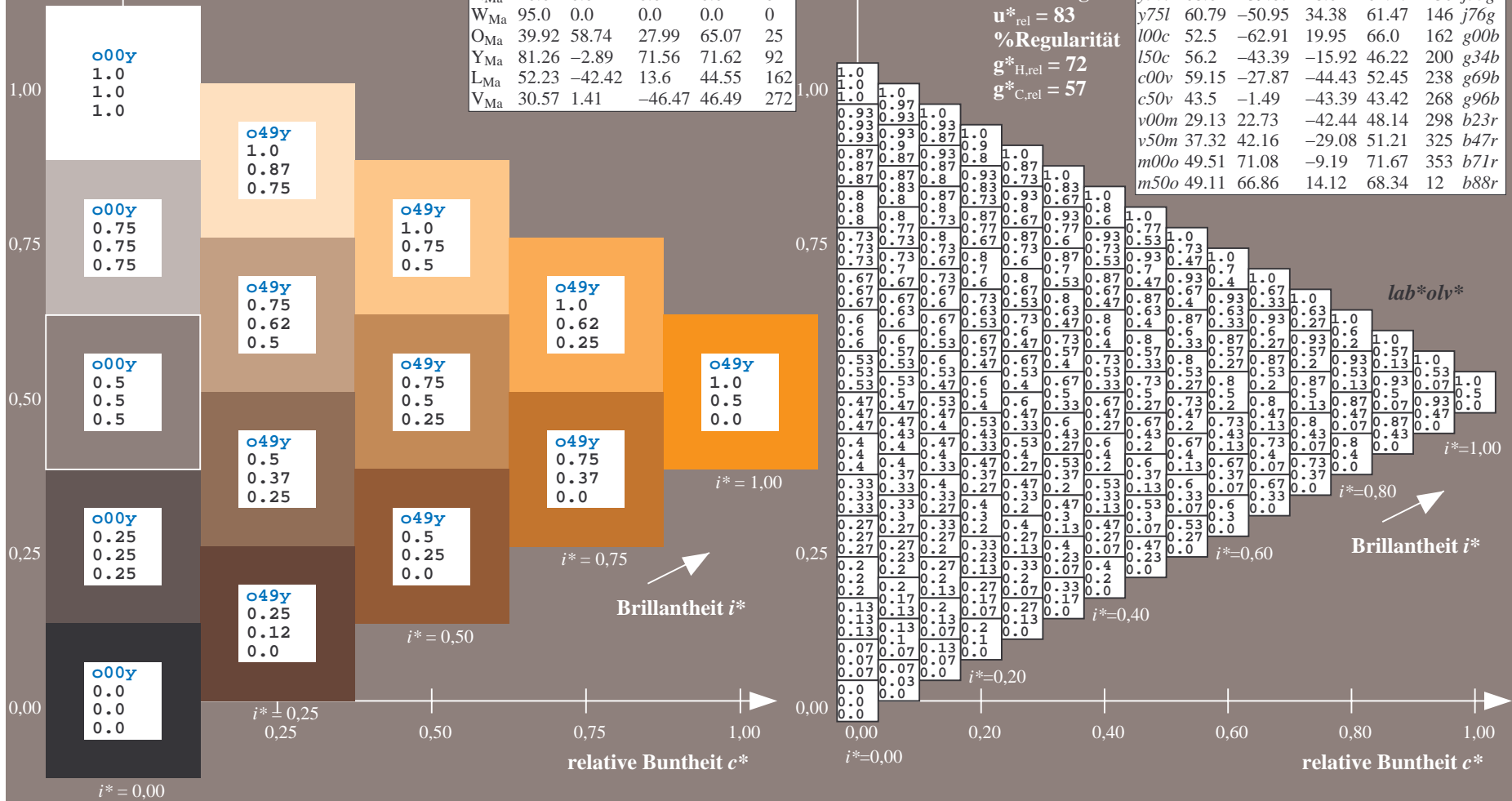
$lab^*olv^*_{Ma}$: 1.0 0.5 0.0

$lab^*rgb^*_{Ma}$: 1.0 0.58 0.0

Dreiecks-Helligkeit t^*

ORS20_95a; adaptierte CIELAB-Daten

u^*_d	$L^*=L^*_a$	a^*_a	b^*_a	$C^*_{ab,a}$	$h^*_{ab,a}$	u^*_e
o00y	48.71	62.56	37.91	73.15	31	r08j
o25y	58.6	44.87	49.14	66.54	48	r33j
o50y	67.52	28.93	59.25	65.94	64	r57j
o75y	77.05	11.9	70.06	71.06	80	r81j
y00l	89.25	-9.92	83.91	84.49	97	j06g
y25l	77.37	-27.05	63.23	68.78	113	j30g
y50l	68.62	-39.67	48.0	62.27	130	j53g
y75l	60.79	-50.95	34.38	61.47	146	j76g
l00c	52.5	-62.91	19.95	66.0	162	g00b
l50c	56.2	-43.39	-15.92	46.22	200	g34b
c00v	59.15	-27.87	-44.43	52.45	238	g69b
c50v	43.5	-1.49	-43.39	43.42	268	g96b
v00m	29.13	22.73	-42.44	48.14	298	b23r
v50m	37.32	42.16	-29.08	51.21	325	b47r
m00o	49.51	71.08	-9.19	71.67	353	b71r
m50o	49.11	66.86	14.12	68.34	12	b88r



%Umfang
 $u^*_{rel} = 83$
 %Regularität
 $g^*_{H,rel} = 72$
 $g^*_{C,rel} = 57$

Ein und Ausgabe: Farbmatisches Drucker-Reflektiv-System ORS20_95a für relativen CIELAB-Bunton $h^* = lab^*h^* = h_{ab}/360 = 0.223$

$u^*_d = 0.75y$

Daten für jede Farbe:

lab^*ch^* und lab^*icu^*

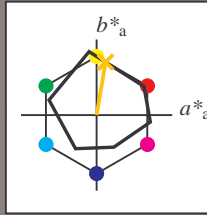
Buntontexte:

$u^*_d = 0.75y$ $u^*_e = r8lj$

Kontrastreduzierungsfaktor:

$c_R = 0.96$

Dreiecks-Helligkeit t^*



ORS20_95a; adaptierte CIELAB-Daten

u^*_d	$L^*=L^*_a$	a^*_a	b^*_a	$C^*_{ab,a}$	$h^*_{ab,a}$
O _{Ma}	48.71	62.56	37.91	73.15	31
Y _{Ma}	89.25	-9.92	83.91	84.49	97
L _{Ma}	52.5	-62.91	19.95	66.0	162
C _{Ma}	59.15	-27.87	-44.43	52.45	238
V _{Ma}	29.13	22.73	-42.44	48.14	298
M _{Ma}	49.51	71.08	-9.19	71.67	353
N _{Ma}	20.0	0.0	0.0	0.0	0
W _{Ma}	95.0	0.0	0.0	0.0	0
O _{Ma}	39.92	58.74	27.99	65.07	25
Y _{Ma}	81.26	-2.89	71.56	71.62	92
L _{Ma}	52.23	-42.42	13.6	44.55	162
V _{Ma}	30.57	1.41	-46.47	46.49	272

Daten für Maximalfarbe (Ma):

$LAB^*LAB^*_{Ma}$: 77 12 70

$LAB^*LCH^*_{Ma}$: 77 71 80

$lab^*olv^*_{Ma}$: 1.0 0.75 0.0

$lab^*rgb^*_{Ma}$: 1.0 0.82 0.0

Dreiecks-Helligkeit t^*

%Umfang

$u^*_{rel} = 83$

%Regularität

$g^*_{H,rel} = 72$

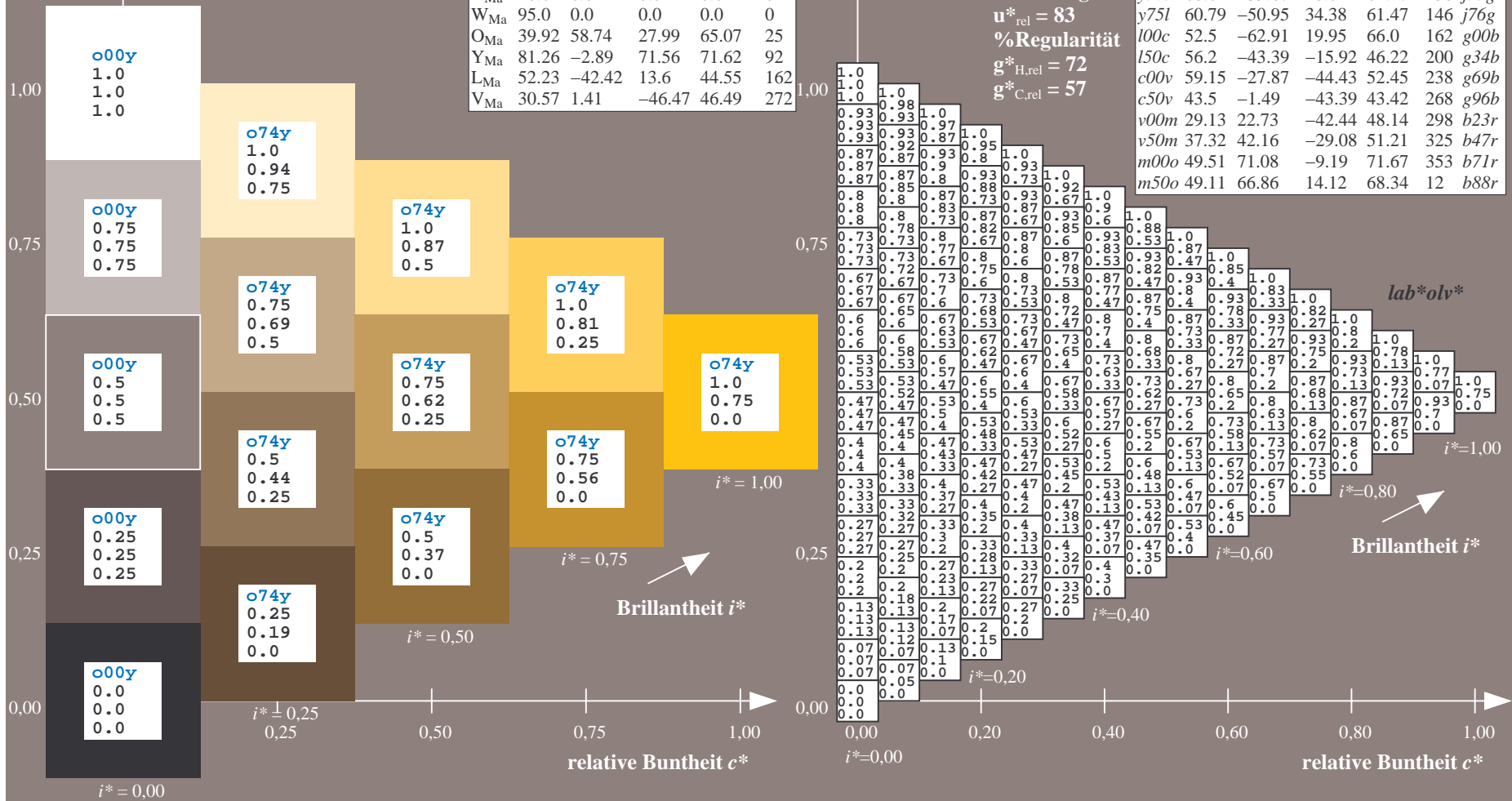
$g^*_{C,rel} = 57$

ORS20_95a; adaptierte CIELAB-Daten

u^*_d	$L^*=L^*_a$	a^*_a	b^*_a	$C^*_{ab,a}$	$h^*_{ab,a}$	u^*_e
o00y	48.71	62.56	37.91	73.15	31	r08j
o25y	58.6	44.87	49.14	66.54	48	r33j
o50y	67.52	28.93	59.25	65.94	64	r57j
o75y	77.05	11.9	70.06	71.06	80	r8lj
y00l	89.25	-9.92	83.91	84.49	97	j06g
y25l	77.37	-27.05	63.23	68.78	113	j30g
y50l	68.62	-39.67	48.0	62.27	130	j53g
y75l	60.79	-50.95	34.38	61.47	146	j76g
l00c	52.5	-62.91	19.95	66.0	162	g00b
l50c	56.2	-43.39	-15.92	46.22	200	g34b
c00v	59.15	-27.87	-44.43	52.45	238	g69b
c50v	43.5	-1.49	-43.39	43.42	268	g96b
v00m	29.13	22.73	-42.44	48.14	298	b23r
v50m	37.32	42.16	-29.08	51.21	325	b47r
m00o	49.51	71.08	-9.19	71.67	353	b71r
m50o	49.11	66.86	14.12	68.34	12	b88r

lab^*olv^*

Brillantheit i^*



Ein und Ausgabe: Farbmatisches Drucker-Reflektiv-System ORS20_95a für relativen CIELAB-Bunton $h^* = lab^*h^* = h_{ab}/360 = 0.269$

$u^*_d = y00l$
 lab^*olv^*

Daten für jede Farbe:

lab^*ch^* und lab^*icu^*

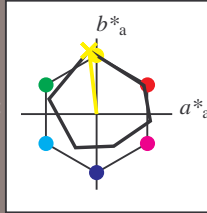
Buntontexte:

$u^*_d = y00l$ $u^*_e = j06g$

Kontrastreduzierungsfaktor:

$c_R = 0.96$

Dreiecks-Helligkeit t^*



ORS20_95a; adaptierte CIELAB-Daten						
u^*_d	$L^*=L^*_a$	a^*_a	b^*_a	$C^*_{ab,a}$	$h^*_{ab,a}$	
O _{Ma}	48.71	62.56	37.91	73.15	31	
Y _{Ma}	89.25	-9.92	83.91	84.49	97	
L _{Ma}	52.5	-62.91	19.95	66.0	162	
C _{Ma}	59.15	-27.87	-44.43	52.45	238	
V _{Ma}	29.13	22.73	-42.44	48.14	298	
M _{Ma}	49.51	71.08	-9.19	71.67	353	
N _{Ma}	20.0	0.0	0.0	0.0	0	
W _{Ma}	95.0	0.0	0.0	0.0	0	
O _{Ma}	39.92	58.74	27.99	65.07	25	
Y _{Ma}	81.26	-2.89	71.56	71.62	92	
L _{Ma}	52.23	-42.42	13.6	44.55	162	
V _{Ma}	30.57	1.41	-46.47	46.49	272	

Daten für Maximalfarbe (Ma):

$LAB^*LAB^*_{Ma}$: 89 -10 84

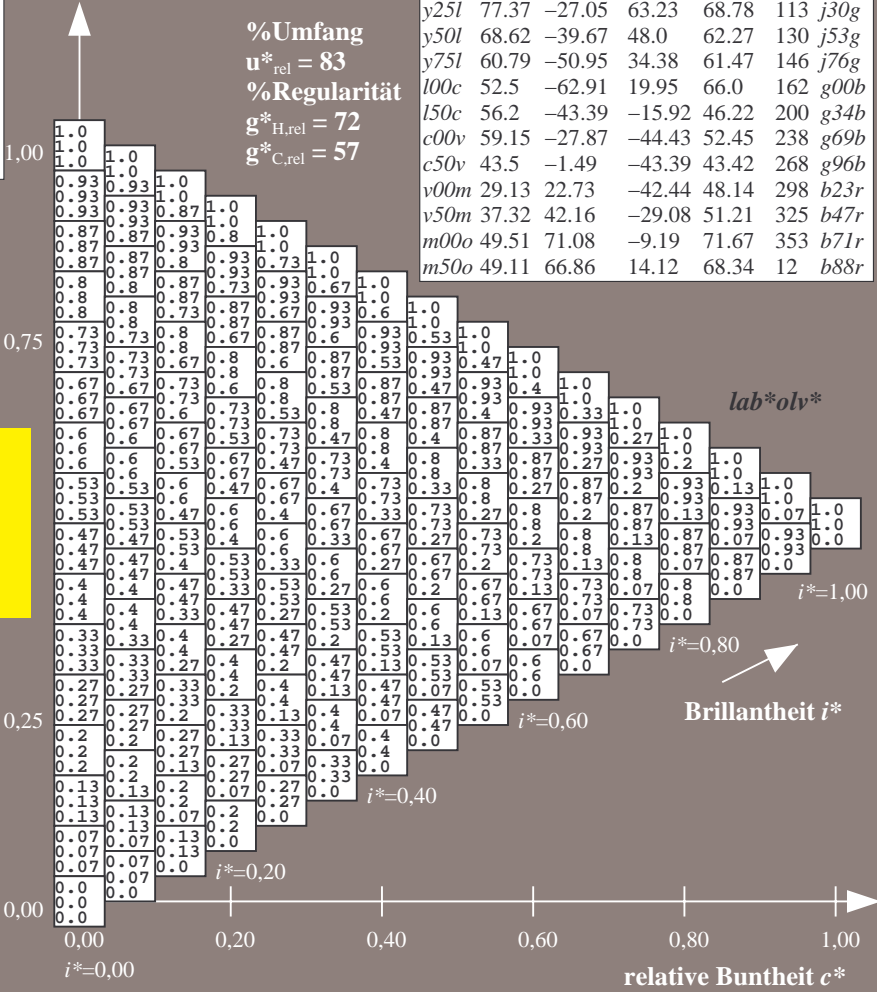
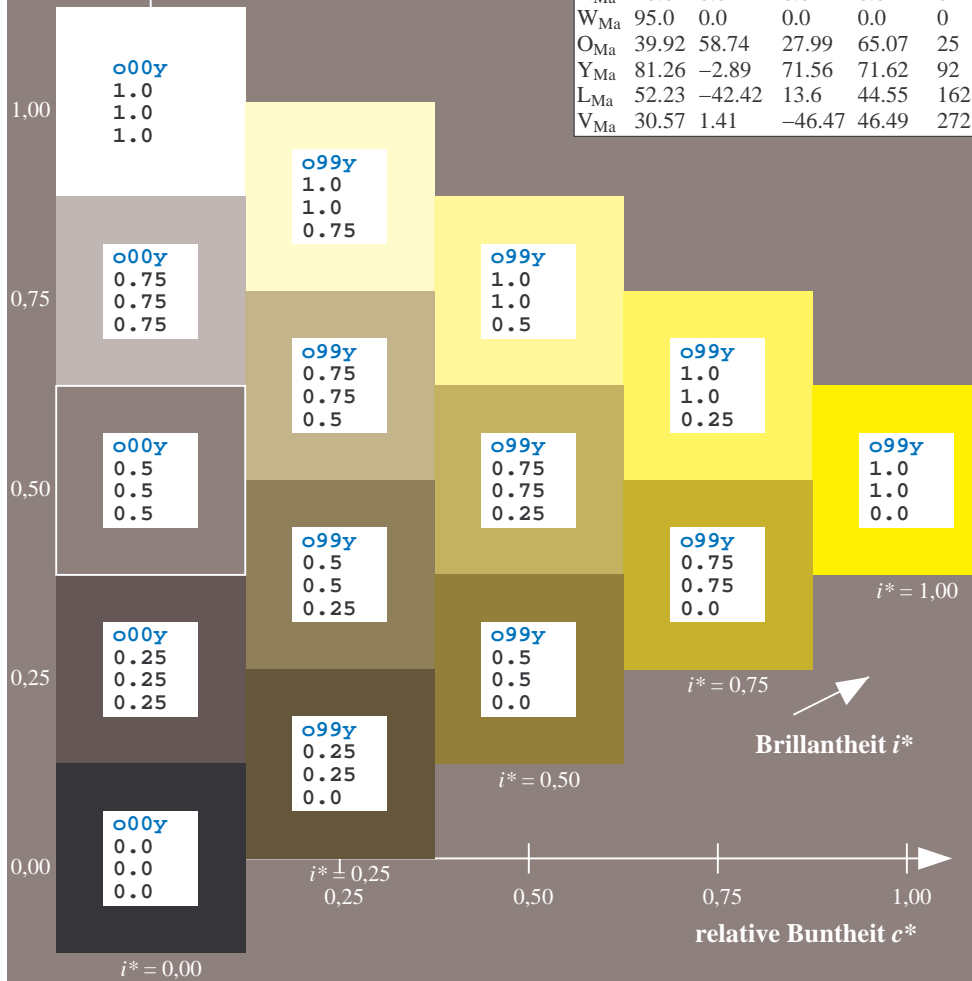
$LAB^*LCH^*_{Ma}$: 89 84 96

$lab^*olv^*_{Ma}$: 1.0 1.0 0.0

$lab^*rgb^*_{Ma}$: 0.94 1.0 0.0

Dreiecks-Helligkeit t^*

ORS20_95a; adaptierte CIELAB-Daten							
u^*_d	$L^*=L^*_a$	a^*_a	b^*_a	$C^*_{ab,a}$	$h^*_{ab,a}$	u^*_e	
o00y	48.71	62.56	37.91	73.15	31	r08j	
o25y	58.6	44.87	49.14	66.54	48	r33j	
o50y	67.52	28.93	59.25	65.94	64	r57j	
o75y	77.05	11.9	70.06	71.06	80	r81j	
y00l	89.25	-9.92	83.91	84.49	97	j06g	
y25l	77.37	-27.05	63.23	68.78	113	j30g	
y50l	68.62	-39.67	48.0	62.27	130	j53g	
y75l	60.79	-50.95	34.38	61.47	146	j76g	
l00c	52.5	-62.91	19.95	66.0	162	g00b	
l50c	56.2	-43.39	-15.92	46.22	200	g34b	
c00v	59.15	-27.87	-44.43	52.45	238	g69b	
c50v	43.5	-1.49	-43.39	43.42	268	g96b	
v00m	29.13	22.73	-42.44	48.14	298	b23r	
v50m	37.32	42.16	-29.08	51.21	325	b47r	
m00o	49.51	71.08	-9.19	71.67	353	b71r	
m50o	49.11	66.86	14.12	68.34	12	b88r	



Ein und Ausgabe: Farbmatisches Drucker-Reflektiv-System ORS20_95a für relativen CIELAB-Bunton $h^* = lab^*h^* = h_{ab}/360 = 0.314$

$u^*_d = y25l$

Daten für jede Farbe:

lab^*ch^* und lab^*icu^*

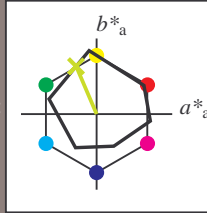
Buntontexte:

$u^*_d = y25l$ $u^*_e = j30g$

Kontrastreduzierungsfaktor:

$c_R = 0.96$

Dreiecks-Helligkeit t^*



ORS20_95a; adaptierte CIELAB-Daten

u^*_d	$L^*=L^*_a$	a^*_a	b^*_a	$C^*_{ab,a}$	$h^*_{ab,a}$
O _{Ma}	48.71	62.56	37.91	73.15	31
Y _{Ma}	89.25	-9.92	83.91	84.49	97
L _{Ma}	52.5	-62.91	19.95	66.0	162
C _{Ma}	59.15	-27.87	-44.43	52.45	238
V _{Ma}	29.13	22.73	-42.44	48.14	298
M _{Ma}	49.51	71.08	-9.19	71.67	353
N _{Ma}	20.0	0.0	0.0	0.0	0
W _{Ma}	95.0	0.0	0.0	0.0	0
O _{Ma}	39.92	58.74	27.99	65.07	25
Y _{Ma}	81.26	-2.89	71.56	71.62	92
L _{Ma}	52.23	-42.42	13.6	44.55	162
V _{Ma}	30.57	1.41	-46.47	46.49	272

Daten für Maximalfarbe (Ma):

$LAB^*LAB^*_{Ma}: 77 -27 63$

$LAB^*LCH^*_{Ma}: 77 69 113$

$lab^*olv^*_{Ma}: 0.75 1.0 0.0$

$lab^*rgb^*_{Ma}: 0.7 1.0 0.0$

Dreiecks-Helligkeit t^*

%Umfang

$u^*_{rel} = 83$

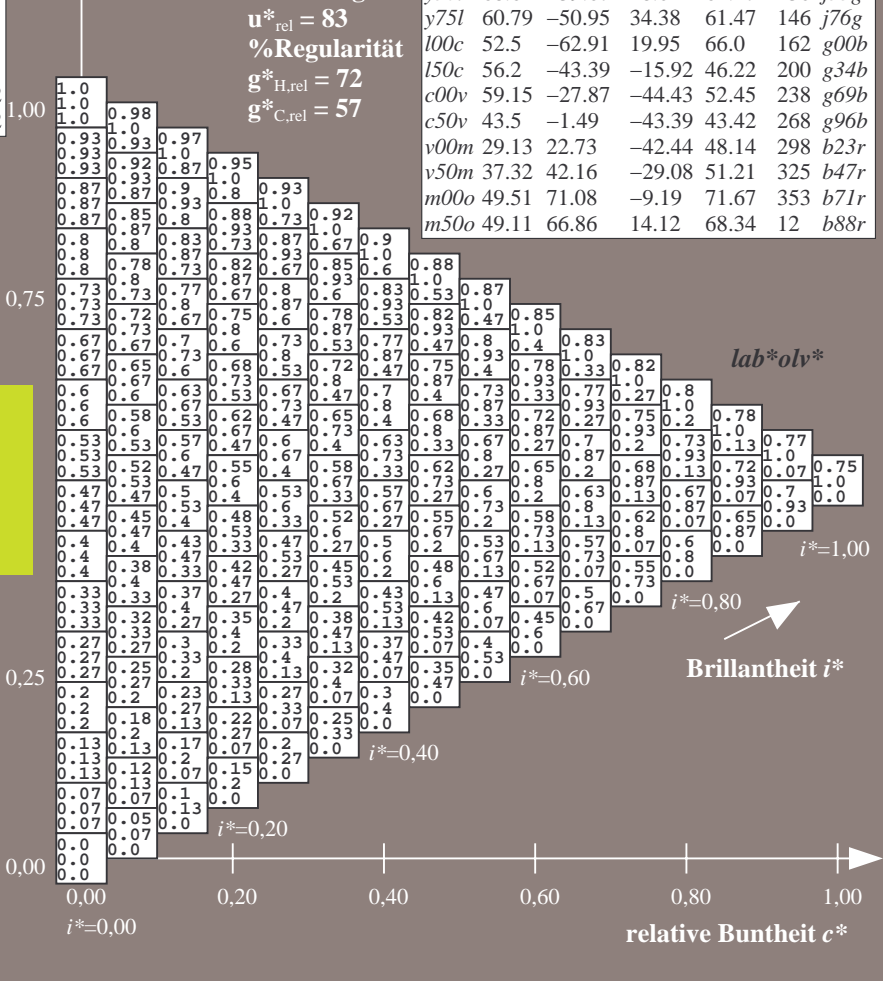
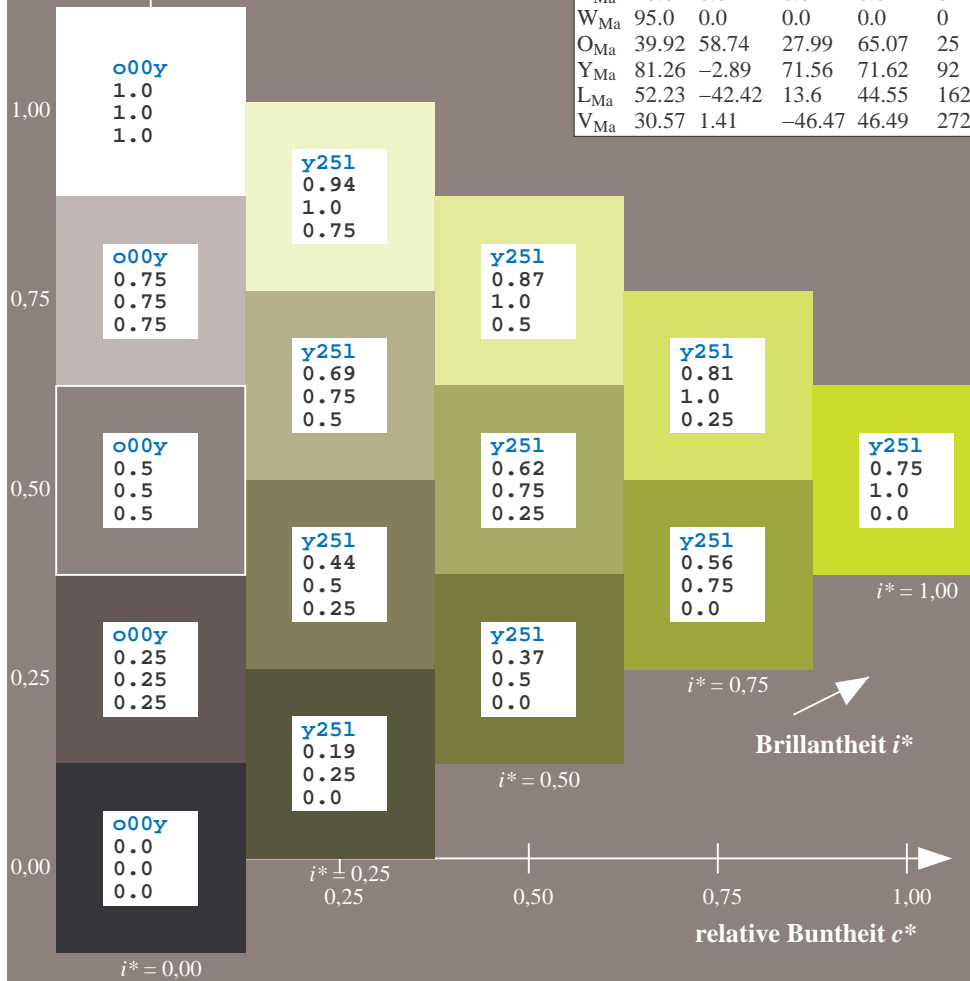
%Regularität

$g^*_{H,rel} = 72$

$g^*_{C,rel} = 57$

ORS20_95a; adaptierte CIELAB-Daten

u^*_d	$L^*=L^*_a$	a^*_a	b^*_a	$C^*_{ab,a}$	$h^*_{ab,a}$	u^*_e
o00y	48.71	62.56	37.91	73.15	31	r08j
o25y	58.6	44.87	49.14	66.54	48	r33j
o50y	67.52	28.93	59.25	65.94	64	r57j
o75y	77.05	11.9	70.06	71.06	80	r81j
y00l	89.25	-9.92	83.91	84.49	97	j06g
y25l	77.37	-27.05	63.23	68.78	113	j30g
y50l	68.62	-39.67	48.0	62.27	130	j53g
y75l	60.79	-50.95	34.38	61.47	146	j76g
l00c	52.5	-62.91	19.95	66.0	162	g00b
l50c	56.2	-43.39	-15.92	46.22	200	g34b
c00v	59.15	-27.87	-44.43	52.45	238	g69b
c50v	43.5	-1.49	-43.39	43.42	268	g96b
v00m	29.13	22.73	-42.44	48.14	298	b23r
v50m	37.32	42.16	-29.08	51.21	325	b47r
m00o	49.51	71.08	-9.19	71.67	353	b71r
m50o	49.11	66.86	14.12	68.34	12	b88r



Ein und Ausgabe: Farbmatisches Drucker-Reflektiv-System ORS20_95a für relativen CIELAB-Bunton $h^* = lab^*h^* = h_{ab}/360 = 0.36$

$u^*_d = y50l$
 lab^*olv^*

Daten für jede Farbe:

lab^*tch^* und lab^*icu^*

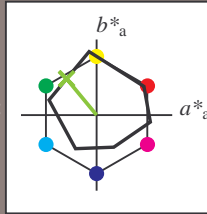
Buntontexte:

$u^*_d = y50l$ $u^*_e = j53g$

Kontrastreduzierungsfaktor:

$c_R = 0.96$

Dreiecks-Helligkeit t^*



ORS20_95a; adaptierte CIELAB-Daten

u^*_d	$L^*=L^*_a$	a^*_a	b^*_a	$C^*_{ab,a}$	$h^*_{ab,a}$
O _{Ma}	48.71	62.56	37.91	73.15	31
Y _{Ma}	89.25	-9.92	83.91	84.49	97
L _{Ma}	52.5	-62.91	19.95	66.0	162
C _{Ma}	59.15	-27.87	-44.43	52.45	238
V _{Ma}	29.13	22.73	-42.44	48.14	298
M _{Ma}	49.51	71.08	-9.19	71.67	353
N _{Ma}	20.0	0.0	0.0	0.0	0
W _{Ma}	95.0	0.0	0.0	0.0	0
O _{Ma}	39.92	58.74	27.99	65.07	25
Y _{Ma}	81.26	-2.89	71.56	71.62	92
L _{Ma}	52.23	-42.42	13.6	44.55	162
V _{Ma}	30.57	1.41	-46.47	46.49	272

Daten für Maximalfarbe (Ma):

$LAB^*LAB^*_{Ma}$: 69 -40 48

$LAB^*LCH^*_{Ma}$: 69 62 129

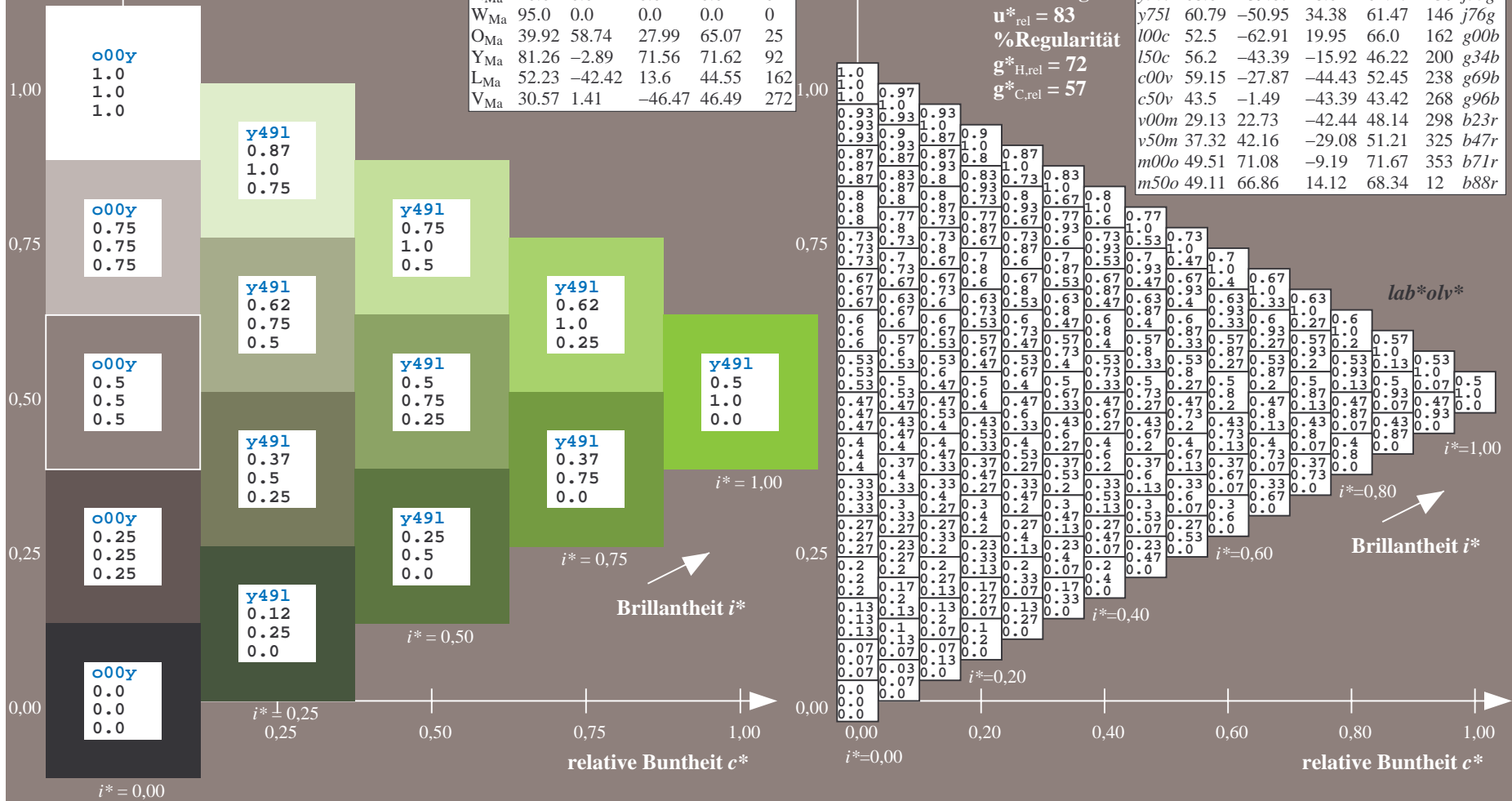
$lab^*olv^*_{Ma}$: 0.5 1.0 0.0

$lab^*rgb^*_{Ma}$: 0.47 1.0 0.0

Dreiecks-Helligkeit t^*

ORS20_95a; adaptierte CIELAB-Daten

u^*_d	$L^*=L^*_a$	a^*_a	b^*_a	$C^*_{ab,a}$	$h^*_{ab,a}$	u^*_e
o00y	48.71	62.56	37.91	73.15	31	r08j
o25y	58.6	44.87	49.14	66.54	48	r33j
o50y	67.52	28.93	59.25	65.94	64	r57j
o75y	77.05	11.9	70.06	71.06	80	r81j
y00l	89.25	-9.92	83.91	84.49	97	j06g
y25l	77.37	-27.05	63.23	68.78	113	j30g
y50l	68.62	-39.67	48.0	62.27	130	j53g
y75l	60.79	-50.95	34.38	61.47	146	j76g
l00c	52.5	-62.91	19.95	66.0	162	g00b
l50c	56.2	-43.39	-15.92	46.22	200	g34b
c00v	59.15	-27.87	-44.43	52.45	238	g69b
c50v	43.5	-1.49	-43.39	43.42	268	g96b
v00m	29.13	22.73	-42.44	48.14	298	b23r
v50m	37.32	42.16	-29.08	51.21	325	b47r
m00o	49.51	71.08	-9.19	71.67	353	b71r
m50o	49.11	66.86	14.12	68.34	12	b88r



Ein und Ausgabe: Farbmatisches Drucker-Reflektiv-System ORS20_95a für relativen CIELAB-Bunton $h^* = lab^*h^* = h_{ab}/360 = 0.406$

$u^*_d = y75l$

Daten für jede Farbe:

lab^*ch^* und lab^*icu^*

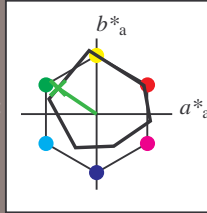
Buntontexte:

$u^*_d = y75l$ $u^*_e = j76g$

Kontrastreduzierungsfaktor:

$c_R = 0.96$

Dreiecks-Helligkeit t^*



ORS20_95a; adaptierte CIELAB-Daten

u^*_d	$L^*=L^*_a$	a^*_a	b^*_a	$C^*_{ab,a}$	$h^*_{ab,a}$
O _{Ma}	48.71	62.56	37.91	73.15	31
Y _{Ma}	89.25	-9.92	83.91	84.49	97
L _{Ma}	52.5	-62.91	19.95	66.0	162
C _{Ma}	59.15	-27.87	-44.43	52.45	238
V _{Ma}	29.13	22.73	-42.44	48.14	298
M _{Ma}	49.51	71.08	-9.19	71.67	353
N _{Ma}	20.0	0.0	0.0	0.0	0
W _{Ma}	95.0	0.0	0.0	0.0	0
O _{Ma}	39.92	58.74	27.99	65.07	25
Y _{Ma}	81.26	-2.89	71.56	71.62	92
L _{Ma}	52.23	-42.42	13.6	44.55	162
V _{Ma}	30.57	1.41	-46.47	46.49	272

Daten für Maximalfarbe (Ma):

$LAB^*LAB^*_{Ma}$: 61 -51 34

$LAB^*LCH^*_{Ma}$: 61 61 145

$lab^*olv^*_{Ma}$: 0.25 1.0 0.0

$lab^*rgb^*_{Ma}$: 0.23 1.0 0.0

Dreiecks-Helligkeit t^*

%Umfang

$u^*_{rel} = 83$

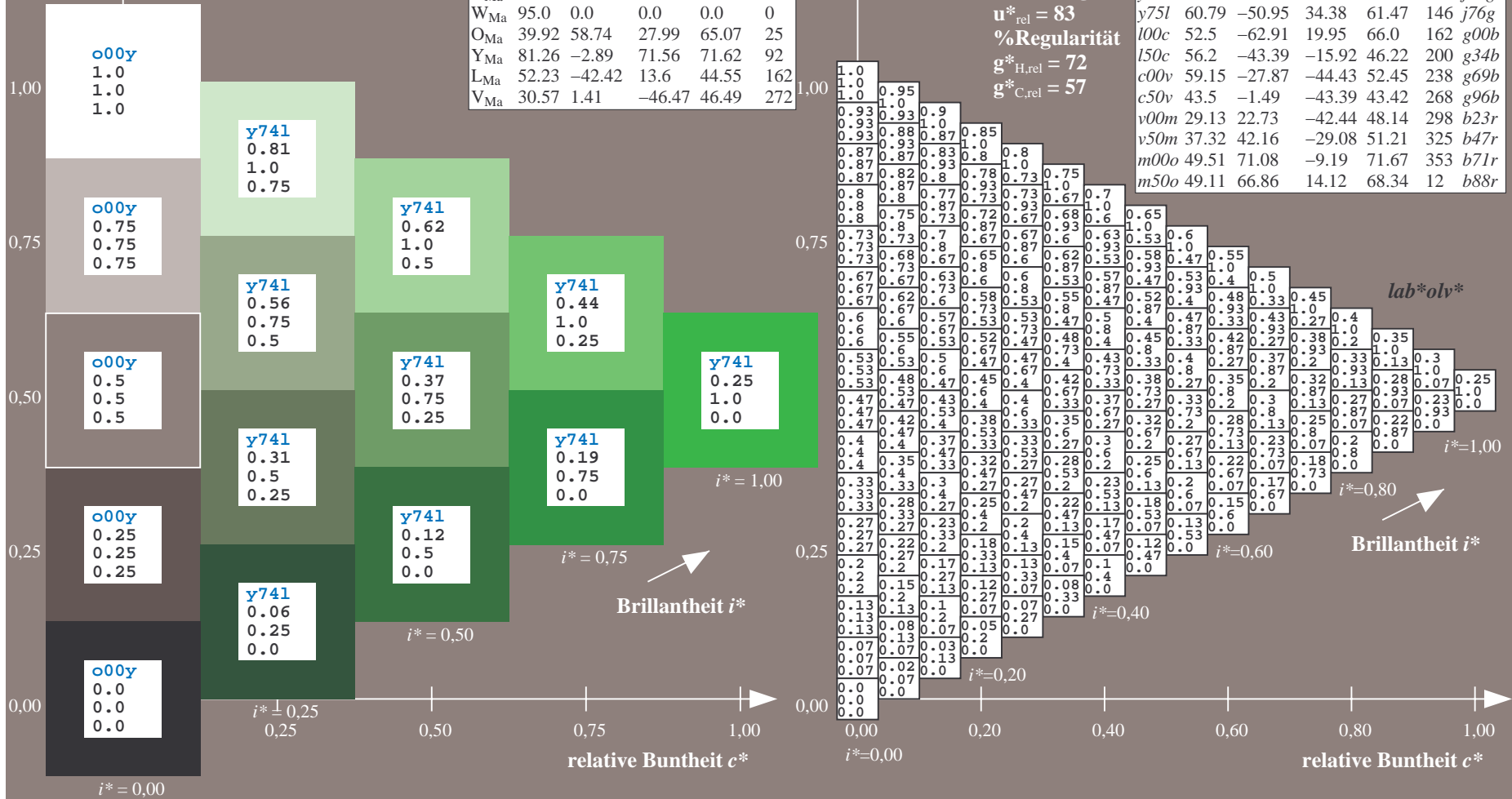
%Regularität

$g^*_{H,rel} = 72$

$g^*_{C,rel} = 57$

ORS20_95a; adaptierte CIELAB-Daten

u^*_d	$L^*=L^*_a$	a^*_a	b^*_a	$C^*_{ab,a}$	$h^*_{ab,a}$	u^*_e
o00y	48.71	62.56	37.91	73.15	31	r08j
o25y	58.6	44.87	49.14	66.54	48	r33j
o50y	67.52	28.93	59.25	65.94	64	r57j
o75y	77.05	11.9	70.06	71.06	80	r81j
y00l	89.25	-9.92	83.91	84.49	97	j06g
y25l	77.37	-27.05	63.23	68.78	113	j30g
y50l	68.62	-39.67	48.0	62.27	130	j53g
y75l	60.79	-50.95	34.38	61.47	146	j76g
l00c	52.5	-62.91	19.95	66.0	162	g00b
l50c	56.2	-43.39	-15.92	46.22	200	g34b
c00v	59.15	-27.87	-44.43	52.45	238	g69b
c50v	43.5	-1.49	-43.39	43.42	268	g96b
v00m	29.13	22.73	-42.44	48.14	298	b23r
v50m	37.32	42.16	-29.08	51.21	325	b47r
m00o	49.51	71.08	-9.19	71.67	353	b71r
m50o	49.11	66.86	14.12	68.34	12	b88r



Ein und Ausgabe: Farbmatisches Drucker-Reflektiv-System ORS20_95a für relativen CIELAB-Bunton $h^* = lab^*h^* = h_{ab}/360 = 0.451$

$u^*_d = 100c$
 lab^*olv^*

Daten für jede Farbe:

lab^*tch^* und lab^*icu^*

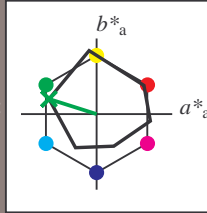
Buntontexte:

$u^*_d = 100c$ $u^*_e = g00b$

Kontrastreduzierungsfaktor:

$c_R = 0.96$

Dreiecks-Helligkeit t^*



ORS20_95a; adaptierte CIELAB-Daten

u^*_d	$L^*=L^*_a$	a^*_a	b^*_a	$C^*_{ab,a}$	$h^*_{ab,a}$
O _{Ma}	48.71	62.56	37.91	73.15	31
Y _{Ma}	89.25	-9.92	83.91	84.49	97
L _{Ma}	52.5	-62.91	19.95	66.0	162
C _{Ma}	59.15	-27.87	-44.43	52.45	238
V _{Ma}	29.13	22.73	-42.44	48.14	298
M _{Ma}	49.51	71.08	-9.19	71.67	353
N _{Ma}	20.0	0.0	0.0	0.0	0
W _{Ma}	95.0	0.0	0.0	0.0	0
O _{Ma}	39.92	58.74	27.99	65.07	25
Y _{Ma}	81.26	-2.89	71.56	71.62	92
L _{Ma}	52.23	-42.42	13.6	44.55	162
V _{Ma}	30.57	1.41	-46.47	46.49	272

Daten für Maximalfarbe (Ma):

$LAB^*LAB^*_Ma: 52 -63 20$

$LAB^*LCH^*_Ma: 52 66 162$

$lab^*olv^*_Ma: 0.0 1.0 0.0$

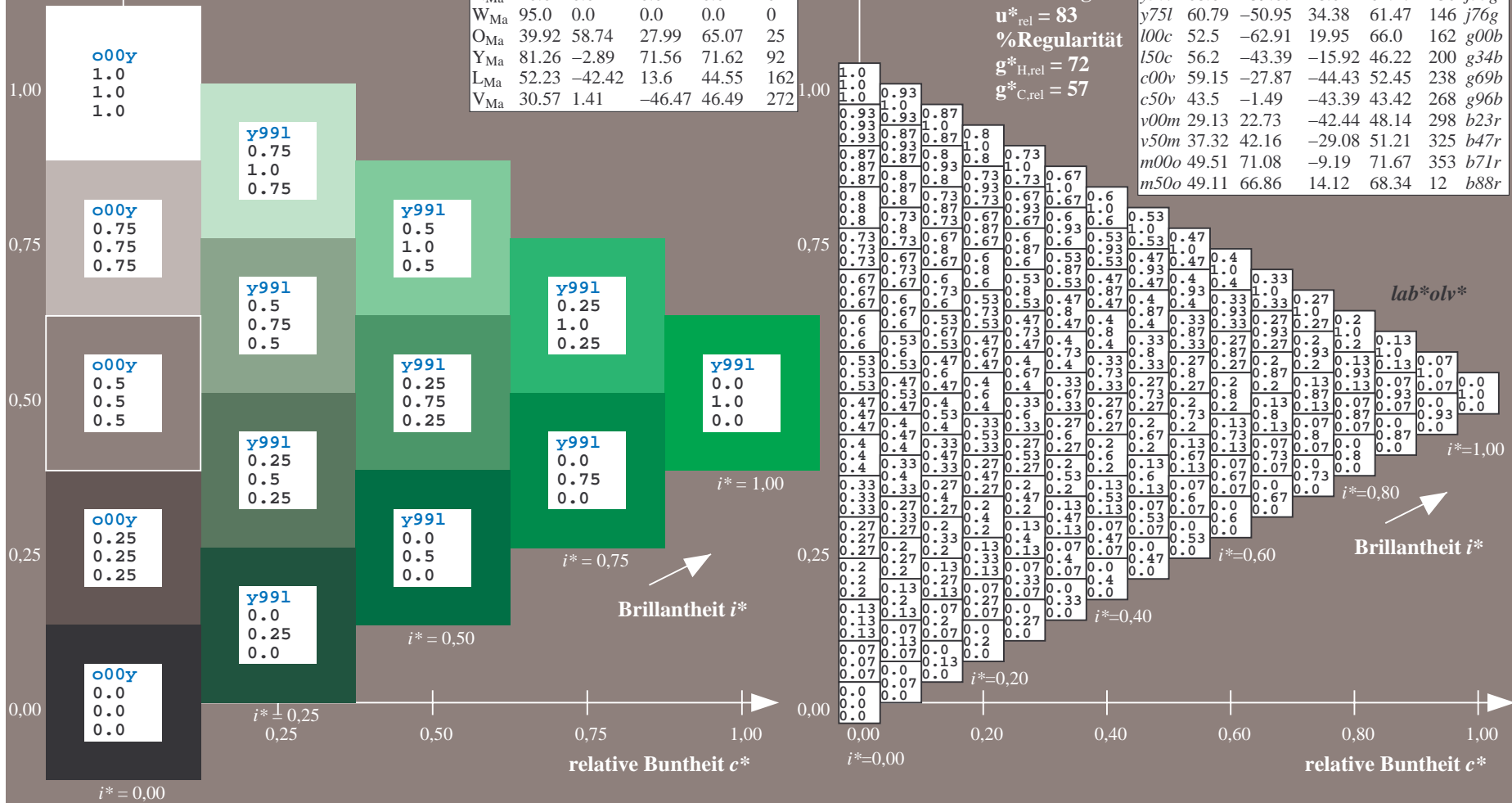
$lab^*rgb^*_Ma: 0.0 1.0 0.0$

Dreiecks-Helligkeit t^*

%Umfang
 $u^*_{rel} = 83$
%Regularität
 $g^*_{H,rel} = 72$
 $g^*_{C,rel} = 57$

ORS20_95a; adaptierte CIELAB-Daten

u^*_d	$L^*=L^*_a$	a^*_a	b^*_a	$C^*_{ab,a}$	$h^*_{ab,a}$	u^*_e
o00y	48.71	62.56	37.91	73.15	31	r08j
o25y	58.6	44.87	49.14	66.54	48	r33j
o50y	67.52	28.93	59.25	65.94	64	r57j
o75y	77.05	11.9	70.06	71.06	80	r81j
y00l	89.25	-9.92	83.91	84.49	97	j06g
y25l	77.37	-27.05	63.23	68.78	113	j30g
y50l	68.62	-39.67	48.0	62.27	130	j53g
y75l	60.79	-50.95	34.38	61.47	146	j76g
l00c	52.5	-62.91	19.95	66.0	162	g00b
l50c	56.2	-43.39	-15.92	46.22	200	g34b
c00v	59.15	-27.87	-44.43	52.45	238	g69b
c50v	43.5	-1.49	-43.39	43.42	268	g96b
v00m	29.13	22.73	-42.44	48.14	298	b23r
v50m	37.32	42.16	-29.08	51.21	325	b47r
m00o	49.51	71.08	-9.19	71.67	353	b71r
m50o	49.11	66.86	14.12	68.34	12	b88r



Ein und Ausgabe: Farbmatisches Drucker-Reflektiv-System ORS20_95a für relativen CIELAB-Bunton $h^* = lab^*h^* = h_{ab}/360 = 0.556$

$u^*_d = 150c$

Daten für jede Farbe:

lab^*ch^* und lab^*icu^*

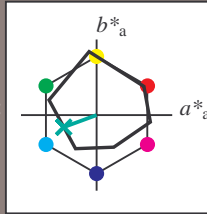
Buntontexte:

$u^*_d = 150c$ $u^*_e = g34b$

Kontrastreduzierungsfaktor:

$c_R = 0.96$

Dreiecks-Helligkeit t^*



ORS20_95a; adaptierte CIELAB-Daten

u^*_d	$L^*=L^*_a$	a^*_a	b^*_a	$C^*_{ab,a}$	$h^*_{ab,a}$
O _{Ma}	48.71	62.56	37.91	73.15	31
Y _{Ma}	89.25	-9.92	83.91	84.49	97
L _{Ma}	52.5	-62.91	19.95	66.0	162
C _{Ma}	59.15	-27.87	-44.43	52.45	238
V _{Ma}	29.13	22.73	-42.44	48.14	298
M _{Ma}	49.51	71.08	-9.19	71.67	353
N _{Ma}	20.0	0.0	0.0	0.0	0
W _{Ma}	95.0	0.0	0.0	0.0	0
O _{Ma}	39.92	58.74	27.99	65.07	25
Y _{Ma}	81.26	-2.89	71.56	71.62	92
L _{Ma}	52.23	-42.42	13.6	44.55	162
V _{Ma}	30.57	1.41	-46.47	46.49	272

Daten für Maximalfarbe (Ma):

$LAB^*LAB^*_{Ma}$: 56 -43 -16

$LAB^*LCH^*_{Ma}$: 56 46 200

$lab^*olv^*_{Ma}$: 0.0 1.0 0.5

$lab^*rgb^*_{Ma}$: 0.0 1.0 0.69

Dreiecks-Helligkeit t^*

%Umfang

$u^*_{rel} = 83$

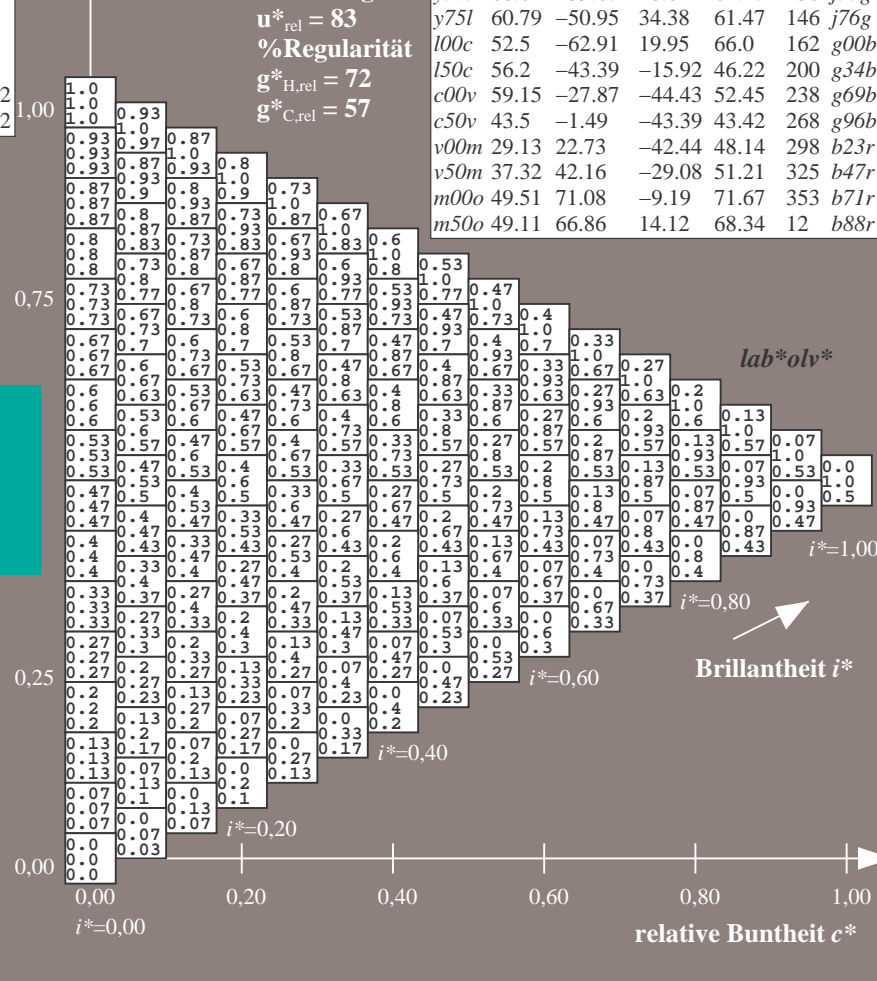
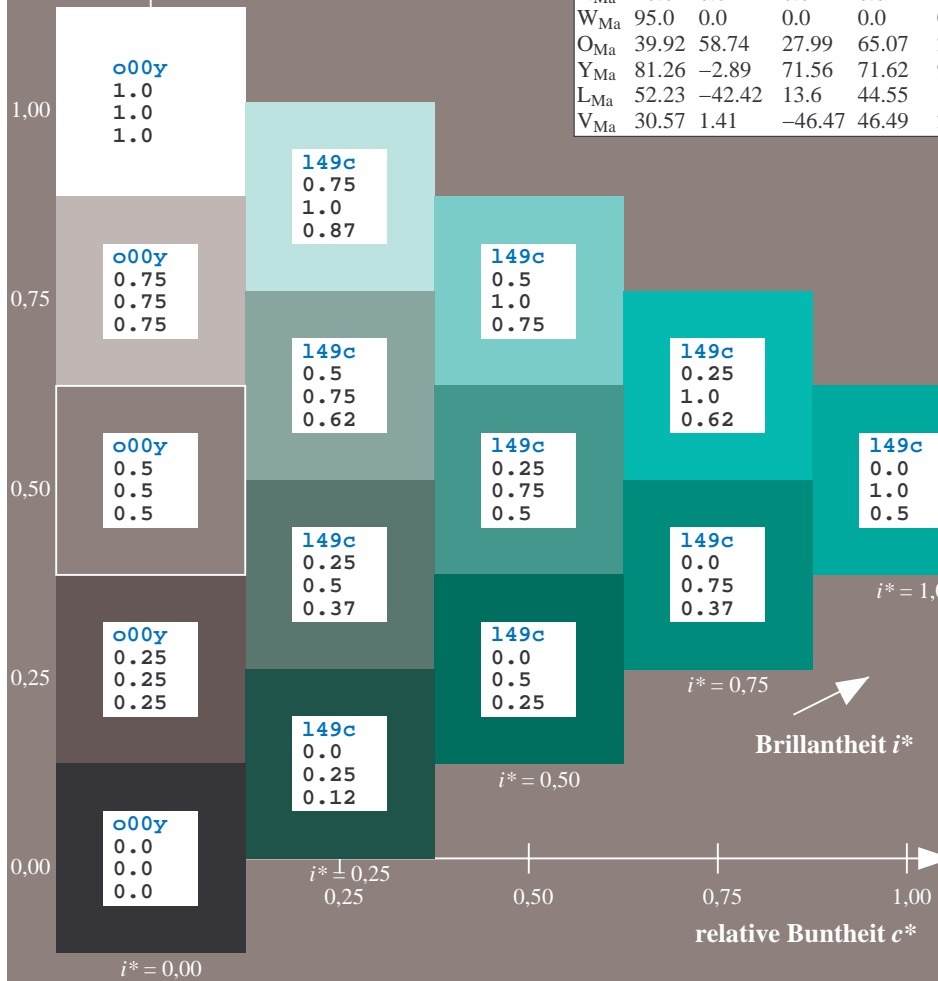
%Regularität

$g^*_{H,rel} = 72$

$g^*_{C,rel} = 57$

ORS20_95a; adaptierte CIELAB-Daten

u^*_d	$L^*=L^*_a$	a^*_a	b^*_a	$C^*_{ab,a}$	$h^*_{ab,a}$	u^*_e
o00y	48.71	62.56	37.91	73.15	31	r08j
o25y	58.6	44.87	49.14	66.54	48	r33j
o50y	67.52	28.93	59.25	65.94	64	r57j
o75y	77.05	11.9	70.06	71.06	80	r81j
y00l	89.25	-9.92	83.91	84.49	97	j06g
y25l	77.37	-27.05	63.23	68.78	113	j30g
y50l	68.62	-39.67	48.0	62.27	130	j53g
y75l	60.79	-50.95	34.38	61.47	146	j76g
l00c	52.5	-62.91	19.95	66.0	162	g00b
l50c	56.2	-43.39	-15.92	46.22	200	g34b
c00v	59.15	-27.87	-44.43	52.45	238	g69b
c50v	43.5	-1.49	-43.39	43.42	268	g96b
v00m	29.13	22.73	-42.44	48.14	298	b23r
v50m	37.32	42.16	-29.08	51.21	325	b47r
m00o	49.51	71.08	-9.19	71.67	353	b71r
m50o	49.11	66.86	14.12	68.34	12	b88r



Ein und Ausgabe: Farbmatisches Drucker-Reflektiv-System ORS20_95a für relativen CIELAB-Bunton $h^* = lab^*h^* = h_{ab}/360 = 0.661$

$u^*_d = c00v$

Daten für jede Farbe:

lab^*ch^* und lab^*icu^*

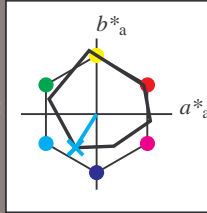
Buntontexte:

$u^*_d = c00v$ $u^*_e = g69b$

Kontrastreduzierungsfaktor:

$c_R = 0.96$

Dreiecks-Helligkeit t^*



ORS20_95a; adaptierte CIELAB-Daten

u^*_d	$L^*=L^*_a$	a^*_a	b^*_a	$C^*_{ab,a}$	$h^*_{ab,a}$
O _{Ma}	48.71	62.56	37.91	73.15	31
Y _{Ma}	89.25	-9.92	83.91	84.49	97
L _{Ma}	52.5	-62.91	19.95	66.0	162
C _{Ma}	59.15	-27.87	-44.43	52.45	238
V _{Ma}	29.13	22.73	-42.44	48.14	298
M _{Ma}	49.51	71.08	-9.19	71.67	353
N _{Ma}	20.0	0.0	0.0	0.0	0
W _{Ma}	95.0	0.0	0.0	0.0	0
O _{Ma}	39.92	58.74	27.99	65.07	25
Y _{Ma}	81.26	-2.89	71.56	71.62	92
L _{Ma}	52.23	-42.42	13.6	44.55	162
V _{Ma}	30.57	1.41	-46.47	46.49	272

Daten für Maximalfarbe (Ma):

$LAB^*LAB^*_{Ma}$: 59 -28 -44

$LAB^*LCH^*_{Ma}$: 59 52 237

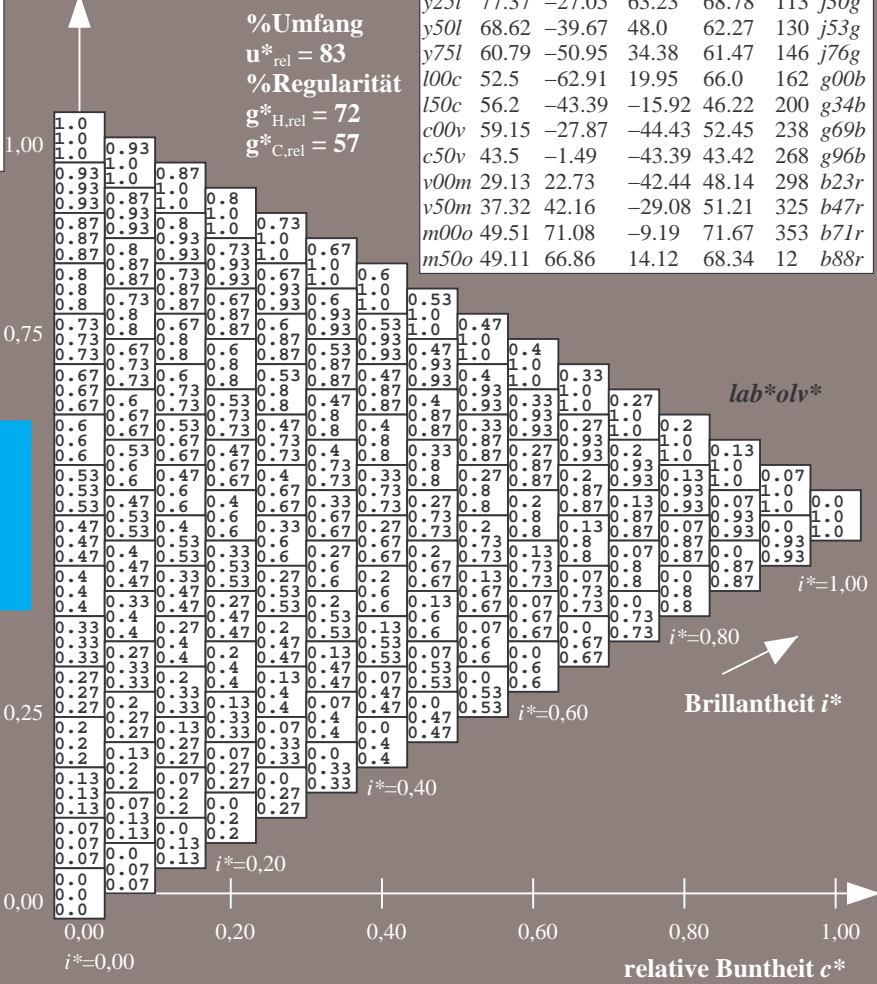
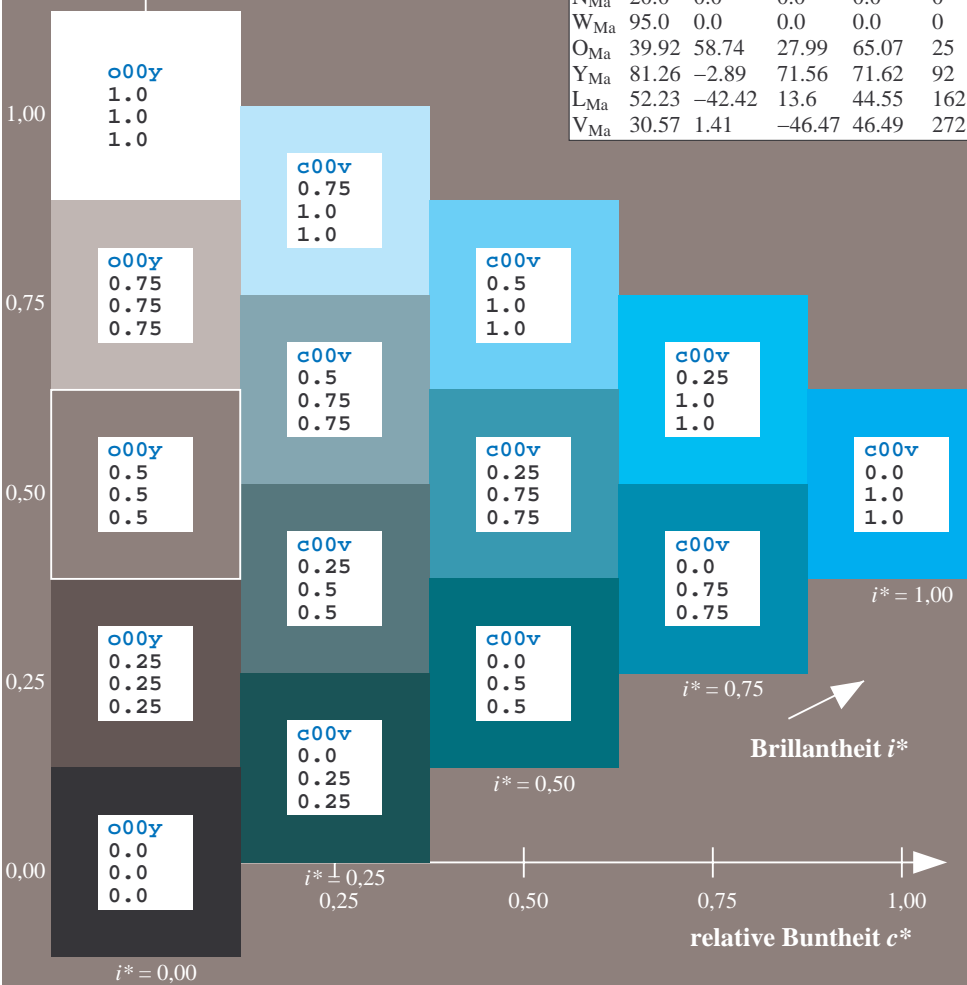
$lab^*olv^*_{Ma}$: 0.0 1.0 1.0

$lab^*rgb^*_{Ma}$: 0.0 0.62 1.0

Dreiecks-Helligkeit t^*

ORS20_95a; adaptierte CIELAB-Daten

u^*_d	$L^*=L^*_a$	a^*_a	b^*_a	$C^*_{ab,a}$	$h^*_{ab,a}$	u^*_e
o00y	48.71	62.56	37.91	73.15	31	r08j
o25y	58.6	44.87	49.14	66.54	48	r33j
o50y	67.52	28.93	59.25	65.94	64	r57j
o75y	77.05	11.9	70.06	71.06	80	r81j
y00l	89.25	-9.92	83.91	84.49	97	j06g
y25l	77.37	-27.05	63.23	68.78	113	j30g
y50l	68.62	-39.67	48.0	62.27	130	j53g
y75l	60.79	-50.95	34.38	61.47	146	j76g
l00c	52.5	-62.91	19.95	66.0	162	g00b
l50c	56.2	-43.39	-15.92	46.22	200	g34b
c00v	59.15	-27.87	-44.43	52.45	238	g69b
c50v	43.5	-1.49	-43.39	43.42	268	g96b
v00m	29.13	22.73	-42.44	48.14	298	b23r
v50m	37.32	42.16	-29.08	51.21	325	b47r
m00o	49.51	71.08	-9.19	71.67	353	b71r
m50o	49.11	66.86	14.12	68.34	12	b88r



%Umfang
 $u^*_{rel} = 83$
 %Regularität
 $g^*_{H,rel} = 72$
 $g^*_{C,rel} = 57$

Brillantheit i^*

lab^*olv^*

$i^*=1,00$

$i^*=0,80$

$i^*=0,60$

$i^*=0,40$

$i^*=0,20$

$i^*=0,00$

Ein und Ausgabe: Farbmatisches Drucker-Reflektiv-System ORS20_95a für relativen CIELAB-Bunton $h^* = lab^*h^* = h_{ab}/360 = 0.745$

$u^*_d = c50v$

Daten für jede Farbe:

lab^*ch^* und lab^*icu^*

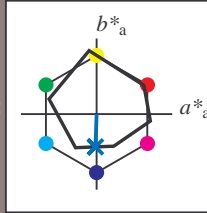
Buntontexte:

$u^*_d = c50v$ $u^*_e = g96b$

Kontrastreduzierungsfaktor:

$c_R = 0.96$

Dreiecks-Helligkeit t^*



ORS20_95a; adaptierte CIELAB-Daten

u^*_d	$L^*=L^*_a$	a^*_a	b^*_a	$C^*_{ab,a}$	$h^*_{ab,a}$
O _{Ma}	48.71	62.56	37.91	73.15	31
Y _{Ma}	89.25	-9.92	83.91	84.49	97
L _{Ma}	52.5	-62.91	19.95	66.0	162
C _{Ma}	59.15	-27.87	-44.43	52.45	238
V _{Ma}	29.13	22.73	-42.44	48.14	298
M _{Ma}	49.51	71.08	-9.19	71.67	353
N _{Ma}	20.0	0.0	0.0	0.0	0
W _{Ma}	95.0	0.0	0.0	0.0	0
O _{Ma}	39.92	58.74	27.99	65.07	25
Y _{Ma}	81.26	-2.89	71.56	71.62	92
L _{Ma}	52.23	-42.42	13.6	44.55	162
V _{Ma}	30.57	1.41	-46.47	46.49	272

Daten für Maximalfarbe (Ma):

$LAB^*LAB^*_{Ma}$: 43 -1 -43

$LAB^*LCH^*_{Ma}$: 43 43 268

$lab^*olv^*_{Ma}$: 0.0 0.5 1.0

$lab^*rgb^*_{Ma}$: 0.0 0.07 1.0

Dreiecks-Helligkeit t^*

%Umfang

$u^*_{rel} = 83$

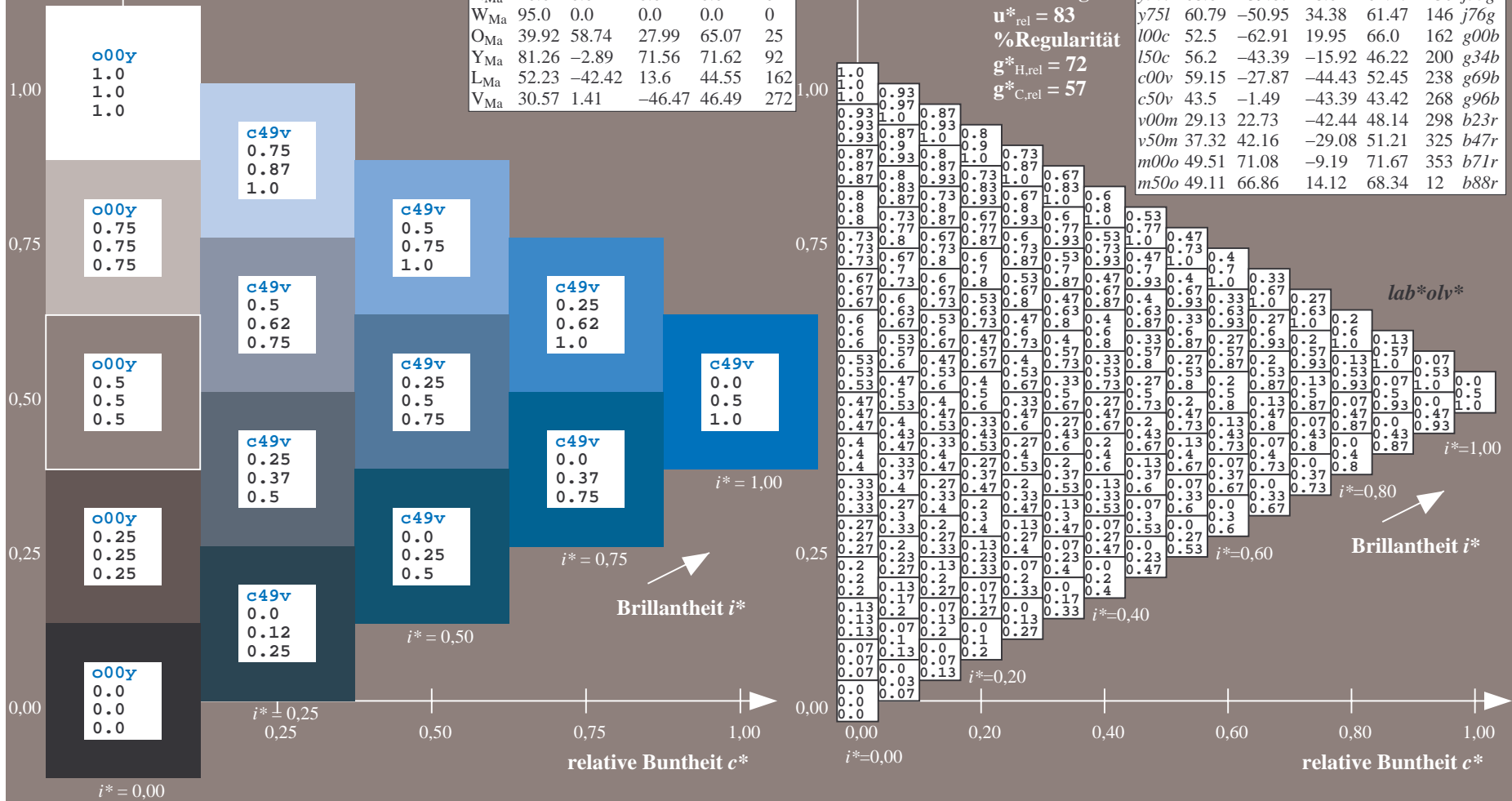
%Regularität

$g^*_{H,rel} = 72$

$g^*_{C,rel} = 57$

ORS20_95a; adaptierte CIELAB-Daten

u^*_d	$L^*=L^*_a$	a^*_a	b^*_a	$C^*_{ab,a}$	$h^*_{ab,a}$	u^*_e
o00y	48.71	62.56	37.91	73.15	31	r08j
o25y	58.6	44.87	49.14	66.54	48	r33j
o50y	67.52	28.93	59.25	65.94	64	r57j
o75y	77.05	11.9	70.06	71.06	80	r81j
y00l	89.25	-9.92	83.91	84.49	97	j06g
y25l	77.37	-27.05	63.23	68.78	113	j30g
y50l	68.62	-39.67	48.0	62.27	130	j53g
y75l	60.79	-50.95	34.38	61.47	146	j76g
l00c	52.5	-62.91	19.95	66.0	162	g00b
l50c	56.2	-43.39	-15.92	46.22	200	g34b
c00v	59.15	-27.87	-44.43	52.45	238	g69b
c50v	43.5	-1.49	-43.39	43.42	268	g96b
v00m	29.13	22.73	-42.44	48.14	298	b23r
v50m	37.32	42.16	-29.08	51.21	325	b47r
m00o	49.51	71.08	-9.19	71.67	353	b71r
m50o	49.11	66.86	14.12	68.34	12	b88r



Ein und Ausgabe: Farbmatisches Drucker-Reflektiv-System ORS20_95a für relativen CIELAB-Bunton $h^* = lab^*h^* = h_{ab}/360 = 0.828$

$u^*_d = v00m$

Daten für jede Farbe:

lab^*ch^* und lab^*icu^*

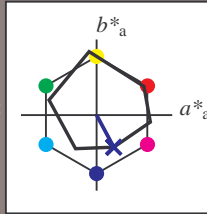
Buntontexte:

$u^*_d = v00m$ $u^*_e = b23r$

Kontrastreduzierungsfaktor:

$c_R = 0.96$

Dreiecks-Helligkeit t^*



ORS20_95a; adaptierte CIELAB-Daten

u^*_d	$L^*=L^*_a$	a^*_a	b^*_a	$C^*_{ab,a}$	$h^*_{ab,a}$
O _{Ma}	48.71	62.56	37.91	73.15	31
Y _{Ma}	89.25	-9.92	83.91	84.49	97
L _{Ma}	52.5	-62.91	19.95	66.0	162
C _{Ma}	59.15	-27.87	-44.43	52.45	238
V _{Ma}	29.13	22.73	-42.44	48.14	298
M _{Ma}	49.51	71.08	-9.19	71.67	353
N _{Ma}	20.0	0.0	0.0	0.0	0
W _{Ma}	95.0	0.0	0.0	0.0	0
O _{Ma}	39.92	58.74	27.99	65.07	25
Y _{Ma}	81.26	-2.89	71.56	71.62	92
L _{Ma}	52.23	-42.42	13.6	44.55	162
V _{Ma}	30.57	1.41	-46.47	46.49	272

Daten für Maximalfarbe (Ma):

$LAB^*LAB^*_{Ma}$: 29 23 -42

$LAB^*LCH^*_{Ma}$: 29 48 298

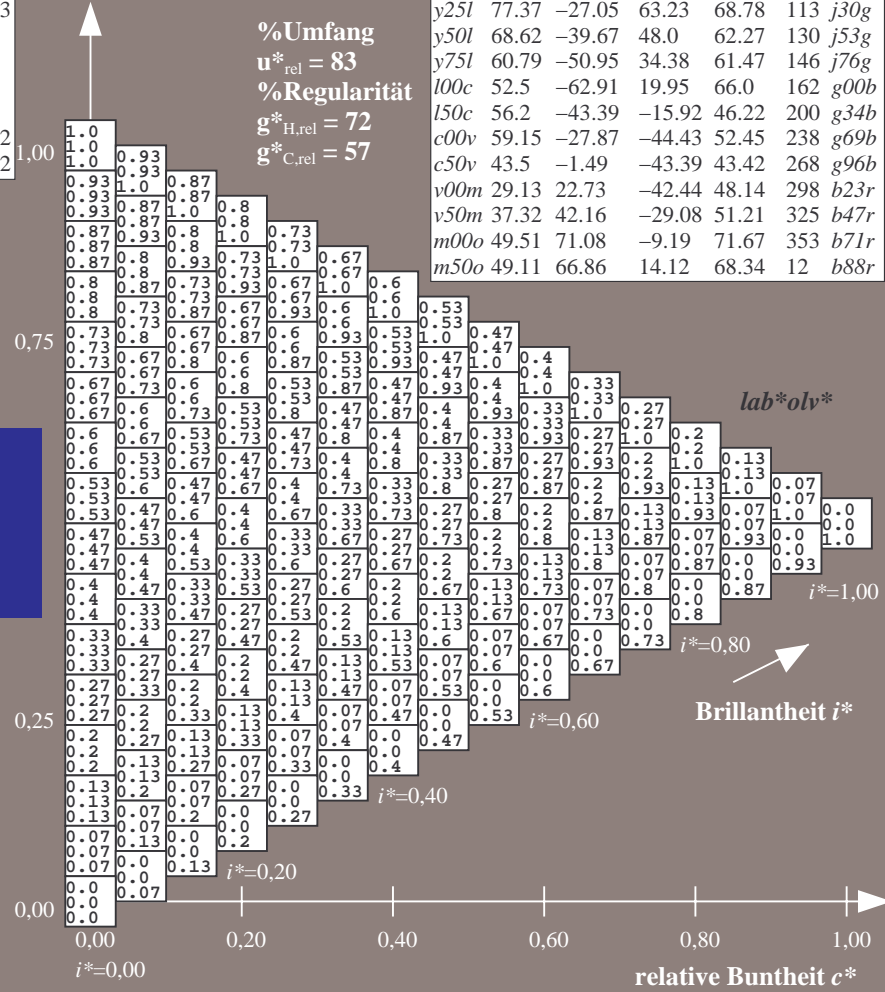
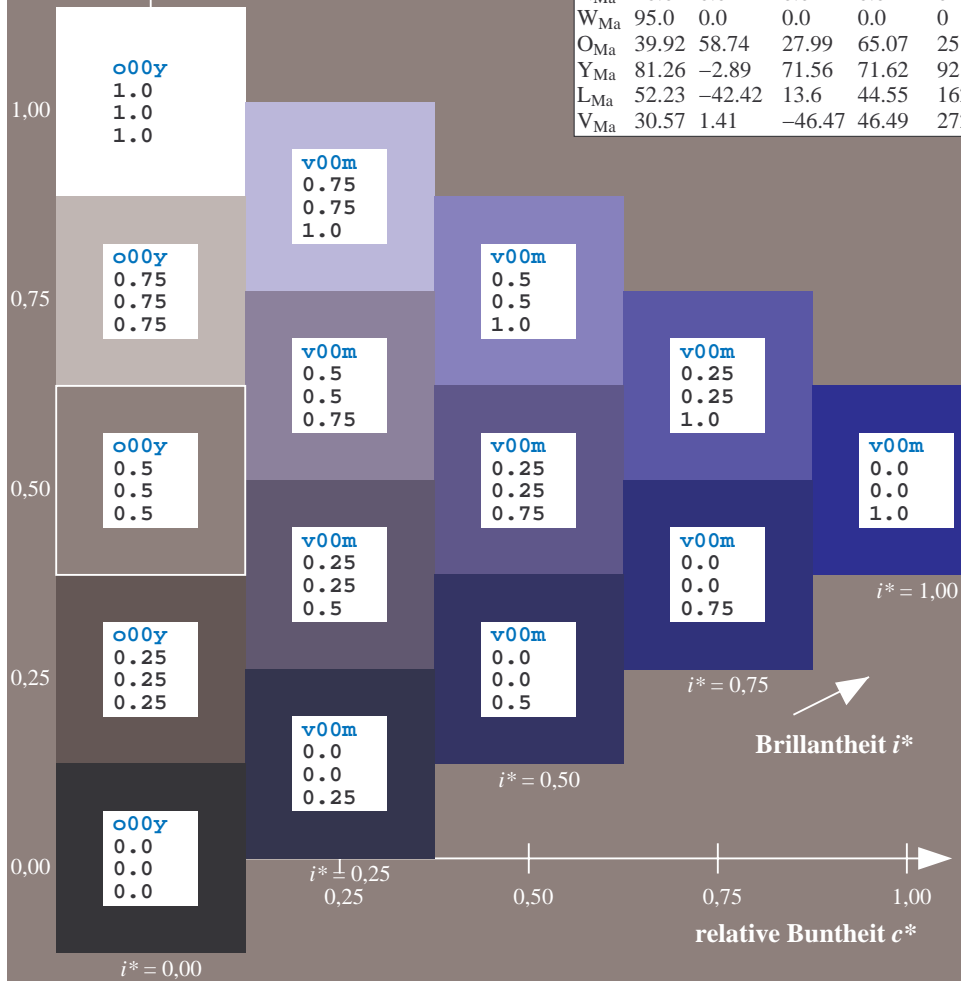
$lab^*olv^*_{Ma}$: 0.0 0.0 1.0

$lab^*rgb^*_{Ma}$: 0.46 0.0 1.0

Dreiecks-Helligkeit t^*

ORS20_95a; adaptierte CIELAB-Daten

u^*_d	$L^*=L^*_a$	a^*_a	b^*_a	$C^*_{ab,a}$	$h^*_{ab,a}$	u^*_e
o00y	48.71	62.56	37.91	73.15	31	r08j
o25y	58.6	44.87	49.14	66.54	48	r33j
o50y	67.52	28.93	59.25	65.94	64	r57j
o75y	77.05	11.9	70.06	71.06	80	r81j
y00l	89.25	-9.92	83.91	84.49	97	j06g
y25l	77.37	-27.05	63.23	68.78	113	j30g
y50l	68.62	-39.67	48.0	62.27	130	j53g
y75l	60.79	-50.95	34.38	61.47	146	j76g
l00c	52.5	-62.91	19.95	66.0	162	g00b
l50c	56.2	-43.39	-15.92	46.22	200	g34b
c00v	59.15	-27.87	-44.43	52.45	238	g69b
c50v	43.5	-1.49	-43.39	43.42	268	g96b
v00m	29.13	22.73	-42.44	48.14	298	b23r
v50m	37.32	42.16	-29.08	51.21	325	b47r
m00o	49.51	71.08	-9.19	71.67	353	b71r
m50o	49.11	66.86	14.12	68.34	12	b88r



Ein und Ausgabe: Farbmatisches Drucker-Reflektiv-System ORS20_95a für relativen CIELAB-Bunton $h^* = lab^*h^* = h_{ab}/360 = 0.904$

$u^*_d = v50m$

Daten für jede Farbe:

lab^*ch^* und lab^*icu^*

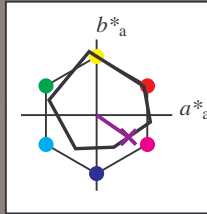
Buntontexte:

$u^*_d = v50m$ $u^*_e = b47r$

Kontrastreduzierungsfaktor:

$c_R = 0.96$

Dreiecks-Helligkeit t^*



ORS20_95a; adaptierte CIELAB-Daten

u^*_d	$L^*=L^*_a$	a^*_a	b^*_a	$C^*_{ab,a}$	$h^*_{ab,a}$
O _{Ma}	48.71	62.56	37.91	73.15	31
Y _{Ma}	89.25	-9.92	83.91	84.49	97
L _{Ma}	52.5	-62.91	19.95	66.0	162
C _{Ma}	59.15	-27.87	-44.43	52.45	238
V _{Ma}	29.13	22.73	-42.44	48.14	298
M _{Ma}	49.51	71.08	-9.19	71.67	353
N _{Ma}	20.0	0.0	0.0	0.0	0
W _{Ma}	95.0	0.0	0.0	0.0	0
O _{Ma}	39.92	58.74	27.99	65.07	25
Y _{Ma}	81.26	-2.89	71.56	71.62	92
L _{Ma}	52.23	-42.42	13.6	44.55	162
V _{Ma}	30.57	1.41	-46.47	46.49	272

Daten für Maximalfarbe (Ma):

$LAB^*LAB^*_{Ma}$: 37 42 -29

$LAB^*LCH^*_{Ma}$: 37 51 325

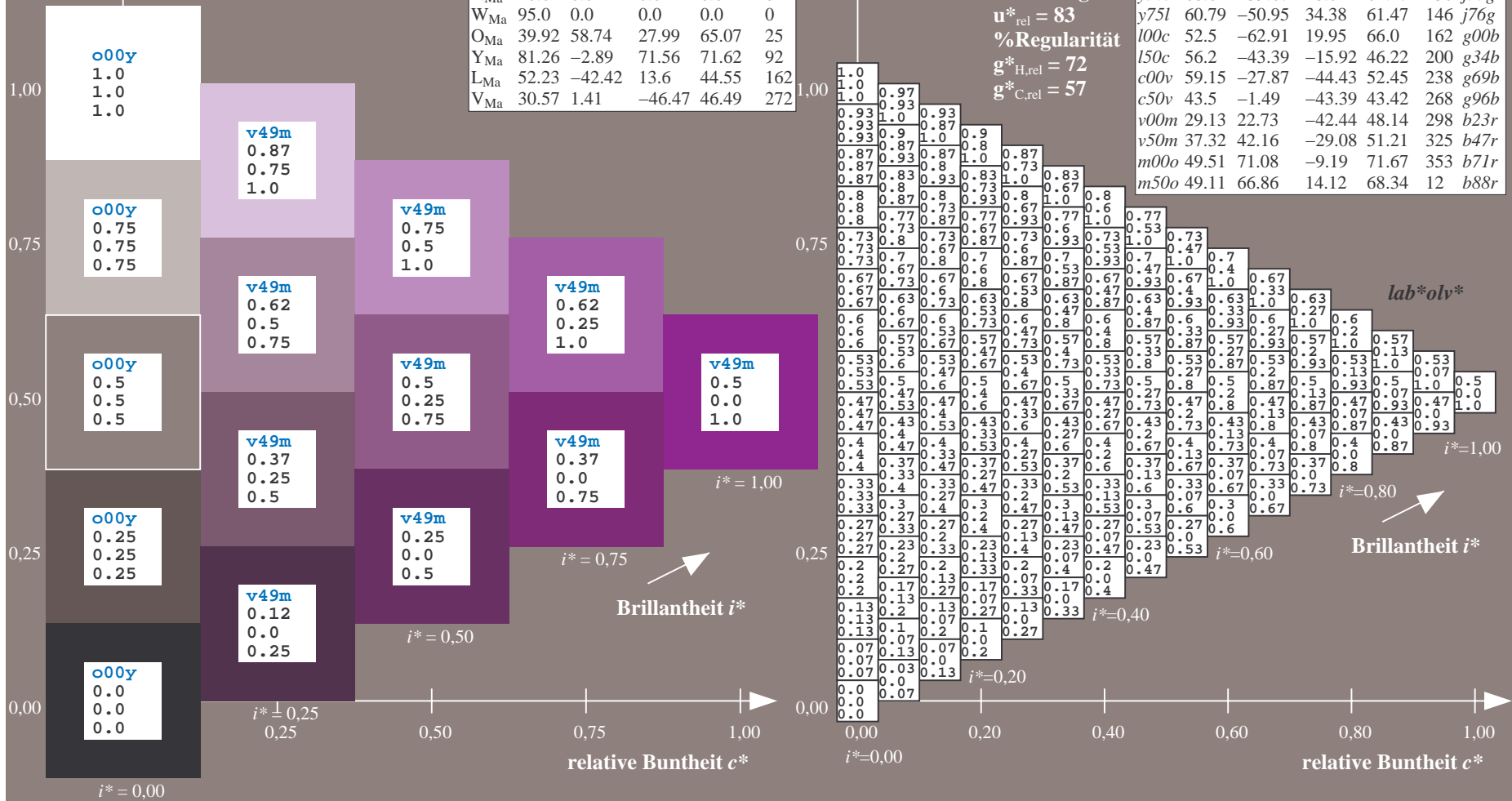
$lab^*olv^*_{Ma}$: 0.5 0.0 1.0

$lab^*rgb^*_{Ma}$: 0.94 0.0 1.0

Dreiecks-Helligkeit t^*

ORS20_95a; adaptierte CIELAB-Daten

u^*_d	$L^*=L^*_a$	a^*_a	b^*_a	$C^*_{ab,a}$	$h^*_{ab,a}$	u^*_e
o00y	48.71	62.56	37.91	73.15	31	r08j
o25y	58.6	44.87	49.14	66.54	48	r33j
o50y	67.52	28.93	59.25	65.94	64	r57j
o75y	77.05	11.9	70.06	71.06	80	r81j
y00l	89.25	-9.92	83.91	84.49	97	j06g
y25l	77.37	-27.05	63.23	68.78	113	j30g
y50l	68.62	-39.67	48.0	62.27	130	j53g
y75l	60.79	-50.95	34.38	61.47	146	j76g
l00c	52.5	-62.91	19.95	66.0	162	g00b
l50c	56.2	-43.39	-15.92	46.22	200	g34b
c00v	59.15	-27.87	-44.43	52.45	238	g69b
c50v	43.5	-1.49	-43.39	43.42	268	g96b
v00m	29.13	22.73	-42.44	48.14	298	b23r
v50m	37.32	42.16	-29.08	51.21	325	b47r
m00o	49.51	71.08	-9.19	71.67	353	b71r
m50o	49.11	66.86	14.12	68.34	12	b88r



Ein und Ausgabe: Farbmatisches Drucker-Reflektiv-System ORS20_95a für relativen CIELAB-Bunton $h^* = lab^*h^* = h_{ab}/360 = 0.98$

$u^*_d = m00o$

Daten für jede Farbe:

lab^*ch^* und lab^*icu^*

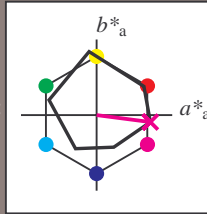
Buntontexte:

$u^*_d = m00o$ $u^*_e = b71r$

Kontrastreduzierungsfaktor:

$c_R = 0.96$

Dreiecks-Helligkeit t^*



ORS20_95a; adaptierte CIELAB-Daten

u^*_d	$L^*=L^*_a$	a^*_a	b^*_a	$C^*_{ab,a}$	$h^*_{ab,a}$
O _{Ma}	48.71	62.56	37.91	73.15	31
Y _{Ma}	89.25	-9.92	83.91	84.49	97
L _{Ma}	52.5	-62.91	19.95	66.0	162
C _{Ma}	59.15	-27.87	-44.43	52.45	238
V _{Ma}	29.13	22.73	-42.44	48.14	298
M _{Ma}	49.51	71.08	-9.19	71.67	353
N _{Ma}	20.0	0.0	0.0	0.0	0
W _{Ma}	95.0	0.0	0.0	0.0	0
O _{Ma}	39.92	58.74	27.99	65.07	25
Y _{Ma}	81.26	-2.89	71.56	71.62	92
L _{Ma}	52.23	-42.42	13.6	44.55	162
V _{Ma}	30.57	1.41	-46.47	46.49	272

Daten für Maximalfarbe (Ma):

$LAB^*LAB^*_{Ma}: 50\ 71\ -9$

$LAB^*LCH^*_{Ma}: 50\ 72\ 352$

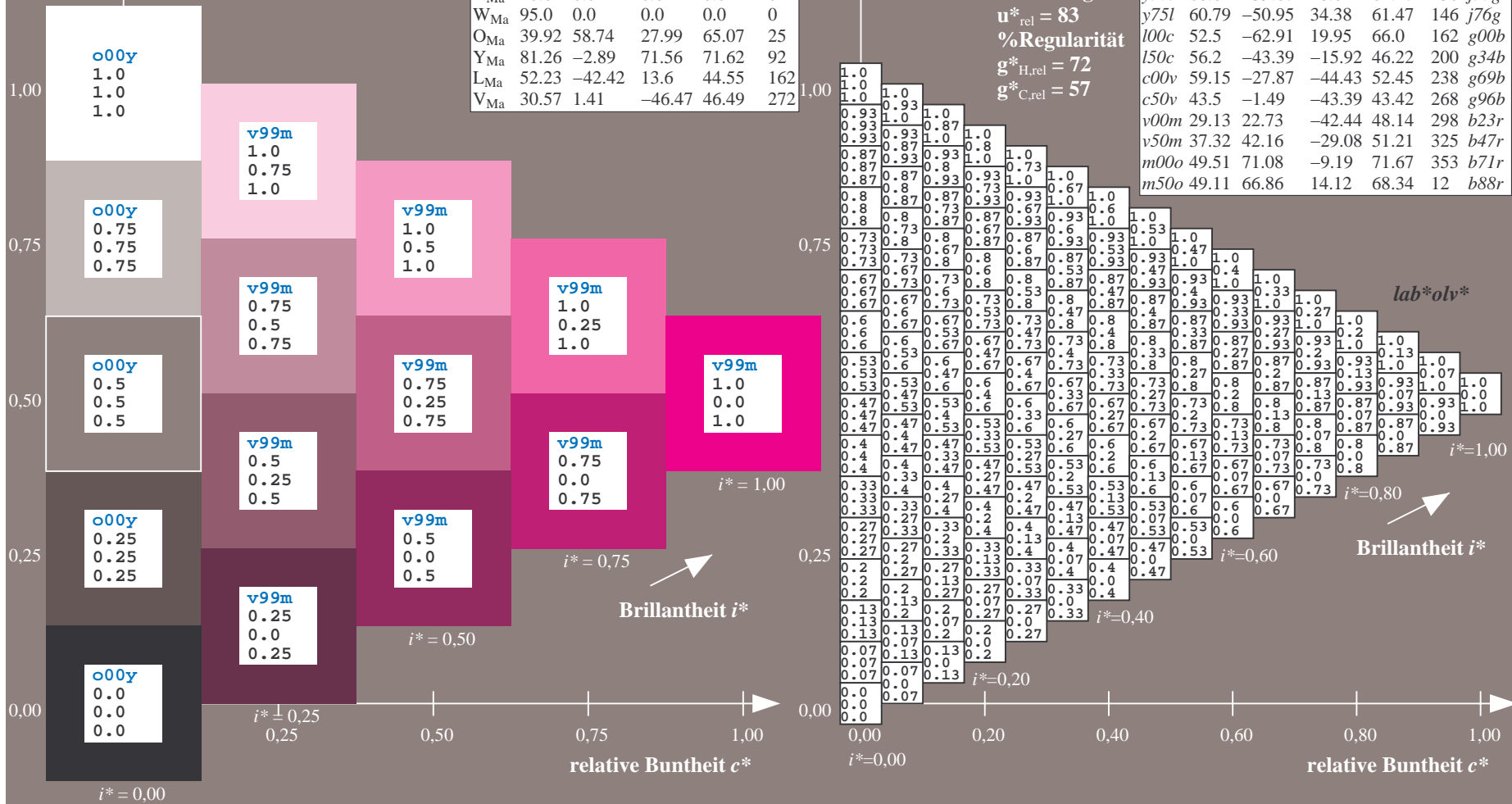
$lab^*olv^*_{Ma}: 1.0\ 0.0\ 1.0$

$lab^*rgb^*_{Ma}: 1.0\ 0.0\ 0.58$

Dreiecks-Helligkeit t^*

ORS20_95a; adaptierte CIELAB-Daten

u^*_d	$L^*=L^*_a$	a^*_a	b^*_a	$C^*_{ab,a}$	$h^*_{ab,a}$	u^*_e
o00y	48.71	62.56	37.91	73.15	31	r08j
o25y	58.6	44.87	49.14	66.54	48	r33j
o50y	67.52	28.93	59.25	65.94	64	r57j
o75y	77.05	11.9	70.06	71.06	80	r81j
y00l	89.25	-9.92	83.91	84.49	97	j06g
y25l	77.37	-27.05	63.23	68.78	113	j30g
y50l	68.62	-39.67	48.0	62.27	130	j53g
y75l	60.79	-50.95	34.38	61.47	146	j76g
l00c	52.5	-62.91	19.95	66.0	162	g00b
l50c	56.2	-43.39	-15.92	46.22	200	g34b
c00v	59.15	-27.87	-44.43	52.45	238	g69b
c50v	43.5	-1.49	-43.39	43.42	268	g96b
v00m	29.13	22.73	-42.44	48.14	298	b23r
v50m	37.32	42.16	-29.08	51.21	325	b47r
m00o	49.51	71.08	-9.19	71.67	353	b71r
m50o	49.11	66.86	14.12	68.34	12	b88r



Ein und Ausgabe: Farbmatisches Drucker-Reflektiv-System ORS20_95a für relativen CIELAB-Bunton $h^* = lab^*h^* = h_{ab}/360 = 0.033$

$u^*_d = m50o$

Daten für jede Farbe:

lab^*ch^* und lab^*icu^*

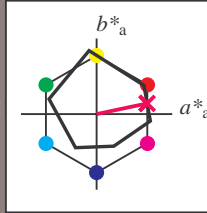
Buntontexte:

$u^*_d = m50o$ $u^*_e = b88r$

Kontrastreduzierungsfaktor:

$c_R = 0.96$

Dreiecks-Helligkeit t^*



ORS20_95a; adaptierte CIELAB-Daten

u^*_d	$L^*=L^*_a$	a^*_a	b^*_a	$C^*_{ab,a}$	$h^*_{ab,a}$
O _{Ma}	48.71	62.56	37.91	73.15	31
Y _{Ma}	89.25	-9.92	83.91	84.49	97
L _{Ma}	52.5	-62.91	19.95	66.0	162
C _{Ma}	59.15	-27.87	-44.43	52.45	238
V _{Ma}	29.13	22.73	-42.44	48.14	298
M _{Ma}	49.51	71.08	-9.19	71.67	353
N _{Ma}	20.0	0.0	0.0	0.0	0
W _{Ma}	95.0	0.0	0.0	0.0	0
O _{Ma}	39.92	58.74	27.99	65.07	25
Y _{Ma}	81.26	-2.89	71.56	71.62	92
L _{Ma}	52.23	-42.42	13.6	44.55	162
V _{Ma}	30.57	1.41	-46.47	46.49	272

Daten für Maximalfarbe (Ma):

$LAB^*LAB^*_{Ma}$: 49 67 14

$LAB^*LCH^*_{Ma}$: 49 68 11

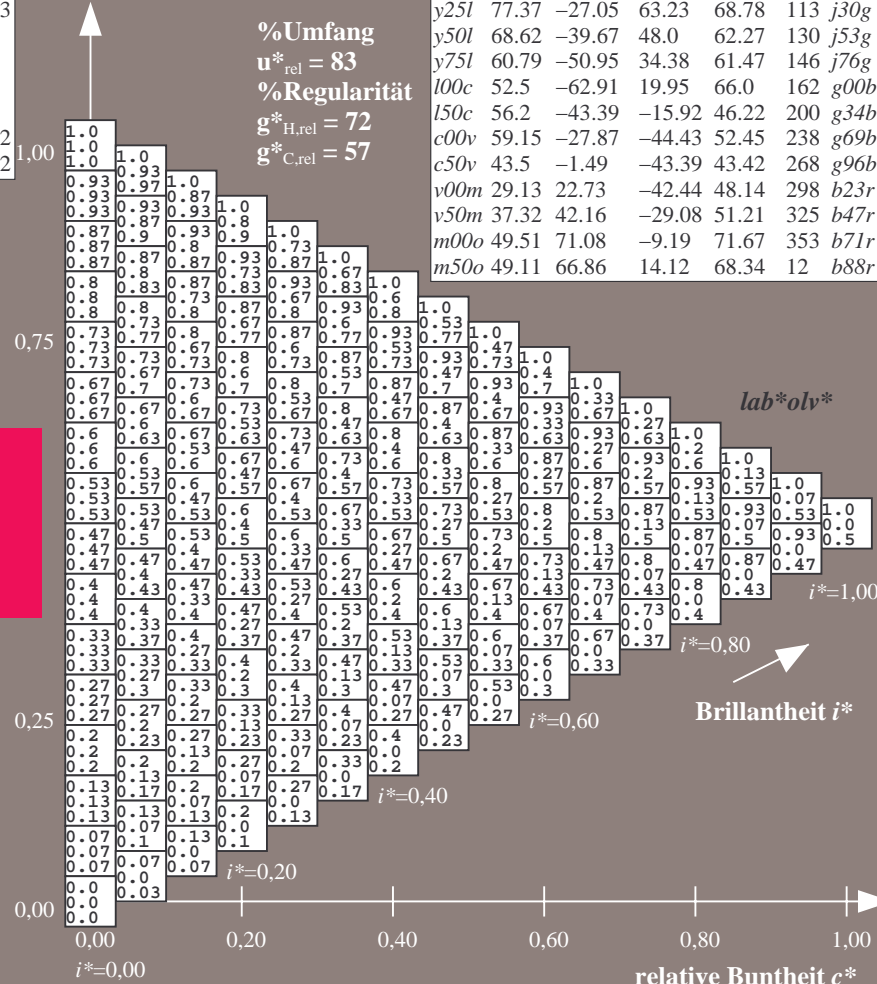
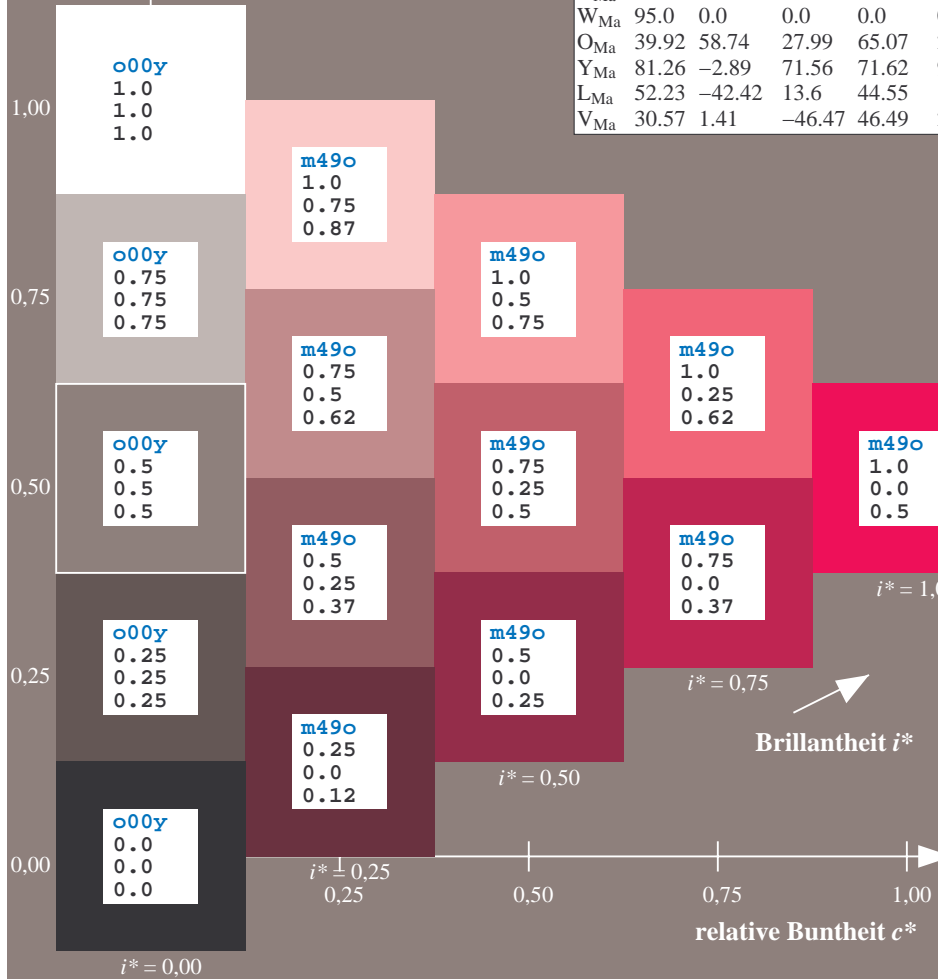
$lab^*olv^*_{Ma}$: 1.0 0.0 0.5

$lab^*rgb^*_{Ma}$: 1.0 0.0 0.24

Dreiecks-Helligkeit t^*

ORS20_95a; adaptierte CIELAB-Daten

u^*_d	$L^*=L^*_a$	a^*_a	b^*_a	$C^*_{ab,a}$	$h^*_{ab,a}$	u^*_e
o00y	48.71	62.56	37.91	73.15	31	r08j
o25y	58.6	44.87	49.14	66.54	48	r33j
o50y	67.52	28.93	59.25	65.94	64	r57j
o75y	77.05	11.9	70.06	71.06	80	r81j
y00l	89.25	-9.92	83.91	84.49	97	j06g
y25l	77.37	-27.05	63.23	68.78	113	j30g
y50l	68.62	-39.67	48.0	62.27	130	j53g
y75l	60.79	-50.95	34.38	61.47	146	j76g
l00c	52.5	-62.91	19.95	66.0	162	g00b
l50c	56.2	-43.39	-15.92	46.22	200	g34b
c00v	59.15	-27.87	-44.43	52.45	238	g69b
c50v	43.5	-1.49	-43.39	43.42	268	g96b
v00m	29.13	22.73	-42.44	48.14	298	b23r
v50m	37.32	42.16	-29.08	51.21	325	b47r
m00o	49.51	71.08	-9.19	71.67	353	b71r
m50o	49.11	66.86	14.12	68.34	12	b88r



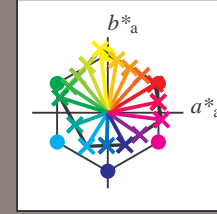
Ein und Ausgabe:
 Farbmetrisches Drucker-Reflektiv-System ORS20_95a

Daten für jede Farbe:
 u^*_d und Nummer *Nr.* = 00 .. 15

Geräte-Bunttextext:
 $u^*_d = 16$ Bunttoene *o00y, o25y, ..., m50o*

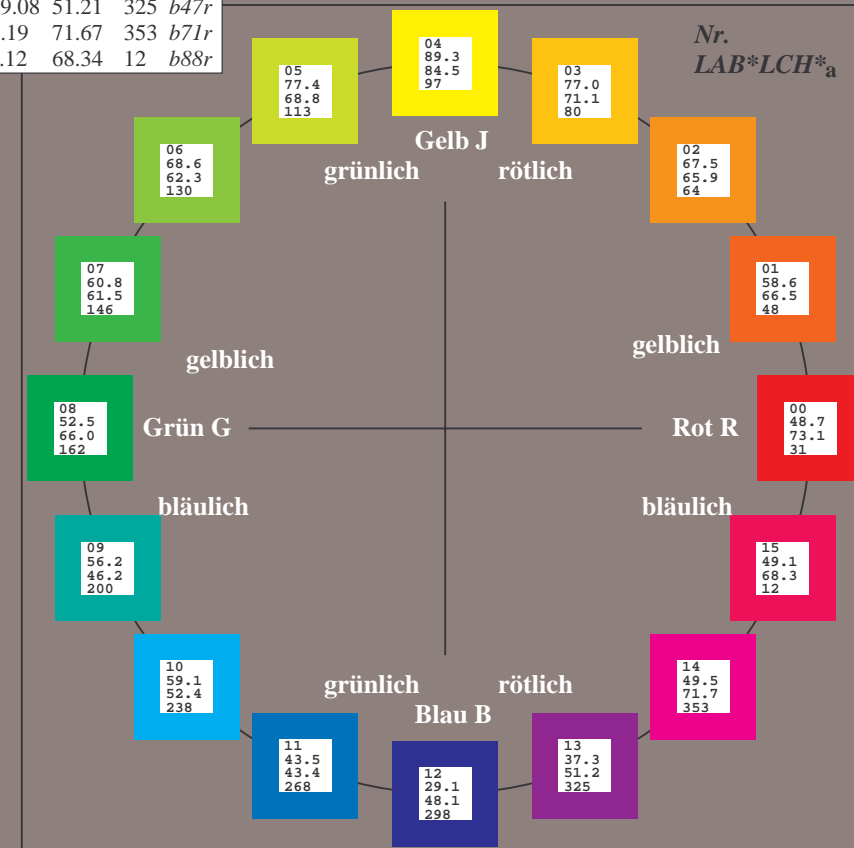
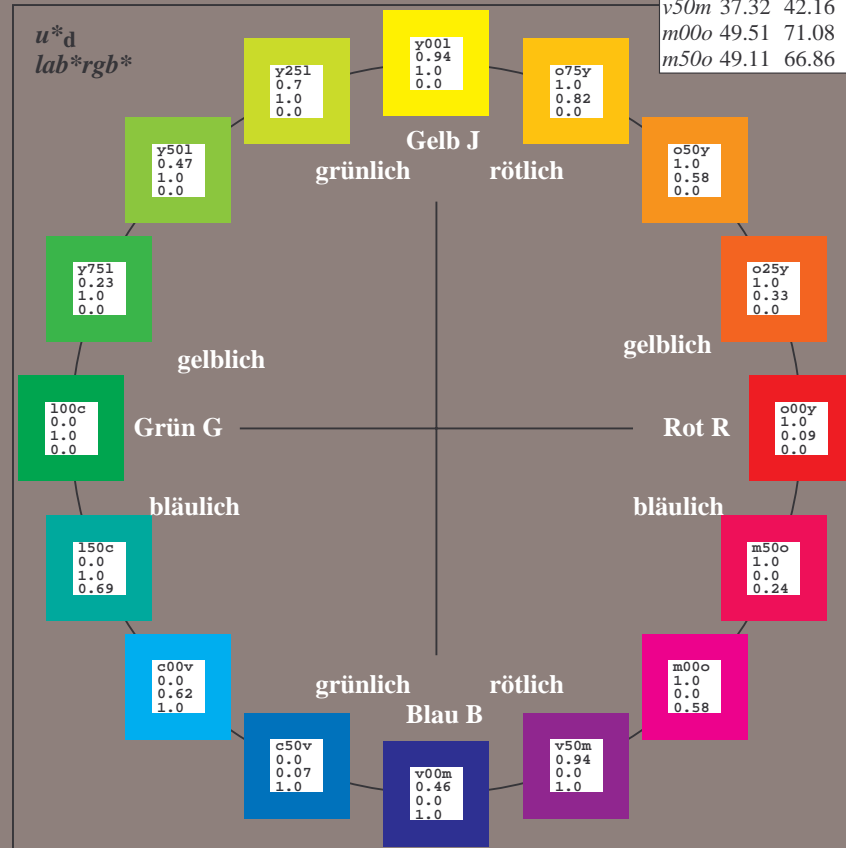
Kontrastreduzierungsfaktor:
 $c_R = 0.96$

ORS20_95a; adaptierte CIELAB-Daten						
u^*_d	$L^*=L^*_a$	a^*_a	b^*_a	$C^*_{ab,a}$	$h^*_{ab,a}$	u^*_e
<i>o00y</i>	48.71	62.56	37.91	73.15	31	<i>r08j</i>
<i>o25y</i>	58.6	44.87	49.14	66.54	48	<i>r33j</i>
<i>o50y</i>	67.52	28.93	59.25	65.94	64	<i>r57j</i>
<i>o75y</i>	77.05	11.9	70.06	71.06	80	<i>r81j</i>
<i>y00l</i>	89.25	-9.92	83.91	84.49	97	<i>j06g</i>
<i>y25l</i>	77.37	-27.05	63.23	68.78	113	<i>j30g</i>
<i>y50l</i>	68.62	-39.67	48.0	62.27	130	<i>j53g</i>
<i>y75l</i>	60.79	-50.95	34.38	61.47	146	<i>j76g</i>
<i>l00c</i>	52.5	-62.91	19.95	66.0	162	<i>g00b</i>
<i>l50c</i>	56.2	-43.39	-15.92	46.22	200	<i>g34b</i>
<i>c00v</i>	59.15	-27.87	-44.43	52.45	238	<i>g69b</i>
<i>c50v</i>	43.5	-1.49	-43.39	43.42	268	<i>g96b</i>
<i>v00m</i>	29.13	22.73	-42.44	48.14	298	<i>b23r</i>
<i>v50m</i>	37.32	42.16	-29.08	51.21	325	<i>b47r</i>
<i>m00o</i>	49.51	71.08	-9.19	71.67	353	<i>b71r</i>
<i>m50o</i>	49.11	66.86	14.12	68.34	12	<i>b88r</i>



%Umfang
 $u^*_{rel} = 83$
 %Regularität
 $g^*_{H,rel} = 72$
 $g^*_{C,rel} = 57$

ORS20_95a; adaptierte CIELAB-Daten					
Name	$L^*=L^*_a$	a^*_a	b^*_a	$C^*_{ab,a}$	$h^*_{ab,a}$
O _{Ma}	48.71	62.56	37.91	73.15	31
Y _{Ma}	89.25	-9.92	83.91	84.49	97
L _{Ma}	52.5	-62.91	19.95	66.0	162
C _{Ma}	59.15	-27.87	-44.43	52.45	238
V _{Ma}	29.13	22.73	-42.44	48.14	298
M _{Ma}	49.51	71.08	-9.19	71.67	353
N _{Ma}	20.0	0.0	0.0	0.0	0
W _{Ma}	95.0	0.0	0.0	0.0	0
O _{CIE}	39.92	58.74	27.99	65.07	25
Y _{CIE}	81.26	-2.89	71.56	71.62	92
L _{CIE}	52.23	-42.42	13.6	44.55	162
V _{CIE}	30.57	1.41	-46.47	46.49	272



Ein und Ausgabe: Farbmatisches Drucker-Reflektiv-System ORS20_95a für relativen CIELAB-Bunton $h^* = lab^*h^* = h_{ab}/360 = 0.087$

$u^*_d = o00y$

Daten für jede Farbe:

lab^*ch^* und lab^*icu^*

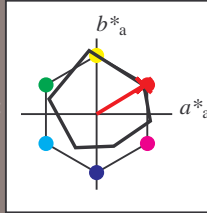
Buntontexte:

$u^*_d = o00y$ $u^*_e = r08j$

Kontrastreduzierungsfaktor:

$c_R = 0.96$

Dreiecks-Helligkeit t^*



ORS20_95a; adaptierte CIELAB-Daten

u^*_d	$L^*=L^*_a$	a^*_a	b^*_a	$C^*_{ab,a}$	$h^*_{ab,a}$
O _{Ma}	48.71	62.56	37.91	73.15	31
Y _{Ma}	89.25	-9.92	83.91	84.49	97
L _{Ma}	52.5	-62.91	19.95	66.0	162
C _{Ma}	59.15	-27.87	-44.43	52.45	238
V _{Ma}	29.13	22.73	-42.44	48.14	298
M _{Ma}	49.51	71.08	-9.19	71.67	353
N _{Ma}	20.0	0.0	0.0	0.0	0
W _{Ma}	95.0	0.0	0.0	0.0	0
O _{Ma}	39.92	58.74	27.99	65.07	25
Y _{Ma}	81.26	-2.89	71.56	71.62	92
L _{Ma}	52.23	-42.42	13.6	44.55	162
V _{Ma}	30.57	1.41	-46.47	46.49	272

Daten für Maximalfarbe (Ma):

$LAB^*LAB^*_{Ma}$: 49 63 38

$LAB^*LCH^*_{Ma}$: 49 73 31

$lab^*olv^*_{Ma}$: 1.0 0.0 0.0

$lab^*rgb^*_{Ma}$: 1.0 0.09 0.0

Dreiecks-Helligkeit t^*

%Umfang

$u^*_{rel} = 83$

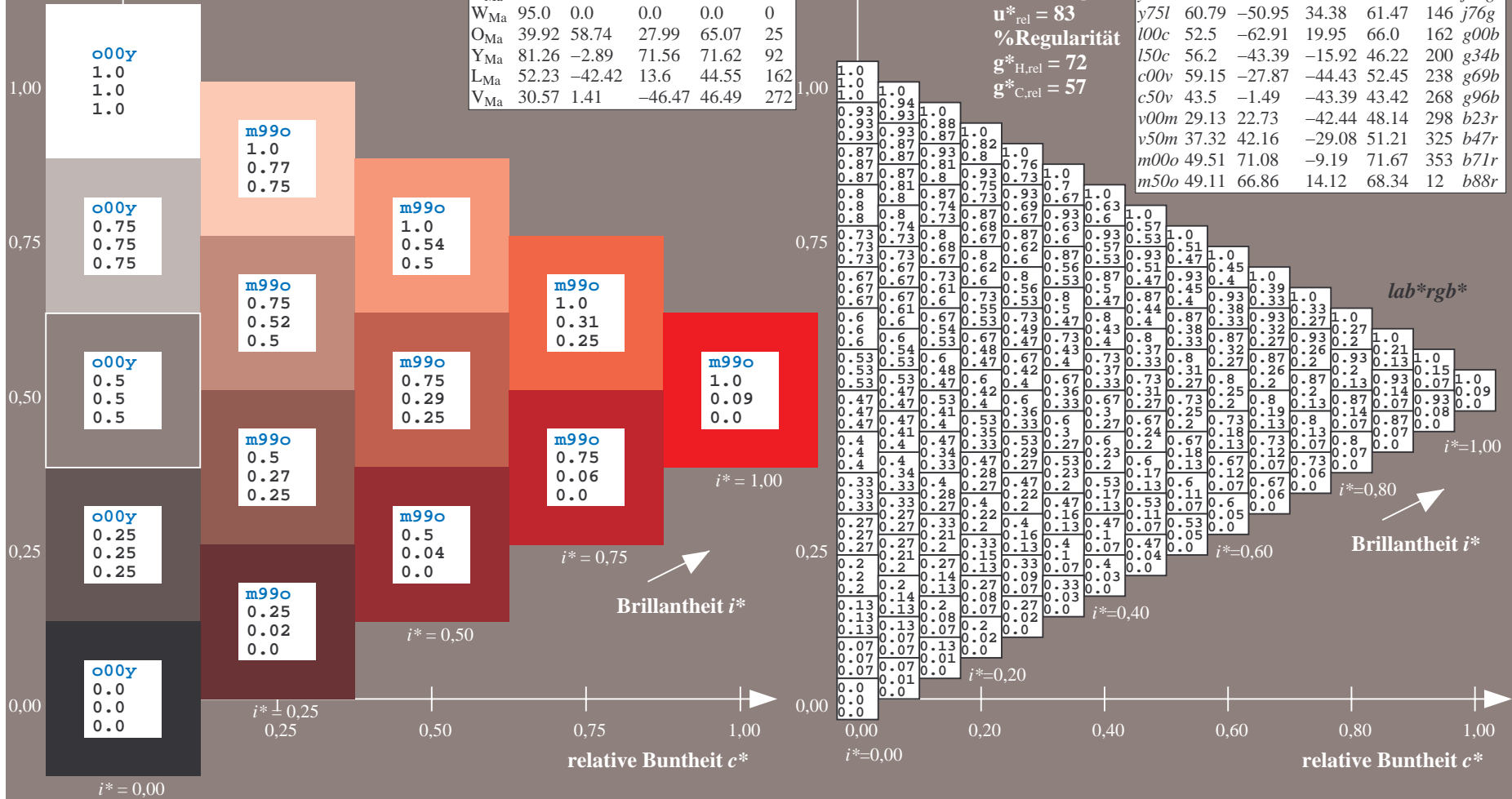
%Regularität

$g^*_{H,rel} = 72$

$g^*_{C,rel} = 57$

ORS20_95a; adaptierte CIELAB-Daten

u^*_d	$L^*=L^*_a$	a^*_a	b^*_a	$C^*_{ab,a}$	$h^*_{ab,a}$	u^*_e
<i>o00y</i>	48.71	62.56	37.91	73.15	31	<i>r08j</i>
<i>o25y</i>	58.6	44.87	49.14	66.54	48	<i>r33j</i>
<i>o50y</i>	67.52	28.93	59.25	65.94	64	<i>r57j</i>
<i>o75y</i>	77.05	11.9	70.06	71.06	80	<i>r81j</i>
<i>y00l</i>	89.25	-9.92	83.91	84.49	97	<i>j06g</i>
<i>y25l</i>	77.37	-27.05	63.23	68.78	113	<i>j30g</i>
<i>y50l</i>	68.62	-39.67	48.0	62.27	130	<i>j53g</i>
<i>y75l</i>	60.79	-50.95	34.38	61.47	146	<i>j76g</i>
<i>l00c</i>	52.5	-62.91	19.95	66.0	162	<i>g00b</i>
<i>l50c</i>	56.2	-43.39	-15.92	46.22	200	<i>g34b</i>
<i>c00v</i>	59.15	-27.87	-44.43	52.45	238	<i>g69b</i>
<i>c50v</i>	43.5	-1.49	-43.39	43.42	268	<i>g96b</i>
<i>v00m</i>	29.13	22.73	-42.44	48.14	298	<i>b23r</i>
<i>v50m</i>	37.32	42.16	-29.08	51.21	325	<i>b47r</i>
<i>m00o</i>	49.51	71.08	-9.19	71.67	353	<i>b71r</i>
<i>m50o</i>	49.11	66.86	14.12	68.34	12	<i>b88r</i>



Ein und Ausgabe: Farbmatisches Drucker-Reflektiv-System ORS20_95a für relativen CIELAB-Bunton $h^* = lab^*h^* = h_{ab}/360 = 0.132$

$u^*_d = o25y$

Daten für jede Farbe:

lab^*ch^* und lab^*icu^*

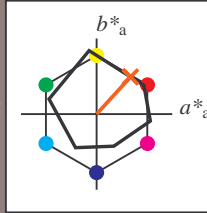
Buntontexte:

$u^*_d = o25y$ $u^*_e = r33j$

Kontrastreduzierungsfaktor:

$c_R = 0.96$

Dreiecks-Helligkeit t^*



ORS20_95a; adaptierte CIELAB-Daten

u^*_d	$L^*=L^*_a$	a^*_a	b^*_a	$C^*_{ab,a}$	$h^*_{ab,a}$
O _{Ma}	48.71	62.56	37.91	73.15	31
Y _{Ma}	89.25	-9.92	83.91	84.49	97
L _{Ma}	52.5	-62.91	19.95	66.0	162
C _{Ma}	59.15	-27.87	-44.43	52.45	238
V _{Ma}	29.13	22.73	-42.44	48.14	298
M _{Ma}	49.51	71.08	-9.19	71.67	353
N _{Ma}	20.0	0.0	0.0	0.0	0
W _{Ma}	95.0	0.0	0.0	0.0	0
O _{Ma}	39.92	58.74	27.99	65.07	25
Y _{Ma}	81.26	-2.89	71.56	71.62	92
L _{Ma}	52.23	-42.42	13.6	44.55	162
V _{Ma}	30.57	1.41	-46.47	46.49	272

Daten für Maximalfarbe (Ma):

$LAB^*LAB^*_{Ma}: 59\ 45\ 49$

$LAB^*LCH^*_{Ma}: 59\ 67\ 47$

$lab^*olv^*_{Ma}: 1.0\ 0.25\ 0.0$

$lab^*rgb^*_{Ma}: 1.0\ 0.33\ 0.0$

Dreiecks-Helligkeit t^*

%Umfang

$u^*_{rel} = 83$

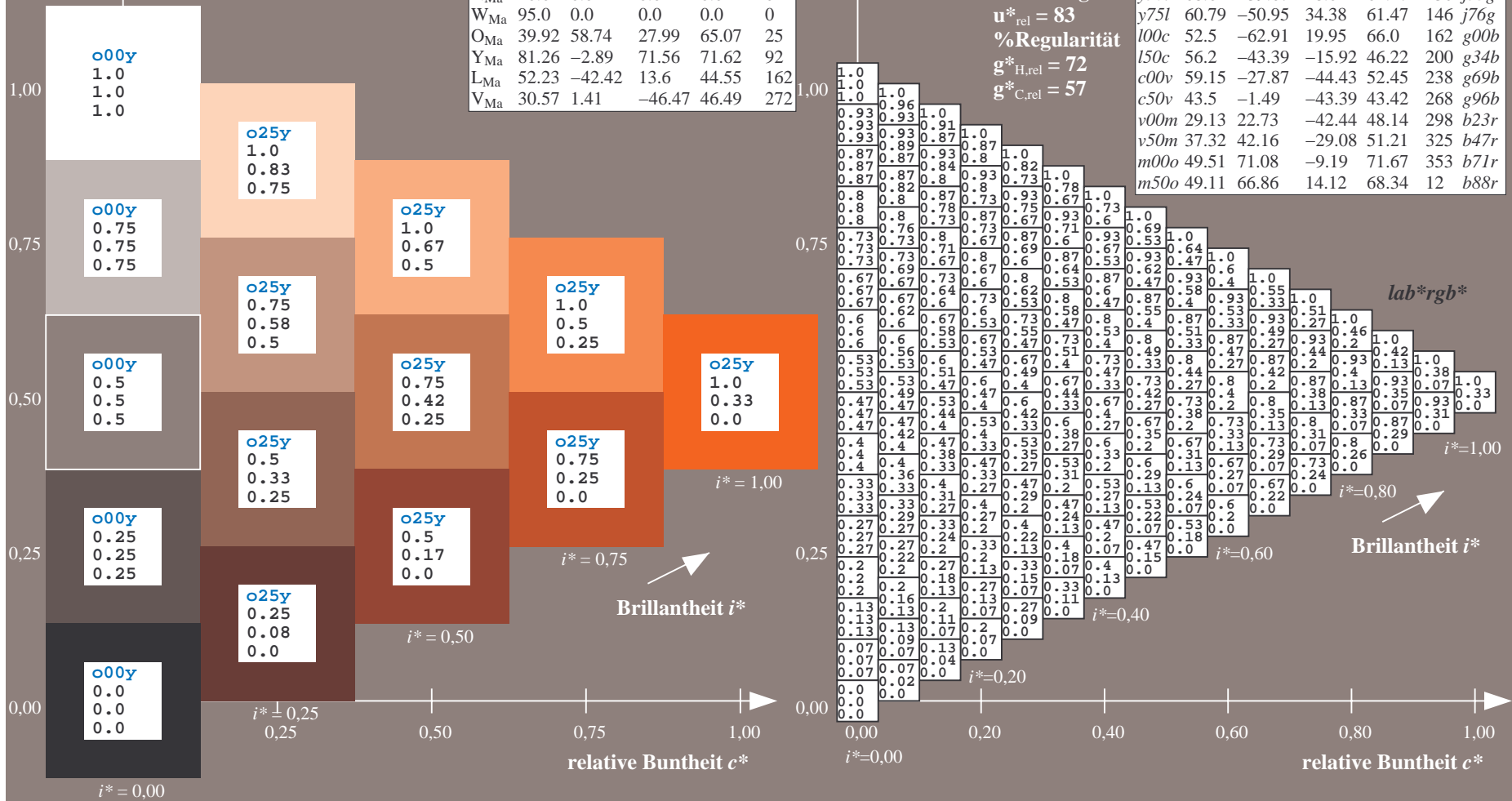
%Regularität

$g^*_{H,rel} = 72$

$g^*_{C,rel} = 57$

ORS20_95a; adaptierte CIELAB-Daten

u^*_d	$L^*=L^*_a$	a^*_a	b^*_a	$C^*_{ab,a}$	$h^*_{ab,a}$	u^*_e
o00y	48.71	62.56	37.91	73.15	31	r08j
o25y	58.6	44.87	49.14	66.54	48	r33j
o50y	67.52	28.93	59.25	65.94	64	r57j
o75y	77.05	11.9	70.06	71.06	80	r81j
y00l	89.25	-9.92	83.91	84.49	97	j06g
y25l	77.37	-27.05	63.23	68.78	113	j30g
y50l	68.62	-39.67	48.0	62.27	130	j53g
y75l	60.79	-50.95	34.38	61.47	146	j76g
l00c	52.5	-62.91	19.95	66.0	162	g00b
l50c	56.2	-43.39	-15.92	46.22	200	g34b
c00v	59.15	-27.87	-44.43	52.45	238	g69b
c50v	43.5	-1.49	-43.39	43.42	268	g96b
v00m	29.13	22.73	-42.44	48.14	298	b23r
v50m	37.32	42.16	-29.08	51.21	325	b47r
m00o	49.51	71.08	-9.19	71.67	353	b71r
m50o	49.11	66.86	14.12	68.34	12	b88r



Ein und Ausgabe: Farbmatisches Drucker-Reflektiv-System ORS20_95a für relativen CIELAB-Bunton $h^* = lab^*h^* = h_{ab}/360 = 0.178$

$u^*_d = 0.50y$

Daten für jede Farbe:

lab^*ch^* und lab^*icu^*

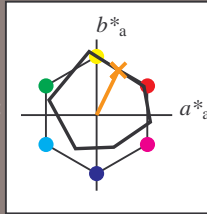
Buntontexte:

$u^*_d = 0.50y$ $u^*_e = r57j$

Kontrastreduzierungsfaktor:

$c_R = 0.96$

Dreiecks-Helligkeit t^*



ORS20_95a; adaptierte CIELAB-Daten

u^*_d	$L^*=L^*_a$	a^*_a	b^*_a	$C^*_{ab,a}$	$h^*_{ab,a}$
O _{Ma}	48.71	62.56	37.91	73.15	31
Y _{Ma}	89.25	-9.92	83.91	84.49	97
L _{Ma}	52.5	-62.91	19.95	66.0	162
C _{Ma}	59.15	-27.87	-44.43	52.45	238
V _{Ma}	29.13	22.73	-42.44	48.14	298
M _{Ma}	49.51	71.08	-9.19	71.67	353
N _{Ma}	20.0	0.0	0.0	0.0	0
W _{Ma}	95.0	0.0	0.0	0.0	0
O _{Ma}	39.92	58.74	27.99	65.07	25
Y _{Ma}	81.26	-2.89	71.56	71.62	92
L _{Ma}	52.23	-42.42	13.6	44.55	162
V _{Ma}	30.57	1.41	-46.47	46.49	272

Daten für Maximalfarbe (Ma):

$LAB^*LAB^*_{Ma}$: 68 29 59

$LAB^*LCH^*_{Ma}$: 68 66 63

$lab^*olv^*_{Ma}$: 1.0 0.5 0.0

$lab^*rgb^*_{Ma}$: 1.0 0.58 0.0

Dreiecks-Helligkeit t^*

%Umfang

$u^*_{rel} = 83$

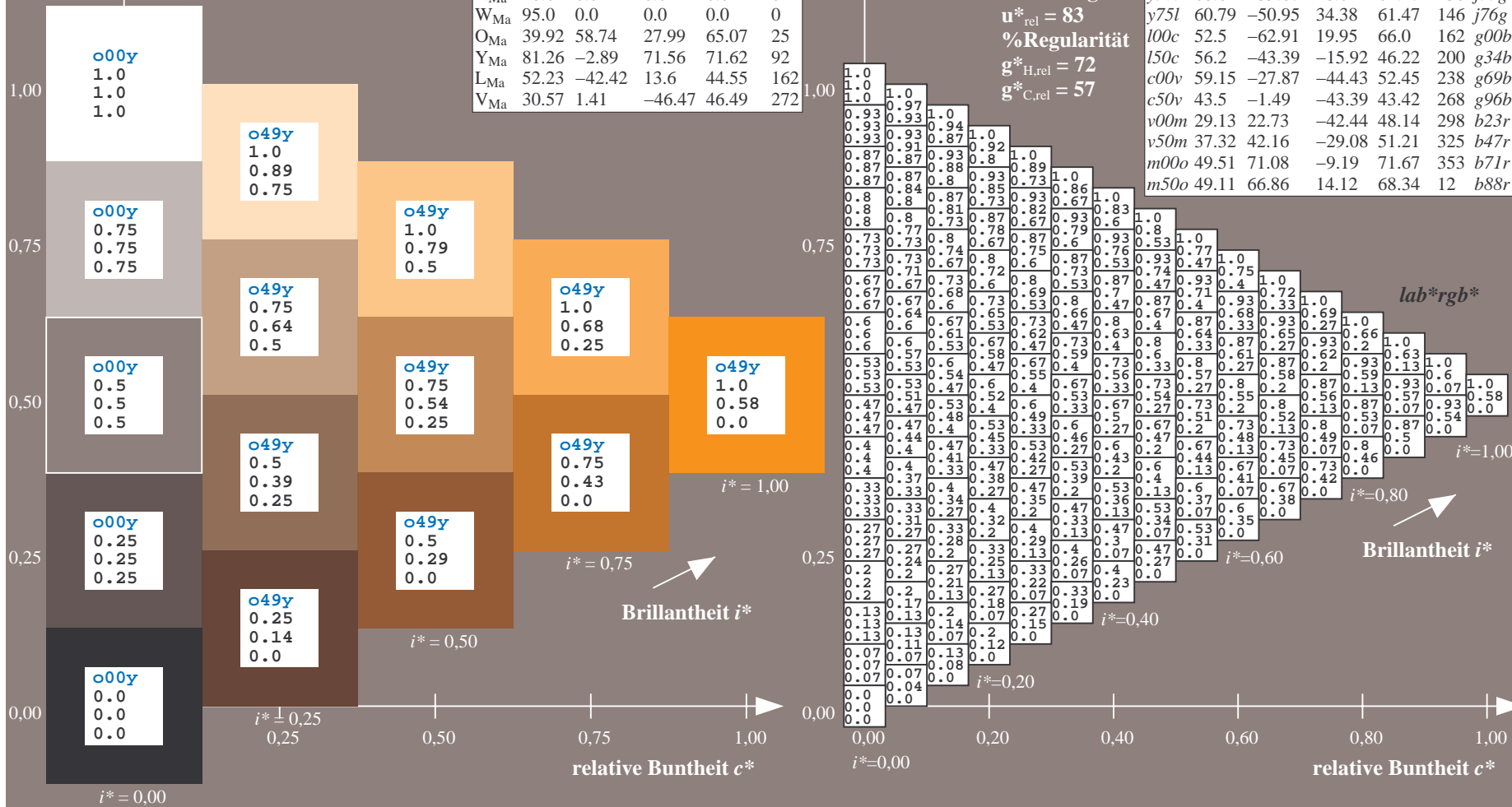
%Regularität

$g^*_{H,rel} = 72$

$g^*_{C,rel} = 57$

ORS20_95a; adaptierte CIELAB-Daten

u^*_d	$L^*=L^*_a$	a^*_a	b^*_a	$C^*_{ab,a}$	$h^*_{ab,a}$	u^*_e
o00y	48.71	62.56	37.91	73.15	31	r08j
o25y	58.6	44.87	49.14	66.54	48	r33j
o50y	67.52	28.93	59.25	65.94	64	r57j
o75y	77.05	11.9	70.06	71.06	80	r81j
y00l	89.25	-9.92	83.91	84.49	97	j06g
y25l	77.37	-27.05	63.23	68.78	113	j30g
y50l	68.62	-39.67	48.0	62.27	130	j53g
y75l	60.79	-50.95	34.38	61.47	146	j76g
l00c	52.5	-62.91	19.95	66.0	162	g00b
l50c	56.2	-43.39	-15.92	46.22	200	g34b
c00v	59.15	-27.87	-44.43	52.45	238	g69b
c50v	43.5	-1.49	-43.39	43.42	268	g96b
v00m	29.13	22.73	-42.44	48.14	298	b23r
v50m	37.32	42.16	-29.08	51.21	325	b47r
m00o	49.51	71.08	-9.19	71.67	353	b71r
m50o	49.11	66.86	14.12	68.34	12	b88r



Ein und Ausgabe: Farbmatisches Drucker-Reflektiv-System ORS20_95a für relativen CIELAB-Bunton $h^* = lab^*h^* = h_{ab}/360 = 0.223$

$u^*_d = 0.75y$

Daten für jede Farbe:

lab^*ch^* und lab^*icu^*

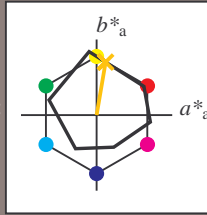
Buntontexte:

$u^*_d = 0.75y$ $u^*_e = r8lj$

Kontrastreduzierungsfaktor:

$c_R = 0.96$

Dreiecks-Helligkeit t^*



ORS20_95a; adaptierte CIELAB-Daten

u^*_d	$L^*=L^*_a$	a^*_a	b^*_a	$C^*_{ab,a}$	$h^*_{ab,a}$
O _{Ma}	48.71	62.56	37.91	73.15	31
Y _{Ma}	89.25	-9.92	83.91	84.49	97
L _{Ma}	52.5	-62.91	19.95	66.0	162
C _{Ma}	59.15	-27.87	-44.43	52.45	238
V _{Ma}	29.13	22.73	-42.44	48.14	298
M _{Ma}	49.51	71.08	-9.19	71.67	353
N _{Ma}	20.0	0.0	0.0	0.0	0
W _{Ma}	95.0	0.0	0.0	0.0	0
O _{Ma}	39.92	58.74	27.99	65.07	25
Y _{Ma}	81.26	-2.89	71.56	71.62	92
L _{Ma}	52.23	-42.42	13.6	44.55	162
V _{Ma}	30.57	1.41	-46.47	46.49	272

Daten für Maximalfarbe (Ma):

$LAB^*LAB^*_{Ma}$: 77 12 70

$LAB^*LCH^*_{Ma}$: 77 71 80

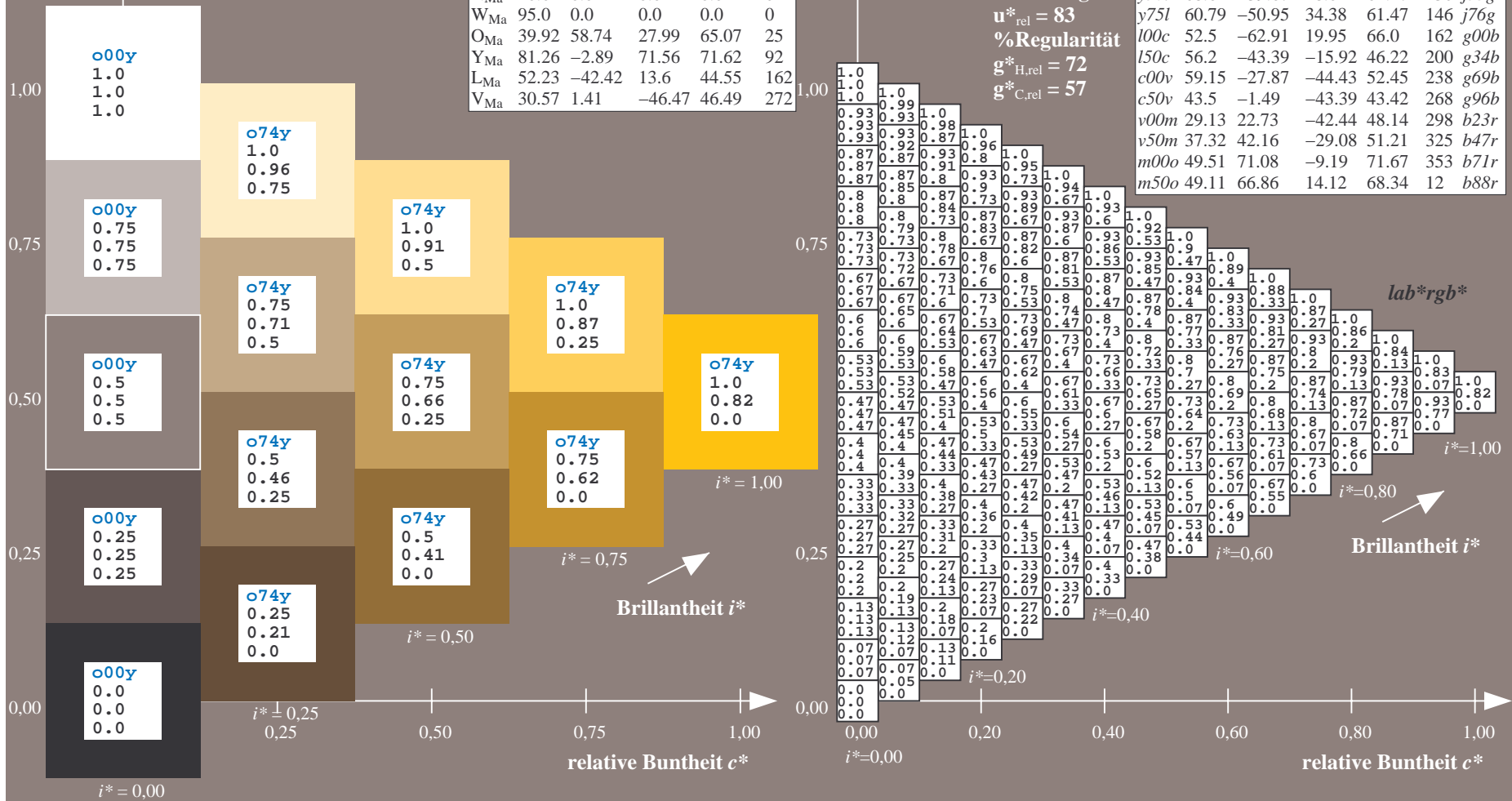
$lab^*olv^*_{Ma}$: 1.0 0.75 0.0

$lab^*rgb^*_{Ma}$: 1.0 0.82 0.0

Dreiecks-Helligkeit t^*

ORS20_95a; adaptierte CIELAB-Daten

u^*_d	$L^*=L^*_a$	a^*_a	b^*_a	$C^*_{ab,a}$	$h^*_{ab,a}$	u^*_e
o00y	48.71	62.56	37.91	73.15	31	r08j
o25y	58.6	44.87	49.14	66.54	48	r33j
o50y	67.52	28.93	59.25	65.94	64	r57j
o75y	77.05	11.9	70.06	71.06	80	r8lj
y00l	89.25	-9.92	83.91	84.49	97	j06g
y25l	77.37	-27.05	63.23	68.78	113	j30g
y50l	68.62	-39.67	48.0	62.27	130	j53g
y75l	60.79	-50.95	34.38	61.47	146	j76g
l00c	52.5	-62.91	19.95	66.0	162	g00b
l50c	56.2	-43.39	-15.92	46.22	200	g34b
c00v	59.15	-27.87	-44.43	52.45	238	g69b
c50v	43.5	-1.49	-43.39	43.42	268	g96b
v00m	29.13	22.73	-42.44	48.14	298	b23r
v50m	37.32	42.16	-29.08	51.21	325	b47r
m00o	49.51	71.08	-9.19	71.67	353	b71r
m50o	49.11	66.86	14.12	68.34	12	b88r



Ein und Ausgabe: Farbmatisches Drucker-Reflektiv-System ORS20_95a für relativen CIELAB-Bunton $h^* = lab^*h^* = h_{ab}/360 = 0.269$

$u^*_d = y00l$

Daten für jede Farbe:

lab^*ch^* und lab^*icu^*

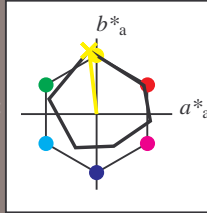
Buntontexte:

$u^*_d = y00l$ $u^*_e = j06g$

Kontrastreduzierungsfaktor:

$c_R = 0.96$

Dreiecks-Helligkeit t^*



ORS20_95a; adaptierte CIELAB-Daten

u^*_d	$L^*=L^*_a$	a^*_a	b^*_a	$C^*_{ab,a}$	$h^*_{ab,a}$
O _{Ma}	48.71	62.56	37.91	73.15	31
Y _{Ma}	89.25	-9.92	83.91	84.49	97
L _{Ma}	52.5	-62.91	19.95	66.0	162
C _{Ma}	59.15	-27.87	-44.43	52.45	238
V _{Ma}	29.13	22.73	-42.44	48.14	298
M _{Ma}	49.51	71.08	-9.19	71.67	353
N _{Ma}	20.0	0.0	0.0	0.0	0
W _{Ma}	95.0	0.0	0.0	0.0	0
O _{Ma}	39.92	58.74	27.99	65.07	25
Y _{Ma}	81.26	-2.89	71.56	71.62	92
L _{Ma}	52.23	-42.42	13.6	44.55	162
V _{Ma}	30.57	1.41	-46.47	46.49	272

Daten für Maximalfarbe (Ma):

$LAB^*LAB^*_{Ma}$: 89 -10 84

$LAB^*LCH^*_{Ma}$: 89 84 96

$lab^*olv^*_{Ma}$: 1.0 1.0 0.0

$lab^*rgb^*_{Ma}$: 0.94 1.0 0.0

Dreiecks-Helligkeit t^*

%Umfang

$u^*_{rel} = 83$

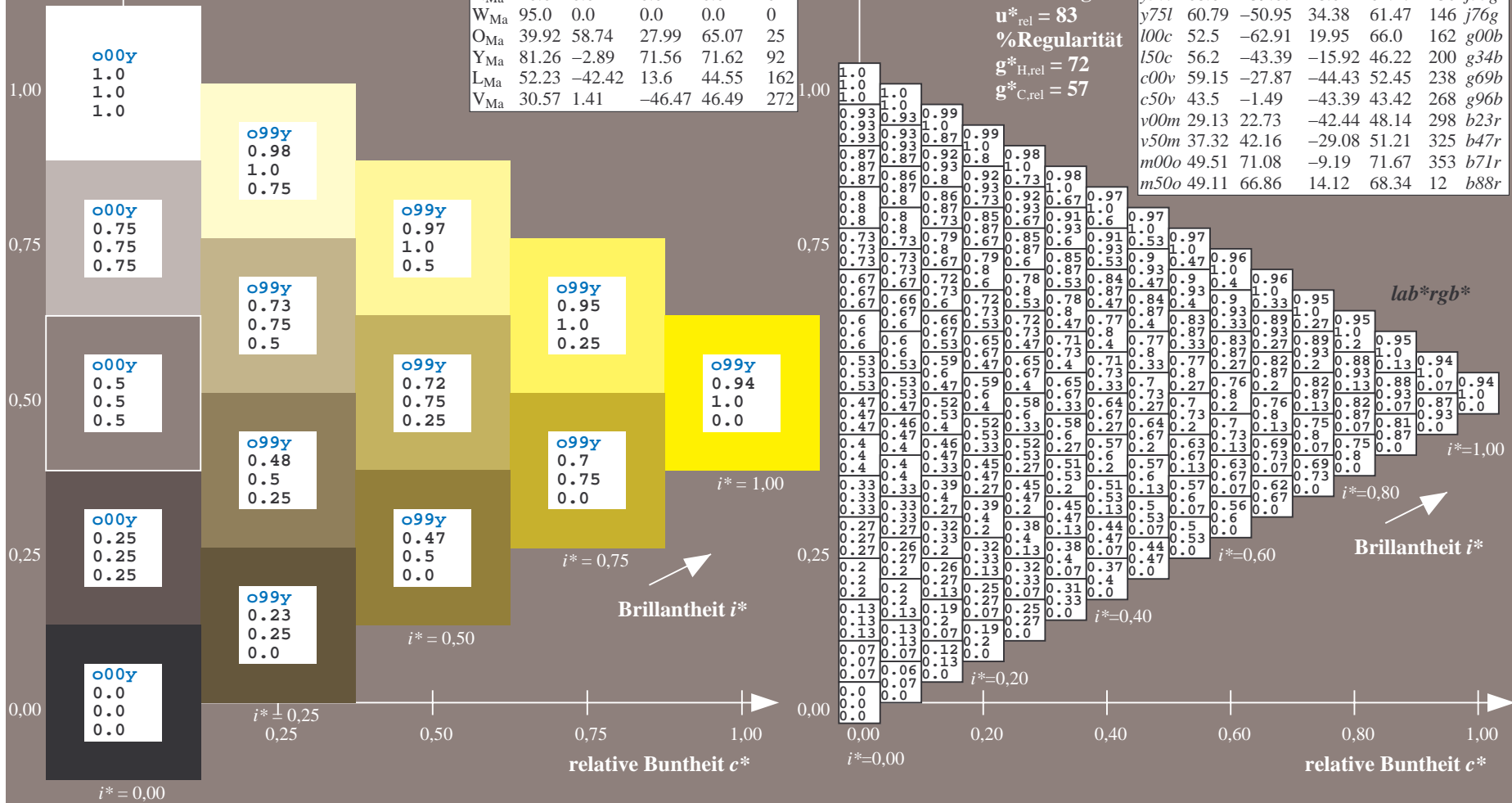
%Regularität

$g^*_{H,rel} = 72$

$g^*_{C,rel} = 57$

ORS20_95a; adaptierte CIELAB-Daten

u^*_d	$L^*=L^*_a$	a^*_a	b^*_a	$C^*_{ab,a}$	$h^*_{ab,a}$	u^*_e
o00y	48.71	62.56	37.91	73.15	31	r08j
o25y	58.6	44.87	49.14	66.54	48	r33j
o50y	67.52	28.93	59.25	65.94	64	r57j
o75y	77.05	11.9	70.06	71.06	80	r81j
y00l	89.25	-9.92	83.91	84.49	97	j06g
y25l	77.37	-27.05	63.23	68.78	113	j30g
y50l	68.62	-39.67	48.0	62.27	130	j53g
y75l	60.79	-50.95	34.38	61.47	146	j76g
l00c	52.5	-62.91	19.95	66.0	162	g00b
l50c	56.2	-43.39	-15.92	46.22	200	g34b
c00v	59.15	-27.87	-44.43	52.45	238	g69b
c50v	43.5	-1.49	-43.39	43.42	268	g96b
v00m	29.13	22.73	-42.44	48.14	298	b23r
v50m	37.32	42.16	-29.08	51.21	325	b47r
m00o	49.51	71.08	-9.19	71.67	353	b71r
m50o	49.11	66.86	14.12	68.34	12	b88r



Ein und Ausgabe: Farbmatisches Drucker-Reflektiv-System ORS20_95a für relativen CIELAB-Bunton $h^* = lab^*h^* = h_{ab}/360 = 0.314$

$u^*_d = y25l$

Daten für jede Farbe:

lab^*ch^* und lab^*icu^*

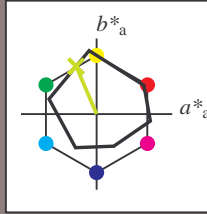
Buntontexte:

$u^*_d = y25l$ $u^*_e = j30g$

Kontrastreduzierungsfaktor:

$c_R = 0.96$

Dreiecks-Helligkeit t^*



ORS20_95a; adaptierte CIELAB-Daten

u^*_d	$L^*=L^*_a$	a^*_a	b^*_a	$C^*_{ab,a}$	$h^*_{ab,a}$
O _{Ma}	48.71	62.56	37.91	73.15	31
Y _{Ma}	89.25	-9.92	83.91	84.49	97
L _{Ma}	52.5	-62.91	19.95	66.0	162
C _{Ma}	59.15	-27.87	-44.43	52.45	238
V _{Ma}	29.13	22.73	-42.44	48.14	298
M _{Ma}	49.51	71.08	-9.19	71.67	353
N _{Ma}	20.0	0.0	0.0	0.0	0
W _{Ma}	95.0	0.0	0.0	0.0	0
O _{Ma}	39.92	58.74	27.99	65.07	25
Y _{Ma}	81.26	-2.89	71.56	71.62	92
L _{Ma}	52.23	-42.42	13.6	44.55	162
V _{Ma}	30.57	1.41	-46.47	46.49	272

Daten für Maximalfarbe (Ma):

$LAB^*LAB^*_{Ma}: 77 -27 63$

$LAB^*LCH^*_{Ma}: 77 69 113$

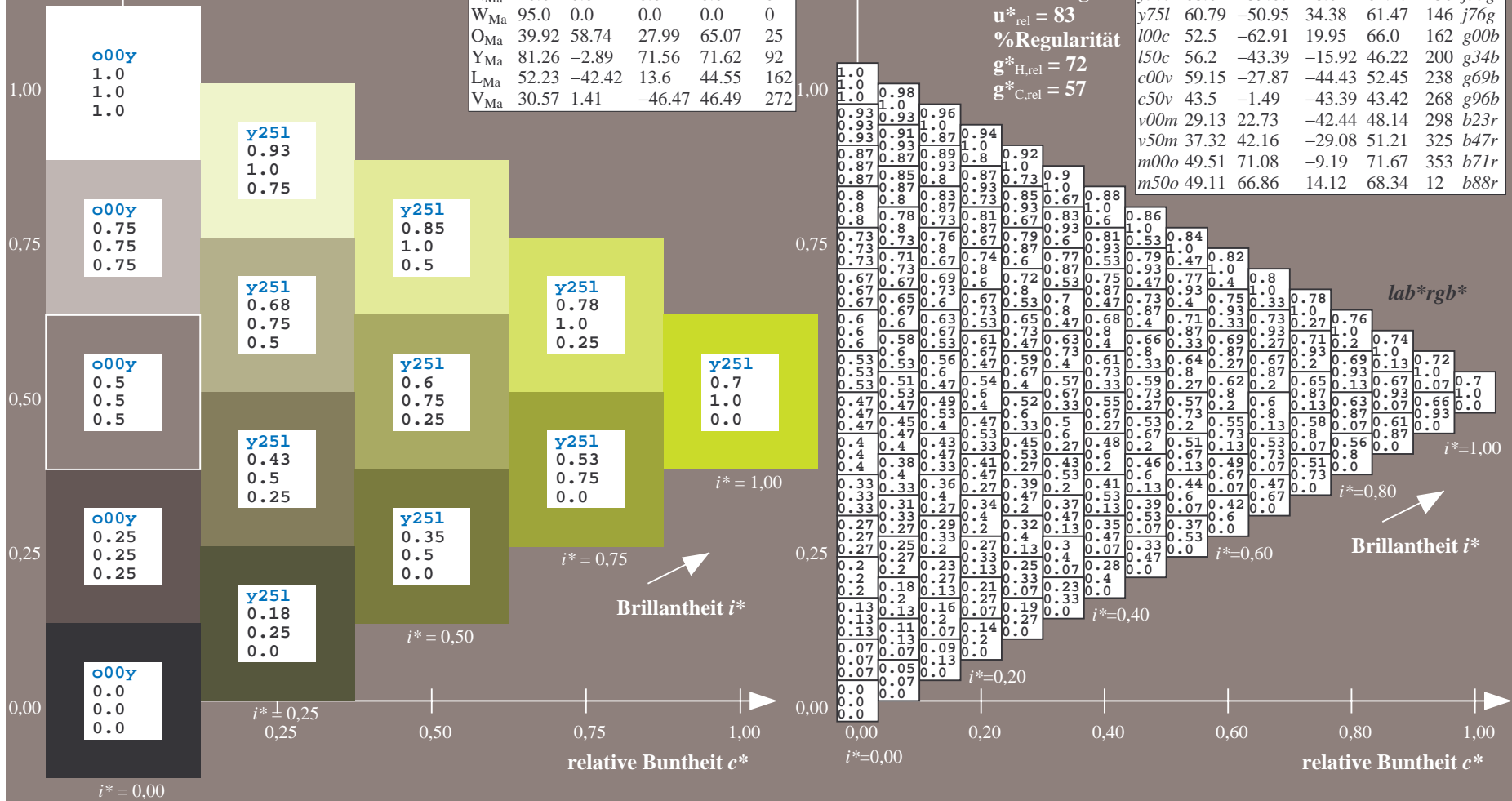
$lab^*olv^*_{Ma}: 0.75 1.0 0.0$

$lab^*rgb^*_{Ma}: 0.7 1.0 0.0$

Dreiecks-Helligkeit t^*

ORS20_95a; adaptierte CIELAB-Daten

u^*_d	$L^*=L^*_a$	a^*_a	b^*_a	$C^*_{ab,a}$	$h^*_{ab,a}$	u^*_e
o00y	48.71	62.56	37.91	73.15	31	r08j
o25y	58.6	44.87	49.14	66.54	48	r33j
o50y	67.52	28.93	59.25	65.94	64	r57j
o75y	77.05	11.9	70.06	71.06	80	r81j
y00l	89.25	-9.92	83.91	84.49	97	j06g
y25l	77.37	-27.05	63.23	68.78	113	j30g
y50l	68.62	-39.67	48.0	62.27	130	j53g
y75l	60.79	-50.95	34.38	61.47	146	j76g
l00c	52.5	-62.91	19.95	66.0	162	g00b
l50c	56.2	-43.39	-15.92	46.22	200	g34b
c00v	59.15	-27.87	-44.43	52.45	238	g69b
c50v	43.5	-1.49	-43.39	43.42	268	g96b
v00m	29.13	22.73	-42.44	48.14	298	b23r
v50m	37.32	42.16	-29.08	51.21	325	b47r
m00o	49.51	71.08	-9.19	71.67	353	b71r
m50o	49.11	66.86	14.12	68.34	12	b88r



Ein und Ausgabe: Farbmatisches Drucker-Reflektiv-System ORS20_95a für relativen CIELAB-Bunton $h^* = lab^*h^* = h_{ab}/360 = 0.36$

$u^*_d = y50l$

Daten für jede Farbe:

lab^*ch^* und lab^*icu^*

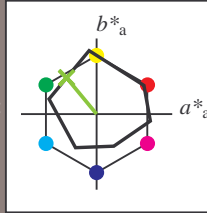
Buntontexte:

$u^*_d = y50l$ $u^*_e = j53g$

Kontrastreduzierungsfaktor:

$c_R = 0.96$

Dreiecks-Helligkeit t^*



ORS20_95a; adaptierte CIELAB-Daten

u^*_d	$L^*=L^*_a$	a^*_a	b^*_a	$C^*_{ab,a}$	$h^*_{ab,a}$
O _{Ma}	48.71	62.56	37.91	73.15	31
Y _{Ma}	89.25	-9.92	83.91	84.49	97
L _{Ma}	52.5	-62.91	19.95	66.0	162
C _{Ma}	59.15	-27.87	-44.43	52.45	238
V _{Ma}	29.13	22.73	-42.44	48.14	298
M _{Ma}	49.51	71.08	-9.19	71.67	353
N _{Ma}	20.0	0.0	0.0	0.0	0
W _{Ma}	95.0	0.0	0.0	0.0	0
O _{Ma}	39.92	58.74	27.99	65.07	25
Y _{Ma}	81.26	-2.89	71.56	71.62	92
L _{Ma}	52.23	-42.42	13.6	44.55	162
V _{Ma}	30.57	1.41	-46.47	46.49	272

Daten für Maximalfarbe (Ma):

$LAB^*LAB^*_{Ma}$: 69 -40 48

$LAB^*LCH^*_{Ma}$: 69 62 129

$lab^*olv^*_{Ma}$: 0.5 1.0 0.0

$lab^*rgb^*_{Ma}$: 0.47 1.0 0.0

Dreiecks-Helligkeit t^*

%Umfang

$u^*_{rel} = 83$

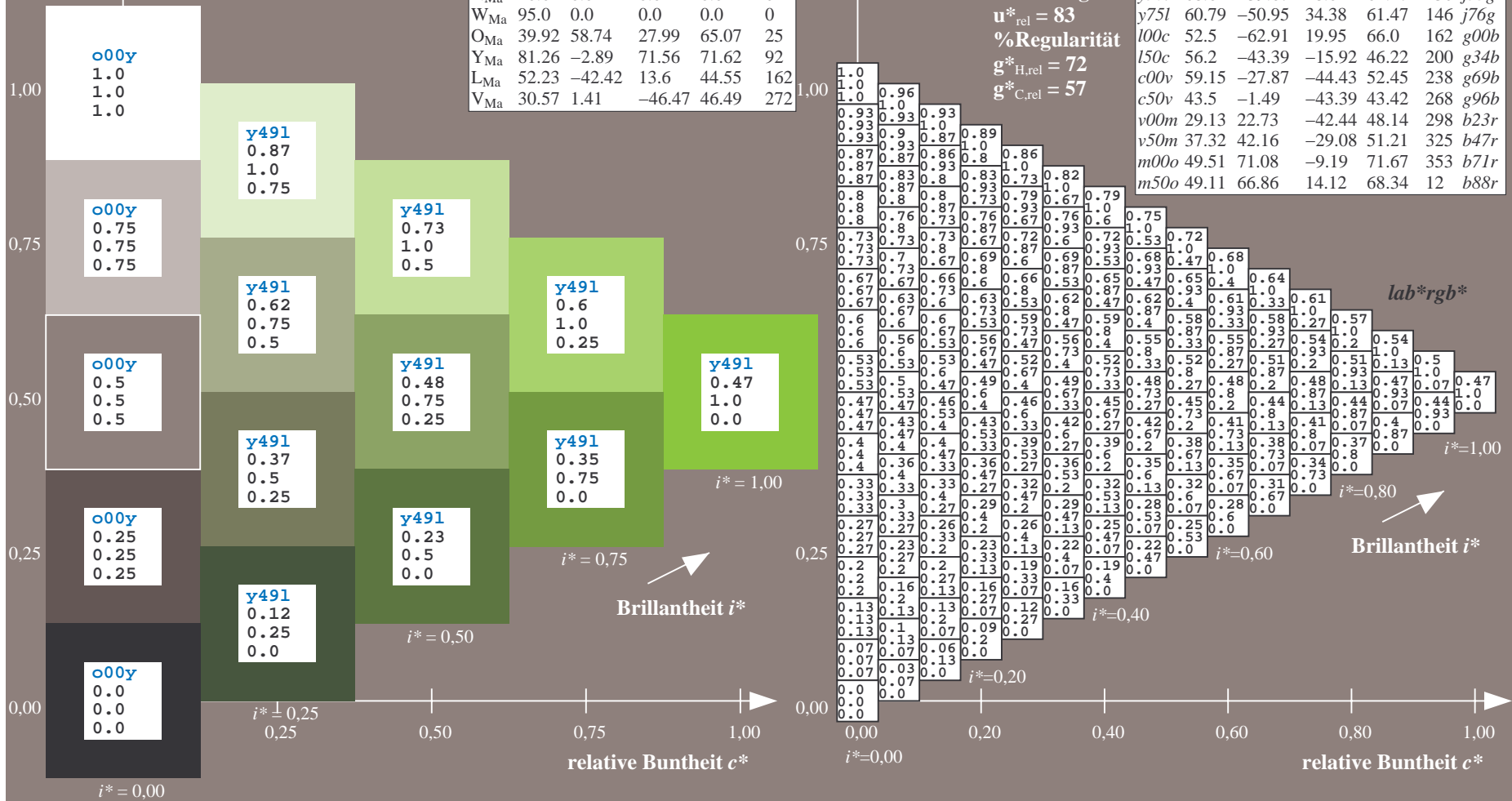
%Regularität

$g^*_{H,rel} = 72$

$g^*_{C,rel} = 57$

ORS20_95a; adaptierte CIELAB-Daten

u^*_d	$L^*=L^*_a$	a^*_a	b^*_a	$C^*_{ab,a}$	$h^*_{ab,a}$	u^*_e
o00y	48.71	62.56	37.91	73.15	31	r08j
o25y	58.6	44.87	49.14	66.54	48	r33j
o50y	67.52	28.93	59.25	65.94	64	r57j
o75y	77.05	11.9	70.06	71.06	80	r81j
y00l	89.25	-9.92	83.91	84.49	97	j06g
y25l	77.37	-27.05	63.23	68.78	113	j30g
y50l	68.62	-39.67	48.0	62.27	130	j53g
y75l	60.79	-50.95	34.38	61.47	146	j76g
l00c	52.5	-62.91	19.95	66.0	162	g00b
l50c	56.2	-43.39	-15.92	46.22	200	g34b
c00v	59.15	-27.87	-44.43	52.45	238	g69b
c50v	43.5	-1.49	-43.39	43.42	268	g96b
v00m	29.13	22.73	-42.44	48.14	298	b23r
v50m	37.32	42.16	-29.08	51.21	325	b47r
m00o	49.51	71.08	-9.19	71.67	353	b71r
m50o	49.11	66.86	14.12	68.34	12	b88r



Ein und Ausgabe: Farbmatisches Drucker-Reflektiv-System ORS20_95a für relativen CIELAB-Bunton $h^* = lab^*h^* = h_{ab}/360 = 0.406$

$u^*_d = y75l$

Daten für jede Farbe:

lab^*ch^* und lab^*icu^*

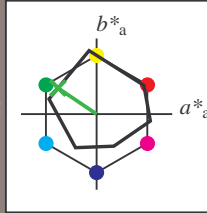
Buntontexte:

$u^*_d = y75l$ $u^*_e = j76g$

Kontrastreduzierungsfaktor:

$c_R = 0.96$

Dreiecks-Helligkeit t^*



ORS20_95a; adaptierte CIELAB-Daten

u^*_d	$L^*=L^*_a$	a^*_a	b^*_a	$C^*_{ab,a}$	$h^*_{ab,a}$
O _{Ma}	48.71	62.56	37.91	73.15	31
Y _{Ma}	89.25	-9.92	83.91	84.49	97
L _{Ma}	52.5	-62.91	19.95	66.0	162
C _{Ma}	59.15	-27.87	-44.43	52.45	238
V _{Ma}	29.13	22.73	-42.44	48.14	298
M _{Ma}	49.51	71.08	-9.19	71.67	353
N _{Ma}	20.0	0.0	0.0	0.0	0
W _{Ma}	95.0	0.0	0.0	0.0	0
O _{Ma}	39.92	58.74	27.99	65.07	25
Y _{Ma}	81.26	-2.89	71.56	71.62	92
L _{Ma}	52.23	-42.42	13.6	44.55	162
V _{Ma}	30.57	1.41	-46.47	46.49	272

Daten für Maximalfarbe (Ma):

$LAB^*LAB^*_{Ma}$: 61 -51 34

$LAB^*LCH^*_{Ma}$: 61 61 145

$lab^*olv^*_{Ma}$: 0.25 1.0 0.0

$lab^*rgb^*_{Ma}$: 0.23 1.0 0.0

Dreiecks-Helligkeit t^*

%Umfang

$u^*_{rel} = 83$

%Regularität

$g^*_{H,rel} = 72$

$g^*_{C,rel} = 57$

ORS20_95a; adaptierte CIELAB-Daten

u^*_d	$L^*=L^*_a$	a^*_a	b^*_a	$C^*_{ab,a}$	$h^*_{ab,a}$	u^*_e
o00y	48.71	62.56	37.91	73.15	31	r08j
o25y	58.6	44.87	49.14	66.54	48	r33j
o50y	67.52	28.93	59.25	65.94	64	r57j
o75y	77.05	11.9	70.06	71.06	80	r81j
y00l	89.25	-9.92	83.91	84.49	97	j06g
y25l	77.37	-27.05	63.23	68.78	113	j30g
y50l	68.62	-39.67	48.0	62.27	130	j53g
y75l	60.79	-50.95	34.38	61.47	146	j76g
l00c	52.5	-62.91	19.95	66.0	162	g00b
l50c	56.2	-43.39	-15.92	46.22	200	g34b
c00v	59.15	-27.87	-44.43	52.45	238	g69b
c50v	43.5	-1.49	-43.39	43.42	268	g96b
v00m	29.13	22.73	-42.44	48.14	298	b23r
v50m	37.32	42.16	-29.08	51.21	325	b47r
m00o	49.51	71.08	-9.19	71.67	353	b71r
m50o	49.11	66.86	14.12	68.34	12	b88r

lab^*rgb^*

$i^* = 1.00$

$i^* = 0.80$

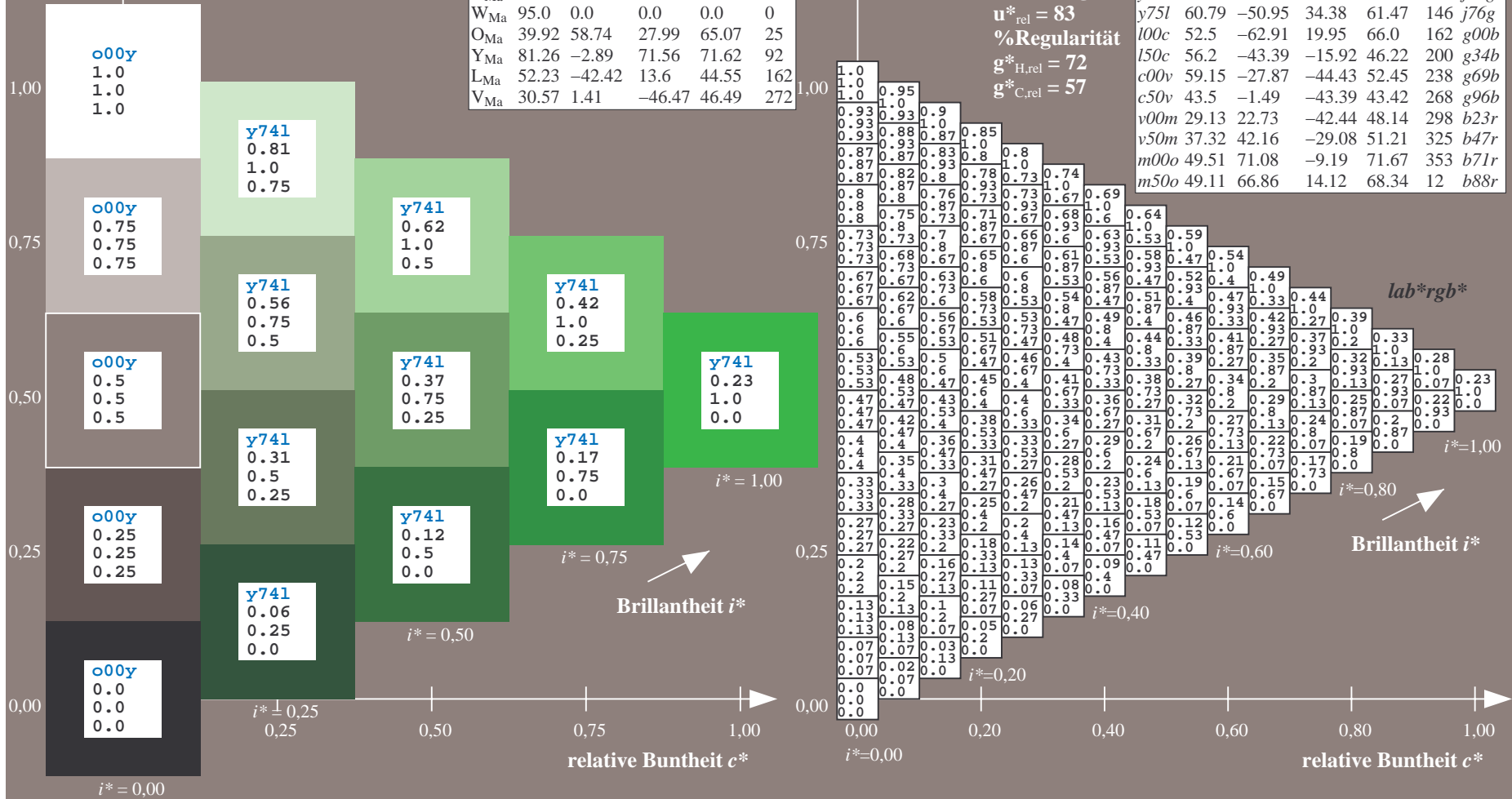
Brillantheit i^*

$i^* = 0.60$

$i^* = 0.40$

$i^* = 0.20$

$i^* = 0.00$



Ein und Ausgabe: Farbmatisches Drucker-Reflektiv-System ORS20_95a für relativen CIELAB-Bunton $h^* = lab^*h^* = h_{ab}/360 = 0.451$

$u^*_d = 100c$

Daten für jede Farbe:

lab^*ch^* und lab^*icu^*

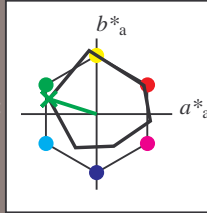
Buntontexte:

$u^*_d = 100c$ $u^*_e = g00b$

Kontrastreduzierungsfaktor:

$c_R = 0.96$

Dreiecks-Helligkeit t^*



ORS20_95a; adaptierte CIELAB-Daten

u^*_d	$L^*=L^*_a$	a^*_a	b^*_a	$C^*_{ab,a}$	$h^*_{ab,a}$
O _{Ma}	48.71	62.56	37.91	73.15	31
Y _{Ma}	89.25	-9.92	83.91	84.49	97
L _{Ma}	52.5	-62.91	19.95	66.0	162
C _{Ma}	59.15	-27.87	-44.43	52.45	238
V _{Ma}	29.13	22.73	-42.44	48.14	298
M _{Ma}	49.51	71.08	-9.19	71.67	353
N _{Ma}	20.0	0.0	0.0	0.0	0
W _{Ma}	95.0	0.0	0.0	0.0	0
O _{Ma}	39.92	58.74	27.99	65.07	25
Y _{Ma}	81.26	-2.89	71.56	71.62	92
L _{Ma}	52.23	-42.42	13.6	44.55	162
V _{Ma}	30.57	1.41	-46.47	46.49	272

Daten für Maximalfarbe (Ma):

$LAB^*LAB^*_{Ma}: 52 -63 20$

$LAB^*LCH^*_{Ma}: 52 66 162$

$lab^*olv^*_{Ma}: 0.0 1.0 0.0$

$lab^*rgb^*_{Ma}: 0.0 1.0 0.0$

Dreiecks-Helligkeit t^*

%Umfang

$u^*_{rel} = 83$

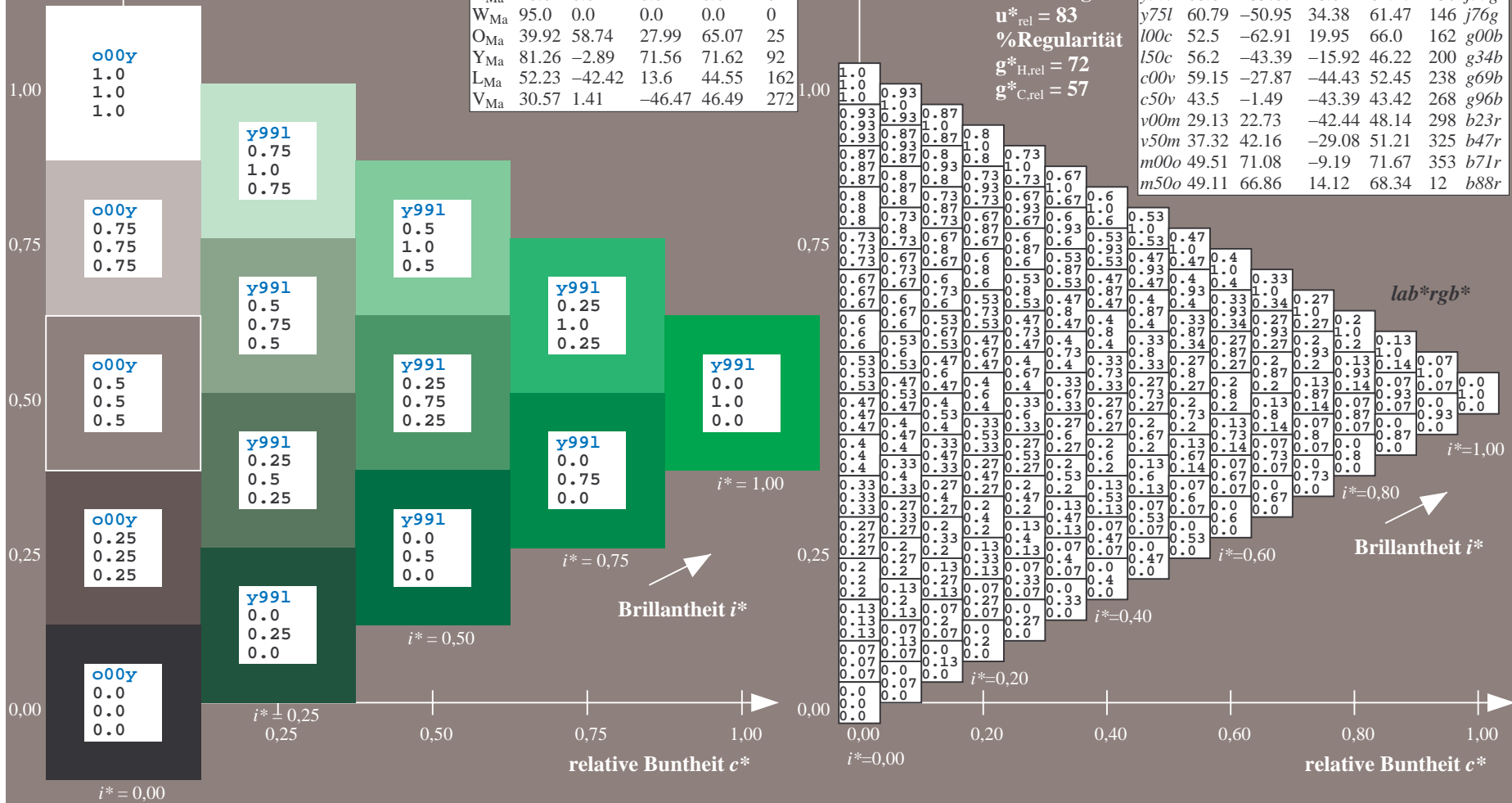
%Regularität

$g^*_{H,rel} = 72$

$g^*_{C,rel} = 57$

ORS20_95a; adaptierte CIELAB-Daten

u^*_d	$L^*=L^*_a$	a^*_a	b^*_a	$C^*_{ab,a}$	$h^*_{ab,a}$	u^*_e
o00y	48.71	62.56	37.91	73.15	31	r08j
o25y	58.6	44.87	49.14	66.54	48	r33j
o50y	67.52	28.93	59.25	65.94	64	r57j
o75y	77.05	11.9	70.06	71.06	80	r81j
y00l	89.25	-9.92	83.91	84.49	97	j06g
y25l	77.37	-27.05	63.23	68.78	113	j30g
y50l	68.62	-39.67	48.0	62.27	130	j53g
y75l	60.79	-50.95	34.38	61.47	146	j76g
l00c	52.5	-62.91	19.95	66.0	162	g00b
l50c	56.2	-43.39	-15.92	46.22	200	g34b
c00v	59.15	-27.87	-44.43	52.45	238	g69b
c50v	43.5	-1.49	-43.39	43.42	268	g96b
v00m	29.13	22.73	-42.44	48.14	298	b23r
v50m	37.32	42.16	-29.08	51.21	325	b47r
m00o	49.51	71.08	-9.19	71.67	353	b71r
m50o	49.11	66.86	14.12	68.34	12	b88r



Ein und Ausgabe: Farbmatisches Drucker-Reflektiv-System ORS20_95a für relativen CIELAB-Bunton $h^* = lab^*h^* = h_{ab}/360 = 0.556$

$u^*_d = 150c$

Daten für jede Farbe:

lab^*ch^* und lab^*icu^*

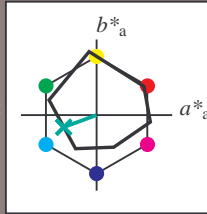
Buntontexte:

$u^*_d = 150c$ $u^*_e = g34b$

Kontrastreduzierungsfaktor:

$c_R = 0.96$

Dreiecks-Helligkeit t^*



ORS20_95a; adaptierte CIELAB-Daten

u^*_d	$L^*=L^*_a$	a^*_a	b^*_a	$C^*_{ab,a}$	$h^*_{ab,a}$
O _{Ma}	48.71	62.56	37.91	73.15	31
Y _{Ma}	89.25	-9.92	83.91	84.49	97
L _{Ma}	52.5	-62.91	19.95	66.0	162
C _{Ma}	59.15	-27.87	-44.43	52.45	238
V _{Ma}	29.13	22.73	-42.44	48.14	298
M _{Ma}	49.51	71.08	-9.19	71.67	353
N _{Ma}	20.0	0.0	0.0	0.0	0
W _{Ma}	95.0	0.0	0.0	0.0	0
O _{Ma}	39.92	58.74	27.99	65.07	25
Y _{Ma}	81.26	-2.89	71.56	71.62	92
L _{Ma}	52.23	-42.42	13.6	44.55	162
V _{Ma}	30.57	1.41	-46.47	46.49	272

Daten für Maximalfarbe (Ma):

$LAB^*LAB^*_{Ma}$: 56 -43 -16

$LAB^*LCH^*_{Ma}$: 56 46 200

$lab^*olv^*_{Ma}$: 0.0 1.0 0.5

$lab^*rgb^*_{Ma}$: 0.0 1.0 0.69

Dreiecks-Helligkeit t^*

%Umfang

$u^*_{rel} = 83$

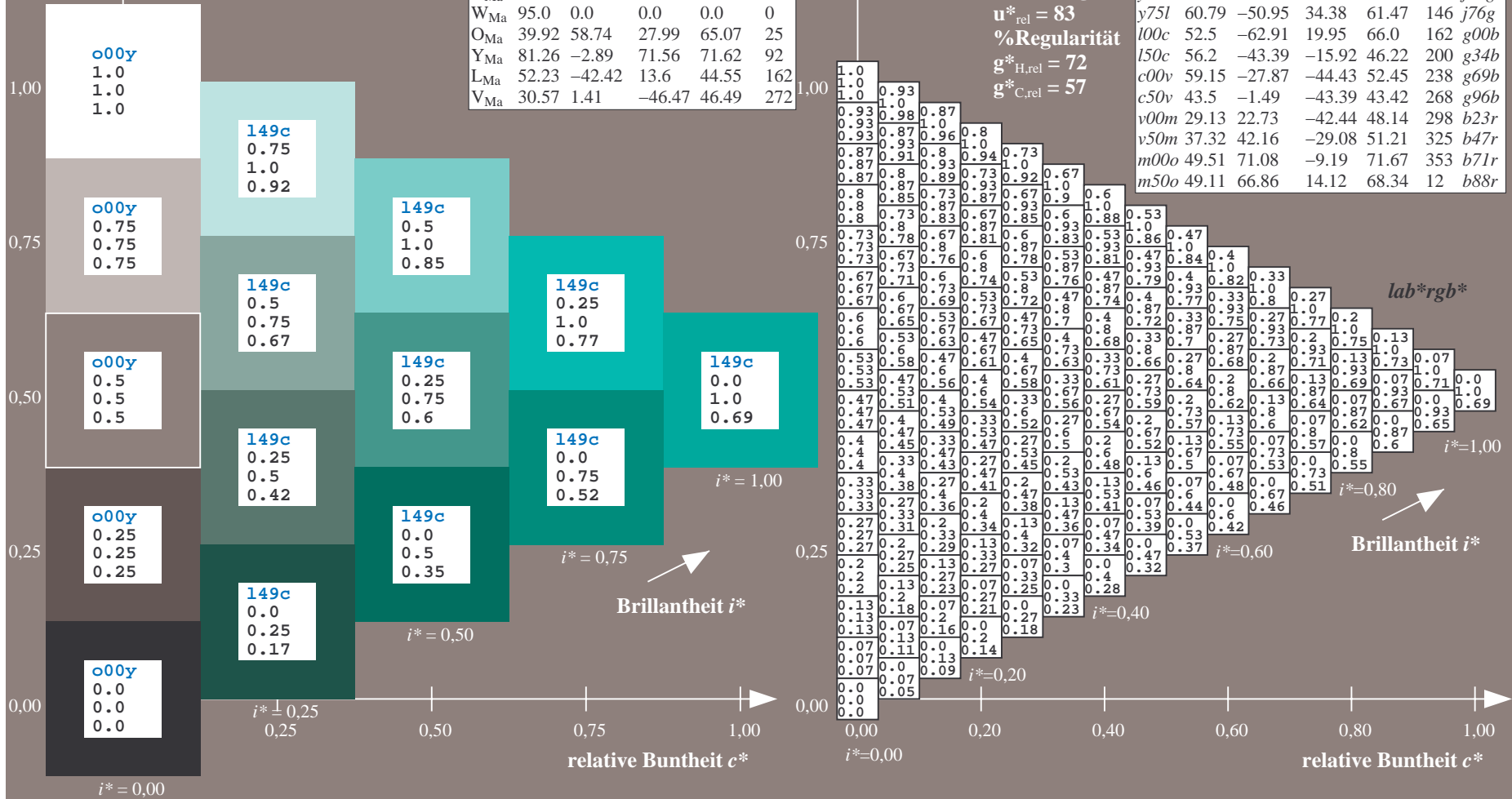
%Regularität

$g^*_{H,rel} = 72$

$g^*_{C,rel} = 57$

ORS20_95a; adaptierte CIELAB-Daten

u^*_d	$L^*=L^*_a$	a^*_a	b^*_a	$C^*_{ab,a}$	$h^*_{ab,a}$	u^*_e
o00y	48.71	62.56	37.91	73.15	31	r08j
o25y	58.6	44.87	49.14	66.54	48	r33j
o50y	67.52	28.93	59.25	65.94	64	r57j
o75y	77.05	11.9	70.06	71.06	80	r81j
y00l	89.25	-9.92	83.91	84.49	97	j06g
y25l	77.37	-27.05	63.23	68.78	113	j30g
y50l	68.62	-39.67	48.0	62.27	130	j53g
y75l	60.79	-50.95	34.38	61.47	146	j76g
l00c	52.5	-62.91	19.95	66.0	162	g00b
l50c	56.2	-43.39	-15.92	46.22	200	g34b
c00v	59.15	-27.87	-44.43	52.45	238	g69b
c50v	43.5	-1.49	-43.39	43.42	268	g96b
v00m	29.13	22.73	-42.44	48.14	298	b23r
v50m	37.32	42.16	-29.08	51.21	325	b47r
m00o	49.51	71.08	-9.19	71.67	353	b71r
m50o	49.11	66.86	14.12	68.34	12	b88r



Ein und Ausgabe: Farbmatisches Drucker-Reflektiv-System ORS20_95a für relativen CIELAB-Bunton $h^* = lab^*h^* = h_{ab}/360 = 0.661$

$u^*_d = c00v$

Daten für jede Farbe:

lab^*ch^* und lab^*icu^*

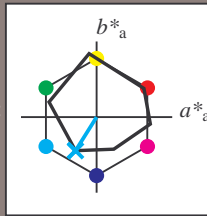
Buntontexte:

$u^*_d = c00v$ $u^*_e = g69b$

Kontrastreduzierungsfaktor:

$c_R = 0.96$

Dreiecks-Helligkeit t^*



ORS20_95a; adaptierte CIELAB-Daten

u^*_d	$L^*=L^*_a$	a^*_a	b^*_a	$C^*_{ab,a}$	$h^*_{ab,a}$
O _{Ma}	48.71	62.56	37.91	73.15	31
Y _{Ma}	89.25	-9.92	83.91	84.49	97
L _{Ma}	52.5	-62.91	19.95	66.0	162
C _{Ma}	59.15	-27.87	-44.43	52.45	238
V _{Ma}	29.13	22.73	-42.44	48.14	298
M _{Ma}	49.51	71.08	-9.19	71.67	353
N _{Ma}	20.0	0.0	0.0	0.0	0
W _{Ma}	95.0	0.0	0.0	0.0	0
O _{Ma}	39.92	58.74	27.99	65.07	25
Y _{Ma}	81.26	-2.89	71.56	71.62	92
L _{Ma}	52.23	-42.42	13.6	44.55	162
V _{Ma}	30.57	1.41	-46.47	46.49	272

Daten für Maximalfarbe (Ma):

$LAB^*LAB^*_{Ma}: 59 -28 -44$

$LAB^*LCH^*_{Ma}: 59 52 237$

$lab^*olv^*_{Ma}: 0.0 1.0 1.0$

$lab^*rgb^*_{Ma}: 0.0 0.62 1.0$

Dreiecks-Helligkeit t^*

ORS20_95a; adaptierte CIELAB-Daten

u^*_d	$L^*=L^*_a$	a^*_a	b^*_a	$C^*_{ab,a}$	$h^*_{ab,a}$	u^*_e
<i>o00y</i>	48.71	62.56	37.91	73.15	31	<i>r08j</i>
<i>o25y</i>	58.6	44.87	49.14	66.54	48	<i>r33j</i>
<i>o50y</i>	67.52	28.93	59.25	65.94	64	<i>r57j</i>
<i>o75y</i>	77.05	11.9	70.06	71.06	80	<i>r81j</i>
<i>y00l</i>	89.25	-9.92	83.91	84.49	97	<i>j06g</i>
<i>y25l</i>	77.37	-27.05	63.23	68.78	113	<i>j30g</i>
<i>y50l</i>	68.62	-39.67	48.0	62.27	130	<i>j53g</i>
<i>y75l</i>	60.79	-50.95	34.38	61.47	146	<i>j76g</i>
<i>l00c</i>	52.5	-62.91	19.95	66.0	162	<i>g00b</i>
<i>l50c</i>	56.2	-43.39	-15.92	46.22	200	<i>g34b</i>
<i>c00v</i>	59.15	-27.87	-44.43	52.45	238	<i>g69b</i>
<i>c50v</i>	43.5	-1.49	-43.39	43.42	268	<i>g96b</i>
<i>v00m</i>	29.13	22.73	-42.44	48.14	298	<i>b23r</i>
<i>v50m</i>	37.32	42.16	-29.08	51.21	325	<i>b47r</i>
<i>m00o</i>	49.51	71.08	-9.19	71.67	353	<i>b71r</i>
<i>m50o</i>	49.11	66.86	14.12	68.34	12	<i>b88r</i>

lab^*rgb^*

lab^*rgb^*

Brillantheit i^*

$i^*=1.00$

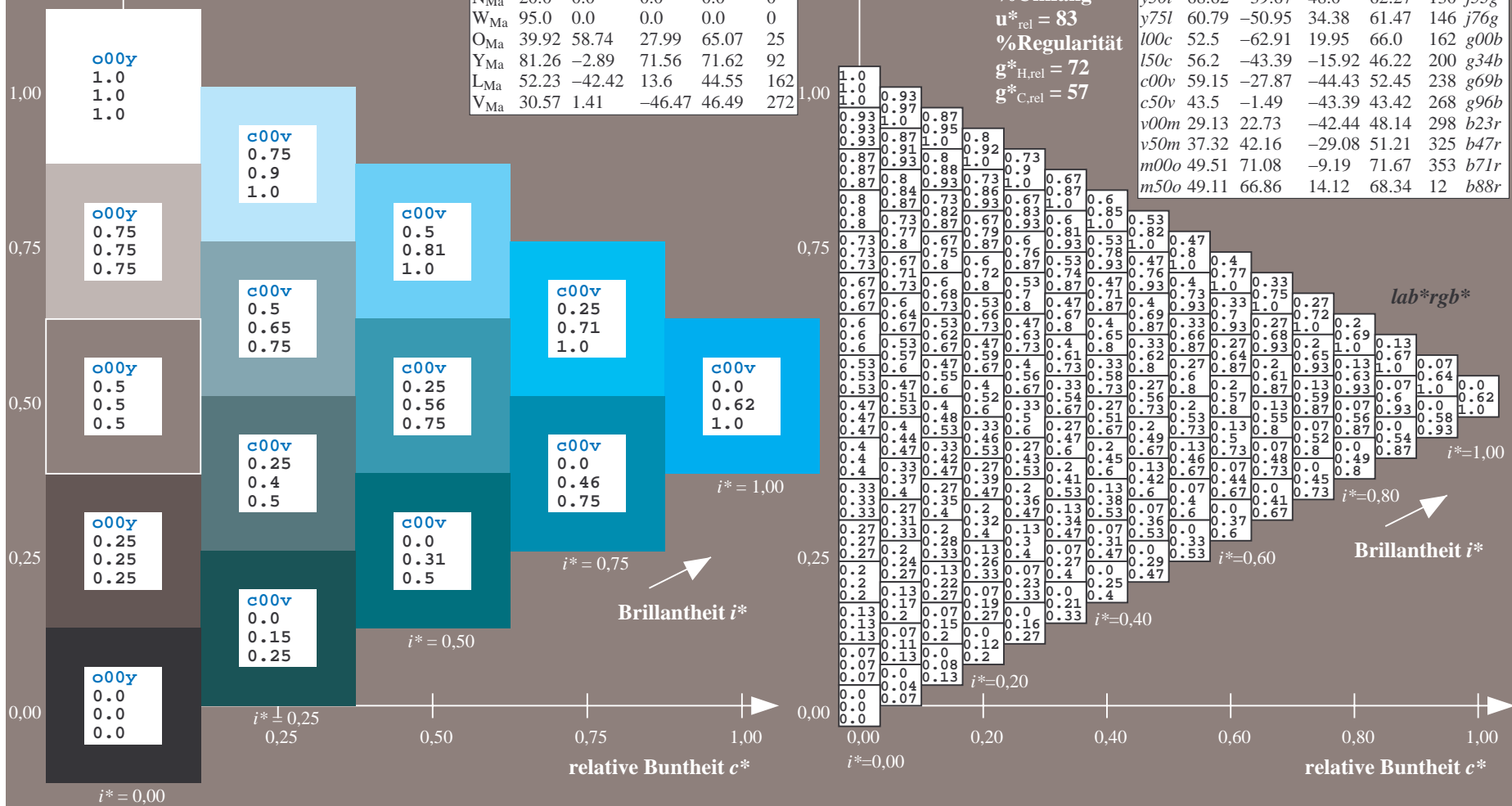
$i^*=0.80$

$i^*=0.60$

$i^*=0.40$

$i^*=0.20$

$i^*=0.00$



Ein und Ausgabe: Farbmatisches Drucker-Reflektiv-System ORS20_95a für relativen CIELAB-Bunton $h^* = \text{lab}^*h^* = h_{ab}/360 = 0.745$

$u^*_d = c50v$

Daten für jede Farbe:

lab^*tch^* und lab^*icu^*

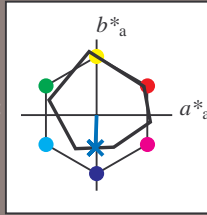
Buntontexte:

$u^*_d = c50v$ $u^*_e = g96b$

Kontrastreduzierungsfaktor:

$c_R = 0.96$

Dreiecks-Helligkeit t^*



ORS20_95a; adaptierte CIELAB-Daten

u^*_d	$L^*=L^*_a$	a^*_a	b^*_a	$C^*_{ab,a}$	$h^*_{ab,a}$
O _{Ma}	48.71	62.56	37.91	73.15	31
Y _{Ma}	89.25	-9.92	83.91	84.49	97
L _{Ma}	52.5	-62.91	19.95	66.0	162
C _{Ma}	59.15	-27.87	-44.43	52.45	238
V _{Ma}	29.13	22.73	-42.44	48.14	298
M _{Ma}	49.51	71.08	-9.19	71.67	353
N _{Ma}	20.0	0.0	0.0	0.0	0
W _{Ma}	95.0	0.0	0.0	0.0	0
O _{Ma}	39.92	58.74	27.99	65.07	25
Y _{Ma}	81.26	-2.89	71.56	71.62	92
L _{Ma}	52.23	-42.42	13.6	44.55	162
V _{Ma}	30.57	1.41	-46.47	46.49	272

Daten für Maximalfarbe (Ma):

$\text{LAB}^*\text{LAB}^*_{Ma}$: 43 -1 -43

$\text{LAB}^*\text{LCH}^*_{Ma}$: 43 43 268

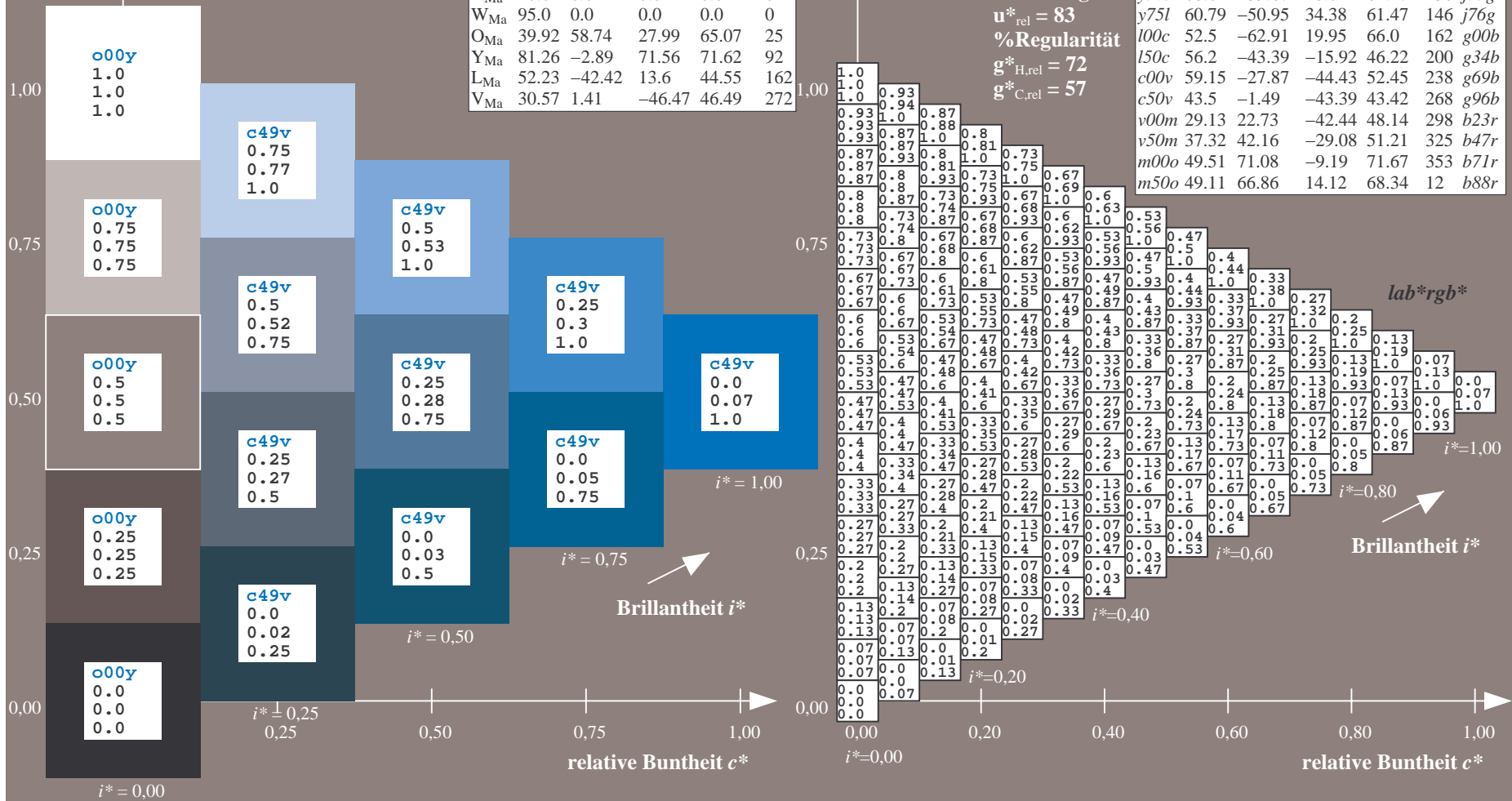
$\text{lab}^*\text{olv}^*_{Ma}$: 0.0 0.5 1.0

$\text{lab}^*\text{rgb}^*_{Ma}$: 0.0 0.07 1.0

Dreiecks-Helligkeit t^*

ORS20_95a; adaptierte CIELAB-Daten

u^*_d	$L^*=L^*_a$	a^*_a	b^*_a	$C^*_{ab,a}$	$h^*_{ab,a}$	u^*_e
o00y	48.71	62.56	37.91	73.15	31	r08j
o25y	58.6	44.87	49.14	66.54	48	r33j
o50y	67.52	28.93	59.25	65.94	64	r57j
o75y	77.05	11.9	70.06	71.06	80	r81j
y00l	89.25	-9.92	83.91	84.49	97	j06g
y25l	77.37	-27.05	63.23	68.78	113	j30g
y50l	68.62	-39.67	48.0	62.27	130	j53g
y75l	60.79	-50.95	34.38	61.47	146	j76g
l00c	52.5	-62.91	19.95	66.0	162	g00b
l50c	56.2	-43.39	-15.92	46.22	200	g34b
c00v	59.15	-27.87	-44.43	52.45	238	g69b
c50v	43.5	-1.49	-43.39	43.42	268	g96b
v00m	29.13	22.73	-42.44	48.14	298	b23r
v50m	37.32	42.16	-29.08	51.21	325	b47r
m00o	49.51	71.08	-9.19	71.67	353	b71r
m50o	49.11	66.86	14.12	68.34	12	b88r



Ein und Ausgabe: Farbmatisches Drucker-Reflektiv-System ORS20_95a für relativen CIELAB-Bunton $h^* = lab^*h^* = h_{ab}/360 = 0.828$

$u^*_d = v00m$

Daten für jede Farbe:

lab^*ch^* und lab^*icu^*

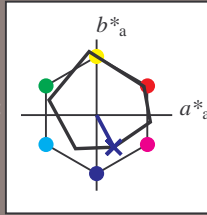
Buntontexte:

$u^*_d = v00m$ $u^*_e = b23r$

Kontrastreduzierungsfaktor:

$c_R = 0.96$

Dreiecks-Helligkeit t^*



ORS20_95a; adaptierte CIELAB-Daten

u^*_d	$L^*=L^*_a$	a^*_a	b^*_a	$C^*_{ab,a}$	$h^*_{ab,a}$
O _{Ma}	48.71	62.56	37.91	73.15	31
Y _{Ma}	89.25	-9.92	83.91	84.49	97
L _{Ma}	52.5	-62.91	19.95	66.0	162
C _{Ma}	59.15	-27.87	-44.43	52.45	238
V _{Ma}	29.13	22.73	-42.44	48.14	298
M _{Ma}	49.51	71.08	-9.19	71.67	353
N _{Ma}	20.0	0.0	0.0	0.0	0
W _{Ma}	95.0	0.0	0.0	0.0	0
O _{Ma}	39.92	58.74	27.99	65.07	25
Y _{Ma}	81.26	-2.89	71.56	71.62	92
L _{Ma}	52.23	-42.42	13.6	44.55	162
V _{Ma}	30.57	1.41	-46.47	46.49	272

Daten für Maximalfarbe (Ma):

$LAB^*LAB^*_{Ma}$: 29 23 -42

$LAB^*LCH^*_{Ma}$: 29 48 298

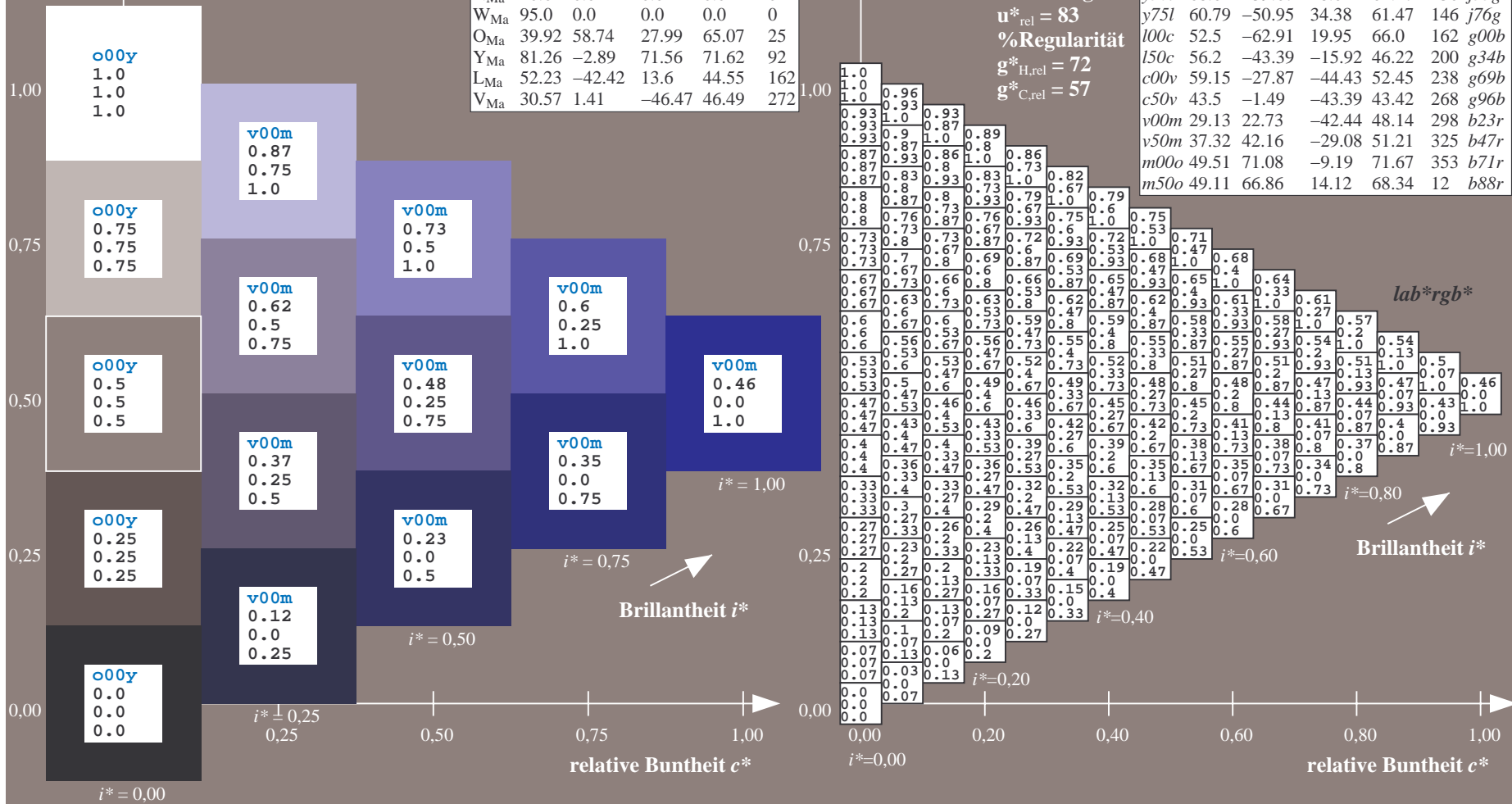
$lab^*olv^*_{Ma}$: 0.0 0.0 1.0

$lab^*rgb^*_{Ma}$: 0.46 0.0 1.0

Dreiecks-Helligkeit t^*

ORS20_95a; adaptierte CIELAB-Daten

u^*_d	$L^*=L^*_a$	a^*_a	b^*_a	$C^*_{ab,a}$	$h^*_{ab,a}$	u^*_e
o00y	48.71	62.56	37.91	73.15	31	r08j
o25y	58.6	44.87	49.14	66.54	48	r33j
o50y	67.52	28.93	59.25	65.94	64	r57j
o75y	77.05	11.9	70.06	71.06	80	r81j
y00l	89.25	-9.92	83.91	84.49	97	j06g
y25l	77.37	-27.05	63.23	68.78	113	j30g
y50l	68.62	-39.67	48.0	62.27	130	j53g
y75l	60.79	-50.95	34.38	61.47	146	j76g
l00c	52.5	-62.91	19.95	66.0	162	g00b
l50c	56.2	-43.39	-15.92	46.22	200	g34b
c00v	59.15	-27.87	-44.43	52.45	238	g69b
c50v	43.5	-1.49	-43.39	43.42	268	g96b
v00m	29.13	22.73	-42.44	48.14	298	b23r
v50m	37.32	42.16	-29.08	51.21	325	b47r
m00o	49.51	71.08	-9.19	71.67	353	b71r
m50o	49.11	66.86	14.12	68.34	12	b88r



Ein und Ausgabe: Farbmatisches Drucker-Reflektiv-System ORS20_95a für relativen CIELAB-Bunton $h^* = lab^*h^* = h_{ab}/360 = 0.904$

$u^*_d = v50m$

Daten für jede Farbe:

lab^*ch^* und lab^*icu^*

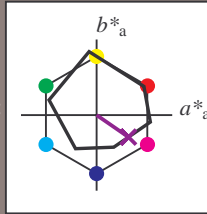
Buntontexte:

$u^*_d = v50m$ $u^*_e = b47r$

Kontrastreduzierungsfaktor:

$c_R = 0.96$

Dreiecks-Helligkeit t^*



ORS20_95a; adaptierte CIELAB-Daten

u^*_d	$L^*=L^*_a$	a^*_a	b^*_a	$C^*_{ab,a}$	$h^*_{ab,a}$
O _{Ma}	48.71	62.56	37.91	73.15	31
Y _{Ma}	89.25	-9.92	83.91	84.49	97
L _{Ma}	52.5	-62.91	19.95	66.0	162
C _{Ma}	59.15	-27.87	-44.43	52.45	238
V _{Ma}	29.13	22.73	-42.44	48.14	298
M _{Ma}	49.51	71.08	-9.19	71.67	353
N _{Ma}	20.0	0.0	0.0	0.0	0
W _{Ma}	95.0	0.0	0.0	0.0	0
O _{Ma}	39.92	58.74	27.99	65.07	25
Y _{Ma}	81.26	-2.89	71.56	71.62	92
L _{Ma}	52.23	-42.42	13.6	44.55	162
V _{Ma}	30.57	1.41	-46.47	46.49	272

Daten für Maximalfarbe (Ma):

$LAB^*LAB^*_{Ma}$: 37 42 -29

$LAB^*LCH^*_{Ma}$: 37 51 325

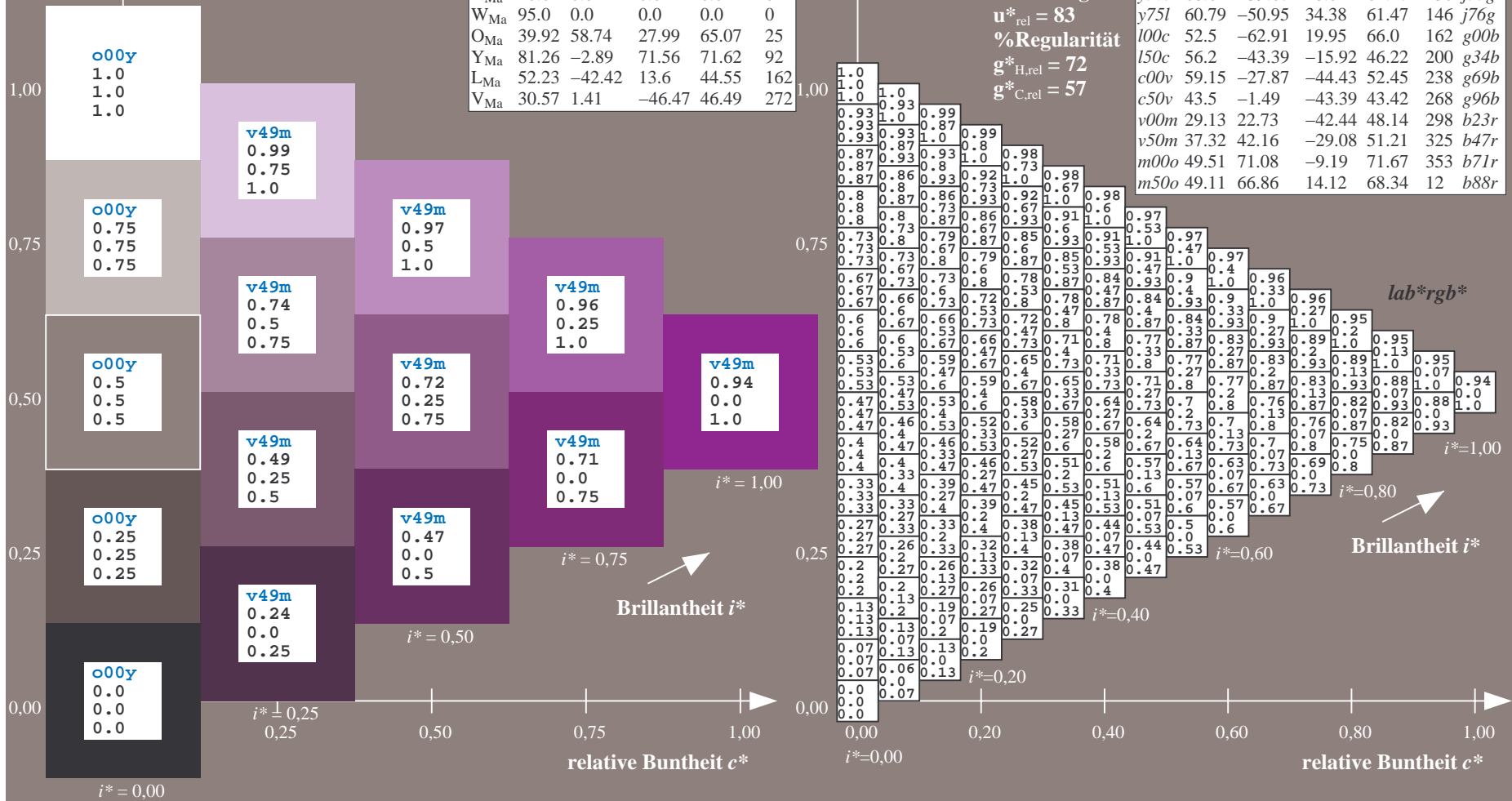
$lab^*olv^*_{Ma}$: 0.5 0.0 1.0

$lab^*rgb^*_{Ma}$: 0.94 0.0 1.0

Dreiecks-Helligkeit t^*

ORS20_95a; adaptierte CIELAB-Daten

u^*_d	$L^*=L^*_a$	a^*_a	b^*_a	$C^*_{ab,a}$	$h^*_{ab,a}$	u^*_e
o00y	48.71	62.56	37.91	73.15	31	r08j
o25y	58.6	44.87	49.14	66.54	48	r33j
o50y	67.52	28.93	59.25	65.94	64	r57j
o75y	77.05	11.9	70.06	71.06	80	r81j
y00l	89.25	-9.92	83.91	84.49	97	j06g
y25l	77.37	-27.05	63.23	68.78	113	j30g
y50l	68.62	-39.67	48.0	62.27	130	j53g
y75l	60.79	-50.95	34.38	61.47	146	j76g
l00c	52.5	-62.91	19.95	66.0	162	g00b
l50c	56.2	-43.39	-15.92	46.22	200	g34b
c00v	59.15	-27.87	-44.43	52.45	238	g69b
c50v	43.5	-1.49	-43.39	43.42	268	g96b
v00m	29.13	22.73	-42.44	48.14	298	b23r
v50m	37.32	42.16	-29.08	51.21	325	b47r
m00o	49.51	71.08	-9.19	71.67	353	b71r
m50o	49.11	66.86	14.12	68.34	12	b88r



Ein und Ausgabe: Farbmatisches Drucker-Reflektiv-System ORS20_95a für relativen CIELAB-Bunton $h^* = lab^*h^* = h_{ab}/360 = 0.98$

Daten für jede Farbe:

lab^*ch^* und lab^*icu^*

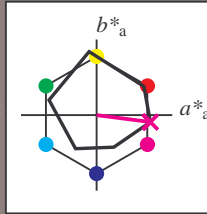
Buntontexte:

$u^*_d = m00o$ $u^*_e = b71r$

Kontrastreduzierungsfaktor:

$c_R = 0.96$

Dreiecks-Helligkeit t^*



ORS20_95a; adaptierte CIELAB-Daten						
u^*_d	$L^*=L^*_a$	a^*_a	b^*_a	$C^*_{ab,a}$	$h^*_{ab,a}$	
O _{Ma}	48.71	62.56	37.91	73.15	31	
Y _{Ma}	89.25	-9.92	83.91	84.49	97	
L _{Ma}	52.5	-62.91	19.95	66.0	162	
C _{Ma}	59.15	-27.87	-44.43	52.45	238	
V _{Ma}	29.13	22.73	-42.44	48.14	298	
M _{Ma}	49.51	71.08	-9.19	71.67	353	
N _{Ma}	20.0	0.0	0.0	0.0	0	
W _{Ma}	95.0	0.0	0.0	0.0	0	
O _{Ma}	39.92	58.74	27.99	65.07	25	
Y _{Ma}	81.26	-2.89	71.56	71.62	92	
L _{Ma}	52.23	-42.42	13.6	44.55	162	
V _{Ma}	30.57	1.41	-46.47	46.49	272	

Daten für Maximalfarbe (Ma):

$LAB^*LAB^*_{Ma}$: 50 71 -9

$LAB^*LCH^*_{Ma}$: 50 72 352

$lab^*olv^*_{Ma}$: 1.0 0.0 1.0

$lab^*rgb^*_{Ma}$: 1.0 0.0 0.58

Dreiecks-Helligkeit t^*

%Umfang

$u^*_{rel} = 83$

%Regularität

$g^*_{H,rel} = 72$

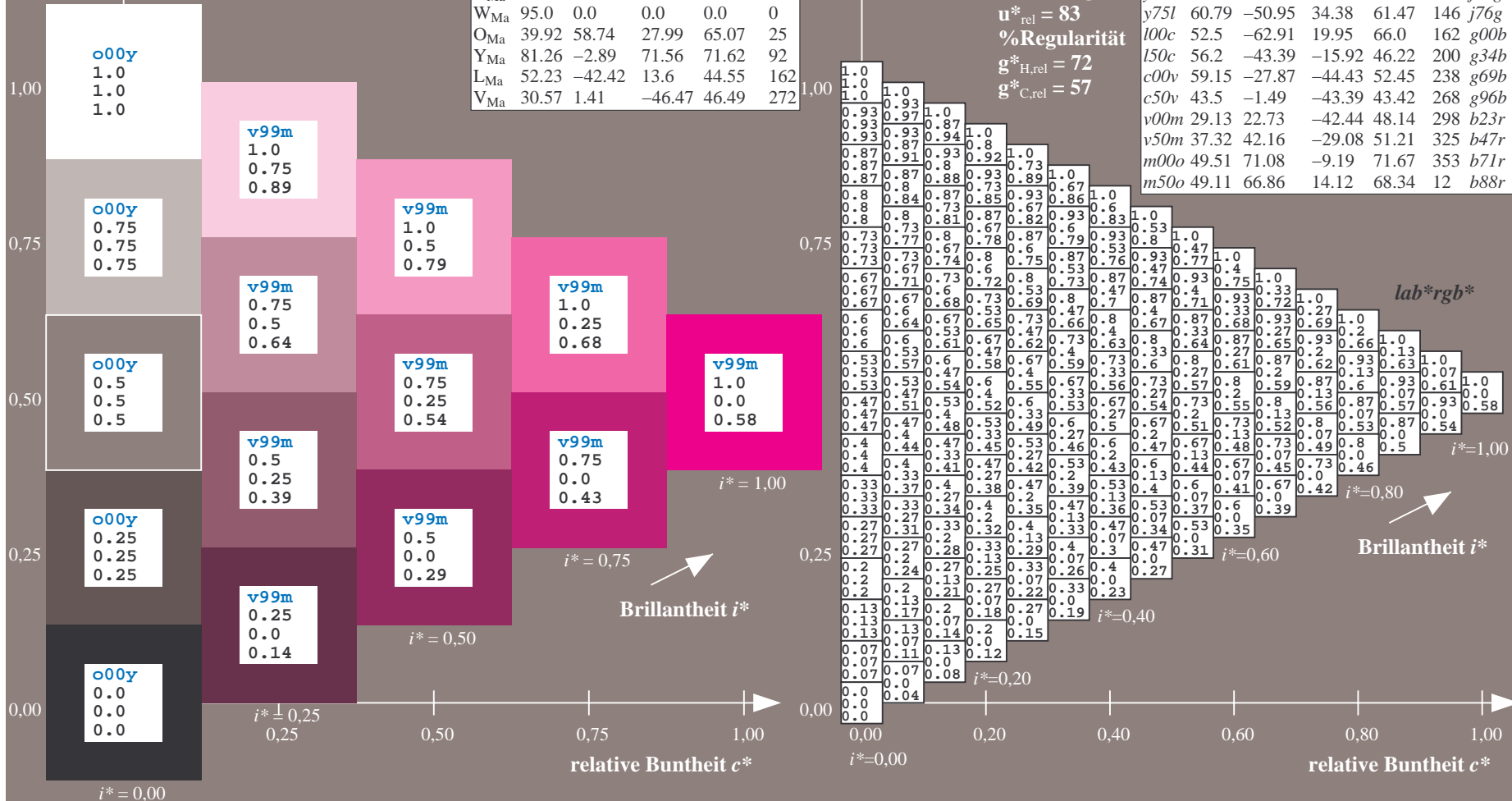
$g^*_{C,rel} = 57$

$u^*_d = m00o$

lab^*rgb^*

ORS20_95a; adaptierte CIELAB-Daten

u^*_d	$L^*=L^*_a$	a^*_a	b^*_a	$C^*_{ab,a}$	$h^*_{ab,a}$	u^*_e
o00y	48.71	62.56	37.91	73.15	31	r08j
o25y	58.6	44.87	49.14	66.54	48	r33j
o50y	67.52	28.93	59.25	65.94	64	r57j
o75y	77.05	11.9	70.06	71.06	80	r81j
y00l	89.25	-9.92	83.91	84.49	97	j06g
y25l	77.37	-27.05	63.23	68.78	113	j30g
y50l	68.62	-39.67	48.0	62.27	130	j53g
y75l	60.79	-50.95	34.38	61.47	146	j76g
l00c	52.5	-62.91	19.95	66.0	162	g00b
l50c	56.2	-43.39	-15.92	46.22	200	g34b
c00v	59.15	-27.87	-44.43	52.45	238	g69b
c50v	43.5	-1.49	-43.39	43.42	268	g96b
v00m	29.13	22.73	-42.44	48.14	298	b23r
v50m	37.32	42.16	-29.08	51.21	325	b47r
m00o	49.51	71.08	-9.19	71.67	353	b71r
m50o	49.11	66.86	14.12	68.34	12	b88r



Ein und Ausgabe: Farbmatisches Drucker-Reflektiv-System ORS20_95a für relativen CIELAB-Bunton $h^* = lab^*h^* = h_{ab}/360 = 0.033$

$u^*_d = m50o$

Daten für jede Farbe:

lab^*ch^* und lab^*icu^*

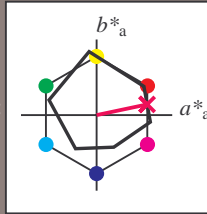
Buntontexte:

$u^*_d = m50o$ $u^*_e = b88r$

Kontrastreduzierungsfaktor:

$c_R = 0.96$

Dreiecks-Helligkeit t^*



ORS20_95a; adaptierte CIELAB-Daten

u^*_d	$L^*=L^*_a$	a^*_a	b^*_a	$C^*_{ab,a}$	$h^*_{ab,a}$
O _{Ma}	48.71	62.56	37.91	73.15	31
Y _{Ma}	89.25	-9.92	83.91	84.49	97
L _{Ma}	52.5	-62.91	19.95	66.0	162
C _{Ma}	59.15	-27.87	-44.43	52.45	238
V _{Ma}	29.13	22.73	-42.44	48.14	298
M _{Ma}	49.51	71.08	-9.19	71.67	353
N _{Ma}	20.0	0.0	0.0	0.0	0
W _{Ma}	95.0	0.0	0.0	0.0	0
O _{Ma}	39.92	58.74	27.99	65.07	25
Y _{Ma}	81.26	-2.89	71.56	71.62	92
L _{Ma}	52.23	-42.42	13.6	44.55	162
V _{Ma}	30.57	1.41	-46.47	46.49	272

Daten für Maximalfarbe (Ma):

$LAB^*LAB^*_{Ma}$: 49 67 14

$LAB^*LCH^*_{Ma}$: 49 68 11

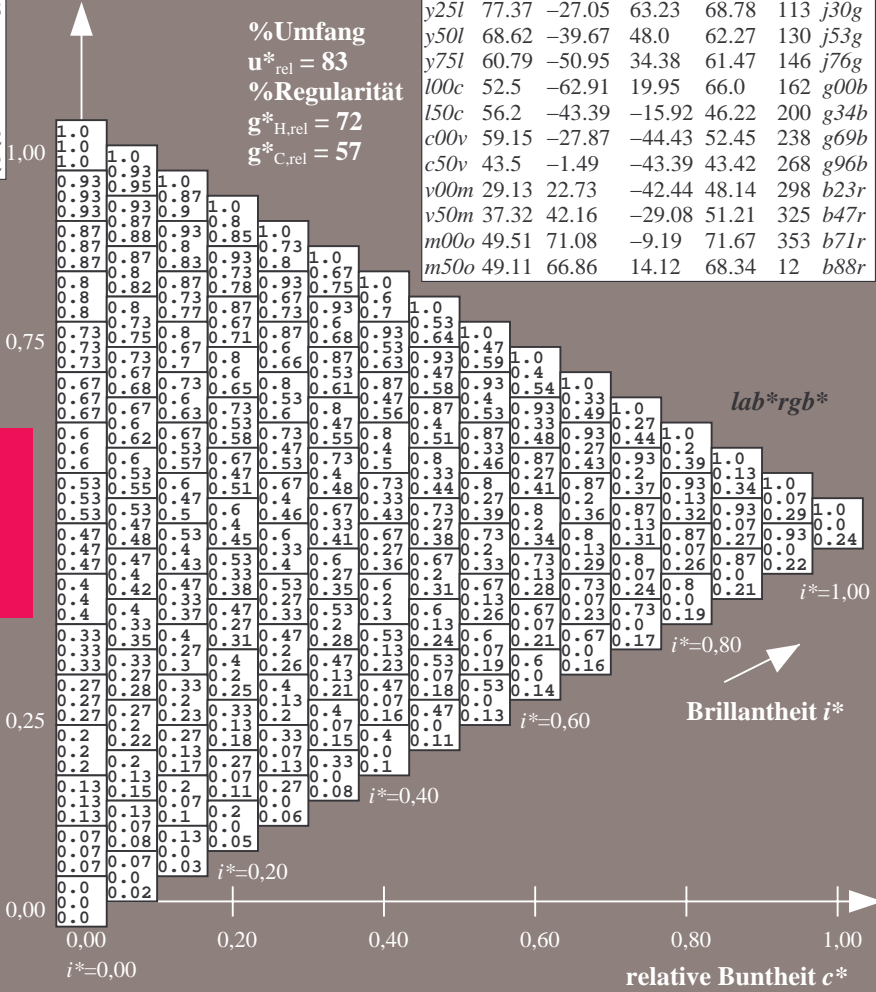
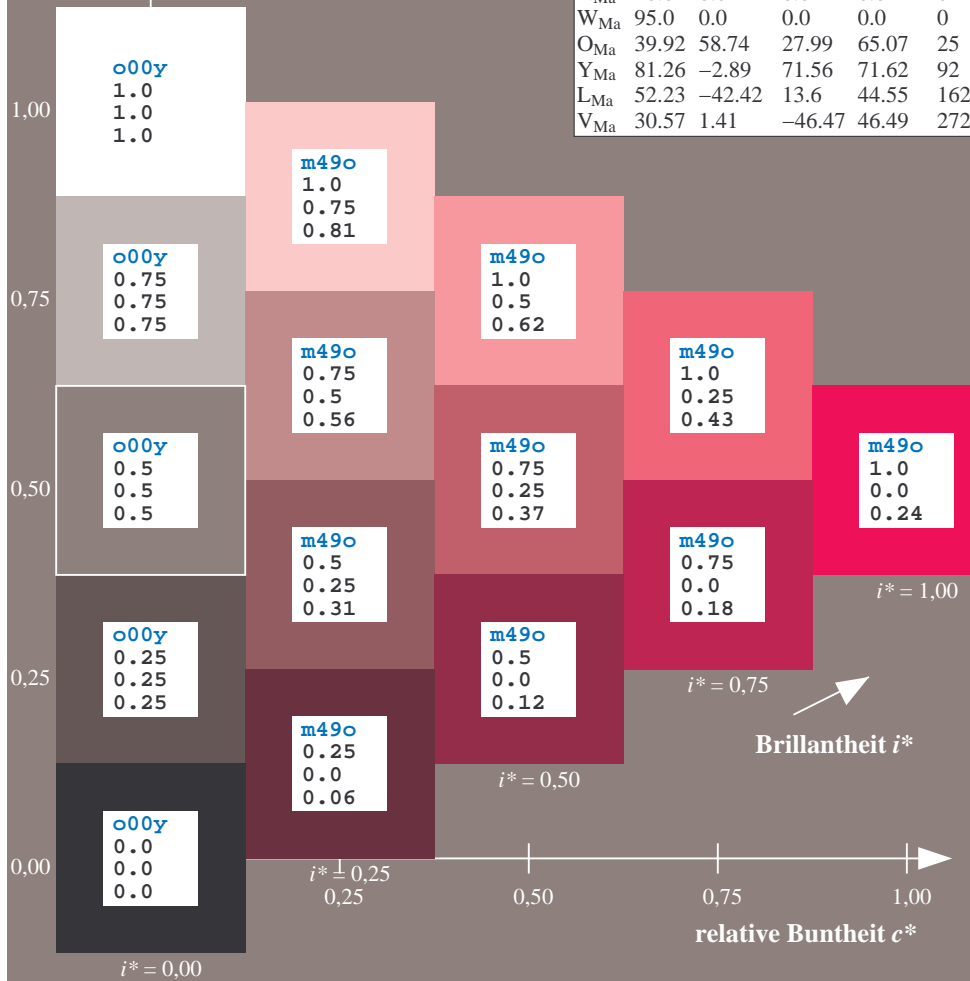
$lab^*olv^*_{Ma}$: 1.0 0.0 0.5

$lab^*rgb^*_{Ma}$: 1.0 0.0 0.24

Dreiecks-Helligkeit t^*

ORS20_95a; adaptierte CIELAB-Daten

u^*_d	$L^*=L^*_a$	a^*_a	b^*_a	$C^*_{ab,a}$	$h^*_{ab,a}$	u^*_e
o00y	48.71	62.56	37.91	73.15	31	r08j
o25y	58.6	44.87	49.14	66.54	48	r33j
o50y	67.52	28.93	59.25	65.94	64	r57j
o75y	77.05	11.9	70.06	71.06	80	r81j
y00l	89.25	-9.92	83.91	84.49	97	j06g
y25l	77.37	-27.05	63.23	68.78	113	j30g
y50l	68.62	-39.67	48.0	62.27	130	j53g
y75l	60.79	-50.95	34.38	61.47	146	j76g
l00c	52.5	-62.91	19.95	66.0	162	g00b
l50c	56.2	-43.39	-15.92	46.22	200	g34b
c00v	59.15	-27.87	-44.43	52.45	238	g69b
c50v	43.5	-1.49	-43.39	43.42	268	g96b
v00m	29.13	22.73	-42.44	48.14	298	b23r
v50m	37.32	42.16	-29.08	51.21	325	b47r
m00o	49.51	71.08	-9.19	71.67	353	b71r
m50o	49.11	66.86	14.12	68.34	12	b88r



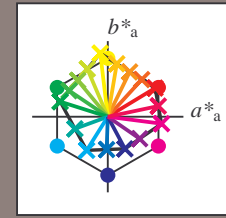
Ein und Ausgabe:
 Farbmetrisches Drucker-Reflektiv-System ORS20_95a

Daten für jede Farbe:
 u^*_d und Nummer $Nr.$ = 00 .. 15

Geräte-Bunttextext:
 $u^*_d = 16$ Bunttoene $o00y, o25y, \dots, m50o$

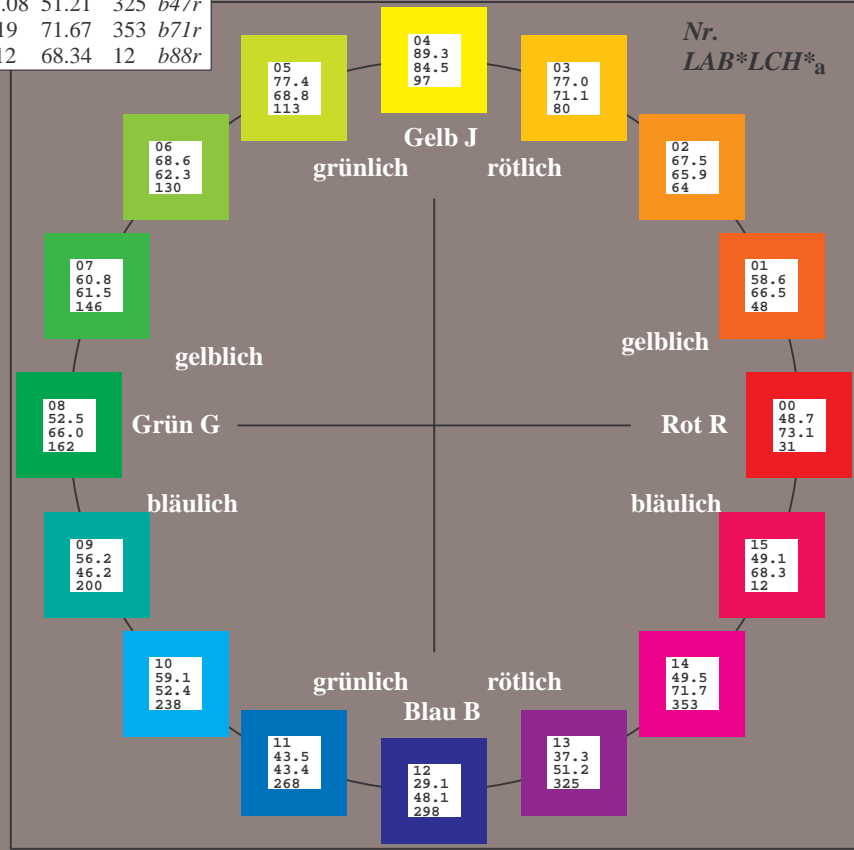
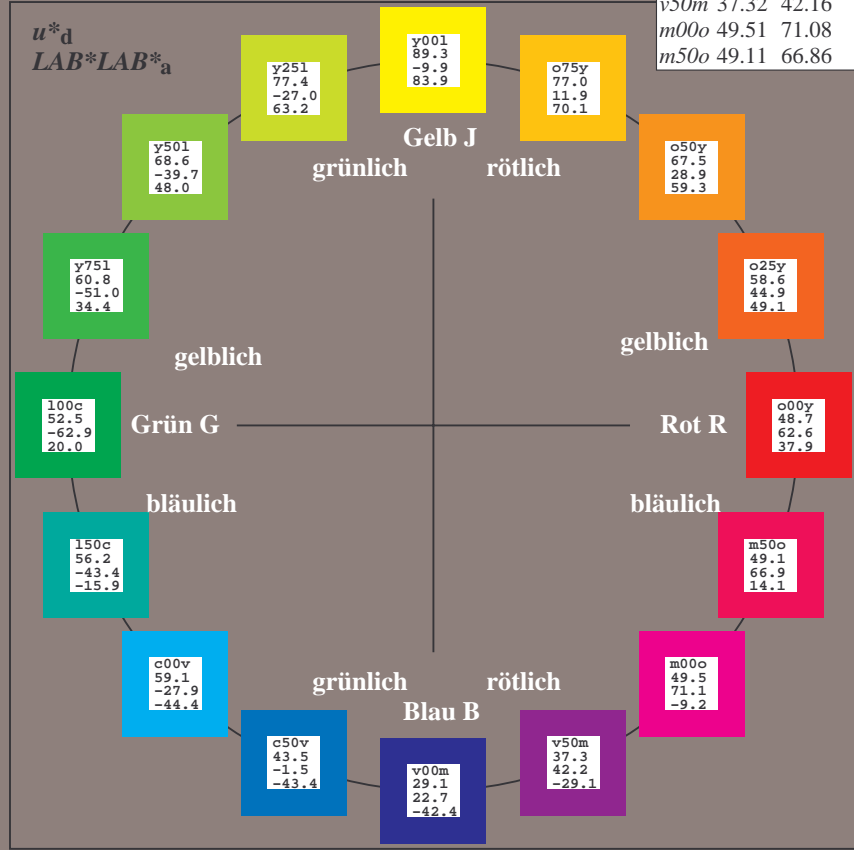
Kontrastreduzierungsfaktor:
 $c_R = 0.96$

u^*_d	$L^*=L^*_a$	a^*_a	b^*_a	$C^*_{ab,a}$	$h^*_{ab,a}$	u^*_e
<i>o00y</i>	48.71	62.56	37.91	73.15	31	<i>r08j</i>
<i>o25y</i>	58.6	44.87	49.14	66.54	48	<i>r33j</i>
<i>o50y</i>	67.52	28.93	59.25	65.94	64	<i>r57j</i>
<i>o75y</i>	77.05	11.9	70.06	71.06	80	<i>r81j</i>
<i>y00l</i>	89.25	-9.92	83.91	84.49	97	<i>j06g</i>
<i>y25l</i>	77.37	-27.05	63.23	68.78	113	<i>j30g</i>
<i>y50l</i>	68.62	-39.67	48.0	62.27	130	<i>j53g</i>
<i>y75l</i>	60.79	-50.95	34.38	61.47	146	<i>j76g</i>
<i>l00c</i>	52.5	-62.91	19.95	66.0	162	<i>g00b</i>
<i>l50c</i>	56.2	-43.39	-15.92	46.22	200	<i>g34b</i>
<i>c00v</i>	59.15	-27.87	-44.43	52.45	238	<i>g69b</i>
<i>c50v</i>	43.5	-1.49	-43.39	43.42	268	<i>g96b</i>
<i>v00m</i>	29.13	22.73	-42.44	48.14	298	<i>b23r</i>
<i>v50m</i>	37.32	42.16	-29.08	51.21	325	<i>b47r</i>
<i>m00o</i>	49.51	71.08	-9.19	71.67	353	<i>b71r</i>
<i>m50o</i>	49.11	66.86	14.12	68.34	12	<i>b88r</i>



%Umfang
 $u^*_{rel} = 83$
 %Regularität
 $g^*_{H,rel} = 72$
 $g^*_{C,rel} = 57$

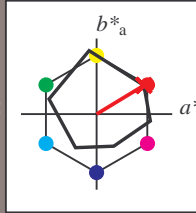
Name	$L^*=L^*_a$	a^*_a	b^*_a	$C^*_{ab,a}$	$h^*_{ab,a}$
O _{Ma}	48.71	62.56	37.91	73.15	31
Y _{Ma}	89.25	-9.92	83.91	84.49	97
L _{Ma}	52.5	-62.91	19.95	66.0	162
C _{Ma}	59.15	-27.87	-44.43	52.45	238
V _{Ma}	29.13	22.73	-42.44	48.14	298
M _{Ma}	49.51	71.08	-9.19	71.67	353
N _{Ma}	20.0	0.0	0.0	0.0	0
W _{Ma}	95.0	0.0	0.0	0.0	0
O _{CIE}	39.92	58.74	27.99	65.07	25
Y _{CIE}	81.26	-2.89	71.56	71.62	92
L _{CIE}	52.23	-42.42	13.6	44.55	162
V _{CIE}	30.57	1.41	-46.47	46.49	272



Ein und Ausgabe: Farbmatisches Drucker-Reflektiv-System ORS20_95a für relativen CIELAB-Bunton $h^* = lab^*h^* = h_{ab}/360 = 0.087$

$u^*_d = o00y$
LAB*LAB*a

Daten für jede Farbe:
 lab^*ch^* und lab^*icu^*
Buntontexte:
 $u^*_d = o00y$ $u^*_e = r08j$
Kontrastreduzierungsfaktor:
 $c_R = 0.96$
Dreiecks-Helligkeit t^*



ORS20_95a; adaptierte CIELAB-Daten

u^*_d	$L^*=L^*_a$	a^*_a	b^*_a	$C^*_{ab,a}$	$h^*_{ab,a}$
O _{Ma}	48.71	62.56	37.91	73.15	31
Y _{Ma}	89.25	-9.92	83.91	84.49	97
L _{Ma}	52.5	-62.91	19.95	66.0	162
C _{Ma}	59.15	-27.87	-44.43	52.45	238
V _{Ma}	29.13	22.73	-42.44	48.14	298
M _{Ma}	49.51	71.08	-9.19	71.67	353
N _{Ma}	20.0	0.0	0.0	0.0	0
W _{Ma}	95.0	0.0	0.0	0.0	0
O _{Ma}	39.92	58.74	27.99	65.07	25
Y _{Ma}	81.26	-2.89	71.56	71.62	92
L _{Ma}	52.23	-42.42	13.6	44.55	162
V _{Ma}	30.57	1.41	-46.47	46.49	272

Daten für Maximalfarbe (Ma):

LAB*LAB*_{Ma}: 49 63 38

LAB*LCH*_{Ma}: 49 73 31

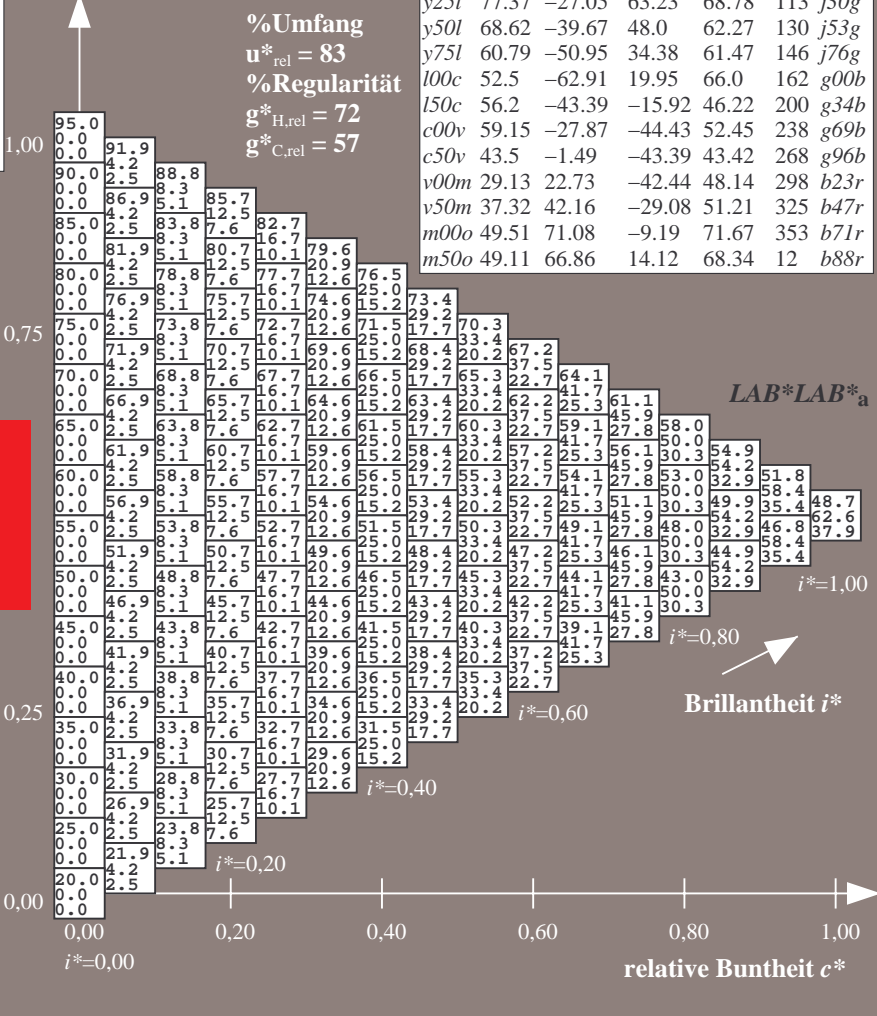
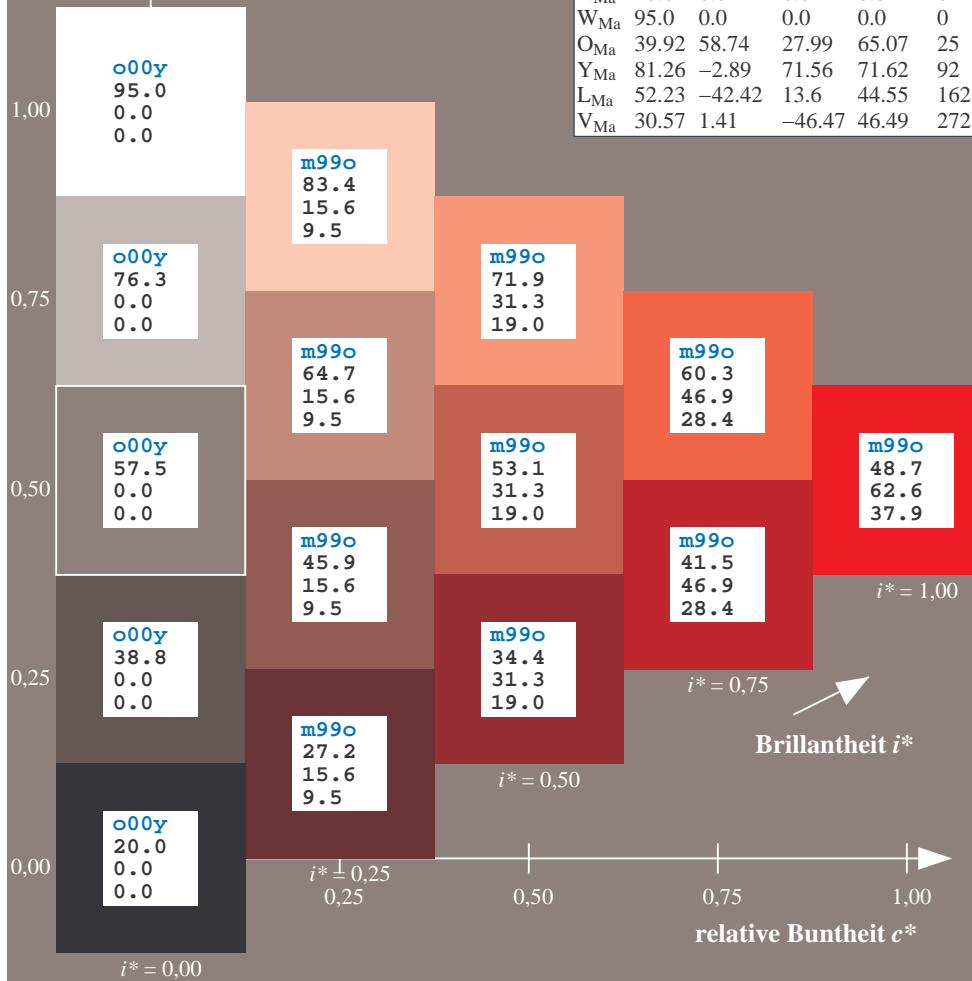
lab*olv*_{Ma}: 1.0 0.0 0.0

lab*rgb*_{Ma}: 1.0 0.09 0.0

Dreiecks-Helligkeit t^*

ORS20_95a; adaptierte CIELAB-Daten

u^*_d	$L^*=L^*_a$	a^*_a	b^*_a	$C^*_{ab,a}$	$h^*_{ab,a}$	u^*_e
<i>o00y</i>	48.71	62.56	37.91	73.15	31	<i>r08j</i>
<i>o25y</i>	58.6	44.87	49.14	66.54	48	<i>r33j</i>
<i>o50y</i>	67.52	28.93	59.25	65.94	64	<i>r57j</i>
<i>o75y</i>	77.05	11.9	70.06	71.06	80	<i>r81j</i>
<i>y00l</i>	89.25	-9.92	83.91	84.49	97	<i>j06g</i>
<i>y25l</i>	77.37	-27.05	63.23	68.78	113	<i>j30g</i>
<i>y50l</i>	68.62	-39.67	48.0	62.27	130	<i>j53g</i>
<i>y75l</i>	60.79	-50.95	34.38	61.47	146	<i>j76g</i>
<i>l00c</i>	52.5	-62.91	19.95	66.0	162	<i>g00b</i>
<i>l50c</i>	56.2	-43.39	-15.92	46.22	200	<i>g34b</i>
<i>c00v</i>	59.15	-27.87	-44.43	52.45	238	<i>g69b</i>
<i>c50v</i>	43.5	-1.49	-43.39	43.42	268	<i>g96b</i>
<i>v00m</i>	29.13	22.73	-42.44	48.14	298	<i>b23r</i>
<i>v50m</i>	37.32	42.16	-29.08	51.21	325	<i>b47r</i>
<i>m00o</i>	49.51	71.08	-9.19	71.67	353	<i>b71r</i>
<i>m50o</i>	49.11	66.86	14.12	68.34	12	<i>b88r</i>



%Umfang
 $u^*_{rel} = 83$
%Regularität
 $g^*_{H,rel} = 72$
 $g^*_{C,rel} = 57$

LAB*LAB*a

Brillantheit i^*

Ein und Ausgabe: Farbmatisches Drucker-Reflektiv-System ORS20_95a für relativen CIELAB-Bunton $h^* = lab^*h^* = h_{ab}/360 = 0.132$

Daten für jede Farbe:

lab^*ch^* und lab^*icu^*

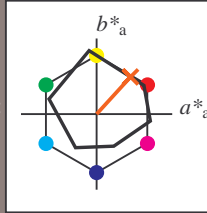
Buntontexte:

$u^*_d = 0.25y$ $u^*_e = r33j$

Kontrastreduzierungsfaktor:

$c_R = 0.96$

Dreiecks-Helligkeit t^*



ORS20_95a; adaptierte CIELAB-Daten

u^*_d	$L^*=L^*_a$	a^*_a	b^*_a	$C^*_{ab,a}$	$h^*_{ab,a}$
O _{Ma}	48.71	62.56	37.91	73.15	31
Y _{Ma}	89.25	-9.92	83.91	84.49	97
L _{Ma}	52.5	-62.91	19.95	66.0	162
C _{Ma}	59.15	-27.87	-44.43	52.45	238
V _{Ma}	29.13	22.73	-42.44	48.14	298
M _{Ma}	49.51	71.08	-9.19	71.67	353
N _{Ma}	20.0	0.0	0.0	0.0	0
W _{Ma}	95.0	0.0	0.0	0.0	0
O _{Ma}	39.92	58.74	27.99	65.07	25
Y _{Ma}	81.26	-2.89	71.56	71.62	92
L _{Ma}	52.23	-42.42	13.6	44.55	162
V _{Ma}	30.57	1.41	-46.47	46.49	272

$u^*_d = 0.25y$
 $LAB^*LAB^*_a$

Daten für Maximalfarbe (Ma):

$LAB^*LAB^*_{Ma}$: 59 45 49

$LAB^*LCH^*_{Ma}$: 59 67 47

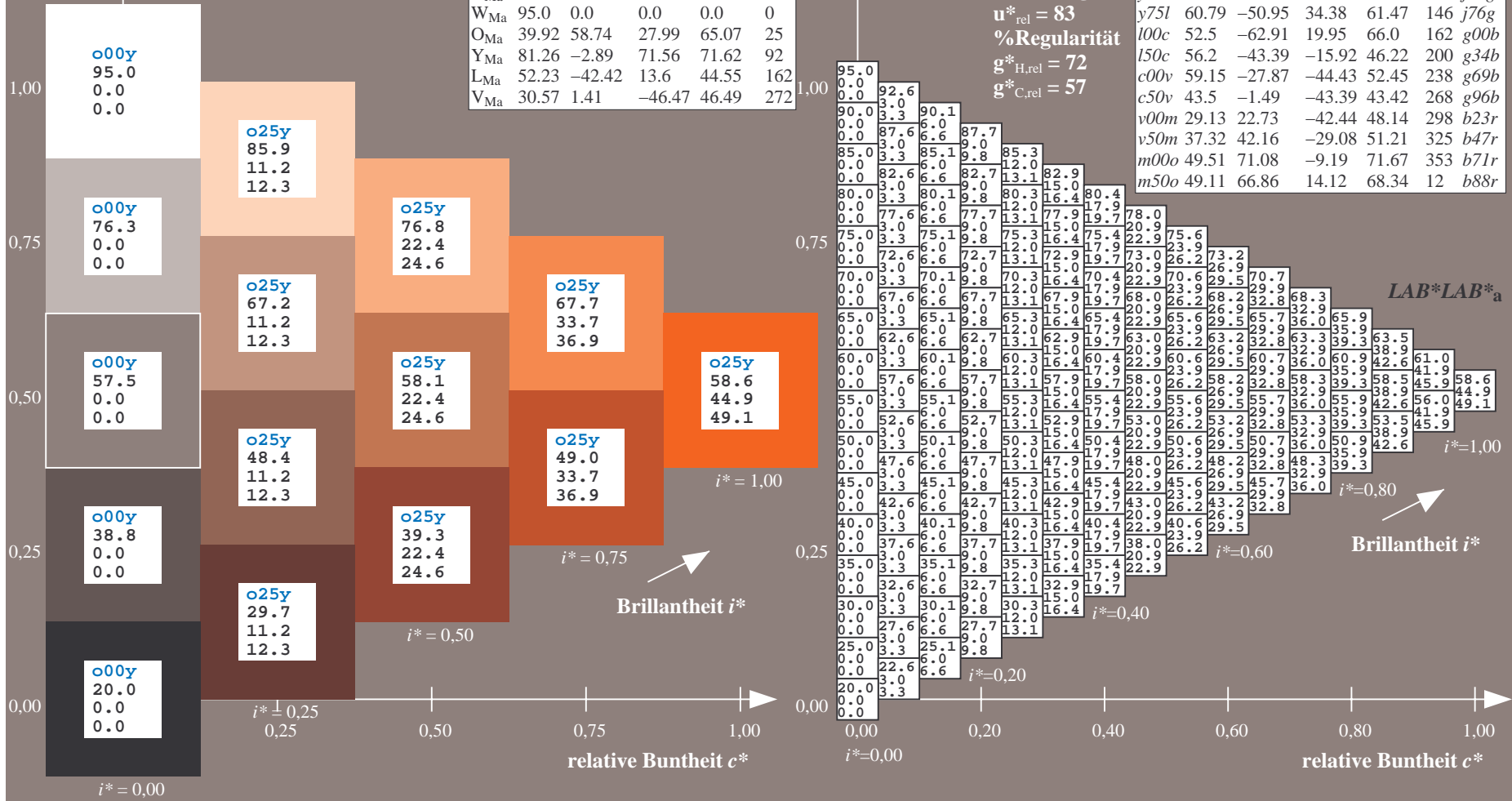
$lab^*olv^*_{Ma}$: 1.0 0.25 0.0

$lab^*rgb^*_{Ma}$: 1.0 0.33 0.0

Dreiecks-Helligkeit t^*

ORS20_95a; adaptierte CIELAB-Daten

u^*_d	$L^*=L^*_a$	a^*_a	b^*_a	$C^*_{ab,a}$	$h^*_{ab,a}$	u^*_e
o00y	48.71	62.56	37.91	73.15	31	r08j
o25y	58.6	44.87	49.14	66.54	48	r33j
o50y	67.52	28.93	59.25	65.94	64	r57j
o75y	77.05	11.9	70.06	71.06	80	r81j
y00l	89.25	-9.92	83.91	84.49	97	j06g
y25l	77.37	-27.05	63.23	68.78	113	j30g
y50l	68.62	-39.67	48.0	62.27	130	j53g
y75l	60.79	-50.95	34.38	61.47	146	j76g
l00c	52.5	-62.91	19.95	66.0	162	g00b
l50c	56.2	-43.39	-15.92	46.22	200	g34b
c00v	59.15	-27.87	-44.43	52.45	238	g69b
c50v	43.5	-1.49	-43.39	43.42	268	g96b
v00m	29.13	22.73	-42.44	48.14	298	b23r
v50m	37.32	42.16	-29.08	51.21	325	b47r
m00o	49.51	71.08	-9.19	71.67	353	b71r
m50o	49.11	66.86	14.12	68.34	12	b88r



Ein und Ausgabe: Farbmatisches Drucker-Reflektiv-System ORS20_95a für relativen CIELAB-Bunton $h^* = lab^*h^* = h_{ab}/360 = 0.178$

$u^*_d = 0.50y$
LAB*LAB*a

Daten für jede Farbe:

lab^*ch^* und lab^*icu^*

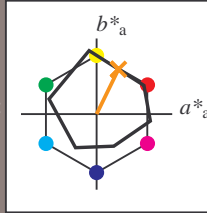
Buntontexte:

$u^*_d = 0.50y$ $u^*_e = r57j$

Kontrastreduzierungsfaktor:

$c_R = 0.96$

Dreiecks-Helligkeit t^*



ORS20_95a; adaptierte CIELAB-Daten						
u^*_d	$L^*=L^*_a$	a^*_a	b^*_a	$C^*_{ab,a}$	$h^*_{ab,a}$	
O _{Ma}	48.71	62.56	37.91	73.15	31	
Y _{Ma}	89.25	-9.92	83.91	84.49	97	
L _{Ma}	52.5	-62.91	19.95	66.0	162	
C _{Ma}	59.15	-27.87	-44.43	52.45	238	
V _{Ma}	29.13	22.73	-42.44	48.14	298	
M _{Ma}	49.51	71.08	-9.19	71.67	353	
N _{Ma}	20.0	0.0	0.0	0.0	0	
W _{Ma}	95.0	0.0	0.0	0.0	0	
O _{Ma}	39.92	58.74	27.99	65.07	25	
Y _{Ma}	81.26	-2.89	71.56	71.62	92	
L _{Ma}	52.23	-42.42	13.6	44.55	162	
V _{Ma}	30.57	1.41	-46.47	46.49	272	

Daten für Maximalfarbe (Ma):

LAB*LAB*_{Ma}: 68 29 59

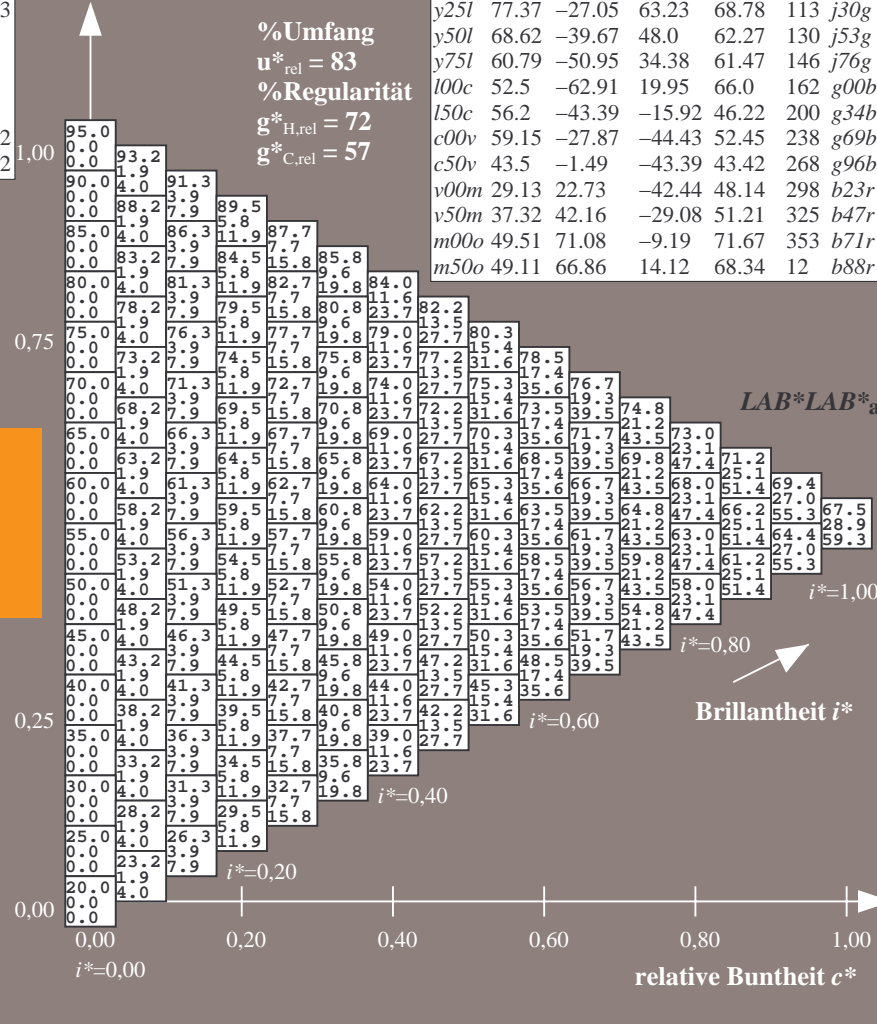
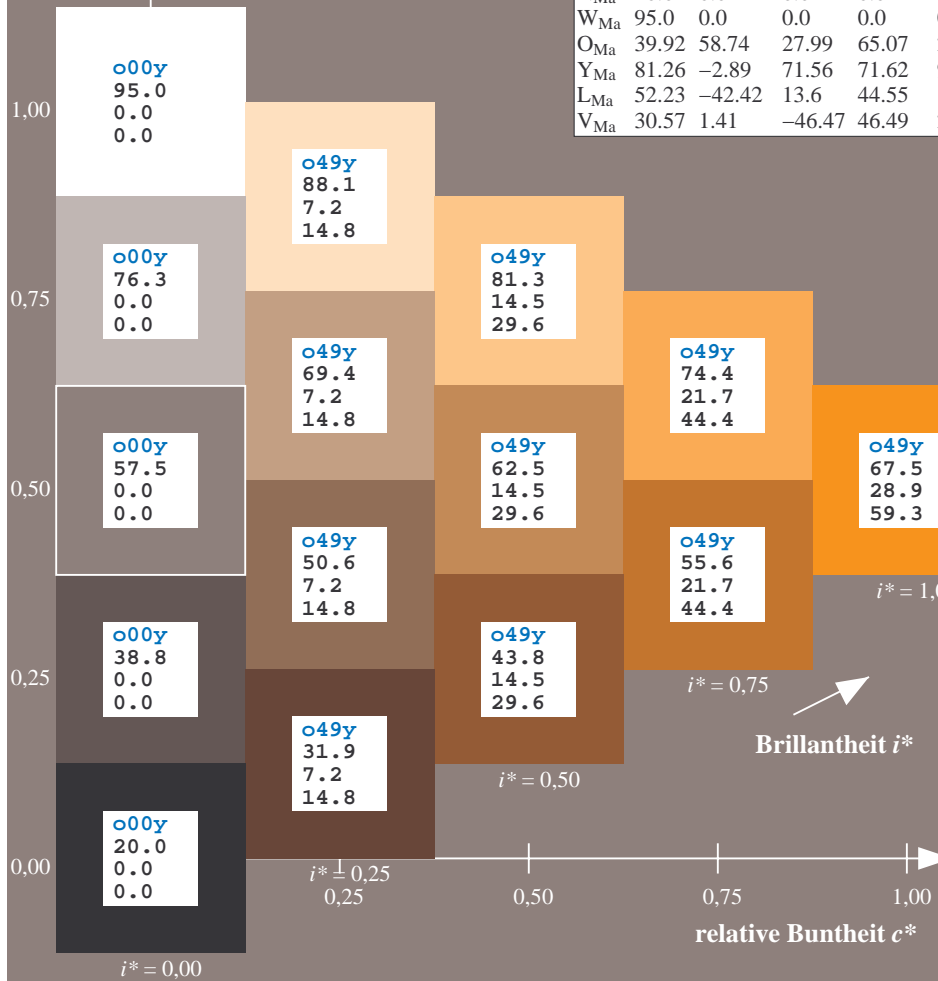
LAB*LCH*_{Ma}: 68 66 63

lab*olv*_{Ma}: 1.0 0.5 0.0

lab*rgb*_{Ma}: 1.0 0.58 0.0

Dreiecks-Helligkeit t^*

ORS20_95a; adaptierte CIELAB-Daten							
u^*_d	$L^*=L^*_a$	a^*_a	b^*_a	$C^*_{ab,a}$	$h^*_{ab,a}$	u^*_e	
o00y	48.71	62.56	37.91	73.15	31	r08j	
o25y	58.6	44.87	49.14	66.54	48	r33j	
o50y	67.52	28.93	59.25	65.94	64	r57j	
o75y	77.05	11.9	70.06	71.06	80	r8lj	
y00l	89.25	-9.92	83.91	84.49	97	j06g	
y25l	77.37	-27.05	63.23	68.78	113	j30g	
y50l	68.62	-39.67	48.0	62.27	130	j53g	
y75l	60.79	-50.95	34.38	61.47	146	j76g	
l00c	52.5	-62.91	19.95	66.0	162	g00b	
l50c	56.2	-43.39	-15.92	46.22	200	g34b	
c00v	59.15	-27.87	-44.43	52.45	238	g69b	
c50v	43.5	-1.49	-43.39	43.42	268	g96b	
v00m	29.13	22.73	-42.44	48.14	298	b23r	
v50m	37.32	42.16	-29.08	51.21	325	b47r	
m00o	49.51	71.08	-9.19	71.67	353	b71r	
m50o	49.11	66.86	14.12	68.34	12	b88r	



Ein und Ausgabe: Farbmatisches Drucker-Reflektiv-System ORS20_95a für relativen CIELAB-Bunton $h^* = lab^*h^* = h_{ab}/360 = 0.223$

Daten für jede Farbe:

lab^*ch^* und lab^*icu^*

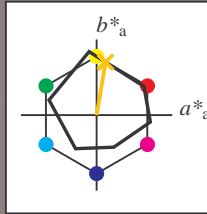
Buntontexte:

$u^*_d = 0.75y$ $u^*_e = r8lj$

Kontrastreduzierungsfaktor:

$c_R = 0.96$

Dreiecks-Helligkeit t^*



ORS20_95a; adaptierte CIELAB-Daten

u^*_d	$L^*=L^*_a$	a^*_a	b^*_a	$C^*_{ab,a}$	$h^*_{ab,a}$
O _{Ma}	48.71	62.56	37.91	73.15	31
Y _{Ma}	89.25	-9.92	83.91	84.49	97
L _{Ma}	52.5	-62.91	19.95	66.0	162
C _{Ma}	59.15	-27.87	-44.43	52.45	238
V _{Ma}	29.13	22.73	-42.44	48.14	298
M _{Ma}	49.51	71.08	-9.19	71.67	353
N _{Ma}	20.0	0.0	0.0	0.0	0
W _{Ma}	95.0	0.0	0.0	0.0	0
O _{Ma}	39.92	58.74	27.99	65.07	25
Y _{Ma}	81.26	-2.89	71.56	71.62	92
L _{Ma}	52.23	-42.42	13.6	44.55	162
V _{Ma}	30.57	1.41	-46.47	46.49	272

$u^*_d = 0.75y$
 $LAB^*LAB^*_a$

Daten für Maximalfarbe (Ma):

$LAB^*LAB^*_Ma: 77\ 12\ 70$

$LAB^*LCH^*_Ma: 77\ 71\ 80$

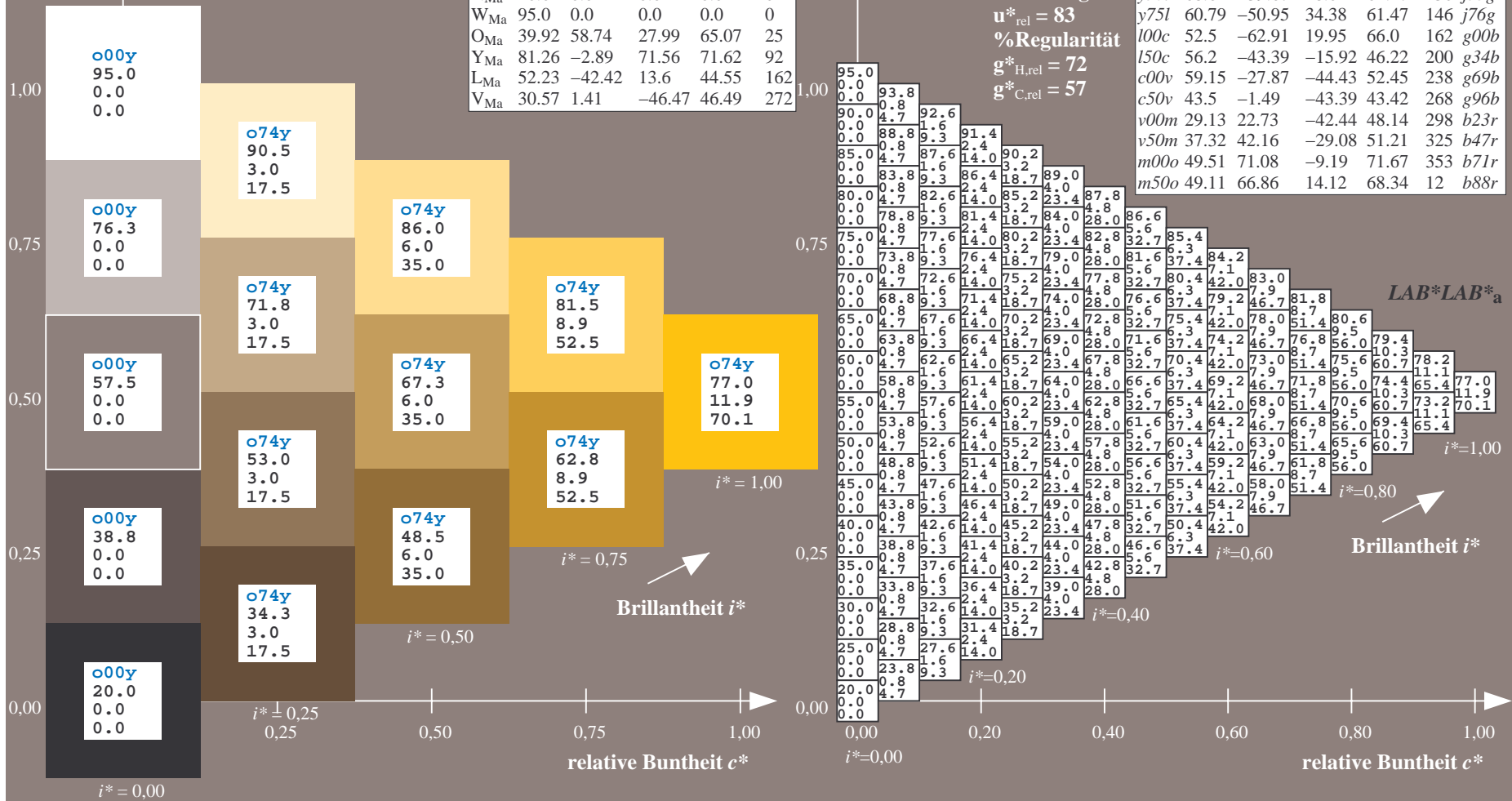
$lab^*olv^*_Ma: 1.0\ 0.75\ 0.0$

$lab^*rgb^*_Ma: 1.0\ 0.82\ 0.0$

Dreiecks-Helligkeit t^*

ORS20_95a; adaptierte CIELAB-Daten

u^*_d	$L^*=L^*_a$	a^*_a	b^*_a	$C^*_{ab,a}$	$h^*_{ab,a}$	u^*_e
o00y	48.71	62.56	37.91	73.15	31	r08j
o25y	58.6	44.87	49.14	66.54	48	r33j
o50y	67.52	28.93	59.25	65.94	64	r57j
o75y	77.05	11.9	70.06	71.06	80	r8lj
y00l	89.25	-9.92	83.91	84.49	97	j06g
y25l	77.37	-27.05	63.23	68.78	113	j30g
y50l	68.62	-39.67	48.0	62.27	130	j53g
y75l	60.79	-50.95	34.38	61.47	146	j76g
l00c	52.5	-62.91	19.95	66.0	162	g00b
l50c	56.2	-43.39	-15.92	46.22	200	g34b
c00v	59.15	-27.87	-44.43	52.45	238	g69b
c50v	43.5	-1.49	-43.39	43.42	268	g96b
v00m	29.13	22.73	-42.44	48.14	298	b23r
v50m	37.32	42.16	-29.08	51.21	325	b47r
m00o	49.51	71.08	-9.19	71.67	353	b71r
m50o	49.11	66.86	14.12	68.34	12	b88r



Ein und Ausgabe: Farbmatisches Drucker-Reflektiv-System ORS20_95a für relativen CIELAB-Bunton $h^* = lab^*h^* = h_{ab}/360 = 0.269$

Daten für jede Farbe:

lab^*ch^* und lab^*icu^*

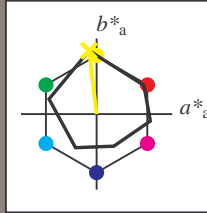
Buntontexte:

$u^*_d = y00l$ $u^*_e = j06g$

Kontrastreduzierungsfaktor:

$c_R = 0.96$

Dreiecks-Helligkeit t^*



ORS20_95a; adaptierte CIELAB-Daten

u^*_d	$L^*=L^*_a$	a^*_a	b^*_a	$C^*_{ab,a}$	$h^*_{ab,a}$
O _{Ma}	48.71	62.56	37.91	73.15	31
Y _{Ma}	89.25	-9.92	83.91	84.49	97
L _{Ma}	52.5	-62.91	19.95	66.0	162
C _{Ma}	59.15	-27.87	-44.43	52.45	238
V _{Ma}	29.13	22.73	-42.44	48.14	298
M _{Ma}	49.51	71.08	-9.19	71.67	353
N _{Ma}	20.0	0.0	0.0	0.0	0
W _{Ma}	95.0	0.0	0.0	0.0	0
O _{Ma}	39.92	58.74	27.99	65.07	25
Y _{Ma}	81.26	-2.89	71.56	71.62	92
L _{Ma}	52.23	-42.42	13.6	44.55	162
V _{Ma}	30.57	1.41	-46.47	46.49	272

$u^*_d = y00l$
 $LAB^*LAB^*_a$

Daten für Maximalfarbe (Ma):

$LAB^*LAB^*_Ma: 89 -10 84$

$LAB^*LCH^*_Ma: 89 84 96$

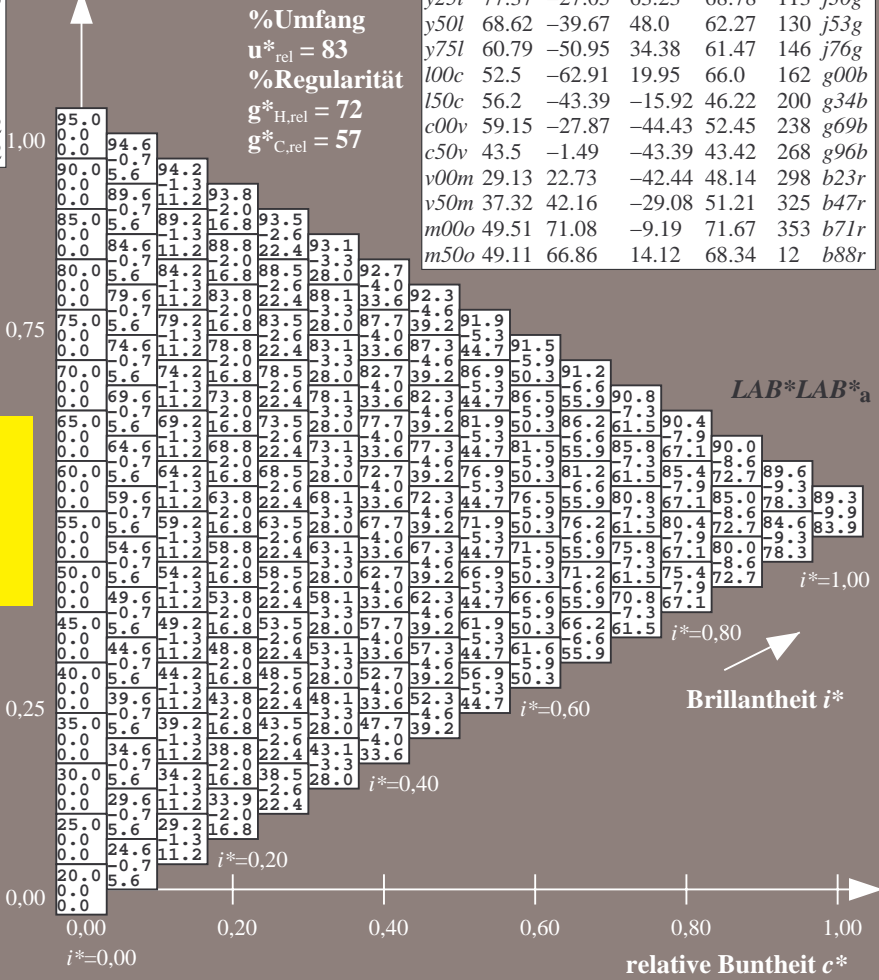
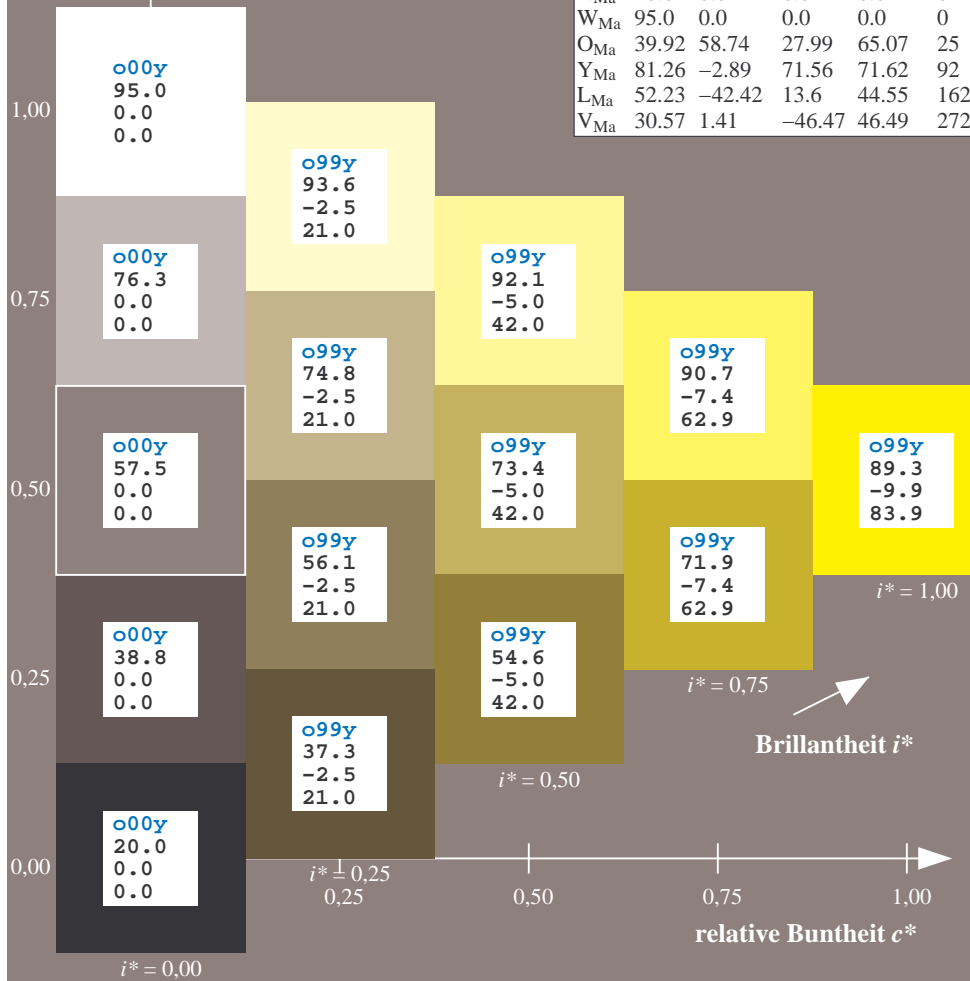
$lab^*olv^*_Ma: 1.0 1.0 0.0$

$lab^*rgb^*_Ma: 0.94 1.0 0.0$

Dreiecks-Helligkeit t^*

ORS20_95a; adaptierte CIELAB-Daten

u^*_d	$L^*=L^*_a$	a^*_a	b^*_a	$C^*_{ab,a}$	$h^*_{ab,a}$	u^*_e
o00y	95.0	0.0	0.0			r08j
o25y	58.6	44.87	49.14	66.54	48	r33j
o50y	67.52	28.93	59.25	65.94	64	r57j
o75y	77.05	11.9	70.06	71.06	80	r81j
y00l	89.25	-9.92	83.91	84.49	97	j06g
y25l	77.37	-27.05	63.23	68.78	113	j30g
y50l	68.62	-39.67	48.0	62.27	130	j53g
y75l	60.79	-50.95	34.38	61.47	146	j76g
l00c	52.5	-62.91	19.95	66.0	162	g00b
l50c	56.2	-43.39	-15.92	46.22	200	g34b
c00v	59.15	-27.87	-44.43	52.45	238	g69b
c50v	43.5	-1.49	-43.39	43.42	268	g96b
v00m	29.13	22.73	-42.44	48.14	298	b23r
v50m	37.32	42.16	-29.08	51.21	325	b47r
m00o	49.51	71.08	-9.19	71.67	353	b71r
m50o	49.11	66.86	14.12	68.34	12	b88r



%Umfang
 $u^*_{rel} = 83$
%Regularität
 $g^*_{H,rel} = 72$
 $g^*_{C,rel} = 57$

$LAB^*LAB^*_a$

Brillantheit i^*

Ein und Ausgabe: Farbmatisches Drucker-Reflektiv-System ORS20_95a für relativen CIELAB-Bunton $h^* = lab^*h^* = h_{ab}/360 = 0.314$

$u^*_d = y25l$
 $LAB^*LAB^*_a$

Daten für jede Farbe:

lab^*ch^* und lab^*icu^*

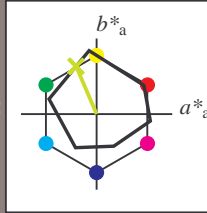
Buntontexte:

$u^*_d = y25l$ $u^*_e = j30g$

Kontrastreduzierungsfaktor:

$c_R = 0.96$

Dreiecks-Helligkeit t^*



ORS20_95a; adaptierte CIELAB-Daten

u^*_d	$L^*=L^*_a$	a^*_a	b^*_a	$C^*_{ab,a}$	$h^*_{ab,a}$
O _{Ma}	48.71	62.56	37.91	73.15	31
Y _{Ma}	89.25	-9.92	83.91	84.49	97
L _{Ma}	52.5	-62.91	19.95	66.0	162
C _{Ma}	59.15	-27.87	-44.43	52.45	238
V _{Ma}	29.13	22.73	-42.44	48.14	298
M _{Ma}	49.51	71.08	-9.19	71.67	353
N _{Ma}	20.0	0.0	0.0	0.0	0
W _{Ma}	95.0	0.0	0.0	0.0	0
O _{Ma}	39.92	58.74	27.99	65.07	25
Y _{Ma}	81.26	-2.89	71.56	71.62	92
L _{Ma}	52.23	-42.42	13.6	44.55	162
V _{Ma}	30.57	1.41	-46.47	46.49	272

Daten für Maximalfarbe (Ma):

$LAB^*LAB^*_Ma: 77 -27 63$

$LAB^*LCH^*_Ma: 77 69 113$

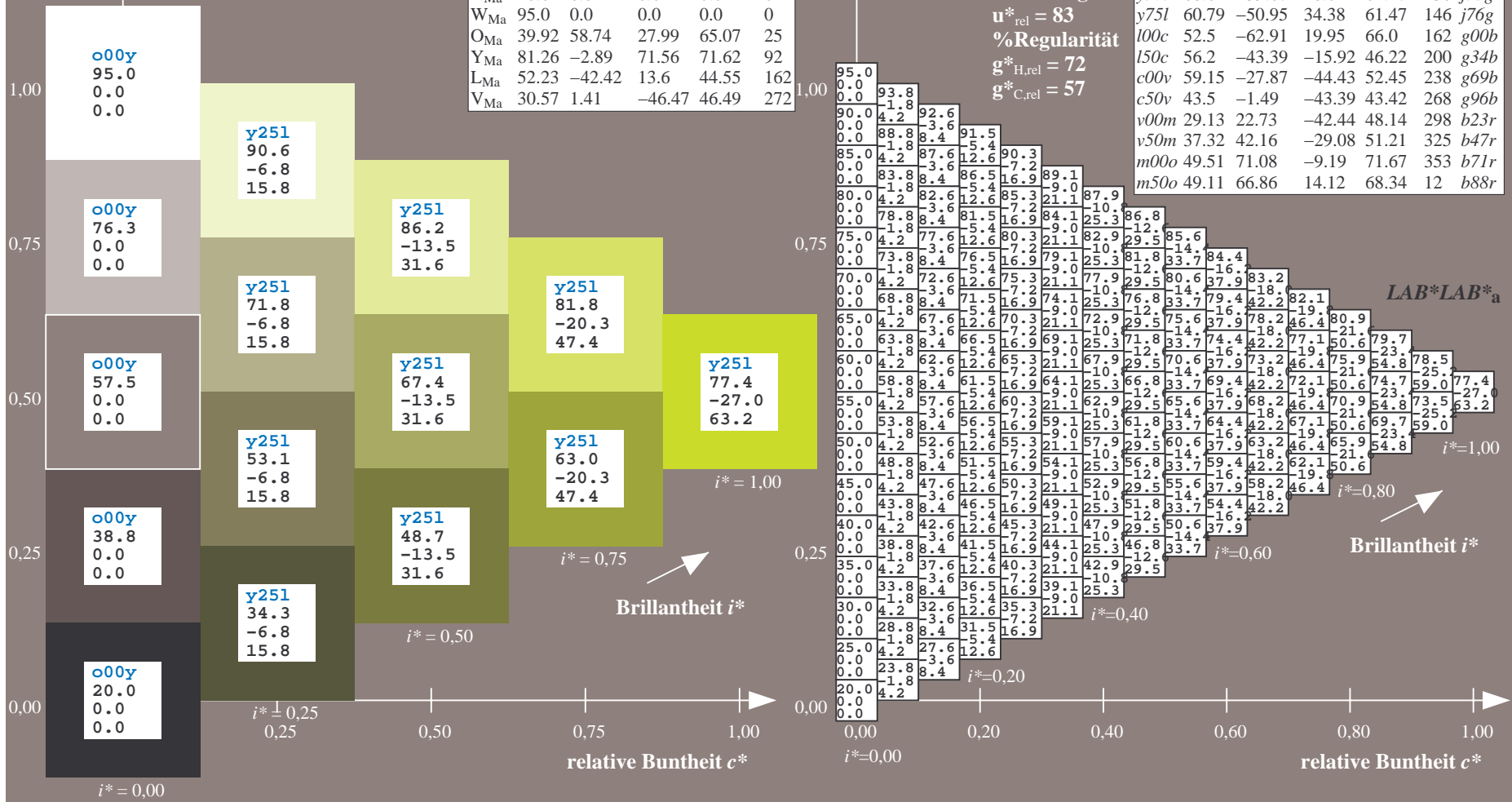
$lab^*olv^*_Ma: 0.75 1.0 0.0$

$lab^*rgb^*_Ma: 0.7 1.0 0.0$

Dreiecks-Helligkeit t^*

ORS20_95a; adaptierte CIELAB-Daten

u^*_d	$L^*=L^*_a$	a^*_a	b^*_a	$C^*_{ab,a}$	$h^*_{ab,a}$	u^*_e
o00y	48.71	62.56	37.91	73.15	31	r08j
o25y	58.6	44.87	49.14	66.54	48	r33j
o50y	67.52	28.93	59.25	65.94	64	r57j
o75y	77.05	11.9	70.06	71.06	80	r81j
y00l	89.25	-9.92	83.91	84.49	97	j06g
y25l	77.37	-27.05	63.23	68.78	113	j30g
y50l	68.62	-39.67	48.0	62.27	130	j53g
y75l	60.79	-50.95	34.38	61.47	146	j76g
l00c	52.5	-62.91	19.95	66.0	162	g00b
l50c	56.2	-43.39	-15.92	46.22	200	g34b
c00v	59.15	-27.87	-44.43	52.45	238	g69b
c50v	43.5	-1.49	-43.39	43.42	268	g96b
v00m	29.13	22.73	-42.44	48.14	298	b23r
v50m	37.32	42.16	-29.08	51.21	325	b47r
m00o	49.51	71.08	-9.19	71.67	353	b71r
m50o	49.11	66.86	14.12	68.34	12	b88r



%Umfang
 $u^*_{rel} = 83$
%Regularität
 $g^*_{H,rel} = 72$
 $g^*_{C,rel} = 57$

$LAB^*LAB^*_a$

Brillantheit i^*

Ein und Ausgabe: Farbmatisches Drucker-Reflektiv-System ORS20_95a für relativen CIELAB-Bunton $h^* = lab^*h^* = h_{ab}/360 = 0.36$

Daten für jede Farbe:

lab^*ch^* und lab^*icu^*

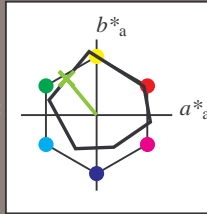
Buntontexte:

$u^*_d = y50l$ $u^*_e = j53g$

Kontrastreduzierungsfaktor:

$c_R = 0.96$

Dreiecks-Helligkeit t^*



ORS20_95a; adaptierte CIELAB-Daten						
u^*_d	$L^*=L^*_a$	a^*_a	b^*_a	$C^*_{ab,a}$	$h^*_{ab,a}$	
O _{Ma}	48.71	62.56	37.91	73.15	31	
Y _{Ma}	89.25	-9.92	83.91	84.49	97	
L _{Ma}	52.5	-62.91	19.95	66.0	162	
C _{Ma}	59.15	-27.87	-44.43	52.45	238	
V _{Ma}	29.13	22.73	-42.44	48.14	298	
M _{Ma}	49.51	71.08	-9.19	71.67	353	
N _{Ma}	20.0	0.0	0.0	0.0	0	
W _{Ma}	95.0	0.0	0.0	0.0	0	
O _{Ma}	39.92	58.74	27.99	65.07	25	
Y _{Ma}	81.26	-2.89	71.56	71.62	92	
L _{Ma}	52.23	-42.42	13.6	44.55	162	
V _{Ma}	30.57	1.41	-46.47	46.49	272	

Daten für Maximalfarbe (Ma):

$LAB^*LAB^*_{Ma}$: 69 -40 48

$LAB^*LCH^*_{Ma}$: 69 62 129

$lab^*olv^*_{Ma}$: 0.5 1.0 0.0

$lab^*rgb^*_{Ma}$: 0.47 1.0 0.0

Dreiecks-Helligkeit t^*

%Umfang

$u^*_{rel} = 83$

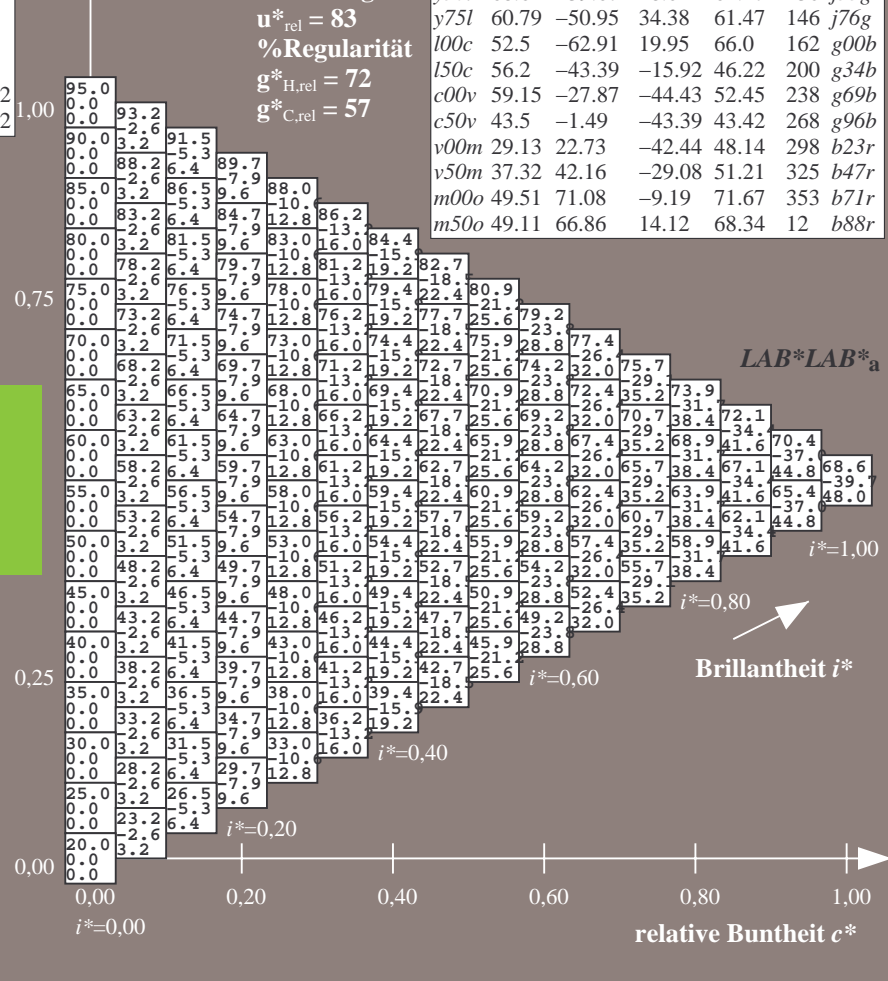
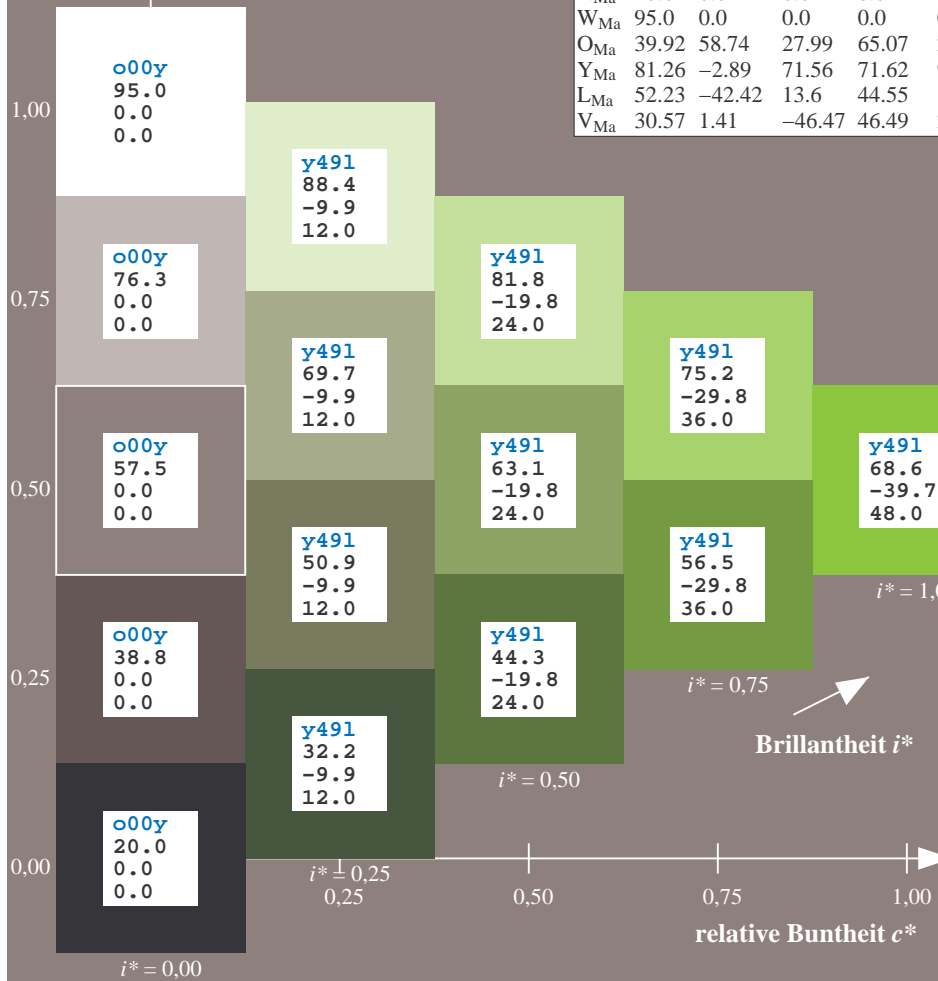
%Regularität

$g^*_{H,rel} = 72$

$g^*_{C,rel} = 57$

$u^*_d = y50l$
 $LAB^*LAB^*_a$

ORS20_95a; adaptierte CIELAB-Daten							
u^*_d	$L^*=L^*_a$	a^*_a	b^*_a	$C^*_{ab,a}$	$h^*_{ab,a}$	u^*_e	
o00y	48.71	62.56	37.91	73.15	31	r08j	
o25y	58.6	44.87	49.14	66.54	48	r33j	
o50y	67.52	28.93	59.25	65.94	64	r57j	
o75y	77.05	11.9	70.06	71.06	80	r81j	
y00l	89.25	-9.92	83.91	84.49	97	j06g	
y25l	77.37	-27.05	63.23	68.78	113	j30g	
y50l	68.62	-39.67	48.0	62.27	130	j53g	
y75l	60.79	-50.95	34.38	61.47	146	j76g	
l00c	52.5	-62.91	19.95	66.0	162	g00b	
l50c	56.2	-43.39	-15.92	46.22	200	g34b	
c00v	59.15	-27.87	-44.43	52.45	238	g69b	
c50v	43.5	-1.49	-43.39	43.42	268	g96b	
v00m	29.13	22.73	-42.44	48.14	298	b23r	
v50m	37.32	42.16	-29.08	51.21	325	b47r	
m00o	49.51	71.08	-9.19	71.67	353	b71r	
m50o	49.11	66.86	14.12	68.34	12	b88r	



Ein und Ausgabe: Farbmatisches Drucker-Reflektiv-System ORS20_95a für relativen CIELAB-Bunton $h^* = lab^*h^* = h_{ab}/360 = 0.406$

$u^*_d = y75l$
LAB*LAB*a

Daten für jede Farbe:

lab^*ch^* und lab^*icu^*

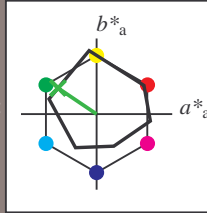
Buntontexte:

$u^*_d = y75l$ $u^*_e = j76g$

Kontrastreduzierungsfaktor:

$c_R = 0.96$

Dreiecks-Helligkeit t^*



ORS20_95a; adaptierte CIELAB-Daten

u^*_d	$L^*=L^*_a$	a^*_a	b^*_a	$C^*_{ab,a}$	$h^*_{ab,a}$
O _{Ma}	48.71	62.56	37.91	73.15	31
Y _{Ma}	89.25	-9.92	83.91	84.49	97
L _{Ma}	52.5	-62.91	19.95	66.0	162
C _{Ma}	59.15	-27.87	-44.43	52.45	238
V _{Ma}	29.13	22.73	-42.44	48.14	298
M _{Ma}	49.51	71.08	-9.19	71.67	353
N _{Ma}	20.0	0.0	0.0	0.0	0
W _{Ma}	95.0	0.0	0.0	0.0	0
O _{Ma}	39.92	58.74	27.99	65.07	25
Y _{Ma}	81.26	-2.89	71.56	71.62	92
L _{Ma}	52.23	-42.42	13.6	44.55	162
V _{Ma}	30.57	1.41	-46.47	46.49	272

Daten für Maximalfarbe (Ma):

LAB*LAB*_{Ma}: 61 -51 34

LAB*LCH*_{Ma}: 61 61 145

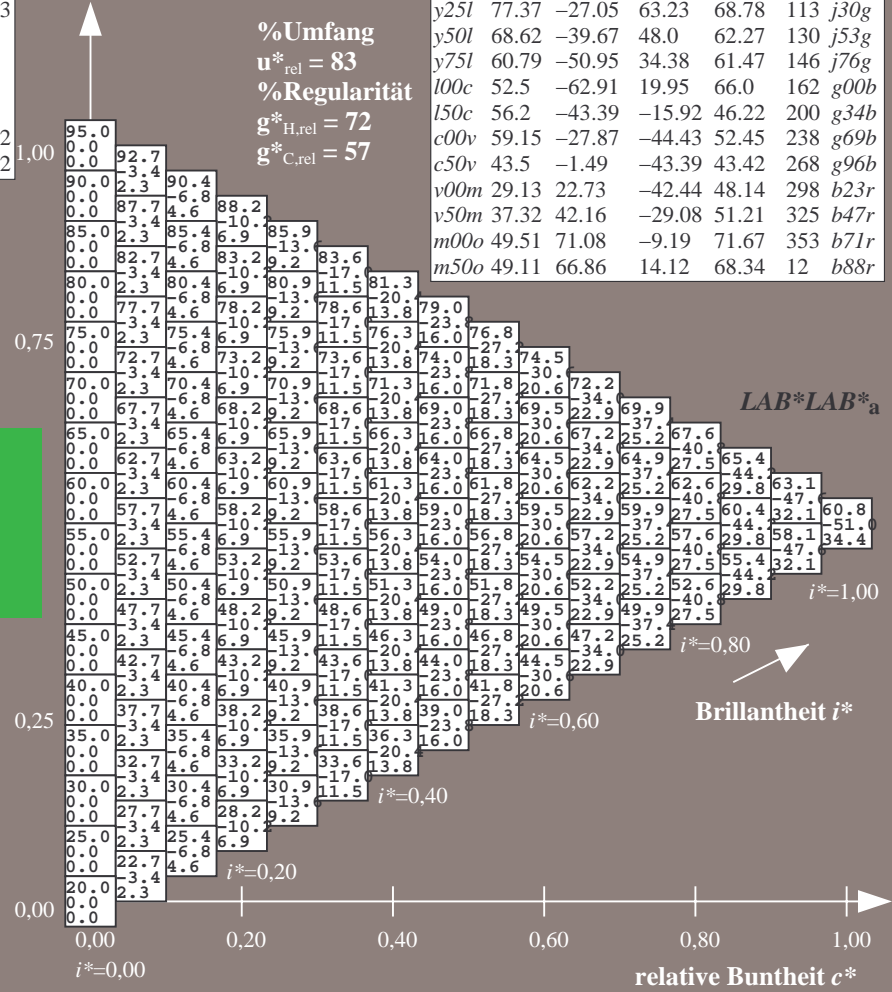
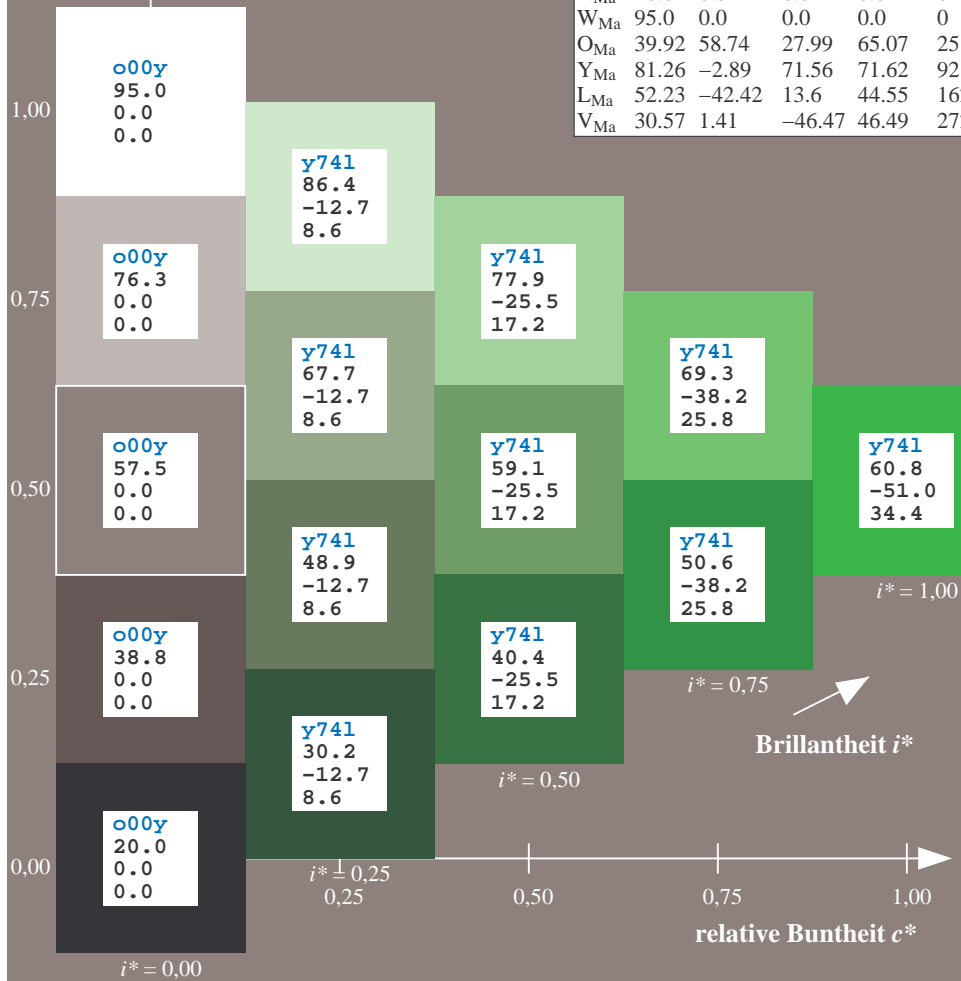
lab*olv*_{Ma}: 0.25 1.0 0.0

lab*rgb*_{Ma}: 0.23 1.0 0.0

Dreiecks-Helligkeit t^*

ORS20_95a; adaptierte CIELAB-Daten

u^*_d	$L^*=L^*_a$	a^*_a	b^*_a	$C^*_{ab,a}$	$h^*_{ab,a}$	u^*_e
o00y	48.71	62.56	37.91	73.15	31	r08j
o25y	58.6	44.87	49.14	66.54	48	r33j
o50y	67.52	28.93	59.25	65.94	64	r57j
o75y	77.05	11.9	70.06	71.06	80	r81j
y00l	89.25	-9.92	83.91	84.49	97	j06g
y25l	77.37	-27.05	63.23	68.78	113	j30g
y50l	68.62	-39.67	48.0	62.27	130	j53g
y75l	60.79	-50.95	34.38	61.47	146	j76g
l00c	52.5	-62.91	19.95	66.0	162	g00b
l50c	56.2	-43.39	-15.92	46.22	200	g34b
c00v	59.15	-27.87	-44.43	52.45	238	g69b
c50v	43.5	-1.49	-43.39	43.42	268	g96b
v00m	29.13	22.73	-42.44	48.14	298	b23r
v50m	37.32	42.16	-29.08	51.21	325	b47r
m00o	49.51	71.08	-9.19	71.67	353	b71r
m50o	49.11	66.86	14.12	68.34	12	b88r



Ein und Ausgabe: Farbmatisches Drucker-Reflektiv-System ORS20_95a für relativen CIELAB-Bunton $h^* = lab^*h^* = h_{ab}/360 = 0.451$

$u^*_d = 100c$
LAB*LAB*_a

Daten für jede Farbe:

lab^*ch^* und lab^*icu^*

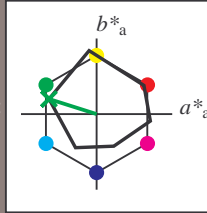
Buntontexte:

$u^*_d = 100c$ $u^*_e = g00b$

Kontrastreduzierungsfaktor:

$c_R = 0.96$

Dreiecks-Helligkeit t^*



ORS20_95a; adaptierte CIELAB-Daten

u^*_d	$L^*=L^*_a$	a^*_a	b^*_a	$C^*_{ab,a}$	$h^*_{ab,a}$
O _{Ma}	48.71	62.56	37.91	73.15	31
Y _{Ma}	89.25	-9.92	83.91	84.49	97
L _{Ma}	52.5	-62.91	19.95	66.0	162
C _{Ma}	59.15	-27.87	-44.43	52.45	238
V _{Ma}	29.13	22.73	-42.44	48.14	298
M _{Ma}	49.51	71.08	-9.19	71.67	353
N _{Ma}	20.0	0.0	0.0	0.0	0
W _{Ma}	95.0	0.0	0.0	0.0	0
O _{Ma}	39.92	58.74	27.99	65.07	25
Y _{Ma}	81.26	-2.89	71.56	71.62	92
L _{Ma}	52.23	-42.42	13.6	44.55	162
V _{Ma}	30.57	1.41	-46.47	46.49	272

Daten für Maximalfarbe (Ma):

LAB*LAB*_Ma: 52 -63 20

LAB*LCH*_Ma: 52 66 162

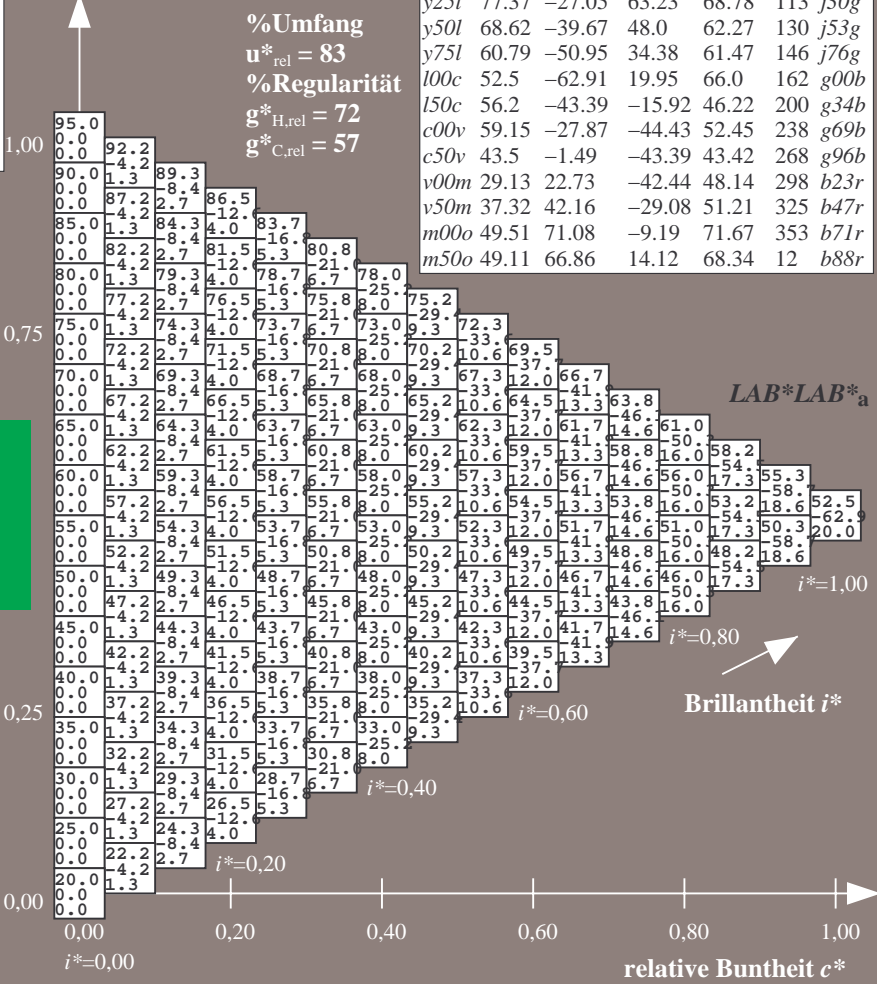
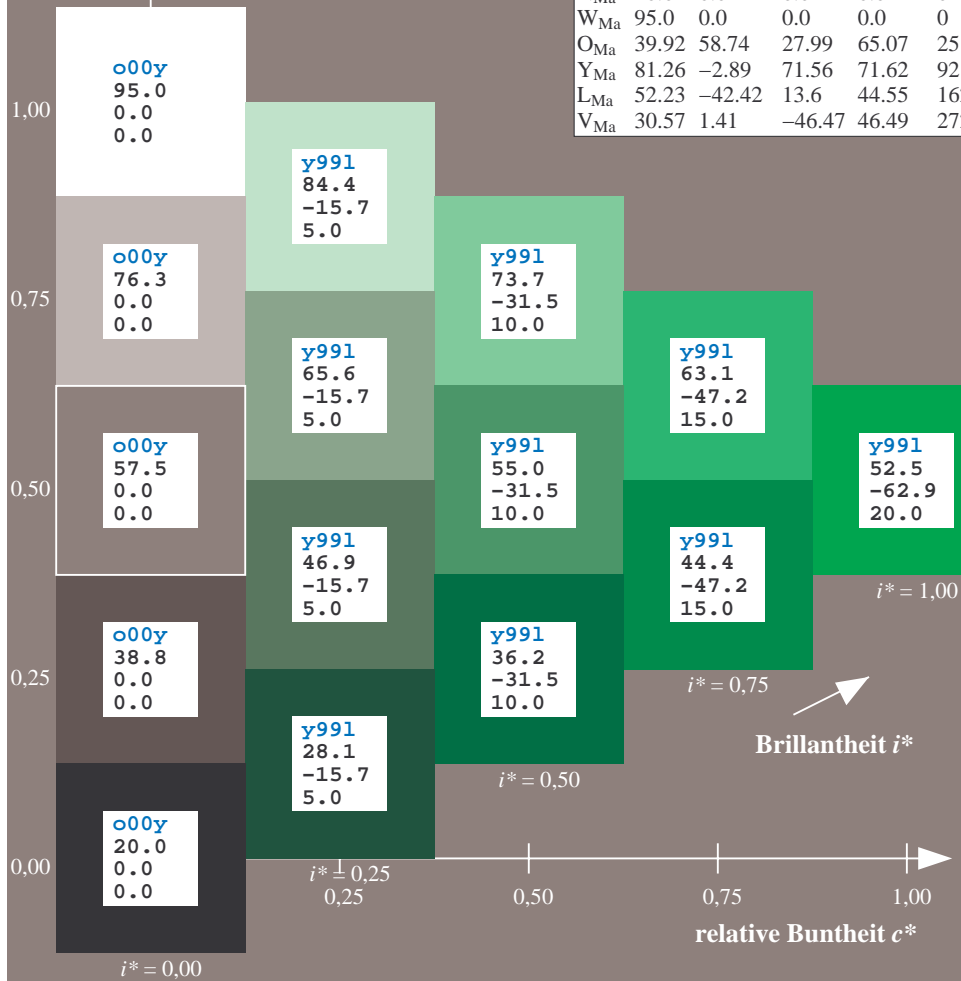
lab*olv*_Ma: 0.0 1.0 0.0

lab*rgb*_Ma: 0.0 1.0 0.0

Dreiecks-Helligkeit t^*

ORS20_95a; adaptierte CIELAB-Daten

u^*_d	$L^*=L^*_a$	a^*_a	b^*_a	$C^*_{ab,a}$	$h^*_{ab,a}$	u^*_e
o00y	48.71	62.56	37.91	73.15	31	r08j
o25y	58.6	44.87	49.14	66.54	48	r33j
o50y	67.52	28.93	59.25	65.94	64	r57j
o75y	77.05	11.9	70.06	71.06	80	r81j
y00l	89.25	-9.92	83.91	84.49	97	j06g
y25l	77.37	-27.05	63.23	68.78	113	j30g
y50l	68.62	-39.67	48.0	62.27	130	j53g
y75l	60.79	-50.95	34.38	61.47	146	j76g
l00c	52.5	-62.91	19.95	66.0	162	g00b
l50c	56.2	-43.39	-15.92	46.22	200	g34b
c00v	59.15	-27.87	-44.43	52.45	238	g69b
c50v	43.5	-1.49	-43.39	43.42	268	g96b
v00m	29.13	22.73	-42.44	48.14	298	b23r
v50m	37.32	42.16	-29.08	51.21	325	b47r
m00o	49.51	71.08	-9.19	71.67	353	b71r
m50o	49.11	66.86	14.12	68.34	12	b88r



Ein und Ausgabe: Farbmatisches Drucker-Reflektiv-System ORS20_95a für relativen CIELAB-Bunton $h^* = lab \cdot h^* = h_{ab}/360 = 0.556$

$u^*_d = 150c$
LAB*LAB*a

Daten für jede Farbe:

$lab \cdot tch^*$ und $lab \cdot icu^*$

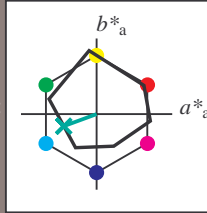
Buntontexte:

$u^*_d = 150c$ $u^*_e = g34b$

Kontrastreduzierungsfaktor:

$c_R = 0.96$

Dreiecks-Helligkeit t^*



ORS20_95a; adaptierte CIELAB-Daten

u^*_d	$L^*=L^*_a$	a^*_a	b^*_a	$C^*_{ab,a}$	$h^*_{ab,a}$
O _{Ma}	48.71	62.56	37.91	73.15	31
Y _{Ma}	89.25	-9.92	83.91	84.49	97
L _{Ma}	52.5	-62.91	19.95	66.0	162
C _{Ma}	59.15	-27.87	-44.43	52.45	238
V _{Ma}	29.13	22.73	-42.44	48.14	298
M _{Ma}	49.51	71.08	-9.19	71.67	353
N _{Ma}	20.0	0.0	0.0	0.0	0
W _{Ma}	95.0	0.0	0.0	0.0	0
O _{Ma}	39.92	58.74	27.99	65.07	25
Y _{Ma}	81.26	-2.89	71.56	71.62	92
L _{Ma}	52.23	-42.42	13.6	44.55	162
V _{Ma}	30.57	1.41	-46.47	46.49	272

Daten für Maximalfarbe (Ma):

LAB*LAB*_{Ma}: 56 -43 -16

LAB*LCH*_{Ma}: 56 46 200

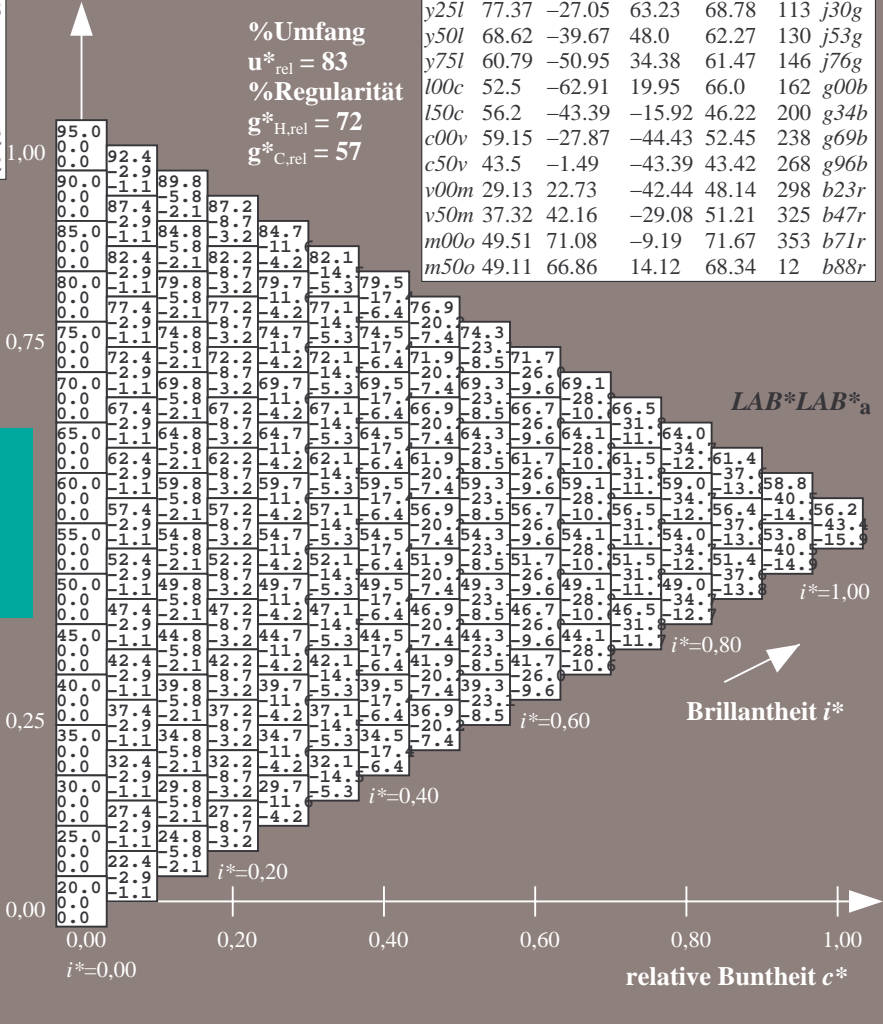
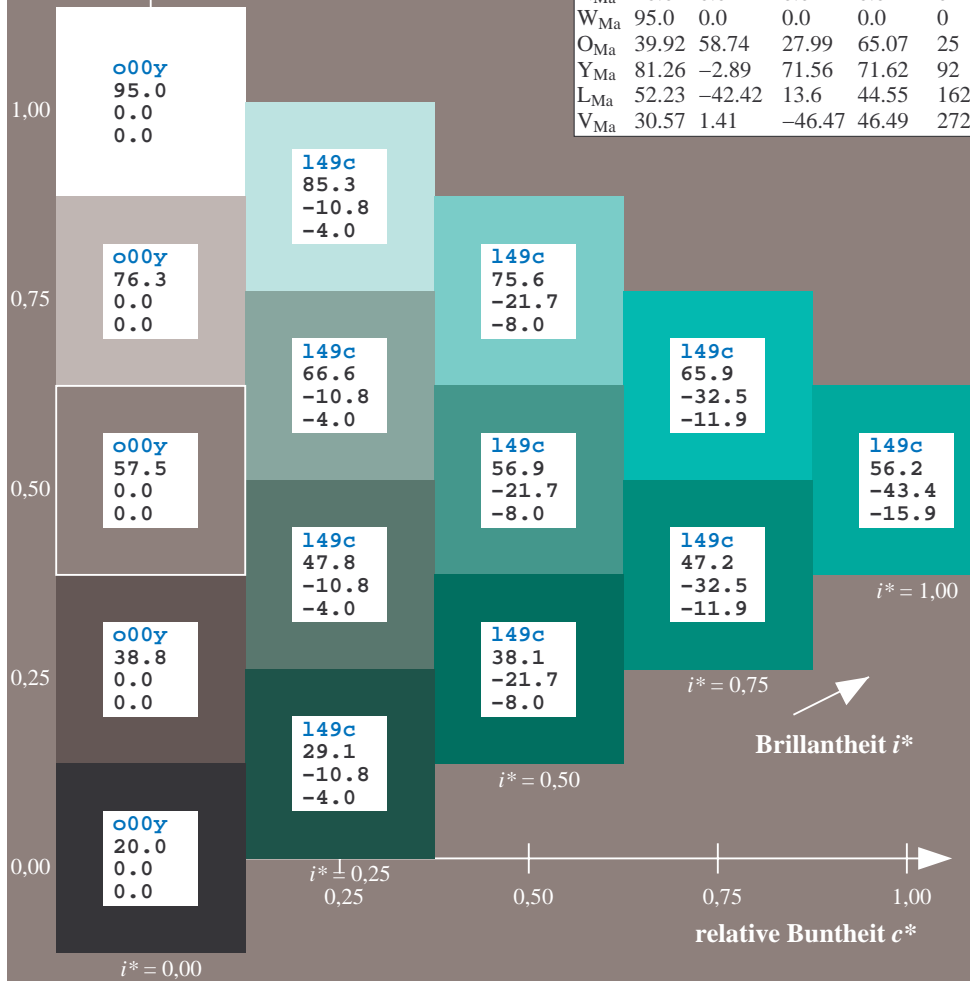
lab*olv*_{Ma}: 0.0 1.0 0.5

lab*rgb*_{Ma}: 0.0 1.0 0.69

Dreiecks-Helligkeit t^*

ORS20_95a; adaptierte CIELAB-Daten

u^*_d	$L^*=L^*_a$	a^*_a	b^*_a	$C^*_{ab,a}$	$h^*_{ab,a}$	u^*_e
o00y	48.71	62.56	37.91	73.15	31	r08j
o25y	58.6	44.87	49.14	66.54	48	r33j
o50y	67.52	28.93	59.25	65.94	64	r57j
o75y	77.05	11.9	70.06	71.06	80	r81j
y00l	89.25	-9.92	83.91	84.49	97	j06g
y25l	77.37	-27.05	63.23	68.78	113	j30g
y50l	68.62	-39.67	48.0	62.27	130	j53g
y75l	60.79	-50.95	34.38	61.47	146	j76g
l00c	52.5	-62.91	19.95	66.0	162	g00b
l50c	56.2	-43.39	-15.92	46.22	200	g34b
c00v	59.15	-27.87	-44.43	52.45	238	g69b
c50v	43.5	-1.49	-43.39	43.42	268	g96b
v00m	29.13	22.73	-42.44	48.14	298	b23r
v50m	37.32	42.16	-29.08	51.21	325	b47r
m00o	49.51	71.08	-9.19	71.67	353	b71r
m50o	49.11	66.86	14.12	68.34	12	b88r



%Umfang
 $u^*_{rel} = 83$
%Regularität
 $g^*_{H,rel} = 72$
 $g^*_{C,rel} = 57$

LAB*LAB*a

Brillantheit i^*

Brillantheit i^*

Ein und Ausgabe: Farbmatisches Drucker-Reflektiv-System ORS20_95a für relativen CIELAB-Bunton $h^* = lab^*h^* = h_{ab}/360 = 0.661$

$u^*_d = c00v$
 $LAB^*LAB^*_a$

Daten für jede Farbe:

lab^*ch^* und lab^*icu^*

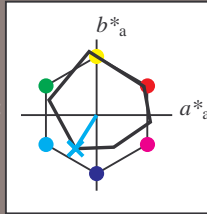
Bunntexte:

$u^*_d = c00v$ $u^*_e = g69b$

Kontrastreduzierungsfaktor:

$c_R = 0.96$

Dreiecks-Helligkeit t^*



ORS20_95a; adaptierte CIELAB-Daten

u^*_d	$L^*=L^*_a$	a^*_a	b^*_a	$C^*_{ab,a}$	$h^*_{ab,a}$
O _{Ma}	48.71	62.56	37.91	73.15	31
Y _{Ma}	89.25	-9.92	83.91	84.49	97
L _{Ma}	52.5	-62.91	19.95	66.0	162
C _{Ma}	59.15	-27.87	-44.43	52.45	238
V _{Ma}	29.13	22.73	-42.44	48.14	298
M _{Ma}	49.51	71.08	-9.19	71.67	353
N _{Ma}	20.0	0.0	0.0	0.0	0
W _{Ma}	95.0	0.0	0.0	0.0	0
O _{Ma}	39.92	58.74	27.99	65.07	25
Y _{Ma}	81.26	-2.89	71.56	71.62	92
L _{Ma}	52.23	-42.42	13.6	44.55	162
V _{Ma}	30.57	1.41	-46.47	46.49	272

Daten für Maximalfarbe (Ma):

$LAB^*LAB^*_Ma: 59 -28 -44$

$LAB^*LCH^*_Ma: 59 52 237$

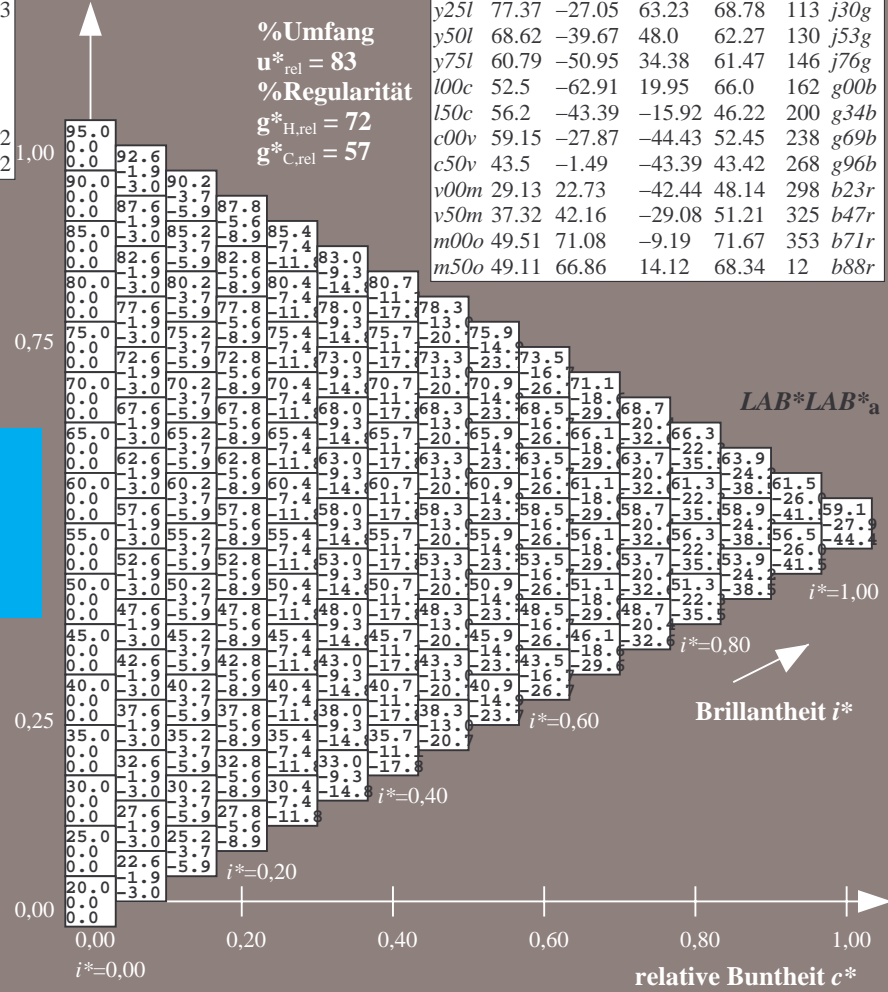
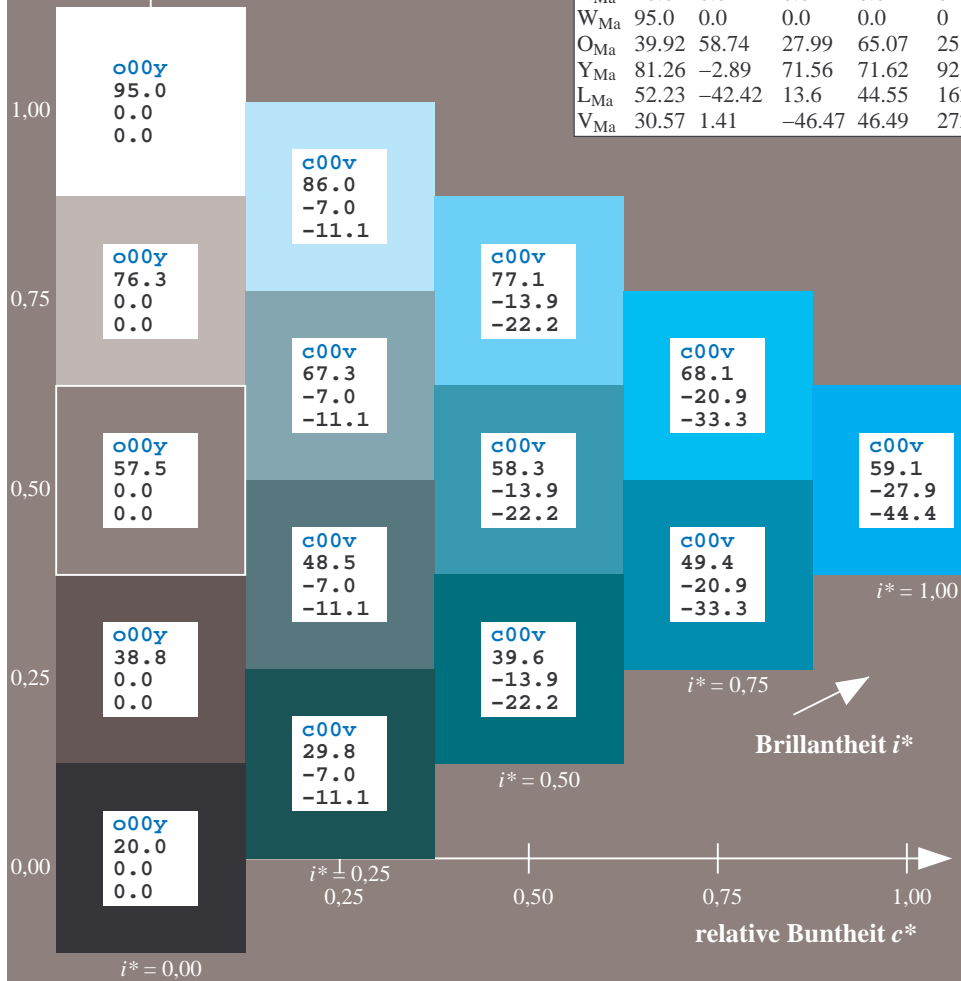
$lab^*olv^*_Ma: 0.0 1.0 1.0$

$lab^*rgb^*_Ma: 0.0 0.62 1.0$

Dreiecks-Helligkeit t^*

ORS20_95a; adaptierte CIELAB-Daten

u^*_d	$L^*=L^*_a$	a^*_a	b^*_a	$C^*_{ab,a}$	$h^*_{ab,a}$	u^*_e
o00y	48.71	62.56	37.91	73.15	31	r08j
o25y	58.6	44.87	49.14	66.54	48	r33j
o50y	67.52	28.93	59.25	65.94	64	r57j
o75y	77.05	11.9	70.06	71.06	80	r81j
y00l	89.25	-9.92	83.91	84.49	97	j06g
y25l	77.37	-27.05	63.23	68.78	113	j30g
y50l	68.62	-39.67	48.0	62.27	130	j53g
y75l	60.79	-50.95	34.38	61.47	146	j76g
l00c	52.5	-62.91	19.95	66.0	162	g00b
l50c	56.2	-43.39	-15.92	46.22	200	g34b
c00v	59.15	-27.87	-44.43	52.45	238	g69b
c50v	43.5	-1.49	-43.39	43.42	268	g96b
v00m	29.13	22.73	-42.44	48.14	298	b23r
v50m	37.32	42.16	-29.08	51.21	325	b47r
m00o	49.51	71.08	-9.19	71.67	353	b71r
m50o	49.11	66.86	14.12	68.34	12	b88r



%Umfang
 $u^*_{rel} = 83$
%Regularität
 $g^*_{H,rel} = 72$
 $g^*_{C,rel} = 57$

$LAB^*LAB^*_a$

Brillantheit i^*

Ein und Ausgabe: Farbmatisches Drucker-Reflektiv-System ORS20_95a für relativen CIELAB-Bunton $h^* = lab^*h^* = h_{ab}/360 = 0.745$

Daten für jede Farbe:

lab^*ch^* und lab^*icu^*

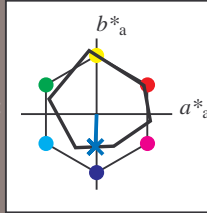
Buntontexte:

$u^*_d = c50v$ $u^*_e = g96b$

Kontrastreduzierungsfaktor:

$c_R = 0.96$

Dreiecks-Helligkeit t^*



ORS20_95a; adaptierte CIELAB-Daten						
u^*_d	$L^*=L^*_a$	a^*_a	b^*_a	$C^*_{ab,a}$	$h^*_{ab,a}$	
O _{Ma}	48.71	62.56	37.91	73.15	31	
Y _{Ma}	89.25	-9.92	83.91	84.49	97	
L _{Ma}	52.5	-62.91	19.95	66.0	162	
C _{Ma}	59.15	-27.87	-44.43	52.45	238	
V _{Ma}	29.13	22.73	-42.44	48.14	298	
M _{Ma}	49.51	71.08	-9.19	71.67	353	
N _{Ma}	20.0	0.0	0.0	0.0	0	
W _{Ma}	95.0	0.0	0.0	0.0	0	
O _{Ma}	39.92	58.74	27.99	65.07	25	
Y _{Ma}	81.26	-2.89	71.56	71.62	92	
L _{Ma}	52.23	-42.42	13.6	44.55	162	
V _{Ma}	30.57	1.41	-46.47	46.49	272	

Daten für Maximalfarbe (Ma):

$LAB^*LAB^*_{Ma}$: 43 -1 -43

$LAB^*LCH^*_{Ma}$: 43 43 268

$lab^*olv^*_{Ma}$: 0.0 0.5 1.0

$lab^*rgb^*_{Ma}$: 0.0 0.07 1.0

Dreiecks-Helligkeit t^*

%Umfang

$u^*_{rel} = 83$

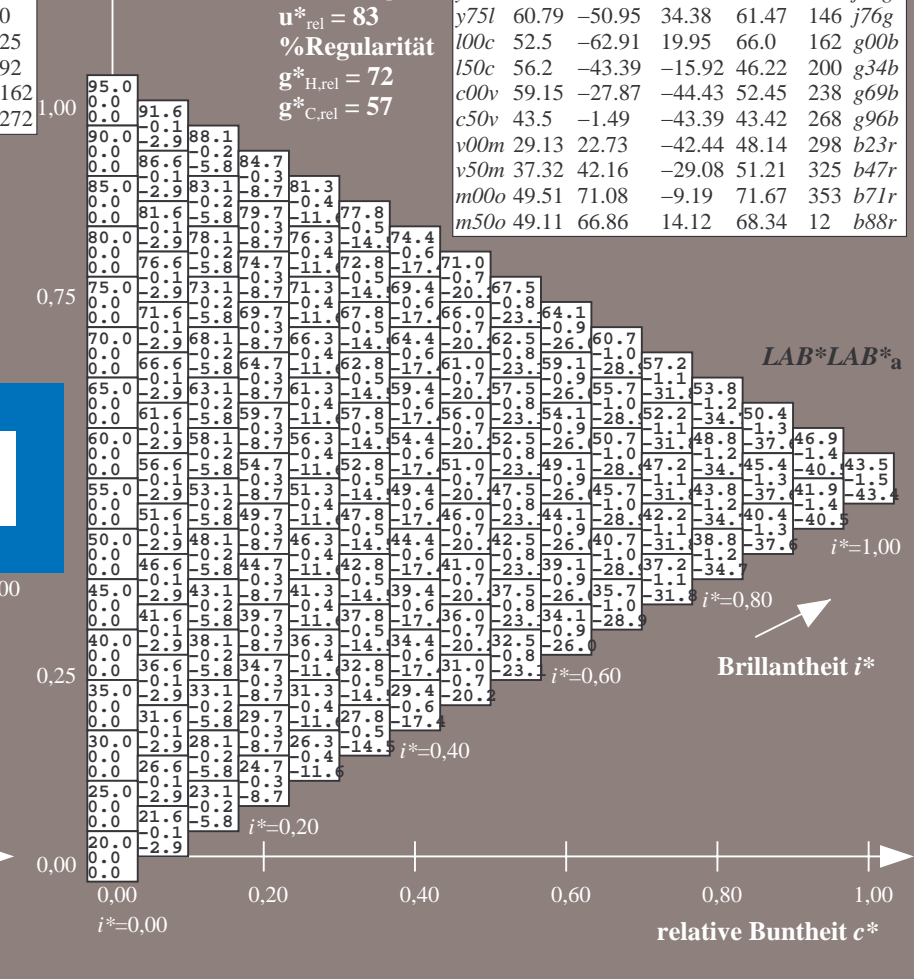
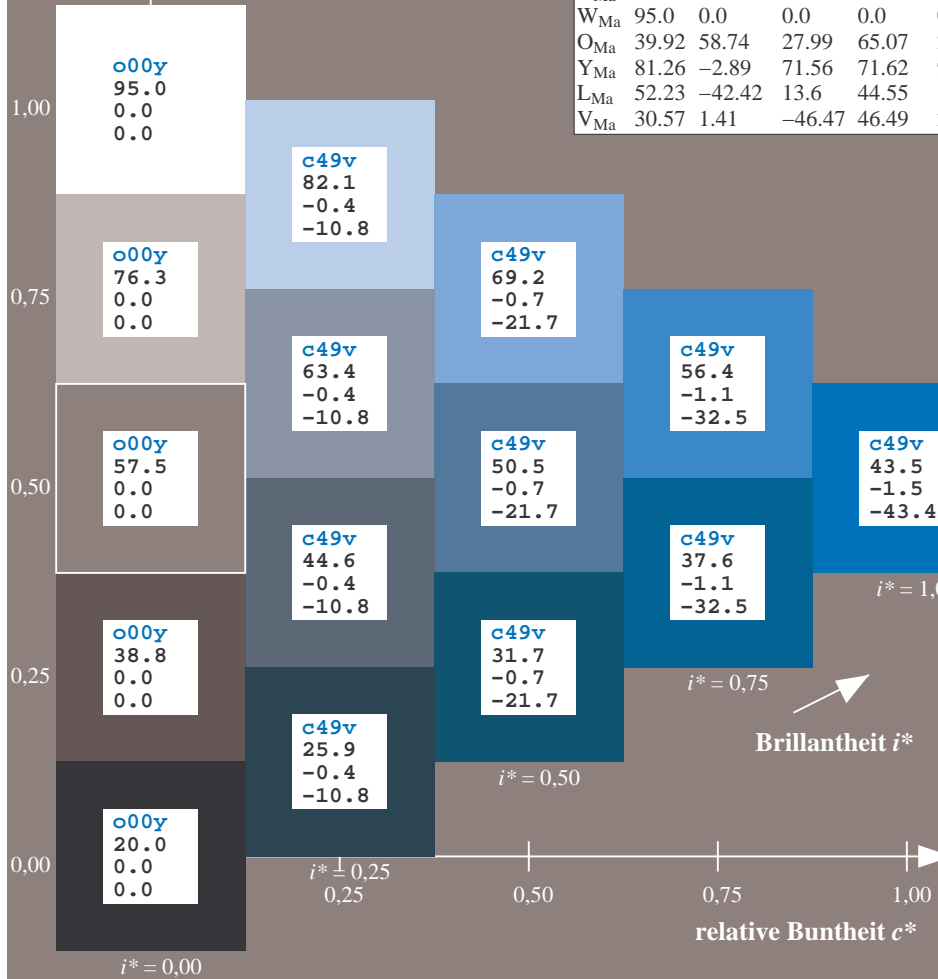
%Regularität

$g^*_{H,rel} = 72$

$g^*_{C,rel} = 57$

$u^*_d = c50v$
 $LAB^*LAB^*_a$

ORS20_95a; adaptierte CIELAB-Daten							
u^*_d	$L^*=L^*_a$	a^*_a	b^*_a	$C^*_{ab,a}$	$h^*_{ab,a}$	u^*_e	
o00y	48.71	62.56	37.91	73.15	31	r08j	
o25y	58.6	44.87	49.14	66.54	48	r33j	
o50y	67.52	28.93	59.25	65.94	64	r57j	
o75y	77.05	11.9	70.06	71.06	80	r81j	
y00l	89.25	-9.92	83.91	84.49	97	j06g	
y25l	77.37	-27.05	63.23	68.78	113	j30g	
y50l	68.62	-39.67	48.0	62.27	130	j53g	
y75l	60.79	-50.95	34.38	61.47	146	j76g	
l00c	52.5	-62.91	19.95	66.0	162	g00b	
l50c	56.2	-43.39	-15.92	46.22	200	g34b	
c00v	59.15	-27.87	-44.43	52.45	238	g69b	
c50v	43.5	-1.49	-43.39	43.42	268	g96b	
v00m	29.13	22.73	-42.44	48.14	298	b23r	
v50m	37.32	42.16	-29.08	51.21	325	b47r	
m00o	49.51	71.08	-9.19	71.67	353	b71r	
m50o	49.11	66.86	14.12	68.34	12	b88r	



Ein und Ausgabe: Farbmatisches Drucker-Reflektiv-System ORS20_95a für relativen CIELAB-Bunton $h^* = lab^*h^* = h_{ab}/360 = 0.828$

$u^*_d = v00m$
LAB*LAB*_a

Daten für jede Farbe:

lab^*ch^* und lab^*icu^*

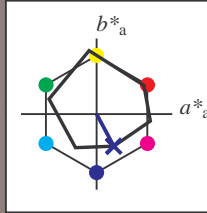
Buntontexte:

$u^*_d = v00m$ $u^*_e = b23r$

Kontrastreduzierungsfaktor:

$c_R = 0.96$

Dreiecks-Helligkeit t^*



ORS20_95a; adaptierte CIELAB-Daten

u^*_d	$L^*=L^*_a$	a^*_a	b^*_a	$C^*_{ab,a}$	$h^*_{ab,a}$
O _{Ma}	48.71	62.56	37.91	73.15	31
Y _{Ma}	89.25	-9.92	83.91	84.49	97
L _{Ma}	52.5	-62.91	19.95	66.0	162
C _{Ma}	59.15	-27.87	-44.43	52.45	238
V _{Ma}	29.13	22.73	-42.44	48.14	298
M _{Ma}	49.51	71.08	-9.19	71.67	353
N _{Ma}	20.0	0.0	0.0	0.0	0
W _{Ma}	95.0	0.0	0.0	0.0	0
O _{Ma}	39.92	58.74	27.99	65.07	25
Y _{Ma}	81.26	-2.89	71.56	71.62	92
L _{Ma}	52.23	-42.42	13.6	44.55	162
V _{Ma}	30.57	1.41	-46.47	46.49	272

Daten für Maximalfarbe (Ma):

LAB*LAB*_Ma: 29 23 -42

LAB*LCH*_Ma: 29 48 298

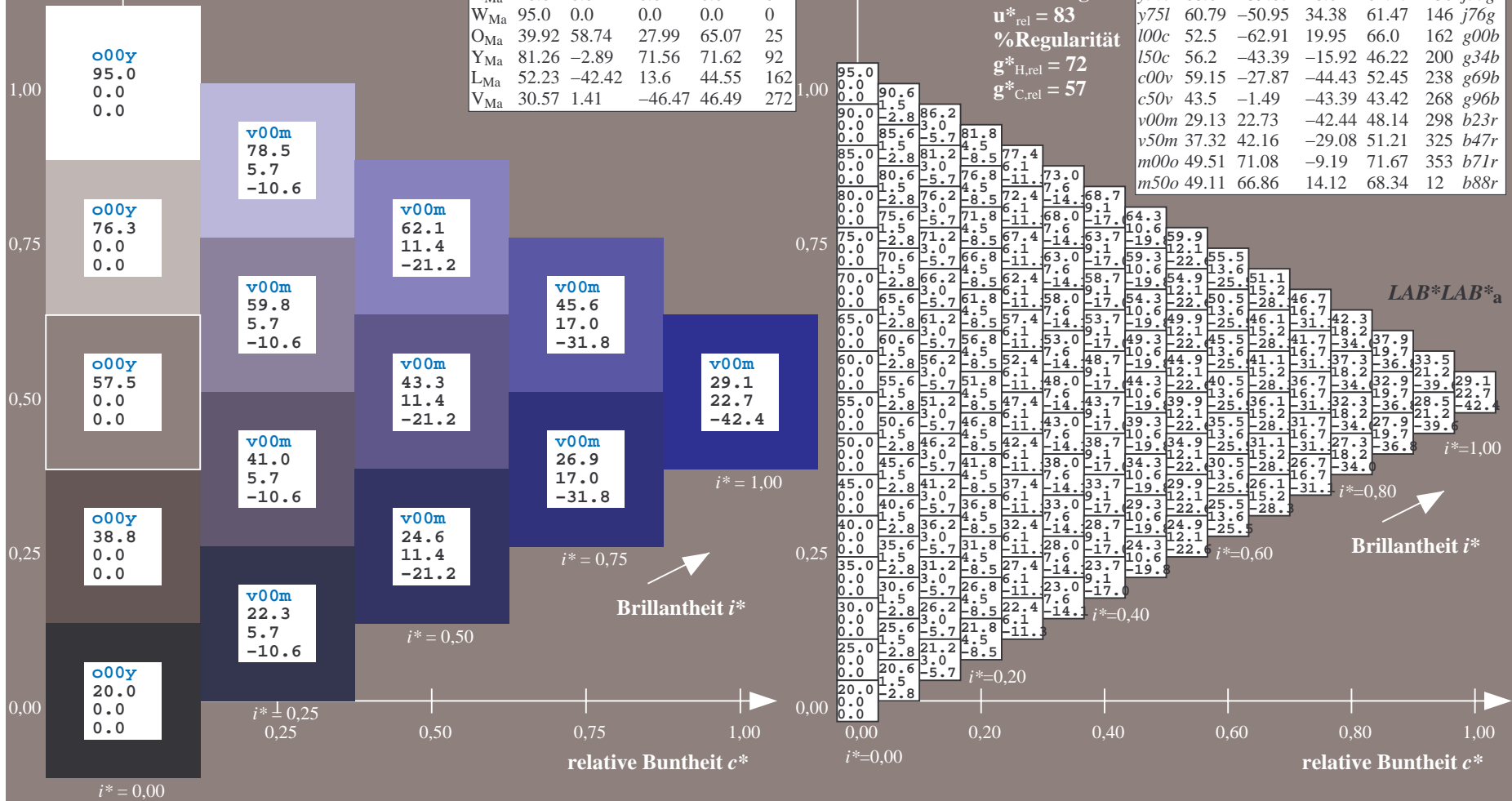
lab*olv*_Ma: 0.0 0.0 1.0

lab*rgb*_Ma: 0.46 0.0 1.0

Dreiecks-Helligkeit t^*

ORS20_95a; adaptierte CIELAB-Daten

u^*_d	$L^*=L^*_a$	a^*_a	b^*_a	$C^*_{ab,a}$	$h^*_{ab,a}$	u^*_e
o00y	48.71	62.56	37.91	73.15	31	r08j
o25y	58.6	44.87	49.14	66.54	48	r33j
o50y	67.52	28.93	59.25	65.94	64	r57j
o75y	77.05	11.9	70.06	71.06	80	r81j
y00l	89.25	-9.92	83.91	84.49	97	j06g
y25l	77.37	-27.05	63.23	68.78	113	j30g
y50l	68.62	-39.67	48.0	62.27	130	j53g
y75l	60.79	-50.95	34.38	61.47	146	j76g
l00c	52.5	-62.91	19.95	66.0	162	g00b
l50c	56.2	-43.39	-15.92	46.22	200	g34b
c00v	59.15	-27.87	-44.43	52.45	238	g69b
c50v	43.5	-1.49	-43.39	43.42	268	g96b
v00m	29.13	22.73	-42.44	48.14	298	b23r
v50m	37.32	42.16	-29.08	51.21	325	b47r
m00o	49.51	71.08	-9.19	71.67	353	b71r
m50o	49.11	66.86	14.12	68.34	12	b88r



Ein und Ausgabe: Farbmatisches Drucker-Reflektiv-System ORS20_95a für relativen CIELAB-Bunton $h^* = lab^*h^* = h_{ab}/360 = 0.904$

$u^*_d = v50m$
LAB*LAB*a

Daten für jede Farbe:

lab^*tch^* und lab^*icu^*

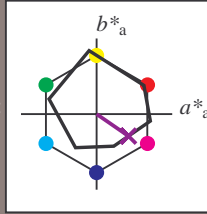
Buntontexte:

$u^*_d = v50m$ $u^*_e = b47r$

Kontrastreduzierungsfaktor:

$c_R = 0.96$

Dreiecks-Helligkeit t^*



ORS20_95a; adaptierte CIELAB-Daten						
u^*_d	$L^*=L^*_a$	a^*_a	b^*_a	$C^*_{ab,a}$	$h^*_{ab,a}$	
O _{Ma}	48.71	62.56	37.91	73.15	31	
Y _{Ma}	89.25	-9.92	83.91	84.49	97	
L _{Ma}	52.5	-62.91	19.95	66.0	162	
C _{Ma}	59.15	-27.87	-44.43	52.45	238	
V _{Ma}	29.13	22.73	-42.44	48.14	298	
M _{Ma}	49.51	71.08	-9.19	71.67	353	
N _{Ma}	20.0	0.0	0.0	0.0	0	
W _{Ma}	95.0	0.0	0.0	0.0	0	
O _{Ma}	39.92	58.74	27.99	65.07	25	
Y _{Ma}	81.26	-2.89	71.56	71.62	92	
L _{Ma}	52.23	-42.42	13.6	44.55	162	
V _{Ma}	30.57	1.41	-46.47	46.49	272	

Daten für Maximalfarbe (Ma):

LAB*LAB*_{Ma}: 37 42 -29

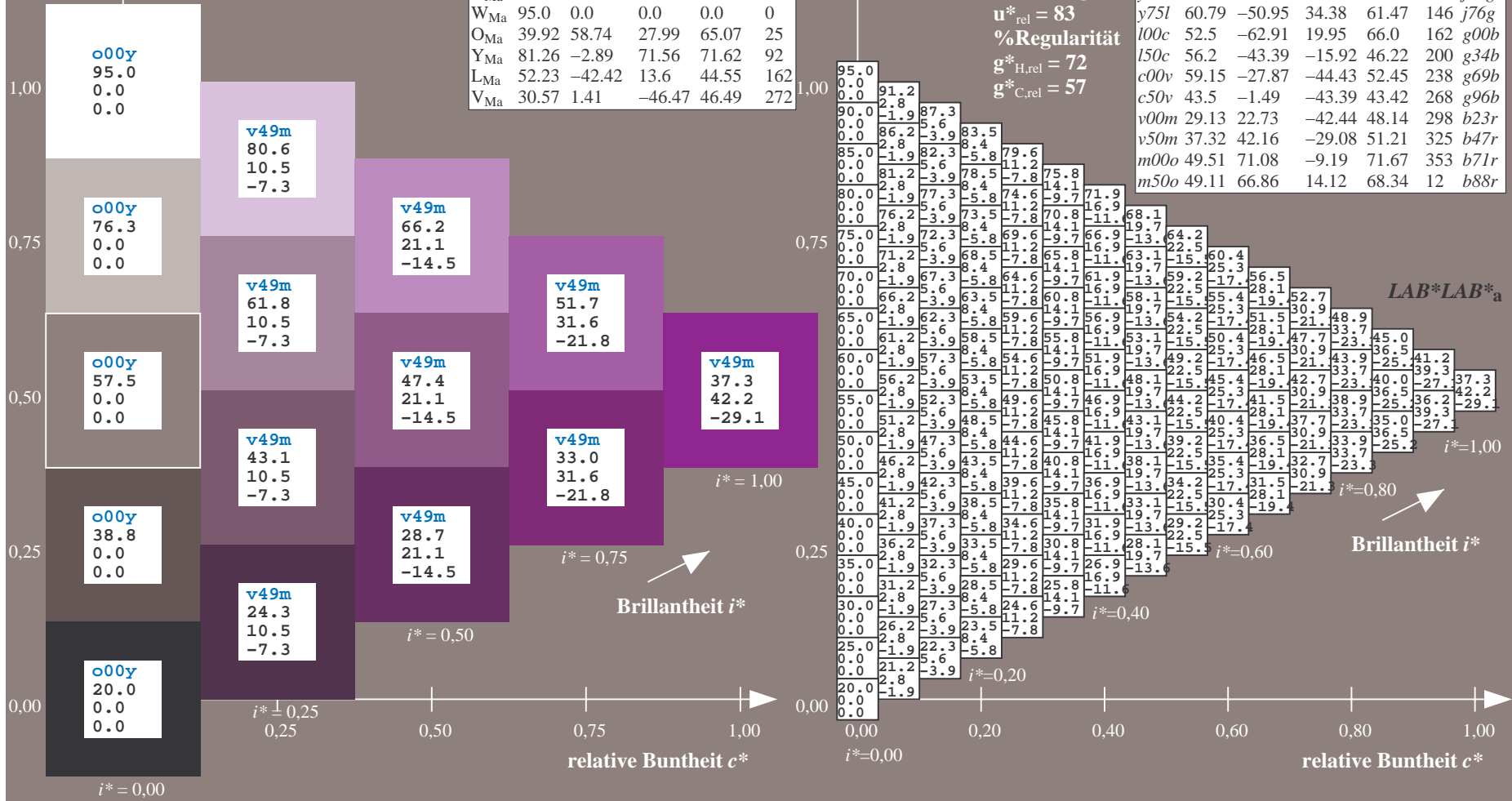
LAB*LCH*_{Ma}: 37 51 325

lab*olv*_{Ma}: 0.5 0.0 1.0

lab*rgb*_{Ma}: 0.94 0.0 1.0

Dreiecks-Helligkeit t^*

ORS20_95a; adaptierte CIELAB-Daten								
u^*_d	$L^*=L^*_a$	a^*_a	b^*_a	$C^*_{ab,a}$	$h^*_{ab,a}$	u^*_e		
o00y	48.71	62.56	37.91	73.15	31	r08j		
o25y	58.6	44.87	49.14	66.54	48	r33j		
o50y	67.52	28.93	59.25	65.94	64	r57j		
o75y	77.05	11.9	70.06	71.06	80	r81j		
y00l	89.25	-9.92	83.91	84.49	97	j06g		
y25l	77.37	-27.05	63.23	68.78	113	j30g		
y50l	68.62	-39.67	48.0	62.27	130	j53g		
y75l	60.79	-50.95	34.38	61.47	146	j76g		
l00c	52.5	-62.91	19.95	66.0	162	g00b		
l50c	56.2	-43.39	-15.92	46.22	200	g34b		
c00v	59.15	-27.87	-44.43	52.45	238	g69b		
c50v	43.5	-1.49	-43.39	43.42	268	g96b		
v00m	29.13	22.73	-42.44	48.14	298	b23r		
v50m	37.32	42.16	-29.08	51.21	325	b47r		
m00o	49.51	71.08	-9.19	71.67	353	b71r		
m50o	49.11	66.86	14.12	68.34	12	b88r		



Ein und Ausgabe: Farbmatisches Drucker-Reflektiv-System ORS20_95a für relativen CIELAB-Bunton $h^* = lab^*h^* = h_{ab}/360 = 0.98$

Daten für jede Farbe:

lab^*ch^* und lab^*icu^*

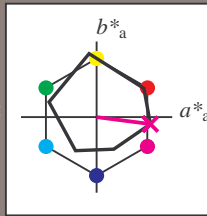
Buntontexte:

$u^*_d = m00o$ $u^*_e = b71r$

Kontrastreduzierungsfaktor:

$c_R = 0.96$

Dreiecks-Helligkeit t^*



ORS20_95a; adaptierte CIELAB-Daten

u^*_d	$L^*=L^*_a$	a^*_a	b^*_a	$C^*_{ab,a}$	$h^*_{ab,a}$
O _{Ma}	48.71	62.56	37.91	73.15	31
Y _{Ma}	89.25	-9.92	83.91	84.49	97
L _{Ma}	52.5	-62.91	19.95	66.0	162
C _{Ma}	59.15	-27.87	-44.43	52.45	238
V _{Ma}	29.13	22.73	-42.44	48.14	298
M _{Ma}	49.51	71.08	-9.19	71.67	353
N _{Ma}	20.0	0.0	0.0	0.0	0
W _{Ma}	95.0	0.0	0.0	0.0	0
O _{Ma}	39.92	58.74	27.99	65.07	25
Y _{Ma}	81.26	-2.89	71.56	71.62	92
L _{Ma}	52.23	-42.42	13.6	44.55	162
V _{Ma}	30.57	1.41	-46.47	46.49	272

Daten für Maximalfarbe (Ma):

$LAB^*LAB^*_{Ma}$: 50 71 -9

$LAB^*LCH^*_{Ma}$: 50 72 352

$lab^*olv^*_{Ma}$: 1.0 0.0 1.0

$lab^*rgb^*_{Ma}$: 1.0 0.0 0.58

Dreiecks-Helligkeit t^*

%Umfang

$u^*_{rel} = 83$

%Regularität

$g^*_{H,rel} = 72$

$g^*_{C,rel} = 57$

$u^*_d = m00o$

$LAB^*LAB^*_a$

ORS20_95a; adaptierte CIELAB-Daten

u^*_d	$L^*=L^*_a$	a^*_a	b^*_a	$C^*_{ab,a}$	$h^*_{ab,a}$	u^*_e
o00y	48.71	62.56	37.91	73.15	31	r08j
o25y	58.6	44.87	49.14	66.54	48	r33j
o50y	67.52	28.93	59.25	65.94	64	r57j
o75y	77.05	11.9	70.06	71.06	80	r81j
y00l	89.25	-9.92	83.91	84.49	97	j06g
y25l	77.37	-27.05	63.23	68.78	113	j30g
y50l	68.62	-39.67	48.0	62.27	130	j53g
y75l	60.79	-50.95	34.38	61.47	146	j76g
l00c	52.5	-62.91	19.95	66.0	162	g00b
l50c	56.2	-43.39	-15.92	46.22	200	g34b
c00v	59.15	-27.87	-44.43	52.45	238	g69b
c50v	43.5	-1.49	-43.39	43.42	268	g96b
v00m	29.13	22.73	-42.44	48.14	298	b23r
v50m	37.32	42.16	-29.08	51.21	325	b47r
m00o	49.51	71.08	-9.19	71.67	353	b71r
m50o	49.11	66.86	14.12	68.34	12	b88r

$LAB^*LAB^*_a$

$i^* = 1.00$

$i^* = 0.80$

$i^* = 0.60$

$i^* = 0.40$

$i^* = 0.20$

$i^* = 0.00$

relative Buntheit c^*

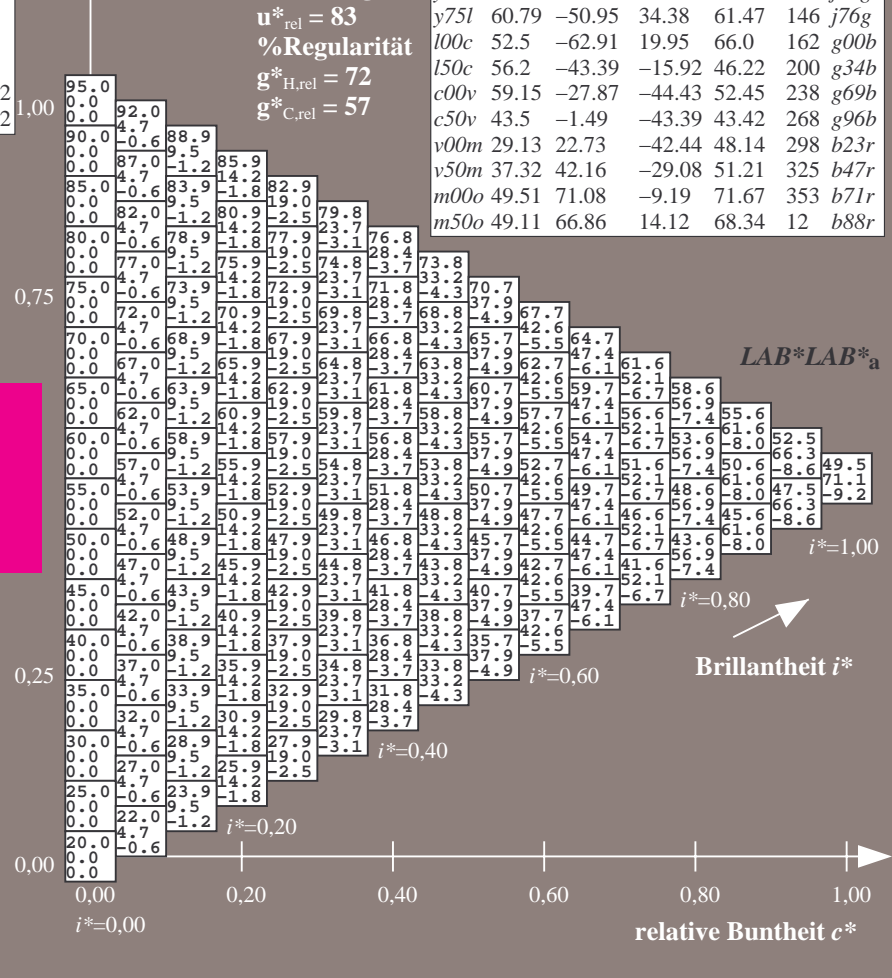
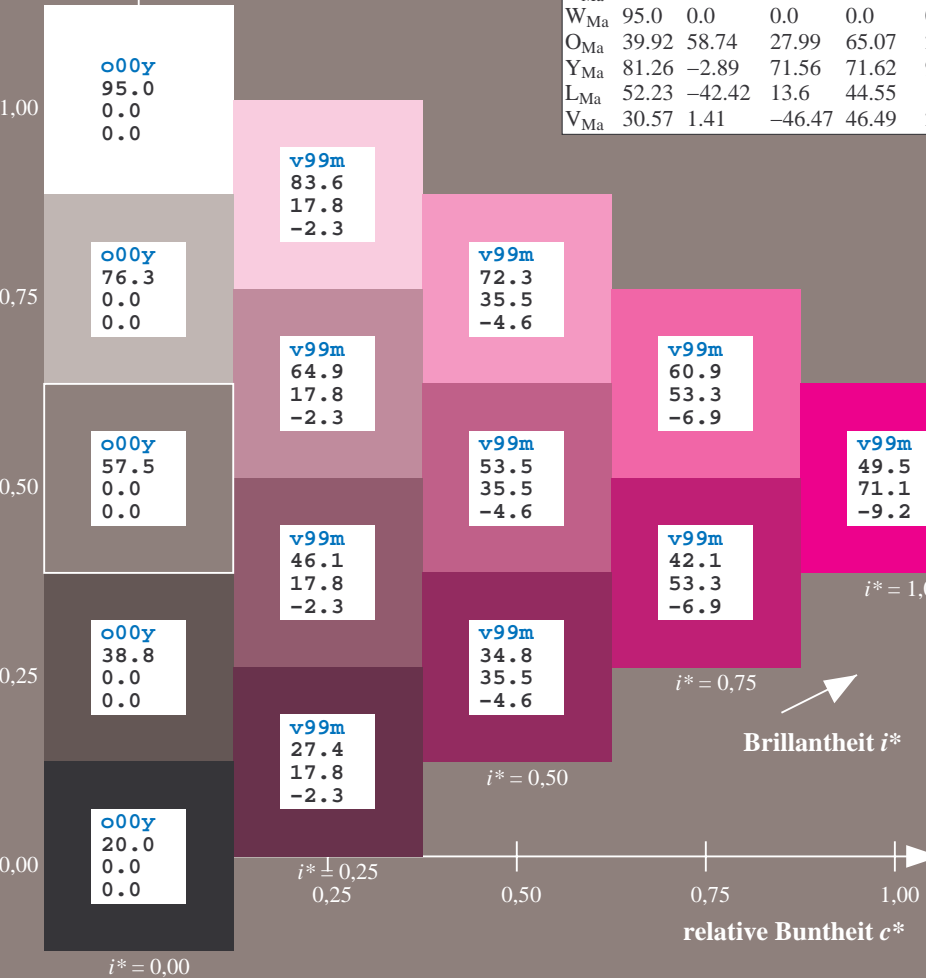
relative Buntheit c^*

relative Buntheit c^*

relative Buntheit c^*

relative Buntheit c^*

relative Buntheit c^*



Ein und Ausgabe: Farbmatisches Drucker-Reflektiv-System ORS20_95a für relativen CIELAB-Bunton $h^* = lab^*h^* = h_{ab}/360 = 0.033$

$u^*_d = m50o$
 $LAB^*LAB^*_a$

Daten für jede Farbe:

lab^*ch^* und lab^*icu^*

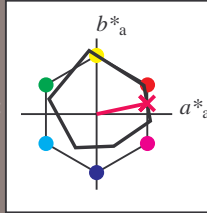
Buntontexte:

$u^*_d = m50o$ $u^*_e = b88r$

Kontrastreduzierungsfaktor:

$c_R = 0.96$

Dreiecks-Helligkeit t^*



ORS20_95a; adaptierte CIELAB-Daten

u^*_d	$L^*=L^*_a$	a^*_a	b^*_a	$C^*_{ab,a}$	$h^*_{ab,a}$
O _{Ma}	48.71	62.56	37.91	73.15	31
Y _{Ma}	89.25	-9.92	83.91	84.49	97
L _{Ma}	52.5	-62.91	19.95	66.0	162
C _{Ma}	59.15	-27.87	-44.43	52.45	238
V _{Ma}	29.13	22.73	-42.44	48.14	298
M _{Ma}	49.51	71.08	-9.19	71.67	353
N _{Ma}	20.0	0.0	0.0	0.0	0
W _{Ma}	95.0	0.0	0.0	0.0	0
O _{Ma}	39.92	58.74	27.99	65.07	25
Y _{Ma}	81.26	-2.89	71.56	71.62	92
L _{Ma}	52.23	-42.42	13.6	44.55	162
V _{Ma}	30.57	1.41	-46.47	46.49	272

Daten für Maximalfarbe (Ma):

$LAB^*LAB^*_Ma$: 49 67 14

$LAB^*LCH^*_Ma$: 49 68 11

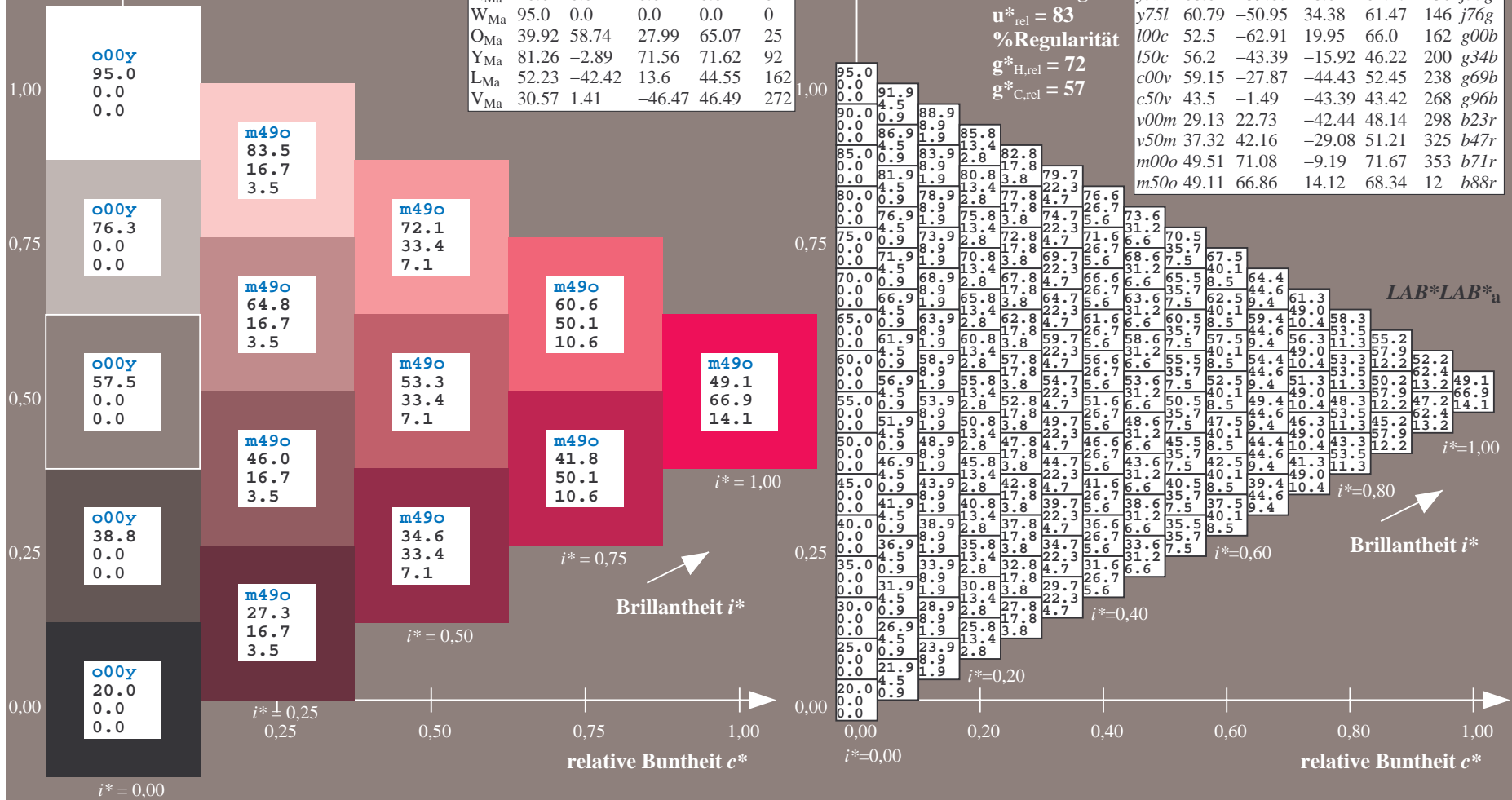
$lab^*olv^*_Ma$: 1.0 0.0 0.5

$lab^*rgb^*_Ma$: 1.0 0.0 0.24

Dreiecks-Helligkeit t^*

ORS20_95a; adaptierte CIELAB-Daten

u^*_d	$L^*=L^*_a$	a^*_a	b^*_a	$C^*_{ab,a}$	$h^*_{ab,a}$	u^*_e
o00y	48.71	62.56	37.91	73.15	31	r08j
o25y	58.6	44.87	49.14	66.54	48	r33j
o50y	67.52	28.93	59.25	65.94	64	r57j
o75y	77.05	11.9	70.06	71.06	80	r81j
y00l	89.25	-9.92	83.91	84.49	97	j06g
y25l	77.37	-27.05	63.23	68.78	113	j30g
y50l	68.62	-39.67	48.0	62.27	130	j53g
y75l	60.79	-50.95	34.38	61.47	146	j76g
l00c	52.5	-62.91	19.95	66.0	162	g00b
l50c	56.2	-43.39	-15.92	46.22	200	g34b
c00v	59.15	-27.87	-44.43	52.45	238	g69b
c50v	43.5	-1.49	-43.39	43.42	268	g96b
v00m	29.13	22.73	-42.44	48.14	298	b23r
v50m	37.32	42.16	-29.08	51.21	325	b47r
m00o	49.51	71.08	-9.19	71.67	353	b71r
m50o	49.11	66.86	14.12	68.34	12	b88r



	A	B	C	D	E	F	G	H	I	J	K	L	M	N	O	P	Q	R	S	T	U	V	W	X	Y	Z	a	b	c	d	e	f	g	h	i	j	k	LAB*LAB*a				
01	20.0	24.1	28.1	32.2	36.2	40.3	44.4	48.4	52.5	23.6	28.7	32.2	36.3	40.4	44.5	48.6	52.7	56.8	27.2	31.9	37.3	40.3	44.3	48.4	52.5	56.7	60.8	95.0	89.2	83.4	77.6	71.9	66.1	60.3	54.5	48.7	20.0	20.0	20.0	20.0		
02	21.1	24.9	29.1	33.2	37.3	41.4	45.5	49.6	53.7	23.7	29.4	33.4	37.5	41.6	45.7	49.8	53.9	57.8	27.3	33.0	38.0	41.5	45.6	49.8	53.9	58.0	62.1	90.5	85.6	79.8	74.1	68.3	62.5	56.7	50.9	45.1	29.4	29.4	29.4	29.4		
03	22.8	23.5	10.8	19.2	27.7	33.3	41.0	48.7	56.5	18.9	0.0	-7.9	-15.7	-23.6	-31.5	-39.4	-47.2	-55.0	16.7	7.8	-1.2	9.9	-17.7	-25.5	-33.3	-41.1	-48.9	-56.7	-64.5	-72.3	-80.1	-87.9	-95.7	-103.5	-111.3	-119.1	-126.9	0.0	0.0	0.0	0.0	
04	22.3	25.9	29.8	33.9	38.1	42.3	46.4	50.6	54.7	24.3	30.5	34.3	38.4	42.6	46.7	50.8	54.9	59.0	27.4	33.1	38.8	42.8	46.9	50.9	55.0	59.1	63.1	86.0	81.1	76.3	70.5	64.7	58.9	53.1	47.3	41.5	38.8	38.8	38.8	38.8		
05	23.6	27.1	31.1	35.2	39.3	43.4	47.5	51.6	55.7	25.4	31.7	35.2	39.2	43.3	47.4	51.5	55.6	59.7	27.7	33.7	39.9	43.6	47.8	52.0	56.1	60.2	64.3	81.6	76.7	71.8	66.9	61.1	55.3	49.5	43.7	37.9	48.1	48.1	48.1	48.1		
06	24.5	23.3	-3.5	-10.5	-18.1	-25.3	-32.5	-39.8	-47.3	21.3	5.7	-0.4	-7.0	-14.5	-21.7	-29.0	-36.4	-43.9	18.7	10.5	2.8	-3.5	-10.8	-18.2	-25.7	-33.3	-41.0	-48.7	-56.4	-64.1	-71.8	-79.5	-87.2	-94.9	-102.6	-110.3	-118.0	-125.7	0.0	0.0	0.0	0.0
07	21.4	28.3	31.7	35.3	39.6	43.7	47.8	52.0	56.2	26.5	32.8	36.5	39.9	44.1	48.2	52.3	56.5	60.7	28.7	34.8	41.0	44.6	48.5	52.7	56.9	61.0	65.2	77.1	72.2	67.3	62.4	57.5	51.7	45.9	40.1	34.4	57.5	57.5	57.5	57.5		
08	20.0	0.0	-7.9	-15.7	-23.6	-31.5	-39.4	-47.2	-55.0	16.7	7.8	-1.2	9.9	-17.7	-25.5	-33.3	-41.1	-48.9	-56.7	15.6	6.7	-1.2	9.9	-17.7	-25.5	-33.3	-41.1	-48.9	-56.7	-64.5	-72.3	-80.1	-87.9	-95.7	-103.5	-111.3	-119.1	-126.9	0.0	0.0	0.0	0.0
09	21.2	25.9	29.8	33.9	38.1	42.3	46.4	50.6	54.7	24.3	30.5	34.3	38.4	42.6	46.7	50.8	54.9	59.0	27.4	33.1	38.8	42.8	46.9	50.9	55.0	59.1	63.1	86.0	81.1	76.3	70.5	64.7	58.9	53.1	47.3	41.5	38.8	38.8	38.8	38.8		
10	22.8	23.5	10.8	19.2	27.7	33.3	41.0	48.7	56.5	18.9	0.0	-7.9	-15.7	-23.6	-31.5	-39.4	-47.2	-55.0	16.7	7.8	-1.2	9.9	-17.7	-25.5	-33.3	-41.1	-48.9	-56.7	-64.5	-72.3	-80.1	-87.9	-95.7	-103.5	-111.3	-119.1	-126.9	0.0	0.0	0.0	0.0	
11	22.3	25.9	29.8	33.9	38.1	42.3	46.4	50.6	54.7	24.3	30.5	34.3	38.4	42.6	46.7	50.8	54.9	59.0	27.4	33.1	38.8	42.8	46.9	50.9	55.0	59.1	63.1	86.0	81.1	76.3	70.5	64.7	58.9	53.1	47.3	41.5	38.8	38.8	38.8	38.8		
12	23.6	27.1	31.1	35.2	39.3	43.4	47.5	51.6	55.7	25.4	31.7	35.2	39.2	43.3	47.4	51.5	55.6	59.7	27.7	33.7	39.9	43.6	47.8	52.0	56.1	60.2	64.3	81.6	76.7	71.8	66.9	61.1	55.3	49.5	43.7	37.9	48.1	48.1	48.1	48.1		
13	24.5	23.3	-3.5	-10.5	-18.1	-25.3	-32.5	-39.8	-47.3	21.3	5.7	-0.4	-7.0	-14.5	-21.7	-29.0	-36.4	-43.9	18.7	10.5	2.8	-3.5	-10.8	-18.2	-25.7	-33.3	-41.0	-48.7	-56.4	-64.1	-71.8	-79.5	-87.2	-94.9	-102.6	-110.3	-118.0	-125.7	0.0	0.0	0.0	0.0
14	21.4	28.3	31.7	35.3	39.6	43.7	47.8	52.0	56.2	26.5	32.8	36.5	39.9	44.1	48.2	52.3	56.5	60.7	28.7	34.8	41.0	44.6	48.5	52.7	56.9	61.0	65.2	77.1	72.2	67.3	62.4	57.5	51.7	45.9	40.1	34.4	57.5	57.5	57.5	57.5		
15	20.0	0.0	-7.9	-15.7	-23.6	-31.5	-39.4	-47.2	-55.0	16.7	7.8	-1.2	9.9	-17.7	-25.5	-33.3	-41.1	-48.9	-56.7	15.6	6.7	-1.2	9.9	-17.7	-25.5	-33.3	-41.1	-48.9	-56.7	-64.5	-72.3	-80.1	-87.9	-95.7	-103.5	-111.3	-119.1	-126.9	0.0	0.0	0.0	0.0
16	21.2	25.9	29.8	33.9	38.1	42.3	46.4	50.6	54.7	24.3	30.5	34.3	38.4	42.6	46.7	50.8	54.9	59.0	27.4	33.1	38.8	42.8	46.9	50.9	55.0	59.1	63.1	86.0	81.1	76.3	70.5	64.7	58.9	53.1	47.3	41.5	38.8	38.8	38.8	38.8		
17	22.8	23.5	10.8	19.2	27.7	33.3	41.0	48.7	56.5	18.9	0.0	-7.9	-15.7	-23.6	-31.5	-39.4	-47.2	-55.0	16.7	7.8	-1.2	9.9	-17.7	-25.5	-33.3	-41.1	-48.9	-56.7	-64.5	-72.3	-80.1	-87.9	-95.7	-103.5	-111.3	-119.1	-126.9	0.0	0.0	0.0	0.0	
18	22.3	25.9	29.8	33.9	38.1	42.3	46.4	50.6	54.7	24.3	30.5	34.3	38.4	42.6	46.7	50.8	54.9	59.0	27.4	33.1	38.8	42.8	46.9	50.9	55.0	59.1	63.1	86.0	81.1	76.3	70.5	64.7	58.9	53.1	47.3	41.5	38.8	38.8	38.8	38.8		
19	23.6	27.1	31.1	35.2	39.3	43.4	47.5	51.6	55.7	25.4	31.7	35.2	39.2	43.3	47.4	51.5	55.6	59.7	27.7	33.7	39.9	43.6	47.8	52.0	56.1	60.2	64.3	81.6	76.7	71.8	66.9	61.1	55.3	49.5	43.7	37.9	48.1	48.1	48.1	48.1		
20	24.5	23.3	-3.5	-10.5	-18.1	-25.3	-32.5	-39.8	-47.3	21.3	5.7	-0.4	-7.0	-14.5	-21.7	-29.0	-36.4	-43.9	18.7	10.5	2.8	-3.5	-10.8	-18.2	-25.7	-33.3	-41.0	-48.7	-56.4	-64.1	-71.8	-79.5	-87.2	-94.9	-102.6	-110.3	-118.0	-125.7	0.0	0.0	0.0	0.0
21	21.4	28.3	31.7	35.3	39.6	43.7	47.8	52.0	56.2	26.5	32.8	36.5	39.9	44.1	48.2	52.3	56.5	60.7	28.7	34.8	41.0	44.6	48.5	52.7	56.9	61.0	65.2	77.1	72.2	67.3	62.4	57.5	51.7	45.9	40.1	34.4	57.5	57.5	57.5	57.5		
22	20.0	0.0	-7.9	-15.7	-23.6	-31.5	-39.4	-47.2	-55.0	16.7	7.8	-1.2	9.9	-17.7	-25.5	-33.3	-41.1	-48.9	-56.7	15.6	6.7	-1.2	9.9	-17.7	-25.5	-33.3	-41.1	-48.9	-56.7	-64.5	-72.3	-80.1	-87.9	-95.7	-103.5	-111.3	-119.1	-126.9	0.0	0.0	0.0	0.0
23	21.2	25.9	29.8	33.9	38.1	42.3	46.4	50.6	54.7	24.3	30.5	34.3	38.4	42.6	46.7	50.8	54.9	59.0	27.4	33.1	38.8	42.8	46.9	50.9	55.0	59.1	63.1	86.0	81.1	76.3	70.5	64.7	58.9	53.1	47.3	41.5	38.8	38.8	38.8	38.8		
24	22.8	23.5	10.8	19.2	27.7	33.3	41.0	48.7	56.5	18.9	0.0	-7.9	-15.7	-23.6	-31.5	-39.4	-47.2	-55.0	16.7	7.8	-1.2	9.9	-17.7	-25.5	-33.3	-41.1	-48.9	-56.7	-64.5	-72.3	-80.1	-87.9	-95.7	-103.5	-111.3	-119.1	-126.9	0.0	0.0	0.0	0.0	
25	22.3	25.9	29.8	33.9	38.1	42.3	46.4	50.6	54.7	24.3	30.5	34.3	38.4	42.6	46.7	50.8	54.9	59.0	27.4	33.1	38.8	42.8	46.9	50.9	55.0	59.1	63.1	86.0	81.1	76.3	70.5	64.7	58.9	53.1	47.3	41.5	38.8	38.8	38.8	38.8		
26	23.6	27.1	31.1	35.2	39.3	43.4	47.5	51.6	55.7	25.4	31.7	35.2	39.2	43.3	47.4	51.5	55.6	59.7	27.7	33.7	39.9	43.6	47.8	52.0	56.1	60.2	64.3	81.6	76.7	71.8	66.9	61.1	55.3	49.5	43.7	37.9	48.1	48.1	48.1	48.1		
27	24.5	23.3	-3.5	-10.5	-18.1	-25.3	-32.5	-39.8	-47.3	21.3	5.7	-0.4	-7.0	-14.5	-21.7	-29.0	-36.4	-43.9	18.7	10.5	2.8	-3.5	-10.8	-18.2	-25.7	-33.3	-41.0	-48.7	-56.4	-64.1	-71.8	-79.5	-87.2	-94.9	-102.6	-110.3	-118.0	-125.7	0.0	0.0	0.0	0.0

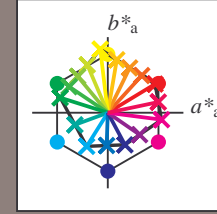
Ein und Ausgabe:
 Farbmetrisches Drucker-Reflektiv-System ORS20_95a

Daten für jede Farbe:
 u^*_d und Nummer *Nr.* = 00 .. 15

Geräte-Bunttextext:
 $u^*_d = 16$ Bunttoene *o00y, o25y, ..., m50o*

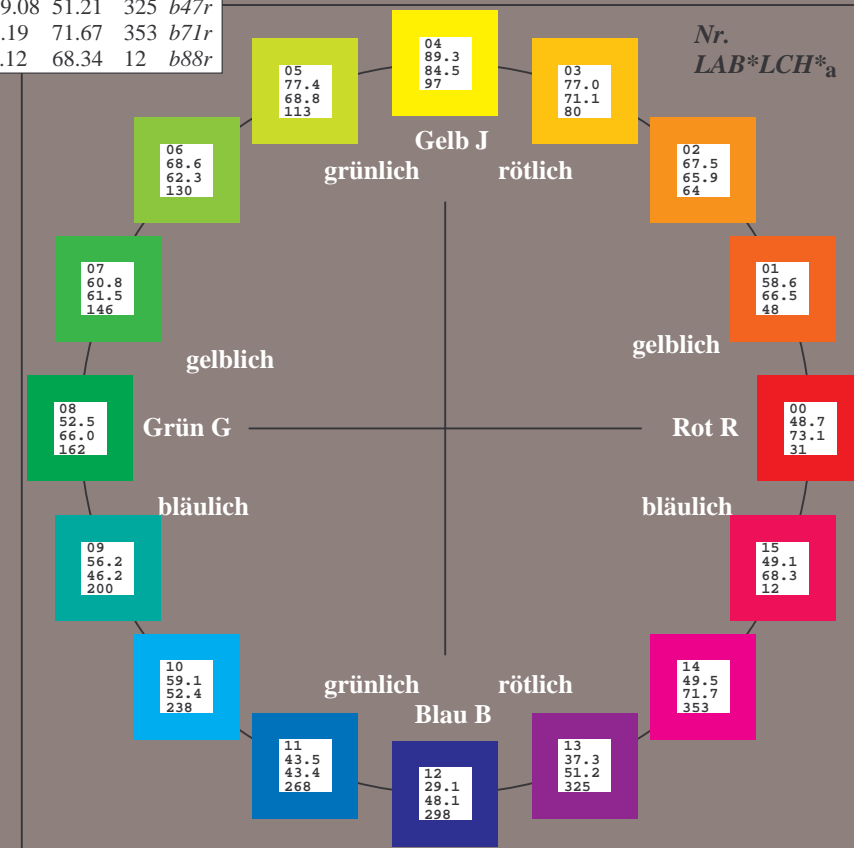
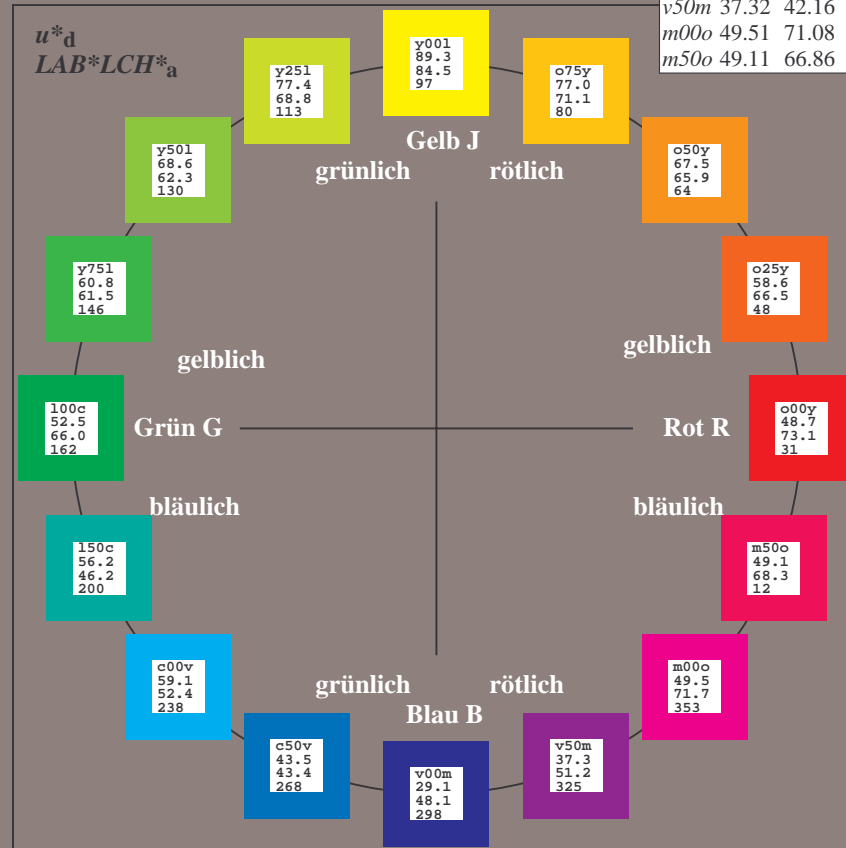
Kontrastreduzierungsfaktor:
 $c_R = 0.96$

ORS20_95a; adaptierte CIELAB-Daten						
u^*_d	$L^*=L^*_a$	a^*_a	b^*_a	$C^*_{ab,a}$	$h^*_{ab,a}$	u^*_e
<i>o00y</i>	48.71	62.56	37.91	73.15	31	<i>r08j</i>
<i>o25y</i>	58.6	44.87	49.14	66.54	48	<i>r33j</i>
<i>o50y</i>	67.52	28.93	59.25	65.94	64	<i>r57j</i>
<i>o75y</i>	77.05	11.9	70.06	71.06	80	<i>r81j</i>
<i>y00l</i>	89.25	-9.92	83.91	84.49	97	<i>j06g</i>
<i>y25l</i>	77.37	-27.05	63.23	68.78	113	<i>j30g</i>
<i>y50l</i>	68.62	-39.67	48.0	62.27	130	<i>j53g</i>
<i>y75l</i>	60.79	-50.95	34.38	61.47	146	<i>j76g</i>
<i>l00c</i>	52.5	-62.91	19.95	66.0	162	<i>g00b</i>
<i>l50c</i>	56.2	-43.39	-15.92	46.22	200	<i>g34b</i>
<i>c00v</i>	59.15	-27.87	-44.43	52.45	238	<i>g69b</i>
<i>c50v</i>	43.5	-1.49	-43.39	43.42	268	<i>g96b</i>
<i>v00m</i>	29.13	22.73	-42.44	48.14	298	<i>b23r</i>
<i>v50m</i>	37.32	42.16	-29.08	51.21	325	<i>b47r</i>
<i>m00o</i>	49.51	71.08	-9.19	71.67	353	<i>b71r</i>
<i>m50o</i>	49.11	66.86	14.12	68.34	12	<i>b88r</i>



%Umfang
 $u^*_{rel} = 83$
 %Regularität
 $g^*_{H,rel} = 72$
 $g^*_{C,rel} = 57$

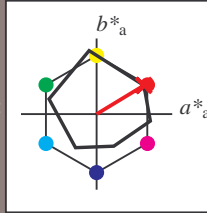
ORS20_95a; adaptierte CIELAB-Daten					
Name	$L^*=L^*_a$	a^*_a	b^*_a	$C^*_{ab,a}$	$h^*_{ab,a}$
O _{Ma}	48.71	62.56	37.91	73.15	31
Y _{Ma}	89.25	-9.92	83.91	84.49	97
L _{Ma}	52.5	-62.91	19.95	66.0	162
C _{Ma}	59.15	-27.87	-44.43	52.45	238
V _{Ma}	29.13	22.73	-42.44	48.14	298
M _{Ma}	49.51	71.08	-9.19	71.67	353
N _{Ma}	20.0	0.0	0.0	0.0	0
W _{Ma}	95.0	0.0	0.0	0.0	0
O _{CIE}	39.92	58.74	27.99	65.07	25
Y _{CIE}	81.26	-2.89	71.56	71.62	92
L _{CIE}	52.23	-42.42	13.6	44.55	162
V _{CIE}	30.57	1.41	-46.47	46.49	272



Ein und Ausgabe: Farbmatisches Drucker-Reflektiv-System ORS20_95a für relativen CIELAB-Bunton $h^* = lab^*h^* = h_{ab}/360 = 0.087$

$u^*_d = o00y$
 $LAB^*LCH^*_a$

Daten für jede Farbe:
 lab^*tch^* und lab^*icu^*
Bunntexte:
 $u^*_d = o00y$ $u^*_e = r08j$
Kontrastreduzierungsfaktor:
 $c_R = 0.96$
Dreiecks-Helligkeit t^*



ORS20_95a; adaptierte CIELAB-Daten

	u^*_d	$L^*=L^*_a$	a^*_a	b^*_a	$C^*_{ab,a}$	$h^*_{ab,a}$
O _{Ma}	48.71	62.56	37.91	73.15	31	
Y _{Ma}	89.25	-9.92	83.91	84.49	97	
L _{Ma}	52.5	-62.91	19.95	66.0	162	
C _{Ma}	59.15	-27.87	-44.43	52.45	238	
V _{Ma}	29.13	22.73	-42.44	48.14	298	
M _{Ma}	49.51	71.08	-9.19	71.67	353	
N _{Ma}	20.0	0.0	0.0	0.0	0	
W _{Ma}	95.0	0.0	0.0	0.0	0	
O _{Ma}	39.92	58.74	27.99	65.07	25	
Y _{Ma}	81.26	-2.89	71.56	71.62	92	
L _{Ma}	52.23	-42.42	13.6	44.55	162	
V _{Ma}	30.57	1.41	-46.47	46.49	272	

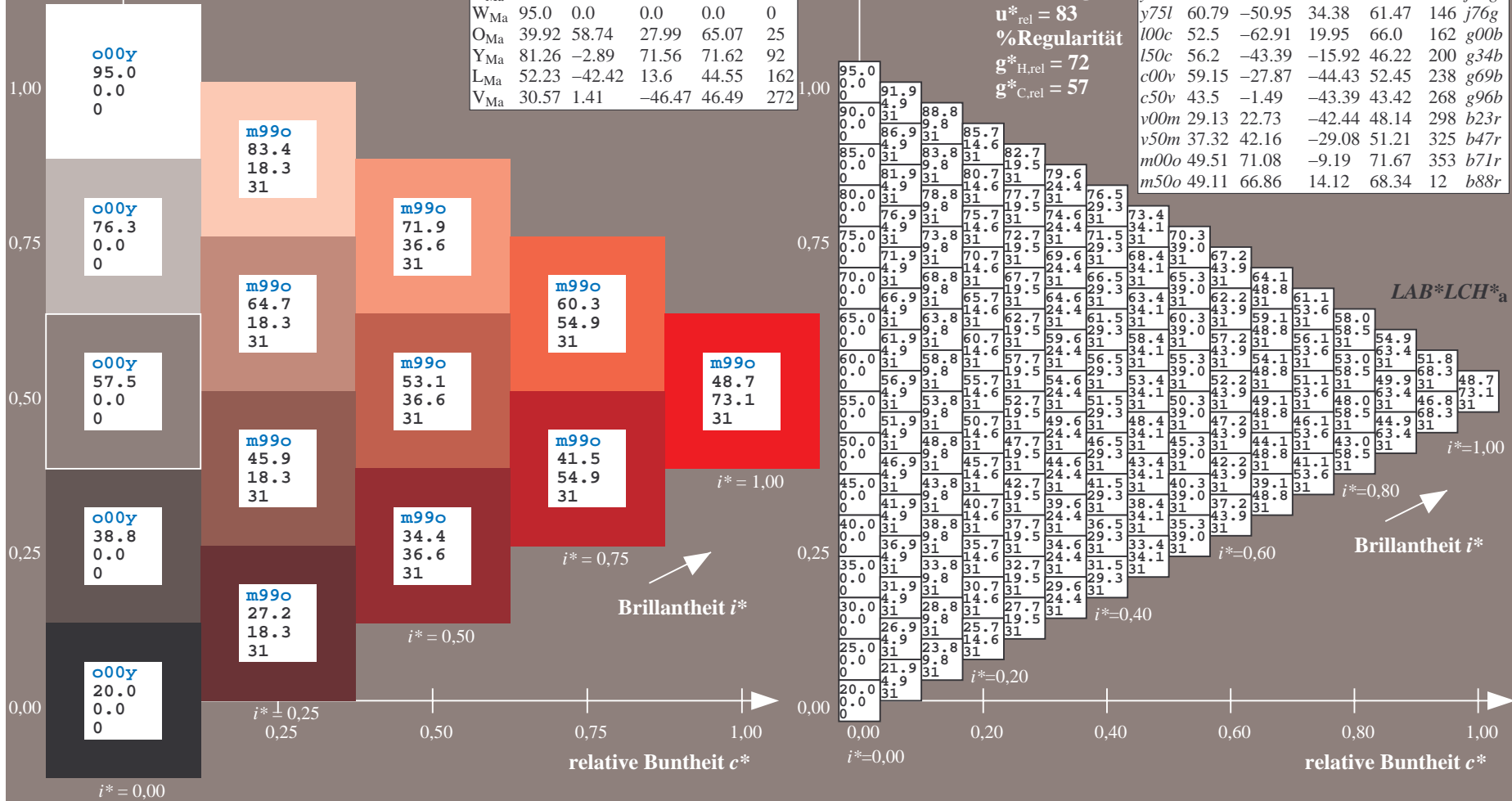
Daten für Maximalfarbe (Ma):

$LAB^*LAB^*_Ma: 49\ 63\ 38$
 $LAB^*LCH^*_Ma: 49\ 73\ 31$
 $lab^*olv^*_Ma: 1.0\ 0.0\ 0.0$
 $lab^*rgb^*_Ma: 1.0\ 0.09\ 0.0$

ORS20_95a; adaptierte CIELAB-Daten

	u^*_d	$L^*=L^*_a$	a^*_a	b^*_a	$C^*_{ab,a}$	$h^*_{ab,a}$	u^*_e
o00y	48.71	62.56	37.91	73.15	31		r08j
o25y	58.6	44.87	49.14	66.54	48		r33j
o50y	67.52	28.93	59.25	65.94	64		r57j
o75y	77.05	11.9	70.06	71.06	80		r81j
y00l	89.25	-9.92	83.91	84.49	97		j06g
y25l	77.37	-27.05	63.23	68.78	113		j30g
y50l	68.62	-39.67	48.0	62.27	130		j53g
y75l	60.79	-50.95	34.38	61.47	146		j76g
l00c	52.5	-62.91	19.95	66.0	162		g00b
l50c	56.2	-43.39	-15.92	46.22	200		g34b
c00v	59.15	-27.87	-44.43	52.45	238		g69b
c50v	43.5	-1.49	-43.39	43.42	268		g96b
v00m	29.13	22.73	-42.44	48.14	298		b23r
v50m	37.32	42.16	-29.08	51.21	325		b47r
m00o	49.51	71.08	-9.19	71.67	353		b71r
m50o	49.11	66.86	14.12	68.34	12		b88r

Dreiecks-Helligkeit t^*
%Umfang
 $u^*_{rel} = 83$
%Regularität
 $g^*_{H,rel} = 72$
 $g^*_{C,rel} = 57$



Ein und Ausgabe: Farbmatisches Drucker-Reflektiv-System ORS20_95a für relativen CIELAB-Bunton $h^* = \text{lab}^*h^* = h_{ab}/360 = 0.132$

Daten für jede Farbe:

lab^*tch^* und lab^*icu^*

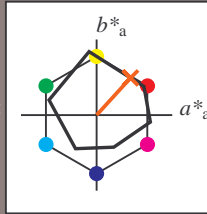
Buntontexte:

$u^*_d = o25y$ $u^*_e = r33j$

Kontrastreduzierungsfaktor:

$c_R = 0.96$

Dreiecks-Helligkeit t^*



ORS20_95a; adaptierte CIELAB-Daten

u^*_d	$L^*=L^*_a$	a^*_a	b^*_a	$C^*_{ab,a}$	$h^*_{ab,a}$
O _{Ma}	48.71	62.56	37.91	73.15	31
Y _{Ma}	89.25	-9.92	83.91	84.49	97
L _{Ma}	52.5	-62.91	19.95	66.0	162
C _{Ma}	59.15	-27.87	-44.43	52.45	238
V _{Ma}	29.13	22.73	-42.44	48.14	298
M _{Ma}	49.51	71.08	-9.19	71.67	353
N _{Ma}	20.0	0.0	0.0	0.0	0
W _{Ma}	95.0	0.0	0.0	0.0	0
O _{Ma}	39.92	58.74	27.99	65.07	25
Y _{Ma}	81.26	-2.89	71.56	71.62	92
L _{Ma}	52.23	-42.42	13.6	44.55	162
V _{Ma}	30.57	1.41	-46.47	46.49	272

Daten für Maximalfarbe (Ma):

$\text{LAB}^*\text{LAB}^*_{Ma}$: 59 45 49

$\text{LAB}^*\text{LCH}^*_{Ma}$: 59 67 47

$\text{lab}^*\text{olv}^*_{Ma}$: 1.0 0.25 0.0

$\text{lab}^*\text{rgb}^*_{Ma}$: 1.0 0.33 0.0

Dreiecks-Helligkeit t^*

%Umfang

$u^*_{rel} = 83$

%Regularität

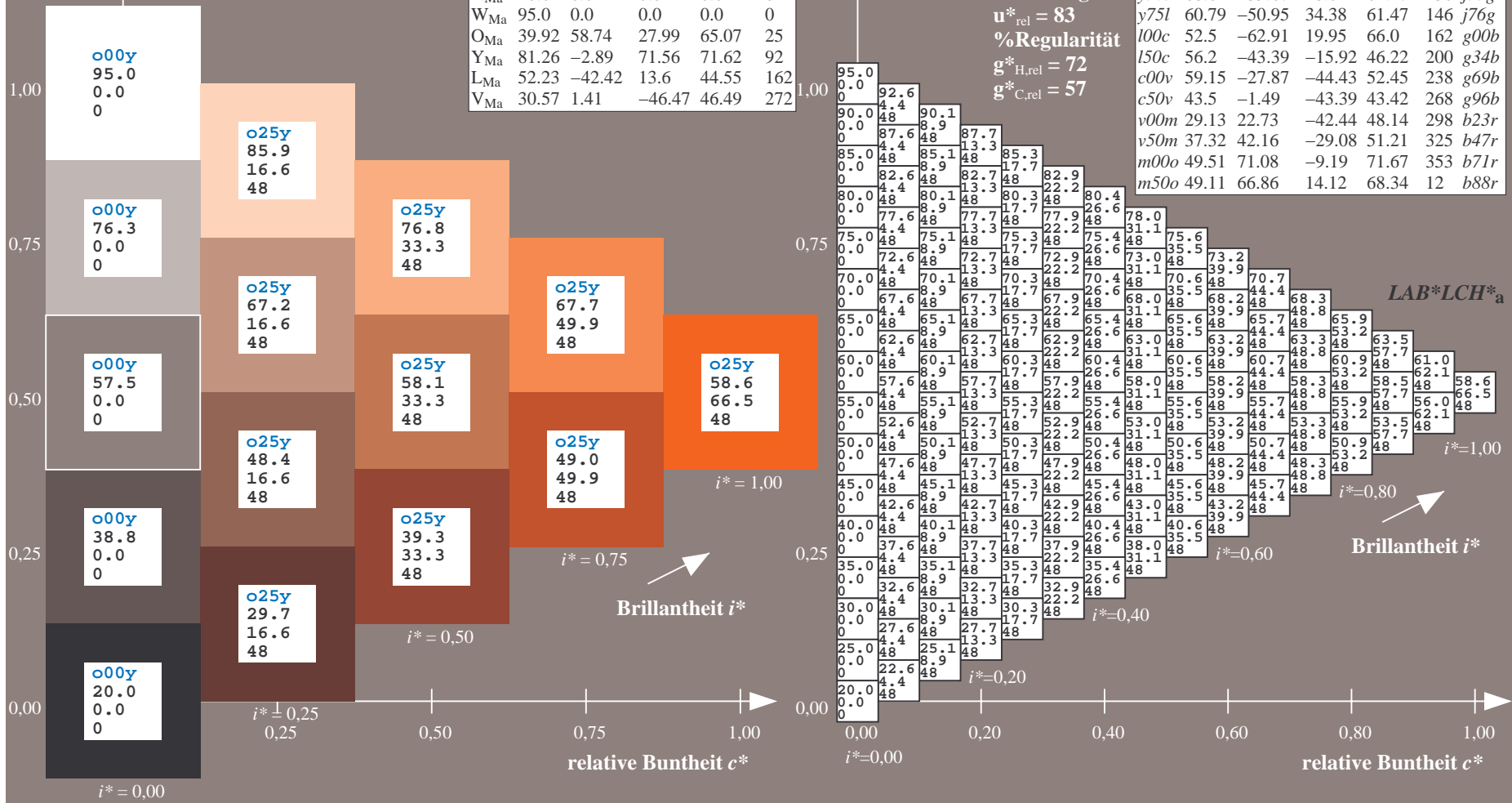
$g^*_{H,rel} = 72$

$g^*_{C,rel} = 57$

$u^*_d = o25y$
 $\text{LAB}^*\text{LCH}^*_a$

ORS20_95a; adaptierte CIELAB-Daten

u^*_d	$L^*=L^*_a$	a^*_a	b^*_a	$C^*_{ab,a}$	$h^*_{ab,a}$	u^*_e
o00y	48.71	62.56	37.91	73.15	31	r08j
o25y	58.6	44.87	49.14	66.54	48	r33j
o50y	67.52	28.93	59.25	65.94	64	r57j
o75y	77.05	11.9	70.06	71.06	80	r81j
y00l	89.25	-9.92	83.91	84.49	97	j06g
y25l	77.37	-27.05	63.23	68.78	113	j30g
y50l	68.62	-39.67	48.0	62.27	130	j53g
y75l	60.79	-50.95	34.38	61.47	146	j76g
l00c	52.5	-62.91	19.95	66.0	162	g00b
l50c	56.2	-43.39	-15.92	46.22	200	g34b
c00v	59.15	-27.87	-44.43	52.45	238	g69b
c50v	43.5	-1.49	-43.39	43.42	268	g96b
v00m	29.13	22.73	-42.44	48.14	298	b23r
v50m	37.32	42.16	-29.08	51.21	325	b47r
m00o	49.51	71.08	-9.19	71.67	353	b71r
m50o	49.11	66.86	14.12	68.34	12	b88r



Ein und Ausgabe: Farbmetrisches Drucker-Reflektiv-System ORS20_95a für relativen CIELAB-Bunton $h^* = \text{lab}^*h^* = h_{ab}/360 = 0.178$

$u^*_d = 0.50y$
LAB*LCH*_a

Daten für jede Farbe:

lab^*tch^* und lab^*icu^*

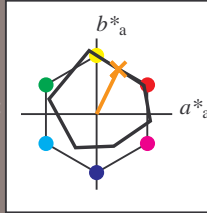
Buntontexte:

$u^*_d = 0.50y$ $u^*_e = r57j$

Kontrastreduzierungsfaktor:

$c_R = 0.96$

Dreiecks-Helligkeit t^*



ORS20_95a; adaptierte CIELAB-Daten

	u^*_d	$L^*=L^*_a$	a^*_a	b^*_a	$C^*_{ab,a}$	$h^*_{ab,a}$
O _{Ma}	48.71	62.56	37.91	73.15	31	
Y _{Ma}	89.25	-9.92	83.91	84.49	97	
L _{Ma}	52.5	-62.91	19.95	66.0	162	
C _{Ma}	59.15	-27.87	-44.43	52.45	238	
V _{Ma}	29.13	22.73	-42.44	48.14	298	
M _{Ma}	49.51	71.08	-9.19	71.67	353	
N _{Ma}	20.0	0.0	0.0	0.0	0	
W _{Ma}	95.0	0.0	0.0	0.0	0	
O _{Ma}	39.92	58.74	27.99	65.07	25	
Y _{Ma}	81.26	-2.89	71.56	71.62	92	
L _{Ma}	52.23	-42.42	13.6	44.55	162	
V _{Ma}	30.57	1.41	-46.47	46.49	272	

Daten für Maximalfarbe (Ma):

LAB*LAB*_{Ma}: 68 29 59

LAB*LCH*_{Ma}: 68 66 63

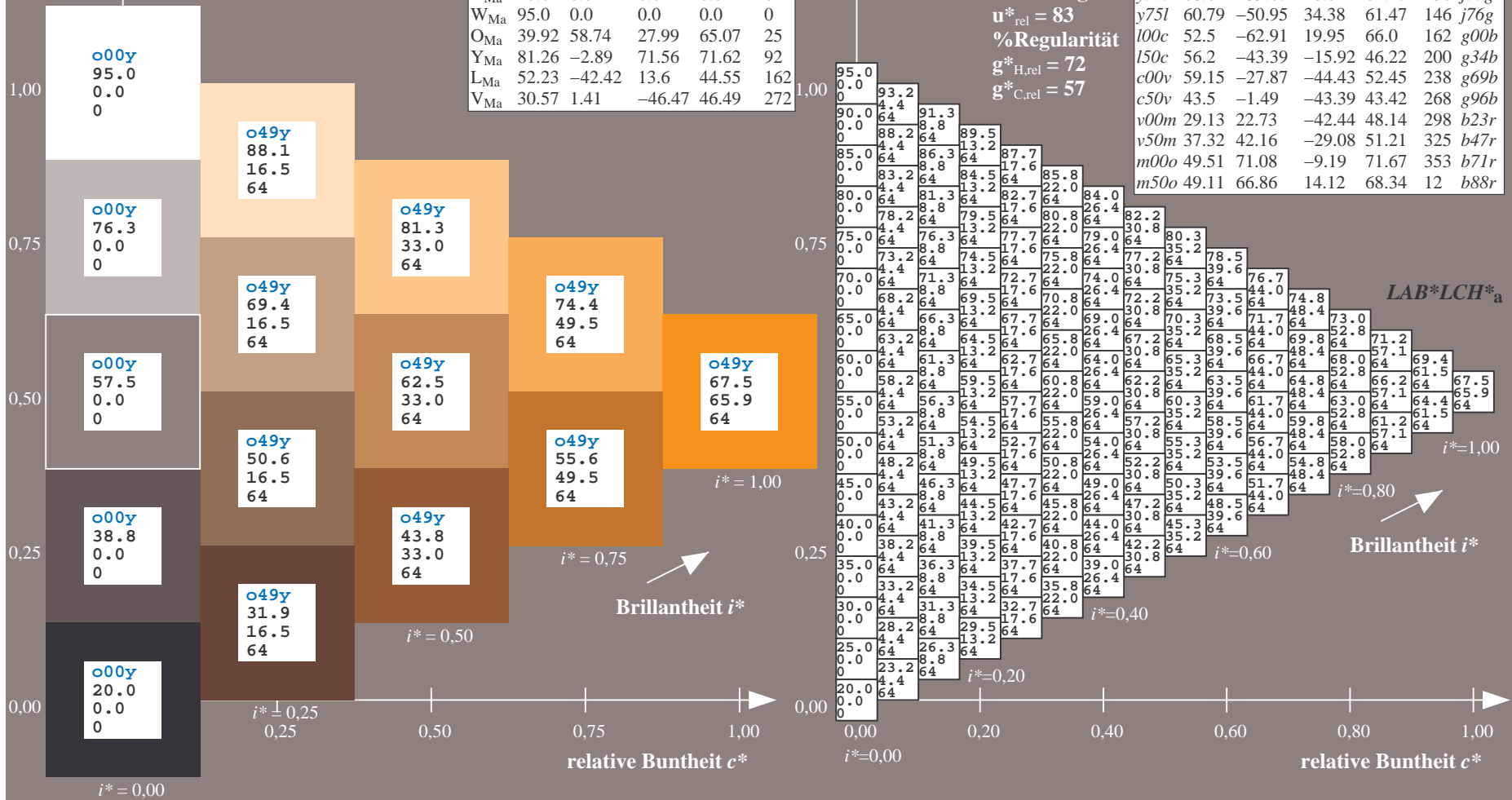
lab*olv*_{Ma}: 1.0 0.5 0.0

lab*rgb*_{Ma}: 1.0 0.58 0.0

Dreiecks-Helligkeit t^*

ORS20_95a; adaptierte CIELAB-Daten

	u^*_d	$L^*=L^*_a$	a^*_a	b^*_a	$C^*_{ab,a}$	$h^*_{ab,a}$	u^*_e
o00y	48.71	62.56	37.91	73.15	31		r08j
o25y	58.6	44.87	49.14	66.54	48		r33j
o50y	67.52	28.93	59.25	65.94	64		r57j
o75y	77.05	11.9	70.06	71.06	80		r8lj
y00l	89.25	-9.92	83.91	84.49	97		j06g
y25l	77.37	-27.05	63.23	68.78	113		j30g
y50l	68.62	-39.67	48.0	62.27	130		j53g
y75l	60.79	-50.95	34.38	61.47	146		j76g
l00c	52.5	-62.91	19.95	66.0	162		g00b
l50c	56.2	-43.39	-15.92	46.22	200		g34b
c00v	59.15	-27.87	-44.43	52.45	238		g69b
c50v	43.5	-1.49	-43.39	43.42	268		g96b
v00m	29.13	22.73	-42.44	48.14	298		b23r
v50m	37.32	42.16	-29.08	51.21	325		b47r
m00o	49.51	71.08	-9.19	71.67	353		b71r
m50o	49.11	66.86	14.12	68.34	12		b88r



Ein und Ausgabe: Farbmetrisches Drucker-Reflektiv-System ORS20_95a für relativen CIELAB-Bunton $h^* = lab^*h^* = h_{ab}/360 = 0.223$

Daten für jede Farbe:

lab^*tch^* und lab^*icu^*

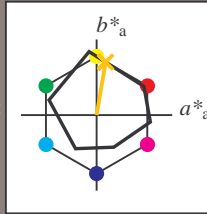
Buntontexte:

$u^*_d = 0.75y$ $u^*_e = r8lj$

Kontrastreduzierungsfaktor:

$c_R = 0.96$

Dreiecks-Helligkeit t^*



ORS20_95a; adaptierte CIELAB-Daten

u^*_d	$L^*=L^*_a$	a^*_a	b^*_a	$C^*_{ab,a}$	$h^*_{ab,a}$
O _{Ma}	48.71	62.56	37.91	73.15	31
Y _{Ma}	89.25	-9.92	83.91	84.49	97
L _{Ma}	52.5	-62.91	19.95	66.0	162
C _{Ma}	59.15	-27.87	-44.43	52.45	238
V _{Ma}	29.13	22.73	-42.44	48.14	298
M _{Ma}	49.51	71.08	-9.19	71.67	353
N _{Ma}	20.0	0.0	0.0	0.0	0
W _{Ma}	95.0	0.0	0.0	0.0	0
O _{Ma}	39.92	58.74	27.99	65.07	25
Y _{Ma}	81.26	-2.89	71.56	71.62	92
L _{Ma}	52.23	-42.42	13.6	44.55	162
V _{Ma}	30.57	1.41	-46.47	46.49	272

Daten für Maximalfarbe (Ma):

$LAB^*LAB^*_{Ma}$: 77 12 70

$LAB^*LCH^*_{Ma}$: 77 71 80

$lab^*olv^*_{Ma}$: 1.0 0.75 0.0

$lab^*rgb^*_{Ma}$: 1.0 0.82 0.0

Dreiecks-Helligkeit t^*

%Umfang

$u^*_{rel} = 83$

%Regularität

$g^*_{H,rel} = 72$

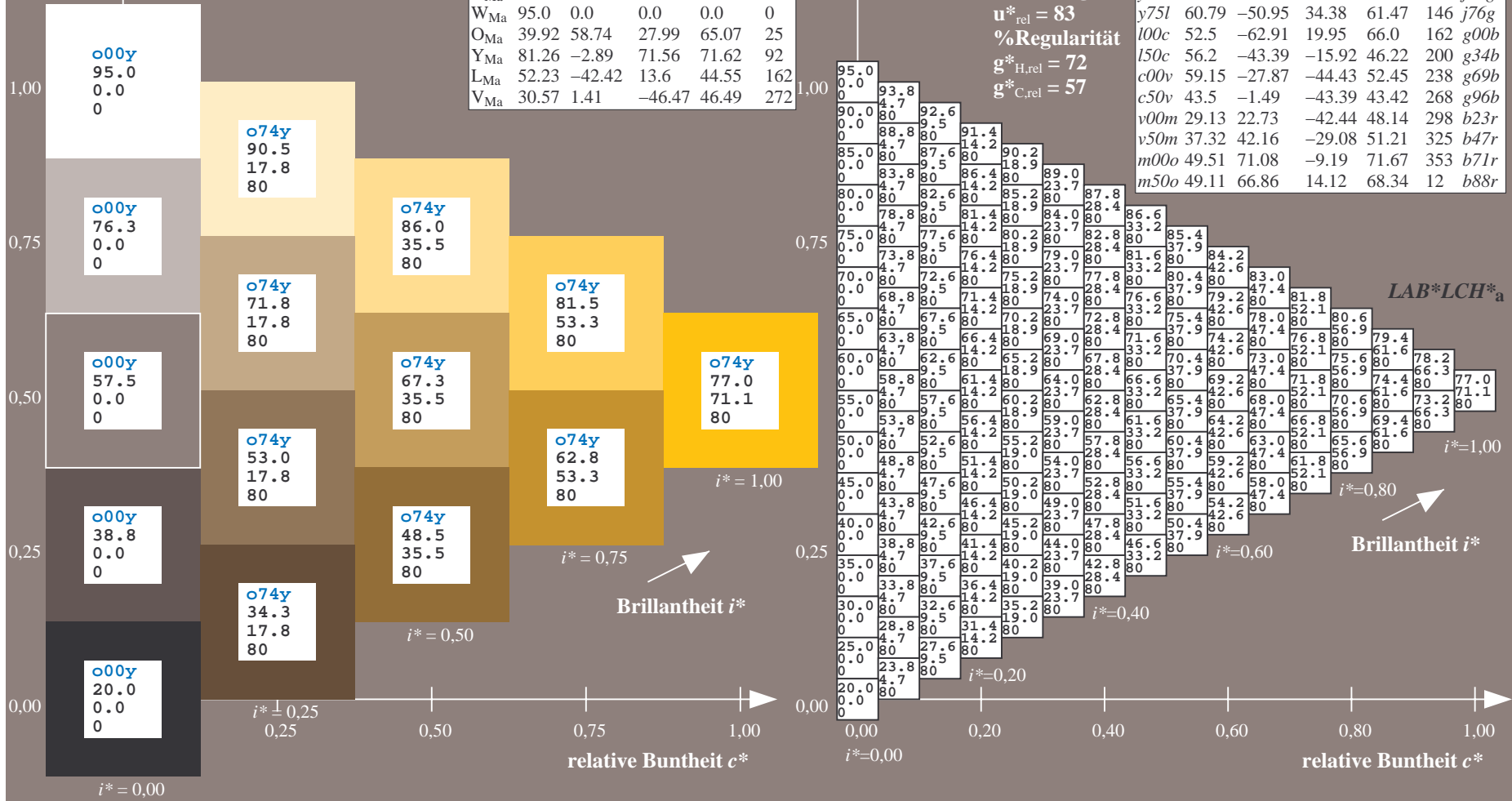
$g^*_{C,rel} = 57$

$u^*_d = 0.75y$
 $LAB^*LCH^*_a$

ORS20_95a; adaptierte CIELAB-Daten

u^*_d	$L^*=L^*_a$	a^*_a	b^*_a	$C^*_{ab,a}$	$h^*_{ab,a}$	u^*_e
o00y	48.71	62.56	37.91	73.15	31	r08j
o25y	58.6	44.87	49.14	66.54	48	r33j
o50y	67.52	28.93	59.25	65.94	64	r57j
o75y	77.05	11.9	70.06	71.06	80	r8lj
y00l	89.25	-9.92	83.91	84.49	97	j06g
y25l	77.37	-27.05	63.23	68.78	113	j30g
y50l	68.62	-39.67	48.0	62.27	130	j53g
y75l	60.79	-50.95	34.38	61.47	146	j76g
l00c	52.5	-62.91	19.95	66.0	162	g00b
l50c	56.2	-43.39	-15.92	46.22	200	g34b
c00v	59.15	-27.87	-44.43	52.45	238	g69b
c50v	43.5	-1.49	-43.39	43.42	268	g96b
v00m	29.13	22.73	-42.44	48.14	298	b23r
v50m	37.32	42.16	-29.08	51.21	325	b47r
m00o	49.51	71.08	-9.19	71.67	353	b71r
m50o	49.11	66.86	14.12	68.34	12	b88r

$LAB^*LCH^*_a$



Ein und Ausgabe: Farbmatisches Drucker-Reflektiv-System ORS20_95a für relativen CIELAB-Bunton $h^* = lab^*h^* = h_{ab}/360 = 0.269$

Daten für jede Farbe:

lab^*tch^* und lab^*icu^*

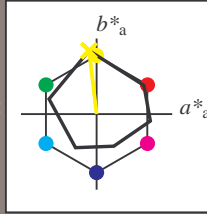
Buntontexte:

$u^*_d = y00l$ $u^*_e = j06g$

Kontrastreduzierungsfaktor:

$c_R = 0.96$

Dreiecks-Helligkeit t^*



ORS20_95a; adaptierte CIELAB-Daten

u^*_d	$L^*=L^*_a$	a^*_a	b^*_a	$C^*_{ab,a}$	$h^*_{ab,a}$
O _{Ma}	48.71	62.56	37.91	73.15	31
Y _{Ma}	89.25	-9.92	83.91	84.49	97
L _{Ma}	52.5	-62.91	19.95	66.0	162
C _{Ma}	59.15	-27.87	-44.43	52.45	238
V _{Ma}	29.13	22.73	-42.44	48.14	298
M _{Ma}	49.51	71.08	-9.19	71.67	353
N _{Ma}	20.0	0.0	0.0	0.0	0
W _{Ma}	95.0	0.0	0.0	0.0	0
O _{Ma}	39.92	58.74	27.99	65.07	25
Y _{Ma}	81.26	-2.89	71.56	71.62	92
L _{Ma}	52.23	-42.42	13.6	44.55	162
V _{Ma}	30.57	1.41	-46.47	46.49	272

$u^*_d = y00l$
 $LAB^*LCH^*_a$

Daten für Maximalfarbe (Ma):

$LAB^*LAB^*_Ma: 89 -10 84$

$LAB^*LCH^*_Ma: 89 84 96$

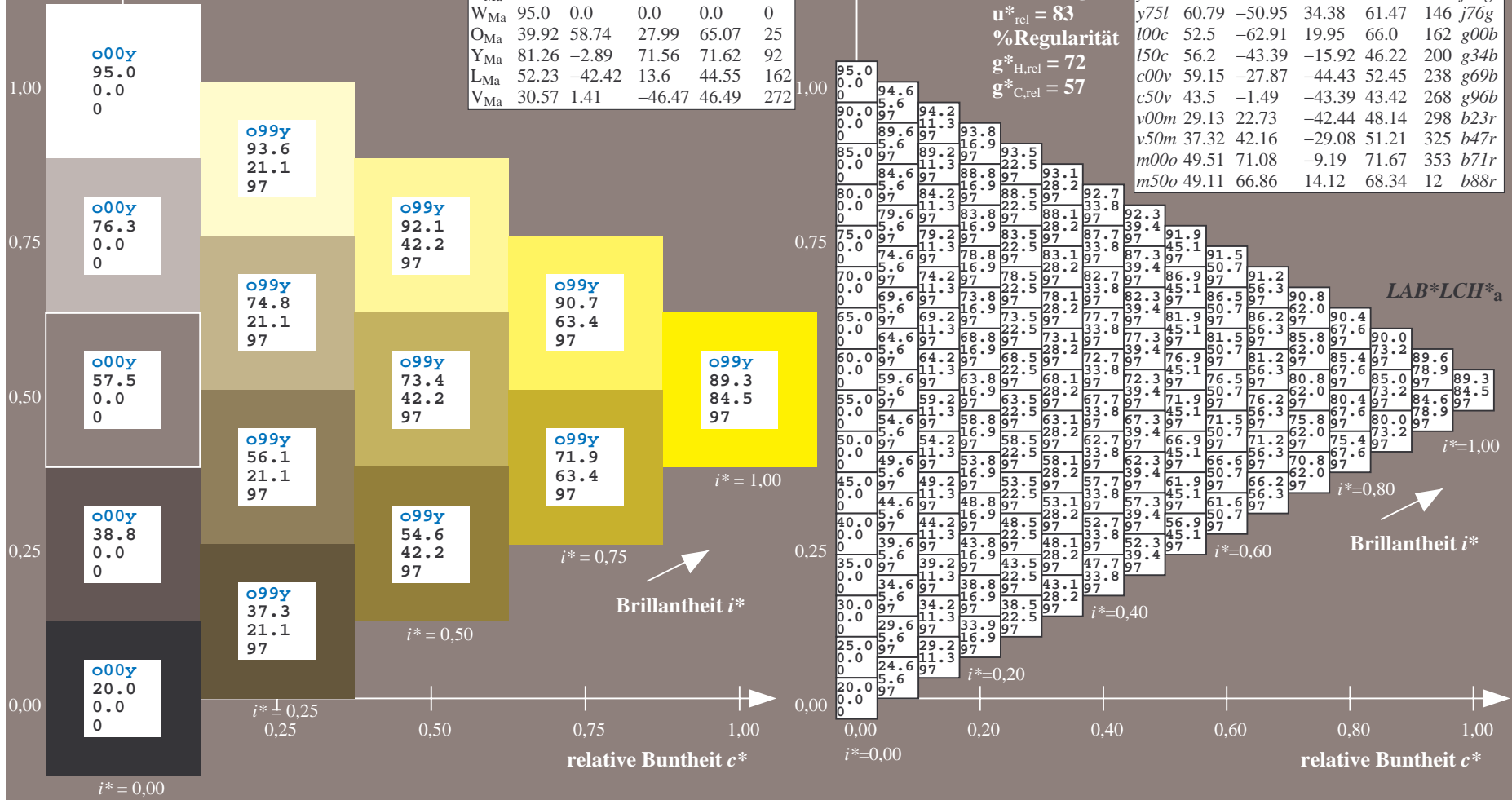
$lab^*olv^*_Ma: 1.0 1.0 0.0$

$lab^*rgb^*_Ma: 0.94 1.0 0.0$

Dreiecks-Helligkeit t^*

ORS20_95a; adaptierte CIELAB-Daten

u^*_d	$L^*=L^*_a$	a^*_a	b^*_a	$C^*_{ab,a}$	$h^*_{ab,a}$	u^*_e
o00y	95.0	0.0	0.0			r08j
o25y	58.6	44.87	49.14	66.54	48	r33j
o50y	67.52	28.93	59.25	65.94	64	r57j
o75y	77.05	11.9	70.06	71.06	80	r81j
y00l	89.25	-9.92	83.91	84.49	97	j06g
y25l	77.37	-27.05	63.23	68.78	113	j30g
y50l	68.62	-39.67	48.0	62.27	130	j53g
y75l	60.79	-50.95	34.38	61.47	146	j76g
l00c	52.5	-62.91	19.95	66.0	162	g00b
l50c	56.2	-43.39	-15.92	46.22	200	g34b
c00v	59.15	-27.87	-44.43	52.45	238	g69b
c50v	43.5	-1.49	-43.39	43.42	268	g96b
v00m	29.13	22.73	-42.44	48.14	298	b23r
v50m	37.32	42.16	-29.08	51.21	325	b47r
m00o	49.51	71.08	-9.19	71.67	353	b71r
m50o	49.11	66.86	14.12	68.34	12	b88r



Ein und Ausgabe: Farbmatisches Drucker-Reflektiv-System ORS20_95a für relativen CIELAB-Bunton $h^* = \text{lab}^*h^* = h_{ab}/360 = 0.314$

$u^*_d = y25l$
 $\text{LAB}^*\text{LCH}^*_a$

Daten für jede Farbe:

lab^*tch^* und lab^*icu^*

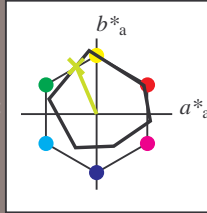
Buntontexte:

$u^*_d = y25l$ $u^*_e = j30g$

Kontrastreduzierungsfaktor:

$c_R = 0.96$

Dreiecks-Helligkeit t^*



ORS20_95a; adaptierte CIELAB-Daten

u^*_d	$L^*=L^*_a$	a^*_a	b^*_a	$C^*_{ab,a}$	$h^*_{ab,a}$
O _{Ma}	48.71	62.56	37.91	73.15	31
Y _{Ma}	89.25	-9.92	83.91	84.49	97
L _{Ma}	52.5	-62.91	19.95	66.0	162
C _{Ma}	59.15	-27.87	-44.43	52.45	238
V _{Ma}	29.13	22.73	-42.44	48.14	298
M _{Ma}	49.51	71.08	-9.19	71.67	353
N _{Ma}	20.0	0.0	0.0	0.0	0
W _{Ma}	95.0	0.0	0.0	0.0	0
O _{Ma}	39.92	58.74	27.99	65.07	25
Y _{Ma}	81.26	-2.89	71.56	71.62	92
L _{Ma}	52.23	-42.42	13.6	44.55	162
V _{Ma}	30.57	1.41	-46.47	46.49	272

Daten für Maximalfarbe (Ma):

$\text{LAB}^*\text{LAB}^*_{Ma}: 77 -27 63$

$\text{LAB}^*\text{LCH}^*_{Ma}: 77 69 113$

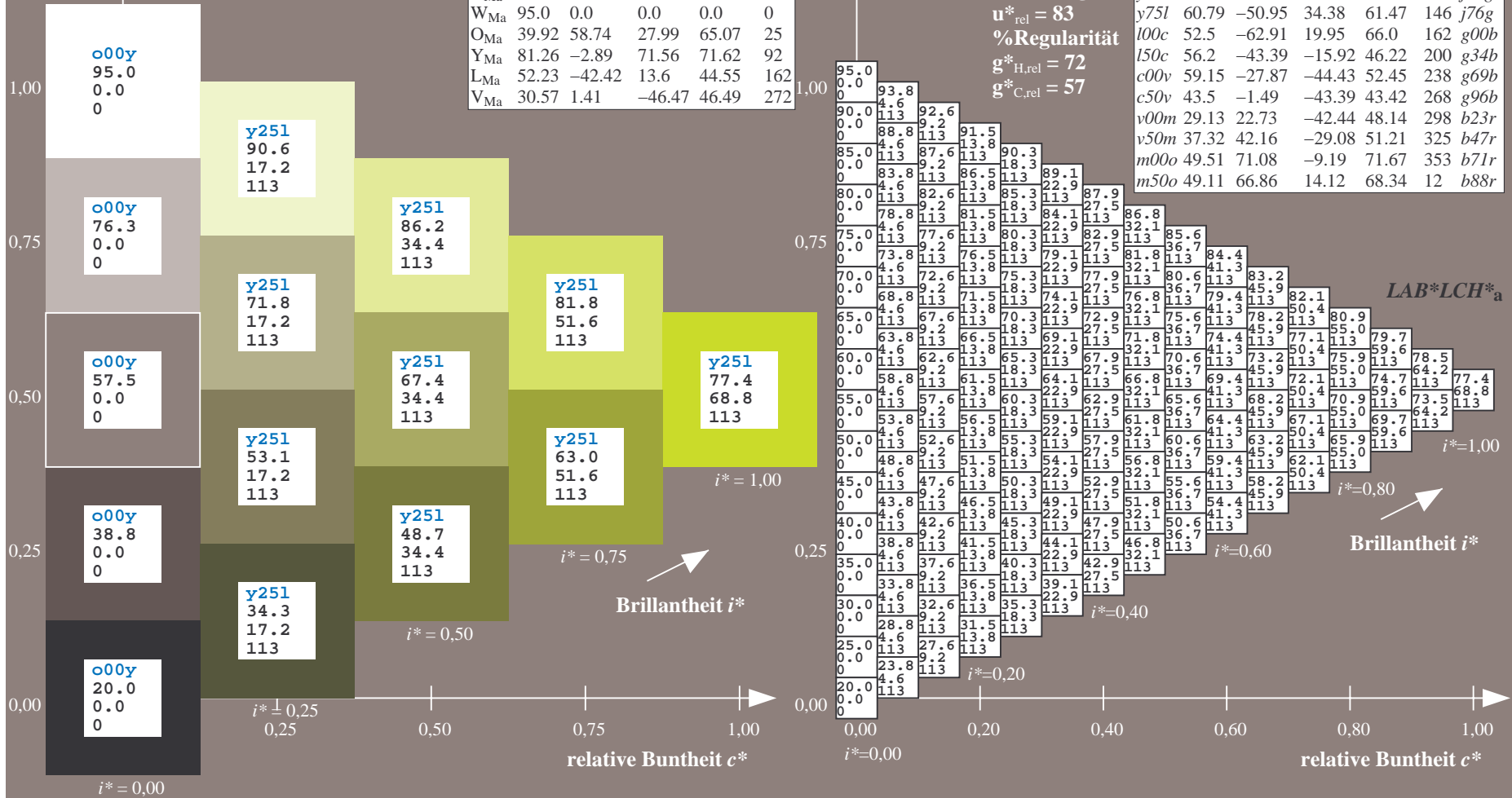
$\text{lab}^*\text{olv}^*_{Ma}: 0.75 1.0 0.0$

$\text{lab}^*\text{rgb}^*_{Ma}: 0.7 1.0 0.0$

Dreiecks-Helligkeit t^*

ORS20_95a; adaptierte CIELAB-Daten

u^*_d	$L^*=L^*_a$	a^*_a	b^*_a	$C^*_{ab,a}$	$h^*_{ab,a}$	u^*_e
o00y	48.71	62.56	37.91	73.15	31	r08j
o25y	58.6	44.87	49.14	66.54	48	r33j
o50y	67.52	28.93	59.25	65.94	64	r57j
o75y	77.05	11.9	70.06	71.06	80	r81j
y00l	89.25	-9.92	83.91	84.49	97	j06g
y25l	77.37	-27.05	63.23	68.78	113	j30g
y50l	68.62	-39.67	48.0	62.27	130	j53g
y75l	60.79	-50.95	34.38	61.47	146	j76g
l00c	52.5	-62.91	19.95	66.0	162	g00b
l50c	56.2	-43.39	-15.92	46.22	200	g34b
c00v	59.15	-27.87	-44.43	52.45	238	g69b
c50v	43.5	-1.49	-43.39	43.42	268	g96b
v00m	29.13	22.73	-42.44	48.14	298	b23r
v50m	37.32	42.16	-29.08	51.21	325	b47r
m00o	49.51	71.08	-9.19	71.67	353	b71r
m50o	49.11	66.86	14.12	68.34	12	b88r



Ein und Ausgabe: Farbmatisches Drucker-Reflektiv-System ORS20_95a für relativen CIELAB-Bunton $h^* = lab^*h^* = h_{ab}/360 = 0.36$

Daten für jede Farbe:

lab^*tch^* und lab^*icu^*

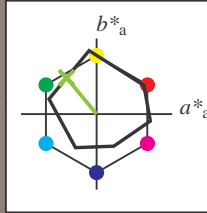
Buntontexte:

$u^*_d = y50l$ $u^*_e = j53g$

Kontrastreduzierungsfaktor:

$c_R = 0.96$

Dreiecks-Helligkeit t^*



ORS20_95a; adaptierte CIELAB-Daten

u^*_d	$L^*=L^*_a$	a^*_a	b^*_a	$C^*_{ab,a}$	$h^*_{ab,a}$
O _{Ma}	48.71	62.56	37.91	73.15	31
Y _{Ma}	89.25	-9.92	83.91	84.49	97
L _{Ma}	52.5	-62.91	19.95	66.0	162
C _{Ma}	59.15	-27.87	-44.43	52.45	238
V _{Ma}	29.13	22.73	-42.44	48.14	298
M _{Ma}	49.51	71.08	-9.19	71.67	353
N _{Ma}	20.0	0.0	0.0	0.0	0
W _{Ma}	95.0	0.0	0.0	0.0	0
O _{Ma}	39.92	58.74	27.99	65.07	25
Y _{Ma}	81.26	-2.89	71.56	71.62	92
L _{Ma}	52.23	-42.42	13.6	44.55	162
V _{Ma}	30.57	1.41	-46.47	46.49	272

$u^*_d = y50l$
 $LAB^*LCH^*_a$

Daten für Maximalfarbe (Ma):

$LAB^*LAB^*_Ma: 69 -40 48$

$LAB^*LCH^*_Ma: 69 62 129$

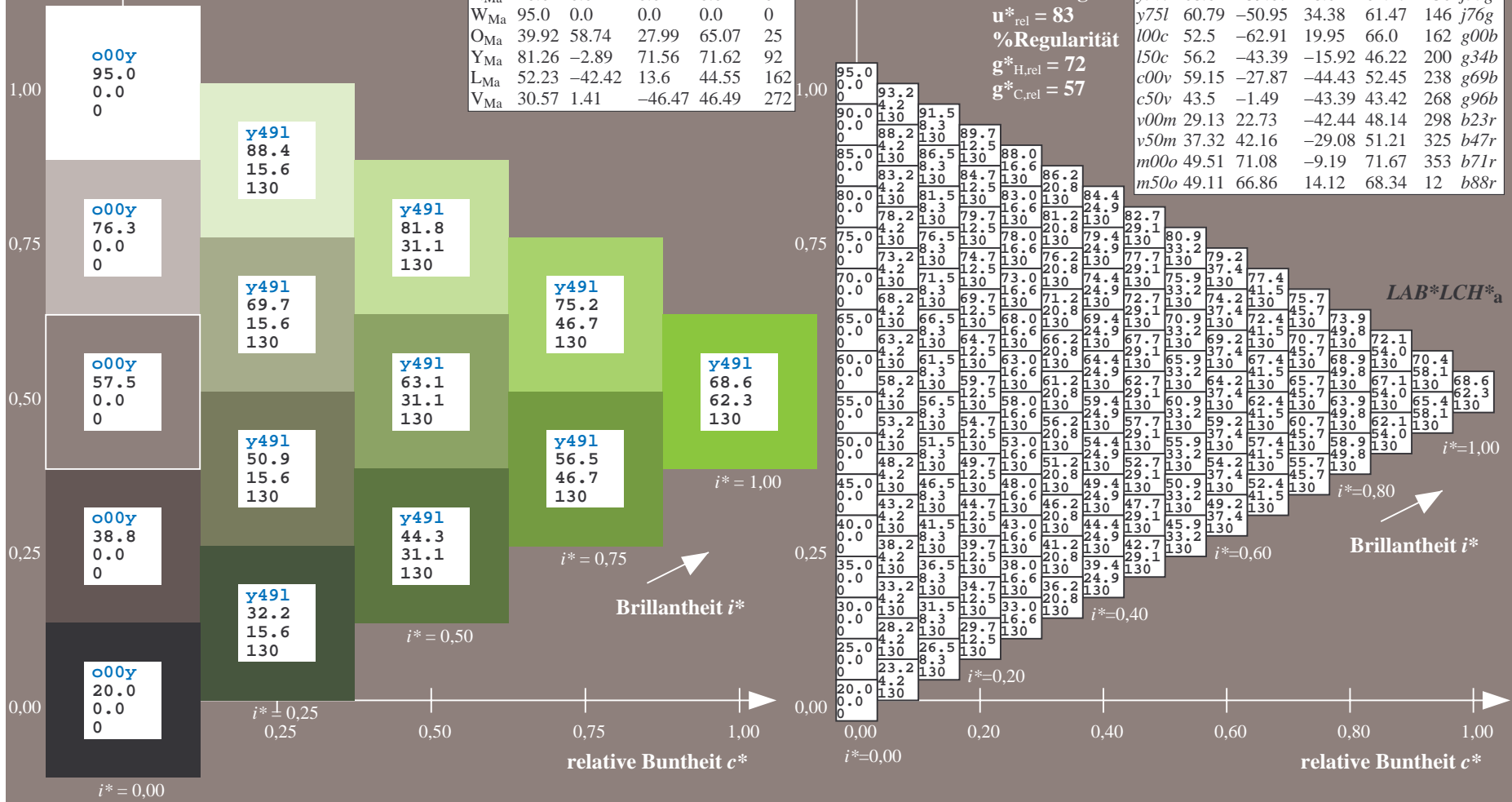
$lab^*olv^*_Ma: 0.5 1.0 0.0$

$lab^*rgb^*_Ma: 0.47 1.0 0.0$

Dreiecks-Helligkeit t^*

ORS20_95a; adaptierte CIELAB-Daten

u^*_d	$L^*=L^*_a$	a^*_a	b^*_a	$C^*_{ab,a}$	$h^*_{ab,a}$	u^*_e
o00y	48.71	62.56	37.91	73.15	31	r08j
o25y	58.6	44.87	49.14	66.54	48	r33j
o50y	67.52	28.93	59.25	65.94	64	r57j
o75y	77.05	11.9	70.06	71.06	80	r81j
y00l	89.25	-9.92	83.91	84.49	97	j06g
y25l	77.37	-27.05	63.23	68.78	113	j30g
y50l	68.62	-39.67	48.0	62.27	130	j53g
y75l	60.79	-50.95	34.38	61.47	146	j76g
l00c	52.5	-62.91	19.95	66.0	162	g00b
l50c	56.2	-43.39	-15.92	46.22	200	g34b
c00v	59.15	-27.87	-44.43	52.45	238	g69b
c50v	43.5	-1.49	-43.39	43.42	268	g96b
v00m	29.13	22.73	-42.44	48.14	298	b23r
v50m	37.32	42.16	-29.08	51.21	325	b47r
m00o	49.51	71.08	-9.19	71.67	353	b71r
m50o	49.11	66.86	14.12	68.34	12	b88r



Ein und Ausgabe: Farbmatisches Drucker-Reflektiv-System ORS20_95a für relativen CIELAB-Bunton $h^* = lab^*h^* = h_{ab}/360 = 0.406$

$u^*_d = y75l$
 $LAB^*LCH^*_a$

Daten für jede Farbe:

lab^*ch^* und lab^*icu^*

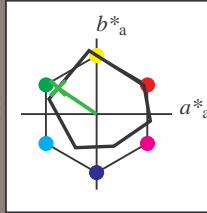
Buntontexte:

$u^*_d = y75l$ $u^*_e = j76g$

Kontrastreduzierungsfaktor:

$c_R = 0.96$

Dreiecks-Helligkeit t^*



ORS20_95a; adaptierte CIELAB-Daten

u^*_d	$L^*=L^*_a$	a^*_a	b^*_a	$C^*_{ab,a}$	$h^*_{ab,a}$
O _{Ma}	48.71	62.56	37.91	73.15	31
Y _{Ma}	89.25	-9.92	83.91	84.49	97
L _{Ma}	52.5	-62.91	19.95	66.0	162
C _{Ma}	59.15	-27.87	-44.43	52.45	238
V _{Ma}	29.13	22.73	-42.44	48.14	298
M _{Ma}	49.51	71.08	-9.19	71.67	353
N _{Ma}	20.0	0.0	0.0	0.0	0
W _{Ma}	95.0	0.0	0.0	0.0	0
O _{Ma}	39.92	58.74	27.99	65.07	25
Y _{Ma}	81.26	-2.89	71.56	71.62	92
L _{Ma}	52.23	-42.42	13.6	44.55	162
V _{Ma}	30.57	1.41	-46.47	46.49	272

Daten für Maximalfarbe (Ma):

$LAB^*LAB^*_Ma: 61 -51 34$

$LAB^*LCH^*_Ma: 61 61 145$

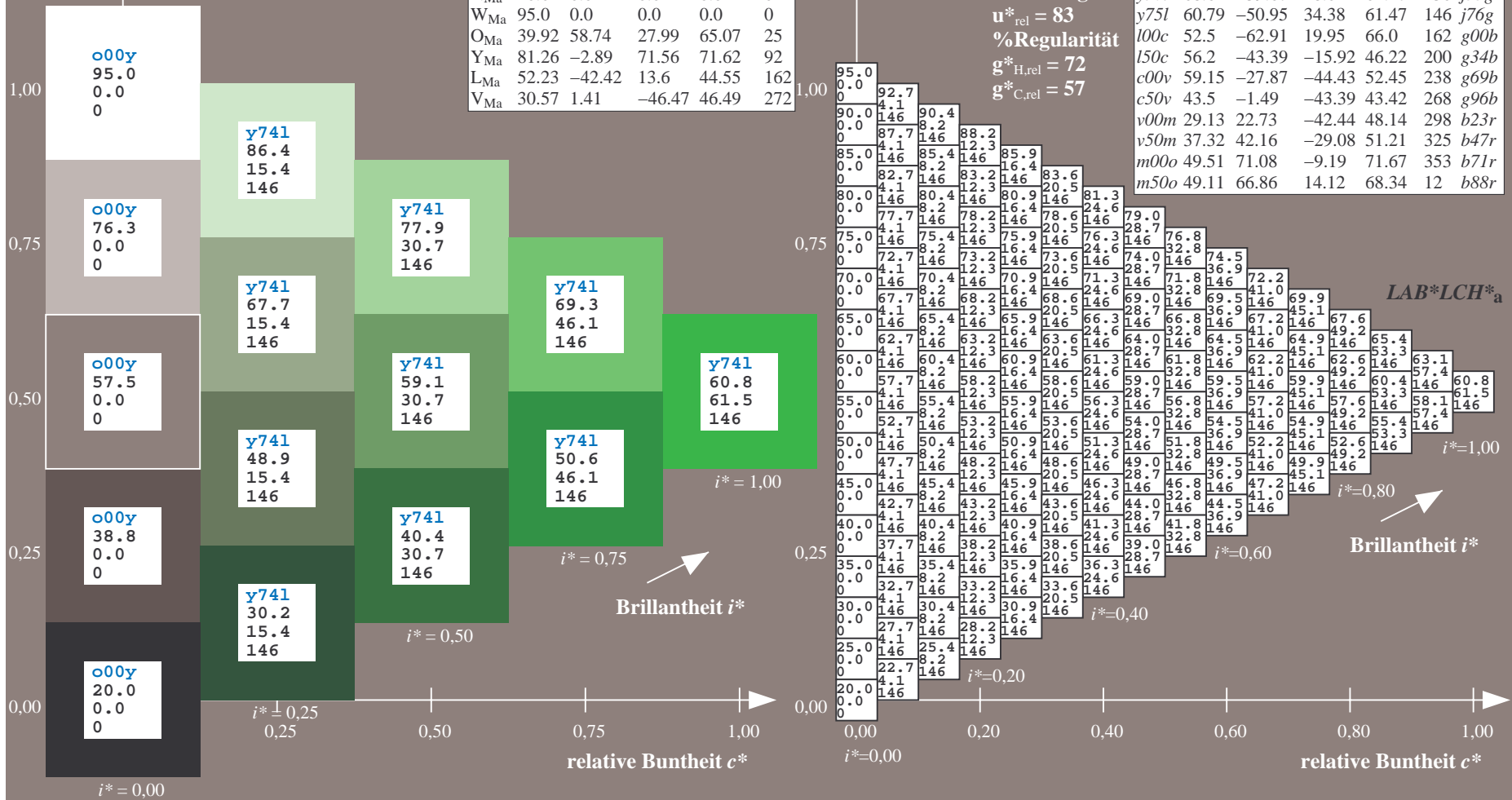
$lab^*olv^*_Ma: 0.25 1.0 0.0$

$lab^*rgb^*_Ma: 0.23 1.0 0.0$

Dreiecks-Helligkeit t^*

ORS20_95a; adaptierte CIELAB-Daten

u^*_d	$L^*=L^*_a$	a^*_a	b^*_a	$C^*_{ab,a}$	$h^*_{ab,a}$	u^*_e
o00y	48.71	62.56	37.91	73.15	31	r08j
o25y	58.6	44.87	49.14	66.54	48	r33j
o50y	67.52	28.93	59.25	65.94	64	r57j
o75y	77.05	11.9	70.06	71.06	80	r81j
y00l	89.25	-9.92	83.91	84.49	97	j06g
y25l	77.37	-27.05	63.23	68.78	113	j30g
y50l	68.62	-39.67	48.0	62.27	130	j53g
y75l	60.79	-50.95	34.38	61.47	146	j76g
l00c	52.5	-62.91	19.95	66.0	162	g00b
l50c	56.2	-43.39	-15.92	46.22	200	g34b
c00v	59.15	-27.87	-44.43	52.45	238	g69b
c50v	43.5	-1.49	-43.39	43.42	268	g96b
v00m	29.13	22.73	-42.44	48.14	298	b23r
v50m	37.32	42.16	-29.08	51.21	325	b47r
m00o	49.51	71.08	-9.19	71.67	353	b71r
m50o	49.11	66.86	14.12	68.34	12	b88r



Ein und Ausgabe: Farbmatisches Drucker-Reflektiv-System ORS20_95a für relativen CIELAB-Bunton $h^* = \text{lab}^*h^* = h_{ab}/360 = 0.451$

$u^*_d = 100c$
 $\text{LAB}^*\text{LCH}^*_a$

Daten für jede Farbe:

lab^*tch^* und lab^*icu^*

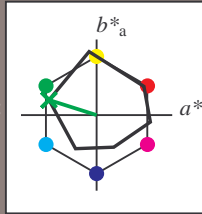
Buntontexte:

$u^*_d = 100c$ $u^*_e = g00b$

Kontrastreduzierungsfaktor:

$c_R = 0.96$

Dreiecks-Helligkeit t^*



ORS20_95a; adaptierte CIELAB-Daten

u^*_d	$L^*=L^*_a$	a^*_a	b^*_a	$C^*_{ab,a}$	$h^*_{ab,a}$
O _{Ma}	48.71	62.56	37.91	73.15	31
Y _{Ma}	89.25	-9.92	83.91	84.49	97
L _{Ma}	52.5	-62.91	19.95	66.0	162
C _{Ma}	59.15	-27.87	-44.43	52.45	238
V _{Ma}	29.13	22.73	-42.44	48.14	298
M _{Ma}	49.51	71.08	-9.19	71.67	353
N _{Ma}	20.0	0.0	0.0	0.0	0
W _{Ma}	95.0	0.0	0.0	0.0	0
O _{Ma}	39.92	58.74	27.99	65.07	25
Y _{Ma}	81.26	-2.89	71.56	71.62	92
L _{Ma}	52.23	-42.42	13.6	44.55	162
V _{Ma}	30.57	1.41	-46.47	46.49	272

Daten für Maximalfarbe (Ma):

$\text{LAB}^*\text{LAB}^*_{Ma}: 52 -63 20$

$\text{LAB}^*\text{LCH}^*_{Ma}: 52 66 162$

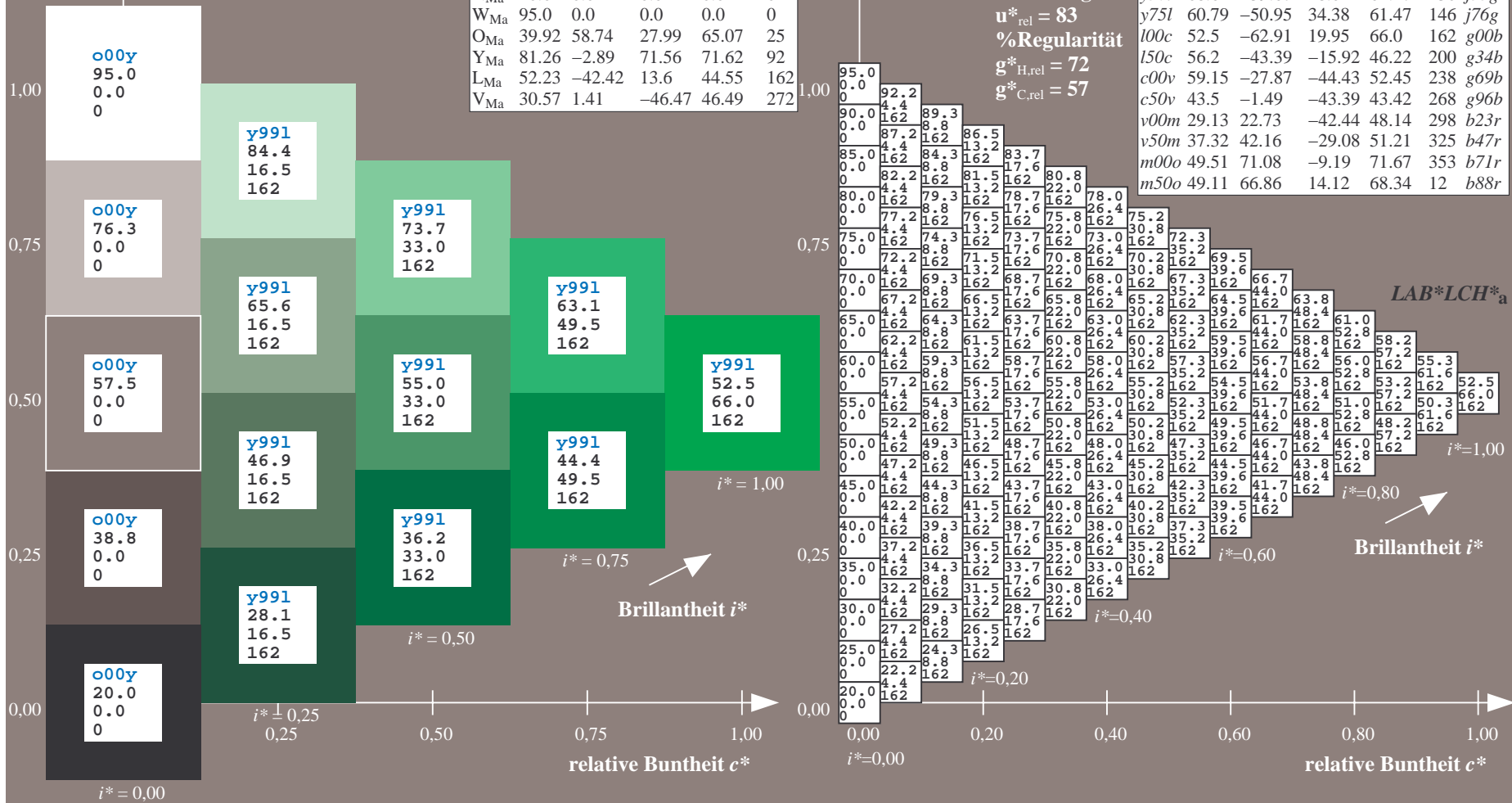
$\text{lab}^*olv^*_{Ma}: 0.0 1.0 0.0$

$\text{lab}^*rgb^*_{Ma}: 0.0 1.0 0.0$

Dreiecks-Helligkeit t^*

ORS20_95a; adaptierte CIELAB-Daten

u^*_d	$L^*=L^*_a$	a^*_a	b^*_a	$C^*_{ab,a}$	$h^*_{ab,a}$	u^*_e
o00y	48.71	62.56	37.91	73.15	31	r08j
o25y	58.6	44.87	49.14	66.54	48	r33j
o50y	67.52	28.93	59.25	65.94	64	r57j
o75y	77.05	11.9	70.06	71.06	80	r81j
y00l	89.25	-9.92	83.91	84.49	97	j06g
y25l	77.37	-27.05	63.23	68.78	113	j30g
y50l	68.62	-39.67	48.0	62.27	130	j53g
y75l	60.79	-50.95	34.38	61.47	146	j76g
l00c	52.5	-62.91	19.95	66.0	162	g00b
l50c	56.2	-43.39	-15.92	46.22	200	g34b
c00v	59.15	-27.87	-44.43	52.45	238	g69b
c50v	43.5	-1.49	-43.39	43.42	268	g96b
v00m	29.13	22.73	-42.44	48.14	298	b23r
v50m	37.32	42.16	-29.08	51.21	325	b47r
m00o	49.51	71.08	-9.19	71.67	353	b71r
m50o	49.11	66.86	14.12	68.34	12	b88r



Ein und Ausgabe: Farbmatisches Drucker-Reflektiv-System ORS20_95a für relativen CIELAB-Bunton $h^* = lab^*h^* = h_{ab}/360 = 0.556$

$u^*_d = 150c$
LAB*LCH*_a

Daten für jede Farbe:

lab^*tch^* und lab^*icu^*

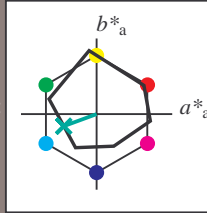
Buntontexte:

$u^*_d = 150c$ $u^*_e = g34b$

Kontrastreduzierungsfaktor:

$c_R = 0.96$

Dreiecks-Helligkeit t^*



ORS20_95a; adaptierte CIELAB-Daten

u^*_d	$L^*=L^*_a$	a^*_a	b^*_a	$C^*_{ab,a}$	$h^*_{ab,a}$
O _{Ma}	48.71	62.56	37.91	73.15	31
Y _{Ma}	89.25	-9.92	83.91	84.49	97
L _{Ma}	52.5	-62.91	19.95	66.0	162
C _{Ma}	59.15	-27.87	-44.43	52.45	238
V _{Ma}	29.13	22.73	-42.44	48.14	298
M _{Ma}	49.51	71.08	-9.19	71.67	353
N _{Ma}	20.0	0.0	0.0	0.0	0
W _{Ma}	95.0	0.0	0.0	0.0	0
O _{Ma}	39.92	58.74	27.99	65.07	25
Y _{Ma}	81.26	-2.89	71.56	71.62	92
L _{Ma}	52.23	-42.42	13.6	44.55	162
V _{Ma}	30.57	1.41	-46.47	46.49	272

Daten für Maximalfarbe (Ma):

LAB*LAB*_{Ma}: 56 -43 -16

LAB*LCH*_{Ma}: 56 46 200

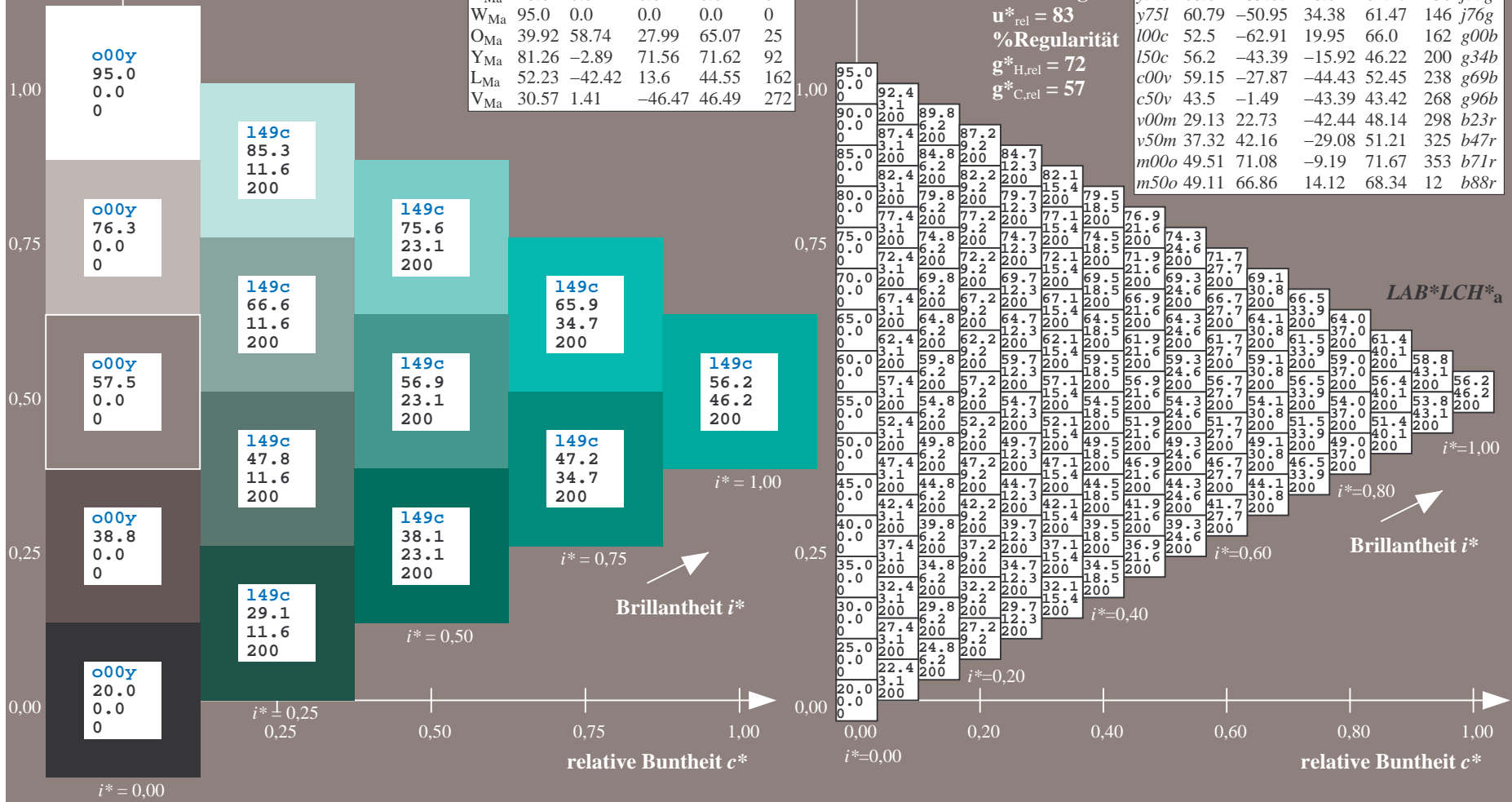
lab*olv*_{Ma}: 0.0 1.0 0.5

lab*rgb*_{Ma}: 0.0 1.0 0.69

Dreiecks-Helligkeit t^*

ORS20_95a; adaptierte CIELAB-Daten

u^*_d	$L^*=L^*_a$	a^*_a	b^*_a	$C^*_{ab,a}$	$h^*_{ab,a}$	u^*_e
o00y	48.71	62.56	37.91	73.15	31	r08j
o25y	58.6	44.87	49.14	66.54	48	r33j
o50y	67.52	28.93	59.25	65.94	64	r57j
o75y	77.05	11.9	70.06	71.06	80	r81j
y00l	89.25	-9.92	83.91	84.49	97	j06g
y25l	77.37	-27.05	63.23	68.78	113	j30g
y50l	68.62	-39.67	48.0	62.27	130	j53g
y75l	60.79	-50.95	34.38	61.47	146	j76g
l00c	52.5	-62.91	19.95	66.0	162	g00b
l50c	56.2	-43.39	-15.92	46.22	200	g34b
c00v	59.15	-27.87	-44.43	52.45	238	g69b
c50v	43.5	-1.49	-43.39	43.42	268	g96b
v00m	29.13	22.73	-42.44	48.14	298	b23r
v50m	37.32	42.16	-29.08	51.21	325	b47r
m00o	49.51	71.08	-9.19	71.67	353	b71r
m50o	49.11	66.86	14.12	68.34	12	b88r



Ein und Ausgabe: Farbmatisches Drucker-Reflektiv-System ORS20_95a für relativen CIELAB-Bunton $h^* = \text{lab}^*h^* = h_{ab}/360 = 0.661$

$u^*_d = c00v$
 $\text{LAB}^*\text{LCH}^*_a$

Daten für jede Farbe:

lab^*tch^* und lab^*icu^*

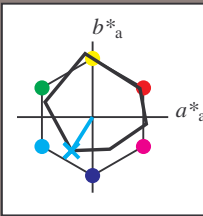
Buntontexte:

$u^*_d = c00v$ $u^*_e = g69b$

Kontrastreduzierungsfaktor:

$c_R = 0.96$

Dreiecks-Helligkeit t^*



ORS20_95a; adaptierte CIELAB-Daten

u^*_d	$L^*=L^*_a$	a^*_a	b^*_a	$C^*_{ab,a}$	$h^*_{ab,a}$
O _{Ma}	48.71	62.56	37.91	73.15	31
Y _{Ma}	89.25	-9.92	83.91	84.49	97
L _{Ma}	52.5	-62.91	19.95	66.0	162
C _{Ma}	59.15	-27.87	-44.43	52.45	238
V _{Ma}	29.13	22.73	-42.44	48.14	298
M _{Ma}	49.51	71.08	-9.19	71.67	353
N _{Ma}	20.0	0.0	0.0	0.0	0
W _{Ma}	95.0	0.0	0.0	0.0	0
O _{Ma}	39.92	58.74	27.99	65.07	25
Y _{Ma}	81.26	-2.89	71.56	71.62	92
L _{Ma}	52.23	-42.42	13.6	44.55	162
V _{Ma}	30.57	1.41	-46.47	46.49	272

Daten für Maximalfarbe (Ma):

$\text{LAB}^*\text{LAB}^*_{Ma}: 59 -28 -44$

$\text{LAB}^*\text{LCH}^*_{Ma}: 59 52 237$

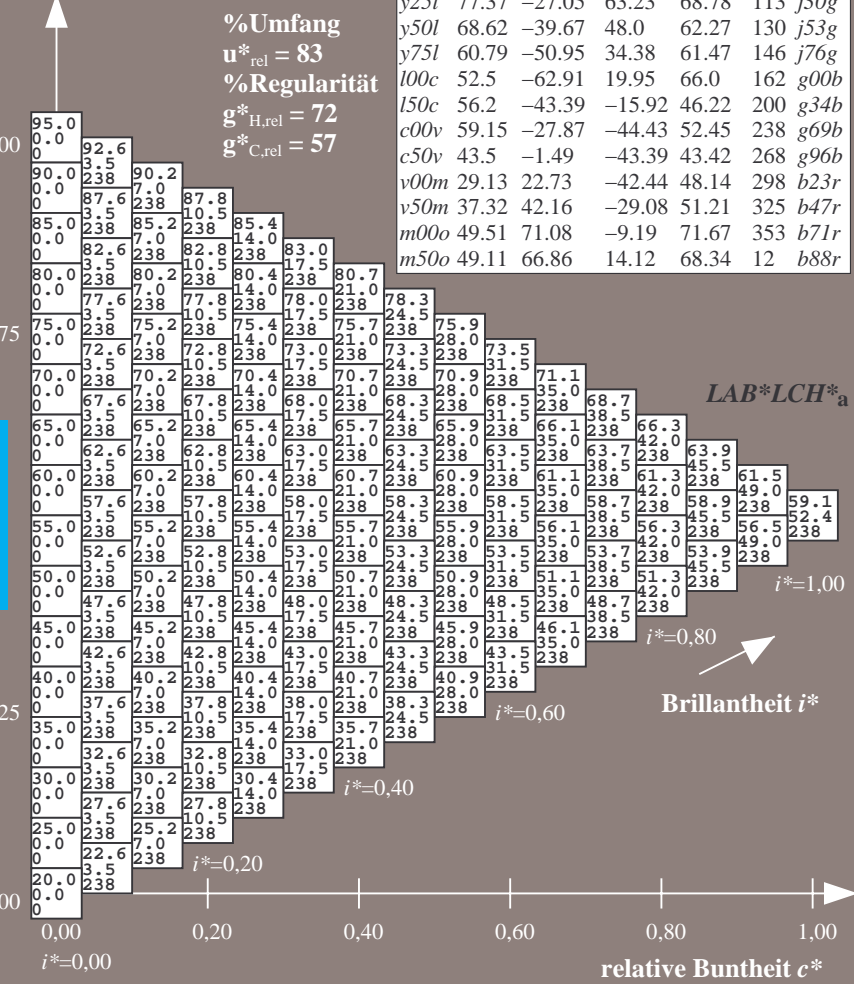
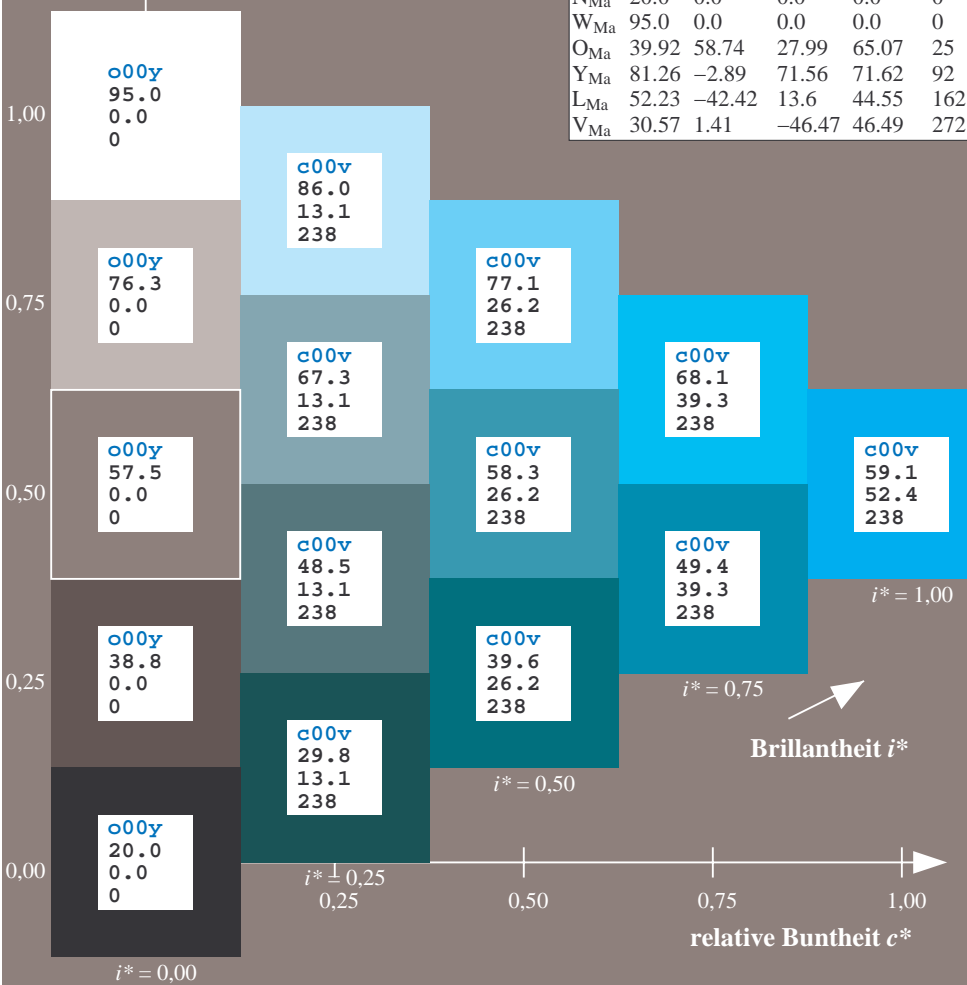
$\text{lab}^*olv^*_{Ma}: 0.0 1.0 1.0$

$\text{lab}^*rgb^*_{Ma}: 0.0 0.62 1.0$

Dreiecks-Helligkeit t^*

ORS20_95a; adaptierte CIELAB-Daten

u^*_d	$L^*=L^*_a$	a^*_a	b^*_a	$C^*_{ab,a}$	$h^*_{ab,a}$	u^*_e
o00y	48.71	62.56	37.91	73.15	31	r08j
o25y	58.6	44.87	49.14	66.54	48	r33j
o50y	67.52	28.93	59.25	65.94	64	r57j
o75y	77.05	11.9	70.06	71.06	80	r81j
y00l	89.25	-9.92	83.91	84.49	97	j06g
y25l	77.37	-27.05	63.23	68.78	113	j30g
y50l	68.62	-39.67	48.0	62.27	130	j53g
y75l	60.79	-50.95	34.38	61.47	146	j76g
l00c	52.5	-62.91	19.95	66.0	162	g00b
l50c	56.2	-43.39	-15.92	46.22	200	g34b
c00v	59.15	-27.87	-44.43	52.45	238	g69b
c50v	43.5	-1.49	-43.39	43.42	268	g96b
v00m	29.13	22.73	-42.44	48.14	298	b23r
v50m	37.32	42.16	-29.08	51.21	325	b47r
m00o	49.51	71.08	-9.19	71.67	353	b71r
m50o	49.11	66.86	14.12	68.34	12	b88r



%Umfang
 $u^*_{rel} = 83$
%Regularität
 $g^*_{H,rel} = 72$
 $g^*_{C,rel} = 57$

$\text{LAB}^*\text{LCH}^*_a$

Brillantheit i^*

Ein und Ausgabe: Farbmatisches Drucker-Reflektiv-System ORS20_95a für relativen CIELAB-Bunton $h^* = lab^*h^* = h_{ab}/360 = 0.745$

Daten für jede Farbe:

lab^*ch^* und lab^*icu^*

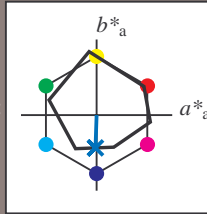
Buntontexte:

$u^*_d = c50v$ $u^*_e = g96b$

Kontrastreduzierungsfaktor:

$c_R = 0.96$

Dreiecks-Helligkeit t^*



ORS20_95a; adaptierte CIELAB-Daten

	u^*_d	$L^*=L^*_a$	a^*_a	b^*_a	$C^*_{ab,a}$	$h^*_{ab,a}$
O _{Ma}	48.71	62.56	37.91	73.15	31	
Y _{Ma}	89.25	-9.92	83.91	84.49	97	
L _{Ma}	52.5	-62.91	19.95	66.0	162	
C _{Ma}	59.15	-27.87	-44.43	52.45	238	
V _{Ma}	29.13	22.73	-42.44	48.14	298	
M _{Ma}	49.51	71.08	-9.19	71.67	353	
N _{Ma}	20.0	0.0	0.0	0.0	0	
W _{Ma}	95.0	0.0	0.0	0.0	0	
O _{Ma}	39.92	58.74	27.99	65.07	25	
Y _{Ma}	81.26	-2.89	71.56	71.62	92	
L _{Ma}	52.23	-42.42	13.6	44.55	162	
V _{Ma}	30.57	1.41	-46.47	46.49	272	

$u^*_d = c50v$
 $LAB^*LCH^*_a$

Daten für Maximalfarbe (Ma):

$LAB^*LAB^*_Ma: 43 -1 -43$

$LAB^*LCH^*_Ma: 43 43 268$

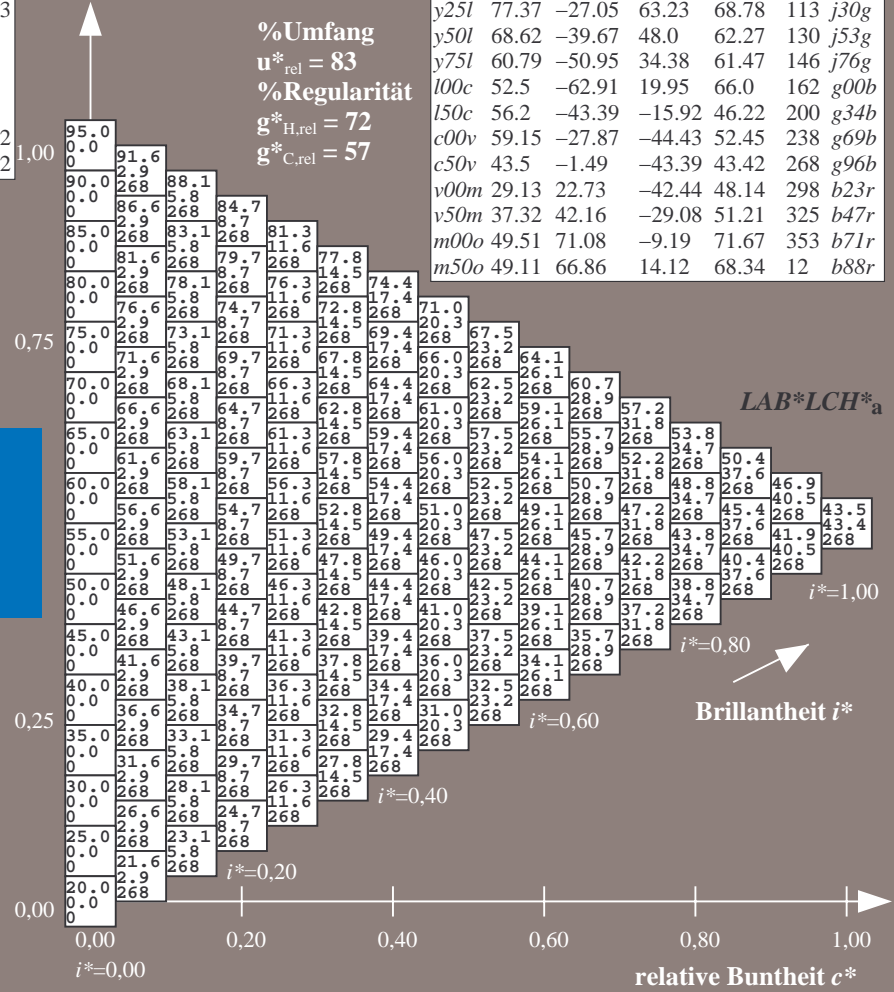
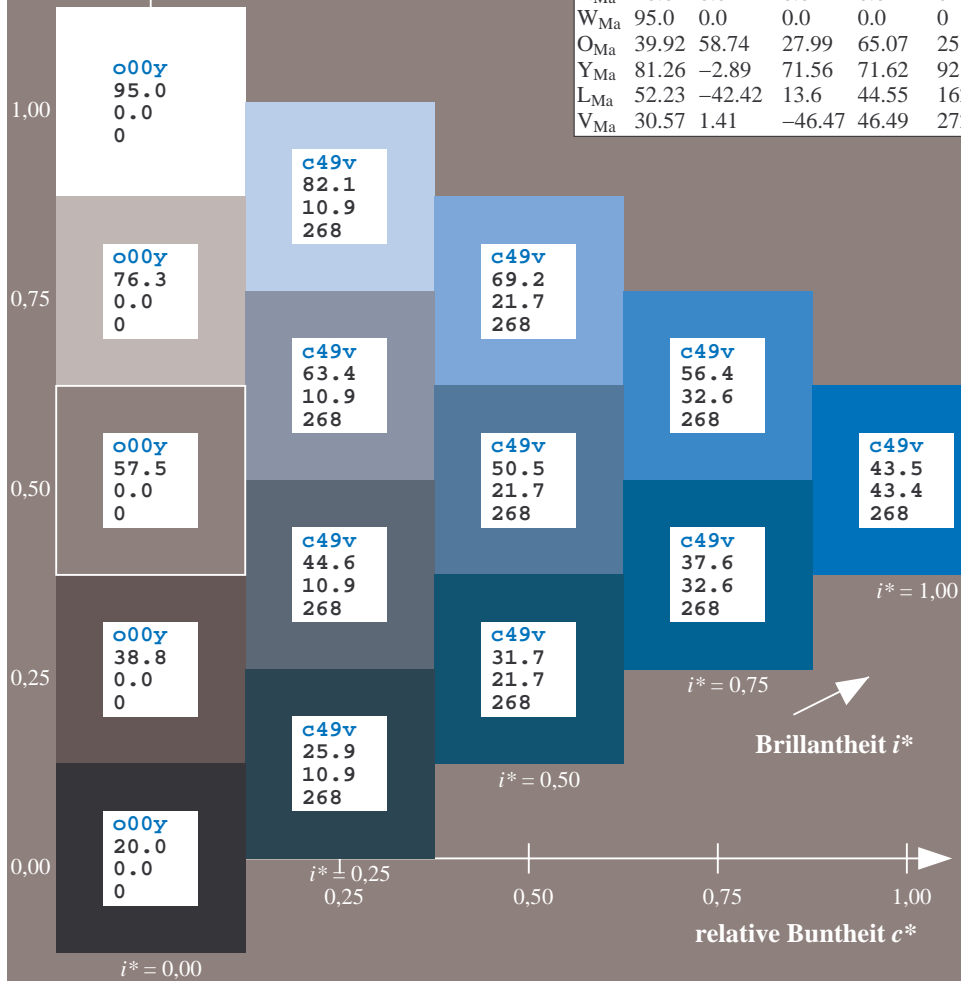
$lab^*olv^*_Ma: 0.0 0.5 1.0$

$lab^*rgb^*_Ma: 0.0 0.07 1.0$

Dreiecks-Helligkeit t^*

ORS20_95a; adaptierte CIELAB-Daten

	u^*_d	$L^*=L^*_a$	a^*_a	b^*_a	$C^*_{ab,a}$	$h^*_{ab,a}$	u^*_e
o00y	48.71	62.56	37.91	73.15	31		r08j
o25y	58.6	44.87	49.14	66.54	48		r33j
o50y	67.52	28.93	59.25	65.94	64		r57j
o75y	77.05	11.9	70.06	71.06	80		r81j
y00l	89.25	-9.92	83.91	84.49	97		j06g
y25l	77.37	-27.05	63.23	68.78	113		j30g
y50l	68.62	-39.67	48.0	62.27	130		j53g
y75l	60.79	-50.95	34.38	61.47	146		j76g
l00c	52.5	-62.91	19.95	66.0	162		g00b
l50c	56.2	-43.39	-15.92	46.22	200		g34b
c00v	59.15	-27.87	-44.43	52.45	238		g69b
c50v	43.5	-1.49	-43.39	43.42	268		g96b
v00m	29.13	22.73	-42.44	48.14	298		b23r
v50m	37.32	42.16	-29.08	51.21	325		b47r
m00o	49.51	71.08	-9.19	71.67	353		b71r
m50o	49.11	66.86	14.12	68.34	12		b88r



Ein und Ausgabe: Farbmatisches Drucker-Reflektiv-System ORS20_95a für relativen CIELAB-Bunton $h^* = \text{lab}^*h^* = h_{ab}/360 = 0.828$

$u^*_d = v00m$
 $\text{LAB}^*\text{LCH}^*_a$

Daten für jede Farbe:

lab^*tch^* und lab^*icu^*

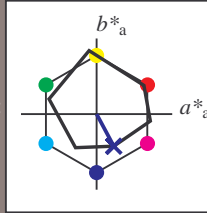
Buntontexte:

$u^*_d = v00m$ $u^*_e = b23r$

Kontrastreduzierungsfaktor:

$c_R = 0.96$

Dreiecks-Helligkeit t^*



ORS20_95a; adaptierte CIELAB-Daten

u^*_d	$L^*=L^*_a$	a^*_a	b^*_a	$C^*_{ab,a}$	$h^*_{ab,a}$
O _{Ma}	48.71	62.56	37.91	73.15	31
Y _{Ma}	89.25	-9.92	83.91	84.49	97
L _{Ma}	52.5	-62.91	19.95	66.0	162
C _{Ma}	59.15	-27.87	-44.43	52.45	238
V _{Ma}	29.13	22.73	-42.44	48.14	298
M _{Ma}	49.51	71.08	-9.19	71.67	353
N _{Ma}	20.0	0.0	0.0	0.0	0
W _{Ma}	95.0	0.0	0.0	0.0	0
O _{Ma}	39.92	58.74	27.99	65.07	25
Y _{Ma}	81.26	-2.89	71.56	71.62	92
L _{Ma}	52.23	-42.42	13.6	44.55	162
V _{Ma}	30.57	1.41	-46.47	46.49	272

Daten für Maximalfarbe (Ma):

$\text{LAB}^*\text{LAB}^*_{Ma}$: 29 23 -42

$\text{LAB}^*\text{LCH}^*_{Ma}$: 29 48 298

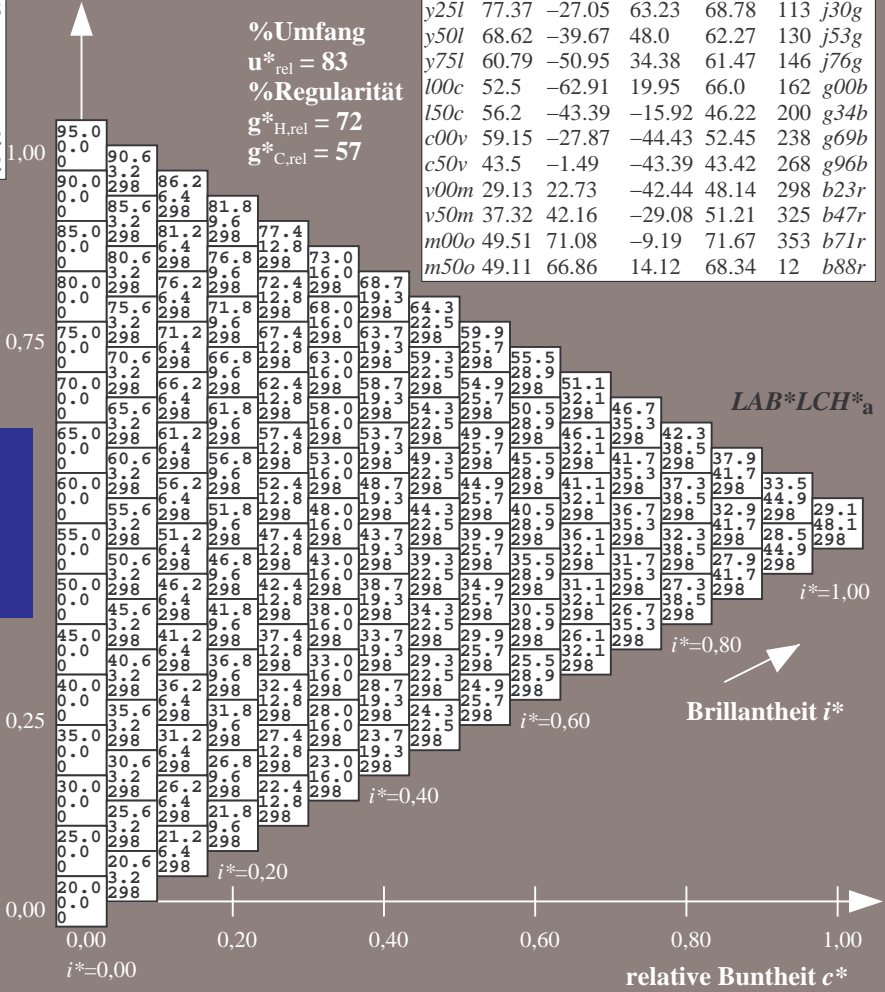
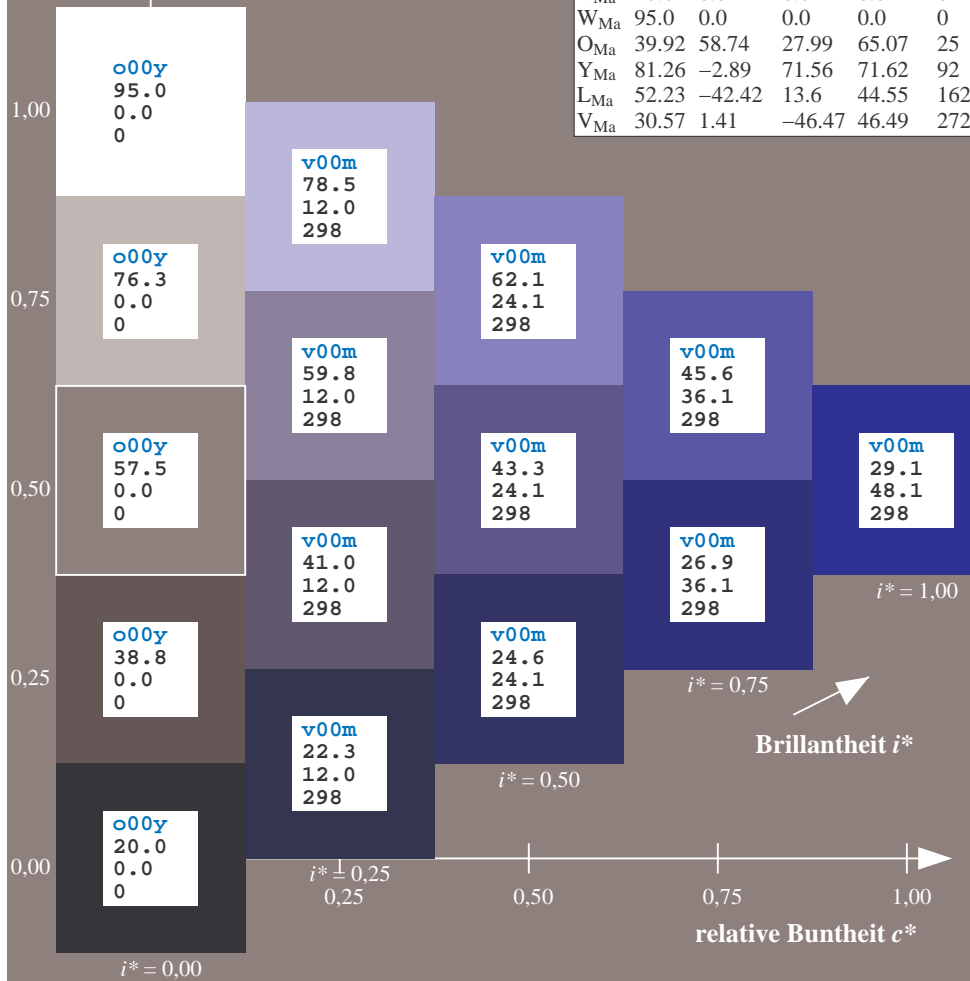
$\text{lab}^*\text{olv}^*_{Ma}$: 0.0 0.0 1.0

$\text{lab}^*\text{rgb}^*_{Ma}$: 0.46 0.0 1.0

Dreiecks-Helligkeit t^*

ORS20_95a; adaptierte CIELAB-Daten

u^*_d	$L^*=L^*_a$	a^*_a	b^*_a	$C^*_{ab,a}$	$h^*_{ab,a}$	u^*_e
o00y	95.0	0.0	0.0			r08j
o25y	58.6	44.87	49.14	66.54	48	r33j
o50y	67.52	28.93	59.25	65.94	64	r57j
o75y	77.05	11.9	70.06	71.06	80	r81j
y00l	89.25	-9.92	83.91	84.49	97	j06g
y25l	77.37	-27.05	63.23	68.78	113	j30g
y50l	68.62	-39.67	48.0	62.27	130	j53g
y75l	60.79	-50.95	34.38	61.47	146	j76g
l00c	52.5	-62.91	19.95	66.0	162	g00b
l50c	56.2	-43.39	-15.92	46.22	200	g34b
c00v	59.15	-27.87	-44.43	52.45	238	g69b
c50v	43.5	-1.49	-43.39	43.42	268	g96b
v00m	29.13	22.73	-42.44	48.14	298	b23r
v50m	37.32	42.16	-29.08	51.21	325	b47r
m00o	49.51	71.08	-9.19	71.67	353	b71r
m50o	49.11	66.86	14.12	68.34	12	b88r



%Umfang
 $u^*_{rel} = 83$
%Regularität
 $g^*_{H,rel} = 72$
 $g^*_{C,rel} = 57$

$\text{LAB}^*\text{LCH}^*_a$

$i^* = 1.00$

$i^* = 0.80$

$i^* = 0.60$

$i^* = 0.40$

$i^* = 0.20$

$i^* = 0.00$

Ein und Ausgabe: Farbmetrisches Drucker-Reflektiv-System ORS20_95a für relativen CIELAB-Bunton $h^* = \text{lab}^*h^* = h_{ab}/360 = 0.904$

$u^*_d = v50m$
LAB*LCH*_a

Daten für jede Farbe:

lab^*tch^* und lab^*icu^*

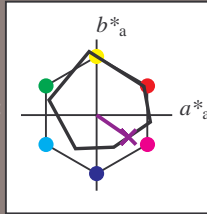
Buntontexte:

$u^*_d = v50m$ $u^*_e = b47r$

Kontrastreduzierungsfaktor:

$c_R = 0.96$

Dreiecks-Helligkeit t^*



ORS20_95a; adaptierte CIELAB-Daten

	u^*_d	$L^*=L^*_a$	a^*_a	b^*_a	$C^*_{ab,a}$	$h^*_{ab,a}$
O _{Ma}	48.71	62.56	37.91	73.15	31	
Y _{Ma}	89.25	-9.92	83.91	84.49	97	
L _{Ma}	52.5	-62.91	19.95	66.0	162	
C _{Ma}	59.15	-27.87	-44.43	52.45	238	
V _{Ma}	29.13	22.73	-42.44	48.14	298	
M _{Ma}	49.51	71.08	-9.19	71.67	353	
N _{Ma}	20.0	0.0	0.0	0.0	0	
W _{Ma}	95.0	0.0	0.0	0.0	0	
O _{Ma}	39.92	58.74	27.99	65.07	25	
Y _{Ma}	81.26	-2.89	71.56	71.62	92	
L _{Ma}	52.23	-42.42	13.6	44.55	162	
V _{Ma}	30.57	1.41	-46.47	46.49	272	

Daten für Maximalfarbe (Ma):

LAB*LAB*_{Ma}: 37 42 -29

LAB*LCH*_{Ma}: 37 51 325

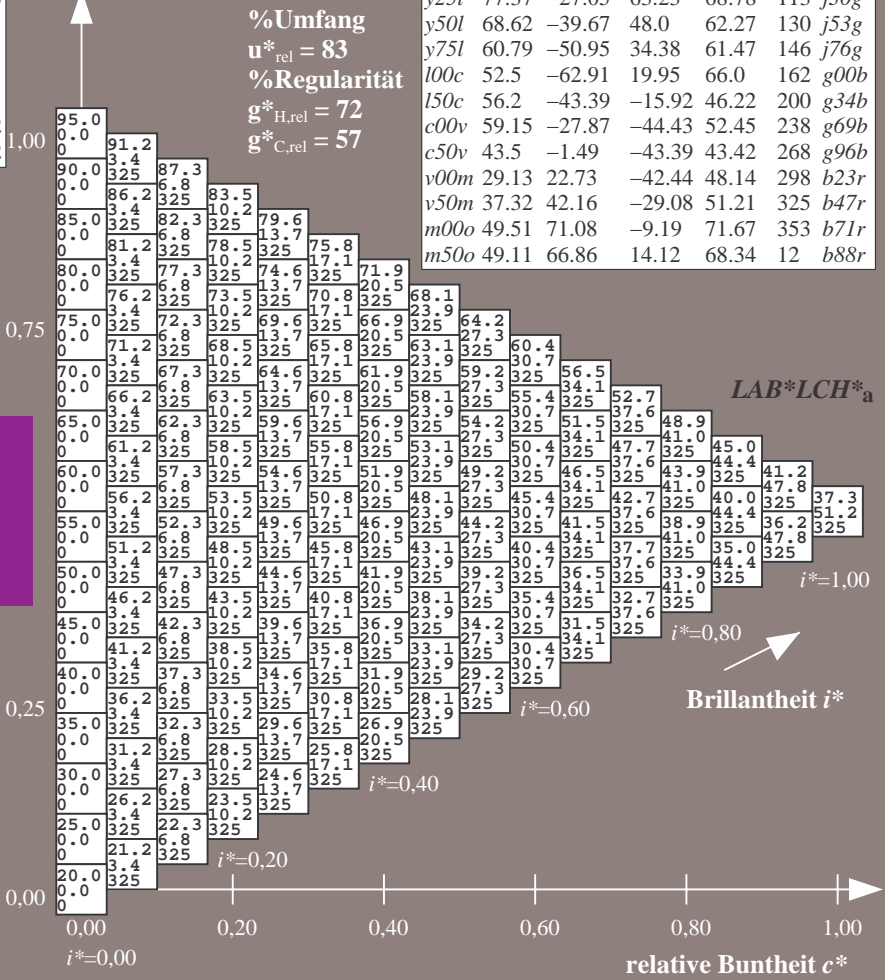
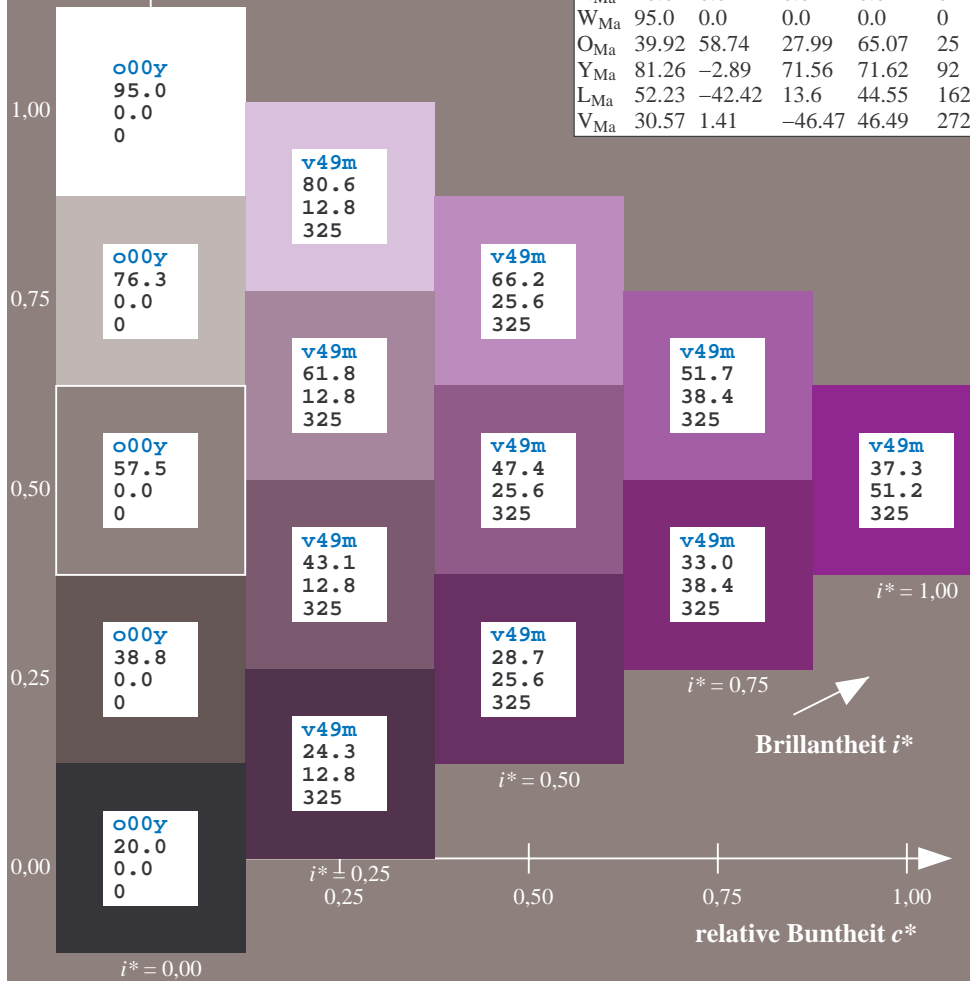
lab*olv*_{Ma}: 0.5 0.0 1.0

lab*rgb*_{Ma}: 0.94 0.0 1.0

Dreiecks-Helligkeit t^*

ORS20_95a; adaptierte CIELAB-Daten

	u^*_d	$L^*=L^*_a$	a^*_a	b^*_a	$C^*_{ab,a}$	$h^*_{ab,a}$	u^*_e
o00y	48.71	62.56	37.91	73.15	31		r08j
o25y	58.6	44.87	49.14	66.54	48		r33j
o50y	67.52	28.93	59.25	65.94	64		r57j
o75y	77.05	11.9	70.06	71.06	80		r81j
y00l	89.25	-9.92	83.91	84.49	97		j06g
y25l	77.37	-27.05	63.23	68.78	113		j30g
y50l	68.62	-39.67	48.0	62.27	130		j53g
y75l	60.79	-50.95	34.38	61.47	146		j76g
l00c	52.5	-62.91	19.95	66.0	162		g00b
l50c	56.2	-43.39	-15.92	46.22	200		g34b
c00v	59.15	-27.87	-44.43	52.45	238		g69b
c50v	43.5	-1.49	-43.39	43.42	268		g96b
v00m	29.13	22.73	-42.44	48.14	298		b23r
v50m	37.32	42.16	-29.08	51.21	325		b47r
m00o	49.51	71.08	-9.19	71.67	353		b71r
m50o	49.11	66.86	14.12	68.34	12		b88r



Ein und Ausgabe: Farbmatisches Drucker-Reflektiv-System ORS20_95a für relativen CIELAB-Bunton $h^* = \text{lab}^*h^* = h_{ab}/360 = 0.98$

Daten für jede Farbe:

lab^*tch^* und lab^*icu^*

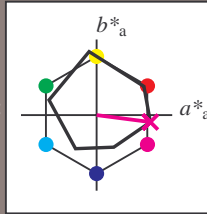
Buntontexte:

$u^*_d = m00o$ $u^*_e = b71r$

Kontrastreduzierungsfaktor:

$c_R = 0.96$

Dreiecks-Helligkeit t^*



ORS20_95a; adaptierte CIELAB-Daten						
u^*_d	$L^*=L^*_a$	a^*_a	b^*_a	$C^*_{ab,a}$	$h^*_{ab,a}$	
O _{Ma}	48.71	62.56	37.91	73.15	31	
Y _{Ma}	89.25	-9.92	83.91	84.49	97	
L _{Ma}	52.5	-62.91	19.95	66.0	162	
C _{Ma}	59.15	-27.87	-44.43	52.45	238	
V _{Ma}	29.13	22.73	-42.44	48.14	298	
M _{Ma}	49.51	71.08	-9.19	71.67	353	
N _{Ma}	20.0	0.0	0.0	0.0	0	
W _{Ma}	95.0	0.0	0.0	0.0	0	
O _{Ma}	39.92	58.74	27.99	65.07	25	
Y _{Ma}	81.26	-2.89	71.56	71.62	92	
L _{Ma}	52.23	-42.42	13.6	44.55	162	
V _{Ma}	30.57	1.41	-46.47	46.49	272	

Daten für Maximalfarbe (Ma):

$\text{LAB}^*\text{LAB}^*_{Ma}: 50\ 71\ -9$

$\text{LAB}^*\text{LCH}^*_{Ma}: 50\ 72\ 352$

$\text{lab}^*\text{olv}^*_{Ma}: 1.0\ 0.0\ 1.0$

$\text{lab}^*\text{rgb}^*_{Ma}: 1.0\ 0.0\ 0.58$

Dreiecks-Helligkeit t^*

%Umfang

$u^*_{rel} = 83$

%Regularität

$g^*_{H,rel} = 72$

$g^*_{C,rel} = 57$

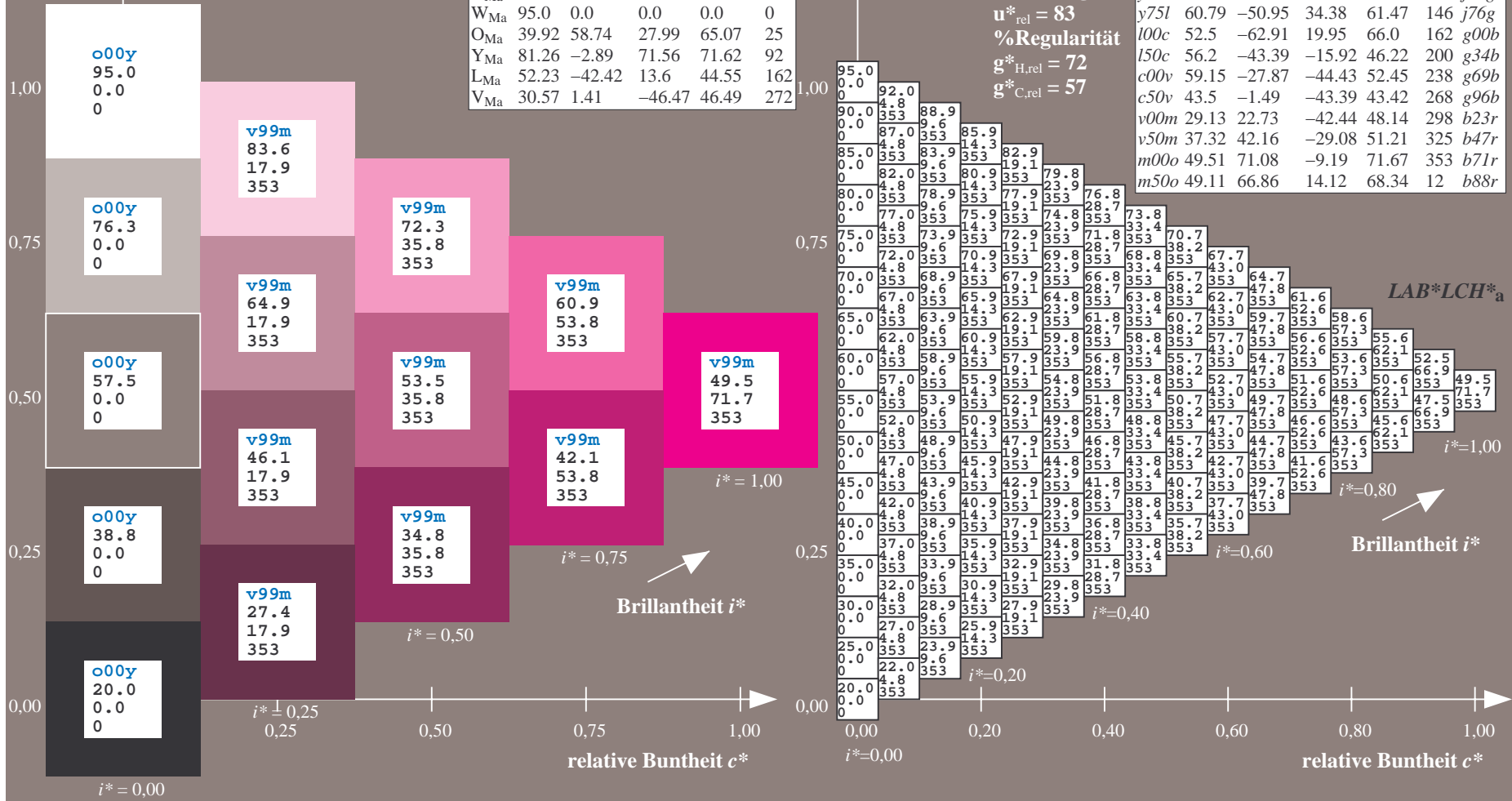
$u^*_d = m00o$

$\text{LAB}^*\text{LCH}^*_a$

ORS20_95a; adaptierte CIELAB-Daten

u^*_d	$L^*=L^*_a$	a^*_a	b^*_a	$C^*_{ab,a}$	$h^*_{ab,a}$	u^*_e
o00y	48.71	62.56	37.91	73.15	31	r08j
o25y	58.6	44.87	49.14	66.54	48	r33j
o50y	67.52	28.93	59.25	65.94	64	r57j
o75y	77.05	11.9	70.06	71.06	80	r81j
y00l	89.25	-9.92	83.91	84.49	97	j06g
y25l	77.37	-27.05	63.23	68.78	113	j30g
y50l	68.62	-39.67	48.0	62.27	130	j53g
y75l	60.79	-50.95	34.38	61.47	146	j76g
l00c	52.5	-62.91	19.95	66.0	162	g00b
l50c	56.2	-43.39	-15.92	46.22	200	g34b
c00v	59.15	-27.87	-44.43	52.45	238	g69b
c50v	43.5	-1.49	-43.39	43.42	268	g96b
v00m	29.13	22.73	-42.44	48.14	298	b23r
v50m	37.32	42.16	-29.08	51.21	325	b47r
m00o	49.51	71.08	-9.19	71.67	353	b71r
m50o	49.11	66.86	14.12	68.34	12	b88r

$\text{LAB}^*\text{LCH}^*_a$



Ein und Ausgabe: Farbmatisches Drucker-Reflektiv-System ORS20_95a für relativen CIELAB-Bunton $h^* = \text{lab}^*h^* = h_{ab}/360 = 0.033$

Daten für jede Farbe:

lab^*tch^* und lab^*icu^*

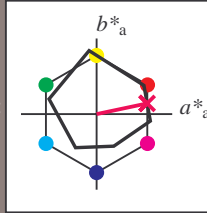
Buntontexte:

$u^*_d = m50o$ $u^*_e = b88r$

Kontrastreduzierungsfaktor:

$c_R = 0.96$

Dreiecks-Helligkeit t^*



ORS20_95a; adaptierte CIELAB-Daten

u^*_d	$L^*=L^*_a$	a^*_a	b^*_a	$C^*_{ab,a}$	$h^*_{ab,a}$
O _{Ma}	48.71	62.56	37.91	73.15	31
Y _{Ma}	89.25	-9.92	83.91	84.49	97
L _{Ma}	52.5	-62.91	19.95	66.0	162
C _{Ma}	59.15	-27.87	-44.43	52.45	238
V _{Ma}	29.13	22.73	-42.44	48.14	298
M _{Ma}	49.51	71.08	-9.19	71.67	353
N _{Ma}	20.0	0.0	0.0	0.0	0
W _{Ma}	95.0	0.0	0.0	0.0	0
O _{Ma}	39.92	58.74	27.99	65.07	25
Y _{Ma}	81.26	-2.89	71.56	71.62	92
L _{Ma}	52.23	-42.42	13.6	44.55	162
V _{Ma}	30.57	1.41	-46.47	46.49	272

Daten für Maximalfarbe (Ma):

$\text{LAB}^*\text{LAB}^*_{Ma}$: 49 67 14

$\text{LAB}^*\text{LCH}^*_{Ma}$: 49 68 11

$\text{lab}^*\text{olv}^*_{Ma}$: 1.0 0.0 0.5

$\text{lab}^*\text{rgb}^*_{Ma}$: 1.0 0.0 0.24

Dreiecks-Helligkeit t^*

ORS20_95a; adaptierte CIELAB-Daten

u^*_d	$L^*=L^*_a$	a^*_a	b^*_a	$C^*_{ab,a}$	$h^*_{ab,a}$	u^*_e
o00y	48.71	62.56	37.91	73.15	31	r08j
o25y	58.6	44.87	49.14	66.54	48	r33j
o50y	67.52	28.93	59.25	65.94	64	r57j
o75y	77.05	11.9	70.06	71.06	80	r81j
y00l	89.25	-9.92	83.91	84.49	97	j06g
y25l	77.37	-27.05	63.23	68.78	113	j30g
y50l	68.62	-39.67	48.0	62.27	130	j53g
y75l	60.79	-50.95	34.38	61.47	146	j76g
l00c	52.5	-62.91	19.95	66.0	162	g00b
l50c	56.2	-43.39	-15.92	46.22	200	g34b
c00v	59.15	-27.87	-44.43	52.45	238	g69b
c50v	43.5	-1.49	-43.39	43.42	268	g96b
v00m	29.13	22.73	-42.44	48.14	298	b23r
v50m	37.32	42.16	-29.08	51.21	325	b47r
m00o	49.51	71.08	-9.19	71.67	353	b71r
m50o	49.11	66.86	14.12	68.34	12	b88r

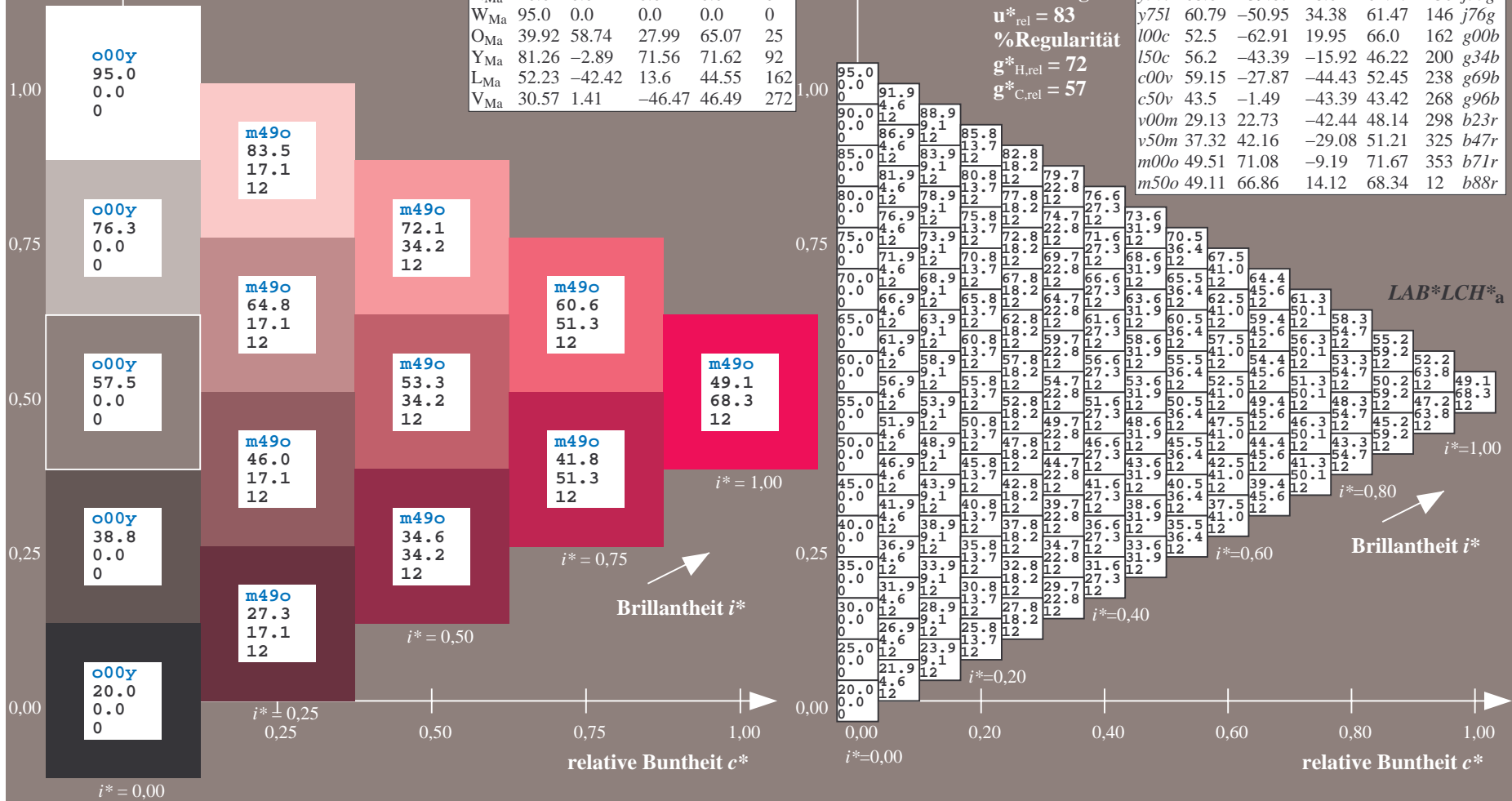


Table with columns labeled A through LAB*LCH*a and rows numbered 01 through 27. The table contains numerical data points, with a red vertical line separating columns J through N from columns O through LAB*LCH*a. The data shows a clear trend of increasing values across the rows and columns.

Ein und Ausgabe:
 Farbmetrisches Drucker-Reflektiv-System ORS20_95a

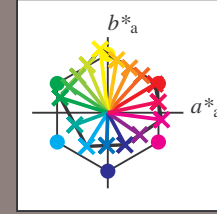
Daten für jede Farbe:
 u^*_d und Nummer *Nr.* = 00 .. 15

Geräte-Bunttextext:
 $u^*_d = 16$ Bunttoene *o00y, o25y, ..., m50o*

Kontrastreduzierungsfaktor:
 $c_R = 0.96$

ORS20_95a; adaptierte CIELAB-Daten

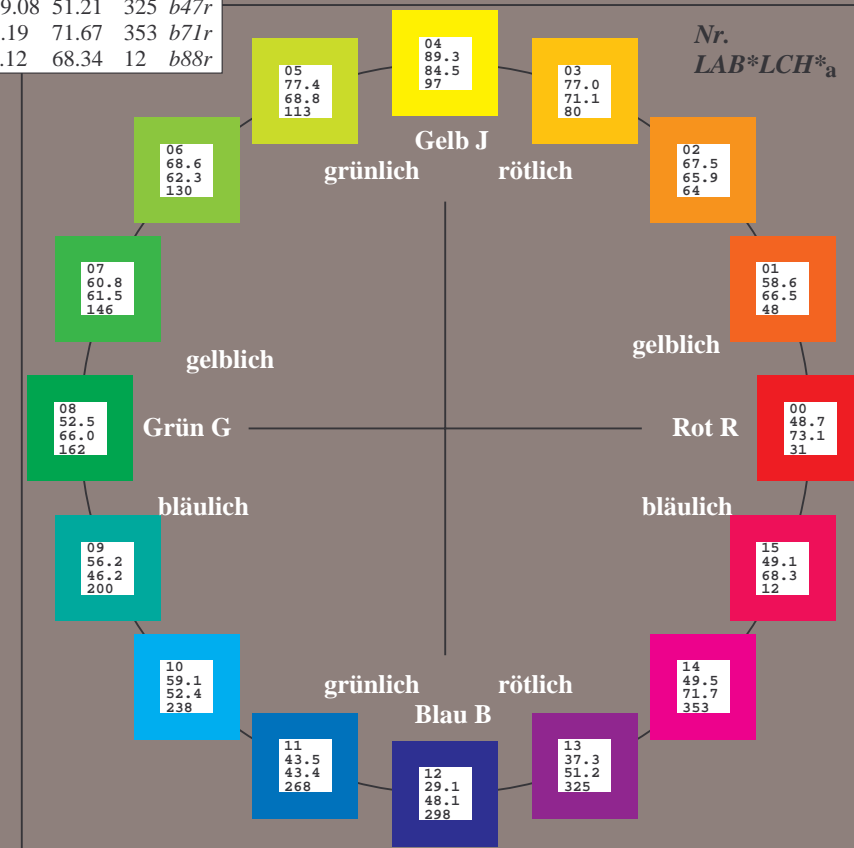
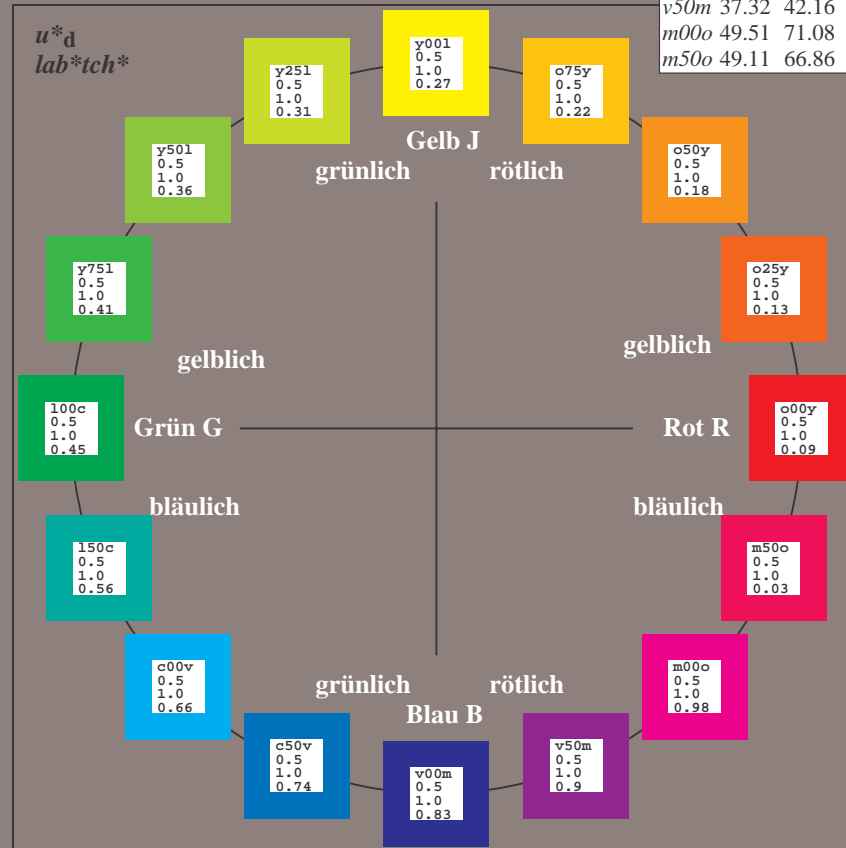
u^*_d	$L^*=L^*_a$	a^*_a	b^*_a	$C^*_{ab,a}$	$h^*_{ab,a}$	u^*_e
<i>o00y</i>	48.71	62.56	37.91	73.15	31	<i>r08j</i>
<i>o25y</i>	58.6	44.87	49.14	66.54	48	<i>r33j</i>
<i>o50y</i>	67.52	28.93	59.25	65.94	64	<i>r57j</i>
<i>o75y</i>	77.05	11.9	70.06	71.06	80	<i>r81j</i>
<i>y00l</i>	89.25	-9.92	83.91	84.49	97	<i>j06g</i>
<i>y25l</i>	77.37	-27.05	63.23	68.78	113	<i>j30g</i>
<i>y50l</i>	68.62	-39.67	48.0	62.27	130	<i>j53g</i>
<i>y75l</i>	60.79	-50.95	34.38	61.47	146	<i>j76g</i>
<i>l00c</i>	52.5	-62.91	19.95	66.0	162	<i>g00b</i>
<i>l50c</i>	56.2	-43.39	-15.92	46.22	200	<i>g34b</i>
<i>c00v</i>	59.15	-27.87	-44.43	52.45	238	<i>g69b</i>
<i>c50v</i>	43.5	-1.49	-43.39	43.42	268	<i>g96b</i>
<i>v00m</i>	29.13	22.73	-42.44	48.14	298	<i>b23r</i>
<i>v50m</i>	37.32	42.16	-29.08	51.21	325	<i>b47r</i>
<i>m00o</i>	49.51	71.08	-9.19	71.67	353	<i>b71r</i>
<i>m50o</i>	49.11	66.86	14.12	68.34	12	<i>b88r</i>



%Umfang
 $u^*_{rel} = 83$
 %Regularität
 $g^*_{H,rel} = 72$
 $g^*_{C,rel} = 57$

ORS20_95a; adaptierte CIELAB-Daten

Name	$L^*=L^*_a$	a^*_a	b^*_a	$C^*_{ab,a}$	$h^*_{ab,a}$
O _{Ma}	48.71	62.56	37.91	73.15	31
Y _{Ma}	89.25	-9.92	83.91	84.49	97
L _{Ma}	52.5	-62.91	19.95	66.0	162
C _{Ma}	59.15	-27.87	-44.43	52.45	238
V _{Ma}	29.13	22.73	-42.44	48.14	298
M _{Ma}	49.51	71.08	-9.19	71.67	353
N _{Ma}	20.0	0.0	0.0	0.0	0
W _{Ma}	95.0	0.0	0.0	0.0	0
O _{CIE}	39.92	58.74	27.99	65.07	25
Y _{CIE}	81.26	-2.89	71.56	71.62	92
L _{CIE}	52.23	-42.42	13.6	44.55	162
V _{CIE}	30.57	1.41	-46.47	46.49	272



Ein und Ausgabe: Farbmetrisches Drucker-Reflektiv-System ORS20_95a für relativen CIELAB-Bunton $h^* = \text{lab}^*h^* = h_{ab}/360 = 0.087$

$u^*_d = o00y$

Daten für jede Farbe:

lab^*tch^* und lab^*icu^*

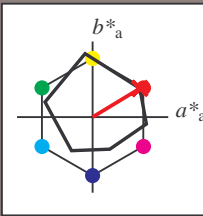
Bunntexte:

$u^*_d = o00y$ $u^*_e = r08j$

Kontrastreduzierungsfaktor:

$c_R = 0.96$

Dreiecks-Helligkeit t^*



ORS20_95a; adaptierte CIELAB-Daten

u^*_d	$L^*=L^*_a$	a^*_a	b^*_a	$C^*_{ab,a}$	$h^*_{ab,a}$
O _{Ma}	48.71	62.56	37.91	73.15	31
Y _{Ma}	89.25	-9.92	83.91	84.49	97
L _{Ma}	52.5	-62.91	19.95	66.0	162
C _{Ma}	59.15	-27.87	-44.43	52.45	238
V _{Ma}	29.13	22.73	-42.44	48.14	298
M _{Ma}	49.51	71.08	-9.19	71.67	353
N _{Ma}	20.0	0.0	0.0	0.0	0
W _{Ma}	95.0	0.0	0.0	0.0	0
O _{Ma}	39.92	58.74	27.99	65.07	25
Y _{Ma}	81.26	-2.89	71.56	71.62	92
L _{Ma}	52.23	-42.42	13.6	44.55	162
V _{Ma}	30.57	1.41	-46.47	46.49	272

Daten für Maximalfarbe (Ma):

$\text{LAB}^*\text{LAB}^*_{Ma}: 49 \ 63 \ 38$

$\text{LAB}^*\text{LCH}^*_{Ma}: 49 \ 73 \ 31$

$\text{lab}^*\text{olv}^*_{Ma}: 1.0 \ 0.0 \ 0.0$

$\text{lab}^*\text{rgb}^*_{Ma}: 1.0 \ 0.09 \ 0.0$

Dreiecks-Helligkeit t^*

ORS20_95a; adaptierte CIELAB-Daten

u^*_d	$L^*=L^*_a$	a^*_a	b^*_a	$C^*_{ab,a}$	$h^*_{ab,a}$	u^*_e
<i>o00y</i>	48.71	62.56	37.91	73.15	31	<i>r08j</i>
<i>o25y</i>	58.6	44.87	49.14	66.54	48	<i>r33j</i>
<i>o50y</i>	67.52	28.93	59.25	65.94	64	<i>r57j</i>
<i>o75y</i>	77.05	11.9	70.06	71.06	80	<i>r81j</i>
<i>y00l</i>	89.25	-9.92	83.91	84.49	97	<i>j06g</i>
<i>y25l</i>	77.37	-27.05	63.23	68.78	113	<i>j30g</i>
<i>y50l</i>	68.62	-39.67	48.0	62.27	130	<i>j53g</i>
<i>y75l</i>	60.79	-50.95	34.38	61.47	146	<i>j76g</i>
<i>l00c</i>	52.5	-62.91	19.95	66.0	162	<i>g00b</i>
<i>l50c</i>	56.2	-43.39	-15.92	46.22	200	<i>g34b</i>
<i>c00v</i>	59.15	-27.87	-44.43	52.45	238	<i>g69b</i>
<i>c50v</i>	43.5	-1.49	-43.39	43.42	268	<i>g96b</i>
<i>v00m</i>	29.13	22.73	-42.44	48.14	298	<i>b23r</i>
<i>v50m</i>	37.32	42.16	-29.08	51.21	325	<i>b47r</i>
<i>m00o</i>	49.51	71.08	-9.19	71.67	353	<i>b71r</i>
<i>m50o</i>	49.11	66.86	14.12	68.34	12	<i>b88r</i>

lab^*tch^*

$i^*=1.00$

Brillantheit i^*

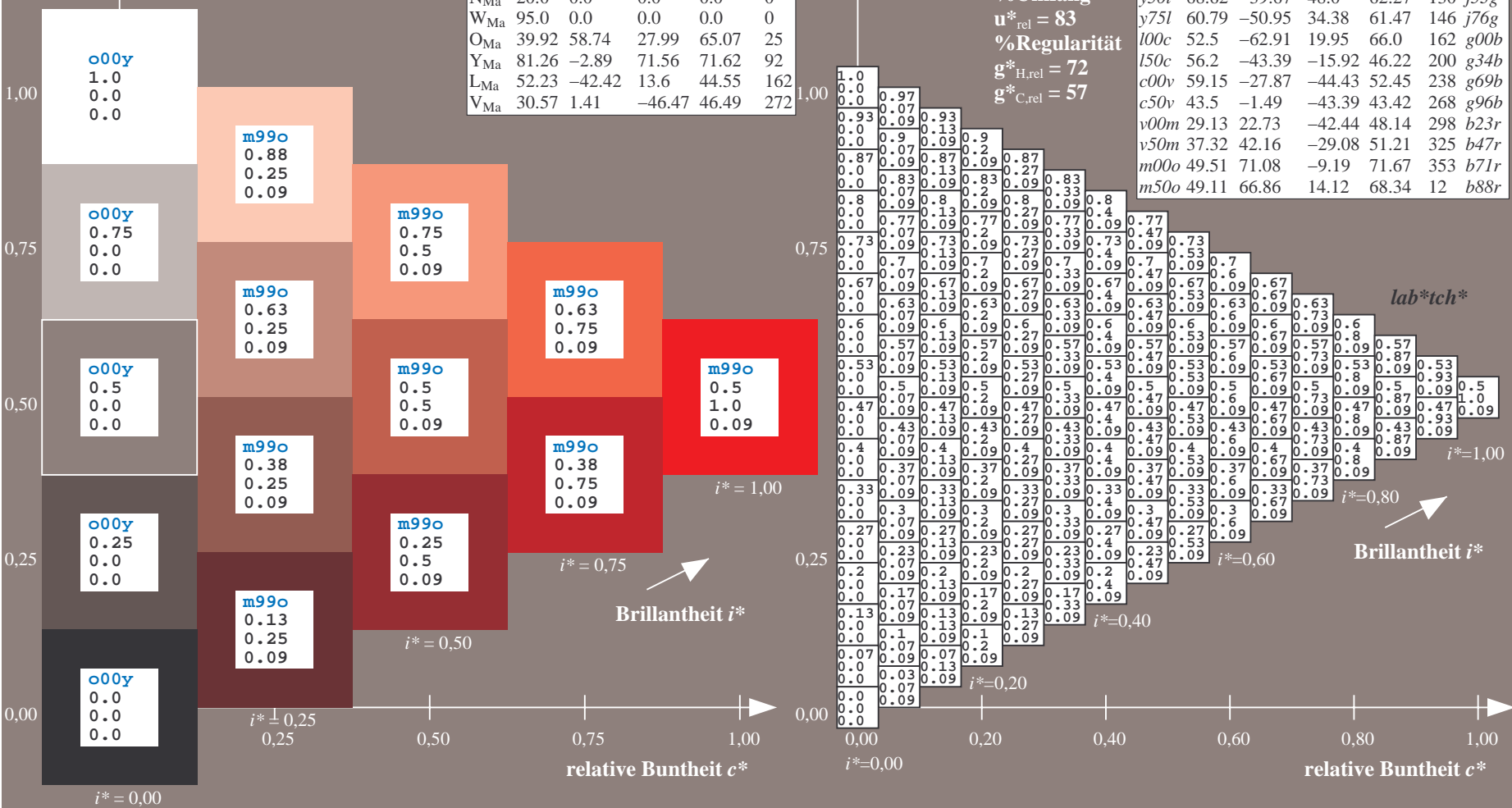
$i^*=0.80$

$i^*=0.60$

$i^*=0.40$

$i^*=0.20$

$i^*=0.00$



Ein und Ausgabe: Farbmetrisches Drucker-Reflektiv-System ORS20_95a für relativen CIELAB-Bunton $h^* = lab^*h^* = h_{ab}/360 = 0.132$

$u^*_d = o25y$

Daten für jede Farbe:

lab^*tch^* und lab^*icu^*

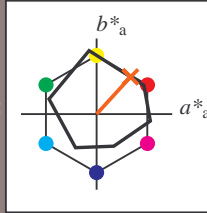
Buntontexte:

$u^*_d = o25y$ $u^*_e = r33j$

Kontrastreduzierungsfaktor:

$c_R = 0.96$

Dreiecks-Helligkeit t^*



ORS20_95a; adaptierte CIELAB-Daten						
u^*_d	$L^*=L^*_a$	a^*_a	b^*_a	$C^*_{ab,a}$	$h^*_{ab,a}$	
O _{Ma}	48.71	62.56	37.91	73.15	31	
Y _{Ma}	89.25	-9.92	83.91	84.49	97	
L _{Ma}	52.5	-62.91	19.95	66.0	162	
C _{Ma}	59.15	-27.87	-44.43	52.45	238	
V _{Ma}	29.13	22.73	-42.44	48.14	298	
M _{Ma}	49.51	71.08	-9.19	71.67	353	
N _{Ma}	20.0	0.0	0.0	0.0	0	
W _{Ma}	95.0	0.0	0.0	0.0	0	
O _{Ma}	39.92	58.74	27.99	65.07	25	
Y _{Ma}	81.26	-2.89	71.56	71.62	92	
L _{Ma}	52.23	-42.42	13.6	44.55	162	
V _{Ma}	30.57	1.41	-46.47	46.49	272	

Daten für Maximalfarbe (Ma):

$LAB^*LAB^*_{Ma}: 59\ 45\ 49$

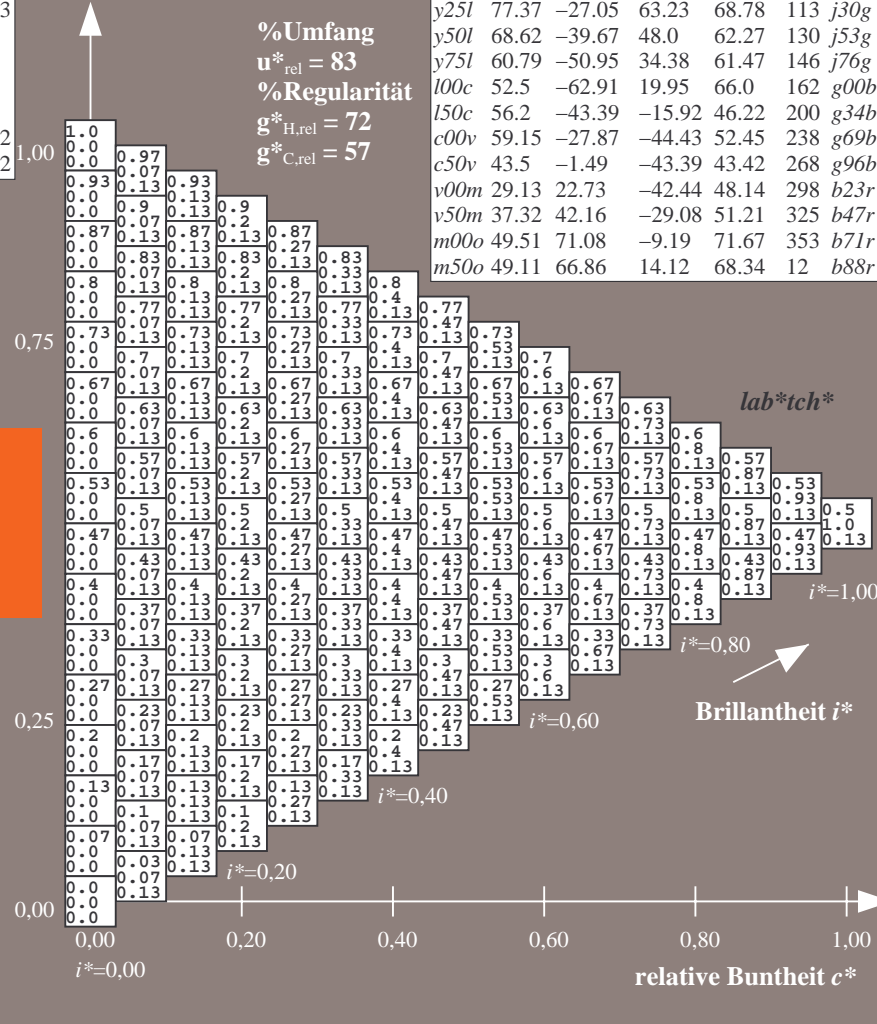
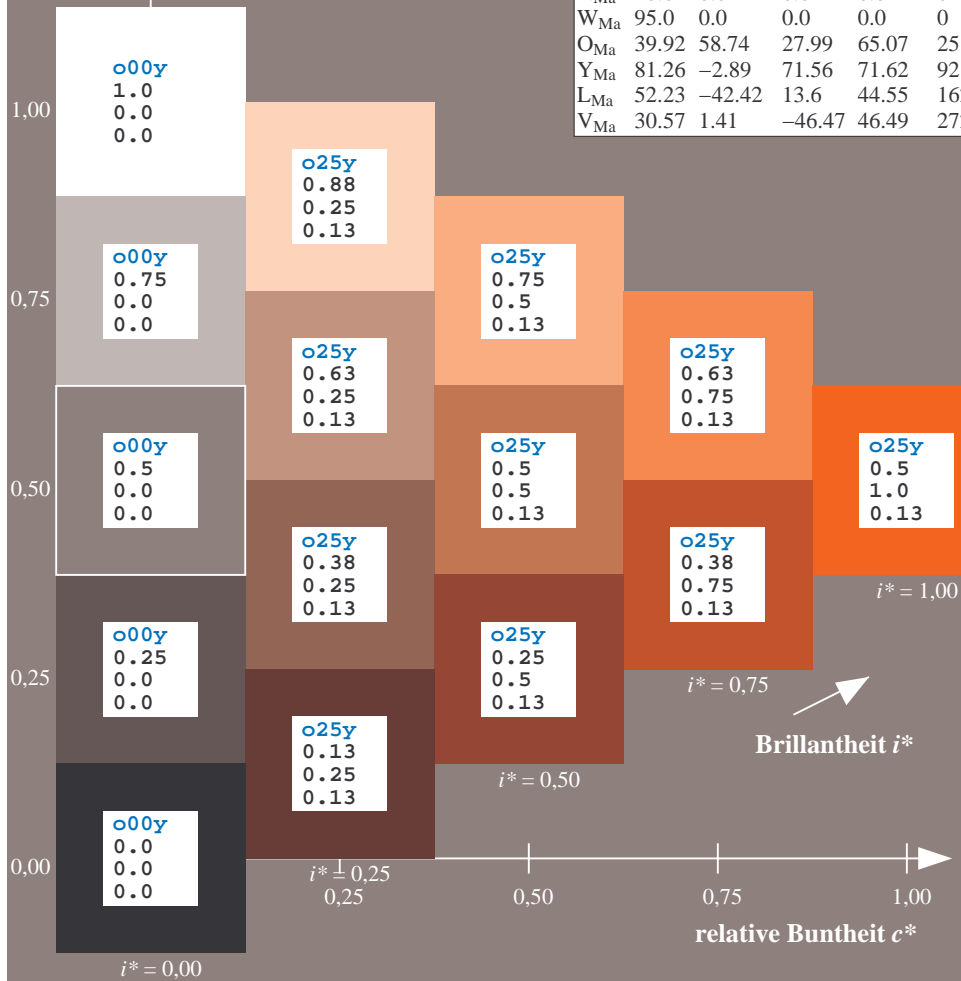
$LAB^*LCH^*_{Ma}: 59\ 67\ 47$

$lab^*olv^*_{Ma}: 1.0\ 0.25\ 0.0$

$lab^*rgb^*_{Ma}: 1.0\ 0.33\ 0.0$

Dreiecks-Helligkeit t^*

ORS20_95a; adaptierte CIELAB-Daten							
u^*_d	$L^*=L^*_a$	a^*_a	b^*_a	$C^*_{ab,a}$	$h^*_{ab,a}$	u^*_e	
o00y	48.71	62.56	37.91	73.15	31	r08j	
o25y	58.6	44.87	49.14	66.54	48	r33j	
o50y	67.52	28.93	59.25	65.94	64	r57j	
o75y	77.05	11.9	70.06	71.06	80	r81j	
y00l	89.25	-9.92	83.91	84.49	97	j06g	
y25l	77.37	-27.05	63.23	68.78	113	j30g	
y50l	68.62	-39.67	48.0	62.27	130	j53g	
y75l	60.79	-50.95	34.38	61.47	146	j76g	
l00c	52.5	-62.91	19.95	66.0	162	g00b	
l50c	56.2	-43.39	-15.92	46.22	200	g34b	
c00v	59.15	-27.87	-44.43	52.45	238	g69b	
c50v	43.5	-1.49	-43.39	43.42	268	g96b	
v00m	29.13	22.73	-42.44	48.14	298	b23r	
v50m	37.32	42.16	-29.08	51.21	325	b47r	
m00o	49.51	71.08	-9.19	71.67	353	b71r	
m50o	49.11	66.86	14.12	68.34	12	b88r	



Ein und Ausgabe: Farbmatisches Drucker-Reflektiv-System ORS20_95a für relativen CIELAB-Bunton $h^* = lab^*h^* = h_{ab}/360 = 0.178$

$u^*_d = o50y$

Daten für jede Farbe:

lab^*tch^* und lab^*icu^*

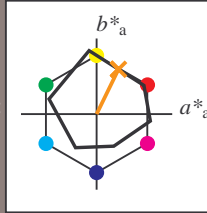
Buntontexte:

$u^*_d = o50y$ $u^*_e = r57j$

Kontrastreduzierungsfaktor:

$c_R = 0.96$

Dreiecks-Helligkeit t^*



ORS20_95a; adaptierte CIELAB-Daten

u^*_d	$L^*=L^*_a$	a^*_a	b^*_a	$C^*_{ab,a}$	$h^*_{ab,a}$
O _{Ma}	48.71	62.56	37.91	73.15	31
Y _{Ma}	89.25	-9.92	83.91	84.49	97
L _{Ma}	52.5	-62.91	19.95	66.0	162
C _{Ma}	59.15	-27.87	-44.43	52.45	238
V _{Ma}	29.13	22.73	-42.44	48.14	298
M _{Ma}	49.51	71.08	-9.19	71.67	353
N _{Ma}	20.0	0.0	0.0	0.0	0
W _{Ma}	95.0	0.0	0.0	0.0	0
O _{Ma}	39.92	58.74	27.99	65.07	25
Y _{Ma}	81.26	-2.89	71.56	71.62	92
L _{Ma}	52.23	-42.42	13.6	44.55	162
V _{Ma}	30.57	1.41	-46.47	46.49	272

Daten für Maximalfarbe (Ma):

$LAB^*LAB^*_{Ma}$: 68 29 59

$LAB^*LCH^*_{Ma}$: 68 66 63

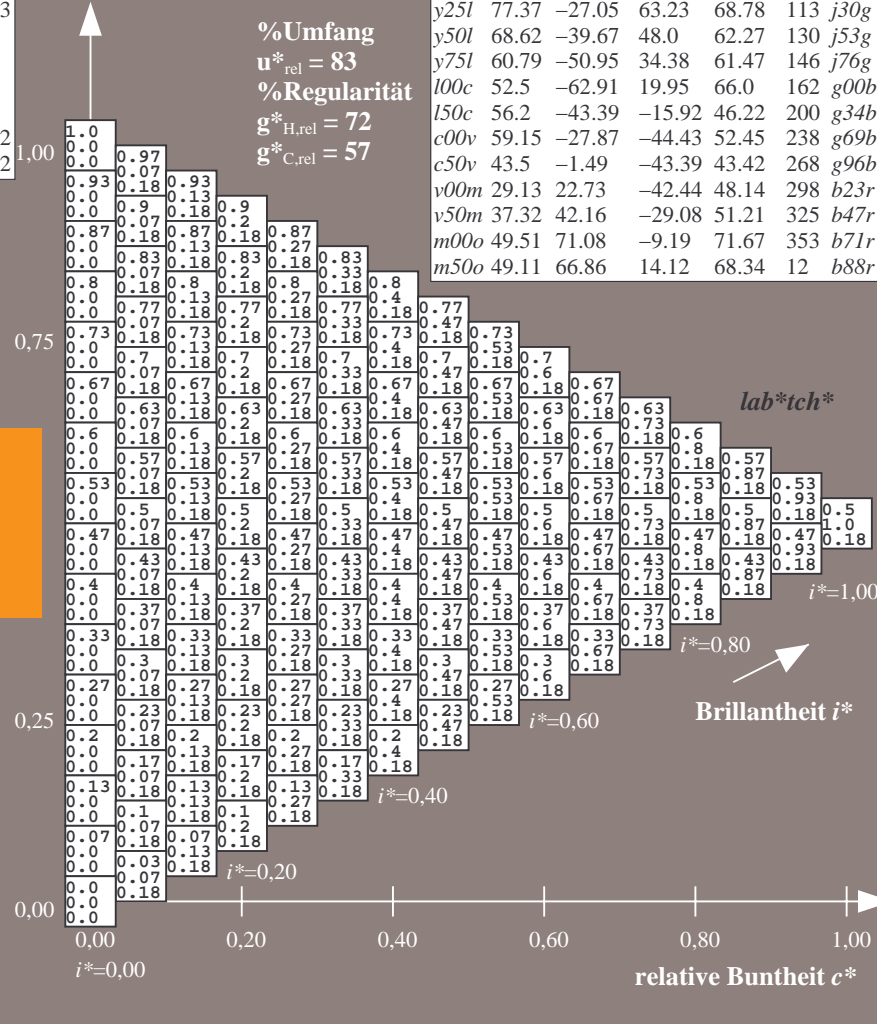
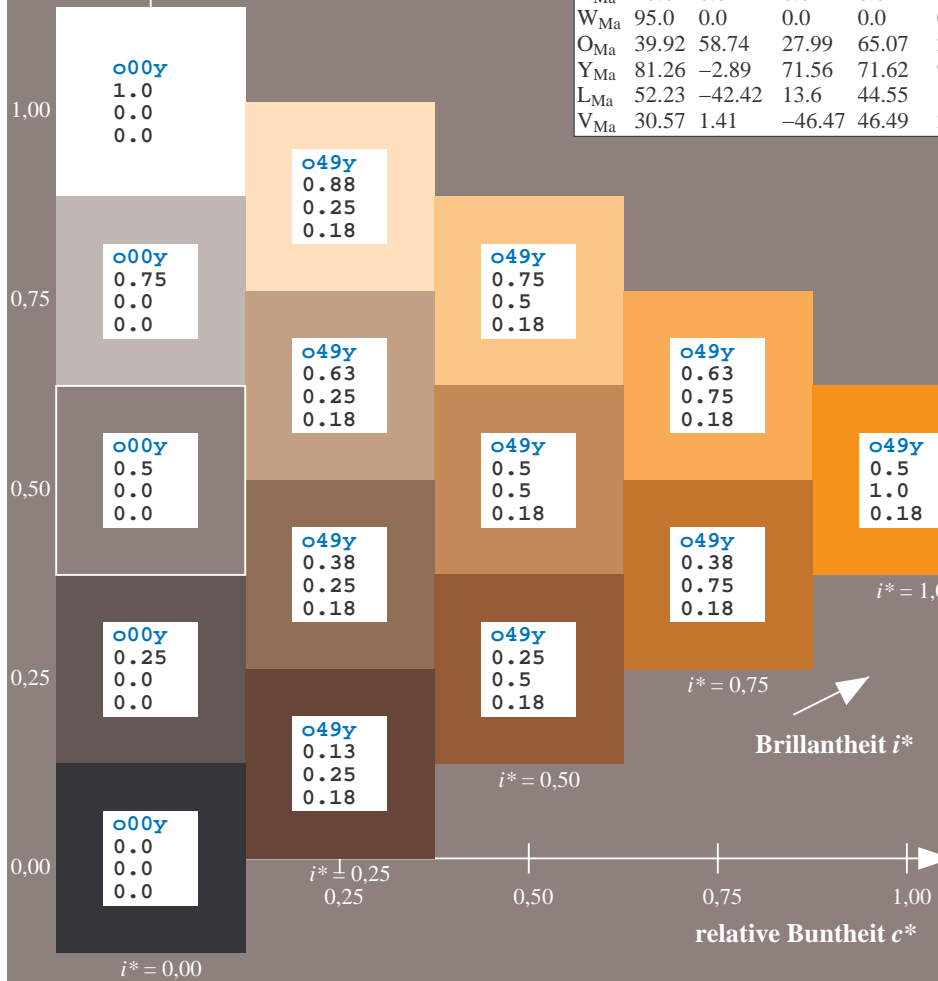
$lab^*olv^*_{Ma}$: 1.0 0.5 0.0

$lab^*rgb^*_{Ma}$: 1.0 0.58 0.0

Dreiecks-Helligkeit t^*

ORS20_95a; adaptierte CIELAB-Daten

u^*_d	$L^*=L^*_a$	a^*_a	b^*_a	$C^*_{ab,a}$	$h^*_{ab,a}$	u^*_e
o00y	48.71	62.56	37.91	73.15	31	r08j
o25y	58.6	44.87	49.14	66.54	48	r33j
o50y	67.52	28.93	59.25	65.94	64	r57j
o75y	77.05	11.9	70.06	71.06	80	r81j
y00l	89.25	-9.92	83.91	84.49	97	j06g
y25l	77.37	-27.05	63.23	68.78	113	j30g
y50l	68.62	-39.67	48.0	62.27	130	j53g
y75l	60.79	-50.95	34.38	61.47	146	j76g
l00c	52.5	-62.91	19.95	66.0	162	g00b
l50c	56.2	-43.39	-15.92	46.22	200	g34b
c00v	59.15	-27.87	-44.43	52.45	238	g69b
c50v	43.5	-1.49	-43.39	43.42	268	g96b
v00m	29.13	22.73	-42.44	48.14	298	b23r
v50m	37.32	42.16	-29.08	51.21	325	b47r
m00o	49.51	71.08	-9.19	71.67	353	b71r
m50o	49.11	66.86	14.12	68.34	12	b88r



%Umfang
 $u^*_{rel} = 83$
 %Regularität
 $g^*_{H,rel} = 72$
 $g^*_{C,rel} = 57$

lab^*tch^*
 Brillantheit i^*
 $i^* = 1.00$
 $i^* = 0.80$
 $i^* = 0.60$
 $i^* = 0.40$
 $i^* = 0.20$
 $i^* = 0.00$

Ein und Ausgabe: Farbmatisches Drucker-Reflektiv-System ORS20_95a für relativen CIELAB-Bunton $h^* = \text{lab}^*h^* = h_{ab}/360 = 0.223$

$u^*_d = 0.75y$

Daten für jede Farbe:

lab^*tch^* und lab^*icu^*

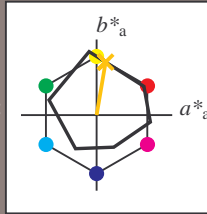
Buntontexte:

$u^*_d = 0.75y$ $u^*_e = r8lj$

Kontrastreduzierungsfaktor:

$c_R = 0.96$

Dreiecks-Helligkeit t^*



ORS20_95a; adaptierte CIELAB-Daten						
u^*_d	$L^*=L^*_a$	a^*_a	b^*_a	$C^*_{ab,a}$	$h^*_{ab,a}$	
O _{Ma}	48.71	62.56	37.91	73.15	31	
Y _{Ma}	89.25	-9.92	83.91	84.49	97	
L _{Ma}	52.5	-62.91	19.95	66.0	162	
C _{Ma}	59.15	-27.87	-44.43	52.45	238	
V _{Ma}	29.13	22.73	-42.44	48.14	298	
M _{Ma}	49.51	71.08	-9.19	71.67	353	
N _{Ma}	20.0	0.0	0.0	0.0	0	
W _{Ma}	95.0	0.0	0.0	0.0	0	
O _{Ma}	39.92	58.74	27.99	65.07	25	
Y _{Ma}	81.26	-2.89	71.56	71.62	92	
L _{Ma}	52.23	-42.42	13.6	44.55	162	
V _{Ma}	30.57	1.41	-46.47	46.49	272	

Daten für Maximalfarbe (Ma):

$\text{LAB}^*\text{LAB}^*_{Ma}: 77 \ 12 \ 70$

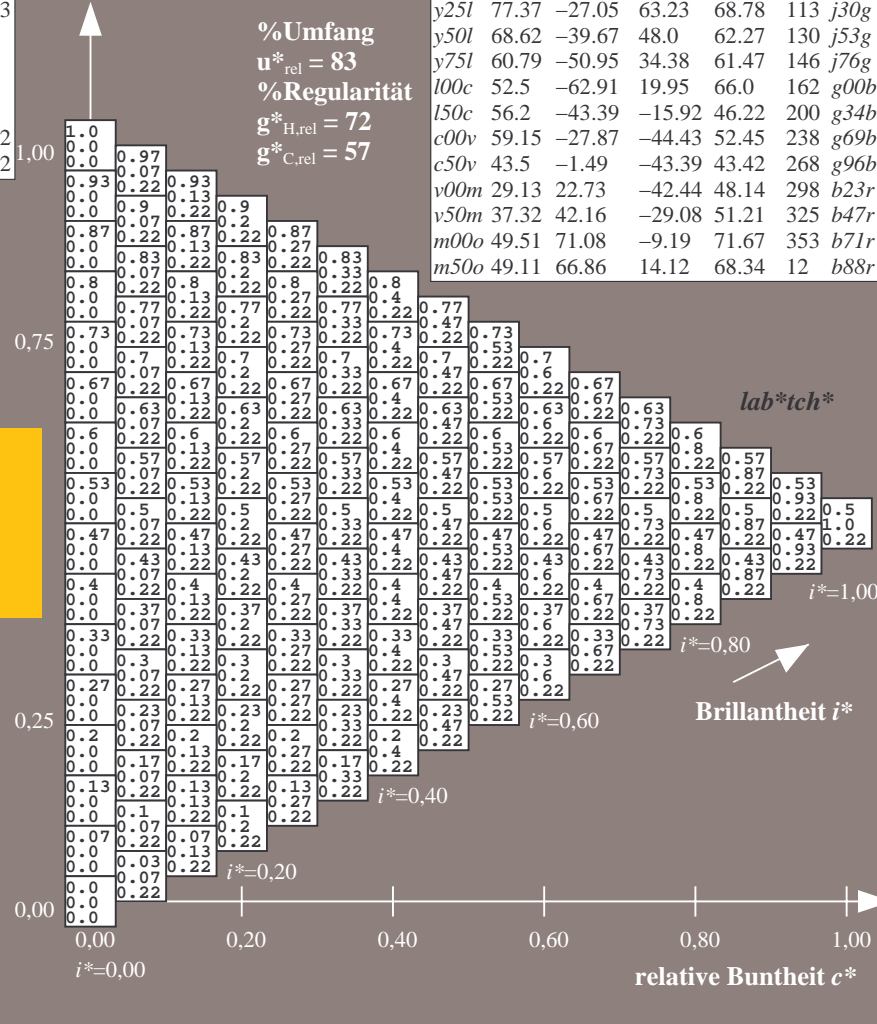
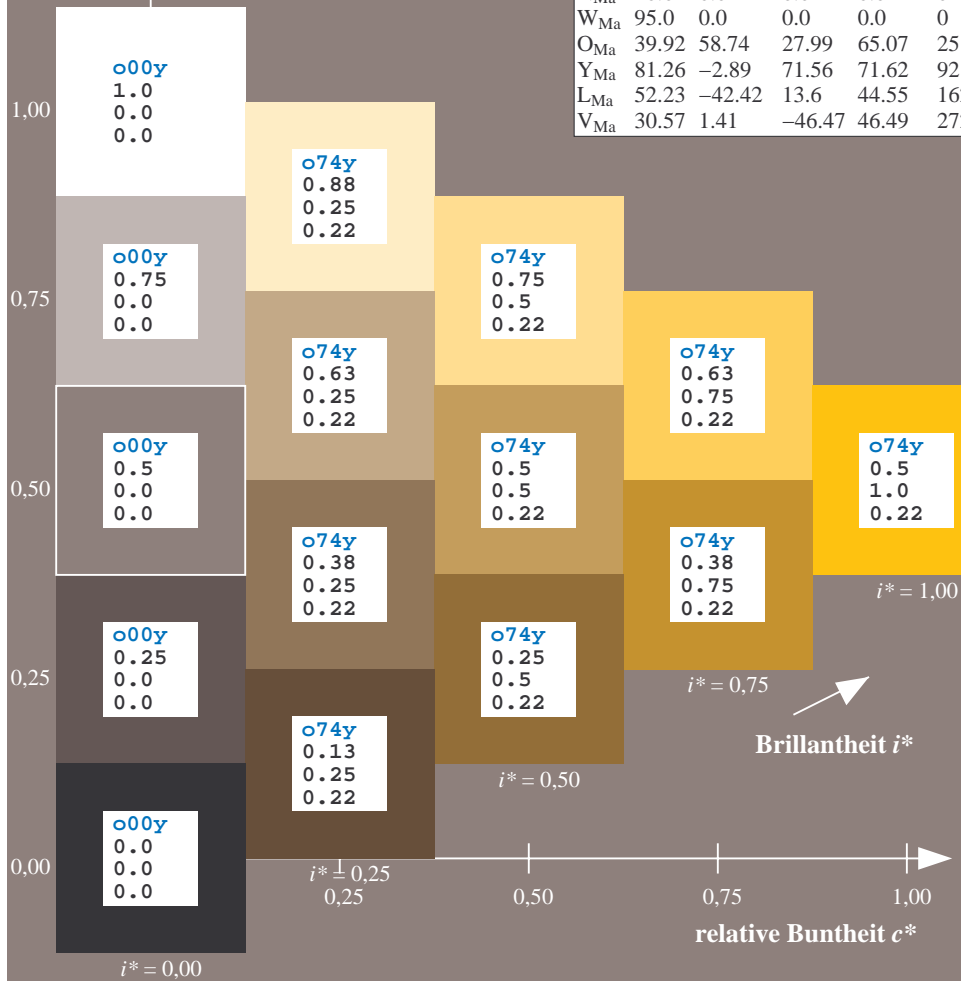
$\text{LAB}^*\text{LCH}^*_{Ma}: 77 \ 71 \ 80$

$\text{lab}^*\text{olv}^*_{Ma}: 1.0 \ 0.75 \ 0.0$

$\text{lab}^*\text{rgb}^*_{Ma}: 1.0 \ 0.82 \ 0.0$

Dreiecks-Helligkeit t^*

ORS20_95a; adaptierte CIELAB-Daten							
u^*_d	$L^*=L^*_a$	a^*_a	b^*_a	$C^*_{ab,a}$	$h^*_{ab,a}$	u^*_e	
o00y	48.71	62.56	37.91	73.15	31	r08j	
o25y	58.6	44.87	49.14	66.54	48	r33j	
o50y	67.52	28.93	59.25	65.94	64	r57j	
o75y	77.05	11.9	70.06	71.06	80	r8lj	
y00l	89.25	-9.92	83.91	84.49	97	j06g	
y25l	77.37	-27.05	63.23	68.78	113	j30g	
y50l	68.62	-39.67	48.0	62.27	130	j53g	
y75l	60.79	-50.95	34.38	61.47	146	j76g	
l00c	52.5	-62.91	19.95	66.0	162	g00b	
l50c	56.2	-43.39	-15.92	46.22	200	g34b	
c00v	59.15	-27.87	-44.43	52.45	238	g69b	
c50v	43.5	-1.49	-43.39	43.42	268	g96b	
v00m	29.13	22.73	-42.44	48.14	298	b23r	
v50m	37.32	42.16	-29.08	51.21	325	b47r	
m00o	49.51	71.08	-9.19	71.67	353	b71r	
m50o	49.11	66.86	14.12	68.34	12	b88r	



%Umfang
 $u^*_{rel} = 83$
 %Regularität
 $g^*_{H,rel} = 72$
 $g^*_{C,rel} = 57$

lab^*tch^*

Brillantheit i^*

Ein und Ausgabe: Farbmatisches Drucker-Reflektiv-System ORS20_95a für relativen CIELAB-Bunton $h^* = \text{lab}^*h^* = h_{ab}/360 = 0.269$

$u^*_d = y00l$

Daten für jede Farbe:

lab^*tch^* und lab^*icu^*

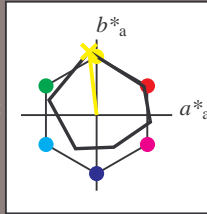
Buntontexte:

$u^*_d = y00l$ $u^*_e = j06g$

Kontrastreduzierungsfaktor:

$c_R = 0.96$

Dreiecks-Helligkeit t^*



ORS20_95a; adaptierte CIELAB-Daten

	u^*_d	$L^*=L^*_a$	a^*_a	b^*_a	$C^*_{ab,a}$	$h^*_{ab,a}$
O _{Ma}	48.71	62.56	37.91	73.15	31	
Y _{Ma}	89.25	-9.92	83.91	84.49	97	
L _{Ma}	52.5	-62.91	19.95	66.0	162	
C _{Ma}	59.15	-27.87	-44.43	52.45	238	
V _{Ma}	29.13	22.73	-42.44	48.14	298	
M _{Ma}	49.51	71.08	-9.19	71.67	353	
N _{Ma}	20.0	0.0	0.0	0.0	0	
W _{Ma}	95.0	0.0	0.0	0.0	0	
O _{Ma}	39.92	58.74	27.99	65.07	25	
Y _{Ma}	81.26	-2.89	71.56	71.62	92	
L _{Ma}	52.23	-42.42	13.6	44.55	162	
V _{Ma}	30.57	1.41	-46.47	46.49	272	

Daten für Maximalfarbe (Ma):

$\text{LAB}^*\text{LAB}^*_{Ma}: 89 -10 84$

$\text{LAB}^*\text{LCH}^*_{Ma}: 89 84 96$

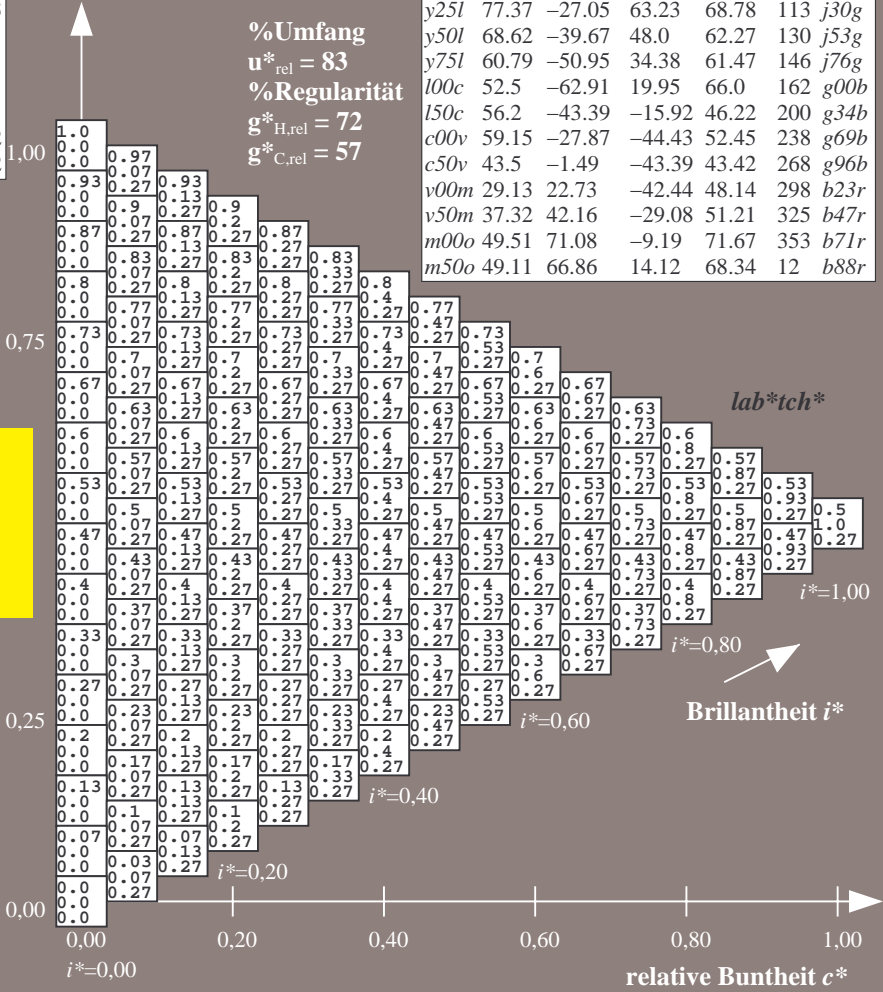
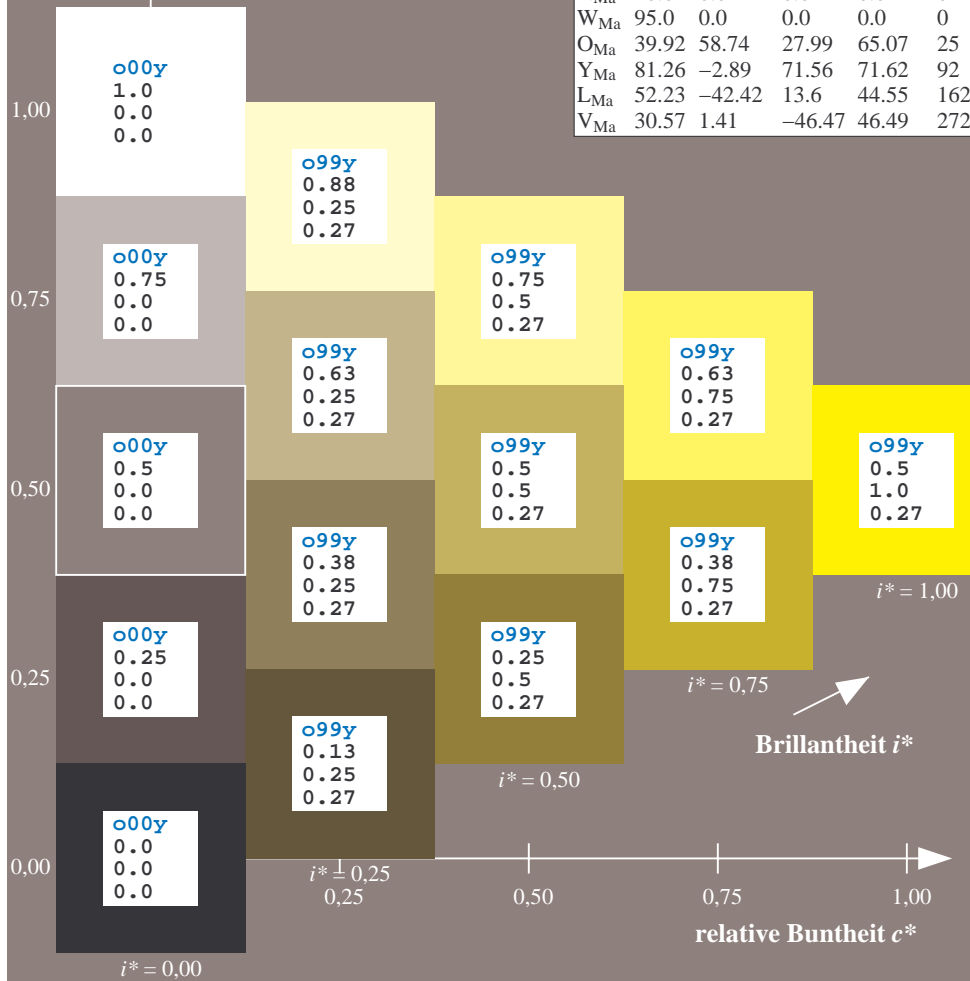
$\text{lab}^*\text{olv}^*_{Ma}: 1.0 1.0 0.0$

$\text{lab}^*\text{rgb}^*_{Ma}: 0.94 1.0 0.0$

Dreiecks-Helligkeit t^*

ORS20_95a; adaptierte CIELAB-Daten

	u^*_d	$L^*=L^*_a$	a^*_a	b^*_a	$C^*_{ab,a}$	$h^*_{ab,a}$	u^*_e
o00y	48.71	62.56	37.91	73.15	31		r08j
o25y	58.6	44.87	49.14	66.54	48		r33j
o50y	67.52	28.93	59.25	65.94	64		r57j
o75y	77.05	11.9	70.06	71.06	80		r81j
y00l	89.25	-9.92	83.91	84.49	97		j06g
y25l	77.37	-27.05	63.23	68.78	113		j30g
y50l	68.62	-39.67	48.0	62.27	130		j53g
y75l	60.79	-50.95	34.38	61.47	146		j76g
l00c	52.5	-62.91	19.95	66.0	162		g00b
l50c	56.2	-43.39	-15.92	46.22	200		g34b
c00v	59.15	-27.87	-44.43	52.45	238		g69b
c50v	43.5	-1.49	-43.39	43.42	268		g96b
v00m	29.13	22.73	-42.44	48.14	298		b23r
v50m	37.32	42.16	-29.08	51.21	325		b47r
m00o	49.51	71.08	-9.19	71.67	353		b71r
m50o	49.11	66.86	14.12	68.34	12		b88r



Ein und Ausgabe: Farbmetrisches Drucker-Reflektiv-System ORS20_95a für relativen CIELAB-Bunton $h^* = \text{lab}^*h^* = h_{ab}/360 = 0.314$

$u^*_d = y25l$

Daten für jede Farbe:

lab^*tch^* und lab^*icu^*

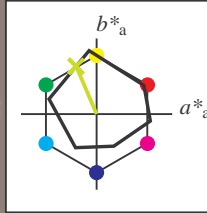
Buntontexte:

$u^*_d = y25l$ $u^*_e = j30g$

Kontrastreduzierungsfaktor:

$c_R = 0.96$

Dreiecks-Helligkeit t^*



ORS20_95a; adaptierte CIELAB-Daten

u^*_d	$L^*=L^*_a$	a^*_a	b^*_a	$C^*_{ab,a}$	$h^*_{ab,a}$
O _{Ma}	48.71	62.56	37.91	73.15	31
Y _{Ma}	89.25	-9.92	83.91	84.49	97
L _{Ma}	52.5	-62.91	19.95	66.0	162
C _{Ma}	59.15	-27.87	-44.43	52.45	238
V _{Ma}	29.13	22.73	-42.44	48.14	298
M _{Ma}	49.51	71.08	-9.19	71.67	353
N _{Ma}	20.0	0.0	0.0	0.0	0
W _{Ma}	95.0	0.0	0.0	0.0	0
O _{Ma}	39.92	58.74	27.99	65.07	25
Y _{Ma}	81.26	-2.89	71.56	71.62	92
L _{Ma}	52.23	-42.42	13.6	44.55	162
V _{Ma}	30.57	1.41	-46.47	46.49	272

Daten für Maximalfarbe (Ma):

$\text{LAB}^*\text{LAB}^*_{Ma}: 77 -27 63$

$\text{LAB}^*\text{LCH}^*_{Ma}: 77 69 113$

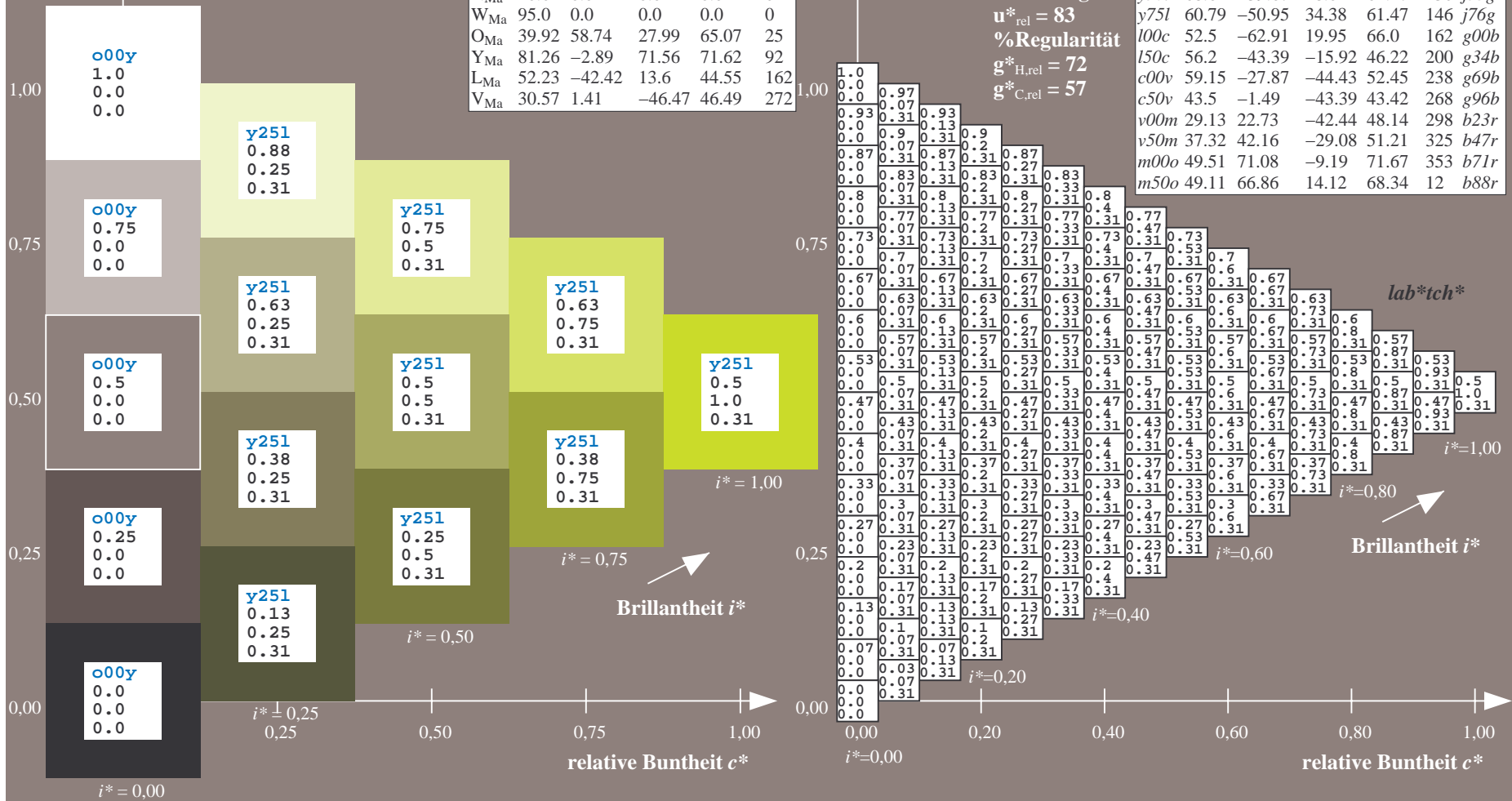
$\text{lab}^*\text{olv}^*_{Ma}: 0.75 1.0 0.0$

$\text{lab}^*\text{rgb}^*_{Ma}: 0.7 1.0 0.0$

Dreiecks-Helligkeit t^*

ORS20_95a; adaptierte CIELAB-Daten

u^*_d	$L^*=L^*_a$	a^*_a	b^*_a	$C^*_{ab,a}$	$h^*_{ab,a}$	u^*_e
o00y	48.71	62.56	37.91	73.15	31	r08j
o25y	58.6	44.87	49.14	66.54	48	r33j
o50y	67.52	28.93	59.25	65.94	64	r57j
o75y	77.05	11.9	70.06	71.06	80	r81j
y00l	89.25	-9.92	83.91	84.49	97	j06g
y25l	77.37	-27.05	63.23	68.78	113	j30g
y50l	68.62	-39.67	48.0	62.27	130	j53g
y75l	60.79	-50.95	34.38	61.47	146	j76g
l00c	52.5	-62.91	19.95	66.0	162	g00b
l50c	56.2	-43.39	-15.92	46.22	200	g34b
c00v	59.15	-27.87	-44.43	52.45	238	g69b
c50v	43.5	-1.49	-43.39	43.42	268	g96b
v00m	29.13	22.73	-42.44	48.14	298	b23r
v50m	37.32	42.16	-29.08	51.21	325	b47r
m00o	49.51	71.08	-9.19	71.67	353	b71r
m50o	49.11	66.86	14.12	68.34	12	b88r



Ein und Ausgabe: Farbmatisches Drucker-Reflektiv-System ORS20_95a für relativen CIELAB-Bunton $h^* = lab^*h^* = h_{ab}/360 = 0.36$

$u^*_d = y50l$

Daten für jede Farbe:

lab^*tch^* und lab^*icu^*

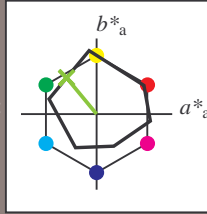
Buntontexte:

$u^*_d = y50l$ $u^*_e = j53g$

Kontrastreduzierungsfaktor:

$c_R = 0.96$

Dreiecks-Helligkeit t^*



ORS20_95a; adaptierte CIELAB-Daten

u^*_d	$L^*=L^*_a$	a^*_a	b^*_a	$C^*_{ab,a}$	$h^*_{ab,a}$
O _{Ma}	48.71	62.56	37.91	73.15	31
Y _{Ma}	89.25	-9.92	83.91	84.49	97
L _{Ma}	52.5	-62.91	19.95	66.0	162
C _{Ma}	59.15	-27.87	-44.43	52.45	238
V _{Ma}	29.13	22.73	-42.44	48.14	298
M _{Ma}	49.51	71.08	-9.19	71.67	353
N _{Ma}	20.0	0.0	0.0	0.0	0
W _{Ma}	95.0	0.0	0.0	0.0	0
O _{Ma}	39.92	58.74	27.99	65.07	25
Y _{Ma}	81.26	-2.89	71.56	71.62	92
L _{Ma}	52.23	-42.42	13.6	44.55	162
V _{Ma}	30.57	1.41	-46.47	46.49	272

Daten für Maximalfarbe (Ma):

$LAB^*LAB^*_{Ma}$: 69 -40 48

$LAB^*LCH^*_{Ma}$: 69 62 129

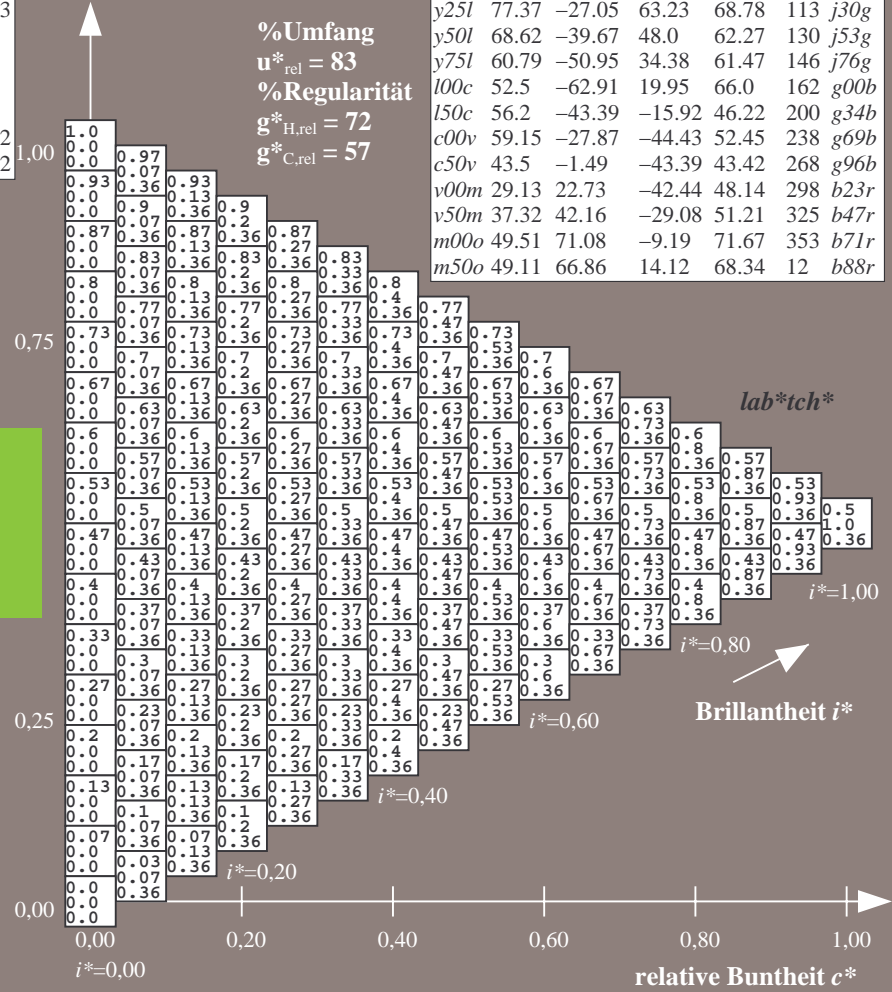
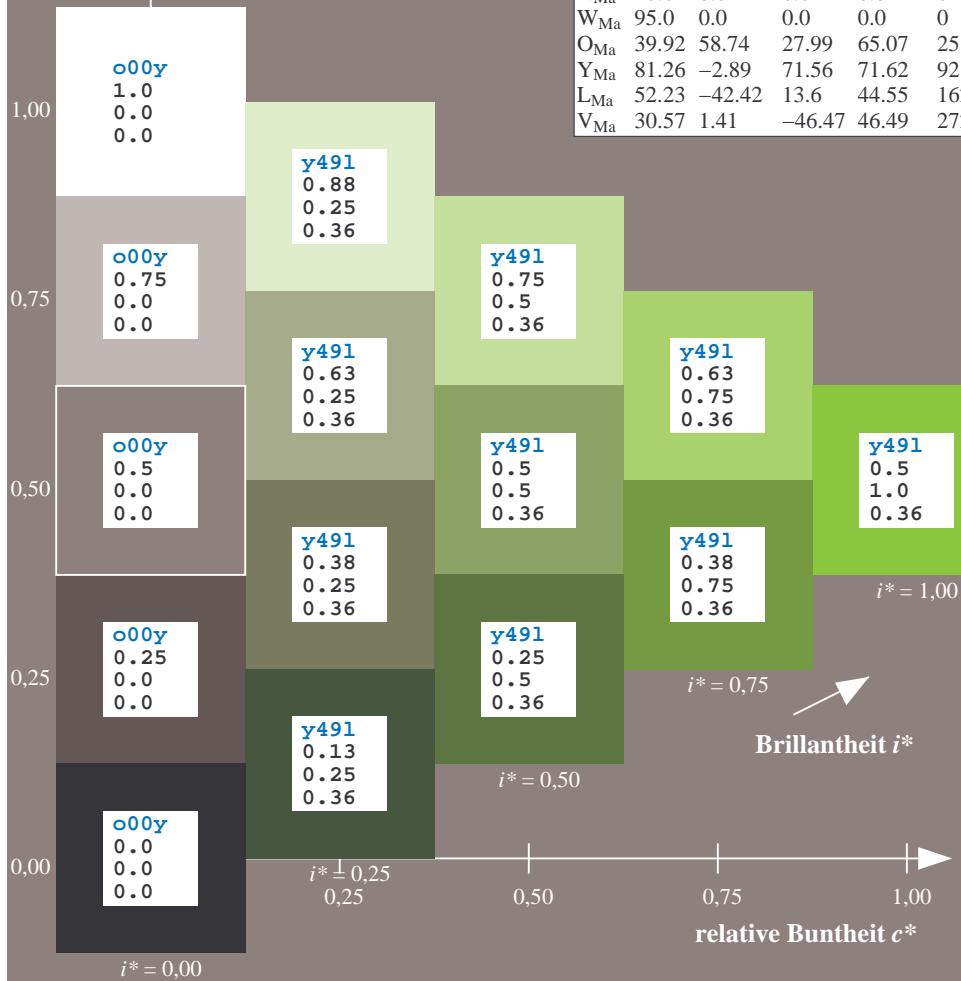
$lab^*olv^*_{Ma}$: 0.5 1.0 0.0

$lab^*rgb^*_{Ma}$: 0.47 1.0 0.0

Dreiecks-Helligkeit t^*

ORS20_95a; adaptierte CIELAB-Daten

u^*_d	$L^*=L^*_a$	a^*_a	b^*_a	$C^*_{ab,a}$	$h^*_{ab,a}$	u^*_e
o00y	48.71	62.56	37.91	73.15	31	r08j
o25y	58.6	44.87	49.14	66.54	48	r33j
o50y	67.52	28.93	59.25	65.94	64	r57j
o75y	77.05	11.9	70.06	71.06	80	r81j
y00l	89.25	-9.92	83.91	84.49	97	j06g
y25l	77.37	-27.05	63.23	68.78	113	j30g
y50l	68.62	-39.67	48.0	62.27	130	j53g
y75l	60.79	-50.95	34.38	61.47	146	j76g
l00c	52.5	-62.91	19.95	66.0	162	g00b
l50c	56.2	-43.39	-15.92	46.22	200	g34b
c00v	59.15	-27.87	-44.43	52.45	238	g69b
c50v	43.5	-1.49	-43.39	43.42	268	g96b
v00m	29.13	22.73	-42.44	48.14	298	b23r
v50m	37.32	42.16	-29.08	51.21	325	b47r
m00o	49.51	71.08	-9.19	71.67	353	b71r
m50o	49.11	66.86	14.12	68.34	12	b88r



%Umfang
 $u^*_{rel} = 83$
%Regularität
 $g^*_{H,rel} = 72$
 $g^*_{C,rel} = 57$

lab^*tch^*

Brillantheit i^*

$i^* = 1.00$

$i^* = 0.80$

$i^* = 0.60$

$i^* = 0.40$

$i^* = 0.20$

$i^* = 0.00$

Ein und Ausgabe: Farbmatisches Drucker-Reflektiv-System ORS20_95a für relativen CIELAB-Bunton $h^* = \text{lab}^*h^* = h_{ab}/360 = 0.406$

$u^*_d = y75l$

Daten für jede Farbe:

lab^*tch^* und lab^*icu^*

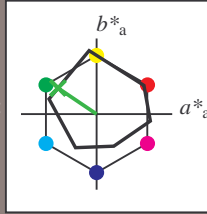
Buntontexte:

$u^*_d = y75l$ $u^*_e = j76g$

Kontrastreduzierungsfaktor:

$c_R = 0.96$

Dreiecks-Helligkeit t^*



ORS20_95a; adaptierte CIELAB-Daten

	u^*_d	$L^*=L^*_a$	a^*_a	b^*_a	$C^*_{ab,a}$	$h^*_{ab,a}$
O _{Ma}	48.71	62.56	37.91	73.15	31	
Y _{Ma}	89.25	-9.92	83.91	84.49	97	
L _{Ma}	52.5	-62.91	19.95	66.0	162	
C _{Ma}	59.15	-27.87	-44.43	52.45	238	
V _{Ma}	29.13	22.73	-42.44	48.14	298	
M _{Ma}	49.51	71.08	-9.19	71.67	353	
N _{Ma}	20.0	0.0	0.0	0.0	0	
W _{Ma}	95.0	0.0	0.0	0.0	0	
O _{Ma}	39.92	58.74	27.99	65.07	25	
Y _{Ma}	81.26	-2.89	71.56	71.62	92	
L _{Ma}	52.23	-42.42	13.6	44.55	162	
V _{Ma}	30.57	1.41	-46.47	46.49	272	

Daten für Maximalfarbe (Ma):

$\text{LAB}^*\text{LAB}^*_{Ma}: 61 -51 34$

$\text{LAB}^*\text{LCH}^*_{Ma}: 61 61 145$

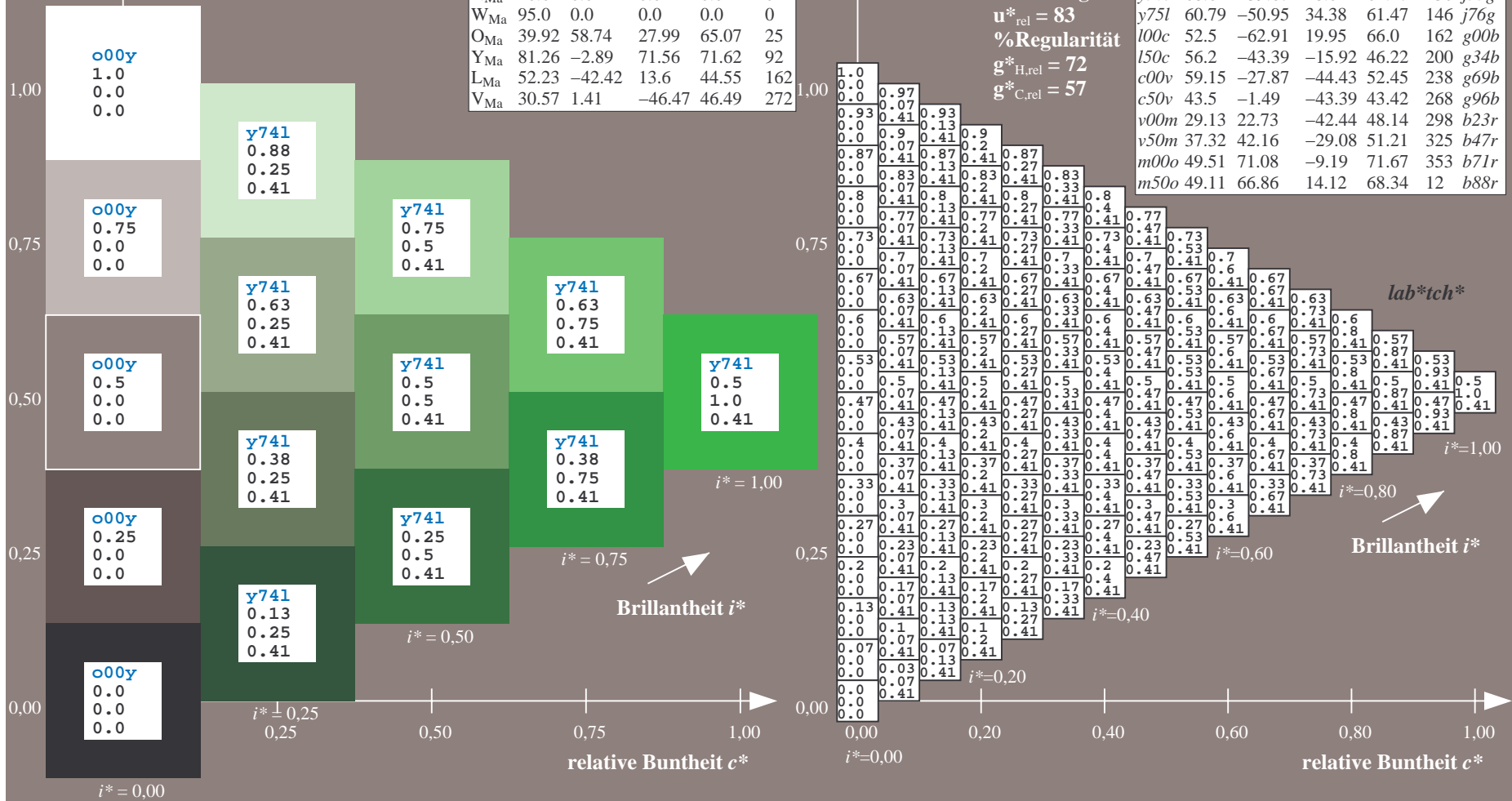
$\text{lab}^*\text{olv}^*_{Ma}: 0.25 1.0 0.0$

$\text{lab}^*\text{rgb}^*_{Ma}: 0.23 1.0 0.0$

Dreiecks-Helligkeit t^*

ORS20_95a; adaptierte CIELAB-Daten

	u^*_d	$L^*=L^*_a$	a^*_a	b^*_a	$C^*_{ab,a}$	$h^*_{ab,a}$	u^*_e
o00y	48.71	62.56	37.91	73.15	31		r08j
o25y	58.6	44.87	49.14	66.54	48		r33j
o50y	67.52	28.93	59.25	65.94	64		r57j
o75y	77.05	11.9	70.06	71.06	80		r81j
y00l	89.25	-9.92	83.91	84.49	97		j06g
y25l	77.37	-27.05	63.23	68.78	113		j30g
y50l	68.62	-39.67	48.0	62.27	130		j53g
y75l	60.79	-50.95	34.38	61.47	146		j76g
l00c	52.5	-62.91	19.95	66.0	162		g00b
l50c	56.2	-43.39	-15.92	46.22	200		g34b
c00v	59.15	-27.87	-44.43	52.45	238		g69b
c50v	43.5	-1.49	-43.39	43.42	268		g96b
v00m	29.13	22.73	-42.44	48.14	298		b23r
v50m	37.32	42.16	-29.08	51.21	325		b47r
m00o	49.51	71.08	-9.19	71.67	353		b71r
m50o	49.11	66.86	14.12	68.34	12		b88r



Ein und Ausgabe: Farbmatisches Drucker-Reflektiv-System ORS20_95a für relativen CIELAB-Bunton $h^* = lab^*h^* = h_{ab}/360 = 0.451$

$u^*_d = 100c$

Daten für jede Farbe:

lab^*tch^* und lab^*icu^*

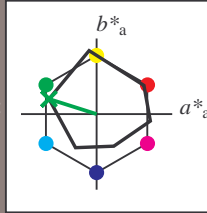
Buntontexte:

$u^*_d = 100c$ $u^*_e = g00b$

Kontrastreduzierungsfaktor:

$c_R = 0.96$

Dreiecks-Helligkeit t^*



ORS20_95a; adaptierte CIELAB-Daten

	u^*_d	$L^*=L^*_a$	a^*_a	b^*_a	$C^*_{ab,a}$	$h^*_{ab,a}$
O _{Ma}	48.71	62.56	37.91	73.15	31	
Y _{Ma}	89.25	-9.92	83.91	84.49	97	
L _{Ma}	52.5	-62.91	19.95	66.0	162	
C _{Ma}	59.15	-27.87	-44.43	52.45	238	
V _{Ma}	29.13	22.73	-42.44	48.14	298	
M _{Ma}	49.51	71.08	-9.19	71.67	353	
N _{Ma}	20.0	0.0	0.0	0.0	0	
W _{Ma}	95.0	0.0	0.0	0.0	0	
O _{Ma}	39.92	58.74	27.99	65.07	25	
Y _{Ma}	81.26	-2.89	71.56	71.62	92	
L _{Ma}	52.23	-42.42	13.6	44.55	162	
V _{Ma}	30.57	1.41	-46.47	46.49	272	

Daten für Maximalfarbe (Ma):

$LAB^*LAB^*_{Ma}: 52 -63 20$

$LAB^*LCH^*_{Ma}: 52 66 162$

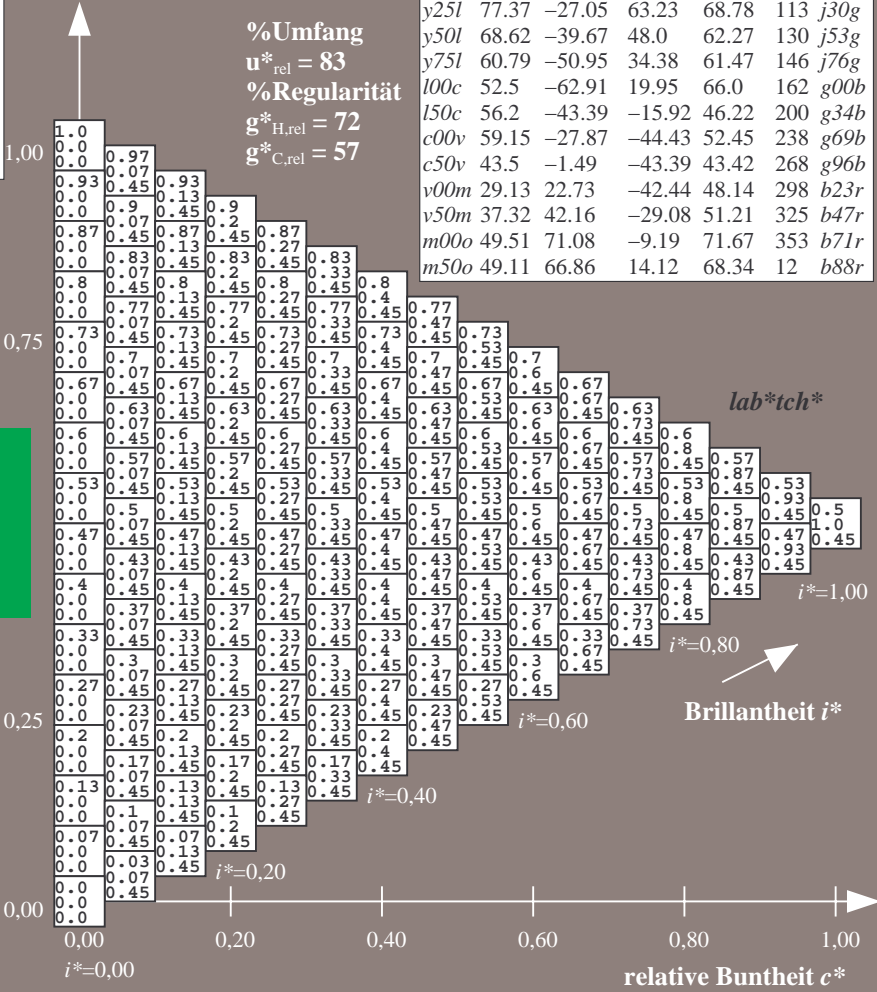
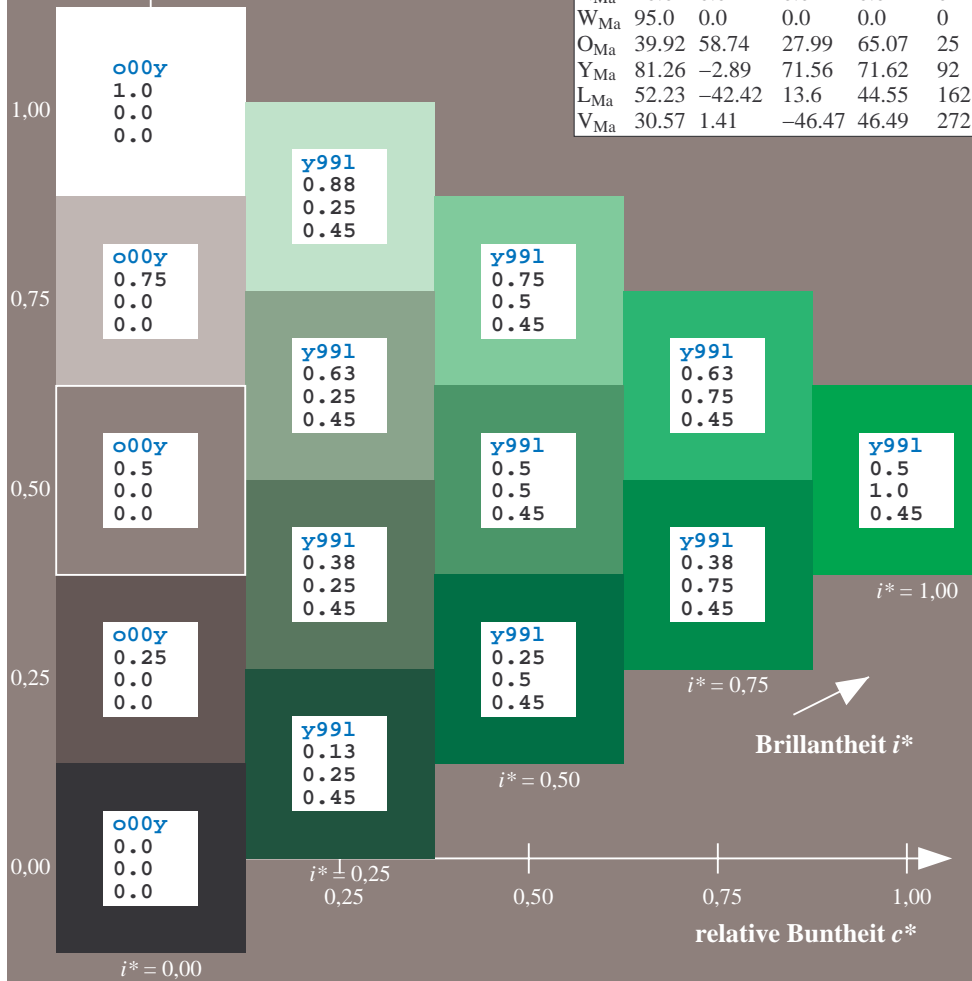
$lab^*olv^*_{Ma}: 0.0 1.0 0.0$

$lab^*rgb^*_{Ma}: 0.0 1.0 0.0$

Dreiecks-Helligkeit t^*

ORS20_95a; adaptierte CIELAB-Daten

	u^*_d	$L^*=L^*_a$	a^*_a	b^*_a	$C^*_{ab,a}$	$h^*_{ab,a}$	u^*_e
o00y	48.71	62.56	37.91	73.15	31		r08j
o25y	58.6	44.87	49.14	66.54	48		r33j
o50y	67.52	28.93	59.25	65.94	64		r57j
o75y	77.05	11.9	70.06	71.06	80		r81j
y00l	89.25	-9.92	83.91	84.49	97		j06g
y25l	77.37	-27.05	63.23	68.78	113		j30g
y50l	68.62	-39.67	48.0	62.27	130		j53g
y75l	60.79	-50.95	34.38	61.47	146		j76g
l00c	52.5	-62.91	19.95	66.0	162		g00b
l50c	56.2	-43.39	-15.92	46.22	200		g34b
c00v	59.15	-27.87	-44.43	52.45	238		g69b
c50v	43.5	-1.49	-43.39	43.42	268		g96b
v00m	29.13	22.73	-42.44	48.14	298		b23r
v50m	37.32	42.16	-29.08	51.21	325		b47r
m00o	49.51	71.08	-9.19	71.67	353		b71r
m50o	49.11	66.86	14.12	68.34	12		b88r



%Umfang
 $u^*_{rel} = 83$
 %Regularität
 $g^*_{H,rel} = 72$
 $g^*_{C,rel} = 57$

lab^*tch^*

$i^* = 1.00$

$i^* = 0.80$

Brillantheit i^*

$i^* = 0.60$

$i^* = 0.40$

$i^* = 0.20$

$i^* = 0.00$

Ein und Ausgabe: Farbmatisches Drucker-Reflektiv-System ORS20_95a für relativen CIELAB-Bunton $h^* = \text{lab}^*h^* = h_{ab}/360 = 0.556$

$u^*_d = 150c$

Daten für jede Farbe:

lab^*tch^* und lab^*icu^*

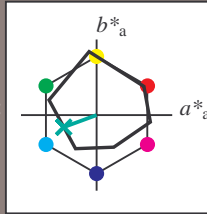
Buntontexte:

$u^*_d = 150c$ $u^*_e = g34b$

Kontrastreduzierungsfaktor:

$c_R = 0.96$

Dreiecks-Helligkeit t^*



ORS20_95a; adaptierte CIELAB-Daten

u^*_d	$L^*=L^*_a$	a^*_a	b^*_a	$C^*_{ab,a}$	$h^*_{ab,a}$
O _{Ma}	48.71	62.56	37.91	73.15	31
Y _{Ma}	89.25	-9.92	83.91	84.49	97
L _{Ma}	52.5	-62.91	19.95	66.0	162
C _{Ma}	59.15	-27.87	-44.43	52.45	238
V _{Ma}	29.13	22.73	-42.44	48.14	298
M _{Ma}	49.51	71.08	-9.19	71.67	353
N _{Ma}	20.0	0.0	0.0	0.0	0
W _{Ma}	95.0	0.0	0.0	0.0	0
O _{Ma}	39.92	58.74	27.99	65.07	25
Y _{Ma}	81.26	-2.89	71.56	71.62	92
L _{Ma}	52.23	-42.42	13.6	44.55	162
V _{Ma}	30.57	1.41	-46.47	46.49	272

Daten für Maximalfarbe (Ma):

$\text{LAB}^*\text{LAB}^*_{Ma}$: 56 -43 -16

$\text{LAB}^*\text{LCH}^*_{Ma}$: 56 46 200

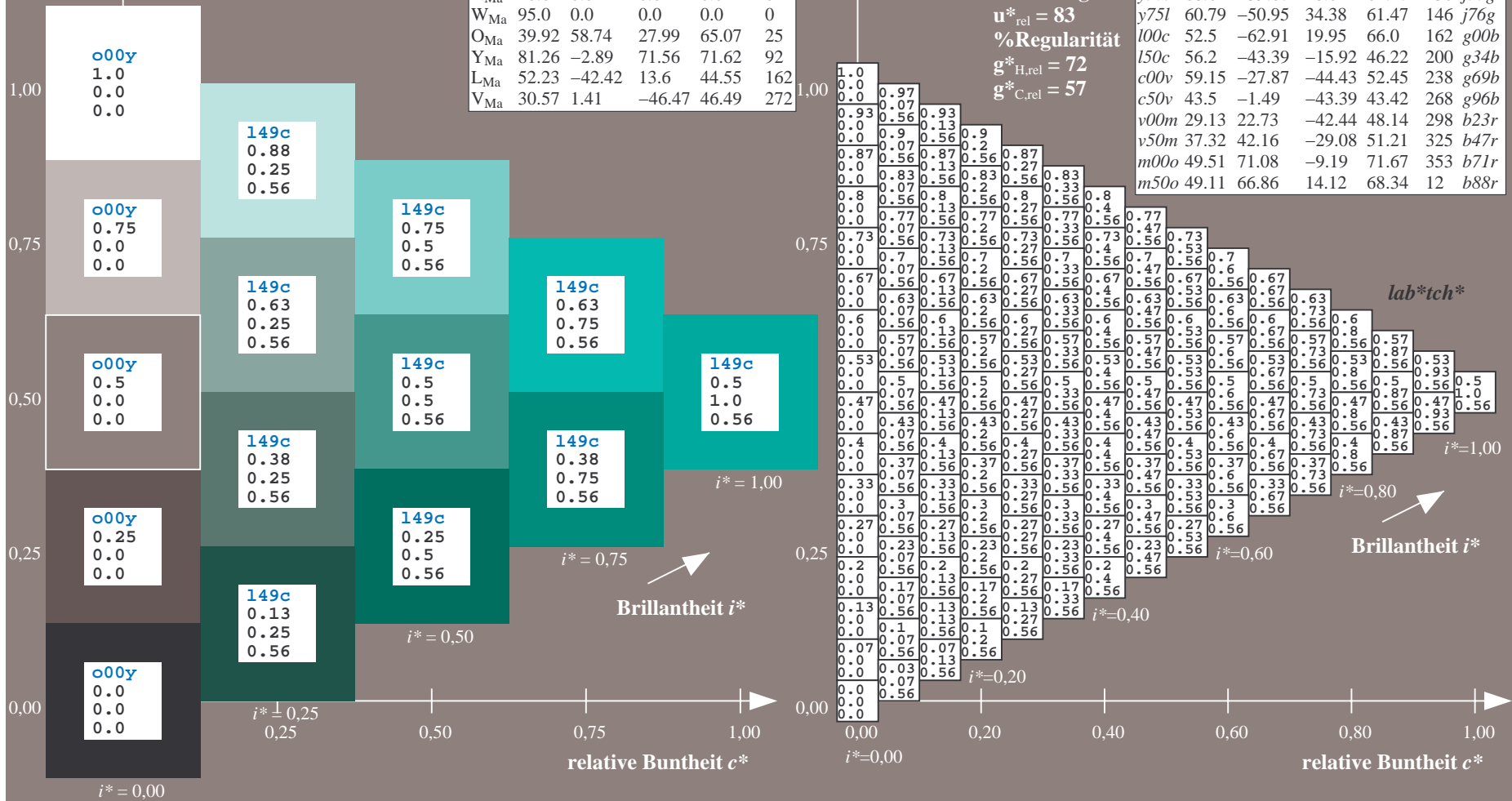
$\text{lab}^*\text{olv}^*_{Ma}$: 0.0 1.0 0.5

$\text{lab}^*\text{rgb}^*_{Ma}$: 0.0 1.0 0.69

Dreiecks-Helligkeit t^*

ORS20_95a; adaptierte CIELAB-Daten

u^*_d	$L^*=L^*_a$	a^*_a	b^*_a	$C^*_{ab,a}$	$h^*_{ab,a}$	u^*_e
o00y	48.71	62.56	37.91	73.15	31	r08j
o25y	58.6	44.87	49.14	66.54	48	r33j
o50y	67.52	28.93	59.25	65.94	64	r57j
o75y	77.05	11.9	70.06	71.06	80	r81j
y00l	89.25	-9.92	83.91	84.49	97	j06g
y25l	77.37	-27.05	63.23	68.78	113	j30g
y50l	68.62	-39.67	48.0	62.27	130	j53g
y75l	60.79	-50.95	34.38	61.47	146	j76g
l00c	52.5	-62.91	19.95	66.0	162	g00b
l50c	56.2	-43.39	-15.92	46.22	200	g34b
c00v	59.15	-27.87	-44.43	52.45	238	g69b
c50v	43.5	-1.49	-43.39	43.42	268	g96b
v00m	29.13	22.73	-42.44	48.14	298	b23r
v50m	37.32	42.16	-29.08	51.21	325	b47r
m00o	49.51	71.08	-9.19	71.67	353	b71r
m50o	49.11	66.86	14.12	68.34	12	b88r



Ein und Ausgabe: Farbmatisches Drucker-Reflektiv-System ORS20_95a für relativen CIELAB-Bunton $h^* = \text{lab}^*h^* = h_{ab}/360 = 0.661$

$u^*_d = c00v$

Daten für jede Farbe:

lab^*tch^* und lab^*icu^*

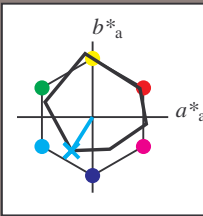
Buntontexte:

$u^*_d = c00v$ $u^*_e = g69b$

Kontrastreduzierungsfaktor:

$c_R = 0.96$

Dreiecks-Helligkeit t^*



ORS20_95a; adaptierte CIELAB-Daten

	u^*_d	$L^*=L^*_a$	a^*_a	b^*_a	$C^*_{ab,a}$	$h^*_{ab,a}$
O _{Ma}	48.71	62.56	37.91	73.15	31	
Y _{Ma}	89.25	-9.92	83.91	84.49	97	
L _{Ma}	52.5	-62.91	19.95	66.0	162	
C _{Ma}	59.15	-27.87	-44.43	52.45	238	
V _{Ma}	29.13	22.73	-42.44	48.14	298	
M _{Ma}	49.51	71.08	-9.19	71.67	353	
N _{Ma}	20.0	0.0	0.0	0.0	0	
W _{Ma}	95.0	0.0	0.0	0.0	0	
O _{Ma}	39.92	58.74	27.99	65.07	25	
Y _{Ma}	81.26	-2.89	71.56	71.62	92	
L _{Ma}	52.23	-42.42	13.6	44.55	162	
V _{Ma}	30.57	1.41	-46.47	46.49	272	

Daten für Maximalfarbe (Ma):

$\text{LAB}^*\text{LAB}^*_{Ma}: 59 -28 -44$

$\text{LAB}^*\text{LCH}^*_{Ma}: 59 52 237$

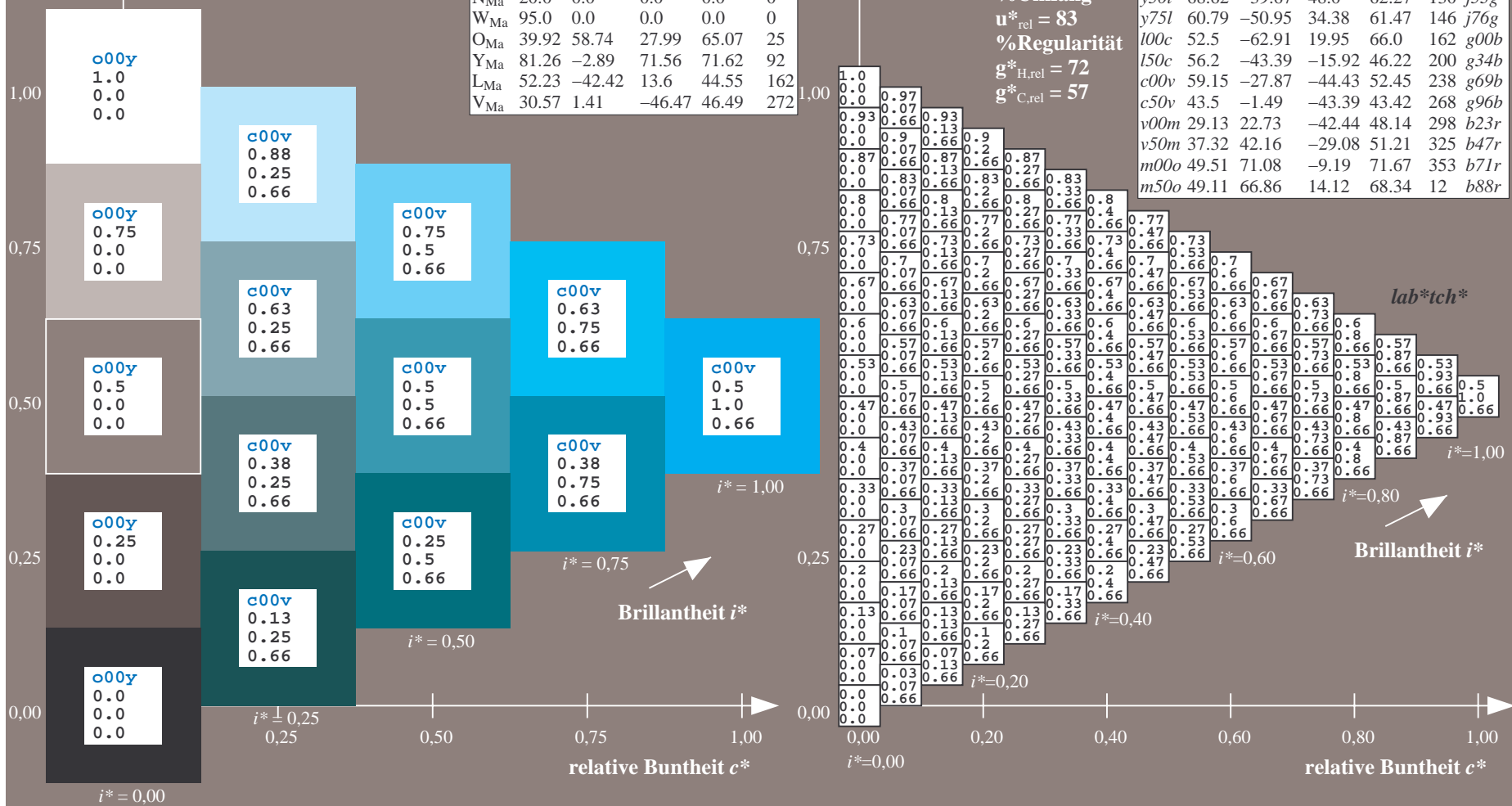
$\text{lab}^*\text{olv}^*_{Ma}: 0.0 1.0 1.0$

$\text{lab}^*\text{rgb}^*_{Ma}: 0.0 0.62 1.0$

Dreiecks-Helligkeit t^*

ORS20_95a; adaptierte CIELAB-Daten

	u^*_d	$L^*=L^*_a$	a^*_a	b^*_a	$C^*_{ab,a}$	$h^*_{ab,a}$	u^*_e
o00y	48.71	62.56	37.91	73.15	31		r08j
o25y	58.6	44.87	49.14	66.54	48		r33j
o50y	67.52	28.93	59.25	65.94	64		r57j
o75y	77.05	11.9	70.06	71.06	80		r81j
y00l	89.25	-9.92	83.91	84.49	97		j06g
y25l	77.37	-27.05	63.23	68.78	113		j30g
y50l	68.62	-39.67	48.0	62.27	130		j53g
y75l	60.79	-50.95	34.38	61.47	146		j76g
l00c	52.5	-62.91	19.95	66.0	162		g00b
l50c	56.2	-43.39	-15.92	46.22	200		g34b
c00v	59.15	-27.87	-44.43	52.45	238		g69b
c50v	43.5	-1.49	-43.39	43.42	268		g96b
v00m	29.13	22.73	-42.44	48.14	298		b23r
v50m	37.32	42.16	-29.08	51.21	325		b47r
m00o	49.51	71.08	-9.19	71.67	353		b71r
m50o	49.11	66.86	14.12	68.34	12		b88r



%Umfang
 $u^*_{rel} = 83$
 %Regularität
 $g^*_{H,rel} = 72$
 $g^*_{C,rel} = 57$

lab^*tch^*

Brillantheit i^*

$i^* = 1.00$

$i^* = 0.80$

$i^* = 0.60$

$i^* = 0.40$

$i^* = 0.20$

$i^* = 0.00$

Ein und Ausgabe: Farbmatisches Drucker-Reflektiv-System ORS20_95a für relativen CIELAB-Bunton $h^* = \text{lab}^*h^* = h_{ab}/360 = 0.745$

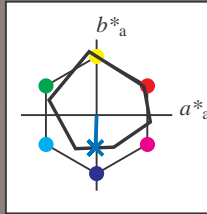
$u^*_d = c50v$

Daten für jede Farbe:

Daten für Maximalfarbe (Ma):

lab^*tch^*

lab^*tch^* und lab^*icu^*



ORS20_95a; adaptierte CIELAB-Daten						
u^*_d	$L^*=L^*_a$	a^*_a	b^*_a	$C^*_{ab,a}$	$h^*_{ab,a}$	
O _{Ma}	48.71	62.56	37.91	73.15	31	
Y _{Ma}	89.25	-9.92	83.91	84.49	97	
L _{Ma}	52.5	-62.91	19.95	66.0	162	
C _{Ma}	59.15	-27.87	-44.43	52.45	238	
V _{Ma}	29.13	22.73	-42.44	48.14	298	
M _{Ma}	49.51	71.08	-9.19	71.67	353	
N _{Ma}	20.0	0.0	0.0	0.0	0	
W _{Ma}	95.0	0.0	0.0	0.0	0	
O _{Ma}	39.92	58.74	27.99	65.07	25	
Y _{Ma}	81.26	-2.89	71.56	71.62	92	
L _{Ma}	52.23	-42.42	13.6	44.55	162	
V _{Ma}	30.57	1.41	-46.47	46.49	272	

$\text{LAB}^*\text{LAB}^*_{Ma}: 43 -1 -43$

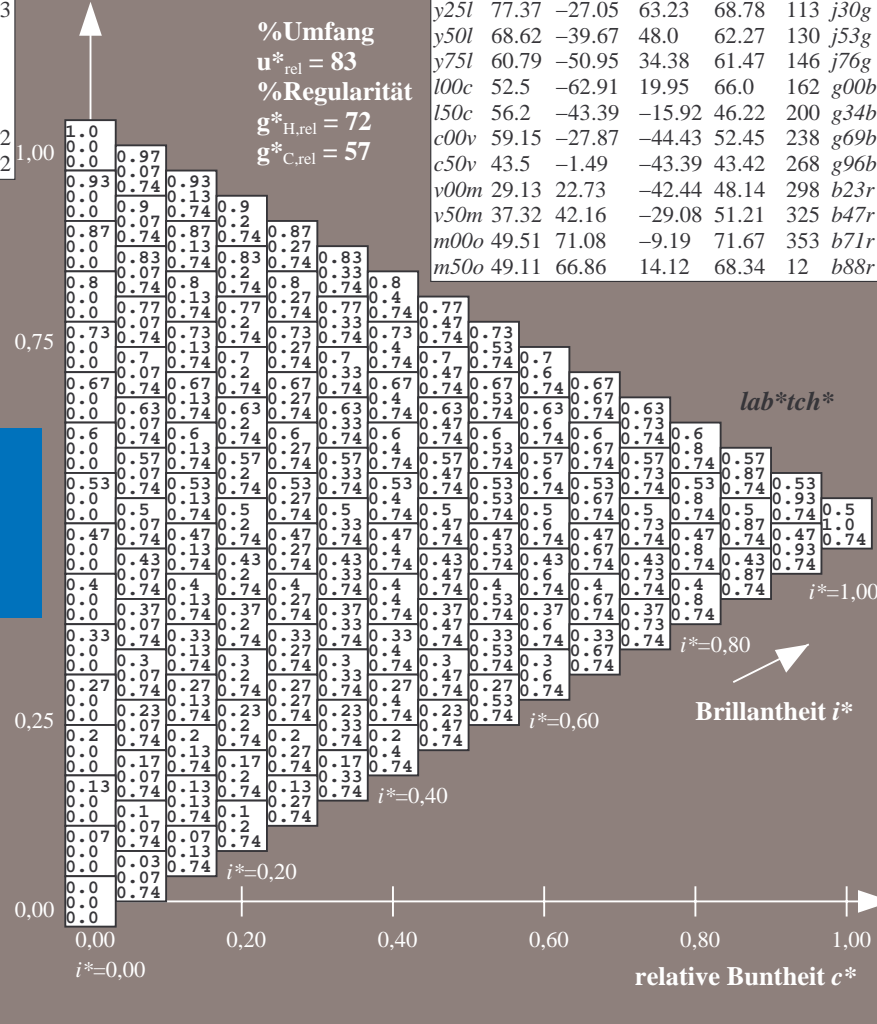
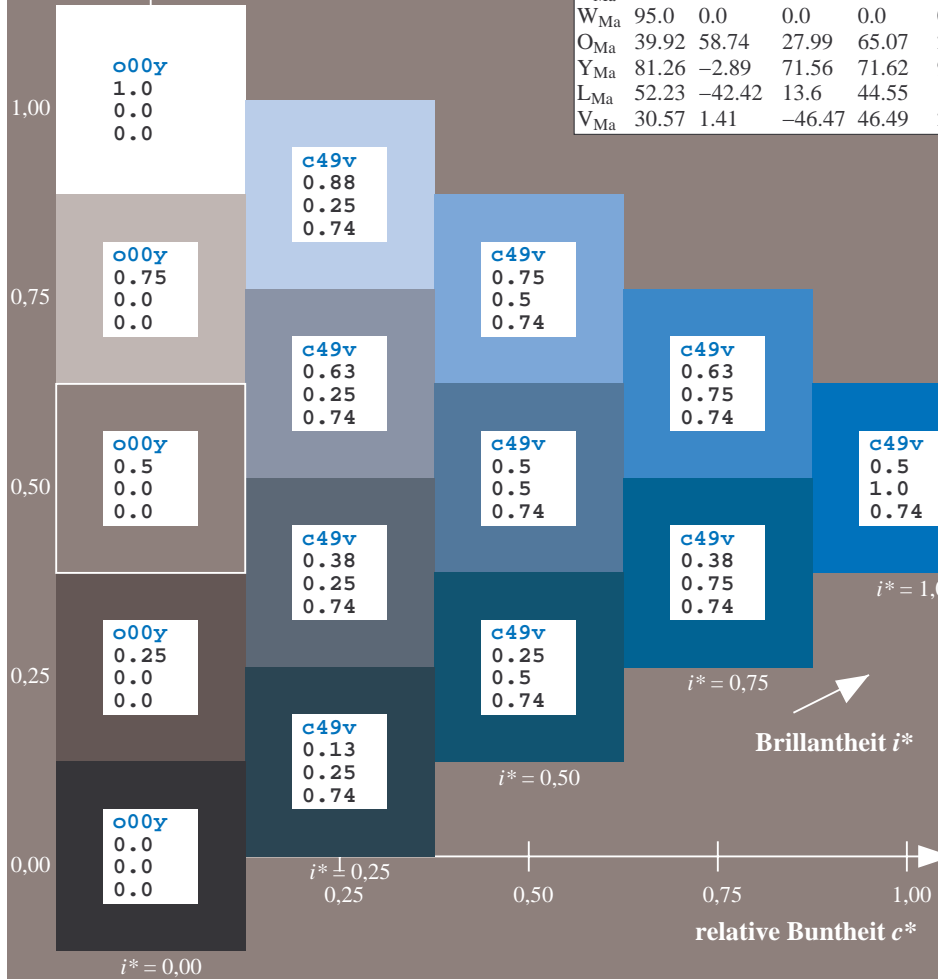
$\text{LAB}^*\text{LCH}^*_{Ma}: 43 43 268$

$\text{lab}^*\text{olv}^*_{Ma}: 0.0 0.5 1.0$

$\text{lab}^*\text{rgb}^*_{Ma}: 0.0 0.07 1.0$

Dreiecks-Helligkeit t^*

ORS20_95a; adaptierte CIELAB-Daten							
u^*_d	$L^*=L^*_a$	a^*_a	b^*_a	$C^*_{ab,a}$	$h^*_{ab,a}$	u^*_e	
o00y	48.71	62.56	37.91	73.15	31	r08j	
o25y	58.6	44.87	49.14	66.54	48	r33j	
o50y	67.52	28.93	59.25	65.94	64	r57j	
o75y	77.05	11.9	70.06	71.06	80	r81j	
y00l	89.25	-9.92	83.91	84.49	97	j06g	
y25l	77.37	-27.05	63.23	68.78	113	j30g	
y50l	68.62	-39.67	48.0	62.27	130	j53g	
y75l	60.79	-50.95	34.38	61.47	146	j76g	
l00c	52.5	-62.91	19.95	66.0	162	g00b	
l50c	56.2	-43.39	-15.92	46.22	200	g34b	
c00v	59.15	-27.87	-44.43	52.45	238	g69b	
c50v	43.5	-1.49	-43.39	43.42	268	g96b	
v00m	29.13	22.73	-42.44	48.14	298	b23r	
v50m	37.32	42.16	-29.08	51.21	325	b47r	
m00o	49.51	71.08	-9.19	71.67	353	b71r	
m50o	49.11	66.86	14.12	68.34	12	b88r	



%Umfang
 $u^*_{rel} = 83$
 %Regularität
 $g^*_{H,rel} = 72$
 $g^*_{C,rel} = 57$

lab^*tch^*
 $i^* = 1.00$
 $i^* = 0.80$
 $i^* = 0.60$
 $i^* = 0.40$
 $i^* = 0.20$
 $i^* = 0.00$

Ein und Ausgabe: Farbmatisches Drucker-Reflektiv-System ORS20_95a für relativen CIELAB-Bunton $h^* = \text{lab}^*h^* = h_{ab}/360 = 0.828$

$u^*_d = v00m$

Daten für jede Farbe:

lab^*tch^* und lab^*icu^*

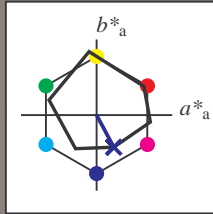
Buntontexte:

$u^*_d = v00m$ $u^*_e = b23r$

Kontrastreduzierungsfaktor:

$c_R = 0.96$

Dreiecks-Helligkeit t^*



ORS20_95a; adaptierte CIELAB-Daten						
u^*_d	$L^*=L^*_a$	a^*_a	b^*_a	$C^*_{ab,a}$	$h^*_{ab,a}$	
O _{Ma}	48.71	62.56	37.91	73.15	31	
Y _{Ma}	89.25	-9.92	83.91	84.49	97	
L _{Ma}	52.5	-62.91	19.95	66.0	162	
C _{Ma}	59.15	-27.87	-44.43	52.45	238	
V _{Ma}	29.13	22.73	-42.44	48.14	298	
M _{Ma}	49.51	71.08	-9.19	71.67	353	
N _{Ma}	20.0	0.0	0.0	0.0	0	
W _{Ma}	95.0	0.0	0.0	0.0	0	
O _{Ma}	39.92	58.74	27.99	65.07	25	
Y _{Ma}	81.26	-2.89	71.56	71.62	92	
L _{Ma}	52.23	-42.42	13.6	44.55	162	
V _{Ma}	30.57	1.41	-46.47	46.49	272	

Daten für Maximalfarbe (Ma):

$\text{LAB}^*\text{LAB}^*_{Ma}: 29 \ 23 \ -42$

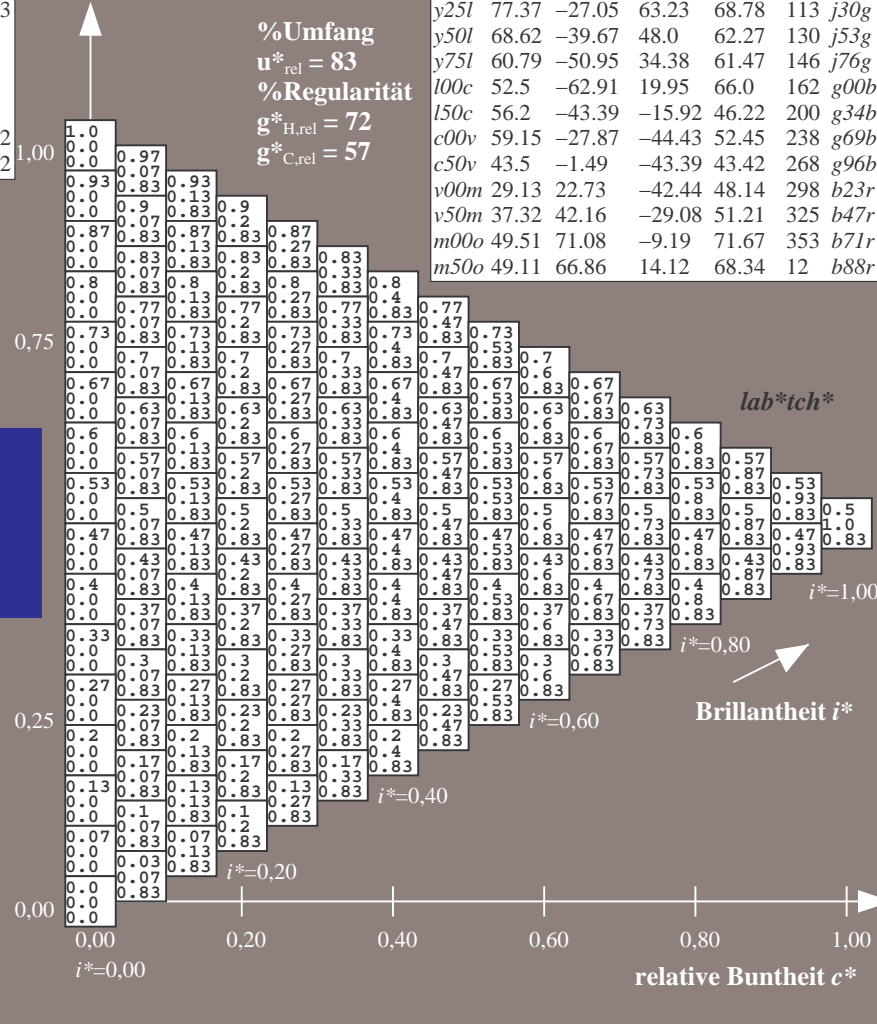
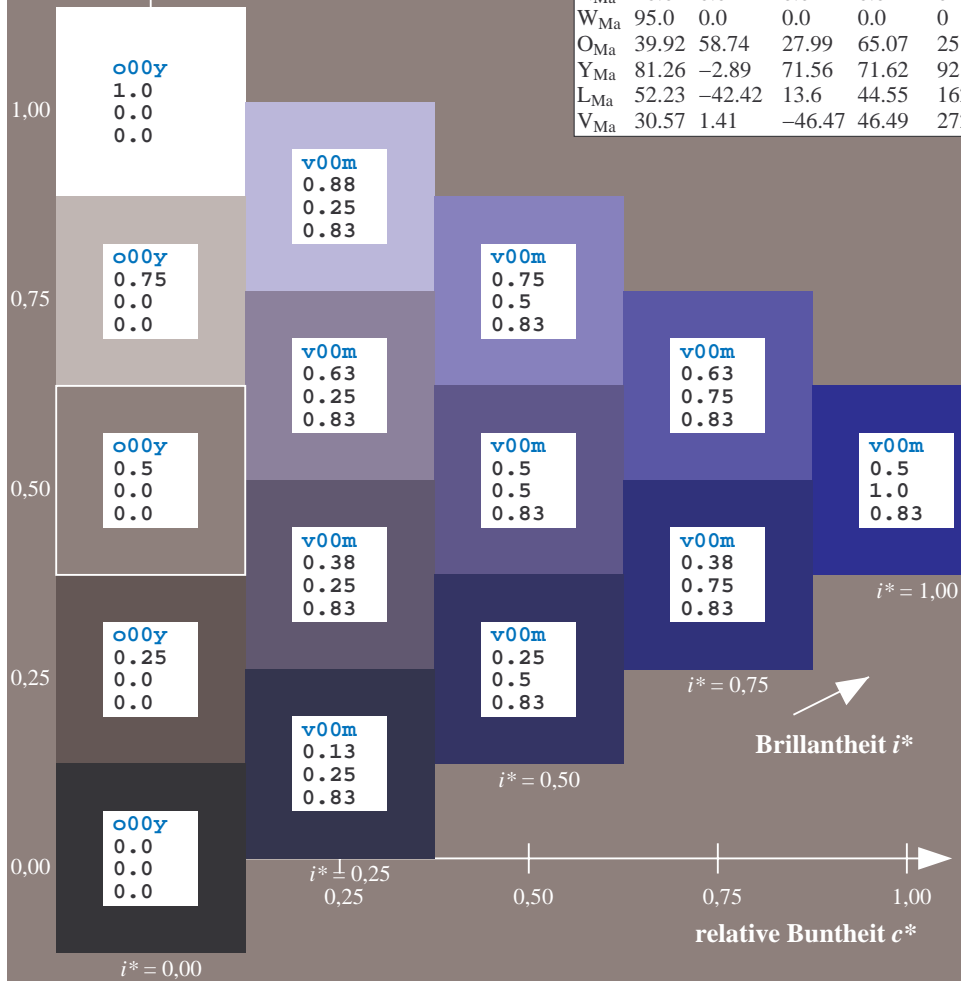
$\text{LAB}^*\text{LCH}^*_{Ma}: 29 \ 48 \ 298$

$\text{lab}^*\text{olv}^*_{Ma}: 0.0 \ 0.0 \ 1.0$

$\text{lab}^*\text{rgb}^*_{Ma}: 0.46 \ 0.0 \ 1.0$

Dreiecks-Helligkeit t^*

ORS20_95a; adaptierte CIELAB-Daten							
u^*_d	$L^*=L^*_a$	a^*_a	b^*_a	$C^*_{ab,a}$	$h^*_{ab,a}$	u^*_e	
o00y	48.71	62.56	37.91	73.15	31	r08j	
o25y	58.6	44.87	49.14	66.54	48	r33j	
o50y	67.52	28.93	59.25	65.94	64	r57j	
o75y	77.05	11.9	70.06	71.06	80	r81j	
y00l	89.25	-9.92	83.91	84.49	97	j06g	
y25l	77.37	-27.05	63.23	68.78	113	j30g	
y50l	68.62	-39.67	48.0	62.27	130	j53g	
y75l	60.79	-50.95	34.38	61.47	146	j76g	
l00c	52.5	-62.91	19.95	66.0	162	g00b	
l50c	56.2	-43.39	-15.92	46.22	200	g34b	
c00v	59.15	-27.87	-44.43	52.45	238	g69b	
c50v	43.5	-1.49	-43.39	43.42	268	g96b	
v00m	29.13	22.73	-42.44	48.14	298	b23r	
v50m	37.32	42.16	-29.08	51.21	325	b47r	
m00o	49.51	71.08	-9.19	71.67	353	b71r	
m50o	49.11	66.86	14.12	68.34	12	b88r	



Ein und Ausgabe: Farbmetrisches Drucker-Reflektiv-System ORS20_95a für relativen CIELAB-Bunton $h^* = \text{lab}^*h^* = h_{ab}/360 = 0.904$

$u^*_d = v50m$

Daten für jede Farbe:

lab^*tch^* und lab^*icu^*

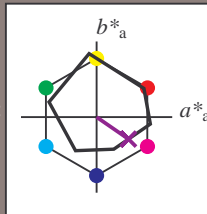
Buntontexte:

$u^*_d = v50m$ $u^*_e = b47r$

Kontrastreduzierungsfaktor:

$c_R = 0.96$

Dreiecks-Helligkeit t^*



ORS20_95a; adaptierte CIELAB-Daten

u^*_d	$L^*=L^*_a$	a^*_a	b^*_a	$C^*_{ab,a}$	$h^*_{ab,a}$
O _{Ma}	48.71	62.56	37.91	73.15	31
Y _{Ma}	89.25	-9.92	83.91	84.49	97
L _{Ma}	52.5	-62.91	19.95	66.0	162
C _{Ma}	59.15	-27.87	-44.43	52.45	238
V _{Ma}	29.13	22.73	-42.44	48.14	298
M _{Ma}	49.51	71.08	-9.19	71.67	353
N _{Ma}	20.0	0.0	0.0	0.0	0
W _{Ma}	95.0	0.0	0.0	0.0	0
O _{Ma}	39.92	58.74	27.99	65.07	25
Y _{Ma}	81.26	-2.89	71.56	71.62	92
L _{Ma}	52.23	-42.42	13.6	44.55	162
V _{Ma}	30.57	1.41	-46.47	46.49	272

Daten für Maximalfarbe (Ma):

$\text{LAB}^*\text{LAB}^*_{Ma}$: 37 42 -29

$\text{LAB}^*\text{LCH}^*_{Ma}$: 37 51 325

$\text{lab}^*\text{olv}^*_{Ma}$: 0.5 0.0 1.0

$\text{lab}^*\text{rgb}^*_{Ma}$: 0.94 0.0 1.0

Dreiecks-Helligkeit t^*

%Umfang

$u^*_{rel} = 83$

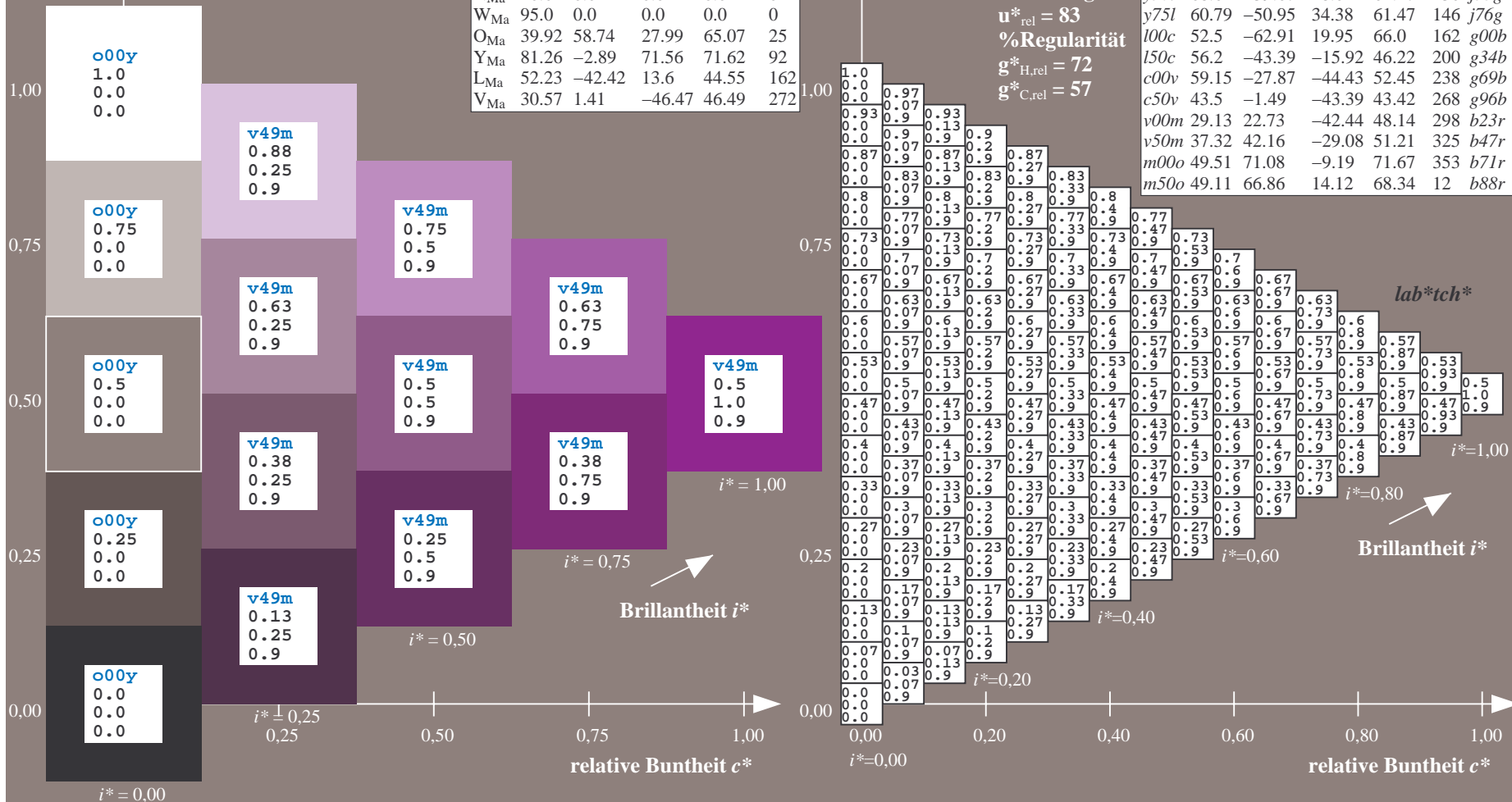
%Regularität

$g^*_{H,rel} = 72$

$g^*_{C,rel} = 57$

ORS20_95a; adaptierte CIELAB-Daten

u^*_d	$L^*=L^*_a$	a^*_a	b^*_a	$C^*_{ab,a}$	$h^*_{ab,a}$	u^*_e
o00y	48.71	62.56	37.91	73.15	31	r08j
o25y	58.6	44.87	49.14	66.54	48	r33j
o50y	67.52	28.93	59.25	65.94	64	r57j
o75y	77.05	11.9	70.06	71.06	80	r81j
y00l	89.25	-9.92	83.91	84.49	97	j06g
y25l	77.37	-27.05	63.23	68.78	113	j30g
y50l	68.62	-39.67	48.0	62.27	130	j53g
y75l	60.79	-50.95	34.38	61.47	146	j76g
l00c	52.5	-62.91	19.95	66.0	162	g00b
l50c	56.2	-43.39	-15.92	46.22	200	g34b
c00v	59.15	-27.87	-44.43	52.45	238	g69b
c50v	43.5	-1.49	-43.39	43.42	268	g96b
v00m	29.13	22.73	-42.44	48.14	298	b23r
v50m	37.32	42.16	-29.08	51.21	325	b47r
m00o	49.51	71.08	-9.19	71.67	353	b71r
m50o	49.11	66.86	14.12	68.34	12	b88r



Ein und Ausgabe: Farbmatisches Drucker-Reflektiv-System ORS20_95a für relativen CIELAB-Bunton $h^* = \text{lab}^*h^* = h_{ab}/360 = 0.98$

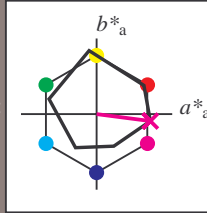
$u^*_d = m00o$

Daten für jede Farbe:

Daten für Maximalfarbe (Ma):

lab^*tch^*

lab^*tch^* und lab^*icu^*



ORS20_95a; adaptierte CIELAB-Daten

u^*_d	$L^*=L^*_a$	a^*_a	b^*_a	$C^*_{ab,a}$	$h^*_{ab,a}$
O _{Ma}	48.71	62.56	37.91	73.15	31
Y _{Ma}	89.25	-9.92	83.91	84.49	97
L _{Ma}	52.5	-62.91	19.95	66.0	162
C _{Ma}	59.15	-27.87	-44.43	52.45	238
V _{Ma}	29.13	22.73	-42.44	48.14	298
M _{Ma}	49.51	71.08	-9.19	71.67	353
N _{Ma}	20.0	0.0	0.0	0.0	0
W _{Ma}	95.0	0.0	0.0	0.0	0
O _{Ma}	39.92	58.74	27.99	65.07	25
Y _{Ma}	81.26	-2.89	71.56	71.62	92
L _{Ma}	52.23	-42.42	13.6	44.55	162
V _{Ma}	30.57	1.41	-46.47	46.49	272

$\text{LAB}^*\text{LAB}^*_{Ma}: 50\ 71\ -9$

$\text{LAB}^*\text{LCH}^*_{Ma}: 50\ 72\ 352$

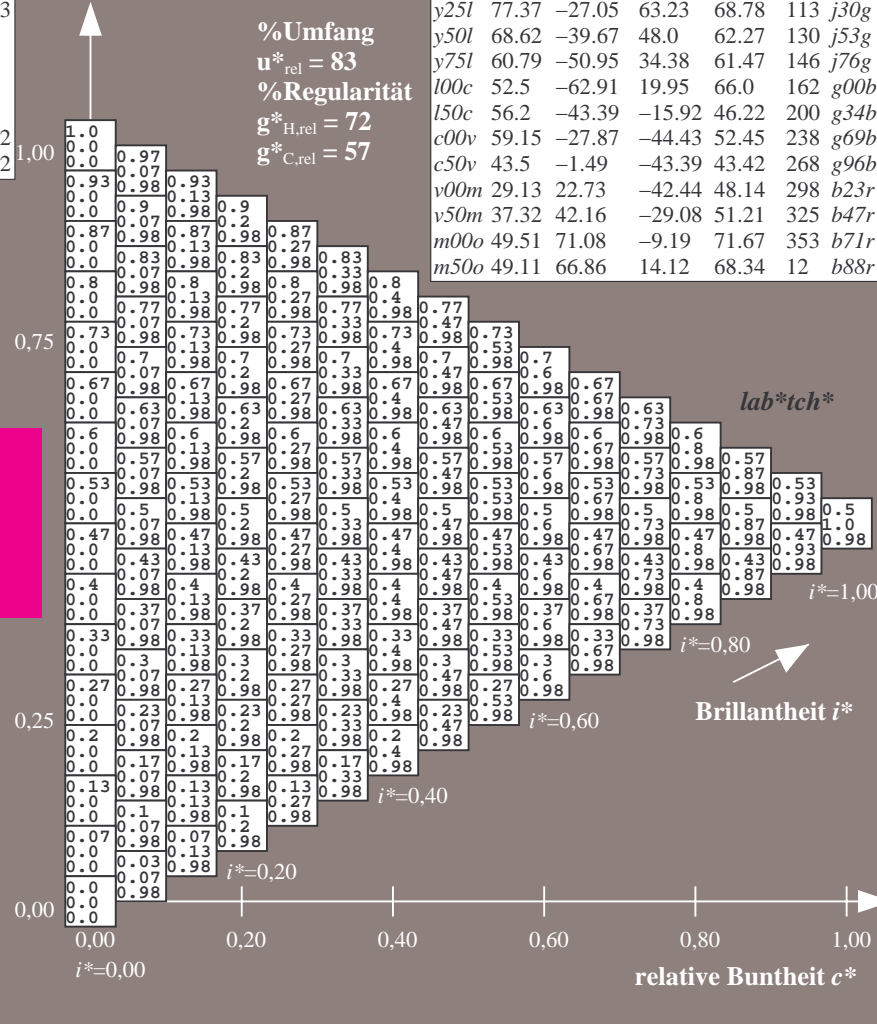
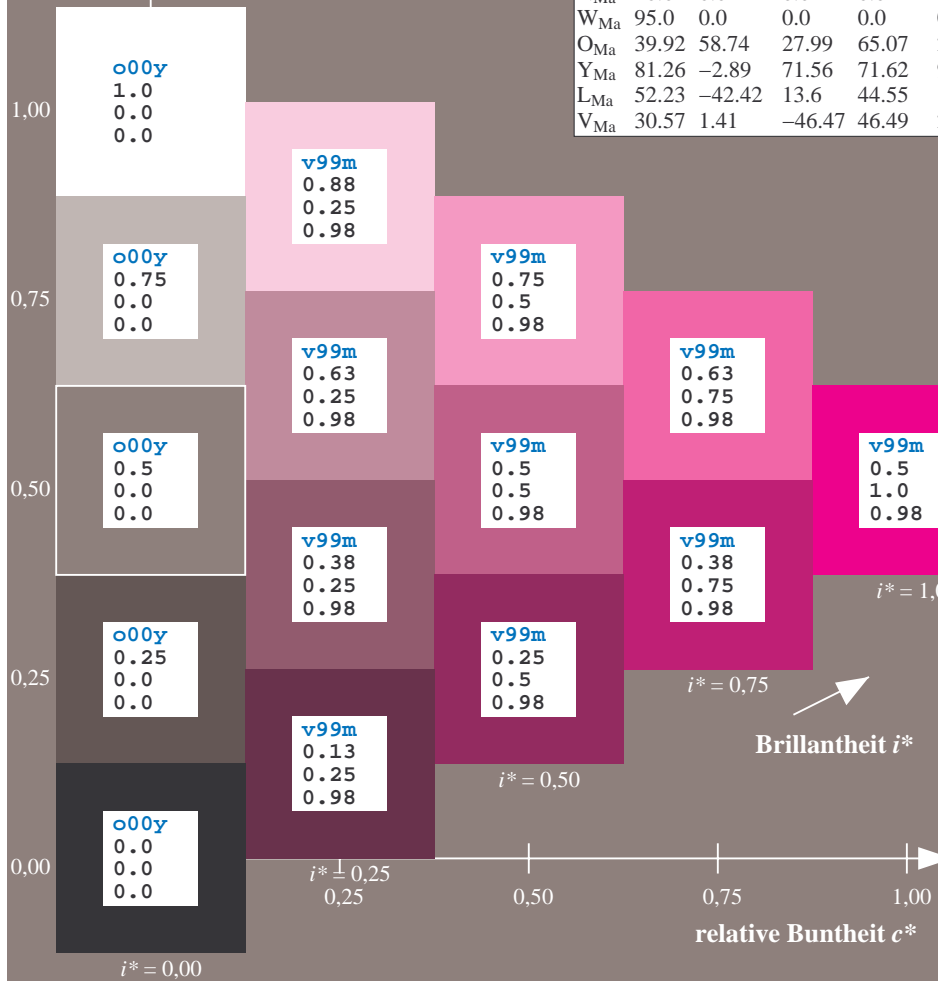
$\text{lab}^*\text{olv}^*_{Ma}: 1.0\ 0.0\ 1.0$

$\text{lab}^*\text{rgb}^*_{Ma}: 1.0\ 0.0\ 0.58$

Dreiecks-Helligkeit t^*

ORS20_95a; adaptierte CIELAB-Daten

u^*_d	$L^*=L^*_a$	a^*_a	b^*_a	$C^*_{ab,a}$	$h^*_{ab,a}$	u^*_e
o00y	48.71	62.56	37.91	73.15	31	r08j
o25y	58.6	44.87	49.14	66.54	48	r33j
o50y	67.52	28.93	59.25	65.94	64	r57j
o75y	77.05	11.9	70.06	71.06	80	r81j
y00l	89.25	-9.92	83.91	84.49	97	j06g
y25l	77.37	-27.05	63.23	68.78	113	j30g
y50l	68.62	-39.67	48.0	62.27	130	j53g
y75l	60.79	-50.95	34.38	61.47	146	j76g
l00c	52.5	-62.91	19.95	66.0	162	g00b
l50c	56.2	-43.39	-15.92	46.22	200	g34b
c00v	59.15	-27.87	-44.43	52.45	238	g69b
c50v	43.5	-1.49	-43.39	43.42	268	g96b
v00m	29.13	22.73	-42.44	48.14	298	b23r
v50m	37.32	42.16	-29.08	51.21	325	b47r
m00o	49.51	71.08	-9.19	71.67	353	b71r
m50o	49.11	66.86	14.12	68.34	12	b88r



%Umfang
 $u^*_{rel} = 83$
 %Regularität
 $g^*_{H,rel} = 72$
 $g^*_{C,rel} = 57$

lab^*tch^*

$i^*=1,00$

$i^*=0,80$

$i^*=0,60$

$i^*=0,40$

$i^*=0,20$

Ein und Ausgabe: Farbmetrisches Drucker-Reflektiv-System ORS20_95a für relativen CIELAB-Bunton $h^* = \text{lab}^*h^* = h_{ab}/360 = 0.033$

$u^*_d = m50o$

Daten für jede Farbe:

lab^*tch^* und lab^*icu^*

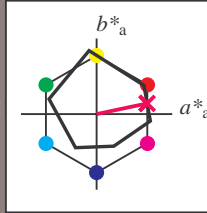
Buntontexte:

$u^*_d = m50o$ $u^*_e = b88r$

Kontrastreduzierungsfaktor:

$c_R = 0.96$

Dreiecks-Helligkeit t^*



ORS20_95a; adaptierte CIELAB-Daten

u^*_d	$L^*=L^*_a$	a^*_a	b^*_a	$C^*_{ab,a}$	$h^*_{ab,a}$
O _{Ma}	48.71	62.56	37.91	73.15	31
Y _{Ma}	89.25	-9.92	83.91	84.49	97
L _{Ma}	52.5	-62.91	19.95	66.0	162
C _{Ma}	59.15	-27.87	-44.43	52.45	238
V _{Ma}	29.13	22.73	-42.44	48.14	298
M _{Ma}	49.51	71.08	-9.19	71.67	353
N _{Ma}	20.0	0.0	0.0	0.0	0
W _{Ma}	95.0	0.0	0.0	0.0	0
O _{Ma}	39.92	58.74	27.99	65.07	25
Y _{Ma}	81.26	-2.89	71.56	71.62	92
L _{Ma}	52.23	-42.42	13.6	44.55	162
V _{Ma}	30.57	1.41	-46.47	46.49	272

Daten für Maximalfarbe (Ma):

$\text{LAB}^*\text{LAB}^*_{Ma}$: 49 67 14

$\text{LAB}^*\text{LCH}^*_{Ma}$: 49 68 11

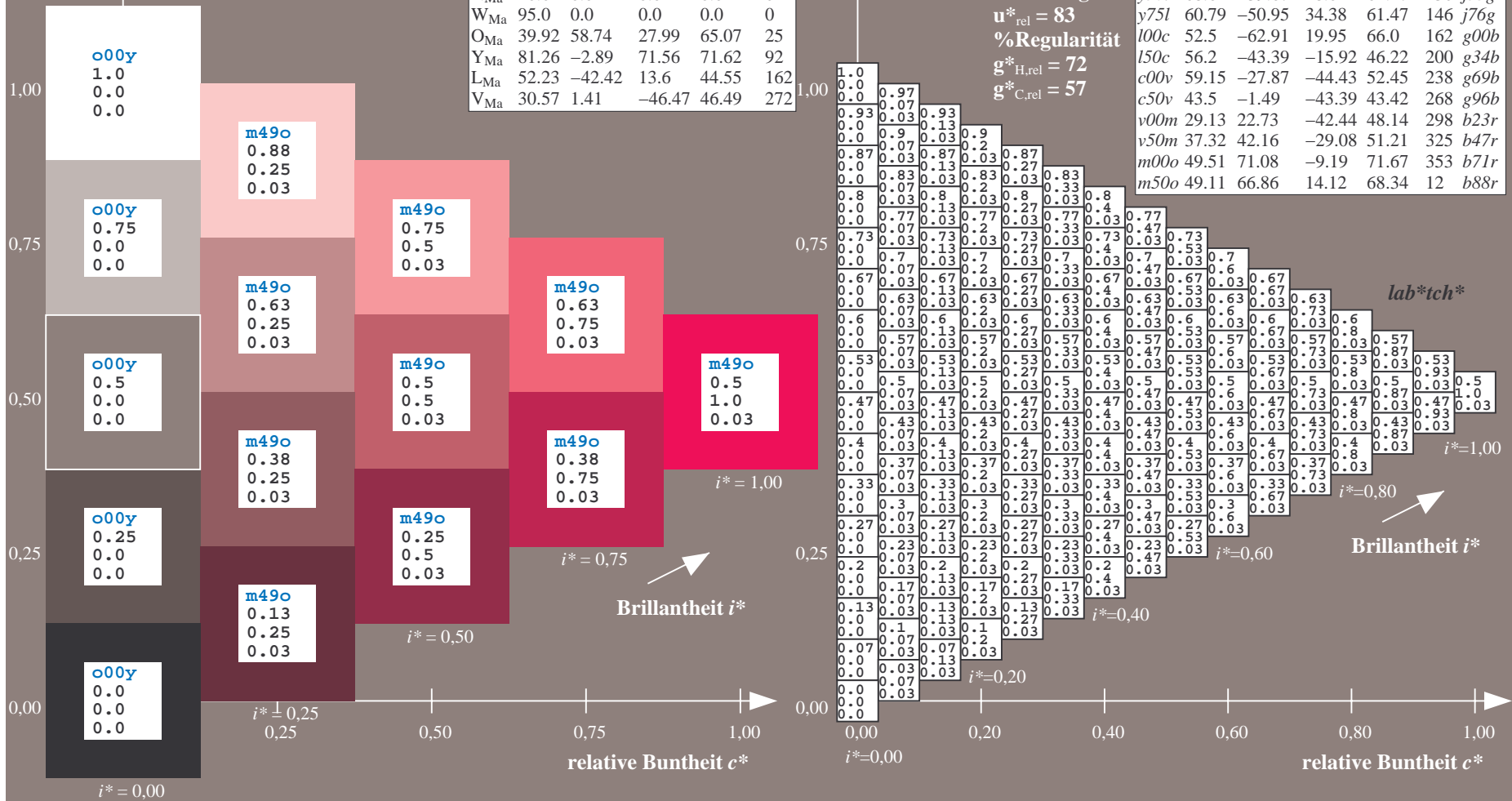
$\text{lab}^*\text{olv}^*_{Ma}$: 1.0 0.0 0.5

$\text{lab}^*\text{rgb}^*_{Ma}$: 1.0 0.0 0.24

Dreiecks-Helligkeit t^*

ORS20_95a; adaptierte CIELAB-Daten

u^*_d	$L^*=L^*_a$	a^*_a	b^*_a	$C^*_{ab,a}$	$h^*_{ab,a}$	u^*_e
o00y	48.71	62.56	37.91	73.15	31	r08j
o25y	58.6	44.87	49.14	66.54	48	r33j
o50y	67.52	28.93	59.25	65.94	64	r57j
o75y	77.05	11.9	70.06	71.06	80	r81j
y00l	89.25	-9.92	83.91	84.49	97	j06g
y25l	77.37	-27.05	63.23	68.78	113	j30g
y50l	68.62	-39.67	48.0	62.27	130	j53g
y75l	60.79	-50.95	34.38	61.47	146	j76g
l00c	52.5	-62.91	19.95	66.0	162	g00b
l50c	56.2	-43.39	-15.92	46.22	200	g34b
c00v	59.15	-27.87	-44.43	52.45	238	g69b
c50v	43.5	-1.49	-43.39	43.42	268	g96b
v00m	29.13	22.73	-42.44	48.14	298	b23r
v50m	37.32	42.16	-29.08	51.21	325	b47r
m00o	49.51	71.08	-9.19	71.67	353	b71r
m50o	49.11	66.86	14.12	68.34	12	b88r



%Umfang
 $u^*_{rel} = 83$
 %Regularität
 $g^*_{H,rel} = 72$
 $g^*_{C,rel} = 57$

Ein und Ausgabe:
 Farbmetrisches Drucker-Reflektiv-System ORS20_95a

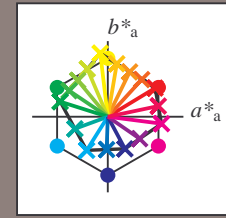
Daten für jede Farbe:
 u^*_d und Nummer *Nr.* = 00 .. 15

Geräte-Bunttextext:
 $u^*_d = 16$ Bunttoene *o00y, o25y, ..., m50o*

Kontrastreduzierungsfaktor:
 $c_R = 0.96$

ORS20_95a; adaptierte CIELAB-Daten

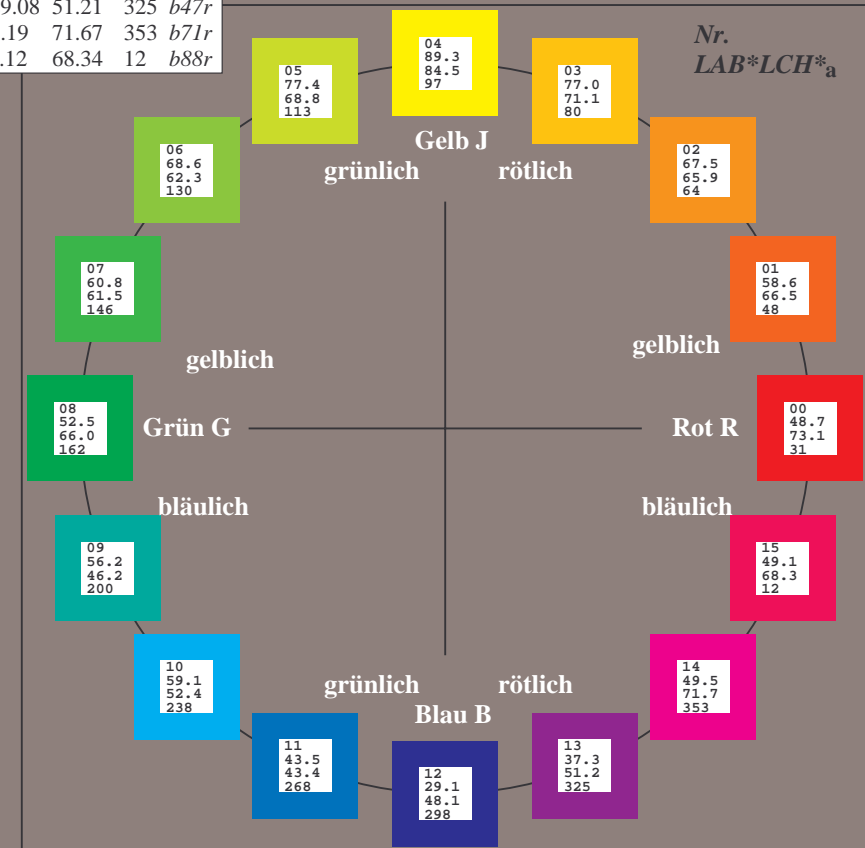
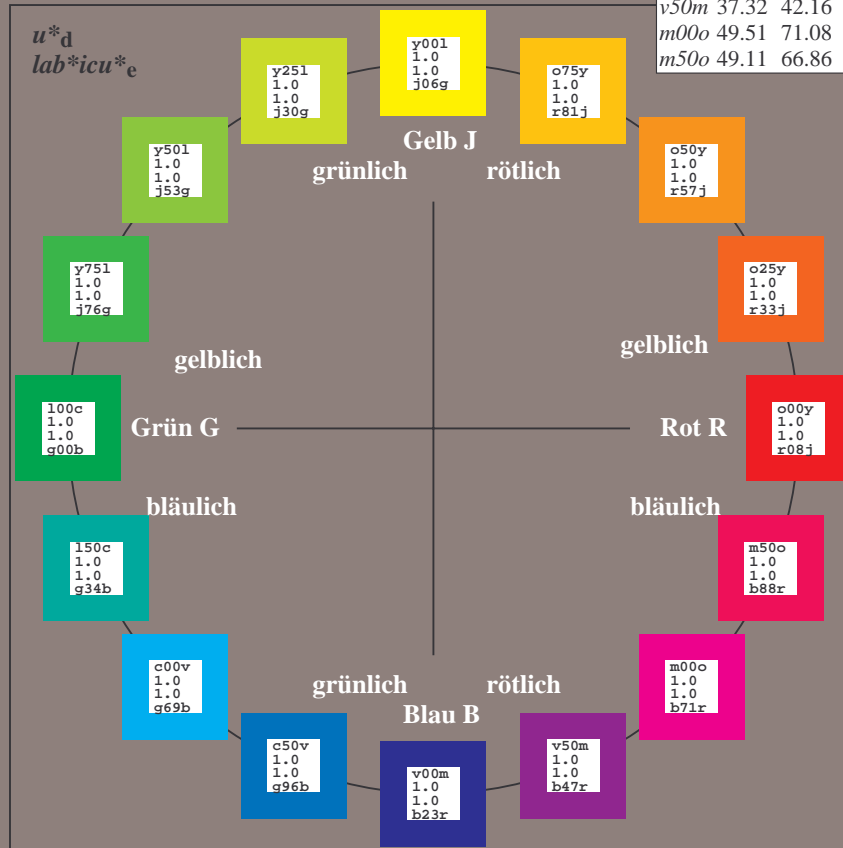
u^*_d	$L^*=L^*_a$	a^*_a	b^*_a	$C^*_{ab,a}$	$h^*_{ab,a}$	u^*_e
<i>o00y</i>	48.71	62.56	37.91	73.15	31	<i>r08j</i>
<i>o25y</i>	58.6	44.87	49.14	66.54	48	<i>r33j</i>
<i>o50y</i>	67.52	28.93	59.25	65.94	64	<i>r57j</i>
<i>o75y</i>	77.05	11.9	70.06	71.06	80	<i>r81j</i>
<i>y00l</i>	89.25	-9.92	83.91	84.49	97	<i>j06g</i>
<i>y25l</i>	77.37	-27.05	63.23	68.78	113	<i>j30g</i>
<i>y50l</i>	68.62	-39.67	48.0	62.27	130	<i>j53g</i>
<i>y75l</i>	60.79	-50.95	34.38	61.47	146	<i>j76g</i>
<i>l00c</i>	52.5	-62.91	19.95	66.0	162	<i>g00b</i>
<i>l50c</i>	56.2	-43.39	-15.92	46.22	200	<i>g34b</i>
<i>c00v</i>	59.15	-27.87	-44.43	52.45	238	<i>g69b</i>
<i>c50v</i>	43.5	-1.49	-43.39	43.42	268	<i>g96b</i>
<i>v00m</i>	29.13	22.73	-42.44	48.14	298	<i>b23r</i>
<i>v50m</i>	37.32	42.16	-29.08	51.21	325	<i>b47r</i>
<i>m00o</i>	49.51	71.08	-9.19	71.67	353	<i>b71r</i>
<i>m50o</i>	49.11	66.86	14.12	68.34	12	<i>b88r</i>



%Umfang
 $u^*_{rel} = 83$
 %Regularität
 $g^*_{H,rel} = 72$
 $g^*_{C,rel} = 57$

ORS20_95a; adaptierte CIELAB-Daten

Name	$L^*=L^*_a$	a^*_a	b^*_a	$C^*_{ab,a}$	$h^*_{ab,a}$
O _{Ma}	48.71	62.56	37.91	73.15	31
Y _{Ma}	89.25	-9.92	83.91	84.49	97
L _{Ma}	52.5	-62.91	19.95	66.0	162
C _{Ma}	59.15	-27.87	-44.43	52.45	238
V _{Ma}	29.13	22.73	-42.44	48.14	298
M _{Ma}	49.51	71.08	-9.19	71.67	353
N _{Ma}	20.0	0.0	0.0	0.0	0
W _{Ma}	95.0	0.0	0.0	0.0	0
O _{CIE}	39.92	58.74	27.99	65.07	25
Y _{CIE}	81.26	-2.89	71.56	71.62	92
L _{CIE}	52.23	-42.42	13.6	44.55	162
V _{CIE}	30.57	1.41	-46.47	46.49	272



Ein und Ausgabe: Farbmatisches Drucker-Reflektiv-System ORS20_95a für relativen CIELAB-Bunton $h^* = lab^*h^* = h_{ab}/360 = 0.087$

Daten für jede Farbe:

lab^*ch^* und lab^*icu^*

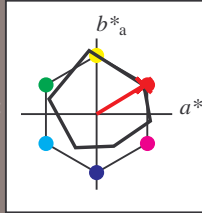
Buntontexte:

$u^*_d = o00y$ $u^*_e = r08j$

Kontrastreduzierungsfaktor:

$c_R = 0.96$

Dreiecks-Helligkeit t^*



ORS20_95a; adaptierte CIELAB-Daten

u^*_d	$L^*=L^*_a$	a^*_a	b^*_a	$C^*_{ab,a}$	$h^*_{ab,a}$
O _{Ma}	48.71	62.56	37.91	73.15	31
Y _{Ma}	89.25	-9.92	83.91	84.49	97
L _{Ma}	52.5	-62.91	19.95	66.0	162
C _{Ma}	59.15	-27.87	-44.43	52.45	238
V _{Ma}	29.13	22.73	-42.44	48.14	298
M _{Ma}	49.51	71.08	-9.19	71.67	353
N _{Ma}	20.0	0.0	0.0	0.0	0
W _{Ma}	95.0	0.0	0.0	0.0	0
O _{Ma}	39.92	58.74	27.99	65.07	25
Y _{Ma}	81.26	-2.89	71.56	71.62	92
L _{Ma}	52.23	-42.42	13.6	44.55	162
V _{Ma}	30.57	1.41	-46.47	46.49	272

Daten für Maximalfarbe (Ma):

$LAB^*LAB^*_{Ma}$: 49 63 38

$LAB^*LCH^*_{Ma}$: 49 73 31

$lab^*olv^*_{Ma}$: 1.0 0.0 0.0

$lab^*rgb^*_{Ma}$: 1.0 0.09 0.0

Dreiecks-Helligkeit t^*

%Umfang

$u^*_{rel} = 83$

%Regularität

$g^*_{H,rel} = 72$

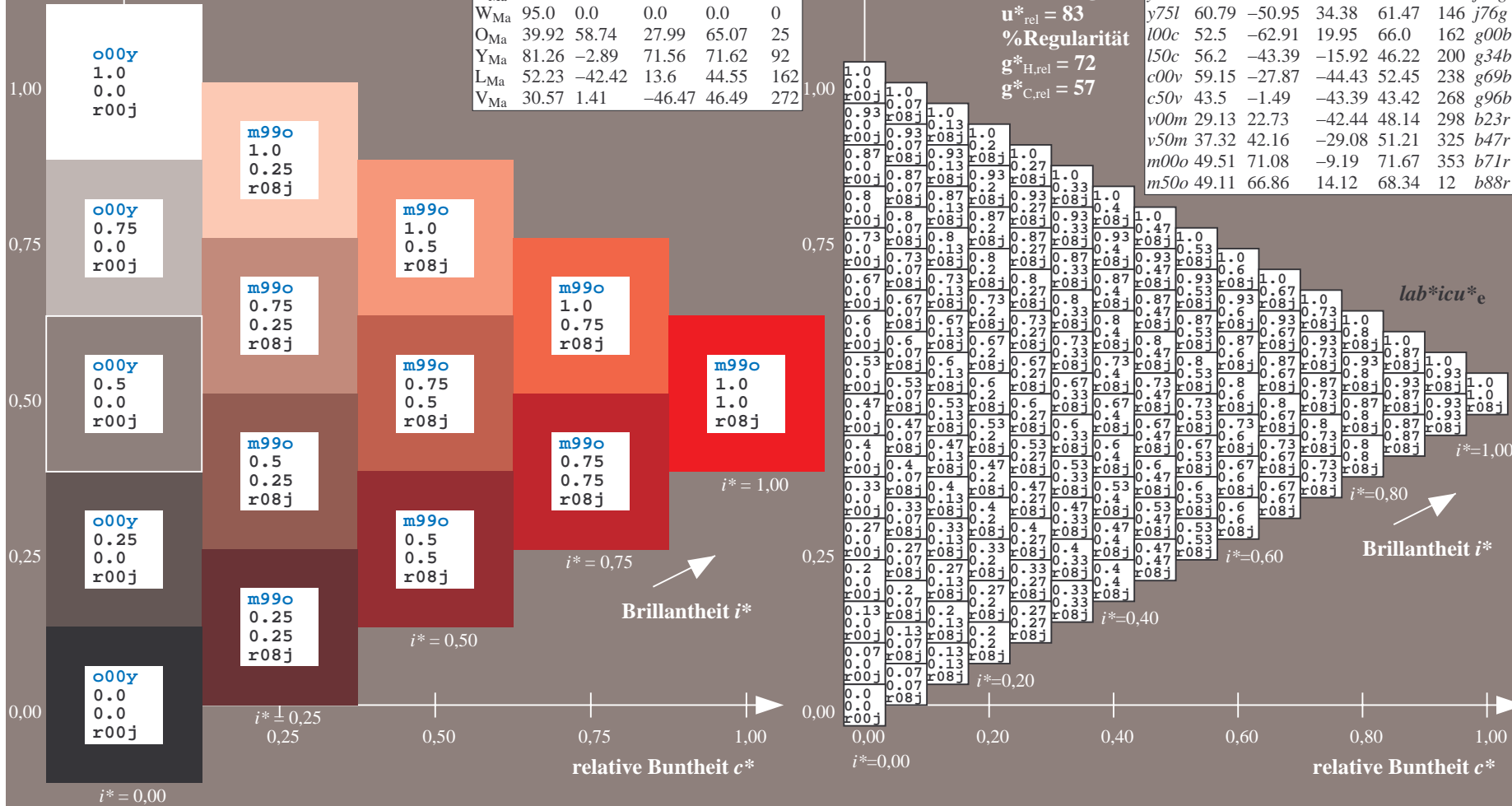
$g^*_{C,rel} = 57$

$u^*_d = o00y$

$lab^*icu^*_e$

ORS20_95a; adaptierte CIELAB-Daten

u^*_d	$L^*=L^*_a$	a^*_a	b^*_a	$C^*_{ab,a}$	$h^*_{ab,a}$	u^*_e
<i>o00y</i>	48.71	62.56	37.91	73.15	31	<i>r08j</i>
<i>o25y</i>	58.6	44.87	49.14	66.54	48	<i>r33j</i>
<i>o50y</i>	67.52	28.93	59.25	65.94	64	<i>r57j</i>
<i>o75y</i>	77.05	11.9	70.06	71.06	80	<i>r81j</i>
<i>y00l</i>	89.25	-9.92	83.91	84.49	97	<i>j06g</i>
<i>y25l</i>	77.37	-27.05	63.23	68.78	113	<i>j30g</i>
<i>y50l</i>	68.62	-39.67	48.0	62.27	130	<i>j53g</i>
<i>y75l</i>	60.79	-50.95	34.38	61.47	146	<i>j76g</i>
<i>l00c</i>	52.5	-62.91	19.95	66.0	162	<i>g00b</i>
<i>l50c</i>	56.2	-43.39	-15.92	46.22	200	<i>g34b</i>
<i>c00v</i>	59.15	-27.87	-44.43	52.45	238	<i>g69b</i>
<i>c50v</i>	43.5	-1.49	-43.39	43.42	268	<i>g96b</i>
<i>v00m</i>	29.13	22.73	-42.44	48.14	298	<i>b23r</i>
<i>v50m</i>	37.32	42.16	-29.08	51.21	325	<i>b47r</i>
<i>m00o</i>	49.51	71.08	-9.19	71.67	353	<i>b71r</i>
<i>m50o</i>	49.11	66.86	14.12	68.34	12	<i>b88r</i>



Ein und Ausgabe: Farbmatisches Drucker-Reflektiv-System ORS20_95a für relativen CIELAB-Bunton $h^* = lab^*h^* = h_{ab}/360 = 0.132$

Daten für jede Farbe:

lab^*ch^* und lab^*icu^*

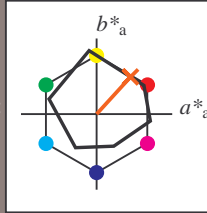
Buntontexte:

$u^*_d = 0.25y$ $u^*_e = r33j$

Kontrastreduzierungsfaktor:

$c_R = 0.96$

Dreiecks-Helligkeit t^*



ORS20_95a; adaptierte CIELAB-Daten						
u^*_d	$L^*=L^*_a$	a^*_a	b^*_a	$C^*_{ab,a}$	$h^*_{ab,a}$	
O _{Ma}	48.71	62.56	37.91	73.15	31	
Y _{Ma}	89.25	-9.92	83.91	84.49	97	
L _{Ma}	52.5	-62.91	19.95	66.0	162	
C _{Ma}	59.15	-27.87	-44.43	52.45	238	
V _{Ma}	29.13	22.73	-42.44	48.14	298	
M _{Ma}	49.51	71.08	-9.19	71.67	353	
N _{Ma}	20.0	0.0	0.0	0.0	0	
W _{Ma}	95.0	0.0	0.0	0.0	0	
O _{Ma}	39.92	58.74	27.99	65.07	25	
Y _{Ma}	81.26	-2.89	71.56	71.62	92	
L _{Ma}	52.23	-42.42	13.6	44.55	162	
V _{Ma}	30.57	1.41	-46.47	46.49	272	

Daten für Maximalfarbe (Ma):

$LAB^*LAB^*_{Ma}$: 59 45 49

$LAB^*LCH^*_{Ma}$: 59 67 47

$lab^*olv^*_{Ma}$: 1.0 0.25 0.0

$lab^*rgb^*_{Ma}$: 1.0 0.33 0.0

Dreiecks-Helligkeit t^*

%Umfang

$u^*_{rel} = 83$

%Regularität

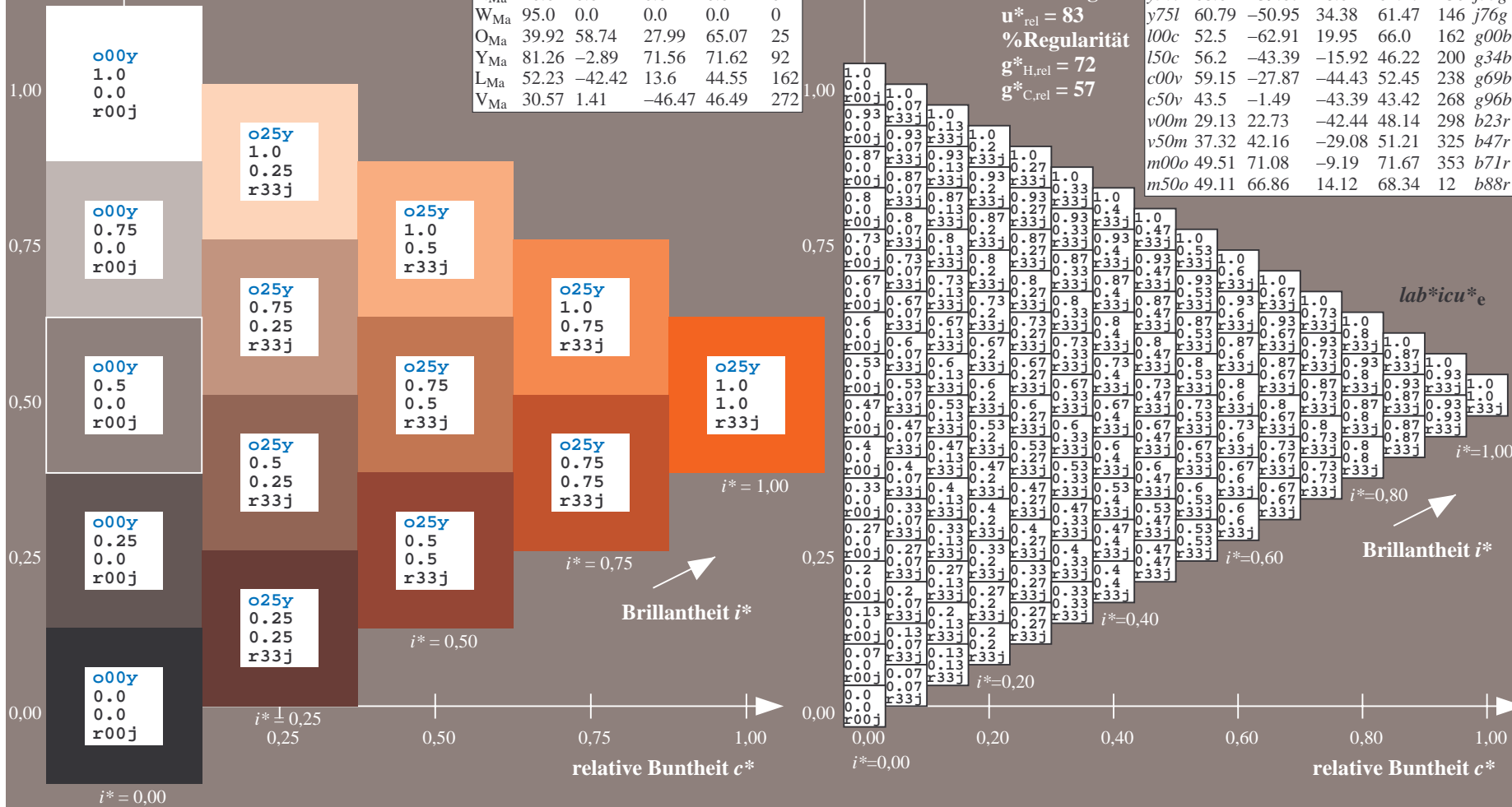
$g^*_{H,rel} = 72$

$g^*_{C,rel} = 57$

$u^*_d = 0.25y$

$lab^*icu^*_e$

ORS20_95a; adaptierte CIELAB-Daten							
u^*_d	$L^*=L^*_a$	a^*_a	b^*_a	$C^*_{ab,a}$	$h^*_{ab,a}$	u^*_e	
o00y	48.71	62.56	37.91	73.15	31	r08j	
o25y	58.6	44.87	49.14	66.54	48	r33j	
o50y	67.52	28.93	59.25	65.94	64	r57j	
o75y	77.05	11.9	70.06	71.06	80	r81j	
y00l	89.25	-9.92	83.91	84.49	97	j06g	
y25l	77.37	-27.05	63.23	68.78	113	j30g	
y50l	68.62	-39.67	48.0	62.27	130	j53g	
y75l	60.79	-50.95	34.38	61.47	146	j76g	
l00c	52.5	-62.91	19.95	66.0	162	g00b	
l50c	56.2	-43.39	-15.92	46.22	200	g34b	
c00v	59.15	-27.87	-44.43	52.45	238	g69b	
c50v	43.5	-1.49	-43.39	43.42	268	g96b	
v00m	29.13	22.73	-42.44	48.14	298	b23r	
v50m	37.32	42.16	-29.08	51.21	325	b47r	
m00o	49.51	71.08	-9.19	71.67	353	b71r	
m50o	49.11	66.86	14.12	68.34	12	b88r	



Ein und Ausgabe: Farbmimetrisches Drucker-Reflektiv-System ORS20_95a für relativen CIELAB-Bunton $h^* = \text{lab}^*h^* = h_{ab}/360 = 0.178$

Daten für jede Farbe:

lab^*tch^* und lab^*icu^*

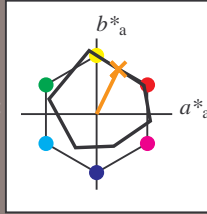
Buntontexte:

$u^*_d = o50y$ $u^*_e = r57j$

Kontrastreduzierungsfaktor:

$c_R = 0.96$

Dreiecks-Helligkeit t^*



ORS20_95a; adaptierte CIELAB-Daten						
u^*_d	$L^*=L^*_a$	a^*_a	b^*_a	$C^*_{ab,a}$	$h^*_{ab,a}$	
O _{Ma}	48.71	62.56	37.91	73.15	31	
Y _{Ma}	89.25	-9.92	83.91	84.49	97	
L _{Ma}	52.5	-62.91	19.95	66.0	162	
C _{Ma}	59.15	-27.87	-44.43	52.45	238	
V _{Ma}	29.13	22.73	-42.44	48.14	298	
M _{Ma}	49.51	71.08	-9.19	71.67	353	
N _{Ma}	20.0	0.0	0.0	0.0	0	
W _{Ma}	95.0	0.0	0.0	0.0	0	
O _{Ma}	39.92	58.74	27.99	65.07	25	
Y _{Ma}	81.26	-2.89	71.56	71.62	92	
L _{Ma}	52.23	-42.42	13.6	44.55	162	
V _{Ma}	30.57	1.41	-46.47	46.49	272	

Daten für Maximalfarbe (Ma):

$\text{LAB}^*\text{LAB}^*_{Ma}$: 68 29 59

$\text{LAB}^*\text{LCH}^*_{Ma}$: 68 66 63

$\text{lab}^*\text{olv}^*_{Ma}$: 1.0 0.5 0.0

$\text{lab}^*\text{rgb}^*_{Ma}$: 1.0 0.58 0.0

Dreiecks-Helligkeit t^*

%Umfang

$u^*_{rel} = 83$

%Regularität

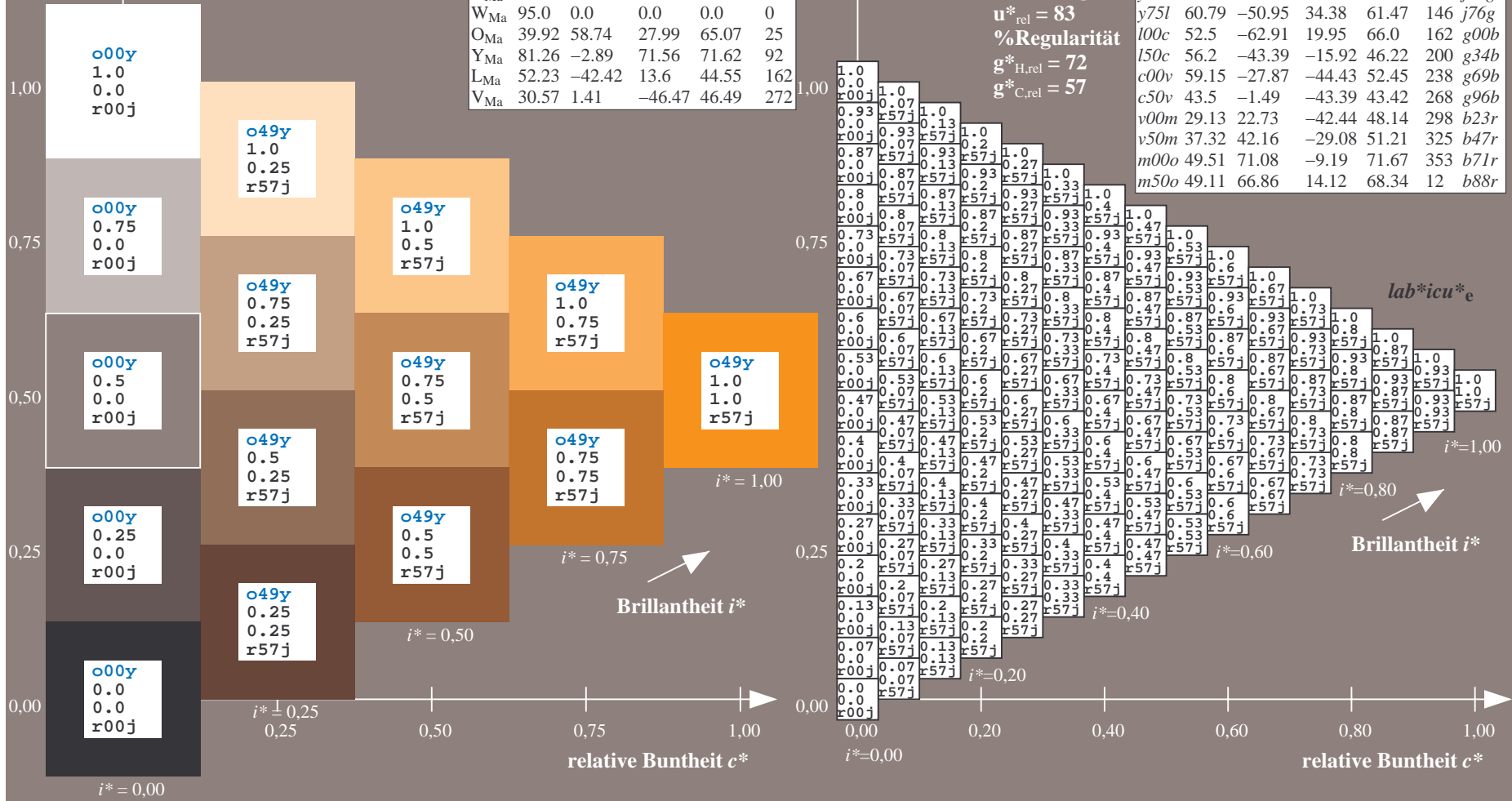
$g^*_{H,rel} = 72$

$g^*_{C,rel} = 57$

$u^*_d = o50y$

$\text{lab}^*icu^*_e$

ORS20_95a; adaptierte CIELAB-Daten							
u^*_d	$L^*=L^*_a$	a^*_a	b^*_a	$C^*_{ab,a}$	$h^*_{ab,a}$	u^*_e	
o00y	48.71	62.56	37.91	73.15	31	r08j	
o25y	58.6	44.87	49.14	66.54	48	r33j	
o50y	67.52	28.93	59.25	65.94	64	r57j	
o75y	77.05	11.9	70.06	71.06	80	r81j	
y00l	89.25	-9.92	83.91	84.49	97	j06g	
y25l	77.37	-27.05	63.23	68.78	113	j30g	
y50l	68.62	-39.67	48.0	62.27	130	j53g	
y75l	60.79	-50.95	34.38	61.47	146	j76g	
l00c	52.5	-62.91	19.95	66.0	162	g00b	
l50c	56.2	-43.39	-15.92	46.22	200	g34b	
c00v	59.15	-27.87	-44.43	52.45	238	g69b	
c50v	43.5	-1.49	-43.39	43.42	268	g96b	
v00m	29.13	22.73	-42.44	48.14	298	b23r	
v50m	37.32	42.16	-29.08	51.21	325	b47r	
m00o	49.51	71.08	-9.19	71.67	353	b71r	
m50o	49.11	66.86	14.12	68.34	12	b88r	



Ein und Ausgabe: Farbmatisches Drucker-Reflektiv-System ORS20_95a für relativen CIELAB-Bunton $h^* = lab^*h^* = h_{ab}/360 = 0.223$

$u^*_d = 0.75y$

Daten für jede Farbe:

lab^*ch^* und lab^*icu^*

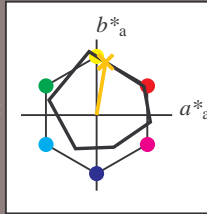
Buntontexte:

$u^*_d = 0.75y$ $u^*_e = r81j$

Kontrastreduzierungsfaktor:

$c_R = 0.96$

Dreiecks-Helligkeit t^*



ORS20_95a; adaptierte CIELAB-Daten

u^*_d	$L^*=L^*_a$	a^*_a	b^*_a	$C^*_{ab,a}$	$h^*_{ab,a}$
O _{Ma}	48.71	62.56	37.91	73.15	31
Y _{Ma}	89.25	-9.92	83.91	84.49	97
L _{Ma}	52.5	-62.91	19.95	66.0	162
C _{Ma}	59.15	-27.87	-44.43	52.45	238
V _{Ma}	29.13	22.73	-42.44	48.14	298
M _{Ma}	49.51	71.08	-9.19	71.67	353
N _{Ma}	20.0	0.0	0.0	0.0	0
W _{Ma}	95.0	0.0	0.0	0.0	0
O _{Ma}	39.92	58.74	27.99	65.07	25
Y _{Ma}	81.26	-2.89	71.56	71.62	92
L _{Ma}	52.23	-42.42	13.6	44.55	162
V _{Ma}	30.57	1.41	-46.47	46.49	272

Daten für Maximalfarbe (Ma):

$LAB^*LAB^*_{Ma}$: 77 12 70

$LAB^*LCH^*_{Ma}$: 77 71 80

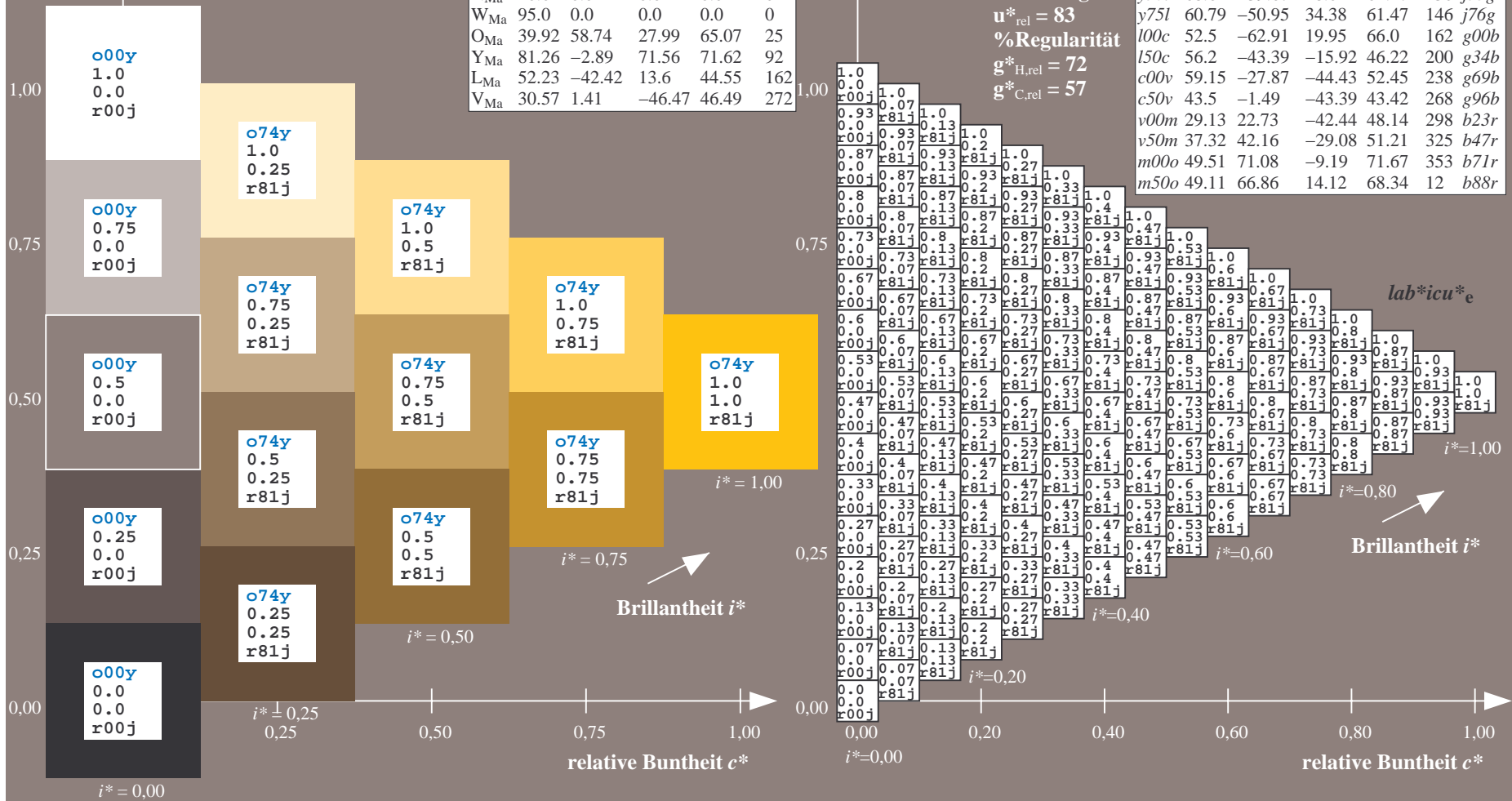
$lab^*olv^*_{Ma}$: 1.0 0.75 0.0

$lab^*rgb^*_{Ma}$: 1.0 0.82 0.0

Dreiecks-Helligkeit t^*

ORS20_95a; adaptierte CIELAB-Daten

u^*_d	$L^*=L^*_a$	a^*_a	b^*_a	$C^*_{ab,a}$	$h^*_{ab,a}$	u^*_e
o00y	48.71	62.56	37.91	73.15	31	r08j
o25y	58.6	44.87	49.14	66.54	48	r33j
o50y	67.52	28.93	59.25	65.94	64	r57j
o75y	77.05	11.9	70.06	71.06	80	r81j
y00l	89.25	-9.92	83.91	84.49	97	j06g
y25l	77.37	-27.05	63.23	68.78	113	j30g
y50l	68.62	-39.67	48.0	62.27	130	j53g
y75l	60.79	-50.95	34.38	61.47	146	j76g
l00c	52.5	-62.91	19.95	66.0	162	g00b
l50c	56.2	-43.39	-15.92	46.22	200	g34b
c00v	59.15	-27.87	-44.43	52.45	238	g69b
c50v	43.5	-1.49	-43.39	43.42	268	g96b
v00m	29.13	22.73	-42.44	48.14	298	b23r
v50m	37.32	42.16	-29.08	51.21	325	b47r
m00o	49.51	71.08	-9.19	71.67	353	b71r
m50o	49.11	66.86	14.12	68.34	12	b88r



Ein und Ausgabe: Farbmatisches Drucker-Reflektiv-System ORS20_95a für relativen CIELAB-Bunton $h^* = \text{lab}^*h^* = h_{ab}/360 = 0.269$

$u^*_d = y00l$

Daten für jede Farbe:

lab^*tch^* und lab^*icu^*

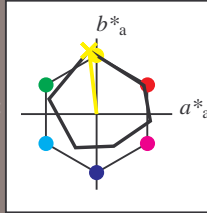
Buntontexte:

$u^*_d = y00l$ $u^*_e = j06g$

Kontrastreduzierungsfaktor:

$c_R = 0.96$

Dreiecks-Helligkeit t^*



ORS20_95a; adaptierte CIELAB-Daten

u^*_d	$L^*=L^*_a$	a^*_a	b^*_a	$C^*_{ab,a}$	$h^*_{ab,a}$
O _{Ma}	48.71	62.56	37.91	73.15	31
Y _{Ma}	89.25	-9.92	83.91	84.49	97
L _{Ma}	52.5	-62.91	19.95	66.0	162
C _{Ma}	59.15	-27.87	-44.43	52.45	238
V _{Ma}	29.13	22.73	-42.44	48.14	298
M _{Ma}	49.51	71.08	-9.19	71.67	353
N _{Ma}	20.0	0.0	0.0	0.0	0
W _{Ma}	95.0	0.0	0.0	0.0	0
O _{Ma}	39.92	58.74	27.99	65.07	25
Y _{Ma}	81.26	-2.89	71.56	71.62	92
L _{Ma}	52.23	-42.42	13.6	44.55	162
V _{Ma}	30.57	1.41	-46.47	46.49	272

Daten für Maximalfarbe (Ma):

$\text{LAB}^*\text{LAB}^*_{Ma}: 89 -10 84$

$\text{LAB}^*\text{LCH}^*_{Ma}: 89 84 96$

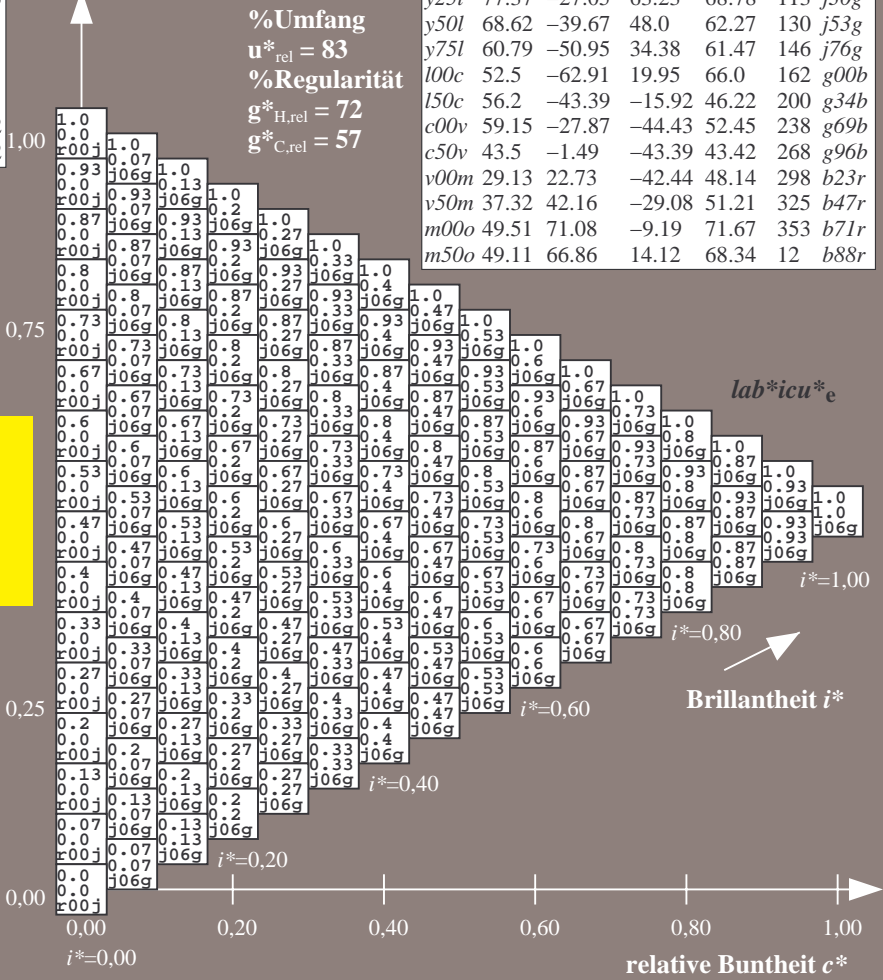
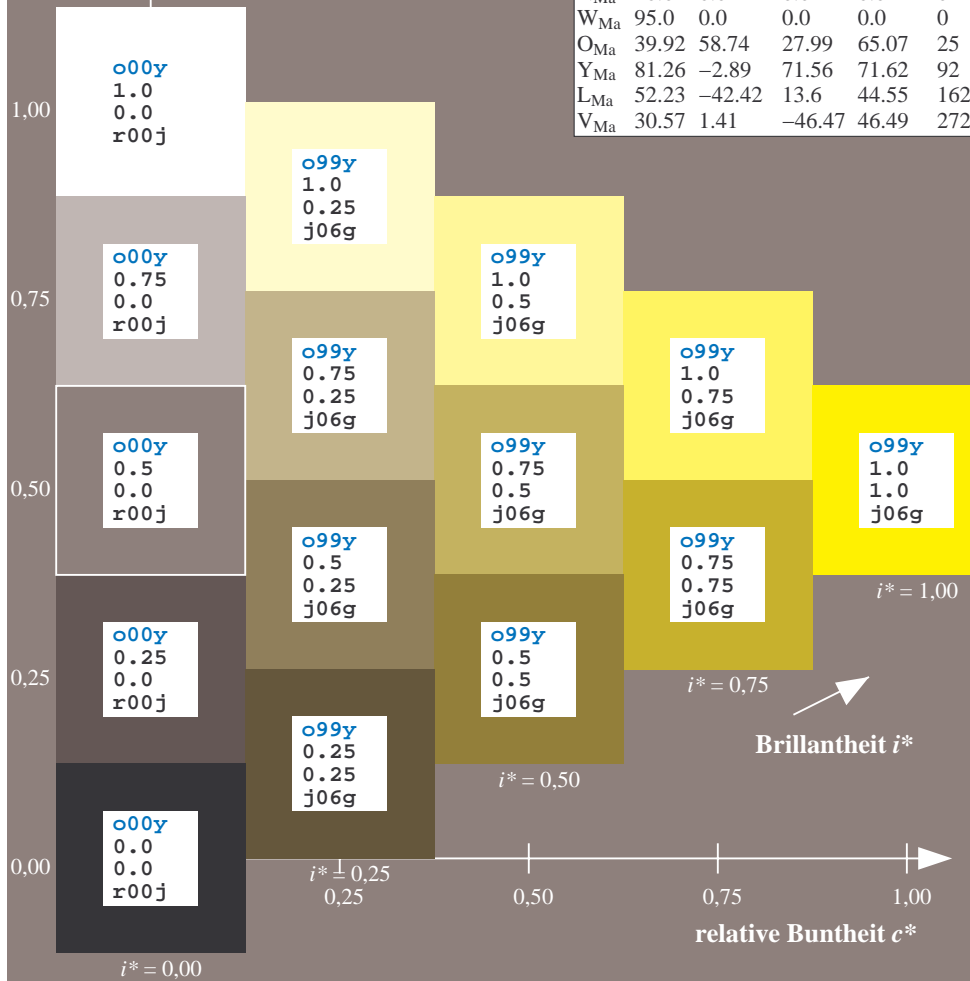
$\text{lab}^*\text{olv}^*_{Ma}: 1.0 1.0 0.0$

$\text{lab}^*\text{rgb}^*_{Ma}: 0.94 1.0 0.0$

Dreiecks-Helligkeit t^*

ORS20_95a; adaptierte CIELAB-Daten

u^*_d	$L^*=L^*_a$	a^*_a	b^*_a	$C^*_{ab,a}$	$h^*_{ab,a}$	u^*_e
o00y	48.71	62.56	37.91	73.15	31	r08j
o25y	58.6	44.87	49.14	66.54	48	r33j
o50y	67.52	28.93	59.25	65.94	64	r57j
o75y	77.05	11.9	70.06	71.06	80	r81j
y00l	89.25	-9.92	83.91	84.49	97	j06g
y25l	77.37	-27.05	63.23	68.78	113	j30g
y50l	68.62	-39.67	48.0	62.27	130	j53g
y75l	60.79	-50.95	34.38	61.47	146	j76g
l00c	52.5	-62.91	19.95	66.0	162	g00b
l50c	56.2	-43.39	-15.92	46.22	200	g34b
c00v	59.15	-27.87	-44.43	52.45	238	g69b
c50v	43.5	-1.49	-43.39	43.42	268	g96b
v00m	29.13	22.73	-42.44	48.14	298	b23r
v50m	37.32	42.16	-29.08	51.21	325	b47r
m00o	49.51	71.08	-9.19	71.67	353	b71r
m50o	49.11	66.86	14.12	68.34	12	b88r



Ein und Ausgabe: Farbmatisches Drucker-Reflektiv-System ORS20_95a für relativen CIELAB-Bunton $h^* = \text{lab}^*h^* = h_{ab}/360 = 0.314$

$u^*_d = y25l$
 $\text{lab}^*icu^*_e$

Daten für jede Farbe:

lab^*tch^* und lab^*icu^*

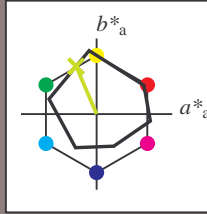
Buntontexte:

$u^*_d = y25l$ $u^*_e = j30g$

Kontrastreduzierungsfaktor:

$c_R = 0.96$

Dreiecks-Helligkeit t^*



ORS20_95a; adaptierte CIELAB-Daten

u^*_d	$L^*=L^*_a$	a^*_a	b^*_a	$C^*_{ab,a}$	$h^*_{ab,a}$
O _{Ma}	48.71	62.56	37.91	73.15	31
Y _{Ma}	89.25	-9.92	83.91	84.49	97
L _{Ma}	52.5	-62.91	19.95	66.0	162
C _{Ma}	59.15	-27.87	-44.43	52.45	238
V _{Ma}	29.13	22.73	-42.44	48.14	298
M _{Ma}	49.51	71.08	-9.19	71.67	353
N _{Ma}	20.0	0.0	0.0	0.0	0
W _{Ma}	95.0	0.0	0.0	0.0	0
O _{Ma}	39.92	58.74	27.99	65.07	25
Y _{Ma}	81.26	-2.89	71.56	71.62	92
L _{Ma}	52.23	-42.42	13.6	44.55	162
V _{Ma}	30.57	1.41	-46.47	46.49	272

Daten für Maximalfarbe (Ma):

$\text{LAB}^*\text{LAB}^*_{Ma}: 77 -27 63$

$\text{LAB}^*\text{LCH}^*_{Ma}: 77 69 113$

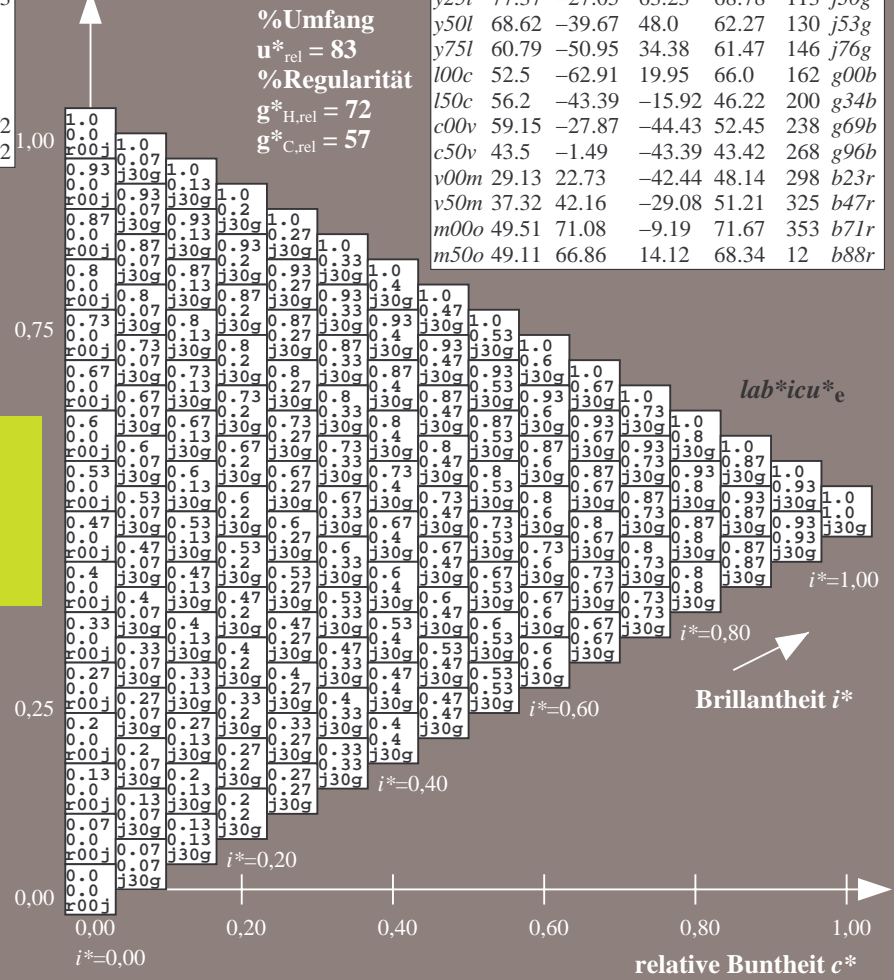
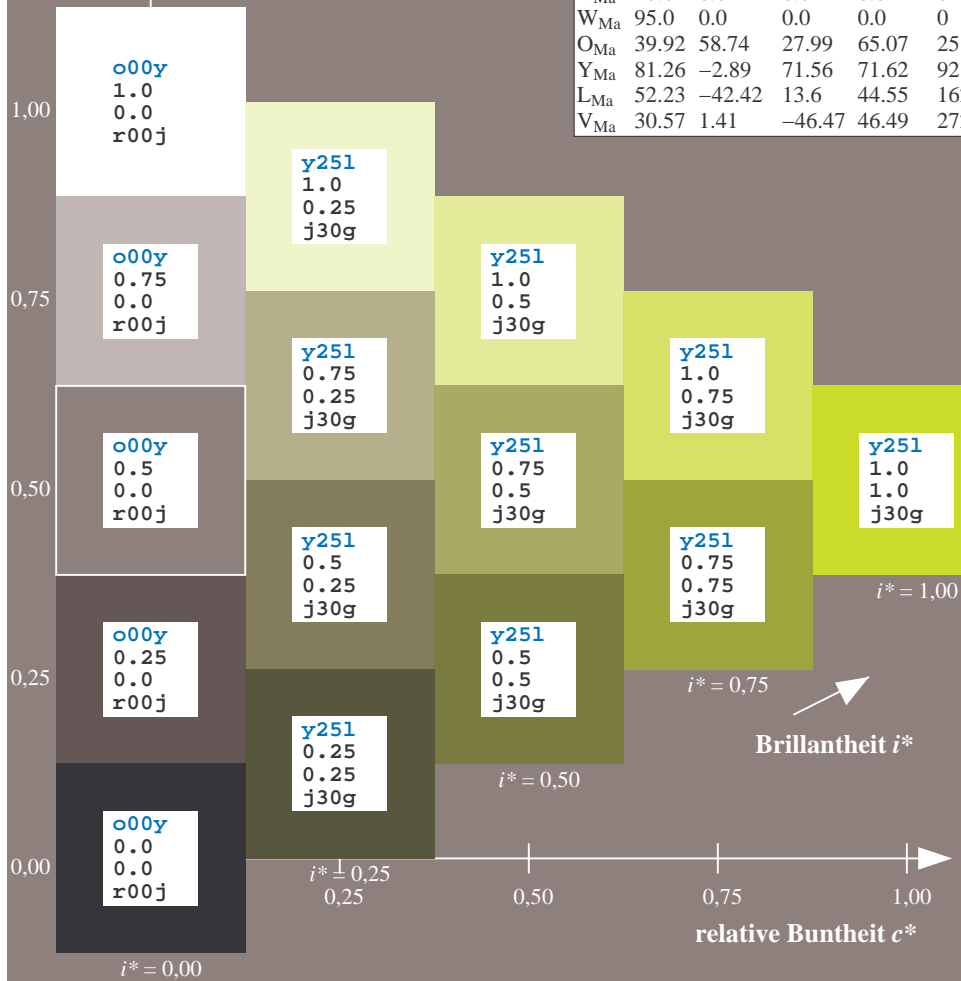
$\text{lab}^*\text{olv}^*_{Ma}: 0.75 1.0 0.0$

$\text{lab}^*\text{rgb}^*_{Ma}: 0.7 1.0 0.0$

Dreiecks-Helligkeit t^*

ORS20_95a; adaptierte CIELAB-Daten

u^*_d	$L^*=L^*_a$	a^*_a	b^*_a	$C^*_{ab,a}$	$h^*_{ab,a}$	u^*_e
o00y	48.71	62.56	37.91	73.15	31	r08j
o25y	58.6	44.87	49.14	66.54	48	r33j
o50y	67.52	28.93	59.25	65.94	64	r57j
o75y	77.05	11.9	70.06	71.06	80	r81j
y00l	89.25	-9.92	83.91	84.49	97	j06g
y25l	77.37	-27.05	63.23	68.78	113	j30g
y50l	68.62	-39.67	48.0	62.27	130	j53g
y75l	60.79	-50.95	34.38	61.47	146	j76g
l00c	52.5	-62.91	19.95	66.0	162	g00b
l50c	56.2	-43.39	-15.92	46.22	200	g34b
c00v	59.15	-27.87	-44.43	52.45	238	g69b
c50v	43.5	-1.49	-43.39	43.42	268	g96b
v00m	29.13	22.73	-42.44	48.14	298	b23r
v50m	37.32	42.16	-29.08	51.21	325	b47r
m00o	49.51	71.08	-9.19	71.67	353	b71r
m50o	49.11	66.86	14.12	68.34	12	b88r



Ein und Ausgabe: Farbmatisches Drucker-Reflektiv-System ORS20_95a für relativen CIELAB-Bunton $h^* = \text{lab}^*h^* = h_{ab}/360 = 0.36$

Daten für jede Farbe:

lab^*tch^* und lab^*icu^*

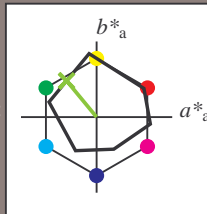
Buntontexte:

$u^*_d = y50l$ $u^*_e = j53g$

Kontrastreduzierungsfaktor:

$c_R = 0.96$

Dreiecks-Helligkeit t^*



ORS20_95a; adaptierte CIELAB-Daten

	u^*_d	$L^*=L^*_a$	a^*_a	b^*_a	$C^*_{ab,a}$	$h^*_{ab,a}$
O _{Ma}	48.71	62.56	37.91	73.15	31	
Y _{Ma}	89.25	-9.92	83.91	84.49	97	
L _{Ma}	52.5	-62.91	19.95	66.0	162	
C _{Ma}	59.15	-27.87	-44.43	52.45	238	
V _{Ma}	29.13	22.73	-42.44	48.14	298	
M _{Ma}	49.51	71.08	-9.19	71.67	353	
N _{Ma}	20.0	0.0	0.0	0.0	0	
W _{Ma}	95.0	0.0	0.0	0.0	0	
O _{Ma}	39.92	58.74	27.99	65.07	25	
Y _{Ma}	81.26	-2.89	71.56	71.62	92	
L _{Ma}	52.23	-42.42	13.6	44.55	162	
V _{Ma}	30.57	1.41	-46.47	46.49	272	

Daten für Maximalfarbe (Ma):

$\text{LAB}^*\text{LAB}^*_{Ma}: 69 -40 48$

$\text{LAB}^*\text{LCH}^*_{Ma}: 69 62 129$

$\text{lab}^*\text{olv}^*_{Ma}: 0.5 1.0 0.0$

$\text{lab}^*\text{rgb}^*_{Ma}: 0.47 1.0 0.0$

Dreiecks-Helligkeit t^*

%Umfang

$u^*_{rel} = 83$

%Regularität

$g^*_{H,rel} = 72$

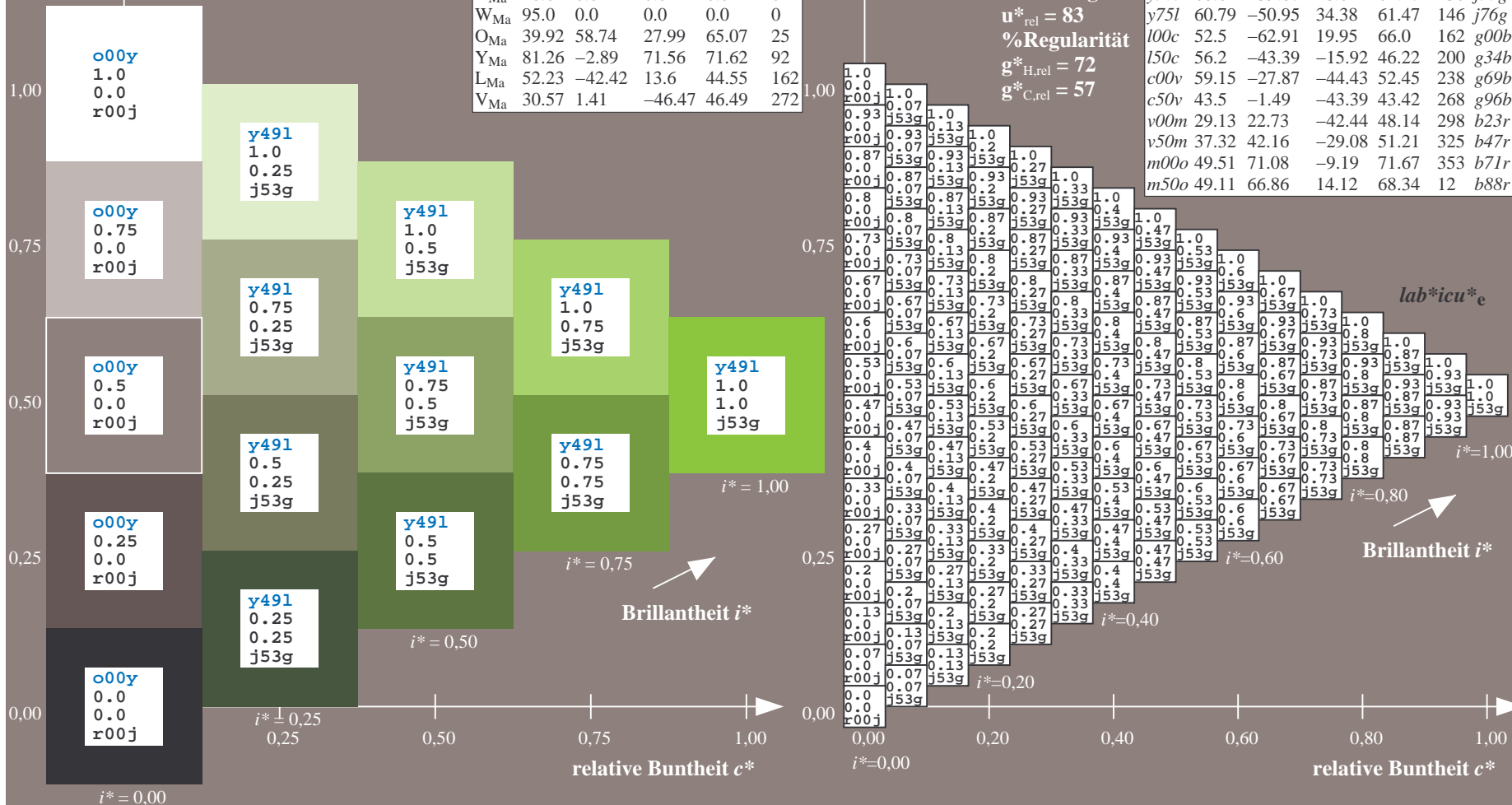
$g^*_{C,rel} = 57$

$u^*_d = y50l$

$\text{lab}^*icu^*_e$

ORS20_95a; adaptierte CIELAB-Daten

	u^*_d	$L^*=L^*_a$	a^*_a	b^*_a	$C^*_{ab,a}$	$h^*_{ab,a}$	u^*_e
o00y	48.71	62.56	37.91	73.15	31		r08j
o25y	58.6	44.87	49.14	66.54	48		r33j
o50y	67.52	28.93	59.25	65.94	64		r57j
o75y	77.05	11.9	70.06	71.06	80		r81j
y00l	89.25	-9.92	83.91	84.49	97		j06g
y25l	77.37	-27.05	63.23	68.78	113		j30g
y50l	68.62	-39.67	48.0	62.27	130		j53g
y75l	60.79	-50.95	34.38	61.47	146		j76g
l00c	52.5	-62.91	19.95	66.0	162		g00b
l50c	56.2	-43.39	-15.92	46.22	200		g34b
c00v	59.15	-27.87	-44.43	52.45	238		g69b
c50v	43.5	-1.49	-43.39	43.42	268		g96b
v00m	29.13	22.73	-42.44	48.14	298		b23r
v50m	37.32	42.16	-29.08	51.21	325		b47r
m00o	49.51	71.08	-9.19	71.67	353		b71r
m50o	49.11	66.86	14.12	68.34	12		b88r



Ein und Ausgabe: Farbmatisches Drucker-Reflektiv-System ORS20_95a für relativen CIELAB-Bunton $h^* = \text{lab}^*h^* = h_{ab}/360 = 0.406$

$u^*_d = y75l$

Daten für jede Farbe:

lab^*ch^* und lab^*icu^*

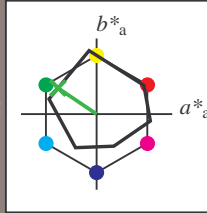
Buntontexte:

$u^*_d = y75l$ $u^*_e = j76g$

Kontrastreduzierungsfaktor:

$c_R = 0.96$

Dreiecks-Helligkeit t^*



ORS20_95a; adaptierte CIELAB-Daten

	u^*_d	$L^*=L^*_a$	a^*_a	b^*_a	$C^*_{ab,a}$	$h^*_{ab,a}$
O _{Ma}	48.71	62.56	37.91	73.15	31	
Y _{Ma}	89.25	-9.92	83.91	84.49	97	
L _{Ma}	52.5	-62.91	19.95	66.0	162	
C _{Ma}	59.15	-27.87	-44.43	52.45	238	
V _{Ma}	29.13	22.73	-42.44	48.14	298	
M _{Ma}	49.51	71.08	-9.19	71.67	353	
N _{Ma}	20.0	0.0	0.0	0.0	0	
W _{Ma}	95.0	0.0	0.0	0.0	0	
O _{Ma}	39.92	58.74	27.99	65.07	25	
Y _{Ma}	81.26	-2.89	71.56	71.62	92	
L _{Ma}	52.23	-42.42	13.6	44.55	162	
V _{Ma}	30.57	1.41	-46.47	46.49	272	

Daten für Maximalfarbe (Ma):

$\text{LAB}^*\text{LAB}^*_{Ma}$: 61 -51 34

$\text{LAB}^*\text{LCH}^*_{Ma}$: 61 61 145

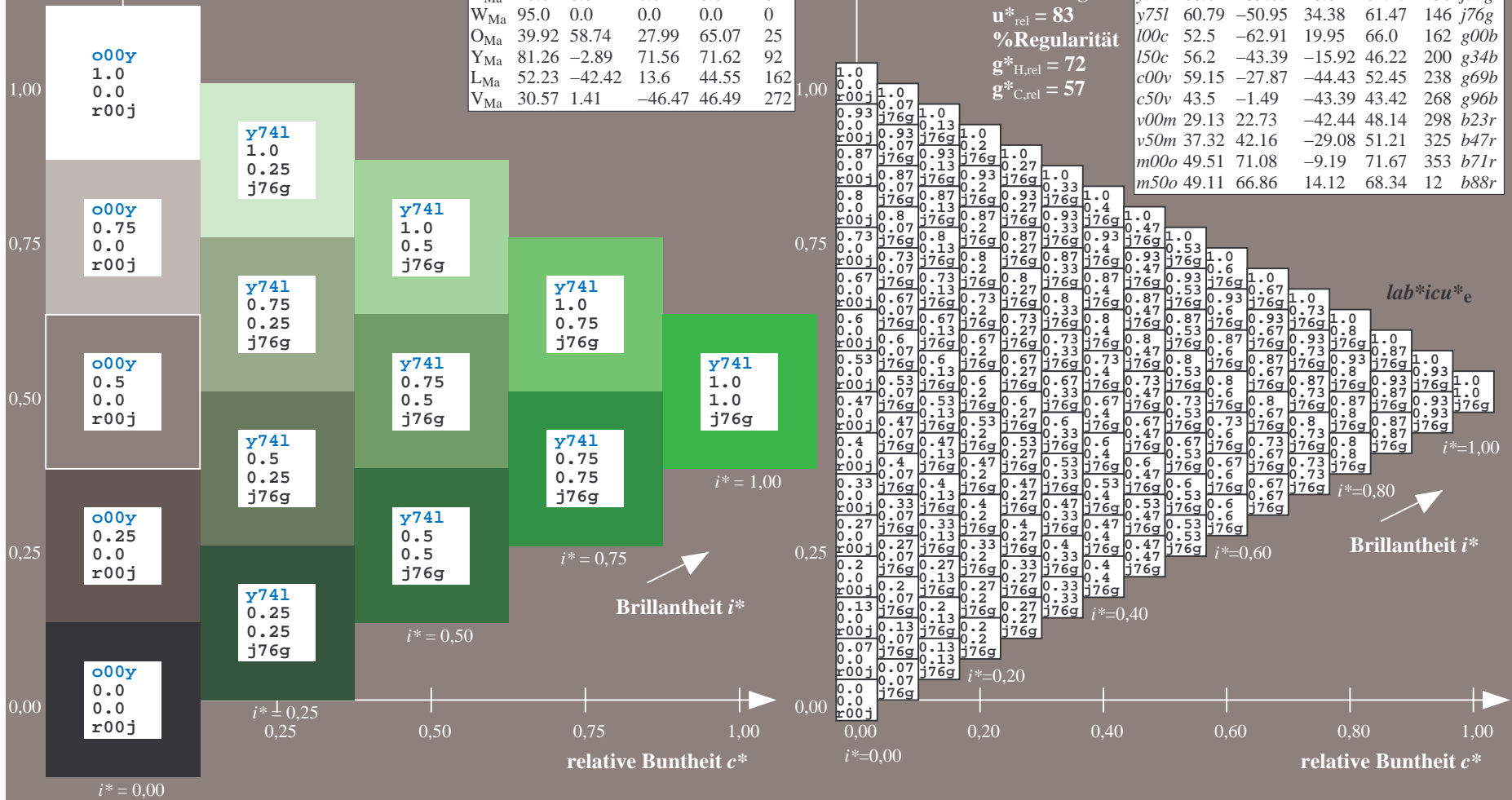
$\text{lab}^*\text{olv}^*_{Ma}$: 0.25 1.0 0.0

$\text{lab}^*\text{rgb}^*_{Ma}$: 0.23 1.0 0.0

Dreiecks-Helligkeit t^*

ORS20_95a; adaptierte CIELAB-Daten

	u^*_d	$L^*=L^*_a$	a^*_a	b^*_a	$C^*_{ab,a}$	$h^*_{ab,a}$	u^*_e
o00y	48.71	62.56	37.91	73.15	31		r08j
o25y	58.6	44.87	49.14	66.54	48		r33j
o50y	67.52	28.93	59.25	65.94	64		r57j
o75y	77.05	11.9	70.06	71.06	80		r81j
y00l	89.25	-9.92	83.91	84.49	97		j06g
y25l	77.37	-27.05	63.23	68.78	113		j30g
y50l	68.62	-39.67	48.0	62.27	130		j53g
y75l	60.79	-50.95	34.38	61.47	146		j76g
l00c	52.5	-62.91	19.95	66.0	162		g00b
l50c	56.2	-43.39	-15.92	46.22	200		g34b
c00v	59.15	-27.87	-44.43	52.45	238		g69b
c50v	43.5	-1.49	-43.39	43.42	268		g96b
v00m	29.13	22.73	-42.44	48.14	298		b23r
v50m	37.32	42.16	-29.08	51.21	325		b47r
m00o	49.51	71.08	-9.19	71.67	353		b71r
m50o	49.11	66.86	14.12	68.34	12		b88r



%Umfang
 $u^*_{rel} = 83$
 %Regularität
 $g^*_{H,rel} = 72$
 $g^*_{C,rel} = 57$

Brillantheit i^*

Brillantheit i^*

Ein und Ausgabe: Farbmatisches Drucker-Reflektiv-System ORS20_95a für relativen CIELAB-Bunton $h^* = \text{lab}^*h^* = h_{ab}/360 = 0.451$

$u^*_d = 100c$
 $\text{lab}^*icu^*_e$

Daten für jede Farbe:

lab^*tch^* und lab^*icu^*

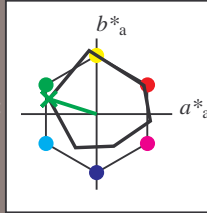
Buntontexte:

$u^*_d = 100c$ $u^*_e = g00b$

Kontrastreduzierungsfaktor:

$c_R = 0.96$

Dreiecks-Helligkeit t^*



ORS20_95a; adaptierte CIELAB-Daten

u^*_d	$L^*=L^*_a$	a^*_a	b^*_a	$C^*_{ab,a}$	$h^*_{ab,a}$
O _{Ma}	48.71	62.56	37.91	73.15	31
Y _{Ma}	89.25	-9.92	83.91	84.49	97
L _{Ma}	52.5	-62.91	19.95	66.0	162
C _{Ma}	59.15	-27.87	-44.43	52.45	238
V _{Ma}	29.13	22.73	-42.44	48.14	298
M _{Ma}	49.51	71.08	-9.19	71.67	353
N _{Ma}	20.0	0.0	0.0	0.0	0
W _{Ma}	95.0	0.0	0.0	0.0	0
O _{Ma}	39.92	58.74	27.99	65.07	25
Y _{Ma}	81.26	-2.89	71.56	71.62	92
L _{Ma}	52.23	-42.42	13.6	44.55	162
V _{Ma}	30.57	1.41	-46.47	46.49	272

Daten für Maximalfarbe (Ma):

$\text{LAB}^*\text{LAB}^*_{Ma}: 52 -63 20$

$\text{LAB}^*\text{LCH}^*_{Ma}: 52 66 162$

$\text{lab}^*\text{olv}^*_{Ma}: 0.0 1.0 0.0$

$\text{lab}^*\text{rgb}^*_{Ma}: 0.0 1.0 0.0$

Dreiecks-Helligkeit t^*

%Umfang

$u^*_{rel} = 83$

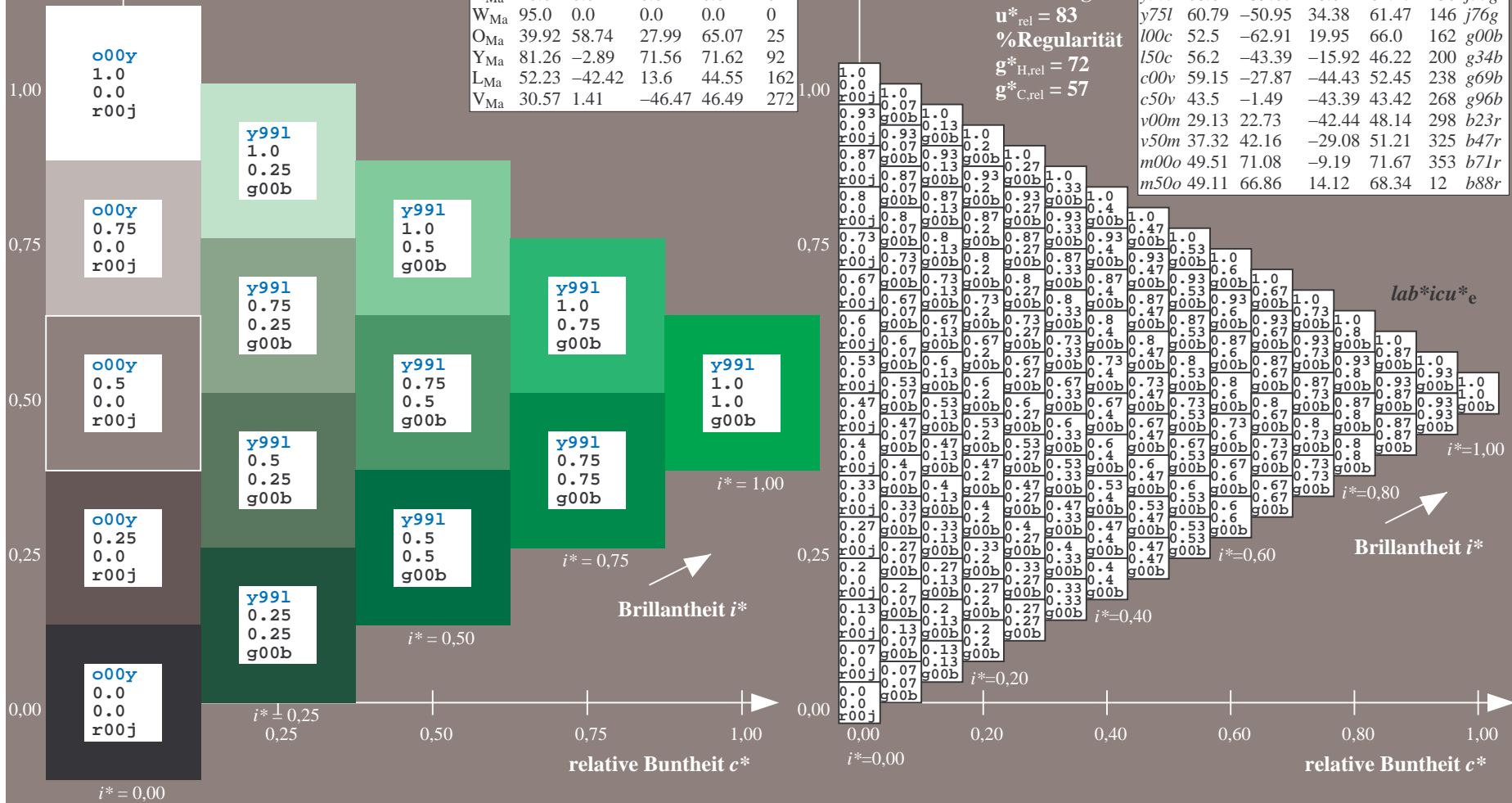
%Regularität

$g^*_{H,rel} = 72$

$g^*_{C,rel} = 57$

ORS20_95a; adaptierte CIELAB-Daten

u^*_d	$L^*=L^*_a$	a^*_a	b^*_a	$C^*_{ab,a}$	$h^*_{ab,a}$	u^*_e
o00y	48.71	62.56	37.91	73.15	31	r08j
o25y	58.6	44.87	49.14	66.54	48	r33j
o50y	67.52	28.93	59.25	65.94	64	r57j
o75y	77.05	11.9	70.06	71.06	80	r81j
y00l	89.25	-9.92	83.91	84.49	97	j06g
y25l	77.37	-27.05	63.23	68.78	113	j30g
y50l	68.62	-39.67	48.0	62.27	130	j53g
y75l	60.79	-50.95	34.38	61.47	146	j76g
l00c	52.5	-62.91	19.95	66.0	162	g00b
l50c	56.2	-43.39	-15.92	46.22	200	g34b
c00v	59.15	-27.87	-44.43	52.45	238	g69b
c50v	43.5	-1.49	-43.39	43.42	268	g96b
v00m	29.13	22.73	-42.44	48.14	298	b23r
v50m	37.32	42.16	-29.08	51.21	325	b47r
m00o	49.51	71.08	-9.19	71.67	353	b71r
m50o	49.11	66.86	14.12	68.34	12	b88r



Ein und Ausgabe: Farbmatisches Drucker-Reflektiv-System ORS20_95a für relativen CIELAB-Bunton $h^* = lab^*h^* = h_{ab}/360 = 0.556$

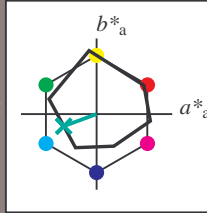
$u^*_d = 150c$

Daten für jede Farbe:

Daten für Maximalfarbe (Ma):

$lab^*icu^*_e$

lab^*tch^* und lab^*icu^*



ORS20_95a; adaptierte CIELAB-Daten

u^*_d	$L^*=L^*_a$	a^*_a	b^*_a	$C^*_{ab,a}$	$h^*_{ab,a}$
O _{Ma}	48.71	62.56	37.91	73.15	31
Y _{Ma}	89.25	-9.92	83.91	84.49	97
L _{Ma}	52.5	-62.91	19.95	66.0	162
C _{Ma}	59.15	-27.87	-44.43	52.45	238
V _{Ma}	29.13	22.73	-42.44	48.14	298
M _{Ma}	49.51	71.08	-9.19	71.67	353
N _{Ma}	20.0	0.0	0.0	0.0	0
W _{Ma}	95.0	0.0	0.0	0.0	0
O _{Ma}	39.92	58.74	27.99	65.07	25
Y _{Ma}	81.26	-2.89	71.56	71.62	92
L _{Ma}	52.23	-42.42	13.6	44.55	162
V _{Ma}	30.57	1.41	-46.47	46.49	272

$LAB^*LAB^*_{Ma}$: 56 -43 -16

$LAB^*LCH^*_{Ma}$: 56 46 200

$lab^*olv^*_{Ma}$: 0.0 1.0 0.5

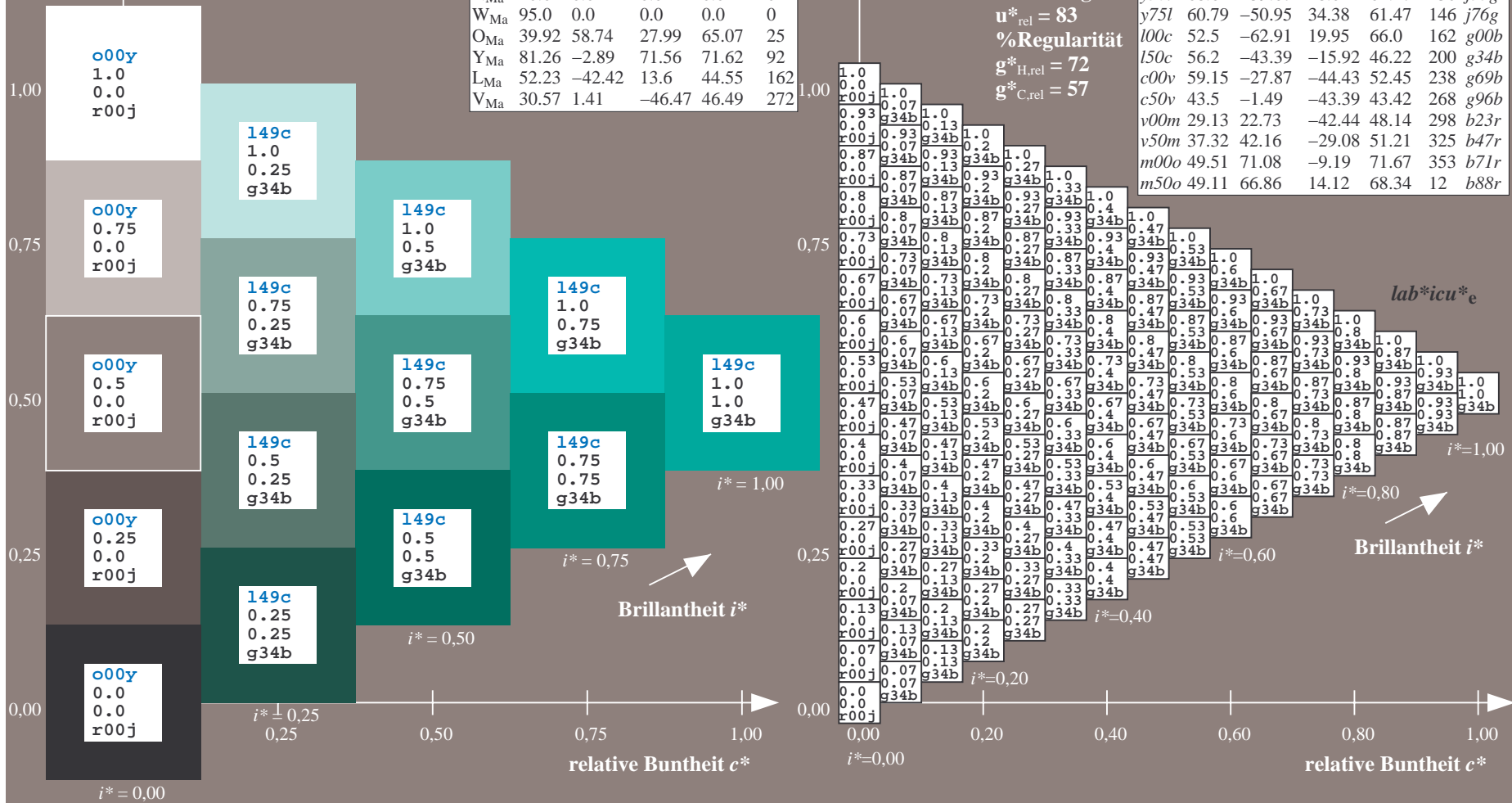
$lab^*rgb^*_{Ma}$: 0.0 1.0 0.69

Dreiecks-Helligkeit t^*

ORS20_95a; adaptierte CIELAB-Daten

u^*_d	$L^*=L^*_a$	a^*_a	b^*_a	$C^*_{ab,a}$	$h^*_{ab,a}$	u^*_e
o00y	48.71	62.56	37.91	73.15	31	r08j
o25y	58.6	44.87	49.14	66.54	48	r33j
o50y	67.52	28.93	59.25	65.94	64	r57j
o75y	77.05	11.9	70.06	71.06	80	r81j
y00l	89.25	-9.92	83.91	84.49	97	j06g
y25l	77.37	-27.05	63.23	68.78	113	j30g
y50l	68.62	-39.67	48.0	62.27	130	j53g
y75l	60.79	-50.95	34.38	61.47	146	j76g
l00c	52.5	-62.91	19.95	66.0	162	g00b
l50c	56.2	-43.39	-15.92	46.22	200	g34b
c00v	59.15	-27.87	-44.43	52.45	238	g69b
c50v	43.5	-1.49	-43.39	43.42	268	g96b
v00m	29.13	22.73	-42.44	48.14	298	b23r
v50m	37.32	42.16	-29.08	51.21	325	b47r
m00o	49.51	71.08	-9.19	71.67	353	b71r
m50o	49.11	66.86	14.12	68.34	12	b88r

%Umfang
 $u^*_{rel} = 83$
 %Regularität
 $g^*_{H,rel} = 72$
 $g^*_{C,rel} = 57$



Ein und Ausgabe: Farbmatisches Drucker-Reflektiv-System ORS20_95a für relativen CIELAB-Bunton $h^* = lab^*h^* = h_{ab}/360 = 0.661$

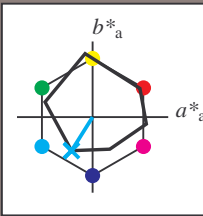
$u^*_d = c00v$

Daten für jede Farbe:

Daten für Maximalfarbe (Ma):

$lab^*icu^*_e$

lab^*ch^* und lab^*icu^*



ORS20_95a; adaptierte CIELAB-Daten

u^*_d	$L^*=L^*_a$	a^*_a	b^*_a	$C^*_{ab,a}$	$h^*_{ab,a}$
O _{Ma}	48.71	62.56	37.91	73.15	31
Y _{Ma}	89.25	-9.92	83.91	84.49	97
L _{Ma}	52.5	-62.91	19.95	66.0	162
C _{Ma}	59.15	-27.87	-44.43	52.45	238
V _{Ma}	29.13	22.73	-42.44	48.14	298
M _{Ma}	49.51	71.08	-9.19	71.67	353
N _{Ma}	20.0	0.0	0.0	0.0	0
W _{Ma}	95.0	0.0	0.0	0.0	0
O _{Ma}	39.92	58.74	27.99	65.07	25
Y _{Ma}	81.26	-2.89	71.56	71.62	92
L _{Ma}	52.23	-42.42	13.6	44.55	162
V _{Ma}	30.57	1.41	-46.47	46.49	272

$LAB^*LAB^*_{Ma}: 59 -28 -44$

$LAB^*LCH^*_{Ma}: 59 52 237$

$lab^*olv^*_{Ma}: 0.0 1.0 1.0$

$lab^*rgb^*_{Ma}: 0.0 0.62 1.0$

Dreiecks-Helligkeit t^*

ORS20_95a; adaptierte CIELAB-Daten

u^*_d	$L^*=L^*_a$	a^*_a	b^*_a	$C^*_{ab,a}$	$h^*_{ab,a}$	u^*_e
o00y	48.71	62.56	37.91	73.15	31	r08j
o25y	58.6	44.87	49.14	66.54	48	r33j
o50y	67.52	28.93	59.25	65.94	64	r57j
o75y	77.05	11.9	70.06	71.06	80	r81j
y00l	89.25	-9.92	83.91	84.49	97	j06g
y25l	77.37	-27.05	63.23	68.78	113	j30g
y50l	68.62	-39.67	48.0	62.27	130	j53g
y75l	60.79	-50.95	34.38	61.47	146	j76g
l00c	52.5	-62.91	19.95	66.0	162	g00b
l50c	56.2	-43.39	-15.92	46.22	200	g34b
c00v	59.15	-27.87	-44.43	52.45	238	g69b
c50v	43.5	-1.49	-43.39	43.42	268	g96b
v00m	29.13	22.73	-42.44	48.14	298	b23r
v50m	37.32	42.16	-29.08	51.21	325	b47r
m00o	49.51	71.08	-9.19	71.67	353	b71r
m50o	49.11	66.86	14.12	68.34	12	b88r

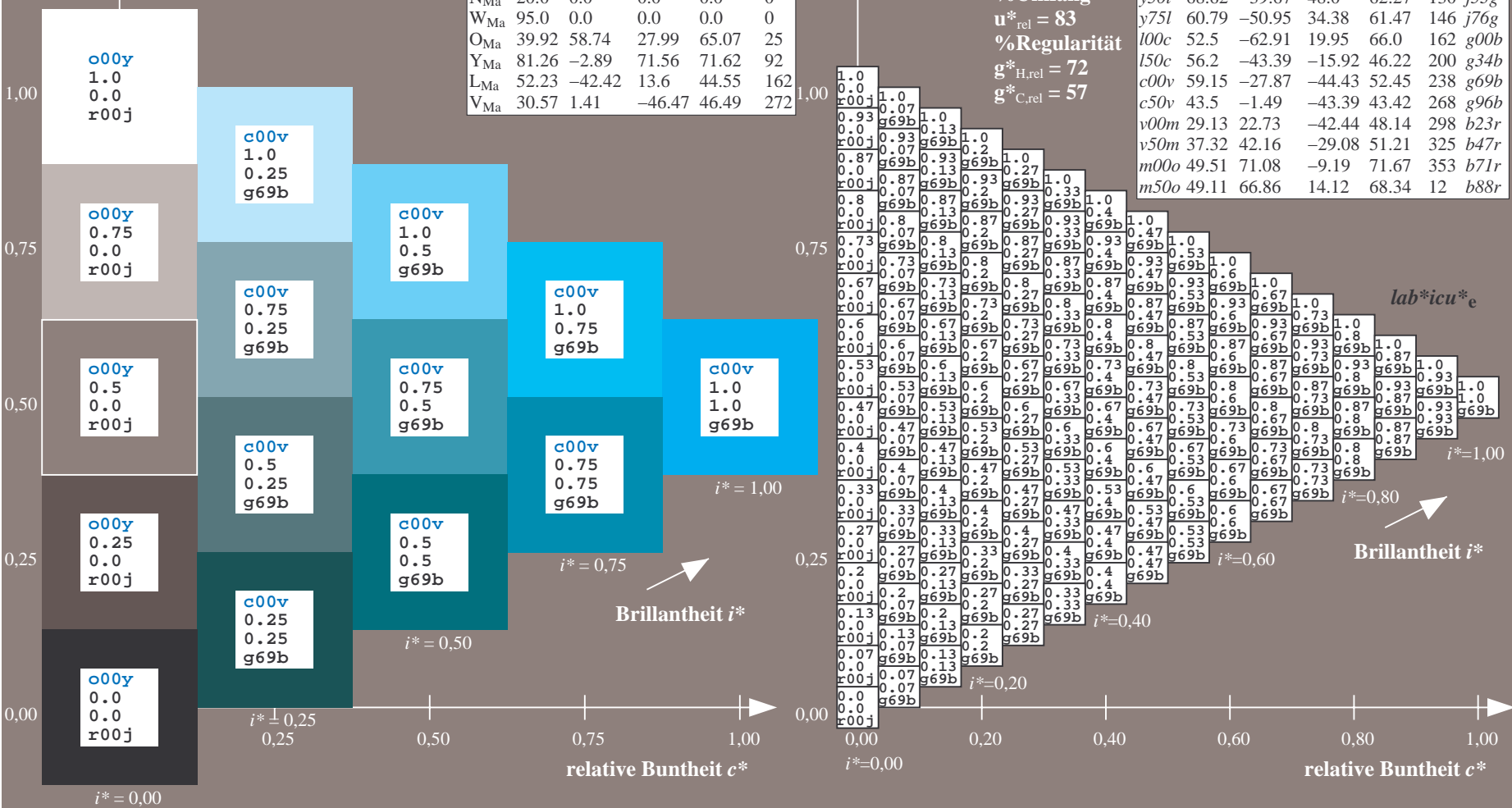
%Umfang

$u^*_{rel} = 83$

%Regularität

$g^*_{H,rel} = 72$

$g^*_{C,rel} = 57$



Ein und Ausgabe: Farbmatisches Drucker-Reflektiv-System ORS20_95a für relativen CIELAB-Bunton $h^* = lab^*h^* = h_{ab}/360 = 0.745$

Daten für jede Farbe:

lab^*ch^* und lab^*icu^*

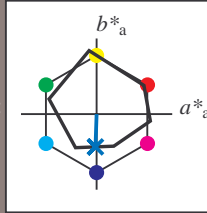
Buntontexte:

$u^*_d = c50v$ $u^*_e = g96b$

Kontrastreduzierungsfaktor:

$c_R = 0.96$

Dreiecks-Helligkeit t^*



ORS20_95a; adaptierte CIELAB-Daten						
u^*_d	$L^*=L^*_a$	a^*_a	b^*_a	$C^*_{ab,a}$	$h^*_{ab,a}$	
O _{Ma}	48.71	62.56	37.91	73.15	31	
Y _{Ma}	89.25	-9.92	83.91	84.49	97	
L _{Ma}	52.5	-62.91	19.95	66.0	162	
C _{Ma}	59.15	-27.87	-44.43	52.45	238	
V _{Ma}	29.13	22.73	-42.44	48.14	298	
M _{Ma}	49.51	71.08	-9.19	71.67	353	
N _{Ma}	20.0	0.0	0.0	0.0	0	
W _{Ma}	95.0	0.0	0.0	0.0	0	
O _{Ma}	39.92	58.74	27.99	65.07	25	
Y _{Ma}	81.26	-2.89	71.56	71.62	92	
L _{Ma}	52.23	-42.42	13.6	44.55	162	
V _{Ma}	30.57	1.41	-46.47	46.49	272	

Daten für Maximalfarbe (Ma):

$LAB^*LAB^*_{Ma}$: 43 -1 -43

$LAB^*LCH^*_{Ma}$: 43 43 268

$lab^*olv^*_{Ma}$: 0.0 0.5 1.0

$lab^*rgb^*_{Ma}$: 0.0 0.07 1.0

Dreiecks-Helligkeit t^*

%Umfang

$u^*_{rel} = 83$

%Regularität

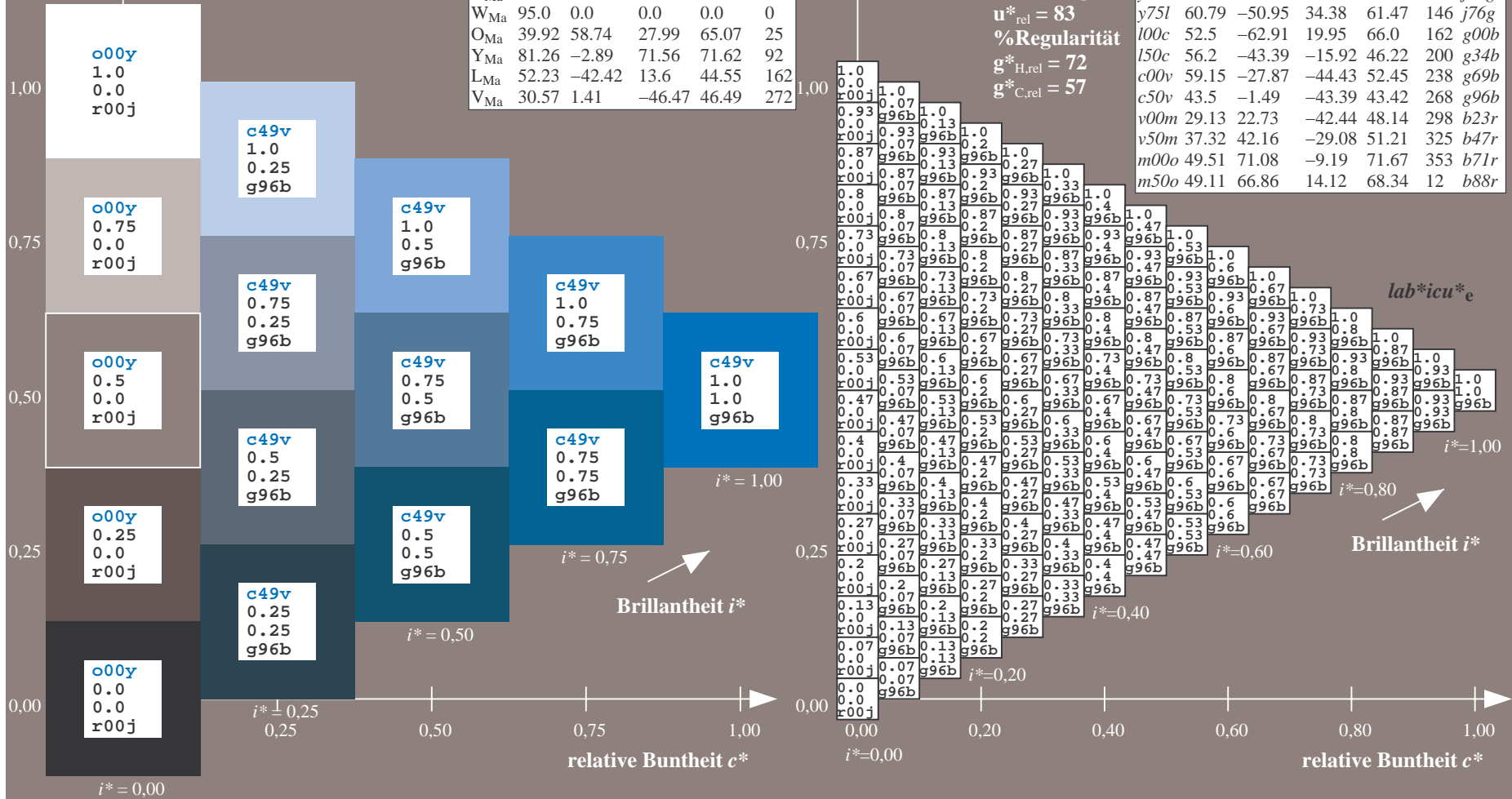
$g^*_{H,rel} = 72$

$g^*_{C,rel} = 57$

$u^*_d = c50v$

$lab^*icu^*_e$

ORS20_95a; adaptierte CIELAB-Daten							
u^*_d	$L^*=L^*_a$	a^*_a	b^*_a	$C^*_{ab,a}$	$h^*_{ab,a}$	u^*_e	
o00y	48.71	62.56	37.91	73.15	31	r08j	
o25y	58.6	44.87	49.14	66.54	48	r33j	
o50y	67.52	28.93	59.25	65.94	64	r57j	
o75y	77.05	11.9	70.06	71.06	80	r81j	
y00l	89.25	-9.92	83.91	84.49	97	j06g	
y25l	77.37	-27.05	63.23	68.78	113	j30g	
y50l	68.62	-39.67	48.0	62.27	130	j53g	
y75l	60.79	-50.95	34.38	61.47	146	j76g	
l00c	52.5	-62.91	19.95	66.0	162	g00b	
l50c	56.2	-43.39	-15.92	46.22	200	g34b	
c00v	59.15	-27.87	-44.43	52.45	238	g69b	
c50v	43.5	-1.49	-43.39	43.42	268	g96b	
v00m	29.13	22.73	-42.44	48.14	298	b23r	
v50m	37.32	42.16	-29.08	51.21	325	b47r	
m00o	49.51	71.08	-9.19	71.67	353	b71r	
m50o	49.11	66.86	14.12	68.34	12	b88r	



Ein und Ausgabe: Farbmatisches Drucker-Reflektiv-System ORS20_95a für relativen CIELAB-Bunton $h^* = \text{lab}^*h^* = h_{ab}/360 = 0.828$

$u^*_d = v00m$

Daten für jede Farbe:

lab^*ch^* und lab^*icu^*

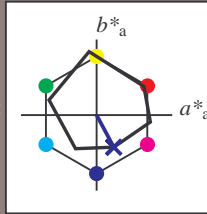
Buntontexte:

$u^*_d = v00m$ $u^*_e = b23r$

Kontrastreduzierungsfaktor:

$c_R = 0.96$

Dreiecks-Helligkeit t^*



ORS20_95a; adaptierte CIELAB-Daten

u^*_d	$L^*=L^*_a$	a^*_a	b^*_a	$C^*_{ab,a}$	$h^*_{ab,a}$
O _{Ma}	48.71	62.56	37.91	73.15	31
Y _{Ma}	89.25	-9.92	83.91	84.49	97
L _{Ma}	52.5	-62.91	19.95	66.0	162
C _{Ma}	59.15	-27.87	-44.43	52.45	238
V _{Ma}	29.13	22.73	-42.44	48.14	298
M _{Ma}	49.51	71.08	-9.19	71.67	353
N _{Ma}	20.0	0.0	0.0	0.0	0
W _{Ma}	95.0	0.0	0.0	0.0	0
O _{Ma}	39.92	58.74	27.99	65.07	25
Y _{Ma}	81.26	-2.89	71.56	71.62	92
L _{Ma}	52.23	-42.42	13.6	44.55	162
V _{Ma}	30.57	1.41	-46.47	46.49	272

Daten für Maximalfarbe (Ma):

$\text{LAB}^*\text{LAB}^*_{Ma}$: 29 23 -42

$\text{LAB}^*\text{LCH}^*_{Ma}$: 29 48 298

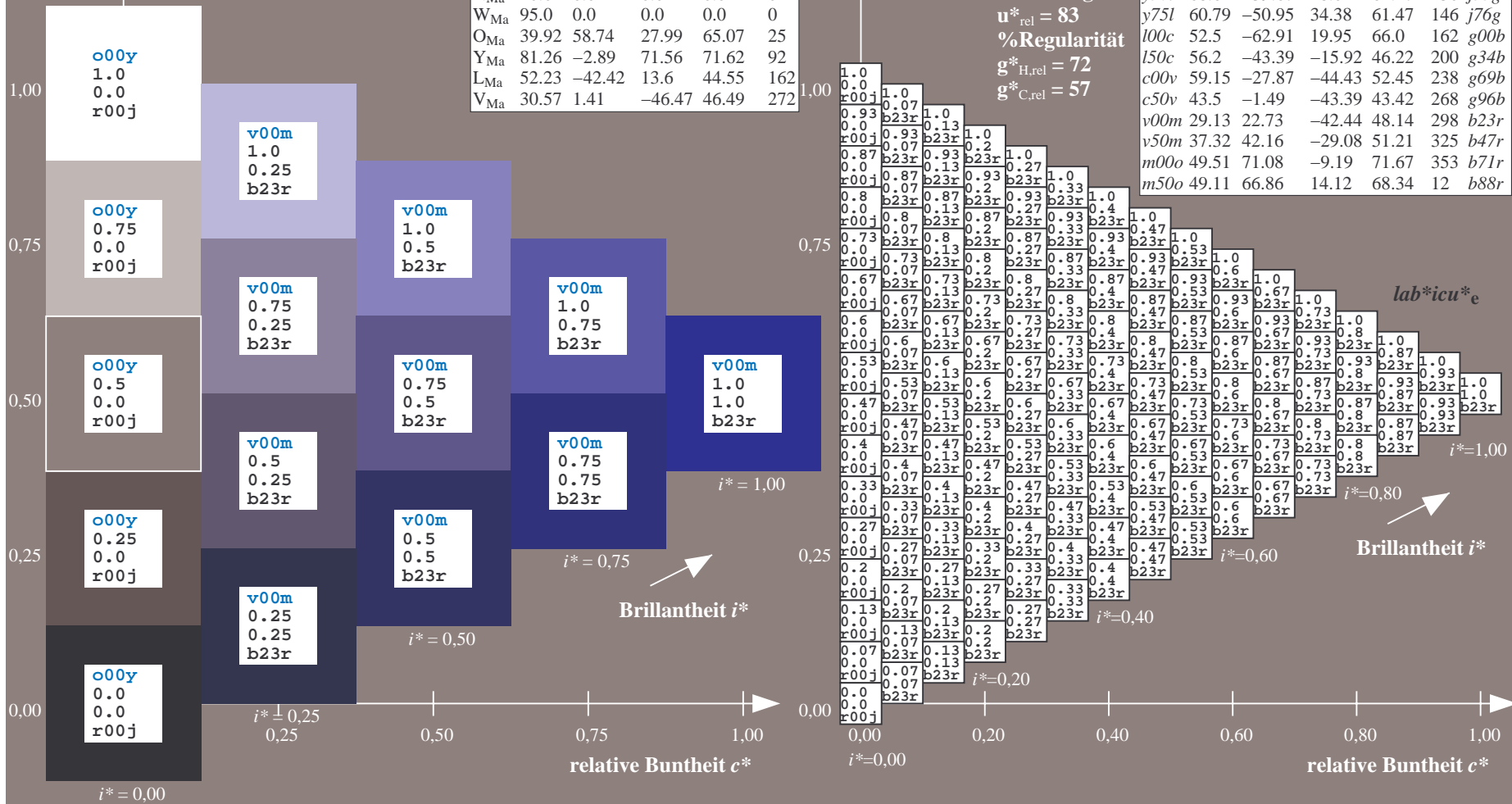
$\text{lab}^*\text{olv}^*_{Ma}$: 0.0 0.0 1.0

$\text{lab}^*\text{rgb}^*_{Ma}$: 0.46 0.0 1.0

Dreiecks-Helligkeit t^*

ORS20_95a; adaptierte CIELAB-Daten

u^*_d	$L^*=L^*_a$	a^*_a	b^*_a	$C^*_{ab,a}$	$h^*_{ab,a}$	u^*_e
o00y	48.71	62.56	37.91	73.15	31	r08j
o25y	58.6	44.87	49.14	66.54	48	r33j
o50y	67.52	28.93	59.25	65.94	64	r57j
o75y	77.05	11.9	70.06	71.06	80	r81j
y00l	89.25	-9.92	83.91	84.49	97	j06g
y25l	77.37	-27.05	63.23	68.78	113	j30g
y50l	68.62	-39.67	48.0	62.27	130	j53g
y75l	60.79	-50.95	34.38	61.47	146	j76g
l00c	52.5	-62.91	19.95	66.0	162	g00b
l50c	56.2	-43.39	-15.92	46.22	200	g34b
c00v	59.15	-27.87	-44.43	52.45	238	g69b
c50v	43.5	-1.49	-43.39	43.42	268	g96b
v00m	29.13	22.73	-42.44	48.14	298	b23r
v50m	37.32	42.16	-29.08	51.21	325	b47r
m00o	49.51	71.08	-9.19	71.67	353	b71r
m50o	49.11	66.86	14.12	68.34	12	b88r



%Umfang
 $u^*_{rel} = 83$
 %Regularität
 $g^*_{H,rel} = 72$
 $g^*_{C,rel} = 57$

Ein und Ausgabe: Farbmatisches Drucker-Reflektiv-System ORS20_95a für relativen CIELAB-Bunton $h^* = lab^*h^* = h_{ab}/360 = 0.904$

$u^*_d = v50m$
 $lab^*icu^*_e$

Daten für jede Farbe:

lab^*tch^* und lab^*icu^*

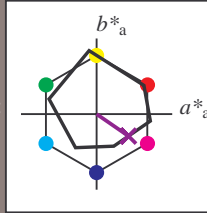
Buntontexte:

$u^*_d = v50m$ $u^*_e = b47r$

Kontrastreduzierungsfaktor:

$c_R = 0.96$

Dreiecks-Helligkeit t^*



ORS20_95a; adaptierte CIELAB-Daten

u^*_d	$L^*=L^*_a$	a^*_a	b^*_a	$C^*_{ab,a}$	$h^*_{ab,a}$
O _{Ma}	48.71	62.56	37.91	73.15	31
Y _{Ma}	89.25	-9.92	83.91	84.49	97
L _{Ma}	52.5	-62.91	19.95	66.0	162
C _{Ma}	59.15	-27.87	-44.43	52.45	238
V _{Ma}	29.13	22.73	-42.44	48.14	298
M _{Ma}	49.51	71.08	-9.19	71.67	353
N _{Ma}	20.0	0.0	0.0	0.0	0
W _{Ma}	95.0	0.0	0.0	0.0	0
O _{Ma}	39.92	58.74	27.99	65.07	25
Y _{Ma}	81.26	-2.89	71.56	71.62	92
L _{Ma}	52.23	-42.42	13.6	44.55	162
V _{Ma}	30.57	1.41	-46.47	46.49	272

Daten für Maximalfarbe (Ma):

$LAB^*LAB^*_{Ma}$: 37 42 -29

$LAB^*LCH^*_{Ma}$: 37 51 325

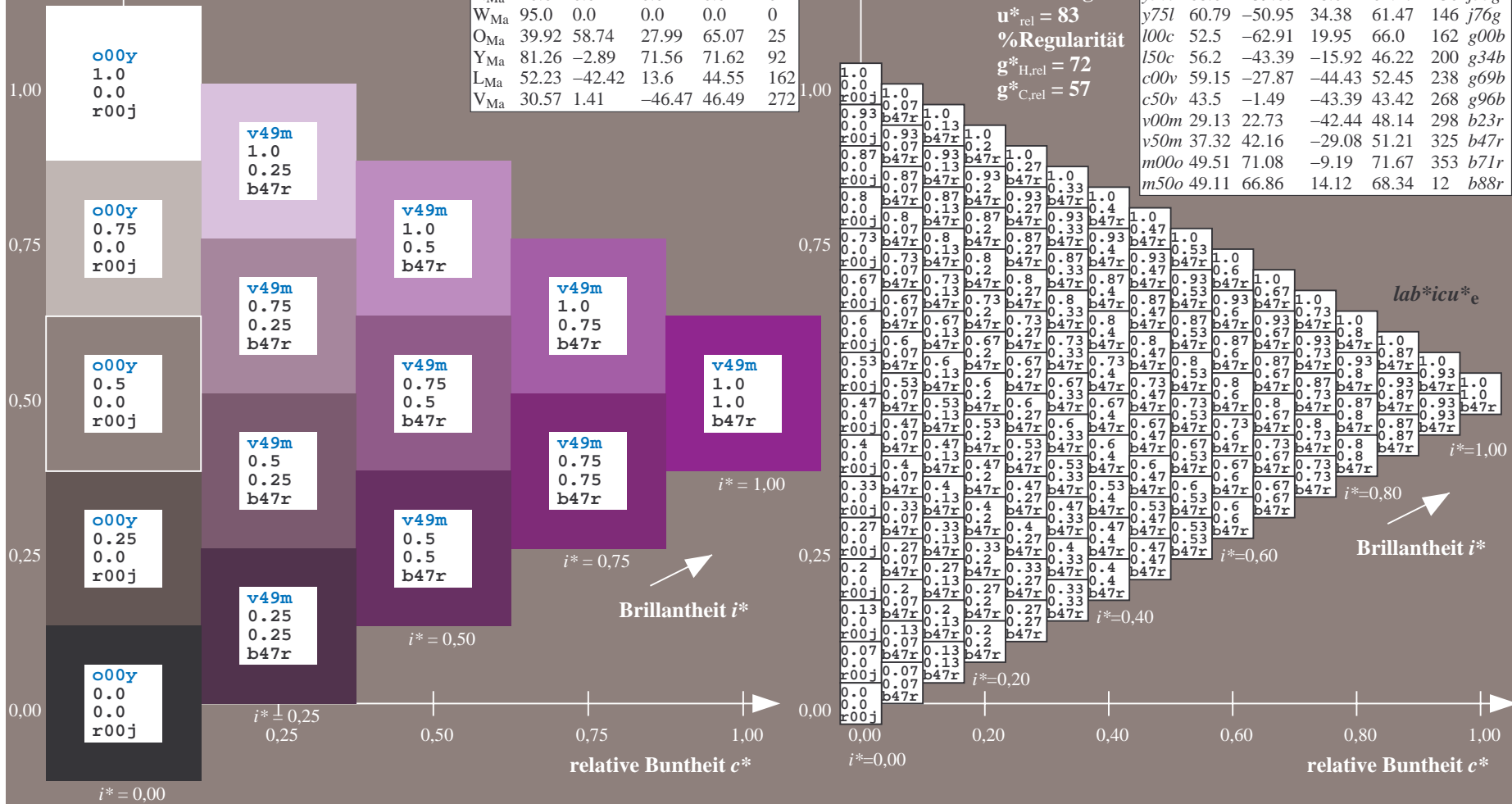
$lab^*olv^*_{Ma}$: 0.5 0.0 1.0

$lab^*rgb^*_{Ma}$: 0.94 0.0 1.0

Dreiecks-Helligkeit t^*

ORS20_95a; adaptierte CIELAB-Daten

u^*_d	$L^*=L^*_a$	a^*_a	b^*_a	$C^*_{ab,a}$	$h^*_{ab,a}$	u^*_e
o00y	48.71	62.56	37.91	73.15	31	r08j
o25y	58.6	44.87	49.14	66.54	48	r33j
o50y	67.52	28.93	59.25	65.94	64	r57j
o75y	77.05	11.9	70.06	71.06	80	r81j
y00l	89.25	-9.92	83.91	84.49	97	j06g
y25l	77.37	-27.05	63.23	68.78	113	j30g
y50l	68.62	-39.67	48.0	62.27	130	j53g
y75l	60.79	-50.95	34.38	61.47	146	j76g
l00c	52.5	-62.91	19.95	66.0	162	g00b
l50c	56.2	-43.39	-15.92	46.22	200	g34b
c00v	59.15	-27.87	-44.43	52.45	238	g69b
c50v	43.5	-1.49	-43.39	43.42	268	g96b
v00m	29.13	22.73	-42.44	48.14	298	b23r
v50m	37.32	42.16	-29.08	51.21	325	b47r
m00o	49.51	71.08	-9.19	71.67	353	b71r
m50o	49.11	66.86	14.12	68.34	12	b88r



Ein und Ausgabe: Farbmatisches Drucker-Reflektiv-System ORS20_95a für relativen CIELAB-Bunton $h^* = lab^*h^* = h_{ab}/360 = 0.98$

$u^*_d = m00o$
 $lab^*icu^*_e$

Daten für jede Farbe:

lab^*ch^* und lab^*icu^*

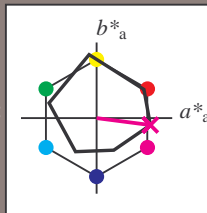
Buntontexte:

$u^*_d = m00o$ $u^*_e = b71r$

Kontrastreduzierungsfaktor:

$c_R = 0.96$

Dreiecks-Helligkeit t^*



ORS20_95a; adaptierte CIELAB-Daten

u^*_d	$L^*=L^*_a$	a^*_a	b^*_a	$C^*_{ab,a}$	$h^*_{ab,a}$
O _{Ma}	48.71	62.56	37.91	73.15	31
Y _{Ma}	89.25	-9.92	83.91	84.49	97
L _{Ma}	52.5	-62.91	19.95	66.0	162
C _{Ma}	59.15	-27.87	-44.43	52.45	238
V _{Ma}	29.13	22.73	-42.44	48.14	298
M _{Ma}	49.51	71.08	-9.19	71.67	353
N _{Ma}	20.0	0.0	0.0	0.0	0
W _{Ma}	95.0	0.0	0.0	0.0	0
O _{Ma}	39.92	58.74	27.99	65.07	25
Y _{Ma}	81.26	-2.89	71.56	71.62	92
L _{Ma}	52.23	-42.42	13.6	44.55	162
V _{Ma}	30.57	1.41	-46.47	46.49	272

Daten für Maximalfarbe (Ma):

$LAB^*LAB^*_{Ma}: 50\ 71\ -9$

$LAB^*LCH^*_{Ma}: 50\ 72\ 352$

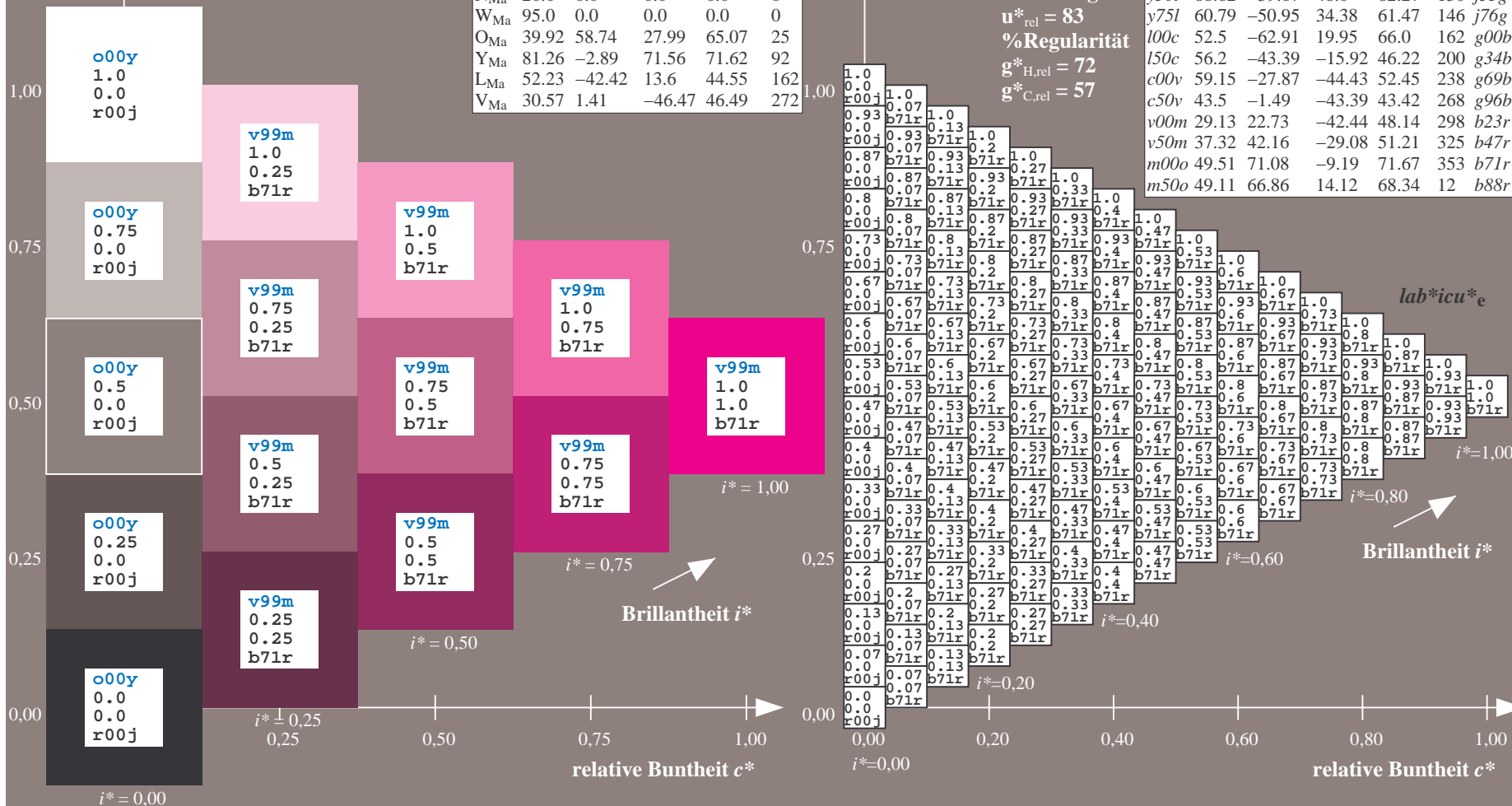
$lab^*olv^*_{Ma}: 1.0\ 0.0\ 1.0$

$lab^*rgb^*_{Ma}: 1.0\ 0.0\ 0.58$

Dreiecks-Helligkeit t^*

ORS20_95a; adaptierte CIELAB-Daten

u^*_d	$L^*=L^*_a$	a^*_a	b^*_a	$C^*_{ab,a}$	$h^*_{ab,a}$	u^*_e
o00y	48.71	62.56	37.91	73.15	31	r08j
o25y	58.6	44.87	49.14	66.54	48	r33j
o50y	67.52	28.93	59.25	65.94	64	r57j
o75y	77.05	11.9	70.06	71.06	80	r81j
y00l	89.25	-9.92	83.91	84.49	97	j06g
y25l	77.37	-27.05	63.23	68.78	113	j30g
y50l	68.62	-39.67	48.0	62.27	130	j53g
y75l	60.79	-50.95	34.38	61.47	146	j76g
l00c	52.5	-62.91	19.95	66.0	162	g00b
l50c	56.2	-43.39	-15.92	46.22	200	g34b
c00v	59.15	-27.87	-44.43	52.45	238	g69b
c50v	43.5	-1.49	-43.39	43.42	268	g96b
v00m	29.13	22.73	-42.44	48.14	298	b23r
v50m	37.32	42.16	-29.08	51.21	325	b47r
m00o	49.51	71.08	-9.19	71.67	353	b71r
m50o	49.11	66.86	14.12	68.34	12	b88r



Ein und Ausgabe: Farbmatisches Drucker-Reflektiv-System ORS20_95a für relativen CIELAB-Bunton $h^* = lab^*h^* = h_{ab}/360 = 0.033$

$u^*_d = m50o$

Daten für jede Farbe:

lab^*ch^* und lab^*icu^*

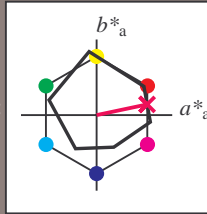
Buntontexte:

$u^*_d = m50o$ $u^*_e = b88r$

Kontrastreduzierungsfaktor:

$c_R = 0.96$

Dreiecks-Helligkeit t^*



ORS20_95a; adaptierte CIELAB-Daten						
u^*_d	$L^*=L^*_a$	a^*_a	b^*_a	$C^*_{ab,a}$	$h^*_{ab,a}$	
O _{Ma}	48.71	62.56	37.91	73.15	31	
Y _{Ma}	89.25	-9.92	83.91	84.49	97	
L _{Ma}	52.5	-62.91	19.95	66.0	162	
C _{Ma}	59.15	-27.87	-44.43	52.45	238	
V _{Ma}	29.13	22.73	-42.44	48.14	298	
M _{Ma}	49.51	71.08	-9.19	71.67	353	
N _{Ma}	20.0	0.0	0.0	0.0	0	
W _{Ma}	95.0	0.0	0.0	0.0	0	
O _{Ma}	39.92	58.74	27.99	65.07	25	
Y _{Ma}	81.26	-2.89	71.56	71.62	92	
L _{Ma}	52.23	-42.42	13.6	44.55	162	
V _{Ma}	30.57	1.41	-46.47	46.49	272	

Daten für Maximalfarbe (Ma):

$LAB^*LAB^*_{Ma}$: 49 67 14

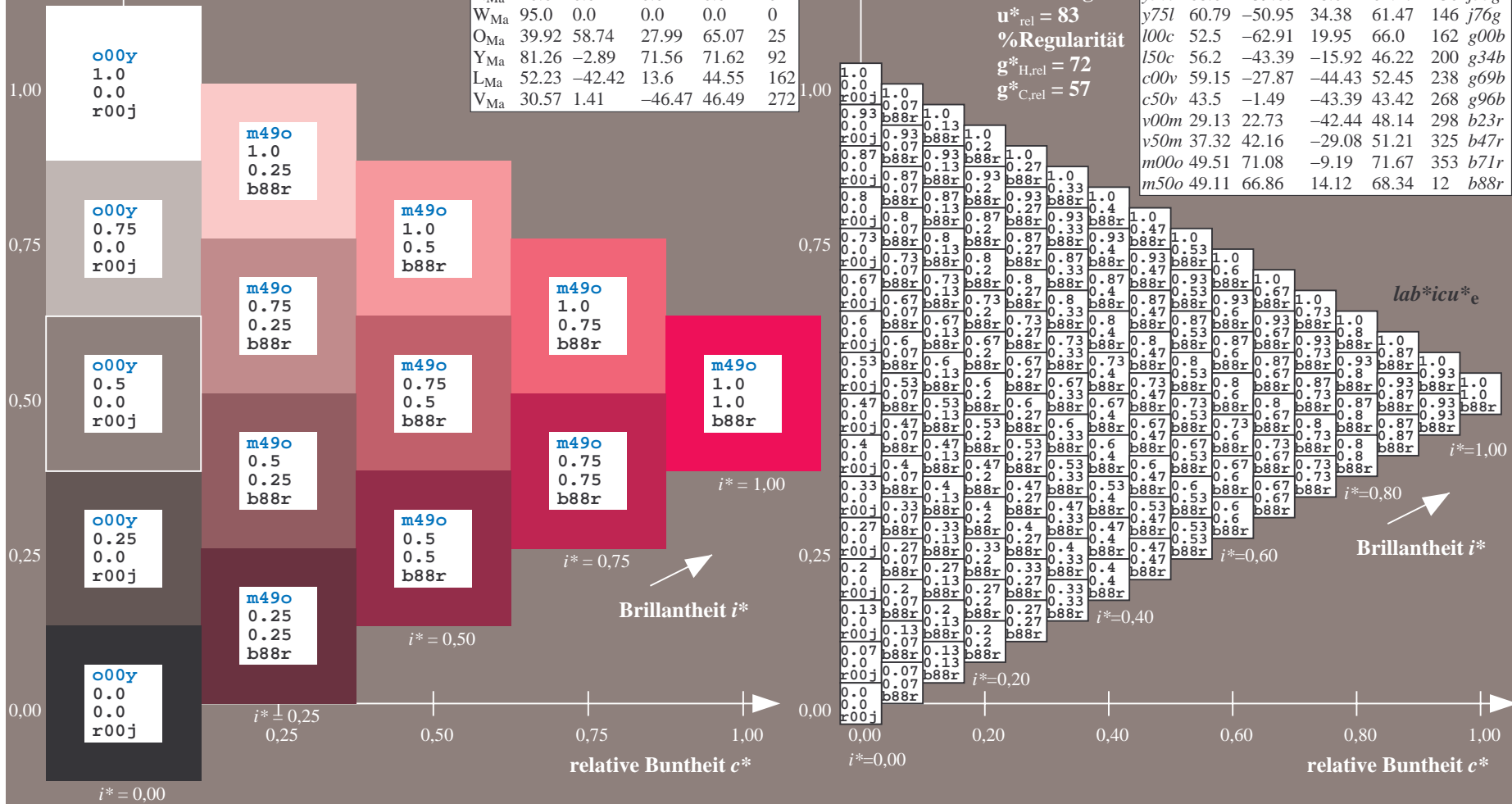
$LAB^*LCH^*_{Ma}$: 49 68 11

$lab^*olv^*_{Ma}$: 1.0 0.0 0.5

$lab^*rgb^*_{Ma}$: 1.0 0.0 0.24

Dreiecks-Helligkeit t^*

ORS20_95a; adaptierte CIELAB-Daten							
u^*_d	$L^*=L^*_a$	a^*_a	b^*_a	$C^*_{ab,a}$	$h^*_{ab,a}$	u^*_e	
o00y	48.71	62.56	37.91	73.15	31	r08j	
o25y	58.6	44.87	49.14	66.54	48	r33j	
o50y	67.52	28.93	59.25	65.94	64	r57j	
o75y	77.05	11.9	70.06	71.06	80	r81j	
y00l	89.25	-9.92	83.91	84.49	97	j06g	
y25l	77.37	-27.05	63.23	68.78	113	j30g	
y50l	68.62	-39.67	48.0	62.27	130	j53g	
y75l	60.79	-50.95	34.38	61.47	146	j76g	
l00c	52.5	-62.91	19.95	66.0	162	g00b	
l50c	56.2	-43.39	-15.92	46.22	200	g34b	
c00v	59.15	-27.87	-44.43	52.45	238	g69b	
c50v	43.5	-1.49	-43.39	43.42	268	g96b	
v00m	29.13	22.73	-42.44	48.14	298	b23r	
v50m	37.32	42.16	-29.08	51.21	325	b47r	
m00o	49.51	71.08	-9.19	71.67	353	b71r	
m50o	49.11	66.86	14.12	68.34	12	b88r	



%Umfang
 $u^*_{rel} = 83$
 %Regularität
 $g^*_{H,rel} = 72$
 $g^*_{C,rel} = 57$

Ein und Ausgabe:
 Farbmetrisches Drucker-Reflektiv-System ORS20_95a

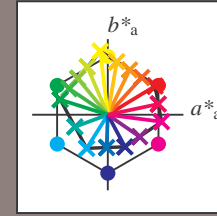
Daten für jede Farbe:
 u^*_d und Nummer *Nr.* = 00 .. 15

Geräte-Bunttextext:
 $u^*_d = 16$ Bunttoene *o00y, o25y, ..., m50o*

Kontrastreduzierungsfaktor:
 $c_R = 0.96$

ORS20_95a; adaptierte CIELAB-Daten

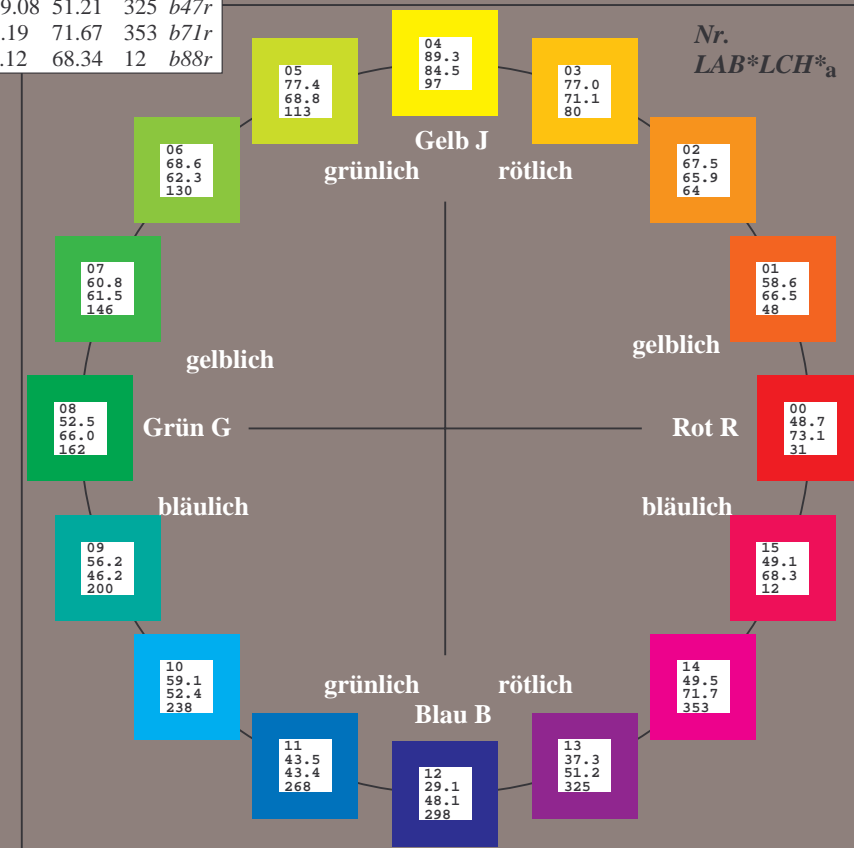
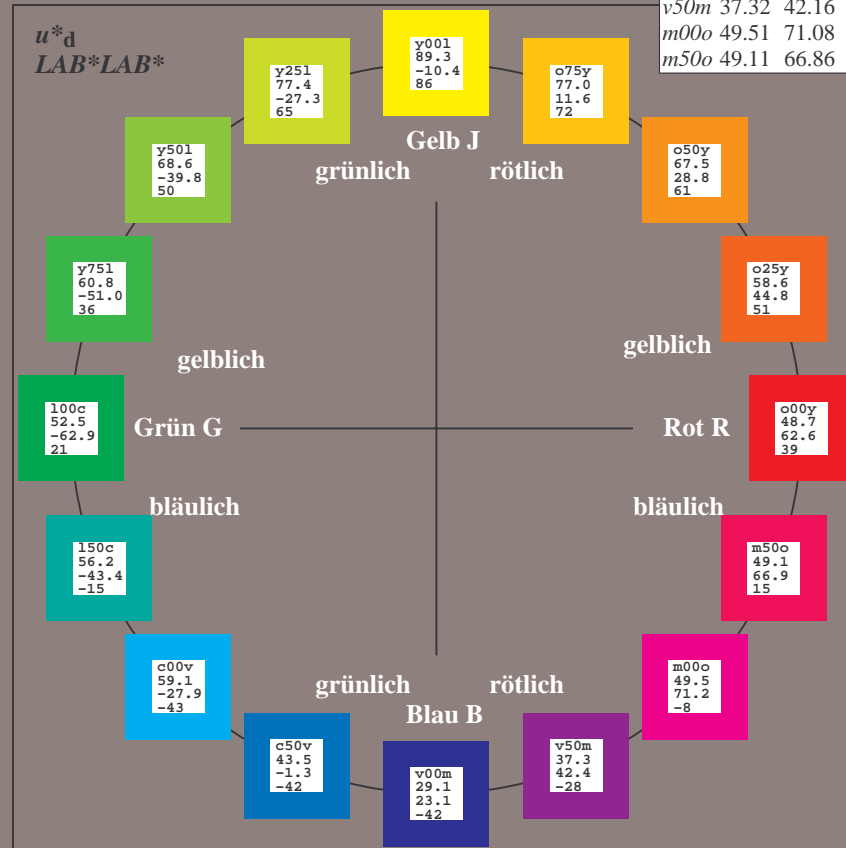
u^*_d	$L^*=L^*_a$	a^*_a	b^*_a	$C^*_{ab,a}$	$h^*_{ab,a}$	u^*_e
<i>o00y</i>	48.71	62.56	37.91	73.15	31	<i>r08j</i>
<i>o25y</i>	58.6	44.87	49.14	66.54	48	<i>r33j</i>
<i>o50y</i>	67.52	28.93	59.25	65.94	64	<i>r57j</i>
<i>o75y</i>	77.05	11.9	70.06	71.06	80	<i>r81j</i>
<i>y00l</i>	89.25	-9.92	83.91	84.49	97	<i>j06g</i>
<i>y25l</i>	77.37	-27.05	63.23	68.78	113	<i>j30g</i>
<i>y50l</i>	68.62	-39.67	48.0	62.27	130	<i>j53g</i>
<i>y75l</i>	60.79	-50.95	34.38	61.47	146	<i>j76g</i>
<i>l00c</i>	52.5	-62.91	19.95	66.0	162	<i>g00b</i>
<i>l50c</i>	56.2	-43.39	-15.92	46.22	200	<i>g34b</i>
<i>c00v</i>	59.15	-27.87	-44.43	52.45	238	<i>g69b</i>
<i>c50v</i>	43.5	-1.49	-43.39	43.42	268	<i>g96b</i>
<i>v00m</i>	29.13	22.73	-42.44	48.14	298	<i>b23r</i>
<i>v50m</i>	37.32	42.16	-29.08	51.21	325	<i>b47r</i>
<i>m00o</i>	49.51	71.08	-9.19	71.67	353	<i>b71r</i>
<i>m50o</i>	49.11	66.86	14.12	68.34	12	<i>b88r</i>



%Umfang
 $u^*_{rel} = 83$
 %Regularität
 $g^*_{H,rel} = 72$
 $g^*_{C,rel} = 57$

ORS20_95; CIELAB-Daten

Name	$L^*=L^*$	a^*	b^*	C^*_{ab}	h^*_{ab}
O _M	48.71	62.65	39.19	73.89	32
Y _M	89.25	-10.36	85.91	86.53	97
L _M	52.5	-62.88	21.3	66.38	161
C _M	59.15	-27.92	-42.97	51.24	237
V _M	29.13	23.07	-41.51	47.5	299
M _M	49.51	71.15	-7.9	71.59	354
N _M	20.0	0.47	0.76	0.89	58
W _M	95.0	-0.52	2.11	2.17	104
O _{CIE}	39.92	58.74	27.99	65.07	25
Y _{CIE}	81.26	-2.89	71.56	71.62	92
L _{CIE}	52.23	-42.42	13.6	44.55	162
V _{CIE}	30.57	1.41	-46.47	46.49	272



Ein und Ausgabe: Farbmatisches Drucker-Reflektiv-System ORS20_95a für relativen CIELAB-Bunton $h^* = \text{lab}^*h^* = h_{ab}/360 = 0.087$

$u^*_d = o00y$
LAB*LAB*

Daten für jede Farbe:

lab^*tch^* und lab^*icu^*

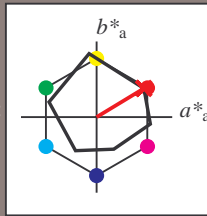
Bunntexte:

$u^*_d = o00y$ $u^*_e = r08j$

Kontrastreduzierungsfaktor:

$c_R = 0.96$

Dreiecks-Helligkeit t^*



ORS20_95; CIELAB-Daten

u^*_d	$L^*=L^*$	a^*	b^*	C^*_{ab}	h^*_{ab}
O _M	48.71	62.65	39.19	73.89	32
Y _M	89.25	-10.36	85.91	86.53	97
L _M	52.5	-62.88	21.3	66.38	161
C _M	59.15	-27.92	-42.97	51.24	237
V _M	29.13	23.07	-41.51	47.5	299
M _M	49.51	71.15	-7.9	71.59	354
N _M	20.0	0.47	0.76	0.89	58
W _M	95.0	-0.52	2.11	2.17	104
O _M	39.92	58.74	27.99	65.07	25
Y _M	81.26	-2.89	71.56	71.62	92
L _M	52.23	-42.42	13.6	44.55	162
V _M	30.57	1.41	-46.47	46.49	272

Daten für Maximalfarbe (Ma):

LAB*LAB*_{Ma}: 49 63 38

LAB*LCH*_{Ma}: 49 73 31

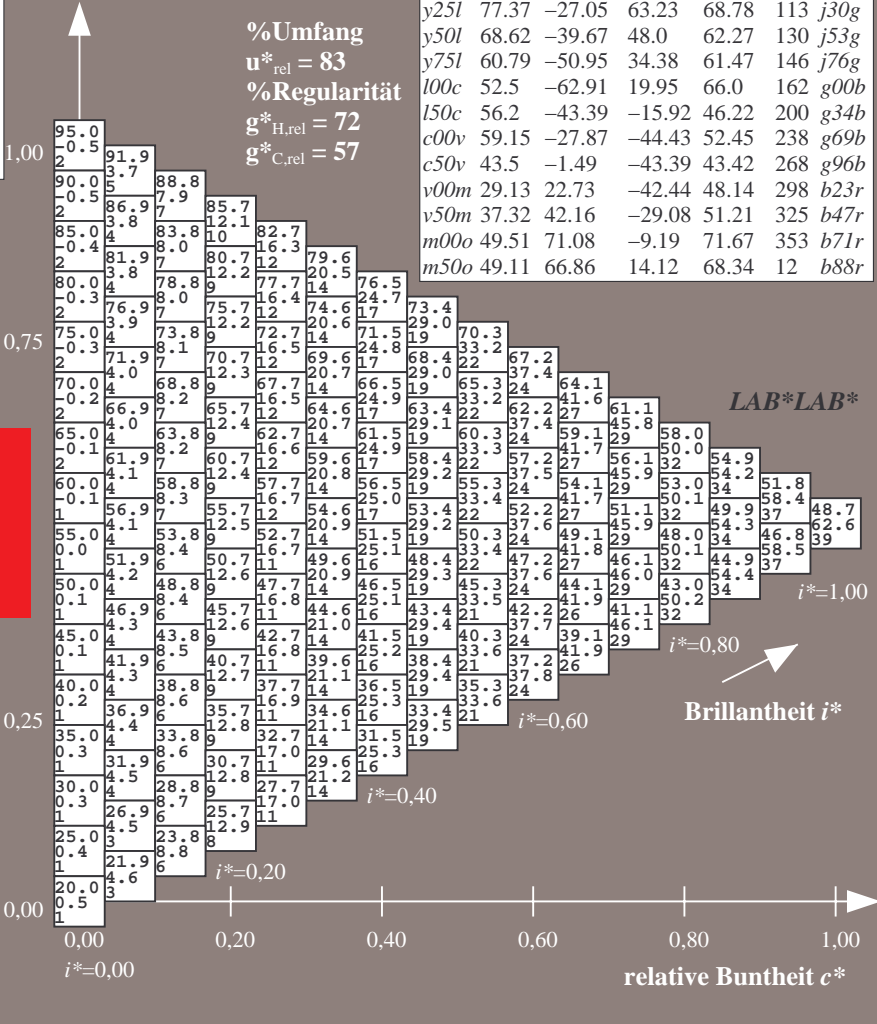
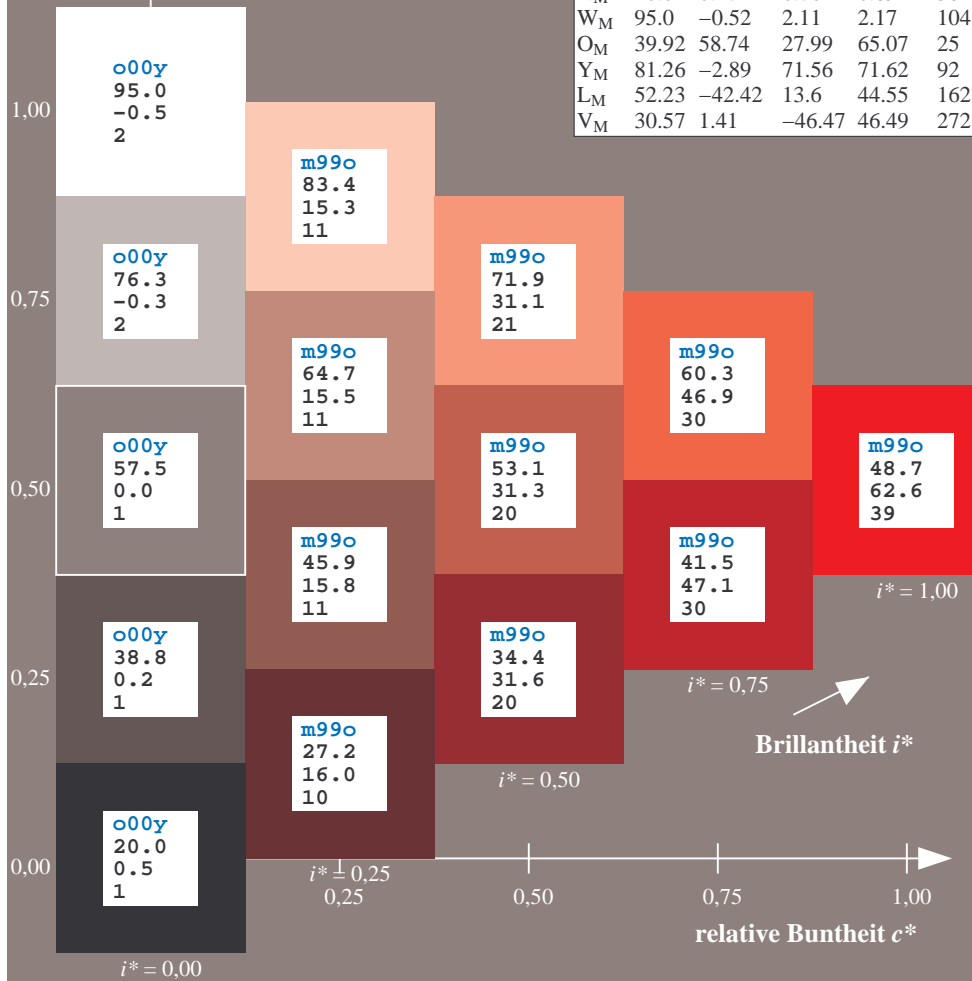
lab*olv*_{Ma}: 1.0 0.0 0.0

lab*rgb*_{Ma}: 1.0 0.09 0.0

Dreiecks-Helligkeit t^*

ORS20_95a; adaptierte CIELAB-Daten

u^*_d	$L^*=L^*_a$	a^*_a	b^*_a	$C^*_{ab,a}$	$h^*_{ab,a}$	u^*_e
<i>o00y</i>	48.71	62.56	37.91	73.15	31	<i>r08j</i>
<i>o25y</i>	58.6	44.87	49.14	66.54	48	<i>r33j</i>
<i>o50y</i>	67.52	28.93	59.25	65.94	64	<i>r57j</i>
<i>o75y</i>	77.05	11.9	70.06	71.06	80	<i>r81j</i>
<i>y00l</i>	89.25	-9.92	83.91	84.49	97	<i>j06g</i>
<i>y25l</i>	77.37	-27.05	63.23	68.78	113	<i>j30g</i>
<i>y50l</i>	68.62	-39.67	48.0	62.27	130	<i>j53g</i>
<i>y75l</i>	60.79	-50.95	34.38	61.47	146	<i>j76g</i>
<i>l00c</i>	52.5	-62.91	19.95	66.0	162	<i>g00b</i>
<i>l50c</i>	56.2	-43.39	-15.92	46.22	200	<i>g34b</i>
<i>c00v</i>	59.15	-27.87	-44.43	52.45	238	<i>g69b</i>
<i>c50v</i>	43.5	-1.49	-43.39	43.42	268	<i>g96b</i>
<i>v00m</i>	29.13	22.73	-42.44	48.14	298	<i>b23r</i>
<i>v50m</i>	37.32	42.16	-29.08	51.21	325	<i>b47r</i>
<i>m00o</i>	49.51	71.08	-9.19	71.67	353	<i>b71r</i>
<i>m50o</i>	49.11	66.86	14.12	68.34	12	<i>b88r</i>



%Umfang
 $u^*_{rel} = 83$
%Regularität
 $g^*_{H,rel} = 72$
 $g^*_{C,rel} = 57$

LAB*LAB*

Brillantheit i^*

Ein und Ausgabe: Farbmatisches Drucker-Reflektiv-System ORS20_95a für relativen CIELAB-Bunton $h^* = \text{lab}^*h^* = h_{ab}/360 = 0.132$

$u^*_d = o25y$
LAB*LAB*

Daten für jede Farbe:

lab^*tch^* und lab^*icu^*

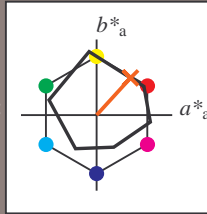
Buntontexte:

$u^*_d = o25y$ $u^*_e = r33j$

Kontrastreduzierungsfaktor:

$c_R = 0.96$

Dreiecks-Helligkeit t^*



ORS20_95; CIELAB-Daten

	u^*_d	$L^*=L^*$	a^*	b^*	C^*_{ab}	h^*_{ab}
O _M	48.71	62.65	39.19	73.89	32	
Y _M	89.25	-10.36	85.91	86.53	97	
L _M	52.5	-62.88	21.3	66.38	161	
C _M	59.15	-27.92	-42.97	51.24	237	
V _M	29.13	23.07	-41.51	47.5	299	
M _M	49.51	71.15	-7.9	71.59	354	
N _M	20.0	0.47	0.76	0.89	58	
W _M	95.0	-0.52	2.11	2.17	104	
O _M	39.92	58.74	27.99	65.07	25	
Y _M	81.26	-2.89	71.56	71.62	92	
L _M	52.23	-42.42	13.6	44.55	162	
V _M	30.57	1.41	-46.47	46.49	272	

Daten für Maximalfarbe (Ma):

LAB*LAB*_{Ma}: 59 45 49

LAB*LCH*_{Ma}: 59 67 47

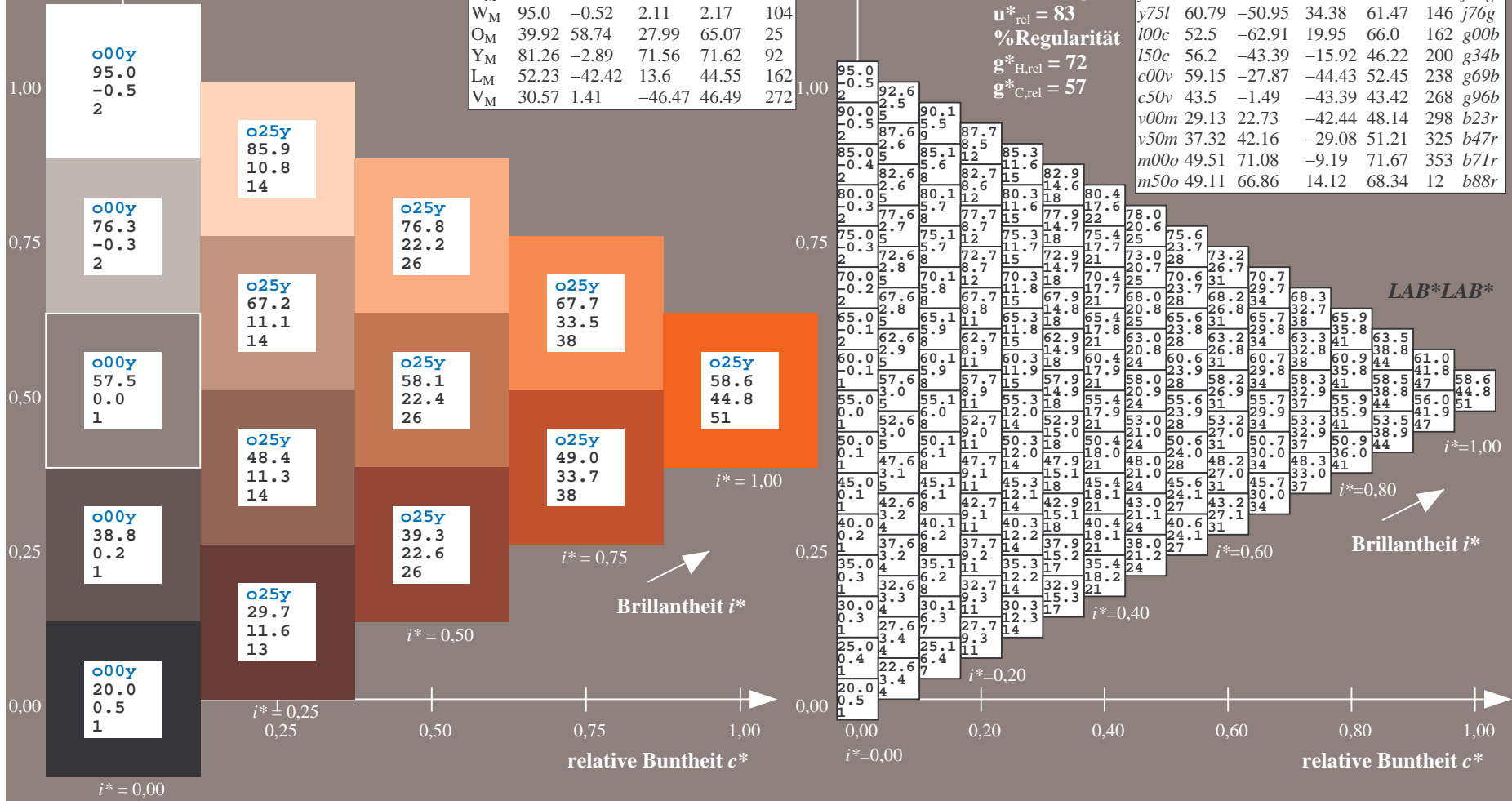
lab*ol*_{Ma}: 1.0 0.25 0.0

lab*rgb*_{Ma}: 1.0 0.33 0.0

Dreiecks-Helligkeit t^*

ORS20_95a; adaptierte CIELAB-Daten

	u^*_d	$L^*=L^*_a$	a^*_a	b^*_a	$C^*_{ab,a}$	$h^*_{ab,a}$	u^*_e
o00y	48.71	62.56	37.91	73.15	31	r08j	
o25y	58.6	44.87	49.14	66.54	48	r33j	
o50y	67.52	28.93	59.25	65.94	64	r57j	
o75y	77.05	11.9	70.06	71.06	80	r8lj	
y00l	89.25	-9.92	83.91	84.49	97	j06g	
y25l	77.37	-27.05	63.23	68.78	113	j30g	
y50l	68.62	-39.67	48.0	62.27	130	j53g	
y75l	60.79	-50.95	34.38	61.47	146	j76g	
l00c	52.5	-62.91	19.95	66.0	162	g00b	
l50c	56.2	-43.39	-15.92	46.22	200	g34b	
c00v	59.15	-27.87	-44.43	52.45	238	g69b	
c50v	43.5	-1.49	-43.39	43.42	268	g96b	
v00m	29.13	22.73	-42.44	48.14	298	b23r	
v50m	37.32	42.16	-29.08	51.21	325	b47r	
m00o	49.51	71.08	-9.19	71.67	353	b71r	
m50o	49.11	66.86	14.12	68.34	12	b88r	



Ein und Ausgabe: Farbmatisches Drucker-Reflektiv-System ORS20_95a für relativen CIELAB-Bunton $h^* = lab^*h^* = h_{ab}/360 = 0.178$

$u^*_d = 0.50y$
LAB*LAB*

Daten für jede Farbe:

lab^*ch^* und lab^*icu^*

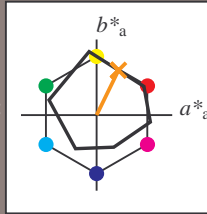
Buntontexte:

$u^*_d = 0.50y$ $u^*_e = r57j$

Kontrastreduzierungsfaktor:

$c_R = 0.96$

Dreiecks-Helligkeit t^*



ORS20_95; CIELAB-Daten

	u^*_d	$L^*=L^*$	a^*	b^*	C^*_{ab}	h^*_{ab}
O _M	48.71	62.65	39.19	73.89	32	
Y _M	89.25	-10.36	85.91	86.53	97	
L _M	52.5	-62.88	21.3	66.38	161	
C _M	59.15	-27.92	-42.97	51.24	237	
V _M	29.13	23.07	-41.51	47.5	299	
M _M	49.51	71.15	-7.9	71.59	354	
N _M	20.0	0.47	0.76	0.89	58	
W _M	95.0	-0.52	2.11	2.17	104	
O _M	39.92	58.74	27.99	65.07	25	
Y _M	81.26	-2.89	71.56	71.62	92	
L _M	52.23	-42.42	13.6	44.55	162	
V _M	30.57	1.41	-46.47	46.49	272	

Daten für Maximalfarbe (Ma):

LAB*LAB*_{Ma}: 68 29 59

LAB*LCH*_{Ma}: 68 66 63

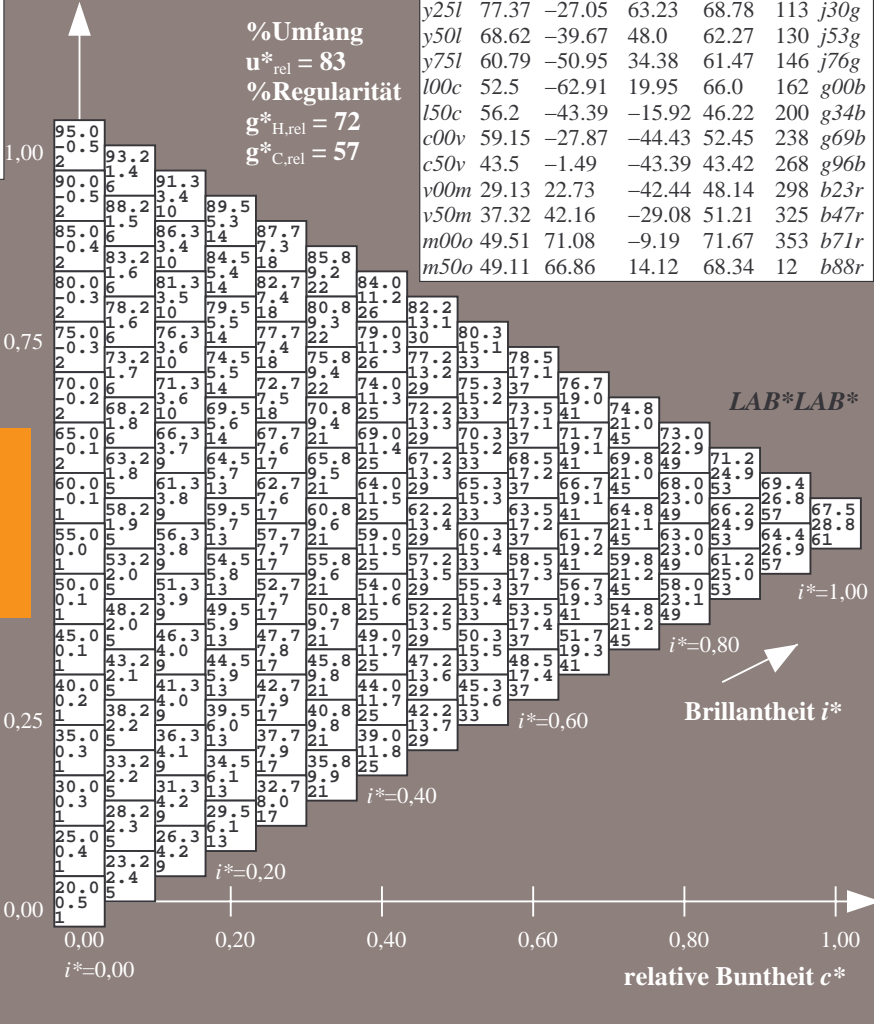
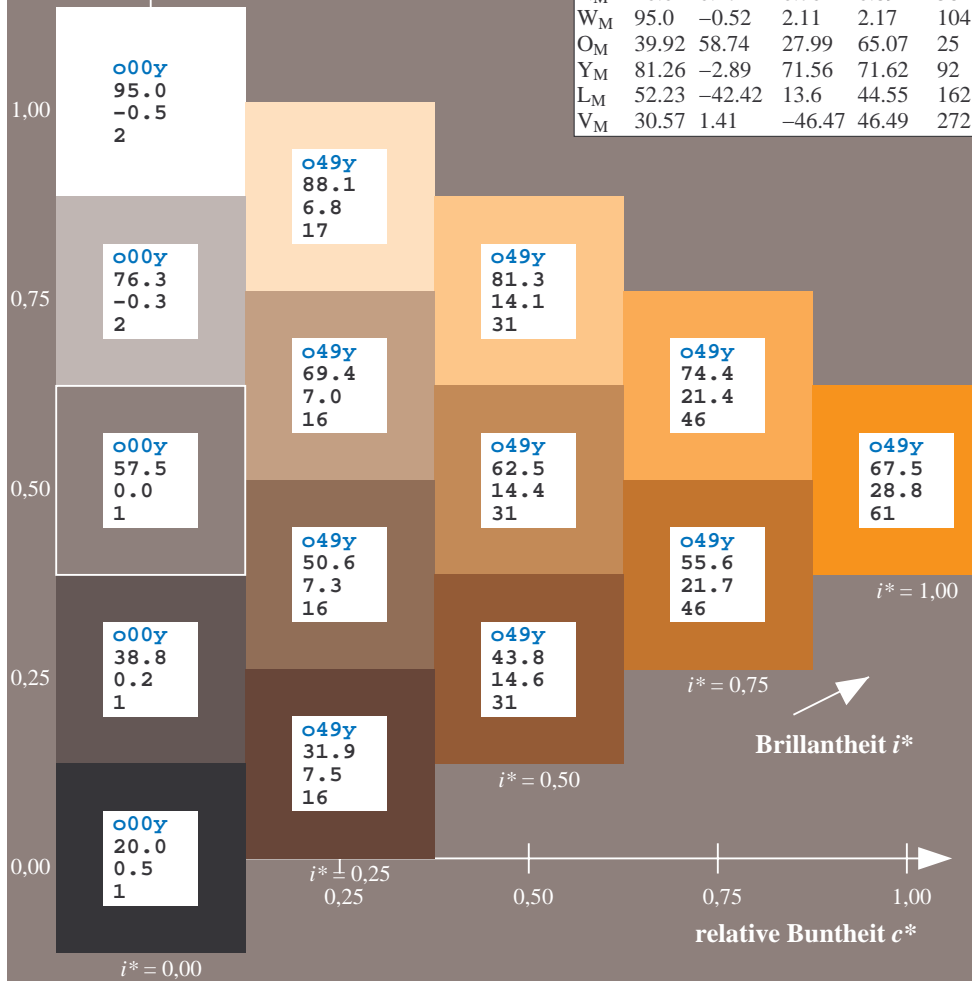
lab*ol*_{Ma}: 1.0 0.5 0.0

lab*rgb*_{Ma}: 1.0 0.58 0.0

Dreiecks-Helligkeit t^*

ORS20_95a; adaptierte CIELAB-Daten

	u^*_d	$L^*=L^*_a$	a^*_a	b^*_a	$C^*_{ab,a}$	$h^*_{ab,a}$	u^*_e
o00y	48.71	62.56	37.91	73.15	31	r08j	
o25y	58.6	44.87	49.14	66.54	48	r33j	
o50y	67.52	28.93	59.25	65.94	64	r57j	
o75y	77.05	11.9	70.06	71.06	80	r8lj	
y00l	89.25	-9.92	83.91	84.49	97	j06g	
y25l	77.37	-27.05	63.23	68.78	113	j30g	
y50l	68.62	-39.67	48.0	62.27	130	j53g	
y75l	60.79	-50.95	34.38	61.47	146	j76g	
l00c	52.5	-62.91	19.95	66.0	162	g00b	
l50c	56.2	-43.39	-15.92	46.22	200	g34b	
c00v	59.15	-27.87	-44.43	52.45	238	g69b	
c50v	43.5	-1.49	-43.39	43.42	268	g96b	
v00m	29.13	22.73	-42.44	48.14	298	b23r	
v50m	37.32	42.16	-29.08	51.21	325	b47r	
m00o	49.51	71.08	-9.19	71.67	353	b71r	
m50o	49.11	66.86	14.12	68.34	12	b88r	



Ein und Ausgabe: Farbmatisches Drucker-Reflektiv-System ORS20_95a für relativen CIELAB-Bunton $h^* = lab^*h^* = h_{ab}/360 = 0.223$

$u^*_d = 0.75y$
LAB*LAB*

Daten für jede Farbe:

lab^*ch^* und lab^*icu^*

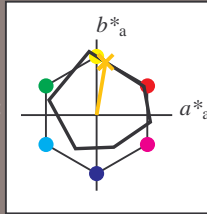
Buntontexte:

$u^*_d = 0.75y$ $u^*_e = r8lj$

Kontrastreduzierungsfaktor:

$c_R = 0.96$

Dreiecks-Helligkeit t^*



ORS20_95; CIELAB-Daten

	u^*_d	$L^*=L^*_a$	a^*	b^*	C^*_{ab}	h^*_{ab}
O _M	48.71	62.65	39.19	73.89	32	
Y _M	89.25	-10.36	85.91	86.53	97	
L _M	52.5	-62.88	21.3	66.38	161	
C _M	59.15	-27.92	-42.97	51.24	237	
V _M	29.13	23.07	-41.51	47.5	299	
M _M	49.51	71.15	-7.9	71.59	354	
N _M	20.0	0.47	0.76	0.89	58	
W _M	95.0	-0.52	2.11	2.17	104	
O _M	39.92	58.74	27.99	65.07	25	
Y _M	81.26	-2.89	71.56	71.62	92	
L _M	52.23	-42.42	13.6	44.55	162	
V _M	30.57	1.41	-46.47	46.49	272	

Daten für Maximalfarbe (Ma):

LAB*LAB*_{Ma}: 77 12 70

LAB*LCH*_{Ma}: 77 71 80

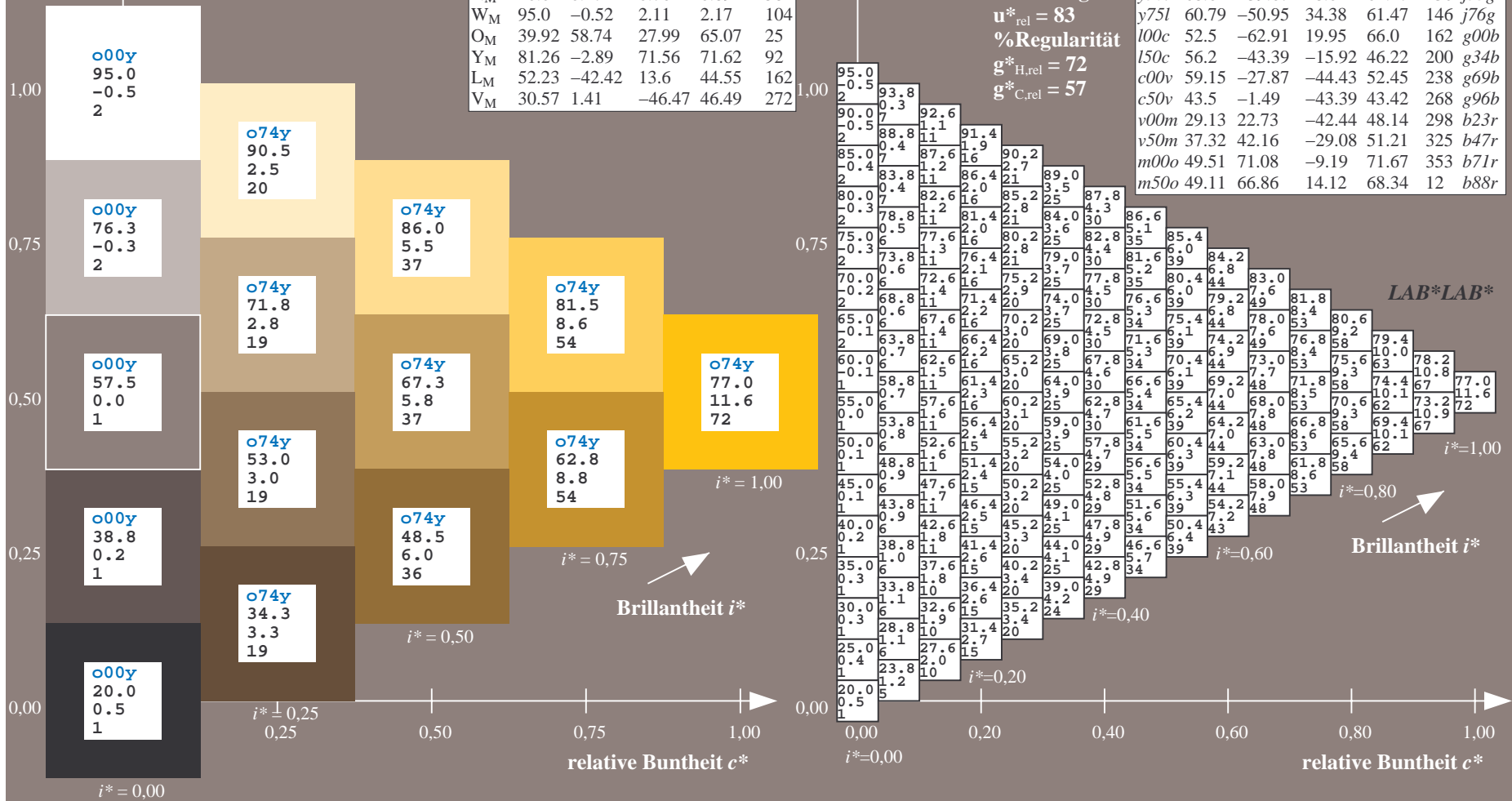
lab*olv*_{Ma}: 1.0 0.75 0.0

lab*rgb*_{Ma}: 1.0 0.82 0.0

Dreiecks-Helligkeit t^*

ORS20_95a; adaptierte CIELAB-Daten

	u^*_d	$L^*=L^*_a$	a^*_a	b^*_a	$C^*_{ab,a}$	$h^*_{ab,a}$	u^*_e
o00y	48.71	62.56	37.91	73.15	31	r08j	
o25y	58.6	44.87	49.14	66.54	48	r33j	
o50y	67.52	28.93	59.25	65.94	64	r57j	
o75y	77.05	11.9	70.06	71.06	80	r8lj	
y00l	89.25	-9.92	83.91	84.49	97	j06g	
y25l	77.37	-27.05	63.23	68.78	113	j30g	
y50l	68.62	-39.67	48.0	62.27	130	j53g	
y75l	60.79	-50.95	34.38	61.47	146	j76g	
l00c	52.5	-62.91	19.95	66.0	162	g00b	
l50c	56.2	-43.39	-15.92	46.22	200	g34b	
c00v	59.15	-27.87	-44.43	52.45	238	g69b	
c50v	43.5	-1.49	-43.39	43.42	268	g96b	
v00m	29.13	22.73	-42.44	48.14	298	b23r	
v50m	37.32	42.16	-29.08	51.21	325	b47r	
m00o	49.51	71.08	-9.19	71.67	353	b71r	
m50o	49.11	66.86	14.12	68.34	12	b88r	



%Umfang
 $u^*_{rel} = 83$
%Regularität
 $g^*_{H,rel} = 72$
 $g^*_{C,rel} = 57$

Ein und Ausgabe: Farbmatisches Drucker-Reflektiv-System ORS20_95a für relativen CIELAB-Bunton $h^* = lab^*h^* = h_{ab}/360 = 0.269$

$u^*_d = y00l$
 LAB^*LAB^*

Daten für jede Farbe:

lab^*ch^* und lab^*icu^*

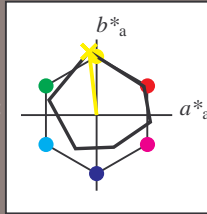
Buntontexte:

$u^*_d = y00l$ $u^*_e = j06g$

Kontrastreduzierungsfaktor:

$c_R = 0.96$

Dreiecks-Helligkeit t^*



ORS20_95; CIELAB-Daten						
u^*_d	$L^*=L^*$	a^*	b^*	C^*_{ab}	h^*_{ab}	
O _M	48.71	62.65	39.19	73.89	32	
Y _M	89.25	-10.36	85.91	86.53	97	
L _M	52.5	-62.88	21.3	66.38	161	
C _M	59.15	-27.92	-42.97	51.24	237	
V _M	29.13	23.07	-41.51	47.5	299	
M _M	49.51	71.15	-7.9	71.59	354	
N _M	20.0	0.47	0.76	0.89	58	
W _M	95.0	-0.52	2.11	2.17	104	
O _M	39.92	58.74	27.99	65.07	25	
Y _M	81.26	-2.89	71.56	71.62	92	
L _M	52.23	-42.42	13.6	44.55	162	
V _M	30.57	1.41	-46.47	46.49	272	

Daten für Maximalfarbe (Ma):

$LAB^*LAB^*_{Ma}: 89 -10 84$

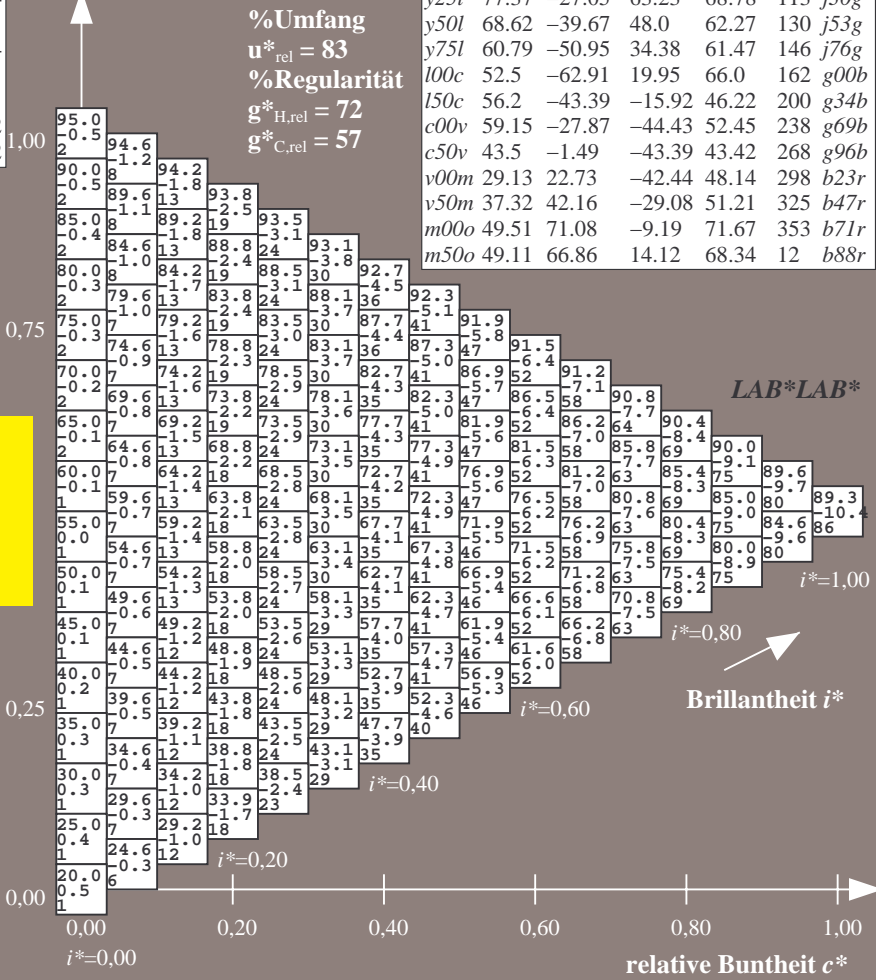
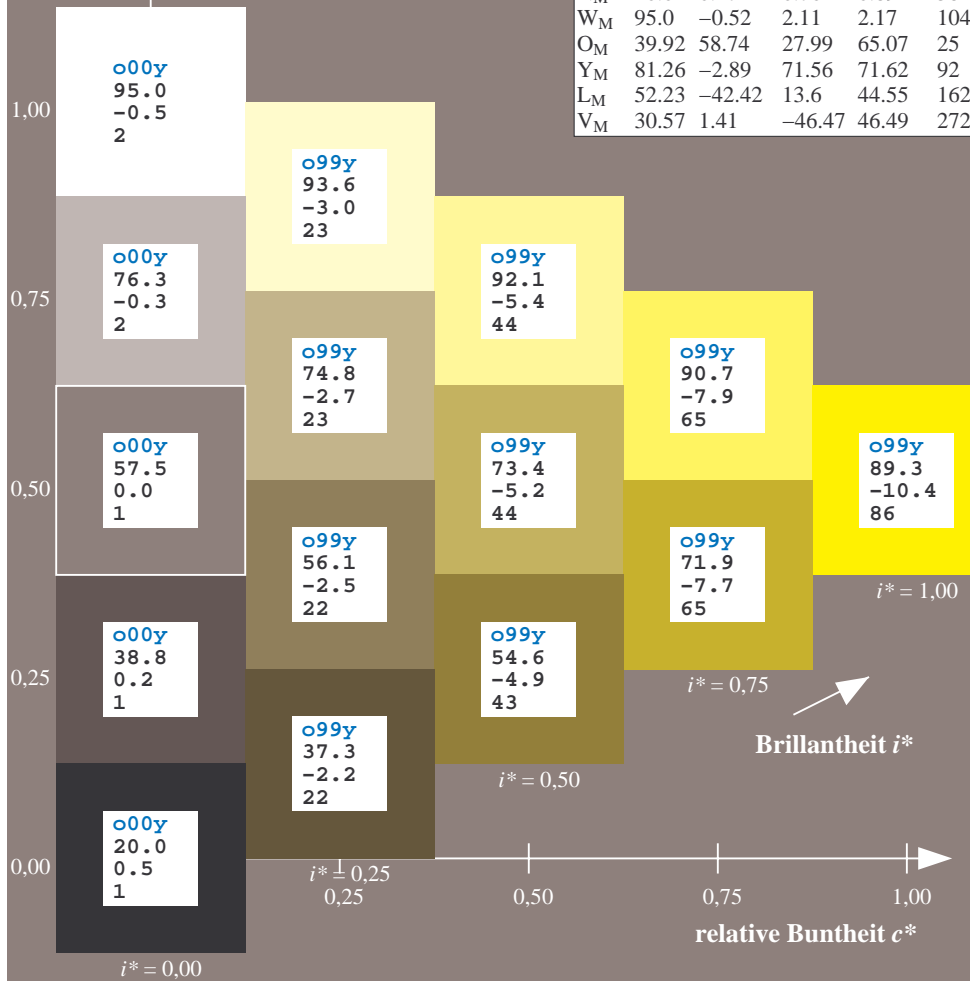
$LAB^*LCH^*_{Ma}: 89 84 96$

$lab^*olv^*_{Ma}: 1.0 1.0 0.0$

$lab^*rgb^*_{Ma}: 0.94 1.0 0.0$

Dreiecks-Helligkeit t^*

ORS20_95a; adaptierte CIELAB-Daten								
u^*_d	$L^*=L^*_a$	a^*_a	b^*_a	$C^*_{ab,a}$	$h^*_{ab,a}$	u^*_e		
o00y	48.71	62.56	37.91	73.15	31	r08j		
o25y	58.6	44.87	49.14	66.54	48	r33j		
o50y	67.52	28.93	59.25	65.94	64	r57j		
o75y	77.05	11.9	70.06	71.06	80	r81j		
y00l	89.25	-9.92	83.91	84.49	97	j06g		
y25l	77.37	-27.05	63.23	68.78	113	j30g		
y50l	68.62	-39.67	48.0	62.27	130	j53g		
y75l	60.79	-50.95	34.38	61.47	146	j76g		
l00c	52.5	-62.91	19.95	66.0	162	g00b		
l50c	56.2	-43.39	-15.92	46.22	200	g34b		
c00v	59.15	-27.87	-44.43	52.45	238	g69b		
c50v	43.5	-1.49	-43.39	43.42	268	g96b		
v00m	29.13	22.73	-42.44	48.14	298	b23r		
v50m	37.32	42.16	-29.08	51.21	325	b47r		
m00o	49.51	71.08	-9.19	71.67	353	b71r		
m50o	49.11	66.86	14.12	68.34	12	b88r		



%Umfang
 $u^*_{rel} = 83$
%Regularität
 $g^*_{H,rel} = 72$
 $g^*_{C,rel} = 57$

LAB^*LAB^*
 $i^* = 1.00$
 $i^* = 0.80$
 $i^* = 0.60$
 $i^* = 0.40$
 $i^* = 0.20$
 $i^* = 0.00$

Ein und Ausgabe: Farbmatisches Drucker-Reflektiv-System ORS20_95a für relativen CIELAB-Bunton $h^* = lab^*h^* = h_{ab}/360 = 0.314$

$u^*_d = y25l$
 LAB^*LAB^*

Daten für jede Farbe:

lab^*tch^* und lab^*icu^*

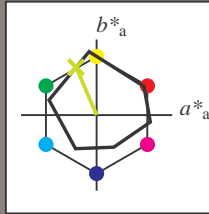
Buntontexte:

$u^*_d = y25l$ $u^*_e = j30g$

Kontrastreduzierungsfaktor:

$c_R = 0.96$

Dreiecks-Helligkeit t^*



ORS20_95; CIELAB-Daten						
u^*_d	$L^*=L^*$	a^*	b^*	C^*_{ab}	h^*_{ab}	
O _M	48.71	62.65	39.19	73.89	32	
Y _M	89.25	-10.36	85.91	86.53	97	
L _M	52.5	-62.88	21.3	66.38	161	
C _M	59.15	-27.92	-42.97	51.24	237	
V _M	29.13	23.07	-41.51	47.5	299	
M _M	49.51	71.15	-7.9	71.59	354	
N _M	20.0	0.47	0.76	0.89	58	
W _M	95.0	-0.52	2.11	2.17	104	
O _M	39.92	58.74	27.99	65.07	25	
Y _M	81.26	-2.89	71.56	71.62	92	
L _M	52.23	-42.42	13.6	44.55	162	
V _M	30.57	1.41	-46.47	46.49	272	

Daten für Maximalfarbe (Ma):

$LAB^*LAB^*_{Ma}: 77 -27 63$

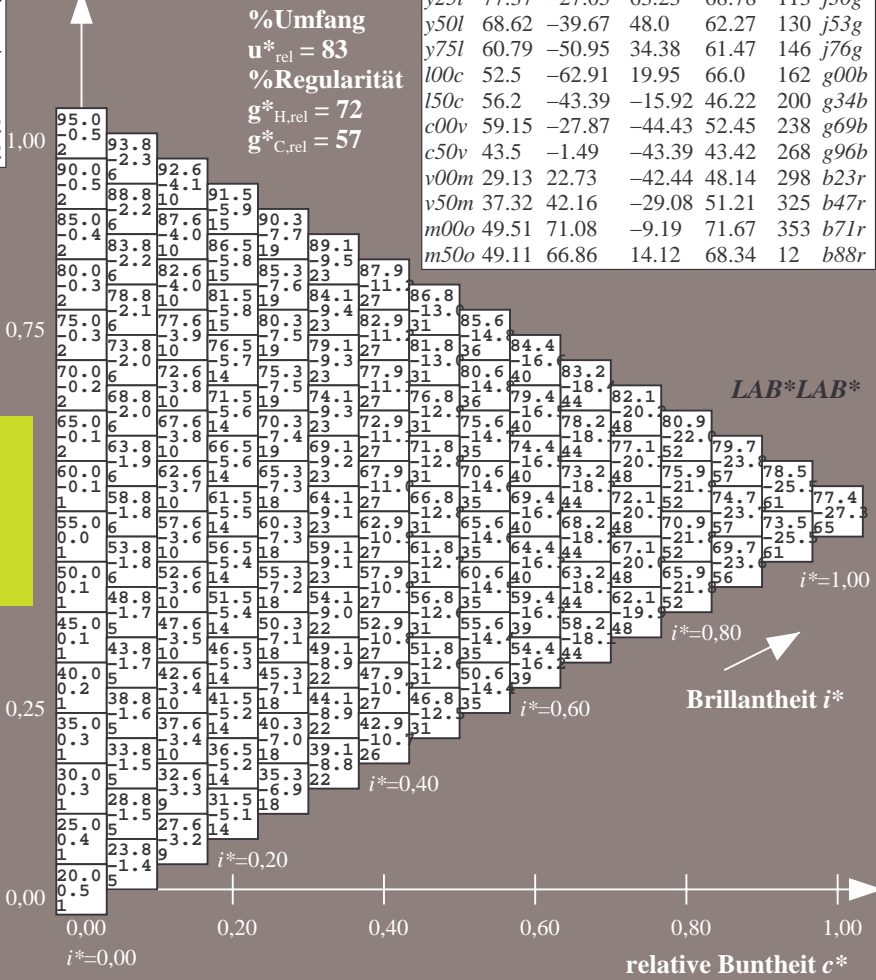
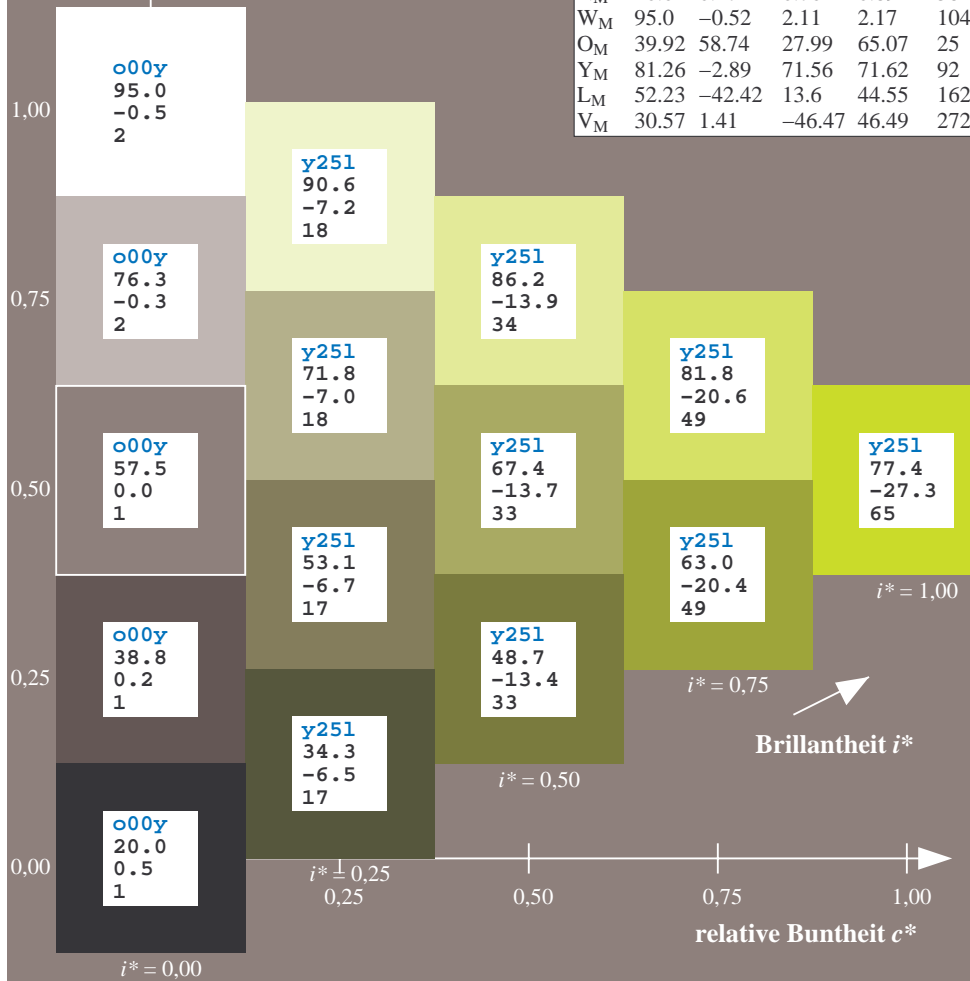
$LAB^*LCH^*_{Ma}: 77 69 113$

$lab^*olv^*_{Ma}: 0.75 1.0 0.0$

$lab^*rgb^*_{Ma}: 0.7 1.0 0.0$

Dreiecks-Helligkeit t^*

ORS20_95a; adaptierte CIELAB-Daten								
u^*_d	$L^*=L^*_a$	a^*_a	b^*_a	$C^*_{ab,a}$	$h^*_{ab,a}$	u^*_e		
o00y	48.71	62.56	37.91	73.15	31	r08j		
o25y	58.6	44.87	49.14	66.54	48	r33j		
o50y	67.52	28.93	59.25	65.94	64	r57j		
o75y	77.05	11.9	70.06	71.06	80	r81j		
y00l	89.25	-9.92	83.91	84.49	97	j06g		
y25l	77.37	-27.05	63.23	68.78	113	j30g		
y50l	68.62	-39.67	48.0	62.27	130	j53g		
y75l	60.79	-50.95	34.38	61.47	146	j76g		
l00c	52.5	-62.91	19.95	66.0	162	g00b		
l50c	56.2	-43.39	-15.92	46.22	200	g34b		
c00v	59.15	-27.87	-44.43	52.45	238	g69b		
c50v	43.5	-1.49	-43.39	43.42	268	g96b		
v00m	29.13	22.73	-42.44	48.14	298	b23r		
v50m	37.32	42.16	-29.08	51.21	325	b47r		
m00o	49.51	71.08	-9.19	71.67	353	b71r		
m50o	49.11	66.86	14.12	68.34	12	b88r		



Ein und Ausgabe: Farbmatisches Drucker-Reflektiv-System ORS20_95a für relativen CIELAB-Bunton $h^* = lab^*h^* = h_{ab}/360 = 0.36$

$u^*_d = y50l$
 LAB^*LAB^*

Daten für jede Farbe:

lab^*tch^* und lab^*icu^*

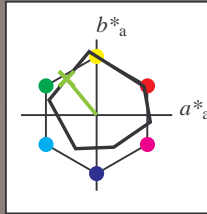
Buntontexte:

$u^*_d = y50l$ $u^*_e = j53g$

Kontrastreduzierungsfaktor:

$c_R = 0.96$

Dreiecks-Helligkeit t^*



ORS20_95; CIELAB-Daten						
u^*_d	$L^*=L^*$	a^*	b^*	C^*_{ab}	h^*_{ab}	
O _M	48.71	62.65	39.19	73.89	32	
Y _M	89.25	-10.36	85.91	86.53	97	
L _M	52.5	-62.88	21.3	66.38	161	
C _M	59.15	-27.92	-42.97	51.24	237	
V _M	29.13	23.07	-41.51	47.5	299	
M _M	49.51	71.15	-7.9	71.59	354	
N _M	20.0	0.47	0.76	0.89	58	
W _M	95.0	-0.52	2.11	2.17	104	
O _M	39.92	58.74	27.99	65.07	25	
Y _M	81.26	-2.89	71.56	71.62	92	
L _M	52.23	-42.42	13.6	44.55	162	
V _M	30.57	1.41	-46.47	46.49	272	

Daten für Maximalfarbe (Ma):

$LAB^*LAB^*_{Ma}: 69 -40 48$

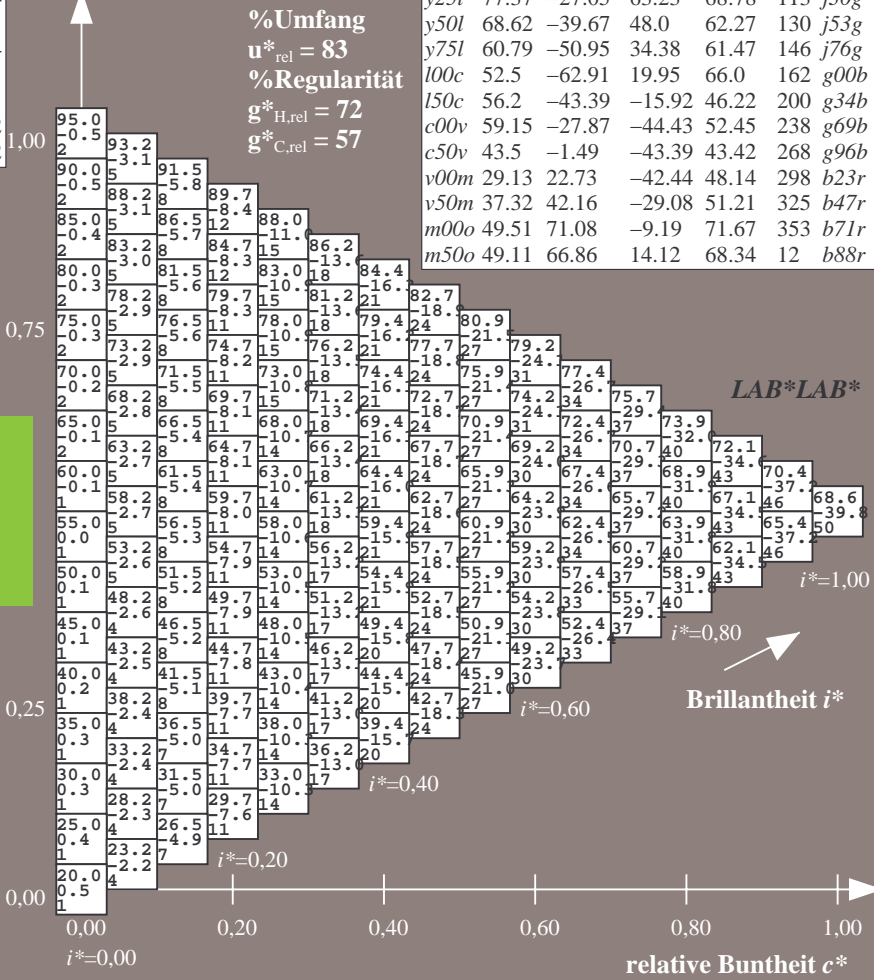
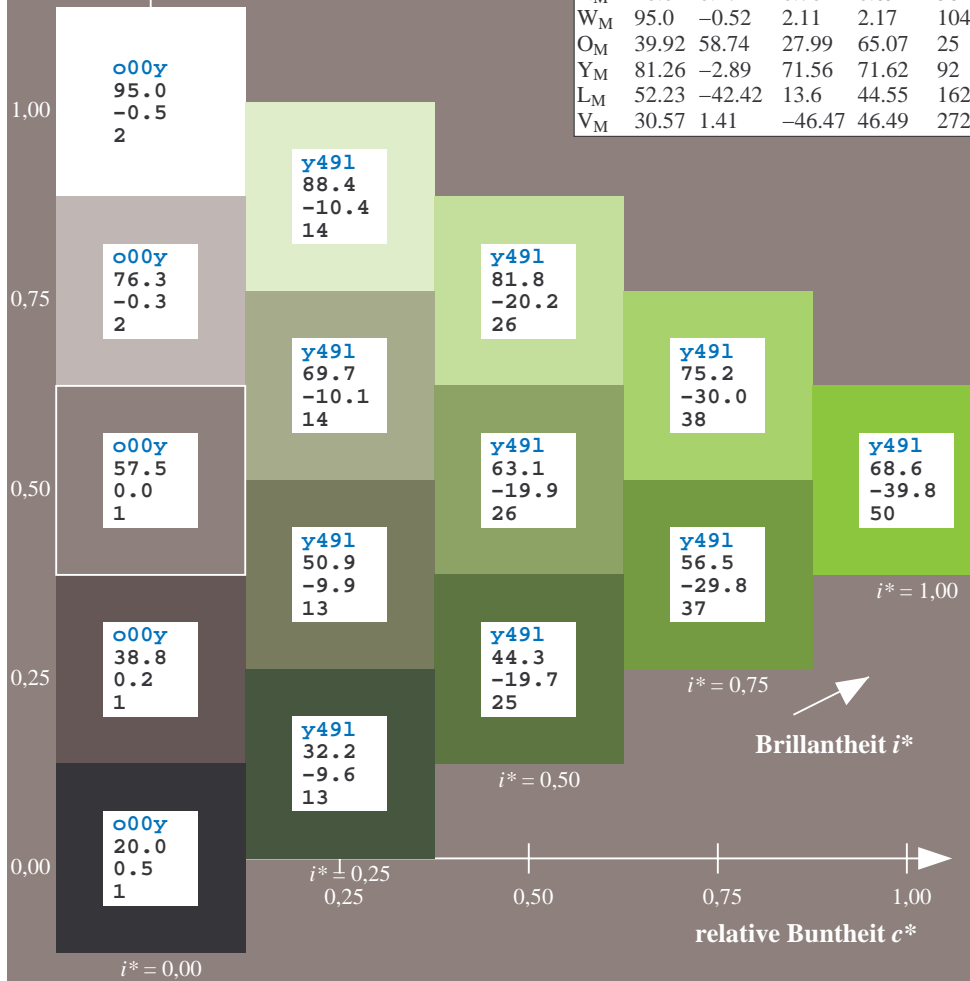
$LAB^*LCH^*_{Ma}: 69 62 129$

$lab^*olv^*_{Ma}: 0.5 1.0 0.0$

$lab^*rgb^*_{Ma}: 0.47 1.0 0.0$

Dreiecks-Helligkeit t^*

ORS20_95a; adaptierte CIELAB-Daten								
u^*_d	$L^*=L^*_a$	a^*_a	b^*_a	$C^*_{ab,a}$	$h^*_{ab,a}$	u^*_e		
o00y	48.71	62.56	37.91	73.15	31	r08j		
o25y	58.6	44.87	49.14	66.54	48	r33j		
o50y	67.52	28.93	59.25	65.94	64	r57j		
o75y	77.05	11.9	70.06	71.06	80	r81j		
y00l	89.25	-9.92	83.91	84.49	97	j06g		
y25l	77.37	-27.05	63.23	68.78	113	j30g		
y50l	68.62	-39.67	48.0	62.27	130	j53g		
y75l	60.79	-50.95	34.38	61.47	146	j76g		
l00c	52.5	-62.91	19.95	66.0	162	g00b		
l50c	56.2	-43.39	-15.92	46.22	200	g34b		
c00v	59.15	-27.87	-44.43	52.45	238	g69b		
c50v	43.5	-1.49	-43.39	43.42	268	g96b		
v00m	29.13	22.73	-42.44	48.14	298	b23r		
v50m	37.32	42.16	-29.08	51.21	325	b47r		
m00o	49.51	71.08	-9.19	71.67	353	b71r		
m50o	49.11	66.86	14.12	68.34	12	b88r		



Ein und Ausgabe: Farbmatisches Drucker-Reflektiv-System ORS20_95a für relativen CIELAB-Bunton $h^* = lab^*h^* = h_{ab}/360 = 0.406$

$u^*_d = y75l$
LAB*LAB*

Daten für jede Farbe:

lab^*ch^* und lab^*icu^*

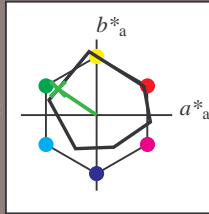
Buntontexte:

$u^*_d = y75l$ $u^*_e = j76g$

Kontrastreduzierungsfaktor:

$c_R = 0.96$

Dreiecks-Helligkeit t^*



ORS20_95; CIELAB-Daten						
u^*_d	$L^*=L^*$	a^*	b^*	C^*_{ab}	h^*_{ab}	
O _M	48.71	62.65	39.19	73.89	32	
Y _M	89.25	-10.36	85.91	86.53	97	
L _M	52.5	-62.88	21.3	66.38	161	
C _M	59.15	-27.92	-42.97	51.24	237	
V _M	29.13	23.07	-41.51	47.5	299	
M _M	49.51	71.15	-7.9	71.59	354	
N _M	20.0	0.47	0.76	0.89	58	
W _M	95.0	-0.52	2.11	2.17	104	
O _M	39.92	58.74	27.99	65.07	25	
Y _M	81.26	-2.89	71.56	71.62	92	
L _M	52.23	-42.42	13.6	44.55	162	
V _M	30.57	1.41	-46.47	46.49	272	

Daten für Maximalfarbe (Ma):

LAB*LAB*_{Ma}: 61 -51 34

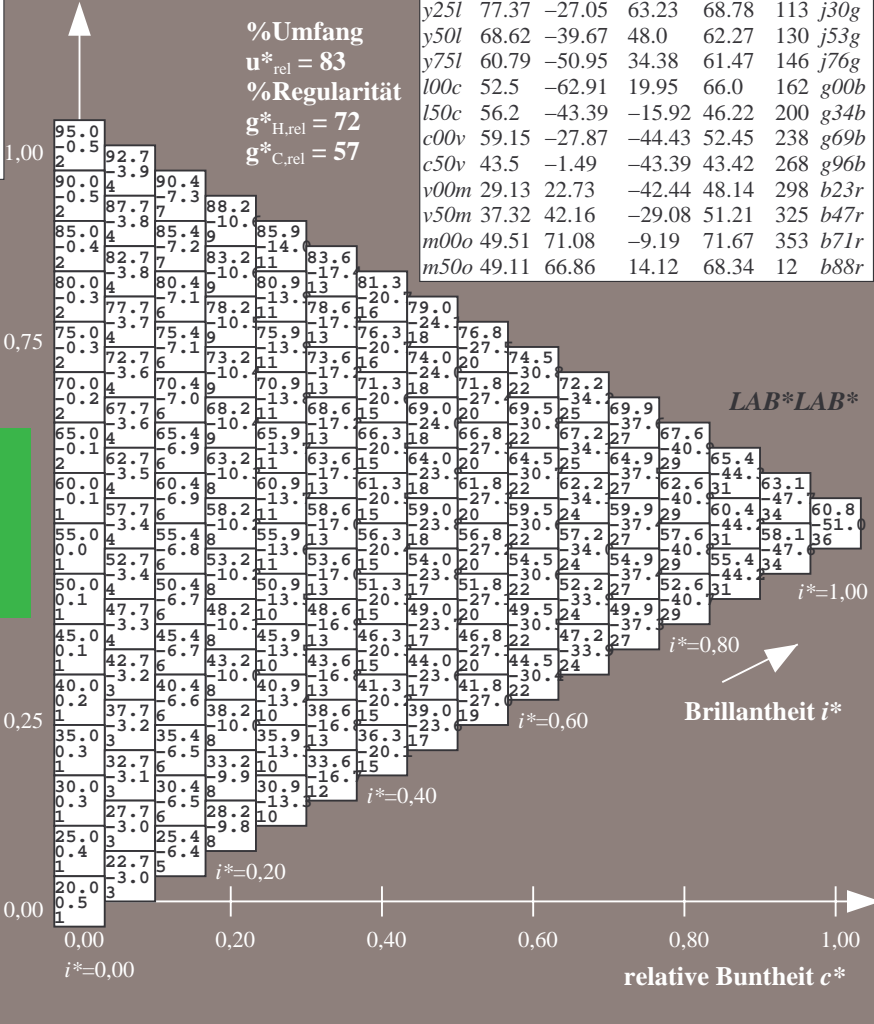
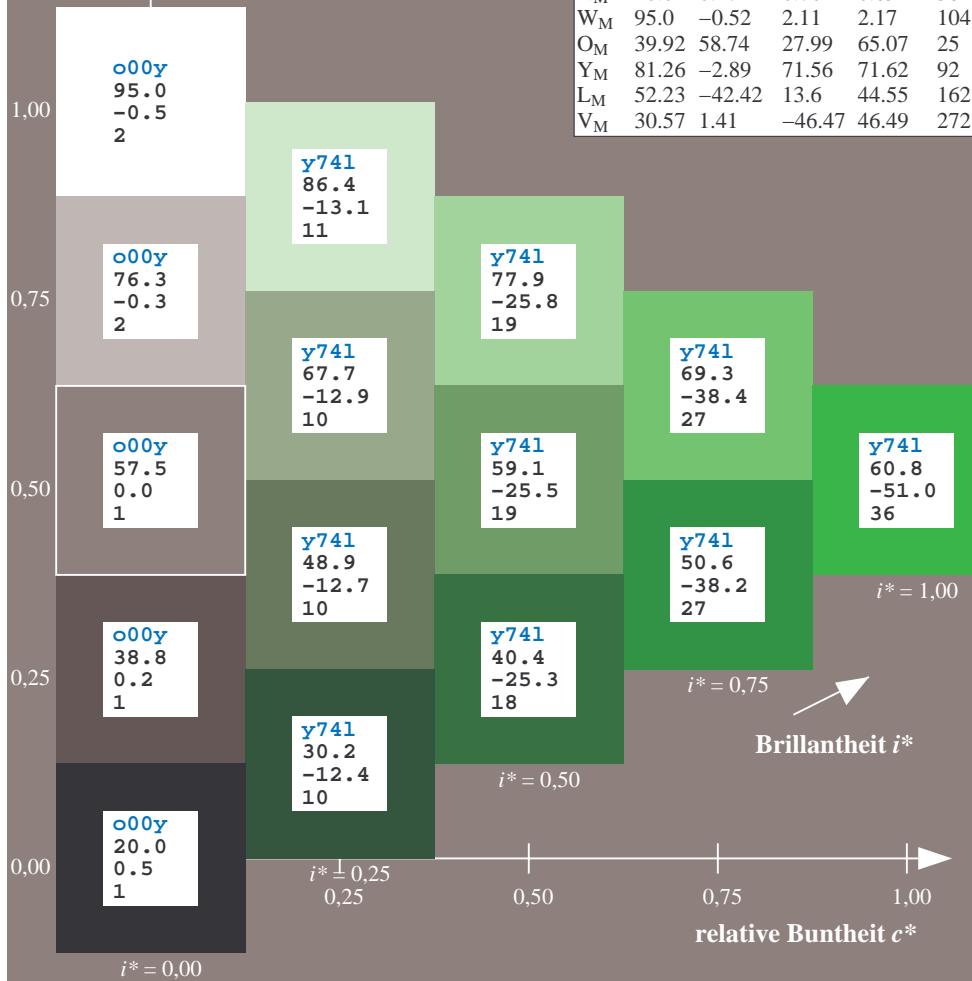
LAB*LCH*_{Ma}: 61 61 145

lab*olv*_{Ma}: 0.25 1.0 0.0

lab*rgb*_{Ma}: 0.23 1.0 0.0

Dreiecks-Helligkeit t^*

ORS20_95a; adaptierte CIELAB-Daten								
u^*_d	$L^*=L^*_a$	a^*_a	b^*_a	$C^*_{ab,a}$	$h^*_{ab,a}$	u^*_e		
o00y	48.71	62.56	37.91	73.15	31	r08j		
o25y	58.6	44.87	49.14	66.54	48	r33j		
o50y	67.52	28.93	59.25	65.94	64	r57j		
o75y	77.05	11.9	70.06	71.06	80	r81j		
y00l	89.25	-9.92	83.91	84.49	97	j06g		
y25l	77.37	-27.05	63.23	68.78	113	j30g		
y50l	68.62	-39.67	48.0	62.27	130	j53g		
y75l	60.79	-50.95	34.38	61.47	146	j76g		
l00c	52.5	-62.91	19.95	66.0	162	g00b		
l50c	56.2	-43.39	-15.92	46.22	200	g34b		
c00v	59.15	-27.87	-44.43	52.45	238	g69b		
c50v	43.5	-1.49	-43.39	43.42	268	g96b		
v00m	29.13	22.73	-42.44	48.14	298	b23r		
v50m	37.32	42.16	-29.08	51.21	325	b47r		
m00o	49.51	71.08	-9.19	71.67	353	b71r		
m50o	49.11	66.86	14.12	68.34	12	b88r		



%Umfang
 $u^*_{rel} = 83$
%Regularität
 $g^*_{H,rel} = 72$
 $g^*_{C,rel} = 57$

LAB*LAB*

Brillantheit i^*

Ein und Ausgabe: Farbmatisches Drucker-Reflektiv-System ORS20_95a für relativen CIELAB-Bunton $h^* = lab^*h^* = h_{ab}/360 = 0.451$

$u^*_d = 100c$
 LAB^*LAB^*

Daten für jede Farbe:

lab^*tch^* und lab^*icu^*

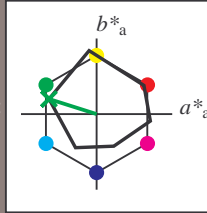
Buntontexte:

$u^*_d = 100c$ $u^*_e = g00b$

Kontrastreduzierungsfaktor:

$c_R = 0.96$

Dreiecks-Helligkeit t^*



ORS20_95; CIELAB-Daten						
u^*_d	$L^*=L^*$	a^*	b^*	C^*_{ab}	h^*_{ab}	
O _M	48.71	62.65	39.19	73.89	32	
Y _M	89.25	-10.36	85.91	86.53	97	
L _M	52.5	-62.88	21.3	66.38	161	
C _M	59.15	-27.92	-42.97	51.24	237	
V _M	29.13	23.07	-41.51	47.5	299	
M _M	49.51	71.15	-7.9	71.59	354	
N _M	20.0	0.47	0.76	0.89	58	
W _M	95.0	-0.52	2.11	2.17	104	
O _M	39.92	58.74	27.99	65.07	25	
Y _M	81.26	-2.89	71.56	71.62	92	
L _M	52.23	-42.42	13.6	44.55	162	
V _M	30.57	1.41	-46.47	46.49	272	

Daten für Maximalfarbe (Ma):

$LAB^*LAB^*_{Ma}: 52 -63 20$

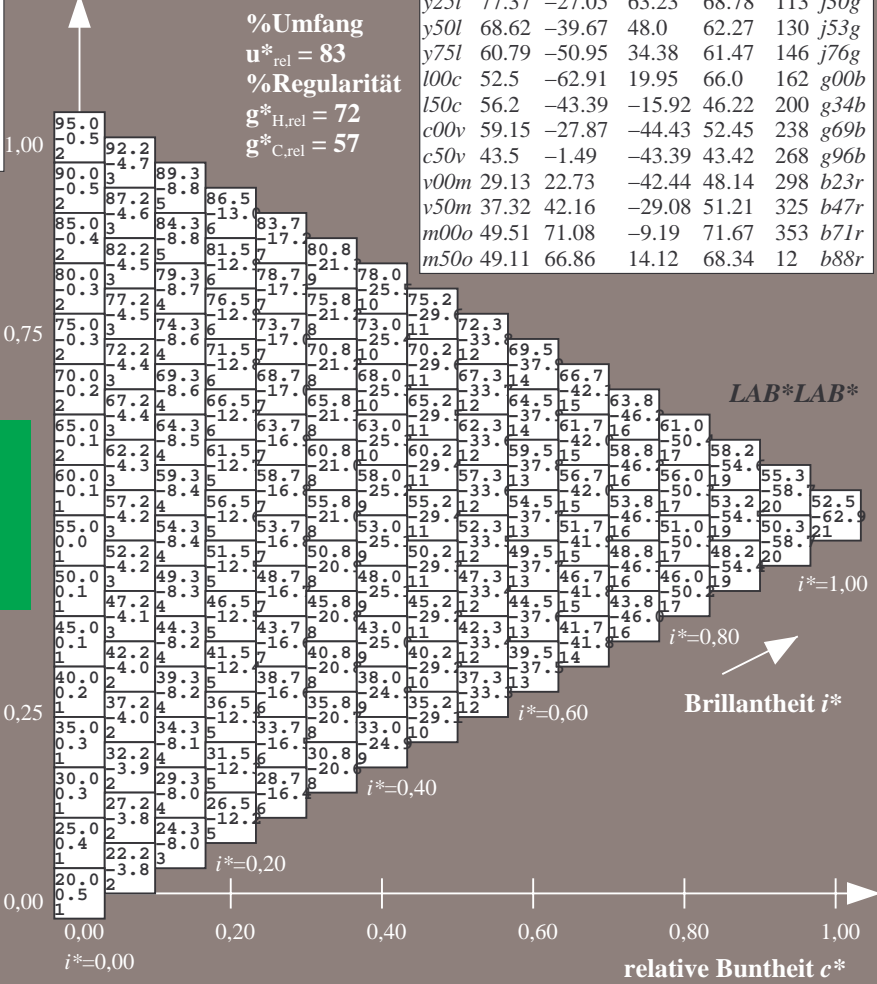
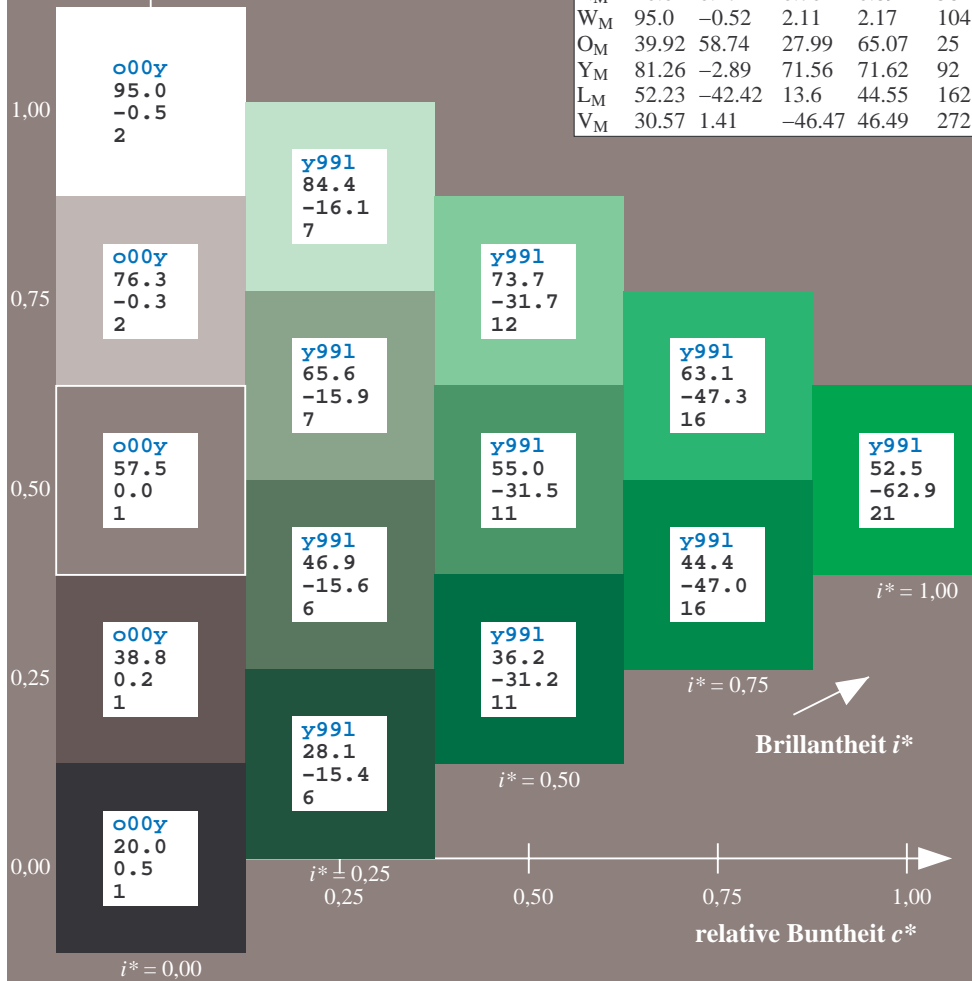
$LAB^*LCH^*_{Ma}: 52 66 162$

$lab^*olv^*_{Ma}: 0.0 1.0 0.0$

$lab^*rgb^*_{Ma}: 0.0 1.0 0.0$

Dreiecks-Helligkeit t^*

ORS20_95a; adaptierte CIELAB-Daten								
u^*_d	$L^*=L^*_a$	a^*_a	b^*_a	$C^*_{ab,a}$	$h^*_{ab,a}$	u^*_e		
o00y	48.71	62.56	37.91	73.15	31	r08j		
o25y	58.6	44.87	49.14	66.54	48	r33j		
o50y	67.52	28.93	59.25	65.94	64	r57j		
o75y	77.05	11.9	70.06	71.06	80	r81j		
y00l	89.25	-9.92	83.91	84.49	97	j06g		
y25l	77.37	-27.05	63.23	68.78	113	j30g		
y50l	68.62	-39.67	48.0	62.27	130	j53g		
y75l	60.79	-50.95	34.38	61.47	146	j76g		
l00c	52.5	-62.91	19.95	66.0	162	g00b		
l50c	56.2	-43.39	-15.92	46.22	200	g34b		
c00v	59.15	-27.87	-44.43	52.45	238	g69b		
c50v	43.5	-1.49	-43.39	43.42	268	g96b		
v00m	29.13	22.73	-42.44	48.14	298	b23r		
v50m	37.32	42.16	-29.08	51.21	325	b47r		
m00o	49.51	71.08	-9.19	71.67	353	b71r		
m50o	49.11	66.86	14.12	68.34	12	b88r		



%Umfang
 $u^*_{rel} = 83$
%Regularität
 $g^*_{H,rel} = 72$
 $g^*_{C,rel} = 57$

LAB^*LAB^*

$i^*=1.00$

$i^*=0.80$

$i^*=0.60$

$i^*=0.40$

$i^*=0.20$

Ein und Ausgabe: Farbmatisches Drucker-Reflektiv-System ORS20_95a für relativen CIELAB-Bunton $h^* = lab^*h^* = h_{ab}/360 = 0.556$

$u^*_d = 150c$

Daten für jede Farbe:

lab^*ch^* und lab^*icu^*

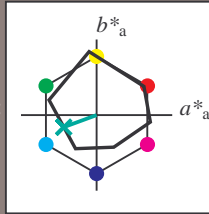
Buntontexte:

$u^*_d = 150c$ $u^*_e = g34b$

Kontrastreduzierungsfaktor:

$c_R = 0.96$

Dreiecks-Helligkeit t^*



ORS20_95; CIELAB-Daten

u^*_d	$L^*=L^*$	a^*	b^*	C^*_{ab}	h^*_{ab}
O _M	48.71	62.65	39.19	73.89	32
Y _M	89.25	-10.36	85.91	86.53	97
L _M	52.5	-62.88	21.3	66.38	161
C _M	59.15	-27.92	-42.97	51.24	237
V _M	29.13	23.07	-41.51	47.5	299
M _M	49.51	71.15	-7.9	71.59	354
N _M	20.0	0.47	0.76	0.89	58
W _M	95.0	-0.52	2.11	2.17	104
O _M	39.92	58.74	27.99	65.07	25
Y _M	81.26	-2.89	71.56	71.62	92
L _M	52.23	-42.42	13.6	44.55	162
V _M	30.57	1.41	-46.47	46.49	272

Daten für Maximalfarbe (Ma):

$LAB^*LAB^*_{Ma}: 56 -43 -16$

$LAB^*LCH^*_{Ma}: 56 46 200$

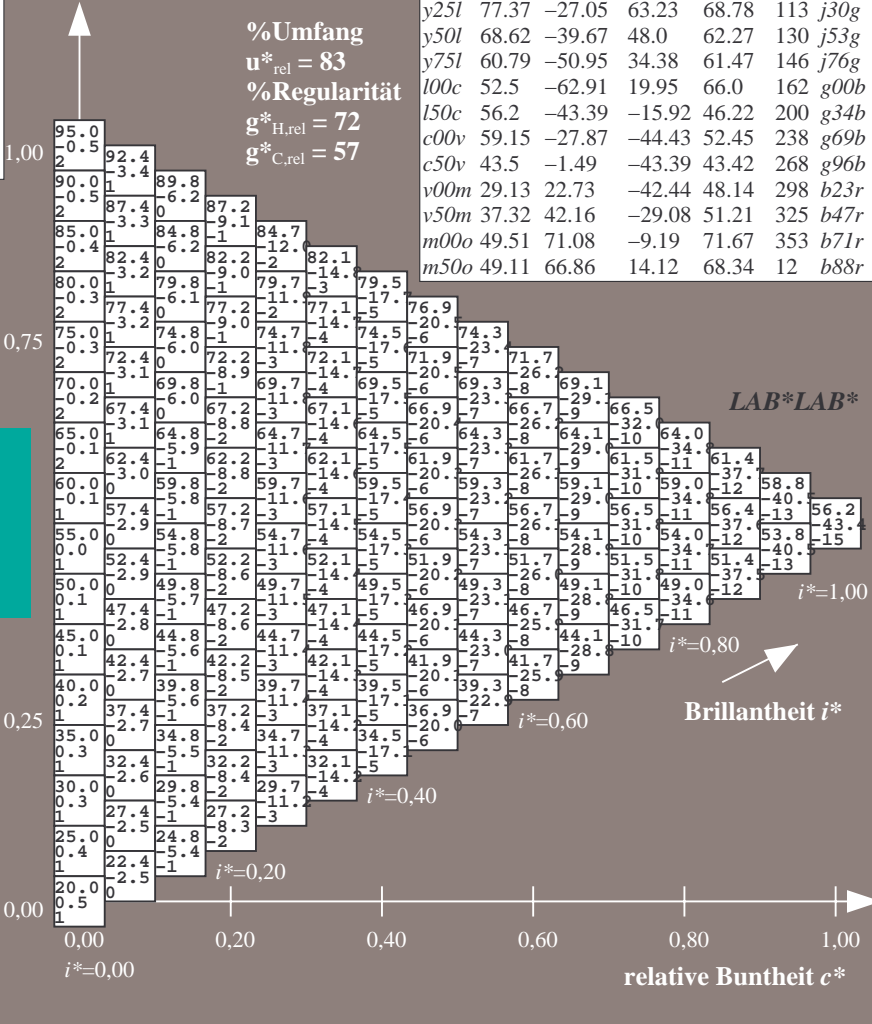
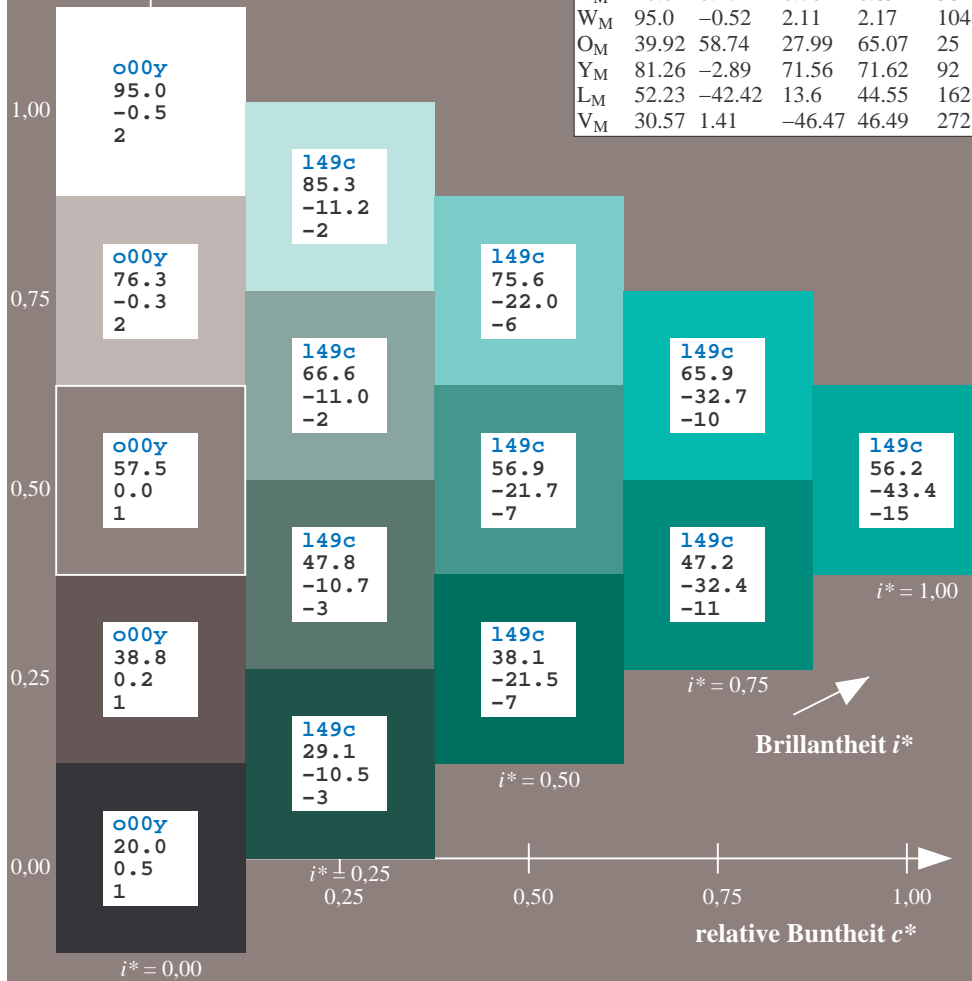
$lab^*olv^*_{Ma}: 0.0 1.0 0.5$

$lab^*rgb^*_{Ma}: 0.0 1.0 0.69$

Dreiecks-Helligkeit t^*

ORS20_95a; adaptierte CIELAB-Daten

u^*_d	$L^*=L^*_a$	a^*_a	b^*_a	$C^*_{ab,a}$	$h^*_{ab,a}$	u^*_e
o00y	48.71	62.56	37.91	73.15	31	r08j
o25y	58.6	44.87	49.14	66.54	48	r33j
o50y	67.52	28.93	59.25	65.94	64	r57j
o75y	77.05	11.9	70.06	71.06	80	r81j
y00l	89.25	-9.92	83.91	84.49	97	j06g
y25l	77.37	-27.05	63.23	68.78	113	j30g
y50l	68.62	-39.67	48.0	62.27	130	j53g
y75l	60.79	-50.95	34.38	61.47	146	j76g
l00c	52.5	-62.91	19.95	66.0	162	g00b
l50c	56.2	-43.39	-15.92	46.22	200	g34b
c00v	59.15	-27.87	-44.43	52.45	238	g69b
c50v	43.5	-1.49	-43.39	43.42	268	g96b
v00m	29.13	22.73	-42.44	48.14	298	b23r
v50m	37.32	42.16	-29.08	51.21	325	b47r
m00o	49.51	71.08	-9.19	71.67	353	b71r
m50o	49.11	66.86	14.12	68.34	12	b88r



%Umfang
 $u^*_{rel} = 83$
 %Regularität
 $g^*_{H,rel} = 72$
 $g^*_{C,rel} = 57$

LAB^*LAB^*

Brillantheit i^*

Ein und Ausgabe: Farbmatisches Drucker-Reflektiv-System ORS20_95a für relativen CIELAB-Bunton $h^* = lab^*h^* = h_{ab}/360 = 0.661$

$u^*_d = c00v$
 LAB^*LAB^*

Daten für jede Farbe:

lab^*tch^* und lab^*icu^*

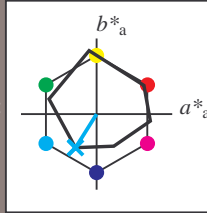
Buntontexte:

$u^*_d = c00v$ $u^*_e = g69b$

Kontrastreduzierungsfaktor:

$c_R = 0.96$

Dreiecks-Helligkeit t^*



ORS20_95; CIELAB-Daten

u^*_d	$L^*=L^*$	a^*	b^*	C^*_{ab}	h^*_{ab}
O _M	48.71	62.65	39.19	73.89	32
Y _M	89.25	-10.36	85.91	86.53	97
L _M	52.5	-62.88	21.3	66.38	161
C _M	59.15	-27.92	-42.97	51.24	237
V _M	29.13	23.07	-41.51	47.5	299
M _M	49.51	71.15	-7.9	71.59	354
N _M	20.0	0.47	0.76	0.89	58
W _M	95.0	-0.52	2.11	2.17	104
O _M	39.92	58.74	27.99	65.07	25
Y _M	81.26	-2.89	71.56	71.62	92
L _M	52.23	-42.42	13.6	44.55	162
V _M	30.57	1.41	-46.47	46.49	272

Daten für Maximalfarbe (Ma):

$LAB^*LAB^*_{Ma}: 59 -28 -44$

$LAB^*LCH^*_{Ma}: 59 52 237$

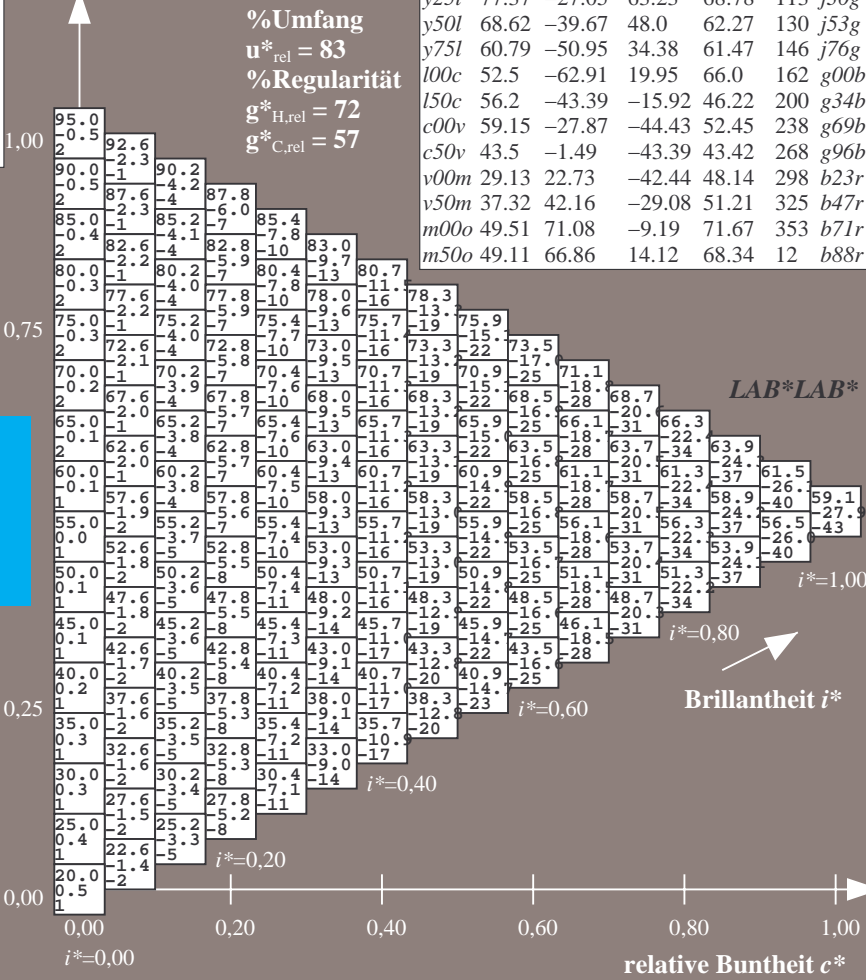
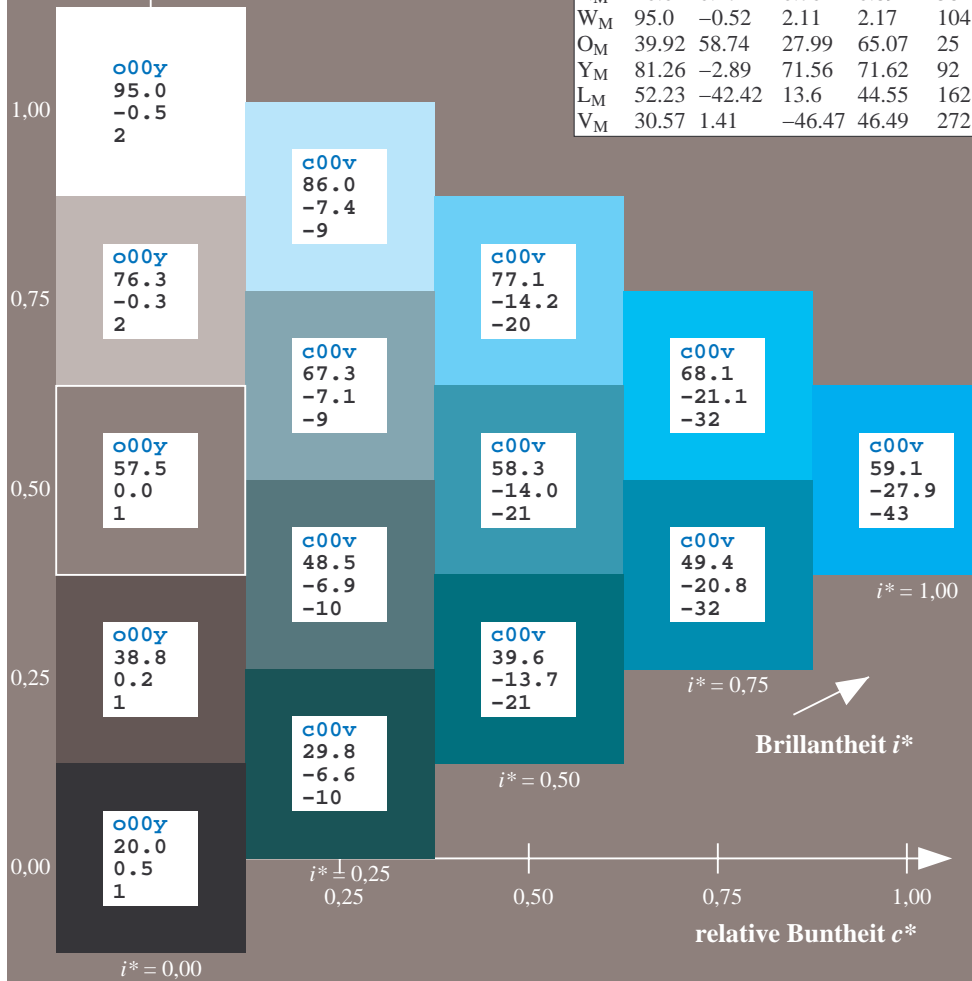
$lab^*olv^*_{Ma}: 0.0 1.0 1.0$

$lab^*rgb^*_{Ma}: 0.0 0.62 1.0$

Dreiecks-Helligkeit t^*

ORS20_95a; adaptierte CIELAB-Daten

u^*_d	$L^*=L^*_a$	a^*_a	b^*_a	$C^*_{ab,a}$	$h^*_{ab,a}$	u^*_e
o00y	48.71	62.56	37.91	73.15	31	r08j
o25y	58.6	44.87	49.14	66.54	48	r33j
o50y	67.52	28.93	59.25	65.94	64	r57j
o75y	77.05	11.9	70.06	71.06	80	r81j
y00l	89.25	-9.92	83.91	84.49	97	j06g
y25l	77.37	-27.05	63.23	68.78	113	j30g
y50l	68.62	-39.67	48.0	62.27	130	j53g
y75l	60.79	-50.95	34.38	61.47	146	j76g
l00c	52.5	-62.91	19.95	66.0	162	g00b
l50c	56.2	-43.39	-15.92	46.22	200	g34b
c00v	59.15	-27.87	-44.43	52.45	238	g69b
c50v	43.5	-1.49	-43.39	43.42	268	g96b
v00m	29.13	22.73	-42.44	48.14	298	b23r
v50m	37.32	42.16	-29.08	51.21	325	b47r
m00o	49.51	71.08	-9.19	71.67	353	b71r
m50o	49.11	66.86	14.12	68.34	12	b88r



%Umfang
 $u^*_{rel} = 83$
%Regularität
 $g^*_{H,rel} = 72$
 $g^*_{C,rel} = 57$

Brillanz i^*

$i^* = 1.00$

$i^* = 0.80$

$i^* = 0.60$

$i^* = 0.40$

$i^* = 0.20$

Ein und Ausgabe: Farbmatisches Drucker-Reflektiv-System ORS20_95a für relativen CIELAB-Bunton $h^* = lab^*h^* = h_{ab}/360 = 0.745$

$u^*_d = c50v$
LAB*LAB*

Daten für jede Farbe:

lab^*ch^* und lab^*icu^*

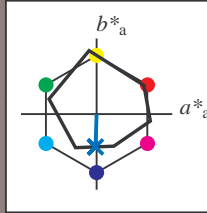
Buntontexte:

$u^*_d = c50v$ $u^*_e = g96b$

Kontrastreduzierungsfaktor:

$c_R = 0.96$

Dreiecks-Helligkeit t^*



ORS20_95; CIELAB-Daten						
u^*_d	$L^*=L^*_a$	a^*_a	b^*_a	C^*_{ab}	h^*_{ab}	
O _M	48.71	62.65	39.19	73.89	32	
Y _M	89.25	-10.36	85.91	86.53	97	
L _M	52.5	-62.88	21.3	66.38	161	
C _M	59.15	-27.92	-42.97	51.24	237	
V _M	29.13	23.07	-41.51	47.5	299	
M _M	49.51	71.15	-7.9	71.59	354	
N _M	20.0	0.47	0.76	0.89	58	
W _M	95.0	-0.52	2.11	2.17	104	
O _M	39.92	58.74	27.99	65.07	25	
Y _M	81.26	-2.89	71.56	71.62	92	
L _M	52.23	-42.42	13.6	44.55	162	
V _M	30.57	1.41	-46.47	46.49	272	

Daten für Maximalfarbe (Ma):

LAB*LAB*_{Ma}: 43 -1 -43

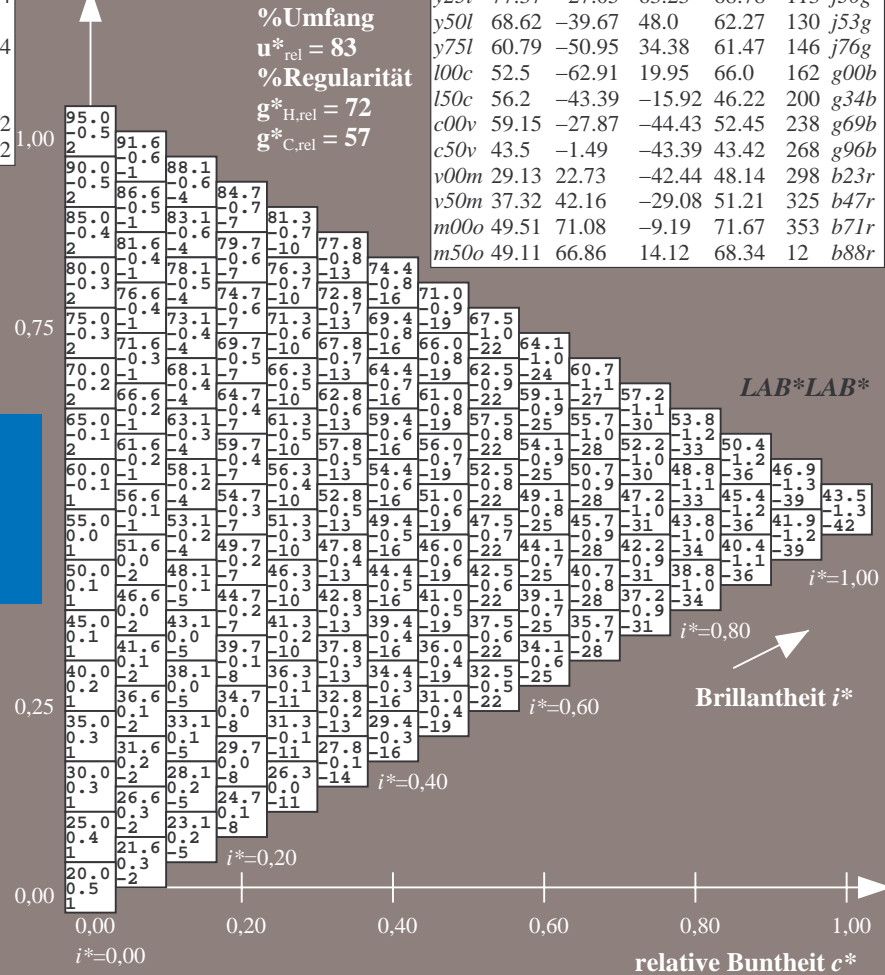
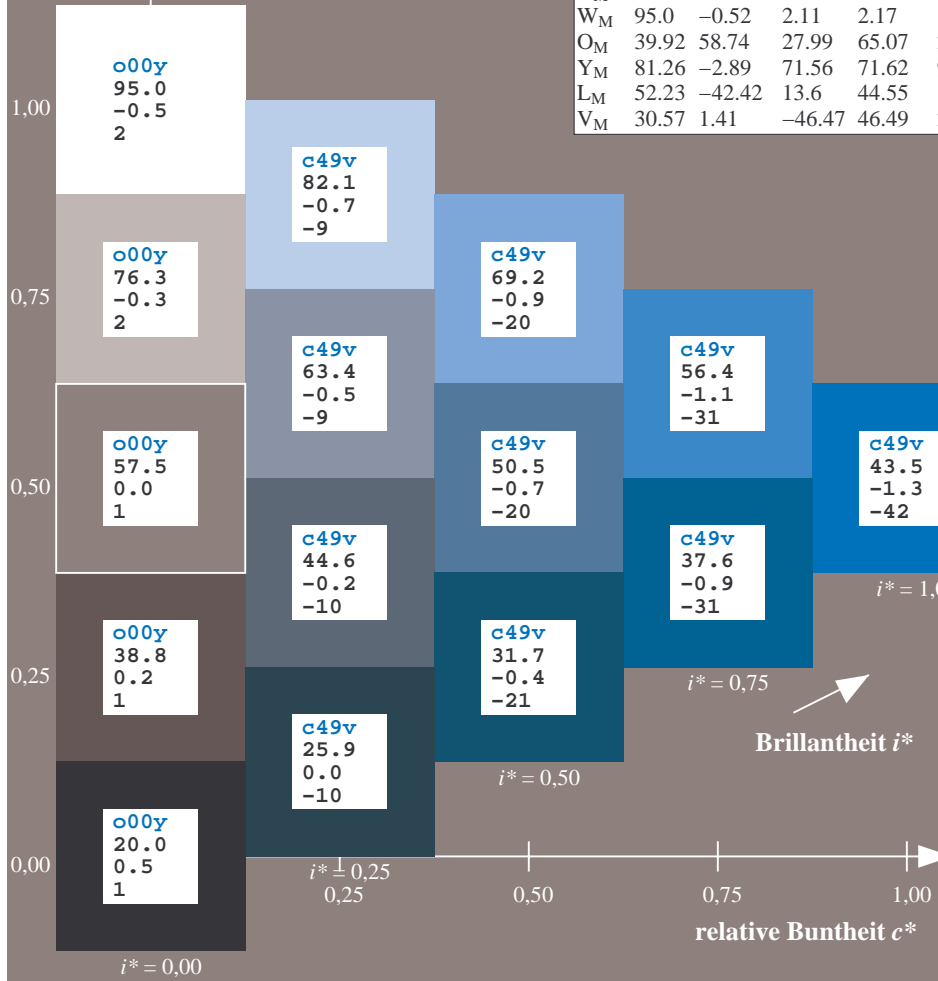
LAB*LCH*_{Ma}: 43 43 268

lab*olv*_{Ma}: 0.0 0.5 1.0

lab*rgb*_{Ma}: 0.0 0.07 1.0

Dreiecks-Helligkeit t^*

ORS20_95a; adaptierte CIELAB-Daten								
u^*_d	$L^*=L^*_a$	a^*_a	b^*_a	$C^*_{ab,a}$	$h^*_{ab,a}$	u^*_e		
o00y	48.71	62.56	37.91	73.15	31	r08j		
o25y	58.6	44.87	49.14	66.54	48	r33j		
o50y	67.52	28.93	59.25	65.94	64	r57j		
o75y	77.05	11.9	70.06	71.06	80	r81j		
y00l	89.25	-9.92	83.91	84.49	97	j06g		
y25l	77.37	-27.05	63.23	68.78	113	j30g		
y50l	68.62	-39.67	48.0	62.27	130	j53g		
y75l	60.79	-50.95	34.38	61.47	146	j76g		
l00c	52.5	-62.91	19.95	66.0	162	g00b		
l50c	56.2	-43.39	-15.92	46.22	200	g34b		
c00v	59.15	-27.87	-44.43	52.45	238	g69b		
c50v	43.5	-1.49	-43.39	43.42	268	g96b		
v00m	29.13	22.73	-42.44	48.14	298	b23r		
v50m	37.32	42.16	-29.08	51.21	325	b47r		
m00o	49.51	71.08	-9.19	71.67	353	b71r		
m50o	49.11	66.86	14.12	68.34	12	b88r		



Ein und Ausgabe: Farbmatisches Drucker-Reflektiv-System ORS20_95a für relativen CIELAB-Bunton $h^* = lab^*h^* = h_{ab}/360 = 0.828$

$u^*_d = v00m$

Daten für jede Farbe:

lab^*ch^* und lab^*icu^*

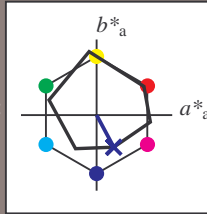
Buntontexte:

$u^*_d = v00m$ $u^*_e = b23r$

Kontrastreduzierungsfaktor:

$c_R = 0.96$

Dreiecks-Helligkeit t^*



ORS20_95; CIELAB-Daten

u^*_d	$L^*=L^*$	a^*	b^*	C^*_{ab}	h^*_{ab}
O _M	48.71	62.65	39.19	73.89	32
Y _M	89.25	-10.36	85.91	86.53	97
L _M	52.5	-62.88	21.3	66.38	161
C _M	59.15	-27.92	-42.97	51.24	237
V _M	29.13	23.07	-41.51	47.5	299
M _M	49.51	71.15	-7.9	71.59	354
N _M	20.0	0.47	0.76	0.89	58
W _M	95.0	-0.52	2.11	2.17	104
O _M	39.92	58.74	27.99	65.07	25
Y _M	81.26	-2.89	71.56	71.62	92
L _M	52.23	-42.42	13.6	44.55	162
V _M	30.57	1.41	-46.47	46.49	272

Daten für Maximalfarbe (Ma):

$LAB^*LAB^*_{Ma}: 29\ 23\ -42$

$LAB^*LCH^*_{Ma}: 29\ 48\ 298$

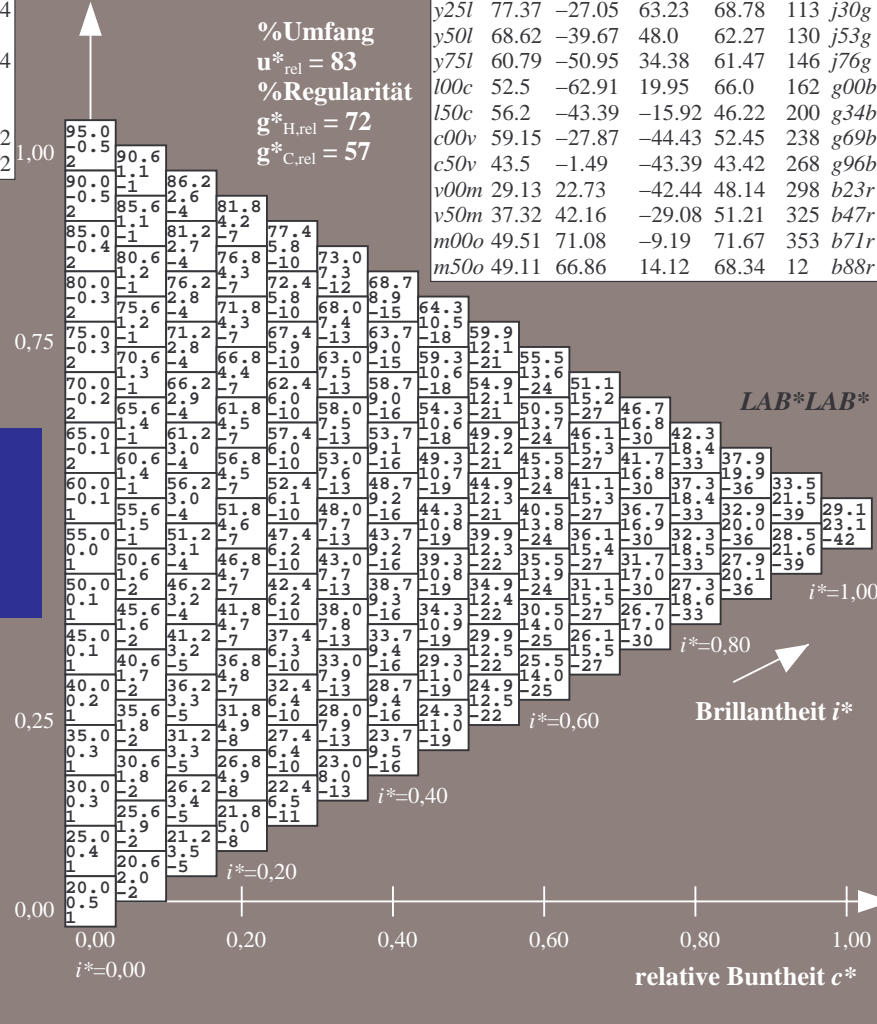
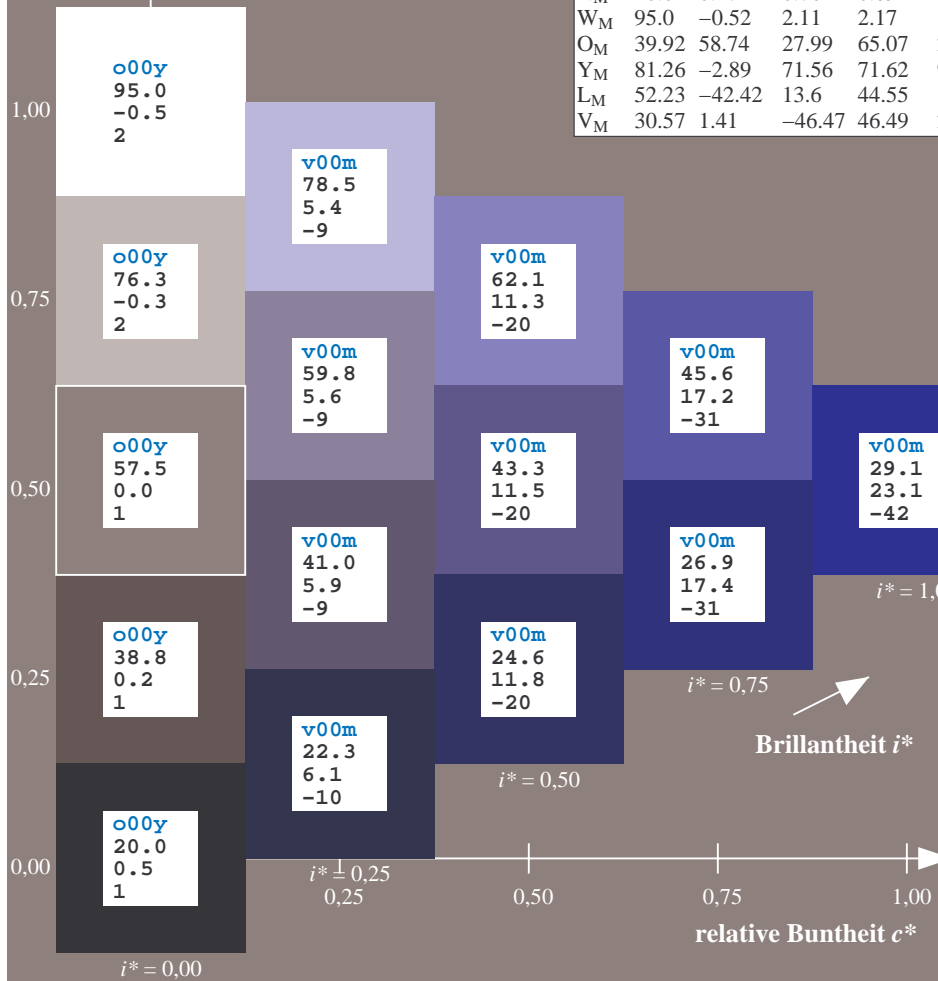
$lab^*olv^*_{Ma}: 0.0\ 0.0\ 1.0$

$lab^*rgb^*_{Ma}: 0.46\ 0.0\ 1.0$

Dreiecks-Helligkeit t^*

ORS20_95a; adaptierte CIELAB-Daten

u^*_d	$L^*=L^*_a$	a^*_a	b^*_a	$C^*_{ab,a}$	$h^*_{ab,a}$	u^*_e
o00y	48.71	62.56	37.91	73.15	31	r08j
o25y	58.6	44.87	49.14	66.54	48	r33j
o50y	67.52	28.93	59.25	65.94	64	r57j
o75y	77.05	11.9	70.06	71.06	80	r81j
y00l	89.25	-9.92	83.91	84.49	97	j06g
y25l	77.37	-27.05	63.23	68.78	113	j30g
y50l	68.62	-39.67	48.0	62.27	130	j53g
y75l	60.79	-50.95	34.38	61.47	146	j76g
l00c	52.5	-62.91	19.95	66.0	162	g00b
l50c	56.2	-43.39	-15.92	46.22	200	g34b
c00v	59.15	-27.87	-44.43	52.45	238	g69b
c50v	43.5	-1.49	-43.39	43.42	268	g96b
v00m	29.13	22.73	-42.44	48.14	298	b23r
v50m	37.32	42.16	-29.08	51.21	325	b47r
m00o	49.51	71.08	-9.19	71.67	353	b71r
m50o	49.11	66.86	14.12	68.34	12	b88r



Ein und Ausgabe: Farbmatisches Drucker-Reflektiv-System ORS20_95a für relativen CIELAB-Bunton $h^* = lab^*h^* = h_{ab}/360 = 0.904$

$u^*_d = v50m$

Daten für jede Farbe:

lab^*tch^* und lab^*icu^*

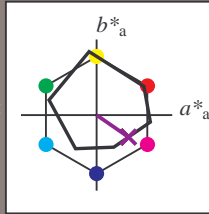
Buntontexte:

$u^*_d = v50m$ $u^*_e = b47r$

Kontrastreduzierungsfaktor:

$c_R = 0.96$

Dreiecks-Helligkeit t^*



ORS20_95; CIELAB-Daten						
u^*_d	$L^*=L^*_a$	a^*_a	b^*_a	C^*_{ab}	h^*_{ab}	
O _M	48.71	62.65	39.19	73.89	32	
Y _M	89.25	-10.36	85.91	86.53	97	
L _M	52.5	-62.88	21.3	66.38	161	
C _M	59.15	-27.92	-42.97	51.24	237	
V _M	29.13	23.07	-41.51	47.5	299	
M _M	49.51	71.15	-7.9	71.59	354	
N _M	20.0	0.47	0.76	0.89	58	
W _M	95.0	-0.52	2.11	2.17	104	
O _M	39.92	58.74	27.99	65.07	25	
Y _M	81.26	-2.89	71.56	71.62	92	
L _M	52.23	-42.42	13.6	44.55	162	
V _M	30.57	1.41	-46.47	46.49	272	

Daten für Maximalfarbe (Ma):

$LAB^*LAB^*_Ma: 37\ 42\ -29$

$LAB^*LCH^*_Ma: 37\ 51\ 325$

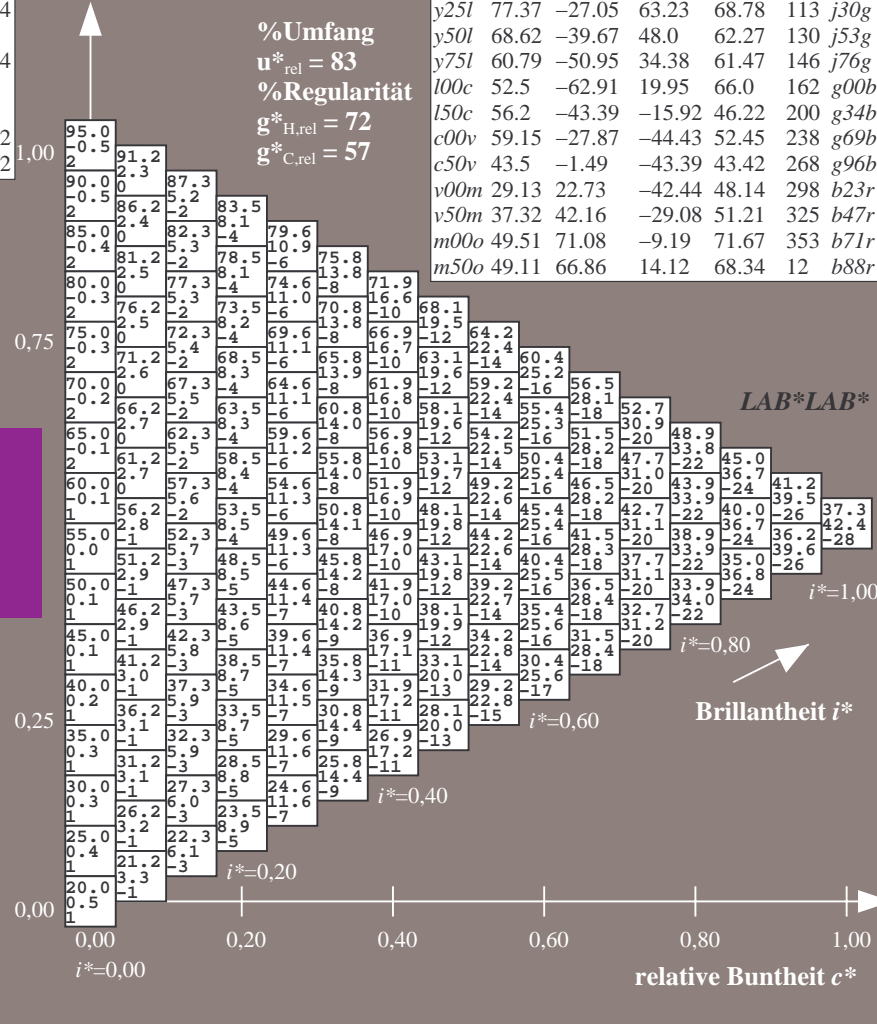
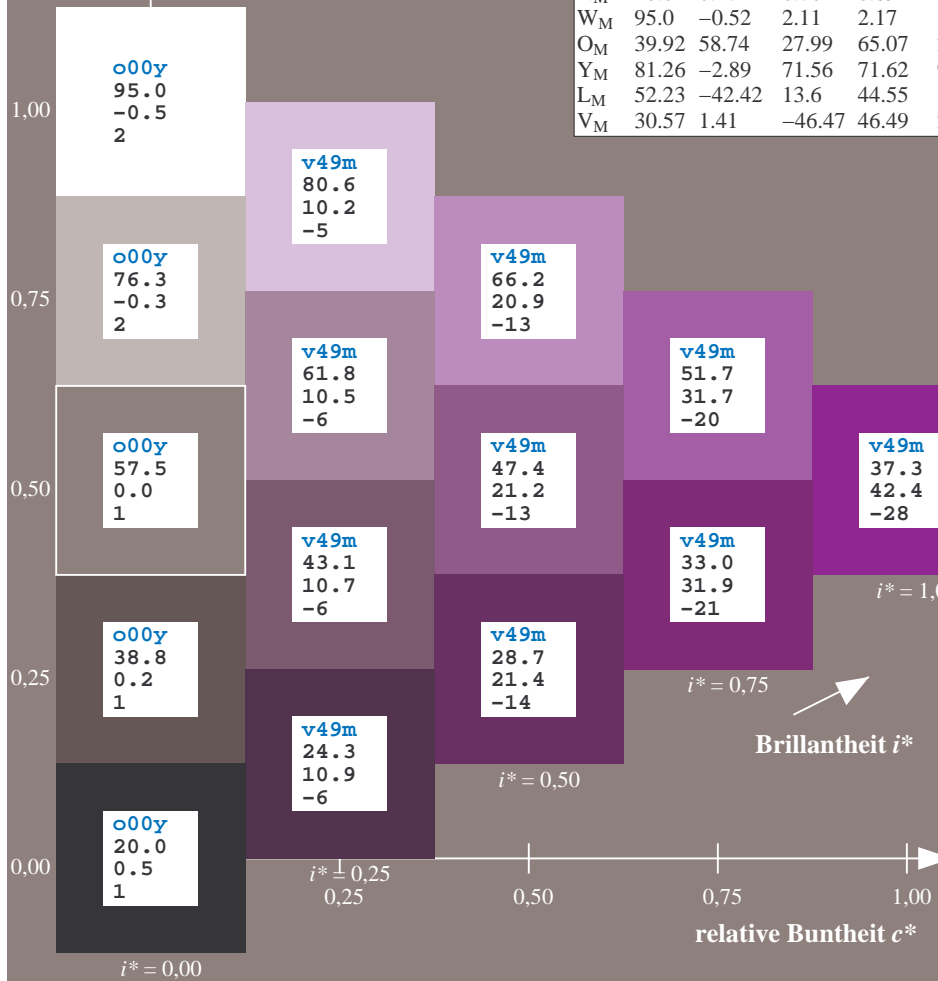
$lab^*olv^*_Ma: 0.5\ 0.0\ 1.0$

$lab^*rgb^*_Ma: 0.94\ 0.0\ 1.0$

Dreiecks-Helligkeit t^*

ORS20_95a; adaptierte CIELAB-Daten

u^*_d	$L^*=L^*_a$	a^*_a	b^*_a	$C^*_{ab,a}$	$h^*_{ab,a}$	u^*_e
o00y	48.71	62.56	37.91	73.15	31	r08j
o25y	58.6	44.87	49.14	66.54	48	r33j
o50y	67.52	28.93	59.25	65.94	64	r57j
o75y	77.05	11.9	70.06	71.06	80	r81j
y00l	89.25	-9.92	83.91	84.49	97	j06g
y25l	77.37	-27.05	63.23	68.78	113	j30g
y50l	68.62	-39.67	48.0	62.27	130	j53g
y75l	60.79	-50.95	34.38	61.47	146	j76g
l00c	52.5	-62.91	19.95	66.0	162	g00b
l50c	56.2	-43.39	-15.92	46.22	200	g34b
c00v	59.15	-27.87	-44.43	52.45	238	g69b
c50v	43.5	-1.49	-43.39	43.42	268	g96b
v00m	29.13	22.73	-42.44	48.14	298	b23r
v50m	37.32	42.16	-29.08	51.21	325	b47r
m00o	49.51	71.08	-9.19	71.67	353	b71r
m50o	49.11	66.86	14.12	68.34	12	b88r



%Umfang
 $u^*_{rel} = 83$
 %Regularität
 $g^*_{H,rel} = 72$
 $g^*_{C,rel} = 57$

LAB^*LAB^*

Brillantheit i^*

Ein und Ausgabe: Farbmatisches Drucker-Reflektiv-System ORS20_95a für relativen CIELAB-Bunton $h^* = \text{lab}^*h^* = h_{ab}/360 = 0.98$

$u^*_d = m00o$

Daten für jede Farbe:

lab^*tch^* und lab^*icu^*

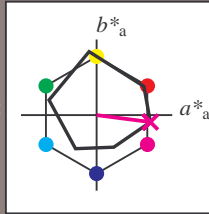
Buntontexte:

$u^*_d = m00o$ $u^*_e = b71r$

Kontrastreduzierungsfaktor:

$c_R = 0.96$

Dreiecks-Helligkeit t^*



ORS20_95; CIELAB-Daten

	u^*_d	$L^*=L^*_a$	a^*_a	b^*_a	C^*_{ab}	h^*_{ab}
O _M	48.71	62.65	39.19	73.89	32	
Y _M	89.25	-10.36	85.91	86.53	97	
L _M	52.5	-62.88	21.3	66.38	161	
C _M	59.15	-27.92	-42.97	51.24	237	
V _M	29.13	23.07	-41.51	47.5	299	
M _M	49.51	71.15	-7.9	71.59	354	
N _M	20.0	0.47	0.76	0.89	58	
W _M	95.0	-0.52	2.11	2.17	104	
O _M	39.92	58.74	27.99	65.07	25	
Y _M	81.26	-2.89	71.56	71.62	92	
L _M	52.23	-42.42	13.6	44.55	162	
V _M	30.57	1.41	-46.47	46.49	272	

Daten für Maximalfarbe (Ma):

$\text{LAB}^*\text{LAB}^*_{Ma}: 50\ 71\ -9$

$\text{LAB}^*\text{LCH}^*_{Ma}: 50\ 72\ 352$

$\text{lab}^*\text{olv}^*_{Ma}: 1.0\ 0.0\ 1.0$

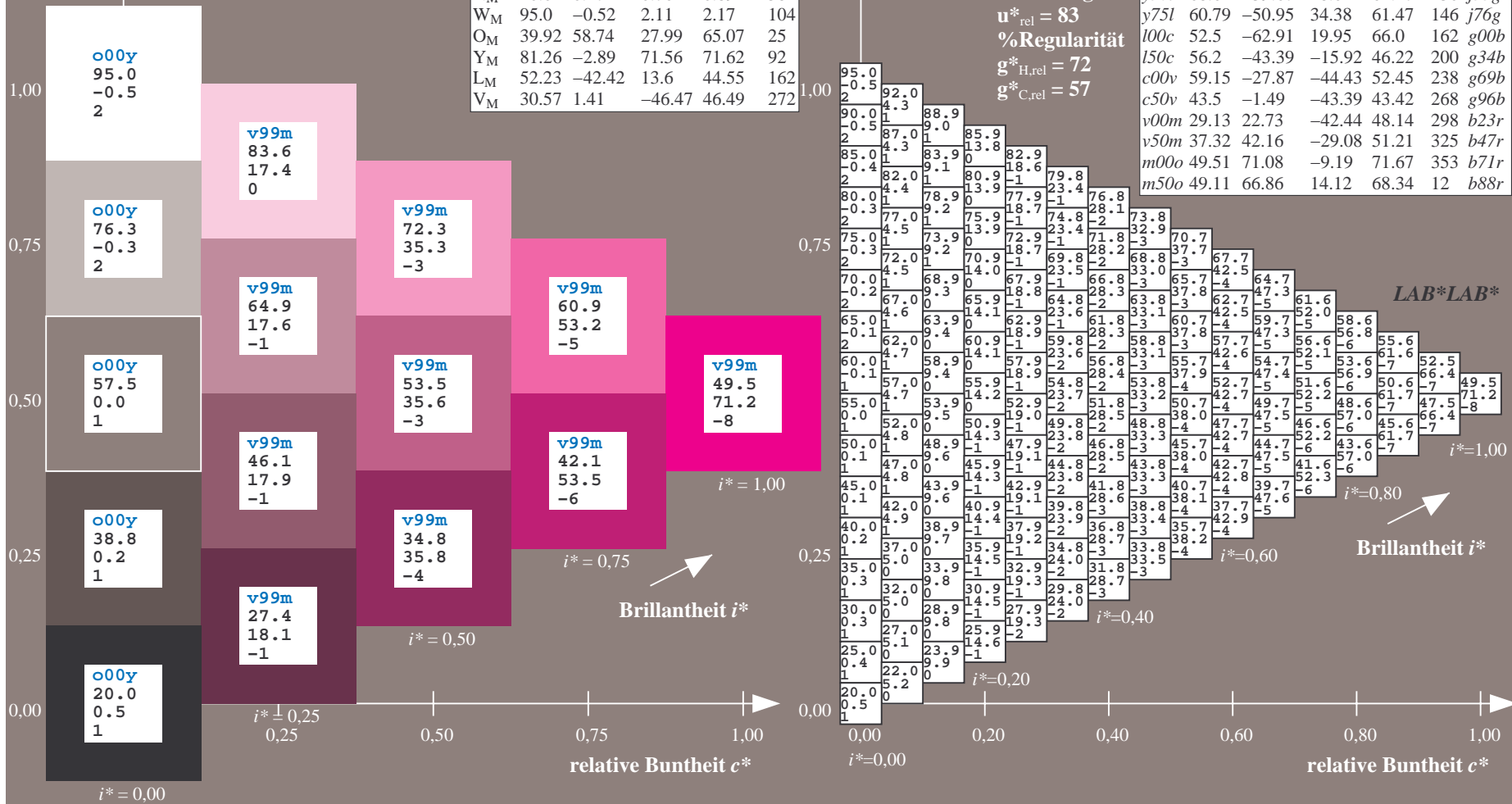
$\text{lab}^*\text{rgb}^*_{Ma}: 1.0\ 0.0\ 0.58$

Dreiecks-Helligkeit t^*

ORS20_95a; adaptierte CIELAB-Daten

	u^*_d	$L^*=L^*_a$	a^*_a	b^*_a	$C^*_{ab,a}$	$h^*_{ab,a}$	u^*_e
o00y	48.71	62.56	37.91	73.15	31	r08j	
o25y	58.6	44.87	49.14	66.54	48	r33j	
o50y	67.52	28.93	59.25	65.94	64	r57j	
o75y	77.05	11.9	70.06	71.06	80	r81j	
y00l	89.25	-9.92	83.91	84.49	97	j06g	
y25l	77.37	-27.05	63.23	68.78	113	j30g	
y50l	68.62	-39.67	48.0	62.27	130	j53g	
y75l	60.79	-50.95	34.38	61.47	146	j76g	
l00c	52.5	-62.91	19.95	66.0	162	g00b	
l50c	56.2	-43.39	-15.92	46.22	200	g34b	
c00v	59.15	-27.87	-44.43	52.45	238	g69b	
c50v	43.5	-1.49	-43.39	43.42	268	g96b	
v00m	29.13	22.73	-42.44	48.14	298	b23r	
v50m	37.32	42.16	-29.08	51.21	325	b47r	
m00o	49.51	71.08	-9.19	71.67	353	b71r	
m50o	49.11	66.86	14.12	68.34	12	b88r	

LAB^*LAB^*



Ein und Ausgabe: Farbmatisches Drucker-Reflektiv-System ORS20_95a für relativen CIELAB-Bunton $h^* = \text{lab}^*h^* = h_{ab}/360 = 0.033$

$u^*_d = m50o$

Daten für jede Farbe:

lab^*tch^* und lab^*icu^*

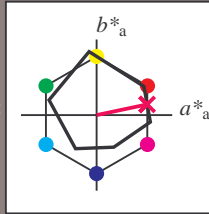
Buntontexte:

$u^*_d = m50o$ $u^*_e = b88r$

Kontrastreduzierungsfaktor:

$c_R = 0.96$

Dreiecks-Helligkeit t^*



ORS20_95; CIELAB-Daten

u^*_d	$L^*=L^*_a$	a^*	b^*	C^*_{ab}	h^*_{ab}
O _M	48.71	62.65	39.19	73.89	32
Y _M	89.25	-10.36	85.91	86.53	97
L _M	52.5	-62.88	21.3	66.38	161
C _M	59.15	-27.92	-42.97	51.24	237
V _M	29.13	23.07	-41.51	47.5	299
M _M	49.51	71.15	-7.9	71.59	354
N _M	20.0	0.47	0.76	0.89	58
W _M	95.0	-0.52	2.11	2.17	104
O _M	39.92	58.74	27.99	65.07	25
Y _M	81.26	-2.89	71.56	71.62	92
L _M	52.23	-42.42	13.6	44.55	162
V _M	30.57	1.41	-46.47	46.49	272

Daten für Maximalfarbe (Ma):

$\text{LAB}^*\text{LAB}^*_{Ma}: 49\ 67\ 14$

$\text{LAB}^*\text{LCH}^*_{Ma}: 49\ 68\ 11$

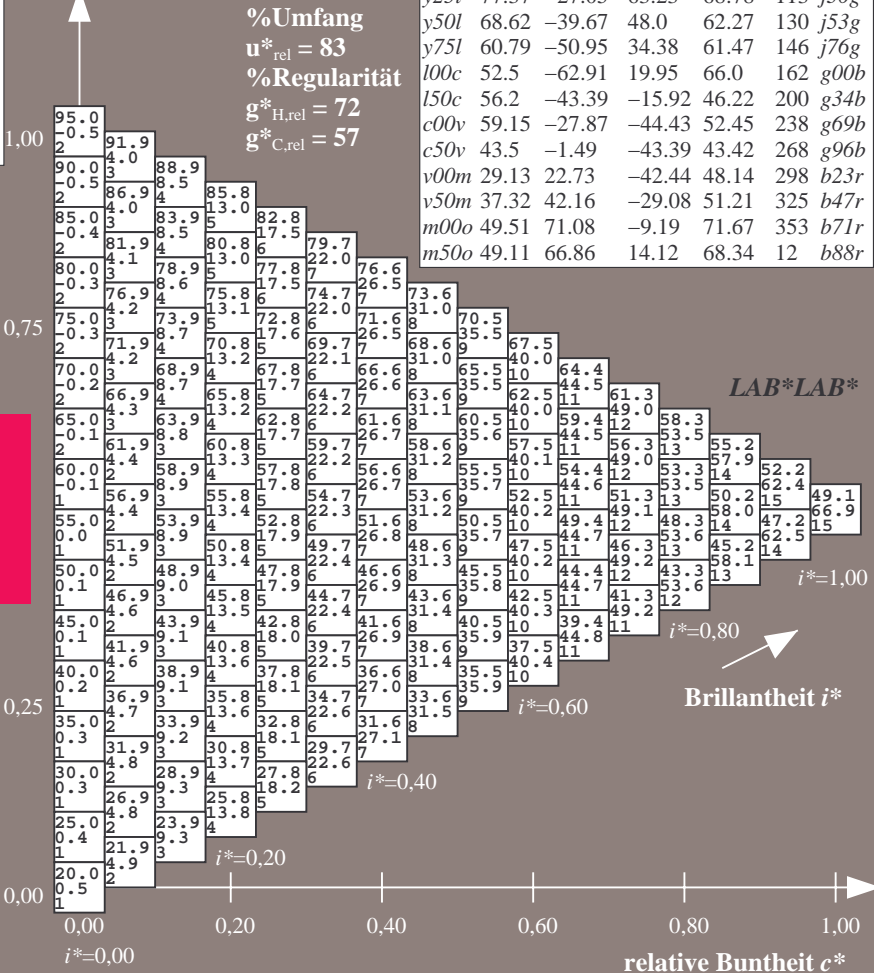
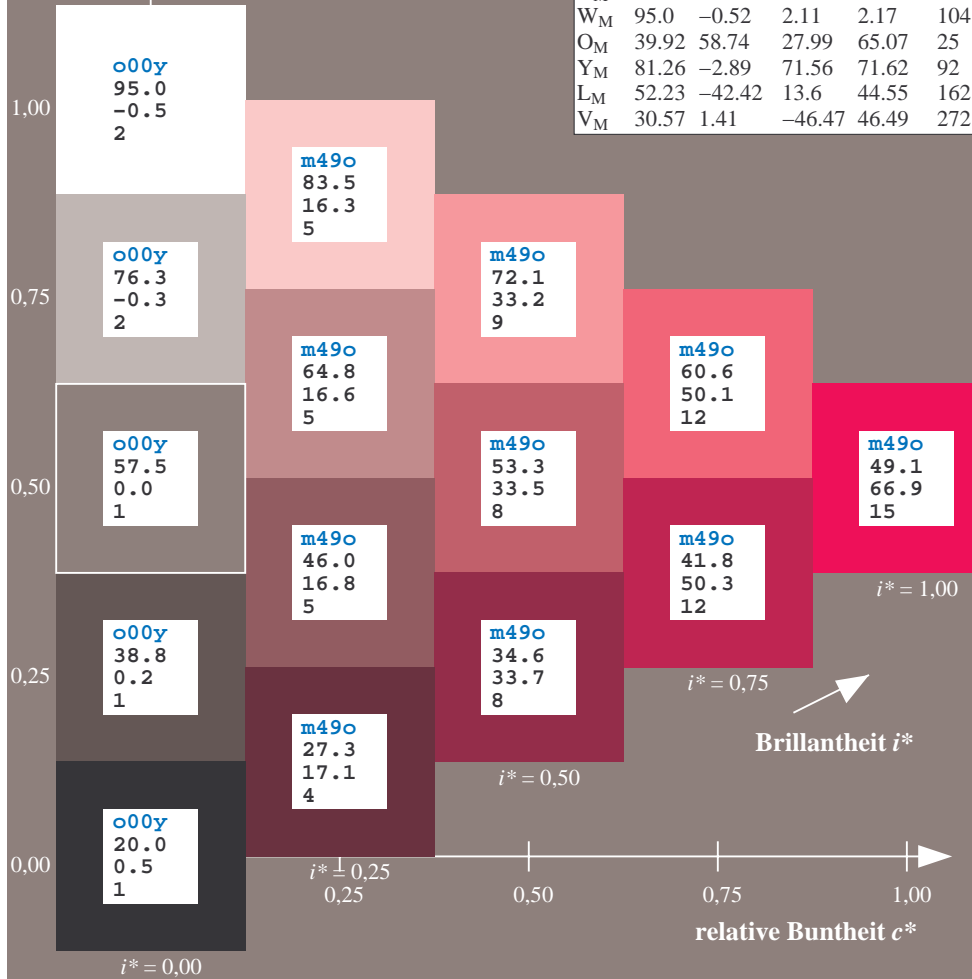
$\text{lab}^*\text{olv}^*_{Ma}: 1.0\ 0.0\ 0.5$

$\text{lab}^*\text{rgb}^*_{Ma}: 1.0\ 0.0\ 0.24$

Dreiecks-Helligkeit t^*

ORS20_95a; adaptierte CIELAB-Daten

u^*_d	$L^*=L^*_a$	a^*_a	b^*_a	$C^*_{ab,a}$	$h^*_{ab,a}$	u^*_e
o00y	48.71	62.56	37.91	73.15	31	r08j
o25y	58.6	44.87	49.14	66.54	48	r33j
o50y	67.52	28.93	59.25	65.94	64	r57j
o75y	77.05	11.9	70.06	71.06	80	r81j
y00l	89.25	-9.92	83.91	84.49	97	j06g
y25l	77.37	-27.05	63.23	68.78	113	j30g
y50l	68.62	-39.67	48.0	62.27	130	j53g
y75l	60.79	-50.95	34.38	61.47	146	j76g
l00c	52.5	-62.91	19.95	66.0	162	g00b
l50c	56.2	-43.39	-15.92	46.22	200	g34b
c00v	59.15	-27.87	-44.43	52.45	238	g69b
c50v	43.5	-1.49	-43.39	43.42	268	g96b
v00m	29.13	22.73	-42.44	48.14	298	b23r
v50m	37.32	42.16	-29.08	51.21	325	b47r
m00o	49.51	71.08	-9.19	71.67	353	b71r
m50o	49.11	66.86	14.12	68.34	12	b88r



%Umfang
 $u^*_{rel} = 83$
%Regularität
 $g^*_{H,rel} = 72$
 $g^*_{C,rel} = 57$

LAB^*LAB^*

$i^* = 1.00$

$i^* = 0.80$

$i^* = 0.60$

$i^* = 0.40$

$i^* = 0.20$

$i^* = 0.00$

	A	B	C	D	E	F	G	H	I	J	K	L	M	N	O	P	Q	R	S	T	U	V	W	X	Y	Z	a	b	c	d	e	f	g	h	i	j	k	LAB*LAB*																																																																																																																																																																																																																																																																																																																																																																																																																																																																																																																																																																																																													
01	20.0 0.5	24.1 -7.5	28.1 -15.4	32.2 -23.3	36.2 -31.2	40.3 -39.1	44.4 -47.0	48.4 -55.0	52.5 -62.9	56.6 -70.8	60.7 -78.7	64.8 -86.6	68.9 -94.5	73.0 -102.4	77.1 -110.3	81.2 -118.2	85.3 -126.1	89.4 -134.0	93.5 -141.9	97.6 -149.8	101.7 -157.7	105.8 -165.6	109.9 -173.5	114.0 -181.4	118.1 -189.3	122.2 -197.2	126.3 -205.1	130.4 -213.0	134.5 -220.9	138.6 -228.8	142.7 -236.7	146.8 -244.6	150.9 -252.5	155.0 -260.4	159.1 -268.3	163.2 -276.2	167.3 -284.1	171.4 -292.0	175.5 -299.9	179.6 -307.8	183.7 -315.7	187.8 -323.6	191.9 -331.5	196.0 -339.4	200.1 -347.3	204.2 -355.2	208.3 -363.1	212.4 -371.0	216.5 -378.9	220.6 -386.8	224.7 -394.7	228.8 -402.6	232.9 -410.5	237.0 -418.4	241.1 -426.3	245.2 -434.2	249.3 -442.1	253.4 -450.0	257.5 -457.9	261.6 -465.8	265.7 -473.7	269.8 -481.6	273.9 -489.5	278.0 -497.4	282.1 -505.3	286.2 -513.2	290.3 -521.1	294.4 -529.0	298.5 -536.9	302.6 -544.8	306.7 -552.7	310.8 -560.6	314.9 -568.5	319.0 -576.4	323.1 -584.3	327.2 -592.2	331.3 -600.1	335.4 -608.0	339.5 -615.9	343.6 -623.8	347.7 -631.7	351.8 -639.6	355.9 -647.5	360.0 -655.4	364.1 -663.3	368.2 -671.2	372.3 -679.1	376.4 -687.0	380.5 -694.9	384.6 -702.8	388.7 -710.7	392.8 -718.6	396.9 -726.5	401.0 -734.4	405.1 -742.3	409.2 -750.2	413.3 -758.1	417.4 -766.0	421.5 -773.9	425.6 -781.8	429.7 -789.7	433.8 -797.6	437.9 -805.5	442.0 -813.4	446.1 -821.3	450.2 -829.2	454.3 -837.1	458.4 -845.0	462.5 -852.9	466.6 -860.8	470.7 -868.7	474.8 -876.6	478.9 -884.5	483.0 -892.4	487.1 -900.3	491.2 -908.2	495.3 -916.1	499.4 -924.0	503.5 -931.9	507.6 -939.8	511.7 -947.7	515.8 -955.6	519.9 -963.5	524.0 -971.4	528.1 -979.3	532.2 -987.2	536.3 -995.1	540.4 -1003.0	544.5 -1010.9	548.6 -1018.8	552.7 -1026.7	556.8 -1034.6	560.9 -1042.5	565.0 -1050.4	569.1 -1058.3	573.2 -1066.2	577.3 -1074.1	581.4 -1082.0	585.5 -1089.9	589.6 -1097.8	593.7 -1105.7	597.8 -1113.6	601.9 -1121.5	606.0 -1129.4	610.1 -1137.3	614.2 -1145.2	618.3 -1153.1	622.4 -1161.0	626.5 -1168.9	630.6 -1176.8	634.7 -1184.7	638.8 -1192.6	642.9 -1200.5	647.0 -1208.4	651.1 -1216.3	655.2 -1224.2	659.3 -1232.1	663.4 -1240.0	667.5 -1247.9	671.6 -1255.8	675.7 -1263.7	679.8 -1271.6	683.9 -1279.5	688.0 -1287.4	692.1 -1295.3	696.2 -1303.2	700.3 -1311.1	704.4 -1319.0	708.5 -1326.9	712.6 -1334.8	716.7 -1342.7	720.8 -1350.6	724.9 -1358.5	729.0 -1366.4	733.1 -1374.3	737.2 -1382.2	741.3 -1390.1	745.4 -1398.0	749.5 -1405.9	753.6 -1413.8	757.7 -1421.7	761.8 -1429.6	765.9 -1437.5	770.0 -1445.4	774.1 -1453.3	778.2 -1461.2	782.3 -1469.1	786.4 -1477.0	790.5 -1484.9	794.6 -1492.8	798.7 -1500.7	802.8 -1508.6	806.9 -1516.5	811.0 -1524.4	815.1 -1532.3	819.2 -1540.2	823.3 -1548.1	827.4 -1556.0	831.5 -1563.9	835.6 -1571.8	839.7 -1579.7	843.8 -1587.6	847.9 -1595.5	852.0 -1603.4	856.1 -1611.3	860.2 -1619.2	864.3 -1627.1	868.4 -1635.0	872.5 -1642.9	876.6 -1650.8	880.7 -1658.7	884.8 -1666.6	888.9 -1674.5	893.0 -1682.4	897.1 -1690.3	901.2 -1698.2	905.3 -1706.1	909.4 -1714.0	913.5 -1721.9	917.6 -1729.8	921.7 -1737.7	925.8 -1745.6	929.9 -1753.5	934.0 -1761.4	938.1 -1769.3	942.2 -1777.2	946.3 -1785.1	950.4 -1793.0	954.5 -1800.9	958.6 -1808.8	962.7 -1816.7	966.8 -1824.6	970.9 -1832.5	975.0 -1840.4	979.1 -1848.3	983.2 -1856.2	987.3 -1864.1	991.4 -1872.0	995.5 -1879.9	999.6 -1887.8	1003.7 -1895.7	1007.8 -1903.6	1011.9 -1911.5	1016.0 -1919.4	1020.1 -1927.3	1024.2 -1935.2	1028.3 -1943.1	1032.4 -1951.0	1036.5 -1958.9	1040.6 -1966.8	1044.7 -1974.7	1048.8 -1982.6	1052.9 -1990.5	1057.0 -1998.4	1061.1 -2006.3	1065.2 -2014.2	1069.3 -2022.1	1073.4 -2030.0	1077.5 -2037.9	1081.6 -2045.8	1085.7 -2053.7	1089.8 -2061.6	1093.9 -2069.5	1098.0 -2077.4	1102.1 -2085.3	1106.2 -2093.2	1110.3 -2101.1	1114.4 -2109.0	1118.5 -2116.9	1122.6 -2124.8	1126.7 -2132.7	1130.8 -2140.6	1134.9 -2148.5	1139.0 -2156.4	1143.1 -2164.3	1147.2 -2172.2	1151.3 -2180.1	1155.4 -2188.0	1159.5 -2195.9	1163.6 -2203.8	1167.7 -2211.7	1171.8 -2219.6	1175.9 -2227.5	1180.0 -2235.4	1184.1 -2243.3	1188.2 -2251.2	1192.3 -2259.1	1196.4 -2267.0	1200.5 -2274.9	1204.6 -2282.8	1208.7 -2290.7	1212.8 -2298.6	1216.9 -2306.5	1221.0 -2314.4	1225.1 -2322.3	1229.2 -2330.2	1233.3 -2338.1	1237.4 -2346.0	1241.5 -2353.9	1245.6 -2361.8	1249.7 -2369.7	1253.8 -2377.6	1257.9 -2385.5	1262.0 -2393.4	1266.1 -2401.3	1270.2 -2409.2	1274.3 -2417.1	1278.4 -2425.0	1282.5 -2432.9	1286.6 -2440.8	1290.7 -2448.7	1294.8 -2456.6	1298.9 -2464.5	1303.0 -2472.4	1307.1 -2480.3	1311.2 -2488.2	1315.3 -2496.1	1319.4 -2504.0	1323.5 -2511.9	1327.6 -2519.8	1331.7 -2527.7	1335.8 -2535.6	1339.9 -2543.5	1344.0 -2551.4	1348.1 -2559.3	1352.2 -2567.2	1356.3 -2575.1	1360.4 -2583.0	1364.5 -2590.9	1368.6 -2598.8	1372.7 -2606.7	1376.8 -2614.6	1380.9 -2622.5	1385.0 -2630.4	1389.1 -2638.3	1393.2 -2646.2	1397.3 -2654.1	1401.4 -2662.0	1405.5 -2669.9	1409.6 -2677.8	1413.7 -2685.7	1417.8 -2693.6	1421.9 -2701.5	1426.0 -2709.4	1430.1 -2717.3	1434.2 -2725.2	1438.3 -2733.1	1442.4 -2741.0	1446.5 -2748.9	1450.6 -2756.8	1454.7 -2764.7	1458.8 -2772.6	1462.9 -2780.5	1467.0 -2788.4	1471.1 -2796.3	1475.2 -2804.2	1479.3 -2812.1	1483.4 -2820.0	1487.5 -2827.9	1491.6 -2835.8	1495.7 -2843.7	1499.8 -2851.6	1503.9 -2859.5	1508.0 -2867.4	1512.1 -2875.3	1516.2 -2883.2	1520.3 -2891.1	1524.4 -2899.0	1528.5 -2906.9	1532.6 -2914.8	1536.7 -2922.7	1540.8 -2930.6	1544.9 -2938.5	1549.0 -2946.4	1553.1 -2954.3	1557.2 -2962.2	1561.3 -2970.1	1565.4 -2978.0	1569.5 -2985.9	1573.6 -2993.8	1577.7 -3001.7	1581.8 -3009.6	1585.9 -3017.5	1590.0 -3025.4	1594.1 -3033.3	1598.2 -3041.2	1602.3 -3049.1	1606.4 -3057.0	1610.5 -3064.9	1614.6 -3072.8	1618.7 -3080.7	1622.8 -3088.6	1626.9 -3096.5	1631.0 -3104.4	1635.1 -3112.3	1639.2 -3120.2	1643.3 -3128.1	1647.4 -3136.0	1651.5 -3143.9	1655.6 -3151.8	1659.7 -3159.7	1663.8 -3167.6	1667.9 -3175.5	1672.0 -3183.4	1676.1 -3191.3	1680.2 -3199.2	1684.3 -3207.1	1688.4 -3215.0	1692.5 -3222.9	1696.6 -3230.8	1700.7 -3238.7	1704.8 -3246.6	1708.9 -3254.5	1713.0 -3262.4	1717.1 -3270.3	1721.2 -3278.2	1725.3 -3286.1	1729.4 -3294.0	1733.5 -3301.9	1737.6 -3309.8	1741.7 -3317.7	1745.8 -3325.6	1749.9 -3333.5	1754.0 -3341.4	1758.1 -3349.3	1762.2 -3357.2	1766.3 -3365.1	1770.4 -3373.0	1774.5 -3380.9	1778.6 -3388.8	1782.7 -3396.7	1786.8 -3404.6	1790.9 -3412.5	1795.0 -3420.4	1799.1 -3428.3	1803.2 -3436.2	1807.3 -3444.1	1811.4 -3452.0	1815.5 -3459.9	1819.6 -3467.8	1823.7 -3475.7	1827.8 -3483.6	1831.9 -3491.5	1836.0 -3499.4	1840.1 -3507.3	1844.2 -3515.2	1848.3 -3523.1	1852.4 -3531.0	1856.5 -3538.9	1860.6 -3546.8	1864.7 -3554.7	1868.8 -3562.6	1872.9 -3570.5	1877.0 -3578.4	1881.1 -3586.3	1885.2 -3594.2	1889.3 -3602.1	1893.4 -3610.0	1897.5 -3617.9	1901.6 -3625.8	1905.7 -3633.7	1909.8 -3641.6	1913.9 -3649.5	1918.0 -3657.4	1922.1 -3665.3	1926.2 -3673.2	1930.3 -3681.1	1934.4 -3689.0	1938.5 -3696.9	1942.6 -3704.8	1946.7 -3712.7	1950.8 -3720.6	1954.9 -3728.5	1959.0 -3736.4	1963.1 -3744.3	1967.2 -3752.2	1971.3 -3760.1	1975.4 -3768.0	1979.5 -3775.9	1983.6 -3783.8	1987.7 -3791.7	1991.8 -3799.6	1995.9 -3807.5	1999.0 -3815.4	2003.1 -3823.3	2007.2 -3831.2	2011.3 -3839.1	2015.4 -3847.0	2019.5 -3854.9	2023.6 -3862.8	2027.7 -3870.7	2031.8 -3878.6	2035.9 -3886.5	2040.0 -3894.4	2044.1 -3902.3	2048.2 -3910.2	2052.3 -3918.1	2056.4 -3926.0	2060.5 -3933.9	2064.6 -3941.8	2068.7 -3949.7	2072.8 -3957.6	2076.9 -3965.5	2081.0 -3973.4	2085.1 -3981.3	2089.2 -3989.2	2093.3 -3997.1	2097.4 -4005.0	2101.5 -4012.9	2105.6 -4020.8	2109.7 -4028.7	2113.8 -4036.6	2117.9 -4044.5	2122.0 -4052.4	2126.1 -4060.3	2130.2 -4068.2	2134.3 -4076.1	2138.4 -4084.0	2142.5 -4091.9	2146.6 -4099.8	2150.7 -4107.7	2154.8 -4115.6	2158.9 -4123.5	2163.0 -4131.4	2167.1 -4139.3	2171.2 -4147.2	2175.3 -4155.1	2179.4 -4163.0	2183.5 -4170.9	2187.6 -4178.8	2191.7 -4186.7	2195.8 -4194.6	2200.9 -4202.5	2205.0 -4210.4	2209.1 -4218.3	2213.2 -4226.2	2217.3 -4234.1	2221.4 -4242.0	2225.5 -4249.9	2229.6 -4257.8	2233.7 -4265.7	2237.8 -4273.6	2241.9 -4281.5	2246.0 -4289.4	2250.1 -4297.3	2254.2 -4305.2	2258.3 -4313.1	2262.4 -4321.0	2266.5 -4328.9	2270.6 -4336.8	2274.7 -4344.7	2278.8 -4352.6	2282.9 -4360.5	2287.0 -4368.4	2291.1 -4376.3	2295.2 -4384.2	2299.3 -4392.1	2303.4 -4400.0	2307.5 -4407.9	2311.6 -4415.8	2315.7 -4423.7	2319.8 -4431.6	2323.9 -4439.5	2328.0 -4447.4	2332.1 -4455.3	2336.2 -4463.2	2340.3 -4471.1	2344.4 -4479.0	2348.5 -4486.9	2352.6 -4494.8	2356.7 -4502.7	2360.8 -4510.6	2364.9 -4518.5	2369.0 -4526.4	2373.1 -4534.3	2377.2 -4542.2	2381.3 -4550.1	2385.4 -4558.0	2389.5 -4565.9	2393.6 -4573.8	2397.7 -4581.7	2401.8 -4589.6	2405.9 -4597.5	2410.0 -4605.4	2414.1 -4613.3	2418.2 -4621.2	2422.3 -4629.1	2426.4 -4637.0	2430.5 -4644.9	2434.6 -4652.8	2438.7 -4660.7	2442.8 -4668.6	2446.9 -4676.5	2451.0 -4684.4	2455.1 -4692.3	2459.2 -4700.2	2463.3 -4708.1	2467.4 -4716.0	2471.5 -4723.9	2475.6 -4731.8	2479.7 -4739.7	2483.8 -4747.6	2487.9 -4755.5	2492.0 -4763.4	2496.1 -4771.3	2500.2 -4779.2	2504.3 -4787.1	2508.4 -4795.0	2512.5 -4802.9	2516.6 -4810.8	2520.7 -4818.7	2524.8 -4826.6	2528.9 -4834.5	2533.0 -4842.4	2537.1 -4850.3	2541.2 -4858.2	2545.3 -4866.1	2549.4 -4874.0	2553.5 -4881.9	2557.6 -4889.8	2561.7 -4897.7	2565.8 -4905.6	2569.9 -4913.5	2574.0 -4921.4	2578.1 -4929.3	2582.2 -4937.2	2586.3 -4

Ein und Ausgabe:
 Farbmetrisches Drucker-Reflektiv-System ORS20_95a

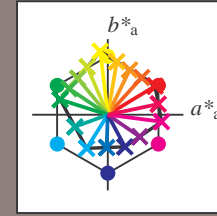
Daten für jede Farbe:
 u^*_d und Nummer *Nr.* = 00 .. 15

Geräte-Bunttextext:
 $u^*_d = 16$ Bunttoene *o00y, o25y, ..., m50o*

Kontrastreduzierungsfaktor:
 $c_R = 0.96$

ORS20_95a; adaptierte CIELAB-Daten

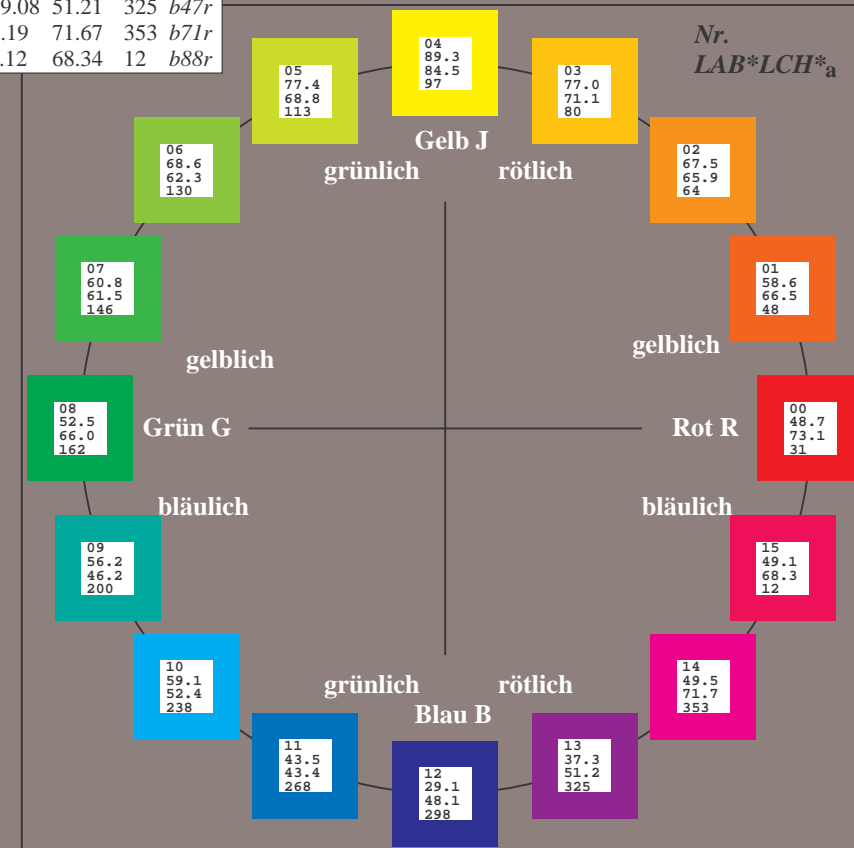
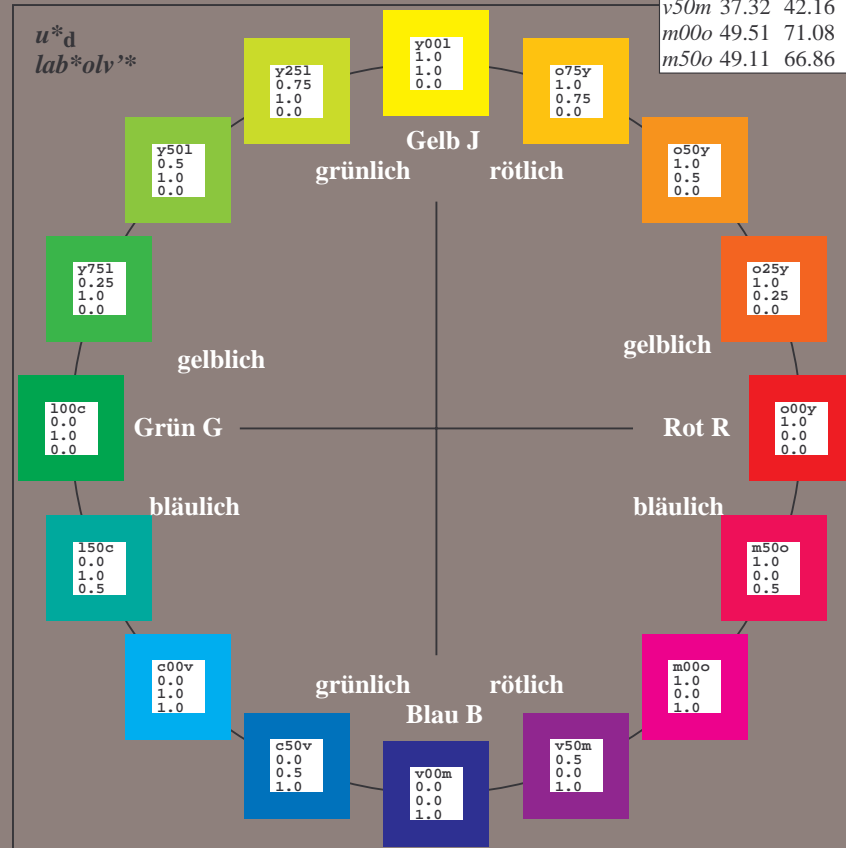
u^*_d	$L^*=L^*_a$	a^*_a	b^*_a	$C^*_{ab,a}$	$h^*_{ab,a}$	u^*_e
<i>o00y</i>	48.71	62.56	37.91	73.15	31	<i>r08j</i>
<i>o25y</i>	58.6	44.87	49.14	66.54	48	<i>r33j</i>
<i>o50y</i>	67.52	28.93	59.25	65.94	64	<i>r57j</i>
<i>o75y</i>	77.05	11.9	70.06	71.06	80	<i>r81j</i>
<i>y00l</i>	89.25	-9.92	83.91	84.49	97	<i>j06g</i>
<i>y25l</i>	77.37	-27.05	63.23	68.78	113	<i>j30g</i>
<i>y50l</i>	68.62	-39.67	48.0	62.27	130	<i>j53g</i>
<i>y75l</i>	60.79	-50.95	34.38	61.47	146	<i>j76g</i>
<i>l00c</i>	52.5	-62.91	19.95	66.0	162	<i>g00b</i>
<i>l50c</i>	56.2	-43.39	-15.92	46.22	200	<i>g34b</i>
<i>c00v</i>	59.15	-27.87	-44.43	52.45	238	<i>g69b</i>
<i>c50v</i>	43.5	-1.49	-43.39	43.42	268	<i>g96b</i>
<i>v00m</i>	29.13	22.73	-42.44	48.14	298	<i>b23r</i>
<i>v50m</i>	37.32	42.16	-29.08	51.21	325	<i>b47r</i>
<i>m00o</i>	49.51	71.08	-9.19	71.67	353	<i>b71r</i>
<i>m50o</i>	49.11	66.86	14.12	68.34	12	<i>b88r</i>



%Umfang
 $u^*_{rel} = 83$
 %Regularität
 $g^*_{H,rel} = 72$
 $g^*_{C,rel} = 57$

ORS20_95a; CIELAB-Daten

Name	$L^*=L^*$	a^*	b^*	C^*_{ab}	h^*_{ab}
O _M	48.71	62.65	39.19	73.89	32
Y _M	89.25	-10.36	85.91	86.53	97
L _M	52.5	-62.88	21.3	66.38	161
C _M	59.15	-27.92	-42.97	51.24	237
V _M	29.13	23.07	-41.51	47.5	299
M _M	49.51	71.15	-7.9	71.59	354
N _M	20.0	0.47	0.76	0.89	58
W _M	95.0	-0.52	2.11	2.17	104
O _{CIE}	39.92	58.74	27.99	65.07	25
Y _{CIE}	81.26	-2.89	71.56	71.62	92
L _{CIE}	52.23	-42.42	13.6	44.55	162
V _{CIE}	30.57	1.41	-46.47	46.49	272



Ein und Ausgabe: Farbmatisches Drucker-Reflektiv-System ORS20_95a für relativen CIELAB-Bunton $h^* = lab^*h^* = h_{ab}/360 = 0.087$

$u^*_d = o00y$
 lab^*olv^*

Daten für jede Farbe:

lab^*tch^* und lab^*icu^*

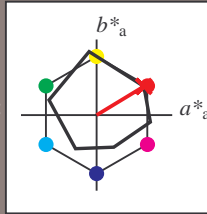
Buntontexte:

$u^*_d = o00y$ $u^*_e = r08j$

Kontrastreduzierungsfaktor:

$c_R = 0.96$

Dreiecks-Helligkeit t^*



ORS20_95a; CIELAB-Daten

u^*_d	$L^*=L^*_a$	a^*	b^*	C^*_{ab}	h^*_{ab}
O _M	48.71	62.65	39.19	73.89	32
Y _M	89.25	-10.36	85.91	86.53	97
L _M	52.5	-62.88	21.3	66.38	161
C _M	59.15	-27.92	-42.97	51.24	237
V _M	29.13	23.07	-41.51	47.5	299
M _M	49.51	71.15	-7.9	71.59	354
N _M	20.0	0.47	0.76	0.89	58
W _M	95.0	-0.52	2.11	2.17	104
O _M	39.92	58.74	27.99	65.07	25
Y _M	81.26	-2.89	71.56	71.62	92
L _M	52.23	-42.42	13.6	44.55	162
V _M	30.57	1.41	-46.47	46.49	272

Daten für Maximalfarbe (Ma):

$LAB^*LAB^*_{Ma}: 49\ 63\ 38$

$LAB^*LCH^*_{Ma}: 49\ 73\ 31$

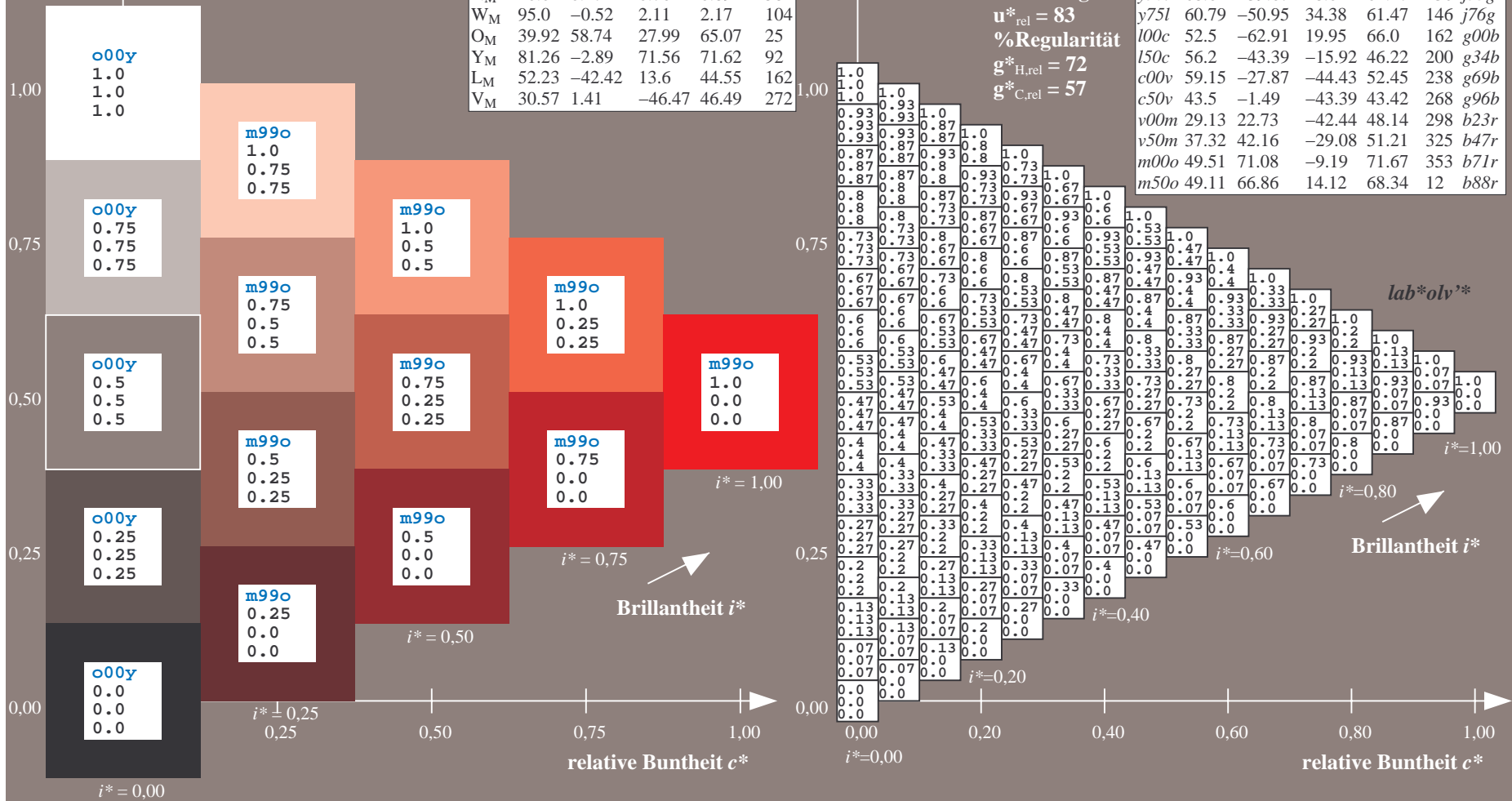
$lab^*olv^*_{Ma}: 1.0\ 0.0\ 0.0$

$lab^*rgb^*_{Ma}: 1.0\ 0.09\ 0.0$

Dreiecks-Helligkeit t^*

ORS20_95a; adaptierte CIELAB-Daten

u^*_d	$L^*=L^*_a$	a^*_a	b^*_a	$C^*_{ab,a}$	$h^*_{ab,a}$	u^*_e
<i>o00y</i>	48.71	62.56	37.91	73.15	31	<i>r08j</i>
<i>o25y</i>	58.6	44.87	49.14	66.54	48	<i>r33j</i>
<i>o50y</i>	67.52	28.93	59.25	65.94	64	<i>r57j</i>
<i>o75y</i>	77.05	11.9	70.06	71.06	80	<i>r81j</i>
<i>y00l</i>	89.25	-9.92	83.91	84.49	97	<i>j06g</i>
<i>y25l</i>	77.37	-27.05	63.23	68.78	113	<i>j30g</i>
<i>y50l</i>	68.62	-39.67	48.0	62.27	130	<i>j53g</i>
<i>y75l</i>	60.79	-50.95	34.38	61.47	146	<i>j76g</i>
<i>l00c</i>	52.5	-62.91	19.95	66.0	162	<i>g00b</i>
<i>l50c</i>	56.2	-43.39	-15.92	46.22	200	<i>g34b</i>
<i>c00v</i>	59.15	-27.87	-44.43	52.45	238	<i>g69b</i>
<i>c50v</i>	43.5	-1.49	-43.39	43.42	268	<i>g96b</i>
<i>v00m</i>	29.13	22.73	-42.44	48.14	298	<i>b23r</i>
<i>v50m</i>	37.32	42.16	-29.08	51.21	325	<i>b47r</i>
<i>m00o</i>	49.51	71.08	-9.19	71.67	353	<i>b71r</i>
<i>m50o</i>	49.11	66.86	14.12	68.34	12	<i>b88r</i>



Ein und Ausgabe: Farbmatisches Drucker-Reflektiv-System ORS20_95a für relativen CIELAB-Bunton $h^* = \text{lab}^*h^* = h_{ab}/360 = 0.132$

$u^*_d = o25y$

Daten für jede Farbe:

lab^*tch^* und lab^*icu^*

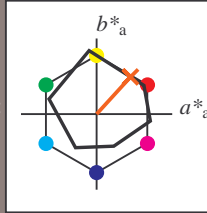
Buntontexte:

$u^*_d = o25y$ $u^*_e = r33j$

Kontrastreduzierungsfaktor:

$c_R = 0.96$

Dreiecks-Helligkeit t^*



ORS20_95a; CIELAB-Daten						
u^*_d	$L^*=L^*_a$	a^*_a	b^*_a	C^*_{ab}	h^*_{ab}	
O _M	48.71	62.65	39.19	73.89	32	
Y _M	89.25	-10.36	85.91	86.53	97	
L _M	52.5	-62.88	21.3	66.38	161	
C _M	59.15	-27.92	-42.97	51.24	237	
V _M	29.13	23.07	-41.51	47.5	299	
M _M	49.51	71.15	-7.9	71.59	354	
N _M	20.0	0.47	0.76	0.89	58	
W _M	95.0	-0.52	2.11	2.17	104	
O _M	39.92	58.74	27.99	65.07	25	
Y _M	81.26	-2.89	71.56	71.62	92	
L _M	52.23	-42.42	13.6	44.55	162	
V _M	30.57	1.41	-46.47	46.49	272	

Daten für Maximalfarbe (Ma):

$\text{LAB}^*\text{LAB}^*_{Ma}: 59\ 45\ 49$

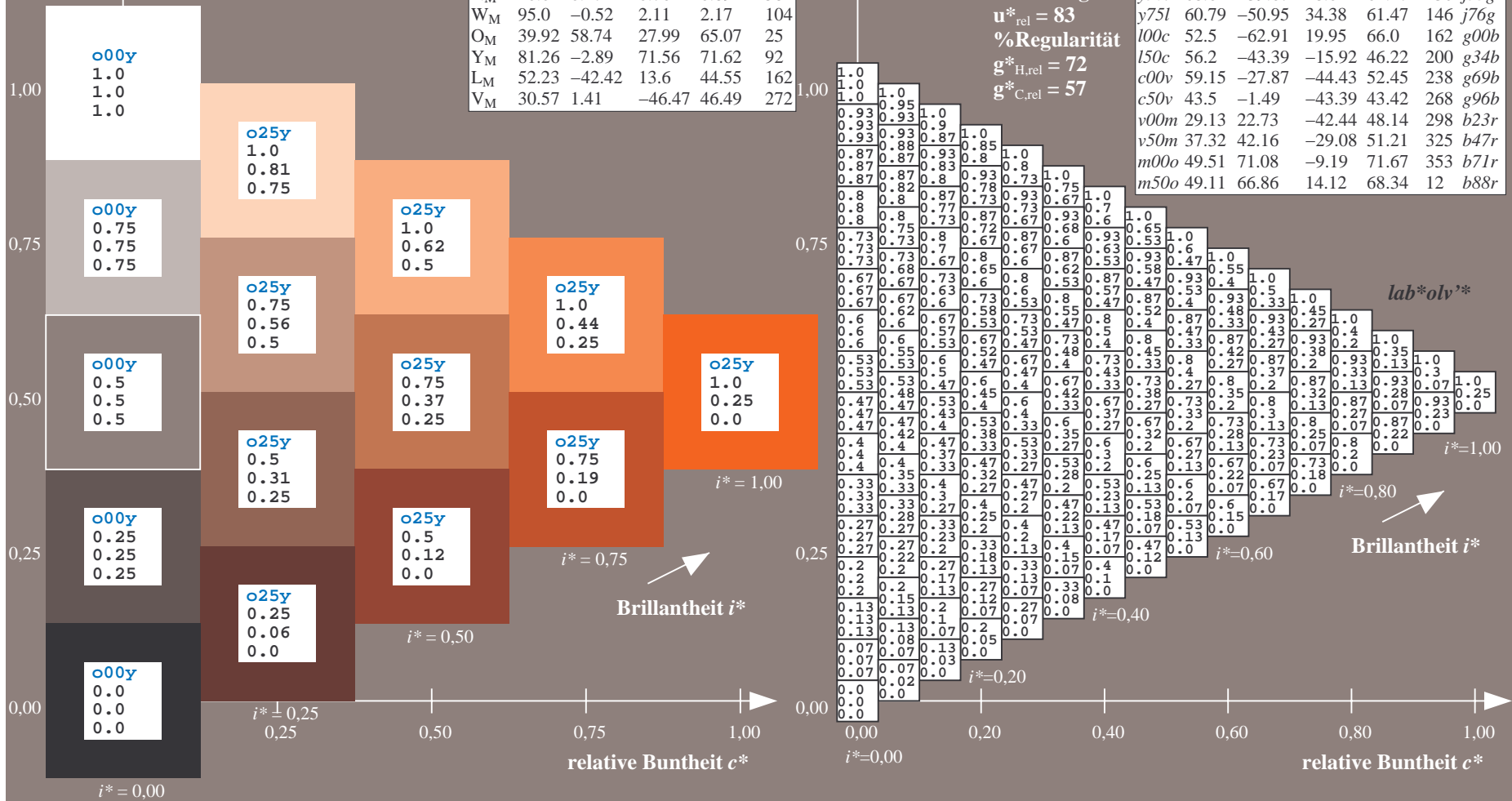
$\text{LAB}^*\text{LCH}^*_{Ma}: 59\ 67\ 47$

$\text{lab}^*\text{olv}^*_{Ma}: 1.0\ 0.25\ 0.0$

$\text{lab}^*\text{rgb}^*_{Ma}: 1.0\ 0.33\ 0.0$

Dreiecks-Helligkeit t^*

ORS20_95a; adaptierte CIELAB-Daten								
u^*_d	$L^*=L^*_a$	a^*_a	b^*_a	$C^*_{ab,a}$	$h^*_{ab,a}$	u^*_e		
o00y	48.71	62.56	37.91	73.15	31	r08j		
o25y	58.6	44.87	49.14	66.54	48	r33j		
o50y	67.52	28.93	59.25	65.94	64	r57j		
o75y	77.05	11.9	70.06	71.06	80	r81j		
y00l	89.25	-9.92	83.91	84.49	97	j06g		
y25l	77.37	-27.05	63.23	68.78	113	j30g		
y50l	68.62	-39.67	48.0	62.27	130	j53g		
y75l	60.79	-50.95	34.38	61.47	146	j76g		
l00c	52.5	-62.91	19.95	66.0	162	g00b		
l50c	56.2	-43.39	-15.92	46.22	200	g34b		
c00v	59.15	-27.87	-44.43	52.45	238	g69b		
c50v	43.5	-1.49	-43.39	43.42	268	g96b		
v00m	29.13	22.73	-42.44	48.14	298	b23r		
v50m	37.32	42.16	-29.08	51.21	325	b47r		
m00o	49.51	71.08	-9.19	71.67	353	b71r		
m50o	49.11	66.86	14.12	68.34	12	b88r		



Ein und Ausgabe: Farbmatisches Drucker-Reflektiv-System ORS20_95a für relativen CIELAB-Bunton $h^* = \text{lab}^*h^* = h_{ab}/360 = 0.178$

$u^*_d = o50y$

Daten für jede Farbe:

lab^*tch^* und lab^*icu^*

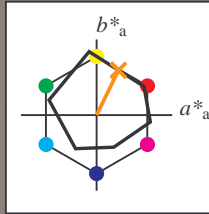
Buntontexte:

$u^*_d = o50y$ $u^*_e = r57j$

Kontrastreduzierungsfaktor:

$c_R = 0.96$

Dreiecks-Helligkeit t^*



ORS20_95a; CIELAB-Daten						
u^*_d	$L^*=L^*_a$	a^*_a	b^*_a	C^*_{ab}	h^*_{ab}	
O _M	48.71	62.65	39.19	73.89	32	
Y _M	89.25	-10.36	85.91	86.53	97	
L _M	52.5	-62.88	21.3	66.38	161	
C _M	59.15	-27.92	-42.97	51.24	237	
V _M	29.13	23.07	-41.51	47.5	299	
M _M	49.51	71.15	-7.9	71.59	354	
N _M	20.0	0.47	0.76	0.89	58	
W _M	95.0	-0.52	2.11	2.17	104	
O _M	39.92	58.74	27.99	65.07	25	
Y _M	81.26	-2.89	71.56	71.62	92	
L _M	52.23	-42.42	13.6	44.55	162	
V _M	30.57	1.41	-46.47	46.49	272	

Daten für Maximalfarbe (Ma):

$\text{LAB}^*\text{LAB}^*_{Ma}: 68\ 29\ 59$

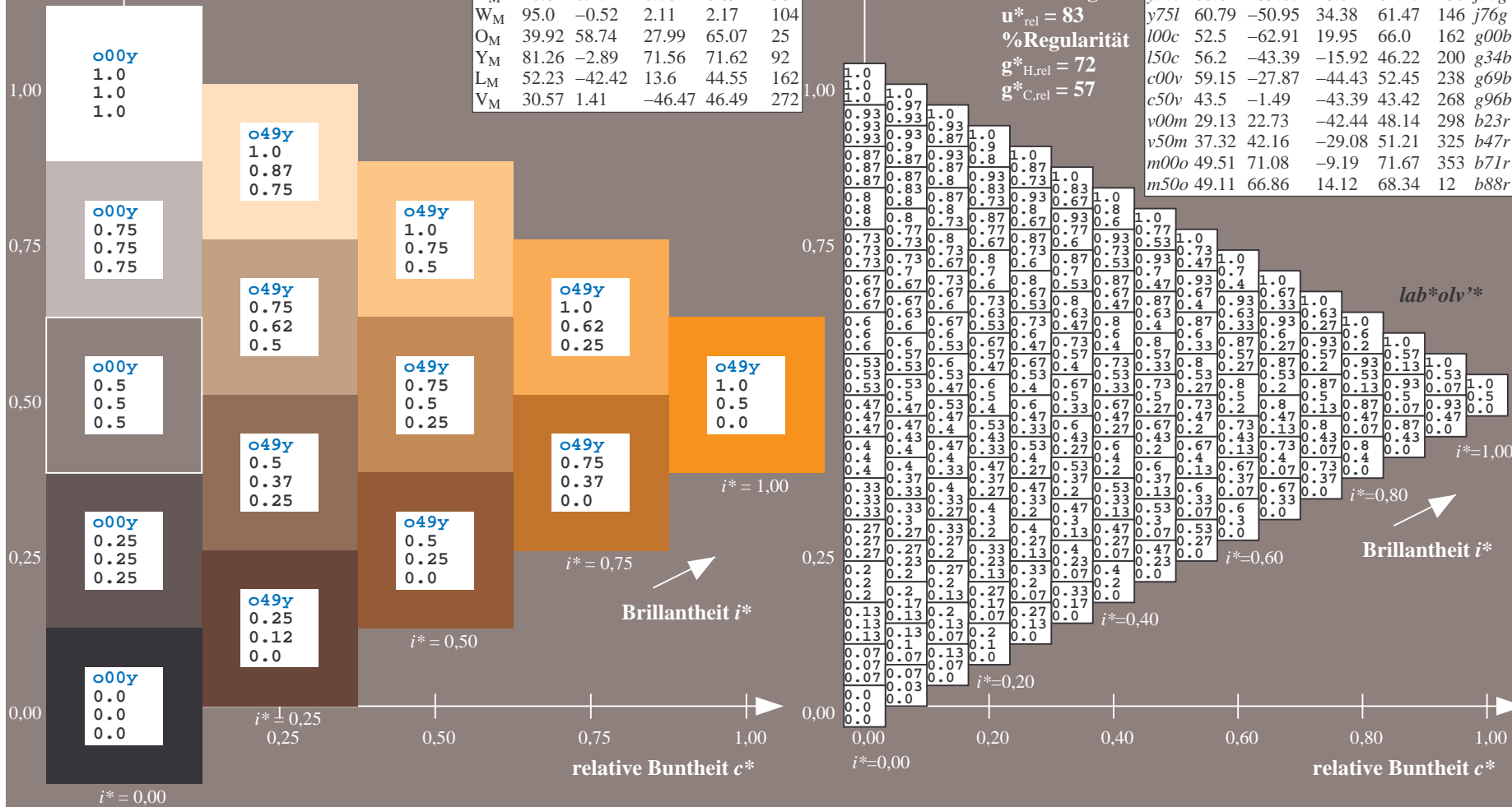
$\text{LAB}^*\text{LCH}^*_{Ma}: 68\ 66\ 63$

$\text{lab}^*\text{olv}^*_{Ma}: 1.0\ 0.5\ 0.0$

$\text{lab}^*\text{rgb}^*_{Ma}: 1.0\ 0.58\ 0.0$

Dreiecks-Helligkeit t^*

ORS20_95a; adaptierte CIELAB-Daten								
u^*_d	$L^*=L^*_a$	a^*_a	b^*_a	$C^*_{ab,a}$	$h^*_{ab,a}$	u^*_e		
o00y	48.71	62.56	37.91	73.15	31	r08j		
o25y	58.6	44.87	49.14	66.54	48	r33j		
o50y	67.52	28.93	59.25	65.94	64	r57j		
o75y	77.05	11.9	70.06	71.06	80	r8lj		
y00l	89.25	-9.92	83.91	84.49	97	j06g		
y25l	77.37	-27.05	63.23	68.78	113	j30g		
y50l	68.62	-39.67	48.0	62.27	130	j53g		
y75l	60.79	-50.95	34.38	61.47	146	j76g		
l00c	52.5	-62.91	19.95	66.0	162	g00b		
l50c	56.2	-43.39	-15.92	46.22	200	g34b		
c00v	59.15	-27.87	-44.43	52.45	238	g69b		
c50v	43.5	-1.49	-43.39	43.42	268	g96b		
v00m	29.13	22.73	-42.44	48.14	298	b23r		
v50m	37.32	42.16	-29.08	51.21	325	b47r		
m00o	49.51	71.08	-9.19	71.67	353	b71r		
m50o	49.11	66.86	14.12	68.34	12	b88r		



Ein und Ausgabe: Farbmatisches Drucker-Reflektiv-System ORS20_95a für relativen CIELAB-Bunton $h^* = \text{lab}^*h^* = h_{ab}/360 = 0.223$

$u^*_d = 0.75y$

Daten für jede Farbe:

lab^*tch^* und lab^*icu^*

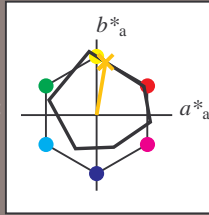
Buntontexte:

$u^*_d = 0.75y$ $u^*_e = r8lj$

Kontrastreduzierungsfaktor:

$c_R = 0.96$

Dreiecks-Helligkeit t^*



ORS20_95a; CIELAB-Daten						
u^*_d	$L^*=L^*_a$	a^*_a	b^*_a	C^*_{ab}	h^*_{ab}	
O _M	48.71	62.65	39.19	73.89	32	
Y _M	89.25	-10.36	85.91	86.53	97	
L _M	52.5	-62.88	21.3	66.38	161	
C _M	59.15	-27.92	-42.97	51.24	237	
V _M	29.13	23.07	-41.51	47.5	299	
M _M	49.51	71.15	-7.9	71.59	354	
N _M	20.0	0.47	0.76	0.89	58	
W _M	95.0	-0.52	2.11	2.17	104	
O _M	39.92	58.74	27.99	65.07	25	
Y _M	81.26	-2.89	71.56	71.62	92	
L _M	52.23	-42.42	13.6	44.55	162	
V _M	30.57	1.41	-46.47	46.49	272	

Daten für Maximalfarbe (Ma):

$\text{LAB}^*\text{LAB}^*_{Ma}: 77 \ 12 \ 70$

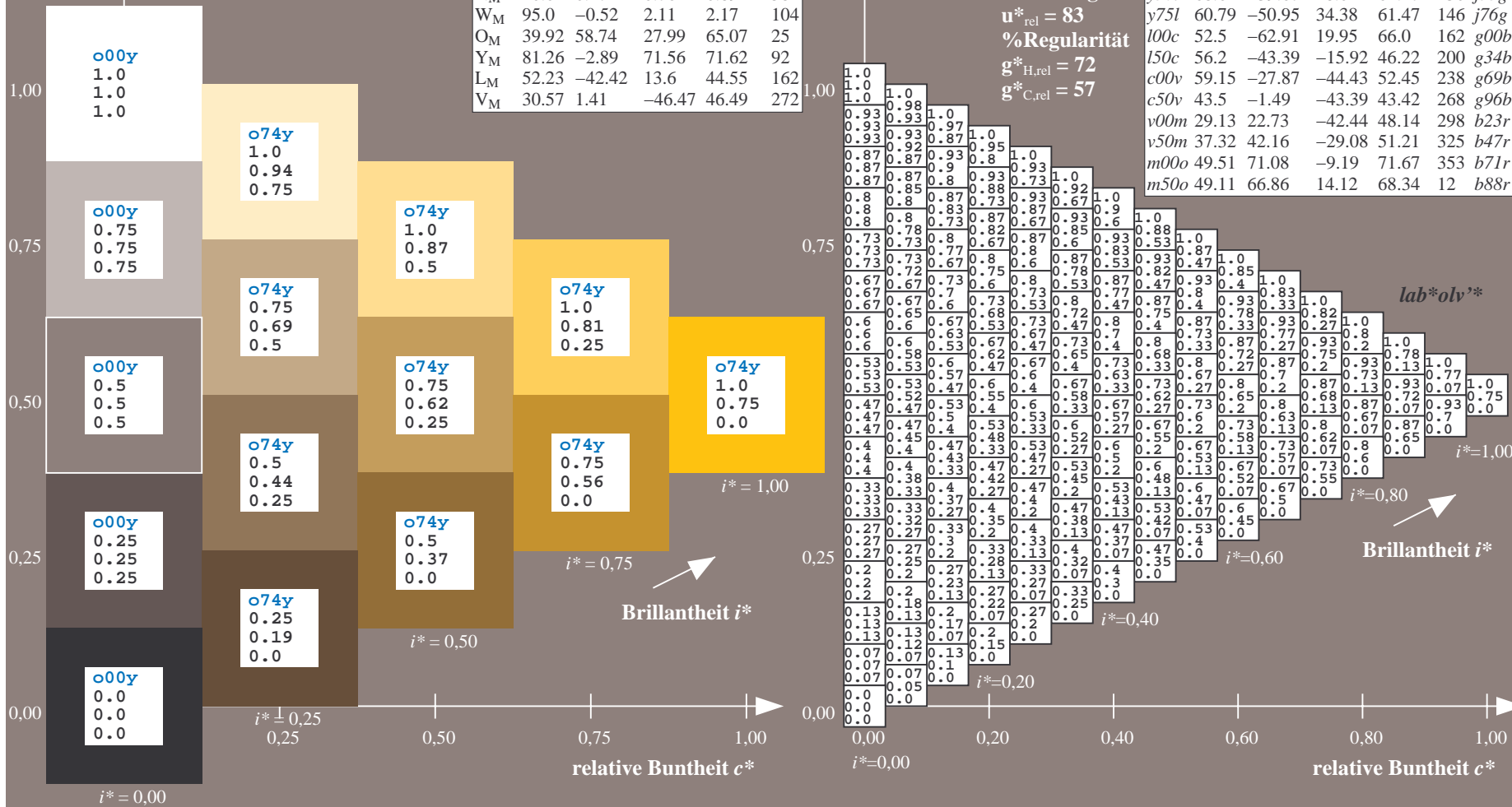
$\text{LAB}^*\text{LCH}^*_{Ma}: 77 \ 71 \ 80$

$\text{lab}^*\text{olv}^*_{Ma}: 1.0 \ 0.75 \ 0.0$

$\text{lab}^*\text{rgb}^*_{Ma}: 1.0 \ 0.82 \ 0.0$

Dreiecks-Helligkeit t^*

ORS20_95a; adaptierte CIELAB-Daten								
u^*_d	$L^*=L^*_a$	a^*_a	b^*_a	$C^*_{ab,a}$	$h^*_{ab,a}$	u^*_e		
o00y	48.71	62.56	37.91	73.15	31	r08j		
o25y	58.6	44.87	49.14	66.54	48	r33j		
o50y	67.52	28.93	59.25	65.94	64	r57j		
o75y	77.05	11.9	70.06	71.06	80	r8lj		
y00l	89.25	-9.92	83.91	84.49	97	j06g		
y25l	77.37	-27.05	63.23	68.78	113	j30g		
y50l	68.62	-39.67	48.0	62.27	130	j53g		
y75l	60.79	-50.95	34.38	61.47	146	j76g		
l00c	52.5	-62.91	19.95	66.0	162	g00b		
l50c	56.2	-43.39	-15.92	46.22	200	g34b		
c00v	59.15	-27.87	-44.43	52.45	238	g69b		
c50v	43.5	-1.49	-43.39	43.42	268	g96b		
v00m	29.13	22.73	-42.44	48.14	298	b23r		
v50m	37.32	42.16	-29.08	51.21	325	b47r		
m00o	49.51	71.08	-9.19	71.67	353	b71r		
m50o	49.11	66.86	14.12	68.34	12	b88r		



Ein und Ausgabe: Farbmatisches Drucker-Reflektiv-System ORS20_95a für relativen CIELAB-Bunton $h^* = lab^*h^* = h_{ab}/360 = 0.269$

$u^*_d = y00l$

Daten für jede Farbe:

lab^*ch^* und lab^*icu^*

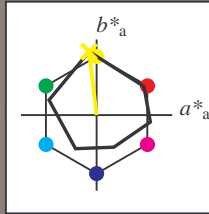
Buntontexte:

$u^*_d = y00l$ $u^*_e = j06g$

Kontrastreduzierungsfaktor:

$c_R = 0.96$

Dreiecks-Helligkeit t^*



ORS20_95a; CIELAB-Daten						
u^*_d	$L^*=L^*_a$	a^*_a	b^*_a	C^*_{ab}	h^*_{ab}	
O _M	48.71	62.65	39.19	73.89	32	
Y _M	89.25	-10.36	85.91	86.53	97	
L _M	52.5	-62.88	21.3	66.38	161	
C _M	59.15	-27.92	-42.97	51.24	237	
V _M	29.13	23.07	-41.51	47.5	299	
M _M	49.51	71.15	-7.9	71.59	354	
N _M	20.0	0.47	0.76	0.89	58	
W _M	95.0	-0.52	2.11	2.17	104	
O _M	39.92	58.74	27.99	65.07	25	
Y _M	81.26	-2.89	71.56	71.62	92	
L _M	52.23	-42.42	13.6	44.55	162	
V _M	30.57	1.41	-46.47	46.49	272	

Daten für Maximalfarbe (Ma):

$LAB^*LAB^*_{Ma}: 89 -10 84$

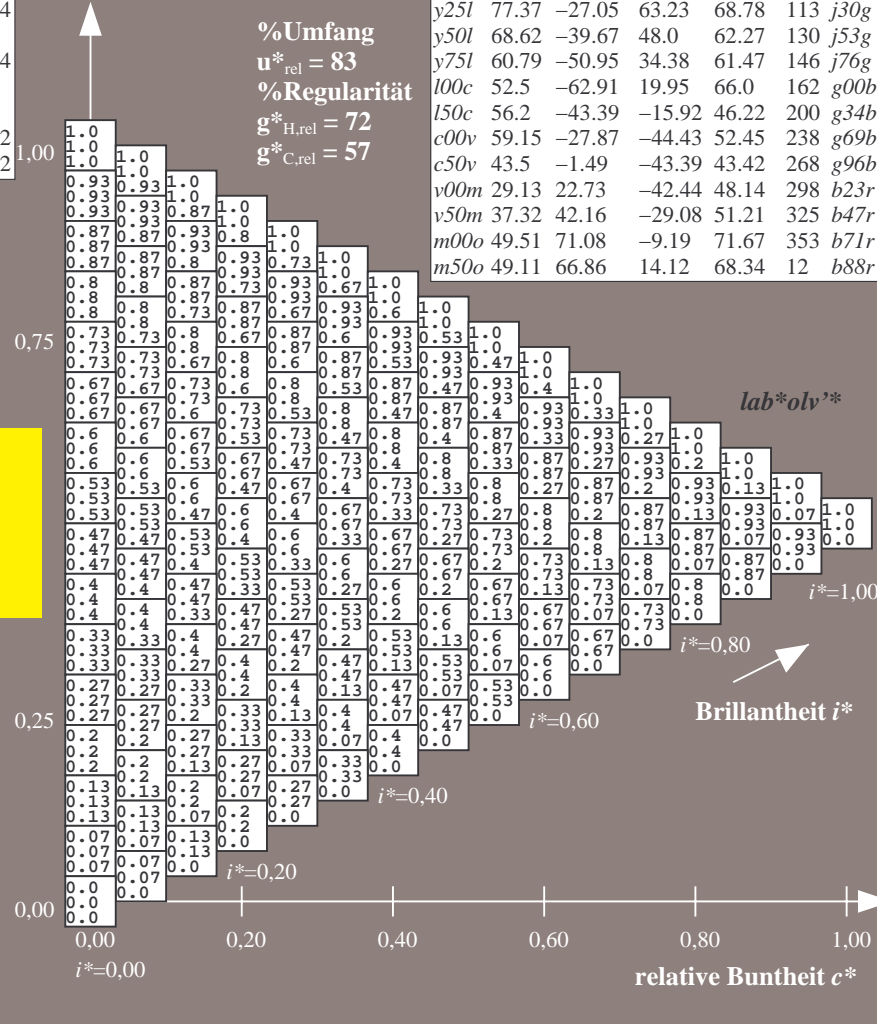
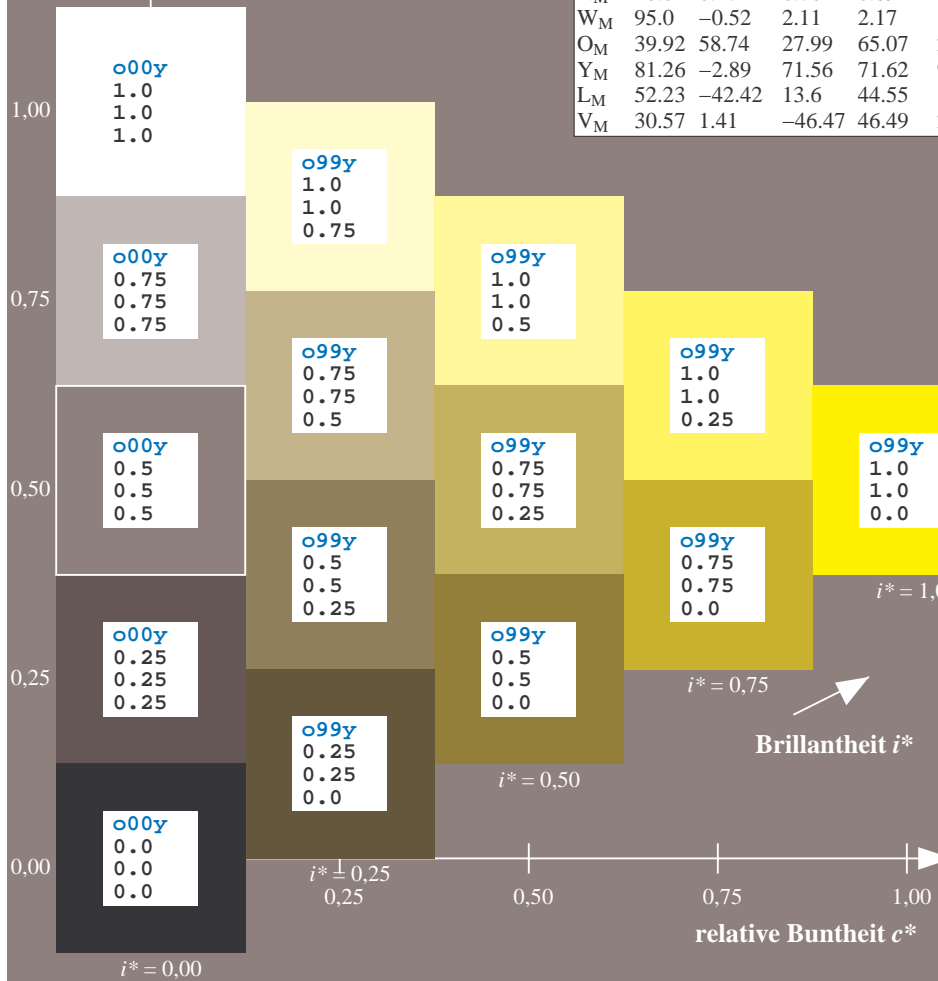
$LAB^*LCH^*_{Ma}: 89 84 96$

$lab^*olv^*_{Ma}: 1.0 1.0 0.0$

$lab^*rgb^*_{Ma}: 0.94 1.0 0.0$

Dreiecks-Helligkeit t^*

ORS20_95a; adaptierte CIELAB-Daten								
u^*_d	$L^*=L^*_a$	a^*_a	b^*_a	$C^*_{ab,a}$	$h^*_{ab,a}$	u^*_e		
o00y	48.71	62.56	37.91	73.15	31	r08j		
o25y	58.6	44.87	49.14	66.54	48	r33j		
o50y	67.52	28.93	59.25	65.94	64	r57j		
o75y	77.05	11.9	70.06	71.06	80	r81j		
y00l	89.25	-9.92	83.91	84.49	97	j06g		
y25l	77.37	-27.05	63.23	68.78	113	j30g		
y50l	68.62	-39.67	48.0	62.27	130	j53g		
y75l	60.79	-50.95	34.38	61.47	146	j76g		
l00c	52.5	-62.91	19.95	66.0	162	g00b		
l50c	56.2	-43.39	-15.92	46.22	200	g34b		
c00v	59.15	-27.87	-44.43	52.45	238	g69b		
c50v	43.5	-1.49	-43.39	43.42	268	g96b		
v00m	29.13	22.73	-42.44	48.14	298	b23r		
v50m	37.32	42.16	-29.08	51.21	325	b47r		
m00o	49.51	71.08	-9.19	71.67	353	b71r		
m50o	49.11	66.86	14.12	68.34	12	b88r		



%Umfang
 $u^*_{rel} = 83$
 %Regularität
 $g^*_{H,rel} = 72$
 $g^*_{C,rel} = 57$

Brillantheit i^*

$i^* = 1.00$

$i^* = 0.80$

$i^* = 0.60$

$i^* = 0.40$

$i^* = 0.20$

$i^* = 0.00$

Ein und Ausgabe: Farbmatisches Drucker-Reflektiv-System ORS20_95a für relativen CIELAB-Bunton $h^* = \text{lab}^*h^* = h_{ab}/360 = 0.314$

$u^*_d = y25l$
 lab^*olv^*

Daten für jede Farbe:

lab^*tch^* und lab^*icu^*

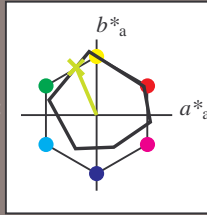
Buntontexte:

$u^*_d = y25l$ $u^*_e = j30g$

Kontrastreduzierungsfaktor:

$c_R = 0.96$

Dreiecks-Helligkeit t^*



ORS20_95a; CIELAB-Daten

u^*_d	$L^*=L^*_a$	a^*_a	b^*_a	C^*_{ab}	h^*_{ab}
O _M	48.71	62.65	39.19	73.89	32
Y _M	89.25	-10.36	85.91	86.53	97
L _M	52.5	-62.88	21.3	66.38	161
C _M	59.15	-27.92	-42.97	51.24	237
V _M	29.13	23.07	-41.51	47.5	299
M _M	49.51	71.15	-7.9	71.59	354
N _M	20.0	0.47	0.76	0.89	58
W _M	95.0	-0.52	2.11	2.17	104
O _M	39.92	58.74	27.99	65.07	25
Y _M	81.26	-2.89	71.56	71.62	92
L _M	52.23	-42.42	13.6	44.55	162
V _M	30.57	1.41	-46.47	46.49	272

Daten für Maximalfarbe (Ma):

$\text{LAB}^*\text{LAB}^*_{Ma}: 77 -27 63$

$\text{LAB}^*\text{LCH}^*_{Ma}: 77 69 113$

$\text{lab}^*olv^*_{Ma}: 0.75 1.0 0.0$

$\text{lab}^*rgb^*_{Ma}: 0.7 1.0 0.0$

Dreiecks-Helligkeit t^*

%Umfang

$u^*_{rel} = 83$

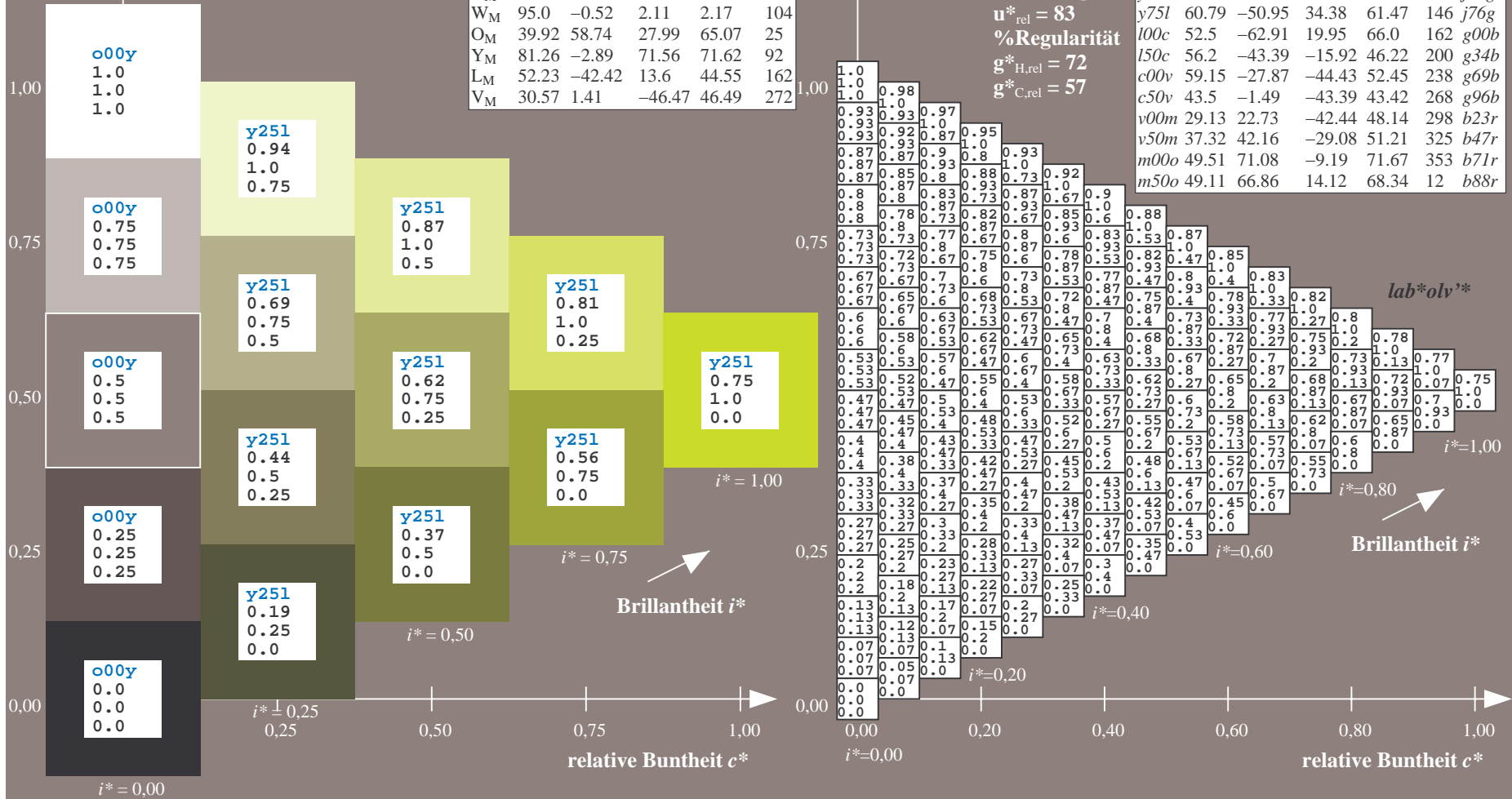
%Regularität

$g^*_{H,rel} = 72$

$g^*_{C,rel} = 57$

ORS20_95a; adaptierte CIELAB-Daten

u^*_d	$L^*=L^*_a$	a^*_a	b^*_a	$C^*_{ab,a}$	$h^*_{ab,a}$	u^*_e
o00y	48.71	62.56	37.91	73.15	31	r08j
o25y	58.6	44.87	49.14	66.54	48	r33j
o50y	67.52	28.93	59.25	65.94	64	r57j
o75y	77.05	11.9	70.06	71.06	80	r81j
y00l	89.25	-9.92	83.91	84.49	97	j06g
y25l	77.37	-27.05	63.23	68.78	113	j30g
y50l	68.62	-39.67	48.0	62.27	130	j53g
y75l	60.79	-50.95	34.38	61.47	146	j76g
l00c	52.5	-62.91	19.95	66.0	162	g00b
l50c	56.2	-43.39	-15.92	46.22	200	g34b
c00v	59.15	-27.87	-44.43	52.45	238	g69b
c50v	43.5	-1.49	-43.39	43.42	268	g96b
v00m	29.13	22.73	-42.44	48.14	298	b23r
v50m	37.32	42.16	-29.08	51.21	325	b47r
m00o	49.51	71.08	-9.19	71.67	353	b71r
m50o	49.11	66.86	14.12	68.34	12	b88r



Ein und Ausgabe: Farbmatisches Drucker-Reflektiv-System ORS20_95a für relativen CIELAB-Bunton $h^* = lab^*h^* = h_{ab}/360 = 0.36$

$u^*_d = y50l$
 lab^*olv^*

Daten für jede Farbe:

lab^*tch^* und lab^*icu^*

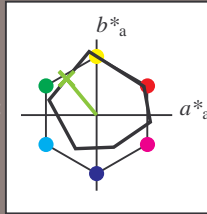
Buntontexte:

$u^*_d = y50l$ $u^*_e = j53g$

Kontrastreduzierungsfaktor:

$c_R = 0.96$

Dreiecks-Helligkeit t^*



ORS20_95a; CIELAB-Daten						
u^*_d	$L^*=L^*_a$	a^*_a	b^*_a	C^*_{ab}	h^*_{ab}	
O _M	48.71	62.65	39.19	73.89	32	
Y _M	89.25	-10.36	85.91	86.53	97	
L _M	52.5	-62.88	21.3	66.38	161	
C _M	59.15	-27.92	-42.97	51.24	237	
V _M	29.13	23.07	-41.51	47.5	299	
M _M	49.51	71.15	-7.9	71.59	354	
N _M	20.0	0.47	0.76	0.89	58	
W _M	95.0	-0.52	2.11	2.17	104	
O _M	39.92	58.74	27.99	65.07	25	
Y _M	81.26	-2.89	71.56	71.62	92	
L _M	52.23	-42.42	13.6	44.55	162	
V _M	30.57	1.41	-46.47	46.49	272	

Daten für Maximalfarbe (Ma):

$LAB^*LAB^*_{Ma}: 69 -40 48$

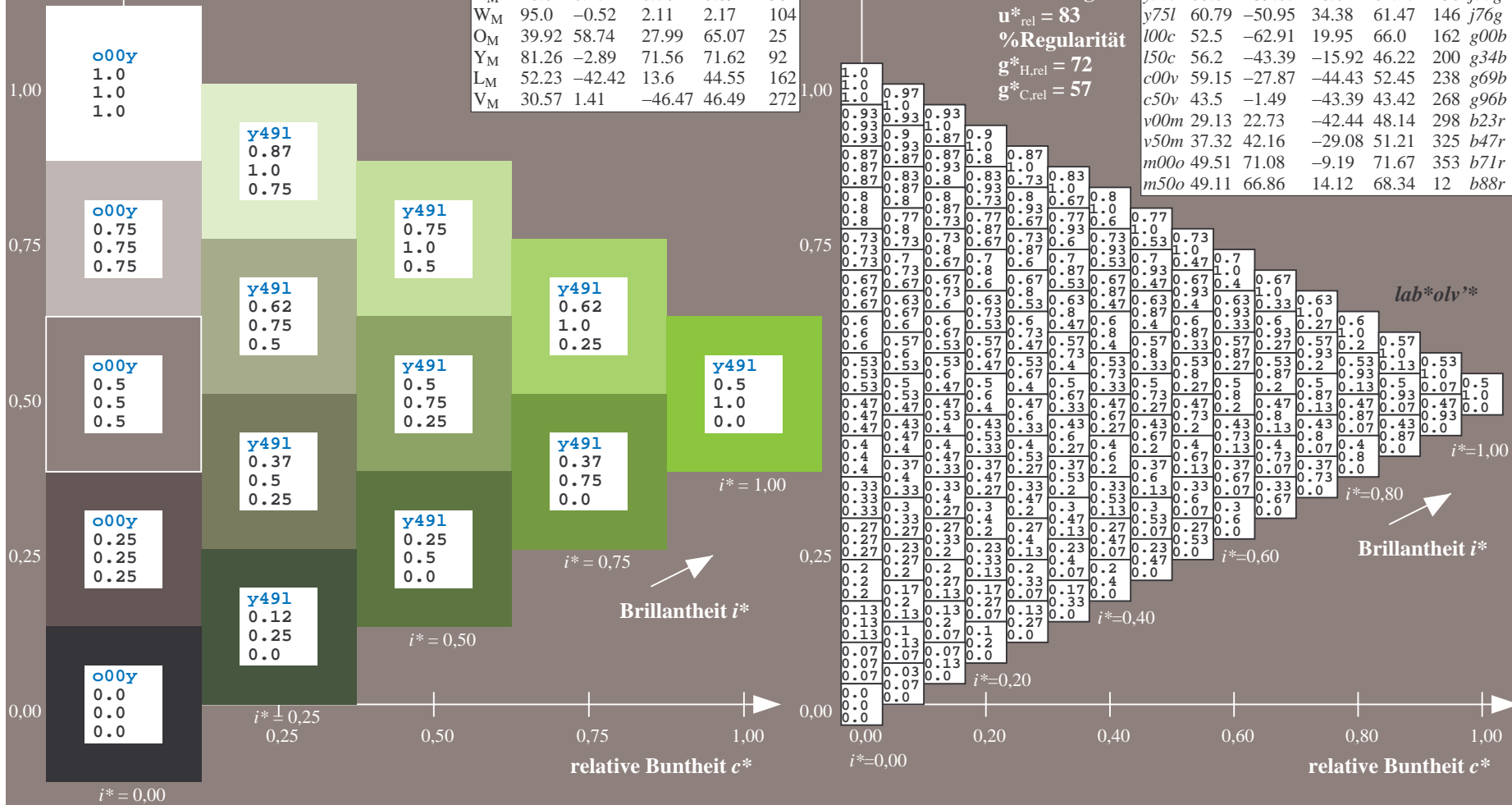
$LAB^*LCH^*_{Ma}: 69 62 129$

$lab^*olv^*_{Ma}: 0.5 1.0 0.0$

$lab^*rgb^*_{Ma}: 0.47 1.0 0.0$

Dreiecks-Helligkeit t^*

ORS20_95a; adaptierte CIELAB-Daten								
u^*_d	$L^*=L^*_a$	a^*_a	b^*_a	$C^*_{ab,a}$	$h^*_{ab,a}$	u^*_e		
o00y	48.71	62.56	37.91	73.15	31	r08j		
o25y	58.6	44.87	49.14	66.54	48	r33j		
o50y	67.52	28.93	59.25	65.94	64	r57j		
o75y	77.05	11.9	70.06	71.06	80	r81j		
y00l	89.25	-9.92	83.91	84.49	97	j06g		
y25l	77.37	-27.05	63.23	68.78	113	j30g		
y50l	68.62	-39.67	48.0	62.27	130	j53g		
y75l	60.79	-50.95	34.38	61.47	146	j76g		
l00c	52.5	-62.91	19.95	66.0	162	g00b		
l50c	56.2	-43.39	-15.92	46.22	200	g34b		
c00v	59.15	-27.87	-44.43	52.45	238	g69b		
c50v	43.5	-1.49	-43.39	43.42	268	g96b		
v00m	29.13	22.73	-42.44	48.14	298	b23r		
v50m	37.32	42.16	-29.08	51.21	325	b47r		
m00o	49.51	71.08	-9.19	71.67	353	b71r		
m50o	49.11	66.86	14.12	68.34	12	b88r		



Ein und Ausgabe: Farbmatisches Drucker-Reflektiv-System ORS20_95a für relativen CIELAB-Bunton $h^* = lab^*h^* = h_{ab}/360 = 0.406$

$u^*_d = y75l$

Daten für jede Farbe:

lab^*ch^* und lab^*icu^*

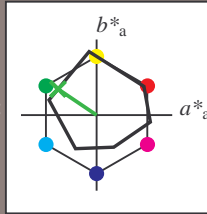
Buntontexte:

$u^*_d = y75l$ $u^*_e = j76g$

Kontrastreduzierungsfaktor:

$c_R = 0.96$

Dreiecks-Helligkeit t^*



ORS20_95a; CIELAB-Daten						
u^*_d	$L^*=L^*_a$	a^*_a	b^*_a	C^*_{ab}	h^*_{ab}	
O _M	48.71	62.65	39.19	73.89	32	
Y _M	89.25	-10.36	85.91	86.53	97	
L _M	52.5	-62.88	21.3	66.38	161	
C _M	59.15	-27.92	-42.97	51.24	237	
V _M	29.13	23.07	-41.51	47.5	299	
M _M	49.51	71.15	-7.9	71.59	354	
N _M	20.0	0.47	0.76	0.89	58	
W _M	95.0	-0.52	2.11	2.17	104	
O _M	39.92	58.74	27.99	65.07	25	
Y _M	81.26	-2.89	71.56	71.62	92	
L _M	52.23	-42.42	13.6	44.55	162	
V _M	30.57	1.41	-46.47	46.49	272	

Daten für Maximalfarbe (Ma):

$LAB^*LAB^*_{Ma}$: 61 -51 34

$LAB^*LCH^*_{Ma}$: 61 61 145

$lab^*olv^*_{Ma}$: 0.25 1.0 0.0

$lab^*rgb^*_{Ma}$: 0.23 1.0 0.0

Dreiecks-Helligkeit t^*

%Umfang

$u^*_{rel} = 83$

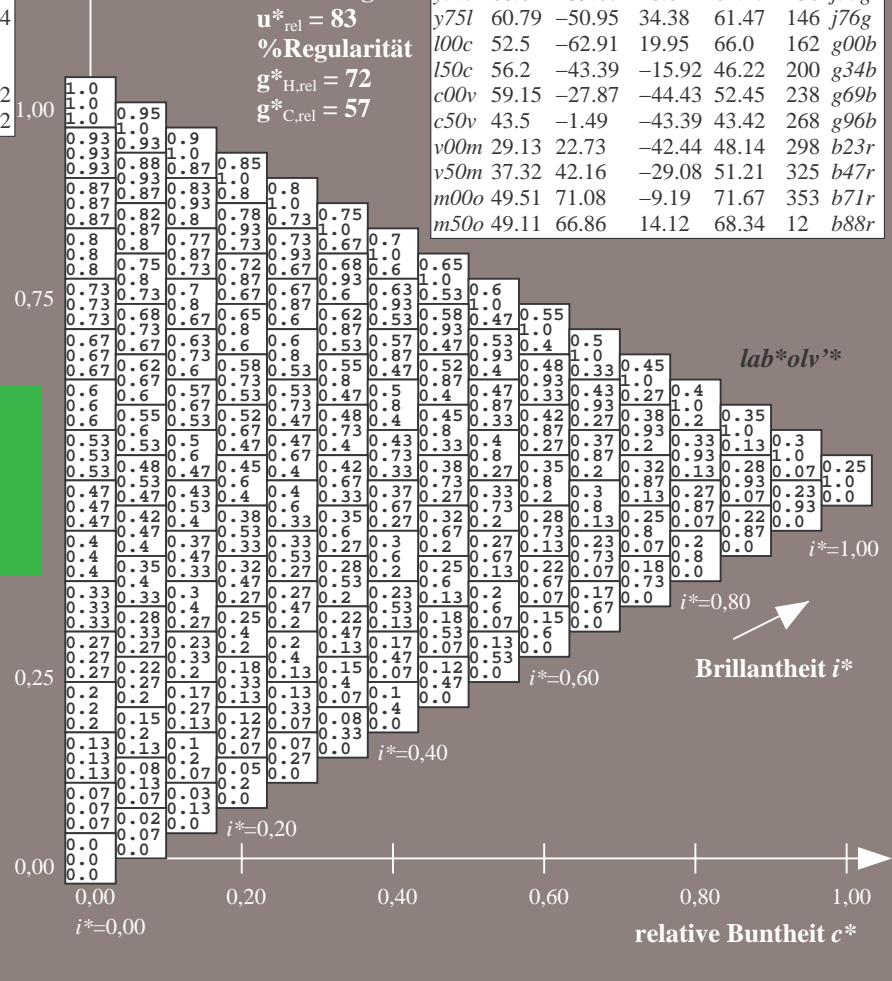
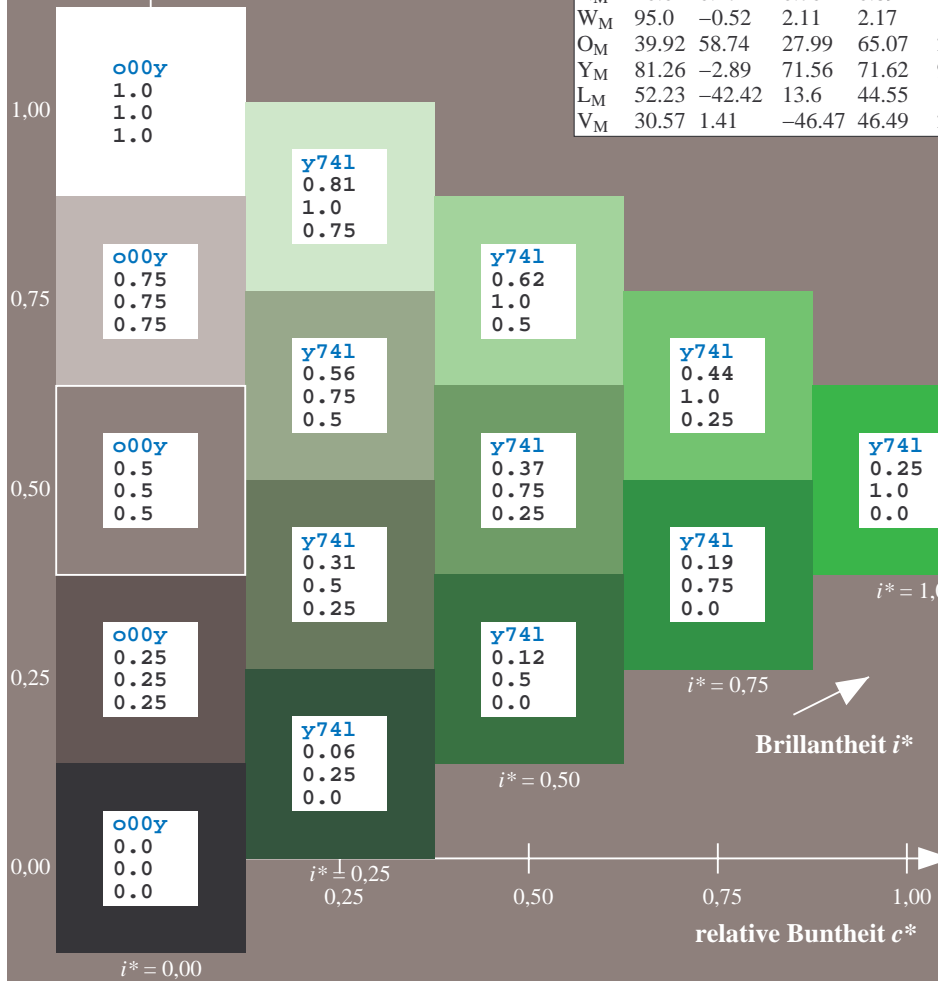
%Regularität

$g^*_{H,rel} = 72$

$g^*_{C,rel} = 57$

ORS20_95a; adaptierte CIELAB-Daten

u^*_d	$L^*=L^*_a$	a^*_a	b^*_a	$C^*_{ab,a}$	$h^*_{ab,a}$	u^*_e
o00y	48.71	62.56	37.91	73.15	31	r08j
o25y	58.6	44.87	49.14	66.54	48	r33j
o50y	67.52	28.93	59.25	65.94	64	r57j
o75y	77.05	11.9	70.06	71.06	80	r81j
y00l	89.25	-9.92	83.91	84.49	97	j06g
y25l	77.37	-27.05	63.23	68.78	113	j30g
y50l	68.62	-39.67	48.0	62.27	130	j53g
y75l	60.79	-50.95	34.38	61.47	146	j76g
l00c	52.5	-62.91	19.95	66.0	162	g00b
l50c	56.2	-43.39	-15.92	46.22	200	g34b
c00v	59.15	-27.87	-44.43	52.45	238	g69b
c50v	43.5	-1.49	-43.39	43.42	268	g96b
v00m	29.13	22.73	-42.44	48.14	298	b23r
v50m	37.32	42.16	-29.08	51.21	325	b47r
m00o	49.51	71.08	-9.19	71.67	353	b71r
m50o	49.11	66.86	14.12	68.34	12	b88r



Ein und Ausgabe: Farbmatisches Drucker-Reflektiv-System ORS20_95a für relativen CIELAB-Bunton $h^* = lab^*h^* = h_{ab}/360 = 0.451$

$u^*_d = 100c$

Daten für jede Farbe:

lab^*ch^* und lab^*icu^*

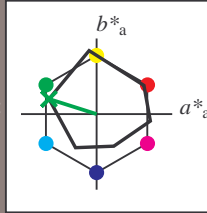
Buntontexte:

$u^*_d = 100c$ $u^*_e = g00b$

Kontrastreduzierungsfaktor:

$c_R = 0.96$

Dreiecks-Helligkeit t^*



ORS20_95a; CIELAB-Daten

u^*_d	$L^*=L^*$	a^*	b^*	C^*_{ab}	h^*_{ab}
O _M	48.71	62.65	39.19	73.89	32
Y _M	89.25	-10.36	85.91	86.53	97
L _M	52.5	-62.88	21.3	66.38	161
C _M	59.15	-27.92	-42.97	51.24	237
V _M	29.13	23.07	-41.51	47.5	299
M _M	49.51	71.15	-7.9	71.59	354
N _M	20.0	0.47	0.76	0.89	58
W _M	95.0	-0.52	2.11	2.17	104
O _M	39.92	58.74	27.99	65.07	25
Y _M	81.26	-2.89	71.56	71.62	92
L _M	52.23	-42.42	13.6	44.55	162
V _M	30.57	1.41	-46.47	46.49	272

Daten für Maximalfarbe (Ma):

$LAB^*LAB^*_{Ma}: 52 -63 20$

$LAB^*LCH^*_{Ma}: 52 66 162$

$lab^*olv^*_{Ma}: 0.0 1.0 0.0$

$lab^*rgb^*_{Ma}: 0.0 1.0 0.0$

Dreiecks-Helligkeit t^*

%Umfang

$u^*_{rel} = 83$

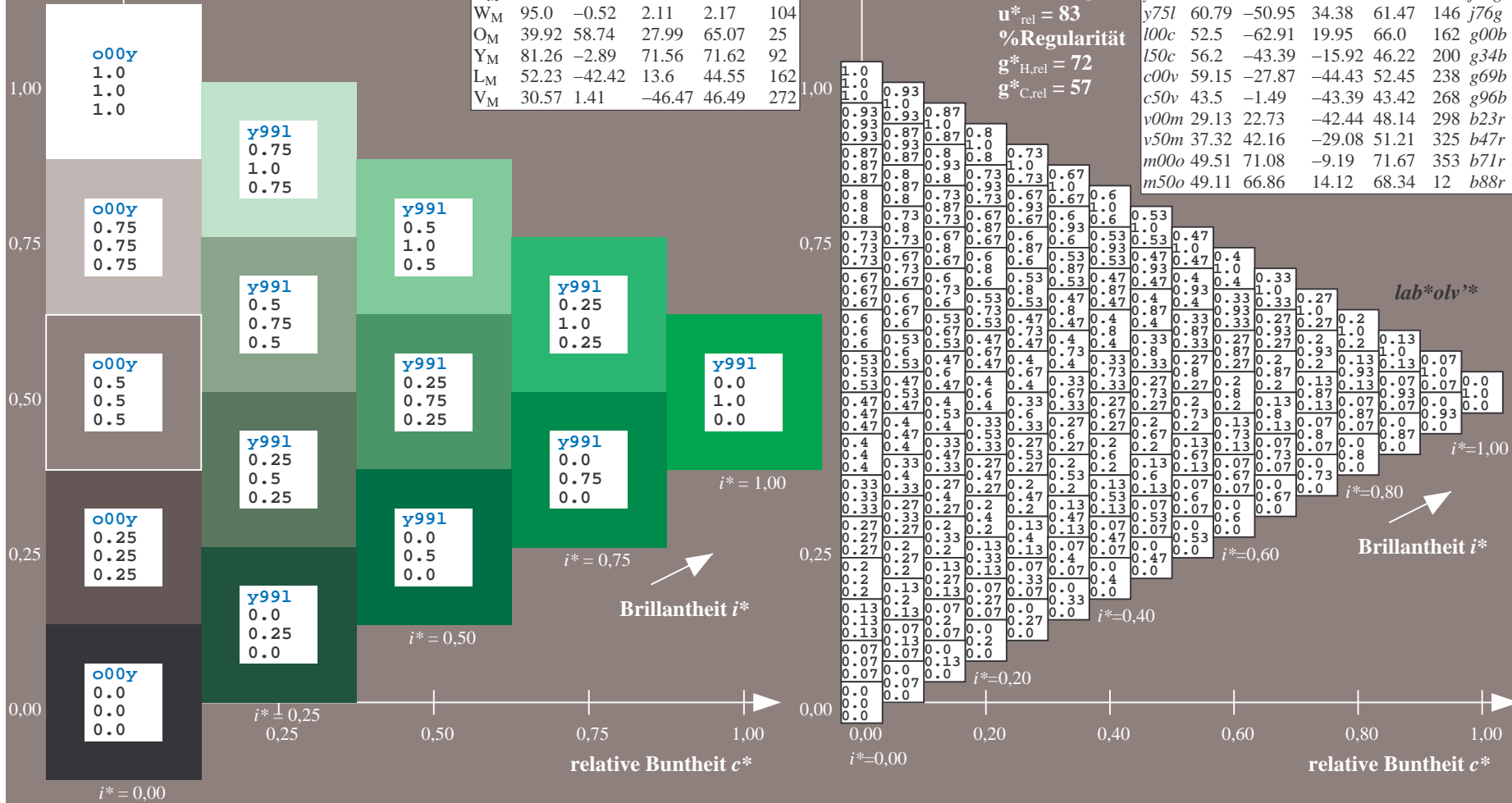
%Regularität

$g^*_{H,rel} = 72$

$g^*_{C,rel} = 57$

ORS20_95a; adaptierte CIELAB-Daten

u^*_d	$L^*=L^*_a$	a^*_a	b^*_a	$C^*_{ab,a}$	$h^*_{ab,a}$	u^*_e
o00y	48.71	62.56	37.91	73.15	31	r08j
o25y	58.6	44.87	49.14	66.54	48	r33j
o50y	67.52	28.93	59.25	65.94	64	r57j
o75y	77.05	11.9	70.06	71.06	80	r81j
y00l	89.25	-9.92	83.91	84.49	97	j06g
y25l	77.37	-27.05	63.23	68.78	113	j30g
y50l	68.62	-39.67	48.0	62.27	130	j53g
y75l	60.79	-50.95	34.38	61.47	146	j76g
l00c	52.5	-62.91	19.95	66.0	162	g00b
l50c	56.2	-43.39	-15.92	46.22	200	g34b
c00v	59.15	-27.87	-44.43	52.45	238	g69b
c50v	43.5	-1.49	-43.39	43.42	268	g96b
v00m	29.13	22.73	-42.44	48.14	298	b23r
v50m	37.32	42.16	-29.08	51.21	325	b47r
m00o	49.51	71.08	-9.19	71.67	353	b71r
m50o	49.11	66.86	14.12	68.34	12	b88r



Ein und Ausgabe: Farbmatisches Drucker-Reflektiv-System ORS20_95a für relativen CIELAB-Bunton $h^* = lab^*h^* = h_{ab}/360 = 0.556$

$u^*_d = 150c$

Daten für jede Farbe:

lab^*ch^* und lab^*icu^*

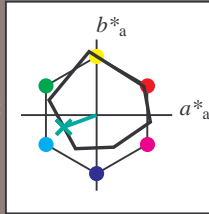
Buntontexte:

$u^*_d = 150c$ $u^*_e = g34b$

Kontrastreduzierungsfaktor:

$c_R = 0.96$

Dreiecks-Helligkeit t^*



ORS20_95a; CIELAB-Daten

u^*_d	$L^*=L^*_a$	a^*_a	b^*_a	C^*_{ab}	h^*_{ab}
O _M	48.71	62.65	39.19	73.89	32
Y _M	89.25	-10.36	85.91	86.53	97
L _M	52.5	-62.88	21.3	66.38	161
C _M	59.15	-27.92	-42.97	51.24	237
V _M	29.13	23.07	-41.51	47.5	299
M _M	49.51	71.15	-7.9	71.59	354
N _M	20.0	0.47	0.76	0.89	58
W _M	95.0	-0.52	2.11	2.17	104
O _M	39.92	58.74	27.99	65.07	25
Y _M	81.26	-2.89	71.56	71.62	92
L _M	52.23	-42.42	13.6	44.55	162
V _M	30.57	1.41	-46.47	46.49	272

Daten für Maximalfarbe (Ma):

$LAB^*LAB^*_Ma: 56 -43 -16$

$LAB^*LCH^*_Ma: 56 46 200$

$lab^*olv^*_Ma: 0.0 1.0 0.5$

$lab^*rgb^*_Ma: 0.0 1.0 0.69$

Dreiecks-Helligkeit t^*

%Umfang

$u^*_{rel} = 83$

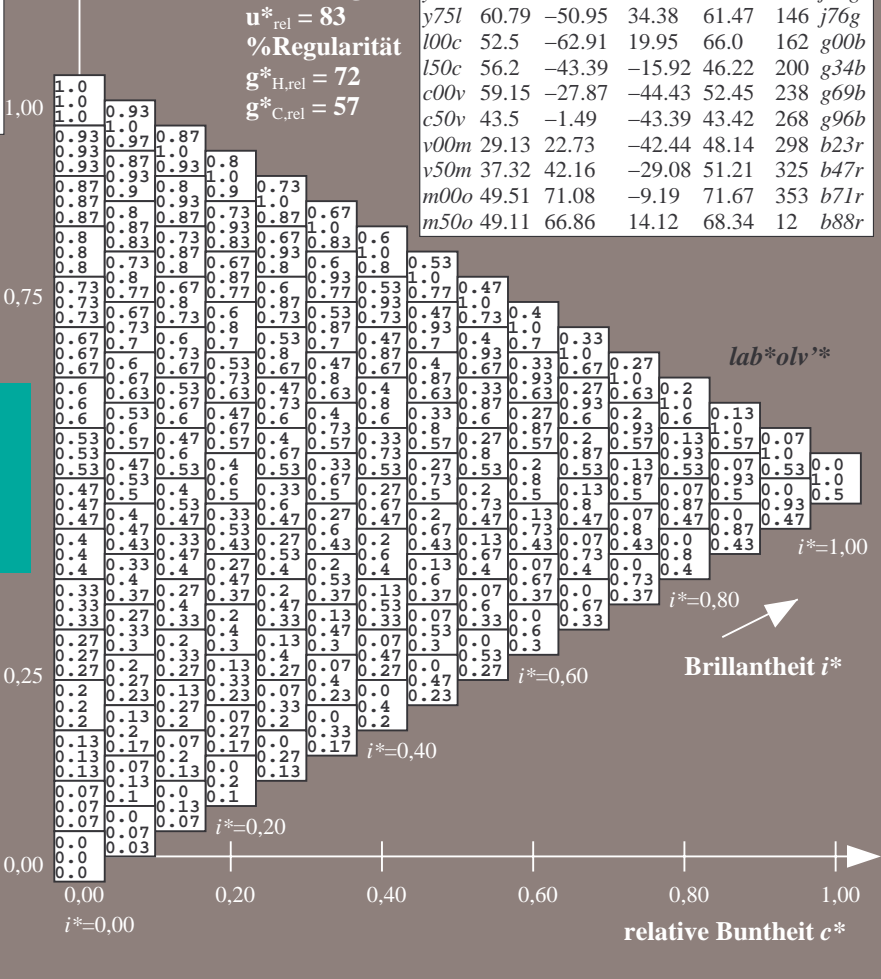
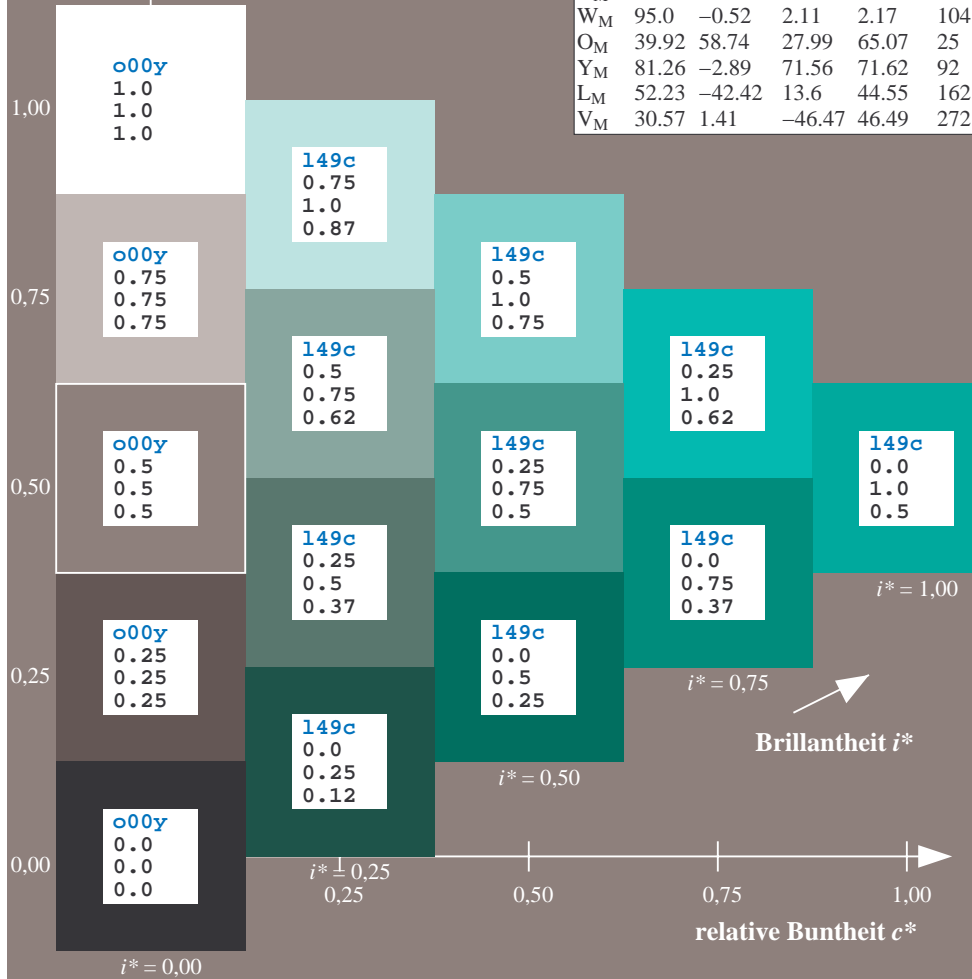
%Regularität

$g^*_{H,rel} = 72$

$g^*_{C,rel} = 57$

ORS20_95a; adaptierte CIELAB-Daten

u^*_d	$L^*=L^*_a$	a^*_a	b^*_a	$C^*_{ab,a}$	$h^*_{ab,a}$	u^*_e
o00y	48.71	62.56	37.91	73.15	31	r08j
o25y	58.6	44.87	49.14	66.54	48	r33j
o50y	67.52	28.93	59.25	65.94	64	r57j
o75y	77.05	11.9	70.06	71.06	80	r81j
y00l	89.25	-9.92	83.91	84.49	97	j06g
y25l	77.37	-27.05	63.23	68.78	113	j30g
y50l	68.62	-39.67	48.0	62.27	130	j53g
y75l	60.79	-50.95	34.38	61.47	146	j76g
l00c	52.5	-62.91	19.95	66.0	162	g00b
l50c	56.2	-43.39	-15.92	46.22	200	g34b
c00v	59.15	-27.87	-44.43	52.45	238	g69b
c50v	43.5	-1.49	-43.39	43.42	268	g96b
v00m	29.13	22.73	-42.44	48.14	298	b23r
v50m	37.32	42.16	-29.08	51.21	325	b47r
m00o	49.51	71.08	-9.19	71.67	353	b71r
m50o	49.11	66.86	14.12	68.34	12	b88r



Ein und Ausgabe: Farbmatisches Drucker-Reflektiv-System ORS20_95a für relativen CIELAB-Bunton $h^* = lab^*h^* = h_{ab}/360 = 0.661$

$u^*_d = c00v$

Daten für jede Farbe:

lab^*ch^* und lab^*icu^*

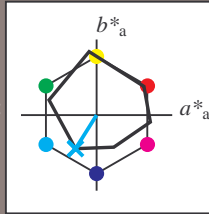
Buntontexte:

$u^*_d = c00v$ $u^*_e = g69b$

Kontrastreduzierungsfaktor:

$c_R = 0.96$

Dreiecks-Helligkeit t^*



ORS20_95a; CIELAB-Daten

	u^*_d	$L^*=L^*_a$	a^*	b^*	C^*_{ab}	h^*_{ab}
O _M	48.71	62.65	39.19	73.89	32	
Y _M	89.25	-10.36	85.91	86.53	97	
L _M	52.5	-62.88	21.3	66.38	161	
C _M	59.15	-27.92	-42.97	51.24	237	
V _M	29.13	23.07	-41.51	47.5	299	
M _M	49.51	71.15	-7.9	71.59	354	
N _M	20.0	0.47	0.76	0.89	58	
W _M	95.0	-0.52	2.11	2.17	104	
O _M	39.92	58.74	27.99	65.07	25	
Y _M	81.26	-2.89	71.56	71.62	92	
L _M	52.23	-42.42	13.6	44.55	162	
V _M	30.57	1.41	-46.47	46.49	272	

Daten für Maximalfarbe (Ma):

$LAB^*LAB^*_{Ma}: 59 -28 -44$

$LAB^*LCH^*_{Ma}: 59 52 237$

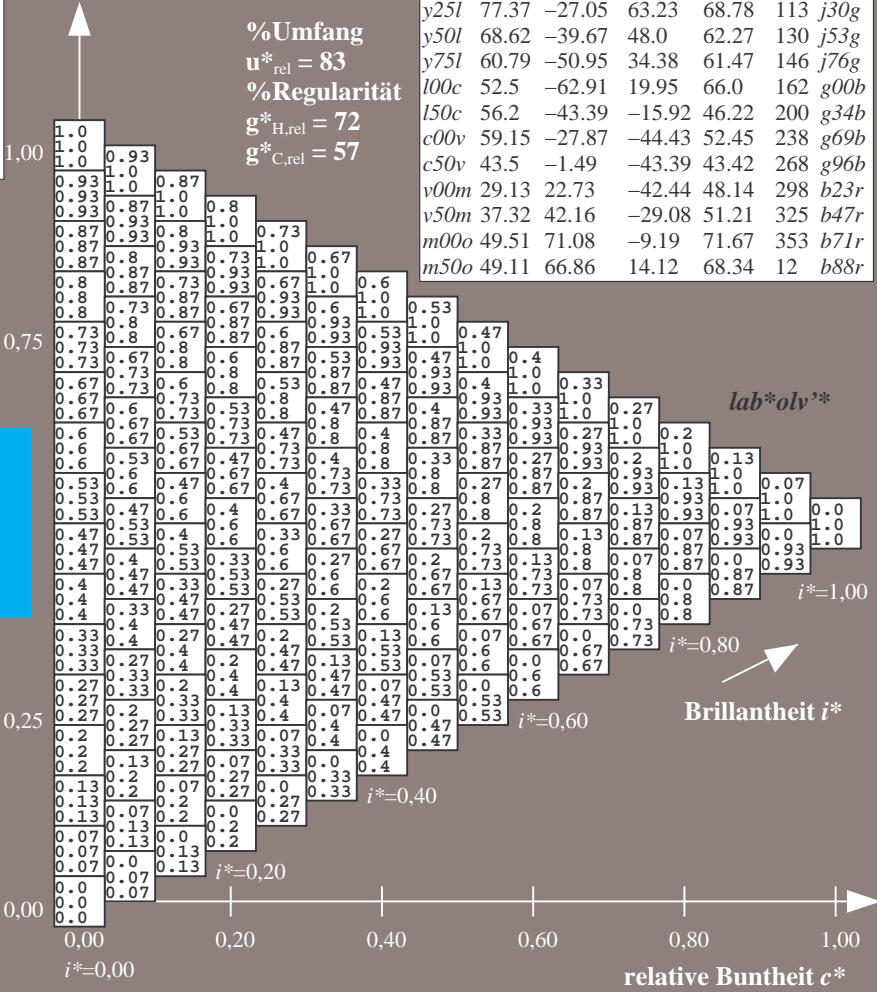
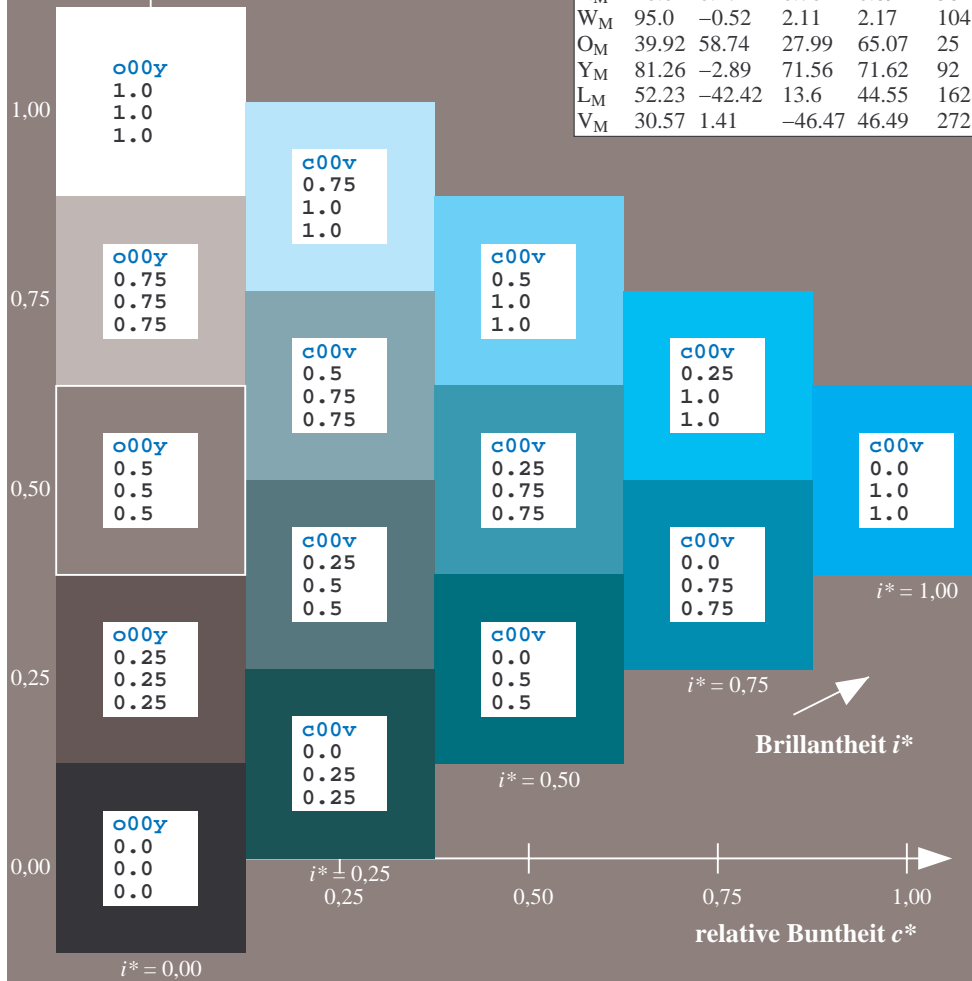
$lab^*olv^*_{Ma}: 0.0 1.0 1.0$

$lab^*rgb^*_{Ma}: 0.0 0.62 1.0$

Dreiecks-Helligkeit t^*

ORS20_95a; adaptierte CIELAB-Daten

	u^*_d	$L^*=L^*_a$	a^*_a	b^*_a	$C^*_{ab,a}$	$h^*_{ab,a}$	u^*_e
o00y	48.71	62.56	37.91	73.15	31	r08j	
o25y	58.6	44.87	49.14	66.54	48	r33j	
o50y	67.52	28.93	59.25	65.94	64	r57j	
o75y	77.05	11.9	70.06	71.06	80	r8lj	
y00l	89.25	-9.92	83.91	84.49	97	j06g	
y25l	77.37	-27.05	63.23	68.78	113	j30g	
y50l	68.62	-39.67	48.0	62.27	130	j53g	
y75l	60.79	-50.95	34.38	61.47	146	j76g	
l00c	52.5	-62.91	19.95	66.0	162	g00b	
l50c	56.2	-43.39	-15.92	46.22	200	g34b	
c00v	59.15	-27.87	-44.43	52.45	238	g69b	
c50v	43.5	-1.49	-43.39	43.42	268	g96b	
v00m	29.13	22.73	-42.44	48.14	298	b23r	
v50m	37.32	42.16	-29.08	51.21	325	b47r	
m00o	49.51	71.08	-9.19	71.67	353	b71r	
m50o	49.11	66.86	14.12	68.34	12	b88r	



Ein und Ausgabe: Farbmatisches Drucker-Reflektiv-System ORS20_95a für relativen CIELAB-Bunton $h^* = lab^*h^* = h_{ab}/360 = 0.745$

$u^*_d = c50v$

Daten für jede Farbe:

lab^*ch^* und lab^*icu^*

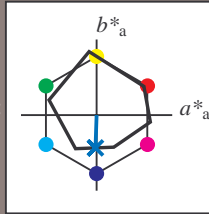
Buntontexte:

$u^*_d = c50v$ $u^*_e = g96b$

Kontrastreduzierungsfaktor:

$c_R = 0.96$

Dreiecks-Helligkeit t^*



ORS20_95a; CIELAB-Daten

u^*_d	$L^*=L^*_a$	a^*_a	b^*_a	C^*_{ab}	h^*_{ab}
O _M	48.71	62.65	39.19	73.89	32
Y _M	89.25	-10.36	85.91	86.53	97
L _M	52.5	-62.88	21.3	66.38	161
C _M	59.15	-27.92	-42.97	51.24	237
V _M	29.13	23.07	-41.51	47.5	299
M _M	49.51	71.15	-7.9	71.59	354
N _M	20.0	0.47	0.76	0.89	58
W _M	95.0	-0.52	2.11	2.17	104
O _M	39.92	58.74	27.99	65.07	25
Y _M	81.26	-2.89	71.56	71.62	92
L _M	52.23	-42.42	13.6	44.55	162
V _M	30.57	1.41	-46.47	46.49	272

Daten für Maximalfarbe (Ma):

$LAB^*LAB^*_{Ma}$: 43 -1 -43

$LAB^*LCH^*_{Ma}$: 43 43 268

$lab^*olv^*_{Ma}$: 0.0 0.5 1.0

$lab^*rgb^*_{Ma}$: 0.0 0.07 1.0

Dreiecks-Helligkeit t^*

%Umfang

$u^*_{rel} = 83$

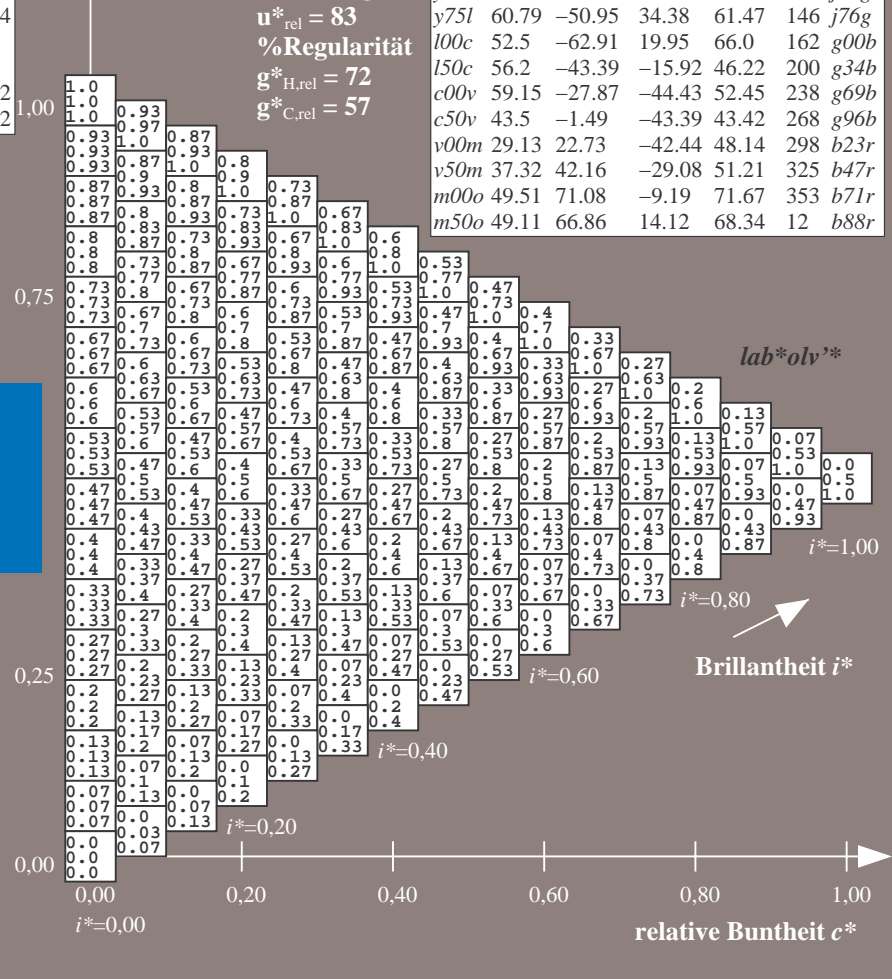
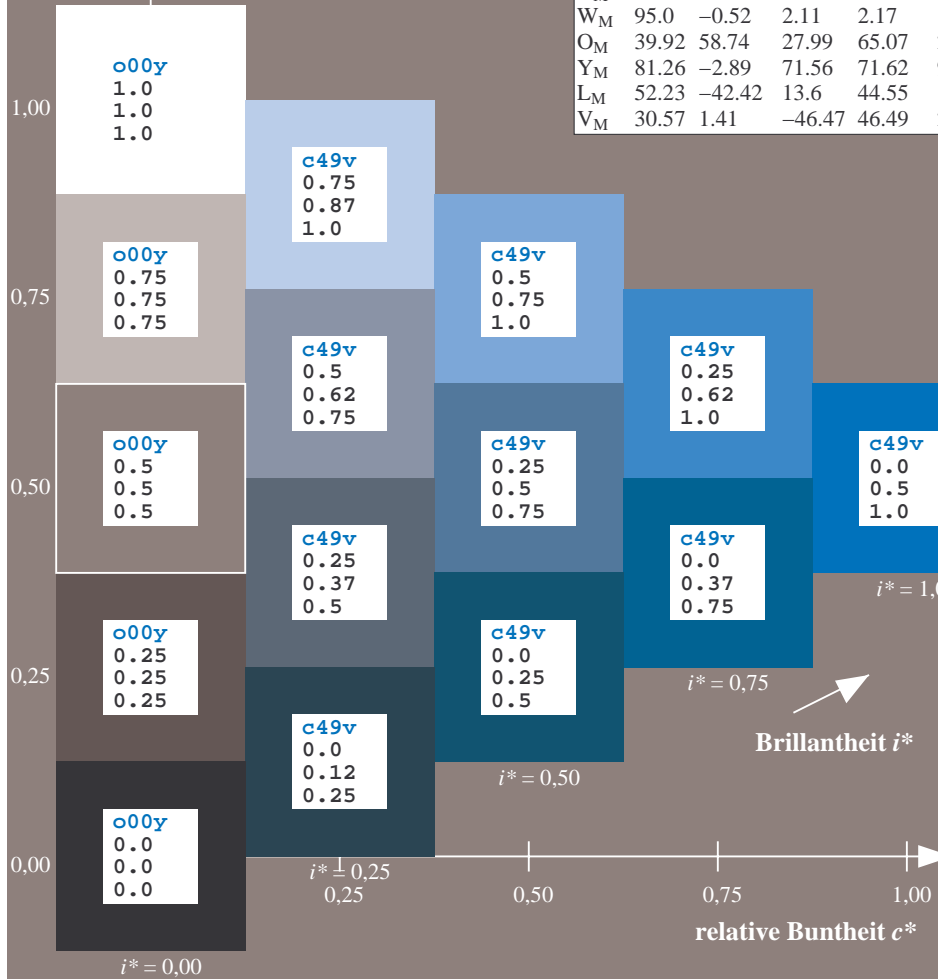
%Regularität

$g^*_{H,rel} = 72$

$g^*_{C,rel} = 57$

ORS20_95a; adaptierte CIELAB-Daten

u^*_d	$L^*=L^*_a$	a^*_a	b^*_a	$C^*_{ab,a}$	$h^*_{ab,a}$	u^*_e
o00y	48.71	62.56	37.91	73.15	31	r08j
o25y	58.6	44.87	49.14	66.54	48	r33j
o50y	67.52	28.93	59.25	65.94	64	r57j
o75y	77.05	11.9	70.06	71.06	80	r81j
y00l	89.25	-9.92	83.91	84.49	97	j06g
y25l	77.37	-27.05	63.23	68.78	113	j30g
y50l	68.62	-39.67	48.0	62.27	130	j53g
y75l	60.79	-50.95	34.38	61.47	146	j76g
l00c	52.5	-62.91	19.95	66.0	162	g00b
l50c	56.2	-43.39	-15.92	46.22	200	g34b
c00v	59.15	-27.87	-44.43	52.45	238	g69b
c50v	43.5	-1.49	-43.39	43.42	268	g96b
v00m	29.13	22.73	-42.44	48.14	298	b23r
v50m	37.32	42.16	-29.08	51.21	325	b47r
m00o	49.51	71.08	-9.19	71.67	353	b71r
m50o	49.11	66.86	14.12	68.34	12	b88r



Ein und Ausgabe: Farbmatisches Drucker-Reflektiv-System ORS20_95a für relativen CIELAB-Bunton $h^* = lab^*h^* = h_{ab}/360 = 0.828$

$u^*_d = v00m$
 lab^*olv^*

Daten für jede Farbe:

lab^*tch^* und lab^*icu^*

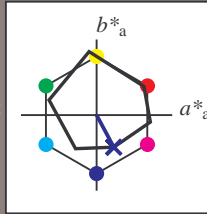
Buntontexte:

$u^*_d = v00m$ $u^*_e = b23r$

Kontrastreduzierungsfaktor:

$c_R = 0.96$

Dreiecks-Helligkeit t^*



ORS20_95a; CIELAB-Daten

	u^*_d	$L^*=L^*$	a^*	b^*	C^*_{ab}	h^*_{ab}
O _M	48.71	62.65	39.19	73.89	32	
Y _M	89.25	-10.36	85.91	86.53	97	
L _M	52.5	-62.88	21.3	66.38	161	
C _M	59.15	-27.92	-42.97	51.24	237	
V _M	29.13	23.07	-41.51	47.5	299	
M _M	49.51	71.15	-7.9	71.59	354	
N _M	20.0	0.47	0.76	0.89	58	
W _M	95.0	-0.52	2.11	2.17	104	
O _M	39.92	58.74	27.99	65.07	25	
Y _M	81.26	-2.89	71.56	71.62	92	
L _M	52.23	-42.42	13.6	44.55	162	
V _M	30.57	1.41	-46.47	46.49	272	

Daten für Maximalfarbe (Ma):

$LAB^*LAB^*_{Ma}: 29\ 23\ -42$

$LAB^*LCH^*_{Ma}: 29\ 48\ 298$

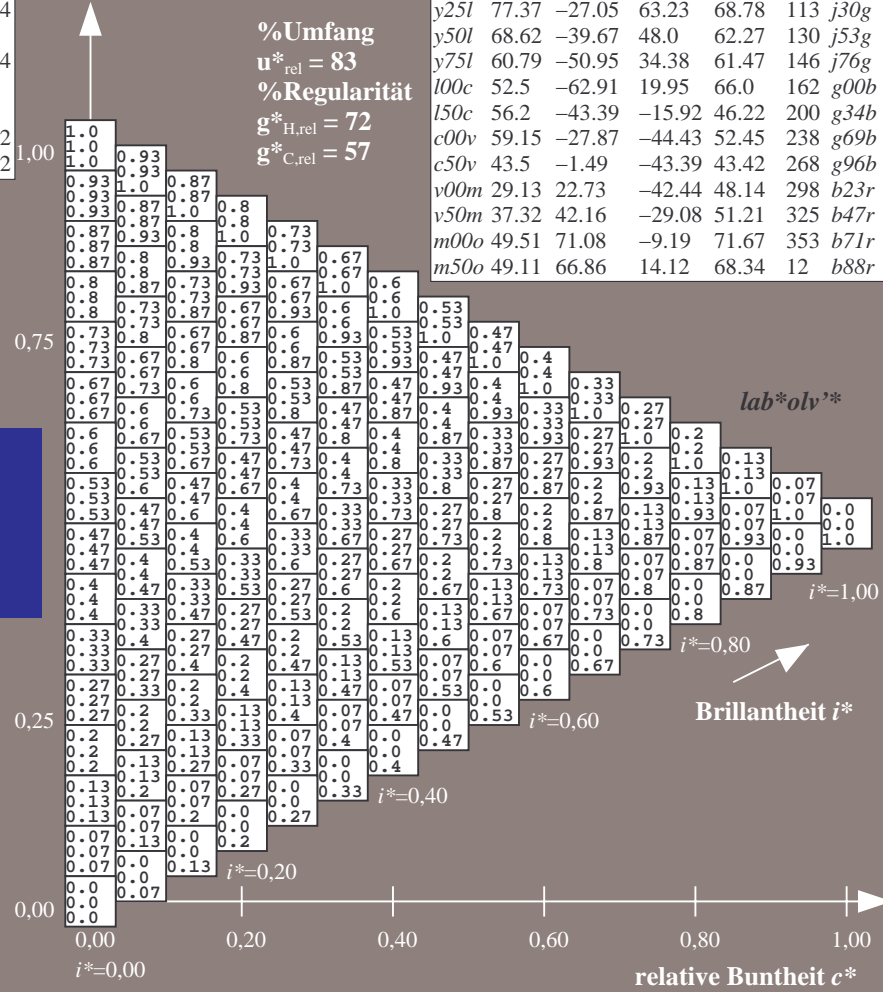
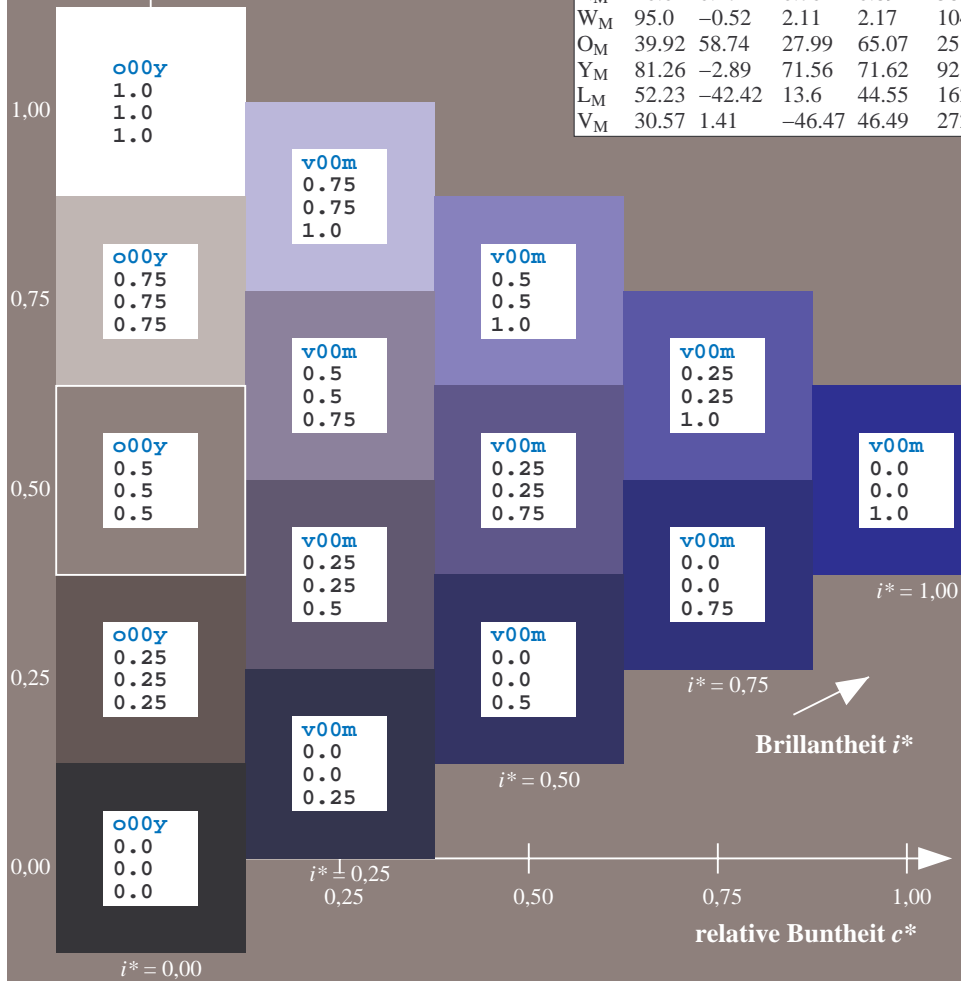
$lab^*olv^*_{Ma}: 0.0\ 0.0\ 1.0$

$lab^*rgb^*_{Ma}: 0.46\ 0.0\ 1.0$

Dreiecks-Helligkeit t^*

ORS20_95a; adaptierte CIELAB-Daten

	u^*_d	$L^*=L^*_a$	a^*_a	b^*_a	$C^*_{ab,a}$	$h^*_{ab,a}$	u^*_e
o00y	48.71	62.56	37.91	73.15	31	r08j	
o25y	58.6	44.87	49.14	66.54	48	r33j	
o50y	67.52	28.93	59.25	65.94	64	r57j	
o75y	77.05	11.9	70.06	71.06	80	r81j	
y00l	89.25	-9.92	83.91	84.49	97	j06g	
y25l	77.37	-27.05	63.23	68.78	113	j30g	
y50l	68.62	-39.67	48.0	62.27	130	j53g	
y75l	60.79	-50.95	34.38	61.47	146	j76g	
l00c	52.5	-62.91	19.95	66.0	162	g00b	
l50c	56.2	-43.39	-15.92	46.22	200	g34b	
c00v	59.15	-27.87	-44.43	52.45	238	g69b	
c50v	43.5	-1.49	-43.39	43.42	268	g96b	
v00m	29.13	22.73	-42.44	48.14	298	b23r	
v50m	37.32	42.16	-29.08	51.21	325	b47r	
m00o	49.51	71.08	-9.19	71.67	353	b71r	
m50o	49.11	66.86	14.12	68.34	12	b88r	



%Umfang
 $u^*_{rel} = 83$
%Regularität
 $g^*_{H,rel} = 72$
 $g^*_{C,rel} = 57$

Ein und Ausgabe: Farbmatisches Drucker-Reflektiv-System ORS20_95a für relativen CIELAB-Bunton $h^* = lab^*h^* = h_{ab}/360 = 0.904$

$u^*_d = v50m$

Daten für jede Farbe:

lab^*tch^* und lab^*icu^*

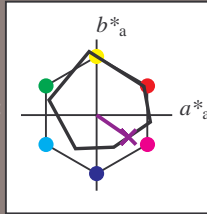
Buntontexte:

$u^*_d = v50m$ $u^*_e = b47r$

Kontrastreduzierungsfaktor:

$c_R = 0.96$

Dreiecks-Helligkeit t^*



ORS20_95a; CIELAB-Daten

	u^*_d	$L^*=L^*_a$	a^*_a	b^*_a	C^*_{ab}	h^*_{ab}
O _M	48.71	62.65	39.19	73.89	32	
Y _M	89.25	-10.36	85.91	86.53	97	
L _M	52.5	-62.88	21.3	66.38	161	
C _M	59.15	-27.92	-42.97	51.24	237	
V _M	29.13	23.07	-41.51	47.5	299	
M _M	49.51	71.15	-7.9	71.59	354	
N _M	20.0	0.47	0.76	0.89	58	
W _M	95.0	-0.52	2.11	2.17	104	
O _M	39.92	58.74	27.99	65.07	25	
Y _M	81.26	-2.89	71.56	71.62	92	
L _M	52.23	-42.42	13.6	44.55	162	
V _M	30.57	1.41	-46.47	46.49	272	

Daten für Maximalfarbe (Ma):

$LAB^*LAB^*_{Ma}: 37\ 42\ -29$

$LAB^*LCH^*_{Ma}: 37\ 51\ 325$

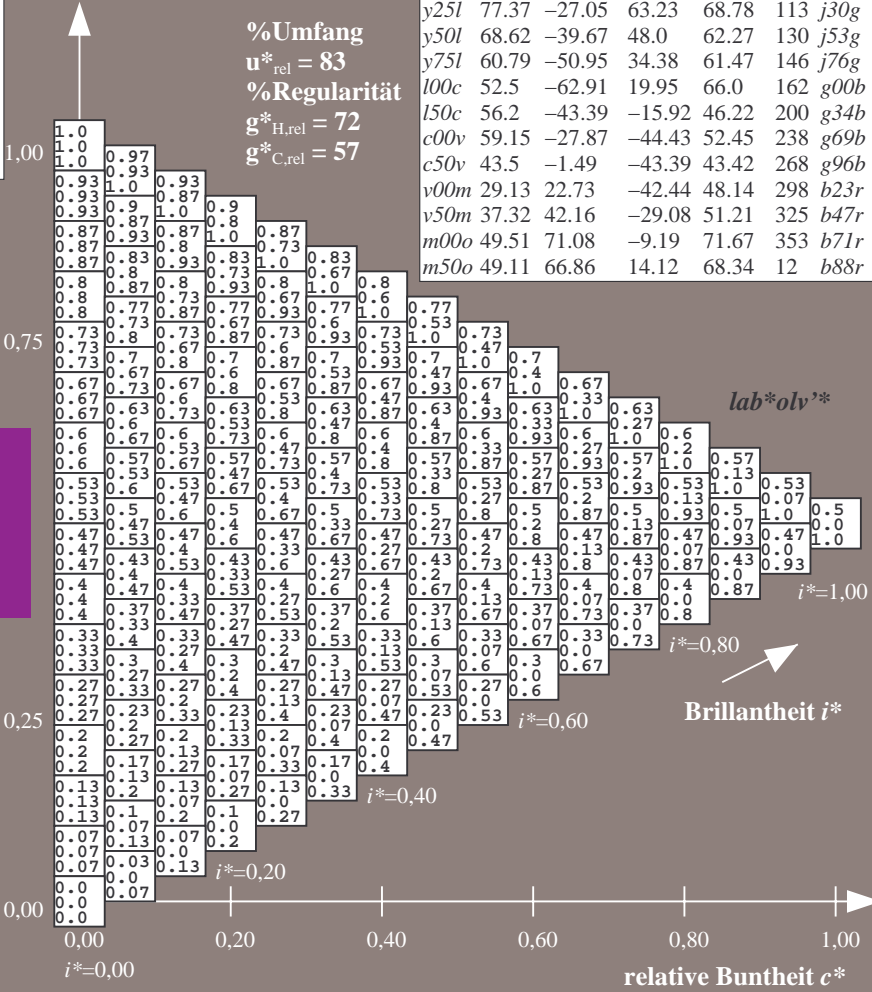
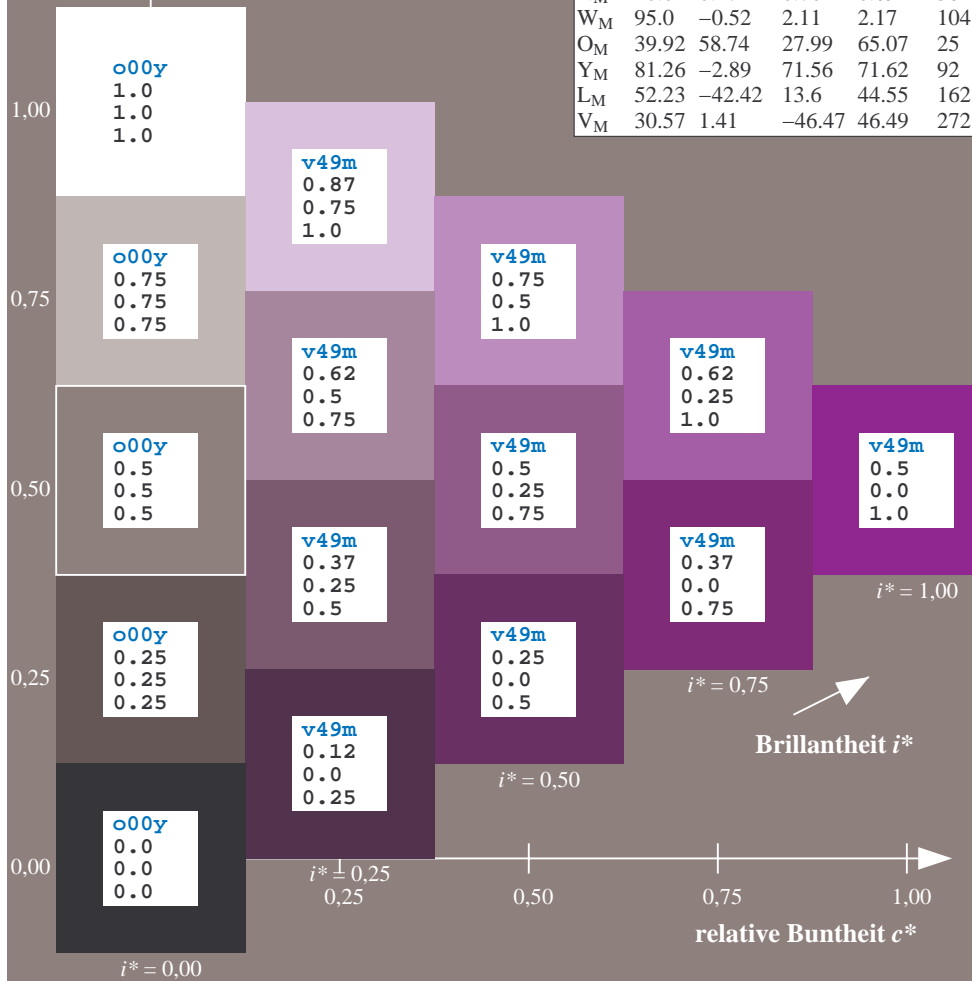
$lab^*olv^*_{Ma}: 0.5\ 0.0\ 1.0$

$lab^*rgb^*_{Ma}: 0.94\ 0.0\ 1.0$

Dreiecks-Helligkeit t^*

ORS20_95a; adaptierte CIELAB-Daten

	u^*_d	$L^*=L^*_a$	a^*_a	b^*_a	$C^*_{ab,a}$	$h^*_{ab,a}$	u^*_e
o00y	48.71	62.56	37.91	73.15	31	r08j	
o25y	58.6	44.87	49.14	66.54	48	r33j	
o50y	67.52	28.93	59.25	65.94	64	r57j	
o75y	77.05	11.9	70.06	71.06	80	r81j	
y00l	89.25	-9.92	83.91	84.49	97	j06g	
y25l	77.37	-27.05	63.23	68.78	113	j30g	
y50l	68.62	-39.67	48.0	62.27	130	j53g	
y75l	60.79	-50.95	34.38	61.47	146	j76g	
l00c	52.5	-62.91	19.95	66.0	162	g00b	
l50c	56.2	-43.39	-15.92	46.22	200	g34b	
c00v	59.15	-27.87	-44.43	52.45	238	g69b	
c50v	43.5	-1.49	-43.39	43.42	268	g96b	
v00m	29.13	22.73	-42.44	48.14	298	b23r	
v50m	37.32	42.16	-29.08	51.21	325	b47r	
m00o	49.51	71.08	-9.19	71.67	353	b71r	
m50o	49.11	66.86	14.12	68.34	12	b88r	



%Umfang
 $u^*_{rel} = 83$
 %Regularität
 $g^*_{H,rel} = 72$
 $g^*_{C,rel} = 57$

Ein und Ausgabe: Farbmatisches Drucker-Reflektiv-System ORS20_95a für relativen CIELAB-Bunton $h^* = \text{lab}^*h^* = h_{ab}/360 = 0.98$

$u^*_d = m00o$

Daten für jede Farbe:

lab^*tch^* und lab^*icu^*

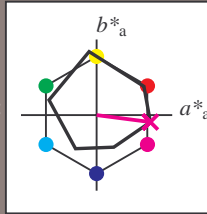
Buntontexte:

$u^*_d = m00o$ $u^*_e = b71r$

Kontrastreduzierungsfaktor:

$c_R = 0.96$

Dreiecks-Helligkeit t^*



ORS20_95a; CIELAB-Daten

	u^*_d	$L^*=L^*_a$	a^*_a	b^*_a	C^*_{ab}	h^*_{ab}
O _M	48.71	62.65	39.19	73.89	32	
Y _M	89.25	-10.36	85.91	86.53	97	
L _M	52.5	-62.88	21.3	66.38	161	
C _M	59.15	-27.92	-42.97	51.24	237	
V _M	29.13	23.07	-41.51	47.5	299	
M _M	49.51	71.15	-7.9	71.59	354	
N _M	20.0	0.47	0.76	0.89	58	
W _M	95.0	-0.52	2.11	2.17	104	
O _M	39.92	58.74	27.99	65.07	25	
Y _M	81.26	-2.89	71.56	71.62	92	
L _M	52.23	-42.42	13.6	44.55	162	
V _M	30.57	1.41	-46.47	46.49	272	

Daten für Maximalfarbe (Ma):

$\text{LAB}^*\text{LAB}^*_{Ma}: 50\ 71\ -9$

$\text{LAB}^*\text{LCH}^*_{Ma}: 50\ 72\ 352$

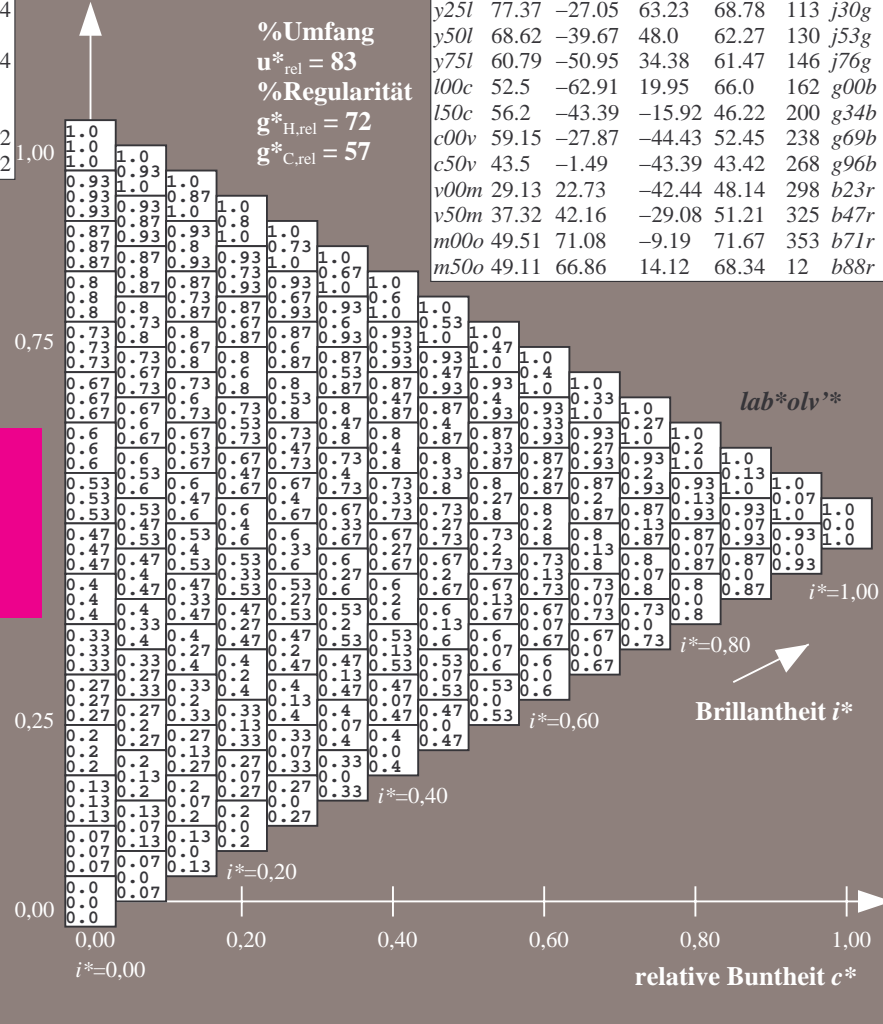
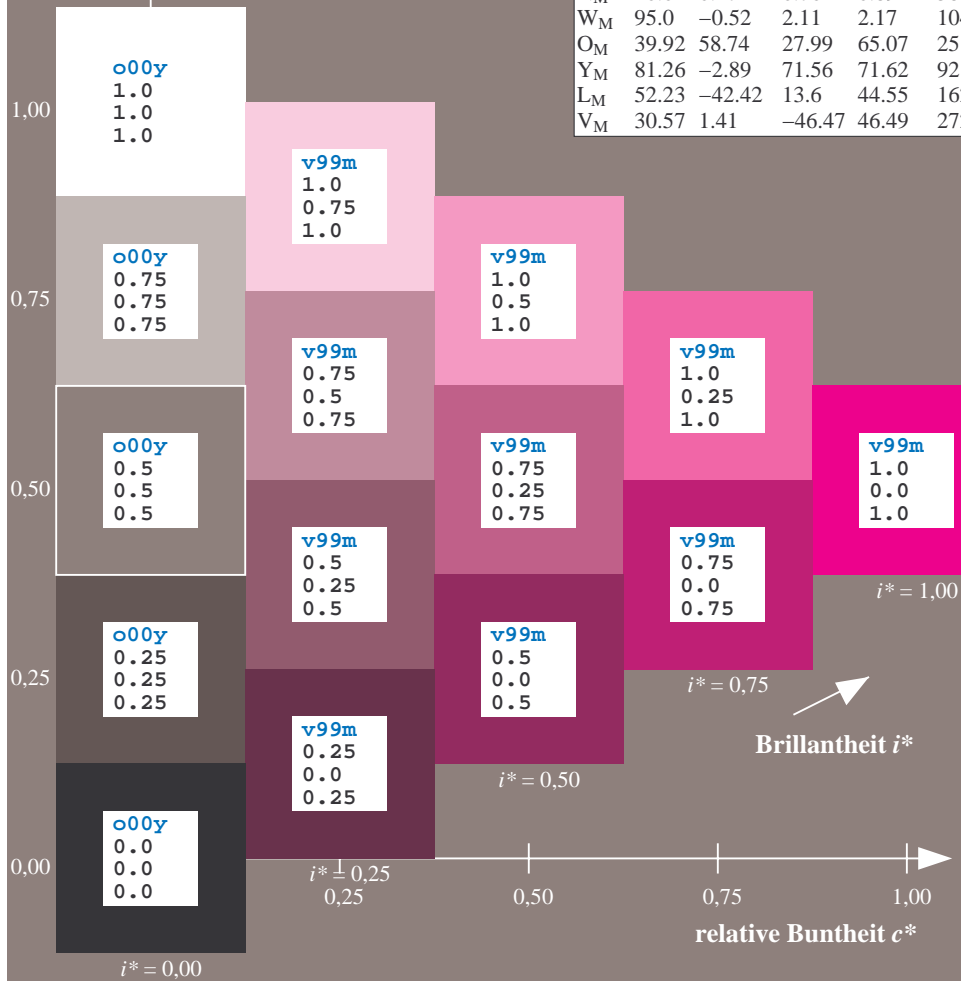
$\text{lab}^*\text{olv}^*_{Ma}: 1.0\ 0.0\ 1.0$

$\text{lab}^*\text{rgb}^*_{Ma}: 1.0\ 0.0\ 0.58$

Dreiecks-Helligkeit t^*

ORS20_95a; adaptierte CIELAB-Daten

	u^*_d	$L^*=L^*_a$	a^*_a	b^*_a	$C^*_{ab,a}$	$h^*_{ab,a}$	u^*_e
o00y	48.71	62.56	37.91	73.15	31	r08j	
o25y	58.6	44.87	49.14	66.54	48	r33j	
o50y	67.52	28.93	59.25	65.94	64	r57j	
o75y	77.05	11.9	70.06	71.06	80	r81j	
y00l	89.25	-9.92	83.91	84.49	97	j06g	
y25l	77.37	-27.05	63.23	68.78	113	j30g	
y50l	68.62	-39.67	48.0	62.27	130	j53g	
y75l	60.79	-50.95	34.38	61.47	146	j76g	
l00c	52.5	-62.91	19.95	66.0	162	g00b	
l50c	56.2	-43.39	-15.92	46.22	200	g34b	
c00v	59.15	-27.87	-44.43	52.45	238	g69b	
c50v	43.5	-1.49	-43.39	43.42	268	g96b	
v00m	29.13	22.73	-42.44	48.14	298	b23r	
v50m	37.32	42.16	-29.08	51.21	325	b47r	
m00o	49.51	71.08	-9.19	71.67	353	b71r	
m50o	49.11	66.86	14.12	68.34	12	b88r	



%Umfang
 $u^*_{rel} = 83$
%Regularität
 $g^*_{H,rel} = 72$
 $g^*_{C,rel} = 57$

lab^*olv^*

Brillantheit i^*

$i^* = 1.00$

$i^* = 0.80$

$i^* = 0.60$

$i^* = 0.40$

$i^* = 0.20$

$i^* = 0.00$

Ein und Ausgabe: Farbmatisches Drucker-Reflektiv-System ORS20_95a für relativen CIELAB-Bunton $h^* = lab^*h^* = h_{ab}/360 = 0.033$

$u^*_d = m50o$

Daten für jede Farbe:

lab^*ch^* und lab^*icu^*

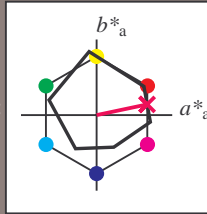
Buntontexte:

$u^*_d = m50o$ $u^*_e = b88r$

Kontrastreduzierungsfaktor:

$c_R = 0.96$

Dreiecks-Helligkeit t^*



ORS20_95a; CIELAB-Daten						
u^*_d	$L^*=L^*_a$	a^*_a	b^*_a	C^*_{ab}	h^*_{ab}	
O _M	48.71	62.65	39.19	73.89	32	
Y _M	89.25	-10.36	85.91	86.53	97	
L _M	52.5	-62.88	21.3	66.38	161	
C _M	59.15	-27.92	-42.97	51.24	237	
V _M	29.13	23.07	-41.51	47.5	299	
M _M	49.51	71.15	-7.9	71.59	354	
N _M	20.0	0.47	0.76	0.89	58	
W _M	95.0	-0.52	2.11	2.17	104	
O _M	39.92	58.74	27.99	65.07	25	
Y _M	81.26	-2.89	71.56	71.62	92	
L _M	52.23	-42.42	13.6	44.55	162	
V _M	30.57	1.41	-46.47	46.49	272	

Daten für Maximalfarbe (Ma):

$LAB^*LAB^*_{Ma}: 49\ 67\ 14$

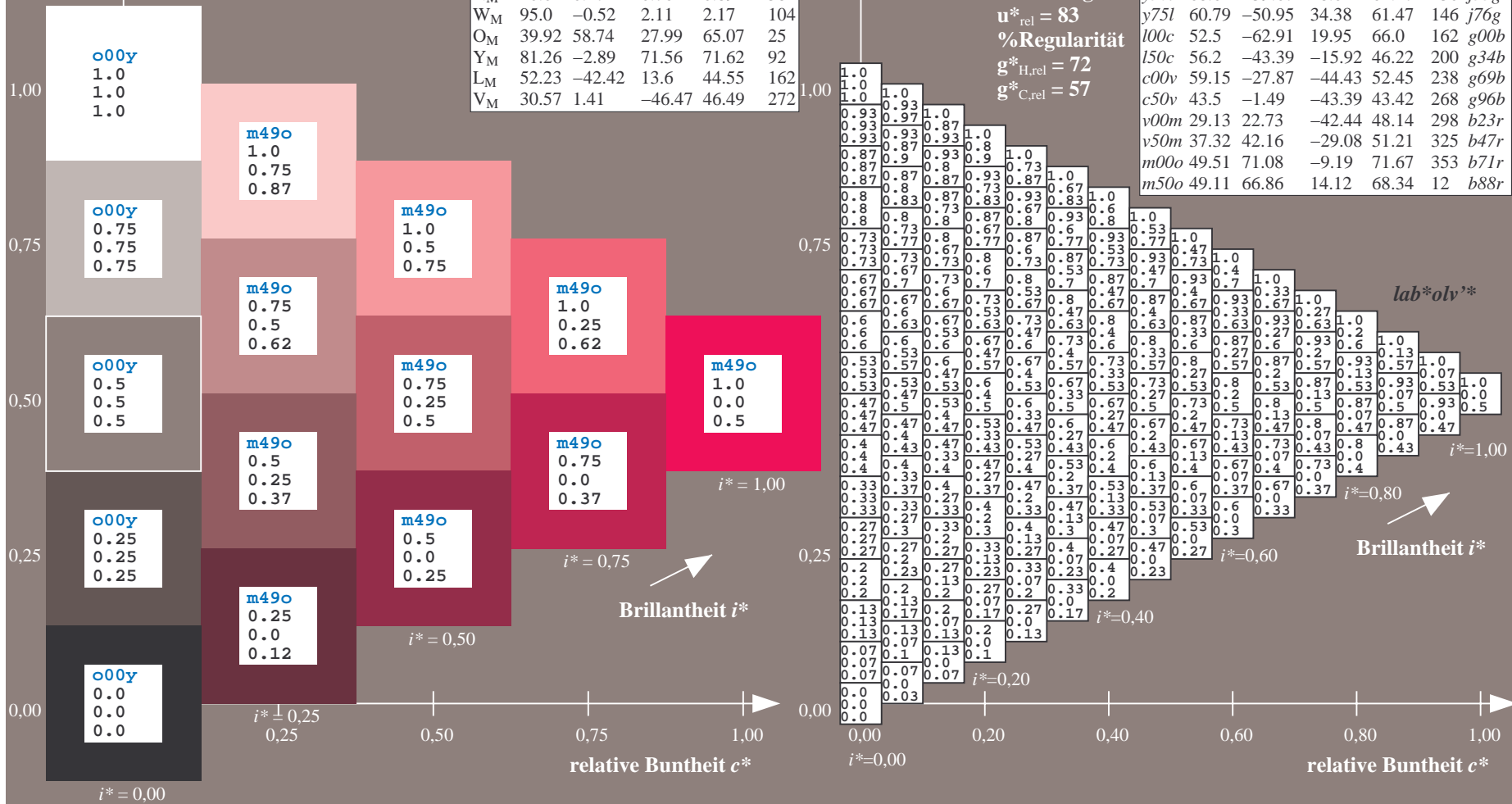
$LAB^*LCH^*_{Ma}: 49\ 68\ 11$

$lab^*olv^*_{Ma}: 1.0\ 0.0\ 0.5$

$lab^*rgb^*_{Ma}: 1.0\ 0.0\ 0.24$

Dreiecks-Helligkeit t^*

ORS20_95a; adaptierte CIELAB-Daten							
u^*_d	$L^*=L^*_a$	a^*_a	b^*_a	$C^*_{ab,a}$	$h^*_{ab,a}$	u^*_e	
o00y	48.71	62.56	37.91	73.15	31	r08j	
o25y	58.6	44.87	49.14	66.54	48	r33j	
o50y	67.52	28.93	59.25	65.94	64	r57j	
o75y	77.05	11.9	70.06	71.06	80	r81j	
y00l	89.25	-9.92	83.91	84.49	97	j06g	
y25l	77.37	-27.05	63.23	68.78	113	j30g	
y50l	68.62	-39.67	48.0	62.27	130	j53g	
y75l	60.79	-50.95	34.38	61.47	146	j76g	
l00c	52.5	-62.91	19.95	66.0	162	g00b	
l50c	56.2	-43.39	-15.92	46.22	200	g34b	
c00v	59.15	-27.87	-44.43	52.45	238	g69b	
c50v	43.5	-1.49	-43.39	43.42	268	g96b	
v00m	29.13	22.73	-42.44	48.14	298	b23r	
v50m	37.32	42.16	-29.08	51.21	325	b47r	
m00o	49.51	71.08	-9.19	71.67	353	b71r	
m50o	49.11	66.86	14.12	68.34	12	b88r	



Ein und Ausgabe:
 Farbmetrisches Drucker-Reflektiv-System ORS20_95a

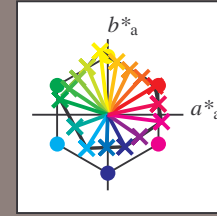
Daten für jede Farbe:
 u^*_d und Nummer *Nr.* = 00 .. 15

Geräte-Bunttextext:
 $u^*_d = 16$ Bunttoene *o00y, o25y, ..., m50o*

Kontrastreduzierungsfaktor:
 $c_R = 0.96$

ORS20_95a; adaptierte CIELAB-Daten

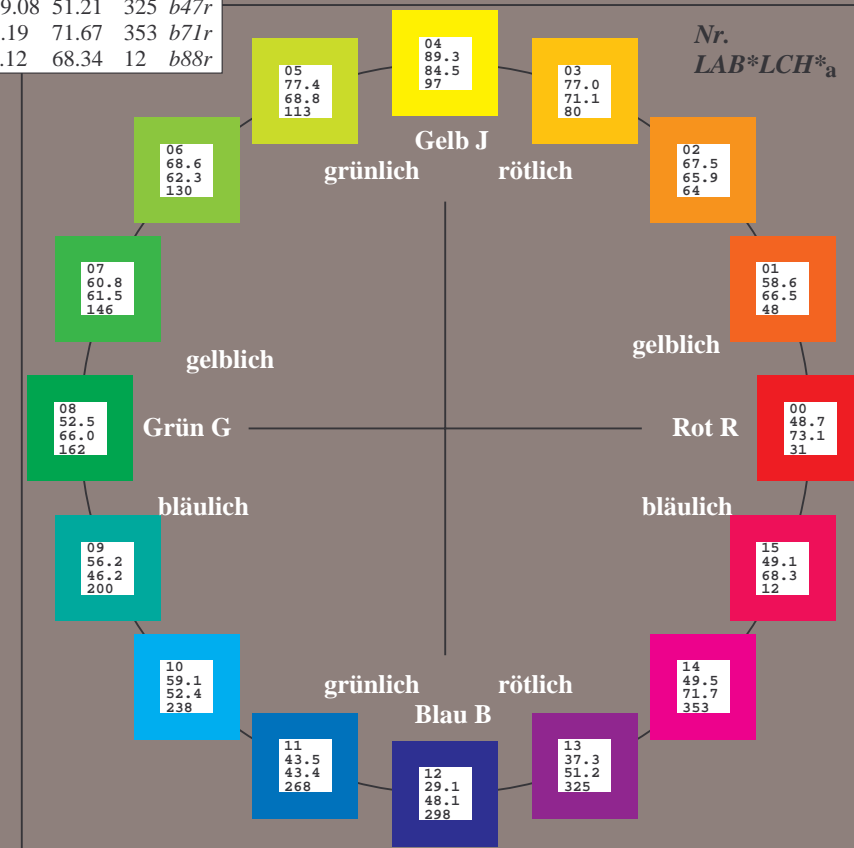
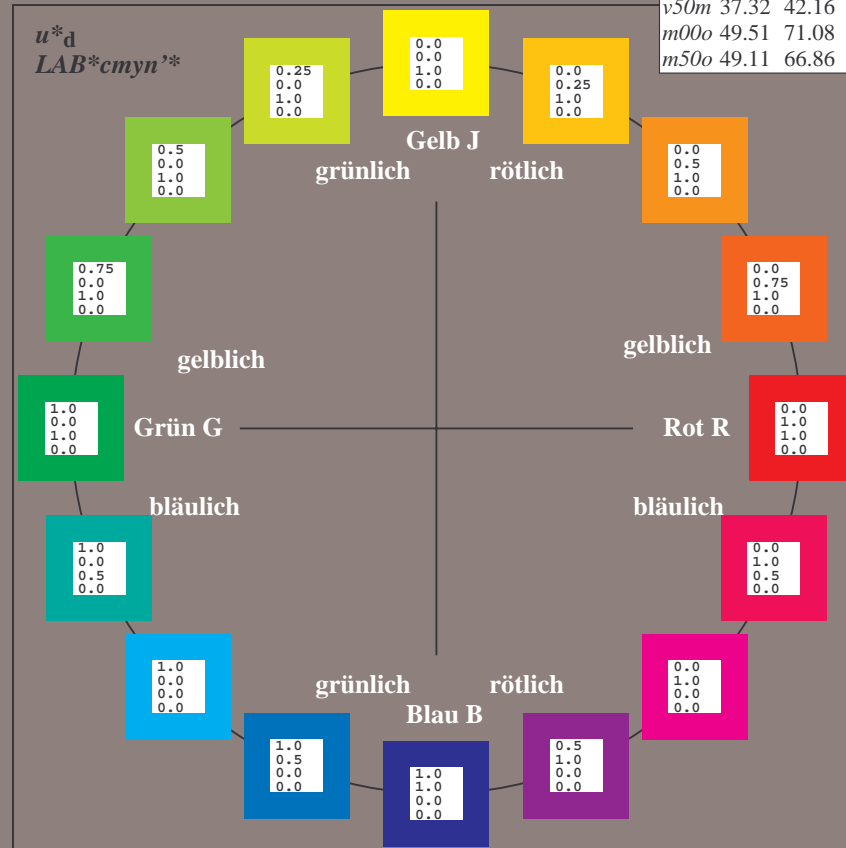
u^*_d	$L^*=L^*_a$	a^*_a	b^*_a	$C^*_{ab,a}$	$h^*_{ab,a}$	u^*_e
<i>o00y</i>	48.71	62.56	37.91	73.15	31	<i>r08j</i>
<i>o25y</i>	58.6	44.87	49.14	66.54	48	<i>r33j</i>
<i>o50y</i>	67.52	28.93	59.25	65.94	64	<i>r57j</i>
<i>o75y</i>	77.05	11.9	70.06	71.06	80	<i>r81j</i>
<i>y00l</i>	89.25	-9.92	83.91	84.49	97	<i>j06g</i>
<i>y25l</i>	77.37	-27.05	63.23	68.78	113	<i>j30g</i>
<i>y50l</i>	68.62	-39.67	48.0	62.27	130	<i>j53g</i>
<i>y75l</i>	60.79	-50.95	34.38	61.47	146	<i>j76g</i>
<i>l00c</i>	52.5	-62.91	19.95	66.0	162	<i>g00b</i>
<i>l50c</i>	56.2	-43.39	-15.92	46.22	200	<i>g34b</i>
<i>c00v</i>	59.15	-27.87	-44.43	52.45	238	<i>g69b</i>
<i>c50v</i>	43.5	-1.49	-43.39	43.42	268	<i>g96b</i>
<i>v00m</i>	29.13	22.73	-42.44	48.14	298	<i>b23r</i>
<i>v50m</i>	37.32	42.16	-29.08	51.21	325	<i>b47r</i>
<i>m00o</i>	49.51	71.08	-9.19	71.67	353	<i>b71r</i>
<i>m50o</i>	49.11	66.86	14.12	68.34	12	<i>b88r</i>



%Umfang
 $u^*_{rel} = 83$
 %Regularität
 $g^*_{H,rel} = 72$
 $g^*_{C,rel} = 57$

ORS20_95a; CIELAB-Daten

Name	$L^*=L^*_a$	a^*_a	b^*_a	C^*_{ab}	h^*_{ab}
O _M	48.71	62.65	39.19	73.89	32
Y _M	89.25	-10.36	85.91	86.53	97
L _M	52.5	-62.88	21.3	66.38	161
C _M	59.15	-27.92	-42.97	51.24	237
V _M	29.13	23.07	-41.51	47.5	299
M _M	49.51	71.15	-7.9	71.59	354
N _M	20.0	0.47	0.76	0.89	58
W _M	95.0	-0.52	2.11	2.17	104
O _{CIE}	39.92	58.74	27.99	65.07	25
Y _{CIE}	81.26	-2.89	71.56	71.62	92
L _{CIE}	52.23	-42.42	13.6	44.55	162
V _{CIE}	30.57	1.41	-46.47	46.49	272



Ein und Ausgabe: Farbmatisches Drucker-Reflektiv-System ORS20_95a für relativen CIELAB-Bunton $h^* = \text{lab}^*h^* = h_{ab}/360 = 0.087$

$u^*_d = o00y$
LAB**cmy*'*

Daten für jede Farbe:

lab^*tch^* und lab^*icu^*

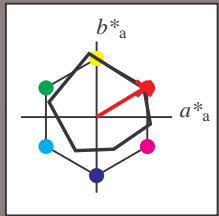
Buntontexte:

$u^*_d = o00y$ $u^*_e = r08j$

Kontrastreduzierungsfaktor:

$c_R = 0.96$

Dreiecks-Helligkeit t^*



ORS20_95a; CIELAB-Daten						
u^*_d	$L^*=L^*_a$	a^*_a	b^*_a	C^*_{ab}	h^*_{ab}	
O _M	48.71	62.65	39.19	73.89	32	
Y _M	89.25	-10.36	85.91	86.53	97	
L _M	52.5	-62.88	21.3	66.38	161	
C _M	59.15	-27.92	-42.97	51.24	237	
V _M	29.13	23.07	-41.51	47.5	299	
M _M	49.51	71.15	-7.9	71.59	354	
N _M	20.0	0.47	0.76	0.89	58	
W _M	95.0	-0.52	2.11	2.17	104	
O _M	39.92	58.74	27.99	65.07	25	
Y _M	81.26	-2.89	71.56	71.62	92	
L _M	52.23	-42.42	13.6	44.55	162	
V _M	30.57	1.41	-46.47	46.49	272	

Daten für Maximalfarbe (Ma):

LAB*LAB*_{Ma}: 49 63 38

LAB*LCH*_{Ma}: 49 73 31

lab**olv**_{Ma}: 1.0 0.0 0.0

lab**rgb**_{Ma}: 1.0 0.09 0.0

Dreiecks-Helligkeit t^*

%Umfang

$u^*_{rel} = 83$

%Regularität

$g^*_{H,rel} = 72$

$g^*_{C,rel} = 57$

ORS20_95a; adaptierte CIELAB-Daten							
u^*_d	$L^*=L^*_a$	a^*_a	b^*_a	$C^*_{ab,a}$	$h^*_{ab,a}$	u^*_e	
<i>o00y</i>	48.71	62.56	37.91	73.15	31	<i>r08j</i>	
<i>o25y</i>	58.6	44.87	49.14	66.54	48	<i>r33j</i>	
<i>o50y</i>	67.52	28.93	59.25	65.94	64	<i>r57j</i>	
<i>o75y</i>	77.05	11.9	70.06	71.06	80	<i>r81j</i>	
<i>y00l</i>	89.25	-9.92	83.91	84.49	97	<i>j06g</i>	
<i>y25l</i>	77.37	-27.05	63.23	68.78	113	<i>j30g</i>	
<i>y50l</i>	68.62	-39.67	48.0	62.27	130	<i>j53g</i>	
<i>y75l</i>	60.79	-50.95	34.38	61.47	146	<i>j76g</i>	
<i>l00c</i>	52.5	-62.91	19.95	66.0	162	<i>g00b</i>	
<i>l50c</i>	56.2	-43.39	-15.92	46.22	200	<i>g34b</i>	
<i>c00v</i>	59.15	-27.87	-44.43	52.45	238	<i>g69b</i>	
<i>c50v</i>	43.5	-1.49	-43.39	43.42	268	<i>g96b</i>	
<i>v00m</i>	29.13	22.73	-42.44	48.14	298	<i>b23r</i>	
<i>v50m</i>	37.32	42.16	-29.08	51.21	325	<i>b47r</i>	
<i>m00o</i>	49.51	71.08	-9.19	71.67	353	<i>b71r</i>	
<i>m50o</i>	49.11	66.86	14.12	68.34	12	<i>b88r</i>	

LAB**cmy*'*

$i^* = 1.00$

$i^* = 0.80$

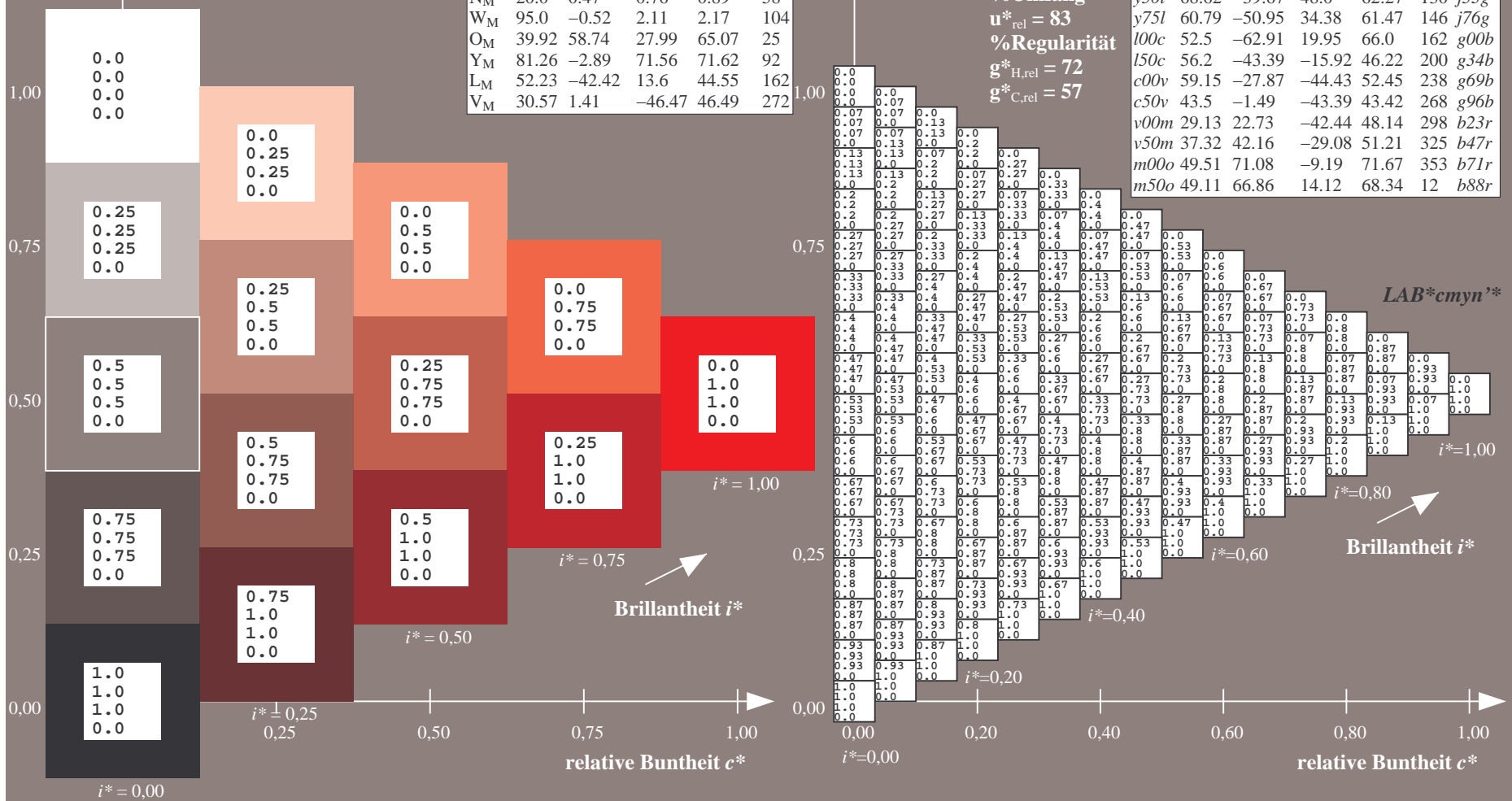
Brillantheit i^*

$i^* = 0.60$

$i^* = 0.40$

$i^* = 0.20$

$i^* = 0.00$



Ein und Ausgabe: Farbmatisches Drucker-Reflektiv-System ORS20_95a für relativen CIELAB-Bunton $h^* = lab^*h^* = h_{ab}/360 = 0.132$

$u^*_d = o25y$
LAB**cmy*'*

Daten für jede Farbe:

lab^*tch^* und lab^*icu^*

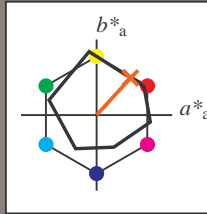
Buntontexte:

$u^*_d = o25y$ $u^*_e = r33j$

Kontrastreduzierungsfaktor:

$c_R = 0.96$

Dreiecks-Helligkeit t^*



ORS20_95a; CIELAB-Daten

u^*_d	$L^*=L^*$	a^*	b^*	C^*_{ab}	h^*_{ab}
O _M	48.71	62.65	39.19	73.89	32
Y _M	89.25	-10.36	85.91	86.53	97
L _M	52.5	-62.88	21.3	66.38	161
C _M	59.15	-27.92	-42.97	51.24	237
V _M	29.13	23.07	-41.51	47.5	299
M _M	49.51	71.15	-7.9	71.59	354
N _M	20.0	0.47	0.76	0.89	58
W _M	95.0	-0.52	2.11	2.17	104
O _M	39.92	58.74	27.99	65.07	25
Y _M	81.26	-2.89	71.56	71.62	92
L _M	52.23	-42.42	13.6	44.55	162
V _M	30.57	1.41	-46.47	46.49	272

Daten für Maximalfarbe (Ma):

LAB*LAB*_{Ma}: 59 45 49

LAB*LCH*_{Ma}: 59 67 47

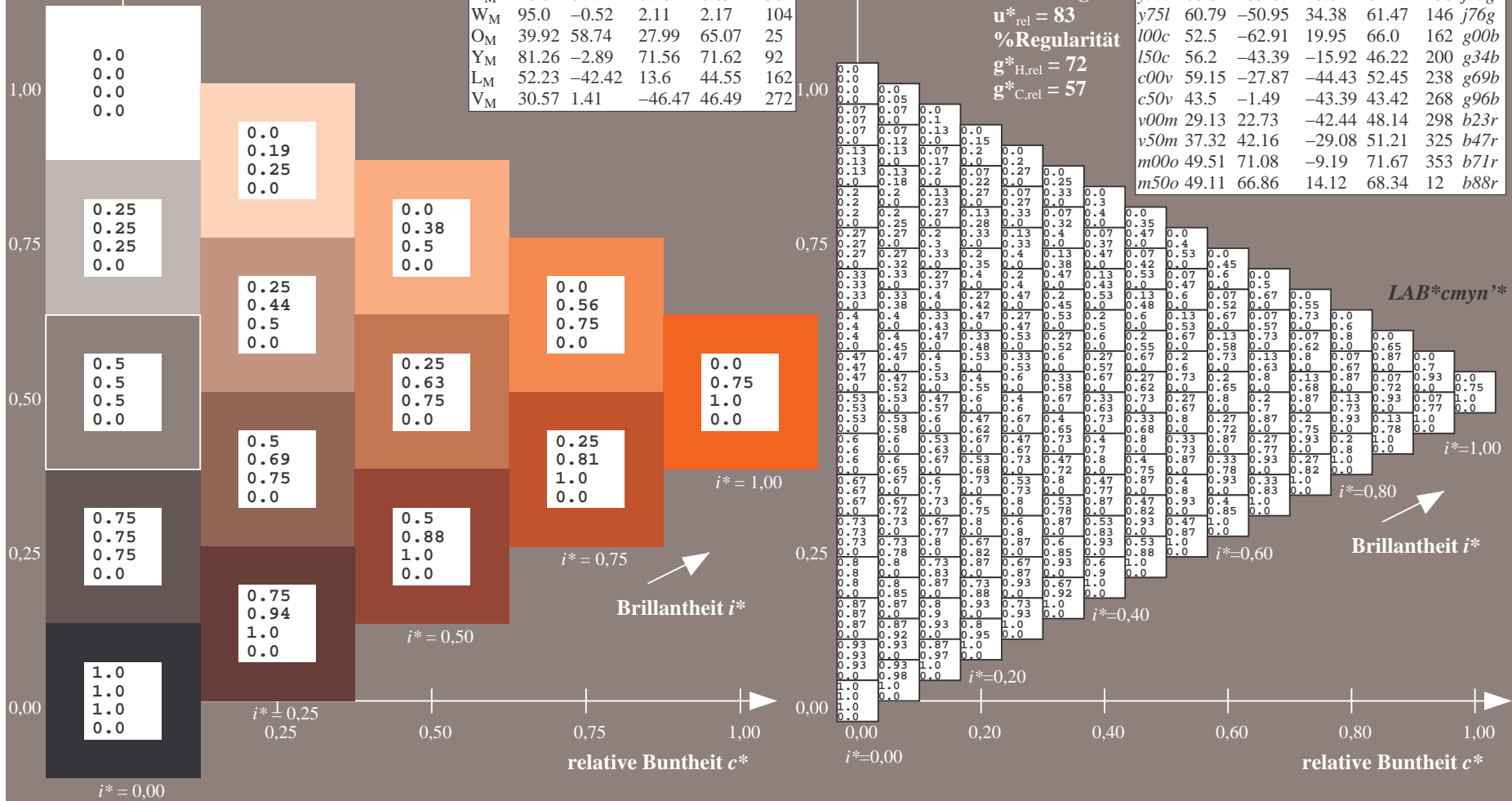
lab**olv**_{Ma}: 1.0 0.25 0.0

lab**rgb**_{Ma}: 1.0 0.33 0.0

Dreiecks-Helligkeit t^*

ORS20_95a; adaptierte CIELAB-Daten

u^*_d	$L^*=L^*_a$	a^*_a	b^*_a	$C^*_{ab,a}$	$h^*_{ab,a}$	u^*_e
o00y	48.71	62.56	37.91	73.15	31	r08j
o25y	58.6	44.87	49.14	66.54	48	r33j
o50y	67.52	28.93	59.25	65.94	64	r57j
o75y	77.05	11.9	70.06	71.06	80	r81j
y00l	89.25	-9.92	83.91	84.49	97	j06g
y25l	77.37	-27.05	63.23	68.78	113	j30g
y50l	68.62	-39.67	48.0	62.27	130	j53g
y75l	60.79	-50.95	34.38	61.47	146	j76g
l00c	52.5	-62.91	19.95	66.0	162	g00b
l50c	56.2	-43.39	-15.92	46.22	200	g34b
c00v	59.15	-27.87	-44.43	52.45	238	g69b
c50v	43.5	-1.49	-43.39	43.42	268	g96b
v00m	29.13	22.73	-42.44	48.14	298	b23r
v50m	37.32	42.16	-29.08	51.21	325	b47r
m00o	49.51	71.08	-9.19	71.67	353	b71r
m50o	49.11	66.86	14.12	68.34	12	b88r



Ein und Ausgabe: Farbmatisches Drucker-Reflektiv-System ORS20_95a für relativen CIELAB-Bunton $h^* = lab^*h^* = h_{ab}/360 = 0.178$

$u^*_d = o50y$
LAB**cmy*'*

Daten für jede Farbe:

lab^*tch^* und lab^*icu^*

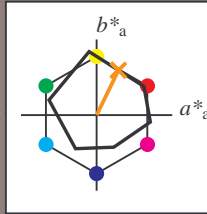
Buntontexte:

$u^*_d = o50y$ $u^*_e = r57j$

Kontrastreduzierungsfaktor:

$c_R = 0.96$

Dreiecks-Helligkeit t^*



ORS20_95a; CIELAB-Daten

	u^*_d	$L^*=L^*$	a^*	b^*	C^*_{ab}	h^*_{ab}
O _M	48.71	62.65	39.19	73.89	32	
Y _M	89.25	-10.36	85.91	86.53	97	
L _M	52.5	-62.88	21.3	66.38	161	
C _M	59.15	-27.92	-42.97	51.24	237	
V _M	29.13	23.07	-41.51	47.5	299	
M _M	49.51	71.15	-7.9	71.59	354	
N _M	20.0	0.47	0.76	0.89	58	
W _M	95.0	-0.52	2.11	2.17	104	
O _M	39.92	58.74	27.99	65.07	25	
Y _M	81.26	-2.89	71.56	71.62	92	
L _M	52.23	-42.42	13.6	44.55	162	
V _M	30.57	1.41	-46.47	46.49	272	

Daten für Maximalfarbe (Ma):

LAB*LAB*_{Ma}: 68 29 59

LAB*LCH*_{Ma}: 68 66 63

lab**olv**_{Ma}: 1.0 0.5 0.0

lab**rgb**_{Ma}: 1.0 0.58 0.0

Dreiecks-Helligkeit t^*

%Umfang

$u^*_{rel} = 83$

%Regularität

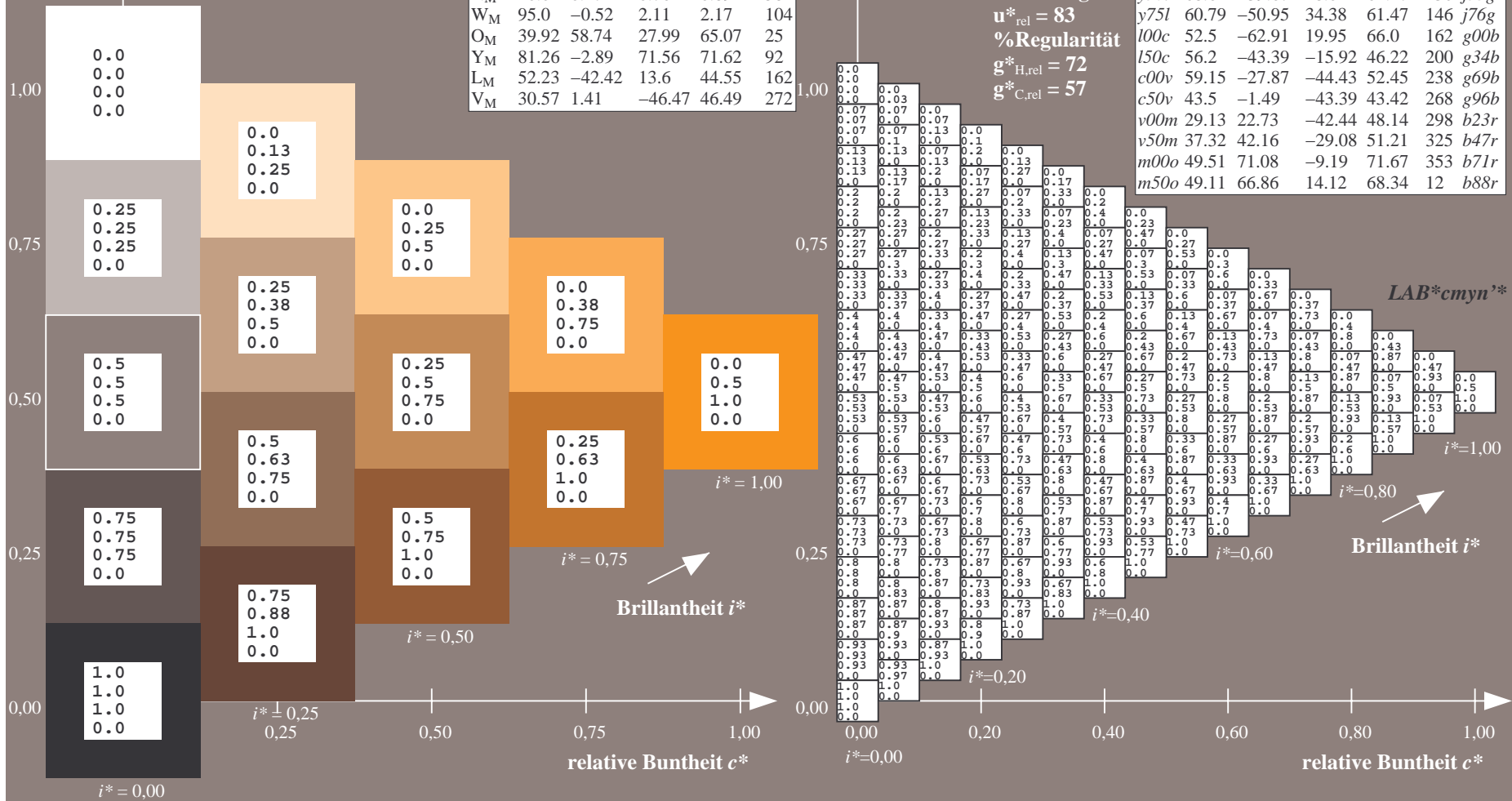
$g^*_{H,rel} = 72$

$g^*_{C,rel} = 57$

ORS20_95a; adaptierte CIELAB-Daten

	u^*_d	$L^*=L^*_a$	a^*_a	b^*_a	$C^*_{ab,a}$	$h^*_{ab,a}$	u^*_e
o00y	48.71	62.56	37.91	73.15	31	r08j	
o25y	58.6	44.87	49.14	66.54	48	r33j	
o50y	67.52	28.93	59.25	65.94	64	r57j	
o75y	77.05	11.9	70.06	71.06	80	r8lj	
y00l	89.25	-9.92	83.91	84.49	97	j06g	
y25l	77.37	-27.05	63.23	68.78	113	j30g	
y50l	68.62	-39.67	48.0	62.27	130	j53g	
y75l	60.79	-50.95	34.38	61.47	146	j76g	
l00c	52.5	-62.91	19.95	66.0	162	g00b	
l50c	56.2	-43.39	-15.92	46.22	200	g34b	
c00v	59.15	-27.87	-44.43	52.45	238	g69b	
c50v	43.5	-1.49	-43.39	43.42	268	g96b	
v00m	29.13	22.73	-42.44	48.14	298	b23r	
v50m	37.32	42.16	-29.08	51.21	325	b47r	
m00o	49.51	71.08	-9.19	71.67	353	b71r	
m50o	49.11	66.86	14.12	68.34	12	b88r	

LAB**cmy*'*



Ein und Ausgabe: Farbmatisches Drucker-Reflektiv-System ORS20_95a für relativen CIELAB-Bunton $h^* = lab^*h^* = h_{ab}/360 = 0.223$

$u^*_d = 0.75y$
LAB**cmy*'*

Daten für jede Farbe:

lab^*tch^* und lab^*icu^*

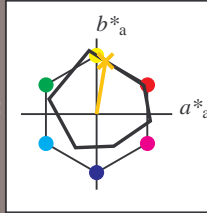
Buntontexte:

$u^*_d = 0.75y$ $u^*_e = r8lj$

Kontrastreduzierungsfaktor:

$c_R = 0.96$

Dreiecks-Helligkeit t^*



ORS20_95a; CIELAB-Daten

u^*_d	$L^*=L^*$	a^*	b^*	C^*_{ab}	h^*_{ab}
O _M	48.71	62.65	39.19	73.89	32
Y _M	89.25	-10.36	85.91	86.53	97
L _M	52.5	-62.88	21.3	66.38	161
C _M	59.15	-27.92	-42.97	51.24	237
V _M	29.13	23.07	-41.51	47.5	299
M _M	49.51	71.15	-7.9	71.59	354
N _M	20.0	0.47	0.76	0.89	58
W _M	95.0	-0.52	2.11	2.17	104
O _M	39.92	58.74	27.99	65.07	25
Y _M	81.26	-2.89	71.56	71.62	92
L _M	52.23	-42.42	13.6	44.55	162
V _M	30.57	1.41	-46.47	46.49	272

Daten für Maximalfarbe (Ma):

LAB*LAB*_{Ma}: 77 12 70

LAB*LCH*_{Ma}: 77 71 80

lab**olv**_{Ma}: 1.0 0.75 0.0

lab**rgb**_{Ma}: 1.0 0.82 0.0

Dreiecks-Helligkeit t^*

%Umfang

$u^*_{rel} = 83$

%Regularität

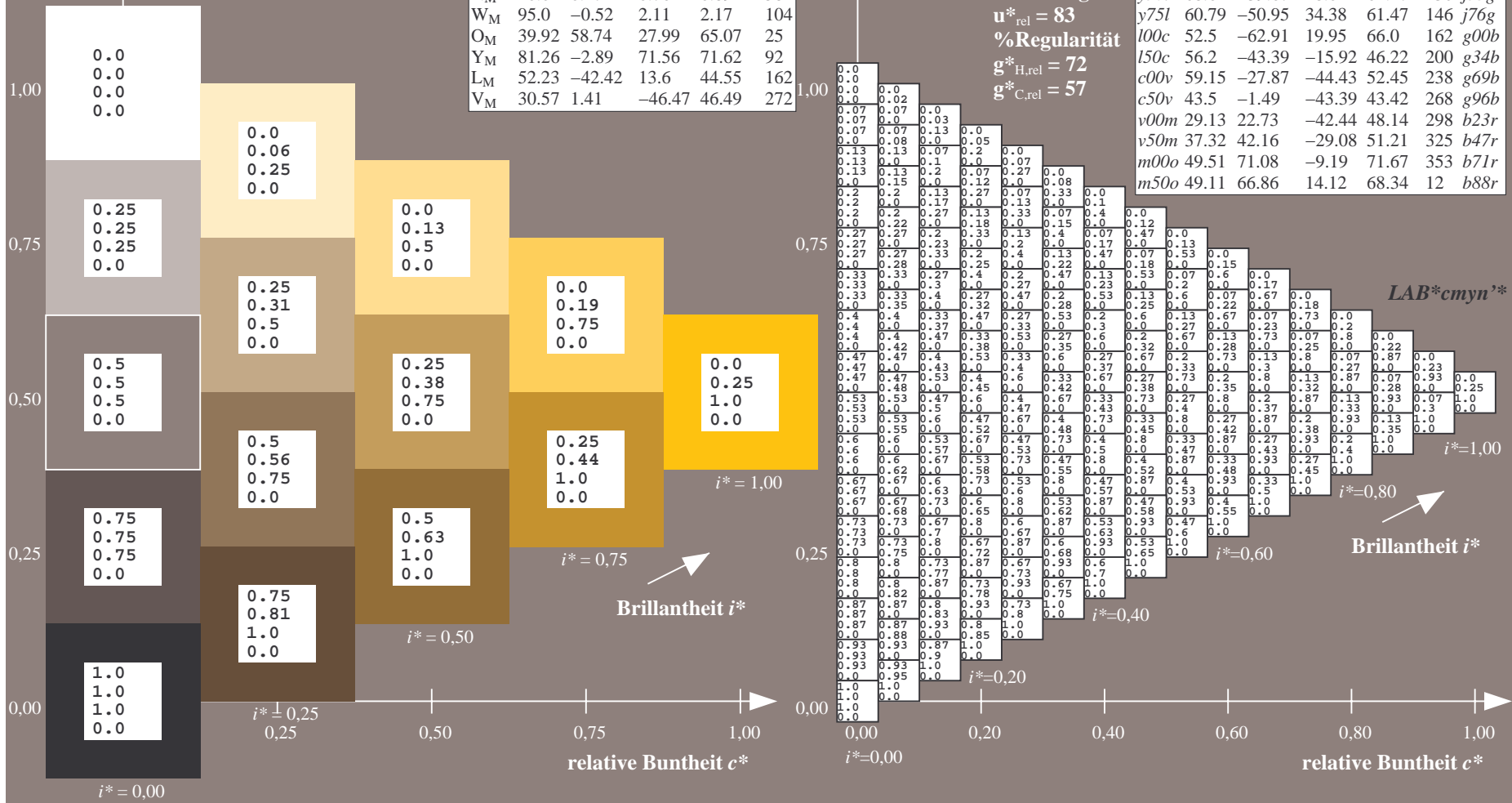
$g^*_{H,rel} = 72$

$g^*_{C,rel} = 57$

ORS20_95a; adaptierte CIELAB-Daten

u^*_d	$L^*=L^*_a$	a^*_a	b^*_a	$C^*_{ab,a}$	$h^*_{ab,a}$	u^*_e
o00y	48.71	62.56	37.91	73.15	31	r08j
o25y	58.6	44.87	49.14	66.54	48	r33j
o50y	67.52	28.93	59.25	65.94	64	r57j
o75y	77.05	11.9	70.06	71.06	80	r8lj
y00l	89.25	-9.92	83.91	84.49	97	j06g
y25l	77.37	-27.05	63.23	68.78	113	j30g
y50l	68.62	-39.67	48.0	62.27	130	j53g
y75l	60.79	-50.95	34.38	61.47	146	j76g
l00c	52.5	-62.91	19.95	66.0	162	g00b
l50c	56.2	-43.39	-15.92	46.22	200	g34b
c00v	59.15	-27.87	-44.43	52.45	238	g69b
c50v	43.5	-1.49	-43.39	43.42	268	g96b
v00m	29.13	22.73	-42.44	48.14	298	b23r
v50m	37.32	42.16	-29.08	51.21	325	b47r
m00o	49.51	71.08	-9.19	71.67	353	b71r
m50o	49.11	66.86	14.12	68.34	12	b88r

LAB**cmy*'*



Ein und Ausgabe: Farbmatisches Drucker-Reflektiv-System ORS20_95a für relativen CIELAB-Bunton $h^* = lab^*h^* = h_{ab}/360 = 0.269$

$u^*_d = y00l$
 $LAB^*cmy^n'^*$

Daten für jede Farbe:

lab^*tch^* und lab^*icu^*

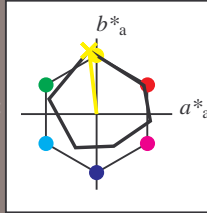
Buntontexte:

$u^*_d = y00l$ $u^*_e = j06g$

Kontrastreduzierungsfaktor:

$c_R = 0.96$

Dreiecks-Helligkeit t^*



ORS20_95a; CIELAB-Daten						
u^*_d	$L^*=L^*_a$	a^*_a	b^*_a	C^*_{ab}	h^*_{ab}	
O _M	48.71	62.65	39.19	73.89	32	
Y _M	89.25	-10.36	85.91	86.53	97	
L _M	52.5	-62.88	21.3	66.38	161	
C _M	59.15	-27.92	-42.97	51.24	237	
V _M	29.13	23.07	-41.51	47.5	299	
M _M	49.51	71.15	-7.9	71.59	354	
N _M	20.0	0.47	0.76	0.89	58	
W _M	95.0	-0.52	2.11	2.17	104	
O _M	39.92	58.74	27.99	65.07	25	
Y _M	81.26	-2.89	71.56	71.62	92	
L _M	52.23	-42.42	13.6	44.55	162	
V _M	30.57	1.41	-46.47	46.49	272	

Daten für Maximalfarbe (Ma):

$LAB^*LAB^*_{Ma}: 89 -10 84$

$LAB^*LCH^*_{Ma}: 89 84 96$

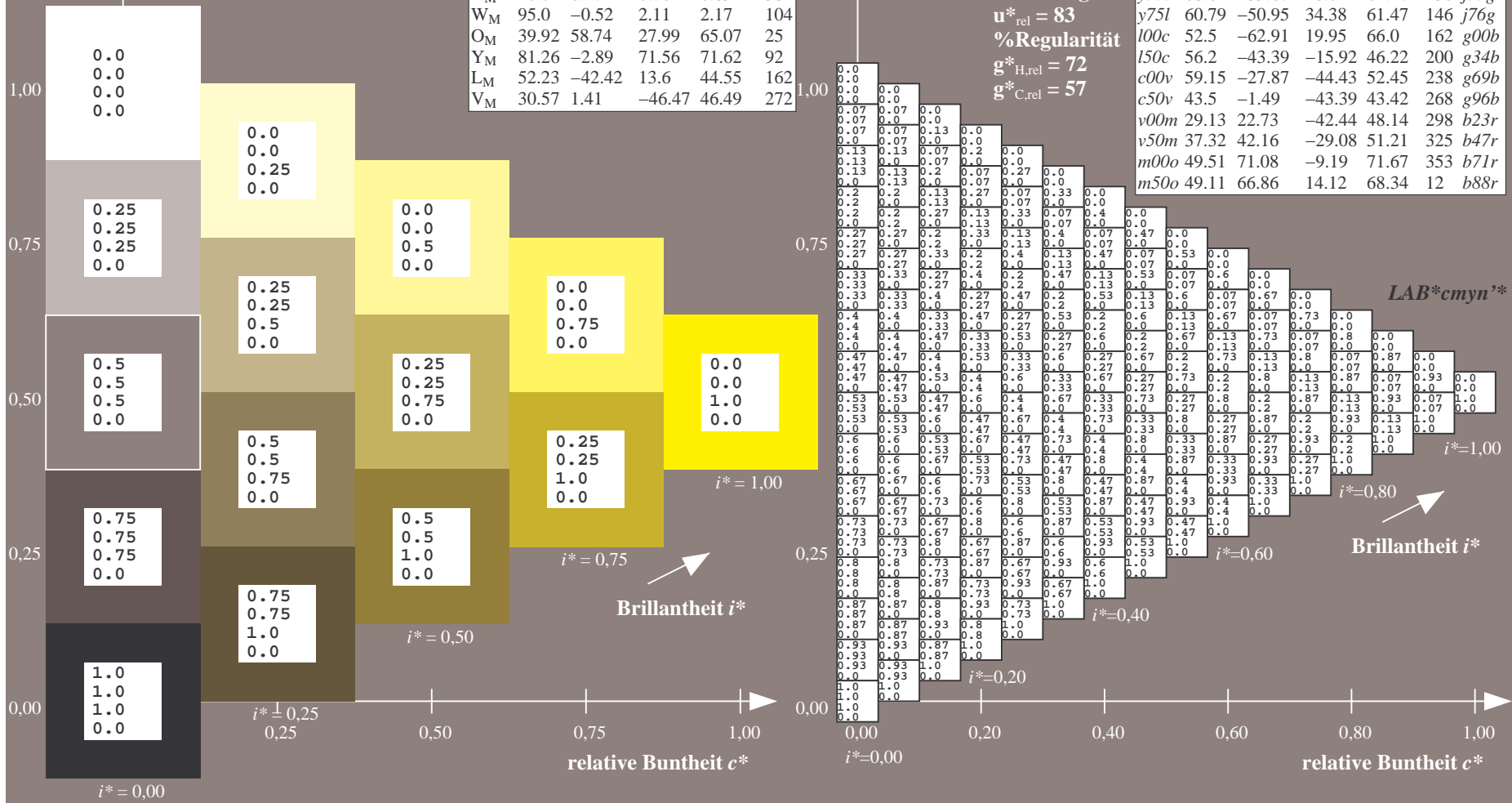
$lab^*olv^*_{Ma}: 1.0 1.0 0.0$

$lab^*rgb^*_{Ma}: 0.94 1.0 0.0$

Dreiecks-Helligkeit t^*

ORS20_95a; adaptierte CIELAB-Daten

u^*_d	$L^*=L^*_a$	a^*_a	b^*_a	$C^*_{ab,a}$	$h^*_{ab,a}$	u^*_e
o00y	48.71	62.56	37.91	73.15	31	r08j
o25y	58.6	44.87	49.14	66.54	48	r33j
o50y	67.52	28.93	59.25	65.94	64	r57j
o75y	77.05	11.9	70.06	71.06	80	r81j
y00l	89.25	-9.92	83.91	84.49	97	j06g
y25l	77.37	-27.05	63.23	68.78	113	j30g
y50l	68.62	-39.67	48.0	62.27	130	j53g
y75l	60.79	-50.95	34.38	61.47	146	j76g
l00c	52.5	-62.91	19.95	66.0	162	g00b
l50c	56.2	-43.39	-15.92	46.22	200	g34b
c00v	59.15	-27.87	-44.43	52.45	238	g69b
c50v	43.5	-1.49	-43.39	43.42	268	g96b
v00m	29.13	22.73	-42.44	48.14	298	b23r
v50m	37.32	42.16	-29.08	51.21	325	b47r
m00o	49.51	71.08	-9.19	71.67	353	b71r
m50o	49.11	66.86	14.12	68.34	12	b88r



Ein und Ausgabe: Farbmatisches Drucker-Reflektiv-System ORS20_95a für relativen CIELAB-Bunton $h^* = \text{lab}^*h^* = h_{ab}/360 = 0.314$

$u^*_d = y25l$
 $\text{LAB}^*c_{\text{myn}}^*$

Daten für jede Farbe:

lab^*tch^* und lab^*icu^*

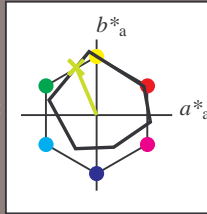
Buntontexte:

$u^*_d = y25l$ $u^*_e = j30g$

Kontrastreduzierungsfaktor:

$c_R = 0.96$

Dreiecks-Helligkeit t^*



ORS20_95a; CIELAB-Daten

u^*_d	$L^*=L^*$	a^*	b^*	C^*_{ab}	h^*_{ab}
O _M	48.71	62.65	39.19	73.89	32
Y _M	89.25	-10.36	85.91	86.53	97
L _M	52.5	-62.88	21.3	66.38	161
C _M	59.15	-27.92	-42.97	51.24	237
V _M	29.13	23.07	-41.51	47.5	299
M _M	49.51	71.15	-7.9	71.59	354
N _M	20.0	0.47	0.76	0.89	58
W _M	95.0	-0.52	2.11	2.17	104
O _M	39.92	58.74	27.99	65.07	25
Y _M	81.26	-2.89	71.56	71.62	92
L _M	52.23	-42.42	13.6	44.55	162
V _M	30.57	1.41	-46.47	46.49	272

Daten für Maximalfarbe (Ma):

$\text{LAB}^*\text{LAB}^*_{\text{Ma}}: 77 -27 63$

$\text{LAB}^*\text{LCH}^*_{\text{Ma}}: 77 69 113$

$\text{lab}^*\text{olv}^*_{\text{Ma}}: 0.75 1.0 0.0$

$\text{lab}^*\text{rgb}^*_{\text{Ma}}: 0.7 1.0 0.0$

Dreiecks-Helligkeit t^*

%Umfang

$u^*_{\text{rel}} = 83$

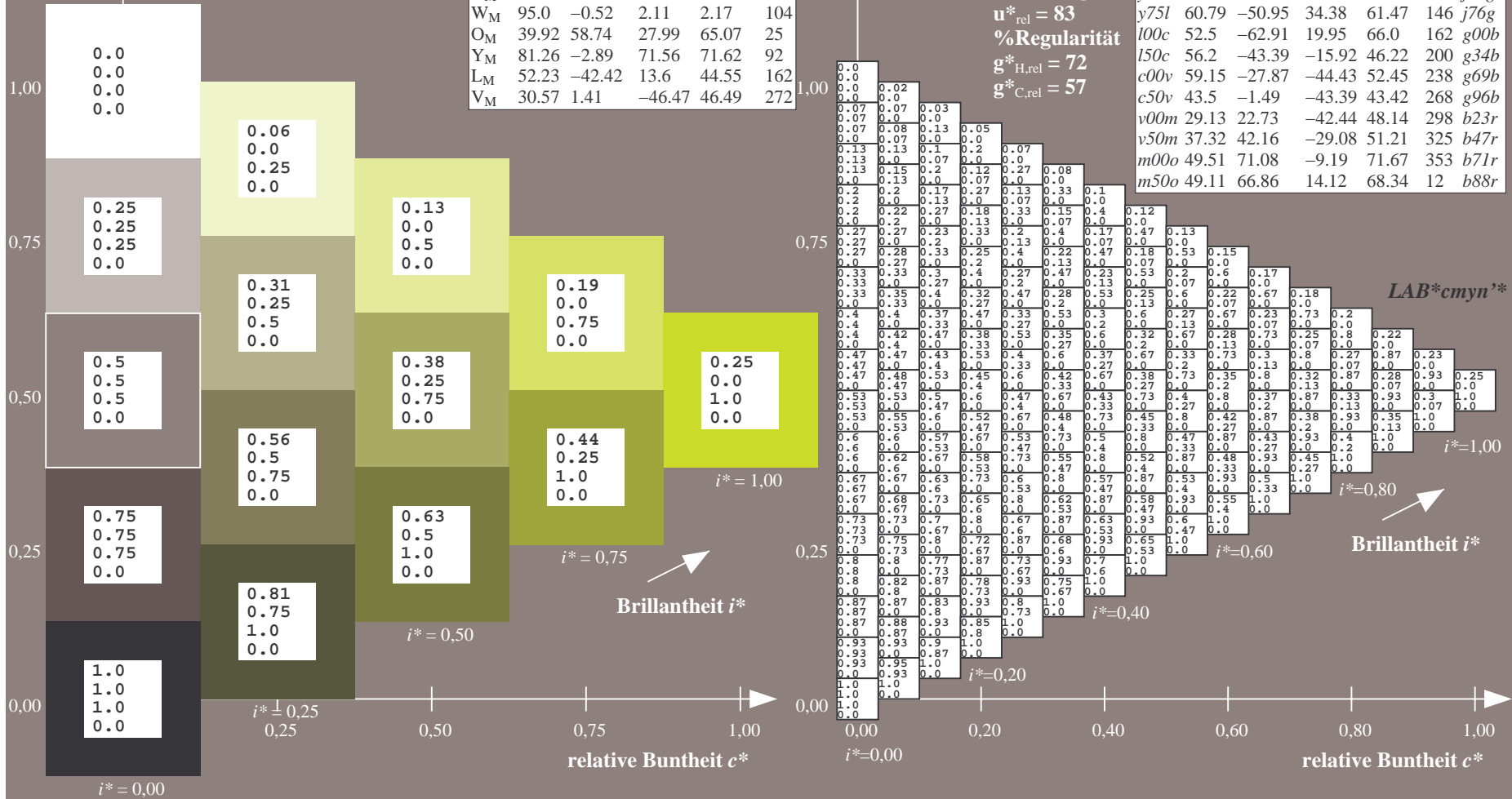
%Regularität

$g^*_{\text{H,rel}} = 72$

$g^*_{\text{C,rel}} = 57$

ORS20_95a; adaptierte CIELAB-Daten

u^*_d	$L^*=L^*_a$	a^*_a	b^*_a	$C^*_{ab,a}$	$h^*_{ab,a}$	u^*_e
o00y	48.71	62.56	37.91	73.15	31	r08j
o25y	58.6	44.87	49.14	66.54	48	r33j
o50y	67.52	28.93	59.25	65.94	64	r57j
o75y	77.05	11.9	70.06	71.06	80	r81j
y00l	89.25	-9.92	83.91	84.49	97	j06g
y25l	77.37	-27.05	63.23	68.78	113	j30g
y50l	68.62	-39.67	48.0	62.27	130	j53g
y75l	60.79	-50.95	34.38	61.47	146	j76g
l00c	52.5	-62.91	19.95	66.0	162	g00b
l50c	56.2	-43.39	-15.92	46.22	200	g34b
c00v	59.15	-27.87	-44.43	52.45	238	g69b
c50v	43.5	-1.49	-43.39	43.42	268	g96b
v00m	29.13	22.73	-42.44	48.14	298	b23r
v50m	37.32	42.16	-29.08	51.21	325	b47r
m00o	49.51	71.08	-9.19	71.67	353	b71r
m50o	49.11	66.86	14.12	68.34	12	b88r



Ein und Ausgabe: Farbmatisches Drucker-Reflektiv-System ORS20_95a für relativen CIELAB-Bunton $h^* = lab^*h^* = h_{ab}/360 = 0.36$

$u^*_d = y50l$
 $LAB^*c_{myn}''^*$

Daten für jede Farbe:

lab^*tch^* und lab^*icu^*

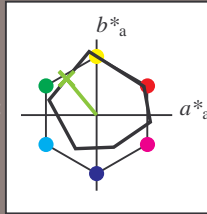
Buntontexte:

$u^*_d = y50l$ $u^*_e = j53g$

Kontrastreduzierungsfaktor:

$c_R = 0.96$

Dreiecks-Helligkeit t^*



ORS20_95a; CIELAB-Daten

	u^*_d	$L^*=L^*$	a^*	b^*	C^*_{ab}	h^*_{ab}
O _M	48.71	62.65	39.19	73.89	32	
Y _M	89.25	-10.36	85.91	86.53	97	
L _M	52.5	-62.88	21.3	66.38	161	
C _M	59.15	-27.92	-42.97	51.24	237	
V _M	29.13	23.07	-41.51	47.5	299	
M _M	49.51	71.15	-7.9	71.59	354	
N _M	20.0	0.47	0.76	0.89	58	
W _M	95.0	-0.52	2.11	2.17	104	
O _M	39.92	58.74	27.99	65.07	25	
Y _M	81.26	-2.89	71.56	71.62	92	
L _M	52.23	-42.42	13.6	44.55	162	
V _M	30.57	1.41	-46.47	46.49	272	

Daten für Maximalfarbe (Ma):

$LAB^*LAB^*_{Ma}$: 69 -40 48

$LAB^*LCH^*_{Ma}$: 69 62 129

$lab^*olv^*_{Ma}$: 0.5 1.0 0.0

$lab^*rgb^*_{Ma}$: 0.47 1.0 0.0

Dreiecks-Helligkeit t^*

%Umfang

$u^*_{rel} = 83$

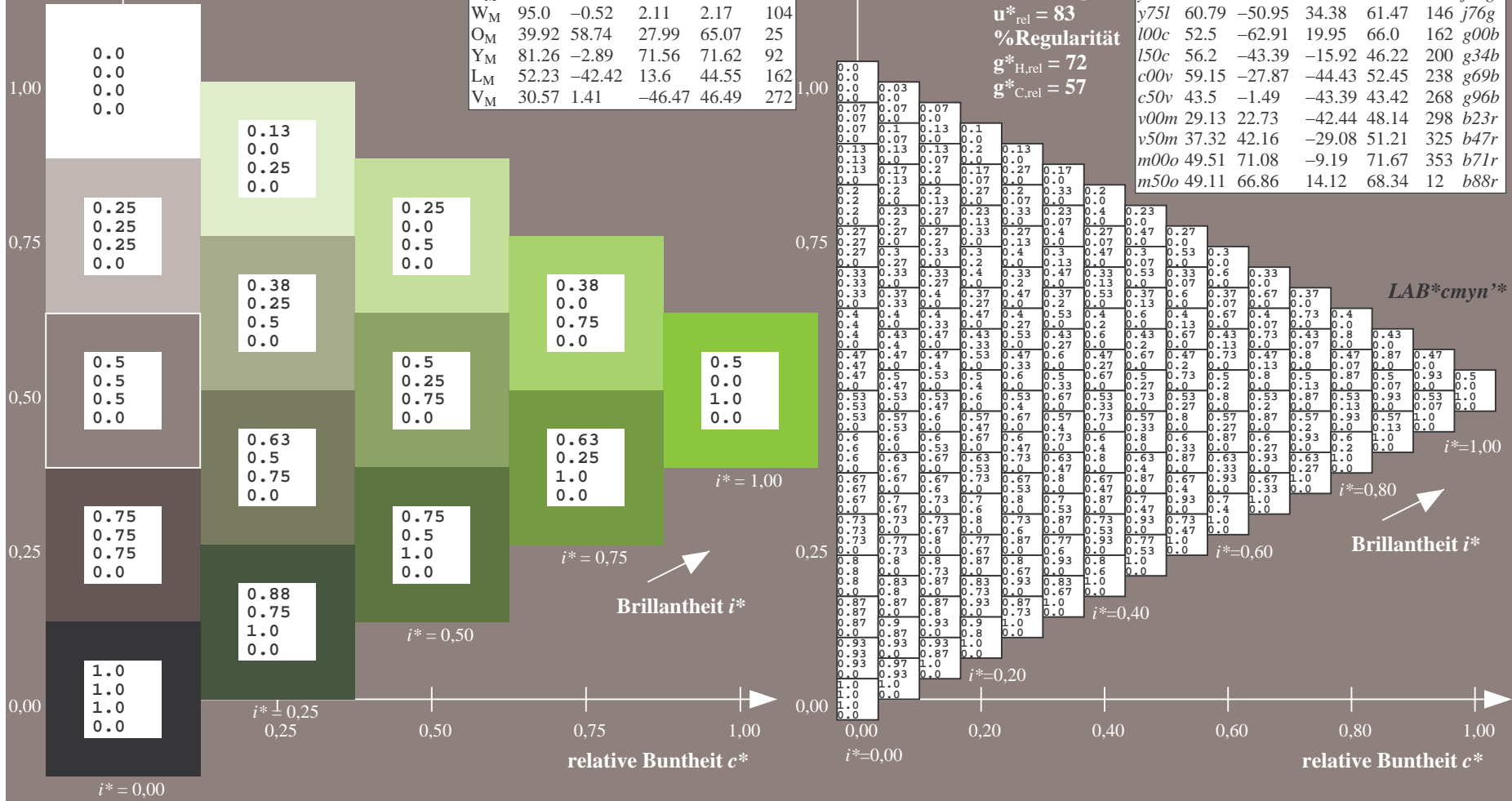
%Regularität

$g^*_{H,rel} = 72$

$g^*_{C,rel} = 57$

ORS20_95a; adaptierte CIELAB-Daten

	u^*_d	$L^*=L^*_a$	a^*_a	b^*_a	$C^*_{ab,a}$	$h^*_{ab,a}$	u^*_e
o00y	48.71	62.56	37.91	73.15	31	r08j	
o25y	58.6	44.87	49.14	66.54	48	r33j	
o50y	67.52	28.93	59.25	65.94	64	r57j	
o75y	77.05	11.9	70.06	71.06	80	r81j	
y00l	89.25	-9.92	83.91	84.49	97	j06g	
y25l	77.37	-27.05	63.23	68.78	113	j30g	
y50l	68.62	-39.67	48.0	62.27	130	j53g	
y75l	60.79	-50.95	34.38	61.47	146	j76g	
l00c	52.5	-62.91	19.95	66.0	162	g00b	
l50c	56.2	-43.39	-15.92	46.22	200	g34b	
c00v	59.15	-27.87	-44.43	52.45	238	g69b	
c50v	43.5	-1.49	-43.39	43.42	268	g96b	
v00m	29.13	22.73	-42.44	48.14	298	b23r	
v50m	37.32	42.16	-29.08	51.21	325	b47r	
m00o	49.51	71.08	-9.19	71.67	353	b71r	
m50o	49.11	66.86	14.12	68.34	12	b88r	



Ein und Ausgabe: Farbmatisches Drucker-Reflektiv-System ORS20_95a für relativen CIELAB-Bunton $h^* = \text{lab}^*h^* = h_{ab}/360 = 0.406$

$u^*_d = y75l$
 $\text{LAB}^*c_{\text{myn}}^*$

Daten für jede Farbe:

lab^*tch^* und lab^*icu^*

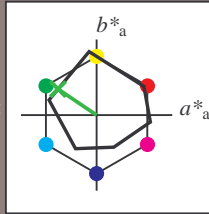
Buntontexte:

$u^*_d = y75l$ $u^*_e = j76g$

Kontrastreduzierungsfaktor:

$c_R = 0.96$

Dreiecks-Helligkeit t^*



ORS20_95a; CIELAB-Daten						
u^*_d	$L^*=L^*$	a^*	b^*	C^*_{ab}	h^*_{ab}	
O _M	48.71	62.65	39.19	73.89	32	
Y _M	89.25	-10.36	85.91	86.53	97	
L _M	52.5	-62.88	21.3	66.38	161	
C _M	59.15	-27.92	-42.97	51.24	237	
V _M	29.13	23.07	-41.51	47.5	299	
M _M	49.51	71.15	-7.9	71.59	354	
N _M	20.0	0.47	0.76	0.89	58	
W _M	95.0	-0.52	2.11	2.17	104	
O _M	39.92	58.74	27.99	65.07	25	
Y _M	81.26	-2.89	71.56	71.62	92	
L _M	52.23	-42.42	13.6	44.55	162	
V _M	30.57	1.41	-46.47	46.49	272	

Daten für Maximalfarbe (Ma):

$\text{LAB}^*\text{LAB}^*_{\text{Ma}}$: 61 -51 34

$\text{LAB}^*\text{LCH}^*_{\text{Ma}}$: 61 61 145

$\text{lab}^*\text{olv}^*_{\text{Ma}}$: 0.25 1.0 0.0

$\text{lab}^*\text{rgb}^*_{\text{Ma}}$: 0.23 1.0 0.0

Dreiecks-Helligkeit t^*

%Umfang

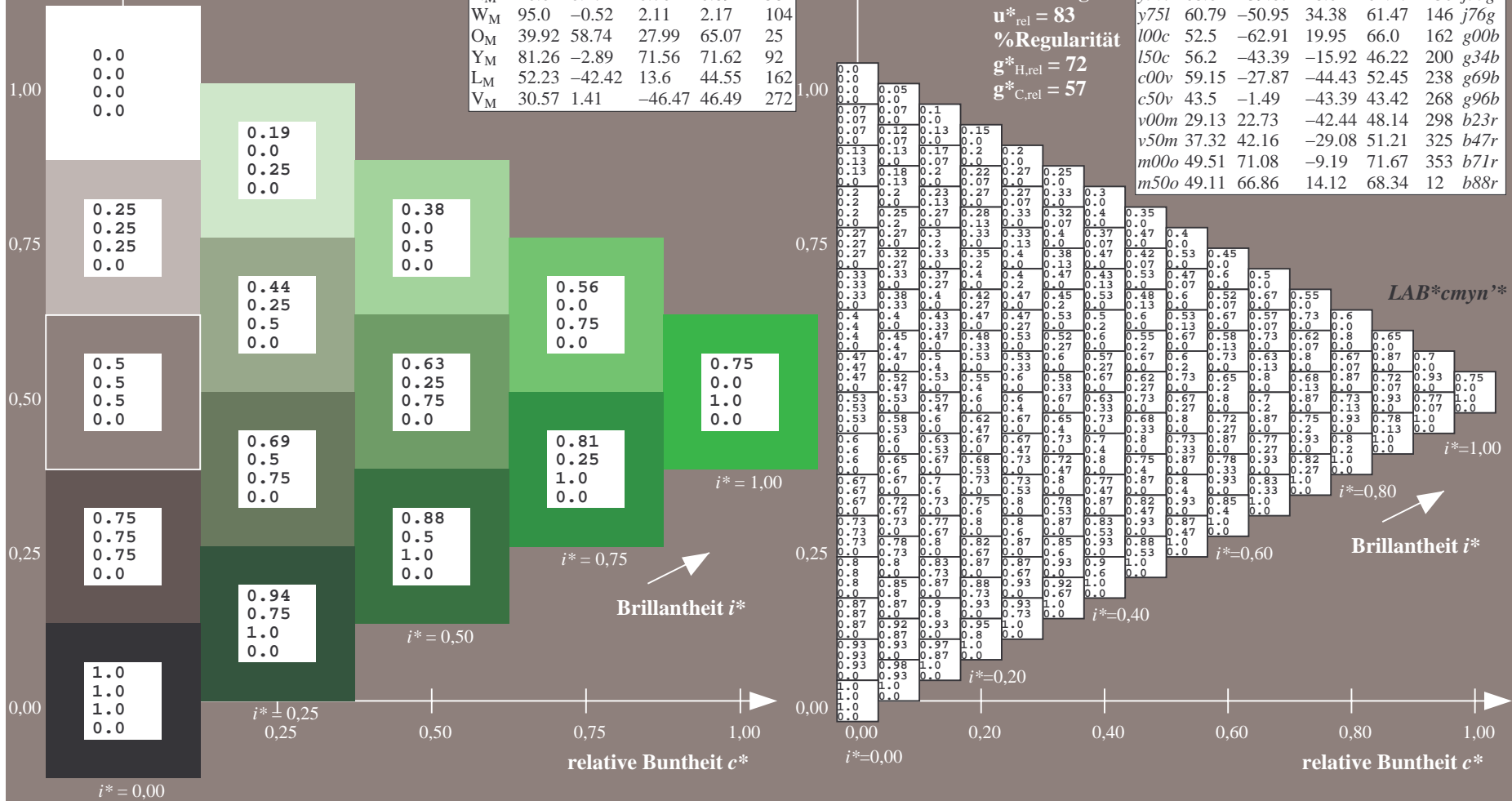
$u^*_{\text{rel}} = 83$

%Regularität

$g^*_{\text{H,rel}} = 72$

$g^*_{\text{C,rel}} = 57$

ORS20_95a; adaptierte CIELAB-Daten							
u^*_d	$L^*=L^*_a$	a^*_a	b^*_a	$C^*_{ab,a}$	$h^*_{ab,a}$	u^*_e	
o00y	48.71	62.56	37.91	73.15	31	r08j	
o25y	58.6	44.87	49.14	66.54	48	r33j	
o50y	67.52	28.93	59.25	65.94	64	r57j	
o75y	77.05	11.9	70.06	71.06	80	r81j	
y00l	89.25	-9.92	83.91	84.49	97	j06g	
y25l	77.37	-27.05	63.23	68.78	113	j30g	
y50l	68.62	-39.67	48.0	62.27	130	j53g	
y75l	60.79	-50.95	34.38	61.47	146	j76g	
l00c	52.5	-62.91	19.95	66.0	162	g00b	
l50c	56.2	-43.39	-15.92	46.22	200	g34b	
c00v	59.15	-27.87	-44.43	52.45	238	g69b	
c50v	43.5	-1.49	-43.39	43.42	268	g96b	
v00m	29.13	22.73	-42.44	48.14	298	b23r	
v50m	37.32	42.16	-29.08	51.21	325	b47r	
m00o	49.51	71.08	-9.19	71.67	353	b71r	
m50o	49.11	66.86	14.12	68.34	12	b88r	



Ein und Ausgabe: Farbmatisches Drucker-Reflektiv-System ORS20_95a für relativen CIELAB-Bunton $h^* = \text{lab}^*h^* = h_{ab}/360 = 0.451$

$u^*_d = 100c$
 $\text{LAB}^*c_{\text{myn}}^{**}$

Daten für jede Farbe:

lab^*tch^* und lab^*icu^*

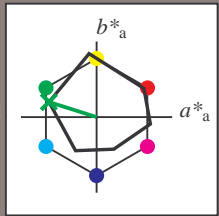
Buntontexte:

$u^*_d = 100c$ $u^*_e = g00b$

Kontrastreduzierungsfaktor:

$c_R = 0.96$

Dreiecks-Helligkeit t^*



ORS20_95a; CIELAB-Daten

u^*_d	$L^*=L^*$	a^*	b^*	C^*_{ab}	h^*_{ab}
O _M	48.71	62.65	39.19	73.89	32
Y _M	89.25	-10.36	85.91	86.53	97
L _M	52.5	-62.88	21.3	66.38	161
C _M	59.15	-27.92	-42.97	51.24	237
V _M	29.13	23.07	-41.51	47.5	299
M _M	49.51	71.15	-7.9	71.59	354
N _M	20.0	0.47	0.76	0.89	58
W _M	95.0	-0.52	2.11	2.17	104
O _M	39.92	58.74	27.99	65.07	25
Y _M	81.26	-2.89	71.56	71.62	92
L _M	52.23	-42.42	13.6	44.55	162
V _M	30.57	1.41	-46.47	46.49	272

Daten für Maximalfarbe (Ma):

$\text{LAB}^*\text{LAB}^*_{\text{Ma}}: 52 -63 20$

$\text{LAB}^*\text{LCH}^*_{\text{Ma}}: 52 66 162$

$\text{lab}^*\text{olv}^*_{\text{Ma}}: 0.0 1.0 0.0$

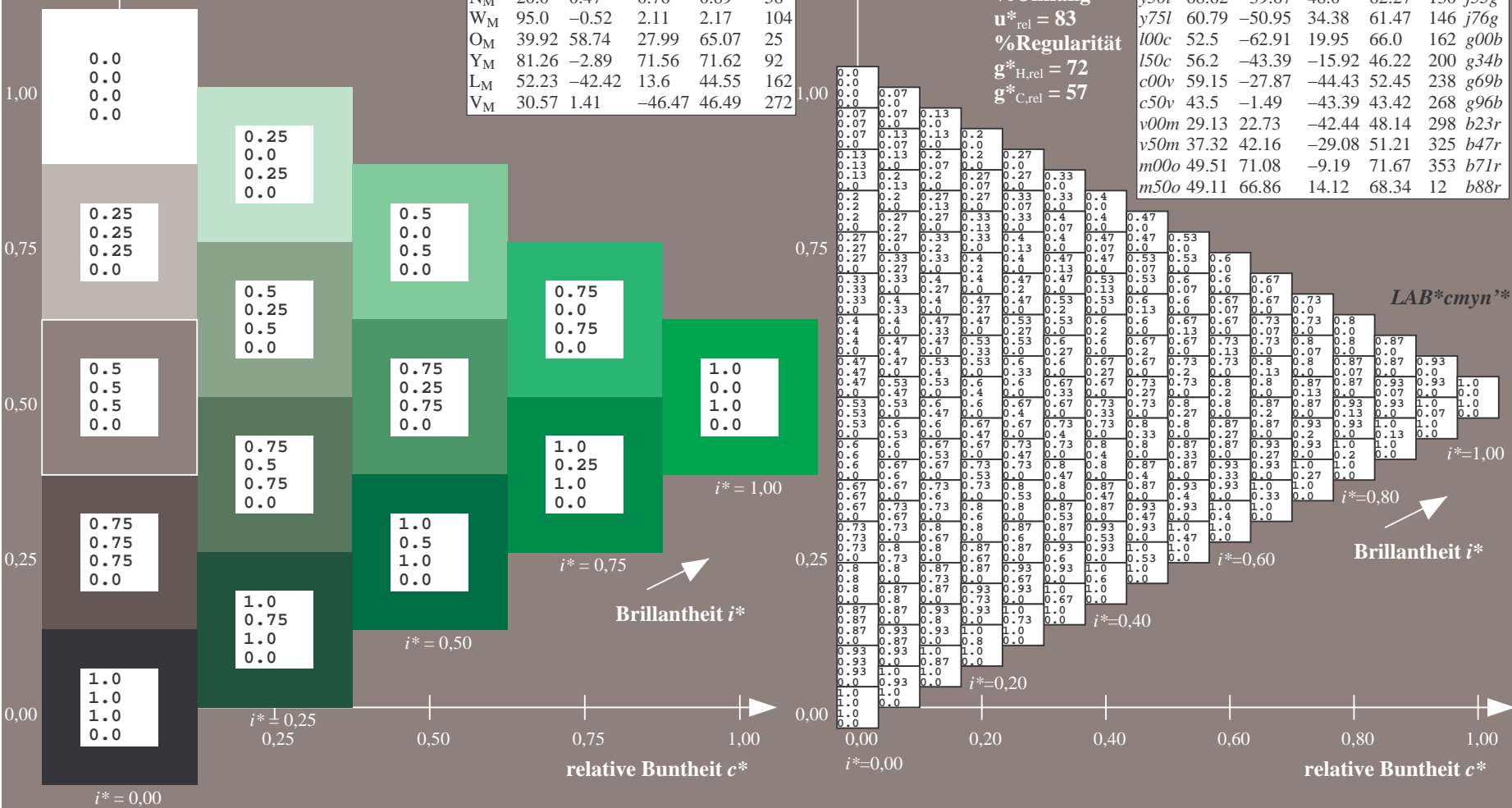
$\text{lab}^*\text{rgb}^*_{\text{Ma}}: 0.0 1.0 0.0$

Dreiecks-Helligkeit t^*

%Umfang
 $u^*_{\text{rel}} = 83$
%Regularität
 $g^*_{\text{H,rel}} = 72$
 $g^*_{\text{C,rel}} = 57$

ORS20_95a; adaptierte CIELAB-Daten

u^*_d	$L^*=L^*_a$	a^*_a	b^*_a	$C^*_{ab,a}$	$h^*_{ab,a}$	u^*_e
o00y	48.71	62.56	37.91	73.15	31	r08j
o25y	58.6	44.87	49.14	66.54	48	r33j
o50y	67.52	28.93	59.25	65.94	64	r57j
o75y	77.05	11.9	70.06	71.06	80	r81j
y00l	89.25	-9.92	83.91	84.49	97	j06g
y25l	77.37	-27.05	63.23	68.78	113	j30g
y50l	68.62	-39.67	48.0	62.27	130	j53g
y75l	60.79	-50.95	34.38	61.47	146	j76g
l00c	52.5	-62.91	19.95	66.0	162	g00b
l50c	56.2	-43.39	-15.92	46.22	200	g34b
c00v	59.15	-27.87	-44.43	52.45	238	g69b
c50v	43.5	-1.49	-43.39	43.42	268	g96b
v00m	29.13	22.73	-42.44	48.14	298	b23r
v50m	37.32	42.16	-29.08	51.21	325	b47r
m00o	49.51	71.08	-9.19	71.67	353	b71r
m50o	49.11	66.86	14.12	68.34	12	b88r



Ein und Ausgabe: Farbmatisches Drucker-Reflektiv-System ORS20_95a für relativen CIELAB-Bunton $h^* = \text{lab}^*h^* = h_{ab}/360 = 0.556$

$u^*_d = 150c$
LAB**cmy*'*

Daten für jede Farbe:

lab^*tch^* und lab^*icu^*

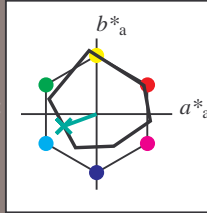
Buntontexte:

$u^*_d = 150c$ $u^*_e = g34b$

Kontrastreduzierungsfaktor:

$c_R = 0.96$

Dreiecks-Helligkeit t^*



ORS20_95a; CIELAB-Daten

u^*_d	$L^*=L^*_a$	a^*	b^*	C^*_{ab}	h^*_{ab}
O _M	48.71	62.65	39.19	73.89	32
Y _M	89.25	-10.36	85.91	86.53	97
L _M	52.5	-62.88	21.3	66.38	161
C _M	59.15	-27.92	-42.97	51.24	237
V _M	29.13	23.07	-41.51	47.5	299
M _M	49.51	71.15	-7.9	71.59	354
N _M	20.0	0.47	0.76	0.89	58
W _M	95.0	-0.52	2.11	2.17	104
O _M	39.92	58.74	27.99	65.07	25
Y _M	81.26	-2.89	71.56	71.62	92
L _M	52.23	-42.42	13.6	44.55	162
V _M	30.57	1.41	-46.47	46.49	272

Daten für Maximalfarbe (Ma):

LAB*LAB*_{Ma}: 56 -43 -16

LAB*LCH*_{Ma}: 56 46 200

lab**olv**_{Ma}: 0.0 1.0 0.5

lab**rgb**_{Ma}: 0.0 1.0 0.69

Dreiecks-Helligkeit t^*

%Umfang

$u^*_{rel} = 83$

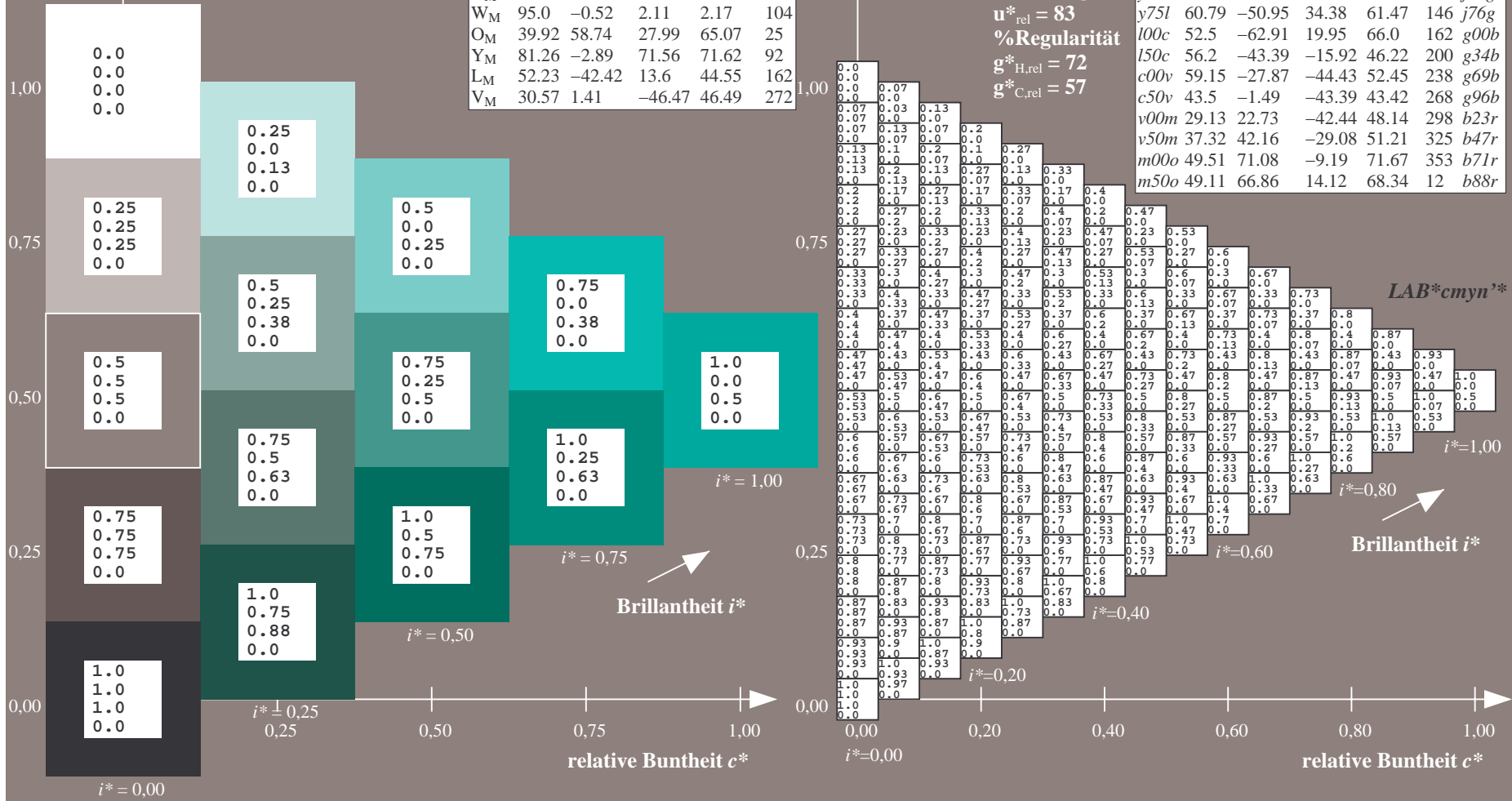
%Regularität

$g^*_{H,rel} = 72$

$g^*_{C,rel} = 57$

ORS20_95a; adaptierte CIELAB-Daten

u^*_d	$L^*=L^*_a$	a^*_a	b^*_a	$C^*_{ab,a}$	$h^*_{ab,a}$	u^*_e
o00y	48.71	62.56	37.91	73.15	31	r08j
o25y	58.6	44.87	49.14	66.54	48	r33j
o50y	67.52	28.93	59.25	65.94	64	r57j
o75y	77.05	11.9	70.06	71.06	80	r81j
y00l	89.25	-9.92	83.91	84.49	97	j06g
y25l	77.37	-27.05	63.23	68.78	113	j30g
y50l	68.62	-39.67	48.0	62.27	130	j53g
y75l	60.79	-50.95	34.38	61.47	146	j76g
l00c	52.5	-62.91	19.95	66.0	162	g00b
l50c	56.2	-43.39	-15.92	46.22	200	g34b
c00v	59.15	-27.87	-44.43	52.45	238	g69b
c50v	43.5	-1.49	-43.39	43.42	268	g96b
v00m	29.13	22.73	-42.44	48.14	298	b23r
v50m	37.32	42.16	-29.08	51.21	325	b47r
m00o	49.51	71.08	-9.19	71.67	353	b71r
m50o	49.11	66.86	14.12	68.34	12	b88r



Ein und Ausgabe: Farbmatisches Drucker-Reflektiv-System ORS20_95a für relativen CIELAB-Bunton $h^* = lab^*h^* = h_{ab}/360 = 0.661$

$u^*_d = c00v$
LAB**cmy***

Daten für jede Farbe:

lab^*tch^* und lab^*icu^*

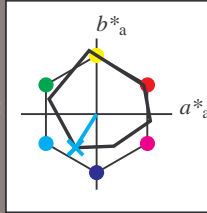
Buntontexte:

$u^*_d = c00v$ $u^*_e = g69b$

Kontrastreduzierungsfaktor:

$c_R = 0.96$

Dreiecks-Helligkeit t^*



ORS20_95a; CIELAB-Daten

u^*_d	$L^*=L^*$	a^*	b^*	C^*_{ab}	h^*_{ab}
O _M	48.71	62.65	39.19	73.89	32
Y _M	89.25	-10.36	85.91	86.53	97
L _M	52.5	-62.88	21.3	66.38	161
C _M	59.15	-27.92	-42.97	51.24	237
V _M	29.13	23.07	-41.51	47.5	299
M _M	49.51	71.15	-7.9	71.59	354
N _M	20.0	0.47	0.76	0.89	58
W _M	95.0	-0.52	2.11	2.17	104
O _M	39.92	58.74	27.99	65.07	25
Y _M	81.26	-2.89	71.56	71.62	92
L _M	52.23	-42.42	13.6	44.55	162
V _M	30.57	1.41	-46.47	46.49	272

Daten für Maximalfarbe (Ma):

LAB*LAB*_{Ma}: 59 -28 -44

LAB*LCH*_{Ma}: 59 52 237

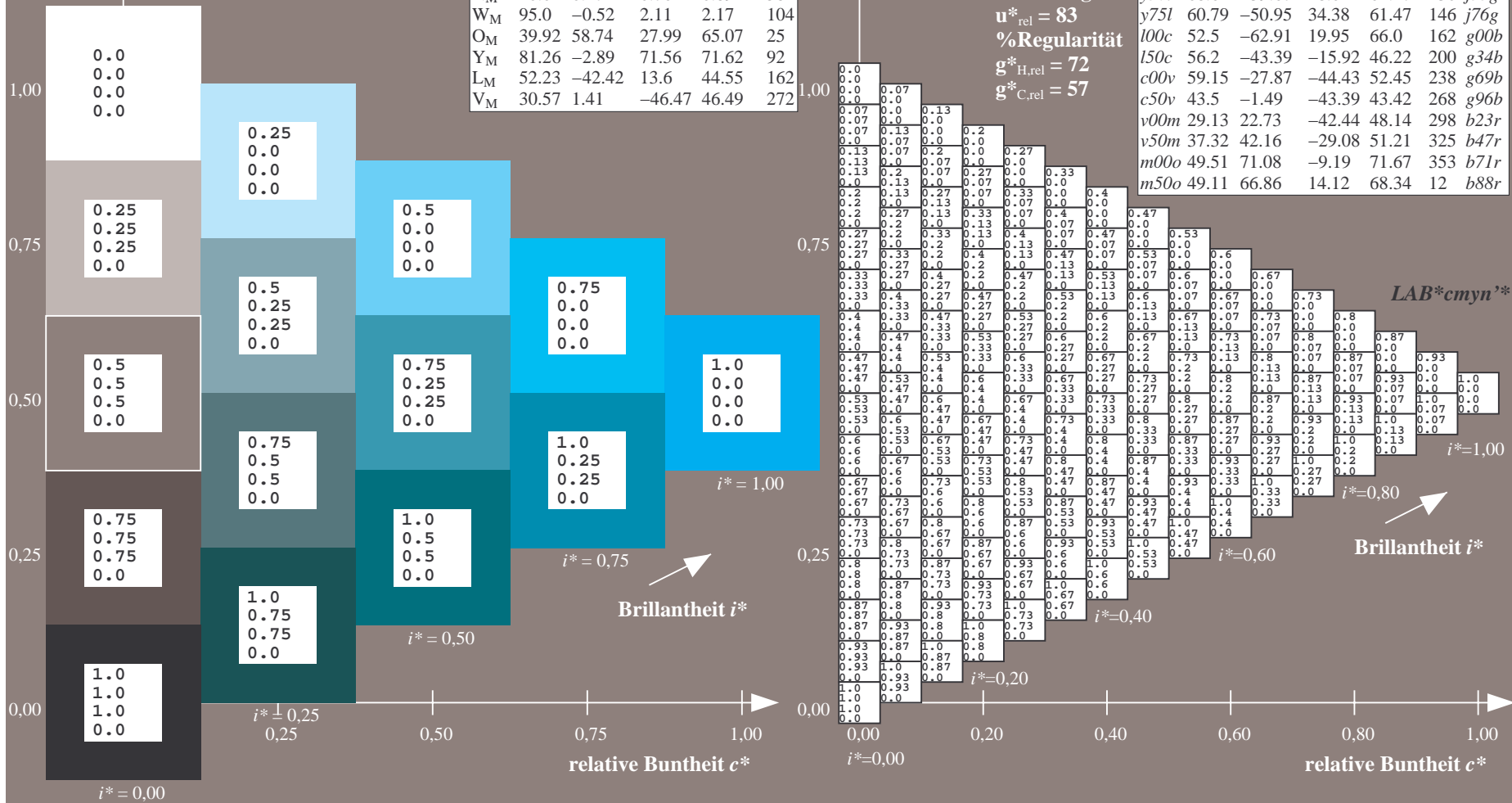
lab**olv**_{Ma}: 0.0 1.0 1.0

lab**rgb**_{Ma}: 0.0 0.62 1.0

Dreiecks-Helligkeit t^*

ORS20_95a; adaptierte CIELAB-Daten

u^*_d	$L^*=L^*_a$	a^*_a	b^*_a	$C^*_{ab,a}$	$h^*_{ab,a}$	u^*_e
<i>o00y</i>	48.71	62.56	37.91	73.15	31	<i>r08j</i>
<i>o25y</i>	58.6	44.87	49.14	66.54	48	<i>r33j</i>
<i>o50y</i>	67.52	28.93	59.25	65.94	64	<i>r57j</i>
<i>o75y</i>	77.05	11.9	70.06	71.06	80	<i>r81j</i>
<i>y00l</i>	89.25	-9.92	83.91	84.49	97	<i>j06g</i>
<i>y25l</i>	77.37	-27.05	63.23	68.78	113	<i>j30g</i>
<i>y50l</i>	68.62	-39.67	48.0	62.27	130	<i>j53g</i>
<i>y75l</i>	60.79	-50.95	34.38	61.47	146	<i>j76g</i>
<i>l00c</i>	52.5	-62.91	19.95	66.0	162	<i>g00b</i>
<i>l50c</i>	56.2	-43.39	-15.92	46.22	200	<i>g34b</i>
<i>c00v</i>	59.15	-27.87	-44.43	52.45	238	<i>g69b</i>
<i>c50v</i>	43.5	-1.49	-43.39	43.42	268	<i>g96b</i>
<i>v00m</i>	29.13	22.73	-42.44	48.14	298	<i>b23r</i>
<i>v50m</i>	37.32	42.16	-29.08	51.21	325	<i>b47r</i>
<i>m00o</i>	49.51	71.08	-9.19	71.67	353	<i>b71r</i>
<i>m50o</i>	49.11	66.86	14.12	68.34	12	<i>b88r</i>



Ein und Ausgabe: Farbmatisches Drucker-Reflektiv-System ORS20_95a für relativen CIELAB-Bunton $h^* = lab^*h^* = h_{ab}/360 = 0.745$

$u^*_d = c50v$
LAB**cmy*'*

Daten für jede Farbe:

lab^*tch^* und lab^*icu^*

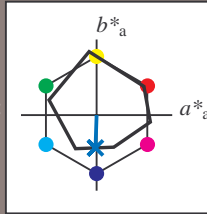
Buntontexte:

$u^*_d = c50v$ $u^*_e = g96b$

Kontrastreduzierungsfaktor:

$c_R = 0.96$

Dreiecks-Helligkeit t^*



ORS20_95a; CIELAB-Daten

	u^*_d	$L^*=L^*$	a^*	b^*	C^*_{ab}	h^*_{ab}
O _M	48.71	62.65	39.19	73.89	32	
Y _M	89.25	-10.36	85.91	86.53	97	
L _M	52.5	-62.88	21.3	66.38	161	
C _M	59.15	-27.92	-42.97	51.24	237	
V _M	29.13	23.07	-41.51	47.5	299	
M _M	49.51	71.15	-7.9	71.59	354	
N _M	20.0	0.47	0.76	0.89	58	
W _M	95.0	-0.52	2.11	2.17	104	
O _M	39.92	58.74	27.99	65.07	25	
Y _M	81.26	-2.89	71.56	71.62	92	
L _M	52.23	-42.42	13.6	44.55	162	
V _M	30.57	1.41	-46.47	46.49	272	

Daten für Maximalfarbe (Ma):

LAB*LAB*_{Ma}: 43 -1 -43

LAB*LCH*_{Ma}: 43 43 268

lab**olv**_{Ma}: 0.0 0.5 1.0

lab**rgb**_{Ma}: 0.0 0.07 1.0

Dreiecks-Helligkeit t^*

%Umfang

$u^*_{rel} = 83$

%Regularität

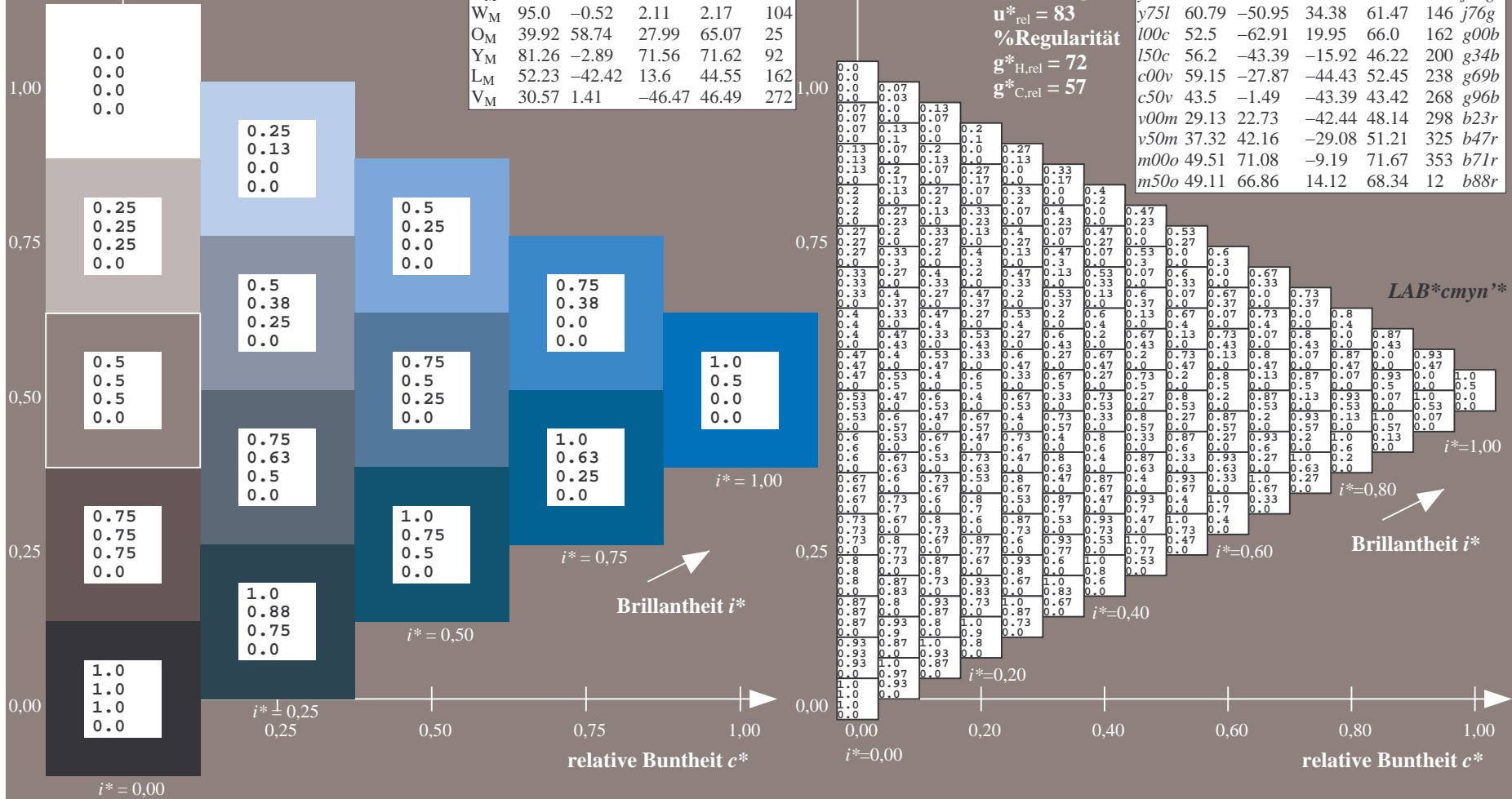
$g^*_{H,rel} = 72$

$g^*_{C,rel} = 57$

ORS20_95a; adaptierte CIELAB-Daten

	u^*_d	$L^*=L^*_a$	a^*_a	b^*_a	$C^*_{ab,a}$	$h^*_{ab,a}$	u^*_e
o00y	48.71	62.56	37.91	73.15	31	r08j	
o25y	58.6	44.87	49.14	66.54	48	r33j	
o50y	67.52	28.93	59.25	65.94	64	r57j	
o75y	77.05	11.9	70.06	71.06	80	r81j	
y00l	89.25	-9.92	83.91	84.49	97	j06g	
y25l	77.37	-27.05	63.23	68.78	113	j30g	
y50l	68.62	-39.67	48.0	62.27	130	j53g	
y75l	60.79	-50.95	34.38	61.47	146	j76g	
l00c	52.5	-62.91	19.95	66.0	162	g00b	
l50c	56.2	-43.39	-15.92	46.22	200	g34b	
c00v	59.15	-27.87	-44.43	52.45	238	g69b	
c50v	43.5	-1.49	-43.39	43.42	268	g96b	
v00m	29.13	22.73	-42.44	48.14	298	b23r	
v50m	37.32	42.16	-29.08	51.21	325	b47r	
m00o	49.51	71.08	-9.19	71.67	353	b71r	
m50o	49.11	66.86	14.12	68.34	12	b88r	

LAB**cmy*'*



Ein und Ausgabe: Farbmatisches Drucker-Reflektiv-System ORS20_95a für relativen CIELAB-Bunton $h^* = lab^*h^* = h_{ab}/360 = 0.828$

$u^*_d = v00m$
LAB**cmy*'*

Daten für jede Farbe:

lab^*tch^* und lab^*icu^*

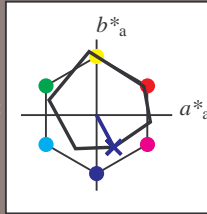
Buntontexte:

$u^*_d = v00m$ $u^*_e = b23r$

Kontrastreduzierungsfaktor:

$c_R = 0.96$

Dreiecks-Helligkeit t^*



ORS20_95a; CIELAB-Daten

	u^*_d	$L^*=L^*$	a^*	b^*	C^*_{ab}	h^*_{ab}
O _M	48.71	62.65	39.19	73.89	32	
Y _M	89.25	-10.36	85.91	86.53	97	
L _M	52.5	-62.88	21.3	66.38	161	
C _M	59.15	-27.92	-42.97	51.24	237	
V _M	29.13	23.07	-41.51	47.5	299	
M _M	49.51	71.15	-7.9	71.59	354	
N _M	20.0	0.47	0.76	0.89	58	
O _M	95.0	-0.52	2.11	2.17	104	
Y _M	81.26	-2.89	71.56	71.62	92	
L _M	52.23	-42.42	13.6	44.55	162	
V _M	30.57	1.41	-46.47	46.49	272	

Daten für Maximalfarbe (Ma):

LAB*LAB*_{Ma}: 29 23 -42

LAB*LCH*_{Ma}: 29 48 298

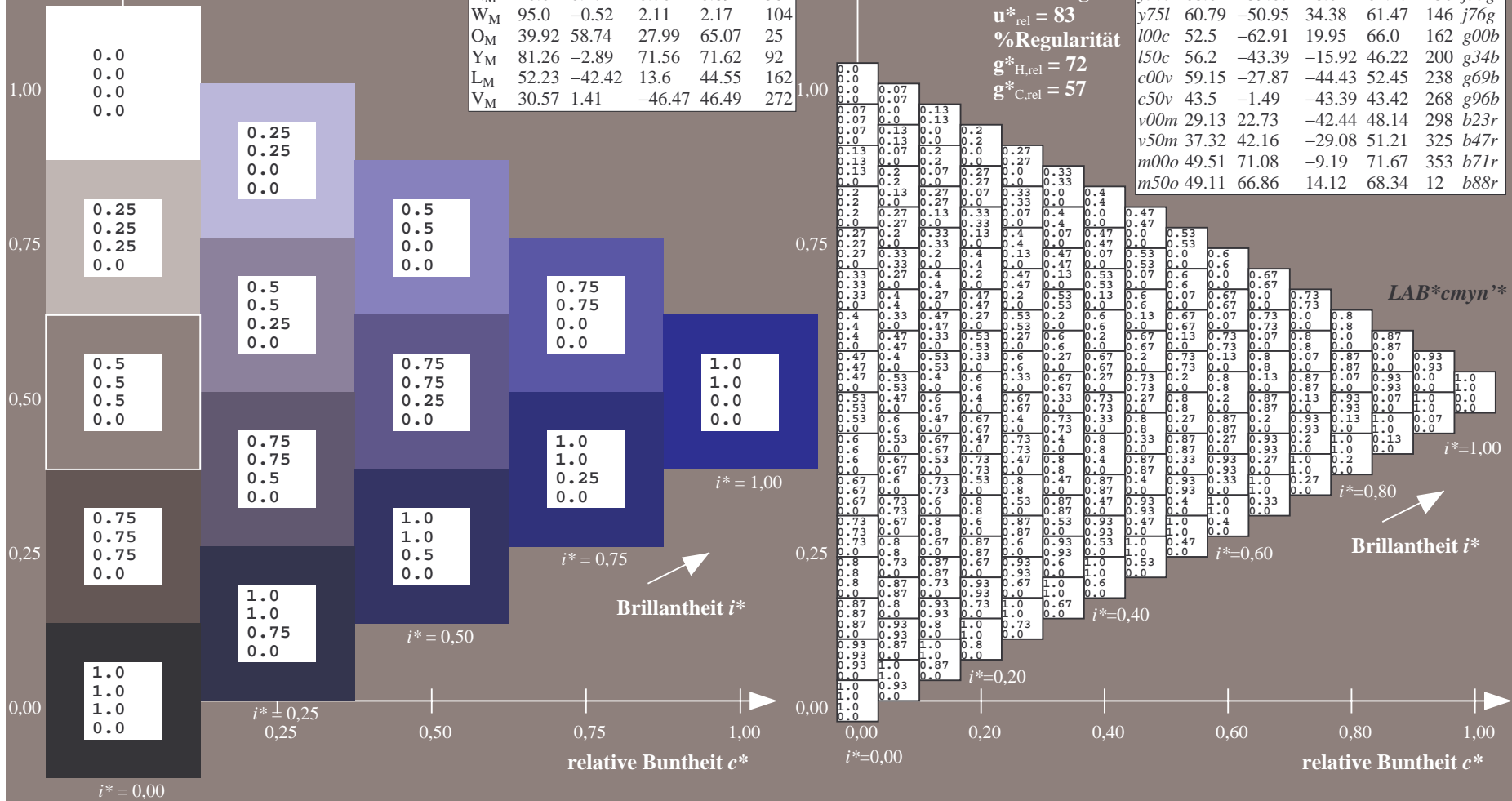
lab**olv**_{Ma}: 0.0 0.0 1.0

lab**rgb**_{Ma}: 0.46 0.0 1.0

Dreiecks-Helligkeit t^*

ORS20_95a; adaptierte CIELAB-Daten

	u^*_d	$L^*=L^*_a$	a^*_a	b^*_a	$C^*_{ab,a}$	$h^*_{ab,a}$	u^*_e
o00y	48.71	62.56	37.91	73.15	31	r08j	
o25y	58.6	44.87	49.14	66.54	48	r33j	
o50y	67.52	28.93	59.25	65.94	64	r57j	
o75y	77.05	11.9	70.06	71.06	80	r81j	
y00l	89.25	-9.92	83.91	84.49	97	j06g	
y25l	77.37	-27.05	63.23	68.78	113	j30g	
y50l	68.62	-39.67	48.0	62.27	130	j53g	
y75l	60.79	-50.95	34.38	61.47	146	j76g	
l00c	52.5	-62.91	19.95	66.0	162	g00b	
l50c	56.2	-43.39	-15.92	46.22	200	g34b	
c00v	59.15	-27.87	-44.43	52.45	238	g69b	
c50v	43.5	-1.49	-43.39	43.42	268	g96b	
v00m	29.13	22.73	-42.44	48.14	298	b23r	
v50m	37.32	42.16	-29.08	51.21	325	b47r	
m00o	49.51	71.08	-9.19	71.67	353	b71r	
m50o	49.11	66.86	14.12	68.34	12	b88r	



Ein und Ausgabe: Farbmatisches Drucker-Reflektiv-System ORS20_95a für relativen CIELAB-Bunton $h^* = lab^*h^* = h_{ab}/360 = 0.904$

$u^*_d = v50m$
LAB**cmy*'*

Daten für jede Farbe:

lab^*ch^* und lab^*icu^*

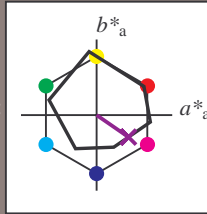
Buntontexte:

$u^*_d = v50m$ $u^*_e = b47r$

Kontrastreduzierungsfaktor:

$c_R = 0.96$

Dreiecks-Helligkeit t^*



ORS20_95a; CIELAB-Daten

	u^*_d	$L^*=L^*_a$	a^*	b^*	C^*_{ab}	h^*_{ab}
O _M	48.71	62.65	39.19	73.89	32	
Y _M	89.25	-10.36	85.91	86.53	97	
L _M	52.5	-62.88	21.3	66.38	161	
C _M	59.15	-27.92	-42.97	51.24	237	
V _M	29.13	23.07	-41.51	47.5	299	
M _M	49.51	71.15	-7.9	71.59	354	
N _M	20.0	0.47	0.76	0.89	58	
W _M	95.0	-0.52	2.11	2.17	104	
O _M	39.92	58.74	27.99	65.07	25	
Y _M	81.26	-2.89	71.56	71.62	92	
L _M	52.23	-42.42	13.6	44.55	162	
V _M	30.57	1.41	-46.47	46.49	272	

Daten für Maximalfarbe (Ma):

LAB*LAB*_{Ma}: 37 42 -29

LAB*LCH*_{Ma}: 37 51 325

lab**olv**_{Ma}: 0.5 0.0 1.0

lab**rgb**_{Ma}: 0.94 0.0 1.0

Dreiecks-Helligkeit t^*

%Umfang

$u^*_{rel} = 83$

%Regularität

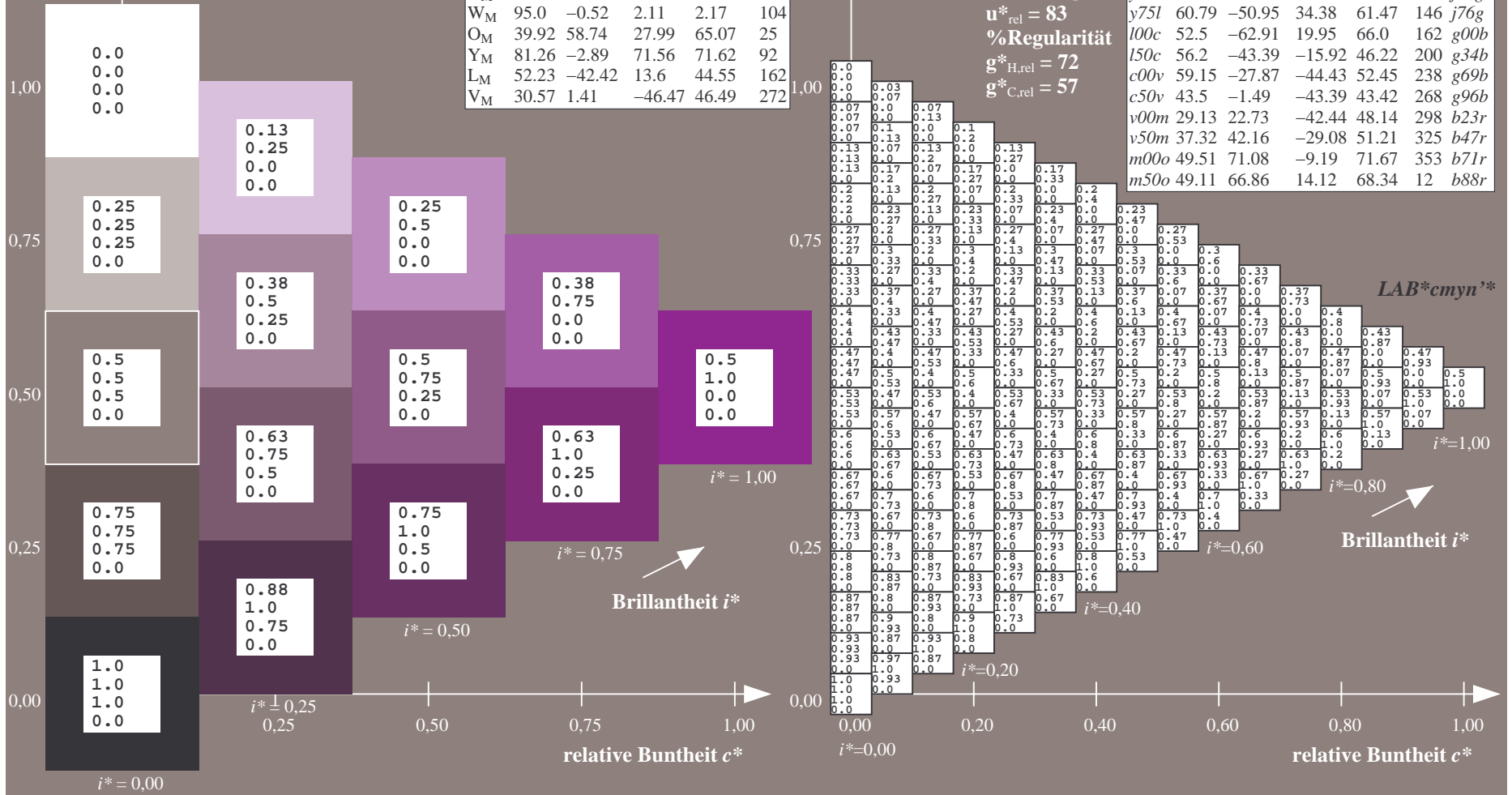
$g^*_{H,rel} = 72$

$g^*_{C,rel} = 57$

ORS20_95a; adaptierte CIELAB-Daten

	u^*_d	$L^*=L^*_a$	a^*_a	b^*_a	$C^*_{ab,a}$	$h^*_{ab,a}$	u^*_e
o00y	48.71	62.56	37.91	73.15	31	r08j	
o25y	58.6	44.87	49.14	66.54	48	r33j	
o50y	67.52	28.93	59.25	65.94	64	r57j	
o75y	77.05	11.9	70.06	71.06	80	r8lj	
y00l	89.25	-9.92	83.91	84.49	97	j06g	
y25l	77.37	-27.05	63.23	68.78	113	j30g	
y50l	68.62	-39.67	48.0	62.27	130	j53g	
y75l	60.79	-50.95	34.38	61.47	146	j76g	
l00c	52.5	-62.91	19.95	66.0	162	g00b	
l50c	56.2	-43.39	-15.92	46.22	200	g34b	
c00v	59.15	-27.87	-44.43	52.45	238	g69b	
c50v	43.5	-1.49	-43.39	43.42	268	g96b	
v00m	29.13	22.73	-42.44	48.14	298	b23r	
v50m	37.32	42.16	-29.08	51.21	325	b47r	
m00o	49.51	71.08	-9.19	71.67	353	b71r	
m50o	49.11	66.86	14.12	68.34	12	b88r	

LAB**cmy*'*



Ein und Ausgabe: Farbmatisches Drucker-Reflektiv-System ORS20_95a für relativen CIELAB-Bunton $h^* = lab^*h^* = h_{ab}/360 = 0.98$

$u^*_d = m00o$
 LAB^*cmy^n *

Daten für jede Farbe:

lab^*tch^* und lab^*icu^*

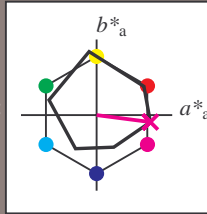
Buntontexte:

$u^*_d = m00o$ $u^*_e = b71r$

Kontrastreduzierungsfaktor:

$c_R = 0.96$

Dreiecks-Helligkeit t^*



ORS20_95a; CIELAB-Daten

u^*_d	$L^*=L^*$	a^*	b^*	C^*_{ab}	h^*_{ab}
O _M	48.71	62.65	39.19	73.89	32
Y _M	89.25	-10.36	85.91	86.53	97
L _M	52.5	-62.88	21.3	66.38	161
C _M	59.15	-27.92	-42.97	51.24	237
V _M	29.13	23.07	-41.51	47.5	299
M _M	49.51	71.15	-7.9	71.59	354
N _M	20.0	0.47	0.76	0.89	58
W _M	95.0	-0.52	2.11	2.17	104
O _M	39.92	58.74	27.99	65.07	25
Y _M	81.26	-2.89	71.56	71.62	92
L _M	52.23	-42.42	13.6	44.55	162
V _M	30.57	1.41	-46.47	46.49	272

Daten für Maximalfarbe (Ma):

$LAB^*LAB^*_{Ma}: 50\ 71\ -9$

$LAB^*LCH^*_{Ma}: 50\ 72\ 352$

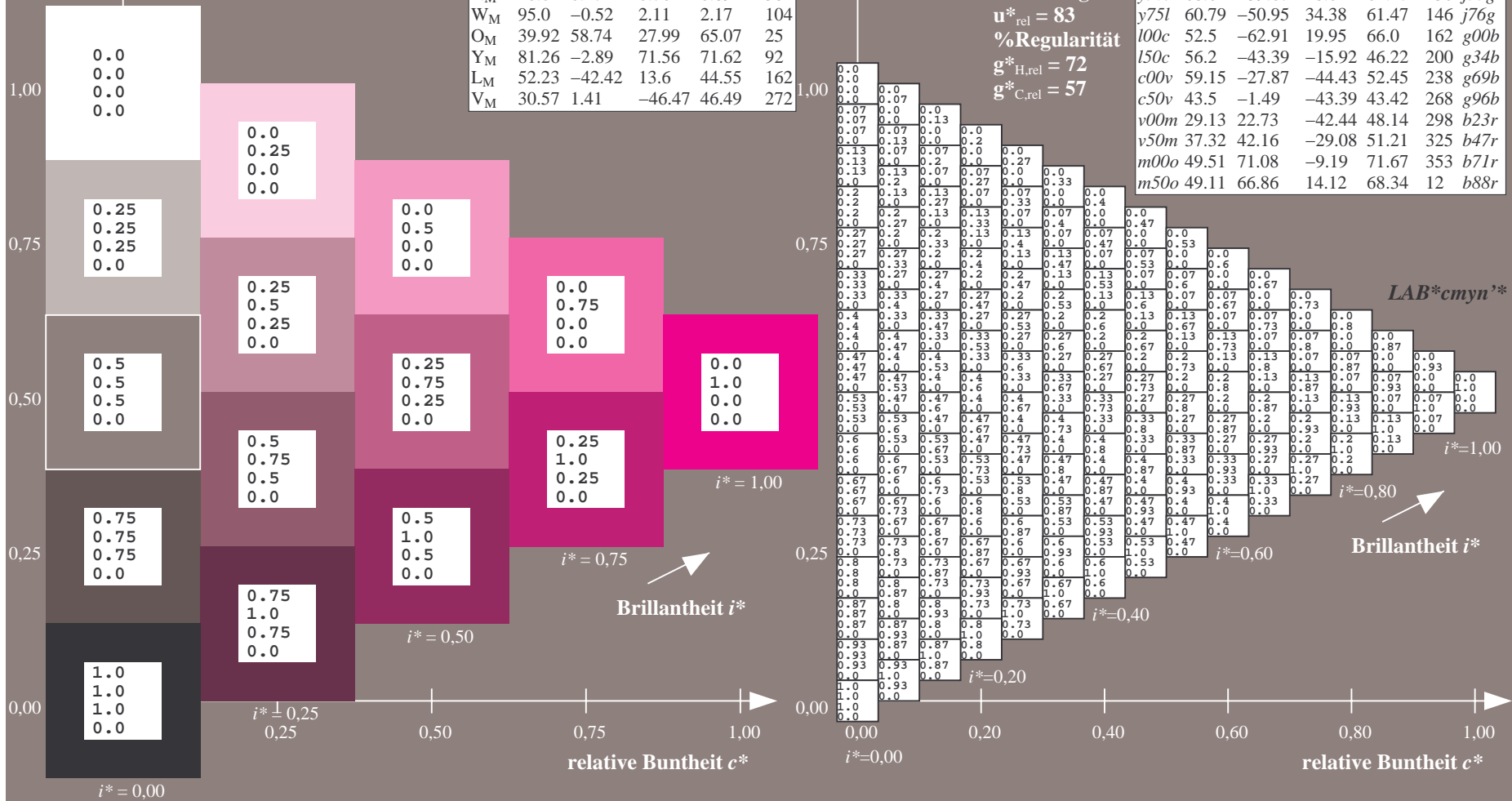
$lab^*olv^*_{Ma}: 1.0\ 0.0\ 1.0$

$lab^*rgb^*_{Ma}: 1.0\ 0.0\ 0.58$

Dreiecks-Helligkeit t^*

ORS20_95a; adaptierte CIELAB-Daten

u^*_d	$L^*=L^*_a$	a^*_a	b^*_a	$C^*_{ab,a}$	$h^*_{ab,a}$	u^*_e
o00y	48.71	62.56	37.91	73.15	31	r08j
o25y	58.6	44.87	49.14	66.54	48	r33j
o50y	67.52	28.93	59.25	65.94	64	r57j
o75y	77.05	11.9	70.06	71.06	80	r81j
y00l	89.25	-9.92	83.91	84.49	97	j06g
y25l	77.37	-27.05	63.23	68.78	113	j30g
y50l	68.62	-39.67	48.0	62.27	130	j53g
y75l	60.79	-50.95	34.38	61.47	146	j76g
l00c	52.5	-62.91	19.95	66.0	162	g00b
l50c	56.2	-43.39	-15.92	46.22	200	g34b
c00v	59.15	-27.87	-44.43	52.45	238	g69b
c50v	43.5	-1.49	-43.39	43.42	268	g96b
v00m	29.13	22.73	-42.44	48.14	298	b23r
v50m	37.32	42.16	-29.08	51.21	325	b47r
m00o	49.51	71.08	-9.19	71.67	353	b71r
m50o	49.11	66.86	14.12	68.34	12	b88r



Ein und Ausgabe: Farbmatisches Drucker-Reflektiv-System ORS20_95a für relativen CIELAB-Bunton $h^* = lab^*h^* = h_{ab}/360 = 0.033$

$u^*_d = m50o$
 LAB^*cmy^n '*

Daten für jede Farbe:

lab^*tch^* und lab^*icu^*

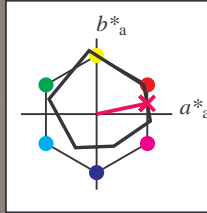
Buntontexte:

$u^*_d = m50o$ $u^*_e = b88r$

Kontrastreduzierungsfaktor:

$c_R = 0.96$

Dreiecks-Helligkeit t^*



ORS20_95a; CIELAB-Daten

u^*_d	$L^*=L^*_a$	a^*_a	b^*_a	C^*_{ab}	h^*_{ab}
O _M	48.71	62.65	39.19	73.89	32
Y _M	89.25	-10.36	85.91	86.53	97
L _M	52.5	-62.88	21.3	66.38	161
C _M	59.15	-27.92	-42.97	51.24	237
V _M	29.13	23.07	-41.51	47.5	299
M _M	49.51	71.15	-7.9	71.59	354
N _M	20.0	0.47	0.76	0.89	58
W _M	95.0	-0.52	2.11	2.17	104
O _M	39.92	58.74	27.99	65.07	25
Y _M	81.26	-2.89	71.56	71.62	92
L _M	52.23	-42.42	13.6	44.55	162
V _M	30.57	1.41	-46.47	46.49	272

Daten für Maximalfarbe (Ma):

$LAB^*LAB^*_Ma: 49\ 67\ 14$

$LAB^*LCH^*_Ma: 49\ 68\ 11$

$lab^*olv^*_Ma: 1.0\ 0.0\ 0.5$

$lab^*rgb^*_Ma: 1.0\ 0.0\ 0.24$

Dreiecks-Helligkeit t^*

%Umfang

$u^*_{rel} = 83$

%Regularität

$g^*_{H,rel} = 72$

$g^*_{C,rel} = 57$

ORS20_95a; adaptierte CIELAB-Daten

u^*_d	$L^*=L^*_a$	a^*_a	b^*_a	$C^*_{ab,a}$	$h^*_{ab,a}$	u^*_e
o00y	48.71	62.56	37.91	73.15	31	r08j
o25y	58.6	44.87	49.14	66.54	48	r33j
o50y	67.52	28.93	59.25	65.94	64	r57j
o75y	77.05	11.9	70.06	71.06	80	r81j
y00l	89.25	-9.92	83.91	84.49	97	j06g
y25l	77.37	-27.05	63.23	68.78	113	j30g
y50l	68.62	-39.67	48.0	62.27	130	j53g
y75l	60.79	-50.95	34.38	61.47	146	j76g
l00c	52.5	-62.91	19.95	66.0	162	g00b
l50c	56.2	-43.39	-15.92	46.22	200	g34b
c00v	59.15	-27.87	-44.43	52.45	238	g69b
c50v	43.5	-1.49	-43.39	43.42	268	g96b
v00m	29.13	22.73	-42.44	48.14	298	b23r
v50m	37.32	42.16	-29.08	51.21	325	b47r
m00o	49.51	71.08	-9.19	71.67	353	b71r
m50o	49.11	66.86	14.12	68.34	12	b88r

